

Einführung in die theoretische Physik

in drei Bänden

Von

Dr. Clemens Schaefer

o. ö. Professor der Physik an der Universität Breslau

ZWEITER BAND

Theorie der Wärme, Molekular-kinetische Theorie
der Materie

Mit 28 Figuren im Text

Zweite,
verbesserte und vermehrte Auflage



Berlin und Leipzig 1929

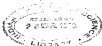
WALTER DE GRUYTER & CO.

vormals G. J. Göschen'sche Verlagshandlung - J. Guttentag, Verlags-
buchhandlung - Georg Reimer - Karl J. Trübner - Veit & Comp.

4332

Alle Rechte, insbesondere das der Uebersetzung, vorbehalten.

Copyright 1900 by WATSON & GARDNER & Co.
Verleger in Deutschland: Verlagsbuchhandlung — J. Neumann, Neudamm-
Verlagsbuchhandlung — Georg Reimer — Karl J. Neumann — Carl A. Vetter
Berlin W 10, Charlottenstrasse 11.



Druck von Metzger & Wittig in Leipzig.

Vorwort zur ersten Auflage.

Die überaus freundliche Aufnahme, die der erste Band dieses Werkes gefunden hat, hatte mich unter normalen Verhältnissen anregt, die Fortsetzung möglichst zu beschleunigen. Der Weltkrieg, der wenige Wochen nach dem Erscheinen des ersten Bandes ausbrach, hat dies verhindert. Erst im December 1918 konnte ich die Arbeit am zweiten Bande wieder aufnehmen, dessen erster Teil ich damit dem Fachgenossen vorlege. Er enthält die Wärmelehre (Wärmeleitung und Thermodynamik) und die klassische Theorie der Materie (Gastheorie und statistische Mechanik). Das letzte Kapitel schildert die Eingriffe der Quantentheorie in die Lehren, die von der klassischen Theorie nicht ausgeht werden können.

Die ganze Anlage dieses Bandes ist nach denselben Grundsätzen erfolgt, die ich im Vorwort zum ersten Bande ausführlich dargelegt habe und auf die hier verwiesen werden kann. Besonders beabsichtigt haben meine Darstellung der Thermodynamik die bekanntesten Werke von Planck und Nernst; in der molekular-klassischen Theorie habe ich mich im wesentlichen an das ausgezeichnete Buchwerk von P. und T. Ehrenfest in der mathematischen Darstellung angegeschlossen.

Ehrendessen Fachgenossen bin ich für ihre freundliche Unterstützung zu herzlichem Danke verbunden: Herr Privatdozent Dr. F. Reichel in Berlin hat das Manuskript zur Thermodynamik, Herr Privatdozent Dr. E. Buchwald dasjenige zur klassischen Theorie durchgesehen; beiden Herren verdanke ich zahlreiche Verbesserungsvorschläge und Anregungen, desgleichen für die Thermodynamik dem Assistenten am physikalischen Institut der Universität Berlin Vol. Dr. H. Kohn, Vol. Dr. R. Benedict, Herrn Dr. H. Sauterleben. Mit seiner reichen Erfahrung hat mich Herr vielfach mein Freund und Kollege Professor Dr. Arnold Becker unterstützt.

Die Figuren hat Herr Studienrathender P. Hahn mit großem Geschick und Verstande gezeichnet.

Beim Lesen der Korrektur beteiligten sich, freundlichstweise die Herren Buchwald, Kohn und auch phil. M. Busch.

Esam allen sage ich hier nochmals meinen herzlichsten Dank, der in gleicher Weise auch der Verlagsbuchhandlung gebührt, die das Buch trotz der schweren Zeitverhältnisse herausgebracht hat. —

In dem Augenblicke, in dem ich dieses schreibe, geht meine 17jährige akademische Tätigkeit an der Universität Breslau ihrem Ende entgegen. Während dieser Zeit bin ich zahlreichen Kollegen räumlich und wissenschaftlich nahegetreten; niemand als ich selbst kann beurteilen, wie groß die Bereicherung ist, die mir der Verkehr mit ihnen gegeben hat. Dem Ersten meines Dankes habe ich es gewagt, diesen Band zu widmen; mochte er sich ihnen Etwas verschaffen!

Breslau, im Oktober 1928.

Clara von Schaeffer,

Vorwort zur zweiten Auflage.

Die erste Auflage dieses Bandes ist seit Oktober 1928 vergriffen; da um dieselbe Zeit auch die zweite Auflage des ersten Bandes erschöpft war, ließ es sich leider nicht vermeiden, daß die zweite Auflage dieses Bandes, die ich bereits den Fachgenossen versagt, sich um ein halbes Jahr verzögert hat. Ich habe bei der Neubearbeitung an den Grundsätzen festgehalten, die auch bisher als Richtschnur dienen.

Von Veränderungen sind folgende hervorzuheben: Das Energieprinzip (Nr. 18 bis 20) wurde sorgfältiger und eingehender behandelt, die Nummern 22 bis 28, die Anwendungen der beiden Hauptsätze auf praktisch wichtige Prozesse bringen, überarbeitet. Ferner wurden hinzugefügt die Nummern 52 bis 54, die eine kurze Darstellung der Untersuchungen von Kura dasen über die Beschleunigungen in stark verformten Gasen geben sollen. Für manche wertvolle Anregung, namentlich die Literaturangaben betreffend, habe ich mich für diese letzten Kapitel dem Werke von Leonard B. Loeb, *Elastic Theory of Gases* (Mc. Graw Hill Book Company, New York 1927) zu lebhaftem Danke verpflichtet.

Die einschneidendsten Änderungen hat das XI. Kapitel „Die Grundlagen der Quantentheorie“ erfahren. Dies liegt im Wesen des Buchs, wenn man bedenkt, was das letzte Jahrzehnt physikalischen Forschung auf diesem Gebiete geleistet hat. Die besondere Schwierigkeit lag darin, daß zwar die Bedeutung und Notwendigkeit der Quantentheorie für die Theorie der spezifischen Wärmen, die chemische Konstante, die Quantisierung gezeigt werden sollte, während anderseits die systematische Darstellung der Quantentheorie dem dritten Bande vorbehalten werden mußte. So mußte — wie schon bei der ersten Auflage — versucht werden, einen ansehnlichen Mittelweg zu finden, — nur daß inzwischen die Schwierigkeiten einer derartigen Darstellung sehr gewachsen sind. Man kann daher sehr wohl über die hier gebotene Auswahl verschiedener Meinung sein; ich kann aber versichern, daß die jetzt vorliegende Dar-

stellung des Handel mitlicher Überlegung ist, und werde für jeden guten Rat dankbar sein.

Schließlich Fachgenossen habe ich für ihre freundliche Unterstützung zu danken; vor allen meinen Freunde Prof. Dr. E. Lohr zu Bonn und meinem hiesigen Kollegen Prof. Dr. F. Reichel. Mit beiden hatte ich zahlreiche Besprechungen über die Neuauflage, die mich sehr gefördert haben. Dem letzteren verdanke ich vor allem wertvolle Anregungen betreffend die Darstellung der Thermodynamik, deren Niederschlag der Leser namentlich in den Nummern 18 bis 20 und 68 bis 69 findet; der letztere dagegen hat mich bei Bearbeitung der Kapitel IX bis XI mit seinen reichen Erfahrung lehren wieder in lebenswunderlicher Weise unterstützt. Auch Herrn Kollegen A. Brückel in Halle bin ich für eine freundliche Beratung sehr zu Dank verbunden, nicht weniger Herrn Kollegen Dr. Sternberg in Breslau für seine wertvolle Hilfe bei der Formulierung der Nummer 82.

Die notwendigen neuen Zeichnungen hat, wie schon für die erste Auflage, Herr Dr. Paul Hahn mit Geschick und Verständnis angefertigt; für Unterstützung beim Lesen der Korrekturen habe ich meinen Assistenten Dr. W. Klinkoth und Dr. Joh. Jaumann zu danken.

Somit übergebe ich diese zweite Auflage der Öffentlichkeit mit dem Wunsche, daß sie dieselbe wohlwollende Aufnahme wie die erste erfahren möge.

Breslau, im April 1903.

Clemens Schaefer.

Inhalt.

Viertes Buch.

Theorie der Wärme.

Einführung: Grundbegriffe und Definitionen.

1. Wärmegleichgewichte, Thermometer, empirische Temperatur	Seite 1
2. Wärmestoffe, spezifische Wärme	4

Erstes Kapitel

Theorie der Wärmeleitung.

3. Der Begriff der Wärmeleitung und der Wärmestrom	11
4. Zusammenhang zwischen Wärmestromung und Temperatur	18
5. Beziehung zwischen dem Koeffizienten der Wärmeleitung und dem Koeffizienten des Temperaturkoeffizienten	17
6. Differentialgleichung der Wärmeleitung; Grenzbedingungen	23
7. Allgemeine von Integrals bei homogenen und inhomogenen Randbedingungen; Endwertigkeit der Lösungen	25
8. Stetigere Wärmeleitungsprobleme; randwertprobleme	33
9. Partielle Integrale der Wärmeleitungsgleichung	39
10. Differentialgleichung der transienten Wärmeleitung; mit Berücksichtigung der zeitlichen Ableitung; stationärer Zustand (Methode von Heisler)	40
11. Lineare Wärmeleitung: Methode von Fourier Neumann	51
12. Lineare Wärmeleitung: Temperaturverteilung	53
13. Entwicklung willkürlicher Funktionen nach Besselfunktionen	60
14. Das Fourierische Integral	62
15. Wärmeleitung in einem unendlich langen Stab	64
16. Die Methode der ähnlich gelassen Körper von E. Kuhlmann	66
17. Dimensionen; Nernstgesetze	71

Zweites Kapitel

Der erste Hauptsatz der Wärmelehre.

18. Der Energiebegriff in der Mechanik	73
19. Die Wärme als neues Energieform (J. R. Mayer, Joule, Helmholtz)	75
20. Der erste Hauptsatz der Wärmelehre	80

Inhalt.

VI

21. Zustandsgleichung; ideale Gase	104
22. Die Arbeit des äußeren Kräfte, speziell des Druckes; quasistatische Prozesse	105
23. Die Zustandsgleichung der dichten Gase; der Versuch von Gay-Lussac und Thomson-Früh	108
24. Anwendung des ersten Hauptsatzes auf ideale Gase	108
25. Anwendung des ersten Hauptsatzes auf einen beliebigen homogenen Stoff	109
26. Die Form der Wärmefunktion Zustandsgleichung für reale Gase; Anwendung des ersten Hauptsatzes auf ein reales Gas	114
27. Kreisprozesse; der Carnotsche Kreisprozeß	118
28. Polytropische Prozesse; verallgemeinerter Carnotscher Prozeß	119
29. Chemische Reaktionen ohne Volumenänderungen	120
30. Chemische Reaktionen mit Volumenänderungen	141

Zweites Kapitel.

Der zweite Hauptsatz der Wärmetheorie.

31. Allgemeine Charakterisierung der Bedeutung des ersten Hauptsatzes	144
32. Beweis eines Hilfssatzes	145
33. Das Prinzip der Unmöglichkeit zweiter Art	147
34. Die thermische Umwandlung; der zweite Hauptsatz	151
35. Die Berechnung des Entropies; Anwendung auf den Gay-Lussacschen Prozeß und die Diffusion dichter Gase	155
36. Reversible und irreversible Prozesse	155
37. Die Prüfung von der Verletzung der Entropie	157
38. Allgemeine Folgerungen über den Nulleffekt thermodynamischer Maschinen	160
39. Die rechte Definition der Temperatur	171
40. Bestimmung Vorgangs; Idee und physikalische Stufen; algebraischen und me- chanischen Theorien	173
41. Gleichgewichtszustand	180

Drittes Kapitel.

Physikalisch homogene Systeme.

42. Allgemeine Formulierung	182
43. Der Zustand des Systems wird durch zwei Variablen bestimmt	184
44. Beispiele, Entropie, freie Energie reiner Gase	188
45. Der Gay-Lussacsche und der Thomson-Früh'sche Versuch mit einem reinen Gas	191
46. Diffusion reiner Gase	194
47. Inkompressible (oder sehr flüssig) Körper unter allseitigen Druck	196
48. Kompressible (oder sehr flüssig) Körper unter allseitigen Druck	200

Viertes Kapitel.

Physikalisch heterogene Systeme.

49. Formulierung der Grundgleichungen	203
50. Anwendung auf den Verdampfungsprozeß	205
51. Die Theorie des Sättigungsdampfes	213

22. Anwendung des Oligomer-Gleichgewichts-Gleichung auf das Schmelzen und Sublimieren	116
23. Das Tripelpunkt	119
24. Allotrope Umstellung	125
25. Thermische Demontierung	126
26. Energie, Entropie, mathematisches Potential der von heterogenen Systemen	132
27. Allgemeine Ableitung der Bedingungen für das Gleichgewicht	135
28. Das Gibbs'sche Phasendiagramm	139
29. Klassifikation der Systeme nach der Anzahl der Freiheitsgrade und der Komponenten. Beispiele zur Phasendiagramm	145
30. Abhängigkeit des Gleichgewichts von Druck und Temperatur	149
31. Dampfdruck, Sublimationsenthalpie, Gefrierpunktserniedrigung einer Lösung	152
32. Der osmotische Druck von Lösungen	160
33. Kristallisation mit einer physikalisch heterogenen Substanz	165
34. Numerische Berechnung von Entropie, Energie und Wärmestrom für ein Wasser-Wasserdampf-System	171
35. Verwendung des Entropie-Temperatur- und des Zeller-Diagramms	176

Zehntes Kapitel.

Spezielle Systeme (Gase und verdünnte Lösungen).

36. Energie, Entropie und thermodynamisches Potential eines Gases oder idealen Gas	182
37. Thermodynamisches Gleichgewicht einer Homogenität des Massenverhältnisses	186
38. Experimentelle Prüfung des Massenverhältnisses	194
39. Anwendung des Massenverhältnisses und des Gleichgewichts heterogener Substanzen	201
40. Energie, Entropie, mathematisches Potential für verdünnte Lösungen	202
41. Das thermodynamische Gleichgewicht in Lösungen; das Massenverhältnis	207
42. Sublimationsenthalpie, Sublimationsdruck, Dampfdruck, und osmotischer Druck verdünnter Lösungen	211
43. Das Verteilungsgesetz von Nernst	215

Elftes Kapitel.

Die chemische Affinität und die Wärmetheorie von Nernst.

44. Das Problem der chemischen Affinität	226
45. Die Beziehung der elektrochemischen Kraft zur Affinität	229
46. Das Nernst'sche Wärmetheorem; die Affinität homogenen Systeme	232
47. Die Affinität heterogener Systeme nach dem Nernst'schen Theorem; die chemische Konstante und die Elektrodenpotentiale	240
48. Erweiterte Formulierung des Nernst'schen Theorems durch Planck	245

Zwölftes Buch.

Molekular-kinetische Theorie der Materie.

49. Allgemeine Charakterisierung der Aufgabe und der Methode der kinetischen Theorie	265
--	-----

Achtes Kapitel.

Elementare kinetische Theorie der Gase.

	Seite
80. Die Zustandsgleichung der idealen Gase	359
81. Die Veranschaulichung von Gasen	367
82. Hilfssatz der Teilchenkinetiktheorie	370
83. Das kinetische Veranschaulichungsmodell der Zustandsgleichung	378
84. Kollisionszeit von Molekülen der Gaskinetiktheorie	380
85. Das Aggregatzustandsmodell und seine Kinetiktheorie	384
86. Die kinetische Theorie der spezifischen Wärmen idealer Gase, Kinetik derselben	386
87. Die kinetische Theorie der spezifischen Wärmen fester Körper aus der kinetischen Potentialtheorie, Kritik der kinetischen Theorie	406
88. Kinetik der Moleküle	410
89. Transport von bestimmten Größen (Impuls oder Energie)	412
90. Diffusion und Wärmeleitung	418
91. Theorie der von der kinetischen Gleichung (Schubkraft)	424
92. Bewegung von Gasen durch Kapillaren, Poisson'scher Bewegung	430
93. Bewegung von Gasen durch Kapillaren, Kinetik der Bewegung von der Kinetik modell	432
94. Bewegung von Gasen durch Kapillaren, Kinetik der Molekülbewegung . .	441

Neuntes Kapitel.

Energie und Wahrscheinlichkeit.

95. Das kinetische Modell	446
96. Beweis der kinetischen Veranschaulichung und des Aggregatzustands- theorems	456
97. Das H-Theorem; Quantentheorie von der kinetischen Gleichung und der Kinetik .	471
98. Thermodynamik der Wahrscheinlichkeit, Kinetik und statistische Mechanik .	473
99. Wahrscheinlichkeit oder Potentialtheorie, Kinetik der Moleküle	480

Zehntes Kapitel.

Statistische Methode.

100. Allgemeine Gleichungstheorie, der Zufalls- und der Methode der statistischen Mechanik	478
101. Die Hamilton'schen Gleichungen der Bewegung	478
102. Phasenraum, Phasenpunkt, Phasenfläche, Lagrange'scher Satz	482
103. Hamilton'sche Gleichungen	482
104. Bewegung von bestimmten Molekülen und Systemen der kinetischen Gleichung .	486
105. Die statistische Methode und die kinetische Gleichung nach Gibbs	488
106. Kinetik der kinetischen Gleichung, Kinetik der kinetischen Gleichung	494
107. Zustandsgleichung idealer kinetischer Gase	496
108. Die Aggregatzustandsmodell, die Theorie der spezifischen Wärmen	500
109. Die kinetische Theorie der Bewegung in der kinetischen Veranschaulichung . .	510
110. Die kinetische Theorie, die physikalische Bedeutung der Größe T	512
111. Das Maxwell-Boltzmann'sche Geschwindigkeitsverteilungsgesetz	517
112. Kinetik und thermodynamische Wahrscheinlichkeit, kinetische D. Funktion .	520
113. Theorie der kinetischen Gleichung in kinetischen Lösungen	522
114. Theorie der kinetischen Gleichung in Gasen und Lösungen	527
115. Theorie der kinetischen Gleichung	548
116. Wahrscheinlichkeit des Prozentsatzes nach H. Art nach der kinetischen Theorie .	551

III. Kapitel.

Das Eingreifen der Quantität.

	Seite
103. Von Bestimmung der isothermen Verteilung,	303
104. Die Energieaufnahmefähigkeit von Flüssigkeiten	308
105. Die Wärmeinhaltstheorie des spezifischen Wärmes bei Körpern	311
106. Veranschaulichung der Ritzsch'schen Theorie durch Beispiele	313
107. Die spezifische Wärme der Gase	315
108. Die Größe der molekularen Trägheitsmomente	318
109. Die chemische Konstante und die Molekularkonstante	321
110. Direkte Bestimmung der Molekularkonstante eines unatomischen Gases	323
111. Die Bestimmung der spezifischen Gaseigenschaften	325
112. Die Bestimmung der Gaseigenschaften des Stickstoffs	327

den Grad der Warmheit. Noch stärkeren Zweifeln unterliegt auch, wenn man zwei warme Körper nicht gleichzeitig oder unmittelbar nacheinander, sondern in längeren Zeitabständen auf der Reihenfolge in der Skala der Warmheit untersucht, man muß sich dann auf die Erinnerung verlassen und ist in den wenigsten Fällen in der Lage, die richtige Urteil zu fällen. Wenn auch zuzugeben ist, daß manche Menschen durch tägliche Übung einen verhältnismäßig großen Uebl von Sicherheit im Beurtheilen des Wärmegrades erwerben können (der für einige praktische Zwecke völlig ausreichend sein mag), so genügt dies doch nicht, um die geschilderte Art der Messung zu einer wissenschaftlich brauchbaren zu machen. Wir bedürfen dazu eines von Menschen und seinen Empfindungen unabhängigen Instrumentes.

Um uns diesen zu verschaffen, müssen wir folgendermaßen vorgehen: Wir setzen ein und dasselbe Körper nacheinander in Zustände bringen, die — nach dem Theorem beurteilt — verschiedenen Graden der Warmheit entsprechen. Dies ist erfahrungsgemäß stets zu erreichen. Z. B. können wir den gerade betrachteten Körper der Reihe nach in Eider von schwachem Eis, schmelzendem Schnee und kochendem Wasser tauchen. Nachdem der Körper hinlänglich lange Zeit in einem der Eider gewesen ist, urtheilen wir nach unserem Theorem, daß der Körper entweder mit schmelzendem Eis oder Schnee oder kochendem Wasser gleich warm geworden ist. Durch geistig gewählte, zwischen den obigen Wärme-graden liegende Eider kann man es so erreichen, daß der Körper nacheinander eine große Reihe von Zuständen annimmt, die verschiedenen Graden der Warmheit entsprechen. Wir können nun feststellen, daß gleichzeitig mit Änderung des Grades der Warmheit an dem betrachteten Körper gewisse Veränderungen vor sich gehen. Z. B. ändert sich das Volumen meistens in dem Sinne, daß es mit wachsendem Wärmegrade zunimmt; ferner ändert sich der scheinbare Widerstand des Körpers, die Elastizitätsschale reläset, andere Werte an u. s. w. Wir müssen nun, um zu einem wissenschaftlich brauchbaren Maße des Wärmegrades zu gelangen, voraussetzen, daß die beobachteten Veränderungen in eindeutiger Weise mit dem veränderten Wärmegrade verknüpft sind. Dann können wir eine beliebige der genannten Änderungen der Körper-eigenschaften zur eindeutigen Charakterisierung des Wärmegrades benutzen. Ende der Körper z. B. bei Wärmeähnlichkeit mit schmelzendem Eis das Volumen V_0 , bei Wärmeähnlichkeit mit schmelzendem Schnee das Volumen V_1 , so können wir die Volumenzunahme $(V_1 - V_0)$ des Körpers zur quantitativen Charakterisierung des Wärmegrades des Körpers benutzen. Insofern, wenn der betreffende Körper die Volumenvermehrung $(V_1 - V_0)$ erfährt, hat er den gleichen Wärme-grad wie schmelzendes Eis. Eine beliebigen Volumenvermehrung $V - V_0$ entspricht also auch Wärmeähnlichkeit mit einem ganz bestimmten Eide. Stattdes hätten wir auch das Volumen V selbst zur Bestimmung des

Wärmegrad nehmen können, ebenso die relative Wärmegradveränderung aus.

Nachdem wir so an einem Körper durch seine Volumenänderung einen Wärmegrad zu charakterisieren gelernt haben, können wir diesen „geschickten“ Körper dann benutzen, auch den Wärmegrad beliebiger anderer Körper zu bestimmen. Wir bringen dann den geschickten Körper, den wir ein „Thermometer“ nennen, mit dem zu untersuchenden in direkte, möglichst innige Berührung. Was haben wir was schon vorher auf die Erfahrung berufen, daß zwei in Kontakt befindliche Substanzen schließlich den gleichen Wärmegrad erhalten. Dagegenwoll beachten wir, daß, sobald das Thermometer mit dem zu untersuchenden Körper in Verbindung gebracht worden ist, sowohl das Thermometer, als auch der Körper Volumenänderungen zeigen. Es ist dabei sehr wichtig, zu beachten, daß die Volumenänderungen der beiden in Berührung befindlichen Körper das entgegengesetzte Vorzeichen haben. Nimmt das Volumen des „Thermometers“ zu, so nimmt das des zu messenden Körpers ab, und umgekehrt. Im ersten Falle wird also das Thermometer wärmer, der zu messende Körper kälter, im zweiten Falle ist es genau umgekehrt. Der Wärmegrad des einen Körpers nimmt also ab, der des anderen zu: die beiden Substanzen stehen im „Wärmegleichgewicht“. Nach einer hinreichend langen Zeit sind jedoch beide Volumina, sowohl das des Thermometers, als das des zu messenden Körpers, konstant geworden. Wir können also sagen, daß der Wärmegrad beider Substanzen sich nicht mehr ändert: der „Wärmegleichgewicht“ hat eingekehrt, und die beiden Körper stehen jetzt im „Wärmegleichgewicht“. Lassen wir jetzt am Thermometer die Volumenänderung ab, die nach dem Dilemma ersten Instrumentes Wärmegrade entspricht, so bestimmt diese gleichzeitig den zugehörigsten Wärmegrad des mit dem Thermometer im Wärmegleichgewicht befindlichen zu messenden Körpers.

Wie können nun die üblichen Bezeichnungen sein. Wenn zwei Körper im Wärmegleichgewicht sind, so sagen wir: „beide Körper haben den gleichen Temperatur“. Indem wir also unser Thermometer der Reihe nach mit den verschiedensten Körpern im Wärmegleichgewicht bringen, können wir allen diesen Körpern im Wärmegleichgewicht das bestimmte Temperatur zuschreiben, die gemessen wird durch die Volumenänderung des mit der Substanz im Kontakt befindlichen Thermometers. Die so bestimmte Temperatur mißt den Grad der Wärmeheit der Körper, und das Thermometer ist das wissenschaftliche Instrument, das an Stelle unseres „Wärmesinn“ getreten ist.

Damit dem schon eingeführten Begriffe „Temperatur“ bzw. „Wärmegleichgewicht“ eine verständige physikalische Bedeutung zukommt, muß aber noch eine weitere Bedingung erfüllt sein: Es sei nämlich das „Thermometer“ gleichzeitig sowohl mit einem Körper A , als auch mit einem Körper B im Wärmegleichgewicht. Die Frage ist dann, ob die beiden Körper A und B auch unter sich im Wärmegleichgewicht stehen,

d. h. gleiche Temperatur haben. Ob diese Forderung in der Natur für das Gleichgewicht der Wärme erfüllt ist oder nicht, kann nicht a priori geschlossen, sondern nur durch das Experiment entschieden werden. Dieses entscheidet allerdings nicht in bejahendem Sinne, so daß wir behaupten können: Wenn ein Körper gleichzeitig mit zwei andern im Wärme-Gleichgewicht steht, so stehen die beiden letzteren erfahrungsgemäß auch unter sich im Wärme-Gleichgewicht.⁴⁾

Oftentimes wäre unsere Temperatur-Eigenschaft richtig, wenn sich nicht diese Forderung immer erfüllt ergiebt.

Die praktische Ausdehnung des Thermometers ist etwa die folgende. Eine Glasröhre mit auskühlenden Kapillare ist mit Quecksilber gefüllt, das zum Teil in die Kapillare hinragt. Dem Körper bringen wir zunächst in schmelzendes Eis und markieren die Stelle der Kapillare, bis es dar durch das Hg-Volumen reicht. Diese Marke nennen wir den „Eispunkt“ des Thermometers. Ferner tauchen wir das Thermometer im Atmosphärendruck in kochendes Wasser, verschieben die Hg-Volumen entsprechend. Wir erhalten dann eine zweite Marke, die der „Siedepunkt“ des Instruments heißt. Die Strecke zwischen Eispunkt und Siedepunkt teilen wir willkürlich in hundert vorläufige Teile und setzen die Teilung in gleicher Weise nach oben und unten fort. Jedes Teilstrich entspricht dann eine bestimmte Temperatur des Thermometers, beziehungsweise des mit ihm im Wärme-Gleichgewicht befindlichen Körpers. Bezeichnen wir die Temperatur des Eispunktes durch 0 Grad (°), die des Siedepunktes durch 100°, so haben wir damit die hundertsteilige Skala eingeführt, die Celsius vorgeschlagen hat. Obenhalb und unterhalb der Eispunkte wird die Teilung weitergegriffen festgesetzt; unterhalb der Temperatur des Eispunktes werden die Temperaturen negativ gezählt.

Die so definierte Temperatur in Celsiusgraden ist leichter willkürlich, als die thermometrische Schwere-Quecksilber-gradzahl selbst haben. Würden wir statt dessen Alkohol genommen haben und bei andern genau so verfahren sein, so hätten wir auch auf der Skala dieses Thermometers

⁴⁾ Daß der obige Satz tatsächlich nur die Erfahrungsgesetz ist, zeigt sich wohl am besten durch einen Vergleich mit dem elektrischen Gleichgewicht. Man kann nicht schließen, wenn ein Körper A mit zwei Körpern B und C im elektrischen Gleichgewicht steht, daß dann auch B und C im elektrischen Gleichgewicht stehen werden. Man ist im allgemeinen noch nicht mehr der Zeit, sondern nur bei den sog. Leitern erster Klasse. Das Folgende Gesetz der Spannungseigenschaft spricht eben gerade diese Bedingung für Leiter erster Klasse aus. Der Sachverhalt aber vollkommen andern, wenn man einen Leiter zweiter Klasse, einen Elektrolyten, mit in Betracht zieht. Wenn der Elektrolyt kann mit zwei Leitern erster Klasse, z. B. Cu und Zn, im elektrischen Gleichgewicht sein, die beiden Leiter erster Klasse sind dann aber untereinander nicht im Gleichgewicht, sondern es entsteht eine Bewegung der Elektrolyt, ein elektrischer Strom. Man sieht also, daß aus dem Begriff des Gleichgewichts der in Rede stehende Satz nicht gefolgert werden kann.

den Abstand der beiden Fixpunkte in hundert gleiche Teile zu teilen. Vergleicht man nun die Angaben des Quecksilber- und Alkoholthermometers miteinander, so stimmen sie — ihrer Herstellung gemäß — an den Fixpunkten übereinstimmen. Aber sie werden im allgemeinen bei keiner dazwischenliegenden Stelle gleich zeigen. Denn wenn wir die Temperatur durch das Hg-Thermometer messen, so ist wegen der Teilung des Intervalls zwischen Fixpunkt und Siedepunkt in hundert volumengleiche Teile die Volumänderung des Hg pro Grad konstant, d. h. das Volumen des Hg ist eine lineare Funktion der Temperatur, wenn diese durch das Hg-Thermometer gemessen wird. Ebenso ist die Ausdehnung des Alkohols pro Grad konstant, wenn die Temperatur durch das Alkoholthermometer abgelesen wird. Wird aber die Ausdehnung des Hg mit dem Alkoholthermometer oder die des Alkohols mit dem Hg-Thermometer bestimmt, so liegt natürlich gar kein Grund vor anzunehmen, daß Alkohol sich gleichmäßig mit der „Hg-Temperatur“ ausdehnt und umgekehrt. Im allgemeinen werden also die Angaben der beiden Thermometer nur an den Fixpunkten übereinstimmen, im übrigen aber (wenn auch vielleicht, was hinsichtlich der Fall ist, wenig) abweichen.

Hier zeigt sich besonders deutlich die Willkür und das Unbedingende, das unserer Temperaturskala anhaftet. Je nach der Wahl der thermometrischen Substanzen erhalten wir eine verschiedene Temperaturskala, von denen keine vor der anderen grundsätzlich bevorzugt ist. Vorläufig müssen wir diesen Unbestand mit in das Kind nehmen und nennen die so definierte Temperatur, um sie von der später einzuführenden exakten Temperaturskala zu unterscheiden, die der zweite Hauptsatz der Wärmelehre (Kap. III, Nr. 10) vermittelt, die „empirische Temperatur“. Wir denken uns im folgenden, nach wie es nicht besonders hervorzuheben ist, die empirische Temperatur stets durch eine und dieselbe Thermometersubstanz definiert, so daß sie ein Zweifels auftreten kann, was unter Temperatur gemeint ist.

2. Wärmesog; spezifische Wärme.

Gerne tauschen Sie mit uns über der Einführung des Begriffes der Temperatur noch die Aufstellung eines weiteren Begriffes aus. Wir bringen an folgendes ganz konkrete Experiment an. Wir erhitzen der Reihe nach Stücke gleicher Masse (M) aus verschiedenen Material (Fe, Cu, Al, ...) in siedendem Wasserdampf auf 100°C . Jedes dieser Stücke bringen wir dann in ein Wasserbad, etwa von der Temperatur 20° ; jedes Wasserbad enthält etwa 10 Gramm Wasser. Wir warten dann ab, bis Wärmegleichgewicht zwischen dem jeweiligen Bade und dem hineingeworfenen Körper besteht, was dann erkannt wird, daß die Länge des Hg-Fadens desjenigen Thermometer sich nicht mehr ändert. Man liest dann an diesem Thermometer die dem jeweiligen Endzustand ent-

stehenden Temperaturen ab. Man findet, daß diese Endtemperaturen, auf die sich jeder Körper versetzt mit dem zugehörigen Wasserbade einstellt, nicht gleich sind, obwohl die Anfangstemperaturen der Körper und des Wasserbades und die Massen der Körper und Wasserbäder in allen Fällen gleich waren. Die Endtemperatur hängt also unter sonst gleichen Umständen noch von dem Material der in das Bad gemischten Stücke ab.

Die Beobachtung, daß jeder Körper und das umgebende Wasserbad sich auf eine gemeinsame Endtemperatur einstellen, die zwischen den Anfangstemperaturen liegt, legt uns die Auffassung nahe, daß in dem geschilderten Experiment ein gewisses Quantum Wärme von dem heißeren Körper auf den kälteren übergeht, womit eine Temperaturerhöhung des heißeren und eine Temperaturerniedrigung des kälteren verbunden ist, bis bei Erreichung des Wärme-Gleichgewichts der Wärmeübergang aufhört. Je mehr Wärme von dem einen Körper auf den andern übergeht, um so stärker wird die Temperaturerhöhung des wärmeren und die Temperaturerniedrigung des kälteren sein. Diese Auffassungswelse führt uns folgerichtig dazu, weiter zu behaupten, daß im obigen Experimente die im Wasser gemischten Stücke verschiedene Mengen von Wärme an die Wasserbäder abgeben, da deren Temperaturerhöhungen verschieden sind. Ersetzen wir die Wasserbäder zuerst etwa durch Alkoholbäder (oder durch irgendeine andere Substanz) und wiederholen wir jetzt das Experiment unter im übrigen gleichen Bedingungen, so beobachten wir wieder eine Verschiedenheit der schließlichen Temperaturerhöhungen der Bäder, und ferner sind auch die Temperaturänderungen, die durch einen und denselben Körper in verschiedenen Bädern erzeugt werden, verschieden.

Der hier eingeführte Begriff der „Wärmemenge“ wird erst dann ein wissenschaftlich faßbarer, wenn die Wärmemenge eine exakt meßbare Größe ist. Nun schließen wir, *ceteris paribus*, daß die auf einen Körper zugegangene Wärmemenge um so größer ist, je größer die dadurch bewirkte Temperaturerhöhung ist; wir werden daher die auf einen Körper zugehende (oder von ihm abgegebene) Wärmemenge Q proportional der Temperaturdifferenz zwischen Anfang und Ende dieses Wärmeüberganges setzen. Aber da wir im letzten Experimente sahen, daß die Temperaturerhöhung auch vom Material abhängt, insofern verschiedene Bäder unter gleichen Umständen verschiedene Temperaturerhöhungen annehmen, so muß der Proportionalitätsfaktor ebenfalls vom Material abhängen. Endlich hängt die Endtemperatur auch noch ab von der Masse des Bades, indem ein Versuch uns zeigt, daß eine doppelte oder dreifache Masse des Wasserbades die unter gleichen Bedingungen erzeugte Temperaturerhöhung auf die Hälfte oder ein Drittel reduziert. Daraus folgt also, daß der erwähnte Proportionalitätsfaktor auch von der Masse des Bades

proportional sein muß. Allen Ergebnissen des Experimentes werden wir gerecht, indem wir die Wärmemenge Q , die eine Substanz von der Masse m aufnimmt (oder abgibt), wenn ihre Temperatur θ sich um $\Delta\theta$ ändert, gleichsetzen:

$$(1) \quad Q = c m \Delta\theta,$$

wo c der erwähnte Materialfaktor ist, der die „spezifische Wärme“ der Substanz genannt wird.

Nach (1) ist die Einheit der Wärmemenge diejenige, die eine Substanz von der Masse eines Gramms und von der spezifischen Wärme $c=1$ bei einer Temperaturerhöhung um 1°C aufnimmt: die Größe dieser Einheit stellt sich in unseren Tabellen heraus, als wir vollständig eine Substanz herangezogen kennen, deren spezifische Wärme wir gleich 1 setzen. Denn es gibt offenbar keine Methode, c zu bestimmen, solange wir nicht eine von Gleichung (1) unabhängige Definition von Q besitzen, und umgekehrt keine Methode, um Q zu messen, solange wir nicht c kennen. Als Normalsubstanz, deren spezifische Wärme gleich 1 gesetzt wird, hat man Wasser gewählt. Dabei ist jedoch noch ein einschränkender Zusatz notwendig, weil die spezifische Wärme im allgemeinen von der Temperatur abhängen kann und tatsächlich abhängt.¹⁾ Man wählt als Wasser von einer Ausgangstemperatur von $14,5^\circ\text{C}$. Die Einheit der Wärmemenge ist also diejenige, die 1 g Wasser von der Temperatur $14,5^\circ\text{C}$ auf $15,5^\circ\text{C}$ erhitzt; sie heißt eine „Kalorie“.

Statt dessen nennt man auch oft Kalorie diejenige Wärmemenge, die 1 g Wasser von 0° auf 1° erwärmt; diese „Nullpunktikalorie“ ist um etwa $0,001$ kleiner als die „Zimmertemperaturkalorie“; wir benutzen die letztere Definition, weil diese Kalorie sehr experimentell genauer herstellbar ist als die Nullpunktikalorie. Endlich stellt man unter dem Namen „große Kalorie“ den abgemessenen „kleinen“ die Wärmemengen gegenüber, die die entsprechende Temperaturerhöhung von 1000 g Wasser hervorbringen. Bevor wir zu einer Messung der spezifischen Wärme gehen können, müssen wir uns aber die Dimensionen derselben klar werden. Diese ist durch die Definitionsgleichung festgelegt, also durch Gleichung (1). Wählen wir in (1) die Masse m und die Temperaturdifferenz $\Delta\theta=1$, so wird $c=Q$, d. h. die spezifische Wärme ist diejenige Wärmemenge, die man einem Körper von der Masse 1 g zuführen muß, um seine Temperatur um 1° zu erhöhen. Die spezifische Wärme ist also von der Dimension:

$$[c] = \frac{\text{Wärmemenge}}{\text{Masse Grad}}.$$

¹⁾ Daher wird, wenn $\Delta\theta$ ein endliches Temperaturintervall ist, durch Gl. (1) nicht die wahre, sondern nur eine mittlere spezifische Wärme definiert; die wahre spezifische Wärme ist also zu bestimmen nach der Gleichung:

$$(1a) \quad c = \frac{1}{m} \left(\frac{Q}{\Delta\theta} \right).$$

Wir können — vorläufig wenigstens — weder Wärmemengen noch Temperaturen durch die absoluten Einheiten der Masse, der Länge und der Zeit ausdrücken. Wir sind vielmehr genötigt, sowohl die Einheit der Wärmemenge, d. h. die Kalorie, als auch die Einheit der Temperatur, d. h. den Celsiusgrad, als neue Einheiten zu benutzen. Demgemäß schreibt sich die spezifische Wärme nun durch die Einheiten:

$$(11) \quad [c] = \frac{[\text{cal}]}{\frac{[\text{g}]}{[\text{cm}^3]} \cdot [^\circ\text{C}]}.$$

Nun ist es im Prinzip leicht möglich, die spezifischen Wärmen der festen Stoffe zu bestimmen. Man erhitzt den zu untersuchenden Körper, der die Masse M , die spezifische Wärme c habe, auf die Temperatur θ_1 , und bringt ihn dann in ein Wasserbad von $14,5^\circ\text{C}$, dessen Masse m so bestimmt wird (nur durch Vorversuche zu erreichen ist), daß die Temperaturerhöhung innerhalb des Intervalls von $14,5$ bis $18,5^\circ\text{C}$ sich hält. Die gemessene Endtemperatur sei θ_2 . (Sind obige Messungen nur auf etwa 1% genau, so sind Ausgangstemperatur und Ausdehnung des Temperaturintervalls gleichgültig.) Der zu untersuchende Körper hat dann die Wärmemenge abgegeben:

$$(12) \quad M \cdot c \cdot (\theta_1 - \theta_2);$$

das Wasser hat aufgenommen die Wärmemenge:

$$(13) \quad m \cdot 1 \cdot (\theta_2 - 14,5);$$

also muß die Gleichung bestehen:

$$(14) \quad M \cdot c \cdot (\theta_1 - \theta_2) = m \cdot (\theta_2 - 14,5),$$

woraus sich c ergibt. Diese Methode heißt die „Mischungsmethode“. Dabei ist natürlich vorausgesetzt (wie bei den sonstigen hier erwähnten Experimenten), daß keine Wärme nach außen abgegeben wird, und daß keine anderen Substanzen bei dem Vorgange beteiligt sind als die genannten. Das ist freilich experimentell nicht streng zu bewerkstelligen; es müssen also Bruchteil der Korrekturen angebracht werden, auf die wir hier nicht eingehen, da es uns hier nur auf das Grundsätzliche ankommt.

Die spezifische Wärme von Flüssigkeiten bestimmt man am einfachsten folgendermaßen: Man löst eine bestimmte Wärmemenge einmal einer gegebenen Menge m Wasser zu, ein zweites Mal einer Menge M der zu untersuchenden Flüssigkeit. Ist dann die beim Wasser eintretende Temperaturerhöhung $\Delta\theta_1$, bei der Flüssigkeit $\Delta\theta_2$, so haben wir, wenn c wieder die spezifische Wärme der Substanz bedeutet, die Gleichung:

$$(15) \quad M \cdot c \cdot \Delta\theta_2 = m \cdot \Delta\theta_1,$$

wodurch c bestimmt ist.

festen und flüssigen Stoffe als außerordentlich klein; darauf werden wir später zurückzukommen haben.

Tabelle:

Stoff	aus gr.-grad	Stoff	aus gr.-grad	Stoff (Chem.)	γ	$\frac{\gamma}{\gamma_0}$
Al.	0,25	Kalkenstein	0,366	Lein . . .	0,2328	1,4018
Fe.	0,208	Wasserd.	0,2847	O ₂	0,2175	1,358
Sn.	0,158	Quarz . . .	0,180	N ₂	0,2448	1,41
Ag.	0,222	Steinsalz . .	0,218	H ₂	1,6000	1,000
Cl.	0,288	Marmor . . .	0,268	Hg-Dampf	0,2245	1,387
Ga.	0,281	Eis	0,38	He	1,2854	1,387
Si.	0,154	Kronglas . .	0,183			
Pb.	0,208	Flusssalz . .	0,117			
Ba.	0,226	Hg	0,222			

Zweites Kapitel. Theorie der Wärmeleitung.

§. Der Begriff der Wärmeleitung und des Wärmetransport.

In den vorhergehenden Kapiteln haben wir uns wiederholt auf die Erfahrungstatsachen berufen, daß — wie wir nun sagen können — zwei verschieden temperierte Körper bei Berührung in einem Wärmetausch treten, der so lange andauert, bis die beide Körper auf derselben Temperatur befinden. Der eine Körper nimmt dabei die Wärme auf, die der andere abgibt. Schaltet man, statt die beiden Körper direkt zur Berührung zu bringen, einen beliebigen andern materiellen Körper zwischen sie, so daß dieser mit den beiden verschieden temperierten Substanzen in Kontakt ist, so erfolgt der Wärmetausch gleichfalls, und zwar unter Vermittlung des dazwischen geschalteten Körpers, in dem dann Temperaturdifferenzen entstehen. Der Vorgang kommt erst dann zu Ende, wenn alle drei Körper auf derselben Temperatur eingelegt sind. In diesem Falle wird die Wärme von dem höher temperierten durch die Vermittlungsdistanz dem niedriger temperierten „zugeleitet“, und man nennt daher die Art des hier vorhandenen Temperaturgleiches durch Vermittlung materieller Körper „Wärmeleitung“. Die spezielle Art des Prozesses, z. B. der schärfste Verlauf der Temperaturänderung an jeder Stelle, in Abhängigkeit von den Materialkonstanten und unter gegebenen äußeren Bedingungen bildet den Inhalt der von Fourier begründeten Theorie der Wärmeleitung.

Es sei gleich hier bemerkt, daß es noch andere Arten des Temperaturgleiches gibt, die als „Wärmestrahlung“ und „Wärmetranspiration“ bezeichnet werden. Erstere kann rein betrachtet werden, wenn man zwei verschieden temperierte Stoffe getrennt voneinander in ein Vakuum bringt; dann erfolgt, obwohl keine Materie die Vermittlung übernehmen kann, dennoch der Temperaturgleich. Wie wir später sehen werden, gehen Wellen von dem schärferen Körper aus, die sich durch das Vakuum fortbewegen. Ihre Behandlung gehört teils in die Optik, teils in die Thermodynamik, wir kommen an geeigneter Stelle darauf zurück. Wir müssen hier schon Erwähnung tun, da die Strahlung sich als ganz verschieden hält und daher stets mit berücksichtigt werden muß.

Unter Konvektion versteht man die Fortführung des Wärmegleiches mit dem materiellen Träger desselben. Befindet sich ein

lufttransportierter Körper z. B. in Luft, so streicht er zunächst die anliegende Schicht der Luft; diese wird dadurch spezifisch kühler als die umgebende Luft, erfährt daher einen Auftrieb und wird an andere Stellen des Raumes transportiert, wobei ihre Stelle von kühler Luft wieder eingenommen wird. So erfolgt ein warmer Körper durch die Fortbewegung der Luft gleichfalls Wärmeverförm, die ebenfalls ganz ausgeschlossen werden können. Freilich bekamen wir an dieser Stelle keinen genauen Einblick auf das Detail der Wärmeabstrahlung und der Konvektion, da wir uns nur bemühen, damit zu beschäftigen haben, als sie das reine Phänomen der Leitung überlagern. Wir lassen dieser Sichtung durch einen reinen mechanischen Ansatz Rechnung, was für unsere vorläufigen Zwecke genügt.

Die Wärme verhält sich bei allen Leitungsprozessen — was ja schon durch die einfachen im Vorhergehenden besprochenen Versuche nahegelegt wird —, als ob es eine unzerstörbare Flüssigkeit wäre, die vom wärmeren Körper zum kühleren fließt, sich dabei nur ausdehnt und verformt, aber ihre Gesamtmenge nicht ändert. Diese Auffassung reicht keineswegs hin, um alle Erscheinungen der Wärme zu erklären; im Gegenteil werden wir bald im zweiten Kapitel Teile kennen lernen, in denen Wärme erzeugt oder zerstört wird. Für die Theorie der Leitung aber reicht diese Hypothese hin und ermöglicht die einfachste Darstellungsform, so daß auch wir es vorläufig machen wollen. In dieser Auffassung ist also Wärmeleitung nichts anderes als Strömung einer Flüssigkeit, und wir werden daher naturgemäß an manche Begriffe aus der Hydrodynamik anschließen haben.

Wir denken uns nun einen beliebigen Körper, der von Wärme durchströmt wird. Die Strömung einer Flüssigkeit an einer bestimmten Stelle ist offenbar vollkommen bestimmt, wenn unsre die Richtung des Stromes und zweitens die Menge der Flüssigkeit gegeben ist, die durch einen zur Richtung senkrechten Querschnitt an der betrachteten Stelle strömt. Die Wärmeströmung hat also — wie jede Strömung — die Eigenschaften eines Vektors. Wir wollen nun den folgenden Vektor einführen, den wir \mathbf{j} nennen: Sein absoluter Betrag $|\mathbf{j}|$ sei gleich der Wärmemenge, die pro Sekunde durch die senkrecht zur Richtung des Wärmestromes stehende Querschnittsfläche hindurchströmt, und seine Richtung sei mit der des Wärmestromes identisch. Diesen Vektor \mathbf{j} nennen wir die „Wärmeströmung“ oder die „Strömdichte der Wärme“. Die Komponente j_n der Wärmeströmung nach einer beliebigen Richtung n ist also nach den Regeln der Vektorechnung:

$$(1) \quad j_n = |\mathbf{j}| \cos(\mathbf{j}, n),$$

woraus sich weiter ergibt, wenn wir n der Reihe nach mit der Richtung der x , y , z -Achse zusammenfallen lassen:

$$(2) \quad \begin{cases} j_x = |\mathbf{j}| \cos(\mathbf{j}, x), \\ j_y = |\mathbf{j}| \cos(\mathbf{j}, y), \\ j_z = |\mathbf{j}| \cos(\mathbf{j}, z). \end{cases}$$

Die Indizes dieser Gleichungen stellen dabei offenbar die kartesischen Komponenten der Wärmestromung dar. Durch Erweiterung dieser Gleichungen $\{8\}$ mit $\cos \vartheta$, $\cos \vartheta$, $\cos \vartheta$ und Addition folgt sofort:

$$\{9\} \quad j = |j| = j_x \cos(\underline{j}, x) + j_y \cos(\underline{j}, y) + j_z \cos(\underline{j}, z).$$

Die Gleichungen $\{8\}$ und $\{9\}$ zeigen, wie ein beliebig gerichteter Wärmestrom in seine kartesischen Komponenten zerlegt und aus diesen zusammengesetzt wird.

Wir denken uns jetzt durch einen durchströmten Körper einen beliebigen Querschnitt f gelegt (Fig. 1) und fragen nach der Wärmestromung, die pro Sekunde durch den Querschnittstritt.



Fig. 1.

Zu diesem Zwecke zerlegen wir f in unendlich kleine Elemente $d\mathcal{F}$ und konstruieren zu jedem dieser Elemente $d\mathcal{F}$ den zugehörigen Vektor \underline{j} und die Normale \underline{n} . Die Stromung \underline{j} zerlegen wir nun in zwei Komponenten, eine parallel zu, die also j_n genannt wird, die zweite senkrecht auf \underline{n} , also tangential zu $d\mathcal{F}$, die j_t genannt werde. Nach diese beiden Stromungen j_n und j_t ist die wirklich vorhandene, vollkommen vorhanden, j_n voll parallel dem Flächenelement $d\mathcal{F}$, führt keine Wärme durch $d\mathcal{F}$ hindurch; es kommt also nur Berechnung der pro Sekunde durch $d\mathcal{F}$ hindurchströmenden Wärmemenge nur j_n in Betracht. Diese ergibt sich sofort zu $j_n d\mathcal{F}$, und wenn wir diese Beträge über die ganze Querschnittsfläche f summieren, so erhalten wir ebenso für die gesamte, durch f strömende Wärmemenge pro Sekunde den Wert:

$$\{10\} \quad Q = \sum j_n d\mathcal{F} = \int j_n d\mathcal{F}.$$

Ist die Fläche f geschlossen, in welchem Falle wir sie durch S bezeichnen wollen, und bedeutet \underline{n} die innere Normale derselben, so stellt

$$\{10a\} \quad Q = \int j_n dS$$

die gesamte, durch die geschlossene Fläche S pro Sekunde strömende Wärmemenge dar.

Der Ausdruck $\int \underline{j}_n dS$, der mit einem beliebigen Vektor \underline{j} nach Analogie der letzten Gleichung gebildet ist, wird in der Vektoranalysis

als der „Flu“ des Vektors \mathbf{W} durch die Flache S bezeichnet; der Grund fur diese Bezeichnungsweise ist leicht erkennbar.

Die Warmestromung, die nicht in der Teilzeit dt , sondern im Zeitelement dt einstromt, erhalt man aus Gl. (10) oder (16a) durch einfache Multiplikation mit dem Zeitelement dt und daraus die in einer unendlichen Zeit einstromende Menge durch eine Integration nach der Zeit, was eine weitere Erklrung moglicht.

4. Zusammenhang zwischen Warmestromung und Temperatur.

Wir wollen uns nun eine geschlossene Flache S denken, durch die nach (16a) in der Zeit dt die Warmemenge $Q\,dt = dt \int_S \mathbf{W} \cdot d\mathbf{S}$ einstromt; dies ist — wenn wir naturlich von allen sekundren, z. B. chemischen Prozessen, die dadurch eingeleitet werden konnen, absehen — zur Folge, da der von der Flache S umschlossene Raum τ sich erwarmt. Es ist naturlich nicht unmoglich — da der Warmestrom ganz beliebig sein kann — da die im Raume τ eintretende Temperaturerhohung gleichmaig sein wird, wir werden daher den Raum τ in unendlich kleine Elemente $d\tau = dx\,dy\,dz$ teilen, die die Masse dm haben, und wollen die in einem solchen Volumenelemente erzeugte Temperaturerhohung $d\theta$ setzen. Dann ist an diesem Volumenelement, wenn eine spezifische Warme mit c bezeichnet wird, eine Zufuhr von Warme notwendig, die den Betrag $c\,d\theta\,dm$ hat; wenn wir die Dichte ρ einfuhren, so da die Masse $dm = \rho\,d\tau$ gesetzt werden kann, so ergibt sich bei der einem Volumenelement $d\tau$ zugefuhrte Warmemenge $c\,\rho\,d\tau\,d\theta$, und die gesamte Warmemenge, die dem Raume τ zuechmet, ergibt sich durch Integration uber τ zu: $\int_\tau c\,\rho\,d\theta\,d\tau$, wobei im allgemeinen c und ρ als Funktionen des Ortes anzusehen sein werden. Fur diese mogliche Warmemenge haben wir oben bereits einen andern Ausdruck aufgestellt und durch Gleichsetzung beider und Division mit dt folgt die Beziehung:

$$(17) \quad \int_S \mathbf{W} \cdot d\mathbf{S} = \int_\tau c\,\rho \frac{\partial \theta}{\partial t} d\tau.$$

Dabei haben wir den Differentialquotienten $\frac{\partial \theta}{\partial t}$ mit partiellen Differentialen geschrieben, da θ , wie oben schon bemerkt, im allgemeinen von Punkt zu Punkt variieren wird, hier aber nur die zeitliche anderung an einer bestimmten Stelle, d. h. bei konstanten x, y, z gemeint ist.

In dieser Gleichung steht links ein Oberflachen-, rechts ein Raumintegral, und es liegt nahe, vorzuziehen eine Integralsubstitution, namlich des Gaussischen Satzes, das links stehende Oberflachenintegral ebenfalls in ein Raumintegral uberrufen. Da nach dem Gaussischen Satze (Bd. I, pag. 328) fur einen beliebigen Vektor \mathbf{W} bei nach innen gerichteter Normale die Transformation gilt:

$$(18) \quad - \int_S \mathbf{W}_n\,dS = \int_\tau \operatorname{div} \mathbf{W} d\tau,$$

es folgt durch Anwendung dieses Satzes auf den Vektor \mathbf{j} in Gl. (17) die Beziehung:

$$-\int \operatorname{div} \mathbf{j} \, d\tau = \int \epsilon + \frac{\partial \rho}{\partial t} \, d\tau,$$

oder:

$$(18) \quad \int \left(\operatorname{div} \mathbf{j} + \epsilon + \frac{\partial \rho}{\partial t} \right) d\tau = 0.$$

Diese Gleichung muß für einen beliebigen Raum τ gelten, mag derselbe so groß oder so klein sein, wie er will. Daher kann das Integral nur so zu Null werden, daß der Integrand verschwindet. Denn wären bei einem τ Stellen vorhanden, an denen der Integrand größer als Null ist, und immer solche, an denen er kleiner als Null ist, so daß das Integral durch Kompensation der positiven Beiträge durch die negativen verschwindet, so könnte man das Integral überhaupt auf die positiven Stellen allein anwenden, und dann wäre Gleichung (18), die doch allgemein gelten muß, unangewandt. Dann müßte vielmehr die rechte Seite positiv sein. Also muß stets der Integrand sich annullieren, nämlich stets verschwinden \mathbf{j} und ∂ die Beziehung bestehen:

$$(19) \quad \operatorname{div} \mathbf{j} = -\epsilon + \frac{\partial \rho}{\partial t},$$

die wir außerdem noch in kartesischen Koordinaten schreiben wollen:

$$(20) \quad \frac{\partial j_x}{\partial x} + \frac{\partial j_y}{\partial y} + \frac{\partial j_z}{\partial z} = -\epsilon + \frac{\partial \rho}{\partial t}.$$

Diese Gleichung spricht lediglich aus, daß die gesamte in die Teilmenge fließende Wärmemenge deren Temperatur nach Maßgabe der spezifischen Wärme und der Dichte erhöht.

Natürlich hätte man diese Gleichung durch spezielle Betrachtungen direkt ableiten können, ohne den Gaussischen Satz zu benutzen. Da dabei der physikalische Sinn vielleicht klarer hervortritt, so möge diese direkte Ableitung nochmals mitgeteilt werden; das Prinzip desselben ist bereits im ersten Bande mehrfach (z. B. auf pag. 210) kennen gelernt worden. Diese Ableitung hat dafür den Nachteil, auf ein bestimmtes, z. B. kartesisches, Koordinatensystem angewiesen zu sein, während (19) für alle Koordinatensysteme paßt.

Wir betrachten ein Parallelepiped mit den Kantenlängen δx , δy , δz ; die Kanten sind den Koordinatenachsen parallel. Wir wollen die Wärmemenge berechnen, die pro Zeitelement δt durch einströmt. Wir betrachten zunächst etwa die zwei Flächen von der Größe $\delta y \delta z$, die in Fig. 2 mit den Bezeichnungen (1) und (2) versehen sind; auf beiden errichten wir die nach innen gerichtete Normale. Diese fällt bei der Fläche (1) zusammen mit der positiven x -Richtung, bei (2) ist die diese entgegengesetzt. Die Höhe δ des Parallepipeds habe die Koordinaten (x, y, z) , so daß die Fläche (1) in der Ebene $x = \text{konst.}$, die Fläche (2) dagegen in der Ebene $x + \delta x = \text{konst.}$ liegt. Wir haben jetzt nach (18) die Normalenkomponente von \mathbf{j} in Bezug auf die Flächen (1) und (2) zu bilden,

das ist im ersten Falle \mathbf{j}_n , im zweiten $\mathbf{j}_n = -\mathbf{j}_n$. Es strömt also in der Zeitinheit durch die Fläche (1) die Menge:

$$(15a) \quad \mathbf{j}_n d\mathbf{y} d\mathbf{z},$$

durch (2) dagegen:

$$(16a) \quad \mathbf{j}_{n+1} d\mathbf{y} d\mathbf{z} = -\mathbf{j}_n d\mathbf{y} d\mathbf{z}.$$

Beide ist in (15a) der Index n , in (16a) der Index $n + 1$ angefügt, um darauf hinzuweisen, daß der Wert \mathbf{j}_n in (15a) in der Ebene $x = \text{konst.}$



Fig. 2.

in (16a) dagegen in der Ebene $x + dx = \text{konst.}$ zu bilden ist. Entwickeln wir aus \mathbf{j}_{n+1} nach dem Taylorsche Satze, wobei hierfür dem kleinen Gliede abgerechnet wird, so folgt:

$$\mathbf{j}_{n+1} = \mathbf{j}_n + \left(\frac{\partial \mathbf{j}_n}{\partial x} \right) dx,$$

setzt man dies in (16a) ein und addiert es (15a), so folgt als Wärmemenge $Q^x dx$, die in der Zeit dt durch die Flächen (1) und (2) strömt, der Wert:

$$(17a) \quad Q^x dt = - \frac{\partial \mathbf{j}_n}{\partial x} dx dt.$$

Analog folgt als Wärmemenge in der Zeit dt durch die Flächen $dy dz$:

$$(17b) \quad Q^y dt = - \frac{\partial \mathbf{j}_n}{\partial y} dx dt,$$

durch die beiden Flächen $dx dz$:

$$(17c) \quad Q^z dt = - \frac{\partial \mathbf{j}_n}{\partial z} dx dt.$$

und durch Addition der drei Gl. (17) folgt die ganze während dt in das Parallelepiped einströmende Wärme:

$$(18) \quad Q dt = - \left(\frac{\partial h}{\partial x} + \frac{\partial h}{\partial y} + \frac{\partial h}{\partial z} \right) dx dy dz.$$

Diese Wärmermenge strömt im Volumen $dx dy dz$ die Temperaturveränderung $d\theta$, so daß vermittle spezifische Wärme c und Dichte ρ die nämliche Wärmermenge (18) auch durch

$$(19) \quad \rho c d\theta dx dy dz$$

ausgedrückt werden kann, durch deren Gleichsetzung sich schließlich wieder die Gl. (11) ergibt:

$$(14) \quad - \left(\frac{\partial h}{\partial x} + \frac{\partial h}{\partial y} + \frac{\partial h}{\partial z} \right) = c \frac{\partial \theta}{\partial t}.$$

Will man nach der letzteren Methode die entsprechende Gleichung z. B. für räumliche Polarkoordinaten (r, φ, θ) ableiten, so muß man statt des Parallelepipeds ein geeignetes kugelförmiges Volumenelement betrachten.

4. Beziehung zwischen den Komponenten des Wärmestromes und den Komponenten der Temperaturgradienten.

Mit der Gl. (14) können wir so lange nicht anfangen, als wir nicht noch eine zweite Gleichung hinzubringen können, die physikalisch mit (14) stimmt, durch Eliminieren der Größen i_x, i_y, i_z eine Differentialgleichung für θ allein aufzustellen. Eine solche Gleichung laßt sich in der Tat finden: denn wir haben noch nicht einen Ausdruck gefunden, daß ein Wärmestrom nur dann existiert, wenn Temperaturdifferenzen vorhanden sind. Man kann also schon von vornherein vermuten, daß eine Beziehung zwischen den Komponenten i_x, i_y, i_z des Wärmestromes und den Größen $\frac{\partial \theta}{\partial x}, \frac{\partial \theta}{\partial y}, \frac{\partial \theta}{\partial z}$, die die räumlichen Temperaturänderungen charakterisieren, und eventuell noch höheren Ableitungen, z. B. $\frac{\partial^2 \theta}{\partial x^2}, \frac{\partial^2 \theta}{\partial x \partial y}$ usw., bestehen wird.

Man läßt sich jedenfalls folgendes sagen: Bezeichnen wir die Temperatur in einem Punkte (x_0, y_0, z_0) mit θ_0 , und denken jetzt benachbarte Punkte (x, y, z) ins Auge, so können wir die dort herrschende Temperatur θ in eine Taylor'sche Reihe entwickeln:

$$(20) \quad \left\{ \begin{aligned} \theta &= \theta_0 + \left(\frac{\partial \theta}{\partial x} \right)_0 (x - x_0) + \left(\frac{\partial \theta}{\partial y} \right)_0 (y - y_0) \\ &\quad + \left(\frac{\partial \theta}{\partial z} \right)_0 (z - z_0) + \frac{1}{2} \left(\frac{\partial^2 \theta}{\partial x^2} \right)_0 (x - x_0)^2 + \dots \end{aligned} \right.$$

und wenn wir den betrachteten Bereich, d. h. die absoluten Beträge $|x - x_0|, |y - y_0|, |z - z_0|$ sehr klein wählen, so daß wir hinter den Klammern ableiten können, so ist das Resultat von Gl. (20) in dem Werte vorzugeben, daß der Wärmezustand in der Umgebung

eines Punktes (x, y, z) auswendig ist durch die thermischen Größen $A_x, \left(\frac{\partial \theta}{\partial x}\right)_y, \left(\frac{\partial \theta}{\partial x}\right)_z, \left(\frac{\partial \theta}{\partial y}\right)_x$, die sich sämtlich auf den Punkt (x, y, z) beziehen. Es liegt daher nahe, anzunehmen, daß auch die Größen l_x, l_y, l_z in einem beliebigen Punkte (x, y, z) nur von diesen Größen $\theta, \frac{\partial \theta}{\partial x}, \frac{\partial \theta}{\partial y}, \frac{\partial \theta}{\partial z}$ abhängen, nicht aber von den höheren Ableitungen. Wir können also, indem wir unter F_x, F_y, F_z gewisse Funktionen verstehen, schreiben:

$$(11) \quad \begin{cases} l_x = F_x \left(\theta, \frac{\partial \theta}{\partial x}, \frac{\partial \theta}{\partial y}, \frac{\partial \theta}{\partial z} \right), \\ l_y = F_y \left(\theta, \frac{\partial \theta}{\partial x}, \frac{\partial \theta}{\partial y}, \frac{\partial \theta}{\partial z} \right), \\ l_z = F_z \left(\theta, \frac{\partial \theta}{\partial x}, \frac{\partial \theta}{\partial y}, \frac{\partial \theta}{\partial z} \right). \end{cases}$$

Diese Funktionen wollen wir nach ihrem Argumenten entwickeln, wobei wir wieder hinter den Klammer-Strich setzen, und erhalten dann, wenn die A, B und l_x gewisse Koeffizienten bedeuten:

$$\begin{aligned} l_x &= F_x = A_x + B_x \theta - l_{xx} \frac{\partial \theta}{\partial x} - l_{xy} \frac{\partial \theta}{\partial y} - l_{xz} \frac{\partial \theta}{\partial z}, \\ l_y &= F_y = A_y + B_y \theta - l_{yx} \frac{\partial \theta}{\partial x} - l_{yy} \frac{\partial \theta}{\partial y} - l_{yz} \frac{\partial \theta}{\partial z}, \\ l_z &= F_z = A_z + B_z \theta - l_{zx} \frac{\partial \theta}{\partial x} - l_{zy} \frac{\partial \theta}{\partial y} - l_{zz} \frac{\partial \theta}{\partial z}, \end{aligned}$$

und da, wenn keine räumlichen Temperaturdifferenzen vorhanden sind, d. h. wenn $\frac{\partial \theta}{\partial x} = \frac{\partial \theta}{\partial y} = \frac{\partial \theta}{\partial z} = 0$ wird, nach Aussage der Erfahrung auch kein Verrückten vorhanden ist, so müssen die sämtlichen Koeffizienten A, B gleich Null sein. Wir erhalten also den Ansatz:

$$(12) \quad \begin{cases} l_x = -l_{xx} \frac{\partial \theta}{\partial x} - l_{xy} \frac{\partial \theta}{\partial y} - l_{xz} \frac{\partial \theta}{\partial z}, \\ l_y = -l_{yx} \frac{\partial \theta}{\partial x} - l_{yy} \frac{\partial \theta}{\partial y} - l_{yz} \frac{\partial \theta}{\partial z}, \\ l_z = -l_{zx} \frac{\partial \theta}{\partial x} - l_{zy} \frac{\partial \theta}{\partial y} - l_{zz} \frac{\partial \theta}{\partial z}. \end{cases}$$

Das Vorzeichen ist dabei so gewählt, daß die Koeffizienten l_{xx} , die als die „Koeffizienten der Wärmeleitfähigkeit“ bezeichnet werden, positiv ausfallen, was praktisch bequemer, aber auch in keiner Weise von Bedeutung ist.

Besonders hervorheben wir, daß das Abweichen mit den letzten Gliedern in (12) eine Hypothese ist, deren Berücksichtigung sich nur durch die Übereinstimmung des theoretischen Ergebnisses mit der Erfahrung rechtfertigen läßt. Da dies innerhalb gewisser Grenzen der Fall ist, wollen wir die Gleichungen (12) als hinsichtlich gewisser Ausdruck der tatsächlichen Verhältnisse annehmend annehmen.

Gl. (22) bezieht sich auf den allgemeinsten Körper, der keinerlei Symmetrieverhältnisse aufzuweisen hat. Betrachten wir dagegen einen Körper mit Symmetrien, so werden erhebliche Vereinfachungen eintreten, indem einzelne der Koeffizienten l_{ij} verschwinden oder einander gleich werden. Es liegt hier ein ganz analoges Problem vor, wie beim Hookeschen Gesetz in der Elastizitätstheorie (Bd. I, pag. 335ff.), wo wir durch allgemeine Betrachtungen des Ansatz des elastischen Potentials für den allgemeinsten Körper ohne Symmetrien erhielten, der dann entsprechend dem höhern Grade der Symmetrie immer weiter vereinfacht wurde (Bd. I, pag. 335ff.). Obwohl wir uns im allgemeinen nicht mit den Erweichungen an Kristallen befassen werden, wollen wir uns doch noch einige Augenblicke mit dem allgemeinen Ansatz (22) beschäftigen.

Zunächst ist zu bemerken, daß die Größen $\frac{\partial \theta}{\partial x}, \frac{\partial \theta}{\partial y}, \frac{\partial \theta}{\partial z}$ die Komponenten eines Vektorsind, dessen Betrag gleich $\sqrt{\left(\frac{\partial \theta}{\partial x}\right)^2 + \left(\frac{\partial \theta}{\partial y}\right)^2 + \left(\frac{\partial \theta}{\partial z}\right)^2}$ ist und dessen Richtung diejenige des stärksten Anstieges der Temperatur ist. Wenn wir beschaffene Vektor nennen wir früher (Bd. I, pag. 481) den „Gradienten“ des betreffenden Skalars θ und also $\frac{\partial \theta}{\partial x}, \frac{\partial \theta}{\partial y}, \frac{\partial \theta}{\partial z}$ die Komponenten des Vektors „grad θ “ („Temperaturgradient“). In dieser Schreibweise lautet die Gl. (22):

$$(23) \quad \begin{cases} -l_1 = l_{11} \text{ grad}_x \theta + l_{12} \text{ grad}_y \theta + l_{13} \text{ grad}_z \theta, \\ -l_2 = l_{21} \text{ grad}_x \theta + l_{22} \text{ grad}_y \theta + l_{23} \text{ grad}_z \theta, \\ -l_3 = l_{31} \text{ grad}_x \theta + l_{32} \text{ grad}_y \theta + l_{33} \text{ grad}_z \theta, \end{cases}$$

und man sieht, daß die Komponenten des Vektors $-l$ dargestellt sind als lineare homogene Funktionen der Vektorcomponenten von „grad θ “. Eine solche funktionale Verknüpfung zweier Vektoren haben wir schon früher mehrfach kennen gelernt: bei der Theorie der Trägheitsmomente (Bd. I, pag. 334), bei der Theorie der elastischen Dehnungen (pag. 405), bei der Theorie der elastischen Spannungen (pag. 538). Wir können in der dort eingeführten Schreibweise sagen: „Die Wärmestromung l ist in (23) oder (25) dargestellt als lineare homogene Vektorfunktion des Temperaturgradienten.“

Was nun die Koeffizienten der Wärmefähigkeit selbst angeht, so legt theoretisch kein Grund vor, anzunehmen, daß $l_{12} = l_{21}$ sei, mit andern Worten, daß die lineare Vektorfunktion symmetrisch sei, wie es zum Beispiel bei den Trägheitsmomenten der Fall ist. Aber die Beobachtungen haben bisher ergeben²⁾, daß mit Sicherheit kein Kristall bekannt ist, für den $l_{12} \neq l_{21}$ wäre, obwohl natürlich in Zukunft die Auffindung von solchen

²⁾ Vgl. Merzb. W. Foigt, *Lehrbuch der Kristallographie*, pag. 397. Auf diese fundamentale Werk einer allgemeinen Kristallphysik sei der Leser um so mehr hingewiesen, als hier die Behandlung von Kristallen von Mangel an Raum im allgemeinen grundsätzlich ausgeschlossen werden muß.

Tenoren insbesondere ausgesprochen zu sein braucht. Inwiefern werden wir uns beim späteren Fortschreiten der Forschung erlauben dürfen, von jetzt ab in (22) bzw. in (23):

$$(24) \quad l_{11} = l_{22}$$

zu setzen, so daß die Anzahl der Verrücktheitskoeffizienten sich von 9 auf 8 reduziert. Nun haben wir aber (Ebd. I, pag. 284) bereits gezeigt, daß die 6 Koeffizienten eines symmetrischen linearen Vektorfunktion die Komponenten eines symmetrischen Tensors (zweiten Ranges) bilden, und zwar transformieren sich offenbar l_{11} , l_{22} , l_{33} wie die Quadrate, $l_{12} = l_{21}$, $l_{13} = l_{31}$, $l_{23} = l_{32}$ wie die Produkte von Koordinatendifferenzen. Erstere drei Größen entsprechen also den Trägheitsmomenten, letztere den Deviationsmomenten. Sie bestimmen den Tensor vollständig, damit natürlich auch das „Tensorellipsoid“, das nach dessen Hauptachsen der Größe und Richtung nach. Die Hauptachsen des Tensorellipsoids entsprechen innerhalb des sogenannten „Hauptwertes“ des Tensors, die wir mit l_1 , l_2 , l_3 bezeichnen wollen. Diese bilden im allgemeinen Falle $l_1 \neq l_2 \neq l_3$ ein rechtwinkliges Achsenkreuz, eben das Hauptachsenkreuz des Tensorellipsoids, wo allerdings jede Richtung mit der entgegengesetzten gleichberechtigt ist, wie es im Falle des Tensors liegt. Zeichnen wir uns willkürlich drei Richtungen aus, etwa so, daß die Richtung des Tensorhauptwertes l_1 mit der positiven x -Achse, die von l_2 mit der positiven y -Achse, die von l_3 endlich mit der positiven z -Achse zusammenfällt, und legen wir das Koordinatensystem wieder so, so anzuordnen, wie im I. Buche ausführlich (pag. 285) auseinandergesetzt, die Tensorkomponenten $l_{11} = l_{22}$, $l_{12} = l_{21}$, $l_{13} = l_{31}$ verschwinden, d. h.:

$$l_{12} = l_{21} = l_{13} = 0 \text{ werden.}$$

Nur können es also durch eine spezielle Wahl des Koordinatensystems stets erreichen, daß das Gleichungssystem (22) bzw. (23) die folgende Gestalt annimmt:

$$(24) \quad \begin{cases} -l_1 = l_1 \frac{\partial \theta}{\partial x} = l_1 \operatorname{grad}_x \theta, \\ -l_2 = l_2 \frac{\partial \theta}{\partial y} = l_2 \operatorname{grad}_y \theta, \\ -l_3 = l_3 \frac{\partial \theta}{\partial z} = l_3 \operatorname{grad}_z \theta. \end{cases}$$

Diese Form wollen wir der weiteren Diskussion zugrunde legen.

Die hier gestellten Koordinatensysteme heißen die „Hauptverrücktheitsachsen“; sie entsprechen, wie mathematisch genommen, vollständig den Hauptverrücktheitsachsen eines starren Körpers oder den Hauptelastizitätsrichtungen usw.

Man sieht, daß, wenn man x mit $-x$, oder y mit $-y$, z mit $-z$ vertauscht, die Gleichungen unverändert bleiben, d. h. daß bei dieser

Wahl des Koordinatensystems die Koordinatensystemen Symmetrischen sind in Bezug auf die Wärmeleitung. Wenn wir jetzt aber noch weiter voraussetzen, daß z. B. x mit y vertauscht werden darf, d. h. daß bei einer Drehung um die z -Achse um 90 Grad der Kristall wieder in denselben Lage sein soll, so folgt aus (26):

$$-1 = l_1 \frac{\partial \theta}{\partial y}, \quad -1 = l_2 \frac{\partial \theta}{\partial x}, \quad -1 = l_3 \frac{\partial \theta}{\partial z},$$

und das ist nur dann mit (25) vereinbar, wenn $l_1 = l_2$ angenommen wird. In diesem Falle sind die yx -Ebene und die xz -Ebene „gleichwertige Symmetrieebenen“ (vgl. Bd. I, pag. 258). Kann man wirklich noch x mit z vertauschen, so folgt ebenso $l_1 = l_3$; den gemeinsamen Wert der drei Koeffizienten $l_1 = l_2 = l_3$ wollen wir nun einfach l nennen, und es gehen im Falle der Isotropie die Gl. (26) über in die folgenden:

$$(30) \quad \begin{cases} -1 = l \frac{\partial \theta}{\partial x} = l \operatorname{grad} \theta, \\ -1 = l \frac{\partial \theta}{\partial y} = l \operatorname{grad} \theta, \\ -1 = l \frac{\partial \theta}{\partial z} = l \operatorname{grad} \theta, \end{cases}$$

oder vektoriell geschrieben:

$$(31) \quad -1 = l \operatorname{grad} \theta.$$

Die Tensor mit den drei Hauptwerten l_1, l_2, l_3 degeneriert in diesem Falle in den Skalar l ; dies entspricht formal vollständig z. B. dem Falle, daß die drei Hauptträgheitsmomente eines starren Körpers einander gleich werden.

Aus (27) ergibt sich die folgende physikalische Bedeutung von l : Nehmen wir einen Würfel von einem Zentimeter Seitenlänge, von dem zwei einander gegenüberliegende Flächen die Temperaturdifferenz 1 Grad haben. Dann beträgt der Temperaturgradient, da die beiden Flächen auch um einen Zentimeter absteigen, gerade 1. Folglich wird nach (27) der Koeffizient der Leitfähigkeit gleich l , d. h. gleich der Wärmemenge, die pro Sekunde durch die Fläche von einem Quadratzentimeter strömt. Wir können also sagen: Die Leitfähigkeit l eines isotropen Körpers ist diejenige Wärmemenge, die pro Sekunde durch die Flächeneinheit strömt, wenn der Temperaturgradient den Betrag 1 hat.

Die Gleichungen (14) oder (15) sowie (26) oder die gleichwertige (27) setzen uns nun in den Stand, die Elimination von θ zu vollziehen, d. h. eine Differentialgleichung für θ allein zu bilden.

8. Differentialgleichung der Wärmeleitung; Umstellungen.

Vollziehen wir nun wirklich die besprochene Elimination, so haben wir in (27) nur die Operation „ div “ zu bilden, und dann das Resultat in (14) einzuführen. Es folgt sofort:

$$(85) \quad \operatorname{div} \vec{\beta} \operatorname{grad} \Phi = \kappa \sigma \frac{\partial \Phi}{\partial t},$$

oder, wenn man die Differentiationen ausführt, wobei zu beachten ist, daß Φ im allgemeinen eine Funktion des Ortes sein wird, also ebenfalls zu differenzieren ist,

$$(86) \quad \lambda \operatorname{div} \operatorname{grad} \Phi + \kappa \operatorname{grad} \Phi, \operatorname{grad} \Phi = \kappa \sigma \frac{\partial \Phi}{\partial t},$$

oder endlich, da nach Bd. I [pag. 554, Gl. (37)] $\operatorname{div} \operatorname{grad} \Phi = \Delta \Phi$ ist:

$$(87) \quad \lambda \Delta \Phi + \frac{\partial \Phi}{\partial x} \frac{\partial \lambda}{\partial x} + \frac{\partial \Phi}{\partial y} \frac{\partial \lambda}{\partial y} + \frac{\partial \Phi}{\partial z} \frac{\partial \lambda}{\partial z} = \kappa \sigma \frac{\partial \Phi}{\partial t},$$

die sich im Falle eines durchsichtigen homogenen Mediums, d. h. räumlich konstanten Leitvermögens λ , auf die folgende einfachere reduziert:

$$(88) \quad \frac{\lambda}{\sigma} \left(\frac{\partial^2 \Phi}{\partial x^2} + \frac{\partial^2 \Phi}{\partial y^2} + \frac{\partial^2 \Phi}{\partial z^2} \right) = \frac{\partial \Phi}{\partial t},$$

an die wir hauptsächlich schreyten werden. Man erkennt, daß der ganze Vorgang essentially paribus nur von dem positiven Aggregat $\frac{\lambda}{\sigma}$ abhängt, das wir in leicht verständlicher Weise als „Temperaturleitvermögen“ bezeichnen; wir wollen daher eine besondere Bezeichnung

$$(89) \quad k^2 = \frac{\lambda}{\sigma}$$

einführen.

Denn wir näher auf die Lösungen der Gl. (88) eingehen, wollen wir uns auch mit den Grenzbedingungen beschäftigen, d. h. den Bedingungen, die bei allen Seiten an der Grenze des betrachteten Mediums oder an den Stellen, wo zwei Medien aneinanderstoßen, bestehen müssen. Wir wissen ja schon aus unseren früheren Untersuchungen, z. B. über die adiabatische Seite, daß das Problem erst dann überhaupt bestimmt ist, wenn geeignete Grenzbedingungen zur Differentialgleichung hinzutreten.

Wir wollen zunächst den Fall betrachten, daß zwei Medien, deren thermische Daten wir hier durch die Indizes 1 und 2 auszeichnen wollen, in einer Trennungsoberfläche zusammenstoßen. Dann ist im allgemeinen an beiden Seiten der Trennungsoberfläche die Temperatur dieselbe, d. h. wir haben eine erste Grenzbedingung:

$$(90) \quad \theta_1 = \theta_2.$$

Die Temperatur geht stetig durch die Trennungsoberfläche hindurch. Damit ist es wohl verständlich, daß als Anfangszustand eine unstetige Temperaturverteilung vorausgesetzt werden darf. Werden z. B. zwei Metallstücke, eines von der Temperatur 100° , eines von der Temperatur 0° zur Zeit $t = 0$ zur Berührung gebracht, so existiert an der Trennungsoberfläche zu Beginn offenbar ein Temperatur sprung, der sich durch den Vorgang der Wärmeleitung allmählich selbst ausgleicht.

Um die Grenzbedingung zu finden, der die Wärmeströmung \vec{q} unterworfen ist, betrachten wir ein Stück dS der Grenzfläche (Fig. 3) und konstruieren einen kleinen Zylinder mit dS als Grundfläche und von der Höhe λ , die unendlich klein von höherer Ordnung als dS ist. Die Grundfläche liegt im ersten Medium (links der Trennungsoberfläche), die der Grundfläche gleiche Gegenfläche im zweiten Medium (rechts der Trennungsoberfläche). Die inneren Normale seien n_1 und n_2 ; wir berechnen die Wärmemenge, die von diesem Zylinder pro Sekunde austritt und die gleich



Fig. 3.

der pro Sekunde im Inneren, d. h. in der Trennungsoberfläche, erzeugten Wärmemenge \vec{Q} sein muß. Da bei der Berechnung des Zylinders λ, dS , die unendlich klein von höherer Ordnung als dS ist, vernachlässigt werden kann, so ist die pro Sekunde austretende Menge offenbar:

$$= dS (\bar{q}_n + 1),$$

und dies soll gleich \vec{Q} sein. Im allgemeinen — von elementar singulären Vorgängen (z. B. dem Peltier-Phänomen) abgesehen — kann man annehmen, daß eine Grenzfläche kein Sitz von Wärmequellen ist, so daß die in der Grenzfläche erzeugte Wärmemenge \vec{Q} gleich Null zu nehmen ist. Dann folgt also die Grenzbedingung:

$$\bar{q}_n + \bar{q}_n = 0,$$

wobei die Normale n_1 und n_2 so genommen sind, wie es Fig. 3 anzeigt. Stehen wir aber, wie ebenfalls in der Figur angedeutet, einer Normale n so, daß sie vom ersten Medium zum zweiten weist, so ist $\bar{q}_n = (\bar{q}_n)_1$ und $\bar{q}_n = -(\bar{q}_n)_2$, wenn wir mit \bar{q}_1 die Richtung im ersten, mit \bar{q}_2 die im zweiten Medium bezeichnen, und die obige Gleichung geht dann über in die folgende:

$$(36) \quad (\bar{q}_n)_1 = (\bar{q}_n)_2,$$

die die Stetigkeit der Normalkomponente der Strömung ausdrückt. Setzt man sich (37) — $\bar{q} = l \operatorname{grad} \theta$, also — $\bar{q}_n = l \operatorname{grad}_n \theta$, so folgt aus (36):

$$(38) \quad l_1 \frac{\partial \theta}{\partial n} = l_2 \frac{\partial \theta}{\partial n}.$$

Bei diesen Grenzbedingungen, die sich auf die Trennungsoberfläche zweier aneinander stoßender Medien beziehen, treten nun noch solche, die die

Vorgänge an der Grenze des betrachteten Körpers charakterisieren. Man kann diese Vorgänge in natürliche und künstliche trennen, je nachdem der Zustand an der Grenze sich von selbst einstellt oder durch besondere experimentelle Anordnungen erzwungen werden muß. Die auf diese beiden Fälle sich beziehenden Grenzbedingungen werden durch denselben Symbolen bezeichnet.

Wird die Grenzfläche sich selbst überlassen, so tritt von selbst — infolge der vorhandenen Temperaturdifferenzen gegen die Außenwelt — ein Wärmestrom durch Strahlung, Leitung und Konvektion ein. Man nimmt nach Newton in erster großer Annäherung an, daß dieser gesamte Wärmestrom eines Elementes dS der Oberfläche während der Zeit dt proportional der Größe des Flächenelementes dS , des Temperaturunterschiedes ϑ und der Temperaturdifferenz gegen den Außenraum sei; hat dieser die Temperatur ϑ_0 , und bedeutet k einen Proportionalitätskoeffizient, so ist die Wärmemenge, die durch das Flächenelement dS in der Zeit dt verloren geht (sog. Newtonsches Abhängigkeitsgesetz):

$$k(\vartheta - \vartheta_0) dS dt,$$

und da infolgedessen ein Wärmestrom aus dem Innern zur Oberfläche eintritt, so transportiert dieser in der Zeit dt die Wärmemenge:

$$- \int_S dN dt = + \int_S \frac{\partial \vartheta}{\partial t} dS dt.$$

Beide Ausdrücke gleichgesetzt liefert die Bedingung für eine freie ungeschützte Grenze:

$$(54) \quad k(\vartheta - \vartheta_0) = \frac{\partial \vartheta}{\partial t},$$

oder auch, da die Differenz $\vartheta - \vartheta_0$ durch ϑ bezeichnet werden kann, da ϑ_0 konstant ist und also beim Differenzieren herausfällt:

$$(55) \quad k\vartheta = \frac{\partial \vartheta}{\partial t}.$$

Die Konstante k nennt man den „Koeffizienten des äußeren Leistvermögens“.

Während dies der natürliche Zustand der Grenzfläche ist, können durch experimentelle Anordnungen verschiedene andere Zustände erzwungen werden. Z. B. kann man erzielen, daß an der Oberfläche die Temperatur ϑ konstant oder allgemeiner eine gegebene Funktion der Konstanten und der Zeit ist. Diese künstliche Grenzbedingung würde lauten:

$$(56) \quad \vartheta = \varphi(x, y, z),$$

wobei

$$(57) \quad \varphi = \text{const.}$$

ein Spezialfall ist.

Eine andere künstliche Bedingung kann dadurch eingeführt werden, daß an jeder Stelle der Oberfläche eine bestimmte Wärmemenge pro

Existenz abgeleitet wird, d. h. daß ein zur Oberfläche hin gerichteter Wärmestrom vorhanden sein muß, der diese Fläche deckt. Also ist \mathfrak{h} gleich einer gegebenen Funktion von x, y, z, t , oder auch:

$$(40) \quad \mathfrak{h} \frac{\partial \theta}{\partial n} = f(x, y, z, t).$$

Im besonderen Falle kann $f(x, y, z, t)$ auch den konstanten Wert Null annehmen, so daß keine Wärme durch die Oberfläche abgeführt wird; in diesem Falle nennt man die Oberfläche „adiabatisch isoliert“, und die durch Spezifizierung aus (40) hervorgehende Gleichung

$$(41) \quad \mathfrak{h} \frac{\partial \theta}{\partial n} = 0$$

die „adiabatische“ Bedingung.

Der physikalischen Einteilung in materielle und kinematische Grenzbedingungen tritt eine zweite von analytischen Standpunkte aus gegenüber; wir können unterscheiden zwischen „homogenen“ und „inhomogenen“ Bedingungengleichungen. Homogen heißen diejenigen, in denen kein von θ und seinen Ableitungen freies Glied vorkommt. Demnach sind die Gleichungen (37), (38) und (41) homogene, (39) und (40) inhomogene Grenzbedingungen. Dieser Unterschied spielt bei der Aufstellung allgemeinen Integrale der Wärmeleitungsgleichung eine bedeutende Rolle.

3. Allgemeine über Integrale bei homogenen und inhomogenen Grenzbedingungen; Existenzigkeit der Lösungen.

Bevor wir zum Beweise übergehen, daß bei gegebenen Anfangszustände und vorgeschriebenen Grenzbedingungen die Temperatur durch die Differentialgleichungen selbst diese Bedingungen erfüllende Lösung ist, müssen wir einige Eigenschaften der Integrale unserer Gleichung besprechen, wobei sich ein wesentlicher Unterschied zeigen wird, je nachdem die Grenzbedingungen homogen oder nicht homogen sind.

Bei homogenen homogenen Grenzbedingung, z. B.

$$\mathfrak{h} \frac{\partial \theta}{\partial n} = 0$$

vorgeschrieben, und so seien zwei Lösungen θ_1 und θ_2 der Diffgl. (37) bekannt, die gleichzeitig die geforderte Grenzbedingung erfüllen. Dann gilt also identisch:

$$(42) \quad \begin{cases} \nabla^2 \theta_1 = \frac{\partial \theta_1}{\partial t}, \\ \nabla^2 \theta_2 = \frac{\partial \theta_2}{\partial t}, \end{cases}$$

und

$$(43) \quad \begin{cases} \mathfrak{h} \frac{\partial \theta_1}{\partial n} = 0, \\ \mathfrak{h} \frac{\partial \theta_2}{\partial n} = 0, \end{cases}$$

wobei das doppelte Gleichheitszeichen die strengste Erfüllung andeutet. Wir bilden nun die Differenz oder Summe beider Lösungen und nennen $\phi_1 \mp \phi_2$ abkürzend ϕ . Dann liefert Subtraktion oder Addition von (43):

$$k^2 \Delta \phi = \frac{\partial \phi}{\partial t},$$

ebenso folgt aus (44):

$$i \frac{\partial \phi}{\partial x} = \phi.$$

D.h. aber: Differenz und Summe zweier Lösungen ϕ_1 und ϕ_2 sind selbst wieder Lösungen der Differentialgleichung und der vorgeschriebenen homogenen Grenzbedingung. Dasselbe gilt natürlich auch noch, wenn ϕ_1 und ϕ_2 mit beliebigen Konstanten A und B multipliziert werden, von dem Aggregat $A\phi_1 \pm B\phi_2$.

Wie steht die Sache nun, wenn die Grenzbedingung inhomogen ist? Sie sei z. B.:

$$i \frac{\partial \phi}{\partial x} = f(x, y, t),$$

und es seien wieder zwei Lösungen ϕ_1 und ϕ_2 der Differentialgleichung und dieser Grenzbedingung gegeben. Es gilt dann identisch:

$$(45) \quad \left\{ \begin{array}{l} k^2 \Delta \phi_1 = \frac{\partial \phi_1}{\partial t}, \\ k^2 \Delta \phi_2 = \frac{\partial \phi_2}{\partial t}, \end{array} \right.$$

und

$$(46) \quad \left\{ \begin{array}{l} i \frac{\partial \phi_1}{\partial x} = f(x, y, t), \\ i \frac{\partial \phi_2}{\partial x} = f(x, y, t). \end{array} \right.$$

Bilden wir jetzt Summe und Differenz $\phi_1 \pm \phi_2$, die wir beide wieder ϕ nennen, so genügt ϕ zwar der Diffgl. (45), aber erfüllt nicht mehr die vorgeschriebene Grenzbedingung, sondern eine andere, nämlich

$$(47) \quad \left\{ \begin{array}{l} \phi = \phi_1 + \phi_2 \text{ genügt der Bedingung: } i \frac{\partial \phi}{\partial x} = 2f(x, y, t) \text{ und} \\ \phi = \phi_1 - \phi_2 \text{ genügt der Bedingung: } i \frac{\partial \phi}{\partial x} = 0. \end{array} \right.$$

Dieser letztere Fall ist besonders wichtig; wir sprechen daher unter obigem Vorzeichen noch einmal in spezieller Fassung für die Differenz aus: Die Differenz ϕ zweier Lösungen ϕ_1 und ϕ_2 der Diffgl. (45) bei inhomogener Grenzbedingung ist keine Lösung dieses Problems mehr, sondern eine Lösung der Diffgl. (45) mit entsprechender homogener Grenzbedingung.

Diesem Satze kann man folgende Wendung geben: Da $\phi_2 - \phi_1 = \phi$ gesetzt ist, so können wir schreiben

$$(48) \quad \phi_2 = \phi + \phi_1,$$

d. h., wenn ich zu einem Integral Φ_1 der Diffgl. (31) mit inhomogener Grenzbedingung ein solches Φ hinzufüge, das der homogenen Grenzbedingung entspricht, so bildet die Summe Φ_1 wieder ein Integral der Differentialgleichung bei inhomogener Grenzbedingung. Ist also ein partikulares Integral für die vorgeschriebene inhomogene Grenzbedingung gefunden, so braucht man nur das allgemeine Integral der Differentialgleichung mit homogener Grenzbedingung hinzuzufügen, um das allgemeine Integral der Differentialgleichung bei der vorgeschriebenen inhomogenen Grenzbedingung zu finden. Damit wird sofort auch bei dem Beweise, daß das Problem der Wärmeleitung bei gegebenem Anfangszustand und vorgeschriebenen Randbedingungen durch die Differentialgleichung eindeutig bestimmt ist, d. h. daß keine zwei verschiedenen verschiedenen Lösungen Φ_1 und Φ_2 existieren können.

Zum Beweise müssen wir zunächst zeigen, es seien zwei verschiedenen Lösungen Φ_1 und Φ_2 gefunden; diese genügen dann nach Voraussetzung der Diffgl. (31) und den Nebenbedingungen. Wir wollen etwa festsetzen, daß die Grenzbedingung (32) gelten soll, so daß also:

$$(46) \quad \begin{cases} \frac{\partial \Phi_1}{\partial n} = f(x, y, z), \\ \frac{\partial \Phi_2}{\partial n} = f(x, y, z) \end{cases}$$

identisch gelten müssen. Ferner sei zur Zeit $t = 0$ die Temperatur Φ eine gegebene Funktion F von x, y, z , also auch gleichfalls identisch wie:

$$(47) \quad \text{für } t = 0: \quad \begin{cases} \Phi_1 = F(x, y, z), \\ \Phi_2 = F(x, y, z), \end{cases}$$

und folglich durch Subtraktion der beiden Gleichungen (46) bzw. (47) voneinander, wenn die Differenz $\Phi_1 - \Phi_2$ wieder durch Φ bezeichnet wird:

$$(48) \quad \frac{\partial \Phi}{\partial n} = 0,$$

$$(49) \quad \text{für } t = 0: \quad \Phi = 0.$$

Es gehört also die Differenz Φ der beiden als existierend angenommenen Lösungen der Diffgl. (31), der homogenen Grenzbedingung (48) und der weiteren Bedingung (49), daß zur Zeit $t = 0$ die Temperatur überall verschwindet. Ist das Problem eindeutig bestimmt, so muß die Differenz Φ stets gleich Null sein, was wir jetzt beweisen wollen.

Zu diesem Zwecke stellen wir den Green'schen Satz her, der für zwei Funktionen φ und ψ folgendermaßen lautet (Bd. I, pag. 480, Gl. (33):

$$(50) \quad \int \varphi \, d\psi \, dv + \int \left[\frac{\partial \varphi}{\partial x} \frac{\partial \psi}{\partial x} + \frac{\partial \varphi}{\partial y} \frac{\partial \psi}{\partial y} + \frac{\partial \varphi}{\partial z} \frac{\partial \psi}{\partial z} \right] dv = - \int \varphi \frac{\partial \psi}{\partial n} \, dS.$$

Die Integrationen links sind über den Raum τ zu erstrecken, der von S begrenzt wird; die Normale ist positiv nach innen genommen. Wir wählen

daher den Raum, an dessen Oberfläche S die Randbedingungsgleichung (48) gilt, und bestimmen φ und ψ geeignet. Wir setzen zunächst:

$$\varphi = \frac{\partial \theta}{\partial x}, \quad \psi = k^2 \theta,$$

so daß $\Delta \varphi$ zufolge (31) gleich $\frac{\partial \theta}{\partial x}$ wird. Dann erhalten wir aus (30):

$$\int \left(\frac{\partial \theta}{\partial x} \right)^2 dx + k^2 \int \left[\frac{\partial \theta}{\partial x} \frac{\partial \theta}{\partial x} + \frac{\partial \theta}{\partial x} \frac{\partial \theta}{\partial y} + \frac{\partial \theta}{\partial x} \frac{\partial \theta}{\partial z} \right] dx = -k^2 \int \frac{\partial \theta}{\partial x} \frac{\partial \theta}{\partial x} dx.$$

Da aber nach Voraussetzung an der Oberfläche S gemäß (48) $\frac{\partial \theta}{\partial x} = 0$ ist, so verschwindet das rechte Glied und es bleibt:

$$\int \left(\frac{\partial \theta}{\partial x} \right)^2 dx + k^2 \int \left[\frac{\partial \theta}{\partial x} \frac{\partial \theta}{\partial x} + \frac{\partial \theta}{\partial x} \frac{\partial \theta}{\partial y} + \frac{\partial \theta}{\partial x} \frac{\partial \theta}{\partial z} \right] dx = 0.$$

Diese Gleichung kann man annehmen, wenn man bemerkt, daß

$$\frac{\partial \theta}{\partial x} \frac{\partial \theta}{\partial y} = \frac{1}{2} \frac{\partial}{\partial y} \left(\frac{\partial \theta}{\partial x} \right)^2, \quad \text{etc. ist.}$$

Damit folgt aus der letzten Gleichung:

$$\int \left(\frac{\partial \theta}{\partial x} \right)^2 dx + \frac{k^2}{2} \int \frac{\partial}{\partial x} \left[\left(\frac{\partial \theta}{\partial x} \right)^2 + \left(\frac{\partial \theta}{\partial y} \right)^2 + \left(\frac{\partial \theta}{\partial z} \right)^2 \right] dx = 0.$$

Vertauscht man schließlich noch in zweiten Integrale die Reihenfolge der Integration nach x und der Differentiation nach x , so kann die letzte Formel geschrieben werden:

$$\frac{1}{2} \int \left(\frac{\partial \theta}{\partial x} \right)^2 dx + \frac{k^2}{2} \int \left[\left(\frac{\partial \theta}{\partial x} \right)^2 + \left(\frac{\partial \theta}{\partial y} \right)^2 + \left(\frac{\partial \theta}{\partial z} \right)^2 \right] dx = 0.$$

Da das eine Glied die Gestalt eines Differentialquotienten nach der x -Achse hat, so liegt es nahe, eine Integration nach x vorzunehmen, von 0 bis l , was liefert:

$$\frac{1}{2} \int_0^l dx \int \left(\frac{\partial \theta}{\partial x} \right)^2 dx + \int \left[\left(\frac{\partial \theta}{\partial x} \right)^2 + \left(\frac{\partial \theta}{\partial y} \right)^2 + \left(\frac{\partial \theta}{\partial z} \right)^2 \right] \Big|_0^l dx = 0.$$

Hier fällt, da wegen (48) an allen Stellen des Körpers zur Zeit $t = 0$ die Temperatur $\theta = 0$, also auch $\frac{\partial \theta}{\partial x} = \frac{\partial \theta}{\partial y} = \frac{\partial \theta}{\partial z} = 0$ sind, im zweiten Gliede die untere Grenze fort und es bleibt:

$$(51) \quad \frac{1}{2} \int_0^l dx \int \left(\frac{\partial \theta}{\partial x} \right)^2 dx + \int \left[\left(\frac{\partial \theta}{\partial x} \right)^2 + \left(\frac{\partial \theta}{\partial y} \right)^2 + \left(\frac{\partial \theta}{\partial z} \right)^2 \right] dx = 0.$$

Auf der linken Seite steht dann eine Summe von durchweg positiven Gliedern. Da diese gleich Null sein soll, so müssen die Glieder einzeln Null sein und daher die Ableitungen $\frac{\partial \theta}{\partial x}$, $\frac{\partial \theta}{\partial y}$, $\frac{\partial \theta}{\partial z}$, $\frac{\partial \theta}{\partial x}$ sämtlich an allen Stellen des Raumes τ und zu allen Zeiten, d. h. identisch verschwinden, d. h. θ kann nur eine absolute Konstante sein. Diese Konstante muß

aber selbst den Wert Null haben, da nach (48) für $t = 0$ die Temperatur überall $\vartheta = 0$ sein soll. Also sind ϑ_1 und ϑ_2 überall und immer gleich, d. h. identisch, es gibt also unter den vorausgesetzten Bedingungen nur eine Lösung.

Man erkennt leicht, daß dieselbe Argumentation sich auch für die selben Grenzbedingungen ohne durchführen läßt. Also folgt als allgemeines Ergebnis:

„Bei gegebenem Anfangszustande und vorgeschriebenem Randbedingungen bestimmt die Differentialgleichung der Wärmeleitung die Temperatur vollständig.“

Haben wir also auf irgendeinem Wege eine Lösung gefunden, die sämtlichen Bedingungen genügt, so wissen wir, daß es die einzige ist.

2. Stationärer Zustand; zweidimensionale Probleme.

Wir wollen uns zunächst mit dem stationären Zustand befassen, in dem alle Größen von der Zeit unabhängig sind. Alle Ableitungen nach t verschwinden demnach, und die Dgl. (31) der Wärmebewegung vereinfacht sich in die uns bereits bekannte Laplace'sche Gleichung:

$$(32) \quad \frac{\partial^2 \vartheta}{\partial x^2} + \frac{\partial^2 \vartheta}{\partial y^2} + \frac{\partial^2 \vartheta}{\partial z^2} = 0 \quad \vartheta = 0.$$

Diese stimmt überein mit der Differentialgleichung des Schwerpotentials und des Geschwindigkeitspotentials reibungsloser inkompressibler Flüssigkeiten, wovon wir in Bd. I, pag. 892 ff. eine Anzahl von Spezialfällen untersucht haben. Aus diesem Grunde können wir uns hier kurz fassen und lediglich eine Anzahl particularer Lösungen anführen, wobei wir jedesmal auf die frühere Stelle zurückverwiesen werden.

Konstant sind alle linearen Funktionen des Koordinaten und unter gewissen Bedingungen auch quadratische Funktionen derselben Lösungen der Laplace'schen Gleichung; doch wollen wir auf diese nichtverbreiteten Fälle nicht näher eingehen, sondern uns mit der wichtigen Funktion $\frac{1}{r}$ oder $\frac{1}{2\pi r} \cdot \frac{1}{r}$, wo $\frac{1}{2\pi}$ eine Konstante, r das Wärmekreisvermögen bedeutet, also $\frac{1}{2\pi r}$ ebenfalls konstant ist, befassen.

1. Fall

$$(33) \quad \vartheta = \frac{1}{2\pi r}.$$

eine Lösung von (32) ist, ist auf pag. 628 des ersten Bandes ausführlich erörtert und folgt durch stochische Differentiation von $\frac{1}{r} = \frac{1}{\sqrt{x^2 + y^2 + z^2}}$.¹⁾ Wir können nun Flächen $\vartheta = \text{Const.}$ konstruieren, sogenannte „Grotthier-

¹⁾ Daß hier der Bogenstrich unter dem Faktor $\frac{1}{2\pi}$ hinweggelassen werden ist, trifft offenbar in keiner Weise Furchtbar.

„unendlich klein“, die durchaus den früher betrachteten „Äquipotentialflächen“ entsprechen; diese sind in unserem Falle konzentrische Kugeln $r = \text{const.}$ um den Anfangspunkt. Wir können ferner Kurven definieren durch die Gleichung:

$$(54) \quad dx:dy:dz = \frac{\partial \theta}{\partial x}:\frac{\partial \theta}{\partial y}:\frac{\partial \theta}{\partial z},$$

denn Richtung in jedem Punkte also zusammenfällt mit der Richtung der Normale der durch diesen Punkt gehenden Isothermfläche, diese Kurven durchschneiden die Isothermflächen also orthogonal. Wir nennen sie, wie früher, „Strömlinien“, da sie wegen der Proportionalität zwischen $\frac{\partial \theta}{\partial x} \dots$ und $i_x \dots$ in jedem Punkte die Richtung des Wärmestromes angeben.

Diese Lösung (38) entspricht also offenbar dem Falle, daß im Punkte (β, α, γ) eine punktförmige Wärmequelle, positiv oder negativ, sich befindet, die radial nach allen Seiten einen Wärmestrom $j = -1 \frac{\partial \theta}{\partial r}$ schickt. Die Strömlinien sind offenbar die Radialen. Berechnen wir die Kugelfläche der Quelle, so haben wir das Integral $\int -j_s dS$ für eine den Anfangspunkt umschließende Fläche mit der innern Normale s zu bilden; wir wählen natürlich hier eine Kugelfläche, so daß die pro Sekunde austretende Wärmemenge den Wert hat:

$$= \int j_s dS = + \frac{1}{4\pi} \int \frac{1}{r^2} r^2 ds,$$

wo da der unendlich kleine steradische Winkel ist, unter dem ds vom Kugelmittelpunkte aus erscheint, also ist die Wärmemenge, die pro Sekunde aus der Kugel austritt, gleich q ; diese ist gleich der von der Quelle pro Sekunde erzeugten Wärme. q ist also ein Maß für die „Regelmäßigkeit“ derselben und kann natürlich positiv und negativ sein; im ersten Falle haben wir eine „Quelle“, im letzteren eine „Senke“, oder besser „negative Quelle“ im Anfangspunkte. Dieser muß natürlich von der Betrachtung ausgeschlossen werden, weil in ihm die Temperatur θ unendlich werden würde, was unmöglich ist; im übrigen Raume gilt aber die Lösung (38).

3. Eine allgemeinere Lösung läßt sich durch Addition mehrerer Lösungen der Form (38) folgendermaßen zusammensetzen:

$$(55) \quad \theta = \frac{1}{4\pi} \sum_{\nu} \frac{q_{\nu}}{r_{\nu}},$$

wo $r_{\nu} = \sqrt{(x - x_{\nu})^2 + (y - y_{\nu})^2 + (z - z_{\nu})^2}$ ist; in den Punkten $(x_{\nu}, y_{\nu}, z_{\nu})$ befinden sich Wärmequellen von der Regelmäßigkeit q_{ν} ; die Lösung (55) gilt im ganzen Raume, mit Ausnahme der Punkte $(x_{\nu}, y_{\nu}, z_{\nu})$, in denen die Temperatur wieder unendlich werden würde. —

4. Einen besonders wichtigen Fall bilden die zweidimensionalen Probleme, bei denen also θ nur von zwei Koordinaten, etwa x und y , da-

gegen nicht von x abhängt. Diese Fälle sind nahezu realisiert für die Wärmeleitung in sehr dünnen ebenen Platten. ϑ gehorcht hier der Gleichung:

$$(36) \quad \frac{\partial^2 \vartheta}{\partial x^2} + \frac{\partial^2 \vartheta}{\partial y^2} = 0.$$

Betrachten wir mit $z = x + iy$ eine komplexe Variable und mit $w = f(z)$ eine beliebige Funktion einer solchen, so können wir f in seinen reellen und imaginären Teil zerlegen: $f(z) = \varphi(x, y) + i\psi(x, y)$.

Gemäß den Cauchy'schen Differentialgleichungen genügen beide Teile der obigen Bedgl. (36) und außerdem noch der folgenden:

$$(37) \quad \frac{\partial \varphi}{\partial x} \frac{\partial \varphi}{\partial y} + \frac{\partial \psi}{\partial x} \frac{\partial \psi}{\partial y} = 0,$$

die offenbar ausspricht, daß die Kurven $\varphi = \text{Const.}$ und $\psi = \text{Const.}$ sich senkrecht durchschneiden. Man erhält also das Ergebnis: Sowohl der reelle, als der imaginäre Teil einer beliebigen Funktion einer komplexen Variablen stellen Lösungen der zweidimensionalen Gleichung (36) für den stationären Zustand der Wärmeleitung dar; sie bilden also mögliche stationäre Zustände. Betrachtet man die Kurven $\varphi = \text{Const.}$ als Isothermen, so stellen die Kurven $\psi = \text{Const.}$ wegen der Orthogonalitätsbedingung (37) die Stromlinien dar, und umgekehrt.

Wir betrachten hier die einfachen Fälle, die wir in I. Bd., pag. 84 ff. behandelt haben.

1. Der einfachste Fall ist der, wenn wir

$$(38) \quad w = z$$

setzen, dann folgt:

$$(39) \quad \varphi = x, \quad \psi = y,$$

also sind die Kurven $\varphi = \text{Const.}$ und $\psi = \text{Const.}$ hier identisch mit

$$x = \text{Const.}, \quad y = \text{Const.},$$

die Parallelen zu den Koordinatenachsen darstellen; in den Figg. 4 stellen die punktierten Linien die Isothermen, die ungestrichelten die Stromlinien dar. In Fig. 4a sind die Kurven $\varphi = \text{Const.}$, in Fig. 4b die Kurven $\psi = \text{Const.}$ als Isothermen genommen.

Der Zustand läßt sich physikalisch herstellen durch Anbringung je einer gleichstarken Quelle und Senke im positiv oder negativ Unendlichen der x -Achse im Falle der Fig. 4a, der y -Achse im Falle der Fig. 4b. Praktisch genügt die Anbringung der Quellen in einer großen Entfernung vom Anfangspunkt.

¹⁾ Eine Veranschaulichung von z mit der dritten Raumdimension ist wohl hier nicht zu befürchten.

5. Als nächstes Fall nehmen wir

$$(50) \quad x = p + i \cdot q = p^2 = (p + i \cdot q)^2 = p^2 - q^2 + 2i \cdot p \cdot q.$$

Das liefert:

$$q = p^2 - p^2, \quad q = 2i \cdot p \cdot i$$

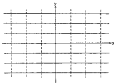


Fig. 4a.

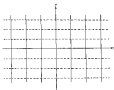


Fig. 4b.

mithin werden die zu betrachtenden Kurven:

$$(51) \quad \begin{cases} x^2 - y^2 = \text{Const.}, \\ xy = \text{Const.} \end{cases}$$

Beide stellen gleichseitige Hyperbeln dar; $x^2 - y^2 = \text{Const.}$ hat zu Asymptoten zwei im Anhangspunkt sich schneidende Geraden, die unter 45 Grad gegen die x - und y -Achsen geneigt sind. Dagegen besitzt

$x y = \text{const.}$ die Koordinatenachsen selbst als Asymptoten. Beide mögliche Fälle sind in den Fig. 5a und 5b dargestellt; die gestrichelten Linien bedeuten wie vorher die Isothermen, die ausgezogenen die Stromlinien.

Man sieht, daß in Fig. 5a die Koordinatenachsen selbst mit in den ausgezogenen Stromlinien gehören; es tritt also keine Ummagnetung durch sie hindurch. Deshalb ist der Vorgang in jedem Quadranten unabhängig von den übrigen, und man kann daher in Fig. 5a die stark ausgezogenen Teile der x - und y -Achsen, die den ersten Quadranten begrenzen, als die Grenzen der verwandelnden Substanzen betrachten.

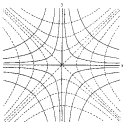


Fig. 5a.

Gl. (30) liefert also auch den Fall der Strömung in einem rechteckigen Rohr, die durch eine Quelle in unendlicher Entfernung auf der y - (bzw. x -) Achse, und eine gleichstarke Senke auf der x - (bzw. y -) Achse realisiert werden kann. Genau so liegt der Fall für Fig. 5b, nur daß das leitende Rohr um 45 Grad gedreht worden ist.

6. Seien wir femer:

$$(32) \quad w = \varphi + i\psi = A z + \frac{B}{z} = A(x + iy) + \frac{B}{x + iy},$$

so folgt durch Trennung des Realen vom Imaginären:

$$\varphi = A x + \frac{B x}{x^2 + y^2},$$

$$\psi = A y - \frac{B y}{x^2 + y^2}.$$

Also folgt für die Isothermen und Stromlinien:

$$\begin{aligned} (88a) \quad & \left\{ \begin{aligned} \Delta x + \frac{B}{x^2} \frac{y}{y^2} &= \text{Const.}, \\ \Delta y - \frac{B}{x^2} \frac{x}{y^2} &= \text{Const.} \end{aligned} \right. \\ (88b) \quad & \end{aligned}$$

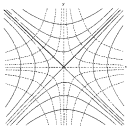


Fig. 8.

Hier wollen wir (88a) als Isothermenlinien, also (88b) als Stromlinien betrachten. Konstruiert man die Stromlinien (angenomen) — die Details findet man in Bd. I, pag. 889X. —, so ergibt sich das Bild der Fig. 8.

Es ergibt sich im besonderen, daß die x -Achse und ein Kreis um des Anfangspunkts mit dem Radius $\sqrt{\frac{B}{A}}$ Stromlinien sind. Der Anfangspunkt ist ausschalten, da dort nach (88) θ unendlich werden würde; also können wir uns den ganzen Kreis mit dem Radius $\sqrt{\frac{B}{A}}$ aus der betrachteten Platte ausgeschnitten denken. Wir erhalten also die Strömung in einer ebenen Platte, die durch eine Quelle im positiv Unendlichen und eine gleichstarke Senke im negativ Unendlichen der x -Achse erzeugt wird, wenn ein kreisförmiges Hindernis ausgeschnitten ist (Strömung um ein kreisförmiges Hindernis). Die Isothermen sind in Fig. 6 punktiert.

7. Als letztes Beispiel möge dienen:

$$(89) \quad x = -w + r^{2n},$$

bei dem umgekehrt z als Funktion der komplexen Variablen $w = \varphi + iy$ aufgefäßt wird, was natürlich ebenfalls zulässig ist. Es folgt durch Trennung des Realen vom Imaginären:

$$(68) \quad \begin{cases} x = -\varphi + r^2 \cos \varphi, \\ y = -\varphi - r^2 \sin \varphi. \end{cases}$$

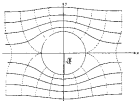


Fig. 6.

Hier wollen wir $\varphi = \text{Const.}$ als Stromlinien, $r = \text{Const.}$ als Potentiallinien betrachten. Da die analytische Form recht kompliziert ist, legen wir

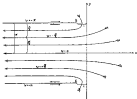


Fig. 7.

nacheinander der Konstanten in der Gleichung $\varphi = \text{Const.}$ verschiedene Werte bei, nämlich $\frac{\pi}{2}, \frac{3\pi}{2}, \frac{5\pi}{2}, \dots$. Für jeden dieser Werte läßt man dann φ von $-\infty$ bis $+\infty$ variieren und durchläßt so alle Punkte der Stromlinie. Die übrigen 5 Stromlinien genügen, um ein vollständiges exaktes Bild des Stromungsverlaufs zu erhalten (anschauliche Darstellung siehe Bd. I, pag. 144ff.). Zeichnet man die Stromlinien, so ergibt sich folgendes Bild (Fig. 7).

Die Stromlinien $\varphi = \pm \pi$ entsprechen Parabeln im Abstände $\frac{\pi}{2} x$ vor Ablaufmache, und zwar so, daß die Stromlinie im negativen Unendlichen beginnt, bis zum Punkte B (oder C) läuft, dann in sich selbst zurückkehrt. Durch diesen in der Fig. 7 stark verkleinerten Teil tritt also keine Wärme hindurch, und man kann sich daher die unendlich große leitende Platte längs der Stromlinien $\varphi = \pm \pi$ bis zum Punkte B (oder C)



Fig. 7.

aufgeschritten denken. Die Wärme strömt in den von diesen beiden Stromlinien gebildeten Kanal hinein. Angeföhrt wird eine solche Strömung hergestellt (Fig. 8), wenn man eine sehr große rechteckige Platte $CDEP$ an den Stellen $\alpha\alpha'$ und $\beta\beta'$ schließt, an den Stellen $C\alpha$ und $E\beta$ zwei gleiche positive Wärmequellen, an der Stelle $\alpha\beta$ eine im ganzen ebenso starke negative Quelle anbringt. Vorausgesetzt ist natürlich, daß quer zu den Schlitzen $\alpha\alpha'$ und $\beta\beta'$ kein Wärmeexport stattfindet; man kann sich etwa in die Richtung eines schiefen Wärmeleiters hineinsetzen denken.

Nach diesen Beispielen für den stationären Zustand gehen wir nun dazu über, spezielle Integrale der allgemeinen Gl. (21) aufzuschreiben, von denen später das allgemeine Integral zusammengesetzt werden kann.

2. Partikulares Integral bei Wärmeleitungsgleichung.

Wir wollen zunächst den speziellen Fall betrachten, daß die Temperatur außer von der Zeit nur von einer Raumkoordinate, etwa x , abhängt; dann lautet die Diffgl. (20):

$$(22) \quad \frac{\partial \vartheta}{\partial t} = \lambda^2 \frac{\partial^2 \vartheta}{\partial x^2}.$$

Dieser Fall liegt ungefähr vor, wenn der wärmeleitende Körper die Gestalt eines im Vergleich zu seiner Länge sehr dünnen Zylinders besitzt, dessen Mantel durch geeignete Vorrichtungen gegen Wärmeverlust durch Leitung oder Strahlung geschützt ist. Dieser Fall der linearen Wärmeleitung wird uns späterhin noch häufiger beschäftigen.

Wir wollen nun versuchen, ob es möglich ist, eine Lösung in der Form zu gewinnen, daß sie als das Produkt einer Funktion X von x und einer Funktion T von t auftritt. Dies ist derselbe Ansatz, den wir z. B. bei den linearen Schwingungsproblemen mit Erfolg benutzt haben. Wir setzen also vorausgesetzt an:

$$(87) \quad P = X(x) \cdot T(t),$$

Wähle die erste Ableitung nach t , die zweite nach x und setze beides in (86) ein. Es folgt:

$$\frac{1}{T} \frac{dT(t)}{dt} X(x) = T(t) \frac{d^2 X(x)}{dx^2} = -\lambda^2,$$

oder in anderer Schreibweise:

$$(88) \quad \frac{1}{T} \frac{dT(t)}{dt} = -\lambda^2 = \frac{d^2 X(x)}{dx^2}.$$

Hier steht auf der linken Seite eine Funktion von t allein, rechts eine von x allein. Damit diese Gleichung bestehen kann, müssen beide Ausdrücke einer und derselben Konstanten gleich sein, die wir vorläufig durch $-\lambda^2$ bezeichnen wollen. Dann zerfällt (88) in den beiden folgenden Gleichungen:

$$(89) \quad \begin{cases} \frac{d \log T(t)}{dt} = -\lambda^2 t, \\ \frac{d^2 X(x)}{dx^2} = -\lambda^2 X(x). \end{cases}$$

Wenn diese Gleichungen befriedigt werden können, ist unser Vermutungswert Ansatz (87) bewiesen.

Aus der ersten ergibt sich:

$$(90) \quad T(t) = e^{-\lambda^2 t}.$$

Aus dieser Gleichung kann man den Schluß ziehen, daß λ nicht positiv sein kann, da sonst mit wachsender Zeit nach (87) die Temperatur über alle Grenzen wachsen würde; λ muß entweder, wenn es reell ist, negativ sein, oder, wenn es komplex ist, einen negativ reellen Teil haben, oder endlich rein imaginär sein. Wir beschränken uns vorläufig auf reelle Werte von λ ; die komplexen werden wir später einschließen Gelegenheit haben. Wir setzen also hier:

$$(91) \quad \lambda = -\alpha^2,$$

also nach (90):

$$(92) \quad T(t) = e^{-\alpha^4 t}.$$

und die zweite Gl. (58) liefert dann:

$$(59) \quad \frac{d^2 X(x)}{dx^2} + a^2 X(x) = 0,$$

deren partikuläre Lösungen bekanntlich sind:

$$(60) \quad \begin{cases} X_1(x) = \cos ax, \\ X_2(x) = \sin ax. \end{cases}$$

Unser Ansatz (57) ist also beschaffen. Setzt man (59) und (60) in (57) ein, so haben wir zwei partikuläre Lösungen unserer Gleichung (56):

$$(61) \quad \begin{cases} \vartheta_1 = e^{-a^2 x^2} \cos ax, \\ \vartheta_2 = e^{-a^2 x^2} \sin ax. \end{cases}$$

Die Werte von x sind dabei zunächst offenbar noch ganz beliebig; sie werden erst durch die Randbedingungen bestimmt; darauf wird später eingegangen werden. Natürlich können beide Integrale (61) mit beliebigen Konstanten multipliziert und addiert werden; das so erhaltene Aggregat stellt ebenfalls ein Integral der Diffgl. (56) dar. Insbesondere kann die zweite Gl. (61) mit $i = \sqrt{-1}$ ersetzt werden; durch Addition oder Subtraktion zur ersten Gl. (61) erhält man zwei neue Lösungen:

$$(62) \quad \vartheta_3 = \vartheta_1 \pm i \vartheta_2 = e^{-a^2 x^2} \cdot e^{\pm i ax} = e^{-a^2 x^2 \pm i ax},$$

d. h. ϑ_3 in Gestalt einer Exponentialfunktion. Daß dies möglich ist, läßt man auf Grund unserer früheren Resultate direkt aus dem Umstande schließen können, daß die Diffgl. (56) linear, homogen und mit konstanten Koeffizienten ausgestattet ist. Wir hätten also sofort den Ansatz machen können:

$$(63) \quad \vartheta = e^{\gamma x^2 + \delta x},$$

wo γ und δ zu bestimmende Konstanten sind. Dies liefert, in (56) eingesetzt, die Bedingung:

$$\gamma = b^2 a^2,$$

und wenn wir nun γ , das ja negativ sein muß, gleich $-b^2 a^2$ setzen, folgt für δ :

$$(64) \quad \delta = \pm i a b,$$

also aus (63):

$$\vartheta = e^{-a^2 x^2 \pm i ax},$$

d. h. die Lösung (62).

Diese Form der Lösung ist leicht auf zwei und drei Dimensionen verallgemeinerbar. Denn wenn wir zur Integration der allgemeinen Gl. (56) die Lösung als ein Produkt von 4 Faktoren ansetzen:

$$(65) \quad \vartheta = X(x) \cdot Y(y) \cdot Z(z) \cdot T(t),$$

so folgt aus der Diffgl. (56):

$$\frac{1}{\vartheta} \frac{d^2 \vartheta}{dx^2} \cdot XYZ = \frac{d^2 X}{dx^2} \cdot YZT + X \frac{d^2 Y}{dy^2} \cdot ZT + XY \frac{d^2 Z}{dz^2} \cdot T,$$

und diese kann durch Division mit $X^2 Y^2 Z^2$ auf die Form gebracht werden:

$$\frac{1}{Y} \frac{d^2 X}{dt^2} = -\frac{d^2 X}{X^3} + \frac{d^2 Y}{Y^3} + \frac{d^2 Z}{Z^3}.$$

Aus dem nämlichen Grunde wie vorher müssen beide Seiten einer Konstanten gleich werden; nennen wir dieselbe, indem wir uns auch hier vorläufig auf reelle Werte derselben beschränken, wieder $-x^2$, so folgt zunächst wieder:

$$(80) \quad Y^2 \dot{\eta} = e^{-2\eta x^2}.$$

Die rechte Seite wird dann:

$$\frac{X'' \eta \dot{\eta}}{X^2 \dot{\eta}^2} + \frac{Y'' \dot{\eta}}{Y \dot{\eta}^2} + \frac{Z'' \dot{\eta}}{Z \dot{\eta}^2} = -x^2,$$

und diese Gleichung kann erfüllt werden durch die Annahmen:

$$(81) \quad \begin{cases} \frac{d^2 X}{dt^2} = -\beta^2 X, \\ \frac{d^2 Y}{dt^2} = -\gamma^2 Y, \\ \frac{d^2 Z}{dt^2} = -\delta^2 Z, \end{cases}$$

wo β, γ, δ Konstanten sind, die der Beiläufigkeit gleichem:

$$(82) \quad \beta^2 + \gamma^2 + \delta^2 = x^2.$$

Aus (81) folgen die particulären Integrale:

$$(83) \quad X(t) = \frac{\cos}{\sin} \left[\frac{t}{\beta} \right] : \quad Y(t) = \frac{\cos}{\sin} \left[\frac{t}{\gamma} \right] : \quad Z(t) = \frac{\cos}{\sin} \left[\frac{t}{\delta} \right],$$

also zusammen mit (80) und (77) folgende particulären Lösungen der Diffgl. (84):

$$(84) \quad \theta = e^{-2\eta x^2} \cdot e^{i\eta t} \cdot \left(\frac{\cos}{\sin} \left[\frac{t}{\beta} \right] \right) \cdot \left(\frac{\cos}{\sin} \left[\frac{t}{\gamma} \right] \right) \cdot \left(\frac{\cos}{\sin} \left[\frac{t}{\delta} \right] \right) \cdot \dot{\eta},$$

die in mannigfacher Weise kombiniert werden können. Auch hier kann offenbar die Lösung in die Form einer Exponentialfunktion gebracht werden.

Über die im Vorstehenden besprochenen Lösungen ist noch eine wichtige Bemerkung zu machen. Nennen wir z. B. aus den beiden Lösungen (77) durch Multiplikation mit Konstanten und Addition eine allgemeinere Lösung, die einem bestimmten α -Werte entspricht und legen denselben unendlich viele zusammen, die immer anderen α -Werten entsprechen, so ergeben sich, wenn wir $t = 0$ setzen, trigonometrische Reihen mit unendlich vielen unbestimmten Konstanten; diese Reihen sind von derselben Art, wie wir sie schon bei den Saturnstörungen usw. angetroffen haben. Da diese Reihen dann wirklich gegebenen Anfangswerten angepaßt werden müssen, so haben wir hier wieder das Problem der Entwicklung einer gegebenen Funktion nach Systemen

vorgeschriebener (\sin und \cos) vor uns. Das Gleiche gilt natürlich, wenn wir die Beschränkung auf die eine Dimension aufheben und in der gewöhnlichsten Weise eine Summe der Lösungen (84) für den dreidimensionalen Fall bilden.

Auch in anderer Weise kann man allgemeinere Lösungen aus den hier besprochenen Integralen bilden. Schließen wir uns z. B. wieder an die Lösung (78) für den eindimensionalen Fall an. Wenn $\delta = e^{-\alpha^2 t}$ aus u , wo α eine noch unbestimmte Konstante ist, eine Lösung bildet, so ist auch, wenn $f(\alpha)$ eine willkürliche Funktion dieses Parameters α bedeutet,

$$\vartheta = e^{-\alpha^2 t} \cos \alpha x f(\alpha) d\alpha$$

eine Lösung. Denn für die in der Differentialgleichung vorkommenden Differentiationen nach t und x ist $f(\alpha)$ da eine Konstante. Also wird auch eine unendliche oder unendliche Summe, d. h. ein Integral über den obigen Ausdruck eine Lösung der Diffgl. (66) darstellen, vorausgesetzt natürlich, daß das Integral einen Sinn hat. Unter dieser Voraussetzung, die selbstverständlich in jedem einzelnen Falle geprüft werden muß, wollen wir uns vorläufig diese allgemeinen Lösung anschauen; berechnen werden wir sie erst später. Es gilt also:

$$(85a) \quad \vartheta = \int_{-\infty}^{+\infty} e^{-\alpha^2 t} \cos \alpha x f(\alpha) d\alpha,$$

ebenso wie auch

$$(85b) \quad \vartheta = \int_{-\infty}^{+\infty} e^{-\alpha^2 t} d\alpha \sin \alpha x f(\alpha) d\alpha.$$

Wir wollen nun zu einer ganz andern gerietten partikulären Lösung übergehen. Um oben erwähnte Bedingung daran zu gelangen, bemerke man zunächst, daß, wenn wir eine Lösung $\vartheta(x, t)$ der Diffgl. (66) gefunden haben, auch $\frac{\partial \vartheta}{\partial t}$ eine solche darstellt. Denn durch Differentiation von (66) nach t folgt:

$$(86) \quad \frac{\partial}{\partial t} \left(\frac{\partial \vartheta}{\partial x} \right) = \lambda^2 \frac{\partial^2}{\partial x^2} \left(\frac{\partial \vartheta}{\partial t} \right),$$

woraus diese Behauptung folgt.

Nun fragen wir, ob es Lösungen von (86) gibt, die von x und t nur in der Weise abhängen, daß diese Koordinaten nur in dem Ausdruck $\frac{t}{x^2}$ auftreten. Diese Form wird schon durch die Gestalt der Differentialgleichung in gewisser Weise nahegelegt, insofern darin die erste Ableitung nach t , dagegen die zweite nach x auftritt; sie kann ferner durch Ähnlichkeitsbetrachtungen, wie wir sie im I. Bande in der Hydrodynamik (pag. 88f.) durchgeführt haben, begründet werden. Setzen wir also abkürzend:

$$(87) \quad \frac{t}{x^2} = \tau,$$

so fragen wir, wann eine Funktion $\theta(x)$ eine Lösung der Diffgl. (86) sein kann. Wählen wir die gesuchten Differentiationen, so ist zunächst, wenn Ableitungen nach dem Argument x durch Striche bezeichnet werden:

$$\begin{aligned}\frac{\partial \theta(x)}{\partial x} &= -\frac{1}{x} \theta'(x) \frac{x}{x^2}, \\ \frac{\partial \theta(x)}{\partial x^2} &= \theta'(x) \frac{1}{x^3}, \quad \frac{\partial \theta(x)}{\partial x^3} = \theta''(x) \frac{1}{x^3}.\end{aligned}$$

Also folgt durch Einsetzen in (86) als Bedingung dafür, daß $\theta(x)$ eine Lösung ist:

$$-\frac{1}{x} \frac{\partial \theta(x)}{\partial x^2} = \Delta^2 \theta''(x) \frac{1}{x^3},$$

oder:

$$-\frac{1}{x} \theta'(x) x = \Delta^2 \theta''(x),$$

was geschrieben werden kann:

$$(88) \quad \frac{\theta'(x)}{\theta''(x)} = -\frac{1}{2\Delta^2} x.$$

Da wir eben gesehen haben, daß, wenn $\theta(x)$ eine Lösung ist, auch $\frac{\partial \theta}{\partial x}$ eine solche ist, so wollen wir nur $\theta'(x)$ aus (88) berechnen und daraus $\frac{\partial \theta}{\partial x}$ bilden. Es folgt sofort aus (88):

$$d \log \theta'(x) = -\frac{1}{2\Delta^2} x dx,$$

also

$$(89) \quad \theta'(x) = A e^{-\frac{x^2}{4\Delta^2}},$$

wo A eine Integrationskonstante ist. Beachtet man, daß $\frac{\partial \theta(x)}{\partial x} = \frac{1}{x} \theta'(x)$ ist, so folgt für $\frac{\partial \theta}{\partial x}$, das wir suchen:

$$(90) \quad \frac{\partial \theta(x)}{\partial x} = \frac{A}{x^2} e^{-\frac{x^2}{4\Delta^2}}.$$

Daß dies wirklich eine Lösung unserer Gl. (86) ist, kann nachweislich leicht durch Differentiation verifiziert werden. Wir bezeichnen in Zukunft diese Lösung auch durch θ , da sie ja eine mögliche Temperaturverteilung darstellt, die wir jetzt genau untersuchen wollen. Welche Eigenheiten hat

$$(91a) \quad \theta = \frac{A}{x^2} e^{-\frac{x^2}{4\Delta^2}},$$

d. h. welche Temperaturverteilung zur Zeit t stellt es dar, und welches ist die Anfangstemperaturverteilung zur Zeit $t=0$?

Setzen wir zunächst $t=1$, so sind zwei Fälle zu unterscheiden, nämlich $x \neq 0$ und $x=0$. Sehen wir zunächst von Koordinatenanfangspunkte ab, so wächst allerdings $\frac{A}{x^2}$ mit abnehmender Zeit t über

alle Grenzen, gleichzeitig aber nähert sich $e^{-\frac{x^2}{4\kappa t}}$ viel stärker der Null an; der ganze Ausdruck ist also für $t = 0$, $x \neq 0$ selbst gleich Null. Im Koordinatenursprungspunkte allerdings bleibt die Exponentialfunktion endlich, die Temperatur wird also wegen $\frac{A}{\sqrt{t}}$ im Anfangspunkte für $t = 0$ unendlich groß. Wir haben also einen Zustand, der folgendermaßen vor-
 gestellt werden kann: Der ganze Stab sei zunächst auf der Temperatur Null; zur Zeit $t = 0$ wird im Punkte $x = 0$ eine Wärmemenge prostrahlt, die diesen Punkt (zu dem Augenblick, d. h. für $t = 0$) auf unendlich hohe Temperatur bringt. Dergestalt stellt für $t > 0$ Gl. (30a) das Aussehen der durch Fig. 2 näherend dargestellten Anfangstemperturverteilung dar.



Fig. 2.

Dies wollen wir etwas genauer untersuchen und zeigen, was $t > 0$ voraus. Nehmen wir zunächst $x \neq 0$ an, etwa gleich x_0 , und lassen t von Null an wachsen. Das gibt den Ausdruck nach (30a):

$$(31) \quad \theta_{x_0,t} = \frac{A}{\sqrt{t}} e^{-\frac{x_0^2}{4\kappa t}}.$$

Für $t = 0$ ist $\theta_{x_0,t} = 0$, wie oben festgestellt. Der Faktor $\frac{A}{\sqrt{t}}$ nimmt mit wachsendem t ab, andererseits aber $e^{-\frac{x_0^2}{4\kappa t}}$ stärker zu, da der Exponent abnimmt. Es steigt also zunächst jedenfalls an allen Stellen $x \neq 0$ die Temperatur an, wenn t von Null an wächst. Bei weiterem Wachsen von t nähert sich die Exponentialfunktion aber dem Werte 1 an, während $\frac{A}{\sqrt{t}}$ unbegrenzt klein an Null abnimmt. Der Vorgang ist also der, daß zunächst an allen Stellen $x \neq 0$ die Temperatur ansteigt, durch ein Maximum hindurchgeht und dann allmählich auf ihren Anfangswert Null herabsinkt. Wie können fragen, zu welcher Zeit \bar{t} das Maximum der Temperatur an der Stelle x_0

unendlich wird, und welchen Wert $\theta_{\infty, \text{max}}$ es besitzt. Dies finden wir, indem wir (51) nach t differenzieren und die Ableitung gleich Null setzen. Das liefert

$$\frac{d\theta_{\infty}}{dt} = 0 = \frac{d}{dt} \left(\frac{\sqrt{t}}{\sqrt{\pi}} \right) \left(-\frac{1}{2} + \frac{\sqrt{t}}{2\sqrt{\pi}} \right),$$

also folgt für \bar{t} der Wert:

$$(52) \quad \bar{t} = \frac{\pi^2}{4},$$

und durch Einsetzen desselben in Gl. (51) der maximale Wert der Temperatur an der Stelle x_0

$$(53) \quad \theta_{\infty, \text{max}} = \theta_{\infty, \bar{t}} = \frac{1}{2} \frac{d}{dx} \sqrt{\frac{\pi}{t}} \Big|_{x=x_0}.$$

Wie ist es nun an der Stelle $x=0$? Dort ist für $t=0$ die Temperatur unendlich hoch; für wachsendes t nimmt $\frac{1}{\sqrt{t}}$ ab, und $e^{-\frac{x^2}{4t}}$ bleibt dauernd gleich 1, da eben $x=0$ ist. Also nimmt im Anfangspunkte die Temperatur dauernd nach dem Gesetze ab:

$$(54) \quad \theta_{0,t} \approx \frac{d}{\sqrt{t}},$$

wird also schließlich auch gleich Null. Gleichzeitig erkennt man durch Vergleich mit (51) leicht, daß $\theta_{0,t}$ im Anfangspunkte zur gleichen Zeit

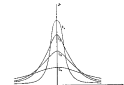


Fig. 10.

stets größer ist als an allen anderen Stellen des Stabes. Die höchste Temperatur ist also stets im Anfangspunkte. Die aufeinander folgenden Zeiten $t_1 < t_2 < t_3 < t_4$ liefern also stets folgendes Bild der Temperaturverteilung (Fig. 10).

Der ganze Vorgang scheint sich leicht, da von der Mitte des Stabes stets Wärme nach beiden Seiten abfließt.

Man kann die Lösung (90a) charakterisieren als die Wirkung einer „momentanen punktförmigen Quelle“ im Anfangspunkt. Die Wärmemenge, die zur Zeit Null im Anfangspunkte erzeugt wird, läßt sich leicht berechnen und liefert offenbar die physikalische Bedeutung der Integrationskonstanten A . Nehmen wir κ die Dichte, c die spezifische Wärme, f den Querschnitt unseres Stabes, so ist die Wärmemenge, die notwendig ist, um denselben von 0 Grad auf Φ Grad zu erwärmen, offenbar:

$$(91) \quad Q = \kappa c f \int_{-\infty}^{+\infty} \Phi \, dx.$$

Für Φ haben wir hier die Temperatur zu nehmen, die der Stab zur Zeit $t = 0$ hatte, die also aus Gl. (90a) hervorgeht, wenn wir t gleich Null setzen. Wir setzen jedoch zunächst in (91) den allgemeinen Wert von Φ (für $t > 0$) nach (90a) ein; da das Resultat der Integration eine Konstante ergibt, bleibt alles nach beim Übergange zu $t = 0$ richtig.

Das nun aufstehende Integral können wir vereinfachen, wenn wir das Aggregat $\frac{1}{4\pi\sqrt{t}}$ durch ρ^2 bezeichnen. Dann wird $\frac{1}{\sqrt{t}} = 2\kappa c \rho$ und das Integral (91) wird nach Einsetzen von (90a):

$$(91a) \quad Q = 2\kappa c f A \delta \rho \int_{-\infty}^{+\infty} e^{-\rho^2 x^2} dx.$$

Das rechts stehende Integral läßt sich leicht ausrechnen; wir wollen es abkürzend für einen Moment gleich J setzen:

$$J = \int_{-\infty}^{+\infty} e^{-\rho^2 x^2} dx = \frac{1}{\rho} \int_{-\infty}^{+\infty} e^{-x^2} d(\rho x) = \frac{1}{\rho} \int_{-\infty}^{+\infty} e^{-x^2} dx.$$

Daß wir hier statt ρx die Abkürzung x gesetzt haben, ändert offenbar den Wert des Integrals J nicht im mindesten. Deshalb gilt ebenso:

$$J = \frac{1}{\rho} \int_{-\infty}^{+\infty} e^{-x^2} dx,$$

wo jetzt die Integrationsvariable mit x bezeichnet ist. Am zweckmäßigsten ist es nun, J^2 zu berechnen; dafür hat man:

$$J^2 = \frac{1}{\rho^2} \int_{-\infty}^{+\infty} e^{-x^2} dx \int_{-\infty}^{+\infty} e^{-y^2} dy = \frac{1}{\rho^2} \int_{-\infty}^{+\infty} \int_{-\infty}^{+\infty} e^{-x^2 - y^2} dx dy,$$

und in dieser Form kann man J^2 auffassen als ein über die ganze x - y -Ebene erstrecktes Integral. Führt man nun diese Polarkoordinaten (r, φ) ein, so hat man:

$$x^2 + y^2 = r^2; \quad dx dy = r dr d\varphi,$$

und J^0 geht über in die Form:

$$J^0 = \frac{1}{\rho^0} \int_0^{\frac{1}{2}n} \int_0^{\frac{1}{2}n} x^{-\rho^0} r dr dp;$$

die Integrationsgrenzen sind so bestimmt, daß wieder das ganze $\frac{1}{2}n$ -Quadrat des Integrationsgebietes bildet. Die Auswertung der Integration über y liefert $2n$; daher hat man jetzt einfach:

$$J^0 = \frac{1}{\rho^0} \int_0^{\frac{1}{2}n} x^{-\rho^0} r dr = \frac{2}{\rho^0} \int_0^{\frac{1}{2}n} x^{-\rho^0} d(\frac{1}{2}r) = \frac{2}{\rho^0}.$$

D. h. aber:

$$J = \frac{1}{\rho} = \int_{-\infty}^{+\infty} x^{-\rho} e^{-\rho x} dx.$$

Damit wird Gleichung (38a):

$$Q = 2\pi\alpha f A k \frac{1}{2}n,$$

oder die Konstante A :

$$(38) \quad A = \frac{Q}{2\pi\alpha f k \frac{1}{2}n},$$

d. h. proportional der im Aufhegungspunkte erzeugten Wärmemenge Q . Setzen wir diesen Wert A in (30a) ein, so erhalten wir die vollständige Form unserer Lösung:

$$(39) \quad \theta = \frac{Q}{2\pi\alpha f k \frac{1}{2}n D^2} e^{-\frac{\rho^2}{4\tau}}.$$

Die Wirkung einer momentanen Einheitsleistungquelle geht daraus hervor mit $Q = 1$; diese Lösung nennt man wegen ihrer später hervorzuhebenden Bedeutung auch wohl „Ausgangslösung“.

Es ist wichtig, sich klar zu machen, daß die folgende Abänderung dieser Lösung wieder ein Integral liefert. Wir ersetzen x durch $x - x_0$, nehmen also eine Koordinatenverschiebung vor, oder anders ausgedrückt: Wir erzeugen die Wärmemenge Q nicht mehr im Punkte $x = 0$, sondern in $x = x_0$. Dann wird aus (39):

$$(39) \quad \theta = \frac{Q}{2\pi\alpha f k \frac{1}{2}n D^2} e^{-\frac{(x-x_0)^2}{4\tau}},$$

und wenn man endlich die Wärmestärke nicht nur Zeit $t = 0$, sondern zur Zeit $t = t'$ gegeben sein läßt, geht, wie man ohne Bedenken sofort sieht, (39) über in:

$$(39) \quad \theta = \frac{Q}{2\pi\alpha f k \frac{1}{2}n D^2 (t-t')} e^{-\frac{(x-x_0)^2}{4(t-t')}}.$$

Diese Lösung läßt sich leicht auf zwei und drei Dimensionen verallgemeinern. Wir setzen, ähnlich wie oben, im dreidimensionalen Falle vorausgesetzt an:

$$(100) \quad \vartheta = X(x, y) Y(y, z) Z(z, t),$$

d. h. setzen die Lösung als Produkt von Funktionen, die der Reihe nach nur von x und t , von y und t , von z und t abhängen. In die Dgl. (89) eingesetzt, liefert dieser Ansatz:

$$X \left(\frac{\partial^2 X}{\partial x^2} Y Z + X \frac{\partial^2 Y}{\partial y^2} Z + X Y \frac{\partial^2 Z}{\partial z^2} \right) = \frac{\partial^2 X}{\partial t^2} Y Z + \frac{\partial^2 Y}{\partial t^2} X Z + \frac{\partial^2 Z}{\partial t^2} X Y,$$

oder:

$$X Z \left(\frac{\partial^2 X}{\partial x^2} - \frac{\partial^2 X}{\partial t^2} \right) + X Y \left(\frac{\partial^2 Y}{\partial y^2} - \frac{\partial^2 Y}{\partial t^2} \right) + X Y \left(\frac{\partial^2 Z}{\partial z^2} - \frac{\partial^2 Z}{\partial t^2} \right) = 0.$$

Diese Gleichung kann erfüllt werden durch die Annahmen:

$$(101) \quad \begin{cases} X \frac{\partial^2 X}{\partial x^2} = \frac{\partial^2 X}{\partial t^2}, \\ Y \frac{\partial^2 Y}{\partial y^2} = \frac{\partial^2 Y}{\partial t^2}, \\ Z \frac{\partial^2 Z}{\partial z^2} = \frac{\partial^2 Z}{\partial t^2}. \end{cases}$$

von denen jede die Dgl. (88) der linearen Wärmebewegung ist, d. h. parallel der x -Achse, der y -Achse, senklich der z -Achse.

Wir können also für jede der Gleichungen (101) die oben entwickelte periodische Lösung (99a) nehmen:

$$(102) \quad \begin{cases} X = \frac{A}{V_1} e^{-\frac{x^2}{4V_1 t}}, \\ Y = \frac{B}{V_2} e^{-\frac{y^2}{4V_2 t}}, \\ Z = \frac{C}{V_3} e^{-\frac{z^2}{4V_3 t}}, \end{cases}$$

und ihr Produkt stellt nach (100) eine Lösung der dreidimensionalen Gleichung (81) dar:

$$(103) \quad \vartheta = \frac{ABC}{V_1 V_2 V_3} e^{-\frac{x^2}{4V_1 t} - \frac{y^2}{4V_2 t} - \frac{z^2}{4V_3 t}}.$$

die nach Analogie von (98) und (99) sofort verallgemeinert werden kann zu:

$$(104) \quad \vartheta = \frac{D}{(4\pi t)^{3/2}} e^{-\frac{1}{4t} \left(\frac{x^2}{V_1} + \frac{y^2}{V_2} + \frac{z^2}{V_3} \right)}.$$

Die Konstante $D = A B C$ steht natürlich auch wieder in einfachem Zusammenhang mit der zur Zeit $t = t'$ im Punkte (x_0, y_0, z_0) vorliegenden

Wärmemenge Q . Wegen dieser Zusammenhänge kann man, wie hier ohne den letzten Beweis mitgeteilt sei, schreiben:

$$(105) \quad \theta = \frac{Q}{2\pi r^2 a \sqrt{\pi k_0} \sqrt{t}} e^{-\frac{r^2}{4\pi k_0 t}},$$

wenn $(x - x_0)^2 + (y - y_0)^2 + (z - z_0)^2 = r^2$ gesetzt wird.

Bezieht man sich die Lösung (95) durch (96) verallgemeinern ließ, so auch unsere angeblich betrachtete Lösung (97) und (105). Wir zeigen dies der Einfachheit halber nur bei (97); der dreidimensionalen Fall verhält sich ganz analog. Schreiben wir (97) unter Abkürzung aller obigen Konstanten:

$$\frac{1}{\sqrt{\pi} - f} e^{-\frac{x^2 - x_0^2}{4\pi k_0 t}},$$

so sieht man leicht, daß dies auch nach Multiplikation mit einer beliebigen Funktion f von x_0 eine Lösung bleibt. Auch die Summe oder ein Integral derselben Lösungen ist wieder ein Integral der Diffgl. (80) bzw. (86). Es erhält man aus der letzten Gleichung:

$$(106) \quad \theta = \int_{-\infty}^{+\infty} \frac{f(x_0)}{\sqrt{\pi} - f} e^{-\frac{x^2 - x_0^2}{4\pi k_0 t}} dx_0,$$

offenbar kann man auch noch mit einer Funktion g von t in derselben Weise verfahren, was hier nur angedeutet sei.

16. Differentialgleichung der linearen Wärmeleitung mit Berücksichtigung der zeitlichen Ableitung; stationärer Zustand (Methode von Duhamel).

Wir wollen nun, nachdem wir spezielle Formen von Integralen kennen gelernt haben, zu Problemen der linearen Wärmeleitung übergehen, bei denen wir das allgemeine Integral bilden wollen. Die Diffgl. (86)

$$(86) \quad \frac{\partial \theta}{\partial t} = k \frac{\partial^2 \theta}{\partial x^2}$$

gilt allerdings nur in besonderen Fällen, nämlich wenn das Medium in Richtung der y - und z -Achse unendlich ausgebreitet ist, oder, im Falle eines dünnen Stabes, wenn dessen Mantelfläche gegen Wärmeverluste adiabatisch isoliert ist. Ist dies nicht der Fall, so bedarf die Diffgl. (86) einer Korrektur, die wir nunmehr aufbringen wollen. Schreiben wir (86) in der Form

$$\frac{\partial \theta}{\partial t} + \frac{\partial \theta}{\partial t} = k \frac{\partial^2 \theta}{\partial x^2} + \frac{\partial \theta}{\partial t},$$

so stellt $k \frac{\partial^2 \theta}{\partial x^2}$ die in dem Volumenelement pro Sekunde erzeugte Wärmemenge dar, und indem dies gleich $\frac{\partial \theta}{\partial t}$ gesetzt wurde, ist man Ausdruck gebrucht, daß die ganz zur Temperaturerhöhung dieses Volumens

elementes gekrümmt wird. Wenn aber Ableitung durch die Oberfläche des Stabes stattfindet, nämlich durch Strahlung, Leitung und Konvektion, so wird nicht die ganze strömte Menge $l \frac{\partial^2 \theta}{\partial x^2} dx$ zur Temperaturerhöhung verwendet, sondern diese Menge vermindert um die pro Zeiteinheit von der Oberfläche des Volumenelementes abgegebene Wärmemenge. Wir wollen annehmen, daß die Volumenelemente sich gegenseitig keine Wärme austauschen mögen; dann kommt der Verlust nur durch den Teil der Oberfläche zustande, an dem das Volumenelement freiliegt, eben durch den Mantel. Ein Stück des Mantels von der Länge dx und der Umfangslänge p hat die Fläche $p \, dx$, und wenn wir wie früher das Newtonsche Abkühlungsgesetz verwenden, so ist bei äußeren Temperatur θ_0 , die von dieser Fläche pro Sekunde ausgestrahlte Menge:

$$h p \, dx (\theta - \theta_0),$$

(h ist die sogenannte Strahlungskonstante), welche eben von $l \frac{\partial^2 \theta}{\partial x^2} dx$ abgeht; der Rest ruft die Temperaturerhöhung des Volumenelementes hervor. Wir erhalten also statt (85), wenn wir δt noch gleich $f \, dx$ setzen, wo f der Quotient des Stabes sein soll:

$$c c \frac{\partial \theta}{\partial t} f \, dx = l \frac{\partial^2 \theta}{\partial x^2} f \, dx - h p (\theta - \theta_0) \, dx,$$

oder nach Division mit $c c f \, dx$:

$$(107) \quad \frac{\partial \theta}{\partial t} = k^2 \frac{\partial^2 \theta}{\partial x^2} - \frac{h p}{c c f} (\theta - \theta_0).$$

Indem wir hier, wie schon früher, $\theta - \theta_0$ einfach durch θ bezeichnen, was wir uns für alle wesentlichen irrelevanten Nullpunktverschiebung der Temperaturwerte reservieren, und das positive Äquival

$$(108) \quad \frac{h p}{c c f} = k',$$

wo k' die sog. „äußere Temperaturabfahigkeit“ ist, einführen, gewinnt (107) die definitive Gestalt:

$$(109) \quad \frac{\partial \theta}{\partial t} = k^2 \frac{\partial^2 \theta}{\partial x^2} - k' \theta.$$

Die Integration dieser Gleichung ist übrigens durch eine einfache Substitution auf die der Gl. (84) zurückzuführen. Setzen wir nämlich:

$$(110) \quad \theta = e^{\frac{1}{2} k' x} \bar{\theta},$$

wo q eine zu bestimmende Konstante ist, so folgt durch Einsetzen in (109):

$$q \bar{\theta} + \frac{\partial^2 \bar{\theta}}{\partial x^2} = k^2 \frac{\partial^2 \bar{\theta}}{\partial x^2} - k' \bar{\theta}.$$

Bestimmen wir jetzt q so, daß

$$(111) \quad q = -k'$$

ist, so geht die letzte Gleichung über in

$$\frac{\partial \theta}{\partial t} = k^2 \frac{\partial^2 \theta}{\partial x^2},$$

d. h. eben in die Form der Gl. (94). Wir haben also, um ein Integral der neuen Gleichung (100) zu erhalten, nur notwendig, ein Integral von (94) mit $e^{-x^2/4k^2t}$ zu multiplizieren.

Wir wollen im folgenden hauptsächlich solche Fälle behandeln, deren experimentelle Ausführung sich zur Bestimmung der Wärmeleitfähigkeit k eignet.

Am einfachsten führt dazu, wenigstens zu einer relativen Messung, die Methode von Desormes. Denken wir uns einen Stab von der Länge l an dem Ende ($x = 0$) dauernd auf der Temperatur θ_0 gehalten, am anderen Ende ($x = l$) dagegen dauernd auf der Temperatur Null; die Außentemperatur, gegen die der Stab im Wärmeaustausch steht, sei ebenfalls Null. Es stellt sich dann bald ein stationärer Zustand her, in dem die aus (100) durch Nullsetzen von $\frac{\partial \theta}{\partial t}$ hervorgehende Gleichung gilt:

$$(102) \quad k^2 \frac{\partial^2 \theta}{\partial x^2} = k^2 \theta = 0.$$

Darauf treten die Randbedingungen:

$$(103) \quad \theta(0) = \theta_0, \quad \theta(l) = 0.$$

Da (102) eine gewöhnliche Differentialgleichung, linear, homogen und mit konstanten Koeffizienten, ist, so integrieren wir solche der oft benutzten Ansatz:

$$(104) \quad \theta = e^{ax}.$$

Damit ergibt sich aus (102) zur Bestimmung von a die Gleichung:

$$k^2 a^2 - k^2 = 0,$$

oder:

$$a = \pm \sqrt{\frac{k^2}{k^2}}.$$

Also erhalten wir die beiden Integrale:

$$\theta_1 = e^{+\sqrt{k^2}x}, \quad \theta_2 = e^{-\sqrt{k^2}x}.$$

Die mit beliebigen Konstanten A und B multipliziert und addiert das allgemeine Integral der Gleichung (102) haben:

$$(105) \quad \theta = A e^{+\sqrt{k^2}x} + B e^{-\sqrt{k^2}x}.$$

Die Konstanten A und B bestimmen sich durch die Randbedingungen. Diese lauten:

$$\theta(0) = \theta_0 = A + B,$$

$$\theta(l) = 0 = A e^{+\sqrt{k^2}l} + B e^{-\sqrt{k^2}l}.$$

und daraus folgen für A und B die Werte:

$$(116) \quad \begin{cases} A = -\delta_2 \frac{e^{-\sqrt{D}x_1}}{\sqrt{D}(\delta_1 x_1 - x_2 - \sqrt{D}x_3)} \\ B = +\delta_2 \frac{e^{\sqrt{D}x_1}}{\sqrt{D}(\delta_1 x_1 - x_2 - \sqrt{D}x_3)}. \end{cases}$$

Das allgemeine Integral (114) nimmt damit die Gestalt an:

$$\theta = \delta_2 \frac{e^{\sqrt{D}(\delta_1 x_1 - x_2 - \sqrt{D}x_3)}}{\sqrt{D}(\delta_1 x_1 - x_2 - \sqrt{D}x_3)}$$

oder, unter Einführung der hyperbolischen Funktion $\operatorname{Sh} \delta = \frac{e^{\delta} - e^{-\delta}}{2}$,

$$(117) \quad \delta = \delta_2 \frac{\operatorname{Sh} \sqrt{D}(\delta_1 x_1 - x_2 - \sqrt{D}x_3)}{\operatorname{Sh} \sqrt{D}x_1}.$$

Wendet man diesen Ausdruck auf drei äquivalente Stellen $\alpha_1, \alpha_2, \alpha_3$ an und beachtet man die Entfernung je zweier benachbarter Stellen mit d , so hat man aus (117):

$$\begin{aligned} \alpha_1 &= \delta_2 \frac{\operatorname{Sh} \sqrt{D}(\delta_1 x_1 - x_2)}{\operatorname{Sh} \sqrt{D}x_1}, \\ \alpha_2 &= \delta_2 \frac{\operatorname{Sh} \sqrt{D}(\delta_1 x_1 - x_3)}{\operatorname{Sh} \sqrt{D}x_1} = \delta_2 \frac{\operatorname{Sh} \sqrt{D}(\delta_1 x_1 - x_2 - d)}{\operatorname{Sh} \sqrt{D}x_1}, \\ \alpha_3 &= \delta_2 \frac{\operatorname{Sh} \sqrt{D}(\delta_1 x_1 - x_2 - \sqrt{D}d)}{\operatorname{Sh} \sqrt{D}x_1}. \end{aligned}$$

Aus der Definition der hyperbolischen Funktionen folgt man leicht der Satz¹⁾:

$$\operatorname{Sh} x + \operatorname{Sh} \delta = 2 \operatorname{Sh} \frac{x+\delta}{2} \operatorname{Ch} \frac{x-\delta}{2}.$$

Mit Hilfe dieses ergibt sich aus den obigen Gleichungen:

$$\alpha_1 + \alpha_3 = \frac{2\delta_2}{\operatorname{Sh} \sqrt{D}x_1} \operatorname{Sh} \sqrt{\frac{D}{2}} (\delta_1 x_1 - x_2 - d) \operatorname{Ch} \left(\sqrt{\frac{D}{2}} d \right),$$

also endlich:

$$\frac{\alpha_1 + \alpha_3}{\sqrt{\frac{D}{2}}} = \operatorname{Ch} \left(\sqrt{\frac{D}{2}} d \right) = \frac{e^{\sqrt{D}d} + e^{-\sqrt{D}d}}{2},$$

oder:

$$(118) \quad e^{\sqrt{D}d} + e^{-\sqrt{D}d} = \frac{\alpha_1 + \alpha_3}{\delta_2} \equiv \delta.$$

Daraus folgt unmittelbar:

$$(119) \quad \frac{D}{2} d^2 = \log \operatorname{nat} \left[\frac{\delta}{2} + \sqrt{\frac{\delta^2}{4} - 1} \right] \cdot \delta.$$

¹⁾ Vgl. z. B. Fuchs und Klenk, *Funktionentheorie*, pag. 1.

²⁾ Da $\frac{D}{2} d^2$ positiv ist, kommt nur das +-Zeichen vor der Wurzel in Betracht.

Durch Messung der drei Temperaturen θ_1 , θ_2 , θ_3 und der Länge l ergibt sich daraus sofort das Verhältnis $\frac{K}{\gamma\rho}$ für den betreffenden Stoff, z. B. einen Silberstab, d. h. das Verhältnis der äußeren und inneren Temperaturleitfähigkeit. Nimmt man ferner einen zweiten Stab gleicher Dimension, dem man (hier also durch Versilbern) die gleiche Oberflächenbeschaffenheit, d. h. denselben Wert von k' erteilt, so ergibt sich aus dieser Messung $\frac{K'}{\gamma'\rho'}$, wo der Index 1 sich auf den zweiten Stab bezieht. Geben wir das auf den ersten Stab bezüglichen Größen des Index 1, so ergibt sich das Verhältnis $\frac{k'^2}{\gamma\rho}$, das nach Definition (92) gleich ist: $\frac{k'}{k_0} \cdot \frac{\gamma_0}{\gamma} \cdot \frac{\rho_0}{\rho}$; folglich auch das Verhältnis $\frac{k'}{k_0}$ der Wärmeleitfähigkeiten, wenn die Dichten und die spezifischen Wärmekapazitäten bekannt sind. Die Leitvermögen können also durch diese Methode in relativen Maß, z. B. bezogen auf dasjenige des Silbers, gemessen werden.

Besonders einfach wird die obige Methode, wenn man den Stab so lang macht, daß der Quotient $\frac{e^{-\sqrt{h^2}x}}{e^{-\sqrt{h'^2}x}}$ außerordentlich klein ist. Dann vereinfacht sich (117) zu:

$$(118) \quad \theta = \theta_2 e^{-\sqrt{h'^2}x}.$$

Mißt man an zwei verschiedenen Stellen x_1 und x_2 die Temperaturen θ_1 und θ_2 , so erhält man

$$\frac{\theta_1}{\theta_2} = \left(\frac{e^{-\sqrt{h'^2}x_1}}{e^{-\sqrt{h'^2}x_2}} \right),$$

oder, wenn man die Logarithmen nimmt:

$$\log \theta_1 - \log \theta_2 = (x_1 - x_2) \sqrt{h'^2} \sqrt{h^2}.$$

oder:

$$(119) \quad \frac{h}{h'} = \left(\frac{x_1 - x_2}{\log \frac{\theta_1}{\theta_2}} \right)^2.$$

Dann verfährt man in derselben Weise mit einem gleichdimensionierten Stabe, dem man wieder dieselbe Oberflächenbeschaffenheit gibt, und erhält wie vorher die relativen Werte des Leitvermögens.

11. Lineare Wärmeleitung: Methode von Franz Neumann.

Neben der Despretischen Methode bedarf man natürlich noch einer anderen Methode; wir wollen von solchen diejenige von Franz Neumann besprechen, die neben einer von Angström die erste analytische Methode zur Bestimmung von k' war.

Wir stellen das folgende Problem aufzusetzen: Ein Stab von der Länge L wird frei an zwei Enden aufgehängt und an einem Ende erwärmt, bis der stationäre Zustand eingetreten ist. Dann wird die Wärme-

quelle entsteht und man beobachtet den allmählichen Ausgleich der Temperaturverteilung. Es ist nicht wesentlich, daß die anfängliche Erwärmung bis zur Erreichung des stationären Zustandes fort dauert; wir können auch allgemeinere sagen, daß dem Stabe durch Erwärmung an einem Ende eine bestimmte Temperaturverteilung zur Zeit $t = 0$ erteilt wird, die etwa durch $F(x)$ ausgedrückt werden kann, wo $F(x)$ eine gegebene Funktion von x ist.

Die Enden des Stabes sind völlig frei; es treten also an ihnen die Randbedingungen (27) hinzu. Da die nach innen gerichtete Normale an der Stelle $x = 0$ mit der positiven, an der Stelle $x = L$ dagegen mit der negativen x -Richtung übereinstimmt, lauten die an sichstellenden Bedingungen hier:

$$(126) \quad \begin{cases} \text{für } x = 0: & l \frac{\partial \theta}{\partial x} - h \theta = 0, \\ \text{für } x = L: & l \frac{\partial \theta}{\partial x} + h \theta = 0. \end{cases}$$

Der Verlust, der durch die Endflächen eintritt, ist jedoch um so kleiner, je dünner der Stab ist, so daß wir den Koeffizienten h in den obigen Gleichungen für solche dünnen Stäbe annähernd gleich Null setzen können. Nur mit diesem vereinfachten Problem wollen wir uns hier beschäftigen; das allgemeinere findet man z. B. in Kirschoffs Vorlesungen über die Theorie der Wärme, pag. 385, behandelt.

Es liegt also, wenn wir zusammenfassen, folgendes mathematische Problem vor: Gesucht ist eine Funktion θ von x und t , die in dem Intervalle von $x = 0$ bis $x = L$ für alle Zeiten $t > 0$ die Differentialgleichung befriedigt:

$$(126a) \quad \frac{\partial \theta}{\partial t} = k^2 \frac{\partial^2 \theta}{\partial x^2} - b^2 \theta,$$

an den Stellen $x = 0$ und $x = L$ die Bedingungen erfüllt:

$$(126b) \quad \begin{cases} \text{für } x = 0: & \frac{\partial \theta}{\partial x} = 0, \\ \text{für } x = L: & \frac{\partial \theta}{\partial x} = 0, \end{cases}$$

und endlich für $t = 0$ in eine gegebene Funktion $F(x)$ übergeht:

$$(126c) \quad \text{für } t = 0: \quad \theta(x) = F(x).$$

Aus dem allgemeinen Eindeutigkeitsbeweise wissen wir, daß, wenn überhaupt eine diesen Bedingungen genügende Funktion existiert, es nur eine einzige gibt, da sie durch die gegebenen Daten völlig bestimmt ist.

Wir setzen zunächst an:

$$(126d) \quad \theta = e^{-a^2 t} \varphi(x),$$

wo a^2 eine reelle, zu bestimmende Konstante ist; daß wir $-a^2$ negativ wohl setzen, rechtfertigt sich durch die Überlegung, daß für $t > 0$ ein

Ausgleich des Temperaturdifferenzes erfolgt. Mit diesem Ansatz gilt die Dögl. (124a) in die folgende für $\varphi(x)$ über:

$$(125) \quad \varphi''(x) + \lambda \varphi(x) = 0; \quad \lambda = \frac{a^2 - h^2}{\gamma^2},$$

wo jetzt λ , wegen des unbekannten a^2 , eine unbekannte, zu bestimmende Konstante ist. Ohne Rücksicht auf die Grenzbedingungen (123b) kann die allgemeine Lösung von (125) offenbar die folgende:

$$(126) \quad \varphi(x) = A_1 \sin \sqrt{\lambda} x + B_1 \sin |\sqrt{\lambda} x|.$$

Setzt man aber den Ansatz (124) in die Grenzbedingungen (123b) ein, so erhalten wir für $\varphi(x)$ die neuen Bedingungen:

$$(127) \quad \varphi'(0) = \varphi'(L) = 0.$$

Das liefert nun, mit (126) kombiniert, folgendes: Für $x = 0$ folgt:

$$B_1 \sqrt{\lambda} = 0,$$

was durch die Annahme $B_1 = 0$ erfüllt werden kann (Die andere Annahme $\lambda = 0$ würde die triviale Lösung $\varphi = 0$ liefern, die wir stets ausschließen); Gl. (126) wird demnach:

$$(126a) \quad \varphi(x) = A_1 \sin \sqrt{\lambda} x.$$

Jetzt liefert die gleiche Bedingung (127) die Gleichung:

$$\varphi'(L) = 0 = -A_1 \sqrt{\lambda} \sin \sqrt{\lambda} L,$$

und diese läßt sich, wenn wieder der triviale Fall ausgeschlossen wird, durch die Annahme erfüllen:

$$(128) \quad \sqrt{\lambda} L = r\pi; \quad (r = 0, 1, 2, \dots, \infty).$$

Es gibt also eine unendliche Anzahl möglicher Funktionen für $\varphi(x)$, die wir jetzt durch $\varphi_r(x)$ bezeichnen und die die „Eigenfunktionen“ des oben charakterisierten Randwertproblems sind; dazugehört gibt es unendlich viele Werte von λ , die sogenannten „Eigenwerte“ λ_r :

$$(129) \quad \lambda_r = \frac{r^2 \pi^2}{L^2}; \quad (r = 0, 1, 2, \dots, \infty),$$

wodurch sich nach (125) eine unendliche Folge von Werten a_r^2 ergibt:

$$(130) \quad a_r^2 = \frac{r^2 \pi^2 \gamma^2}{L^2} + h^2; \quad (r = 0, 1, \dots, \infty).$$

Schreiben wir in (124a) jetzt A_r statt A_1 , so erhalten wir die Eigenfunktionen:

$$(131) \quad \varphi_r(x) = A_r \cos \frac{r\pi x}{L}; \quad (r = 0, 1, \dots, \infty).$$

Wir erhalten also nach (124) eine partielle Lösung θ_r unseres Problems:

$$(132) \quad \theta_r = e^{-a_r^2 t} \varphi_r(x) = A_r e^{-a_r^2 t} e^{-\frac{h^2 x^2}{2\gamma^2}} \cos \frac{r\pi x}{L}.$$

und, indem wir addieren, die allgemeine Lösung mit unendlich vielen die-
gestellten Konstanten:

$$(133) \quad \theta = \sum_{i=1}^{\infty} \theta_i = e^{-\nu x} \sum_{i=1}^{\infty} A_i e^{-\frac{\lambda_i^2 x^2}{2}} \cos \frac{\lambda_i \pi x}{L}.$$

Setzen wir darin die Zeit $t = 0$, so müssen die Konstanten A_i so be-
stimmt werden, daß Gl. (133a) erfüllt wird, also muß gelten:

$$(134) \quad \theta(x) = \sum_{i=1}^{\infty} A_i \cos \frac{\lambda_i \pi x}{L}.$$

Damit sind wir wieder auf das Problem gestellt, eine willkürliche Funk-
tion $\theta(x)$ nach Eigenfunktionen zu entwickeln. Wir wollen indessen an
dieser Stelle darauf nicht näher eingehen, da es für die Normalkoche-
Methode nicht erforderlich wird, sondern wir wollen uns fragen, welche
Gewicht bei beliebiger Konstantenbestimmung die Lösung (133) nach Ver-
lauf so großer Zeit verleiht, daß wir uns auf die ersten Glieder be-
schränken dürfen. Daß dies überhaupt der Fall sein wird, erkennt man
leicht durch Betrachtung des Faktors $e^{-\frac{\lambda_i^2 x^2}{2}}$, der mit wachsender Zeit
stark abnimmt, und zwar um so stärker, je größer ν , d. h. die Ordungs-
zahl des betrachteten Gliedes ist. Es ist also schon nach hinreichend
langer Zeit möglich, Gl. (133) folgendermaßen abzukürzen:

$$(135) \quad \theta = e^{-\nu x} \left\{ A_0 + A_1 e^{-\frac{\lambda_1^2 x^2}{2}} \cos \frac{\lambda_1 \pi x}{L} \right\},$$

und diese Gleichung werden wir auf den Anfangsquerschnitt ($x = 0$) und
den Endquerschnitt ($x = L$) an. Dies liefert:

$$\begin{aligned} \theta(0) &= e^{-\nu \cdot 0} \left\{ A_0 + A_1 e^{-\frac{\lambda_1^2 0^2}{2}} \right\}, \\ \theta(L) &= e^{-\nu L} \left\{ A_0 + A_1 e^{-\frac{\lambda_1^2 L^2}{2}} \right\}, \end{aligned}$$

und wenn wir die halbe Summe und Differenz bilden:

$$(136) \quad \begin{cases} \frac{\theta(0) + \theta(L)}{2} = A_0 e^{-\nu x}, \\ \frac{\theta(0) - \theta(L)}{2} = A_1 e^{-\left(\nu + \frac{\lambda_1^2 L^2}{2}\right)x}, \end{cases}$$

d. h. beide Ausdrücke stellen sich in ihrer vielfachen Abhängigkeit als reine
Exponentialfunktionen dar. Berechnen wir der Kürze halber $\frac{\theta(0) + \theta(L)}{2}$
mit θ , $\frac{\theta(0) - \theta(L)}{2}$ mit Φ , und logarithmieren, so folgt:

$$(137) \quad \begin{cases} \lg \theta = \lg A_0 - \nu x, \\ \lg \Phi = \lg A_1 - \left(\nu + \frac{\lambda_1^2 L^2}{2} \right) x. \end{cases}$$

Trägt man in einem Koordinatensystem $\log \delta$ bzw. $\log \delta^2$ als Ordinaten und die Zeit t als Abszisse auf, so erkennt man das Zeitmoment, von dem ab die Beschreibung auf zwei Glieder gestrichet ist, daran, daß in diesem Koordinatensystem die Gl. (137) gerade Linien darstellen. Die Steigung der ersten Geraden heißt also N , die äußere Temperaturleitfähigkeit, dann folgt aus der zweiten δ^2 , das innere Temperaturleitvermögen, und damit aus der spezifischen Wärme c und der Dichte α die Wärmeleitfähigkeit λ .

§ Es sei noch bemerkt, daß die Lösung (134), auch in der speziellen Form (144), nur dann einen Sinn hat, wenn die unendliche Reihe konvergiert. Darauf gehen wir zunächst nicht ein, sondern setzen die Konvergenz als gesichert voraus.

20. Lineare Wärmeleitung: Temperaturwellen.

Wir haben bisher bei unserem Ansatz zur Lösung der Gleichung der linearen Wärmeleitung

$$\partial = \alpha^2 \frac{\partial^2 \vartheta}{\partial x^2}$$

nur negative reelle Werte von α in Betracht gezogen, was dadurch zum Ausdruck gebracht wurde, daß wir $\alpha = -\alpha^2$ setzten, wie z. B. in der vorhergehenden Nummer. Wir wollen jetzt rein imaginäre Werte von α in Betracht ziehen, und setzen deshalb:

$$\alpha = \beta i,$$

so daß wir nunmehr den Ansatz verwenden werden:

$$(145) \quad \partial = e^{i\beta x} \vartheta(x).$$

Die physikalische Bedeutung desselben ist leicht herzustellen. Denn da die Differentialgleichung reelle Koeffizienten hat, so kann das Auftreten des Integrals in komplexer Form nur den Sinn haben, daß sowohl der reelle, als auch der imaginäre Teil für sich Integrale sind. Wir nehmen im folgenden immer den reellen Teil von (145), also, wenn der reelle Teil von $\vartheta(x)$ durch $R(x)$ und der imaginäre durch $J(x)$ bezeichnet werden, den Ausdruck:

$$(145a) \quad R(x) \cos \beta x - J(x) \sin \beta x.$$

Das heißt aber offenbar, daß an jeder beliebigen Stelle die Temperatur eine periodische Funktion der Zeit ist. Die Größe β heißt die Frequenz, d. h. die Schwingungszahl in 2 π Sekunden, so daß Schwingungszahl n und Schwingungsdauer T folgendermaßen mit β zusammenhängen:

$$(146) \quad \left\{ \begin{array}{l} n = \frac{\beta}{2\pi}, \\ T = \frac{1}{n} = \frac{2\pi}{\beta}. \end{array} \right.$$

Wir können einen derartigen Vorgang dadurch erzeugen, daß wir z. B. das eine Ende eines frei aufgehängten Stabes abwechselnd erhitzen und abkühlen, so daß die ganze Periode dieses Prozesses T beträgt. Wir setzen aus der Annahme (135) mit Einführung von T nach (139) in die Dgl. (132) ein. Dann folgt sofort für $\varphi(x)$ die Differentialgleichung:

$$(140) \quad \varphi''(x) = -\frac{K + \frac{2\pi i}{T}}{g^2} \varphi(x) = 0.$$

Hier setzen wir wie gewöhnlich eine Lösung an: $\varphi(x) = e^{ix}$, wo γ eine geeignete zu bestimmende Konstante ist, und finden für γ :

$$(141) \quad \gamma^2 = \frac{K + \frac{2\pi i}{T}}{g^2},$$

$$\gamma = \pm \frac{1}{g} \sqrt{K + \frac{2\pi i}{T}},$$

so daß wir für $\varphi(x)$ die beiden Lösungen erhalten:

$$(142) \quad \begin{cases} \varphi_1(x) = e^{+\frac{1}{g} \sqrt{K + \frac{2\pi i}{T}} x}, \\ \varphi_2(x) = e^{-\frac{1}{g} \sqrt{K + \frac{2\pi i}{T}} x}. \end{cases}$$

Die Form der Exponenten ist sehr un bequem, insofern dort eine Wurzel aus einem komplexen Ausdruck vorkommt. Wir wollen den reellen und imaginären Teil des Exponenten wirklich bilden. Wir setzen zu dem Zweck:

$$(143) \quad \sqrt{K + \frac{2\pi i}{T}} = \gamma + \delta i,$$

oder aufgelöst und gehoben:

$$(144) \quad K = \gamma^2 - \delta^2, \quad \frac{2\pi}{T} = \gamma \delta.$$

Zu beachten ist zunächst, daß wegen der ersten Gl. (144) $\gamma^2 > \delta^2$, d. h. $|\gamma| > |\delta|$ ist, und wegen der zweiten γ und δ das gleiche Vorzeichen haben müssen. Setzen wir $\delta = \frac{1}{\gamma} \frac{2\pi}{T}$ in die erste Gl. (144) ein, so folgt für γ die biquadratische Gleichung:

$$\gamma^4 - K\gamma^2 = \frac{4\pi^2}{T^2},$$

woraus für γ und damit für δ folgt:

$$(145) \quad \begin{cases} \gamma = \pm \sqrt{\frac{K}{2}} \pm \sqrt{\frac{K}{2} + \frac{4\pi^2}{T^2}}, \\ \delta = \pm \frac{\frac{2\pi}{T}}{\sqrt{\frac{K}{2}} \pm \sqrt{\frac{K}{2} + \frac{4\pi^2}{T^2}}}. \end{cases}$$

Beachtet man nicht, daß von der inneren Wurzel nur das Pluszeichen genommen werden darf, da sonst γ und δ komplex werden

wurden, was nach ihrer Definition ausgeschlossen ist. Vor der ersten Wurzel hat sodann das beide Größen entweder das Pluszeichen oder das Minuszeichen zu gelten, da γ und δ gleichen Vorzeichen haben müssen. Welches von beiden wir wählen, ist gleichgültig; entscheiden wir uns z. B. für das positive, so daß γ und δ beide positiv ausfallen, so folgt für beide Größen der entsprechende Wert:

$$(142) \quad \left\{ \begin{array}{l} \gamma = \sqrt{\frac{1}{2}} + \sqrt{\frac{1}{2} + \frac{1}{2\tau}}, \\ \delta = \frac{1}{\gamma} \sqrt{\frac{1}{2}} + \sqrt{\frac{1}{2} + \frac{1}{2\tau}}. \end{array} \right.$$

und damit wird (140):

$$(143) \quad \left\{ \begin{array}{l} \varphi_1(x) = e^{\frac{\gamma}{2}x} e^{\frac{\delta}{2}x}, \\ \varphi_2(x) = e^{-\frac{\gamma}{2}x} e^{-\frac{\delta}{2}x}. \end{array} \right.$$

Hätten wir γ und δ beide negativ gewählt, so würden sich stattdes $\varphi_1(x)$ und $\varphi_2(x)$ verkehrt haben. Nehmen wir nun (143) in (138) ein, so folgen die beiden partikulären Lösungen unserer Differentialgleichung:

$$\begin{aligned} \theta_1 &= e^{\left(\frac{\gamma}{2} + \frac{\delta}{2}\right)x} \int e^{-\left(\frac{\gamma}{2} + \frac{\delta}{2}\right)x} dx, \\ \theta_2 &= e^{-\left(\frac{\gamma}{2} + \frac{\delta}{2}\right)x} \int e^{\left(\frac{\gamma}{2} + \frac{\delta}{2}\right)x} dx. \end{aligned}$$

Von diesen können wir nur die zweite verwenden. Denn bei der ersten steigt mit wachsendem x die Temperatur längs des Stabes an (und zwar schließlich über jeden endlichen Wert hinaus, wenn die Länge l des Stabes unbegrenzt anwächst), was unserer Voraussetzung gemäß nicht möglich ist. Wir beschränken uns daher auf das zweite Integral, das wir stattdes θ setzen:

$$\theta = e^{-\frac{\gamma}{2}x} e^{-\frac{\delta}{2}x} \int e^{\left(\frac{\gamma}{2} + \frac{\delta}{2}\right)x} dx,$$

oder bei Beachtung auf den vollen Teil, den wir ja eigentlich suchen, und nach Multiplikation mit einer beliebigen Konstanten:

$$(144) \quad \theta = A e^{-\frac{\gamma}{2}x} \cos \left\{ \frac{\delta}{2}x - \frac{\delta}{2}x \right\}.$$

Die physikalische Bedeutung dieser Gleichung gilt es nun klarzustellen.

Schonst zeigt der Faktor $e^{-\frac{\gamma}{2}x}$ an, daß die Temperatur mit wachsendem x immer kleiner und kleiner wird; dieses Glied stellt also eine räumliche Dämpfung des Vorganges dar. Der Kosinus erhält im Argument sowohl t als auch x , d. h. das zweite Glied stellt einen räumlich und zeitlich periodischen Vorgang dar, anders ausgedrückt: eine Welle,

und zwar offenbar eine solche, die sich nach der Richtung der positiven x fortpflanzt. Wir haben also das Resultat: „Wenn an dem einen Ende eines sehr langen Stabes ein periodischer Temperaturschwankung erzeugt wird, so pflanzen sich dieser in Form von räumlich gedämpften Temperaturswellen durch den Stab fort.“

Bestimmen wir zunächst die Wellenlänge λ des Vorganges, d. h. die räumliche Periode. Daraus ergibt sich nach (145) so:

$$(146) \quad \lambda = \frac{2\pi h}{\gamma},$$

wo δ durch (145) bestimmt ist.

Um die Geschwindigkeit v der Fortpflanzung zu bestimmen, setzen wir den Quotienten in die Form: $\cos C \left(t - \frac{x}{v} \right)$. Das gilt nach (145):

$$\delta = A e^{-\frac{\gamma}{h} x} \cdot \cos \frac{2\pi}{T} \left(t - \frac{1}{2h\pi} x \right),$$

durch folgt für v :

$$(147) \quad v = \frac{2\pi h}{\gamma T},$$

was gemäß (146) gleich $\frac{\lambda}{T}$ ist, — die bekannte Relation, die für alle Wellenbewegungen gilt.

Um uns einen Überblick über das Quantitative der Erscheinung zu bekommen, der durch die komplizierte Form (145) von γ und δ ausdruckt wird, wollen wir die Sache zunächst dadurch vereinfachen, daß wir die äußere Wärmeableitung k' gleich Null annehmen, wodurch γ verkürzt, also nach (145) die räumliche Dämpfung vergrößert wird, was ja auch unmittelbar plausibel ist. Denn die von vornherein gegebene Moment, das eine räumliche Dämpfung herbeiführen muß, liegt ja offenbar in der völligen Wärmeisolation des Stabes. Wir sehen aber, daß auch für $k' = 0$ die Dämpfung keineswegs verschwindet, also noch einen andern Grund haben muß. Diesen eben finden wir, wenn wir $k' = 0$ setzen. Dann ist nach (145) für γ und δ :

$$(148) \quad \gamma = \delta = \sqrt{\frac{\pi}{T}},$$

und damit werden Wellenlänge und Fortpflanzungsgeschwindigkeit:

$$(149) \quad \left\{ \begin{array}{l} \lambda = 2\pi h \sqrt{\frac{T}{\pi}} = 2h \sqrt{\pi T}, \\ v = \frac{2\pi h}{T} \sqrt{\frac{T}{\pi}} = 2h \sqrt{\frac{h}{T}}. \end{array} \right.$$

Für den Koeffizienten der räumlichen Dämpfung ergibt sich:

$$(150) \quad \frac{\gamma}{h} = \frac{1}{h} \sqrt{\frac{\pi}{T}}.$$

Man erkennt daraus Folgendes (und das gilt auch noch angenähert, wenn die äußere Wärmeleitung nicht vernachlässigt wird): Die ständige Dämpfung der Wellen ist um so kleiner, je größer die Periode ist. Unter gleichen Umständen zeigt also die Welle mit derjenigen Periode am weitesten in den Stahl ein, die die längste ist.

Unsere Lösung (148) entspricht dem Zustande, daß an dem stehende $x = 0$ eine Temperaturschwingung $A \cos \frac{2\pi t}{T}$ erzeugt wird, d. h. eine rein harmonische Schwingung. Wenn man jedoch, wie vorhin geschildert, mit Hilfe einer Platte erzeugt und abnimmt, so wird man es im allgemeinen nicht mit einer rein harmonischen, sondern allgemeinen mit einer periodischen Funktion von der Periode T zu tun haben. Diese läßt sich auffassen als aus mehreren überschneidungsfähigen harmonischen Schwingungen bestehend mit den Perioden $T, T/2, T/3, T/4, \dots, T/n$ usw. Bezeichnet man die Periode der n -ten Schwingung T_n mit T_n , so würde nach (138) diese die Lösung entsprechen, wenn wir dort oberhalb des Index r auftragen:

$$(149) \quad \vartheta_n = A_n e^{-\frac{1}{2} \frac{x^2}{\lambda T_n}} \cos \left(\frac{2\pi n t}{T_n} - \frac{\pi}{4} \frac{x}{\lambda} \right),$$

wo gemäß (135) γ_n und δ_n definiert werden durch:

$$(150) \quad \gamma_n = \delta_n = \sqrt{\frac{2}{T_n}} = \sqrt{\frac{2\pi}{T}} = \gamma \quad \text{oder} \quad n = \delta \quad \text{oder} \quad \delta = n.$$

Deshalb können wir (146) schreiben:

$$\vartheta_n = A_n e^{-\frac{1}{2} \frac{x^2}{\lambda T_n}} \cos \left(\frac{2\pi n t}{T_n} - \frac{\pi}{4} \frac{x}{\lambda} \right),$$

und wenn wir eine unendliche Summe von überlagerten Ansätzen bilden, so folgt als allgemeine Lösung:

$$(151) \quad \vartheta = \sum_n \vartheta_n = \sum_n A_n e^{-\frac{1}{2} \frac{x^2}{\lambda T_n}} \cos \left(\frac{2\pi n t}{T_n} - \frac{\pi}{4} \frac{x}{\lambda} \right).$$

Dies entspricht der Annahme, daß die harmonisch erzeugte Temperaturschwingung für $x = 0$ den Wert habe:

$$(152) \quad \vartheta_0 = \vartheta = f(t) = \sum_n A_n \cos \frac{2\pi n t}{T_n}.$$

Die Koeffizienten A_n sind es zu bestimmen, daß diese Gleichung erfüllt ist. Voraussetzung ist dabei natürlich wieder die Konvergenz der Reihe überhaupt.

In großer Entfernung von der Erregungsstelle genügen nach dem Vorgehenden wenige Glieder der Reihe, um den Zustand auszudrücken. Dies liegt an der starken Abschwächung der Exponentialglieder mit zunehmender

des Schwingungsquadrats; schließlich wird man mit noch das zweite Glied mit der größten Periode T zu berücksichtigen haben. Das ist nur ein anderer Ausdruck dafür, daß die Welle mit der längsten Periode am weitesten dringt.

Diese läßt sich sehr schön an der Erde selbst nachweisen, die an ihrer Oberfläche in wesentlichen zwei periodische Erregungen erfährt, die eine durch den Wechsel der Jahreszeiten, die andere durch den Wechsel von Tag und Nacht. Rechnen wir die Zeit in Tagen, so ist die lange Periode T_1 gleich 365 Tagen, die kurze T_2 gleich 1 Tag. Die Dämpfungskoeffizienten dieser beiden Wellen verhalten sich nach (155) wie

$$\frac{\beta_2}{\beta_1} = \sqrt{\frac{T_2}{T_1}} = \sqrt{\frac{1}{365}} = \frac{1}{19}.$$

D. h. die jährliche Temperaturschwankung dringt 19mal so tief in das Erdinnere ein, als die tägliche; aus den Beobachtungen¹⁾ hat sich ergeben, daß bei uns die erste in einer Tiefe von 11 Metern, die zweite in einer solchen von 1 Meter vollständig erkennbar zu sein, was also sehr gut mit der Theorie stimmt.

Für das Verhältnis der Wellenlängen und Fortpflanzungsgeschwindigkeiten haben wir nach (153) und (154):

$$\frac{\lambda_2}{\lambda_1} = \sqrt{\frac{T_2}{T_1}} = \sqrt{365} \approx 19,$$

$$\frac{a_2}{a_1} = \sqrt{\frac{T_1}{T_2}} = \sqrt{\frac{1}{365}} \approx \frac{1}{19},$$

was gleichfalls gut mit der Beobachtung übereinstimmt.

Bemerkenswert ist noch, daß auf der Beobachtung von Temperaturwellen in einem Stein die vielfach angewandte Methode von Angström zur Messung der Leitfähigkeit beruht, auf die wir hier nicht weiter eingehen.

12. Entwicklung willkürlicher Funktionen nach Eigenfunktionen.

In Nummer 11 sind wir in Gl. (144) auf das Problem gestossen, die Koeffizienten A_n so zu bestimmen, daß die Gleichung erfüllt sei:

$$(144c) \quad F(x) = C \sum_{n=1}^{\infty} A_n \cos \frac{n\pi x}{L}.$$

Aus besonderen, gleich hervortretenden Gründen haben wir hier noch eine Konstante C hinzugefügt, was ja offensichtlich erlaubt ist, weil dadurch nur die Bedeutung der Koeffizienten A_n geändert wird.

Wie schon im ersten Bande betont wurde (pag. 615), liegt die Schwierigkeit nicht in der formalen Bestimmung der Koeffizienten, sondern im Nachweise, daß die so gebildete Reihe konvergiert. Die Koeffi-

¹⁾ Nach Messungen von Fahren in der Nähe von Nürnberg. Vgl. dazu: W. Thomson, *Math. u. phys. papers*, Bd. III, pag. 361E.

ebenfalls A_p lassen sich, wie im ersten Bande bereits ausführlich besprochen, und wie durch eine leichte Rechnung folgt, mittels folgender Eigenschaften der Eigenfunktionen bestimmen. Es ist:

$$C^2 \int_0^L \cos \frac{r\pi x}{L} \cos \frac{s\pi x}{L} dx = 0, \quad (r \neq s),$$

und

$$C^2 \int_0^L \cos^2 \frac{r\pi x}{L} dx = \frac{C^2 L}{2},$$

also, wenn wir $C = \sqrt{\frac{2}{L}}$ setzen und die „normierten“ Eigenfunktionen $\varphi_r(x)$ in Zukunft $\sqrt{\frac{2}{L}} \cos \frac{r\pi x}{L}$ bezeichnen, wenn $r \neq 0$, so haben wir allgemein geschrieben:

$$(136) \quad \begin{cases} \int_0^L \varphi_r(x) \varphi_s(x) dx = 0, \\ \int_0^L \varphi_r^2(x) dx = 1. \end{cases}$$

Der Fall $r = 0$ bedarf besonderer Erwähnung, da $\cos \frac{0\pi x}{L}$ hier offenbar gleich 1 ist; zur Erfüllung des zweiten Gl. (136) hat man daher zu setzen: $\varphi_0(x) = \sqrt{\frac{1}{L}}$. Wir haben also das folgende „normierte“ System der Eigenfunktionen:

$$(137) \quad \begin{cases} \varphi_r(x) = \sqrt{\frac{2}{L}} \cos \frac{r\pi x}{L}, \\ \varphi_0(x) = \frac{1}{\sqrt{L}}. \end{cases}$$

Der Koeffizient A_r in (134) bestimmt sich nun dersartig, daß wir (134) mit $\varphi_s(x) dx = \sqrt{\frac{2}{L}} \cos \frac{s\pi x}{L} dx$ multiplizieren und über das Intervall von 0 bis L integrieren. Das liefert:

$$\sqrt{\frac{2}{L}} \int_0^L f(x) \cos \frac{s\pi x}{L} dx = \frac{2}{L} \int_0^L \sum_{r=0}^{\infty} A_r \cos \frac{r\pi x}{L} \cos \frac{s\pi x}{L} dx,$$

also, wenn wir auf der rechten Seite die Reihenfolge von Integration und Summation vertauschen, was voraussetzt, daß die Reihe (134) gleichmäßig konvergent ist:

$$\sqrt{\frac{2}{L}} \int_0^L f(x) \cos \frac{s\pi x}{L} dx = \frac{2}{L} \sum_{r=0}^{\infty} A_r \int_0^L \cos \frac{r\pi x}{L} \cos \frac{s\pi x}{L} dx.$$

und das gilt nach (152) gerade A_n , so daß wir haben:

$$(153) \quad A_n = \sqrt{\frac{2}{L}} \int_0^{\frac{1}{2}L} P(x) \cos \frac{n\pi x}{L} dx = \int_0^{\frac{1}{2}L} P(x) \varphi_n(x) dx.$$

Für $n=0$ wird $\varphi_n(x) = \frac{1}{\sqrt{L}}$ und an Stelle des Faktors $\sqrt{\frac{2}{L}}$ tritt $\frac{1}{\sqrt{L}}$, so daß für das erste Glied einfach folgt:

$$(153a) \quad A_0 = \frac{1}{\sqrt{L}} \int_0^{\frac{1}{2}L} P(x) dx.$$

Es handelt sich nun um die Konvergenz der mit diesen Koeffizienten gebildeten Reihe (154). Diese wird am einfachsten nachgewiesen, indem man an einer Integralgleichung arbeitet. Man habe ein Problem aber bereits völlig erledigt, bei Gelöstenheit der Schwingungen eines Stabes, dessen Enden frei sind. Dort treten nämlich, wie in den Nummern 113 und 134 des ersten Bandes auseinandergesetzt worden ist, ebenfalls die Eigenfunktionen $\varphi_n(x) = \sqrt{\frac{2}{L}} \cos \frac{n\pi x}{L}$ (Gl. (21), pag. 681) auf, und es lag auch dort das Problem vor, eine gegebene Funktion $P(x)$ nach diesen Eigenfunktionen zu entwickeln. Der einzige Unterschied besteht darin, daß wir dort die Länge $L=1$ gewählt hatten, was offenbar unwesentlich ist. Wir können jedenfalls das Resultat unserer vorigen Betrachtungen übernehmen, daß in der Tat für unser Problem die Entwicklung (154) gebildet ist, vorausgesetzt, daß $P(x)$ stetig ist, die Randbedingungen erfüllt und stetige erste und stückweise stetige zweite Ableitungen besitzt. Von allen diesen Bedingungen kann man sich nachträglich auch befreien; vgl. über diese weitergehenden Punkte z. B. Kneser, Integralgleichungen, pag. 201f.

Wird statt der Randbedingung $\frac{\partial \theta}{\partial x} = 0$ an beiden Enden die Bedingung $\theta = 0$ vorgegeben haben, so wären die Eigenfunktionen dieses Problems gewesen:

$$\varphi_n(x) = \sqrt{\frac{2}{L}} \sin \frac{n\pi x}{L}, \quad (n = 1, 2, \dots, \infty)$$

und das dann vorliegende Entwicklungsproblem ist völlig identisch mit dem, das bei der schwingenden Saite auftritt und auf pag. 618ff. des ersten Bandes völlig erledigt ist, so daß die zu entwickelnde Funktion die oben genannten Eigenschaften besitzt. Auf die komplizierteren Randbedingungen gehen wir hier nicht ein, das Leser betrachte diese rein mathematischen Aufgabe wieder auf das schon genannte Buch von Kneser verweisend.

14. Das Fouriersche Integral.

In den speziellen bisher betrachteten Fällen war eine Funktion im Intervall $0 \leq x \leq L$ zu entwickeln in einer der folgenden Weisen:

$$F(x) = \sum_{n=1}^{\infty} A_n \sin \frac{n\pi x}{L},$$

$$F(x) = \sum_{n=1}^{\infty} B_n \cos \frac{n\pi x}{L},$$

wobei wir den Normierungsfaktor $C = \sqrt{\frac{2}{L}}$, der aus jetzt nicht interessiert, wieder gestrichen haben. Im allgemeinen wird es jedoch nicht möglich sein, eine gegebene Funktion stets in eine Sinus- oder Kosinusreihe zu entwickeln, sondern nur in eine gemischte Reihe. Es wird daher im allgemeinen das folgende Problem vorliegen:

$$(161) \quad F(x) = \sum_{n=1}^{\infty} A_n \sin \frac{n\pi x}{L} + A_0 + \sum_{n=1}^{\infty} B_n \cos \frac{n\pi x}{L}.$$

Eine Funktion, die durch eine solche Reihe dargestellt wird, ist natürlich auch periodisch, da jedes Glied der Reihe es ist. Die Periode ist offenbar gleich $2L$, weil jedes Glied, wenn x um $2L$ vergrößert wird, wieder denselben Wert annimmt. Also gilt:

$$F(x + 2L) = F(x).$$

Die Koeffizienten bestimmen sich wegen der Orthogonalitätseigenschaft von $\sin \frac{n\pi x}{L}$ und $\cos \frac{n\pi x}{L}$ (die nicht normiert sind) so:

$$(162) \quad \left\{ \begin{aligned} A_n &= \frac{1}{L} \int_{-L}^{+L} F(x) \sin \frac{n\pi x}{L} dx, \\ B_n &= \frac{1}{L} \int_{-L}^{+L} F(x) \cos \frac{n\pi x}{L} dx, \\ A_0 &= \frac{1}{2L} \int_{-L}^{+L} F(x) dx. \end{aligned} \right.$$

Daß wir hier die Integrationsvariable x statt α gewählt haben, ist offenbar gleichgültig. Setzen wir (162) in (161) ein, so folgt:

$$F(x) = \frac{1}{2L} \int_{-L}^{+L} F(\alpha) d\alpha + \frac{1}{L} \sum_{n=1}^{\infty} \left[\int_{-L}^{+L} F(\alpha) \sin \frac{n\pi \alpha}{L} d\alpha \sin \frac{n\pi x}{L} + \int_{-L}^{+L} F(\alpha) \cos \frac{n\pi \alpha}{L} d\alpha \cos \frac{n\pi x}{L} \right];$$

diese Gleichung kann geschrieben werden:

$$F(x) = \frac{1}{2L} \int_{-L}^{+L} F(x) dx + \frac{1}{2} \sum_{n=1}^{\infty} \int_{-L}^{+L} F(x) d(x) \left[\sin \frac{n\pi x}{L} \sin \frac{n\pi x}{L} + \cos \frac{n\pi x}{L} \cos \frac{n\pi x}{L} \right],$$

oder endlich:

$$(135) \quad F(x) = \frac{1}{2L} \int_{-L}^{+L} F(x) dx + \frac{1}{2} \sum_{n=1}^{\infty} \int_{-L}^{+L} F(x) \cos \frac{n\pi}{L} (x-x) dx.$$

In diese Form wollen wir die Frage aufheben, was aus dieser Gleichung wird, wenn wir L unendlich groß werden lassen, d. h. wenn die Stablänge und damit die Periode der Funktion $F(x)$ unendlich groß wird. Setzen wir:

$$(136) \quad \frac{x-L}{L} = x,$$

so wird wegen des unendlich groß werdenden L das eigentlich erste Glied x in der GröÙe als stetig variabel zu betrachten sein, und es ist offenbar:

$$(137) \quad dx = \frac{(x+1)}{L} dx = \frac{dx}{L} = \frac{dx}{L},$$

so daß $\frac{1}{L} = \frac{1}{x} dx$ wird. Wenn nun $\int_{-L}^{+L} F(x) dx$ einen endlichen Wert hat,

so wird das erste Glied im $\frac{1}{2L} \int_{-L}^{+L} F(x) dx$ dem Werte Null zustreben, und es folgt dann die Integraldarstellung von $F(x)$:

$$(138) \quad F(x) = \frac{1}{2} \int_{-\infty}^{+\infty} dx \int_{-\infty}^{+\infty} F(x) \cos x(x-x) dx.$$

Diese Gleichung nennt man das Fouriersche Integral, und es ist von einer Periodizität der Funktion $F(x)$ dabei keine Rede mehr, die doch bei der Darstellung (131) als Fouriersche Reihe natürlich vorausgesetzt werden mußte.

Die gegebene Herleitung ist keineswegs ein strenger Beweis für das Fouriersche Integral, bei dem von allen Dingen die Ausführung der Grenzübergänge genau untersucht werden muß. Darauf gehen wir hier nicht ein.⁷⁾

15. Wärmeleitung in einem unendlich langen Stab.

Wenn der wärmeleitende Stab, wie wir jetzt voraussetzen wollen, unendlich lang ist, verschwinden die Grenzbedingungen und es sind ledig-

⁷⁾ Vgl. z. B. Stieglitz-Wieher, Partielle Differentialgleichungen, 2. Aufl., Bd. I, pag. 419.

ließe die Differentialgleichung und der Anfangszustand gegeben, wodurch alles bestimmt sein muß:

$$\vartheta(0) = P(x)$$

Wir wollen annehmen, daß zur Zeit $t = 0$

$$\vartheta(0) = P(x)$$

sein soll, und es handelt sich nun darum, ϑ als Funktion von t und x zu bestimmen.

Wir gehen von unserem alten Ansatz aus

$$\vartheta = e^{-i\omega t} e^{-i\omega x} \int_0^\infty A(x) dx,$$

das wir hier nur noch $e^{-i\omega t}$ angesetzt haben, was offenbar nicht Kosinusches ist, sondern nur aus Bequemlichkeitsgründen gewählt, da das spätere Formeln etwas einfacher werden. Einsetzen in die Dgl. (107) liefert:

$$q''(x) + \frac{x^2}{2} q(x) = 0,$$

deren partikuläre Lösungen

$$\cos \frac{x}{2} \quad \text{und} \quad \sin \frac{x}{2}$$

sind. Denken wir uns jede dieser beiden partikulären Lösungen mit einer beliebigen Funktion $A\left(\frac{x}{2}\right)$ und $B\left(\frac{x}{2}\right)$ von x multipliziert, so erhalten wir eine spezielle Lösung für ϑ :

$$\vartheta_x = e^{-i\omega t} e^{-i\omega x} \left[A\left(\frac{x}{2}\right) \cos \frac{x}{2} + B\left(\frac{x}{2}\right) \sin \frac{x}{2} \right],$$

oder, wenn für $\frac{x}{2}$ der Klammer halber α , x^2 also gleich $4\alpha^2$ gesetzt wird:

$$(107) \quad \vartheta_x = e^{-i\omega t} e^{-i\omega x} [A(\alpha) \cos \alpha + B(\alpha) \sin \alpha],$$

und durch Bildung eines unendlichen Summen bzw. eines Integrals gleichzeitiger Ausdrücke finden wir das allgemeine Integral:

$$(108) \quad \vartheta = e^{-i\omega t} \int_0^\infty e^{-i\omega x} [A(\alpha) \cos \alpha + B(\alpha) \sin \alpha] d\alpha,$$

diese Gleichung wurde uns das gewünschte Resultat liefern, wenn wir $A(\alpha)$ und $B(\alpha)$ bereits so bestimmt hätten, daß ϑ für $t=0$ in $P(x)$ übergeht. Diese Bestimmung kann man mittels des Fourier'schen Integrals vornehmen. Aus (108) folgt für $t=0$:

$$\vartheta(0) = \int_0^\infty [A(\alpha) \cos \alpha + B(\alpha) \sin \alpha] d\alpha,$$

und dieses soll gleich $F(x)$ gemacht werden. Wir finden nun mittels des Fourierschen Integrals (166) die Gleichung für $F(x)$:

$$F(x) = \frac{1}{\pi} \int_0^{\infty} d\sigma \int_{-\infty}^{+\infty} P(\rho) \cos \sigma(x - \rho) d\rho,$$

und durch Gleichsetzung beider Integrale folgt:

$$\begin{aligned} \int_0^{\infty} \left[A(\rho) \cos \sigma x + B(\rho) \sin \sigma x \right] \\ - \frac{1}{\pi} \int_{-\infty}^{+\infty} P(\rho) \left[\cos \sigma x \cos \sigma \rho + \sin \sigma x \sin \sigma \rho \right] d\rho = 0, \end{aligned}$$

also muß sein:

$$A(\rho) \cos \sigma x + B(\rho) \sin \sigma x = \frac{1}{\pi} \int_{-\infty}^{+\infty} P(\rho) (\cos \sigma x \cos \sigma \rho + \sin \sigma x \sin \sigma \rho) d\rho,$$

oder:

$$\begin{aligned} A(x) \cos \sigma x + B(x) \sin \sigma x &= \frac{1}{\pi} \cos \sigma x \int_{-\infty}^{+\infty} P(\rho) \cos \sigma \rho d\rho \\ &+ \frac{1}{\pi} \sin \sigma x \int_{-\infty}^{+\infty} P(\rho) \sin \sigma \rho d\rho, \end{aligned}$$

also schließlich:

$$(168) \quad \begin{cases} A(x) = \frac{1}{\pi} \int_{-\infty}^{+\infty} P(\rho) \cos \sigma \rho d\rho, \\ B(x) = \frac{1}{\pi} \int_{-\infty}^{+\infty} P(\rho) \sin \sigma \rho d\rho, \end{cases}$$

womit die Funktionen A und B so bestimmt sind, daß (168) dem geforderten Anfangszustande angepasst wird. Wir erhalten also schließlich nach (165):

$$(170) \quad \theta = \frac{1}{\pi} \int_{-\infty}^{+\infty} e^{-k\sqrt{\sigma^2 + h^2} x} d\sigma \int_{-\infty}^{+\infty} P(\rho) \cos \sigma(x - \rho) d\rho,$$

eine Formel, die in der Tat θ als Funktion von x und t so darstellt, daß sie nur Null in $P(\rho)$ übergeht. Das vorgelegte Problem ist also gelöst. Der Faktor $e^{-k\sqrt{\sigma^2 + h^2} x}$ kann aus dem Integral herausgenommen werden, das übrig bleibende Integral ist die Lösung der Differentialgleichung

$$\frac{\partial \theta}{\partial t} = k^2 \frac{\partial^2 \theta}{\partial x^2},$$

mit gleich Null gesetzter rechter Wärmeeinlage. Das entspricht der schon früher gemachten Bemerkung, daß jedes Integral der allgemeinen

Gl. (109) durch Multiplikation mit dem Faktor $x^{-1/2}$ aus einem solchen der einfachen Gleichung erhalten wird.

Wir wollen jetzt der Lösung (109) eine andere Gestalt geben, die uns den Zusammenhang mit der früher ausführlich besprochenen „Hauptlösung“ zeigen wird.

Gl. (109) gilt für $t = 0$, und wir dürfen dann auf der rechten Seite die Reihenfolge der Integrationen vertauschen. Das liefert:

$$(111) \quad \theta = \frac{1}{\pi} x^{-1/2} \int_{-\infty}^{+\infty} F(\eta) d\eta \int_0^{\infty} x^{-1/2} e^{-\frac{\eta^2}{4x}} e^{-\eta^2 x} d\eta = x^{-1/2} x,$$

und damit ist das letzte Integral vermittle der Methode der komplexen Integration leicht auszurechnen. Wir wollen hier nur das Ergebnis angeben; die Auswertung findet man in allen Lehrbüchern der Funktionentheorie.¹⁾

Man erhält:

$$(112) \quad \theta = \frac{1}{2} \sqrt{\frac{\pi}{T \pi C}} x^{-1/2} \int_{-\infty}^{+\infty} F(\eta) e^{-\frac{\eta^2}{4x}} d\eta.$$

Man erkennt, daß unser Integral sich hier als Summe von Lösungen der Form (87) oder (88) darstellt, die wir früher als Hauptlösung bezeichnet haben und deren physikalische Bedeutung die Temperaturverteilung war, die durch eine momentane punktförmige Wärmequelle an Punkte x_0 erzeugt wird. Wir sehen hier, daß jede beliebige Temperaturverteilung als von ungenannten Momentanquellen bestehend angesehen werden kann.

Schließlich kann man nach (112) in eine dritte Gestalt setzen, die bereits Laplace gefunden hat. Führt man eine neue Variable ein durch die Definition:

$$(113) \quad x + 2\beta k \sqrt{T},$$

so folgt unmittelbar aus (112):

$$(114) \quad \theta = \frac{1}{\sqrt{\pi}} x^{-1/2} \int_{-\infty}^{+\infty} F(x + 2\beta k \sqrt{T}) x^{-1/2} d\beta.$$

Diese bringt am elegantesten zum Ausdruck, daß unsere Lösung wirklich dem geforderten Anfangszustande entspricht. Denn für $t = 0$ gilt sie über in:

$$(114a) \quad \theta(0) = \frac{1}{\sqrt{\pi}} \int_{-\infty}^{+\infty} F(x) x^{-1/2} d\beta.$$

¹⁾ Vgl. u. B. H. LANGE-WEBER, Partielle Differentialgleichungen, 3. Aufl., Bd. I, pag. 1688.

setzt man $F(x)$ aus dem Integral heraus, so folgt, da das dann übrig bleibende bestimmte Integral $\int_{-\infty}^{+\infty} e^{-F} dF$ den Wert $\sqrt{\pi}$ hat, in der Tat: $F(x) = F(x)$.

Die obige Form der Lösung, bzw. die nahe verwandte, werden bei manchen anderen Methoden zur Bestimmung der Wärmeleitfähigkeit benutzt, auf die es hier eingegangen muß, hinzuweisen.⁵⁾

12. Die Methode des elektrisch isolierten Körpers von E. Kohlrausch.⁶⁾

Zum Schluss wollen wir eine sehr originale Methode zur Bestimmung der Wärmeleitfähigkeit besprechen, die von E. Kohlrausch herrührt und in der physikalisch-technischen Sachkenntnis ausgebildet worden ist. Diese Methode ist wenigstens für Metalle wohl die genaueste, die wir besitzen. Der Grundgedanke ist folgender: Ein Stab (der übrigens variable Querschnitt haben kann) wird an seinen beiden Enden an die Elektroden einer starken Stromquelle angeschlossen, so daß die Ein- und Ausstrittsfläche des elektrischen Stromes Flächen konstanten Potentials sind. Dagegen halten wir beide auch auf konstanter Temperatur, so daß sie auch beide Isothermenflächen sind. Der Mittel ist gegen Wärmeverlust geschützt, der Wärme wird durch den elektrischen Strom erzeugt und nur an den beiden Kontaktstellen desselben abgeführt. Schließlich erreicht ein stationärer Zustand, sowohl des elektrischen, als auch des Wärmestromes. Wir werden in der Elektrizitätstheorie sehen, daß die elektrische Strömung genau derselben Differentialgleichung gehorcht, wie die thermische; also ist von vornherein klar, daß wegen des Zusammenfallens der Äquipotentialflächen und der Isothermenflächen zu Anfang und zu Ende des Stabes beide Arten von Flächen im ganzen Stab zusammenfallen müssen. Jede Fläche konstanter Temperatur ist zugleich eine solche konstanten elektrischen Potentials.

Im stationären Zustande liegen beide Arten von Flächen fest, und sowohl die elektrische, als die thermische Strömung geschoben in den natürlich ebenfalls zusammenfallenden elektrischen bzw. thermischen Stromlinien, d. h. senkrecht zu den Flächen konstanten Potentials und konstanter Temperatur. Wir können also nebeneinanderige Gebilde im Körper sehen, sogenannte „Stromlinien“, deren Wände ganz von Stromlinien gebildet werden, durch deren Wände also weder elektrischer noch thermischer Strom hindurchtritt (Fig. 11).

In Fig. 11 sind zunächst einige Isothermen- und Äquipotentialflächen eingezeichnet, die durch die Bezeichnungen (θ, φ_1) , (θ, φ_2) , ... charakterisiert sind. Dagegen ist die Stromlinie KK gezeichnet, deren Quer-

⁵⁾ F. A. Schulze, *Wied. Ann.* 46, pag. 507, 1893. — E. Grönwall, *Ann. d. Phys.* 8, pag. 48, 1903.

⁶⁾ Nach W. Foigt, *Thermodynamik*, Bd. I, pag. 443.

schneidet an den Flächen (δ_1, ν_1) und (δ_2, ν_2) mit f_1 und f_2 bezeichnet werde. Im stationären Zustande ist erstens der durch jede Stromröhre fließende elektrische Strom konstant, zweitens fließt die im Volumenelement dM der Stromröhre durch den Strom erzeugte Wärme nur durch die Flächen f_1 und f_2 , nicht durch den Mantel ab. Berechnen wir den Betrag der



Fig. 11

elektrischen Stromstärke, d. h. die Elektrizitätsmenge, die pro Sekunde durch die Querschnittsfläche fließt, mit f , den Querschnitt der Stromröhre an einer beliebigen Stelle mit f , so muß also ersteres im stationären Zustande die Gleichung gelten:

$$(173) \quad f \cdot j = i.$$

Ferner sei, wenn der Widerstand des Stromfeldes von der Länge ds zwischen den Querschnitten f_1 und f_2 mit α bezeichnet wird, die Joulesche Wärme pro Sekunde:

$$(174) \quad \int_V j^2 ds.$$

oder, da $\alpha = \frac{ds}{\gamma f}$, wenn γ das elektrische Leitvermögen bedeutet:

$$\int_V \frac{j^2}{\gamma} ds,$$

und die pro Sekunde zuleitende Wärmemenge ist offenbar:

$$h f_1 = h f_2,$$

also muß im stationären Zustande sein:

$$-h f_1 + h f_2 = \int_V \frac{j^2}{\gamma} ds.$$

Nun ist aber nach dem Taylorschen Satze, wenn hinter dem linearen Gliede abgebrochen wird:

$$h f_2 = h f_1 + \frac{d}{ds} (G f) ds,$$

also schließlich:

$$(175) \quad \frac{d}{ds} (G f) = \frac{C j^2}{\gamma}.$$

Ferner gilt, wenn λ die Wärmeleitfähigkeit ist:

$$(176) \quad j = -\lambda \frac{d\theta}{ds},$$

und eine ähnliche Beziehung besteht zwischen der elektrischen Stromung f und dem Potential φ :

$$(176) \quad f = -r \frac{d\varphi}{dx},$$

so daß unsere beiden Gleichungen (175) und (176) übergehen in die folgenden:

$$(178) \quad -rf \frac{d\varphi}{dx} = e,$$

$$(180) \quad -\frac{d}{dx} \left[rf \frac{d\varphi}{dx} \right] = rf \left(\frac{d\varphi}{dx} \right)^2,$$

und die letztere wird durch Elimination von (178) schließlich zu:

$$(181) \quad \frac{d}{dx} \left[rf \frac{d\varphi}{dx} \right] = e \frac{d\varphi}{dx}.$$

Dieses kann ohne weiteres integriert werden:

$$rf \frac{d\varphi}{dx} = e\varphi + C,$$

und wenn man diese durch (178) dividiert und eine neue Konstante A einführt, so ist endlich:

$$-\frac{r}{f} \frac{d\varphi}{dx} = \varphi + A,$$

oder integriert, mit einer zweiten Konstanten B :

$$(182) \quad -\frac{r}{f} \varphi = \frac{1}{2} \varphi^2 + A\varphi + B,$$

welche die Beziehung zwischen φ und r beim stationären Zustand in unserem Problem darstellt. Die Konstanten A und B können eliminiert werden, wenn man die obige Gleichung auf drei Querschnitten a , b , c anwendet. Man erhält so:

$$-\frac{r}{f} \varphi_a = \frac{1}{2} \varphi_a^2 + A\varphi_a + B,$$

$$-\frac{r}{f} \varphi_b = \frac{1}{2} \varphi_b^2 + A\varphi_b + B,$$

$$-\frac{r}{f} \varphi_c = \frac{1}{2} \varphi_c^2 + A\varphi_c + B,$$

und durch Subtraktion je zweier voneinander:

$$\frac{1}{f} (\varphi_a - \varphi_b) = \frac{1}{2} (\varphi_a^2 - \varphi_b^2) + A (\varphi_a - \varphi_b),$$

$$\frac{1}{f} (\varphi_b - \varphi_c) = \frac{1}{2} (\varphi_b^2 - \varphi_c^2) + A (\varphi_b - \varphi_c),$$

oder:

$$\frac{\frac{1}{f} (\varphi_a - \varphi_b) - (\varphi_a^2 - \varphi_b^2)}{\frac{1}{f} (\varphi_b - \varphi_c) - (\varphi_b^2 - \varphi_c^2)} = \frac{\varphi_a - \varphi_b}{\varphi_b - \varphi_c},$$

und daraus endlich:

$$(188) \quad \frac{1}{\gamma} = \frac{1}{2} \left(\frac{1}{\kappa_1} \frac{H_1 - q_1(H_1 - q_1)}{H_1 - q_1} + \frac{1}{\kappa_2} \frac{H_2 - q_2(H_2 - q_2)}{H_2 - q_2} + \frac{1}{\kappa_3} \frac{H_3 - q_3(H_3 - q_3)}{H_3 - q_3} \right).$$

Beobachtet man also an drei zusammengehörigen Stößen des Stabes die zusammengehörigen Werte von θ und φ , so ergibt Gl. (188) das Verhältnis des Wärmeleitvermögens zum elektrischen Leitvermögen. Da letzteres sehr genau bestimmt werden kann, so hat man damit auch κ selbst. Messungen nach dieser Methode sind von Jager und Diensthorst angestellt worden; wir geben in der nächsten Nummer auf dasselbe näher ein.

15. Dimensionen; Einheitsausdrücke.

Wir haben bereits in Nummer 3 erwähnt, daß wir vorläufig nicht anstreben, die Einheiten „Kalorien“ und „Grad“ auf absolutes Maß zurückzuführen, d. h. auf die Einheiten der Masse, der Länge und der Zeit. Wir haben deshalb bereits die spezifische Wärme in der Tabelle auf pag. 10 in $\left[\frac{\text{cal}}{\text{gr}^\circ \text{cm}^3} \right]$ -Einheiten ausgedrückt lassen. Jetzt wollen wir uns die Dimensionen des Wärme- und Temperaturleitvermögens ansehen.

Wir gehen zur Bestimmung der Dimensionen des Wärmeleitvermögens aus. Wir setzen uns von Gl. (86) oder (87). Schreiben wir diese in obigen Klammern, um anzuzeigen, daß es sich hier um eine Dimensionsgleichung handelt, so folgt:

$$[\kappa] = \left[\frac{1}{\theta \frac{d\theta}{dx}} \right]$$

Da nun θ nach Definition eine Wärmemenge pro Schwere und Flächeneinheit,

$$[\theta] = \frac{\text{cal}}{\text{cm}^2 \text{ sec}},$$

sowie da

$$\left[\frac{d\theta}{dx} \right] = \frac{\text{gr cal}}{\text{cm}}$$

ist, so haben wir für die Dimensionen von κ :

$$(189) \quad [\kappa] = \left[\frac{\text{cal cm}}{\text{cm}^2 \text{ gr cal} \text{ sec}} \right] = \left[\frac{\text{cal}}{\text{cm sec gr cal}} \right].$$

Da in Japan Kalorien und Grade schreiben, so ist eine Umrechnung von κ auf absolutes Maß vorläufig ebenfalls nicht möglich.

Anders sieht es in dieser Beziehung dagegen mit dem Temperaturleitvermögen λ . Das bestimmen wir am besten von der Gl. (81):

$$[\lambda] = \left[\frac{\frac{d\theta}{dx}}{d\theta} \right].$$

d. h.

$$(183) \quad [k] = \left| \frac{\text{cm}^2}{\text{sec}} \right|;$$

also ist k^2 von der Dimension Fläche durch Zeit, wie im absoluten System ausdrückbar ist.

Die folgende Tabelle enthält für einige der wichtigsten Stoffe die Größe des thermischen Leitvermögens k ; k^2 braucht nicht angegeben zu werden, da es aus k vermehrte Dichte ρ und spezifische Wärme c leicht zu berechnen ist. Die Messungen für Metalle sind größtenteils von Jagen und Dierschke nach der Methode von Kohlrausch ausgeführt worden.

Tabelle.

Stoff	k in $\frac{\text{cm}^2}{\text{sec}}$	Stoff	k in $\frac{\text{cm}^2}{\text{sec}}$
Ag	1,086	Quarz	$500 \cdot 10^{-7}$
Cu	0,9810	Granit (Porland)	$70 \cdot 10^{-7}$
Al	0,7803	Quarz	$35 \cdot 10^{-7}$
Al	0,6804	Fluss	$3,2 \cdot 10^{-7}$
Zn	0,2668	Elk	$370 \cdot 10^{-7}$
Ed	0,2316	Wasser	$540 \cdot 10^{-7}$
Fe	0,1583	Queck	$1600 \cdot 10^{-7}$
Pt	0,1384	Wismut	$1480 \cdot 10^{-7}$
Fe	0,1236	Konglas	$180 \cdot 10^{-7}$
Fe	0,0827	Fastglas	$140 \cdot 10^{-7}$
Is	0,004	Alkohol	$20 \cdot 10^{-7}$
Hg	0,0077	Wasserdampf	$40 \cdot 10^{-7}$
Wied	0,35	Wasser	$140 \cdot 10^{-7}$
Magnetschl	0,25	Glycerin	$80 \cdot 10^{-7}$
Kunststein	0,004	Leb	$5,5 \cdot 10^{-7}$
Wagners	0,005	Argon	$5,5 \cdot 10^{-7}$
		O ₂	$5,5 \cdot 10^{-7}$
		Lu	$24 \cdot 10^{-7}$
		H ₂	$23 \cdot 10^{-7}$
		N ₂	$5,5 \cdot 10^{-7}$

Zweites Kapitel

Der erste Hauptsatz der Wärmetheorie.

§8. Das Energieprinzip in der Mechanik.

Bisher hatten wir uns der Hypothese angeschlossen, daß die Wärme ein unzerstörbarer und umwandelter Stoff sei. Die Einschränkungen der Umwandlung sind damit vorläufig, nicht aber die Gestalt der bekannten Tatsachen, die uns vielmehr zu dem Schlusse nötigen, daß die Wärme einer der kinetischen und potentiellen Energie ähnlich-, bezogen, eine neue Form der Energie sei.

Damit der Gedankengang dieser Entwicklung klar hervortritt, wenden wir zunächst einen Blick auf die Bedeutung des Energieprinzips in der Mechanik.

Wir denken uns zunächst ein System, d. h. nach außen hin völlig abgeschlossen materielles System, etwa aus n Massenpunkten bestehend. Die Kraft, die auf einen beliebigen (n .) von ihnen wirkt, soll aus herrühren von den übrigen ($n - 1$) Massenpunkten, also nur abhängen von den Massen und ihren relativen Entfernungen von dem betrachteten n -ten Massenpunkt. Unter dieser Voraussetzung haben wir früher gezeigt, daß die Kraftkomponenten auf eine beliebige Masse m_i (mit den Koordinaten x_i, y_i, z_i) sich als negative partielle Differentialquotienten nach x_i, y_i, z_i einer einzigen Funktion Φ darstellen lassen, die nur von den Koordinaten x_1, y_1, z_1 bis x_n, y_n, z_n abhängt. Also, wenn X_i, Y_i, Z_i die Komponenten der auf den i -ten Massenpunkt wirkenden Kraft bedeuten, so ist:

$$(1) \quad \begin{cases} X_i = - \frac{\partial \Phi}{\partial x_i} \\ Y_i = - \frac{\partial \Phi}{\partial y_i} \\ Z_i = - \frac{\partial \Phi}{\partial z_i} \end{cases} \quad (i = 1, 2, \dots, n)$$

Die Größe Φ nennen wir früher die potentielle Energie des Systems. Bilden wir nun für sämtliche Massenpunkte des Systems die Bewegungsgleichungen, indem wir zu jeder Kraft X_i, \dots die d'Alembertsche Trägheitskraft $-m_i \frac{d^2 x_i}{dt^2}, \dots$ hinzufügen und die Summe gleich Null setzen, so haben wir mit Rücksicht auf (1):

$$(2) \quad \begin{cases} m_1 \frac{d^2 x_1}{dt^2} + \frac{\partial \Phi}{\partial x_1} = 0, \\ m_2 \frac{d^2 x_2}{dt^2} + \frac{\partial \Phi}{\partial x_2} = 0, \\ m_3 \frac{d^2 x_3}{dt^2} + \frac{\partial \Phi}{\partial x_3} = 0. \end{cases}$$

Diese Gleichungen erweitern wir der Reihe nach mit $\frac{d^2 x_4}{dt^2}$, $\frac{d^2 x_5}{dt^2}$, $\frac{d^2 x_6}{dt^2}$, addieren und summieren über das ganze System, d. h. lassen den Index ν von 1 bis n variieren. So folgt die Gleichung:

$$\sum_{\nu=1}^{12} m_{\nu} \ddot{x}_{\nu} + \sum_{\nu=1}^{12} \left(\frac{\partial \Phi}{\partial x_{\nu}} \ddot{x}_{\nu} + \frac{\partial \Phi}{\partial y_{\nu}} \ddot{y}_{\nu} + \frac{\partial \Phi}{\partial z_{\nu}} \ddot{z}_{\nu} \right) = 0,$$

oder nach bekannten Umformungen (siehe Bd. I, pag. 318 ff.):

$$\frac{d}{dt} \left[\frac{1}{2} \sum_{\nu=1}^{12} m_{\nu} (\dot{x}_{\nu}^2 + \dot{y}_{\nu}^2 + \dot{z}_{\nu}^2) + \Phi \right] = 0,$$

oder, da $\frac{1}{2} \sum_{\nu=1}^{12} m_{\nu} (\dot{x}_{\nu}^2 + \dot{y}_{\nu}^2 + \dot{z}_{\nu}^2)$ offenbar die gesamte kinetische Energie L darstellt:

$$(3) \quad L + \Phi = \text{const.}$$

Setzen wir die Summe $L + \Phi = E^{(2)}$, so haben wir das uns längst bekannte Gesetz, daß bei rein mechanischen Problemen die Energie $E^{(2)}$ eines abgeschlossenen Systems konstant bleibt, daß also ihre Änderung gleich Null ist:

$$(4) \quad \begin{cases} E^{(2)} = \text{Const.}, \text{ oder} \\ E_1^{(2)} - E_2^{(2)} = 0, \text{ oder} \\ dE^{(2)} = 0. \end{cases}$$

Das ist der Energieerhalt der Mechanik.

Wir können denselben erweitern auf nicht abgeschlossene Systeme, bei denen außer den Kräften $X_{\nu} = -\frac{\partial \Phi}{\partial x_{\nu}}$ auch andere, die wir durch den oberen Index α unterscheiden wollen und die äußere Kräfte genannt werden mögen, wirken. Dann lautet die Bewegungsgleichung statt (2):

$$(5) \quad \begin{cases} m_{\nu} \ddot{x}_{\nu} + \frac{\partial \Phi}{\partial x_{\nu}} = X_{\nu}^{\alpha}, \\ m_{\nu} \ddot{y}_{\nu} + \frac{\partial \Phi}{\partial y_{\nu}} = Y_{\nu}^{\alpha}, \quad \nu = 1, 2, \dots, n, \\ m_{\nu} \ddot{z}_{\nu} + \frac{\partial \Phi}{\partial z_{\nu}} = Z_{\nu}^{\alpha}. \end{cases}$$

[1] Der Index „ α “ soll auf mechanische Energie hindeuten.

Wirden diese wieder mit $\delta_{11}, \delta_{12}, \delta_{13}$ multipliziert, addiert und wird über das ganze System summiert, so bleibt die linke Seite im Vergleich zu (6) ganz unverändert, nur tritt rechts hinzu:

$$\sum_i \delta_{11}^2 A_i = \delta_{11}^2 p_1 + \delta_{11}^2 A_1.$$

so daß wir erhalten:

$$(8) \quad \frac{dE^{(1)}}{dt} = \sum_i \delta_{11}^2 A_i + \delta_{11}^2 p_1 + \delta_{11}^2 A_1.$$

Dabei bedeutet nach den Grundgesetzen der Mechanik der rechts stehende Ausdruck die Arbeit der äußeren Kräfte pro Zeiteinheit, oder kurz die „äußere Arbeit“ pro Zeiteinheit, die wir durch $\frac{dA}{dt}$ bezeichnen. Daraus geht (8) über in:

$$\frac{dE^{(1)}}{dt} = \frac{dA}{dt}$$

oder, zwischen zwei Zeiten integriert:

$$(9) \quad E_2^{(1)} - E_1^{(1)} = A_{12}.$$

Dabei bedeutet $E^{(1)}$ die Energie in der Zeit t_1 , oder auch die Energie des Systems in der Lage (I), in der sich das System zur Zeit t_1 befindet; entsprechende Bedeutung hat $E_2^{(1)}$. A_{12} bedeutet dabei die äußere Arbeit, die geleistet werden mußte, um das System von der Lage (I) in die Lage (II) zu bringen. Diese Beziehung nennen wir den „verallgemeinerten Hauptsatz“, versteht in dem Sinne, daß wir das hier an nicht freien System hergeleitet haben. In Worten: „Die Zunahme der Energie eines mechanischen Systems ist gleich der von den äußeren Kräften geleisteten Arbeit.“ Aber da man jeden beliebigen System durch Hinzunahme der Massenpunkte, die die äußeren Kräfte δ^2 ausüben, selbst frei machen kann, so kann man durch geeignete Begrenzung des Systems das Energieprinzip der reinen Mechanik stets in die Form (4) bringen. Es geht daraus hervor, daß in der reinen Mechanik, die Arbeit A_{12} , die notwendig ist, um ein System aus der Lage (I) in die Lage (II) zu bringen, nur abhängt von der Lage (I) und der Lage (II), nicht aber von der Art und Weise, wie gelangt „von dem Wege“, auf dem das System von der Anfangslage in die Endlage übergeführt wird. Aus (4) (5) ergibt sich damit, daß die Energie $E^{(1)}$ gleichfalls nur von dem augenblicklichen Zustande des Systems abhängen kann; $E^{(1)}$ ist also eine eindeutige Funktion der das System bestimmenden Größen, d. h. der Koordinaten desselben.

Anderer liegt die Sache, wenn außer den reinen Bewegungsgrößen der Mechanik noch eine Bahngeschwindigkeit in Betracht zu ziehen sind, die der Geschwindigkeit proportional und ihr entgegengesetzt gerichtet sind. Wir wollen dies annehmen, und dem ν -ten Massenpunkt wirkt noch eine Bei-

bezugnehmend auf die Komponenten $-k \dot{x}_1, -k \dot{x}_2, -k \dot{x}_3$, wo die positive Größe k der sogenannte „Reibungskoeffizient“ ist. Dann lautet die Bewegungsgleichung statt (2):

$$(3) \quad \begin{cases} m_1 \ddot{x}_1 + \frac{\partial \mathcal{E}}{\partial \dot{x}_1} = -k \dot{x}_1, \\ m_2 \ddot{x}_2 + \frac{\partial \mathcal{E}}{\partial \dot{x}_2} = -k \dot{x}_2, \\ m_3 \ddot{x}_3 + \frac{\partial \mathcal{E}}{\partial \dot{x}_3} = -k \dot{x}_3, \end{cases}$$

Wollten wir, wir betrachten ein freies System, auf das keine äußeren Kräfte \mathcal{E}_i^* einwirken. Erweitern wir wie vorher diese Gleichungen der Reihe nach mit $\dot{x}_1, \dot{x}_2, \dot{x}_3$ und gehen überhaupt ganz so vor wie vorher, so bleibt links alles beim alten, rechts dagegen tritt der Ausdruck auf:

$$-k \sum_{i=1}^3 (\dot{x}_1^2 + \dot{x}_2^2 + \dot{x}_3^2),$$

es folgt:

$$(4) \quad \frac{d\mathcal{E}^{(1)}}{dt} = -k \sum_{i=1}^3 \dot{x}_i^2,$$

wobei wir durch \dot{x}_i die Geschwindigkeit des i -ten Massenpunktes bezeichnen.

Da der Ausdruck auf der rechten Seite stets negativ ist, so folgt, daß beim Vorhandensein von Reibungskräften die mechanische Energie $\mathcal{E}^{(1)}$ eines freien Systems stets abnimmt.

18. Die Wärme als neue Energieform (J. R. Mayer, Joule, Helmholtz).

Der Energieatz (4) scheint danach auf die reine Mechanik beschränkt zu sein — wenn es nicht noch neue Energieformen gibt, deren Zunahme z. B. in dem oben betrachteten Falle die Abnahme der reinen mechanischen Energie infolge der Arbeit der Reibungskräfte kompensiert. Das ist eine Frage, die nur experimentell entschieden werden kann.

Man beobachtet nun, daß beim Vorhandensein von Reibung (d. h. wenn die rein mechanische Energie abnimmt), stets Wärme auftritt. Und zwar zeigt die Erfahrung, daß diese Wärme offenbar durch den Vorgang der Reibung, d. h. durch die Arbeit der Reibungskräfte erzeugt wird, im Gegensatz zu der Annahme, daß die Wärme ein unerschöpfbares und unerschöpfbares Stoff sei.

Genl. Rumford machte in der Münchener Kanonenfabrik 1792 folgende Beobachtung: Während ein Kanonenrohr ausgeschleift wurde, befand es sich unter Wasser; es entstand eine solche Wärme, daß das Wasser durch dieselbe zum Sieden gebracht werden konnte. Woher stammt diese Wärme? Bereits Rumford sprach es aus, daß sie durch die Reibung am erzeugt worden sei und offenbar in beliebig großem

Erwärmung erzeugt werden konnte, wenn der Vorgang der Reibung weitergeführt wurde. Indessen läßt sich folgender Einwand machen: Beim Reiben wurde das Eis durch massives Metall in Metallpulver verwandelt; wäre es nicht denkbar, daß dieses eine sehr viel kleinere spezifische Wärme hätte als das massive Stück? Wenn das feste Metall eine spezifische Wärme α und eine Temperatur θ hat, so wäre die Quantität der Wärmestoffe, die er enthält, nach der Definition der spezifischen Wärme [Einführung, 94. (1), pag. 7] pro Gramm offenbar gleich $\alpha\theta$; wenn nun das Metall im pulverisierten Zustande etwa nur die Wärmekapazität $\frac{1}{10}$ hätte, so würde aus der Stofftheorie, d. h. aus der Konstanz der Wärmemengen bei der Temperatur des Pulvers 10θ folgen, d. h. es würde sich auch nach dieser Auflösung der Temperatursteigerung erklären lassen. Man kann jedoch daraus zeigen, daß die spezifische Wärme des pulverisierten Metalls sich nicht von der des festen unterscheidet, und erwähnen hat Davy ein noch schlagenderes Experiment gemacht. Er ließ zwei Eisenstücke aneinander, was den Erfolg hatte, daß eine bestimmte Menge Eis sich in Wasser von derselben Temperatur verwandelte, was dem Auflösen einer bestimmten Wärme äquivalent ist, da zum Schmelzen von 1 g Eis 80 Kalorien erfordert werden. Hatte nun der Eisrand, daß das Wasser eine geringere spezifische Wärme habe als das Eis, nicht gemacht werden; vielmehr ist die spezifische Wärme des Eises ungefähr 0,58, die des Wassers dagegen 1, also fast doppelt so groß.

Der Schluß ist also unzweifelhaft, daß durch Reibung Wärme erzeugt werden ist, allgemeinere gesagt, daß durch Leistung von Arbeit Wärme erzeugt worden ist. Damit ist auf jeden Fall die Stofftheorie der Wärme gefallen.

Was ist damit aber nun Wärme? Da Wärme durch Arbeit erzeugt werden kann, so liegt es nahe, zu denken, daß die Wärme eine Form der Energie sein möchte. Wenn dies der Fall ist, so müßte wir verlangen, daß eine bestimmte Arbeit, wenn sie in Wärme umgewandelt wird, jedesmal eine ganz bestimmte Menge von Wärme erzeugt, und zwar ganz gleichgültig, auf welche Weise die Umwandlung von Arbeit in Wärme vor sich geht, unabhängig sowohl von der Art des gewählten Prozesses, als auch von der physikalischen und chemischen Natur der dabei benutzten Materialien. Mit anderen Worten: Sei Q die in Kalorien gemessene Wärme und A die in ihrer Erzeugung verbrauchte, in Erg gemessene Arbeit muß die feste Verhältnis bestehen: Eine Kalorie muß einem bestimmten Energiewert in Erg entsprechen. Ist dies der Fall?

Durch sorgfältige Versuche hat in den Jahren 1843—1850 J. P. Joule im der Tat den Beweis dafür gebracht. Der Gedankengang eines seiner Versuche ist folgender: Eine Masse M , die auf die Höhe h gehoben ist, repräsentiert eine Energie von Mgh Erg. Wenn man diese Masse sinken läßt, so leistet die Schwere Arbeit und diese wird in folgender Weise in

Wärme verwandelt: Die stehende Masse bewegt ein Schalenförm., das sich unter starker Reibung in einer Flüssigkeit dreht. Ist die Masse M zur Erde gezogen, so ist ihre Energie verschwunden und daher Wärme in der Flüssigkeit aufgetreten. Kennt man die Masse m und die spezifische Wärme c der Flüssigkeit und mißt ihre Temperaturerhöhung $\Delta\theta$, so ist die der Flüssigkeit zugeführte Wärmemenge gleich $m \cdot c \cdot \Delta\theta$ Kalorien.

Man wird der Quotient $\frac{M \cdot g \cdot h}{m \cdot c \cdot \Delta\theta}$ gebildet und findet meist, wenn die Wärme eine Energie ist, konstant und unabhängig von den Versuchsanordnungen sein. In der Tat, indem c die Energie in Meterkilogramm und die Wärme in Kilogrammkalorien mißt, als Mittel aus seinen zahlreichen Versuchen den Wert:

$$1 \text{ Kalorie} = 425 \text{ Meterkilogramm,}$$

ein Resultat, das zahlreiche neue Untersuchungen nur bestätigt haben. Als zur Zeit wahrscheinlich richtigster Wert (für einen Ort mittlerer geographischer Breite) ist zu nehmen:

$$1 \text{ Kilogrammkalorie} = 427 \text{ Meterkilogramm, oder}$$

$$1 \text{ Grammkalorie} = 427 \text{ Gramm.}$$

Bedeutet man die Grammzahl auf Erg, so ist die Zahl 427 mit $981 \cdot 10^3$ zu multiplizieren. Man erhält dann:

$$1 \text{ Grammkalorie} = 4,180 \cdot 10^7 \text{ Erg, oder rund:}$$

$$1 \text{ Grammkalorie} = 4,19 \cdot 10^7 \text{ Erg.}$$

Dabei ist mit Kalorie die Temperaturerhöhungskalorie zwischen $14,2^\circ$ und $15,5^\circ\text{C}$ gemeint.

Wie werden in Nr. 26 sehen, daß die in der Thermodynamik vorwiegend betrachtete Art der Arbeitsleistung die eines Drucks ist, den ein gegebenes Volumen verleiht. Mißt man die Drücke in Atmosphären, die Volumina in Litern, so erhält man als Einheit der Arbeit statt des Ergs die sog. „Liter-Atmosphäre“. Diese Wahl der Arbeitsinheit ist besonders in der physikalischen Chemie üblich. Wie werden deshalb hier angeben, wie sich Erg in Liter-Atmosphären und dann in Grammkalorien umrechnen. Man hat offenbar:

$$1 [\text{Liter}] \cdot [\text{Atmosphäre}] = 1000 (\text{cm}^3) \cdot 76 \cdot 13,6 \cdot 981 \left[\frac{\text{cm}}{\text{mm}} \right]^3 = 1,01 \cdot 10^9 \text{ Erg,}$$

und da 1 Kalorie gleich $4,19 \cdot 10^7$ Erg ist, so finden wir weiter:

$$1 \text{ L} \cdot \text{Atm.} = \frac{1,01 \cdot 10^9}{4,19 \cdot 10^7} \text{ cal} = 24,1 \text{ cal.}$$

woraus umgekehrt für 1 cal folgt:

$$1 \text{ cal} = \frac{1}{24,1} \text{ L} \cdot \text{Atm.} = 0,0415 \text{ L} \cdot \text{Atm.}$$

^{*)} Denn der Druck einer Atmosphäre ist gleich dem oben Quaderdruck von 76 cm Höhe leg. Gewicht = 13,6, also gleich $76 \cdot 13,6 \cdot 9,81 \frac{\text{cm}}{\text{mm}}$, wie oben angegeben.

Der Reaktionsfaktor, mit dem die Kalorien multipliziert werden müssen, um mechanische Einheiten, z. B. Erg, zu erhalten, heißt „das mechanische Wärmeäquivalent“. Die Existenz eines solchen ist die notwendige Vorbedingung dafür, daß Wärme eine Energielform ist und anderseits das letzte Fundament, auf dem diese Anschauung ruht.

Freile ist nicht der erste, der den Gedanken gefaßt hat, daß die Wärme eine Energielform sein könnte. Vielmehr gehört die Priorität dieses Gedankens dem schweizerischen Arzt Julius Robert Mayer. An dem 1842 bereits ganz klar ausgesprochen. Auch hat er bereits die Energie quer gesehen, daß im Falle der Richtigkeit dieser Anschauung sowohl Arbeit und Wärme als Formen von allen Verwandtschaftsgruppen ähnlichen Verhalten, eben das mechanische Wärmeäquivalent bestehen müsse. Er hat dieselbe sogar aus Versuchen von Gay-Lussac hergeleitet. In einer theoretisch ganz einwandfreien und richtigen Weise, die aus demselben zu einem ungenauen Werte führte, weil Gay-Lussacs unheimlich ungenaue Angaben nicht genau genug waren. Von aus diesem Grunde gebietet ihm auch noch die Polarität der unheimlichen Forderung des Wärmeäquivalents. Die Mayer'sche Methode der Berechnung werden wir später besprechen.

Welches ist nun die Bedeutung der Erkenntnis, daß die Wärme eine Energielform ist? Um diese Frage zu beantworten, bemerken wir zunächst einen Moment die Bedeutung des Energieprinzips in der neuen Mechanik. Es sagt dort aus, daß man mittels keiner noch so konstruierbaren Maschine auf rein mechanischem Wege die Energie vermehren kann. Es läßt sich also auf rein mechanischem Wege keine Maschine von der Fälschtheit bauen, daß sie mehr Energie liefert, als in sie hineingesteckt wird, so daß man ohne den Verlust an Energie verwenden könnte, die wiederum in die Maschine hineingesteckt wird so fort. Eine solche Maschine, die fortwährend Energie oder Arbeit aus nichts erzeugen könnte, hat man (nicht ganz passend) ein „Perpetuum mobile“ genannt. Sie würde bei dem Menschen einen ungeheuren Gewinn (ein mittelalt geordnetes Verbrechen, da sie kostbarer Arbeit liefert. So lange nun das Energieprinzip auf die Mechanik beschränkt blieb, konnte es als nicht ausgeschlossen scheinen, durch Hinzunahme anderer, nicht mechanischer Naturerscheinungen, z. B. von Wärme, zur Konstruktion eines Perpetuum mobile zu gelangen; der Gedanke für die Unmöglichkeit blieb natürlich der gleiche. Aber unsere neue Erkenntnis, daß die Wärme eine Form der Energie ist, lehrt, daß auch unter Zuhilfenahme irgendwelcher Warmmaschinen ein Perpetuum mobile nicht geschaffen werden kann.

Ist dies überhaupt möglich? Die Gesamtheit aller Erfahrung spricht dagegen. So bildet sich allmählich die Überzeugung aus, daß es überhaupt mit allen in der Welt vorhandenen Mitteln unmöglich ist, Energie zu schaffen oder zu zerstören. In klarer Form hat dies zuerst Mayer ausgesprochen, und schließlich hat Helmholtz diese allgeringste Fassung des Energieprinzips in seiner Schrift: „Über die Erhaltung der Kraft“ systematisch auf alle Naturerscheinungen angewendet.

In seiner allgemeinen Fassung lehrt das Energieprinzip also folgendes:

„Gegeben sei ein abgeschlossenes System, in dem beliebige mechanische, elektrische, thermische, chemische Vorgänge vor sich gehen mögen. Es ist auf keine Weise möglich, die Gesamtenergie E des Systems zu verändern, es sei denn, daß von außen her Arbeitswerte zugeführt werden. In diesem Falle ist die Zunahme der Energie gleich der Summe der von außen zugeführten Arbeitswerte; diesen letzteren Wert im allgemeinen Sinne gemeint, also z. B. auch von außen zugeführte Wärme in sich begreifend.“

Helmholtz hat, wie erwähnt, diesen Satz auf alle Gebiete der Physik angewandt und gezeigt, daß er mit keiner Erkenntnis im Widerspruch steht, wohl aber viele neue Ergebnisse liefert.

III. Das erste Hauptprinzip der Wärmetheorie.

Speziellieren wir die allgemeine Form des Energieprinzips nun für die Wärmetheorie! Wir haben zu diesem Zwecke nur auszusprechen, daß die einem System von außen zugeführte Wärme Q und die von außen auf das System geleistete Arbeit A dazu verwendet werden, die Gesamtenergie E zu vermindern. Wie also die Energie vor der Wärmezufuhr und Arbeitsleistung etwa den Wert E_1 , nachher den Wert E_2 , so muß nach dem Energieprinzip die Gleichung bestehen:

$$(10) \quad E_2 - E_1 = JQ + A,$$

wobei JQ die auf Äq reduzierte Wärmemenge, d. h. J das mechanische Äquivalent der Wärme ist. Wir werden im allgemeinen die Wärmemengen von jetzt an direkt in mechanischen Einheiten, d. h. in Äq messen und die so gemessenen Wärmemengen selbst durch den Buchstaben Q bezeichnen. Dann Mißt also in unserer Gl. (10) der Faktor J Äq, und wir haben einfacher:

$$(11a) \quad E_2 - E_1 = \bar{Q} + \bar{A}.$$

Wenn $Q = 0$ ist, geht unsere Gleichung über in die gewöhnliche Energiegleichung der Mechanik, wie es sein muß.

In der Gleichung (10) oder (11a) bedeutet E die gesamte Energie des Systems; jedenfalls ist also in E unter anderem enthalten die kinetische Energie L des Körpers, sowie die potentielle Energie $\Phi^{(a)}$, die dem System infolge der Wirklichkeit äußerer konservativer Kräfte, z. B. der Schwere, zukommt; der Index „a“ will eben darauf hindeuten, daß weder $\Phi^{(a)}$ in E noch andere potentielle Energie, z. B. chemische potentielle Energie, enthalten sein kann, die von der inneren Beschaffenheit des Systems herrührt, und die man, wenn man es besonders bezeichnen will, etwa $\Phi^{(i)}$ („i“ deutet auf innere potentielle Energie) nennen könnte. Aber dies letztere liegt nicht in unserer Absicht, sondern lediglich, hervorzuheben,

daß in E jedenfalls im allgemeinen die Komponenten L und $\Phi^{(0)}$ enthalten sein werden.

Die Arbeit A , die dem System von außen zugeführt wird, kann man nun in drei Teile teilen, die wir durch A_1 , A_2 und A_3 bezeichnen wollen. Unter A_1 wollen wir die Arbeit der äußeren konservativen Kräfte verstehen, die die kinetische und die äußere potentielle Energie des Systems verändern, entsprechend der = sein mechanischen = Gleichung:

$$A_1 = \dot{K}_1 + \dot{\Phi}^{(0)}_1 = \dot{L}_1 + \dot{\Phi}^{(0)}_1.$$

Unter A_2 wollen wir die Arbeit störender Reibungskräfte verstehen, die also innerhalb der Wärmemenge Q vertragen müssen:

$$A_2 = Q.$$

Unter A_3 endlich wollen wir alle übrigen Bestandteile der äußeren Arbeit A verstehen. Wir erhalten also statt (10a) ausführlicher:

$$(10b) \quad E_2 - E_1 = Q + A_1 + A_2 + A_3,$$

oder, wenn man die Werte für \dot{A}_1 und \dot{A}_2 einsetzt:

$$E_2 - E_1 = \dot{Q} + (\dot{K}_2 + \dot{\Phi}^{(0)}_2) - (\dot{K}_1 + \dot{\Phi}^{(0)}_1) + \dot{A}_3.$$

In anderer Anordnung lautet diese Gleichung:

$$(11) \quad [E - K - \Phi^{(0)}]_2 - [E - K - \Phi^{(0)}]_1 = Q + A,$$

wenn wir nun $Q + \dot{A} = U$, $\dot{A}_3 = A$ setzen; U bedeutet also die insgesamt zugeführte Wärmemenge, sei sie nun von Wärmeströmungen hergenommen oder durch Reibungskräfte erzeugt.

Setzen wir nun

$$(12) \quad E - K - \Phi^{(0)} = U,$$

so stellt U den Teil der gesamten Energie vor, der nur von dem inneren Zustande des Systems, d. h. von den Koordinaten desselben abhängt. Entsprechend W. Thomsons gleichbedeutender Bezeichnung nennen wir U deshalb die „innere Energie“ des Systems; U ist, wie man sieht, eine direkte Verallgemeinerung des Begriffes der inneren potentiellen Energie $\Phi^{(0)}$ der Mechanik, wobei ein Beispiel die oben eben erwähnte elastische potentielle Energie ist.

Aus was für einfachen Bestandteilen im gegebenen Falle die innere Energie, oder, wie wir auch kurz, wo es ohne Mißverständnisse möglich ist, sagen werden, die Energie U besteht, ist dabei ganz gleichgültig. Genug zu wissen, daß U eine Funktion ist, die lediglich vom augenblicklichen Zustande des Systems abhängt, die also nur dadurch verändert werden kann, daß dem System von außen Wärme Q und Arbeit A zugeführt werden. Mit der Bezeichnung (12) erhalten wir aus (11):

$$(13) \quad U_2 - U_1 = Q + A.$$

Wir können diese Gleichung (13) auch für eine unendlich kleine Zustandsänderung aussprechen. Führen wir dem System, das die innere Energie U besitzt, eine unendlich kleine Wärmemenge dQ und eine unendlich kleine Menge Arbeit dA zu, so folgt aus (13):

$$(14) \quad dU = dQ + dA.$$

Dabei ist dU , die infolge der Zufuhr von Wärme und Arbeit eingetretene Änderung der inneren Energie, das totale Differential der Funktion U , eine Funktion, um es nochmals zu betonen, die nur von dem augenblicklichen Zustande des Systems, nicht von dem Wege oder der Art abhängt, wie das System in den Zustand gelangt ist. Die Differentialquotienten bei dQ und dA sind mit einem Akzent am Buchstaben d geschrieben, um zu verdeutlichen, daß dQ und dA , jedes für sich genommen, keine totalen Differentiale sind. Es k. um die System von einem Zustand (1) in einem anderen (2) zu bringen, ist nicht eine bestimmte, nur vom Anfang und Ende des Prozesses abhängige Wärme Q erforderlich, sondern die notwendige Wärmemenge hängt von der Art der Föhrung des Prozesses, oder wie wir kurz sagen werden, von dem Wege ab. Genauso so ist es mit der Arbeit; auch sie ist im allgemeinen durch Anfang und Ende des Prozesses nicht eindeutig bestimmt, sondern hängt von der speziellen Art ab, wie der Zustand (2) von dem Zustande (1) aus erreicht wird. Um dies nachdrücklich zum Ausdruck zu bringen, schreiben wir dQ und dA , nicht dQ und dA . Dagegen der Summe von $Q + A$ ist nach (13) eine Größe, die nur vom Ende (2) und Anfang (1) des Prozesses abhängt; denn $Q + A$ ist ja gleich $U_2 - U_1$, d. h. der Änderung der eindeutigen Funktion U der Koordinaten. Oder anders ausgedröckt, aber ganz gleichwertig: Während dQ und dA einzeln keineswegs totale Differentiale sind, ist ihre Summe $dQ + dA$ gleich dem totalen Differential einer reinen Funktion U der Koordinaten des Systems. Dabei ist der Begriff „Koordinate“ im Sinne „allgemeiner Koordinate“ der Mechanik zu verstehen: Jede Größe, die den Zustand des Systems eindeutig zu charakterisieren imstande ist, wird als Koordinate bezeichnet (Bd. I, pag. 283f.). Wir können also sagen: Der erste Hauptsatz der Wärmetheorie — so nennen wir das in Gl. (13) und (14) mit Bezug auf die Wärmetheorie formulierte Energieprinzip nach dem Vorgeh von Rudolf Clausius — heißt, rein mathematisch gesprochen, daß die Summe der unendlich kleinen Arbeit und der unendlich kleinen Wärme das totale Differential einer gewissen Funktion, der inneren Energie U , darstellt; auf dem mathematischen Kriterium, die totale Differentiale vor unvollständigen Differentiale zu unterscheiden, beruht die analytische Anwendbarkeit des ersten Hauptsatzes.

Um dies näher zu begründen, wollen wir annehmen, der Zustand des betrachteten Systems sei weiter durch die Temperatur θ , die wir besonders hervorheben wollen, auch durch n Koordinaten bestimmt, die

wie $x_1, x_2, x_3, \dots, x_n$ seinen werden. Dann ist das totale Differential von $U(p, x_1, \dots, x_n)$ folgender:

$$(11) \quad dU = \frac{\partial U}{\partial p} dp + \frac{\partial U}{\partial x_1} dx_1 + \frac{\partial U}{\partial x_2} dx_2 + \dots + \frac{\partial U}{\partial x_n} dx_n = \frac{\partial U}{\partial p} dp + \sum_{i=1}^n \frac{\partial U}{\partial x_i} dx_i,$$

und es bestehen dabei die Relationen:

$$(12) \quad \begin{cases} \frac{\partial U}{\partial p \partial x_i} = \frac{\partial U}{\partial x_i \partial p}, & (i = 1, 2, \dots, n) \\ \frac{\partial U}{\partial x_i \partial x_j} = \frac{\partial U}{\partial x_j \partial x_i}, & (i \neq j; \quad i, j = 1, 2, \dots, n). \end{cases}$$

Das ist ja die Bedingung dafür, daß der Differentialdruck (11) in $(n+1)$ Variablen ein totales Differential ist.

dU und dA lassen sich ebenfalls als lineare homogene Funktionen von dp, dx_1, \dots, dx_n darstellen; bei dA ist allerdings die Beschränkung vorhanden, daß letztere einer rein mechanischen Natur ein Objekt mit dp nicht zutrifft. Denn setzen wir die allgemeine Kraftkomponente, die die Koordinate x_i zu verändern strebt, $-X_i$, so können wir nach dem allgemeinen Satze der Mechanik den Ansatz machen:

$$dA = - \sum_{i=1}^n X_i dx_i.$$

Dabei haben wir allerdings das Vorzeichen umgekehrt gewählt, wie in der Mechanik; es bedeutet jetzt die Kräfte X_i diejenigen, die die entsprechenden Koordinaten x_i zu verkleinern streben, während man in der Mechanik die Kräfte zu verkleinern pflegt, die eine Koordinate vergrößern. Dieser Unterschied ist aber für alle Zwecke gleichgültig, und die so entstehende Schreibweise paßt sich dem in der Thermodynamik wichtigsten und häufigsten Falle, daß die einzige Kraft ein kalter Druck p ist, besser an als die umgekehrte. Wir können also genauso dQ und dA schreiben:

$$(13) \quad \begin{cases} dQ = Q_1 dp + Q_2 dx_1 + Q_3 dx_2 + \dots + Q_n dx_n, \\ dA = \quad \quad \quad - X_1 dx_1 - X_2 dx_2 - \dots - X_n dx_n. \end{cases}$$

Aber hier gilt keineswegs, da beide keine totalen Differentiale sind:

$$\frac{\partial Q_1}{\partial x_1} \neq \frac{\partial Q_2}{\partial p}, \quad \frac{\partial Q_1}{\partial x_2} \neq \frac{\partial Q_3}{\partial p} \quad \text{und} \quad \frac{\partial X_1}{\partial x_2} \neq \frac{\partial X_2}{\partial x_1}.$$

Vielmehr ist im allgemeinen:

$$\frac{\partial Q_1}{\partial x_1} + \frac{\partial Q_2}{\partial p} = \frac{\partial Q_2}{\partial x_1} + \frac{\partial Q_1}{\partial p}, \quad \frac{\partial X_1}{\partial x_2} + \frac{\partial X_2}{\partial x_1} = 0.$$

Setzen wir die Differentialausdrücke (13) und (77) in (14) ein, so folgt:

$$\frac{\partial U}{\partial p} dp + \frac{\partial U}{\partial x_1} dx_1 + \dots + \frac{\partial U}{\partial x_n} dx_n = Q_1 dp + (Q_2 - X_1) dx_1 + \dots + (Q_n - X_n) dx_n,$$

worin aus (18a) zwischen den drei Koeffizienten Q_1 , Q_2 , X_1 die Relation folgt, die eben den ersten Hauptsatz ausdrückt:

$$(18a) \quad \left[\frac{\partial Q_1}{\partial x_1} = \frac{\partial Q_2}{\partial x_2} = \frac{\partial X_1}{\partial x_1} \right],$$

die bei experimenteller Prüfung unterzogen werden kann.

Damit die eben geschilderte Methode zur Prüfung des ersten Hauptsatzes anwendbar sei, müssen dQ und dA als Funktionen der Differentialle dx_1, dx_2, \dots, dx_n bekannt sein, was eine rein experimentelle Arbeit ist.

Neben der schon geschilderten Anwendungsmöglichkeit des ersten Hauptsatzes gibt es noch eine andere Verwendung desselben, die natürlich ebenfalls darauf beruht, daß der Wert der Energie U nur abhängt vom augenblicklichen Zustande, also jedenfalls wieder derselbe ist, wenn die betrachtete Substanz wieder in ihren Anfangszustand zurückkehrt. Sei der Anfangszustand (1), die Energie in ihm U_1 , so wollen wir von Wärme Q und Arbeit A demselben zutreten, daß der Körper durch beliebig viele Zwischenstadien hindurch schließlich wieder in den Zustand (1) kommt. Dann ist seine Energie wieder U_1 , also folgt aus (18) unmittelbar:

$$(18) \quad 0 = Q + A,$$

d. h. bei einem solchen Prozesse, den man in leicht verständlicher Weise einem „Kreisprozeß“ nennt, ist die Summe von zugeführter Arbeit und Wärme gleich Null, oder, da eine zugegebene Wärme als negativ bezeichnet und auch selbst gleichzeitige Arbeit betrachtet werden kann. Bei einem Kreisprozesse wird der ganze zugeführte Wärme in Arbeit oder die ganze angeführte Arbeit in Wärme verwandelt.

Diese Kreisprozesse haben daher für die Praxis die größte Bedeutung. Denn man kann zwar mit ihrer Hilfe nicht Arbeit aus nichts gewinnen — das verbietet ja gerade der erste Hauptsatz —, aber man kann mechanische Arbeit aus Wärmemenge gewinnen, wie es in der Dampfmaschine und in den Motoren geschieht. Auch in der Theorie sind diese Kreisprozesse von der größten Bedeutung, weil die Energie in das Resultat gar nicht mehr eingeht, man sich also um dieselbe gar nicht zu kümmern braucht.

Bei der Anwendung des ersten Hauptsatzes werden wir uns vielfach auf die Betrachtung der Masseneinheit des gerade untersuchten Stoffes beschränken können. Denn die innere Energie U hängt offenbar nur in der Weise von der Gesamtmasse M ab, daß sie derselben proportional ist. Wir können den Quotienten $\frac{U}{M}$ als „spezifische Energie“ bezeichnen, die unabhängig von der Gesamtmasse gänzlich unabhängig und nur noch vom inneren Zustande der Substanz abhängig ist. Wir wollen daher für die spezifische Energie einen besonderen Be-

sich einleiten und sie durch α bezeichnen; wir wählen überhaupt für die auf die Masseneinheit bezüglichen „spezifischen“ Größen denselben kleinen Buchstaben, wie er groß zur Bezeichnung der auf die Masse M bezüglichen Größen dient. Den Gleichungen (14) und (20) treten also vor: (14a)

$$d\alpha = d'q + d'u,$$

(20a)

$$d = q + \alpha,$$

wenn q und α die der Masseneinheit zugeführten Wärmemengen und Arbeiten bedeuten. Durch einfache Multiplikation mit der Gesamtmasse M gehen diese Gleichungen in (14) und (20) über, wie es sich mißt.

II. Zustandsgleichung; ideale Gase.

Wir müssen nun zunächst die Koordinaten feststellen, von denen der innere Zustand eines betrachteten Körpers abhängt. Wir werden in den meisten Fällen voraussetzen können, daß alle Körper einem gleichmäßigen Drucke p , der auf ihre Oberfläche wirkt, ausgesetzt sind. Wie wir in der Elastizitätstheorie (24. I, pag. 787) ausführlich auseinandergesetzt haben, reduzieren sich dann im Gleichgewichtszustande die Spannungskomponenten $X_x, Y_x, Z_x, X_y, Y_y, Z_y$ in folgender Weise:

$$X_x = Y_y = Z_z = p; \quad X_y = Y_x = Z_x = 0,$$

d. h. der innere Zustand des Körpers hängt, nicht im allgemeinen von sechs Größen, nur noch von einer, nämlich dem inneren Drucke ab, der im Gleichgewichtszustande gleich dem äußeren ist. Der innere Druck p hängt nun offenbar ab von der inneren Beschaffenheit der Substanz, also von ihrer chemischen Natur und der Temperatur θ , aber nicht von der Masse M und dem Volumen V eines Körpers. Dem gleichseitigen Verdoppeln der Masse und des Volumens ändert ja der innere Zustand nicht; der Druck kann also nur abhängen von dem Verhältnisse $\frac{\text{Masse}}{\text{Volumen}}$, d. h. von der Dichte ρ . Wir werden statt dessen den reziproken Wert der Dichte

$$\frac{1}{\rho} = v$$

einleiten, der das „spezifische Volumen“ (Volumen der Masseneinheit) heißt. Bezeichnet V das Volumen der Masse M , so ist natürlich

$$V = Mv.$$

Für eine und dieselbe Substanz, d. h. bei unveränderter chemischer und physikalischer Zusammensetzung, kann also der Druck nur abhängig sein von der Temperatur θ und dem spezifischen Volumen v ; es muß nämlich für jede Substanz eine Gleichung von der Form existieren:

$$(21) \quad \begin{cases} p = f(\theta, v), & \text{oder} \\ F(p, v, \theta) = 0. \end{cases}$$

das als die „Zustandsgleichung“ der Substanz bezeichnet wird und in jedem Falle experimentell zu bestimmen ist, sofern es nicht gelingt, die aus besonderen Hypothesen über die Struktur der betreffenden Substanz theoretisch herzuleiten, was im allgemeinen nicht der Fall ist.

Wir haben es also unter unserer im Eingang dieser Nummer gemachten Voraussetzung im allgemeinen zu tun mit nur zwei Variablen, wie wir dies schon früher als häufigsten Fall erwähnt haben, als die wir eine neben der Temperatur θ das spezifische Volumen v oder den Druck p wählen können; welche Bestimmung im einzelnen Falle getroffen wird, hängt von praktischen Erwägungen ab.

Die einfachsten Stoffe, für die es gelungen ist, die Form der Zustandsgleichung experimentell — und aus gewissen Voraussetzungen auch theoretisch, vorerst später einzugehen wie wird — aufzufinden, sind Gase, die weit von ihrem Verflüssigungspunkte entfernt sind und unter geringem Drucke stehen. Als vorzügliche Repräsentanten seien genannt: Wasserstoff, Stickstoff, Sauerstoff, Luft, die Edelgase, und unter denen wie allen Halogen.

Bereits haben Boyle und Mariotte festgestellt, daß bei konstanter Temperatur θ das Produkt aus Druck und spezifischem Volumen konstant ist:

$$(26) \quad p v = \text{Const.},$$

wobei p und v zwei zusammenhängende Werte von Druck und spezifischem Volumen bei der nämlichen Temperatur θ bezeichnen. Diese Gleichung, als Boyle-Mariottesches Gesetz bezeichnet, gilt für alle Temperaturen, sofern sie nicht der Verflüssigungstemperatur zu nahe liegen.

Ein weiteres Gesetz hat Gay-Lussac aufgestellt; es bezieht sich auf die Abhängigkeit des spezifischen Volumens v bei konstantem Druck p von der Temperatur θ . Er fand:

$$(27) \quad v = v_0 (1 + \alpha \theta),$$

wobei v das spezifische Volumen beim Druck p und der Temperatur θ und v_0 denselben bei dem nämlichen Druck p und der Temperatur θ^0 bedeutet; α ist das Konstante, die der „trichische Ausdehnungskoeffizient“ genannt wird; dieser hat für alle Gase ungefähr denselben Wert, nämlich:

$$(28) \quad \alpha = \frac{1}{273}.$$

Die beiden Gesetze (26) und (27) können zusammengefaßt werden durch folgende Überlegung: Es sei, wie oben, v_0 das Volumen der Masseneinheit bei einem Drucke p_0 bei der Temperatur θ^0 ; diese werde bei konstantem Drucke p_0 auf θ erhöht, wobei das Volumen in v' übergeht. Nach Gay-Lussacs ist dann ebenfalls, da v' und v_0 zum selben Drucke p_0 , aber verschiedenen Temperaturen gehören:

$$v' = v_0 (1 + \alpha \theta),$$

und immer gilt nach Boyle-Mariottes, da p , v , p_0 , v' sich sämtlich auf die Temperatur θ beziehen:

$$pv = p_0 v';$$

also folgt durch Elimination:

$$(21) \quad p v = p_0 v_0 (1 + \alpha \theta),$$

oder wenn wir diese Gleichung folgendermaßen schreiben:

$$p v = p_0 v_0 \left(\frac{1}{\alpha} + \theta \right)$$

und p , v , α durch C , die Größe $\frac{1}{\alpha}$ durch T bezeichnen:

$$(22) \quad p v = C T.$$

Die Größe $T = 273 + \theta$ ist die um 273 Grad vermehrte Temperatur in Celsiusgraden; der Punkt $\theta = -273^\circ$, bei dem nach Annahme von (22) der Druck des Gases verschwindet, würde (wenn die Gleichung bis dahin noch Gültigkeit besäße), heißt der „absolute Nullpunkt“, die um diesen Nullpunkt zu gemessene Temperatur $T = \frac{1}{\alpha} + \theta$ die „absolute Temperatur“, gemeint die „absolute empirische Temperatur“.

Es ist klar, daß es sich wegen der außerordentlichen Gleichartigkeit im Verhalten der Gase empfiehlt, anstatt des bisher benutzten Thermometers mit Quecksilber (oder einer anderen Flüssigkeit) ein solches mit Gasfüllung zu verwenden. Wir gewinnen dadurch praktisch eine Temperaturskala, die viel exakter ist und weiter reicht, als dies bisher der Fall war. Nur wenn wir in Gekühe kommen, in denen die bisher besprochenen Gase nicht mehr gelten und sich individuelle Abweichungen zwischen den einzelnen Gasen bemerkbar machen, versagt auch diese neue Temperaturskala. Eine wirklich in aller Strenge vom Material unabhängige Definition der Temperatur werden wir erst im dritten Kapitel mittels des zweiten Hauptsatzes erhalten können. Bis dahin definieren wir die Temperatur durch das Gasbarometer.

Die Konstante C in Gl. (22) variiert von Gas zu Gas; diese drückt sich die Abhängigkeit der Zustandsgleichung von der chemischen Natur des Gases aus. Wie wollen wir jetzt verfahren. Bisher haben wir über die Natur des Gases nichts vorausgesetzt, während in (22) ein rein empiristisch gewonnenes Gesetz.

Wir wollen uns aber nun einer Hypothese anschließen, auf die wir später ausführlich zurückzukommen werden, nämlich der, daß die Gase, wie alle Körper, aus kleinen gleichartigen Teilchen zusammengesetzt sind, die wir „Moleküle“ nennen. Die Masse eines Moleküls bezeichnen wir durch μ ; gewöhnlich wird diese Größe angegeben als „absolutes Molekulargewicht“ bezeichnet, während es „absolute Molekularmasse“ heißen sollte. Diese Größen μ haben hier (und in der reinen Chemie) keine Bedeutung, wohl aber gewisse Größen m , die sogenannten „relativen Molekularmassen“, gewöhnlich ganz ungenau einfach „Mole-

„Molekulargewichte“ genannt. Die Größen m sind den wirklichen Molekularmassen μ proportional, wobei der Proportionalitätsfaktor aus praktischen Gründen so bestimmt wird, daß für gewöhnlichen Sauerstoff O_2 das Molekulargewicht m gleich 32,00 gesetzt wird. Bemerkenswert ist, daß die Größen m , d. h. die vom Chemiker allgemein Molekulargewichte genannten Größen, sich auf chemischem Wege bestimmen lassen, während die absoluten Molekularmassen μ nur auf physikalischen Wege gewonnen werden können.

Zur Vorbereitung des Folgenden betrachten wir ein Quantum Gas von m Gramm, d. h. von so viel Gramm, als das (relative) sogenannte Molekulargewicht Einheiten hat. Eine Masse von m Gramm nennt man ein „Grammolekül“ oder ein „Mol“ der betreffenden Substanz. Ein Mol O_2 sind also 32,0 Gramm O_2 . Das Volumen des Mols sei $V = m \cdot v$. Offenbar ist dann nach (38):

$$(42) \quad V = m \cdot v = \frac{m C F}{p}.$$

Jetzt setzen wir eine weitere Hypothese von Avogadro hinzu, die folgendes besagt: Gleiche Volumina beliebiger Gase besitzen bei gleichem Druck und gleicher Temperatur gleiche Anzahl an Molekülen. Nun hat aber ein Grammolekül beliebiger Gase stets dieselbe Molekülnzahl, wie folgende Betrachtung zeigt.

Für etwa drei Gase, z. B. H_2 , O_2 , N_2 seien die wahren Molekularmassen μ_{H_2} , μ_{O_2} , μ_{N_2} . Die chemischen „Molekulargewichte“ dieser Gase sind dann

$$m_{H_2} = k \mu_{H_2}; \quad m_{O_2} = k \mu_{O_2}; \quad m_{N_2} = k \mu_{N_2},$$

wobei der Proportionalitätsfaktor k so bestimmt wird, daß $m_{H_2} = 2$ wird, d. h. $k = \frac{2}{\mu_{H_2}}$.

Daher sind die Molekulargewichte der übrigen Gase

$$m_{H_2} = \frac{2 \mu_{H_2}}{\mu_{H_2}}, \quad m_{O_2} = 2; \quad m_{N_2} = \frac{2 \mu_{N_2}}{\mu_{H_2}}.$$

Jetzt betrachten wir einzeln jedes der drei Gase. Ist bzw. N_{H_2} , N_{O_2} , N_{N_2} die Anzahl der Moleküle im Mol, so ist natürlich $N_{H_2} \cdot \mu_{H_2} = m_{H_2}$ die Masse eines Mols H_2 , usw. Daher also:

$$N_{H_2} \mu_{H_2} = m_{H_2}; \quad N_{O_2} \mu_{O_2} = m_{O_2}; \quad N_{N_2} \mu_{N_2} = m_{N_2};$$

also:

$$N_{H_2} = \frac{m_{H_2}}{\mu_{H_2}} = \frac{2 \mu_{H_2}}{\mu_{H_2} \mu_{O_2}} = \frac{2}{\mu_{O_2}}; \quad N_{O_2} = \frac{2}{\mu_{O_2}}; \quad N_{N_2} = \frac{m_{N_2}}{\mu_{N_2}} = \frac{2}{\mu_{O_2}}.$$

d. h. $N_{H_2} = N_{O_2} = N_{N_2}$, wie behauptet wurde.

Dementsprechend hat nach der Avogadro'schen Hypothese das Volumen V eines Grammoleküls verschiedener Gase bei demselben Druck und derselben Temperatur stets denselben Wert. Mit anderen Worten: Das Volumen eines Grammoleküls

verschiedener Gase ist eine universelle Funktion von Druck und Temperatur.

Es können also aus Gl. (21), die oben γ als Funktion von T und p darstellt, alle individuellen Stoffkonstanten herabgeleitet, d. h. es muß sein:

$$(22) \quad \kappa C = R,$$

wo R eine allen Gasen gemeinsame, universelle Konstante ist. Die Gasgleichung nimmt dabei die Gestalt an:

$$(23) \quad p = \frac{R}{v} \frac{T}{\gamma},$$

oder noch einfacher, auf ein Mol bezogen:

$$(24) \quad p = \frac{RT}{\gamma v}.$$

R wird die „absolute Gaskonstante“ genannt. Ihr Wert und ihre Dimension sind leicht zu bestimmen.

Für letztere folgt aus (24) sofort, da der Druck eine Kraft pro Flächeneinheit, also von der Dimension $ML^{-2}T^{-2}$; $\frac{1}{v} = v$ das Masse pro Volumeneinheit, also von der Dimension ML^{-3} ist:

$$[ML^{-2}T^{-2}] = \frac{[R]}{[M]} \frac{[temp][R]}{[L^3]}.$$

also:

$$(25) \quad [R] = \left[\frac{ML^2T^{-2}}{gm^3} \right] = \left[\frac{erg}{gm^3} \right].$$

Zur Bestimmung des Wertes von R brauchen wir nur für ein beliebiges Gas, z. B. Sauerstoff (O_2), zwei zusammengehörige Werte von p , T , v zu nehmen, so folgt nach (24) mit $m_{O_2} = 32,00$ eine weitere R . Wir wählen p gleich dem normalen Drucke einer Atmosphäre, d. h. gleich dem Drucke einer Quecksilbersäule von 76 mm Höhe; $T = 273$ Grad absoluter Zählung. Der Druck einer Atmosphäre beträgt in absoluten Einheiten, d. h. Dyne pro Quadratzentimeter:

$$(26) \quad 1 \text{ Atm.} = 76 \cdot 981 \cdot 12,366 \frac{gm}{cm^3} = 1000000 \frac{dyn}{cm^2}.$$

Ferner ist für Sauerstoff bei diesem Drucke und bei 273 Grad abg.:

$$\frac{1}{v} = v_0 = 0,004491 \text{ gm/cm}^3,$$

so daß wir folgende zusammengehörigen Werte von p , v , T für O_2 annehmen:

$$(27) \quad \left\{ \begin{array}{l} p = 1,000000 \text{ dyn/cm}^2, \\ \frac{1}{v} = 0,004491 \text{ gm/cm}^3, \\ T = 273^\circ. \end{array} \right.$$

Damit ergibt sich nach (85) für R der Wert:

$$(86) \quad R = 8,318 \cdot 10^7 \left[\frac{\text{erg}}{\text{grad}} \right].$$

Selbstverständlich hängt der Wert von R , da er eine Dimension hat, von dem gewählten Maßsystem ab.

Wir haben die eben aus der „Avogadroischen Regel“ folgende Tatsache benutzt, daß das Volumen eines Mols beliebiger Gase denselben Wert hat, wenn Druck und Temperatur dieselben sind. Um diesen Wert bestimmen, wählen wir $T_0 = 273^\circ$, $p_0 = 1$ Atm. stellen. Im absoluten Maßsystem findet man dann für V die folgenden Zahlen:

Wasserstoff	22416,7 ccm
Sauerstoff	22414,0 „
Kohlensäure	22408,4 „
Kohlendioxyd	22414,6 „
Stickstoff	22416,2 „

Der Mittelwert beträgt 22416 ccm gleich 22,416 Litern; das ist also das gemischte Molvolumen eines Mols bei 0 Grad Celsius und Atmosphärendruck.

Bisher sprachen wir nur von Gemisch einheitlicher Gase; doch gilt die Zustandsgleichung nach Anweisung der Erfahrung auch für Gasgemische, nur hat man dann statt des Molekulargewichts einen auf besondere Weise gebildeten Mittelwert der Molekulargewichte zu nehmen. Seien z. B. in einem Gasgemisch b_1 Gramm der Komponente mit dem Molekulargewicht m_1 , b_2 Gramm mit dem Molekulargewicht m_2 usw. vorhanden, so wird der Mittelwert m in folgender Weise gebildet:

$$(87) \quad \frac{b_1 + b_2 + b_3 + \dots}{m} = \frac{b_1}{m_1} + \frac{b_2}{m_2} + \frac{b_3}{m_3} + \dots$$

Diese Gleichung ist einer stichfesten Deutung fähig. Denn die Größen $\frac{b_1}{m_1}$, $\frac{b_2}{m_2}$, ... bedeuten offenbar die Anzahl Mole, die von der ersten, zweiten usw. Komponente in dem Gasgemisch vorhanden sind. Daraus sagt die Gleichung aus, daß das Gemisch sich so verhält wie ein chemisch einheitliches Gas mit derselben Molezahl, die den Komponenten zusammengesprochen bekommt.

Bezeichnen wir die den einzelnen Komponenten zugehörigen Molekülen mit n_1 , n_2 , ... setzen wir also

$$\frac{b_1}{m_1} = n_1, \quad \frac{b_2}{m_2} = n_2, \quad \dots,$$

und setzen wir ferner das Gesamtvolumen

$$[b_1 + b_2 + \dots] v = V,$$

wo v das spezifische Volumen des Mischgases ist, so schreibt sich mit dem

obigen Werte des mittleren Molekulargewichts die Zustandsgleichung des Gasgemisches:

$$p = R (n_1 + n_2 + n_3 + \dots) \frac{T}{V}.$$

Sie ist natürlich nicht auf die Masseneinheit, sondern auf die Gesamtmasse gleich $(n_1 + n_2 + \dots)$ bezogen. Man kann sie in folgender Weise schreiben:

$$p = p_1 + p_2 + p_3 + \dots = R (n_1 + n_2 + n_3 + \dots) \frac{T}{V},$$

oder

$$p_1 = \frac{n_1 R T}{V},$$

$$p_2 = \frac{n_2 R T}{V},$$

$$p_3 = \frac{n_3 R T}{V},$$

$$\dots \dots \dots$$

gesetzt ist. Die Größen p_1, p_2, \dots sind diejenigen Drücke, die die erste, zweite usw. Komponente ausüben würde, wenn sie allein vorhanden wäre und das gesamte Volumen V einnimmt; sie heißen deshalb die „Partialdrücke“. Wir haben daher die beiden Sätze:

Der Gesamtdruck einer Gasgemischung ist gleich der Summe der Partialdrücke (Dalton'sches Gesetz), und:

Bei einer Gasgemischung füllt jedes Gas das ganze Volumen der Mischung aus, als ob die übrigen nicht vorhanden wären.

Die Zustandsgleichung (38) gilt, wie ganz exakte Messungen ergeben haben, nur angenähert; je stärker der Druck und je höher die Temperatur ist, d. h. je näher das Gas den Bedingungen kommt, unter denen Verflüssigung eintritt, um so stärker werden die Abweichungen. Man denkt sich nun eine ideale Substanz, die streng der Gl. (38) gehorcht, und nennt diese ein „ideales Gas“. Erstlich stellt diese Bestimmung noch nicht aus, und wir werden in späteren Nummern noch mehr Eigenschaften dem Begriffe des idealen Gases hinzufügen. Die realen Gase gehorchen der Zustandsgleichung (38) nur mit mehr oder minder großer Annäherung; natürlich gilt für sie auch in Strenge das Dalton'sche Gesetz der Partialdrücke nicht mehr. In der Nähe der Verflüssigung wird diese Abweichung beträchtlich, wozuf wir später (S. 85) eingehen werden.

32. Die Arbeit der äußeren Kräfte, speziell des Druckes; quasistatische Prozesse.

Wir haben im Vorkergehenden als ständige Art von äußeren Kräften, die auf unser System einwirken, schon ausdrücklich nur Oberflächenwirkungen Druck p angenommen (Fig. 12), dem wir jetzt für einen Augenblick das Loten σ hinzufügen werden, um anzudeuten, daß wir den äußeren Druck p ,

gemessen, der vom inneren Druck p , im allgemeinen zu unterscheiden ist. Beide Werte stimmen nur im Falle des Gleichgewichtes überein.

In Fig. 12 sei O die (geschlossene) Oberfläche des betrachteten Systems; wir betrachten eine Masse M , die Oberfläche O umschleife ein Volumen V . Nehmen wir ein Flächenelement dO der Oberfläche, so ist die äußere Kraft, die auf dieses Element wirkt, $p_a dO$. Durch diese Kraft wird im allgemeinen eine Deformation der Oberfläche eintreten, indem jedes Oberflächenelement dO in Richtung der inneren Normale n um ein Stückchen dn verschoben wird. Dabei ist die unendlich kleine Arbeit, die von der Kraft $p_a dO$ geleistet wird, offenbar gleich $p_a dO dn$. Das



Fig. 12.

entsprechend an dem Körper wirkenden Kräfte leisten also eine äußere Arbeit $dA = \sum p_a dO dn$ oder $dA = p_a \int dO dn$, wobei das Integral über die ganze Oberfläche O zu erstrecken ist. Es wird also nach der Verschiebung jedes Oberflächenelementes dO in der Richtung dn die Oberfläche selbst in die punktierte Lage der Fig. 12 übergegangen sein, und man erkennt leicht, daß $\int dO dn = |\delta V|$ ist, d. h. gleich der absolut genommenen Änderung des Volumens V des Systems. Da dO seiner Natur nach stets positiv ist und bei positiven dn , wie auch die Figur anzeigt, δV stets kleiner als Null ist, so muß rechts noch das Minuszeichen eingesetzt werden:

$$\int p_a dn = -\delta V.$$

Damit geht die unendlich kleine Arbeit dA über in:

$$(16) \quad dA = -p_a \delta V.$$

Hat man es mit der Massenzahl zu tun, so ist die unendlich kleine Arbeit $d\alpha$ pro Massenzahl gleich:

$$(16a) \quad d\alpha/m = -p_a \delta v.$$

Es tritt dann einfach das spezifische Volumen v an Stelle des Gesamtvolumens V . Ist die Verschiebung nicht unendlich klein, sondern endlich, das betrachtete System etwa vom Volumen V_1 auf das Volumen V_2

bringend, so ist die dazu erforderliche Arbeit A_{12} bzw. pro Masseneinheit a_{12} :

$$(87) \quad A_{12} = - \int_1^2 p_s dV,$$

bzw.

$$(87a) \quad a_{12} = - \int_1^2 p_s d\tau.$$

Man erkennt hier bereits, daß der Arbeitsdruck nicht unter die in Summe ist erwähnte allgemeine Form $-\sum X dx$ einrechnet, und daß die Wahl des richtigen Vorsezeichens des äußeren Kräfte gerichtetseits erscheint. Der Druck ist eben eine Kraft (im allgemeinen Sinne der Mechanik), die die Koordinate V zu verkleinern versucht ist.

Im allgemeinen wird p_s nicht gleich dem inneren Druck p_i sein, welche letzterer in der Zustandsgleichung mit T (bzw. τ) und V verknüpft ist. Gleichheit des inneren und äußeren Druckes tritt nur im Gleichgewichtszustande ein; allgemein kann der äußere Druck größer, gleich oder kleiner als der innere sein. Wenn z. B. p_s zu p_i ist, so ist die gesamte (innere und äußere) Kraft, die auf das Flächenelement dA wirkt: $(p_s - p_i)dA$, und diese wird eine stößige Beschleunigung und Geschwindigkeit von dV in dem einen oder andern Sinne erzeugen. Umgekehrt, wenn der geschobene Arbeitspfeil mit unendlicher Geschwindigkeit verläuft, so muß natürlich die Differenz $(p_s - p_i)$ einen endlichen Wert haben, der im übrigen ganz beliebig sein kann. Jedenfalls hängt die äußere Arbeit, d. h. diejenige, die in die Gl. (84) des ersten Hauptsatzes einzuweisen ist, nur von p_s ab, und das kann willkürlich vorgeschrieben werden. Nur in dem Falle, daß $p_s = p_i$ ist, kann die äußere Arbeit in Zusammenhang mit p_i , dem inneren Druck, gebracht werden. Daß dies ein großer Vorteil ist, versteht sich, wenn man bedenkt, daß p_i als Funktion von τ und V durch die Zustandsgleichung gegeben ist. Allerdings ist dann die gesamte Kraft auf dA , nämlich $(p_s - p_i)dA$ offenbar gleich Null, d. h. der Prozess geht gar nicht vor sich, oder sondern vorgedrückt: er geht mit der Geschwindigkeit „Null“ vor sich. Könnte $p_s = p_i$ zu machen, wäre also gleichbedeutend mit einem Verzicht auf die Beschreibung eines Prozesses überhaupt. Aber wir können wenigstens p_s und p_i einander so nahe gleich machen, daß ihre Differenz beliebig klein wird. Der betrachtete Prozess geht dann allerdings beliebig langsam, im Grunde natürlich langsam vor sich, d. h. mit unendlich kleiner Geschwindigkeit. Aber das schadet in der Wärmetheorie in nichts und auf den ersten Hauptsatz nicht, da die Zeit für uns gar keine Rolle spielt. Der erste Hauptsatz stellt ja eine Relation dar, die „stiller“ ist, die für jeden Moment gilt, und die langsam oder langsam langsam eines Prozesses spielt dabei gar keine Rolle.

Eben so vor sich gehender Prozess ist beliebig wenig, in der Grenze unendlich wenig, von einem Gleichgewichtszustande verschieden, und man

nimmt dann solchen daher einen „quasistatischen“ Prozeß. Wir werden später die analoge Festsetzung, die wir hier für den Druck getroffen haben und die man die „mechanische Bedingung für den quasistatischen Prozeß“ nennen kann, auch für die Temperatur treffen. Ein Temperaturausgleich zwischen zwei Substanzen erfolgt je um so rascher, je größer die Temperaturdifferenz zwischen ihnen ist. Lassen wir beide Temperaturen nur unendlich wenig verschieden sein, so geht auch dieser Prozeß, z. B. der der Wärmeleitung, unendlich langsam oder „quasistatisch“ vor sich. Gleichheit der beiden Temperaturen ist also die „thermische Bedingung für einen quasistatischen Prozeß“, womit wir allerdings in diesem Moment nicht zu beschäftigen haben. Allgemein jedoch verstehen wir unter einem quasistatischen Prozeß, bei dem mechanische und thermische Änderungen vor sich gehen, einen solchen, bei dem der innere Druck bis auf unendlich Kleines gleich dem äußeren Druck ist und bei dem die auftretenden Temperaturdifferenzen gleichfalls unendlich klein sind.

In unserem Falle gilt für einen quasistatischen Prozeß Gl. (67), aber in:

$$d_{12} = - \int_{T_1}^{T_2} p, dT$$

bzw. Gl. (67a) für die Masseneinheit:

$$a_{12} = - \int_{T_1}^{T_2} p, dT,$$

oder, wenn wir jetzt den Index 1 als überflüssig betrachten:

$$(68) \quad \left\{ \begin{array}{l} d_{12} = - \int_{T_1}^{T_2} p dT, \quad dA = - p dT, \quad \text{bzw.} \\ a_{12} = - \int_{T_1}^{T_2} p dT, \quad dA = - p dT. \end{array} \right.$$

wobei jetzt infolge der Zustandsgleichung $p = p(v, T)$ ist. Im Falle eines idealen Gases haben wir nach (59) speziell die beiden Formeln für die Arbeit pro Masseneinheit:

$$(69) \quad \left\{ \begin{array}{l} d_{12} = - \frac{R}{m} \int_{T_1}^{T_2} \frac{T dv}{v}, \\ dA = - \frac{RT}{m} \frac{dv}{v}, \end{array} \right.$$

aus denen durch Multiplikation mit der Gesamtmasse M die entsprechenden Formeln für beliebige Massen hervorgehen.

Man sieht auch an diesem speziellen Ausdruck, daß $d'A$ im allgemeinen kein totales Differential einer Funktion der Zustandsvariablen, z. B. von v und T ist, d. h. daß A_{12} beispielsweise nur vom Anfangs- und Endzustand des Systems abhängig ist. Denn der zweite Ausdruck (38) ist gar nicht integrierbar, solange nicht T als Funktion von v gegeben ist, d. h. solange nicht die spezielle Art des Überganges von v_1 in v_2 angegeben ist. Ist etwa der Übergang so vorgeschrieben, daß $T = p(v)$ sein soll, so hat man in (38) zu setzen:

$$d'A = - \frac{R}{m} \frac{p(v)}{p} dv,$$

und das hat einen bestimmten Wert, der natürlich von $p(v)$, d. h. von der Art und Weise des Überganges, oder wie wir in Zukunft lernen werden, von dem Wege abhängt, nicht nur vom Anfangs- und Endzustand.

Im Vorhergehenden ist vorausgesetzt worden, daß das System nur von zwei Variablen abhängt, was im allgemeinen nur der Fall ist, wenn eben ein äußerer Druck einwirkt und die Oberfläche desselben wirkt. Die gleichen Erwägungen lassen sich jedoch auch anstellen, wenn wir den allgemeinen Arbeitsausdruck, den wir in Nr. 33 schon benutzt hatten, gebrauchen:

$$\delta A = - \sum_i X_i \delta n_i.$$

Nach hier sind zunächst die Größen X_i äußere Kräfte, die nur im Gleichgewichtszustande entsprechenden inneren gleich sind. Indem man also auch hier quasistatische Prozesse ins Auge faßt, hat man hier das der Aufstellung der Zustandsgleichung analoge Problem zu lösen, die inneren Kräfte X_i als Funktionen der Zustandsvariablen herzustellen: es sein ein ähnliches Problem. Für eine Reihe von speziellen Fällen ist dasselbe im Bd. I, Kap. 13 gelöst worden; wir werden im Bedarfsfalle darauf zurückgreifen.

33. Die Energiegleichung der idealen Gase; der Versuch von Gay-Lussac und Thomson-Joule.

Es handelt sich nun darum, die innere Energie U eines idealen Gases als Funktion der Koordinaten, als welche wir v und T nehmen wollen, festzustellen. Das kann natürlich nur unter Zuhilfenahme eines Versuches geschehen, und ein solcher ist zuerst von Gay-Lussac und später von Joule in folgender Weise angestellt worden (Fig. 18):

Es bedeuten A und B zwei durch einen Hahn trennbare starrwandige Gefäße; im Beginn des Versuches sei ein Gas in A enthalten; das spezifische Volumen desselben sei v_1 , die absolute Temperatur T_1 ; der Hahn ist geschlossen, B evakuiert. Das Ganze befindet sich in einem Wasserbade, in dem Thermometer eingetaucht sind. Es wird nun der Hahn

geöffnet, so daß das Gas sich auf die beiden Gefäße A und B verteilt, wobei das spezifische Volumen sich auf v_2 vergrößert; es fragt sich, ob die ursprüngliche Temperatur T_1 sich ändert. Eine Änderung der Temperatur hätte sich — grundsätzlich vermieden — an den Thermometern im umgebenden Wasser bemerkbar machen müssen, da dann ein Wärmeaustausch von den Gefäßen zum Wasser (oder umgekehrt) sich gebildet hätte.

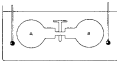


Fig. 12

Der Versuch ergab, daß die im Wasser befindlichen Thermometer keine Temperaturänderungen anzeigten, so daß also auch keine Temperaturänderung des Gases eingetreten sein kann. Wichtigste war dies der Schluß von Gay-Lussacs. Auf diesem Proceß werden wir nun den ersten Hauptsatz gründen (§. 118) an:

$$U_2 - U_1 = Q + A.$$

Wärmemenge Q ist dem Gas zugeführt, auch ist solche von ihm abgeführt worden; also ist $Q \neq 0$. Da ferner das Gas in starrem Wand geschlossen bleibt, so kann der äußere Druck keine Arbeit leisten; es ist also auch $A = 0$. (Nebenbei bemerkt, erkennt man in diesem Prozesse ein Beispiel dafür, daß innerer und äußerer Druck durchaus nicht gleich sind; für die Berechnung der äußeren Arbeit darf man den äußeren Druck eingesetzt werden, was hier, wie oben erwähnt, das Resultat 0 liefert). Nichts heißt der erste Hauptsatz die Beziehung:

$$U_2 = U_1.$$

d. h. die Energie des Gases ist in beiden Zuständen dieselbe geblieben. Schreiben wir U nachdrücklich mit Einschubung der Argumente, so lautet die letzte Gleichung:

$$(118) \quad U(p_2, T_2) = U(p_1, T_2).$$

da ja die Temperatur T_1 unverändert bleibt, v_2 dagegen in v_1 übergeht. Da trotz der Änderung der alten Zustandsvariablen v die Energie U ungeändert bleibt, kann U von v überhaupt nicht abhängen, wenn der Gay-

Lavoisiers Versuch vollständig ist; es wäre also nach Gay-Lussacs für Gase allgemein zu setzen:

$$(44) \quad \begin{cases} \left(\frac{dU}{dT} \right)_p = D, \\ U = f(T). \end{cases}$$

Die Energie eines Gases wäre also nur Funktion der absoluten Temperatur, nicht des spezifischen Volumens.

Der Gay-Lussacsche Versuch ist indessen nicht ganz genug, weil wegen der sehr großen spezifischen Wärme des Wassers eine etwaige Temperaturänderung der Thermometer eine recht erhebliche Temperaturänderung des Gases voraussetzt, und sich also geringe Temperaturänderungen des Gases in den Beobachtungsfehlern verdecken konnten. Deshalb haben W. Thomson und J. P. Joule¹⁹⁾ in einer Reihe glänzender

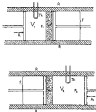


Fig. 14.

Abmessungen in den Jahren 1850/1851 und 1852 des Gay-Lussacschen Versuch in sorgfältiger Weise wiederholt hat, abgebildet (Fig. 14).

In der Figur bedeutet H ein Rohr aus schlecht wärmeleitendem Material; es war in den erwähnten Versuchen aus Buchenbaumholz angefertigt. In demselben befindet sich ein geringer Wassertropf W , links und rechts von demselben je ein verschließbarer Stempel, der den Querschnitt f des Rohres ganz ausfüllt.

¹⁹⁾ W. Thomson, *Met. u. phys. Papers*, Bd. 1, pag. 160; J. P. Joule, *Scientific Papers*, Bd. II, p. 1133.

Zu Beginn des Versuches (siehe Figur) befindet sich der rechte Stempel unmittelbar am Waagepflopf, der links eine in der Stellung, die in der oberen Fig. 14 schematisch ist, zwischen den beiden Stempeln befindet sich das zu untersuchende Gas, das unter diesem Umstande den Druck p_1 und das Volumen V_1 haben mag. Wenn jetzt auf den linken Stempel ein auflerer Druck ausgeübt wird, der sehr wenig größer ist als p_1 , so setzt sich der Stempel langsam nach rechts in Bewegung, drückt das Gas (immer unter dem konstanten Druck p_1) durch den porösen Pflopf hindurch; das Gas verschiebt sich einerseits dem rechten Stempel, auf dem ein äußerer Druck p_2 lastet, nach rechts. Zu Ende des Processes (unterer Figur) steht der linke Stempel dicht am Waagepflopf, der rechte Stempel hat eine derartige Stelle einge, daß der innere Druck des Gases bis auf unendlich Kleines gleich dem Druck p_2 ist, während das Volumen V_2 sein mag. So der unendlich langsamen Verschiebung des Gases als Ganzes ist keine endliche Arbeit aufgewendet worden: die gesamte äußere Arbeit besteht also darin, daß das Gas vom Druck p_1 und Volumen V_1 auf den Druck p_2 und das Volumen V_2 gebracht worden ist.

Die Arbeit zerfällt in zwei Teile: die Volumenveränderung konnten wir uns so erzeugt denken, daß die Verschiebung des ersten Stempels unter dem konstanten Drucke p_1 die Volumenveränderung V_1 erzeugt hat, darauf die Verschiebung des zweiten Stempels mit dem konstanten Drucke p_2 die Volumenveränderung V_2 also haben wir:

$$A_{\text{Z}} = + p_1 V_1 - p_2 V_2$$

Wärmemenge Q wird dem System nicht zugeführt. Damit wird der erste Hauptsatz:

$$(16) \quad U_2 - U_1 = p_1 V_1 - p_2 V_2$$

Die genaue Messung der Temperatur, die kleine Thermometerkugel T_1 vor und hinter dem Pflopf vorgenommen wurde, ergab tatsächlich eine Temperaturänderung bei sämtlichen benutzten Gasen. Dasselbe betrug pro Atmosphärischen Druckunterschied für Luft, Sauerstoff, Stickstoff bei Zimmertemperatur ungefähr $-1/100^\circ\text{C}$), bei Kohlensäure unter denselben Bedingungen etwa $-2/100^\circ\text{C}$; bei Wasserstoff war die Änderung sehr viel kleiner, ungefähr $1/1000$, und im umgekehrten Sinne. Bei Erhöhung der Temperatur nahmen die beobachteten Differenzen stark ab. Man bemerkt zunächst, daß die Gase im allgemeinen einen um so kleineren Effekt zeigen, je weiter sie vom Verdichtungsgebiete entfernt sind; besonders bemerkenswert sind in dieser Hinsicht die extremen Gase Wasserstoff und Kohlenwasserstoffe. Durch Temperaturerhöhung nähert sich ein Gas im allgemeinen dem Verhalten des idealen Gases, da es sich vom Verdichtungsgebiete entfernt; dem entspricht die Abnahme des Effekts. Extrapoliert man dieses Ergebnis weiter, so gelangt man zu der Vor-

) Auf geschätzter Annäherung dieser wenigen Abweichungszahlen beruhen die Messungen zur Verdichtung der Luft von C. Böde und Humpfen.

stellung, daß bei idealen Gasen in der Tat die Temperaturabhängigkeit des Wert Null haben würde. Wir machen von jetzt ab diese Voraussetzung und nehmen diese Bedingung mit unter die Charakteristiken des idealen Gases auf.

Dann läßt in Gl. (42) infolge der Zustandsgleichung, da die Temperatur für ideale Gase ja konstant bleibt, die äußere Arbeit $p_1 V_1 = p_2 V_2$ gerade fort, und es folgt, wie bei Gay-Lussac, aber mit der Beschränkung auf ideale Gase:

$$U(p_1, T_1) = U(p_2, T_1), \quad \text{d. h.}$$

$$\left(\frac{\partial U}{\partial p}\right)_T = 0.$$

Wir folgern also demgemäß:

„Die Energie U eines idealen Gases ist lediglich eine Funktion der absoluten Temperatur.“

24. Anwendung des ersten Hauptsatzes auf ideale Gase.

Die gesamte Form dieser Funktion schwächt der erste Hauptsatz zu Suchen. Dieser stimmt für die Masseinheit eines idealen Gases, unter Beschränkung des obigen Satzes, die Gestalt an:

$$(43) \quad \frac{dU}{dT} dT = dQ - p dv = dQ - \frac{R}{M} \frac{T}{v} dv.$$

Mit dieser Gleichung wollen wir nun einige spezielle Prozesse untersuchen, um die physikalische Bedeutung der auftretenden Größen festzustellen.

a) Wir betrachten zunächst einen Prozeß, bei dem wir das spezifische Volumen v konstant halten („isochorischer Prozeß“). Dann läßt sich die Wärmezunahme dQ gleich $c_v dT$ setzen, wo c_v die spezifische Wärme bei konstantem Volumen unseres idealen Gases bedeutet; es folgt dann:

$$\frac{dU}{dT} dT = c_v dT,$$

also:

$$(44) \quad \frac{dU}{dT} = c_v,$$

wenn die physikalische Bedeutung von $\frac{dU}{dT}$ festgestellt ist. Integriert gilt diese Gleichung:

$$U = \int c_v dT + \text{Const.}$$

Die spezifische Wärme c_v eines idealen Gases kann man offenbar nicht von v abhängen, da sonst U eine auch von v wäre, was entgegen dem Thomson-Joule'schen Versuch wäre; c_v kann also nur Funktion von T sein. Das Experiment ergibt jedoch in sehr weiten Grenzen, daß c_v auch von der Temperatur unabhängig ist. Wir wollen daher, weiter ideal-

stehend, annehmen, daß für ein ideales Gas c_v eine absolute Konstante ist. Damit wird die Menge der Masseneinheit oder „spezifische Wärme“ nach der letzten Gleichung:

$$(42) \quad u = c_v T + \text{Const.}$$

Mit (42) kann man auch die Zustandsgleichung $p = \frac{RT}{mv}$ kombinieren und findet dann statt (43) die gleichwertige Formel:

$$(43a) \quad u = \frac{m c_v}{p} p v + \text{Const.},$$

die sich eignet, wenn z. B. p statt T neben v als unabhängige Variable gewählt wird.

Die Gleichung des ersten Hauptsatzes nimmt daher für die Masseneinheit eines idealen Gases nach (42) die Gestalt an:

$$(44) \quad c_v dT = dq - p dv = c_p dq - \frac{RT}{mv} dv.$$

b) Wenden wir diese Gleichung nunmehr auf einen Prozeß mit konstantem Druck an („isobarer Prozeß“) d. h. führen wir der Masseneinheit des Gases die Wärmezunahme $dq = c_p dT$ zu, wo c_p die „spezifische Wärme bei konstantem Druck“ bedeutet. Dann ist nach (44):

$$(45) \quad (c_p - c_v) dT = p dv.$$

Dabei sind die Änderungen dT und dv zwei einander korrespondierende Veränderungen unter der Nebenbedingung konstanten Druckes. Sie sind also natürlich nicht unabhängig voneinander, sondern stehen wegen der Zustandsgleichung miteinander in Beziehung. Wir haben ja für diesen Fall aus der Zustandsgleichung:

$$dv = v = \frac{R}{p} \left\{ \frac{dT}{T} + \frac{T}{p} dp \right\},$$

oder:

$$(46) \quad \left(\frac{dv}{dT} \right)_p = \frac{T}{p}.$$

Setzen wir (46) in (45) ein, so folgt:

$$(c_p - c_v) \left(\frac{dT}{dT} \right)_p = (c_p - c_v) \frac{T}{p} = \frac{RT}{mv},$$

oder endlich:

$$(47) \quad c_p - c_v = \frac{R}{m}.$$

Dies ist ein außerordentlich wichtiges Resultat. Es folgt zunächst daraus, daß für ideale Gase $c_p > c_v$ ist, da $\frac{R}{m}$ stets positiv ist; daß dies allgemein gilt, kann erst im IV. Kapitel, Nr. 48, gezeigt werden; ferner ist die Differenz $(c_p - c_v)$ umgekehrt proportional dem Molekulargewicht des betreffenden idealen Gases. Die Größen mc_p , mc_v nennt man entsprechend die „Molekularwärmen“ bei konstantem Druck (Q_p) bzw.

Volumen (V_2), und man kann den Satz (48) so aussprechen: Das Differenz der Molekularwärmen bei konstantem Druck und konstantem Volumen ist gleich der absoluten Gaskonstante. Ferner folgt sofort aus (48), daß für ein ideales Gas auch c_p bzw. C_p eine absolute Konstante ist.

Diese Gleichung liefert, wie jede konkrete Anwendung des ersten Hauptsatzes, eine Methode zur Bestimmung des mechanischen Wärmeäquivalents. In unseren Schmelzwagen sind die Wärmemengen c_p und c_v in mechanischen Maß, in Erg., gemessen. Messen wir sie aber für einen Augenblick in Kalorien, so haben wir ($c_p = c_v$) noch mit dem Reduktionsfaktor J , oben dem gesuchten mechanischen Wärmeäquivalent, zu multiplizieren, so daß (48) übergeht in:

$$(49a) \quad J (c_p - c_v) = \frac{R}{m}.$$

Dabei haben wir die spezifischen Wärmen überstrichen, um den Übergang zum anderen Maßsystem bezüglich zu machen. Es ist also:

$$(49) \quad J = \frac{R}{m(c_p - c_v)},$$

und man hat nur $J_p = c_p$ für ein beliebiges ideales Gas zu bestimmen. Für Luft n.B. ist nach Regnault:

$$J_p = 0,2375 \frac{\text{cal}}{\text{gr grad}},$$

$$\frac{J_p}{J_v} = 1,40, \text{ also:}$$

$$J_p - J_v = 0,0625 \frac{\text{cal}}{\text{gr grad}};$$

ferner das „mittlere Molekulargewicht“ der Luft im Sinne des Nr. 21 (vgl. Gl. (38), pag. 81):

$$m = \frac{29 \cdot 26}{2,077 \cdot 10^3 + 2,37 \cdot 10^3} = 28,9,$$

also folgt endlich für J :

$$J = \frac{8,315 \cdot 10^7}{28,9 \cdot 0,0625} = 4,82 \cdot 10^7 \text{ Erg.},$$

was sehr gut mit dem Werte nach Gl. (21) übereinstimmt.

Es sei bemerkt, daß dies im Prinzip die vorher erwähnte Methode von J. B. Mayer war, das mechanische Wärmeäquivalent zu berechnen; man sieht, daß sie wesentlich auf dem Vorrathe von Gay-Lussacs bzw. Thomson-Joule beruht; nur ersterer war damals bereits angegeben, aber, wie schon oben gesagt, nicht mit genügender Sicherheit, um ein so wichtiges Ergebnis darauf stützen zu können.

Man kann das noch etwas anders formulieren, indem man betont, daß Gl. (48) mehr enthält, als der erste Hauptsatz für sich allein aussagen kann, nämlich außer der Zustandsgleichung noch die Energie-

gleichung, die eben durch den Gay-Lussac-Thomson-Joule-Versuch (in Verbindung mit dem ersten Hauptsatz) geliefert wird. Es ist interessant und wichtig, sich die Frage vorzulegen, was der erste Hauptsatz in Verbindung mit der Zustandsgleichung allein liefert. Wir haben zunächst die Gleichung:

$$\left(\frac{\partial v}{\partial T}\right)_p dT + c_v dT = dq - p dv,$$

wo nach (44):

$$(44a) \quad \left(\frac{\partial v}{\partial T}\right)_p = \alpha,$$

gilt ist. Für einen Versuch bei konstantem Druck ($dp = 0$, $dq = c_p dT$) haben wir femer:

$$\left(\frac{\partial v}{\partial T}\right)_p dT + c_v dT = c_p dT - p dv,$$

wobei, wie vorher, die jeweiligen entsprechenden Änderungen dv und dT aus der Gleichung $p v = \frac{R}{m} T$ für $p = \text{Const.}$ zu entnehmen sind. Es findet man:

$$dv = \frac{R}{p m} dT,$$

also:

$$(47a) \quad \left(\frac{\partial v}{\partial T}\right)_p \frac{R}{m} + c_v = c_p - \frac{R}{m}.$$

Diese letztere Gleichung entspricht offenbar (46), die aus der hervorgeht, wenn man unter Annahme des Thomson-Joule-Versuches $\left(\frac{\partial v}{\partial T}\right)_p = 0$ setzt. Durch Differentiation von (44a) nach v bei konstantem T und von (47a) nach T bei konstantem v folgt schließlich durch Kombination:

$$(49) \quad c_p - c_v = \frac{R}{m} + v \left(\frac{\partial v}{\partial v}\right)_T - T \left(\frac{\partial v}{\partial T}\right)_v + T \left(\frac{\partial v}{\partial T}\right)_p,$$

die die Verallgemeinerung von (48) ist und alles enthält, was mit Hilfe des ersten Hauptsatzes und der Zustandsgleichung allein für ideale Gase ausgesagt werden kann. —

§) In dritter Linie wollen wir die Gl. (46) des ersten Hauptsatzes für ideale Gase auf einen Fall anwenden, der dadurch charakterisiert ist, daß gas keine Wärme dq zugeführt (oder abgeführt) wird; das Gas ist also nach außen in unserer früheren Ausdrucksweise „adiabatisch isoliert“, und der betrachtete Prozess heißt deshalb kurz ein „adiabatischer“. Für ihn gilt nach (46):

$$c_v dT = - \frac{R}{m} \frac{T}{v} dv.$$

In dieser Differentialgleichung lassen sich die Variablen durch Division mit T trennen, und die Integration liefert:

$$(51) \quad c_v \log T + \frac{R}{m} \log v = \text{Const.}$$

Die Ende Seite dieser Beziehung ist eine Funktion der Zustandsvariablen v und T , die wir durch $\epsilon(v, T)$ bezeichnen wollen. Wir haben also:

$$(44a) \quad \epsilon(v, T) = c_v \log T + \frac{R}{\gamma} \log v = \text{Const.};$$

Diese Gleichung können wir als „adiabatische Bedingung“ für ein ideales Gas bezeichnen. Es existiert also für einen adiabatischen quasi-statischen Prozeß für ein ideales Gas eine nur vom augenblicklichen Zustande des Systems abhängige Funktion. Jedem Zustande eben die Bedingung für den adiabatischen Prozeß ist. Wir werden später sehen, daß für jeden adiabatischen quasi-statischen Prozeß bei einer beliebigen Substanz sich ebenfalls eine solche Funktion der Zustandsvariablen angeben läßt; doch reicht dann der erste Hauptsatz nicht aus, sondern es bedarf der Zuhilfenahme des sogenannten zweiten Hauptsatzes. Auf diese Frage werden wir im dritten Kapitel ausführlich einzugehen haben.

Aus (44) folgt unmittelbar, daß eine adiabatische Kompression mit Temperaturerhöhung, umgekehrt eine adiabatische Dilatation mit Abkühlung des arbeitenden Gases verbunden ist. Dies ist unmittelbar einleuchtend; denn da außen Wärme nicht zugeführt wird, so geschähen alle Arbeitsleistungen auf Kosten der inneren Energie $\epsilon = c_v T + \text{Const.}$, d. h. nachteilig durch Temperaturänderungen bemerkbar.

Auch hier ist es wichtig, sich klar zu machen, daß die adiabatische Bedingung auf Grund des ersten Hauptsatzes allein nicht hätte gewonnen werden können, sondern nur wieder mit Hilfe des Ausdrucks für die innere Energie ϵ . Es wird z. B. bei dem später zu besprechenden realen Gasen, für die der Thomson-John-Van-der-Waals Ausdruck für die innere Energie lautet, nicht möglich sein, dasselbe zu leisten; das gesteht wieder erst der zweite Hauptsatz. Dies hängt wohl engste damit zusammen, daß auch eine die adiabatische Bedingung für beliebige Stoffe betreffende Funktion der Zustandsvariablen, wie oben erwähnt, erst mit Hilfe dieses zweiten Hauptsatzes aufgestellt werden kann.

Man kann (44) mittels (45) in eine andere Gestalt bringen, wenn man gleichzeitig von den Logarithmen zu den Potenzen übergeht. Es ist nämlich:

$$(45) \quad T v^{\frac{\gamma-1}{\gamma}} = \text{Const.};$$

und hier kann man vermittle der Zustandsgleichung $p v = \frac{RT}{\gamma}$ die Temperatur T durch den Druck p ausdrücken, wodurch das adiabatische Gesetz eine Beziehung zwischen p und v darstellt, also dem für konstante Temperatur geltenden Boyle-Mariotteschen Gesetze analog gestaltet wird. Das liefert sofort:

$$(46) \quad p v^{\gamma} = \text{Const.}$$

Für $\frac{dv}{v}$ hat man meistens die Abkürzung κ eingeführt, wo κ nach unseren früheren Auseinandersetzungen größer als die Einheit ist; also:

$$(33a) \quad p v^{\kappa} = \text{Const.}$$

Die Schallgeschwindigkeiten sind ein Beispiel eines derartigen adiabatischen Prozesses, und es ergibt sich auch (Bd. I, pag. 785) das Auftreten des Faktors κ in der Formel für die Schallgeschwindigkeit.

In einem Koordinatensystem, in dem p als Ordinate, v als Abszisse gewählt ist, stellen die Boyle-Mariotteschen Kurven $p v = \text{Const.}$ offenbar gleichzeitige Hyperbeln vor (s. Fig. 13) ausgetragene; die adiabatischen Kurven, die durch die gestrichelten Linien in Fig. 13 dargestellt werden, fallen stärker ab als die Mariotteschen Kurven.



Fig. 13.

Jede der ausgezogenen Kurven $p v = \text{Const.}$ entspricht einem andern Werte der Konstanten, also nach der Zustandsgleichung einem andern Werte von T . Sie werden deshalb demgemäß „Isothermen“ genannt. Diese graphische Darstellung ist sehr zweckmäßig und wird uns in der ganzen Thermodynamik begegnen. —

5) An vierter Stelle wenden wir die Gl. (30) des ersten Hauptsatzes für ideale Gase auf einen Vorgang an, bei dem durch geeignete Wärmeeinleiter oder Wärmeabfuhrung die Temperatur konstant bleibt; das ist ein „isothermer“ Vorgang. Bei einem solchen ändert sich die innere Energie $u = u, T = \text{Const.}$ offenbar gar nicht, und wir erhalten aus (30):

$$(34) \quad d'q = p dv = \frac{RT}{v} \frac{dv}{v} = -d'u,$$

d. h. die gesamte zugeführte Wärme $d'q$ wird vollständig in Arbeitsleistung $d'u$ umgesetzt. Ist die Wärmezunahme $d'q$ positiv, so ist die äußere

Arbeit $P \, dv$ negativ; da $P \, dv = -p \, dv$, ist dies der Fall, wenn $dv > 0$ ist, also wenn der Prozeß so geschieht, daß das Volumen vergrößert wird; das Gas leistet dann Arbeit gegen den äußeren Druck; es wird, wie man sagt: „Wärme in Arbeit verwandelt“. Ist umgekehrt $dv < 0$, so ist $P \, dv = -p \, dv$ positiv, also $d'q$ negativ, d. h. bei isothermer Kompression leistet der äußere Druck positive Arbeit, und Wärme wird von dem nach außen abgegeben: Man wird „Arbeit in Wärme verwandelt“. Und zwar geschieht die Umwandlung in beiden Fällen reiblos; die ganze Wärme wird in Arbeit oder die ganze Arbeit in Wärme umgewandelt.

Gl. (34) ist daher reiblos integrierbar; sie kann ja offenbar geschrieben werden:

$$d'q = -d'P = -\frac{RT}{v} \, d(\log v),$$

was zwischen zwei Grenzen v_1 und v_2 (bei konstanter Temperatur) integriert liefert:

$$(34a) \quad q_{12} = -q_{21} = -\frac{RT}{m} \log \frac{v_2}{v_1}.$$

Diese Gleichung kann noch verändert werden, wenn man bedenkt, daß v_1 und v_2 durch einen isothermen Prozeß, für den das Boyle'sche Gesetz gilt, miteinander hervorgehen; weist also $\frac{v_2}{v_1} = \frac{p_1}{p_2}$. Darnach noch die letzte Gleichung:

$$(34b) \quad q_{12} = -q_{21} = -\frac{RT}{m} \log \frac{p_1}{p_2}.$$

Bemerkenswert ist, daß die Arbeit (pro Masseneinheit) demgemäß nur vom Verhältnis des Anfangsdruckes zum Enddrucke abhängt, nicht von den Drücken selbst. Kompression von 1 Atm. auf $\frac{1}{2}$ Atm. verlangt also dieselbe Arbeit, wie Kompression von 20 auf 10 Atmosphären.

Multipliziert man jetzt Gl. (34b) mit m , so erhält man die isotherme Kompressionsarbeit pro Mol des idealen Gases, die demgemäß den einfachen Wert

$$(34c) \quad = RT \log \frac{p_1}{p_2}$$

beträgt.

55. Anwendung des ersten Hauptsatzes auf einen isothermen homogenen Stoff.

Während die Annahmevermutungen der vorhergehenden Nummer in mehrfacher Hinsicht spezielle waren, stützten sich die Wahl eines idealen Gases, anderseits durch die Wahl von v und T als Variablen, wollen wir jetzt die Masseneinheit einer beliebigen homogenen Substanz, die durch zwei Variablen charakterisiert werden kann, z. B. ein reelles Gas, der Untersuchung unterziehen, und zwar wollen wir von symmetrischen

keine Variablen beizulegen. Wir wissen, daß zwei von den drei Variablen p , v , T genügen, und es ergeben sich somit drei Gruppen von Variablen:

$$\text{I. } v \text{ und } T; \quad \text{II. } p, T; \quad \text{III. } p, v.$$

Die letzte Kombination wird zwar selten benutzt, doch wollen wir sie hier der Vollständigkeit halber mitbehandeln.

I. v , T sind unabhängige Variablen.

Bei dieser Wahl können wir den ersten Hauptsatz für quasistatische Vorgänge schreiben:

$$(80) \quad \left(\frac{\partial u}{\partial T}\right)_v dT + \left(\frac{\partial u}{\partial v}\right)_T dv = dT - p dv,$$

und diese Gleichung wollen wir auf dieselben speziellen Vorgänge anwenden, die wir vorher betrachteten, nämlich auf mechanische, isochore, adiabatische und isotherme Prozesse.

a) Nehmen wir zunächst einen Prozess bei konstantem Volumen („isochorischer Prozess“); dafür ist $dv = 0$, $d'q = c_v dT$, so daß die Gl. (82) übergeht in die uns bereits vom idealen Gas her bekannte Gl. (84):

$$(84) \quad \left(\frac{\partial u}{\partial T}\right)_v = c_v,$$

sie ist in ihrer Gültigkeit also nicht auf ideale Gase beschränkt, sondern bestimmt ganz allgemein die physikalische Bedeutung von $\left(\frac{\partial u}{\partial T}\right)_v$.

b) Ein isothermer Prozess ($dT = 0$) liefert für $d'q$ den Wert $c_p dT$ also folgt nach (85):

$$(85) \quad \left(\frac{\partial u}{\partial T}\right)_p dT + \left(\frac{\partial u}{\partial v}\right)_T dv = c_p dT - p dv.$$

In dieser Gleichung ist aber — ebenso wie bei der entsprechenden (81) in Nummer 24 — wohl zu beachten, daß die Veränderungen dT und dv voneinander nicht unabhängig sind, sondern wegen der Forderung konstanten Druckes durch die Zustandsgleichung miteinander verbunden. Es ist deshalb nicht gestattet, die Koeffizienten der Glieder mit dT bzw. dv einzeln gleich Null zu setzen. Die Beziehung zwischen dT und dv im obigen Falle ergibt sich analog wie früher aus der Bedingung, daß in der Zustandsgleichung $p = p(v, T)$ die Änderung des Druckes $dp = 0$ sein soll. Also ist

$$0 = \left(\frac{\partial p}{\partial v}\right)_T dv + \left(\frac{\partial p}{\partial T}\right)_v dT,$$

oder

$$dv = - \frac{\left(\frac{\partial p}{\partial T}\right)_v}{\left(\frac{\partial p}{\partial v}\right)_T} dT,$$

oder analog:

$$(46) \quad \left\langle \frac{\partial v}{\partial T} \right\rangle_s = - \left\langle \frac{\frac{\partial p}{\partial T}}{\frac{\partial p}{\partial v}} \right\rangle_s = \frac{1}{\left\langle \frac{\partial p}{\partial v} \right\rangle_s}.$$

Dieser Wert muß in (37) bzw. der damit identischen folgenden Gleichung eingesetzt werden:

$$\left\langle \frac{\partial u}{\partial T} \right\rangle_s + \left\langle \frac{\partial u}{\partial v} \right\rangle_s \left\langle \frac{\partial v}{\partial T} \right\rangle_s = c_p - p \left\langle \frac{\partial v}{\partial T} \right\rangle_s,$$

oder unter Beachtung, daß nach (38) $\left\langle \frac{\partial u}{\partial T} \right\rangle_s = c_v$ ist:

$$(47) \quad c_p - c_v = \left[\left\langle \frac{\partial u}{\partial v} \right\rangle_s + p \right] \left\langle \frac{\partial v}{\partial T} \right\rangle_s.$$

Die Gl. (36) und (47) definieren die physikalische Bedeutung von $\left\langle \frac{\partial u}{\partial T} \right\rangle_s$ und $\left\langle \frac{\partial u}{\partial v} \right\rangle_s$, d. h. drücken sie durch experimentell bestimmbare Größen aus; beide Gleichungen sind aber im allgemeinen nicht prüfbar, weil weder $\left\langle \frac{\partial p}{\partial T} \right\rangle_s$ noch $\left\langle \frac{\partial p}{\partial v} \right\rangle_s$ von vornherein bekannt sind; der erste Hauptsatz liefert ja diese Größen erst. Eine experimentell prüfbare Bestimmung gewinnt man daraus erst durch Elimination von c_v , d. h. durch Anwendung der Behauptung des ersten Hauptsatzes, daß $\left\langle \frac{\partial v}{\partial T} \right\rangle_s dT + \left\langle \frac{\partial v}{\partial v} \right\rangle_s dv = dv$ ein totales Differential, d. h.

$$\left[\frac{1}{v} \left\langle \frac{\partial u}{\partial T} \right\rangle_s \right]_T = \left[\frac{1}{\partial T} \left\langle \frac{\partial v}{\partial v} \right\rangle_s \right]_T = \frac{p}{v \partial T}$$

ist. Wir wollen diese Gleichung jetzt auf (46) und (47) anwenden. Wir erhalten aus (46):

$$\frac{p}{v \partial T} = \left\langle \frac{\partial p}{\partial v} \right\rangle_s,$$

aus (47) unter Beachtung von (46):

$$\frac{p}{v \partial T} = \left\langle \frac{\partial p}{\partial T} - \frac{\partial p}{\partial v} \right\rangle_s \left\langle \frac{\partial T}{\partial v} \right\rangle_s + (c_p - c_v) \left[\frac{1}{\partial T} \left\langle \frac{\partial T}{\partial v} \right\rangle_s \right]_T = \left\langle \frac{\partial p}{\partial v} \right\rangle_s,$$

und daraus durch Subtraktion, wodurch eben die auf die innere Energie u bezüglichen Glieder eliminiert werden:

$$(48) \quad \left\langle \frac{\partial u}{\partial v} \right\rangle_s = \left\langle \frac{\partial p}{\partial T} - \frac{\partial p}{\partial v} \right\rangle_s \left\langle \frac{\partial T}{\partial v} \right\rangle_s + (c_p - c_v) \left[\frac{1}{\partial T} \left\langle \frac{\partial T}{\partial v} \right\rangle_s \right]_T = \left\langle \frac{\partial p}{\partial T} \right\rangle_s,$$

eine Gleichung, in der keine experimentell prüfbare Größen vorkommen; c_p , c_v ihre Abhängigkeit von der Temperatur und vom Volumen, ferne die von der Zustandsgleichung folgenden Koeffizienten $\left\langle \frac{\partial p}{\partial T} \right\rangle_s$, $\left\langle \frac{\partial p}{\partial v} \right\rangle_s$, $\left[\frac{1}{\partial T} \left\langle \frac{\partial T}{\partial v} \right\rangle_s \right]_T$ usw. Für ein ideales Gas ist diese Gleichung leicht zu verifizieren; denn es sind zunächst $\left\langle \frac{\partial u}{\partial v} \right\rangle_s = \left\langle \frac{\partial u}{\partial T} \right\rangle_s = \left\langle \frac{\partial u}{\partial p} \right\rangle_s = 0$, da die

spezifischen Wärmen des idealen Gases ja konstant sind. Ferner folgt aus der Zustandsgleichung $p = \frac{R}{v} T$ der Behauptung:

$$\left(\frac{\partial p}{\partial v}\right)_T = -\frac{R}{v^2} = -\frac{p}{v}; \quad \left[\frac{\partial}{\partial T} \left(\frac{\partial p}{\partial v}\right)_T\right]_v = -\frac{\partial}{\partial T} \left(\frac{p}{v}\right)_v = -\frac{1}{v}; \quad \left(\frac{\partial p}{\partial T}\right)_v = \frac{p}{T}.$$

Mit diesen Größen folgt aus (80):

$$v = \frac{R}{\alpha} \frac{p - p_0}{p} = \frac{R}{\alpha} \frac{p_0}{p},$$

und das gibt die bereits bekannte Relation (48) für ideale Gase:

$$v_p - v_0 = \frac{R}{\alpha}.$$

Dasselbe hätte aus (80) geschlossen werden können, wenn wir v für ein ideales Gas als bekannt voraussetzen, also $\left(\frac{\partial v}{\partial T}\right)_p = 0$ setzen; es ist jedoch für einen beliebigen Stoff im allgemeinen nicht als bekannt anzunehmen.

c) Am dritten Stelle betrachten wir einen isothermen Prozeß ($dT = 0$). Dafür erhält man aus (80):

$$\left(\frac{\partial u}{\partial v}\right)_T dv + p dv = d'q,$$

oder:

$$(81) \quad d'q = \left[\left(\frac{\partial u}{\partial v}\right)_T + p\right] dv.$$

Diese Gleichung unterscheidet sich wesentlich von der entsprechenden (54) für das ideale Gas; dort ist nach Thomson-Joule $\left(\frac{\partial u}{\partial v}\right)_T = 0$, also $d'q = p dv = -v \alpha$. Während also für ein ideales Gas bei einem quasistatisch-isothermen Prozeß die spezifische Energie u nicht verändert, vielmehr die ganze zugeführte Wärme $d'q$ in Arbeit umgewandelt wird (und umgekehrt), wird bei einem beliebigen Stoff nur ein Teil der Wärme in Arbeit verwandelt, der Rest zur Vermehrung der inneren Energie u benutzt (oder umgekehrt).

d) Endlich wollen wir einen adiabatischen Prozeß ($d'q = 0$) betrachten, wofür (80) übergeht in:

$$\left(\frac{\partial u}{\partial v}\right)_T dv + \left(\frac{\partial u}{\partial T}\right)_v dT = -p dv,$$

oder, da $\left(\frac{\partial u}{\partial T}\right)_v = c_v$, ist,

$$(82) \quad -\left[\left(\frac{\partial u}{\partial v}\right)_T + p\right] \left(\frac{\partial v}{\partial T}\right)_v = c_v,$$

wobei der Index „ad“ andeuten soll, daß dv und dT nicht willkürlich, sondern durch die Bedingung des Adiabats verknüpft sind. Beachtet

nach, daß $\left(\frac{\partial v}{\partial T}\right)_{\text{ad}} = \frac{1}{\left(\frac{\partial T}{\partial v}\right)_{\text{ad}}}$ ist, so kann die letzte Gleichung geschrieben werden:

$$(95a) \quad \left(\frac{\partial u}{\partial v}\right)_T = -c_v \left(\frac{\partial T}{\partial v}\right)_{\text{ad}} - p,$$

und wenn man dies mit Gl. (94) kombiniert und erstere nach T bei konstantem v , letztere nach v bei konstantem T differenziert, so hat man:

$$\begin{aligned} \frac{\partial^2 u}{\partial T \partial v} &= -\left(\frac{\partial c_v}{\partial T}\right)_v \left(\frac{\partial T}{\partial v}\right)_{\text{ad}} - c_v \left[\frac{\partial}{\partial T} \left(\frac{\partial T}{\partial v}\right)_{\text{ad}}\right]_v - \left(\frac{\partial p}{\partial T}\right)_v, \\ \frac{\partial^2 u}{\partial T \partial v} &= \left(\frac{\partial u}{\partial T}\right)_v, \end{aligned}$$

und durch Substitution folgt sofort:

$$(96) \quad \left(\frac{\partial u}{\partial v}\right)_T + \left(\frac{\partial v}{\partial T}\right)_v \left(\frac{\partial T}{\partial v}\right)_{\text{ad}} + c_v \left[\frac{\partial}{\partial T} \left(\frac{\partial T}{\partial v}\right)_{\text{ad}}\right]_v + \left(\frac{\partial p}{\partial T}\right)_v = 0,$$

also Gleichung, die wieder letzter experimentell bestimmbarer Größen enthält und also zur Prüfung des ersten Hauptsatzes dienen kann. Für ein ideales Gas ist sie leicht verifizierbar; die beiden ersten Glieder fallen fort; nach der Zustandsgleichung wird das dritte Glied gleich $-\frac{R}{m v}$; das vierte dagegen $+\frac{R}{m v}$, also ist in der Tat (96) für ein ideales Gas identisch erfüllt.

II. p und T sind unabhängige Variablen.

Bei dieser Wahl kann man den ersten Hauptsatz schreiben:

$$(97) \quad \left(\frac{\partial u}{\partial T}\right)_v dT + \left(\frac{\partial u}{\partial v}\right)_T dv = dQ - p dv = dQ - p \left(\frac{\partial v}{\partial T}\right)_v dT - p \left(\frac{\partial v}{\partial p}\right)_T dp,$$

und jetzt wollen wir wieder die vier Prozesse betrachten wie unter I.

a) Der Prozeß verlaufe bei konstantem Volumen ($dp = 0$; $dQ = c_v dT$). Dann ist aus (97):

$$\left(\frac{\partial u}{\partial T}\right)_v dT + \left(\frac{\partial u}{\partial v}\right)_v dT = c_v dT,$$

und hier folgt, wenn man noch durch dT dividiert und das Differentialquotienten $\left(\frac{\partial u}{\partial v}\right)_v$ mit dem Index v schreibt, was zu betonen, daß dp und dT nicht unabhängig voneinander, sondern durch die Zustandsgleichung wegen des konstanten v aneinander gebunden sind:

$$(98) \quad \left(\frac{\partial u}{\partial T}\right)_v \left(\frac{\partial v}{\partial T}\right)_v + \left(\frac{\partial u}{\partial v}\right)_v = c_v.$$

Diese Gleichung muß natürlich mit (95) dem Inhalte nach übereinstimmen, da sie sich ja nur durch Substitution anderer Variablen unterscheidet. In der Tat besteht nach den Elementen der Differentialrechnung die Beziehung:

$$\left(\frac{\partial u}{\partial v}\right)_v = \left(\frac{\partial u}{\partial v}\right)_p \left(\frac{\partial p}{\partial T}\right)_v + \left(\frac{\partial u}{\partial T}\right)_p,$$

welche den notwendigen Übergang von (55) nach (56) vermittelt. Überhaupt ist es klar, daß der Übergang zu anderen Variablen kein physikalisches neues Kapitel eröffnen kann; nur führen manche Formeln je nach der Wahl der Variablen bequemer für das Experiment aus. Wir führen auch deshalb alle Formeln an, um den Lernenden an die exakte Unterscheidung der hier auftretenden verschiedenen Differentialen abzuhängen.

f) Der *Freiwillige* Prozeß bei konstantem Druck ($dP = 0$, $d'Q = c_p dT$). Dann wird (54):

$$\left(\frac{\partial u}{\partial T}\right)_p dT = c_p dT - p \left(\frac{\partial v}{\partial T}\right)_p dT,$$

oder:

$$(56) \quad c_p = \left(\frac{\partial u}{\partial T}\right)_p + p \left(\frac{\partial v}{\partial T}\right)_p.$$

Die Gl. (55) und (56) definieren wieder die physikalische Bedeutung der partiellen Ableitungen $\left(\frac{\partial u}{\partial p}\right)_T$ und $\left(\frac{\partial v}{\partial T}\right)_p$.

Dennist man in (55), daß nach (54)

$$\left(\frac{\partial u}{\partial p}\right)_T = c_v - \left(\frac{\partial v}{\partial T}\right)_p \left(\frac{\partial p}{\partial T}\right)_v,$$

ist, so folgt unmittelbar:

$$(57) \quad c_p - c_v = - \left(\frac{\partial u}{\partial p}\right)_T \left(\frac{\partial p}{\partial T}\right)_v + p \left(\frac{\partial v}{\partial T}\right)_p,$$

das den nachfolgenden Inhalt wie (56) hat und heute in dieselbe überführt ist. Bildet man aus (55) und (57) die Werte $\left(\frac{\partial u}{\partial p}\right)_T$ und $\left(\frac{\partial v}{\partial T}\right)_p$, differenziert den ersten nach T bei konstantem p , den zweiten nach p bei konstantem T und subtrahiert, so erhält man eine zu (56) analoge Beziehung vom reinlichen Inhalte.

g) Der *isotherme* Prozeß ($dT = 0$) ergibt aus (54):

$$\left(\frac{\partial u}{\partial p}\right)_T dP = d'Q - p \left(\frac{\partial v}{\partial p}\right)_T dP,$$

oder:

$$(58) \quad d'Q = \left[\left(\frac{\partial u}{\partial p}\right)_T + p \left(\frac{\partial v}{\partial p}\right)_T\right] dP,$$

die dasselbe aussagt wie Gl. (54).

h) Nehmen wir endlich den *adiabatischen* Prozeß ($d'Q = 0$), so folgt aus (54):

$$\left(\frac{\partial u}{\partial p}\right)_T dP + \left(\frac{\partial u}{\partial T}\right)_p dT = -p \left(\frac{\partial v}{\partial p}\right)_T dP - p \left(\frac{\partial v}{\partial T}\right)_p dT,$$

oder unter Einführung des Symbols $\left(\frac{\partial u}{\partial p}\right)_u$:

$$\left[\left(\frac{\partial u}{\partial p}\right)_T + p \left(\frac{\partial v}{\partial p}\right)_T\right] \left(\frac{\partial p}{\partial T}\right)_u = - \left(\frac{\partial u}{\partial T}\right)_p - p \left(\frac{\partial v}{\partial T}\right)_p,$$

von der man mit Hilfe der Definitionsgleichungen (55) und (56) $\left(\frac{\partial u}{\partial p}\right)_p$ bzw. $\left(\frac{\partial u}{\partial p}\right)_p$ eliminieren kann:

$$(57) \quad (c_p - c_v) \left(\frac{\partial p}{\partial T}\right)_u = c_v \left(\frac{\partial p}{\partial T}\right)_u,$$

die hier experimentell bestimmbare Größen enthält, und für ein ideales Gas leicht verifiziert werden kann.

III. p und v sind unabhängige Variablen.

Hier lautet die Gleichung des ersten Hauptsatzes:

$$(58) \quad \left(\frac{\partial u}{\partial p}\right)_p dp + \left(\frac{\partial u}{\partial v}\right)_v dv = d'Q - p dv.$$

a) Die Betrachtung eines isochorischen Prozesses ($dv = 0$, $d'Q = c_v dT$) liefert:

$$\left(\frac{\partial u}{\partial p}\right)_p dp = c_v dT,$$

oder eine der beiden Formen:

$$(59) \quad \begin{cases} c_v = \left(\frac{\partial u}{\partial p}\right)_p \left(\frac{\partial p}{\partial T}\right)_p, \\ \left(\frac{\partial u}{\partial p}\right)_p = c_v \left(\frac{\partial T}{\partial p}\right)_p, \end{cases}$$

wobei $\left(\frac{\partial p}{\partial T}\right)_p = \frac{1}{\left(\frac{\partial T}{\partial p}\right)_p}$ aus der Zustandsgleichung zu berechnen ist. Offen-

bair ist $\left(\frac{\partial u}{\partial p}\right)_p \left(\frac{\partial p}{\partial T}\right)_p = \left(\frac{\partial u}{\partial T}\right)_p$, was mit Gl. (56) bzw. (54) der Sache nach übereinstimmt, wie man sich leicht Gl. (51) stellt die physikalische Bedeutung von $\left(\frac{\partial u}{\partial T}\right)_p$ fest.

b) An zweiter Stelle betrachten wir einen isobaren Prozeß ($dp = 0$, $d'Q = c_p dT$). Dafür liefert (58):

$$\left(\frac{\partial u}{\partial v}\right)_v dv = c_p dT - p dv,$$

woraus folgt:

$$(60) \quad \begin{cases} \left[\left(\frac{\partial u}{\partial v}\right)_v + p\right] \left(\frac{\partial v}{\partial T}\right)_v = c_p, & \text{oder} \\ \left(\frac{\partial u}{\partial v}\right)_v = c_p \left(\frac{\partial T}{\partial v}\right)_v - p, \end{cases}$$

wobei wieder $\left(\frac{\partial p}{\partial T}\right)_v = \frac{1}{\left(\frac{\partial T}{\partial p}\right)_v}$ aus der Zustandsgleichung bei konstantem p zu ermitteln ist; Gl. (60) liefert die physikalische Bedeutung von $\left(\frac{\partial u}{\partial T}\right)_p$.

Differenziert man die result. Gl. (71) nach r bei konstantem p , die result. Gl. (72) nach p bei konstantem r , so erhält man:

$$\begin{aligned}\frac{\partial^2 u}{\partial r \partial p} &= \left(\frac{\partial u}{\partial p} \right)_r \left(\frac{\partial r}{\partial p} \right)_r + c_r \frac{\partial^2 T}{\partial p^2}, \quad \text{und} \\ \frac{\partial^2 u}{\partial r \partial p} &= \left(\frac{\partial u}{\partial r} \right)_p \left(\frac{\partial r}{\partial p} \right)_p + c_p \frac{\partial^2 T}{\partial p^2} = 1,\end{aligned}$$

und Subtraktion liefert wieder eine Gleichung, die zur experimentellen Prüfung des ersten Hauptsatzes dienen kann:

$$(73) \quad c_p - c_v \left(\frac{\partial^2 T}{\partial p^2} \right)_r + \left(\frac{\partial^2 T}{\partial p^2} \right)_p \left(\frac{\partial r}{\partial p} \right)_p - \left(\frac{\partial r}{\partial p} \right)_p \left(\frac{\partial^2 T}{\partial p^2} \right)_p - 1 = 0.$$

Die hier auftretende Größe $\left(\frac{\partial r}{\partial p} \right)_p$ ist wohl zu unterscheiden von der in Gl. (60) auftretenden $\left(\frac{\partial u}{\partial p} \right)_p$. In letzterer Gleichung ist u , als Funktion von r und T betrachtet, in unserer Gleichung (73) dagegen als Funktion von r und p ; natürlich besteht ein einfacher Zusammenhang zwischen diesen, und den wir am Schluß von Nr. 38 eingehen wollen.

Offenbar liefert (73) dasselbe wie Gl. (60), nur in anderer Darstellungsgestalt. Wenn man von (73) zu (60) übergehen will, so hat man insbesondere auf den oben erwähnten Unterschied $\left(\frac{\partial u}{\partial p} \right)_p$ und $\left(\frac{\partial u}{\partial p} \right)_r$ zu achten. Am Schluß von Nr. 38 wollen wir die Identität der beiden Gleichungen direkt nachweisen.

c) Die Betrachtung des isothermen Prozesses $dT = 0$ liefert hier:

$$d\epsilon = \left(\frac{\partial \epsilon}{\partial p} \right)_r \left(\frac{\partial p}{\partial r} \right)_r + \left(\frac{\partial \epsilon}{\partial r} \right)_p dr + p dr,$$

diese Gleichung sagt dasselbe aus wie (60) und (63).

d) Nehmen wir endlich einen adiabatischen Prozess $d\epsilon = 0$, so haben wir nach (70):

$$\left(\frac{\partial u}{\partial p} \right)_r dp + \left(\frac{\partial u}{\partial r} \right)_p dr + p dr = 0,$$

oder besser:

$$(74) \quad \left(\frac{\partial u}{\partial p} \right)_r \left(\frac{\partial p}{\partial r} \right)_r + \left(\frac{\partial u}{\partial r} \right)_p + p = 0.$$

In der man nach (71) und (72) $\left(\frac{\partial u}{\partial p} \right)_r$ und $\left(\frac{\partial u}{\partial r} \right)_p$ durch c_v und c_p ausdrücken kann, wenn man wieder eine experimentell prüfbare Gleichung erhält:

$$(75) \quad c_v \left(\frac{\partial T}{\partial p} \right)_r \left(\frac{\partial p}{\partial r} \right)_r + c_p \left(\frac{\partial T}{\partial r} \right)_p = 0,$$

die inhaltlich mit (68) und (69) identisch ist.

Alle aufgeführten Beziehungen lassen sich für ideale Gase leicht verifizieren.

26. Die von der Waalschen Zustandsgleichung für reale Gase: Anwendung des ersten Hauptsatzes auf ein reales Gas.

Wenn man die in der vorhergehenden Nummer enthaltenen Gleichungen verwenden will, so bedarf man der Kenntnis der Zustandsgleichung; wir wollen daher zunächst die Zustandsgleichung der realen Gase kennenlernen. Von der Waals ist es gelungen, auf molekulartheoretische Vorstellungen gestützt, denen wir am späteren verwenden werden, eine Gleichung abzuleiten, die weitgehend entsprechend dem Verhalten zahlreicher Gase entspricht und sogar für den flüssigen Zustand Gültigkeit besitzt. Die von der Waalsche Gleichung lautet:

$$(76) \quad \left(p + \frac{a}{v^2}\right)(v - \beta) = \frac{R}{m} T,$$

wo a und β geeignet bestimmte Konstanten sind, die für jedes Gas charakteristisch sind. Nimmt man sehr verdünnte Gase, d. h. $\frac{a}{v^2} \ll p$, $v \gg \beta$, so geht (76) über in die ideale Gasgleichung, wie es sehr wohl. Gl. (76) ist in Bezug auf v von dritter Grade; sie lautet nach v aufgelöst:

$$(77) \quad v^3 - \frac{R\beta + \frac{R}{p}T}{p}v^2 + \frac{a}{p}v - \frac{a\beta}{p} = 0,$$

woraus sofort folgt, daß im allgemeinen bei vorgegebenem Temperatur T einem Werte von p drei Werte von v , d. h. drei spezifische Volumina, entsprechen werden, von denen allerdings zwei unter Umständen hockeplane Werte annehmen können, also dann keine physikalische Bedeutung besitzen. Man kann aus physikalischen Überlegungen von vornherein sagen, daß dieser letztere Fall eintreten muß, wenn die Gase sehr verdünnt sind und hohe Temperaturen haben, da dann (76) sich der idealen Gasgleichung annähert, die linear in v ist, bei der es zu jedem Druck also nur ein Volumen gehört. In diesem Wertebereich der Variablen fallen zwei spezifische Volumina konjugiert komplex zusammen und scheiden aus unserer Betrachtung aus.

Nach Versuchen von Andrews an Kohlendioxid, die später von vielen anderen Forschern bestätigt und erweitert worden sind, zeigt sich das erwähnte besprochene Verhalten bei Kohlendioxid bei Temperaturen über 31°C , also bei einer kritischen Temperatur von 304 Grad. Unterhalb dieser Temperatur sollen wir nach der von der Waalschen Gleichung drei reelle spezifische Volumina zu jedem Druck haben. In der Fig. 14 sind für eine Reihe von Temperaturen (10, 15, 20, 31, 40, 50 Grad Celsius) die Werte v und p als Abszissen und Ordinaten aufgetragen, analog wie in Fig. 13 für das ideale Gas; Fig. 15 stellt die Isothermen der Kohlendioxid nach der von der Waalschen Gleichung dar; dabei ist der Druck in Atmosphären, das spezifische Volumen in $\frac{\text{cm}^3}{\text{g}}$ aufgetragen. Macht man Parallelverschiebung zum Abszissenachsen, d. h. Linien konstanten Drucks, so sieht man

aus der Zeichnung, daß in der Tat die Isothermen oberhalb 31° von jeder solchen Linie nur einmal geschnitten werden, d. h., daß zu jedem Werte p ein und nur ein Wert von v gehört.

Wir wollen nun etwa die Isotherme bei 35°C ins Auge fassen und von großen spezifischen Werten v und kleinen Drücken p beginnen, d. h. in dem in Fig. 18 rechts unten befindlichen Gebiete. Dort gelten im wesentlichen noch die elastischen Beziehungen für die idealen Gase, da unter diesen Umständen $\frac{p}{v}$ und β praktisch vernachlässigt werden können. Indem wir den Druck langsam steigern, sehen wir auf der gewählten Isotherme

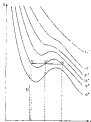


Fig. 18.

von 35° abwärts nach links, bis wir einen bestimmten Druck p_1 erreicht haben. Von dieser Stelle ab trennt sich die theoretische Kurve von dem wirklichen Verhalten. Ziehen wir die Horizontale $p = p_1$, so schneiden sie die betrachtete Isotherme in drei Punkten, deren die spezifischen Volumina v_1' , v_1'' , v_1''' entsprechen. Am Punkte (p_1, v_1') waren wir gerade von rechts kommend, angelangt. Während nun die theoretische Kurve stetig verlaufend, mit wachsendem p zunächst noch höher steigt, dann ein Maximum passiert, dann abnehmend mit abnehmendem p beim Werte p_1 das zweite spezifische Volumen v_1'' erreicht, dann mit weiterer Abnahme von p zu noch kleineren Werten von v fortgeschritten, schließlich ein Minimum passiert, um dann mit wachsendem Drucke p rasch wieder anzusteigen, beim Drucke p_1 endlich das dritte spezifische Volumen v_1''' passierend.

reißt im Wirklichkeits beim Punkte (p_1, v_1') der experimentelle Isotherme ab und springt unstetig auf den Punkt (p_1, v_1'') . Unmerklich geht mit dem Gase eine sichtbare Veränderung vor sich: es verflüssigt sich zum Teil, und es entspricht dem gasförmigen Teile das spezifische Volumen v_1' , dem flüssigen dagegen v_1'' . Die Substanz wird also physikalisch inhomogen. In diesem Zustande wird das Verhalten des Stoffes durch zwei Punkte charakterisiert (p_1, v_1') und (p_1, v_1'') , und zwar so lange, als überhaupt noch gasförmige Substanz vorhanden ist. Versuchen wir nunmehr den Druck zu steigern, indem wir das Volumen verkleinern, so erweist sich dies als möglich; das stünge Ergebnis der Volumenverkleinerung ist, daß ein großer Teil des Gases sich kondensiert. Erst wenn alles Gas kondensiert ist, d. h. der Zustand allein durch den Punkt (p_2, v_2'') charakterisiert wird (weil die Substanz jetzt wieder homogen und zwar eine homogene Flüssigkeit ist), ist eine weitere Drucksteigerung möglich, die dann wieder entsprechend der theoretischen Kurve erfolgt. Das Zwischenstadium der theoretischen Kurve ist in normalen Fällen gar nicht vorhanden.

Das erste und dritte Volumen finden also ihre physikalische Erklärung; das mittlere zweite, dem Zwischenstadium entsprechende, jedoch nicht. Um uns dies klar zu machen, wollen wir ganz allgemein die Frage stellen, ob das Zwischenstadium realisierbar sein kann. Wir gehen wieder vom Punkte (p_1, v_1') aus, an dem normalerweise die Verdampfung beginnt. Es ist nun allerdings möglich, auf der theoretischen Kurve noch ein Stück weiter zu gelangen, auf das Maximum derselben zu; es tritt dann im Punkte (p_1, v_1') die Verflüssigung noch nicht ein, sondern die Substanz bleibt noch gänzlich homogen, wir haben einen sogenannten „Kondensationsverzögerung“ vor uns. Diese Zustände sind aber höchst labil und ihre Realisierung von Zufällen abhängig; die kleinste zufällige Änderung, z. B. Erschütterung des Gefäses, Beimischung von Verunreinigungen, Staub usw., erzeugt, auch wenn es gelingen ist, auf der theoretischen Kurve über (p_1, v_1') hinaus zu gelangen, sofort sprunghafte Kondensation, d. h. sprunghafte Übergehen auf die beiden Zustandspunkte (p_1, v_1') und (p_1, v_1'') . Demnach ist denkbar, durch sorgfältiges Arbeiten bis zum Maximum der theoretischen Kurve zu gelangen. Der dann folgende Teil bis zum Minimum der theoretischen Kurve scheint aber prinzipiell nicht realisierbar zu sein. Denn auf diesem entspricht abnehmendes Volumen gleichzeitig abnehmendem Druck! Jenseits des Minimums entspricht wieder abnehmendem Volumen zunehmender Druck, also wird dieser Teil wieder grundsätzlich realisierbar sein. Um dies zu erzielen, geht man vom Punkte (p_1, v_1'') , d. h. vom flüssig homogenen Zustande aus und versucht den Druck zu erniedrigen. Dies gelingt bei ganz reinen Substanzen, die vor allem luft- und guttad sein müssen, in der Tat.¹⁾ Eine kleine Erschütterung dagegen ruft sofort

¹⁾ Vgl. hierzu: J. Heyns, Zur Kenntnis des negativen Druckes in Flüssigkeiten; Abhdlg. d. Deutschen Physik. Gesellschaft, Nr. 4, 1911.

sprungweisen Übergang auf die Zustandspunkte (p_1, v_1'') und (p_1, v_1') herum; nach dieser Stadien ist der sehr kühl, es entspricht einem sogenannten „Siedeverzug“.

Nehmen wir nun eine andere Isotherme, etwa die von Null Grad, also tiefer liegend, so spielt sich bei dieser alles ganz genau so ab, nur liegt wegen der tieferen Temperatur der Verdampfungsdruck tiefer als vorher; entsprechend tritt die Verflüssigung schon bei einem größeren spezifischen Volumen v_1' auf, wie vorher, und das entsprechende spezifische Volumen der Flüssigkeit ist kleiner als im vorhergehenden Falle.



Fig. 11.

Wir können also sagen: Je tiefer die Temperatur T ist, um so niedriger ist der Verflüssigungsdruck, und um so weiter liegen die beiden die Substanz charakterisierenden Zustandspunkte (p_0, v_1') und (p_0, v_1'') auseinander. In Fig. 11 ist das Verhalten der Kohlendioxide (und es verhält sich jedes reale Gas) noch einmal gezeichnet, aber nur die normalerweise experimentell ermittelbaren Teile, so daß man an jeder Isotherme unterhalb 31° die Punkte (p_0, v_1') bzw. (p_0, v_1'') deutlich erkennen kann und so einen Beleg für unsere Behauptung findet. Man kann die Punkte (p_0, v_1') die verschiedenen Isothermen entsprechen, verbinden; denselben die Punkte (p_0, v_1'') . Man erhält dann zwei in Fig. 11 gestrichelte Kurven die (bei Kohlendioxid) für die Isothermen 31°

einander abgelesen; für diese Isotherme ist das spezifische Volumen v_1'' gleich dem spezifischen Volumen v_1''' geworden.

Die so entstandene Kurve (in Fig. 17 punktiert) heißt „Grenzkurve“, weil sie aus der p - v -Ebene ein Gebiet ausschneidet, dessen Punkte in allgemeinen keine physikalische Bedeutung haben. Außerhalb der Grenzkurve ist der Zustand rechts geordnet, links ungeordnet; jedem Punkte der Grenzkurve entspricht ein anderer, zu gleichem Drucke gehöriger, zu gleichzeitig flüssiger und gasförmiger Zustand nebeneinander existieren können.

Die Isotherme von 31° unterscheidet sich also wesentlich von den unterhalb liegenden Isothermen: die Unmöglichkeit im Verhalten des realen Gases verschwindet bei derselben, weil die beiden spezifischen Volumina v_1' des Dampfes und v_1''' der Flüssigkeit (und schließlich auch das physikalisch nicht realisierbare v_1'') dann in einem Punkte P zusammenfallen. Dampf und Flüssigkeit haben bei der Isotherme 31° im Punkte P dieselbe Dichte, sind daher voneinander nicht mehr zu unterscheiden. Im Sprachgebrauch des täglichen Lebens müssen wir also sagen: Bei 31°C (und oberhalb) kann die Kohlensäure nicht mehr verflüssigt werden.

Kalkülmäßig legt die Sache so, daß, während für Kohlensäure unterhalb 31° die van der Waalsche Zustandsgleichung drei reelle Wurzeln v_1' , v_1'' , v_1''' für jede Temperatur hat, diese für 31°C zusammenfallen. Oberhalb 31° werden zwei der Wurzeln v komplex, es existiert nur ein reelles spezifisches Volumen v . Oberhalb 31° also kann die Isotherme nicht zerfallen, eine Ichengrenze der Substanz nicht existieren; eine Verflüssigung ist also unmöglich. Der Punkt P ist bestimmt durch die drei Angaben des dort herrschenden Druckes p_c , des spezifischen Volumens v_c , der Temperatur T_c . Da durch die Isotherme von 31° die beiden verschiedenen Fälle (drei reelle spezifische Volumens einerseits entsprechend der eintretenden Verflüssigung, ein reelles spezifisches Volumen und keine Verflüssigung andererseits) getrennt wurden, so heißt die Isotherme von 31° die „kritische Isotherme“ und entsprechend p_c der „kritische Druck“, v_c das „kritische spezifische Volumen“, T_c die „kritische absolute Temperatur“.

Wir können das vorher Gesagte kognitivenmäßig zusammenfassen: Oberhalb der kritischen Temperatur T_c ist es durch keinen noch so hohen Druck möglich, Gase zu verflüssigen. Unterhalb der kritischen Temperatur gibt es zu jeder Temperatur einen ganz bestimmten Kondensationsdruck, der um so tiefer liegt, je niedriger die Temperatur selbst ist. Bei diesem Kondensationsdrucke können Flüssigkeit und Gas nebeneinander im Gleichgewichte existieren; jeder Teil hat sein bestimmtes spezifisches Volumen v' bzw. v'' ; der Kondensationsdruck hängt nicht mehr von dem spezifischen Volumen, sondern nur noch von der Temperatur ab. Der Druck ist derselbe für Flüssigkeit und Gas; das Gas in Ver-

bindung mit einer Flüssigkeit wird der „gesättigte Dampf“ genannt. Wir können also sagen: Der Druck des gesättigten Dampfes ist nur eine Funktion der Temperatur.

Die Größe des zu einem bestimmten Temperatur angehörigen Kondensationsdruckes läßt sich aus der Zustandsgleichung nicht gewinnen; auf diese Frage liefert erst der II. Hauptsatz (Kap. V, No. 46) eine bestimmte Antwort.

In der folgenden Tabelle sind die kritischen Daten für einige Stoffe zusammengestellt:

	Krit. Temp. in Grad C.	Krit. Druck in Atm.	Krit. Dichte in g/cm ³
Wasserstoff	32,2	14,8	—
Sauerstoff	117,8	21,9	0,31
Stickstoff	126,2	20,8	0,30
Kohlendioxid	31,1	73,9	0,264
Wasser	374,2	184,8	0,322

Für die nachstehenden Stoffe haben die Konstanten α und β der van der Waalschen Formel die Werte (Drucke in Atmosphären, Volumina in cm gemessen, alles auf ein Grammolekül bezogen):

	$\alpha \left[\frac{\text{Atm. cm}^2}{g^2} \right]$	$\beta \left[\frac{\text{cm}}{g} \right]$
Wasserstoff	$0,48 \cdot 10^6$	25,0
Stickstoff	$1,21 \cdot 10^6$	31,3
Sauerstoff	$1,26 \cdot 10^6$	31,0
Kohlendioxid	$2,51 \cdot 10^6$	42,8
Wasser	$5,47 \cdot 10^6$	51,5

Die Beobachtungen von Andrews und seinen Nachfolgern führen zu einer eigentümlichen Konsequenz, nämlich zu einer Aufhebung des Unterschiedes zwischen flüssigen und gasförmigen Zuständen. Man kann nämlich einem beliebigen Zustand auf zwei verschiedenen Wegen zusteuern, indem man entweder unterhalb der kritischen oder oberhalb der kritischen Temperatur arbeitet. Wir wollen uns z. B. vorstellen, den Punkt Q in Fig. 17, der auf der Isotherme von 15° C liegt, auf irgendeinem Wege zu erreichen. Das können wir zunächst so machen, daß wir z. B. Gas von 15° allmählich komprimieren, bis bei dem angehörigen Kondensationsdruck die Verflüssigung einsetzt; wenn alles kondensiert ist, steigern wir den Druck weiter, bis wir zum Punkte Q gelangt,; die Substanz würde dort den Druck p besitzen. Wenn wir den Prozeß in dieser Weise vornehmen, d. h. durch das Stadium der Inhomogenität hindurch, die allein das Auftreten einer Verflüssigung erkennen läßt, so werden wir nach dem üblichen Sprachgebrauch sagen, daß der Zustandepunkt Q dem flüssigen Aggregatzustande angehört. Wir können es aber auch anders machen. Wir gehen z. B. von der oberhalb der kritischen Temperatur

Begonnen. Isobaren von 18° aus, steigen den Druck so lange, bis wir den Druck p erreicht haben, d. h. bis wir uns auf der horizontalen Geraden $p = \bar{p}$ befinden, die in Fig. 17 eingezeichnet ist, und auf der sich dann der Punkt Q liegt. Da wir uns ebenfalls der kritischen Temperatur befinden, tritt keinerlei Unstetigkeit ein. Die Substanz ist also wieder bei 60° und dem Druck \bar{p} noch gasförmig. Jetzt gehen wir auf der horizontalen Geraden $p = \bar{p}$ nach links, bis wir Q erreichen; das ist durch Temperaturniedrigung auf 18° und gleichzeitige derartige Kompression zu erreichen, daß der Druck immer den Wert \bar{p} beibehält. Auch hier schneiden wir uns das durch die Grenzkurve ausgedehnte Gebiet der p -Ebene, innerhalb dessen allein die Unstetigkeit vorherrscht; wir befinden uns ja weit oberhalb dieses Gebietes, wie in Fig. 17 deutlich zu sehen ist. Bei dieser zweiten Art des Vorgehens also bemerken wir keinerlei Kondensation, keinerlei Unstetigkeit im Verhalten der Substanz, werden also dieselbe im Punkte Q gasförmig verlassen müssen. Von diesem Standpunkte ist ein prinzipieller Unterschied zwischen gasförmigem und flüssigem Zustande nicht vorhanden.

Es ist leicht möglich, wenn die Zustandsgleichung gegeben ist, d. h., wenn die Konstanten α und β bekannt sind, die kritischen Daten zu berechnen. Dazu hat man nur zu beachten, daß im kritischen Punkte die Isobare ebenso eine horizontale Tangente und zweitens einen Wendepunkt besitzt, was die Bedingungen liefert:

$$(74) \quad \left(\frac{\partial p}{\partial v}\right)_T = 0, \quad \left(\frac{\partial^2 p}{\partial v^2}\right)_T = 0.$$

Zusammen mit der Zustandsgleichung (74) bestimmen diese Bedingungen die drei Größen p_k , v_k , T_k vollständig. Die Ausführung der Rechnung ergibt:

$$(75) \quad p_k = \frac{1}{27} \frac{a}{\beta^2}; \quad v_k = 3\beta; \quad T_k = \frac{8}{27} \frac{a}{R} \frac{1}{\beta},$$

was für Kohlendioxid nach den angegebenen Daten liefert:

$$(76) \quad \begin{cases} T_k = 309^\circ = 236^\circ + 73^\circ \text{ C.} \\ p_k = 68,8 \text{ atm.;} \quad v_k = 2,91\beta \text{ cm}^3/\text{gr.} \end{cases}$$

während die Beobachtung ergibt (nach Amagat):

$$T_k = 311^\circ + 61,15^\circ \text{ C.;} \quad p_k = 72,9 \text{ atm.;} \quad v_k = \frac{3}{4,42} = 0,68 \frac{\text{cm}^3}{\text{gr.}}$$

Man sieht, daß innerhalb relativer Abweichungen vorhanden sind, die man durch Aufstellung komplizierter Zustandsgleichungen mit mehr disponiblen Konstanten zu beheben versucht hat. Darauf brauchen wir hier nicht näher einzugehen; es sei nur bemerkt, daß eine allgemein gültige Zustandsgleichung noch für keinen Stoff aufgefunden worden ist.

Ein merkwürdiges Resultat von der Waale¹⁾ sei noch erwähnt. Statt die Drücke in Atmosphären oder $\frac{\text{dyn}}{\text{cm}^2}$, die Temperaturen in Celsius-

geben, die spezifischen Volumina in $\frac{\text{cm}^3}{\text{g}}$ zu messen, kann man sie in Vielfachen der entsprechenden kritischen Größen messen. Wir nehmen also als Einheit des Druckes p_{k1} , der Temperatur T_k , des spezifischen Volumens v_k . Das kommt darauf hinaus, daß wir die Variablen p , v , T ersetzen durch die folgenden:

$$(30) \quad p = \frac{p}{p_{k1}}; \quad v = \frac{v}{v_k}; \quad T = \frac{T}{T_k},$$

die wir nun in die van der Waals'sche Zustandsgleichung (76) einsetzen wollen. Man erhält so:

$$\left(p_k p + \frac{p}{v_k^2 q^2}\right)(v_k v - \beta) = \frac{p}{T_k} T_k v,$$

und wenn wir darin die Werte für p_{k1} , v_k , T_k nach (76) einsetzen:

$$(31) \quad \left(p + \frac{2}{v^2}\right)(v - 1) = 8v,$$

Diese Gleichung, die sogenannte „reduzierte Zustandsgleichung“, enthält keine der Substanz eigentümlichen Konstanten mehr und heißt also die Behauptung: Alle Gase besitzen die gleiche reduzierte Zustandsgleichung, was tatsächlich bei zahlreichen Substanzen zutrifft. —

In No. 38 haben wir eine Reihe von Überlegungen angestellt, die eine Prüfung des ersten Hauptsatzes gestatten; es sind dies die folgenden:

$$(32) \quad \left(\frac{\partial p_k}{\partial v}\right)_T = \left(\frac{\partial p}{\partial v} - \frac{\partial p}{\partial T}\right)_v \left(\frac{\partial T}{\partial v}\right)_p + p_v - c_v \left[\frac{\partial}{\partial T} \left(\frac{\partial p}{\partial v}\right)_v\right]_p - \left(\frac{\partial p}{\partial T}\right)_v,$$

$$(33) \quad \left(\frac{\partial p}{\partial v}\right)_T + \left(\frac{\partial p}{\partial T}\right)_v \left(\frac{\partial T}{\partial v}\right)_p = p_v \left[\frac{\partial}{\partial T} \left(\frac{\partial T}{\partial v}\right)_p\right] + \left(\frac{\partial p}{\partial T}\right)_v = 0,$$

$$(34) \quad (c_p - c_v) \left[\frac{\partial p}{\partial T}\right]_v = c_v \left[\frac{\partial p}{\partial T}\right]_p,$$

$$(35) \quad (c_p - c_v) \frac{p T}{p^2 T^2} + \left(\frac{\partial p}{\partial p}\right)_v \left[\frac{\partial T}{\partial T}\right]_p = \left[\frac{\partial p}{\partial T}\right]_p \left[\frac{\partial T}{\partial T}\right]_p = 1,$$

$$(36) \quad c_v \left(\frac{\partial T}{\partial v}\right)_p \left[\frac{\partial p}{\partial T}\right]_v + c_p \left(\frac{\partial T}{\partial v}\right)_p = 0.$$

Von diesen Gleichungen sagen (32) und (34) sowie (33), (35), (36) untereinander dasselbe aus. Die weiteren darin auftretenden Größen sind — geschätzlich wenigstens — experimentell bestimmbar. Einige von ihnen sind direkt aus der Zustandsgleichung ableitbar, nämlich die Größen:

$$\left(\frac{\partial p}{\partial v}\right)_p, \quad \frac{\partial}{\partial T} \left[\left(\frac{\partial p}{\partial v}\right)_v\right]_p, \quad \left(\frac{\partial p}{\partial T}\right)_v, \quad \frac{p T}{p^2 T^2}, \quad \left(\frac{\partial T}{\partial T}\right)_p.$$

Wir können diese direkt aus der Zustandsgleichung bilden und erhalten dann einfache Beziehungen zwischen den spezifischen Wärmen und den Konstanten α und β der van der Waals'schen Gleichung. Diejenigen Größen jedoch, die mit dem Buch „ad“ versehen sind, können aus der Zustandsgleichung nicht entnommen werden. Denn ihre Bildung verlangt

unter der Herleitung der Zustandsgleichung die besondere Kenntnis der für einen adiabatischen Prozeß geltenden Bedingungen, und diese kann nur gewonnen werden — wie man aus der Herleitung der adiabatischen Bedingung für ein ideales Gas sehen kann — wenn die Energiegleichung, $U = f(v, T)$ bekannt ist. Diese kann allerdings aus der Zustandsgleichung berechnet werden, aber erst mit Hilfe des später zu besprechenden zweiten Hauptsatzes der Wärmetheorie. Wenn wir also die aus dem Index „ad“ resultierenden Größen nicht direkt experimentell bestimmen wollen, müssen wir es dieser Stelle auf die Prüfung der Beziehungen (82), (83) und (75) verzichten. Dagegen wollen wir die denselben Inhalt in verschiedenen Formen, entsprechenden Gleichungen (89) und (90) für eine der von der Waulschen Gleichung gehörende Substanz jetzt bilden. Aus der von der Waulschen Gleichung (74) folgt durch Ausführung der vorgeschriebenen Differentiationen sofort:

$$(82) \quad \left(\frac{\partial T}{\partial v}\right)_p = -\frac{p - \frac{a}{v^2} + \frac{3av\beta}{v^5}}{\frac{a}{v^2}} = -\frac{\frac{2a}{v^3} + \frac{3av\beta}{v^5} + \frac{RT}{v}}{\frac{a}{v^2}},$$

$$(83) \quad \left[\frac{\partial}{\partial T} \left(\frac{\partial T}{\partial v}\right)_p\right]_p = \frac{1}{v - \beta},$$

$$(84) \quad \left(\frac{\partial p}{\partial T}\right)_v = \frac{p}{v(v - \beta)},$$

$$(85) \quad \left(\frac{\partial p}{\partial v}\right)_T = -\frac{p(v - \beta)}{v^2},$$

$$(86) \quad \frac{\partial^2 T}{\partial T^2} = \left[\frac{\partial}{\partial T} \left(\frac{\partial T}{\partial v}\right)_p\right]_p = \left[\frac{\partial}{\partial v} \left(\frac{\partial T}{\partial T}\right)_p\right]_p = \frac{p}{v}.$$

Damit werden die genannten Gleichungen:

$$(89a) \quad \left(\frac{\partial p}{\partial v}\right)_T = \left(\frac{\partial p}{\partial T} - \frac{\partial p}{\partial T}\right)_v \left(\frac{\frac{RT}{v} - \frac{2a}{v^3} + \frac{3av\beta}{v^5}}{\frac{a}{v^2}} \right) + \frac{\frac{2a}{v^3} - \frac{3av\beta}{v^5}}{v - \beta} - \frac{p}{v(v - \beta)},$$

$$(90a) \quad \frac{\frac{2a}{v^3} - \frac{3av\beta}{v^5}}{\frac{a}{v^2}} + \left(\frac{\partial p}{\partial T}\right)_v \frac{\frac{RT}{v} - \frac{2a}{v^3} + \frac{3av\beta}{v^5}}{\frac{a}{v^2}} - \left(\frac{\partial p}{\partial v}\right)_T \frac{v - \beta}{v} = 1.$$

Hierbei folgt sich besonders die Notwendigkeit, die verschiedenen Ableitungen von v , und v , zu unterscheiden; wir wollen hier die Konsequenzen angeben, um direkt die Identität von (89a) und (90a) nachzuweisen. In (89a) sind als unabhängige Variablen T und v , in (90a) p und v genommen. Betrachten wir nun v , und v , in (90a) als Funktionen von T und v und bilden mit diesen Funktionen die in (89a) vorkommenden Ausdrücke: $\left(\frac{\partial p}{\partial v}\right)_T$, $\left(\frac{\partial p}{\partial T}\right)_v$, $\left(\frac{\partial p}{\partial T}\right)_v$, wir erhalten dann offenbar:

$$(87) \quad \left\{ \begin{aligned} \left(\frac{\partial h_p}{\partial T} \right)_v &= \left(\frac{\partial h_p}{\partial T} \right)_v, \left(\frac{\partial h_p}{\partial p} \right)_v = \left(\frac{\partial h_p}{\partial p} \right)_v, \frac{R}{v(p-p_0)} \\ \left(\frac{\partial h_p}{\partial p} \right)_v &= \left(\frac{\partial h_p}{\partial p} \right)_v, \left(\frac{\partial h_p}{\partial T} \right)_v = \left(\frac{\partial h_p}{\partial T} \right)_v, \frac{R}{v(p-p_0)} \end{aligned} \right.$$

Ferner haben wir, wenn v , diesmal als Funktion von T und p , ein zweites Mal als Funktion von p und v betrachtet wird:

$$dv, (v, T) = \left(\frac{\partial v}{\partial T} \right)_p dT + \left(\frac{\partial v}{\partial p} \right)_T dp = \left(\frac{\partial v}{\partial T} \right)_p dT + \left(\frac{\partial v}{\partial p} \right)_T \left[\left(\frac{\partial p}{\partial T} \right)_v dv + \left(\frac{\partial p}{\partial v} \right)_T dT \right]$$

woraus der für uns wichtige Zusammenhang folgt:

$$(88) \quad \left(\frac{\partial v}{\partial T} \right)_p = \left(\frac{\partial v}{\partial T} \right)_p + \left(\frac{\partial v}{\partial p} \right)_T \left(\frac{\partial p}{\partial T} \right)_v = \left(\frac{\partial v}{\partial T} \right)_p + \left(\frac{\partial v}{\partial p} \right)_T \left[\frac{R}{vT} - \alpha \frac{dT}{T^2} \right].$$

Setzt man (87) und (88) in (86a) ein, so geht diese unmittelbar in (78a) über. In dieser sind somit nur die Größen v_p und v , als Funktionen von p und v zu betrachten; alles übrige ergibt sich aus der Zustandsgleichung. Für ein ideales Gas sind v_p und v , Konstanten, und (78a) reduziert sich auf die bekannte, für ideale Gase gültige Gleichung:

$$v_p - v = \frac{R}{p}.$$

IV. Endgemeine, der Carnotsche Endgemeine.

Wir wollen nun eine beliebige Substanz betrachten, deren Zustand völlig durch zwei Variablen, als die wir p und v wählen, bestimmt ist. In der p -Ebene entspricht also jeder Zustand einem Punkte und jede Zustandsänderung einer Punktkurve, d. h. einer Kurve. Wählen wir v als Abszisse, p als Ordinate, so stellt in Fig. 18 die Kurve AB das Bild einer Zustandsänderung dar. Wir wollen uns zunächst genauere die Größe der Arbeitsleistung klar machen, die mit der genannten Zustandsänderung verbunden ist:



Fig. 18.

Betrachten wir einen Punkt C der die Zustandsänderung repräsentierenden Kurve, dem die Koordinaten p und v entsprechen mögen, und einen Nachbarpunkt C' mit den Koordinaten $p + dp$, $v + dv$. Diesen

vor zwei Punkten durch C und C' zur Ordinate nachher, so schneidet diese von der Abszissenachse das Stück $D'D'' = p \, dx$ aus; die Länge von DC ist p , also der Inhalt des Vierecks $DD'CC'$ gleich $p \, dx$ bis auf unendlich kleine Größen höherer Ordnung. Die Arbeit, die bei der infinitesimalen Zustandsänderung von C nach C' geleistet wird, ist aber $-p \, dx$; der Inhalt des Stückes $CC'D'D$ ist also gleich dem absoluten Betrage der Arbeit. Ebenso ist offenbar der Inhalt der von ACA , BP , FP , FA begrenzten Figur dem absoluten Betrage nach gleich $\int p \, dx$, d. h. der Arbeit, die während der ganzen Zustandsänderung von A nach B geleistet wird.

Wir wollen nun eine Zustandsänderung betrachten, die zwar gleichfalls die Substanz von A nach B führt, aber auf eine andere Weise, so daß ihr die Kurve AEB entspricht; wir folgen die Substanz auf anderem Wege von A nach B . In diesem Falle wird die Arbeit, absolut genommen, gemessen durch den Inhalt der Figur $AEBFPFA$. Und so allgemein. Man erkennt hier aufs deutlichste, daß die Arbeit nicht nur vom Anfangs- und Endzustande A und B , sondern ganz wesentlich von der Art des Übergangs zwischen diesen beiden Punkten abhängt, d. h. vom Wege. Dies ist die geometrische Veranschaulichung der Tatsache, daß δA kein vollständiges Differential einer Funktion der Zustandsvariablen ist. Wir wollen nun die Arbeit auf dem ersten Wege $ACCB$ durch A_1 , auf dem zweiten Wege $AEBB$ durch A_2 bezeichnen; dabei ist vorausgesetzt, daß beide Wege in der Richtung von A nach B durchlaufen werden. Nehmen wir aber den Sinn des zweiten Prozesses um, so daß er in der Richtung von B nach A vor sich geht, wie es die Pfeilrichtung in Fig. 18 andeutet, so wird die Arbeit auf diesem Wege gleich $-A_2$ werden. Nunmehr verbinden wir die Wege $ACCB$ und $BEBA$ zu einem einzigen in der Richtung $ACCBEBBA$ zu durchlaufenden Wege; diese geschlossene Kurve repräsentiert dann eine Zustandsänderung, die den Körper wieder in den Anfangszustand A zurückführt, es stellt, wie man sagt, einen „Kreisprozeß“ dar. Die gesamte Arbeit, die dabei geleistet wird, setzt sich additiv zusammen aus den auf dem Wege $ACCB$ und $BEBA$ geleisteten Einzelarbeiten, ist also gleich $A_1 - A_2$, und das ist wiederum gleich dem Flächeninhalte des von der geschlossenen Zustandskurve $ACCBEBBA$ umschlossenen Gebietes der p - V -Ebene. Bezeichnet also in Fig. 18 die geschlossene Kurve irgend einen Kreisprozeß, so ist die davon umschlossene Fläche, die in der Figur schattiert ist, absolut genommen gleich der Arbeit, die größer als Null ist, wenn der Prozeß in dem einen, kleiner als Null, wenn er im umgekehrten Sinne durchläufen wird.

Man macht sich leicht klar, daß, wenn der Prozeß so vor sich geht, wie es die Pfeilrichtung in Fig. 18 verdeutlicht, dann die Arbeit positiv ist, im umgekehrten Falle negativ. Wir können daher folgende Regel aufstellen: Wir umfahren das eingeschlossene Flächenstück in dem vor-

geschriebenen Seite des Kreisprozesses; bleibt das Flächenelement dann zur linken Hand, so ist die zugeführte Arbeit positiv, andernfalls negativ. Natürlich gilt diese Deutung nur im p - V -Diagramm, d. h. wenn p und v als unabhängige Variablen benutzt werden. Diese physikalische Bedeutung



Fig. 13.

des von der repräsentierenden Kurve in der p - v -Ebene umschlossenen Flächenelementes wird übrigens bei den Dampfmaschinen und Gasmaschinen bei dem sogenannten Wattischen Indikator benutzt, der automatisch auf geraden Koordinatenpapier die Zustandskurve aufzeichnet; die umschlossene Fläche ergibt dann einfach durch Ausmessen oder durch mechanische Integration die Arbeit pro Periode der Maschine.

Wir betrachten im folgenden einen speziellen Kreisprozeß, der von dem französischen Ingenieur und Physiker Sadi Carnot 1824 in die Wissenschaft eingeführt ist und nach ihm der Carnotsche Kreisprozeß genannt wird. Um also bei demselben beschreiben zu können, nehmen wir als betreffende Substanz ein ideales Gas, von dem wir ja sowohl die Energiegleichung, als auch die Zustandgleichung kennen, oder, was auf dasselbe hinauskommt¹⁾, von dem wir außer der Zustandgleichung auch die adiabatische Betätigung kennen.

Der Carnotsche Prozeß besteht aus folgenden vier Abteilungen (vgl. Fig. 14):

1. Die Masseneinheit des betreffenden idealen Gases habe zunächst das spezifische Volumen v_1 , den Druck p_1 , die Temperatur T_1 (Anfangszustand im Punkt 1). Wir denken das Gas isotherm aus, bis Druck und spezifisches Volumen die Werte p_2, v_2 angenommen haben (Punkt 2).

2. Vom Zustande (p_2, v_2, T_2) bringen wir durch adiabatische Ausdehnung, die mit Temperaturerniedrigung verbunden ist, das Gas in den Zustand (3), der charakterisiert ist durch die Angaben p_3, v_3, T_3 .

3. Vom Punkte (3) aus komprimieren wir isotherm bei der Tem-



Fig. 14.

¹⁾ Vgl. die Ausführungen auf pag. 108 u. 104.

peratur T_1 bei dem Druck p_1 und dem spezifischen Volumen v_1 (Zustand (1)), die so gewählt werden, daß

4. von (p_1, v_1, T_1) durch eine adiabatische Kompression die Substanz wieder in den Anfangszustand (p_1, v_1, T_1) gebracht wird.

Perpet wollen wir den ganzen Prozeß so führen, daß er quasistatisch verläuft, d. h. wir wählen die auf ausnehmend Kleines des inneren Druck gleich dem äußeren Druck setzen und ferner bei vorhandener Wärmeleitung die Temperaturdifferenzen ausnehmend klein machen, was es der in Nr. 14 gegebenen Definition eines quasistatischen Prozesses entspricht.

Die Kurvenstücke (1, 2) und (3, 4) sind gleichzeitige Hypothen, als Isothermen; die Strecken (2, 3) und (4, 1) dagegen sind adiabatische Kurven, die, wie früher festgestellt, steiler abfallen als die Isothermen. Es ist daher stets möglich, p_1 und v_1 so zu wählen, daß man durch einen adiabatischen Prozeß wieder nach dem Punkte (1) kommt. Dann durch (1) geht eine Adiabate, die die Isotherme T_1 schneidet muß. Die Fläche in Fig. 10 geben in Übereinstimmung mit unserer Schilderung die Richtung an, in der der Prozeß durchzuführen wird. Wir wissen von vornherein, daß das schraffierte Flächenstück die gesamte Arbeit darstellt, die in unserem Falle negativ ist, da bei dem gewählten Umlaufsinne die Fläche der Seiten der umkreisenden Perpet nicht. Da nach dem ersten Hauptsatz für Kreisprozesse $q + a = 0$ ist, so muß also eine positive Wärmezunahme. Diese in Ring gleichermaßen Betrag ebenfalls gleich dem schraffierten Flächenstück ist, von außen zugeführt werden, was natürlich nur auf den Isothermen geschehen kann, da die Adiabaten ja gerade durch fehlende Wärmezufuhr charakterisiert sind. Die Arbeit a setzt sich aus vier Teilbeiträgen a_1, a_2, a_3, a_4 zusammen, die auf die Strecken (1, 2), (2, 3), (3, 4), (4, 1) entfallen und die wir jetzt mittels des ersten Hauptsatzes berechnen wollen. Nach Gl. (46) lautet dasselbe für ideale Gase:

$$(46) \quad c_v dT = d'q - p dv = d'q - \frac{RT}{m} \frac{dv}{v},$$

wir wenden diese Gleichung zuerst an auf die Strecke (1, 2), auf der $T = T_1$, also $dT = 0$ ist. Also wird (46):

$$d'q_1 = p dv,$$

oder integriert von (1) bis (2):

$$(48) \quad q_1 = \int_1^2 p dv = \frac{RT_1}{m} \int_1^2 \frac{dv}{v} = \frac{RT_1}{m} \log \frac{v_2}{v_1};$$

daraus folgt für die Arbeit a_1 :

$$(49) \quad a_1 = - \int_1^2 p dv = - \frac{RT_1}{m} \log \frac{v_2}{v_1}.$$

q_1 ist die von außen zugeführte Wärmemenge; auf dieser Strecke ist q_1 positiv, da $v_2 > v_1$ ist; wir können uns denken, daß q_1 einem Wärme-

Reservoir R_1 aufgenommen wird, mit dem das kleine Gas während der Dauer dieses Teilprozesses in Berührung ist und von dem es durch Leitung Wärme entnimmt; die Temperatur des Reservoirs muß also höher sein als T_1 . Da wir aber den ganzen Vorgang quantitativ verstehen lassen wollen, so dürfen wir die Reserviertemperatur nur um unendlich Kleines höher als T_1 , d. h. müssen sie wirklich gleich T_1 nehmen; der Einfachheit halber wollen wir das Reservoir auch so groß machen, daß seine Temperatur bei der Wärmeabgabe an unser Gas dauernd T_1 bleibt. Ein solches Reservoir nennen wir in Rücksicht der Größe halber ein „unendlich großes“. Da $q_1 = -q_2$ ist, so ist q_2 die von außen zugeführte Arbeit, negativ, d. h. der Körper leistet Arbeit nach außen: „Wärme wird in Arbeit verwandelt“.

Auf der zweiten Teilstrasse (b, B), die eine Adiabate ist, ist $d'q = 0$; also ist nach (55):

$$(56) \quad q_2 = - \int_1^2 p \, d\tau = \int_{T_1}^{T_2} c_v \, dT = c_v (T_2 - T_1).$$

Die Arbeit, die hier ebenfalls negativ ist, wird hier aus der inneren Energie des Gases bestritten, die von den nach außen abgegebenen Arbeitsbetrag abnimmt.

Die dritte Teilstrasse (B, b) ist die Isotherme T_2 . Wir haben hier offenbar die (58) und (60) analogen Gleichungen:

$$(58) \quad q_3 = \int_b^B p \, d\tau = \frac{RT_2}{\mu} \int_{v_1}^{v_2} \frac{dv}{v} = \frac{RT_2}{\mu} \log \frac{v_2}{v_1}, \quad \text{und}$$

$$(59) \quad q_4 = - \int_B^b p \, d\tau = - \frac{RT_2}{\mu} \log \frac{v_2}{v_1}.$$

Hier ist q_3 negativ, und folglich q_4 positiv. Es wird also negative Wärme q_3 von einem zweiten Reservoir R_2 aufgenommen, oder besser ausgedrückt, positives Wärme von dem abströmenden Gase an das Reservoir R_2 abgegeben; da der Prozeß quantitativ ist, nehmen wir die Temperatur des Reservoirs R_2 wirklich wenig kleiner als T_2 , besser sei auch R_2 unendlich groß, so daß seine Temperatur gleichfalls als dauernd konstant betrachtet werden darf. Bei diesem Teilprozeß wird „Arbeit in Wärme verwandelt“.

Die letztere Strecke endlich ist wieder eine Adiabate; auf ihr gilt analog (56):

$$(54) \quad q_5 = - \int_b^1 p \, d\tau = \int_{T_2}^{T_1} c_v \, dT = c_v (T_1 - T_2).$$

q_5 ist positiv, und es steigt um diesen Betrag die innere spezifische Energie des Gases, da jetzt wieder ihrem Anfangswert $c_v T_1$ erreicht hat, wie es bei einem Kreisprozesse der Fall sein muß.

Man bemerkt, daß die Arbeiten a_2 und a_3 auf den Arbeitszweigen gegenseitig gleich sind, sich also gegenseitig in der Gesamtarbeit heben. Als Gesamtarbeit haben wir demnach:

$$(35) \quad \pi = a_1 + a_2 + a_3 + a_4 = a_1 + a_4 = \frac{p_1 v_1}{\alpha} \log \frac{p_2}{p_1} + \frac{p_2 v_2}{\alpha} \log \frac{p_1}{p_2}.$$

Dieser Ausdruck läßt sich noch vereinfachen, wenn man bedenkt, daß die Zustände (2) und (3), bzw. (4) und (1) durch einen adiabatischen Prozeß miteinander hervorgehen, dessen Gleichung nach (32) für ein ideales Gas ist:

$$(36) \quad T v^{\frac{\gamma-1}{\gamma}} = \text{Const.}$$

Anwendung auf die Zustände (2) und (3) sowie (4) und (1) ergibt:

$$(37) \quad \begin{cases} T_1 v_1^{\frac{\gamma-1}{\gamma}} = T_2 v_2^{\frac{\gamma-1}{\gamma}}, \\ T_2 v_2^{\frac{\gamma-1}{\gamma}} = T_3 v_3^{\frac{\gamma-1}{\gamma}}, \end{cases}$$

und durch deren Division folgt zwischen den vier spezifischen Volumina die Beziehung:

$$(38) \quad \frac{v_1}{v_2} = \frac{v_3}{v_4},$$

womit (35) geschrieben werden kann:

$$(39) \quad \pi = a_1 + a_4 = \frac{p}{\alpha} (T_1 - T_2) \log \frac{v_1}{v_2}.$$

Für eine beliebige arbeitende Substanz, deren Zustandsgleichung bekannt ist, z. B. für ein der van der Waalschen Gleichung gehorchendes Gas, läßt die vorstehende Rechnung zur Lösung geführt werden, wenn die adiabatische Bedingung, oder, was auf dasselbe hinauskommt, die Berieggleichung explizite bekannt ist. Wie schon mehrfach bemerkt, gehört das erst unter Heranziehung eines neuen Satzes, des sogenannten zweiten Hauptsatzes der Thermodynamik, der, wie man schon hier vermuten kann, dem Carnotschen Prozeß erst seine allgemeine Bedeutung verleiht.

Der Carnotsche Prozeß ist eine Idealisierung der in der Dampfmaschine vorkommenden Vorgänge; natürlich können in prakt. weder streng isotherme noch streng adiabatische Vorgänge hergestellt werden, auch ist die Arbeitsmaschine kein ideales Gas; doch ist die Ähnlichkeit in die Augen fallend, wenn man sich die voneinanderfolgenden Prozesse in der Dampfmaschine vergegenwärtigt.

Bei den thermodynamischen Maschinen liegt die Sache so, daß die Menschheit wirtschaftlich interessiert ist an dem Bruch $\left| \frac{\pi}{A} \right|$; denn Q_1 ist die vom Kessel zuströmende Energie, die benutzt werden muß, und π ist die gewonnene, von der Maschine geleistete Arbeit; deshalb nennt

mit $q = \left| \frac{Q}{R} \right|$ den „thermodynamischen Nutzeffekt“ der Maschine. Diese Größe wollen wir für den Carnotschen Prozeß beschreiben, was zunächst natürlich nur für ein ideales Gas möglich ist; da $a = -(q_1 + q_2) = -q$ ist, so können wir schreiben:

$$(99) \quad q = \beta_1 \frac{Q_1}{R_1}.$$

Wir finden in dem Nutzeffekt nach (99) und (98):

$$(100) \quad q = - \frac{\frac{R}{a} (T_1 - T_2) \log \frac{\beta_1}{\beta_2}}{\frac{R}{a} T_1 \log \frac{\beta_1}{\beta_2}} = \frac{T_2 - T_1}{T_1},$$

d. h. gleich der Differenz der absoluten Temperaturen, zwischen denen der Prozeß arbeitet, dividiert durch die absolute Temperatur des heißeren Reservoirs. Jedenfalls hängt also der Nutzeffekt nicht von der speziellen Natur des gewählten idealen Gases ab, s. B. nicht von einem Molekulargewicht, dem spezifischen Wärmekoeffizienten, sondern nur von den absoluten Temperaturen, zwischen denen der Prozeß arbeitet. Wir werden später sehen, daß diese Eigenschaft allgemeiner gilt, nur weil der Nachweis nach der Capazitäts-Funktion zugestanden wird; das folgt aber, wie aus dem Vorhergehenden verständlich sein wird, erst mit Hilfe des sogenannten zweiten Hauptsatzes. Man kann die Gleichungen (99) und (100) kombinieren, indem man q eliminiert. Dann folgt zunächst

$$\frac{Q_1}{R_1} \beta_1 = \frac{T_2 - T_1}{T_1},$$

oder in symmetrischer Form:

$$(111) \quad \frac{Q_1}{R_1} + \frac{Q_2}{R_2} = 0, \quad \text{oder} \quad \sum \frac{Q}{R} = 0.$$

Nach dem vorher Gesagten ist es selbstverständlich, daß auch diese Gleichung sich mit Hilfe des zweiten Hauptsatzes in der geschlossenen Weise verallgemeinern lassen wird.

Was ist nun der Effekt des Carnotschen Prozesses? Das Gas ist am Ende wieder genau in demselben Zustande wie vorher, da es einen Kreisprozeß beschrieben hat. Dagegen ist aus einem Wärmereservoir R_1 der absoluten Temperatur T_1 die positive Wärmemenge q_1 entnommen und an die Reserve R_2 von der tieferen Temperatur T_2 die gleichfalls positive Wärmemenge $-q_2 = q_1'$ abgegeben worden; gleichzeitig ist die negative äußere Arbeit $a = -(q_1 + q_2) = q_1' - q_2$ von außen auf das System geleistet worden, oder die positive Arbeit $a' = -a = q_2 - q_1'$ nach außen hin abgegeben worden. Es ist also eine Wärmemenge $q_1 - q_2$ von der Temperatur T_1 in Arbeit a' verwandelt worden, und eine Wärmemenge q_1' von der Temperatur T_2 auf die höhere Temperatur T_1 beschleunigt. Wir haben also — darin zeigt sich wieder die eben betonte Aus-

logie der thermodynamischen Maschinen zum Carnotschen Kreisprozeß — in letzterem ein Mittel, um warmen Körpern (Reservoiren) Wärme zu entziehen und sie (wennigstens teilweise) in Arbeit zu verwandeln.

Man hält sich der Prozeß in umgekehrter Richtung durchlaufen, da er qualitativ gleich ist; dann sind nun unendlich kleine Druck- und Temperaturänderungen notwendig. Dann verrichten q_1 , q_2 , α die Vorzeichen und das Resultat ist eine positive Arbeit α wird von außen in das System hineingesteckt und verschwindet als Arbeit; aus dem tieferen Reservoir (T_2) wird eine positive Wärmemenge q_2 entnommen und es das oben eine positive Wärmemenge $q_1' = -q_2$ abgibt, die in das System hineingesteckt Arbeit ist $\alpha = -(q_1 + q_2) = q_1' - q_2$; das Gas ist am Ende wieder im Ausgangszustand.

Lassen wir endlich den Prozeß einmal in direkter und dann in umgekehrter Richtung vor sich gehen, so ist der ganze Effekt gleich Null: Arbeit ist weder geleistet noch gewonnen, die Reservoirs sind unverändert, das Gas dasgleiche. Da durch den direkten Prozeß in der Natur hervorgebrachten eben aufgestellten Änderungen und durch den umgekehrten gerade kompensiert werden.

Wir haben im Carnotschen Kreisprozeß ein Beispiel eines Vorganges vor uns, den man „reversibel“ nennt, weil er durch geringste Änderungen vollständig rückgängig gemacht werden kann, so daß nicht die geringste Änderung in der Natur zurückbleibt. Solche Prozesse werden uns im nächsten Kapitel näher beschäftigen.

26. Polytropische Prozesse, verallgemeinerter Carnotscher Prozeß.

Wir haben in den Nummern 24 und 25 den ersten Hauptsatz auf folgende vier spezielle Prozesse angewandt, auf isochorische ($dv = 0$), isobare ($dp = 0$), isotherme ($dT = 0$), adiabatische ($dq = 0$). Wir wollen jetzt einen allgemeineren Prozeß betrachten, zu dessen analytischer Formulierung wir folgendenmaßen gelangen: In jedem der genannten Fälle können wir der arbeitenden Substanz, z. B. einem kleinen Gas, einen für den gerade betrachteten Prozeß charakteristischen Wert der spezifischen Wärme zuschreiben. Bei dem isochorischen Prozeß ist die betreffende spezifische Wärme c_v , d. h. bei konstantem Volumen, beim isobaren entsprechend c_p (spezifische Wärme bei konstantem Druck); beim isothermen Prozeß verhält sich das Gas so, als ob es eine unendlich große spezifische Wärme hätte, denn trotz unendlicher Wärmezufuhr steigt die Temperatur nicht; beim adiabatischen Falle endlich kommt dem Gas die spezifische Wärme 0 zu, denn ohne Wärmezufuhr ändert sich die Temperatur. Wir können also bereits vier spezielle Werte der spezifischen Wärme:

$$c_{v,0} = 0; \quad c_p; \quad c_v; \quad c_{v,\infty} = \infty.$$

Dazwischen können nun ebenfalls noch unendlich viele positive Werte, die wir p nennen wollen, eingeschaltet werden, und man sieht

andereits leicht an, daß auch alle negativen Werte von $-\infty$ bis 0 von γ physikalisch zulässig sind; denn man kann die Substanz positive Wärme zuführen und sie gleichzeitig so dehnen, daß ihre Temperatur abnimmt. Jedem Werte γ zwischen $-\infty$ und $+\infty$ entspricht eine bestimmte Art der mit der Substanz vorgenommenen Zustandsänderung. Solche Prozesse, bei denen die abstrahierende Substanz eine beliebige konstante spezifische Wärme γ annimmt, heißen allgemein „polytropische Prozesse“ und die sie darstellenden Kurven in der p - v -Ebene entsprechend „polytropische Kurven“ oder kurz „Polytropen“. Die Isobaren $p = \text{Const.}$, die Isochoren $v = \text{Const.}$, die Isothermen $pT = \text{Const.}$ und die Adiabaten $p v^\kappa = \text{Const.}$ sind also spezielle Fälle von Polytropen.

Durch jeden Punkt der p - v -Ebene läßt sich nun eine Isotherme und eine Adiabate hindurchlegen, deren Steigungen gegen die Abszissenachsen wir bestimmen wollen. Aus der Gleichung der Isotherme ergibt sich der Wert:

$$(102) \quad \left(\frac{dp}{dv} \right)_{\text{isoth}} = - \frac{p}{v},$$

während für die Adiabate folgt:

$$(103) \quad \left(\frac{dp}{dv} \right)_{\text{ad}} = - \frac{\kappa p}{v}.$$

Da $\kappa = \frac{c_p}{c_v} > 1$ ist, so ist die Adiabate steiler als die Isotherme gegen die Abszissenachsen geneigt, wie wir dies schon früher festgestellt hatten.

Wir wollen nun die analoge Überzeugung für eine beliebige Polytrope aufstellen. Nach der Definition derselben kommt die abstrahierende Substanz während einer polytropischen Zustandsänderung einer konstanten spezifischen Wärme γ zu, deren Wert im übrigen zwischen $-\infty$ und $+\infty$ jeden beliebigen Wert haben kann. Der erste Hauptsatz lautet im Falle der Homogenität eines idealen Gases:

$$(104) \quad c_v dT = dq - p dv = \gamma dT - p dv,$$

oder nach Einsetzung des Wertes von p :

$$(105) \quad (c_v - \gamma) dT + \frac{R}{v} T dv = 0,$$

eine Gleichung, die sich nach Division mit T integrieren läßt:

$$(c_v - \gamma) \log T + \frac{R}{v} \log v = \text{Const.}$$

Bemerkt man, daß $\frac{R}{v} = c_p - c_v$ ist, und geht man von den Logarithmen zu den Potenzen über, so nimmt die letzte Gleichung die Gestalt an:

$$T^{c_p - \gamma} v^{c_v - \gamma} = \text{Const.},$$

oder auch:

$$(106) \quad T v^{\frac{\gamma - c_v}{c_p - \gamma}} = \text{Const.}$$

Diese Gleichung wurde also die Polytrope in der X - γ -Ebene dargestellt. Zusammen mit der Zustandsgleichung ergibt sich daraus für die Gleichung der Polytrope in der p - γ -Ebene:

$$(116) \quad p \gamma^{\frac{\gamma}{\gamma-1}} = \text{const.},$$

das bei den oben stromungsgerichteten positiven Werten von γ bzw. in von links nach rechts, Isochore, Isotherme oder Adiabate übergeht, wie es sein muß. Die Steigung der allgemeinen Polytrope gegen die Abszissenachse ergibt sich nach (107) zu:

$$(108) \quad \left(\frac{dp}{d\gamma} \right)_{\text{pol}} = - \frac{\gamma}{\gamma-1} \cdot \frac{p}{\gamma},$$

und der Koeffizient $\frac{\gamma}{\gamma-1}$ kann jeden beliebigen Wert zwischen $-\infty$ und $+\infty$ annehmen.

Die folgende Tabelle zeigt, wie sich $\frac{\gamma}{\gamma-1}$ ändert, wenn γ das ganze Intervall von $-\infty$ bis $+\infty$ durchläuft.

$\gamma =$	$-\infty$	-1	0	γ_0	γ_0	1	$+\infty$
$\frac{\gamma}{\gamma-1} =$	$\frac{1}{2}$	-1	$\frac{\gamma}{\gamma_0} > 1$	$\frac{1}{2}$	1	$\frac{1}{2}$	$+\frac{1}{2}$



Fig. 11.

In der Fig. 11 ist das Verhalten graphisch dargestellt.

Betrachtet man einen Kreisprozeß, der in der p - γ -Ebene als ein Kreis dargestellt wird, so entspricht jedes Linienelement desselben einem andern Werte von γ , also auch von $\frac{\gamma}{\gamma-1}$. Es sei dem Leser überlassen, diesem einfachen Beispiel im einzelnen nachzugehen.

Die Gleichung der Polytrope (108) oder (117), oder auch in der Differentialgleichung (105) hat offenbar große Ähnlichkeit mit der der Adiabate. Bei einer Prüfung der obigen Ableitung erkennt man leicht, daß diese Ähnlichkeit auch tieferer besteht, als man die Gleichung der Polytrope, ebenso wie die der Adiabate, nur deshalb gewinnen konnte, weil außer der Zustandsgleichung auch die bekannte Energiegleichung $\alpha = c_v T + \text{const.}$ des kleinen Gases benutzt werden konnte. Für einen beliebigen Stoff, für den α als Funktion des Zustandswechsels nicht gegeben ist, läßt sich die Gleichung der Polytrope aus Vernachlässigung des zweiten Hauptterms gewinnen, der es gestattet, wenn die Zustandsgleichung bekannt ist, die Energiegleichung abzuleiten.

Wir wollen nun einen Kreisprozeß betrachten, der aus zwei Isobaren und zwei Polytropen mit derselben Konstanten γ besteht. Die Unterschied gegen den Carnotprozeß besteht also darin, daß die Adiabaten durch gleichartige Polytropen ersetzt sind (Fig. 28).

Vom Punkte (1) (p_1, v_1, T_1) wird das kleine Gas durch zwei der Massenveränderung unterworfen (ausgedehnt) bis zum Punkte (2) (p_2, v_2, T_2) ; gleichzeitig wird eine Wärmemenge q_1 als einem ziemlich großen Reaktor von der Temperatur T_1 aufgenommen; dieser Teil stimmt also mit Carnot überein, und anschließend haben α_1 und q_1 die Werte, die durch die Gleichungen (88) und (87) gegeben sind:

$$-\alpha_1 = +q_1 = \frac{dP_1}{\alpha} \log \frac{v_2}{v_1}.$$

Vom Punkte (2) gelangt man durch eine polytropische Ausdehnung zum Punkte (3), der durch die Werte (p_3, v_3, T_3) bestimmt ist. Nach der Differentialgleichung der Polytrope ist hier:

$$(c_v - \gamma) dT = -p dv,$$

also:

$$q_2 = (c_v - \gamma)(T_3 - T_2),$$

während sich nach Definition der Polytrope die Wärmemenge q_2 zu

$$q_2 = \gamma(T_3 - T_2)$$

ergibt. Da $T_3 < T_2$ ist, so muß, damit $q_2 > 0$ ausfällt, wie wir annehmen wollen, $\gamma < 0$ gewählt werden. Dann positive Wärmemenge q_2 wird aus

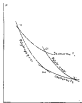


Fig. 28

einem Reservoir zugeführt werden, dessen Temperatur sich während der polytropischen Ausdehnung von T_1 auf T_2 erniedrigt, so daß stets ein quasistatischer Wärmeübergang vom Reservoir zu dem kleinen Gas stattfindet kann, das den Kreisprozeß durchläuft. Am einfachsten läßt sich dies so verstehen, daß man als Reservoir ebenfalls ein kleines Gas nimmt, und daß man in jedem Augenblick (durch passende adiabatische Volumenänderung desselben) dafür sorgt, daß seine Temperatur stets um ein unendlich Kleines höher ist als die des „Arbeitsgases“.

Von (I) bis (G) (p_1, v_1, T_1) gelangt man wieder auf einer Isotherme, und man hat, wie beim Carnot-Prozesse, gemäß (35) und (36):

$$-a_2 = q_2 = -\frac{RT_2}{m} \log \frac{v_2}{v_1}.$$

Endlich geht man auf einer Polytrope von der nämlichen Konstante, γ , wieder nach (I) zurück, worauf der Kreisprozeß geschlossen ist. Hierfür ist offenbar:

$$a_1 = (v_1 - \gamma)(T_1 - T_2),$$

während

$$q_1 = \tau(T_1 - T_2)$$

wird. Diese Wärmemenge q_1 läßt unter den gemachten Voraussetzungen negativ aus, und also an ein Reservoir abgegeben. Man kann daher wieder dasselbe Reservoir benutzen, das die Wärmemenge q_2 geliefert hat, indem man wieder dafür sorgt, daß die Bedingungen des quasistatischen Überganges erfüllt sind. Da offenbar $q_1 = -q_2$ ist, so hat im Punkte (I) dieses Reservoir seine gesamte Wärme wieder gewonnen und ist auch noch in seinem Anfangszustande wieder angekommen.

Die gesamte Arbeit ergibt sich zu:

$$\begin{aligned} a &= a_1 + a_2 + a_3 + a_4 \\ &= -\frac{RT_2}{m} \log \frac{v_2}{v_1} + \frac{RT_1}{m} \log \frac{v_2}{v_1} + (v_1 - \gamma)(T_1 - T_2) + (v_1 - \gamma)(T_1 - T_2). \end{aligned}$$

Es bleiben letzten Glieder haben sich hier, genau wie die Arbeitsleistungen auf den Adiabaten beim Carnotschen Prozesse. Bedenkt man ferner, daß v_2 und v_1 einerseits, v_1 und v_2 andererseits durch einen polytropischen Prozeß miteinander hervorgehen, so hat man gemäß (30) die Beziehungen:

$$T_1 v_1^{\frac{\gamma-1}{\gamma-1}} = T_2 v_2^{\frac{\gamma-1}{\gamma-1}},$$

$$T_1 v_1^{\frac{\gamma-1}{\gamma-1}} = T_2 v_2^{\frac{\gamma-1}{\gamma-1}},$$

und durch Division folgt:

$$\frac{v_2}{v_1} = \frac{T_1}{T_2},$$

womit der Ausdruck für die Arbeit a übergeht in:

$$a = a_1 + a_2 = \frac{R}{m} \log \frac{v_2}{v_1} (T_1 - T_2),$$

Für die gesamte (positiv und negativ) zugeführte Wärme findet man, da $q_3 = -q_4$ ist:

$$\begin{aligned} \bar{q} &= q_1 + q_2 + q_3 + q_4 = \\ &= q_1 + q_2 = \frac{RT_2}{\alpha} \log \frac{T_2}{T_1} + \frac{RT_1}{\alpha} \log \frac{T_2}{T_1} = -\frac{R}{\alpha} \log \frac{T_1}{T_2} (T_2 - T_1), \end{aligned}$$

also $\alpha + \eta = 0$, wie es bei einem jeden Kreisprozeß sein muß.

Für den thermodynamischen Nutzeffekt, d. h. für das Verhältnis zwischen geleisteter Arbeit und positiv zugeführter Wärme haben wir hier abgeleitet zu setzen:

$$\eta = \left| \frac{w}{q_1 + q_2} \right|$$

da hier nicht nur auf der ersten Isotherme, sondern auch auf der ersten Polytrope Wärme zugeführt wird. Man erhält so für den Nutzeffekt:

$$(108) \quad \eta = \frac{R}{\alpha} (T_2 - T_1) \log \frac{T_2}{T_1} \cdot \frac{1}{\frac{R}{\alpha} T_2 \log \frac{T_2}{T_1} + \frac{R}{\alpha} T_1 \log \frac{T_2}{T_1}}$$

und dieser ist kleiner als der des Carnotschen Prozesses. Man wäre allerdings möglich, hier den Nutzeffekt ein wenig anders zu definieren. Denn die auf der ersten Polytrope zugeführte Wärmemenge q_1 wird ja mit der zweiten Polytrope wieder abgegeben, und man kann wohl sagen voraussetzen, daß die Abgabe an das nächste Reservoir geschieht, das der Wärme q_1 ursprünglich geleistet hat. Dann ist nach Beschreibung einer Zyklen der Maschine dieses Reservoir wieder im Anfangszustand, und man kann von der Wärmemenge q_1 bei der Beschreibung des Wirkungsgrades absehen. Dann würde man finden:

$$(109) \quad \eta = \left| \frac{w}{q_1} \right| = 1 - \frac{T_1}{T_2},$$

und dies wäre genau gleich dem Nutzeffekt des Carnotschen Prozesses. Je nachdem der Nutzeffekt definiert wird, erhält man also den Satz, daß der verallgemeinerte Carnotsche Prozeß einen kleineren oder einen ebenso großen Wirkungsgrad besitzt, wie der Carnotsche selbst. In der Literatur sind darüber gelegentlich Streitigkeiten entstanden, die aber im Grunde auf Nichtbeachtung dieser beiden verschiedenen Definitionen zurückzuführen sind. Wir halten uns an die ursprüngliche Definition, die in Gl. (108) angegeben ist, und erklären also den Nutzeffekt des „verallgemeinerten Carnotschen Prozesses“ für kleiner als den des Carnotschen.

Wie werden später (S. 16) beweisen, daß es keinen Prozeß gibt, der einen größeren Wirkungsgrad besitzt als der Carnotsche, daß vielmehr alle von dem Carnotschen abweichenden Kreisprozesse einen kleineren Nutzeffekt besitzen als dieser. Der obige Fall ist ein Beispiel dieses allgemeinen Satzes.

B. Chemische Reaktionen einer Volumänderung.

Ein besonders wichtiges Anwendungsgebiet des ersten Hauptsatzes bilden die chemischen Reaktionen, von denen wir zunächst diejenigen besprechen wollen, die ohne Volumänderungen, d. h. ohne Leistung äußerer Arbeit, vor sich gehen. Es sind dies sehr angesehen die Reaktionen zwischen festen und flüssigen Stoffen, da bei ihnen die Volumänderungen minimal sind. Dagegen sind hier im allgemeinen Reaktionen, bei denen Gase beteiligt sind, auszunehmen, weil die dabei auftretenden Volumänderungen, d. h. äußeren Arbeiten, erheblich zu berücksichtigen sind. Nur wenn diese letzten Vorgänge in geschlossenen Gefäßen vor sich gehen, fallen sie unter die in diesem Kapitel zu betrachtenden Fälle: die übrigen unterziehen wir in der nächsten Nummer.

Der erste Hauptsatz lautet hier, zufolge des Nullensatzes äußere Arbeit, die geleistet wird an:

$$(113) \quad U_2 - U_1 = Q.$$

U_1 bedeutet die innere (chemische) Energie des Stoffes vor der Reaktion, U_2 diejenige nach derselben, Q die von außen zuzuführende Wärme. Man erkennt, daß in diesem speziellen Falle die von außen zugeführte Wärmemenge Q auch nur vom Anfangs- und Endzustand des Systems, aber nicht mehr vom Wege, abhängt.

Die chemischen Vorgänge lassen sich nun in zwei große Klassen einteilen: in solche, bei denen eine Zuhilfenahme äußerer Wärme notwendig ist, und in solche, die umgekehrt Wärme auch selbst abgeben. In der Theorie chemie nennt man solche „endotherrnische“, letztere, die bei weitem häufigere sind, „exotherrnische“ Vorgänge. Ferner pflegt man das — im Gegensatz zu unserer Schreibweise — die vom System abgegebene Wärmemenge als positiv zu rechnen und bezeichnet deshalb exotherrnische Vorgänge, d. h. solche, deren in unserer Anschauungsweise negative Wärme von außen zugeführt wird, als Vorgänge mit positiver „Wärmefreisetzung“, endotherrnische als solche mit negativer Wärmefreisetzung. Wir behalten unsere Terminologie im folgenden bei.⁷⁾

Ebenso ist es notwendig, eine zweckmäßige Symbolik einzuführen. Der Chemiker schreibt die Reaktion, die aus einem Atom Pb und einem Atom S ein Molekül PbS entstehen läßt, folgendermaßen:



Dieses gibt in der Tat die Ausgangs- und Endprodukte und ihre relativen Mengen richtig an, sagt aber nichts über die energetischen Verhältnisse

⁷⁾ Dessen ungeachtet stehen unsere thermodynamischen Überlegungen mit denen der Chemie überein; das ist eine selbstverständliche Folge der Tatsache, daß es sich in beiden Hauptzweigen um denselben Sachverhalt (das Energieprinzip) handelt. Für die Arbeit der Chemie steht (113):

$$(113a) \quad U_2 - U_1 = -q = +q'$$

und bezieht die Vorzeichen auf die Größe q' .

aus. Wir wollen dagegen von jetzt an mit einem chemischen Symbol, z. B. Pb, nicht nur den Stoff, sondern zugleich die innere Energie eines Quantitates bzw. Grammmolekels dieses Stoffes bezeichnen. Wir setzen also unter Pb die (innere) Energie eines Grammmolekuls Pb, unter Σ die eines Grammmolekuls Σ , unter Pb Σ die eines Grammmolekuls Pb Σ , bzw. setzen werden wir uns noch an folgende Vereinbarung halten: Jede Σ die bezeichnen wir durch eckige Klammern $[\Sigma]$, Energie durch runde (Σ) , gewöhnliche durch geschweifte Klammern $\{\Sigma\}$. Es bedeutet also z. B. (H_2O) die Energie eines Grammmolekuls H_2O , (H_2O) die einer Mol Wasserdampf, $[H_2O]$ derjenige von ein Mol Wasserdampf.

Wenn wir in dieser Weise eine die oben erwähnte Reaktion $H_2 + \Sigma \rightarrow H_2O$ thermodynamisch vollständig schreiben wollen, so haben wir zu schreiben:

$$(111) \quad \begin{aligned} & \{U_1\} = [Pb] + [\Sigma], \\ & \{U_2\} = [PbO], \end{aligned}$$

d. h. die Energie des Anfangszustandes ist die von je einem Grammmolekul Pb und Σ ; die des Endzustandes U_2 ist gleich der Energie eines Mol Schwefelblei (von der natürlichen Temperatur). Eine Messung von Berthollet ergab nun, daß die Reaktion eine positive Wärmeerzeugung von 18200 cal liefert; also ist $Q = -18200$ cal zu setzen, und die vollständige thermodynamische Gleichung lautet folgendermaßen:

$$(112) \quad [PbO] - [Pb] - [\Sigma] = -18200 \text{ cal.}$$

Es versteht sich von selbst, daß hier U_1 und U_2 nicht in Erg., sondern in Kalorien gemessen sind.

Betrachten wir als weiteres Beispiel das Schmelzen von 1 Grammschmelz bei 0 Grad Cel. Dann haben wir:

$$U_1 = (H_2O), \quad U_2 = (H_2O);$$

die Schmelzwärme pro Gramm beträgt 80 cal, also $Q = 80$ cal, da 18 das Molekulargewicht des Wassers ist. Also lautet die thermodynamische Gleichung für diesen Vorgang:

$$(113) \quad (H_2O) - (H_2O) = 18 \cdot 80 \text{ cal};$$

der Vorgang ist also ein solcher mit negativer Wärmeerzeugung oder eine endothermische Reaktion.

Diese Beispiele helfen sich leicht im Gegenstande vorzutragen, wobei der Leser auf Spezialwerke über Thermodynamik verwiesen werden muß.

Eine Prüfung des ersten Hauptsatzes läßt sich nun in folgender Weise vornehmen: Da die Energie U nur von dem augenblicklichen Zustande abhängt, so muß es gleichgültig sein, auf welche Weise man vom Anfangszustand zum Endzustand übergeht. Läßt man eine und dieselbe Reaktion auf verschiedenen Wegen vom nämlichen Anfangszustand zum nämlichen Endzustand, so muß demgemäß die Wärmeerzeugung, wie schon oben erwähnt, in beiden Fällen gleich sein (wenn noch, wie hier ja durchgehend vorausgesetzt, die äußere Arbeit A praktisch vernachlässigt werden kann). Diese Aussage des ersten Hauptsatzes trifft

man in der Tat so, und ist konstantenwertweise schon vor der allgemeinen Aufstellung des Energieprinzips von Hess im Jahre 1840 experimentell gefunden und von ihm als „Gesetz der konstanten Wärmezunahme“ bezeichnet worden. Das folgende Beispiel von Hess möge das oben Gesagte erläutern.

Als Ausgangsmaterial sei ein Gemisch aus H_2SO_4 und zwei Gramm-moleküle NH_3 in unendlicher Verdünnung in wässriger Lösung gewählt, was wir $(2\text{NH}_3 \cdot a g)$ schreiben. Also ist:

$$V_1 = (\text{H}_2\text{SO}_4) + (2\text{NH}_3 \cdot a g).$$

Daraus bildet sich schwefelsaures Ammoniak $(\text{NH}_4)_2\text{SO}_4$ in wässriger Lösung, ebenfalls unendlich verdünnt; also ist:

$$U_2 = ((\text{NH}_4)_2\text{SO}_4 \cdot a g).$$

Bei der Reaktion entsteht eine positive Wärmerzeugung von 30158 cal.) Also lautet die thermische Gleichung:

$$(114) \quad ((\text{NH}_4)_2\text{SO}_4 \cdot a g) - (\text{H}_2\text{SO}_4) - (2\text{NH}_3 \cdot a g) = -30158 \text{ cal.}$$

Statt von konzentrierter Schwefelsäure ausgehen, die dann unendlich verdünnt (H_2O) zusammengebracht wird, kann man z. B. zuerst ein Mol (H_2O) zu einem Mol (H_2SO_4) zusammen und dann erst $(2\text{NH}_3 \cdot a g)$ zugeben. Dann erhalten wir folgende Gleichungen:

$$(115) \quad (\text{H}_2\text{SO}_4 + \text{H}_2\text{O}) - (\text{H}_2\text{SO}_4) - (\text{H}_2\text{O}) = -6480 \text{ cal.},$$

d. h. daß bei einer Lösung von 1 Mol H_2SO_4 in 1 Mol Wasser 6480 cal frei werden. Weiter ergab sich:

$$(116) \quad ((\text{NH}_4)_2\text{SO}_4 \cdot a g) - (\text{H}_2\text{SO}_4 + \text{H}_2\text{O}) - (2\text{NH}_3 \cdot a g) = -48691 \text{ cal.},$$

d. h. wenn man zu dieser in 1 Mol Wasser verdünnten Schwefelsäure unendlich verdünntes NH_3 hinzugeht, werden 48691 cal frei. Addieren man (115) und (116), so erhält man:

$$(117) \quad ((\text{NH}_4)_2\text{SO}_4 \cdot a g) - (\text{H}_2\text{SO}_4) - (2\text{NH}_3 \cdot a g) \\ = - (6480 + 48691) \text{ cal} = -55171 \text{ cal.},$$

also mit (114) fast völlig übereinstimmend. Das eine Mol Wasser ist in (117) natürlich in die Bezeichnung „a g“ mit eingeschrieben.

Hess hat diesen Beispiel noch weiter durchgeführt, indem er nun H_2SO_4 zunächst in 2 Molen Wasser verdünnte und dann erst mit $(2\text{NH}_3 \cdot a g)$ zusammenbrachte. Dann ebenso zunächst Verdünnung mit 3 Molen Wasser usw. Er fand dann folgendes:

$$(\text{H}_2\text{SO}_4 + 2\text{H}_2\text{O}) - (\text{H}_2\text{SO}_4) - 2(\text{H}_2\text{O}) = -8928 \text{ cal.},$$

$$((\text{NH}_4)_2\text{SO}_4 \cdot a g) - (\text{H}_2\text{SO}_4 + 2\text{H}_2\text{O}) - (2\text{NH}_3 \cdot a g) = -48458 \text{ cal.},$$

durch deren Addition man erhält:

$$(118) \quad ((\text{NH}_4)_2\text{SO}_4 \cdot a g) - (\text{H}_2\text{SO}_4) - (2\text{NH}_3 \cdot a g) \\ = - (8928 + 48458) \text{ cal} = -57386 \text{ cal.},$$

* Die hierischen Zahlen stimmen mit anderen, ich habe sie mit 2 Gramm-molekül H_2SO_4 angesetzt, was für die Sache natürlich gleichgültig ist.

Entsprechend ergibt sich:

$$\begin{aligned}(\text{H}_2\text{SO}_4 \cdot 5\text{H}_2\text{O}) - (\text{H}_2\text{SO}_4) - 5(\text{H}_2\text{O}) &= -19198 \text{ cal.}, \\ (\text{CSH}_{12}\text{SO}_4 \cdot x\text{g}) - (\text{H}_2\text{SO}_4 \cdot 5\text{H}_2\text{O}) - (25\text{H}_2 \cdot x\text{g}) &= -37600 \text{ cal.},\end{aligned}$$

und die Addition liefert wieder:

$$\begin{aligned}(116) \quad (\text{CSH}_{12}\text{SO}_4 \cdot x\text{g}) - (\text{H}_2\text{SO}_4) - (25\text{H}_2 \cdot x\text{g}) \\ = - (37600 + 19198) \text{ cal} = - 56798 \text{ cal.}\end{aligned}$$

Vergleicht man die Wärmezahlen in den Gleichungen (114), (117), (118) und (119), so sieht man, wie es der erste Hauptsatz verlangt, innerhalb der Versuchfehler übereinst.:

Wir haben oben erwähnt, daß bei Reaktionen, bei denen gasförmige Bestandteile auftreten, im allgemeinen die Arbeitserzeugung berücksichtigt werden muß. Läßt man aber solche Reaktionen z. B. in der sogenannten beschlossenen Bombe, d. h. in einem verschlossenen Gefaße, vor sich gehen, wodurch Volumenveränderungen eintreten wird, so führen auch diese, unter dem Einfluß der konstanten Wärmezahlen. Ein konkretes geschäftiges Beispiel ist die Bildung von Benzol aus den folgenden zwei Wegen. Kierulff hat man gefunden:

$$(120) \quad [\text{PhSO}_2] - [\text{Ph}] - [\text{S}] - 2[\text{O}_2] = -104319 \text{ cal.}$$

Andererseits ist aber auch:

$$\begin{aligned}[\text{SO}_2] - [\text{S}] - [\text{O}_2] &= -11956 \text{ cal. und} \\ [\text{PhSO}_2] - [\text{Ph}] - [\text{SO}_2] - [\text{O}_2] &= -145166 \text{ cal}\end{aligned}$$

und die Addition liefert:

$$\begin{aligned}(121) \quad [\text{PhSO}_2] - [\text{Ph}] - [\text{S}] - 2[\text{O}_2] &= - (145166 + 11956) \text{ cal} \\ &= -157122 \text{ cal.},\end{aligned}$$

also ganz übereinstimmend mit dem auf dem ersten Wege gewonnenen Zahl.

Umgekehrt kann man aus dem ersten Hauptsatz herleiten, wie auf individuellem Wege die Wärmezahlen von Reaktionen festzustellen, die direkt entweder unter den bestehenden Bedingungen gar nicht vor sich gehen oder nicht gemessen werden können. Es sei z. B. gefragt, nach der Reaktion, die vor symbolisch durch

$$(AD) = (A) + (D)$$

andeutet. Man kann diese dann folgendermaßen finden, wenn A und B mit anderen Stoffen C und D reagieren:

$$(a) \quad (AC) - (A) - (C) = \alpha,$$

$$(b) \quad (BD) - (B) - (D) = \beta.$$

Ferner mögen die Stoffe C und D folgende Verbindung eingehen:

$$(c) \quad (CD) - (C) - (D) = \gamma,$$

und endlich möge noch folgende Reaktion vor sich gehen:



Subtrahiert man Gl. (d) von (b) und addiert (a) und (b) zu (c) hinzu, so folgt eine weitere:

$$(A, F) \rightarrow (A) + (B) = x + \beta + \delta + \gamma.$$

Dies ist aber nichts anderes, als die thermodynamische Gleichung der gesuchten Reaktion. Ein Beispiel ist folgendes: Hieraus wird die Verbrennungswärme des Kohlenstoffs mit Sauerstoff zu Kohlenoxyd, die direkt experimentell nicht bestimmbar ist. Dagegen sind folgende Reaktionen bekannt:



Die das stellt die Bildung von Kohlenoxyd aus Kohlenstoff und Sauerstoff, die auch aus Kohlenoxyd und Sauerstoff dar. Die Subtraktion ergibt sofort die gesuchte Gleichung:



Künftig liefert eine Anwendung des ersten Hauptsatzes eine ganz allgemeine Aussage über die Abhängigkeit der Wärmeerzeugung einer beliebigen Reaktion von der Reaktions-temperatur. Sie gehe nun dieser Vorweg nach dem Schema vor sich:

$$m_1 (A) + m_2 (B) = m_3' (C) + m_4' (D),$$

d. h. m_1 Gramm des Stoffes A verbinden sich mit m_2 Gramm des Stoffes B zu m_3' Gramm des Stoffes C und m_4' Gramm des Stoffes D . Die Wärmeerzeugung werde, wie immer, durch $-Q$ bezeichnet, wobei wir jetzt, um ihre Abhängigkeit von T auszudrücken, das Argument hinzufügen: $-Q(T)$. Die spezifischen Wärmen der bei dem Prozess beteiligten Stoffe seien bzw. c_1, c_2, c_3', c_4' . Wir lassen nun folgenden Prozeß vor sich gehen:

1. Bei der Temperatur T laufe die fragliche Reaktion (von links nach rechts) vor sich gehen; sie liefert die Wärmeerzeugung $-Q(T)$; dann erhöhen wir die entstehenden Reaktionsprodukte von T auf $T + dT$, was die Wärmemenge $(m_3' c_3' + m_4' c_4') dT$ erfordert. Im ganzen ist also an Wärme von außen zugeführt:

$$Q(T) + (m_3' c_3' + m_4' c_4') dT.$$

2. Wir stellen denselben Endzustand auf folgende Weise: Wir erwärmen die Ausgangsprodukte A und B auf die Temperatur $T + dT$, was eine Wärmemenge von $(m_1 c_1 + m_2 c_2) dT$ Kalorien erfordert. Dann lassen wir die Reaktion bei der Temperatur $T + dT$ vor sich gehen, was eine Wärmeerzeugung $-Q(T + dT)$ gibt. Auf diesem zweiten Wege ist also die äußere Wärmemenge insgesamt:

$$Q(T + dT) + (m_1 c_1 + m_2 c_2) dT.$$

Teile massen nach dem ersten Hauptsatz einander gleich sein: also ist:

$$Q(T) + (m_1' c_1' + m_2' c_2') \partial T = Q(T) + \partial Q + (m_1 c_1 + m_2 c_2) \partial T,$$

oder, da nach dem Taylorsche Satze, wenn höher als lineares Glieder abgesehen wird, $Q(T + \partial T) = Q(T) + \frac{\partial Q}{\partial T} \partial T$ ist, so folgt notwendig:

$$\frac{\partial Q}{\partial T} = m_1' c_1' + m_2' c_2' = (m_1 c_1 + m_2 c_2),$$

oder auf eine Reaktion mit beliebig vielen Komponenten verallgemeinert:

$$(115) \quad \frac{\partial Q}{\partial T} = \sum_i m_i' c_i' = \sum_i m_i c_i.$$

$\sum m_i' c_i'$ ist die „Wärmekapazität“ des Systems nach der Reaktion, $\sum m_i c_i$ dagegen vor derselben. Es ist also der Temperaturkoeffizient der Wärmeerzeugung gleich der Differenz der Wärmekapazitäten nach bzw. vor der Reaktion.

Ein ganz exakteres Beispiel dafür ist das Schmelzen von K_2O bei 90°C . 1 g K_2O wird in 1 g Wasser übergeführt durch Zusatz von 90 cal. Es ist also $m_1 = m_1' = 1$; alle übrigen m gleich Null. Ferner ist die spezifische Wärme des Wassers gleich $c_2' = 1$, die des K_2O $c_1 = 0.90$; also ist:

$$\sum m_i' c_i' - \sum m_i c_i = 0.90 = \frac{\partial Q}{\partial T}.$$

Andererseits heisst die direkte Bestimmung der Schmelzwärme bei verschiedenen Temperaturen nach Petterson den Wert $\frac{\partial Q}{\partial T} = 0.90$, also in der Tat völlige Übereinstimmung.

Bei vielen Verbindungen ist sehr angenähert $\sum m_i' c_i' = \sum m_i c_i$ (Gesamtregel von Joule-Kopp); in diesem Falle ist also die Wärmeerzeugung exakt unabhängig von der Temperatur.

III. Chemische Reaktionen mit Volumenänderung.

Sind bei einer Reaktion gasförmige Stoffe beteiligt und geht dieselbe nicht im abgeschlossenen Gefäß, z. B. der Böttcherstaschen Bombe, vor sich, so ist die äußere Arbeit, in den meisten Fällen die des äußeren konstanten Luftdruckes p_0 , zu berücksichtigen. Es gilt dann der erste Hauptsatz in seiner allgemeinen Form:

$$(116) \quad U_2 - U_1 = Q - \int_1^2 p_0 dV = Q + p_0 (V_1 - V_2),$$

wenn V_1 und V_2 die Volumina der gasförmigen Bestandteile vor und nach der Reaktion sind; von den Volumänderungen der festen und flüssigen Bestandteile kann abgesehen werden. Für die äußere Arbeit $A_{\text{a}} = p_0 (V_1 - V_2)$ kann man einen entsprechenden Ausdruck angeben,

wenn man sämtliche gasförmigen Bestandteile als ideale Gase betrachtet, was innerhalb gewisser Grenzen zulässig ist. Haben wir es mit M_1 Gasen gasförmigen Bestandteilen vor der Reaktion und M_2 nach derselben zu tun, so stellt man, da $M_1 v_1 = P_1$, $M_2 v_2 = P_2$ ist, durch Erweiterung der Zustandsgleichung mit M_1 bzw. M_2 :

$$(127) \quad \left| \begin{array}{l} p_1 V_1 = RT \frac{M_1}{m_1} = RT n_1, \\ p_2 V_2 = RT \frac{M_2}{m_2} = RT n_2. \end{array} \right.$$

n_1 , n_2 bedeuten dabei bekanntlich die chemischen Molenzahlsysteme, bzw. wenn es sich, wie häufig, um Gasgemische handelt, die mittleren Molenzahlsysteme der Gase vor und nach der Reaktion. Dementsprechend sind $\frac{M_1}{m_1} = n_1$ und $\frac{M_2}{m_2} = n_2$ die Anzahlen der Grammoleküle Gas vor und nach dem Prozeß. Damit kann daher der erste Hauptsatz geschrieben werden:

$$(128) \quad U_2 - U_1 = Q + \frac{RT}{J} (n_1 - n_2).$$

Dabei ist das letzte Glied der rechten Seite durch das mechanische Wärmeäquivalent J dividiert, damit auch dieses Glied, wie die übrigen, in Kalorien gemessen ist. Im absoluten Maßsystem ist $R = 8,318 \cdot 10^7 \frac{\text{erg}}{\text{grad}}$, was sich durch Division mit dem mechanischen Äquivalent $4,18 \cdot 10^7$ auf „Kalorien pro Grad“ reduziert. Wir erhalten also aus (128), also in Kalorien ausgedrückt:

$$(129) \quad U_2 - U_1 = Q + \frac{8,318 \cdot T (n_1 - n_2)}{4,18} = Q + 1,985 T (n_1 - n_2).$$

Nehmen wir zunächst als Beispiel die Reaktion, die gemäß (124) vor sich geht, wenn sie in der Berthelotischen Bombe vorgenommen wurde. Nach der Reaktion haben wir dort 1 Mol Kohlenoxyd CO_2 , also $n_2 = 1$; vor derselben hatten wir $\frac{1}{2}$ Mol Sauerstoff $\frac{1}{2}[\text{O}_2]$, also $n_1 = \frac{1}{2}$, also ist $n_1 - n_2 = -\frac{1}{2}$, und mithin wurde, wenn die Reaktion bei Atmosphärendruck und 27°C vor sich gieng, auf der rechten Seite nach (129) hinzuzusetzen als der Ausdruck $= 1,985 \cdot \frac{1}{2} \cdot 273$, was ungefähr 279 Kalorien ausmacht. Die Wärmetönung wurde also in diesem Falle um 279 cal größer nachfol.

Ein anderes Beispiel wäre die Verbrennung von 1 Mol H_2 mit $\frac{1}{2}$ Mol O_2 bei 27°C in flüssigem Wasser, also bei Atmosphärendruck. Liefert diese Reaktion in der Berthelotischen Bombe etwa die Wärmetönung $-Q$, so liefert sie jetzt eine davon verschiedene $-Q'$, die sich folgendermaßen berechnet: Es ist $n_2 = 0$, da nach dem Prozesse gar kein Gas mehr vorhanden ist; $n_1 = \frac{1}{2}$, da wir 1 Mol H_2 und $\frac{1}{2}$ Mol O_2 , im ganzen also $\frac{1}{2}$ Mol Gas vor dem Prozesse hatten. Also, da $T = 273^\circ$ ist, lautet nach (129) die thermodynamische Gleichung:

$$[\text{H}_2\text{O}] - [\text{H}_2] - \frac{1}{2}[\text{O}_2] = Q + 1,985 \cdot \frac{1}{2} \cdot 273 = Q + 279 \text{ cal} = Q'.$$

Die Wärmerzeugung $-Q$ ist also jetzt um etwa 500 mal kleiner, als vorher bei dem Versuch in der Barthelemy'schen Bombe.

Man kann bei den hier betrachteten Reaktionen bei konstantem äußeren Druck auch etwas anderes feststellen. Denn der erste Hauptsatz in der hier auftretenden Form (156) läßt sich so schreiben:

$$(156a) \quad (U_2 + p_2 V_2) - (U_1 + p_2 V_1) = Q.$$

Die Größe

$$(157) \quad U + p_2 V$$

bezeichnet man nach O. H. N. als die „Wärmerfunktion bei konstantem Druck“ oder auch kurz als die „Wärmerfunktion“. Damit läßt sich (156a) schreiben:

$$(158) \quad J_2 - J_1 = Q,$$

d. h. die Wärmerzeugung hängt bei den hier betrachteten Prozessen ebenfalls nur von Anfangs- und Endzustand des Systems ab, unabhängig von allen Zwischenzuständen; was daß dies [s. Gl. (110)] darin die innere Energie U , hier dagegen die Wärmerfunktion J steht. Man beachte jedoch: vielfach auch das Symbole $[X]$, (X) , $\{X\}$ steht auf U , sondern direkt auf J . Diese Größe J spielt allerdings in der Technik eine sehr wichtige Rolle und wird dort — wie nach (158) aufgerundet nahelegt — auch als „Wärmehalt“ bezeichnet. Wir kommen in Kap. V noch eingehend darauf zurück.

Der zweite Hauptsatz der Wärmetheorie.

21. Allgemeines Charakterisierung der Bedeutung des zweiten Hauptsatzes.

Für ein abgeschlossenes System ist nach Aussage des ersten Hauptsatzes der Wärmetheorie die Energie U_2 im Endzustand eines Prozesses gleich derjenigen U_1 im Anfangszustand; hinsichtlich der Energie also unterscheiden sich die beiden Zustände nicht voneinander. Darin liegt es begründet, daß der Reversibilitäts einer Natur nach keine Aussage darüber machen kann, ob in der Natur ein Prozeß in einer bestimmten Richtung oder in der gerade entgegengesetzten eintritt. Ein einfaches Beispiel mag das erläutern. Ein Stein von der Masse M , aus Höhe h entworfen, besitzt eine potentielle Energie Mgh ; lassen wir den Stein von Höhe h fallen, so nimmt die potentielle Energie ab, die kinetische zu, welche letztere ihren Endzustand gleich Mgh im Augenblick des Aufschlagens erreicht. In diesem Augenblick verschwindet die kinetische Energie, und es tritt dafür im Stein und der nächsten Umgebung eine äquivalente Wärmemenge auf. Das Energieprinzip bleibt gewahrt, wie es sein muß. Aber nach diesem Prinzip ist offenbar auch der umgekehrte Vorgang möglich: Ein auf dem Boden ruhender Stein soll seiner Umgebung eine gewisse Wärmemenge entziehen und dafür bis zu einer solchen Höhe steigen, daß die erlangte potentielle Energie gleich der abgenommenen Wärmemenge ist. Offenbar bleibt das Energieprinzip bei diesem Vorgang ebenso gut gewahrt, wie bei dem direkten. Und doch beobachten wir diesen umgekehrten Prozeß nicht nur nicht in der Natur, sondern es erscheint uns — auf Grund der folgenden Erklärung — geradezu ungerührt, aus diesem Vorgang als möglich vorzustellen.¹⁾

Es muß also ein außerhalb des Energieprinzips liegender Grund dafür vorhanden sein, daß die Natur den einen Prozeß dem umgekehrten vorzieht, oder allgemeiner ausgedrückt: es muß, wenn zwei verschiedene Zustände eines Systems ins Auge gefaßt werden, ein Grund dafür vorhanden sein, warum der eine Zustand nur als Anfangszustand, der andere nur als Endzustand möglich ist, nicht aber umgekehrt. Hier tritt nun eben — als gleichfalls neues, vom ersten Hauptsatz unabhängiges Prinzip — der zweite Hauptsatz der Wärmetheorie ein. Dieser beantwortet gerade

1) Vgl. die folgenden Abschnitte.

¹⁾ Man vgl. ferner hierzu die Ausführungen in den Nummern III 3 bis III 6 des nächsten Kapitels.

die eben aufgeworfene Frage, welcher von zwei gegebenen Zuständen als Endzustand in der Natur allein möglich ist, und damit gleichzeitig die weitere damit zusammenhängende Frage, in welcher Richtung von einem gegebenen Anfangszustand aus ein Prozeß vor sich gehen kann. Endlich besteht er darüber — auch dies ist im wesentlichen offener daselbe Prozeß —, wann von einem bestimmten Zustande aus kein Prozeß möglich ist, d. h. wann dieser gegebene Zustand ein Gleichgewichtszustand ist.

Man kann sich schon so dieser tiefe die Frage verlegen, wie die analytische Form eines derartigen Satzes wohl ausfallen wird. Wir wissen der Zeit soll uns ein Kriterium liefern, das zwischen End- und Anfangszustand zu unterscheiden gestattet. Also kann es nicht in der Angabe einer Eigenschaft des Vorganges bestehen, die beiden Zuständen in gleicher Weise zukommt — wie es z. B. mit der Energie der Fall war. Vielmehr werden wir eine Eigenschaft beider Zustände angeben müssen, die den Endzustand vom Anfangszustand zu unterscheiden gestattet. Dies kann etwa dadurch geschehen — und so ist es auch tatsächlich der Fall —, daß man eine Funktion S des augenblicklichen Zustandes an gibt, die im Endzustande einen natürlichen Prozeß über einen andern Wert hat als im Anfangszustande, z. B. im Endzustande stets größer ist als im Anfangszustande.

Daß die Konstanz einer solchen Funktion des augenblicklichen Zustandes in der Tat das Verlangte leistet, ist klar. Denn wenn zwei Zustände (1) und (2) irgendwie gegeben sind, so hat man nur die Werte der Funktion in beiden zu bestimmen, also $S(1)$ und $S(2)$ zu finden. Ware nun $S(2) > S(1)$, so wäre nur die als Endzustand möglich; die System strebt vom Zustand (1) zum Zustand (2). Ist aber $S(1) > S(2)$, so wäre kein Übergang von (1) nach (2) möglich, sondern nur von (2) als Anfangszustand nach (1) als Endzustand.

Ist ferner der Zustand (1) so beschaffen, daß jeder mit ihm verglichene aus sich selbst bestehende Zustand einen kleineren Wert der Funktion S aufweist, als ihm selbst zukommt, so ist, da nur Prozesse möglich sind, denen ein Wachstum von S entspricht, gar keine Veränderung des Systems vom Punkte (1) aus möglich: es ist in diesem Zustande im Gleichgewicht.

Diese kann vorläufige Auseinandersetzung mag genügen, um einen Begriff von der Bedeutung und der Leistungsfähigkeit des sogenannten zweiten Hauptsatzes zu geben.

Historisch sei bemerkt, daß der zweite Hauptsatz seine Entstehung gewissen Untersuchungen von Sadi Carnot verdankt, die in der Abhandlung „Réflexions sur la puissance motrice du feu“ vom Jahre 1824 enthalten sind und ursprünglich von der Frage nach dem Wirkungsgrade einer thermodynamischen Maschine ausgehen. Indessen ist ein Teil seiner Entwickelungen nicht haltbar, da Carnot von der Stofftheorie der Wärme ausgeht und also für jeden Kreisprozeß die Forderung stellte:

$\sum Q = 0$, die, wie wir wissen, mit dem ersten Hauptsatz unverträglich ist. Es ist das Verdienst von Rudolf Clausius, im Jahre 1850 den richtigen Kern der Carnotschen Überlegungssage herausgestellt und sich der Auffassung, daß die Wärme das Energielohm ist, in Überzeugung hingekleidet zu haben. Von dem trägt auch der Name „zweiter Hauptsatz“ her.

32. Beweis eines Hilfssatzes.

Wir wollen, bevor wir zum Beweis des zweiten Hauptsatzes übergehen, einen Hilfssatz aufstellen, der sich aus der Betrachtung eines geeigneten Carnotschen Kreisprozesses mit einem idealen Gas ergibt. Die beiden Temperaturen, zwischen denen der Gas arbeitet, soll, seien wir näher T_1 und T_2 , wobei etwa $T_1 > T_2$ sei. Wir bedienen uns zu diesem Zwecke, ebenfalls wie bisher, einer unendlich großer Reservoire, die diese Temperaturen besitzen und die beliebige endliche Wärmemengen abgeben können, ohne daß ihre Temperatur sich um einen endlichen Betrag ändert.

Dann besteht, wie wir in Nummer 27 ausdrücklich besprochen haben, der Gesamteffekt des Carnotschen Prozesses darin, daß das Reservoir $R_1(T_1)$ eine (positive) Wärmemenge Q_1 , das Reservoir $R_2(T_2)$ eine (negative) Menge Q_2 abgegeben hat und eine äußere Arbeit $A = -(Q_1 + Q_2)$ geleistet worden ist. Dabei gehören die beiden Wärmemengen nach der Bezeichnung:

$$(1) \quad \frac{Q_1}{T_1} + \frac{Q_2}{T_2} = 0.$$

Lassen wir den Prozeß etwa n -mal in derselben Weise vor sich gehen, so sind die abgegebenen Wärmemengen nQ_1 bzw. nQ_2 , die geleistete Arbeit $nA = -n(Q_1 + Q_2)$. Wir können also, beliebig durch Variation der Zahl n , die von den Reservoiren abgegebenen Mengen verändern, allerdings un stetig, solange der Kreisprozeß selbst unverändert bleibt, da die Größen n ihrer Natur nach ganze Zahlen sein müssen. Indem wir aber außerdem uns noch die Möglichkeit offen lassen, bei festgehaltenen Temperaturen T_1 und T_2 die beiden adiabatischen Teilprozesse zu ändern (wobei wir, genauheit gesprochen, die beiden Adiabaten in der p - v -Ebene zueinander rücken oder sich voneinander entfernen lassen), haben wir es in der Hand, die Größen nQ_1 und nQ_2 beliebig zu wählen zu lassen. Setzen wir zur Abkürzung einen Moment:

$$w_1 = nQ_1,$$

$$w_2 = nQ_2,$$

so kann also w_1 einen beliebig vorgeschriebenen positiven Wert annehmen; w_2 ist dann durch die Relation

$$(2) \quad \frac{w_1}{T_1} + \frac{w_2}{T_2} = 0$$

bestimmt. Läßt man den Carnotschen Prozeß nachwärts wandern vor sich gehen, so ergibt dieselbe Beschreibung, daß die tiefe α_1 jedem beliebigen negativen Wert annehmen kann, wobei wieder α_2 durch die Relation (2) bestimmt ist.

Wir können dies auch folgendermaßen ausdrücken:

Wir können ein ideales Gas einen n -fachen, direkten oder umgekehrten, Carnotschen Kreisprozeß zwischen gegebenen Temperaturen T_1 und T_2 damit beschreiben lassen, daß dabei α_1 und α_2 beliebig vorgezeichnete Werte haben können, die nur der Relation (2) zu genügen haben.

Es sind demgemäß α_1 und α_2 durch die direkt aufgestellte Beziehung (2) noch nicht vollkommen bestimmt, sondern es ist dazu notwendig (und möglich), noch eine willkürliche Gleichung hinzuzufügen.

Von dieser Freiheit werden wir im folgenden Gebrauch zu machen haben.

III. Das Perpetuum mobile zweiter Art.

Der zweite Hauptsatz, zu dessen Beweis wir nun übergehen, ist ebenso wie der erste ein Erklärungsatz. Dies kommt bei dem ersten Hauptsatz deutlich dadurch zum Ausdruck, daß man von der durch unzweifelhafte Erfahrung gesicherten Tatsache ausgeht, daß ein Perpetuum mobile unmöglich ist. Ganz analog stellen wir an die Spitze des Beweises des zweiten Hauptsatzes ebenfalls einen Erklärungsatz. Ist dieser sowie die an ihn anschließende Deduktion richtig, so ist es auch der an ihn folgende zweite Hauptsatz: weil letzterer durch nachstehende vermittelte Erklärung widerlegt, so muß also jener ebenfalls falsch sein.

Solcher Natur sind von verschiedenen Physikern mehrere aufgestellt worden, die natürlich nicht unabhängig voneinander sein können.

Knüpft wir an unser Beispiel in Nummer II an, so wir folgenden Prozeß betrachtet haben: Ein Körper von der Masse M sollte seiner Umgebung ein bestimmtes Quantum Wärme entziehen und entsprechend in die Höhe steigen. Obwohl dies nach dem Energieprinzip durchaus möglich wäre, beschreiben wir einen solchen Vorgang nie. Vermehren wir also die Charakteristika an diesem Prozeß freisetzen, so liegt es in folgendem: Bei dem geachteten Versuch haben wir einen Vorgang vor uns, dessen Gesamteffekt (d. h. alle in der Natur durch ihn hervorgerufenen Änderungen mitgerechnet) darin besteht, daß ein Wärmereservoir (in unserem Beispiel die Erde oder auch der Körper selbst) Wärme abgegeben hat und eine dementsprechende Arbeit geleistet worden ist (in unserem Beispiel durch Hebung des Körpers auf eine bestimmte Höhe).

William Thomson hat diesen Sachverhalt in folgender Weise zusammengefaßt:

„Es gibt in der Natur keinen Vorgang, dessen Gesamteffekt die Abkühlung eines Wärmereservoirs und die äquivalente Hebung einer Last ist.“

Einen ganz ähnlichen Satz benutzt auch Planck bei seinem Beweis des zweiten Hauptsatzes. Der Satz heißt wörtlich wie oben, jedoch (wie natürlich erwartet) Prozedé eines Thomson-Planckschen Wärmes.

Eine etwas andere Formulierung hat (vor Thomson) Rudolf Clausius gegeben; sein Grundsatz lautet:

„Wärme kann aus sich selbst von niedriger zu höherer Temperatur übergehen.“

Dieser Satz klingt zunächst sehr viel einleuchtender, als der Thomson-Plancksche. Das liegt wesentlich daran, daß man unmittelbar an die Wärmeleitung denkt, bei der ja in der Tat die Wärme immer von höherer zu niedriger Temperatur übergeht, d. h. im Sinne des Ausgleiches. Wenn jedoch weiter nichts mit dem Clausiusschen Satze gesagt werden sollte, als daß bei seiner Wärmeleitung die Wärme nicht entgegen dem Sinne des Ausgleiches übergehen könne, so wäre er trivial und überflüssig; trivial, weil das geschilderte Verhalten der Wärme bei Wärmeleitung selbstverständlich ist und schon durch die Definition der Temperatur folgt, überflüssig, weil aus einem solchen Satze keine neuen physikalischen Ergebnisse gefolgert werden könnten. Der Clausiussche Satz besagt aber in Wirklichkeit noch viel mehr. Es soll nämlich danach in der ganzen Natur keinen Prozeß geben, mit welchem Hilfsmitteln es auch immer ausgeführt werden mag, das einem kälteren Wärmereservoir eine positive Warmemenge entzieht und einem heißeren diese nämliche Warmemenge zuführt; „von selbst“, d. h. ohne daß gleichzeitig irgendwelche andere Änderungen in der Natur ausbleiben. Demnach läßt sich unmöglich hingestelltes Prozedé wollen wir einen Clausiusschen Wärmes.

Daß eine positive Warmemenge $Q_1 = -Q_2$ einem kälteren Reservoir entzogen und eine andere $Q_2' = -Q_1$ einem wärmeren zugeführt wird, wird ja schon durch den indirekten Carnotschen Prozeß geleistet. Aber dabei wird zudem an das höher temperierte Reservoir eine größere Warmemenge abgegeben als dem unteren entnommen wurde, und weilens ist also dieser Differenz $Q_1' - Q_2 = -(Q_1 + Q_2) = d$ äquivalente Arbeit von außen geleistet worden. Beim umgekehrten Carnotschen Prozeß gehen also außer dem, was der Clausiussche Prozeß verlangt, noch folgende Änderungen in der Natur vor sich: Es ist eine positive Arbeit geleistet worden und ein Wärmereservoir hat eine äquivalente Warmemenge aufgenommen. Um diese letzteren Veränderungen aber so vollständig zu machen, daß wieder nichts in der Natur ausbleibt, bedürfte es gerade wieder einer Vorrichtung, die nichts weiter bewirkt, als die Abkühlung eines Wärmereservoirs und die (äquivalente) Hebung einer Last, d. h. die Zurückgewinnung der ge-

hätten Arbeit. Dieses letztere Vorrichtung wurde aber dann einem Thomson'schen Prozeß ausgetauscht, was wir eben für unmöglich erklärt haben.

Man erkennt aus dieser Darlegung sowohl den wahren Sinn des Clausius'schen Satzes, als auch auch den Zusammenhang desselben mit dem Thomson-Planckschen. Der Thomson'sche Satz ergibt sich offenbar durch eine Kombination eines Clausius'schen Prozesses mit einem geeigneten Carnot'schen. Diese Überlegung wollen wir im folgenden auch noch analytisch durchführen.

Um uns dabei besser ausdrücken zu können, wollen wir uns zwei Symbole bedienen, die von Carl Neumann in sehr glücklicher Weise geschaffen worden ist. Wenn ein Wärmereservoir $R_1(T_1)$, d.h. ein solches unendlich großes Reservoir, das dauernd die Temperatur T_1 besitzt, eine Wärmemenge Q_1 abgibt, so werde dies angedeutet durch die Zeichen:

$$R_1(T_1)^{+Q_1} \quad \text{oder kurz} \quad R_1^{+Q_1}.$$

Was die von außen geleistete Arbeit A angeht, so muß derselbe von irgend einem mechanischen System geleistet werden, das wir Σ setzen wollen; demgemäß bedeutet

$$\Sigma^{+A}$$

im folgenden, daß ein gegebenes System die Arbeit A geleistet hat.

In dieser Symbolik können wir nun die Ergebnisse der obigen oder inkohärenten Carnot'schen Ketteprozesse folgendermaßen schreiben:

$$(1) \text{ Carnot'scher Prozeß: } R_1(T_1)^{+Q_1} R_2(T_2)^{-Q_1} \Sigma^{+Q_1 \frac{T_2 - T_1}{T_1}},$$

wobei gleichzeitig auch (1) gilt:

$$(2) \quad \frac{Q_1}{T_1} + \frac{Q_2}{T_2} = 0.$$

Das ideale Gas, mit dem der Prozeß ausgeführt wird, braucht im Endzustand natürlich nicht mehr ermittel zu werden, da es wieder im Anfangszustand ist, also keine bleibenden Änderungen erfährt.

In genau derselben Weise läßt sich der Thomson-Plancksche Prozeß formulieren:

$$(3) \text{ Thomson-Planckscher Prozeß: } R(T)^{+Q} \Sigma^{+Q}; \quad Q > 0,$$

und schließlich der Clausius'sche, wenn R_2 und R_1 ein kälteres und ein heißeres Reservoir bedeuten:

$$(4) \text{ Clausius'scher Prozeß: } R_2^{+Q} R_1^{-Q}; \quad Q > 0.$$

Die durch (1) und (3) definierten Vorgänge sind oben für unmöglich erklärt worden.

Wir wollen jetzt direkt durch Rechnung zeigen, daß die Unmöglichkeit der Umkehrleitung des Clausius'schen Prozesses die des Thomson'schen nach sich zieht und umgekehrt, so daß beide in Hinsicht auf ihre Lösung beide Bereiche des zweiten Hauptsatzes als völlig gleichwertig zu betrachten sind.

Zu diesem Zwecke betrachten wir die beiden Reservoire $R_1(T_1)$ und $R_2(T_2)$, wo $T_1 > T_2$ ist, die in Gl. (6) des Clausius'schen Prozesses beteiligt werden, um unter Hinzunahme eines geeigneten mechanischen Systems Σ mit einem beliebigen idealen Gas nach einem Carnot'schen Prozeß anzufahren, wobei dem wärmeren Reservoir R_1 die Wärmemenge w_1 , dem kälteren R_2 die Wärmemenge w_2 entzogen und von Σ die Arbeit $- (w_1 + w_2)$ geleistet werden mag; dabei sind w_1 und w_2 an die Balance (8) gebunden, und wir haben noch die Freiheit, eine beliebige Gleichung zur Bestimmung von w_1 und w_2 hinzuzufügen. Wir haben so: erstens einen Clausius'schen Prozeß nach (6):

$$R_1^{m-1} R_2^{n-1} \sum \sigma^m, \quad Q > 0;$$

zweitens einen Carnot'schen Kreisprozeß nach (8):

$$R_1^{m-1} R_2^{n-1} \sum \sigma^{-m+n}, \quad \frac{w_1}{T_1} + \frac{w_2}{T_2} = 0.$$

Der Gesamtprozeß beider Prozesse kann durch die Formel dargestellt werden:

$$(7) \quad \text{Clausius + Carnot:} \quad R_1(T_1)^{m-1+n} R_2(T_2)^{n-1} \sum \sigma^{-m+n},$$

und man kann wir noch die folgende Gleichung für w_1 verschreiben:

$$(8) \quad -Q + w_1 = 0,$$

wobei (7) oberhalb in:

$$(9) \quad R_1(T_1)^{m-1} R_2(T_2)^{n-1} \sum \sigma^{-m+n}.$$

Wenn wir jetzt w_1 und w_2 aus (8) und (9) berechnen:

$$(10) \quad \begin{cases} w_1 = Q; & w_2 = -\frac{Q T_2}{T_1}, \\ w_1 + w_2 = Q \left(1 - \frac{T_2}{T_1}\right), \end{cases}$$

so folgt für den Gesamtprozeß Clausius + Carnot:

$$(11) \quad R_1(T_1)^{m-1} \left(1 - \frac{T_2}{T_1}\right) \sum \sigma^{-m-1} \left(1 - \frac{T_2}{T_1}\right).$$

Dabei ist $Q \left(1 - \frac{T_2}{T_1}\right) > 0$, weil Q als positiv und $T_2 < T_1$ vorausgesetzt worden ist. Dann aber ist nach Gl. (9) der durch (11) definierte Vorgang ein Thomson-Planckscher Prozeß. Es ergibt sich also das Resultat: Ist der Clausius'sche Prozeß möglich (oder unmöglich), so ist es auch der Thomson-Plancksche. In genau derselben Weise,

läßt sich umgekehrt zeigen: Ist der Thomson-Plancksche Prozeß möglich (oder unmöglich), so ist es auch der Clausiusische. Weichen die beiden Sätze wie also zum Beweise des zweiten Hauptsatzes verwendet werden, ist gleichgültig.

Ein Thomson-scher Prozeß ist offensichtlich, wie wir dies auch im vorhergehenden mehrfach betont haben, mit dem Energieprinzip völlig im Einklang; er stellt keineswegs ein Perpetuum mobile dar. Dennoch würde die Möglichkeit von einer Maschine, die einen Thomson-schen Prozeß ausführen könnte, denselben Vorteil haben, wie von einem Perpetuum mobile. Denn mit einer solchen Maschine könnte man z. B. dem Meer oder der Erde oder der Atmosphäre die ihnen innewohnende ungeheure Wärmeenergie entziehen und in Arbeit verwandeln, d. h. beständige Arbeit gewinnen. Deshalb hat Ginzburg den Thomson-schen Prozeß inoffiziell ein „Perpetuum mobile zweiter Art“ genannt; das eigentliche Perpetuum mobile wird dann am geordneten deutlich durch den Zusatz „zweiter Art“ davon unterschieden. Inwieweit wollen wir an die spätere unumgängliche Erwähnung des Satz stellen: „Ein Perpetuum mobile zweiter Art ist unmöglich!“¹⁾

34. Die Clausius'sche Darstellung: der zweite Hauptsatz.

Wir wollen jetzt mit einer beliebigen Substanz, deren Zustand von einer endlichen, aber beliebigen Zahl abhängiger Koordinaten abhängt, mit Hilfe von n Reservoiren R_1, R_2, \dots, R_n , der Temperatur T_1, T_2, \dots, T_n , haben lassen, und einen mechanischen System Σ einen Kreisprozeß vollziehen. Derselbe soll keineswegs als ein quasistatischer Vorgang gestaltet werden, der wieder rückgängig gemacht werden könnte, in diesem Falle müßten ja unter andern die Temperaturen T_1 bei T_1 der Reservoire gleichzeitig die jeweiligen Kreisprozesstemperaturen von Σ mit unendlich kleinen²⁾ Variationen der Kreisprozeß ganz beliebig-ger Art sein, also z. B. beliebig stark variieren können.

Jedenfalls können wir eine Bilanzgleichung so schreiben:

$$(14) \quad R_1^{Q_1} R_2^{Q_2} R_3^{Q_3} \dots R_n^{Q_n} \sum R_i^{Q_i} \sum^{Q_i} = 0.$$

Es handelt sich jetzt um die Frage, ob zwischen den Wärmemengen Q_i irgendwelche Relationen bestehen. (Nach der Stofftheorie der Wärme ist dies notwendig der Fall, und zwar ist offenbar $\sum Q_i = 0$.) Um nun diese vermutete Relation zu finden, bedienen wir uns auch dem Vorgangs Q . Kirchhoffs einer Anzahl quasistatischer Carnotscher Kreisprozesse, die wir (ganz ähnlich wie in der vorigen Nummer) mit unserem allgemeinen Kreisprozess (14) kombinieren. Es ist wichtig, sich klarzumachen, daß die Benutzung quasistatischer Kreisprozesse keinerlei Einschränkung des Prozesses (14) bedeutet. Dieser

¹⁾ Über die Stellung der kirchhoffschen Theorie zu diesem Satze vgl. man die Kap. IX und X, insbesondere No. 118.

ist vielmehr ganz beliebiger Art, wie schon betont, und die Trennung von quasistatischen Hilfsprozessen ist lediglich ein theoretisches Kunststück, mittels dessen gewisse bei dem betrachteten Kreisprozesse (12) stattfindende Relationen gefunden werden sollen (und können).

Wir kombinieren nun $(n-1)$ Carnotsche Kreisprozesse mit einem Prozess (12), indem wir der Reihe nach die Reserviere P_1 und P_2 , P_2 und P_3 , schließlich P_{n-1} und P_n als die beiden Reserviere benutzen, die zur Führung eines Carnot-Prozesses benötigt werden; als mechanisches System Σ dient stets das beim Prozess (12) verwendete. Das Schema der $(n-1)$ Carnotschen Kreisprozesse lautet also:

$$(13) \quad \left\{ \begin{array}{ll} C_1: R_1^{(n-1)} & R_1^{(n-1)} \quad \Sigma^{n-(n-1)+n-1} \\ C_2: & R_2^{(n-2)} & R_2^{(n-2)} \quad \Sigma^{n-(n-2)+n-2} \\ C_3: & & R_3^{(n-3)} & R_3^{(n-3)} \quad \Sigma^{n-(n-3)+n-3} \\ \dots & \dots & \dots & \dots \\ C_{n-1}: & & & R_{n-1}^{(1)} & R_{n-1}^{(1)} \quad \Sigma^{n-(n-1)+n-1} \end{array} \right.$$

Die Kombination des algebraischen Kreisprozesses (12) mit diesen in (13) benutzten Carnotschen liefert dann folgendes Gesamtergebnis:

$$(14) \quad \left\{ \begin{array}{l} R_1^{(n-1)} R_2^{(n-2)} R_3^{(n-3)} \dots \\ \dots \dots R_{n-1}^{(1)} R_2^{(n-2)} R_3^{(n-3)} \\ \Sigma^{n-1} [n + (n-1) + (n-2) + (n-3) + \dots + (n-1) + n-1] \end{array} \right.$$

Dabei sind, nach unserem Hilfssatz von Nummer 13, die $w_i^{(j)}$ ganz beliebige Größen, die nur den folgenden Gleichungen genügen:

$$(15) \quad \left\{ \begin{array}{l} \frac{w_1^{(1)}}{P_1} + \frac{w_2^{(1)}}{P_1} = 0 \\ \frac{w_2^{(2)}}{P_2} + \frac{w_3^{(2)}}{P_2} = 0 \\ \dots \dots \dots \\ \frac{w_{n-1}^{(n-1)}}{P_{n-1}} + \frac{w_n^{(n-1)}}{P_n} = 0. \end{array} \right.$$

Wir können nun, wie schon mehrfach hervorgehoben und auch schon in Nr. 98 betont ist, zur vollkommenen Bestimmung der $w_i^{(j)}$ noch $(n-1)$ Relationen hinzufügen, und wir wählen diese so, daß die insgesamt von den $(n-1)$ ersten Reservieren gemäß (14) gebildeten Wärmeströme verschwinden. D. h. wir schreiben vor:

Es gilt für jeden beliebigen Kreisprozeß, selbst im dem Falle, daß die Zahl n des Reservoirs ins Unendliche wächst; dabei gehen die Wärmemengen Q , über in die Differentiale dQ , die Summe wird zu einem Integral, und es wird nach (29):

$$(34) \quad \int \frac{dQ}{T} \geq 0,$$

das Integral erstreckt über sämtliche Reservoirs.

Es ist daran festzuhalten, daß die Temperaturen T , in (34) bzw. T in (31) im allgemeinen nicht die Temperaturen des arbeitenden Körpers sind, sondern die der Reservoirs. Im allgemeinen Falle besteht zwischen beiden Arten von Temperaturen keinerlei Zusammenhang, weil der Kreisprozeß (12) ja ganz beliebig ist und keinerlei als quantitativ vorausgesetzt wurde. Auch die Größen Q , bzw. dQ lassen sich auf die Reservoirs beziehen: es sind die von ihnen abgegebenen Wärmemengen. Bei einem ganz beliebigen Kreisprozesse beziehen auch also alle Größen der Gleichungen (28) bzw. (31) ausschließlich auf die Reservoirs, nicht auf die Substanz, die den Prozeß ausführt.

Sie wenn der Zyklus (18) quantitativ ist, wissen die Temperaturen T , in (30) bzw. T in (31) mit denen der arbeitenden Substanz jeweils übereinstimmen, und wir können sie abdam als die Temperaturen des arbeitenden Körpers bezeichnen, bei denen dieser die Wärmemengen Q , bzw. dQ aufnimmt. Berechnet man jetzt auch die Q , bzw. dQ als die von der arbeitenden Substanz aufgenommenen Wärmemengen, so kann man im Falle eines quantitativischen Prozesses sämtliche Größen in den Gleichungen (30) und (31) auf die arbeitende Substanz beziehen, und von dem Reservoirraum ist nicht mehr die Rede. Demzufolge hat die große Bedeutung, die quantitative Kreisprozesse in der Theorie des zweiten Hauptsatzes haben, und die Fruchtbarkeit derselben für solche Prozesse.

Nun läßt sich über ein quantitativischer Kreisprozeß stets im umgekehrten Sinne durchlaufen, wobei sich nur die Vorzeichen der Wärmemengen und der Arbeit ändern. Lassen wir jetzt den als quantitativ betrachteten Zyklus (18) umgekehrt gehen, so führt genau dieselbe Argumentation zu der folgenden Relation für die Wärmemengen Q , bzw. dQ :

$$(35) \quad - \int \frac{dQ}{T} \geq 0 \quad \text{oder} \quad \int \frac{dQ}{T} \leq 0.$$

Da gleichzeitig (31) und (36) gelten müssen, so kann für quantitativische Prozesse nur das Gleichheitszeichen gelten. Wir haben also das Satz:

„Für einen im übrigen beliebigen quantitativischen Kreisprozeß gilt die Relation:

$$(36) \quad \int \frac{dQ}{T} = 0.$$

we das Integral über den ganzen Proceß zu erstrecken ist²². Der größten Deutlichkeit halber heissen wir es $d'Q$ den Index „rev“ angesetzt.

Denken wir uns nun den Kreisproceß von einem Zustande (1) über einen Zustand A nach einem Zustande (2), und von da über einen Zustand B wieder nach (1) zurückgeführt, so können wir (26) aufschreiben:

$$(A) \int_{(1)}^{(2)} \frac{d'Q_{\text{rev}}}{T} + (B) \int_{(2)}^{(1)} \frac{d'Q_{\text{rev}}}{T} = 0,$$

oder, wenn wir die Grenzen zu zweiten Integrale vertauschen:

$$(24) \quad (A) \int_{(1)}^{(2)} \frac{d'Q_{\text{rev}}}{T} = (B) \int_{(1)}^{(2)} \frac{d'Q_{\text{rev}}}{T},$$

d. h. das von (1) nach (2) auf den beiden Wegen erstreckte Integral hat den nämlichen Wert, ist also unabhängig vom Wege und nur abhängig vom Zustande der arbeitenden Substanz in (1) und (2). Wir können also, wenn X eine Funktion des augenblicklichen Zustandes bedeutet, Gl. (24) schreiben:

$$(25) \quad X_2 - X_1 = \int_{(1)}^{(2)} \frac{d'Q_{\text{rev}}}{T},$$

oder auch

$$(26) \quad dX = \frac{d'Q_{\text{rev}}}{T}.$$

Beide Gleichungen sagen uns:

„Es existiert eine Funktion X des augenblicklichen Zustandes, d. h. eine solche, die nur von den Zustandsvariablen des Systems abhängt, deren totales Differential gleich der bei einer quasistatischen Änderung des Systems aufgenommenen unendlich kleinen Wärmemenge $d'Q_{\text{rev}}$ dividirt durch die Aufnahmetemperatur T ist.“

Oder anders formulirt:

„Während nach dem ersten Hauptsatz die quasistatisch aufgenommene Wärmemenge $d'Q_{\text{rev}}$ im allgemeinen kein totales Differential ist — erst die Summe von $d'Q$ und $d'A$ ist ein solches —, ist $\frac{d'Q_{\text{rev}}}{T}$ das totale Differential einer reinen Zustandsfunktion.“

Die Gleichungen (25) und (26) sprechen den zweiten Hauptsatz der Wärmetheorie aus.

Die Funktion S nennen wir nach Clausius die „Entropiefunktion“ und ihren Wert für einen gegebenen Körper in einem bestimmten Zustande die „Entropie“ dieses Körpers in dem gewählten Zustande.

Clausius hat den Ausdruck $\left(\frac{dQ_{\text{rev}}}{T}\right)$ als „reduzierte Wärmemenge“ bezeichnet; dann kann man den zweiten Hauptsatz auch dahin aussprechen, „daß die Summe der reduzierten Wärmemengen bei einem quasistatischen Kreisprozesse gleich Null ist“, — statt, wie es nach der Stofftheorie der Fall sein sollte, die Summe der Wärmemengen selbst.

55. Die Berechnung der Entropie: Anwendung auf den Gay-Lussacschen Versuch und die Diffusion zweier Gase.

Es ist nach (35) und (36) klar, daß die Entropie einer bestimmten Substanz in einem bestimmten Zustande nur bis auf eine Konstante definiert ist, oder, was auf dasselbe hinauskommt, man hat es immer nur mit Entropiedifferenzen zweier Zustände, nie mit dem absoluten Wert derselben in einem Zustande zu tun — genau so, wie es bei der Energiefunktion auch der Fall ist. Man kann daher so verfahren, daß man für einen beliebig gewählten Zustand eines Körpers die Entropie gleich einer Konstanten setzt und nur die Differenzen aller anderen Zustände relativ zu diesem „Normalzustande“ angibt.

Um die Entropie eines beliebigen Zustandes zu berechnen, muß man gemäß der Definition (35) oder (36) die Substanz auf einem quasistatischen Wege — auf welchem ist gleichgültig — vom Normalzustand in denjenigen überführen, für den die Berechnung geschehen soll. Es ist durchaus wesentlich und notwendig, daß diese Überführung quasistatisch geschieht. Denn es gilt bekanntlich die Gleichung:

$$dS = \frac{dQ}{T},$$

wo dQ eine etwa auf dem wirklichen Wege, der ja im allgemeinen nicht quasistatisch ist, aufgenommenen Wärmemenge bedeutet. Z. B. kann es ja in Wirklichkeit sehr gut vorkommen, daß eine Substanz, die sich im Normalzustande befindet, ohne jede Wärmefreisetzung in einen andern Zustand übergeht, und man müßte dann, wenn die letzte Gleichung allgemein richtig wäre, schließen, daß gar keine Entropieänderung aufgetreten wäre. Das ist z. B. der Fall bei dem in Nr. 52 besprochenen Gay-Lussacschen Versuch, bei dem sich ein Gas ohne Leistung solcher Arbeit und ohne Wärmefreisetzung auf ein größeres Volumen ausdehnt. Hier tritt in Wirklichkeit eine Entropieänderung auf, und man kann sie berechnen, wenn man das Gas mit einem Anfangszustande quasistatisch in seinen Endzustand überführt, was wir nachher ausführen wollen. Dabei wird nun in der Tat Wärme dQ_{rev} zugeführt, und diese ist nach (36)

der Bedingung zugrunde zu legen, steht aber die beim wirklichen Vorgang zugeführte, die ja klar gleich Null ist.

Ein ganz analoges Beispiel ist die Diffusion zweier idealen Gase. Auch sie geht in der Natur ohne alle tatsächliche Wärmezufuhr vor sich, also ist $d'Q = 0$ bei alle Stadien des Diffusionsprozesses. Aber zur Berechnung der Entropieänderung vor und nach der Diffusion darf nicht dieses (verschwindende) $d'Q$ benutzt werden, sondern ja wieder folgen wurde, daß die Diffusion ohne Entropieänderung vor sich geht, sondern man muß wieder den Vorgang der Diffusion quantitativ folgen, und dazu ist Bestimmung von Null verschiedener Wärmeeinheiten $d'Q_{\text{ext}}$ notwendig.

Man erkennt aus dieser Überlegung, daß die Bedingung $N = \text{const.}$ identisch mit der eines adiabatischen quasistatischen Vorganges ist. Deshalb nennt man die adiabatischen Prozesse auch vielfach „entropische“. Ferner ist es klar, daß die früher [Kap. II, Gl. (51) und (51a) auf pag. 168 ff.] von uns für ein ideales Gas gefundene Bedingung der Adiabate mit der Konstanz der gleich zu bestimmenden Entropie eines idealen Gases identisch sein muß.

Wir können nun nach dem ersten Hauptsatz einen bestimmten Wert für $d'Q_{\text{ext}}$ angeben. Es ist ja nach der-Form:

$$(25) \quad d'Q_{\text{ext}} = dU + p dV,$$

während für eine nicht quasistatisch angeführte Wärmeeinheit gilt:

$$d'Q = dU - d'A.$$

In Gl. (25) ist p der dem äußeren Drucke immer durch die betrieblichen Verluste. Wir können also (25) und (27) verbunden und haben dann folgende, allgemein geltende und der folgenden Definition völlig äquivalente Normierung:

$$(26) \quad \left\{ \begin{array}{l} dS = \frac{dU + p dV}{T}, \\ S_2 - S_1 = \int_1^2 \frac{dU + p dV}{T}. \end{array} \right.$$

In den Gleichungen (26) ist natürlich vorausgesetzt, daß die Arbeit lediglich in der des äußeren Druckes besteht; es ist indessen leicht, sie zu verallgemeinern für den Fall, daß der Zustand des Körpers außer von T noch von n Koordinaten a_1, \dots, a_n abhängig ist. In diesem Falle ist ja stets, wie in Nr. 22 und 23 besprochen:

$$d'A = - \sum_{i=1}^n X_i da_i,$$

wo die Größen X_i die (verallgemeinerten) Kraftkomponenten sind. Dieser Ansatz entspricht sich, wie schon früher erwähnt, von dem in der Mechanik ähnlich lediglich durch das Vorzeichen, das wir so gewählt

haben, was mit der symplektischen Gleichung $\delta A = -p \delta V$ in Einklang zu stehen. Deshalb und unter dem X_0 die Kräfte zu verstehen, die die Koordinaten x_i zu verkleinern (just wie in der Mechanik zu vergrößern) bestrahlt sind.

Als allgemeine Definition von δS bzw. $S_2 - S_1$ erhält man also jetzt:

$$(38a) \quad \left\{ \begin{array}{l} \delta S = - \frac{\sum_i p_i \delta x_i}{T} \\ S_2 - S_1 = \int_1^2 \frac{dU + \sum_i X_i dx_i}{T} \end{array} \right.$$

Wir beschäftigen uns jetzt im allgemeinen mit dem einfachen Fall, der durch Gl. (38) beschrieben ist, bemerken aber ausdrücklich am hier alle mal, daß die Verallgemeinerung zu folgendem stets möglich ist.

Wir können also δS beschreiben, wenn wir p (bzw. X_i) und U als Funktion der Zustandsvariablen kennen, d. h. wenn Zustandsgleichung und Energiegleichung gegeben sind.

Dies ist zunächst nur für ein ideales Gas der Fall, und für ein solches wollen wir die Berechnung der Entropie jetzt vornehmen. Wir haben bekanntlich:

$$p = \frac{R}{v} \cdot \frac{T}{v}, \quad T = M/c, \quad T + \text{Const.},$$

wobei M die Masse, m das Molekulargewicht, T die absolute Temperatur, $v = \frac{V}{\mu}$ das spezifische Volumen, des Gases bedeuten. Dann finden wir nach der ersten Gl. (38):

$$\delta S = \frac{M \cdot c \cdot T + \frac{R M T}{v} \delta T}{T^2},$$

was integriert ergibt:

$$S = M \left\{ c_p \log T + \frac{R}{m} \log v \right\} + \text{Const.}$$

Setzen wir noch $T = M \cdot v$, so können wir noch aus $\log T = \log v + \log M$ den konstanten Wert $\log M$ abspalten und mit der andern Konstanten vereinigen, so daß schließlich für die Entropie eines idealen Gases in den Variablen T und v folgt:

$$(39) \quad S = M \left\{ c_p \log T + \frac{R}{m} \log v \right\} + \text{Const.}$$

Setzt man $S = \text{Const.}$, so ist das in der Tat, abgesehen von irrelevanten Konstanten, die Bedingung der Adiabate für ein ideales Gas, wie wir sie in Gl. (31) des II. Kap. auf pag. 108 gefunden haben.

Man sieht hier klarer deutlich, daß $S(p, T)$ eine reine Zustandsfunktion ist, wie es nach der allgemeinen Theorie des Falles sein muß. Man sieht zugleich, was man übrigens allgemein auch aus (38) entnehmen kann,

daß die Entropie proportional der Masse M ist, d. h. als Produkt der Entropie der Masseneinheit und der Masse dargestellt werden kann. Den Wert

$$(55) \quad \frac{S}{M} = s,$$

d. h. eben die Entropie der Masseneinheit, nennen wir die „spezifische Entropie“. Allgemein können wir also sagen, daß die Gesamtentropie eines gleich temperierten Körpers sich durch Addition der Entropien der Masseneinheiten ergibt, die er enthält: ebenso ist die Gesamtentropie eines Körpersystems gleich der Summe der Entropien der einzelnen Körper des Systems. Die Entropie ist mit anderen Worten, ebenso wie die Energie, eine additive Eigenschaft. Diese Behauptung gilt allerdings nicht ohne Einschränkung. Es gibt Fälle — wir kommen bei den Interferenzerscheinungen in der Optik darauf zurück —, wo die Entropie des Systems nicht gleich der Summe der Einzelentropien ist. Wenn dies liegt, wird dann erwartet werden, die Mittel dazu kann erst die kinetische Theorie der Materie liefern, die den Zusammenhang mit der Wahrscheinlichkeit eines Zustandes in Beziehung bringt¹⁾. Hier sei diese kurze Andeutung genügen, um zu zeigen, wie man zeigen kann, daß wir es nur mit Fällen zu tun haben, in denen die Additivität der Entropie gebrochen ist.

Wir wollen jetzt nach (55) die Entropieänderung berechnen, die eintritt, wenn ein Gas von der Masse M , der Anfangstemperatur T , dem Anfangsvolumen $V_1 = M v_1$, sich einer Massen- und adiabaten Ausdehnung auf das Volumen $V_2 = M v_2$ unterwirft. Dabei bleibt, weil es sich um einen idealen Gas zu tun haben, die Temperatur konstant. Der Anfangszustand ist also durch die Werte (T, v_1) , der Endzustand aber h (T, v_2) der unabhängigen Variablen bestimmt. Im Anfangszustand ist nach (55) die Entropie S_1 :

$$(56) \quad S_1 = M \left\{ c_v \log T + \frac{R}{v_1} \log v_1 \right\} + \text{Const.}$$

Im Endzustand ist entsprechend:

$$(57) \quad S_2 = M \left\{ c_v \log T + \frac{R}{v_2} \log v_2 \right\} + \text{Const.},$$

also die Entropieänderung beim Gay-Lussac-Prozess:

$$(58) \quad S_2 - S_1 = \frac{R}{v_1} \log \frac{v_2}{v_1} = R n \log \frac{v_2}{v_1},$$

wobei $\frac{M}{v_1} = n$ die Anzahl der Gasmoleküle ist, die in der Masse M enthalten sind. Da $v_2 > v_1$ ist, so tritt durch den Gay-Lussac-Prozess eine Entropievermehrung ein.

Hier haben wir uns von der fertigen Formel (55) für die Entropie befreit, indem, die durch spezielle Anwendung von (55) auf ideale Gase

¹⁾ Vgl. hierzu die Betrachtungen in Nr. 66.

germanen wurde und implizite einen quasistatischen Prozeß voraussetzt. Wir wurden dadurch der Notwendigkeit überhoben, uns einen speziellen quasistatischen Prozeß, der das Gas aus seinem Anfangszustande in seinen Endzustand überführt, auszudenken und in allen Einzelheiten zu berechnen. Es wird jedoch natürlich sein, zu zeigen, daß man durch wirkliche Berechnung eines quasistatischen Weges vom Anfangszustand zum Endzustand immer genau das Resultat (38) erhält, wie es die allgemeine Theorie verlangt.

Wir können z. B. das Gas vom Zustande (T_1) quasistatisch in den Zustand (T_2) auf isothermem Wege führen, indem wir es gegen einen Druck Arbeit leisten lassen, der dem jeweiligen inneren Drucke gleich ist. Dann haben wir nach dem ersten Hauptsatz:

$$M c_v dT = dQ_{\text{isot}} = \frac{RT}{M} dV;$$

also ist speziell, da $dT = 0$ ist:

$$dQ_{\text{isot}} = \frac{RT}{M} \frac{dV}{V} = \frac{R}{\gamma} \frac{T}{V} dV,$$

also:

$$\frac{dQ_{\text{isot}}}{T} = \frac{R}{\gamma} \frac{dV}{V}$$

und folglich:

$$(39) \quad S_2 - S_1 = \int_1^2 \frac{dQ_{\text{isot}}}{T} = R \ln \frac{V_2}{V_1},$$

ganz übereinstimmend mit (38).

Wir können natürlich auch anders verfahren. Wir können das Gas vom Zustande (T_1) ausgehend zuerst adiabatisch-quasistatisch bis zum Volumen V_2 ausdehnen, wobei die Temperatur auf einen T' sinken möge; dann können wir bei konstantem Volumen V_2 Wärme zuführen, bis die Temperatur wieder T geworden ist. Die Summe über sämtliche $\frac{dQ_{\text{isot}}}{T}$ muß dann wieder den alten Wert ergeben. Die adiabatische Ausdehnung liefert keinen Beitrag zu der genannten Summe, da für sie $dQ_{\text{isot}} = 0$ ist; es kommt also nur die isothermische Wärmezufuhr in Frage. Dasselbe ist, da jetzt $\gamma dT = 0$ ist, offenbar gleich:

$$dU = M c_v dT = dQ_{\text{isot}};$$

also muß sein:

$$S_2 - S_1 = \int_1^2 \frac{dQ_{\text{isot}}}{T} = M c_v \log \frac{T}{T'}.$$

T' ergibt sich daraus, daß die Zustände (T_1, V_1) und (T', V_2) durch eine adiabatische Zustandsänderung miteinander hervorgehen; also:

$$T V_1^{\gamma-1} = T' V_2^{\gamma-1};$$

dieser wird:

$$S_1 - S_2 = M c_v \log \left(\frac{S_1}{S_2} \right)^{\gamma-1} = M c_v (\gamma - 1) \log \frac{S_1}{S_2} = M c_v \left(\frac{\gamma}{\gamma-1} - 1 \right) \log \frac{S_1}{S_2},$$

und da $\frac{R}{\gamma-1} = c_p - c_v$ ist:

$$(34a) \quad S_1 - S_2 = \frac{R M}{\gamma} \log \frac{S_1}{S_2} = R \log \frac{S_1}{S_2},$$

wiederum völlig übereinstimmend mit (33) und (34).

Demnach verhält es sich mit der Mischung zweier verschiedener idealen Gase. Es seien also M_1 und M_2 die Massen, m_1 und m_2 die Molekulargewichte, v_1' und v_2' die spezifischen Volumina, T die gemeinsame Temperatur; jedes habe ein Volumen V aus, so daß

$$(35) \quad \frac{V}{M_1} = v_1', \quad \frac{V}{M_2} = v_2' \quad \text{ist.}$$

Nach (29) und (33) ist die Gesamtentropie beider getrennter Gase in diesem Zustand:

$$S_1 = M_1 \left\{ c_v \log T + \frac{R}{m_1} \log \frac{V}{M_1} \right\} + M_2 \left\{ c_v \log T + \frac{R}{m_2} \log \frac{V}{M_2} \right\} + \text{Const.},$$

oder, wenn die konstanten Glieder $(-k_1 M_1 - k_2 M_2)$ mit in die allgemeine Konstante eingerechnet werden:

$$(36) \quad S_1 = (M_1 c_v + M_2 c_v) \log T + R \left(\frac{M_1}{m_1} \log \frac{V}{M_1} + \frac{M_2}{m_2} \log \frac{V}{M_2} \right) + \text{Const.},$$

oder, da $\frac{M_1}{m_1} = n_1$ die Zahl der Mole des ersten, $\frac{M_2}{m_2} = n_2$ die Anzahl des zweiten Gases ist:

$$(37) \quad S_1 = (M_1 c_v + M_2 c_v) \log T + R (n_1 + n_2) \log V + \text{Const.}$$

Laufen wir nun beide Gase nebeneinander, so nimmt jedes die Gesamtentropie der Mischung S_1' ein, wodurch die spezifischen Volumina v_1'' und v_2'' werden:

$$(38a) \quad \frac{V}{M_1} = v_1'', \quad \frac{V}{M_2} = v_2'':$$

die Temperatur bleibt erhaltungsgemäß unverändert. Das jetzt entstandene Gasgemisch verhält sich nach S_2 , (2) wie ein chemisch einheitliches ideales Gas, nur tritt für das Molekulargewicht nach Gl. (32) des II. Kapitels, pag. 95 das sogenannte mittlere Molekulargewicht μ ein, das definiert ist durch:

$$\frac{M_1 + M_2}{\mu} = \frac{M_1}{m_1} + \frac{M_2}{m_2} = n_1 + n_2,$$

also:

$$(38) \quad \frac{1}{\mu} = \frac{n_1 + n_2}{M_1 + M_2}.$$

Ferner ist die Gesamtmasse der Mischung $(M_1 + M_2)$, das spezifische Volumen demnach $\frac{V}{M_1 + M_2}$; endlich ihre mittlere spezifische Wärme

bei konstantem Volumen $\frac{M_1 v_1 + M_2 v_2}{M_1 + M_2}$. Wir finden demgemäß nach (35) unter Berücksichtigung von (36) für die Entropie des Gemisches nach vollendeter Diffusion:

$$S_1 = (M_1 v_1 + M_2 v_2) \log T + R (v_1 + v_2) \log \frac{T}{M_1 + M_2} + \text{Const.},$$

oder, wenn wieder alle konstanten Glieder zusammengefaßt werden:

$$(37) \quad S_1 = (M_1 v_1 + M_2 v_2) \log T + R (v_1 + v_2) \log T + \text{Const.}$$

Aus (37) und (36) folgt durch Subtraktion für die Entropiemehrung durch Diffusion, wobei hier speziell jedes Gas sich auf das doppelte Volumen ausdehnt:

$$(38) \quad S_1 - S_0 = R (v_1 + v_2) \log 2T - R (v_1 + v_2) \log T = R (v_1 + v_2) \log 2.$$

Dies ist, ebenso wie beim Gay-Lussac-Process, eine Vermehrung der Entropie.

Bevor wir nachsehen, daß dieser selbe Wert sich ergibt, wenn wir die Diffusion graduell vor sich gehen lassen, wollen wir die Resultat (38) einer physikalischen Deutung unterwerfen. Wir können die Entropiemehrung durch Diffusion nach (38) schreiben:

$$(38a) \quad S_1 - S_0 = R v_1 \log 2 + R v_2 \log 2,$$

d. h. in zwei Teile zerlegt, von denen der erste nur von dem einen Gas abhängt, während sich der zweite nur auf das andere Gas bezieht. Das entspricht eben der Tatsache, daß bei Mischungen idealer Gase jedes Gas den ganzen Raum für sich ausfüllt, d. h. sich so verhält, als ob das andere nicht vorhanden wäre (Dalton'sches Gesetz). Bei unserem Spezialfall der Diffusion dehnt sich nun jedes Gas auf doppelte seines Volumens aus; da diese Ausdehnung für jedes Gas so geschieht, als ob das andere Gas nicht vorhanden wäre, kann man sie als eine adiabatische Ausdehnung des Volumens, d. h. als Ausdehnung ohne Arbeitsleistung, also schließlich als einen Gay-Lussac-Process auffassen. In der That: nach (34) würde bei dem Gay-Lussac-Process die Entropie des ersten Gases bei Volumenverdünnung $R v_1 \log 2$, die des zweiten $R v_2 \log 2$ betragen.

Wir können also die Diffusion zweier Gase wirklich als einen doppelten gleichzeitigen Process nach Gay-Lussac auffassen, die Entropiemehrung kommt also nur dadurch zustande, daß beide ein gebautes Volumen eingenommen haben, nicht durch die eigentliche Mischung. Willard Gibbs hat dies in dem Sinne formuliert (der geschilderte Sachverhalt verallgemeinert sich offenbar auf beliebig viele Gase): „Die Entropie eines idealen Gemengeflusses ist gleich der Summe derjenigen Entropien, die jedem Einzelgase eingenommen würden, wenn jedes das Volumen der Mischung besäße.“

Dieser Satz heißt das „Ölbuchsche Paradoxon“ aus folgenden Grunde: Es geht aus der gegebenen Darstellung hervor, daß bei der Diffusion zweier verschiedener Gase (zueinander stets eine Entropie-erhöhung eintritt, die wir der eine spezielle Anordnungsvertheil in Gl. (40) berechnet haben. Sie ist unabhängig von der chemischen Natur der verwendeten beiden Gase, wie gleichfalls aus (41) hervorgeht: Die Moleküle a_1 und a_2 der diffundierenden Gase und die äußeren Verdichtungen ungesättigter Moleküle, stets dieselben, müssen die Gase sich viel oder wenig voneinander unterscheiden. Man darf aber nicht — obwohl der Unterschied der diffundierenden Gase im obigen Maße sehr klein — zur Grenze Null übergehen, d. h. man darf nicht zwei identische Gase nehmen. Denn in diesem Falle paßt ja offensichtlich nichts, wenn man die ursprünglich zueinander den Gase vorhandene Teilungsgränz beseitigt. Das Paradoxon liegt eben darin, daß der Unterschied der Gase beliebig klein, aber nicht streng gleich Null sein darf. Es dokumentiert sich klein die Tatsache, daß die chemischen Eigenschaften der Materie sich geringfügig verändern, wie man z. B. am Molekulargewichte sieht, das keine streng verschwindende Größe ist.

Nach dieser Erkenntnisnahme sollen wir jetzt durch spezielle Berechnung einer bestimmten quantitativen Fokierung der Diffusion er-
halten, daß sich dadurch wirklich der Wert (40) wieder ergibt, wie es die allgemeine Theorie verlangt. Das Mittel, vermöge dessen die quantita-
tive Fokierung gelingt, ist eine sogenannte „semipermeable Wand“. Dieser besteht aus einer Wandung, die die Durchdringung beider, für das eine Gas völlig durchlässig, für das andere völlig undurchlässig zu sein. Solche Vorrichtungen existieren in der Natur tatsächlich. Es ist
beispielsweise Palladium für Wasserstoff durchlässig, für andere Gase nicht, freilich weder nicht in absolut vollkommener Weise. Aber ge-
nau ist eine ideale semipermeable Wand ein wissenschaftlicher Begriff, den wir als theoretisches Hilfsmittel ohne Bedenken verwenden können.

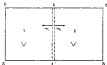


Fig. 11.

In Fig. 11 bedeutet $A B C D$ das Innere des Gefäßes vom Volumen $2V$ mit der Papierwand; das Gefäß sei in zwei gleiche Teile vom Volumen V

geteilt, links befindet sich das Gas 1, rechts das Gas 2. Die Trennungswand EF denken wir uns doppelt, d. h. aus zwei Wänden W_1 und W_2 hergestellt. Die links befindliche Wand W_1 sei durchlässig für das Gas 1 und undurchlässig für das Gas 2, umgekehrt sei W_2 durchlässig für das zweite, undurchlässig für das erste Gas. Es ist klar, daß die Konstanten von W_1 und W_2 unendlich klein für beide Gase λ_1 und λ_2 daher dann diesem klein, beide Gase gegeneinander abzusperren.

Rechts von der W_2 nach rechts, bis sie mit der Gefäßwandung CD zusammenstößt, so bleibt während dieses Vorganges das Gas 2 ganz unverändert, immer auf das rechte Volumen V beschränkt, da sich W_2 wegen der vollständigen Durchlässigkeit gegen Gas 2 durch dasselbe hindurchbewegt. Dagegen tritt Gas 1 jetzt durch W_1 hindurch und füllt daher in jedem Augenblicke den Raum zwischen AD und W_2 aus, schließlich also, wenn W_2 an der Gefäßwand CD angekommen ist, das ganze Volumen $2V$. Bei dieser Verdrängung wirkt auf die Wand W_1 lediglich der Druck p_1 des Gases von links her, während das Gas 2 keinerlei Kräfte auf W_2 ausüben kann. Haben wir daher den Druck p_1 des Gases 1 das Gleichgewicht durch einen gleichen Gegendruck, so läßt sich die beschriebene Bewegung vollkommen quasistatisch und isotherm ausführen. Die bei einer unendlich kleinen Verdrängung angelegte Wärme dQ_{aus} ist, da der Druck

$$p_1 = \frac{RT}{V} n_1 = \frac{RT}{V} n_2$$

ist, offenbar gleich:

$$dQ_{\text{aus}} = \frac{RT}{V} n_2 dV,$$

also die dabei erfolgende unendlich kleine Entropieänderung des ersten Gases:

$$dS_1 = \frac{dQ_{\text{aus}}}{T} = \frac{R n_2}{V} dV,$$

also die ganze Entropieänderung gleich:

$$\Delta S_1 = \int_V^{2V} \frac{R n_2}{V} dV = R n_2 \log 2.$$

Selbstes ist jetzt ganz ebenso quasistatisch-isotherm W_2 nach links, bis zur Gefäßwand AD , so wird analog:

$$\Delta S_2 = R n_1 \log 2.$$

Dann aber ist die Diffusion vollendet, und zwar völlig quasistatisch, und wir erhalten für die Entropieänderung bei demselben, wie in G. (82) oder (80a):

$$S_2 - S_1 = \Delta S_1 + \Delta S_2 = R (n_1 + n_2) \log 2,$$

was zu beweisen war.

36. Reversible und irreversible Prozesse.

Wir wollen zunächst zwei neue Begriffe einführen, die uns nach allgemeiner Paraphrasierung der Clausius'schen Ungleichung und des zweiten Hauptsatzes gestatten.

Man nennt einen Prozeß *irreversibel*, wenn er auf keine Weise, welche Mittel und Apparate dabei auch verwendet werden mögen, so rückgängig gemacht werden kann, daß keinerlei Veränderungen in der Natur zurückbleiben.

Umgekehrt nennt man *reversibel* solche Prozesse, die auf irgendeine Weise so rückgängig gemacht werden können, daß keine Veränderung in der Natur zurückbleibt.

Ob es überhaupt reversible Prozesse gibt, kann nur auf Grund der Erfahrung entschieden werden, und zwar gestatten uns gerade die Thesen von Plancksche Prozess (oder des Clausius'schen), daß wir es als Selbstverständlichkeit einer zuverlässigen Erfahrung ansehen können, in jedem beliebigen Falle eine Entscheidung darüber.

Wir behaupten nun, daß z. B. Wärmeübertragung durch Reibung irreversibel ist.

Lassen wir z. B. ein geladenes Gewicht, das also einen bestimmten Betrag potentieller Energie darstellt, etwa in einer Flüssigkeit unter Drehung rasend schnell herabsinken, so ist die ganze Energie zum Teil in der Reibungsenergie verwandelt, die von der Flüssigkeit aufgenommen worden ist. Dessen ganzen Vorgang könnte man so rückgängig machen, ohne daß nur die geringste Änderung in der Natur zurückbleibt, wenn man eine Maschine benutzte, die weiter nichts bewirkt, als die Abkühlung der Flüssigkeit und die Hebung des gesunkenen Gewichtes. Das ist aber unmöglich nach dem Thomson-Planckschen Satz. Also ist in der Tat der Prozeß der Wärmeübertragung durch Reibung irreversibel. Man kann dem, wenn man will, bei allen Einzelheiten verfolgen. Z. B. könnte man die in der Flüssigkeit erzeugte Wärme derselben Gasmasse wieder entziehen, daß man sie mit einem idealen Gas in Berührung bringt, das sich isotherm unter Arbeitsleistung so weit ausdehnt, bis die gesamte Reibungsenergie von ihm aufgenommen ist. Die Arbeitsleistung des Gases könnte dann benutzt werden, das gesunkene Gewicht wieder genau auf seine ursprüngliche Höhe zu heben. Jetzt ist allerdings das Gewicht wieder auf seiner alten Höhe, und die Flüssigkeit hat die alte Temperatur wieder — aber es bleibt von Veränderungen in der Natur jetzt noch zurück, daß das ideale Gas ein größeres Volumen besitzt, als vorher. Das kann ich wieder durch adiabatische Kompression auf das alte Volumen rückgängig machen, aber dabei steigt die Temperatur des Gases und ein Gewicht nicht hoch, um eben die Kompressionsarbeit zu leisten. Also müßte ich jetzt eine Maschine haben, die das Gas wieder abkühlt und das gesunkene Gewicht wieder hebt, d. h. wieder eine Thomson-Plancksche Maschine, die es nicht gibt. So kann man diese Betrachtung

befähigt weiter fortzusetzen, immer wieder braucht man ein Perpetuum mobile zweiter Art, um die letzten Veränderungen in der Natur herzustellen.

Wir können also sagen: Aus der Unmöglichkeit des Perpetuum mobile zweiter Art folgt die Irreversibilität des Wärmeverzuges durch Reibung.

Gas ebenso verhält es sich mit einem idealen Gas, das sich gemäß dem Gay-Lussacschen Prozess adiabatisch ins Vakuum ausdehnt. Hier ist die ganze Veränderung die, daß das Gas ein größeres Volumen angenommen hat. Damit sind wir wieder auf denselben Punkt gelangt wie oben, und es folgt daher sofort:

Adiabatische Ausdehnung ins Vakuum ist ein irreversibler Vorgang.

Genauso daselbe gilt von der Diffusion mehrerer Gase, die ja nach der in Nummer 25 dargelegten Auffassung als ein mehrfacher Gay-Lussacscher Prozess betrachtet werden darf, ferner von dem Temperaturausgleich durch reine Wärmeleitung oder Wärmestrahlung, wie man mit Hilfe der gleichen Beweisführung leicht sieht.

Umgekehrt ist der Carnotsche Kreisprozeß ein völlig reversibler Vorgang; denn nachdem er in dinsther Richtung vor sich gegangen ist, ist die einzige Änderung in der Natur die, daß ein Reservoir höherer Temperatur eine Wärmemenge Q_1 abgegeben, ein zweites Reservoir niedrigerer Temperatur eine Wärmemenge $Q_2' = -Q_2$ aufgenommen hat, sowie daß ein bestimmtes Arbeitsquantum $A' = (Q_1 + Q_2)$ nach außen abgegeben ist; das Gas selbst ist in seinem Anfangszustande, also unverändert. Lassen wir den Carnotschen Prozeß im umgekehrten Sinne laufen, so ist zum Schluß das Gas wieder unverändert, das „heiße“ Reservoir hat die vorher empfangene Wärmemenge $Q_1' = -Q_1$ abgegeben, das „kalte“ die vorher abgegebene Q_2 wieder aufgenommen, die äußere Arbeit $A = -(Q_1 + Q_2)$ ist geleistet worden. Kurzum alle durch den direkten Prozeß in der Natur notwendig gewordenen Änderungen sind durch den umgekehrten wieder verschwunden.

Überhaupt ist klar, daß alle quasistatischen, d. h. durch letzter Gleichgewichtszustände hindurchgehenden, Prozesse reversibel sind, da jeder unendlich kleine Schritt in genau umgekehrter Richtung vor sich gehen kann. Allerdings ist jeder reversible Prozeß ist umgekehrt ein quasistatischer. Z. B. die Prozesse der reinen Mechanik, die ohne Reibung verlaufen, sind offenbar streng reversibel, ohne quasistatisch zu sein, da sie im allgemeinen mit willkürlichen Geschwindigkeiten ablaufen. Die eine Halbübertragung eines Punktes wird durch die darauf folgende Halbübertragung völlig rückgängig gemacht. Auch die Vorgänge der reinen Elektrodynamik und Optik, bei denen keine Joulesche Stromwärme produziert wird, sind vollkommen reversibel. Allerdings gilt dies nur im Grundsatz, in der That, da praktisch alle Reibung bzw. reibungsähnliche Prozesse, wie Erzeugung von Strom-

wertig sein, unumkehrbar sind. Insofern bei jedem natürlichen Prozesse also Reibung vorhanden ist, können wir sagen:

Alle natürlichen Prozesse sind (irreversibel), reversible Prozesse sind lediglich ein ideeller Grenzfall, was nicht hindert, daß sie als theoretisches Hilfsmittel von großer Bedeutung sind.²⁾

III. Die Prinzip von der Vermehrung der Entropie.

Der Begriff der reversiblen Prozesse, der nach dem Vorhergehenden unabweisbar ist als der der quasistatischen Vorgänge, erlaubt eine viel allgemeinere Auffassung der in Gl. (14) bzw. (15) enthaltenen Definition der Entropie. Bisher hatten wir immer verlangt und behauptet, daß die Änderung der Entropie durch Berechnung der Ausdrücke $\oint Q_{\text{rev}}/T$ und $\int p dV$, d. h. auf einem quasistatischen Wege geschehen müsse. Nunmehr können wir allgemeiner sagen, daß sie auf einem reversiblen Wege erfolgen muß. Somit handelt es sich um einen reversiblen Prozess quasistatisch, heißt nach der neuen Formulierung nur der alte; wenn er nicht quasistatisch ist, d. h. wenn der reine Mechanik oder Elektrodynamik angehörende Vorgang enthält, kann überhaupt keine Entropieänderung stattfinden, da ja keinerlei Umschaltungen dabei in- oder abgeführt werden, bzw. da dU und dV in Gl. (14) dabei denselben gleich Null sind. Wir wollen daher jetzt den Index „rev“ durch den Index „r“ (reversibel) zu dQ ersetzen und schreiben daher:

$$(11) \quad \left\{ \begin{array}{l} dS = \frac{dQ_r}{T}, \\ S_2 - S_1 = \int_1^2 \frac{dQ_r}{T}, \end{array} \right.$$

oder auch:

$$(12) \quad \oint \frac{dQ_r}{T} = 0,$$

wo das Integral, wie der Kreis andeuten soll, über einen Entropiekreislauf zu erstrecken ist.

Für einen irreversiblen Kreisprozeß gilt nach wie vor die Clausius'sche Ungleichung:

$$(13) \quad \oint \frac{dQ}{T} < 0.$$

Wir wollen aus irgendeiner Substanz von einem Zustand (1) zu einem Zustande (2) überführen, und zwar auf zwei verschiedenen Wegen: der

²⁾ In der Auffassung der molekulartheoretischen Theorie kömmt sich die obige Behauptung gestützt an. Nach ihr gibt es nur reversible Vorgänge, und die „Irreversibilität“ ist in gewissen Sinne vorgetäuscht. Man vergleiche hierzu die Kap. IX und X, wo ausnahmslos festgestellt wird (s. z. B. in Nr. 118), wie keine dieser Beschreibungen der Auflösung zwischen Thermodynamik und kinetischer Theorie besteht im gegen die Gesetze der Thermodynamik bestehen können.

eine, der in der Natur von selbst eintreten wird, ist irreversibel (Weg A), das andere sei dagegen reversibel (B). Wird der letztere in seiner Richtung umgekehrt, so bildet er mit dem irreversiblen Wege A zusammen einen irreversiblen Kreisprozeß, der die Zustandsgleichung irreversibel nach (3) und dann reversibel nach (1) zurücklegt. Wir können auf diesen Kreisprozeß die Clausius'sche Ungleichung (42) anwenden:

$$(44) \quad \int \frac{dQ}{T} = (A) \int \frac{dQ}{T} + (B) \int \frac{dQ}{T} < 0.$$

Darin ist nach der ersten Gl. (41), d. h. nach der Definition der Entropie, das letzte Glied gleich der Differenz der Entropien im Zustand (1) und (2), also gleich $S_2 - S_1$, man hat folglich:

$$(45) \quad \int \frac{dQ}{T} + S_1 - S_2 < 0,$$

oder auch:

$$(46) \quad S_2 - S_1 > \int \frac{dQ}{T},$$

wobei dQ die auf dem irreversiblen Wege zugeführten Wärmemengen sind. Man sieht auch aus dieser Gleichung unmittelbar, was wir schon wissen, daß es zur Berechnung der Entropiedifferenzen eines Zustands gar nicht auf den wirklich (d. h. irreversibel) ausgeführten Wärmemengen dQ ankommt, da eben im allgemeinen $dS = \frac{dQ}{T}$ ist.

Ein besonders wichtiger Spezialfall ist nun der, daß das betrachtete System völlig abgeschlossen ist. Dann ist natürlich $dQ = 0$, und Gl. (46) geht über in:

$$(47) \quad S_2 - S_1 > 0,$$

d. h. „Bei einem abgeschlossenen Systeme ist im Endzustande die Entropie stets größer als im Anfangszustande.“

Oder: „Die Vorgänge in einem abgeschlossenen System sind stets mit Entropievermehrung verbunden.“

Ist das System nicht abgeschlossen, so kann man es doch stets zu einem solchen machen, indem man diejenigen Körper der Umgebung, mit denen es im Energieaustausch steht, in das System hineinbezieht. Daher kommt dem eben ausgesprochenen Satze eine ganz vagebeutete Tragweite zu, indem er ganz allgemein dazu verwendet werden kann, die Richtung eines Vorganges bzw. das Gleichgewicht zu bestimmen.

Insofern es gestattet sein sollte, was hinsichtlich zweifelhaft ist, das Weltall als wirklich abgeschlossenes System zu betrachten, können wir mit Clausius den Satz aussprechen:

„Die Entropie der Welt strebt einem Maximum zu.“

Doch hat dieser glänzende Satz, auch abgesehen von dem eben angesprochenen Bedenken, für die Physik eine geringere Bedeutung, da man

es im practisch eben nicht mit der ganzen Welt, sondern mit kleinen abgeschlossenen Systemen zu tun hat, für die das eben in Gl. (40) ausgesprochene „Prinzip von der Vermehrung der Entropie“ in Stränge gilt.

Die in Nr. 35 betrachteten Sonderfälle von Entropiemehrung beim Gay-Lussaqueschen Versuch, bei der Diffusion, bei Wärmezufuhr und Wärmeabfuhr ordnen sich also dem allgemeinen Prinzip an. Man kann leicht sagen: Die Diffusion usw. geht deshalb vor sich, weil die Entropie dabei wächst. Durch den großen Entropiewert unterscheidet sich eben allgemein der Endzustand aller natürlichen Prozesse von ihren Anfangszustände. Das in Nr. 41 gezeigte Experiment zur Unterscheidung beider Zustände, die mit Hilfe der Energieerhaltung nicht möglich ist, ist eben die Größe der Entropie. Das Wachstum derselben ist der Grund für das „Alter“ der Welt, für die Einseitigkeit, mit der die natürlichen Prozesse ablaufen.

38. Allgemeines Folgerungen über den Nutzeffekt thermodynamischer Maschinen.

Als erste Anwendung des zweiten Hauptsatzes wollen wir den Nutzeffekt einer beliebigen thermodynamischen Maschine betrachten.

Zunächst sei bemerkt, daß wir bereits im zweiten Kapitel den Nutzeffekt eines Carnotschen Kreisprozesses für den Fall berechnet hatten, daß als arbeitende Substanz ein ideales Gas genommen wurde. Für andere Substanzen war damals eine Aussage nicht möglich, weil für keine andere die Energiegleichung bekannt war. Wir wollen nunmehr einen reversiblen Carnotschen Kreisprozeß mit einer beliebigen Arbeitssubstanz betrachten. An ihm werden nur zwei Wärmereservoirs mit Wärmemengen Q_1 und Q_2 abgeben, die erste bei der Temperatur T_1 , die zweite bei der Temperatur T_2 . Dabei ist $Q_1 + Q_2 + A = 0$, wenn A die Arbeit pro Zyklus ist. Nach der Gl. (42) ist für einen reversiblen Kreisprozeß die Summe der sogenannten „reduzierten Wärmemengen“ gleich Null, also hier:

$$\frac{Q_1}{T_1} + \frac{Q_2}{T_2} = 0,$$

woraus ohne weiteres für den Nutzeffekt η folgt:

$$(47) \quad \eta = 1 - \frac{T_2}{T_1}.$$

d. h. der Nutzeffekt eines reversiblen Carnotschen Prozesses ist gänzlich unabhängig von dem Material der arbeitenden Substanz, lediglich abhängig von den Temperaturen T_1 und T_2 der beiden Reservoirs.

Es aber, was ja practisch immer eintreffen muß, der Prozeß irreversibel, so sagt die Clausiussche Ungleichung, daß sein soll:

$$\frac{Q_1}{T_1} + \frac{Q_2}{T_2} < 0,$$

wann wieder ohne Verluste für den Nettoeffekt η' eines irreversiblen Carnot'schen Prozesses folgt:

$$(49) \quad \eta' < 1 - \frac{T_2}{T_1},$$

d. h. der Nettoeffekt eines irreversiblen Carnot'schen Prozesses ist stets kleiner als der des entsprechenden reversiblen zwischen den sämtlichen Temperaturen.

Nehmen wir jetzt einen allgemeinen, vom Carnot'schen beliebig abweichenden reversiblen Kreisprozeß, dessen Diagramm in der p - v -Ebene etwa die geschlossene ovale Kurve der Fig. 24 sei. Wir stellen dann

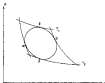


Fig. 24.

zwei Isothermen und zwei Adiabaten, die das Zustandsdiagramm unseres Prozesses tangieren, wie die Figur es zeigt; die beiden Isothermen tragen die Temperaturen T_1 und T_2 entgegen; es sind dies die höchste (T_1) und die niedrigste (T_2) Temperaturen, die bei dem Prozesse auftreten. Die Berührungspunkte unserer vier Kurven seien $\alpha, \beta, \gamma, \delta$. Dann können wir den Zyklus in zwei Teile teilen; auf $\alpha\beta\gamma$ wird von der arbeitenden Substanz Wärme aufgenommen, auf $\gamma\delta\alpha$ solche abgegeben. Nach Gl. (45) des zweiten Hauptsatzes haben wir also:

$$\int_{\alpha\beta} \frac{dQ}{T} + \int_{\beta\gamma} \frac{dQ}{T} = 0,$$

oder:

$$\int_{\alpha\beta} \frac{dQ}{T} = - \int_{\beta\gamma} \frac{dQ}{T}.$$

Nun ist die variable Temperatur T während des Weges $\alpha\beta\gamma$ im Mittel kleiner als T_1 , auf dem Wege $\gamma\delta\alpha$ dagegen größer als T_2 . Ersetzen wir daher in dem links stehenden Integral T durch das größere T_1 , so wird das Integral kleiner; das rechts stehende wird ebenso durch Substitution

von T_2 an Stelle von T größer, so daß die letzte Gleichung in die folgende Umgehung übergeht:

$$\frac{1}{T_1} \int_{12} dQ_1 < - \frac{1}{T_2} \int_{21} dQ_2,$$

oder, wenn

$$\int_{12} dQ_1 = Q_1, \quad \int_{21} dQ_2 = Q_2$$

geschrieben:

$$(43) \quad \frac{Q_2}{T_2} < \frac{Q_1}{T_1},$$

woraus sich sofort ergibt, daß der Wärmeeffekt warmer, abgenutzter reversibler Kreisprozesse

$$\eta' < 1 - \frac{T_2}{T_1}$$

ist, d. h. kleiner als derjenige des reversiblen Carnotschen Kreisprozesses zwischen den Extremtemperaturen T_1 und T_2 . Der Carnotsche Prozeß hat also von allen zwischen denselben Temperaturen verlaufenden Kreisprozessen den größten Wirkungsgrad.

Der Wirkungsgrad eines vom Carnotschen abweichenden Prozesses wird natürlich auch kleiner, wenn er nicht reversibel ist.

59. Die exakte Definition der Temperatur.

Wir haben in Nr. 5 die Temperatur definiert durch die Volumenänderung des Quecksilbers oder einer andern beliebigen Substanz. Diese Definition hatte, wie dort ausführlich auseinandergesetzt, den Nachteil, daß sie abhängig war von der Wahl des thermometrischen Substanz. In Nr. 51 wurde diese Definition praktisch, aber nicht theoretisch verbessert durch die Erklärung der idealen Gase als Thermometer-substanzen. Allgemein nannten wir die bisher benutzte Temperatur wegen ihres theoretischen Mängels die „empirische (eventuell absolute) Temperatur“.

Der zweite Hauptsatz erlaubt nun, eine exakte, von den Eigenschaften der thermometrischen Substanz gänzlich unabhängige Definition der Temperatur zu geben.

Es sei Unterschiede von der jetzt exakt zu definierenden Temperatur, für die wir den Buchstaben T einsetzen wollen, um unsere alte Formeln unverändert zu lassen, wollen wir in dieser Nummer die bisher benutzte empirische absolute Temperatur mit τ bezeichnen. Wenn wir jetzt einen reversiblen Carnotschen Kreisprozeß mit einer beliebigen Substanz zwischen den empirischen Temperaturen τ_1 und τ_2 vor sich gehen lassen, so gilt nach (43):

$$\frac{Q_1}{\tau_1} + \frac{Q_2}{\tau_2} = 0$$

und, wenn wir $\bar{Q}_2 = -\bar{Q}_1'$ setzen, wo \bar{Q}_1' das von dem tieferen Reservoir aufgenommene Wärmemenge bedeutet:

$$\frac{\bar{Q}_2}{T_2} = \frac{\bar{Q}_1'}{T_1},$$

oder auch:

$$(80) \quad \frac{T_2}{T_1} = \frac{\bar{Q}_2}{\bar{Q}_1},$$

d. h. die absoluten empirischen Temperaturen zweier Reservoire verhalten sich wie die Wärmemengen, die bei einem reversiblen Carnotschen Prozesse von ihnen abgegeben bzw. aufgenommen werden.

Dieser Satz ist größer als bisher, als wir eben die empirische Temperatur durch das Gasbarometer definieren konnten, d. h. insofern, als zwischen Gasbarometern verschiedener Füllung Übereinstimmung herrscht. Kommt man in Gebiete, in denen das nicht mehr der Fall ist, so ist die Temperatur nicht mehr bestimmt. Bei einer als absolut exakt vorausgesetzten Messung mag das überhaupt aus der Fall.

William Thomson hat deshalb vorgeschlagen, die Gl. (80) als absolut gültig anzusehen und sie als Grundlage zur Temperaturskala zu benutzen. Da der Wirkungsgrad des Carnotschen Prozesses unabhängig vom Material ist, so ist es diese Festlegung der Temperatur ebenfalls und verdient daher den Namen „absolute Temperaturskala“. Setzt man nun noch bei, daß das eine Reservoir etwa schwebendes Eis bei Atmosphärendruck ist und legt man diesem den Wert 273° bei, so fällt die neue Skala praktisch mit der gasbarometrischen, bisher benutzten zusammen.

Die Gl. (80) und allgemeiner (81), die den ersten Hauptsatz ausspricht, gelten also von unserem jetzigen Standpunkte aus nur für die exakte Temperatur T , nicht etwa für t . Hält man also in der empirischen Skala t , wie es ja in pract. doch immer geschehen muß, so sind Abweichungen von Gl. (81) zu erwarten, die man benutzen kann, um T als Funktion von t zu bestimmen, d. h. um die benutzte empirische Skala auf die exakte Skala zu beziehen. Dazu kann jede Folgerung dienen, wenigstens theoretisch, bei der der zweite Hauptsatz benutzt wurde. I. B. werden wir im nächsten Kapitel zwischen der Verdampfungswärme L , der Siedetemperatur T , dem spezifischen Volumen v_g des gesättigten Dampfes, demjenigen v_l der Flüssigkeit und dem Dampfdruck p folgende Gleichung ableiten:

$$(81) \quad L = T \frac{dp}{dT} (v_g - v_l).$$

In Wirklichkeit müßte man, etwa mit dem Wasserdampfbarometer, nicht $\frac{dp}{dT}$, sondern $\frac{dp}{dt}$, und die Gl. (81) müßte daher so geschrieben werden:

$$(82) \quad L = T \left(\frac{dp}{dT} (v_g - v_l) \frac{dT}{dt} \right).$$

Daraus aber folgt sofort:

$$(183) \quad \frac{dT}{T} = \frac{1}{\log T} = \frac{\frac{dT}{T} \cdot T - T}{T} = \frac{dT}{T}.$$

we alle rechtsstehenden Größen als Funktionen der Temperatur T ausgedrückt sind. Man erhält also aus (183):

$$\log T = \int \frac{dT}{T} = \frac{1}{T} \cdot T = \log T_0,$$

oder schließlich:

$$T = T_0 \cdot e^{\frac{1}{T} - \frac{1}{T_0}} = T_0 \cdot e^{\frac{T - T_0}{T_0}},$$

die rechte Seite exponentiell als Funktion der beliebigen empirischen Skala T darstellbar finden erhält, so daß man, wie oben bemerkt, durch Messung mit einem beliebigen Thermometer die exakte Temperatur T berechnen kann.

43. Isotherme Vorgänge: freie und gebundene Energie; willkürliches und isothermes Potential.

Wir haben bereits mehrere Male darauf hingewiesen, daß alle in der Natur von selbst eintretenden Prozesse mit einer Verminderung der Energie verbunden sind, wenn das System abgeschlossen ist. Da man dies genauer verstehen kann, indem man alle Körper mit in das System einschließt, die irgendwie an dem Vorgange beteiligt sind, so oben die allgemeinste Aussage, die man über den Ablauf eines Prozesses machen kann und ander als andere, bei speziellen Annahmen p -Werten, heranziehen kann. Um dies nun Ausdruck zu leihen, werden wir die Entropie des eigentlichen Systems mit S , die der dabei beteiligten Umgebung mit S_0 bezeichnen. Dann werden wir also haben:

$$(184) \quad dS + dS_0 \geq 0,$$

wobei sich das Gleichheitszeichen auf den — in der Natur allerdings nie streng realisierten — Fall der Reversibilität bezieht.

Die Verwertung dieses Ausdruckes beruht darauf, daß man einen Wert für dS_0 angeben kann. Es ist nämlich allgemein

$$dS_0 = \frac{dU_0 + p dV_0}{T},$$

wo U_0 , V_0 , T bzw. Energie, Volumen und Temperatur der Umgebung bedeuten. Neben den eventuellen Volumänderungen der Umgebung quasi-statisch vor sich, so ist auch

$$dS_0 = - \frac{dQ}{T},$$

wenn dQ die von der Umgebung an das System abgegebene Wärmemenge bedeutet. Wir finden also statt (184):

$$dS - \frac{dQ}{T} \geq 0;$$

andererseits ist aber nach dem ersten Hauptsatz, auf das System angewandt:

$$dQ = dU - \delta A,$$

wo U die innere Energie des Systems, δA die demselben von außen zugeführte Arbeit bedeutet. Setzt man diesen Wert von dQ ein, so erhält man:

$$dS = \frac{dU - \delta A}{T} \geq 0,$$

und diese Gleichung kann schließlich noch geschrieben werden:

$$(85) \quad dU - T dS \leq \delta A.$$

Wir wenden sie auf verschiedene Fälle an.

Der Fall, daß das System adiabatisch isoliert ist, kann uns tatsächlich nichts Neues liefern, da wir ja schon wissen, daß in diesem Falle die Entropie wächst. In der Tat, wenn wir in (85) die Bezeichnung der Adiabata einführen, daß $\delta Q = 0$ ist, oder daß $dU = \delta A$ ist, so folgt, wenn durch T geteilt wird:

$$(86) \quad dS \geq 0,$$

wobei das Gleichheitszeichen, wie known, für den Fall der Reversibilität gilt.

Viel wichtiger ist der Fall, daß während des Prozesses die Temperatur T konstant bleibt. Dies ist bei den meisten chemischen Prozessen der Fall; z. B. sind die in Nr. 29 und 58 behandelten Reaktionen alle so zu verstehen, daß bei ihnen das System (durch Elektrolyse in ein geeignetes Bad) auf konstanter Temperatur gehalten wird. In diesem Falle wird die linke Seite von (85) das totale Differential einer Funktion

$$(87) \quad F = U - TS,$$

die ebenso wie U und S nur von dem augenblicklichen Zustande des Systems abhängt. Man nennt dieselbe nach Helmholtz die „freie Energie“ des Systems — auf den Grund dieser Bezeichnung gehen wir gleich ein —, und man kann dann die Gl. (85) so schreiben:

$$(88) \quad dF \leq \delta A,$$

oder auch, da sie jetzt integriert werden kann, für eine endliche Änderung:

$$(88a) \quad F_2 - F_1 \leq A \quad (T = \text{const.}).$$

In Gl. (88) ist an das Differentiellzeichen der Index „ T “ angelegt, um zu betonen, daß hierbei T als konstant behandelt werden soll.

Die beiden letzten Gleichungen kann man folgendermaßen aussprechen:

Bei einem isothermen Prozesse ist die Zunahme der freien Energie kleiner, im Grenzfall der Reversibilität gleich der von außen geleisteten Arbeit. Betrachten wir den Fall der Revers-

abfließt, in dem das Gleichheitszeichen gilt, noch etwas größer. Es dann

$$(87) \quad F_1 = F_2 = A_{\text{ex}} \quad (T = \text{const.})$$

gilt, so ist klar, daß in diesem speziellen Falle auch die äußere geleistete Arbeit A_{ex} nur vom Anfangs- und Endzustand des Systems abhängt, nicht mehr vom Wege. Denken wir uns aus dem Anfangs- und Endzustand fest gegeben, so ablesen aus dem Vergleich von (86a) und (88a), daß im Falle der Reversibilität an einer bestimmten Zunahme von F das Minimum äußerer Arbeit eintritt; wird in jedem andern Falle ist die zur gleichen Vermehrung von F notwendige Arbeitsaufzehr größer. Wir haben daher durch diesen Vergleich der Arbeit in (86) mit dem Indes „ ∞ “ versehen, was diesen ungeschicktesten Aufzehrung nach den bei irreversiblen Vorgängen eintretenden Arbeiten zu veranschaulichen.

Wir können diese Aussage anders formulieren: Versuchen wir in (86a) und (87) beide Seiten mit dem Minuszeichen, so steht links die Abnahme der freien Energie; rechts ist $-A = A'$ bzw. $-A_{\text{ex}} = A'$, die vom System nach außen geleistete, d. h. die gewonnene Arbeit; das Ungleichheitszeichen dreht sich dabei um. Wir haben also in dieser Schreibweise für einen natürlichen (irreversiblen) Vorgang:

$$(88) \quad F_1 - F_2 > A' \quad (T = \text{const.}),$$

bzw. für Reversibilität:

$$(88a) \quad F_1 - F_2 = A_{\text{ex}} \quad (T = \text{const.}).$$

Blieben wir zunächst bei der letzten Gleichung stehen, so ist wieder klar, daß A'_{ex} nur vom Anfangs- und Endzustand des Systems abhängt. Betrachten wir diese Lage als fest gegeben, so folgt:

„Bei einem isothermen Vorgange ist bei reversibler Führung die Abnahme der freien Energie gleich der nach außen abgegebenen Arbeit; bei irreversibler Führung dagegen ist die nach außen abgegebene Arbeit stets kleiner als dieses Maximum.“

Die Arbeitsleistung A'_{ex} ist also das Maximum der Arbeit, die überhaupt bei einem isothermen Vorgange gewonnen werden kann, nämlich dann, wenn er reversibel geführt wird; geht er irreversibel vor sich, so ist die gewonnene Arbeit A' stets kleiner als A'_{ex} . Insbesondere kann der Fall nicht eintreten, daß bei dem natürlichen (irreversiblen) Vorgang A' gleich Null ist, so daß die Bedingung (88) für das Eintreten des Prozesses lautet:

$$(89) \quad F_1 - F_2 < 0.$$

In diesem Falle geht der Prozeß in solcher Richtung vor sich, daß die freie Energie abnimmt.

Dies ist z. B. der Fall bei dem isothermen verlaufenden Gay-Lussac-Vertrieb mit einem kleinen Gas, ebenso bei der Diffusion zweier idealer Gase, die wir ja auf den Gay-Lussac-Prozess zurückgeführt haben. Dabei war die nach außen abgegebene, d. h. gewonnene Arbeit in beiden Fällen gleich Null, und es muß daher die freie Energie im Endzustand kleiner als im Anfangszustand sein. Berechnen wir daher die freie Energie für ein ideales Gas. Aus den bekannten Werten für die Enthalpie und Entropie eines solchen Gases findet man leicht:

$$F = U - TS = M c_v T + a - MT \left(c_v \log T + \frac{R}{M} \log v \right) + b T,$$

oder:

$$(81) \quad F = M \left\{ c_v T - c_v T \log T - \frac{R}{M} T \log v \right\} + a + b T.$$

Angewandt auf Anfangszustand (T_1) und Endzustand (T_2) beim Gay-Lussac-Prozess, folgt:

$$F_1 - F_2 = - \frac{RM T}{M} \log \frac{T_1}{T_2} < 0,$$

was zu beweisen war. Ohne Zweifel liegt die Sache bei der Diffusion.

Man bemerkt, und dies gilt offenbar ganz allgemein, daß wegen der additiven Konstanten, die im Ausdruck der Enthalpie und Entropie unbestimmt bleiben, im Werte der freien Energie eine lineare Funktion der Temperatur ($a + b T$) unbestimmt ist.

Verbinden wir die Aussage (81) mit der des ersten Hauptsatzes, den wir jetzt mit umgekehrten Vorzeichen wie gewöhnlich, schreiben wollen (Q bedeutet also abgegebene Wärmemenge [Wärmerzeugung], A gewonnene Arbeit):

$$U_1 - U_2 = Q + A = F_1 - F_2 + T(S_1 - S_2),$$

so folgt durch Subtraktion der Gl. (81) von der letzten Formel:

$$T(S_1 - S_2) = Q.$$

Der erste Hauptsatz, den man so ausgesprochen kann, daß die Abnahme der Energie U gleich der abgegebenen Wärmemenge Q und der der gewonnenen Arbeit A ist, zerfällt also hier in zwei Aussagen, von denen sich die eine auf die abgegebene Wärme, die andere auf die gewonnene Arbeit bezieht, nämlich:

„Die Abnahme der freien Energie F ist gleich der maximal zu gewinnenden Arbeit, die Abnahme der Größe TS ist gleich der abgegebenen Wärme (Wärmerzeugung).“ D. h.: Von der Gesamtmenge U ist bei einem isothermen Vorgange in maximo die Arbeit A_m zu gewinnen, der Rest tritt als Wärmerzeugung auf. Dabei nennt man also F die freie Energie, $TS = Q$ entsprechend die „gebundene“, weil sie nicht in Arbeit umgesetzt wird.

Lieft man daher einen isothermen Vorgang irreversibel, d. h. ohne oder jedenfalls mit geringerer als der maximalen Arbeitsleistung vor sich gehen (so wie es z. B. bei dem in Nr. 66

besprochenen Reaktionen der Fall war, so hat eine Gelegenheit, Arbeit zu gewinnen, dauernd und unvulnerklinglich dahin. Denn niemals kann der Anfangszustand des Universums wiederhergestellt werden, da der Prozeß irreversibel war.

Für die isothermen Prozesse spielt nach dem Gleye die Funktion F offenbar eine ähnliche Rolle, wie die Gesamtenergie E für die adiabatischen. Denn für solche ist der erste Hauptsatz, da Q gleich Null, in der Form ganz übereinstimmend mit (58).

Diese Analogie tritt auch noch in anderer Richtung hervor. Nach dem ersten und zweiten Hauptsatz ist allgemein für eine reversible Änderung:

$$(62) \quad dU = T dS - p dV.$$

Fallt man also U als Funktion der Variablen S und V an, so resultiert das Übergangspaar:

$$(63) \quad \left(\frac{\partial U}{\partial S}\right)_V = T, \quad \left(\frac{\partial U}{\partial V}\right)_S = -p$$

von denen die erste, wenn U und S gegeben sind, als Definition der Temperatur benutzt werden kann, während die zweite ein vollkommenes Analogon zu der Gleichung der Mechanik:

$$(64) \quad -\frac{\partial \Phi}{\partial x_i} = X_i$$

darstellt, indem die negative Ableitung von U nach einer Koordinate S die darauf wirkende Kraft (p) ergibt. Dabei ist p konstant zu halten wie die Bedingung der Adiabatische ist. Deshalb nennt sich hier die entsprechende auch das „adiabatische Potential“.

Eine ganz analoge Rolle spielt die freie Energie F der isothermen Prozesse. Um dies zu zeigen, setzen wir die obige Gl. (62) folgendermaßen um:

$$dU = T dS + S dT - p dV - S dT,$$

oder:

$$(65) \quad d(U - TS) = dF = -S dT - p dV,$$

wobei, als unabhängige Variable T und V vorausgesetzt, die Doppelgleichung sich ergibt:

$$(66) \quad \left(\frac{\partial F}{\partial T}\right)_V = -S, \quad \left(\frac{\partial F}{\partial V}\right)_T = -p.$$

Die erste gibt eine allgemeine gültige Beziehung zwischen F , T und S , die wir zugleich weiter konstant halten, die zweite ist wieder ein Analogon zur mechanischen Gl. (64), unter der Bedingung, daß T konstant gehalten wird, deshalb auch der Name für F : „isothermes Potential“.

Mit Hilfe der ersten Gl. (66) läßt sich die freie Energie folgendermaßen schreiben:

$$(67) \quad F = U - TS = U + T \left(\frac{\partial F}{\partial T}\right)_V.$$

eine Form, die unmittelbar Helmholtz benutzt hat. Bilden wir die Gl. (87) der zwei Zustände (1) und (2) bei der nämlichen Temperatur T und subtrahieren sie voneinander, so folgt:

$$F_1 - F_2 = U_1 - U_2 + T \left(\frac{\partial F_1}{\partial T} - \frac{\partial F_2}{\partial T} \right),$$

oder, da $F_1 - F_2 = A_{\max}$, der maximalen Arbeit ist, für die wir jetzt wieder einfach A' setzen wollen:

$$(88) \quad A' = (U_1 - U_2) + T \left(\frac{\partial A'}{\partial T} \right),$$

Dies ist eine Differentialgleichung für A' , die einfach „Helmholtzsche Gleichung“ genannt wird und die in der modernen physikalischen Chemie eine fundamentale Rolle spielt. Auch wir kommen später darauf zurück.

In vorangehenden ist nichtöfters gesagt worden, daß der Zustand des betrachteten Körpers nur von zwei Variablen (S , T) bzw. (T , P) abhängt. Indessen ist es leicht, die Gl. (88) und die daraus folgenden auf beliebig viele Variablen x_1, x_2, \dots, x_n zu verallgemeinern. In diesem Falle nimmt (88) die Form an:

$$(88a) \quad dU = T dS - \sum_{i=1}^n X_i dx_i,$$

d. h. die unendlich kleine Arbeit hat die Gestalt $-\sum X_i dx_i$, die man, allerdings mit umgekehrtem Vorzeichen, aus der Mechanik wohlbekannt ist. Es folgt daraus unmittelbar, wenn S und die x_i als unabhängige Variablen betrachtet werden:

$$(88a) \quad \left(\frac{\partial U}{\partial S} \right)_{x_i} = T, \quad \left(\frac{\partial U}{\partial x_i} \right)_{S, x_j} = -X_i,$$

von denen die erste Gleichung nichts Neues gegen Gl. (88) bietet, die zweite dagegen die entsprechende Gl. (88) in der gewöhnlichen Weise verallgemeinert. Unter den Größen X_i sind jetzt, wie schon mehrfach betont, umgekehrt wie in der Mechanik, die allgemeinen Kraftkomponenten zu verstehen, die die entsprechenden allgemeinen Koordinaten x_i zu verkleinern streben; daher hat auch der Arbeitsausdruck das umgekehrte Vorzeichen, wie in der Mechanik.

Aus (88a) folgt weiter durch Addition und Subtraktion von $S dT$ auf der rechten Seite:

$$(88a) \quad dF = d(U - TS) = -S dT - \sum_{i=1}^n X_i dx_i,$$

woraus sich wieder sofort ergibt:

$$(88a) \quad \left(\frac{\partial F}{\partial T} \right)_{x_i} = -S, \quad \left(\frac{\partial F}{\partial x_i} \right)_{T, x_j} = -X_i,$$

womit wieder (88) verallgemeinert ist. —

Eine dritte Form der Beziehung für das Existenz einer natürlichen Prozessform läßt sich aus (88), der gemeinsamen Quelle aller dieser Be-

dingungen, entstehen, wenn außer T noch der Druck p konstant ist („isotherm-isobarer Vorgang“). Dann kann nämlich die Arbeit

$$\delta A = -p dV = -T dp,$$

gew leist werden, und man erhält

$$d(U - TV + pV) \leq 0,$$

oder auch, wenn man

$$(66) \quad Z = U - TV + pV = \Phi$$

setzt:

$$(70) \quad d_{I, p} \Phi = d_{I, p} Z = \frac{T}{T} \frac{dZ}{T} \leq 0,$$

die Indizes zur Differentialrechnung bedeuten die Größen, die bei der Differentiation konstant gehalten werden müssen. Die Funktion Φ heißt das „isotherm-isobare Potential“.

Wie können Gl. (66) folgendermaßen ausgelesen werden? Für einen isotherm-isobaren Vorgang nimmt das Potential Φ zu: im Grenzfalle der Reversibilität bleibt es konstant.

Auch hier können wir ähnliche Gleichungen ableiten, wie wir es eben zwischen den Größen U , T und p einerseits, F , T und p andererseits gemacht haben. Man hat nämlich, wenn T und p als unabhängige Variablen gewählt werden:

$$d\Phi = dZ = \frac{dU + p dV + V dp}{T} = \frac{T}{T} \frac{dZ}{T} + dT,$$

oder, da $dZ = \frac{dU + p dV}{T}$ ist:

$$(71) \quad d\Phi = -\frac{V}{T} dp + \frac{T}{T} \frac{dF}{T} + dT,$$

woraus sich sofort ergibt:

$$(72) \quad \left\{ \frac{\partial \Phi}{\partial p} \right\}_T = -\frac{V}{T}, \quad \left\{ \frac{\partial \Phi}{\partial T} \right\}_p = \frac{F - pV}{T}.$$

Gleichungen, die ebenfalls selbst auf den Fall mehrerer Variablen n , verallgemeinert werden können.

Sind nun die thermodynamischen Potentiale F oder Φ als Funktionen der Zustandsvariablen (T, V) oder (T, p) bekannt — wir beschränken uns hier auf den wichtigsten Fall zweier unabhängigen Veränderlichen —, so lassen sich aus ihnen mit Hilfe der oben abgeleiteten Gleichungen alle thermodynamisch wichtigen Größen berechnen. Z. B. ist nach (66) und der Definition der Funktion F :

$$(73) \quad S = -\left\{ \frac{\partial F}{\partial T} \right\}_V, \quad p = -\left\{ \frac{\partial F}{\partial V} \right\}_T, \quad U = F - T \left\{ \frac{\partial F}{\partial T} \right\}_V.$$

Ebenso folgen aus (66) und (72):

$$(74) \quad F = -T \left\{ \frac{\partial \Phi}{\partial T} \right\}_p, \quad U = T \left\{ T \left\{ \frac{\partial \Phi}{\partial T} \right\}_p + p \left\{ \frac{\partial \Phi}{\partial p} \right\}_T \right\}, \quad S = \Phi + T \left\{ \frac{\partial \Phi}{\partial T} \right\}_p.$$

Es kommt also nur darauf an, P bzw. Φ durch Messungen zu bestimmen; dann ist das gesamte thermodynamische Verhalten des betreffenden Körpers festgelegt.

41. Gleichgewichtsbedingungen.

Das in den vorigen Nummer aufgestellten Bedingungen für das Eintreten eines Prozesses bzw. die Richtung, in der ein solcher verläuft, im adiabatischen, isothermen und isotherm-isobaren Falle, stellen sich entsprechende Gleichgewichtsbedingungen für die räumlichen drei Fälle zur Seite.

Wenn in einem adiabatischen System $dS \geq 0$ die Bedingung für das Eintreten eines Prozesses ist, so muß, damit bei einer beliebigen virtuellen Verschiebung, für die wir wie in der Mechanik das Zeichen δ benutzen, Gleichgewicht besteht,

$$(55) \quad dS \leq 0$$

sein; denn dann ist von dem betreffenden Zustande aus kein Prozeß möglich, da die Entropie nicht abnehmen kann. Bei den Gleichgewichtsproblemen sind, wie bei den analogen der Mechanik, im allgemeinen noch bestimmte Bedingungsgleichungen gegeben, denen die virtuellen Verschiebungen, wie dort, zu gehorchen haben. Ist nur das bestimmte virtuelle Verschiebung möglich, so ist es im allgemeinen auch die entgegengesetzte, wenigstens wenn man dann, wenn keine Bedingungsgleichungen vorhanden sind. Wende also für die das Verschiebung (51) (76) gelten, so würde für die entgegengesetzte $dS \geq 0$ sein müssen. Das mit (54) kombiniert, gibt das Resultat, daß in (76) nur das Gleichheitszeichen möglich ist, also:

$$(76) \quad dS = 0;$$

in Worten: „Ein adiabatisch isoliertes System ist im Gleichgewicht, wenn die Entropie ein Maximum ist.“

Denn ebenso ergibt sich für den isothermen Fall nach (56) die Bedingung des Gleichgewichts:

$$(77) \quad d_T P \geq dA,$$

und wenn wieder nur Bedingungsgleichungen, keine Ungleichungen vorhanden sind, d. h. wenn die entgegengesetzte Veränderung möglich ist:

$$(78) \quad d_T P = dA,$$

d. h. bei konstanter Temperatur ist das Charakteristikum des Gleichgewichts, daß die virtuelle Änderung der freien Energie gleich der virtuellen äußeren Arbeit ist.

In dem speziellen Falle, daß das Volumen konstant ist (Bertholot'sche Bombe) oder die Volumänderungen verschwindend klein sind (Gase oder flüssige Körper), ist $dA = 0$, und die Gleichgewichtsbedingung (76) geht über in:

$$(78a) \quad d_T P = 0,$$

d. h. bei konstanter Temperatur ist bei ausgenutzter innerer äußerer Arbeitsleistung die freie Energie im Gleichgewichtszustande ein Minimum.

Im isothermischen Falle stellt sich nach (79):

$$(79) \quad \delta_{T,p} \Phi \leq 0,$$

oder, wenn wieder nur Bedingungsgleichungen (keine Ungleichungen) vorhanden sind:

$$(80) \quad \delta_{T,p} \Phi = 0,$$

d. h. das isotherm-isobare Potential stellt im Gleichgewicht ein Maximum sein.

Die hier besprochenen Bedingungen werden wir in dem nächsten Kapitel auf spezielle Gleichgewichtszustände anwenden.

Viertes Kapitel.

Physikalisch homogene Systeme.

§1. Allgemeines Formelsystem.

Wir betrachten in diesem Kapitel ausschließlich physikalisch homogene Systeme, wegen des obigen Homogenitätsbegriffs für uns nicht in Frage kommt. So z. B. sei ein beliebiges Gemisch aus zwei homogenen, dergleichen, aus Legierung aus. Wir betrachten wieder die Mannerstellung des gewählten Stoffes und wenden die beiden Hauptsätze darauf an.

Als Definition der spezifischen Entropie s hatten wir gefunden:

$$(I) \quad ds = \frac{dQ}{T},$$

und ferner vermochte dem ersten Hauptsatz, wenn der Zustand des Systems ander durch T durch n Koordinaten x_1 bis x_n bestimmt wird:

$$(II) \quad dQ = dU + \sum_{i=1}^n X_i dx_i,$$

die in dem speziellen Falle zweier Variablen T und v übergeht in:

$$(III) \quad dQ = dU + p dv.$$

Dementselben haben wir im allgemeinen Falle als ausführlich geschriebene Definition der spezifischen Entropie nach (I) und (II):

$$(IV) \quad ds = \frac{\sum_{i=1}^n \left[\left(\frac{\partial U}{\partial x_i} \right)_T + X_i \right] dx_i + \left(\frac{\partial U}{\partial T} \right)_n dT}{T},$$

bzw. im speziellen Falle der zwei Variablen T und v :

$$(V) \quad ds = \frac{\left[\left(\frac{\partial U}{\partial v} \right)_T + p \right] dv + \left(\frac{\partial U}{\partial T} \right)_v dT}{T},$$

die wir im vorigen Kapitel fast ausschließlich benutzt haben.

Die analytische Verwendbarkeit der zweiten Hauptsatzes beruht nun darauf, daß ds ein totales Differential einer gewissen Zustandsfunktion ist, d. h. darauf, daß für ein totales Differential gewisse Bedingungen bestehen, die es von den allgemeinen Differentialausdrücken unterscheiden. Diese gehen so lag die Sache im zweiten Kapitel beim ersten Hauptsatz.

Führen wir diesen Gedanken zuerst für beliebig viele Variablen durch. Dann ergibt sich aus der Gl. (4):

$$dx = \sum_r \left(\frac{\partial x}{\partial x_r} \right)_T dx_r + \left(\frac{\partial x}{\partial T} \right)_{x_r} dT = \frac{1}{T} \sum_r \left\{ \left(\frac{\partial x}{\partial x_r} \right)_T dx_r + X_r dx_r \right\} \\ + \frac{1}{T} \left(\frac{\partial x}{\partial T} \right)_{x_r} dT,$$

und diese Formel zerfällt in die folgenden $(n-1)$ Gleichungen, weil die Größen dx_r und dT voneinander gänzlich unabhängig sind:

$$(6) \quad \begin{cases} \left(\frac{\partial x}{\partial x_r} \right)_T = \frac{1}{T} \left[\left(\frac{\partial x}{\partial x_r} \right)_S + X_r \right] & (r = 1, 2, \dots, n-1), \\ \left(\frac{\partial x}{\partial T} \right)_{x_r} = \frac{1}{T} \left(\frac{\partial x}{\partial T} \right)_{x_r}. \end{cases}$$

Daraus ergeben sich dann, wenn x_r eine von x verschiedene der Koordinaten x_1 bis x_n bedeute, durch kreuzweise Differentiation folgende Gleichungen:

$$(7) \quad \frac{\partial x_r}{\partial x_s \partial x_r} = \frac{1}{T} \left[\frac{\partial x_r}{\partial x_s \partial x_r} + \frac{\partial X_r}{\partial x_s} \right] = \frac{1}{T} \left[\frac{\partial x_r}{\partial x_s \partial x_r} + \frac{\partial X_{s\mu}}{\partial x_r} \right] \quad \begin{matrix} r = 1, 2, \dots, n \\ \mu = 1, 2, \dots, n-1 \\ r \neq \mu \end{matrix}$$

oder durch entsprechende Kombination einer der ersten Gl. (6) mit der zweiten Gl. (6):

$$(8) \quad \begin{cases} \frac{\partial x_r}{\partial x_s \partial T} = \frac{1}{T} \left[\frac{\partial x_r}{\partial x_s \partial T} + \frac{\partial X_r}{\partial T} \right] = \frac{1}{T} \left[\left(\frac{\partial x_r}{\partial x_s} \right)_T + X_r \right] \\ = \frac{1}{T} \left(\frac{\partial x_r}{\partial x_s \partial T} \right) \quad (r = 1, 2, \dots, n). \end{cases}$$

Durch Auflösung derselben ergibt sich die folgende Aussage des zweiten Hauptsatzes im allgemeinen Falle:

$$(9) \quad \frac{\partial X_\mu}{\partial x_r} = - \frac{\partial X_r}{\partial x_\mu} \quad \begin{cases} r, \mu = 1, \dots, n-1 \\ r \neq \mu \end{cases}, \\ (10) \quad \frac{\partial X_r}{\partial T} = \frac{1}{T} \left[\left(\frac{\partial x_r}{\partial T} \right)_T + X_r \right] \quad (r = 1, 2, \dots, n).$$

Das sind $\frac{n(n-1)}{2} + 1$ Relationen, die eine experimentelle Prüfung des zweiten Hauptsatzes gestatten.

In dem speziellen Falle zweier Variablen, der man durch allgemeinen dadurch hervorhebt, daß wir setzen $X_1 = p$; $x_1 = v$, alle übrigen $X_\mu = x_\mu = 0$ setzen, gehen die allgemeinen Gleichungen (9) über in:

$$(11) \quad \begin{cases} \left(\frac{\partial p}{\partial v} \right)_T = - \frac{1}{T} \left[\left(\frac{\partial p}{\partial T} \right)_v + p \right], \\ \left(\frac{\partial p}{\partial T} \right)_v = - \frac{1}{T} \left(\frac{\partial p}{\partial T} \right)_v. \end{cases}$$

und durch lineare Differentiation folgt daraus:

$$\frac{\partial^2 p}{\partial v \partial T} = \frac{1}{T} \left\{ \frac{\partial^2 p}{\partial v \partial T} + \left(\frac{\partial p}{\partial T} \right)_v \right\} = \frac{1}{T^2} \left\{ \left(\frac{\partial p}{\partial v} \right)_v + p \right\} = \frac{1}{T} \frac{\partial^2 p}{\partial v \partial T},$$

woraus weiter sich ergibt:

$$(10) \quad \left(\frac{\partial p}{\partial T} \right)_v = \frac{1}{T} \left\{ \left(\frac{\partial p}{\partial v} \right)_v + p \right\}.$$

Dieses ist die Spezialisierung der Gleichungen (10), wie sich sofort durch Vergleich ergibt; den Gleichungen (6) entspricht im Falle zweier Variablen kein Analoges; sie werden dann identisch gleich Null.

Gl. (11) ist die Aussage des zweiten Hauptsatzes für die zwei Variablen T und v ; wir werden es im folgenden hauptsächlich damit zu tun haben.

40. Der Zustand des Systems wird durch zwei Variable bestimmt.

Beachtet ergibt sich durch Kombination der Gl. (10) mit der ersten Gl. (11) die physikalische Bedeutung von $\left(\frac{\partial p}{\partial v} \right)_T$; erinnert man sich daran, daß $\left(\frac{\partial p}{\partial T} \right)_v = c_v$, der spezifischen Wärme bei konstantem Volumen ist, so hat auch die Bedeutung von $\left(\frac{\partial p}{\partial v} \right)_T$ klargestellt, und man erhält unmittelbar die beiden einfachen Formeln:

$$(12) \quad \begin{cases} \left(\frac{\partial p}{\partial v} \right)_T = \left(\frac{\partial^2 p}{\partial v^2} \right)_T, \\ \left(\frac{\partial p}{\partial T} \right)_v = \frac{c_v}{T}. \end{cases}$$

Von der Richtigkeit der letzteren kann man sich auch ohne Herleitung überzeugen, indem man auf die in Gl. (1) enthaltenen Definition von dp zurückgeht. Führt man nämlich p_0 bei gleichzeitig konstantem Volumen an, so ist $p_0 = c_v dT$, also schließlich: $dp = \frac{c_v dT}{T}$, woraus sich durch Dividen mit dT die zweite Gl. (12) ergibt.

Wenn daher a , als Funktion der Zustandsvariablen T und v , sowie die Zustandsgleichung $p = p(v, T)$ bekannt sind, kann diese Gl. (12) dazu dienen, die Entropiefunktion zu berechnen. Man findet nämlich:

$$(13) \quad ds = \left(\frac{\partial p}{\partial T} \right)_v dv + \frac{c_v}{T} dT,$$

was für ein ideales Gas, für welches $\left(\frac{\partial p}{\partial T} \right)_v = \frac{R}{v} \frac{1}{T}$ ist, zu dem uns schon längst bekannten Werte führt:

$$s = a_v \log T + \frac{R}{v} \log v + \text{Const.}$$

Aber auch sonst ist Gl. (13) von erheblichem Nutzen; man kann ja innerhalb kleiner Volumensänderungen und Temperaturänderungen in jedem Falle $\left(\frac{\partial p}{\partial T} \right)_v$ und c_v als näherungsweise konstant betrachten und erhält

dann aus (14) entsprechende Ausdrücke für die Entropie z. B. freier und fester Körper, die ebenfalls von Bedeutung sind. Man werden von dieser Möglichkeit in der Tat Gebrauch machen.

Durch Kreuzweise Differenzierung der beiden Gleichungen (13) erhält man übrigens eine Relation, die eine experimentelle Prüfung des zweiten Hauptsatzes gestattet:

$$(14) \quad \frac{d\epsilon}{dT} = T \left(\frac{\partial p}{\partial T} \right)_v.$$

Man ihr folgt z. B., daß ϵ , unabhängig von v ist, wenn p nur linear von der Temperatur T abhängt, was es bei idealen Gasen, aber auch z. B. bei solchen realen Gasen der Fall ist, die der van der Waals'schen Gleichung gehorchen.

Die Gl. (12) läßt sich vereinfachen, wenn man Gl. (13) des zweiten Kapitels auf pag. 189 heranzieht, die wir hier nochmals anführen wollen:

$$c_v - c_p = \left(\left(\frac{\partial \epsilon}{\partial T} \right)_v - p \right) \left(\frac{\partial \epsilon}{\partial p} \right)_v,$$

es stellt eine einfache Folgerung des ersten Hauptsatzes dar. Durch Kombination mit (13) ergibt sich:

$$(15) \quad c_p - c_v = T \left(\frac{\partial p}{\partial T} \right)_v \left(\frac{\partial v}{\partial T} \right)_p.$$

Mit Hilfe der Zustandsgleichung kann diese auch in eine etwas andere, zumeist bequemere Form gebracht werden. Nach der Zustandsgleichung ist ja:

$$dp = \left(\frac{\partial p}{\partial T} \right)_v dT - \left(\frac{\partial p}{\partial v} \right)_T dv,$$

oder für $dp = 0$:

$$\left(\frac{\partial v}{\partial T} \right)_p = - \left(\frac{\partial v}{\partial p} \right)_T \left(\frac{\partial p}{\partial T} \right)_v.$$

Setzt man den daraus folgenden Wert von $\left(\frac{\partial v}{\partial T} \right)_p$ in (15) ein, so folgt die äußerst anschauliche Gleichung:

$$(17) \quad c_p - c_v = - T \left(\frac{\partial p}{\partial v} \right)_T \left(\frac{\partial v}{\partial T} \right)_v^2.$$

In ihr ist $\left(\frac{\partial v}{\partial T} \right)_v$ offenbar proportional dem kubischen Ausdehnungskoeffizienten α des Systems, der seiner Definition nach die Volumenzunahme pro Grad $\left[\left(\frac{\partial v}{\partial T} \right)_v \right]$, dividiert durch das Volumen v_0 bei 0°C , bedeutet; α ist also gegeben durch:

$$(18) \quad \alpha = \frac{1}{v_0} \left(\frac{\partial v}{\partial T} \right)_v.$$

$\left(\frac{\partial p}{\partial v} \right)_T$ läßt sich aus der Zustandsgleichung berechnen, und man kann sofort aussagen, daß $\left(\frac{\partial p}{\partial v} \right)_T$ (stabile Zustände vorausgesetzt) notwendigerweise negativ sein muß, da dann Drucksteigerung mit Volum-

veränderung verbunden ist. Dann aber folgt aus (17), daß für jede beliebige Substanz α , größer als α_0 ist, was wir bisher nur für ein ideales Gas beweisen konnten.

Auch wenn die vollständige Zustandsgleichung nicht bekannt ist, kann $\left(\frac{\partial p}{\partial T}\right)_v$ bestimmt werden. Es handelt sich dabei um ein rein elastisches Problem, nämlich die Volumenveränderung zu bestimmen, die mit einer bestimmten Druckerhöhung verbunden ist. Dieses Problem aber haben wir in I. Bande (Kap. 12, Nr. 138) ausführlich behandelt. Der Ausdruck:

$$= \frac{1}{\alpha} \left(\frac{\partial p}{\partial T} \right)_v,$$

[d. h. die relative Volumenveränderung $\left(-\frac{\partial v}{v}\right)$ dividiert durch die Temperaturzunahme ∂T], wurde dort als „kollektive Kompressibilität“ bezeichnet; der zugehörige Wert ist der sog. „Kompressibilitätsmodul“ K , für den also gilt:

$$(18) \quad K = -v \left(\frac{\partial p}{\partial v} \right)_T.$$

Setzt man (18) und (19) in Gl. (17) ein, so resultiert:

$$v_p - v_s = \frac{pK}{T} v_s^2 \alpha^2,$$

oder, da man für feste und flüssige Körper annimmt $\alpha = \alpha_0$, setzen darf:

$$(19) \quad v_p - v_s = TK \alpha_0 v_s^2.$$

Nach dieser Gleichung kann die Differenz der beiden spezifischen Wärmen für jeden Körper berechnet werden, für den die elastischen Daten (Elastizitätsmodul E und Torsionsmodul μ) sowie der Ausdehnungskoeffizient bekannt sind.

Für Aluminium ist z. B. nach pag. 578 des I. Bandes:

der Elastizitätsmodul E : 7300 kg/cm²,

der Torsionsmodul μ : 3787 kg/cm².

Daraus berechnet sich der Kompressibilitätsmodul zu: $K = 10868 \text{ kg/cm}^2$; ferner ist der kollektive Ausdehnungskoeffizient $\alpha = 0,00009$, das spezifische Volumen bei 0°C: $v_0 = \frac{1}{\rho_0} = \frac{1}{2,70}$.

Mit diesen Daten berechnet sich für Aluminium:

$$\text{mit } \frac{1}{\rho_0} (v_p - v_s)_0 = 0,018 \frac{\text{cm}^3}{\text{gr} \cdot \text{grad}},$$

also sehr klein. Für Quecksilber ist die Differenz ebenfalls größer, wegen des großen Ausdehnungskoeffizienten; für ideale Gase ist sie bekanntlich $\frac{R}{\alpha}$, wie auch aus (19) folgt.

Zweites ist es unvollständig, T und p als unabhängige Variablen zu wählen, weil diese bei experimentellen Untersuchungen leicht konstant gehalten werden können. Dann haben wir die Formel:

$$(22) \quad \begin{cases} d\varepsilon = \left(\frac{\partial \varepsilon}{\partial T}\right)_p dT + \left(\frac{\partial \varepsilon}{\partial p}\right)_T dp \\ \quad \quad \quad \left(\frac{\partial \varepsilon}{\partial T}\right)_p dT + \left(\frac{\partial \varepsilon}{\partial p}\right)_T dp + p \left(\frac{\partial \varepsilon}{\partial T}\right)_p dT + p \left(\frac{\partial \varepsilon}{\partial p}\right)_T dp \end{cases}$$

oder, da $d\varepsilon$ und dT gegenseitig unabhängig voneinander sind:

$$(23) \quad \begin{cases} \left(\frac{\partial \varepsilon}{\partial T}\right)_p = \frac{1}{T} \left\{ \left(\frac{\partial \varepsilon}{\partial T}\right)_p + p \left(\frac{\partial \varepsilon}{\partial T}\right)_p \right\} \\ \left(\frac{\partial \varepsilon}{\partial p}\right)_T = \frac{1}{T} \left\{ \left(\frac{\partial \varepsilon}{\partial p}\right)_T + p \left(\frac{\partial \varepsilon}{\partial p}\right)_T \right\} \end{cases}$$

Erheben wir daraus, um an einer partiellen Ableitung zu kommen, ε durch Kreuzweise Differenzieren, so folgt:

$$\begin{aligned} \frac{\partial \varepsilon}{\partial T} &= \frac{1}{T} \left\{ \frac{\partial \varepsilon}{\partial T} - \left(\frac{\partial \varepsilon}{\partial p}\right)_T + p \frac{\partial \varepsilon}{\partial T} \right\} \\ &= \frac{1}{T} \left\{ \frac{\partial \varepsilon}{\partial T} + p \frac{\partial \varepsilon}{\partial T} \right\} - \frac{1}{T} \left\{ \left(\frac{\partial \varepsilon}{\partial p}\right)_T + p \left(\frac{\partial \varepsilon}{\partial p}\right)_T \right\} \end{aligned}$$

oder:

$$(24) \quad \left(\frac{\partial \varepsilon}{\partial p}\right)_T = -\frac{1}{T} \left\{ \left(\frac{\partial \varepsilon}{\partial p}\right)_T + p \left(\frac{\partial \varepsilon}{\partial p}\right)_T \right\}$$

Berücksichtigt man ferner, daß nach Gl. (22) der zweite Klammerausdruck (24) ist:

$$(25) \quad \left(\frac{\partial \varepsilon}{\partial T}\right)_p - p \left(\frac{\partial \varepsilon}{\partial T}\right)_p = c_p \text{ ist,}$$

so gehen mit (24) und (25) die beiden Überlagerungen (24) über in:

$$(26) \quad \begin{cases} \left(\frac{\partial \varepsilon}{\partial p}\right)_T = -\frac{c_p}{T} \\ \left(\frac{\partial \varepsilon}{\partial T}\right)_p = -\left(\frac{\partial \varepsilon}{\partial T}\right)_p \end{cases}$$

welche die physikalische Bedeutung der partiellen Ableitungen von ε feststellen. Die erste ist übrigens nicht ohne Nachdruck erwähnlich. Denn nach Definition (7) ist $d\varepsilon = \frac{dQ}{T}$, und bei konstantem p ist $dQ = c_p dT$, also hat man

$$d\varepsilon_p = \frac{c_p dT}{T}$$

woraus durch Division mit dT sofort der angegebene Wert folgt.

Die Gl. (26) kann, wie die analoge (18) dazu dienen, ε zu berechnen. Man hat unmittelbar:

$$(27) \quad d\varepsilon = \frac{c_p}{T} dT - \left(\frac{\partial \varepsilon}{\partial p}\right)_T dp$$

woraus sich z. B. für ideale Gase der bekannte Wert ergibt. Das weitere kann (26) nach dem benutzt werden, um angestrichelte Werte für die Entropiefunktion zu gewinnen, wenn man c_p und den Ausdehnungskoeffizienten als konstant betrachtet. Auch darauf werden wir noch zurückkommen.

Aus der Gl. (15) erhält man schließlich durch konsequente Differentiation, betref. Konstanten von α , die folgende Beziehung, die wieder zur Prüfung des II. Hauptsatzes dienen kann:

$$(17) \quad \frac{1}{T} \left(\frac{\partial \alpha}{\partial T} \right)_p = - \left(\frac{\partial^2 \alpha}{\partial T^2} \right)_p,$$

die ganz analog zu Gl. (16) ist. Es folgt z. B. daraus, daß, wenn α nur linear von der Temperatur abhängt, d. h. wenn der kalorische Ausdehnungskoeffizient unabhängig von T ist, α nicht von Druck abhängt. Das ist zwar bei idealen Gasen, aber z. B. nicht mehr bei solchen realen der Fall, die der van der Waalschen Gleichung gehorchen. Man erhält daher eine komplizierte Abhängigkeit, auf die wir in einem anderen Zusammenhang in der nächsten Nummer zurückkommen.

48. Körper, Strahlung, freie Energie realer Gase.

Wir wollen nun dazu übergehen, die thermodynamischen Eigenschaften eines Gases zu bestimmen, das der van der Waalschen Gleichung

$$(18) \quad \left(p + \frac{a}{v^2} \right) (v - b) = \frac{R}{m} T$$

gehört. Es ist bereits im II. Kapitel mehrfach darauf hingewiesen worden, daß man das gesamte thermodynamische Verhalten eines Stoffes bestimmt, wenn man außer der Zustandsgleichung noch die Energiegleichung kennt. Denn dann kann man z. B. die adiabatische Bedingung aufstellen, den Carnotschen Wirkungsgrad mit dieser Beziehung durchführen, das Verhalten des spezifischen Wärmes feststellen, den Gay-Lussacs-Faktor berechnen usw.

Es kommt also alles darauf an, die Energiegleichung eines realen Gases zu bestimmen. Dazu können wir z. B. von der in Nr. 48 mit Hilfe des II. Hauptsatzes hergeleiteten Gl. (12) ausgehen, die wir, nach $\left(\frac{\partial \alpha}{\partial v} \right)_T$ aufgelöst, schreiben:

$$(19) \quad \left(\frac{\partial \alpha}{\partial v} \right)_T = T \left(\frac{\partial^2 \alpha}{\partial T^2} \right)_v - T.$$

Die rechte Seite ist durch die van der Waalsche Zustandsgleichung (18) gegeben. Bilden wir zunächst $\left(\frac{\partial^2 \alpha}{\partial T^2} \right)_v$, so folgt:

$$\left(\frac{\partial^2 \alpha}{\partial T^2} \right)_v = \frac{R}{m(v-b)};$$

also ergibt sich aus (19):

$$(20) \quad \left(\frac{\partial \alpha}{\partial v} \right)_T = \frac{RT}{m(v-b)} - \frac{RT}{m(v-b)} + \frac{a}{v^2} = \frac{a}{v^2},$$

woraus durch Integration bei konstantem T folgt:

$$(21) \quad \alpha = - \frac{a}{v} + \varphi(T),$$

wo $q(T)$ eine noch unbekannte Funktion von T bedeutet, da ja die Integration bei konstantem T vorgenommen wurde. Zu deren Bestimmung können wir aber die Zustandsgleichung der idealen Gase $p = c_p T = \text{Const.}$ heranziehen, da bei sehr großen Werten von r das Verhalten des realen Gases sich unbegrenzt dem des idealen nähern muß. In unserem speziellen Falle muß bei unendlich großem r Gl. (85) in die oben genannte Zustandsgleichung der idealen Gase übergehen. Wir haben also die Bedingung:

$$(86) \quad \lim_{r \rightarrow \infty} q(T) = c_p T = \text{Const.},$$

wo c_p die spezifische Wärme bei konstantem Volumen des reinen Gases ist, in das das reale Gas bei unendlicher Verdünnung übergeht.

Jetzt ist $q(T)$ bestimmt, und daraus ergibt sich sofort für die spezifische Entropie eines realen Gases, das der v. d. Waalschen Gleichung gehorcht:

$$(87) \quad s = c_{p,0} T + \frac{r}{T} + \text{Const.}$$

Nun ist aber definitionsgemäß $c_p = \left(\frac{ds}{dT} \right)_p$, was in Anwendung auf Gl. (87) ergibt:

$$c_p = c_{p,0}.$$

d. h. c_p ist auch absolute Konstante für alle der von der Waalschen Gleichung gehorchenden Gase; der Index 0 kann daher fortgelassen werden.

Hätten wir eine andere Zustandsgleichung zugrunde gelegt, so würde ein entsprechend anderer Ausdruck von c_p gefunden werden sein. Es ist jedoch wichtig, sich klar zu machen, daß, wenn wir die von der Waalschen Gleichung besitzen, wir notwendigerweise zu der Zustandsgleichung (87) geführt werden. Diese ist dann auch die einzige, die verwendet werden darf, da sie durch den zweiten Hauptsatz als notwendig gefordert wird.

Jetzt ist es leicht, den Wert der spezifischen Entropie s für das reale Gas zu bestimmen. Denn wir haben ja die Definition:

$$ds = \frac{dq + p dv}{T},$$

und das gibt, auf unseren Fall angewendet:

$$(88) \quad ds = \frac{c_p dT + \frac{R}{T} dr + \frac{RT}{(r-\beta)^2} dr - \frac{R}{\beta} dr}{T} = \frac{c_p}{T} dT + \frac{R}{(r-\beta)^2} dr,$$

was integriert sofort liefert:

$$(89) \quad s = c_p \log T + \frac{R}{\beta} \log (r - \beta) + \text{Const.},$$

d. h. einen Wert, der sich nur durch das Auftreten der Größe β von dem entsprechenden für ideale Gase unterscheidet. Daraus haben wir sofort die Bedingung der Ähnlichkeit; es ist ja dafür $s = \text{Const.}$, also:

$$c_v \log T + \frac{R}{m} \log (p - p_0) = \text{Const.},$$

oder:

$$(36) \quad T (p - p_0)^{\frac{R}{m c_v}} = \text{Const.},$$

welche die isothermische Kurve in der p - T -Ebene charakterisiert ist. Mit Hilfe der Zustandsgleichung (35) findet man für die Gleichung dieser Kurve in der p - v -Ebene:

$$(37) \quad \left(p + \frac{a}{v^2}\right) (v - b)^{\frac{R + m a}{m c_v}} = \text{Const.},$$

beide direkte Verallgemeinerungen der Gleichungen $p v^{\gamma} = \text{Const.}$ bzw. $p v = \text{Const.}$ für ideale Gase.

Für die spezifischen Wärmen c_v und c_p angeht, so wurde bereits in der vorhergehenden Nummer bemerkt, daß für warmes reales Gas $\left(\frac{\partial c_v}{\partial v}\right)_T = 0$, gemäß Gl. (15), d. h. c_v nicht von v abhängt. Aber wir können jetzt noch allgemeiner sagen, daß nach (36) c_v eine vollkommenste Konstante ist, und zwar die niedrigste, die nach dem betreffenden kühlen Gas angenommen wurde, wie wir schon oben bemerkt haben. Die Einführung der van der Waalschen Zustandsgleichung an Stelle der idealen Zustandsgleichung verändert also c_v nicht. Dagegen liefert Gl. (17) für c_p den Wert:

$$c_p = c_v + T \left(\frac{\partial p}{\partial v}\right)_T \left(\frac{\partial v}{\partial T}\right)_p^2,$$

was im warmen Fall ergibt:

$$(38) \quad c_p = c_v + \frac{R^2 T}{m^2 (v - b)^2} = \frac{R^2 T}{m^2 (v - b)^2} + \frac{1}{m(v - b)} - \frac{2a(v - b)}{v^3}.$$

Wenn c_v als Funktion von v und T völlig bestimmt ist, für $v = p = 0$ geht diese Gleichung natürlich in die bekannte $c_p = c_v + \frac{R}{m}$ für ideale Gase über. Die Differenz von (38) gegenüber dieser einfachen Gleichung ist im allgemeinen äußerst klein.

Es bietet nun nicht mehr die geringste Schwierigkeit, einen vollständig bis in alle Einzelheiten berechneten Carnotschen Prozess durchzuführen. Man überzeugt sich hierbei auch leicht, daß in der Tat der Hauptsatz derselbe ist wie bei einem idealen Gas, wie es nach dem zweiten Hauptsatz sein muß.

Wir wollen schließlich noch die spezifische freie Energie $f = u - T v$ bilden. Dafür finden wir nach (34) und (35):

$$(39) \quad f = c_v T - \frac{a}{v} + c_v T \log T - \frac{R T}{m} \log (p - p_0) + A + B T;$$

die Konstante der Temperatur ($A + B T$) bleibt dabei, wie immer, unbekannt.

42. Der Gay-Lussac'sche und der Thomson-Foucault'sche Versuch mit einem reellen Gase.

Es ist nun auch möglich, den in Nr. 38 beschriebenen Gay-Lussac'schen Versuch mit einem reellen Gase vollständig zu berechnen. Bei demselben wird keine äußere Wärme zugeführt und keine äußere Arbeit geleistet. Dementsprechend haben der erste Hauptsatz:

$$(40) \quad u_2 = u_1,$$

Dieser Gleichung, die wir ja natürlich auch schon früher anzuwenden konnten und tatsächlich angewandt haben, können wir jetzt ihren vollen Inhalt geben, indem wir den expliziten Ausdruck der spezifischen inneren Energie des reellen Gases nach Gl. 32, 33, in sie einsetzen. Dann kann schick man:

$$c_v T_2 + \frac{a}{v_2} = c_v T_1 + \frac{a}{v_1},$$

oder:

$$T_2 - T_1 = \frac{a}{c_v} \left(\frac{1}{v_2} - \frac{1}{v_1} \right) = - \frac{a}{c_v} \frac{1}{v_1 v_2} \Delta v,$$

oder auch:

$$(41) \quad \Delta T = - \frac{a \Delta v}{c_v v_1 v_2},$$

die für unendlich kleine Änderungen übergeht in:

$$(42) \quad dT = - \frac{a dv}{c_v v^2}.$$

Man erkennt unmittelbar aus dieser Gleichung, daß ΔT negativ ist. Null ist, da a , c_v , v_1 , v_2 sämtlich positiv sind. Es tritt also beim Gay-Lussac-Foucault'schen Versuch stets eine Abkühlung ein. Nach den Zahlenwerten für a , die in Nr. 38 angegeben wurden, berechnet man, wenn die Volumenzunahme des Gases gerade auf das Doppelte des ursprünglichen Volumens oder auf die Hälfte des ursprünglichen Dichtes bringt, für

$$(43) \quad \begin{cases} \text{CO}_2: \Delta T = - 0,8^\circ \text{ Cels.} \\ \text{O}_2: \Delta T = - 0,18^\circ \text{ „} \\ \text{H}_2: \Delta T = - 0,008^\circ \text{ „} \end{cases}$$

Dies rechtfertigt noch einmal den damals gezogenen Schluß, daß die Temperaturerniedrigung um so kleiner ausfällt, je mehr das Gas dem idealen Zustande sich annähert, sowie, daß für ideale Gase selbst die Temperaturänderung sich gleich Null ergeben würde. Andererseits aber sieht man auch, wie ungenügend vom experimentellen Standpunkte die Annahme von Gay-Lussac war: es hätte genügt, nur eine Temperaturerniedrigung bedurft, um bei seiner Annahme die obigen Temperaturänderungen — man muß bedenken, daß der ganze Apparat von Wasser umgeben war! — zu konstatieren. Eine Verbesserung der Methode war demnach unbedingt notwendig.

Gehen wir daher jetzt zu dem Thomson-Joule-Versuch über, den wir, wie den Gay-Lussac'schen, mit der Mäxwellschen Artgattung denken wollen. Nach Gl. (42) des II. Kapitels auf pag. 99 haben wir hier:

$$(43) \quad v_2 - v_1 = p_1 v_1 - p_2 v_2.$$

Man sieht bereits hier, daß der Thomson-Joule-Prozess thermisch weniger einfach ist; dafür ist die experimentelle Methode, wie früher auseinandergesetzt, unvergleichlich verfeinert.

Durch Einsetzen unseres Zustandsgesetzes (35) in (43) erhalten wir sofort:

$$(44) \quad c_v (T_2 - T_1) = c_v T_2 + \frac{a}{v_1} = p_1 v_1 - p_2 v_2,$$

wo die rechte Seite gemäß der Zustandsgleichung (35) zu bilden ist. Wir finden:

$$p_1 v_1 = \frac{R}{a} T_1 + \frac{a}{v_1} + \beta (p_1 + \frac{R}{v_1^2}),$$

$$p_2 v_2 = \frac{R}{a} T_2 + \frac{a}{v_2} + \beta (p_2 + \frac{R}{v_2^2}).$$

Die Subtraktion liefert:

$$p_1 v_1 - p_2 v_2 = \frac{R}{a} (T_2 - T_1) + a \left(\frac{1}{v_1} - \frac{1}{v_2} \right) + \beta (p_1 - p_2),$$

wenn das Glied mit $a\beta$, als klein von höherer Ordnung, fortgelassen wird. Durch Einsetzen in (44) folgt weiter:

$$(45) \quad \left(c_v + \frac{R}{a} \right) (T_2 - T_1) = a \left(\frac{1}{v_2} - \frac{1}{v_1} \right) + \beta (p_1 - p_2).$$

Setzt man hierin für $\frac{R}{a}$ den Näherungswert für ideale Gase ($c_p - c_v$), was nach dem vorher zu Gl. (35) Bemerkten sehr nahe richtig ist, ersetzt man ferner das Faktum $\frac{1}{v}$ durch den Näherungswert $\frac{p}{RT}$, so folgt weiter:

$$c_p (T_2 - T_1) = \frac{R}{2} \left(\frac{p_1}{p_2} - \frac{p_2}{p_1} \right) + \beta (p_1 - p_2),$$

oder:

$$c_p (T_2 - T_1) = \frac{R}{2} \frac{p_1 - p_2}{p_1 p_2} + \beta (p_1 - p_2).$$

Da schließlich $T_2 - T_1$ sehr klein ist, kann ungekürzt geschrieben werden:

$$c_p (T_2 - T_1) = \frac{R}{2} \frac{p_1 - p_2}{p_1^2} + \beta (p_1 - p_2).$$

¹⁾ Man erkennt hier sogleich, daß beim Thomson-Joule-Prozess gerade die in Nr. 34, Gl. (33) auf pag. 149 eingeführte Größe $\beta = \beta' + p\beta''$ (bzw. auf die Mäxwellsche bezogen: $\beta = u + p\alpha$), d. h. der sogenannte „Wärmehalt“, konstant bleibt. Denn Gl. (44) kann offenbar geschrieben werden:

$$c_v - c_p = 0.$$

Das gilt im wesentlichen für alle sogenannten „Grenzzustände“.

oder endlich:

$$(37) \quad \frac{\partial T}{\partial P} = \frac{1}{\alpha} \left[\frac{\partial n}{\partial P} - \beta \right],$$

die die Temperaturänderung pro Einheit des Druckunterschiedes angibt.

Auch an dieser Formel kann man sehen, daß die Theorie des Thomsen-Joule-Fraunhofer komplizierter ist, als die des Gay-Lussac'schen. Denn die Temperaturänderung, die bei einer Druckveränderung eintritt, kann positiv, Null oder negativ sein, je nachdem der Ausdruck

$$\frac{\partial n}{\partial P} - \beta$$

ist. Daraus resultiert, abgesehen von den Konstanten α und β die von der Wäselischen Gleichung die Temperatur, bei der der Versuch angestellt wird. Man merkt jedenfalls, daß es bei jeder Substanz eine Temperatur gibt, die sogenannte „Inversionstemperatur“ T_i , bei der

$$(38) \quad \frac{\partial n}{\partial P} = \beta$$

ist. Für höhere Temperaturen ($T > T_i$) tritt bei Druckveränderung Temperaturerhöhung, bei niedrigeren Temperaturen ($T < T_i$) umgekehrte Temperaturveränderung ein. Wir wählen die Inversionstemperaturen für die Gase CO_2 , O_2 , H_2 , für die wir den Gay-Lussac'schen Versuch berechnet haben, beistellen. Man findet die folgenden Werte:

$$(39) \quad \left\{ \begin{array}{l} \text{für } \text{CO}_2: T_i = 50^\circ \text{ ab.} \\ \text{für } \text{O}_2: T_i = 78^\circ \text{ ab.} \\ \text{für } \text{H}_2: T_i = 58^\circ \text{ ab.} \end{array} \right.$$

Nach diesen Befunden ist zu erwarten, daß Wasserstoff sich bei gewöhnlicher Temperatur umgekehrt verhalten werde, wie CO_2 und O_2 . In der Tat beobachteten Thomson und Joule, wie schon in Nr. 26 berichtet, für Wasserstoff bei Druckveränderung eine geringe Temperaturerhöhung, und das weitere hat Olszewski zeigen können, daß auf -88°C , d. h. unter die Inversionstemperatur, abgekühlter Wasserstoff eine Temperaturveränderung erfährt, wie die CO_2 und O_2 schon bei normaler Temperatur zeigen. Qualitativ besteht also also die von der Wäsel'schen Gleichung recht gut, aber quantitativ sind Abweichungen vorhanden, indem schon bei niedrigeren Temperaturen, als die eben berechnet sind, Inversion eintritt. Wesentlich ist jedenfalls, daß das umgekehrte Verhalten des Wasserstoffs bei normalen Temperaturen nicht auf einer besonderen Eigenschaft des Wasserstoffs beruht, die anderen Gasen nicht zukäme, sondern daß es eine allgemeine Eigenschaft aller Gase ist, die nur bei sehr verschiedenen Temperaturen eintritt. Daß überhaupt diese Komplikation gegenüber dem einfachen Ergebnis des Gay-Lussac'schen Versuches sich einstellt, beruht offenbar ausschließlich darauf, daß bei letzterem die kalte Schicht in Strömung

gleich Null ist, während beim Thomson-Joule-Prozess die, obigen im allgemeinen kleine, Arbeit $(p_1 v_1 - p_2 v_2)$ auftritt.

Bemerkenswert ist ferner, daß der Thomson-Joule-Effekt praktisch in den Maschinen zur Verflüssigung der Gase, z. B. der Luft und des Wasserstoffs, wie sie von Linde und Hampson angegeben sind, verwendet wird. Dabei hängt die Lage des Inversionspunktes für Wasserstoff die Maschine warmer verlaufen würde, als er hineingeführt wurde. Er bedarf daher zum Zwecke der Verflüssigung einer vorherigen Abkühlung unter -100°C , d. h. unter den Inversionspunkt. Genauso ebenso verhält sich ferner auch Helium, dessen Verflüssigung eben deshalb solche Schwierigkeiten bereitet, weil sein Inversionspunkt ebenso niedrig liegt.

44. Diffusion reiner Gase.

Es ist interessant, sich die Frage vorzulegen, wie die Diffusion reiner reiner Gase, die der von der Van der Waalschen Gleichung gehorchen, verläuft geht, d. h. insbesondere, ob und in welchem Betrage eine Temperaturänderung dabei auftritt. Diese Frage wäre ohne weiteres zu beantworten, wenn wir für Gemische reiner Gase die Zustandsgleichung (und Energiegleichung aus dem Zustands- bzw. Energie-Gleichungen der Bestandteile des Gemisches zusammen setzen könnten. Wenn dieses Gelingen ist, der Fall: es tritt in der Zustandsgleichung stattdessen ein mittleres Molekulargewicht an die Stelle des wirklichen, in der Energiegleichung die mittlere spezifische Wärme \bar{c}_v des Gemisches an Stelle der wahren spezifischen Wärme c_v . Es kommt nun bei realen Gasen darauf an, die von der Van der Waalschen Konstanten a, b des Gemisches in geschätzte Weise aus den Konstanten a_1, b_1 und a_2, b_2 der Komponenten zu gewinnen.

Diese Aufgabe ist nicht allgemein gelöst. Aber nehmen wir einfach an, sie sei für einen speziellen Fall gelöst, so können wir die Frage nach dem Diffusionsvorgang entsprechend beantworten.

Es seien M_1, M_2 die Massen, m_1, m_2 die Molekulargewichte, c_1, c_2 die spezifischen Wärmen bei konstantem Volumen, V_1 und V_2 die Volumina der beiden Komponenten bei dem gemeinsamen Drucke p_1 und der gemeinsamen Temperatur T_1 . Dann lauten die Energiegleichungen vor der Mischung:

$$(30) \quad \begin{cases} U_1 = M_1 \left[c_{v1} T_1 - \frac{a_1}{V_1} \right], \\ U_2 = M_2 \left[c_{v2} T_1 - \frac{a_2}{V_2} \right]. \end{cases}$$

Nach der Mischung stellt das Mischgas von der Masse $(M_1 + M_2)$ das Volumen $(V_1 + V_2)$ bei der Temperatur T_2 dar; die mittlere spezifische Wärme ist $\bar{c}_v = \frac{M_1 c_{v1} + M_2 c_{v2}}{M_1 + M_2}$. Also ist die Energie \bar{U} nach der Mischung:

$$(31) \quad \bar{P} = (M_1 - M_2) \left\{ \frac{M_1 v_1 - M_2 v_2}{M_1 - M_2} T_1 - \frac{n(M_1 - M_2)}{v_1 - v_2} \right\}.$$

Da nun der Diffusionsvorgang in einem abgeschlossenen Gefäß, d. h. ohne Transportarbeit und ohne Arbeitserleistung vor sich geht, so muß $\bar{P} = \bar{P}_1 = \bar{P}_2$ sein. Nach (30) und (31) ergibt sich also:

$$(M_1 - M_2) \left\{ \frac{M_1 v_1 - M_2 v_2}{M_1 - M_2} T_2 - \frac{n(M_1 - M_2)}{v_1 - v_2} \right\} = M_1 \left\{ \frac{v_1}{v_1 - v_2} T_1 - \frac{n_1 M_1}{v_1 - v_2} \right\} + M_2 \left\{ \frac{v_2}{v_1 - v_2} T_1 - \frac{n_2 M_2}{v_1 - v_2} \right\},$$

woraus sich für die Temperaturberechnung $T_2 \rightarrow T_1$ die Gleichung ergibt:

$$(32) \quad T_2 = T_1 + \frac{1}{M_1 v_1 - M_2 v_2} \left\{ \frac{n_1 M_1 v_1 - n_2 M_2 v_2}{v_1 - v_2} - \frac{n_1 M_1}{v_1} - \frac{n_2 M_2}{v_2} \right\}.$$

Wir wollen nunmehr durch eine Überschlagsrechnung, um eine Vorstellung von der Größe von $T_2 - T_1$ verschaffen, und zwar wählen wir 44 g Wasserstoff und 28 g Stickstoff zu 100 g atmosphärischer Luft auszumischbar gemischt. Der Druck der beiden Gase betrage eine Atmosphäre. Ihre gemeinsame Temperatur sei $T_1 = 20^\circ \text{ abs.}$ oder 293° C.

Nun finden sich in der Literatur für den kritischen Druck p_k und die kritische Temperatur T_k des atmosphärischen Luft nach Messungen von Hirschmachi folgende Werte angegeben:

$$(33) \quad T_k = 192^\circ \text{ abs.} = -140^\circ \text{ C.; } p_k = 49,0 \text{ Atm.}$$

Aus diesen Daten können wir nach den Formeln (7) die ersten Kapillardruck p_{k1} der Konstanten β und β' der van der Waals'schen Formel für Luft berechnen:

$$(34) \quad p_k = \frac{1}{27} \frac{a}{v_k^2}, \quad T_k = \frac{a}{27} \frac{a}{R} \frac{1}{v_k^2},$$

wobei $a = 25,9$ dem mittleren Molekulargewichte der Luft zu setzen ist. Man findet die folgenden, natürlich im absoluten Maße ausgedruckten Werte (die entsprechenden für O_2 und N_2 sind zum Vergleich dargestellt):

	a	β
Luft	$1050 \cdot 10^6$	1,29
O_2	$1320 \cdot 10^6$	0,894
N_2	$1060 \cdot 10^6$	1,21

Damit erhalten wir nach (32) für die Temperaturdifferenz $T_2 - T_1$ die folgende Gleichung:

$$\Delta T (T_1 - T_2) = \left\{ \frac{1050 \cdot 1050}{(27 \cdot 293)^2} - \frac{11 \cdot 1050}{(27)} - \frac{79 \cdot 2550}{(27)} \right\} 4,31 \cdot 100 \cdot 100 \cdot 10^6,$$

wo $v_k = 0,17 \cdot 4,39 \cdot 10^2 \frac{273}{27 \cdot 293}$ zu setzen ist. Dabei sind die Volumina V_1 und V_2 nach der für ideale Gase gültigen Formel berechnet:

$$\Gamma_1 = \frac{RT_1}{p_1} \cdot \frac{M_1}{m_1},$$

$$\Gamma_2 = \frac{RT_2}{p_2} \cdot \frac{M_2}{m_2},$$

oder, da hier $T_1 = 293$, $p_1 = 1$ Atmosphäre $= 10^6$ ist:

$$\Gamma_1 = \frac{8,31 \cdot 10^6 \cdot 293}{10^6} \cdot \frac{28}{29},$$

$$\Gamma_2 = \frac{8,31 \cdot 10^6 \cdot 293}{10^6} \cdot \frac{70}{29}.$$

Die Ausrechnung liefert den Wert:

$$(22) \quad T_2 - T_1 = -0,0028^\circ \text{C}.$$

Die Zahl ist allerdings durchaus nicht zuverlässig, da die Berechnung von δ und β aus den kritischen Daten sehr ungenau ist. Die von der Thomsen-Gleichung gilt eben nur angenähert und vermag meist in der allernähesten Näherung gerade der kritischen Zustände. Innerhalb viel man von dem Ergebnis entnehmen dürfen, daß die Diffusion sehr angenähert so vor sich geht, als ob die Gase ideal wären.

Eine andere Möglichkeit der Berechnung ist die, vom Joule-Thomson-Effekt für Luft, Sauerstoff und Stickstoff auszugehen. Stellt man sich daher p eine geeignete Formel auf, so läßt sich aus dieser, die natürlich nur einen sehr beschränkten Gültigkeitsbereich hat, eine angenäherte Zustandsgleichung gewinnen, womit die Behandlung wieder auf die oben ständige zurückgeführt ist. Diese Berechnung sollte eigentlich bessere Resultate liefern können, da man die Diffusion bei etwa denselben Temperaturen wie des Thomson-Joule-Versuch vor sich gehen lassen kann; doch gestatten die Thomson-Joule'schen Versuche leider nicht, für O_2 und N_2 die gewünschte empirische Gleichung aufzustellen, da zu wenig Versuche gemacht sind.

43. Inkompensable (harte oder harte) Körper unter städtischem Druck.

In erster Näherung können feste und flüssige Körper, in deren Behandlung wir jetzt übergehen wollen, als inkompensabel betrachtet werden, d. h. ihre Dichte oder ihr spezifisches Volumen hängen gar nicht vom Druck ab. Durch diese Bemerkung erleichtern wir uns die Aufstellung einer angenäherten Zustandsgleichung, indem man das spezifische Volumen v nur noch von der Temperatur T abhängt. Und zwar ist bekanntlich angenähert:

$$(23) \quad v = v_0[1 + \alpha(T - T_0)].$$

Dies ist also bereits die angenäherte Zustandsgleichung einer inkompensablen Substanz, die jedenfalls innerhalb eines hinreichend kleinen Temperaturbereichs mit Konstantem α Gültigkeit besitzt.

Wir wollen nun die entsprechende Energiegleichung bilden. Dazu schlagen wir jetzt einen etwas anderen Weg ein, da hier offenbar zweckmäßig T

und p als unabhängige Variable genommen werden. Zunächst ist es leicht, einen Ausdruck für die spezifische Entropie s zu finden, indem man von Gl. (26) ausgeht, auf deren Bedeutung wir schon hingewiesen haben. Wir haben also hier:

$$(27) \quad ds = \frac{c_p}{T} dT + \left(\frac{\partial s}{\partial p} \right)_T dp = c_p \frac{dT}{T} + v_{\alpha} dp,$$

woraus sich, wenn c_p und v_{α} als Konstante betrachtet werden, ergibt:

$$(28) \quad s = c_p \log T + v_{\alpha} p + c_1.$$

Die weitere Behandlung schließt unmittelbar an die Verwendung des isotherm-isobaren Potentials Φ an, das für die Masseneinheit g geschrieben werden mag. Wir haben nämlich nach (20) und (72) des dritten Kapitels auf pag. 179 die Gleichungen — alle für die Masseneinheit geschrieben —:

$$(29) \quad \left(\frac{\partial \Phi}{\partial p} \right)_T = -v_{\alpha},$$

$$(30) \quad v = T \left[T \left(\frac{\partial \Phi}{\partial T} \right)_p + p \left(\frac{\partial \Phi}{\partial p} \right)_T \right],$$

$$(31) \quad s = s + T \left(\frac{\partial \Phi}{\partial T} \right)_p.$$

Aus der Gl. (31) ist ersichtlich, daß es darauf ankommt, Φ als Funktion von T und p zu finden. Das kann auf folgendem Wege geschehen: Nach (29) und der Zustandsgleichung (26) ist:

$$(32) \quad \left(\frac{\partial \Phi}{\partial p} \right)_T = -\frac{v_{\alpha}}{T} = -\frac{v_{\alpha}(1 + \gamma(T - T_0))}{T},$$

woraus sich durch Integration bei konstantem T folgender Wert von Φ ergibt, der natürlich da die Integration bei konstantem T vollzogen wurde, eine unbekannte Funktion von T enthalten muß:

$$(33) \quad \Phi = -\frac{v_{\alpha}(1 + \gamma(T - T_0))}{T} p + f(T),$$

Man kann diese Funktion $f(T)$ in der Weise bestimmen, daß man mit (33) die rechte Seite der in (31) vorkommenden Klammern von s bildet, und diesen Wert mit dem bereits bekannten aus Gl. (28) vergleicht. Es entsteht die Gleichung:

$$(34) \quad \left\{ \begin{aligned} s &= c_p \log T + v_{\alpha} p + c_1 = -\frac{v_{\alpha}(1 + \gamma(T - T_0))}{T} p + f(T) \\ &\quad + \frac{v_{\alpha}(1 + \gamma(T - T_0))}{T} p - c_1 v_{\alpha} p + T f'(T), \end{aligned} \right.$$

Daraus folgt zur Bestimmung der unbekannten Funktion die Differentialgleichung:

$$(35) \quad c_p \log T + c_1 = f(T) + T f'(T) = \frac{d}{dT} [T f(T)],$$

die durch direkte Quadratur liefert:

$$f(T) = c_p \log T - c_p + c_1 + \frac{c_p}{\gamma}.$$

Also liefert:

$$(61) \quad f(T) = \frac{c_p}{\gamma} T - \frac{c_v}{\gamma} T.$$

Demgemäß wird das isothermale Potential der Masseneinheit φ nach (51) und (55):

$$(62) \quad \varphi = c_p \log T - \frac{R}{\gamma} [1 + \alpha(T - T_0)] + (c_1 - c_2) + \frac{c_2}{\gamma} T.$$

Eine lineare Funktion von $\frac{1}{\gamma}$ bleibt dabei unbestimmt, wie es in der Natur der Sache liegt. Damit ist φ als Funktion von T und p bestimmt, und man erhält aus der Gl. (57) für den noch zu bildenden Wert $\left\{\frac{\partial \varphi}{\partial T}\right\}_p$:

$$(63) \quad \left\{\frac{\partial \varphi}{\partial T}\right\}_p = \frac{c_p}{\gamma} + \frac{R}{\gamma} [1 + \alpha(T - T_0)] - \frac{R}{\gamma} \frac{1}{T} - \frac{c_2}{\gamma}.$$

Nachdem kann nach (52) und (58) der Ausdruck (60) für die gesuchte spezifische Energie u gebildet werden:

$$u = T \left[c_p + \frac{R}{\gamma} (1 + \alpha(T - T_0)) - c_2 \alpha p - \frac{R}{\gamma} (1 + \alpha(T - T_0)) - \frac{c_2}{\gamma} \right],$$

was ausgerechnet ergibt:

$$(64) \quad u = c_p T - c_2 \alpha p T - c_2.$$

Diese Gleichung stellt u als Funktion der Zustandsvariablen T und p dar, womit unser Ziel erreicht ist.

Die Zustandsgleichung (54) und die Energiegleichung (57) bestimmen nunmehr das thermodynamische Verhalten unserer Substanz, natürlich nur so weit, als eben die Näherungen Gültigkeit besitzen.

Wir konnten jetzt z. B. mit dieser Substanz einen Carnot'schen Kreisprozeß vornehmen und denselben in allen Einzelheiten beschreiben. Insbesondere feststellen, daß sein Wirkungsgrad derselbe ist, wie bei einem idealen Gas, wie es nach der allgemeinen Theorie sein muß. Wir wollen indessen hier nicht näher darauf eingehen, da wir dies in der nächsten Nummer tun wollen, wo wir eine kompressible Substanz untersuchen werden.

Wir wollen vielmehr hier nur einen unendlich kleinen selbstständigen Prozeß vor sich gehen lassen. Dabei ist die Entropie konstant, oder $ds = 0$. Das liefert nach (56) die Gleichung:

$$ds = 0 = \frac{1}{T} dT - \alpha c_2 dp,$$

woraus sich für die Temperaturänderung dT bei der Druckveränderung dp ergibt:

$$(70) \quad dT = \frac{\alpha c_2 T}{\gamma} dp.$$

Demnach haben dT und dp das nämliche oder entgegengesetzte Vorzeichen, je nachdem der kubische Ausdehnungskoeffizient α positiv oder negativ ist; eine Druckänderung ruft gar keine Temperaturänderung hervor, wenn $\alpha = 0$ ist.

Alle drei Fälle sind realisiert bei Wasser oberhalb, bei und unterhalb 4°C . Oberhalb ist der Ausdehnungskoeffizient positiv, unterhalb negativ, bei 4° gleich Null. Demnach hat adiabatische Kompression des Wassers oberhalb 4° Erwärnung, unterhalb Abkühlung zur Folge, bei 4° mit keiner Änderung auf.

Für Wasser ist bei 4° berechnet: statisch $c_p = 1$ und $c_m = \frac{1}{2}$, also

$$dT = \frac{1}{2} T dP.$$

Bei 4° und 4°C besitzt das Wasser die Ausdehnungskoeffizienten

$$4^{\circ}: \alpha = -0,0000061,$$

$$4^{\circ}: \alpha = -0,0000061.$$

Demgemäß ergibt sich für 300 Atmosphären Druckerhöhung die Temperaturänderung $\Delta T = \frac{1}{2} \cdot 273^{\circ}\text{C}$, also außerordentlich klein. (Vgl. 2b) ist durch Versuche von Hagen und Wallerath bestätigt worden.

Übrigens hätte man die auch ohne jede Spezialisierung aus dem allgemeinen Ausdruck für die Ableiten können, der in Gl. (25) gegeben ist. Für eine adiabatische Änderung einer ganz beliebigen Substanz ist nämlich:

$$\frac{1}{T} dT - \left\{ \frac{d\alpha}{dT} \right\}_P dP = 0,$$

der bei Beachtung der Definition des isothermen Ausdehnungskoeffizienten mit (28) völlig identisch ist. Quasiatisch heißt sich der Inhalt von Gl. 2b, den man anwenden die „Thomson'sche Formel“ nennt, so ausgedrückt.

„Körper, die sich beim Erwärmen ausdehnen, verhalten sich bei adiabatischer Kompression, und umgekehrt.“

Bei dieser Gelegenheit mag ein statischer Zahlenvergleich zur adiabatischen Änderung eines festen Körpers angeführt werden. Nach Gl. (25) erhalten wir den folgenden Zahlenwert für die Entropie:

$$(71) \quad s = c_p \log T - \alpha r_p + \text{Const.}$$

Zwei Zustände, die durch die Indizes (1) und (2) ausgedrückt werden, angewandt:

$$s_2 - s_1 = c_p \log \frac{T_2}{T_1} - \alpha r_p (p_2 - p_1).$$

Nehmen wir z. B. 1 g Kupfer, das erste Mal bei 4°C unter Atmosphärendruck, das zweite Mal bei 100°C , beim Drucke von 2 Atmosphären. Die notwendigen Daten sind:

$$c_p = 0,084 \frac{\text{cal}}{\text{gr}^{\circ}\text{C}},$$

$$T_1 = 273^{\circ} \text{ abs.}, \quad T_2 = 373^{\circ} \text{ abs.},$$

$$r_p = \frac{1}{\rho} = \frac{1}{8,9},$$

$$\alpha = 0,00001703.$$

Damit ergibt sich die Entropiedifferenz in beiden Zuständen:

$$s_2 - s_1 = 1,58 \cdot 10^6 \left[\frac{\text{erg}}{\text{g}^\circ \text{C}} \right] = 3,69 \left[\frac{\text{cal}}{\text{g}^\circ \text{C}} \right].$$

Das zweite Glied in (71) ist übrigens unter den vorliegenden Bedingungen von sehr geringem Einfluß.

48. Kompressible (oder also flüssige) Körper unter allseitigem Druck.

Um die vorstehenden Betrachtungen zu vervollständigen, wollen wir jetzt das Körper auch als kompressibel ansehen, d. h. sein spezifisches Volumen v soll Funktion von T und p sein. Dann haben wir allgemein:

$$(72) \quad dv = \left(\frac{\partial v}{\partial p} \right)_T dp + \left(\frac{\partial v}{\partial T} \right)_p dT.$$

Nun ist aber $\frac{1}{v} \left(\frac{\partial v}{\partial T} \right)_p = \alpha$ der kubische Ausdehnungskoeffizient, ferner, was wir schon in No. 48 benutzten, $-\frac{1}{v} \left(\frac{\partial v}{\partial p} \right)_T = \frac{1}{K}$, d. h. gleich dem umgekehrten Werte des Kompressionsmoduls K . Wir können also unter Einführung von α und K schreiben:

$$(73) \quad dv = -\frac{v}{K} dp + \alpha v dT,$$

wobei wir im ersten Gliede v durch das konstante v_0 ersetzt haben, was zulässig ist, da v nur sehr wenig vom Drucke abhängt. Die Integration liefert also die Zustandsgleichung:

$$(74) \quad v = -\frac{v_0}{K} p + \alpha_0 v_0 T + \text{Const.} = v_0 \left[1 - \frac{p}{K} + \alpha (T - T_0) \right],$$

wenn die Konstante so bestimmt wird, daß bei $p = 0$ und $T = T_0$ das spezifische Volumen $v = v_0$ wird. Gl. (74) ist eine direkte Verallgemeinerung von Gl. (56) für den inkompressiblen Körper.

Auf dem nämlichen Wege wie in der vorigen Nummer erhalten wir auch die entsprechende Energiegleichung:

$$(75) \quad u = c_v T - v_0 \alpha p T + \frac{v_0 p^2}{2K} = c_1,$$

die sich durch das dritte Glied von der entsprechenden Gl. (58) unterscheidet und mit $K = \infty$ in sie übergeht, wie es auch sein muß.

Ebenso findet man für das isothermale isobare Potential φ pro Masseneinheit:

$$(76) \quad \varphi = c_p \log T - \frac{K \alpha}{p} \left[1 + \alpha (T - T_0) \right] + \frac{v_0 p^2}{2K} + \left[(c_1 - c_2) + \frac{c_p}{\alpha} \right].$$

Mit diesem Körper wollen wir nun einen Carnotschen Kreisprozeß durchrechnen. Die beiden Reservoirs mögen die Temperaturen T_1 und T_2 haben. Allgemein haben wir nach dem ersten Hauptsatze: $ds = d'q + d'a$; also hier:

$$(77) \quad \left\{ \begin{aligned} c_p dT - v_0 \alpha p dT - v_0 \alpha T dp + \frac{v_0}{K} p dp &= d'q + d'a \\ &= d'q + \frac{v_0}{K} p dp - v_0 \alpha p dT. \end{aligned} \right.$$

Diese Gleichung wenden wir zunächst auf den isothermen Teil an, der den Körper von dem Zustande (T_2, p_2) in den Zustand (T_1, p_2) bringt. Dabei ist wegen $dT = 0$:

$$-c_p \alpha T_2 dp + \frac{\gamma}{2} p dp = d\eta_2 + d\eta_1 = d\eta_1 = -\frac{\gamma}{2} p dp,$$

oder:

$$d\eta_1 = -c_p \alpha T_2 dp.$$

also:

$$(75) \quad \left\{ \begin{array}{l} \eta_1 = -c_p \alpha T_2 (p_1 - p_2) \quad \text{entsprechend} \\ \eta_2 = -\int_1^2 p dr = -\frac{\gamma}{2K} (p_2^2 - p_1^2). \end{array} \right.$$

Die anschließende adiabatische Ausdehnung bringt den Körper auf den Zustand (T_1, p_1) ; hier ist $d\eta = 0$, also:

$$d\eta_1 = d\eta_2.$$

Setzt man nach (75):

$$(76) \quad \left\{ \begin{array}{l} \eta_2 = \eta_2(T_2, p_2) - \eta_2(T_1, p_2) = c_p \alpha (T_2 - T_1) - c_p \alpha (p_2 T_2 - p_1 T_2) \\ \quad + \frac{\gamma}{2K} (p_2^2 - p_1^2). \end{array} \right.$$

Jetzt folgt eine isotherme Kompression, die man Punkte (T_1, p_1) , während der die Wärme η_3 aufgenommen und die Arbeit η_4 geleistet wird. Man findet, analog zu (75):

$$(77) \quad \left\{ \begin{array}{l} \eta_1 = -c_p \alpha T_1 (p_1 - p_2), \\ \eta_2 = -\int_1^2 p dr = -\frac{\gamma}{2K} (p_1^2 - p_2^2). \end{array} \right.$$

Endlich erfolgt eine adiabatische Kompression, die den Körper in den Anfangszustand zurückführt, ohne Wärmeaufnahme, aber mit Arbeitsleistung η_4 :

$$(78) \quad \left\{ \begin{array}{l} \eta_4 = \eta_4(T_1, p_1) - \eta_4(T_1, p_2) = c_p \alpha (T_1 - T_2) - c_p \alpha (p_1 T_1 - p_2 T_2) \\ \quad + \frac{\gamma}{2K} (p_1^2 - p_2^2). \end{array} \right.$$

Man überzeugt sich leicht, daß $\eta_1 + \eta_2 = -(\eta_3 + \eta_4 + \eta_5 + \eta_6)$, wie es bei einem Kreisprozeß der Fall sein muß. Ferner findet man für den Wirkungsgrad:

$$\eta = \frac{A + B}{Q_1} = \frac{\eta_1 + \eta_2 + \eta_3 + \eta_4 + \eta_5 + \eta_6}{\eta_1 + \eta_2 + \eta_3 + \eta_4} = 1 + \frac{T_2}{T_1} \frac{p_2 - p_1}{p_2 - p_1}.$$

Dieser Ausdruck kann noch umgestellt werden durch Benutzung der Tatsache, daß die Zustände (T_1, p_1) und (T_2, p_1) einerseits, (T_2, p_2) und (T_1, p_2) andererseits durch einen adiabatischen Prozeß miteinander hervorgehen. Daher ergibt sich nach dem allgemeinen Energieprinzip (7):

$$c_p dT - \alpha p dp = 0,$$

264

Theorie der Wärme.

oder nach Integration mit T und Integration:

$$\text{d.h.} \quad c_p \log T - c_v \log p = \text{const.}$$

Die letzte Seite ist übrigens, wie in die allgemeine Theorie verläuft und man sich leicht durch direkte Berechnung überzeugt, die spezifische Entropie s unseres Körpers, die ja für einen adiabatischen Proceß konstant ist. Bringen wir nun die obige Forderung zum Ausdruck, so ist:

$$c_p \log T_2 - c_v \log p_2 = c_p \log T_1 - c_v \log p_1,$$

$$c_p \log T_2 - c_v \log p_2 = c_p \log T_1 - c_v \log p_1,$$

woraus folgt:

$$c_p \log (p_2 - p_1) = c_p \log \frac{p_2}{p_1} = c_v \log (p_2 - p_1),$$

also:

$$p_2 - p_1 = p_2 - p_1,$$

oder:

$$\frac{p_2 - p_1}{p_2 - p_1} = -1.$$

Damit wird der Wirkungsgrad η :

$$\text{d.h.} \quad \eta = 1 - \frac{T_2}{T_1}.$$

Wie in die allgemeine Theorie verläuft.

Let die vorangehendste Art kann man auch leicht dem Fall bebandeln, daß ein Zylinder, z. B. ein Metallklotz, einem langstrecklichen Zug unterworfen ist; es tritt dann statt des Kompressionsmoduls K der Elastizitätsmodul M auf, statt des Volumens v , die Länge l des Drahtes. Die gesamte Ausdehnung kann dem Leser überlassen bleiben.

Fünftes Kapitel.

Physikalisch heterogene Systeme.

48. Formulierung der Grundgleichungen.

In diesem Kapitel wollen wir uns mit Systemen beschäftigen, die physikalisch nicht sehr komplex sind. Darunter fallen, obwohl chemisch einheitliche Substanzen, wie z. B. H_2O in verschiedenen Aggregatzuständen (Eis, flüssiges Wasser, Wasserdampf), als auch chemisch verschiedene Substanzen, die miteinander Reaktionen eingehen; die verschiedenen Stoffe können gleichzeitig in den drei Aggregatzuständen vorhanden sein, und es handelt sich gerade um die Frage, unter welchen Bedingungen sie in den verschiedenen Zuständen nebeneinander im Gleichgewicht existieren können. Auch die oben erwähnten Probleme des Verdampfens, Schmelzens, Siedens usw. können als Gleichgewichtsprobleme aufgefaßt werden; wir können ja z. B. die Frage stellen: Wann sind Wasser und Wasserdampf nebeneinander im Gleichgewicht? Man sieht also die drei Aggregatzustände nebeneinander im Gleichgewicht sein. Es ist klar, daß bei diesen Fragen die in Nummer 46 behandelten thermodynamischen Grundgleichungen die unverzichtbare Hilfe geben werden.

Denn wir können an diese Art der Behandlung herangehen, d. h. uns lediglich auf die allgemeinen Gleichgewichtsgleichungen stützen, wobei wir die Vorgänge bei Änderung des Aggregatzustandes nach einer etwas anderen Methode behandeln, die von Clausius herrührt. Dabei wird mehr Nachdruck auf die Veränderung der Aggregatzustände, als auf die Gleichgewichtslinie derselben nebeneinander gelegt.

Wir gehen zunächst dazu über, die beiden Hauptätze in die geeignetste Form zu bringen, die eine möglichst direkte Anwendung auf unser Problem gestattet. Für eine unendlich kleine reversible Änderung haben wir — alles auf die Masseneinheit bezogen — die beiden Aussagen:

$$(I) \quad d\epsilon = d'q - p d\epsilon,$$

$$(II) \quad d\epsilon = \frac{d'q}{p},$$

wobei $d'q$ eine reversibel zugeführte Wärmemenge bedeutet. Schon früher, in den Nummern 39 und 42, ist ausdrücksgemäßer worden, wie die Aussagen der beiden Hauptsätze zu verstehen sind; sowohl $d'q$, als auch $d\epsilon = -p d\epsilon$ müssen als lineare Funktionen der Differentiale der

Koordinatenfunktionen ausgedrückt werden. Dann sind dx und dy totale Differenziale, d. h. es existieren gewisse Beziehungen zwischen den Koeffizienten der Koordinaten-Differenziale, und das eben sind die Aussagen der beiden Hauptsätze.

Wir spezifizieren die allgemeine Formulierung hier insoweit, als wir für das eine der beiden Variablen die absolute Temperatur wählen; die andere lassen wir ungenau unbestimmt und nennen sie vorläufig λ . Dann haben wir der Reihe nach:

$$(1) \quad dx = \left(\frac{\partial x}{\partial T}\right)_\lambda dT + \left(\frac{\partial x}{\partial \lambda}\right)_T d\lambda,$$

$$(2) \quad dy = y_\lambda dT + y_\lambda d\lambda,$$

$$(3) \quad dx = -p dy = -p \left\{ \left(\frac{\partial y}{\partial T}\right)_\lambda dT + \left(\frac{\partial y}{\partial \lambda}\right)_T d\lambda \right\},$$

$$(4) \quad dx = \left(\frac{\partial x}{\partial T}\right)_\lambda dT + \left(\frac{\partial x}{\partial \lambda}\right)_T d\lambda.$$

Setzen wir diese Ausdrücke in die Gleichungen (1) und (2) ein, so folgen die Beziehungen:

$$(5) \quad \left(\frac{\partial x}{\partial T}\right)_\lambda = y_\lambda - p \left(\frac{\partial y}{\partial T}\right)_\lambda,$$

$$(6) \quad \left(\frac{\partial x}{\partial \lambda}\right)_T = y_\lambda - p \left(\frac{\partial y}{\partial \lambda}\right)_T,$$

$$(7) \quad \left(\frac{\partial x}{\partial T}\right)_\lambda = \frac{1}{T},$$

$$(8) \quad \left(\frac{\partial x}{\partial \lambda}\right)_T = \frac{1}{T}.$$

Durch kreuzweise Differentiation von (7) und (8), bzw. (5) und (6) zur Elimination von x und y ergibt sich weiter:

$$(9) \quad \frac{\partial y}{\partial T} - \frac{\partial y}{\partial \lambda} = \left(\frac{\partial p}{\partial \lambda}\right)_T \left(\frac{\partial y}{\partial T}\right)_\lambda - \left(\frac{\partial p}{\partial T}\right)_\lambda \left(\frac{\partial y}{\partial \lambda}\right)_T,$$

als Aussage des ersten Hauptsatzes;

$$(10) \quad \frac{\partial}{\partial \lambda} \left(\frac{1}{T}\right) = \frac{\partial}{\partial T} \left(\frac{1}{T}\right) = 0$$

als Aussage des zweiten Hauptsatzes. Durch Ausführung der Differentiationen wird die letzte Gleichung zu:

$$(11) \quad \frac{\partial y}{\partial \lambda} - \frac{\partial y}{\partial T} = -\frac{1}{T}.$$

Kombiniert man dies mit Gl. (9), so folgt als Aussage beider Hauptsätze die Beziehung:

$$(12) \quad -\frac{1}{T} = \frac{\partial p}{\partial \lambda} \frac{\partial y}{\partial T} - \frac{\partial p}{\partial T} \frac{\partial y}{\partial \lambda}.$$

Wir wollen nun etwas näher auf die Bedeutung der Größen y_λ und y_T eingehen, die durch Gl. (4) definiert sind.

Wir können, indem wir durch den Index T oder t andeuten, daß diese Variable konstant gehalten werden soll, die Gl. (4) in folgende zwei zerlegen:

$$(4a) \quad \begin{cases} dQ_1 = q_1 dT, \\ dQ_2 = q_2 dT. \end{cases}$$

Daraus ist sofort ersichtlich, daß q_1 von der Dimensionen und dem Charakter einer spezifischen Wärme ist. Von diesem wir bereits früher betont, daß es für jeden Stoff möglich ist, unendlich viele spezifischen Wärmen zu definieren, je nach dem Prozeß, den man mit dem Körper ausführt. q_1 ist offenbar die spezifische Wärme bei konstantem T , wie wir kurz sagen können: eine durch Verallgemeinerung der Begriffe c_p und c_v sowie der spezifischen Wärme γ bei den allseitigen polytropischen Prozessen.

q_2 dagegen ist von ganz anderer Beschaffenheit. Während die Wärmemenge q_1 dem Körper zugeführt wird, ändert sich die Temperatur T desselben definitionsgemäß nicht. Solche Erscheinungen beobachtet man gerade bei Änderungen des Aggregatzustands, z. B. beim Schmelzen oder Verdampfen: führt man Eis von 273° ab, Wärme zu, so bleibt die Temperatur konstant, und es gibt eine bestimmte Menge Q_{lat} in Wasser von derselben Temperatur über. Diese Art von Wärme nannte man früher — die Bezeichnung stammt noch aus der Zeit der Stofftheorie der Wärme — „latente Wärme“; es war dies gewissermaßen eine Art Anzeichen, um das Verschwinden von Wärme mit der Stofftheorie vereinbar zu machen. Vom heutigen Standpunkte paßt die Bezeichnung nicht recht, da die Grundlage völlig veraltet ist, so hat sich aber eingebürgert, und so wollen auch wir es beibehalten.

Wir haben also als Beispiel einen Existenzsatz, daß q_1 von Charakter einer spezifischen Wärme, q_2 von dem einer „latenten Wärme“, oder genauer, einer „latenten Umwandlungswärme“ ist. Um die physikalische Natur der beiden Größen mehr in der Bezeichnung hervorzuheben zu lassen, wollen wir q_1 durch den schon bei den polytropischen Prozessen verwandten Buchstaben γ , q_2 durch l bezeichnen. Der erstere Buchstabe deutet auf spezifische Wärme hin, die wir sonst durch den dritten Buchstaben des lateinischen Alphabets bezeichnen, der zweite auf das Wort „latent“. In dieser Schreibweise lauten die Gleichungen:

$$(5a) \quad \frac{dV}{dT} - \frac{dP}{dT} = \frac{dV}{dT} \frac{dP}{dT} - \frac{dP}{dT} \frac{dV}{dT}.$$

$$(5b) \quad \frac{dV}{dT} - \frac{dP}{dT} = -\frac{l}{T}.$$

$$(5c) \quad -\frac{l}{T} = \frac{dV}{dT} \frac{dP}{dT} - \frac{dP}{dT} \frac{dV}{dT}.$$

16. Anwendung auf den Verdampfungsprozeß.

Bevor wir zur Anwendung dieser Gleichungen auf den Verdampfungsprozeß übergehen, wollen wir eine durchgehende Benennung einführen:

stehen Akzente wegen der Aggregatzustände voneinander unterscheidbar, und zwar bezeichne ein einzelner oberer Akzent den festen, zwei Akzente den flüssigen, drei Akzente den gasförmigen Aggregatzustand. Andererseits zeigen unsere Doppelpfeile (1, 2), (2, 3), (3, 2), bzw. (2, 1) zwei solche Grenzen bezeichnen, die sich auf den Übergang von einem Aggregatzustand zum andern beziehen. Man kann daher schon hier nach obiger Definition, daß sich diese Schreibweise nicht eignen durchzuführen.

Wenn wir ein Gas — wir betrachten stets das Wasserstoff — unterhalb der kritischen Temperatur einem immer stärkeren Drucke aussetzen, so kommt, wie wir im Nummer 26 dargelegt haben, schließlich ein Druck, bei dem das bis dahin homogene System sich unzeitig in zwei Teile spaltet, einen flüssigen und einen gasförmigen. Bezeichnen wir das spezifische Volumen der isothermenen, aus Flüssigkeit und Dampf zusammengesetzten Substanz im Mittel mit v , das der gasförmigen Komponente mit v'' , das der flüssigen mit v' , die Masse der gasförmigen Bestandteile mit λ , so daß die Masse der Flüssigkeit $(1 - \lambda)$ wird, so haben wir zunächst die Beziehung:

$$(12) \quad 1 = \lambda v'' (1 - \lambda) + v' (1 - \lambda).$$

Die hier eingeführte Größe λ wollen wir als zweite Variable neben T in der Gleichung der vorigen Nummer einführen. Beachtet jedoch es einer Untersuchung, ob dies zulässig ist, d. h. ob man λ beliebig variieren kann, ohne daß T sich ändert. Das ist nun aber tatsächlich der Fall. Nehmen wir ein aus Dampf und Flüssigkeit bestehendes inhomogenes System, und stellen wir uns vor, daß wir solche Druck- und Temperaturbedingungen gewählt haben, daß gerade der Bruchteil λ gasförmig, der Teil $(1 - \lambda)$ flüssig ist. Jetzt ändern wir die Temperatur, erhöhen sie beispielsweise, dann wird zwar bei konstantem Drucke λ sich ändern, nämlich größer werden, aber eine Douberhöhung, die uns ja fernelei, verkleinert λ , also kann ich durch geringste Druckänderung trotz Temperaturänderung λ konstant halten. Auch umgekehrt kann ich λ durch Volumänderung beliebig variieren lassen, wobei T konstant bleibt; das ist ja gerade der Vorgang, den wir erhalten, wenn wir auf einer Isotherme unterhalb der kritischen Temperatur von großen zu kleinen Volumina fortschreiten und das Gas mehr oder minder vollständig verflüssigen. Kurz: das Resultat der obigen Überlegung ist, daß wir in der Teil λ neben T als unabhängige Variable benutzen können; dabei ist der Druck so zu wählen, daß er stets gleich dem des gesättigten Dampfes bei der betreffenden Temperatur ist. Mit andern Worten heißt dies, daß der Druck des gesättigten Dampfes eine völlig bestimmte Funktion der Temperatur T allein ist und nicht etwa von λ abhängt. Auch in der Gl. (12) sind v' und v'' , die spezifischen Volumina von Flüssigkeit und Dampf, lediglich Funktionen von T ; vom Druck

hängen sie bei konstantem T gar nicht ab, da Temperatur lediglich die Mengen z und $z' = z_1$ verbindet.

Wir wollen jetzt zunächst in (1), (17) die übrigen Festsetzungen einfügen. Es ist offenbar:

$$(18) \quad \left(\frac{\partial p}{\partial T} \right)_z = 0 \quad \text{und} \quad \left(\frac{\partial p}{\partial T} \right)_{z'} = \frac{dp}{dT},$$

wobei wir jetzt gerade Differentialquotienten geschrieben haben, da p nur von T abhängt. Ferner ist nach (1), (17):

$$(19) \quad \left(\frac{\partial z}{\partial T} \right)_z = z'' - z'.$$

Mit (18) und (19) wird demnach die (1), (17) zu:

$$(20) \quad J = T \frac{dp}{dT} (z'' - z').$$

Es handelt sich jetzt darum, den gesamten Charakter von J festzulegen. Nach (1), (19) ist $J = p_1$ definiert durch:

$$z' p_1 = J / T.$$

J ist, wie oben festgestellt, die Wärme, die der systemgrenzbeladenen zugeführt werden muß, um den Zustand z auf $z' = z_1$ zu vergrößern, d. h. um die Menge dz aus dem flüssigen in den gasförmigen Aggregatzustand überzuführen. J aber wie wir jetzt zu bestimmen unserer oben eingeführten Bezeichnungsweise schreiben wollen, J_1 ist demnach genau die Wärmemenge, die dem System zugeführt werden muß, um ein Gramm Flüssigkeit zu verdampfen, d. h. J_1 ist die „Verdampfungswärme“. Schreiben wir jetzt statt p entsprechend p_{11} oder p_{12} an, um anzudeuten, daß $p_{11} = p_{12}$ der Verdampfungsdruck ist, d. h. der gesamtmechanische hydrostatische Druck, unter dem Flüssigkeit und Dampf im Gleichgewicht miteinander bestehen, setzen wir oben $T = T_{11} = T_{12}$, so gilt (1), (21) über in die folgende:

$$(22) \quad J_1 = J_{11} \frac{dp_{11}}{dT_{11}} (z'' - z').$$

Mit (22) ist zuerst von Clapeyron aus der Carnotschen Theorie abgeleitet, dann aber von Clausius zuerst streng hergeleitet worden und wird deshalb gewöhnlich als die „Clausius-Clapeyronsche Gleichung“ bezeichnet.

Diese Relation drückt die Verdampfungswärme J_1 aus durch die Verdampfungs- (Siede-) Temperatur T_{11} , den Temperaturgradienten $\frac{dp_{11}}{dT_{11}}$, den Dampfdruck p_{11} und die spezifischen Volumina v'' und v' nach und vor der Verdampfung. Sie kann also, wenn $\frac{dp_{11}}{dT_{11}}$ tabellarisch oder formelmäßig selbst v'' und v' bekannt ist, dazu dienen, zu jeder Temperatur die Verdampfungswärme zu berechnen. Umgekehrt kann man

$\frac{d\mu}{dT_p}$ darstellen, wenn l_{12} , r'' , r' als Funktionen der Temperatur ϑ erkannt sind.

Die zunächst wichtigste Anwendung und Prüfung der Gl. (22) — das ist natürlich eine Probe auf die Richtigkeit des zweiten Hauptsatzes — machen wir für die Verdampfung des Wassers bei verschiedenen Temperaturen. Wir kombinieren die Messungsergebnisse für l_{12} von Regnault mit denen für $\frac{d\mu}{dT_p}$ und $(r'' - r')$ von Knoblauch, Lінде und Кірх^{*)}. In der folgenden Tabelle, die der Arbeit der genannten Autoren entnommen ist, sind in der ersten Spalte die absoluten Temperaturen, in der zweiten $l_{12, \text{meas}}$ nach Regnault, in der dritten $(r'' - r')$ eingetragen. In der vierten Spalte stehen die Werte $(l_{12, \text{meas}})$ unter Benutzung der von Knoblauch, Lінде und Кірх gemessenen Werte von $\frac{d\mu}{dT_p}$. Es sei bemerkt, was man an der Tabelle leicht bemerkt, daß r'' sehr viel größer als r' ist, so daß bei letzterem almost stets der Näherungswert 1 benutzt und meistens dieser sogar häufig näher r'' vernachlässigt werden darf.

T_p	$l_{12, \text{meas}}$ in cal	$r'' - r'$ in $\frac{\text{cal}}{\text{mol}}$	$l_{12, \text{meas}}$ in cal	Δl in l_{12}
373° abs.	538,70	2474	538,7	— 0,41
360	499,41	2311	529,9	— 0,49
350	489,30	2204	525,2	— 0,51
340	479,24	2097	518,7	— 0,79
330	469,26	2004	511,4	— 0,68
320	459,30	1907	504,2	— 0,60
310	449,36	1807	497,2	— 0,68
300	439,40	1707	490,2	+ 0,92

Die nachstehenden Abweichungen heißen, wie die letzte Spalte der Tabelle zeigt, unterhalb 1%, was als eine vollständige Bestätigung der Clausius'schen Gleichung (22) angesehen werden muß, da Regnault's Messungen mit einem durchschnittlichen Fehler in der Größenordnung von einem Prozent behaftet sind. Hering^{*)} hat 1908 die Genauigkeit der Messung von l_{12} auf $\frac{1}{100}\%$ getrieben: sein Wert für 373° abs. ist 538,58 cal, was glänzend mit der Rechnung (538,7 cal) übereinstimmt.

In anderer Weise hat Bertrand Gl. (22) die Prüfung unterzogen. Man kann, wie schon oben bemerkt, in dieser Gleichung annehmen r'' gegen r' vernachlässigen. Also ist einfacher, wenn wir gleichzeitig durch T_{12} r'' dividieren:

^{*)} Knoblauch, Lінде und Кірх: Die thermischen Eigenschaften des gesättigten und überhitzten Wasserdampfes zwischen 120° und 180° C. (Veröffentlichungen des Forschungsinstituts, Sammlung v. Vers. Deutschen Ingenieur, Heft 21, Berlin 1906, Seiten pag. 28.)

^{*)} P. Hering, Ann. d. Phys. 31, pag. 363; 1906.

$$\frac{L_{22}}{p_{22}^2} = T_{22} = \frac{R}{p_{22}} \frac{p_{22}}{T_{22}},$$

oder:

$$(24) \quad \frac{d}{dT_{22}} (\log p_{22}) = \frac{L_{22}}{p_{22}^2} \frac{1}{T_{22}}.$$

Kann man nun den zweiten statischen Druck als Funktion von T_{22} empirisch darstellen, so gewinnt man durch eine Quadratur eine Formel für die Dampfspannung p_{22} als Funktion des Temperatures, die man durchwegs mit den Messungen verglichen werden kann.

Für L_{22} ist die folgende Näherungsformel nach H. v. Helmholtz brauchbar:

$$L_{22} = A + B/T_{22} - C/T_{22}^2 - T_{22}^D,$$

d. h. eine Gleichung von der Form:

$$L_{22} = a - b/T_{22}.$$

Ferner kann man nach den Messungen von H. v. Helmholtz den Wasserdampf innerhalb nicht zu weiter Grenzen setzen:

$$p_{22} e^{\gamma} = R(T_{22} + \mu),$$

wo R und μ Konstanten sind. Damit wird Gl. (24):

$$\frac{d}{dT_{22}} \log p_{22} = \frac{\gamma + \beta T_{22}}{R(T_{22} + \mu)},$$

oder, nach Partialbruchzerlegung, wenn γ und β neue Konstanten sind:

$$\frac{d}{dT_{22}} \log p_{22} = \frac{\gamma}{T_{22}} + \frac{\beta}{T_{22} + \delta},$$

woraus schließlich für den Dampfdruck p_{22} als Funktion von T_{22} sich die Form ergibt:

$$(25) \quad p_{22} = \frac{A T_{22}^{\gamma}}{T_{22}^{\gamma} + \epsilon^{\gamma}}.$$

Diese Gleichung hat Bortolucci mit den Messungen Regnaults in vielfacher Übereinstimmung gefunden. Tatsächlich hat diese Gleichung eine beachtliche Bedeutung; daß sie hier aufgeführt wurde, hat nur den Zweck, zu zeigen, wie man sich in praktischen Fällen angenäherte Gleichungen mit Hilfe der Clausius-Clapeyronschen Formel verschaffen kann. Eine weiteren gebrauchte Näherung führen wir hier noch an. Für tiefe Temperaturen, d. h. für niedrige Dampfdrücke, kann man angenähert annehmen, daß v'' der Zustandsgleichung idealer Gase gehorcht:

$v'' = \frac{RT}{p_{22}}$; damit geht (22) über in:

$$L_{22} = \frac{RT_{22}}{p_{22}} \frac{dp_{22}}{dT_{22}} \frac{R}{T_{22}},$$

wobei wieder v' schon v'' vernachlässigt werden ist. Daraus folgt weiter:

$$(26a) \quad \log p_{22} = \frac{R}{T} \int \frac{1}{p_{22}} dT_{22}.$$

Für ganz kleine Intervalle kann man hier l_{22} sogar als konstant betrachten, für größere eine geeignete empirische Formel benutzen. —

Wir wollen nunmehr zum Übergang, die zweite der aus von den beiden Hauptzustats-gelieferten Gleichungen, nämlich (16), und Wasserdampf anwenden. Wir haben bereits in der vorhergehenden Nummer festgestellt, daß γ die (mittlere) spezifische Wärme des isobarenen Systems bei konstantem p ist. Wir wollen uns nun im einzelnen klar machen, was dies bedeutet.

Unser System besteht aus $(1 - \beta)$ Gramm Flüssigkeit und β Gramm Dampf, der mit seiner Flüssigkeit bei der Temperatur $T = T_{22}$ im Gleichgewicht ist. Jetzt soll aus dem System Wärme zugeführt werden, so daß die Temperatur auf $T_{22} + dT_{22}$ steigt und gleichzeitig p konstant bleibt, d. h. die Menge Dampf und Flüssigkeit ungeschädigt bleiben. Nehmen wir zunächst aber Rücksicht auf die Kondens von β Wärme zu, so daß T_{22} auf $T_{22} + dT_{22}$ steigt, so wird im allgemeinen Flüssigkeit verdampfen, also β zunehmen. Um β wieder auf den alten Wert zu bringen, d. h. so demselben konstant zu halten, müssen wir also gleichzeitig eine adiabatische Kompression vornehmen, die natürlich mit weiterer Temperaturerhöhung verbunden ist. Um also unsere Temperatur $T_{22} + dT_{22}$ wiederherzustellen, müssen wir jetzt Wärme abführen, und es ist a priori nicht ersichtlich, ob dieser letztere Wärmebetrag kleiner, größer oder gleich dem zuerst zugeführten Quantum ist. Diese gesamte (zu- und abgeführte) Menge von Wärme, drückt sich durch dT_{22} , ergibt uns die spezifische Wärme γ bei konstantem p . Sie verteilt sich auf Flüssigkeit und Dampf, deren vom die spezifische Wärme der Flüssigkeit unter der Bedingung $p = \text{const.}$, c_1 genannt wird, die des Dampfes c_2 , so ist offenbar:

$$(22) \quad \gamma = (1 - \beta) c_1 + \beta c_2.$$

c_1 ist nicht merklich verschieden von der gewöhnlichen spezifischen Wärme $(\gamma)_{22}$ der Flüssigkeit bei konstantem Druck, die vom Drucke hauptsächlich nur sehr wenig abhängt. Über c_2 dagegen ist von vornherein nichts auszusagen. c_2 wird von Clausius, von dem diese ganze Betrachtung herrührt, „spezifische Wärme des gesättigten Dampfes“ genannt, und allgemein nach seinem Vorgang durch h bezeichnet. Wir haben also statt (22):

$$(23a) \quad \gamma = (1 - \beta) (\gamma)_{22} + \beta h.$$

Dafür liefert uns (4), (10) die Beziehung, da $\frac{dp}{dT} = 1 - (\gamma)_{22}$ ist:

$$(23) \quad h = (\gamma)_{22} + \frac{\beta \gamma_{22}}{dT_{22}} - \frac{\beta \gamma_{22}}{T_{22}}.$$

Man sieht aus dieser Gleichung, daß in der Tat $h \gg 0$ sein kann.

Für Wasser ist nach den obigen Angaben von Hönning:

$$\frac{h}{T_{22}} = \frac{785.41}{T_{22}} = 0.2374.$$

ferner daraus durch Differentiation:

$$\frac{d\beta_{\text{H}_2\text{O}}}{dT_{\text{H}_2\text{O}}} = - 0,0046.$$

Daraus ergibt sich nach (26) für Wasserdampf:

$$(27) \quad k = \beta_{\text{H}_2\text{O}} - \frac{\text{molal}}{T_{\text{H}_2\text{O}}},$$

oder, da $\beta_{\text{H}_2\text{O}}$ vom Werte 1 nicht merklich verschieden ist:

$$(28) \quad k = 1 - \frac{\text{molal}}{T_{\text{H}_2\text{O}}}.$$

Daraus ergibt sich z. B. für $T = 373^\circ \text{ abs.}$, d. h. den Siedepunkt des Wassers bei normalem Druck:

$$k_{373} = - 1,04.$$

Mit steigender Temperatur nimmt k zu, und bei $T_{\text{H}_2\text{O}} = 762,40^\circ \text{ abs.}$ den Wert Null zu passieren, und bei noch höherer Temperatur positiv zu werden.

Dadurch ist folgendes thermodynamische Verhalten des Wasserdampfes bedingt: Wenn man gesättigten Wasserdampf aus etwa 10°C adiabatisch komprimiert, so tritt nicht etwa, wie man zunächst erwarten sollte, infolge der Volumenverkleinerung Kondensation ein, sondern die gleichzeitige Temperaturerhöhung ist so stark, daß der Dampf ungesättigt wird, also sogar „Überhitzung“ erreicht. Denn da $k < 0$ ist, muß man hier, um den Dampf im Zustand der Sättigung zu erhalten, Wasser zuführen. Vor Abkühlung derselben muß der Dampf daher tatsächlich ungesättigt oder „überhitzt“ sein. Umgekehrt tritt natürlich schon bei starker Dilatation eine Kondensation hervor. Überhalb 762° abs. kehrt sich das Verhalten des Wasserdampfes um: bei dieser Temperatur findet Wasserdampf bei Kompression und Dilatation gesättigt.

Bei tieferen Temperaturen zeigen analoges Verhalten z. B. Chlorsäuredampf, der oberhalb $158,5^\circ \text{C}$, Bromdampf, der oberhalb 190°C positives Werte von k aufweist; Äthyläther hat schon bei Raumtemperatur positives k . Insbesondere haben Hira und Curtis bei Chlorsäuredampf von $125,4^\circ$ konstatiert, daß weder Kompression noch Dilatation den Sättigungszustand des Dampfes ändert. —

Somit können wir auch die weitere Frage beantworten, die wir bei Untersuchung der von der Wachschen Gleichung in Kapitel III offen lassen mußten.

In Fig. 80 bedeutet die Kurve eine Isotherme unterhalb der kritischen Temperatur. Von großen Werten v und kleinen p anfangend, gelangt man durch isotherme Druckerhöhung bis zu einem Punkte A , bei dem partielle Kondensation eintritt und der Zustand der Substanz dauernd durch die beiden Zustandspunkte A (Gas) und B (Flüssigkeit) dargestellt wird, so lange, bis alles kondensiert ist. Die Frage war nun

aber wie groß ist bei einer gegebenen Temperatur der Verdampfungsdruck p_d ? Oder, praktisch gesprochen: auf welcher Horizontalen liegen bei gegebener Lufttemperatur die beiden Sättigungspunkte A und E ? Mit Hilfe der beiden Hauptsätze läßt sich folgendes aussagen: Wir denken uns mit der Homogenität des Gases einen isothermen, reversiblen Kreisprozeß angefaßt, der die Substanz zuerst auf dem Wege $A \rightarrow C \rightarrow E$

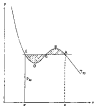


Fig. 26.

(d. h. längs der theoretischen Isotherme) von A nach E führt, dann auf der horizontalen Geraden $EC A$ (d. h. auf dem realen Wege, unter dem konstanten Verdampfungsdruck p_d) nach A zurück, d. h. wieder in den Anfangszustand. Nach dem zweiten Hauptsatz ist bei diesem Kreisprozeß:

$$\sum \frac{Q}{T} = 0,$$

also, da T konstant ist, $\sum Q = 0$. Dann aber folgt aus dem ersten Hauptsatz, daß $\sum A = 0$, d. h. daß die auf dem Hinwege nach E aufgewendete Arbeit a_1 gleich groß ist, gerade so groß ist, wie die auf dem Rückwege abgegebene Arbeit a_2 . Oder: Gekelt ich einmal auf der theoretischen Isotherme von A nach E , ein zweites Mal auf dem realen Wege unter dem konstanten Verdampfungsdruck p_d , so muß auf beiden Wegen die nämliche Arbeit geleistet werden, d. h. $a_1 = a_2$. In einer Gleichung läßt sich dies folgendermaßen ausdrücken: Da die Arbeit pro Masseneinheit von der Form $\int p \, dv$ ist, so ist die längs der theoretischen Isotherme unter

dem variablen Drucke p geleistete Arbeit a_1 gleich $\int_A^E p \, dv$. Dagegen

Ist die Arbeit a_1 endlich, gleich $p_{\text{ges}}(v'' - v')$, so läßt sich haben, aus der Gleichung:

$$(25) \quad p_{\text{ges}}(v'' - v') = \int_{v'}^{v''} p \, dv.$$

a_1 wird nun geometrisch dargestellt durch den Inhalt der von A B C A B C D in Fig. 28 begrenzten Fläche a_1 , dagegen durch den Flächeninhalt A C B C D. Die obige Gleichung läßt sich also geometrisch dahin interpretieren, daß die beiden genannten Flächenstücke gleich sein müssen. Das heißt aber nichts anderes, als daß das unterhalb der horizontalen A C B liegende Stück der v -Terminen schließlich gleich dem oberhalb liegenden Stücke ist; diese beiden Stücke sind in der Figur schraffiert. Man muß also bei gegebener Endtemperatur die Gerade $p = p_{\text{ges}} = \text{const.}$ so ziehen, daß diese Bedingung erfüllt wird. Das hier wiedergegebene Resultat rührt von Maxwell her, nach dem es auch wohl „Maxwellsches Regel“ genannt wird. Unabhängig haben derselbe Clausius und Planck gefunden.

36. Die Theorie des Sättigungsdampfes.

Wir haben in der vorhergehenden Nummer mehrfach für das Gesetz, das den Druck p_{ges} des gesättigten Dampfes mit der Verdampfungstemperatur T_{ges} verbindet, angenäherte Formeln abgeleitet und benutzt.

Es ist indessen wichtig — wenn auch nur qualitativ zu besprechenden Ursachen praktisch wenig in Betracht kommend —, zu bemerken, daß der Zustandsweg zwischen p_{ges} und T_{ges} nicht eindeutig ist, wenn eine Zustandsgleichung bekannt ist, die außer dem dampfmechanischen auch dem flüssigen Zustand zutrifft. Eine solche ist die folgende, welche von uns verwendet von der Waalschen Gleichung:

$$\left(p + \frac{a}{v^2}\right)(v - b) = \frac{R}{m} T.$$

Nun brauchen wir nur zwei Ausdrücke zu bringen, wie z. B. in der Figur 28 deutlich hervortritt, daß der Druck der Flüssigkeit gleich ist demjenigen des gesättigten Dampfes, der mit demselben im Gleichgewicht steht. Um diese beiden Drücke, die wir bisher durch den gemeinschaftlichen Buchstaben p_{ges} (oder p_{sat}) bezeichnet haben, unterscheiden zu können, wollen wir p_{fl} als den Druck des Dampfes allein, p_{fl} als den der Flüssigkeit allein bezeichnen, wobei also jedesmal der letztere Index mit dem des Aggregatzustandes übereinstimmt. Dann haben wir:

$$(36) \quad p_{\text{fl}} = p_{\text{sat}}.$$

Denn ist für p_{fl} und p_{sat} der Wert zu setzen, der sich aus der von der Waalschen Gleichung ergibt; in p_{fl} ist für v der Wert v'' zu setzen, d. h. der Wert des spezifischen Volumens des gesättigten Dampfes, in p_{fl}

diejenige ζ^* , das spontane Volumen der Flüssigkeit. Daraus folgt aus (9), die Beziehung:

$$(11) \quad \frac{RT}{v} \ln \frac{p}{p_0} = - \int_{\zeta^*}^{\zeta} \frac{RT}{v^2} \frac{dv}{d\zeta} = - \frac{RT}{v} (\zeta - \zeta_0) = - p_0 (\zeta - \zeta_0).$$

In dieser Gleichung kommt eine Größe, die wir erhalten, indem wir in (9) ebenfalls die von der Waulsche Gleichung erhaltenen, wahren zu beachten ist, daß das links stehende Integral konvergent ist. Man erhält nämlich:

$$\frac{RT}{v} \int_{\zeta^*}^{\zeta} \frac{dv}{v^2} = a \int_{\zeta^*}^{\zeta} \frac{dv}{v^2} = \left(- \frac{RT}{v} \frac{dv}{d\zeta} \right)_{\zeta^*}^{\zeta} = - \frac{RT}{v} (\zeta - \zeta_0).$$

Die Integration des linken Teiles ergibt:

$$(12) \quad \frac{RT}{v} \ln \frac{p}{p_0} = a \left(\frac{1}{p} - \frac{1}{p_0} \right) = \frac{RT}{p_0} \left(\frac{p_0}{p} - 1 \right) = a \int_{\zeta^*}^{\zeta} \frac{dv}{v^2}.$$

Aus (11) folgt:

$$(13) \quad \frac{RT}{v} = \frac{RT}{v} (\zeta - \zeta_0) = \frac{RT}{p_0} (p - p_0) = p - p_0.$$

In (12) ersetzen wir $\ln \left(\frac{p}{p_0} \right)$ aus; das gibt zunächst:

$$\ln \frac{p}{p_0} = \frac{1}{RT} \frac{p - p_0}{p_0} + \left(\frac{p}{p_0} - 1 \right).$$

Ersetzt man darin $\frac{RT}{v}$ durch den aus (11) folgenden Wert (13), so erhält man:

$$(14) \quad \ln \frac{p}{p_0} = \frac{p - p_0}{p} + \left(\frac{p}{p_0} - 1 \right) = \frac{p - p_0}{p} + \frac{p - p_0}{p_0} + \left(\frac{p}{p_0} - 1 \right).$$

Die Gleichungen (13) und (14) stellen nun zwei Relationen dar, die die drei Größen p , v und T_{ges} miteinander verbinden; wir können also zwei von ihnen durch die dritte ausdrücken, also etwa p und v durch T_{ges} . Nimmt man dann schließlich noch die Gl. (8),

$$(15) \quad p_0 = \frac{RT}{v_0} \frac{p}{p_0} = \frac{RT}{v},$$

hinzu, indem man darin v durch seinen nach dem Lehrsatz von der Funktion von T_{ges} darstellb. so liefert diese letzte Gleichung den Sättigungsdruck p_0 als Funktion der Temperatur T_{ges} , was wir gerade haben wollen.

Man kann also auf diese Weise das exakte Gesetz des Dampfdruckes finden, wenn man die exakte Zustandsgleichung besitzt. Eine solche ist nun allerdings die von der Waulsche nicht, und die Annäherung zeigt erhebliche Abweichungen vom Experiment. Indessen sind wir ja nicht an die von der Waulsche Gleichung gebunden. Classius z. B. hat eine allgemeinere Zustandsgleichung vorgeschlagen:

$$(16) \quad p = \frac{R}{v} \frac{T}{T - a} = \frac{T}{T - a} \frac{R}{v},$$

Die mit ihren drei Konstanten α , β , γ sich den Beobachtungen erheblich besser anpaßt als die von der Real-Dehn. Planck¹⁾ hat deshalb die Clausius'sche Gleichung umgeändert und die obige Beziehung für Reibewerte durchgeführt, mit den Beobachtungen von Andrews verglichen und recht gute Übereinstimmung gefunden. Wir beschränken nicht weiter auf die strenge mathematische Behandlung eingeleitet, sondern zeigen

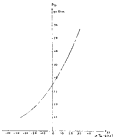


Fig. 16.

die Übereinstimmung durch die Fig. 16, in der die ansgesogene Kurve das nach der Theorie gefundene Sättigungswerte darstellt, während die Punkte die von Andrews gemessenen Werte bedeuten; als Abszissen sind die Temperaturen in geschützten Celsius-Graden, als Ordinaten die Drücke in Atmosphären aufgetragen.

Die Betrachtung der Gleichungen zeigt, daß die Berechnung der temperaturabhängigen Werte von ρ_0 und T_0 nicht gerade einfach ist. Deshalb kommt diesem Formeln für die Praxis keine Bedeutung zu. Von prinzipieller Wichtigkeit dagegen ist die Einsicht in den theoretischen Zusammenhang, weswegen wir auf diese Frage eingegangen sind.

Es ist obigen klar, daß durch den Wert des Druckgradienten $\frac{dp_0}{dT_0}$ für alle Werte von T_0 theoretisch bestimmt ist, und daß man somit

¹⁾ Planck, *Wied. Ann.* 18, pag. 455, 1900.

alle finden, konst., die nach der Clausius-Clapeyronschen Gleichung zur Berechnung der Verdampfungsstärke l_v erfordert wurden; wir gewinnen mit anderen Worten eine Darstellung von l_v als Funktion der Siedetemperatur T_{st} . Vergleichen wir solche Werte, die Planck für Kohlenwasser berechnet hat, mit den Messungen von Callendar und Mathias. Letztere finden:

$t_{\text{st}} = -25 \text{ } ^\circ\text{C}$	$l_v = 73,08 \text{ cal}$
0 ..	84,35 ..
+ 5,5 ..	88,70 ..
+ 12,04 ..	91,80 ..
20,00 ..	111,40 ..
80 cal ..	2,75 ..

Dagegen sind Planck theoretisch folgende Werte:

$t_{\text{st}} = -19 \text{ } ^\circ\text{C}$	$l_v = 84,4 \text{ cal}$
- 8,8 ..	74,7 ..
- 0,7 ..	80,5 ..
+ 5,6 ..	89,8 ..
+ 10,9 ..	93,8 ..
21,7 ..	80,0 ..
29,8 ..	118,8 ..
88,7 ..	4,3 ..

Die Werte zeigen, wegen der Größenordnung und dem Gange nach eine hübsche Übereinstimmung, im allgemeinen sind allerdings die theoretischen Werte zu groß gegenüber der Beobachtung. Die Abweichung ist, soweit nicht Beobachtungsfehler vorliegen sollten, auf Bestehen der Zustandsgleichung zu schließen, die eben nur angenähert gültig ist und namentlich bei sehr tiefen Temperaturen versagt.

Grundsätzlich ist die hier dargestellte Methode auch dann brauchbar, die Abhängigkeit des Schmelzdruckes und des Sublimationsdruckes von der Temperatur zu liefern, wenn schon die Zustandsgleichung gefunden wäre, die alle drei Aggregatzustände umfaßt.

22. Anwendung der Clausius-Clapeyronschen Gleichung auf das Schmelzen und Sublimieren.

Die Beibehaltung der Clausius-Clapeyronschen Gleichung (22) ist mit ihrer Anwendung auf den Verdampfungsprozess nicht unvereinbar. Vielmehr passen die stichförmigen Betrachtungen offenbar auch für das Schmelzen und Sublimieren, wobei l_1 bzw. l_2 an die Stelle von l_{st} , T_{11} und T_{22} an die Stelle von T_{st} bzw. treten. l_1 ist dann genau als Schmelzwärme, l_2 als Sublimationswärme zu bezeichnen.

Der Gl. (22) für die Verdampfungsstärke treten also die beiden folgenden vor Seite:

$$(87) \quad T_{11} = T_{11} \frac{dT_{11}}{dT_{11}} (r'' = r') \quad \text{Schmelzweg.}$$

$$(88) \quad T_{11} = T_{11} \frac{dT_{11}}{dT_{11}} (r'' = r') \quad \text{Einfrieren.}$$

Betrachten wir zunächst (87). Die wichtigste Folgerung, die aus ihr zu ziehen ist, ist die, daß der Schmelzpunkt T_{11} vom Drucke abhängt. Denn wir können (87) so schreiben:

$$(87a) \quad \frac{dT_{11}}{dP_{11}} = \frac{P_{11}(r'' = r')}{T_{11}}.$$

Und zwar zeigt uns, daß Drucksteigerung eine Erhöhung der Schmelztemperatur erzeugt, wenn $r'' > r'$, eine Erniedrigung dagegen, wenn $r'' < r'$ ist. Letzterer Fall tritt bekanntlich beim Wasser ein, das beim Gefrieren eine Volumenzunahme von $9\frac{1}{2}\%$ erfährt. Es ist also für Wasser von 0 Grad Celsius zu setzen:

$$r'' = 1 - \frac{9,5}{100},$$

$$r' = 1,095 - \frac{9,5}{100}.$$

Ferner ist die Schmelzwärme 80 cal, also in absoluten Einheiten $80 \cdot 4,19 \cdot 10^7 \frac{\text{erg}}{\text{gr}}$, so daß wir erhalten:

$$\frac{dT_{11}}{dP_{11}} = - \frac{80 \cdot 4,19 \cdot 10^7}{10 \cdot 4,19 \cdot 10^7} \quad \text{grad/cm}^2.$$

Diese Gleichung gibt die Erniedrigung des Schmelzpunktes von Wasser pro absolute Druckeinheit, d. h. pro Dyne auf dem Quadratzentimeter. Um die Erniedrigung pro Atmosphäre zu erhalten, hat man mit 1033250 zu multiplizieren, also:

$$\frac{dT_{11}}{dP_{11}} = - \frac{80 \cdot 4,19 \cdot 10^7 \cdot 1033250}{10 \cdot 4,19 \cdot 10^7} = - 8,372 \cdot \frac{1 \text{ grad}}{1 \text{ atm}}.$$

d. h. durch Erhöhung des Druckes um 1 Atmosphäre sinkt die Schmelztemperatur um 8,372 Grad, d. h. Ein von 0 Grad C. wird durch Druck vermindert. Dies ist durch Versuche von William Thomson¹⁾ bestätigt worden, dessen Bruder James Thomson²⁾ diese Folgerung zuerst (aufgrund aus der alten Carnotschen Theorie) gezogen hatte. Thomson hat bei seinen Versuchen

für eine Drucksteigerung um 8,1 Atm. eine Schmelztemperaturerniedrigung von $0,685^\circ \text{C.}$

für eine Druckerhöhung um 16,3 Atm. eine Schmelztemperaturerniedrigung von $0,136^\circ \text{C.}$

¹⁾ W. Thomson, Phil. Mag. 31, 1866; Poggend. Ann. 31, 1866; aus folgenden Papers, vol. I, pag. 166ff.

²⁾ James Thomson, Transactions of the Roy. Soc. of Edinburgh, 2. Jan. 1848; abgedruckt in W. Thomsons Papers, vol. I, pag. 168 f.

Die erste Steigung betrug $\frac{dP}{dT} = -0,0072^\circ$, die zweite $-0,0072^\circ$, also das gleiche glatte Verhalten der Clausius-Clapeyronschen Gleichung. Späterhin hat Hagenow durch ein elegantes qualitatives Verfahren gezeigt, daß Eis bei sehr hohen Drücken selbst anderen Grade unter Null fließen wird. Bringt man ungekühlt Wasser von beliebiger Temperatur ins Vakuum, d. h. hält man durch fortwährendes Pumpen den Druck demselben sehr klein, so muß wegen der fortschreitenden Verdampfung des Wassers sich immer mehr abkühlen, sobald die Temperatur $+0,0072^\circ$ erreicht ist, muß das Wasser gefrieren.

Im Gegensatz zu Wasser muß sich bei Substanzen, die sich beim Erhitzen ausdehnen, der Schmelzpunkt bei Druckerhöhung erhöhen. Diese Folgerung ist ebenfalls bestätigt worden. Bensen hat z. B. für Paraffin, das zu dieser Klasse gehört, gefunden:

Druck in Atmosphären Schmelzpunkt in $^\circ\text{C}$

Druck Atm	Schmelzpunkt $^\circ\text{C}$
1	45,3
42	46,3
106	46,9

Wir wenden jetzt nun auf den Fall der Sublimation an und wollen hier wieder den Temperaturgradienten $\frac{dP}{dT}$ des Sublimationsdruckes der Eis von Null Grad berechnen. Dazu müssen wir zunächst die Sublimationswärme des Eises bei 0 Grad kennen. Diese setzt sich offenbar additiv aus der Schmelzwärme l_m und der Verdampfungswärme l_v bei 0 Grad zusammen, wie durch eine einfache Anwendung des ersten Hauptsatzes folgt: einmal schmilzt man die Substanz bei 0 Grad, ein zweites Mal schmilzt man erst und verdampft dann, so daß derselbe Endzustand erreicht wird. Da auch der Anfangszustand der gleiche war und in beiden Fällen die gleiche äußere Arbeit geleistet wird, ist auch die in beiden Fällen zugeführte Wärmemenge dieselbe, was zu beweisen war. Die Verdampfungswärme bei 0 Grad ist nach der in Nr. 28 angegebenen Formel von Hering 689 cal; gefunden wurde experimentell der Wert 684 cal, was innerhalb der Fehlergrenze (ca. 1%) damit übereinstimmt; wir rechnen mit dem experimentellen Wert weiter. Die Schmelzwärme l_m beträgt 78 cal. Also ist die Sublimationswärme im absoluten Maße gleich 684 + 78 = 762 $\frac{\text{cal}}{\text{g}}$. Das spezifische Volumen des gesättigten Wasserdampfes beträgt bei 0 Grad Celsius: $v'' = 20600 \text{ cm}^3/\text{g}$; dieser Wert ergibt sich, wenn man wie früher begründet, für Wasserdampf die ideale Gasgleichung als gültig annimmt; setzt man dafür den Sublimationsdruck des Wasserdampfes bei 0 Grad C gleich 4,58 mm Hg, so folgt der angegebene Wert. Der Betrag von v' kann schon diesem großen Werte von v'' vernachlässigt werden. So folgt schließlich:

$$\frac{d p_{\text{ges}}}{d T_{\text{ges}}} = \frac{\sin 4,19^\circ \cdot 760}{\sin 4,19^\circ \cdot 760 + \sin 270^\circ} = \frac{d p_{\text{ges}}}{d T_{\text{ges}}} =$$

—, d. h. es tritt Hg ausgerechnet:

$$\frac{d p_{\text{ges}}}{d T_{\text{ges}}} = \frac{\sin 4,19^\circ \cdot 760}{\sin 4,19^\circ \cdot 760 + \sin 270^\circ} = 0,042 \frac{\text{mm Hg}}{^\circ \text{C}}.$$

Somit Vergleich bezeichnen wir auch den Temperaturkoeffizienten des Verdampfungsdruckes $\frac{d p_{\text{ges}}}{d T_{\text{ges}}}$ oder Werten von 0°C . Dieser ist, wie man leicht sieht:

$$\frac{d p_{\text{ges}}}{d T_{\text{ges}}} = \frac{\sin 4,19^\circ \cdot 760}{\sin 4,19^\circ \cdot 760 + \sin 270^\circ} = 0,042 \frac{\text{mm Hg}}{^\circ \text{C}}.$$

d. h. in der p - T -Fläche verläuft die Kurve des Sublimationsdruckes p_{sub} für $T = 0^\circ \text{C}$ steiler als die des Verdampfungsdruckes p_{vap} .

92. Der Tripelpunkt.

Aus den vorhergehenden Betrachtungen läßt sich eine wichtige Folgerung ziehen. Um dieselbe klar zu machen, denken wir uns in einem p - T -Diagramm etwa die Schmelzkurve $p_{\text{sch}}(T)$ und die Verdampfungskurve $p_{\text{vap}}(T)$ einer Stoffe eingetragen. Beide schneiden sich in einem Punkte der p - T -Fläche, welcher mittels der Eigenschaften bestimmt, daß in dem, d. h. für eine ganz bestimmte Temperatur, der Schmelzdruck gleich dem Verdampfungsdruck wird. Wenn wir längs der Schmelzkurve der feste Aggregatzustand im Gleichgewicht mit dem flüssigen, längs der Verdampfungskurve des flüssigen mit dem dampfförmigen. Daraus folgt sofort, daß in dem gemeinsamen Schnittpunkte auch der feste Aggregatzustand mit dem dampfförmigen im Gleichgewicht sein muß, d. h. daß auch die Sublimationskurve durch den Schnittpunkt der beiden anderen Kurven geht, oder anders ausgedrückt, daß in diesem Punkte, d. h. für eine einzige ganz bestimmte Temperatur, der Sublimationsdruck p_{sub} gleich dem Schmelzdruck p_{sch} und dem Verdampfungsdruck p_{vap} sein muß. Denn wenn das nicht der Fall wäre, z. B. der Sublimationsdruck für die Schnittpunkttemperatur etwas kleiner wäre als Verdampfungs- und Schmelzdruck, so können wir folgende Anwendung treffen:



Fig. 21.

In Fig. 22 bedeutet das linke Rechteck der betrachtete Stoff in seinem Aggregatzustande, das horizontal schraffierte Rechteck im flüssigen Zustande, beide auf der Temperatur des Tripelpunktes, so daß Schmelzdruck und Dampfdruck gleich sind. Der darüber befindliche abgegrenzte Raum sei mit Dampf erfüllt, dessen Druck p_{ges} nach Voraussetzung gleich

dargestellt, bei der feste Substanz sublimiert ist; sobald nur noch gasförmige Substanz vorhanden ist, steigt die Temperatur, und der dem Zustand darstellende Punkt bewegt sich auf der genannten Horizontalen nach rechts. Demgemäß ist das Gebiet rechts von der Sublimationskurve dem gasförmigen, links davon dem festen Zustande zuzuordnen. In derselben Weise zeigt man, daß das zwischen p_m und p_n liegende Feld dem flüssigen Aggregatzustande entspricht. Demgemäß sind in der Fig. 28 entsprechende Bezeichnungen in die einzelnen Teilgebiete eingetragen.

Die Kurve p_m geht nur bei einem kritischen Punkte, an dem der flüssige Zustand kontinuierlich in den gasförmigen übergeht. Ob es für die Schmelzkurve auch ein Ende in einem kritischen Punkte gibt, so dass fester und flüssiger Zustand ineinander stetig übergehen, ist zweifelhaft; von einigen Autoren wird es angenommen (Pianck), von anderen bestritten (Tammann). Im letzteren Falle würde die p_{lf} -Kurve bis ins Unendliche verlaufen.

Wie man sieht, haben wir in Fig. 28 die Schmelzkurve so eingetragen, daß steigendem Drucke eine Erhöhung der Schmelztemperatur entspricht, d. h. daß $t'' > t'$ ist, wie es bei den meisten Substanzen der Fall ist. Für Wasser ist aber $t'' < t'$, und für eine solche Substanz würde das pT -Diagramm folgende Gestalt annehmen müssen (Fig. 29).

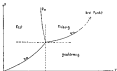


Fig. 29.

Zeichnen den durch Fig. 28 und 29 dargestellten zwei Fällen bezieht bezüglich gewisser Folgerungen ein Unterschied, der klar wird, wenn man durch den Tripelpunkt die Kurven $p = \text{const.}$ und $T = \text{const.}$ zieht, die in den Figg. 28 und 29 punktiert eingetragen sind. Man erkennt, daß in Fig. 28 die dem Tripelpunkte entsprechenden Werte von T und p die tiefsten Werte sind, bei denen überhaupt die Flüssigkeit noch existieren kann. Denn die beiden Geraden fallen nämlich außerhalb des Flüssigkeitsgebietes, mit dem sie nur den Tripelpunkt gemeinsam haben. Anders in Fig. 29. Hier ist die dem Tripelpunkt entsprechende Temperatur die höchste,

bei der festen Substanz existieren kann, da die betreffende vertikale Gerade ganz außerhalb des festen Zustandsgebietes verläuft, während andererseits der dem Tripelpunkt entsprechende Druckwert wieder der tiefste ist, bei dem noch Flüssigkeit existieren kann. Dieser Fall liegt bei Wasser vor; wir können also sagen, daß die höchste Temperatur, bei der Eis existieren kann, die des Tripelpunktes ist.

Wir wollen nun dazu übergehen, die Temperatur des Tripelpunktes für Wasser aus den bereits für Wasser angegebenen Daten zu bestimmen. Es ist von vornherein klar, daß die Temperatur 0 Grad Celsius nicht die des Tripelpunktes sein kann. Denn für diese Temperatur beträgt der Sättelungsdruck p_{sat} gerade 1 Atm., während der Verdampfungsdruck $p_{\text{sat}} = 4,8$ mm Hg ist. Für die Temperatur des Tripelpunktes müssen also die Druckwerte identisch werden. Berücksichtigt man nun, daß der Sättelungsdruck mit steigender Temperatur abnimmt, und zwar um 760 mm Hg für eine Temperaturerhöhung um $0,0056^\circ$, so sieht man, daß bei der Temperatur von $0,0056^\circ\text{C}$ die Werte p_{sat} und p_{sat} einander schon sehr nahe liegen müssen. Denn der Sättelungsdruck p_{sat} muß nahezu gleich Null sein, der Verdampfungsdruck ist noch nahezu 4,8 mm, da für dessen die kleine Temperaturerhöhung von wenigen Tausendstel Grad nichts anwacht. Da nun die Sättelungstemperatur gegen Druckänderung sehr unempfindlich ist, so ist klar, daß nur noch eine sehr kleine Temperaturänderung, die nach Schmelzwendeln Grad schien, nötig, notwendig ist, um beide Drücke gänzlich zusammenfallen zu lassen. Mit hinreichender Genauigkeit können wir also als Temperatur des Tripelpunktes für Wasser den Wert $+0,0056^\circ$ annehmen. Diese Temperatur ist nach dem vorher Gesagten die höchste, die Eis existieren kann. Die Werte t' , t'' , t''' , T und p am Tripelpunkte heißen die „Fundamentalewerte“ der Substanz. Sie sind für Wasser mit folgender Annäherung:

$$(26) \quad \left\{ \begin{array}{l} t' = 110^\circ \frac{\text{cm}}{\text{mm}}, \quad t'' = 1 \frac{\text{mm}}{\text{cm}}, \quad t''' = 20000 \frac{\text{mm}}{\text{cm}}, \\ p = p_{\text{sat}} = p_{\text{sat}} = p_{\text{sat}} = 4,8 \text{ mm Hg}, \\ T = T_{\text{sat}} = T_{\text{sat}} = T_{\text{sat}} = 273,015^\circ \text{ abs.} \end{array} \right.$$

Entsprechend der am Schluß der vorher Nummer gemachten Bemerkung verläuft die Kurve des Sublimationsdruckes im Tripelpunkte steiler als die des Verdampfungsdruckes.

Als Beispiel einer Substanz, die sich gemäß der Fig. 28 verhält, wählen wir Kohlendioxid. Nach den Beobachtungen von Erlenmeyer und Smith¹⁾, sowie von Tammann²⁾ ist der Tripelpunkt der Kohlendioxide charakterisiert durch die Angaben:

$$(27) \quad \left\{ \begin{array}{l} T = T_{\text{sat}} = T_{\text{sat}} = T_{\text{sat}} = 31,6^\circ \text{ abs.} = -34,4^\circ \text{ C.} \\ p = p_{\text{sat}} = p_{\text{sat}} = p_{\text{sat}} = 5,11 \text{ Atm.} \end{array} \right.$$

¹⁾ Erlenmeyer und Smith, Physik. Zeitschrift, 7, pag. 870, 1908.

²⁾ Tammann, Wied. Ann., 86, pag. 373, 1920.

Die Werte der spezifischen Volumina v' , v'' , v''' für den Tripelpunkt sind nicht genau bekannt. In der folgenden Tabelle sind die Daten für die Verdampfungsphase und die Sublimationskurve nach Zeleny und Kault¹⁾, die Schmelzkurve nach Tammann entsprechend wiedergegeben.²⁾

Temperatur in Grad Celsius	Schmelzkurve in Atmosphäre	Schmelzkurve in Atmosphäre	Verdampfungs- kurve in Atmosphäre	Sublimationskurve
- 37°	37			bei 1 Atm.
22,82	61,33			
18,32	29,37			
13,42	47,94			
13,81		200		
9,80		250		
0,0	55,94			
- 4,0°		300		
- 10,0	25,85			
- 12,84		500		
- 30,00	61,72			
30,00		500		
60,00		1200		
70,00	54,25			
80,00		1000		
- 89,8	5,98			
- 87,4		200		
89,8	6,03			
- 56,4	2,15	2,11	2,11	Tripelpunkt
0,0	44,39		3,40	
- 60,2	48,90			
- 70,0			1,50	
- 76,8			1,20	
- 80,0			0,20	
- 84,0			0,10	

Aus diesen Daten ist das folgende p - T -Diagramm der CO_2 konstruiert worden (Fig. 58); es liefert eine vollständige Übersicht über das thermodynamische Verhalten dieser Substanz. Am einfachsten zu verfolgen sind natürlich die Prozesse bei konstantem Volumen und bei konstanter Temperatur. Besonders konstanten wir: Da der Tripelpunkt bei $- 56,4^\circ\text{C}$ und 5,11 Atm. Druck liegt, ist es unmöglich, auch bei noch so starker Temperaturerhöhung, bei Atmosphärendruck CO_2 zu verdampfen.

Denn eine in Fig. 58 zu sehende horizontale $p = 1$ Atm. verläuft ganz im festen und gasförmigen Zustandsgebiet; bei 1 Atm. Druck kann

¹⁾ Nach Tammann gibt es mehrere Modifikationen fester CO_2 , denn jeder eine besondere Schmelzkurve (und Sublimationskurve) aufweist. Die im folgenden gemachten Angaben beziehen sich auf CO_2 I.

CO_2 räteln nur fest oder gasförmig sein. Welchen der beiden Zustände sie wählt, hängt von der Temperatur ab. So verhält es sich z. B., daß man von den Kohlendioxidbomben, die CO_2 bei hohem Drucke bei Raumtemperatur fest enthalten, durch Entspannung auf Atmosphärendruck sofort gasförmige CO_2 erhält, die fest wird, weil die Abkühlung bei der Entspannung so groß ist, daß man im p - T -Diagramm in das Gebiet des festen Zustandes hineinkommt. Und zwar nimmt festes CO_2 bei Atmosphärendruck die Temperatur $-78,5^\circ \text{C}$ an, und bei dieser Temperatur der Sublimationsdruck gerade 1 Atm. beträgt.

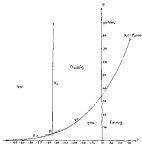


Fig. 10.

Geht man bei $-78,5^\circ \text{C}$ mit dem Drucke in die Höhe, wobei man die Temperatur konstant hält, so bleibt man wieder stets im festen Zustandsgebiet und gelangt nie in das flüssige Gebiet hinein (bei Wasser würde dies der Fall sein, da bei diesem der Schmelzpunkt durch Druck erniedrigt wird). Das entspricht eben dem Satze, daß unterhalb der Temperatur $-56,4^\circ \text{C}$ des Tripelpunktes Kohlendioxid durch keinen noch so hohen Druck verflüssigt werden kann.

In dieser Weise kann man, von einem beliebigen Zustande der CO_2 ausgehend, das Verhalten jedes beliebigen Prozesses angeben.

Es muß obigen darauf hingewiesen werden, daß die Figg. 28 und 29 in einer Hinsicht nicht vollständig sind: sie enthalten nur die stabilen Zustände, und alle unsere Behauptungen über die Existenzmöglichkeiten der verschiedenen Aggregatzustände sind durch diesen Bereich einzuschränken.

In Wirklichkeit lassen sich neben diesen Zuständen noch andere, „labile“ oder „metastabile“ realisieren. Z. B. ist es bekannt, daß flüssiges Wasser bei Atmosphärendruck über 300° hinaus erhitzt werden kann („Überhitzung“), z. B. bis 304° , um eine Zahl zu nennen. Der Punkt ($p = 1$ atm., $T = 304^{\circ}$ abs.) liegt aber im p - T -Diagramm des Wassers im Dampfgebiet; gleichwohl können wir dort flüssiges Wasser haben. Ebenso können wir bei Atmosphärendruck Wasser unter 0°C abkühlen, ohne daß Gefrieren eintritt, unter geeigneten Bedingungen bis -10° . Dieser Punkt ($p = 1$ atm., $T = 283^{\circ}$) liegt ganz im festen Zustandsgebiet. In diesem Falle haben wir eine „Unterkühlung“ vor uns.

Ebenso ist es möglich, die Dampfspannungskurve unterhalb des Tripelpunktes fortzusetzen; z. B. sind in der obigen Tabelle für CO_2 die Dampfspannungen für flüssige CO_2 auch unterhalb $-31,1^{\circ}$ angegeben; da sind in der Tabelle angegeben, um sie von den stabilen, nicht unterkühlten Zuständen zu unterscheiden. Diese Zustände gehen bei kleinen Erhitzungen, Berührung der unterkühlten Flüssigkeit mit etwas fester Substanz usw. sofort in die stabilen Zustände über, die in den Figg. 28 bis 30 eingezeichnet sind. Es ist aber daran hervorzuheben, daß es durchaus mögliche Zustände sind, die sich — im Sinne des ersten Hauptsatzes — von den stabilen lediglich durch einen geringeren Wert der Entropie unterscheiden können. Wir kommen auf diese Frage noch eingehender zurück.

II. Allotrope Umwandlung.

Es gibt Stoffe, die im festen Zustande zwei oder mehr Modifikationen bilden können. Nach Tschermak gehören z. B. auch Wasser und Kohlendioxid dazu, wovon wir in der vorigen Nummer der Hinsicht bereits abgesehen haben. Ein typisches Beispiel dafür ist der Schwefel, der im rheinischen und im ungarischen System kristallisiert und demgemäß entweder als „rhombischer“ bzw. „monokliner“ Schwefel bezeichnet wird. Die Umwandlung geht bei gegebenem Druck bei einer ganz bestimmten Temperatur vor sich, wobei eine bestimmte (latente) Wärmemenge zugeführt ist oder bei wird, die sog. „Umwandlungswärme“. Es ist diese Umwandlung eine wesentliche Änderung von der einen Modifikation in die andere, die beide bei der Umwandlungstemperatur nebeneinander im Gleichgewichte sind. Kork, der hier besprochenen Vorgang ist durchaus analog etwa dem des Schmelzens oder Verdampfens. Es ist deshalb auch für ihn die Clausius-Clapeyronsche Formel (21) anzuwenden, wobei man hier nur statt „Ölzug“ und „Dampfdruck“ die Worte „monokliner“ bzw. „rhombischer“ Modifikationen einsetzt.

Wir haben also für die bei der allotropen Umwandlung des Schwefels auftretende Umwandlungsweite l_0 bei der Umwandlungstemperatur T_0 und dem Drucke p_0 die Gleichung:

$$(11) \quad l_0 = T_0 \frac{d\beta_0}{dT_0} (p_{\text{atm}} - p_0).$$

Bei dem Drucke von 1 Atm. liegt der Umwandlungspunkt bei $96,5^\circ\text{C} = 369,5^\circ\text{abs.}$ Unterhalb dieser Temperatur ist bei Atmosphärendruck der rhombische Schwefel stabil, oberhalb der monoklin. Die Umwandlungstemperatur verschiebt sich — genau wie etwa die Siedetemperatur — mit höherem Drucke zu höheren Temperaturen; s. R. (siehe Reichen¹⁾ und Tammann²⁾ folgende Zahlen:

Umwandlungsdruck p_0 in Atm.	Umwandlungstemperatur T_0	Umwandlungstemperatur in Celsiusgraden
1	369,5 °abs.	96,5 °C
10	369,8 „	96,8 „
100	370,71 „	100,00 „
200	380,71 „	110,00 „
300	390,61 „	120,00 „
400	400,61 „	130,00 „
500	410,60 „	140,00 „
600	420,60 „	150,00 „

Aus diesen Zahlen ergibt sich für $T = 369,5^\circ\text{abs.}$, den Umwandlungspunkt bei Atmosphärendruck, der Densitätsunterschied:

$$\left(\frac{d\beta_0}{dT_0} \right)_{\text{atm.}} = \frac{1}{369,5} \frac{\text{abs.}}{^\circ\text{C}} = \frac{100000}{3695} \frac{\text{dyn}}{\text{cm}^2 \text{grad}}$$

und die Differenz $r_{\text{atm}} - r_0$ hat den Wert³⁾:

$$r_{\text{atm}} - r_0 = 0,014 \text{ cm/gr.}$$

Densität erhalten wir für die Umwandlungsweite l_0 des Schwefels in cal/gr:

$$l_0 = \frac{369,5 - 100000 \cdot 0,014}{0,049 - 0,16 \cdot 10^3} \text{ cal/gr} = 3,60 \text{ cal/gr.}$$

experimentell gefunden wurde von Reichen¹⁾ der Wert 3,65 cal/gr. der sich auf Null Grad Celsius bezieht und noch eine kleine Erhöhung erfährt, wenn man gemäß Gl. (125) des II. Kap. auf pag. 145 der Verschiebung von l_0 mit der Temperatur Rechnung stellt. Die Übereinstimmung ist also so gut, als in Anbetracht der schwachen Messung erwartet werden kann.

Das p - T -Diagramm des Schwefels, d. h. einer Substanz, die zwei feste Modifikationen aufzuweisen hat, ist natürlich komplizierter, als

¹⁾ Reichen, *Beiträge zur Kristallographie*, 8, pag. 366, 1894.

²⁾ Tammann, *Wied. Ann.*, 66, pag. 665, 1900.

³⁾ Tammann, *Ann. d. Phys.*, 8, pag. 176, 1900.

⁴⁾ Reichen, *Beiträge zur phys. Chemie*, 44, pag. 371, 1896.

das einfache bisher betrachtete, in den Figg. 38 bis 39 zum Ausdruck gekommen. Denn wir haben hier nicht drei Grenzkurven p_{H_2} , p_{H_2} , p_{H_2} , sondern deren sechs: Existiert bei jeder festen Modifikation ihres eigenen Sublimationsdruck (p'_{H_2} und p''_{H_2}), ferner ihres eigenen Schmelzdruck (p'_{H_2} und p''_{H_2}); dazu tritt die Verdampfungskurve p_{H_2} , wie bisher, und endlich die Umwandlungskurve p_{H_2} . Die einfach gestrichelten Größen eignen sich auf räumlichen, die zweifach gestrichelten auf monoklinen Schwefel beziehen.

Es ist von vornherein klar, daß hier mehrere Tripelpunkte auftreten können. Denn es können folgende Kombinationen je dreier verschiedener Zustände miteinander im Gleichgewichte sein:

1. δ_{H_2} , δ_{H_2} , δ_{H_2} : dieser Tripelpunkt trägt P_1 beilegen,
2. δ_{H_2} , δ_{H_2} , δ_{H_2} : „ „ „ „ P_2 „
3. δ_{H_2} , δ_{H_2} , δ_{H_2} : „ „ „ „ P_3 „
4. δ_{H_2} , δ_{H_2} , δ_{H_2} : „ „ „ „ P_4 „

Es ist allerdings nicht gesagt, daß alle vier Tripelpunkte strahlen Zuständen entsprechen, wozu wir noch näher eingehen werden.

Begleiten wir bei tiefen Temperaturen, etwa bei Sauerstofftemperatur, so haben wir als stabile Modifikation des räumlichen Schwefels, dessen Dampfdruck von Reiff und Graf¹⁾ gemessen worden ist. Es geht aus ihren Resultaten hervor, daß kein Umwandlungspunkt von 32,2° C des Sublimationsdruck unterhalb $\frac{1}{100}$ mm Hg, also sehr klein ist. Andererseits ist bei dieser Temperatur der Umwandlungsdruck p_{H_2} gleich 1 Atm., also kann die genannte Temperatur nicht der Tripelpunkt sein. Resultieren wir dagegen, daß nach der obigen Tabelle durch Erweichung des Umwandlungsdruckes um eine Atmosphäre die Umwandlungstemperatur um rund 0,05° sinkt, so werden bei der Temperatur 32,45° C beide Drücke sehr nahe gleich sein. Wir können also mit genügender Annäherung den Tripelpunkt P_1 durch die Angaben anlegen:

$$(37) \quad P_1: (T = 32,45^\circ \text{ abs.}, \quad p = 0,01 \text{ mm Hg}).$$

In ihm schneiden sich zunächst die Kurven p'_{H_2} und p_{H_2} ; ferner muß durch das Mischschmelzen die Kurve p''_{H_2} , d. h. die Sublimationskurve des monoklinen Schwefels.

Geben wir nun die Sublimationskurve des monoklinen Schwefels entlang, so müssen wir zu einem neuen Tripelpunkt P_2 kommen, in dem monokliner, flüssiger und dampfförmiger Schwefel zusammen im Gleichgewichte sind. Diesen Punkt gewinnen wir durch Beobachtung der Schmelzkurve p'_{H_2} und der Sublimationskurve p'_{H_2} des monoklinen Schwefels. Bei Atmosphärendruck liegt der Schmelzpunkt des monoklinen Schwefels bei 119,35° C. Andererseits ist am Schmelzpunkte 119,35° der Sublimationsdruck p'_{H_2} nach Reiff und Graf etwa 0,04 mm Hg; also kann wieder die

¹⁾ Reiff und Graf, *Zeitschr. f. anorg. Chemie*, 48, 1899.

gemessene Temperatur stellt die des Tripelpunktes P_1 sein, weil der Schmelzdruck p'_{12} fast eine Atmosphäre beträgt. Da nun die Schmelztemperatur durch Druck stets sehr wenig verändert werden, so wird eine sehr geringe Temperaturerniedrigung (schätzungsweise einige Hundertstel Grad) genügen, um Schmelzdruck p'_{12} und Sublimationsdruck p'_{11} gleich zu machen. Der Tripelpunkt P_2 ist daher angenähert charakterisiert durch die Angaben:

$$(13) \quad P_2: (T = 273 + 119,50^\circ \text{ abs.}; \quad p = 0,08 \text{ mm Hg}).$$

Durch P_2 geht außer p'_{12} und p'_{11} auch die Verdampfungskurve p_{22} .

Der dritte mögliche Tripelpunkt P_3 ist derjenige, in dem rhombischer, monokliner und flüssiger Schmelz im Gleichgewichte sind. Wir finden daher seine Lage, wenn wir die Kurve p_{12} und die Kurve p'_{12} zum Schnitt bringen. Letztere ist von Tammann⁷⁾ bestimmt worden; seine Beobachtungen sind in der folgenden Tabelle enthalten.

p'_{12} in Atm.	$T_{12} - 273$
(10	114,57° C
1100	116,0 „
1000	116,6 „
1000	116,7 „
1000	117,3 „ C
1001	118,1 „
1000	118,1 „
1000	119,3 „
1000	119,3 „
1000	119,3 „

Bei die eingeklammerten Werte kommen wir gleich zurück. Vergleicht man nun die Druckwerte p_{12} und p'_{12} in den beiden letzten Tabellen, so sieht man, daß sie für ungefähr 120°C übereinstimmen; die genaueste Anmerkung ergibt nach Tammann die Werte:

$$(14) \quad P_3: (T = 273 + 147^\circ \text{ abs.}, \quad p = 1880 \text{ Atm.}).$$

Durch diesen Punkt P_3 geht außer p_{12} und p'_{12} auch noch p'_{13} , die Schmelzkurve des monoklinen Schmelzes.

Wegen der kolossalen Druckunterschiede, die in dem Diagramm auftreten, ist es unmöglich, in kleinem Maßstabe ein getreues Bild zu zeichnen; man könnte dies etwa dadurch vermeiden, daß man die Ordinaten die Logarithmen des Druckes wählt. Wir verzichten darauf und geben im folgenden ein schematisches Bild des pT -Diagramms der Schmelz (Fig. 80).

Bei der Tripelpunkte sind nun bestimmt; es fragt sich, wo der vierte P_4 liegt, bei dem rhombischer, flüssiger und gasförmiger Schmelz zusammenstehen. Dieser Punkt muß auf der oben angegebenen Schmelz-

^{7) Tammann, Ann. d. Phys., 4, pag. 116, 1900.}

Kurve p'_{11} des rhombischen Schwefels und auf der Sublimationskurve p'_{12} denselben liegen. Verlängert man letztere über den Tripelpunkt P_2 hinaus zu größeren Drucken und Temperaturen, andere (mit Hilfe der in der letzten Tabelle eingeklammerten Werte) über P_2 rückwärts zu niedrigeren Drucken und Temperaturen, so findet man ihren Schnittpunkt bei $114,5^\circ\text{C}$ und bei einem Druck von ca. 0,58 mm Hg; es fällt also in das Gebiet des monoklinen Schwefels hinein und ist mithin heil, wie

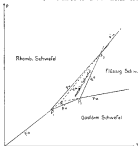


Fig. 11.

welches aus dem Umstand geschlossen werden mußte, daß die Kurven p'_{11} und p'_{12} über die jeweiligen Tripelpunkte hinaus verlängert werden mußten. Dieser vierte Tripelpunkt

$$(46) \quad P_4: (T = 373 + 114,5^\circ \text{ ab.}; \quad p = 0,58 \text{ mm Hg})$$

ist nichtbestreitend leicht zu realisieren, weil man z. B. rhombischen Schwefel leicht über die Umwandlungstemperatur $94,5^\circ\text{C}$ hinaus erhitzen kann; ebenso ist es möglich (da auch die Rückwärtverlagerung von p_{12} durch P_2 geht), flüssigen Schwefel unter die Temperatur des Tripelpunktes P_4 abzukühlen, ohne daß er erstarrt.

Eine wichtige Tatsache erkennt man aus dem Diagramm sofort: es gibt auch denselben keinen Punkt (vgl. Quadrupelpunkt).

an dem alle vier Aggregatzustände (flüssig, fest, gasförmig, flüchtig) miteinander im Gleichgewichte sind. Es fragt sich, ob dies eine wichtige Eigenständigkeit des Schmelze oder eine allgemeine Gesezsmäßigkeit für chemisch einwirkende Substanzen ist. Die später zu besprechende „Flüssigkeitsregel“ von Gibbs entscheidet im letzteren Sinne.

65. Thermische Dissoziation.

Die Anwendbarkeit der Clausius-Clapeyronschen Gleichung ist auch damit noch nicht erschöpft. Vielmehr gibt es, wie zuerst Debray 1857 nachwies, thermische Zersetzungsprozesse, bei denen sich ein Gleichgewichtsstand herausbildet, der ganz analog demjenigen zwischen Flüssigkeit und gesättigtem Dampf ist.

Der von Debray unternommene Fall ist die Zersetzung von CaCO_3 in CaO und CO_2 . Die experimentellen Tatsachen sind folgende: Wenn man CaCO_3 in ein evakuiertes Gefäß bringt und auf eine bestimmte Temperatur erwärmt, so zerfällt ein ganz bestimmter Teil des Kalziumcarbonats in festes CaO und gasförmige CO_2 . Dieser letztere übt dann einen bestimmten Gasdruck aus, der lediglich von der Temperatur abhängt. Die Zersetzung geht so lange vor sich, bis dieser Druck erreicht ist. Versucht man, bei konstanter Temperatur den Druck durch isotherme Dilatation zu erniedrigen, so zerfällt sich einfach mehr CaCO_3 . Bis der Druck wieder den alten Wert angenommen hat. Versucht man umgekehrt, durch isotherme Kompression den Druck zu steigern, so geht die Zersetzung zurück, indem sich aus CaO und CO_2 wieder CaCO_3 bildet, so lange, bis der der Temperatur entsprechende Druck wiederhergestellt ist. Das System verhält sich hinsichtlich des Gleichgewichtsstandes also genau so, wie etwa das System Flüssigkeit-Dampf. Man hat daher auch gerade von einer „Verdampfung“ des CaCO_3 gesprochen. Der sich einstellende Gleichgewichtsdruck wird hier „Sättigungsdruck“ oder „Dissoziationsdruck“ oder „Reaktionsdruck“ genannt, die Temperatur, bei der Gleichgewicht stattfindet, entsprechend „Dissoziationstemperatur“ usw.

Man versteht daher ohne weiteres, daß die Clausius-Clapeyronsche Gleichung hier anwendbar sein muß; dies hat zuerst Horstmann richtig erkannt. Nur ist es hier zweckmäßig, alles auf ein Grammolekül zu beziehen, da die Zersetzung von 1 Mol CaCO_3 gerade 1 Mol CaO und 1 Mol CO_2 liefert. Dem Unterschiede von der auf 1 Gramm bezogenen Umwandlungswärme l wollen wir allgemein die auf 1 Mol bezogene durch den entsprechenden großen Buchstaben L bezeichnen.

Die Gl. (21) lautet dann hier einfach, da die Mol-Volumina der festen Bestandteile gegen das der gasförmigen Kohlenäure zu vernachlässigen sind:

$$L = RT_0^2 \frac{d}{dT_0} \ln v,$$

kurve p'_{11} des rhombischen Schwefels und auf der Sublimationskurve p'_{12} denselben liegen. Verlängert man letztere über den Tripelpunkt P_2 hinaus zu größeren Drucken und Temperaturen, andere (mit Hilfe der in der letzten Tabelle eingeklammerten Werte) über P_2 rückwärts zu niedrigeren Drucken und Temperaturen, so findet man ihren Schnittpunkt bei $114,5^\circ\text{C}$ und bei einem Druck von ca. 0,58 mm Hg; es fällt also in das Gebiet des monoklinen Schwefels hinein und ist mithin heil, wie

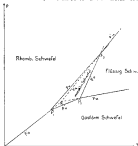


Fig. 11.

welches aus dem Umstand geschlossen werden mußte, daß die Kurven p'_{11} und p'_{12} über die jeweiligen Tripelpunkte hinaus verlängert werden mußten. Dieser vierte Tripelpunkt

$$(46) \quad P_4: (T = 373 + 114,5^\circ \text{ ab.}; \quad p = 0,58 \text{ mm Hg})$$

ist nichtbestreitend leicht zu realisieren, weil man z. B. rhombischen Schwefel leicht über die Umwandlungstemperatur $94,5^\circ\text{C}$ hinaus erhitzen kann; ebenso ist es möglich (da auch die Rückwärtverlagerung von p_{12} durch P_4 geht), flüssigen Schwefel unter die Temperatur des Tripelpunktes P_4 abzukühlen, ohne daß er erstarrt.

Eine wichtige Tatsache erkennt man aus dem Diagramm sofort: es gibt auch denselben keinen Punkt (vgl. Quadrupelpunkt).

Bindung von Wasser verschwinden, indem man ihn in eine Wasserdampf-
atmosphäre bringt. Es bildet sich dann in solchem Maße das Kristall-
hydrat zurück, bis der Sättigungsdruck erreicht ist, der der betreffende
Temperatur entspricht. Auch hier hat sich die Clausius-Clapeyronsche
Formel vollständig bestätigt.

Erfolgt sei erwähnt, daß auch die Lösungswärme, die bei Auflösung
eines Salzes oder einer Säure in einem Lösungsmittel auftritt, unter dem-
selben Gesichtspunkte betrachtet und berechnet werden kann. Wir
können darauf später zurück.

56. Beispiel, Entropie, latentes-technes Potential für die isotherme Arbeit.

Sodann wie in den vorhergehenden Nummern auf die vollständige
Anwendbarkeit der Clausius-Clapeyronschen Gleichung eingegangen
sind, nehmen wir jetzt die allgemeine Untersuchung wieder auf, indem
wir allgemeingültige Ausdrücke für die Energie und Entropie herstellen.

Aus der Gl. (6) in Verbindung mit (9) und (10) folgt für die Änderung
der spezifischen Entropie s zunächst der Wert:

$$ds = \frac{p}{T} dT + \frac{p}{T} d\tau.$$

Für p , hatten wir aber schon früher die Bezeichnung γ , und für q , die
Bezeichnung l eingeführt, um dadurch bereits an ihrem Charakter als be-
sondere Art spezifischer Wärme bzw. latenter Umwandlungswärme zu
erkennen. Statt der letzten Gleichung können wir also auch schreiben:

$$(47) \quad ds = \frac{\gamma}{T} dT + \frac{l}{T} d\tau.$$

Ähnlich finden wir aus (8), (7) und (5) für die Änderung der spezifischen
Energie u :

$$(48) \quad du = \left[\gamma - p \left(\frac{\partial \gamma}{\partial T} \right)_p \right] dT + \left[l - p \left(\frac{\partial l}{\partial T} \right)_p \right] d\tau.$$

Dabei ist die Variable τ noch ganz willkürlich wählbar; wir wollen sie
jetzt analog wie in Nr. 56 bestimmen, nur daß wir hier die Bezeichnung
etwas allgemeiner wählen. Wir betrachten das thermodynamische Gleich-
gewicht irgend zweier Zustände a und b , wie wir es beim Verdampfen,
Schmelzen, Sublimieren, bei allotroper Umwandlung, thermischer Disso-
ziation usw. finden, und geben allgemein den auf den ersten bzw. zweiten
Zustand sich beziehenden Größen die oberen Indizes a oder b ; Doppel-
indizes setzen, wenn notwendig, welche Größen verhalten, die beiden Zu-
ständen gemeinsam sind oder sich auf die Umwandlung vom einen in den
anderen beziehen, wie z. B. der Umwandlungsdruck $p_{a,b}$, die Umwandlungs-
temperatur $T_{a,b}$, die Umwandlungswärme $l_{a,b}$ usw.

Ist das mittlere spezifische Volumen der inhomogenen Substanz v ,
das spezifische Volumen im ersten Zustande $v^{(a)}$, im zweiten $v^{(b)}$, so ist
analog Gl. (18) zu setzen:

$$(49) \quad v = v^{(a)} (1 - \xi) + v^{(b)} \xi;$$

ξ ist also jetzt allgemein derjenige Druckteil der Masseneinheit der betrachteten Substanz, der sich im Zustande k befindet. Daher ist:

$$\left(\frac{\partial \xi}{\partial T}\right)_P = \epsilon^{(k)} - \epsilon^{(l)},$$

und (1) (46) geht über in die folgende:

$$(46) \quad d\xi = \left(p - p_{\text{ext}} \left(\frac{\partial \xi}{\partial T}\right)_P\right) dT + \left(\xi_{\text{ext}} - p_{\text{ext}}(\epsilon^{(k)} - \epsilon^{(l)})\right) dZ,$$

oder auch, wenn wir die Clausius-Clapeyronsche Formel benutzen:

$$(46a) \quad d\xi = \left(p - p_{\text{ext}} \left(\frac{\partial \xi}{\partial T}\right)_P\right) dT + \xi_{\text{ext}} \left(1 - \frac{\partial \ln p}{\partial \ln T}\right) dZ.$$

Um die Gleichungen nicht zu sehr zu belasten, lassen wir vorläufig bei T den Doppelindex fort, wodurch ein Irrtum nicht entstehen kann.

Die Gleichungen (47) und (48) können nun dazu dienen, die Entropie s und die Energie u zu bestimmen.

Wir wollen zunächst die spezifische Entropie berechnen oder vielmehr ihre Zunahme gegenüber ihrem Werte s_0 in einem willkürlich im wählbaren Normalzustande. Diesen wollen wir so bestimmen, daß die Temperatur $T = T_0$ und die betrachtete Substanz noch ganz im Zustande l , d. h. Z gleich Null sei. Der Wert von s soll angegeben werden für einen beliebigen Wert von T und Z . Wir erhalten dann durch Integration aus (47):

$$s = \int_{T_0}^T \frac{1}{T} dT + \int_0^Z \frac{\partial \xi}{\partial T} dZ = s_0.$$

Die Ausführung der Integration kann auf einem beliebigen reversiblen Wege geschehen. Denken wir uns zunächst die Substanz von T_0 auf T erhitzen, wobei daneben $Z = 0$ gehalten werde, so ist während dieser Teilprozesse das zweite Integral dauernd gleich Null: γ , die spezifische Wärme bei konstantem Z (oder hier genauer bei $Z = 0$), ist, wie wir schon früher betont haben, für feste und flüssige Körper praktisch identisch mit der spezifischen Wärme unter konstantem Druck, die wir hier kürzerweise mit $(c)_P$ bezeichnen. Nachdem die Temperatur T erreicht ist, können wir hierher reversibel die Umwandlung in den andern Zustand k vor sich gehen lassen; $\frac{\partial \xi}{\partial T}$ tritt dabei vor das Integral, das somit einfach den Wert $\frac{\partial \xi}{\partial T} = \xi$ annimmt. Damit haben wir für die spezifische Entropie s im Zustande (T, Z) den Wert erhalten:

$$(48) \quad s(T, Z) = \int_{T_0}^T \frac{c_P}{T} dT + \frac{\partial \xi}{\partial T} Z + s_0.$$

$g = 2$ liefert die Entropie für den Fall, daß der Körper sich ganz im Zustande a befindet, $g = 1$ denjenigen die Entropie des ganz in den Zustand b übergetretenen Körpers. Bezeichnen wir diese beiden Werte mit $s^{(a)}$ und $s^{(b)}$, so folgt aus (31):

$$(32) \quad \begin{cases} s^{(a)} = s_0 + \int_a^T \frac{d\lambda_a}{T^2} dT, \\ s^{(b)} = s_0 + \int_a^T \frac{d\lambda_b}{T^2} dT + \frac{\lambda_b}{T^2}, \end{cases}$$

also ist die Entropiezunahme bei konstanter Temperatur durch Übergang von 1 Gramm Substanz aus dem Zustande a in den Zustand b :

$$(33) \quad s^{(b)} - s^{(a)} = \frac{\lambda_b}{T^2}.$$

Diese Gleichung ist übrigens auch unmittelbar plausibel, wenn man von der Definition $d_s = \frac{d\lambda}{T^2}$ ausgeht; denn unter den hier vorliegenden Umständen ist eben $d\lambda = d\lambda_a$. Indem wir bei der Berechnung des inneren Energie ebenso verfahren, erhalten wir aus (30) bzw. (30a):

$$(34) \quad u(T, g) = \int_a^T \left\{ (\lambda_a \lambda_a - p_{aa} \frac{d\lambda_a}{dT}) \right\} dT + \lambda_{aa} - p_{aa} (v^{(a)} - v^{(b)})/g + u_0.$$

Der Wert u_0 bezieht sich dabei wieder auf den durch die „Koordinaten“ $(T_a, 0)$ bestimmten Normalzustand. Ist die Substanz ganz im Zustande a oder ganz im Zustande b , so haben wir die beiden Spezialwerte:

$$(35) \quad \begin{cases} u^{(a)} = \int_a^T \left\{ (\lambda_a \lambda_a - p_{aa} \frac{d\lambda_a}{dT}) \right\} dT + u_0, \\ u^{(b)} = \int_a^T \left\{ (\lambda_a \lambda_a - p_{aa} \frac{d\lambda_a}{dT}) \right\} dT + (\lambda_{aa} - p_{aa} (v^{(a)} - v^{(b)})) + u_0; \end{cases}$$

also ist die Energiedifferenz pro Gramm beim Übergang von a nach b :

$$(36) \quad u^{(b)} - u^{(a)} = \lambda_{aa} - p_{aa} (v^{(a)} - v^{(b)}).$$

Auch diese Gleichung ist leicht ohne Rechnung verständlich, wenn man von der Energiegleichung $ds = d\lambda - p$ ausgeht und bedenkt, daß p bei dem geschlossenen Prozeß der konstante Umwandlungsdruck p_{aa} ist. Die Größe $p_{aa} (v^{(a)} - v^{(b)})$ ist offensichtlich die äußere Arbeit, die geleistet werden muß, um das spezifische Volumen von $v^{(a)}$ auf $v^{(b)}$ auszuweiten. Man kann nun zweckmäßig sich die Umwandlungswärme λ_{aa} aus zwei Summanden zusammensetzen denken; einem Teile λ_{aa} , der dazu verwendet wird, um die bei der Umwandlung notwendige „innere“ Arbeit gegen die molekularen Kräfte zu leisten, und einem zweiten Teile

$p_{\text{at}} (v^{(1)} - v^{(2)})$, der die oben charakterisierte äußere Arbeitsleistung decken muß. Setzt man also:

$$l_{\text{at}} = l_{\text{in}} + p_{\text{at}} (v^{(1)} - v^{(2)}),$$

so ist

$$(55a) \quad \lambda_{\text{at}} = l_{\text{at}} - p_{\text{at}} (v^{(1)} - v^{(2)})$$

die sogenannte „innere Umwandlungswärme“, während der Ausdruck $p_{\text{at}} (v^{(1)} - v^{(2)})$ als „äußere Umwandlungswärme“ bezeichnet wird. Namentlich beim Übergang vom flüssigen in den dampfförmigen Aggregatzustand ist diese Terminologie gebräuchlich („innere“ und „äußere“ Verdampfungswärme). Damit nimmt (55) die einfache Gestalt an:

$$(55b) \quad v^{(1)} - v^{(2)} = \lambda_{\text{in}},$$

die Energiebilanz pro Gramm beim Übergang von a nach b ist gleich der inneren Umwandlungswärme.

Indem wir ferner in (55) für l_{in} den Wert $T (v^{(1)} - v^{(2)})$ aus (53) substituieren, erhalten wir eine Beziehung, die wir als Bedingung dafür auffassen können, daß die Zustände a und b im Gleichgewicht nebeneinander existieren. Man findet:

$$(57) \quad v^{(1)} - v^{(2)} = \frac{v^{(1)} - v^{(2)}}{T_{\text{at}}} + \frac{p_{\text{at}}}{T_{\text{at}}} (v^{(1)} - v^{(2)}),$$

wenn wir jetzt der Deutlichkeit halber T_{at} für T schreiben.

In der Tat können wir aus (57) alle unsere bisherigen Resultate wiedergewinnen, wenn wir die linke Seite in geeigneter Weise umformen. Unden wir nämlich von der Definition der Entropie aus:

$$ds = \frac{dQ}{T} = \frac{p dv}{T},$$

so erhalten wir die Differenz $v^{(1)} - v^{(2)}$ durch Integration dieser letzten Gleichung zwischen a und b :

$$v^{(1)} - v^{(2)} = \int_a^b \frac{ds}{p} = \int_a^b \frac{p dv}{p T},$$

wobei der Übergang von a nach b beliebig sein kann, wenn er nur reversibel ist. Wählen wir den Übergang isotherm bei der Temperatur $T = T_{\text{at}}$, so folgt aus der letzten Gleichung:

$$(58) \quad v^{(1)} - v^{(2)} = \frac{v^{(1)} - v^{(2)}}{T_{\text{at}}} + \frac{1}{T_{\text{at}}} \int_a^b p dv,$$

woraus durch Kombination mit (57) als Bedingung des Gleichgewichts der Zustände a und b hervorgeht:

$$(59) \quad \int_a^b p dv = p_{\text{at}} (v^{(1)} - v^{(2)}).$$

Inbei sei links p als Funktion von T gemäß einer Zustandsgleichung gegeben zu denken, während rechts p_{12} den konstanten Umwandlungsdruck bedeutet. Diese Gleichung ist uns aber bekannt: sie enthält ja, z. B., auf die Verdampfung angewendet, die sogenannte Maxwell'sche Regel, die in Gl. (89) formuliert ist und aus (88) hervorgeht, wenn man die Indizes a und b durch 1 bzw. 2 ersetzt ersetzt. Gl. (90) erhält ferner zusammen mit der Gleichung $T_{12} = T_{21}$, die ausdrückt, daß im Gleichgewichte in beiden Zuständen a und b der Druck der gleiche ist, die Theorie des Sättigungsgebietes, wie wir es für den Fall der Verdampfung in Kr. XI dargestellt haben.

Wir wollen schließlich, da hier p und T bei der Umwandlung konstant bleiben, die Gleichgewichtsbedingung (87) durch das isothermische Potential für die Masseneinheit $\mu = \varepsilon - \frac{p}{T} \frac{\partial \varepsilon}{\partial p}$ ausdrücken, das in Gl. (88) des dritten Kapitels auf pag. 179 definiert worden ist. Wir können die gesamte Bedingungsgleichung zunächst schreiben:

$$\mu^a = \frac{\varepsilon^a + p_a \frac{\partial \varepsilon^a}{\partial p_a}}{T_{12}} = \mu^b = \frac{\varepsilon^b + p_b \frac{\partial \varepsilon^b}{\partial p_b}}{T_{12}},$$

oder (auf beliebige Massen bezogen):

$$(91) \quad \Phi^a = \Phi^b.$$

Dies ist die einfachste Form, auf welche die Gleichgewichtsbedingung der beiden Zustände a und b gebracht werden kann: „Wenn zwei Zustände einer einheitlichen Substanz nebeneinander im Gleichgewichte befindlich sind, so ist in beiden der Wert des isothermischen Potentials gleich groß.“

Die Gleichung

$$\Phi^a = \Phi^b = \Phi,$$

als Bedingung des Gleichgewichtes der beiden Zustände a und b aufgestellt, definiert offenbar die Kurve des Umwandlungsdruckes p_{12} als Funktion der Umwandlungstemperatur T_{12} in der p - T -Ebene. Angewendet auf die drei Aggregatzustände einer einheitlichen Substanz, z. B. H_2O , finden wir also

$$\text{für die Verdampfungskurve} \quad p_{12}: \Phi^v - \Phi^g = 0,$$

$$\text{für die Schmelzkurve} \quad \dots \quad p_{12}: \Phi^l - \Phi^g = 0,$$

$$\text{für die Sublimationskurve} \quad p_{12}: \Phi^l - \Phi^v = 0.$$

Sind für einen Punkt der p - T -Ebene etwa die beiden ersten dieser drei Gleichungen erfüllt (im Schnittpunkte der beiden Kurven), so ist es in demselben Punkte auch die dritte, wie sich durch Subtraktion der beiden ersten Gleichungen sofort ergibt; d. h. alle drei Aggregatzustände sind in diesem Tripelpunkte im Gleichgewicht, wie wir es ausführlich dargestellt haben.

Man sieht also, wie sich mit Hilfe des isothermischen Potentials alle früheren Resultate besonders einfach formulieren bzw. wiederfinden lassen.

Endlich sei noch auf folgendes aufmerksam gemacht: Gemäß (55) ändert sich Φ nicht, wenn die Substanz von a nach b übergeht, z. B. wenn Flüssigkeit verdunstet. Diese Aussage ist identisch mit der andern, daß hier für eine virtuelle Verschiebung des Gleichgewichts $\delta\Phi = 0$ sein muß. Das ist aber nichts als Gleichgewichtsbedingung (50) des dritten Kapitels auf pag. 181, die wir dort allgemein aus dem Prinzip von der Vermehrung der Entropie abgeleitet hatten, während sie hier für den speziellen Fall der Umwandlung zweier Zustände hergeleitet worden.

55. Allgemeine Ableitung der Bedingungen für das Gleichgewicht.

Wir haben in den vorhergehenden Nummern, um allgemein zu reden, stofflich nebeneinander im Gleichgewicht befindliche Teile einer einheitlichen Substanz untersucht, z. B. Flüssigkeiten neben ihrem gesättigten Dampf, rhombischen Schwefel neben monoklinem Schwefel; ferner Eis, Wasser, Wasserdampf am Tripelpunkt usw. In Verallgemeinerung der Begriffe „Aggregatzustand“ nennt man nach Übböe diese stofflich getrennten Teile eines Systems die „Phasen“ desselben. Es stellt sich dabei heraus, daß in jeder Phase der Substanz Druck p , Temperatur T und thermodynamisches Potential pro Masseneinheit φ die nämlichen Werte haben.

Wir wollen die nämliche Behauptung jetzt für ein ganz beliebig zusammengesetztes einheitliches System, das etwa aus β Phasen mit den Massen

$$M^1, M^2, \dots, M^{\beta}$$

bestehen mag, beweisen. Und zwar wollen wir annehmen, daß das System adiabatisch isoliert sei und keine äußere Arbeit auf dasselbe geleistet werde. Dann ist die innere Energie U desselben konstant, ebenso das Gesamtdruck P und die Gesamtmasse M . Es bestehen also zunächst die Gleichungen, die das nun Ausdruck befragen:

$$(61) \quad \begin{cases} M^1 + M^2 + \dots + M^{\beta} = M = \text{const.}, \\ M^1 v^1 + M^2 v^2 + \dots + M^{\beta} v^{\beta} = U = \text{const.}, \\ M^1 \varphi^1 + M^2 \varphi^2 + \dots + M^{\beta} \varphi^{\beta} = U = \text{const.}, \end{cases}$$

wenn v^1, v^2, \dots bzw. $\varphi^1, \varphi^2, \dots$ die spezifischen Volumina bzw. spezifischen Energien der einzelnen Systemphasen sind.

Für ein adiabatisches System lautet nun aber nach Gl. (76) des dritten Kapitels auf pag. 180 die Gleichgewichtsbedingung:

$$(62) \quad \delta S = 0.$$

Die Gesamtentropie S setzt sich klar ebenso wie die Gesamtenergie U und das Gesamtvolumen V aus den spezifischen Entropien φ^{β} in folgender Weise zusammen:

$$(63) \quad S = M^1 \varphi^1 + M^2 \varphi^2 + \dots + M^{\beta} \varphi^{\beta}.$$

so daß die Gleichgewichtsbedingung (55) ebenfalls geschrieben werden wird:

$$(54) \quad \sum_i M^{(i)} \delta v^{(i)} + \sum_i v^{(i)} \delta M^{(i)} = 0.$$

Dabei ist durch δ eine virtuelle Veränderung des Systems definiert, d. h. eine selbst unendlich kleine Verschiebung, bei der die Bedingungen des Systems, nämlich gerade die GL. (51), nicht verletzt werden. Es bestehen also nach folgende Relationen zwischen den Variationen $\delta M^{(i)}$, $\delta v^{(i)}$ und $\delta v^{(j)}$:

$$(55) \quad \left\{ \begin{aligned} \delta M + \delta M' + \dots + \delta M^{(n)} &= \sum \delta M^{(i)} = 0, \\ M \delta v + v' \delta M + M' \delta v' + v'' \delta M'' + \dots + M^{(n)} \delta v^{(n)} + v^{(n)} \delta M^{(n)} \\ &= \sum (M^{(i)} \delta v^{(i)} + v^{(i)} \delta M^{(i)}) = 0, \\ M \delta v + v' \delta M' + \dots + M^{(n)} \delta v^{(n)} + v^{(n)} \delta M^{(n)} \\ &= \sum (M^{(i)} \delta v^{(i)} + v^{(i)} \delta M^{(i)}) = 0. \end{aligned} \right.$$

Schreibt man nun, unter Benützung der allgemeinen Definition der Entropie, für $\delta M^{(i)}$ den Wert $\frac{\delta M^{(i)}}{T_i} \frac{\partial M}{\partial T_i}$, so folgt aus (55) weiter:

$$(56) \quad \sum_i \frac{M^{(i)}}{T_i} \delta v^{(i)} + \sum_i \frac{M^{(i)}}{T_i} v^{(i)} \delta v^{(i)} + \sum_i v^{(i)} \delta M^{(i)} = 0,$$

wobei die $\delta M^{(i)}$, $\delta v^{(i)}$, $\delta v^{(j)}$ an die oben aufgestellten Bedingungen (51) geknüpft sind. Wir multiplizieren, ebenso wie in der Mechanik, diese Bedingungen der Reihe nach mit den Lagrangeschen Faktoren α_1 , α_2 , α_3 und addieren sie dann zu (56). Es folgt:

$$\begin{aligned} \sum_i \left[\frac{M^{(i)}}{T_i} \delta v^{(i)} + \frac{\alpha_1 M^{(i)}}{T_i} \delta v^{(i)} + v^{(i)} \delta M^{(i)} + \alpha_2 \delta M^{(i)} + \alpha_3 M^{(i)} \delta v^{(i)} \right. \\ \left. + \alpha_1 v^{(i)} \delta M^{(i)} + \alpha_2 M^{(i)} \delta v^{(i)} + \alpha_3 v^{(i)} \delta M^{(i)} \right] = 0, \end{aligned}$$

oder geschweift:

$$(57) \quad \left\{ \begin{aligned} \sum_i \left[\left(\frac{1}{T_i} + \alpha_1 \right) M^{(i)} \delta v^{(i)} + \sum_j \left[\frac{\alpha_2}{T_j} + \alpha_3 \right] M^{(j)} \delta v^{(j)} + \right. \\ \left. + \sum_j \left[v^{(j)} + \alpha_1 + \alpha_2 v^{(j)} + \alpha_3 v^{(j)} \right] \delta M^{(j)} \right] = 0. \end{aligned} \right.$$

Diese Gleichung stellt aber, nach der bekannten Fokalscheit der Mechanik, selbst in die folgenden 8 β Randgleichungen:

$$\begin{array}{lcl}
 (66) & \frac{d\mu_i^{(1)}}{dT_i} + \alpha_i \mu_i^{(1)} = 0 & \\
 (67) & \frac{d\mu_i^{(2)}}{dT_i} + \alpha_i \mu_i^{(2)} = 0 & \\
 (70) & i^{(1)} + \alpha_1 + \alpha_2 i^{(2)} + \alpha_3 i^{(3)} = 1 &
 \end{array} \quad \left. \begin{array}{l} \\ \\ \end{array} \right\} \quad (i = 1, 2, \dots, \beta).$$

Aus (66) ergibt sich sofort, daß $T_1 = T_2 = \dots T_\beta = T$ ist, und aus (67) in derselben Weise, daß $\mu_1 = \mu_2 = \dots \mu_\beta = \mu$ ist, d. h. daß Druck p und Temperatur T im ganzen System die nämlichen Werte haben müssen, damit Gleichgewicht vorhanden sein kann.

Ferner folgt, da nach (66) $\alpha_1 = -\frac{1}{T}$, nach (67) $\alpha_2 = -\frac{1}{T}$ ist, aus Gl. (70):

$$i^{(1)} = \frac{\mu^{(1)} + p \mu^{(1)}}{p} = -\alpha_1,$$

oder, da $\alpha = -\frac{\mu + p \mu}{p} = q$, das hohem-lobare Potential q pro Masseinheit ist:

$$q^1 = q^2 = \dots q^{(\beta)} = q,$$

d. h. für jede Phase des chemisch einheitlichen Systems ist im Gleichgewicht das hohem-lobare Potential der Masseinheit dasselbe.

Das sind nämlich die nämlichen Bedingungen, die wir in speziellen Fällen schon früher gefunden hatten. Es sei aber noch besonders auf folgenden Punkt aufmerksam gemacht: Wie groß bei einem einheitlichen System die Zahl β der Phasen sein kann, wird durch die bisherigen Betrachtungen nicht festgelegt. Durch die Untersuchungen der nächsten Nummer wird sich ergeben, daß $\beta \leq 5$ sein muß, solange das System, wie hier vorausgesetzt, chemisch einheitlich ist.

38. Die Gittertheorie.

Nach allgemeiner hat J. W. Gibbs das Problem des Gleichgewichts eines heterogenen Systems in seiner berühmten Arbeit „On the equilibrium of heterogeneous substances“¹⁾ 1876 bis 1878 angegriffen, die übrigens jahrzehntlang keinen Einfluß auf die Wissenschaft ausübte, weil sie an einem unangünstigen Orte veröffentlicht war, so daß ihre Resultate zum Teil von andern Forschern, namentlich von Planck, unabhängig wiedergefunden wurden.

Bei einem ganz beliebigen Körpersystem sind nach Gibbs zwei Begriffe einzuführen, derjenige der „Komponenten“ oder „unabhängigen Bestandteile“ und der der „Phasen“. In dem letzteren, den wir vorwiegend schon in der vorhergehenden Nummer eingeführt haben, genügt man allgemein folgendermaßen:

¹⁾ Gibbs, Scientific Papers, Bd. I, pag. 309. Abdruck aus: Transactions of the Connecticut Academy, Vol. III, pag. 196 bis 248, 1876, und pag. 242 bis 316, 1878.

Das heterogene System trennt sich im allgemeinen in eine Anzahl räumlich abgegrenzter, durch ihre Oberflächen voneinander bestehender Bereiche, deren jeder physikalisch homogen ist. Es sind dies gerade die räumlichen Bereiche, auf die sich die Betrachtungen der vorigen Nummer beziehen. Diese Bereiche nennt man nach Gibbs die „Phasen“ des Systems. Man erkennt, wie schon in der vorhergehenden Nummer hervorgehoben, daß dieser Begriff die direkteste Verallgemeinerung des Begriffes des Aggregatzustandes ist, der ja schon nicht mehr recht zutrifft, wenn man es mit zwei festen Modifikationen eines Stoffes zu tun hat, wie z. B. beim Schwefel; hier sprechen wir jetzt von der rhomboedrischen bzw. monoklinen „Phase“ des Stoffes. Der Aufbau aus Phasen kann bei komplizierten Systemen sehr mannigfaltig sein: es können z. B. mehrere feste Phasen, mehrere flüssige, z. B. Lösungen, nebeneinander existieren, stets aber nur eine gasförmige Phase, mag diese auch aus noch so vielen chemisch einheitlichen Gasen zusammengesetzt sein. Denn ein Gasgemisch ist ein K_1 in die kleinsten Teile physikalisch homogener Bereiche.

Vom Begriffe der Phase wollen wir trennen ab der der „unabhängigen Bestandteile“ oder der „Komponenten“.

Komponente im weiteren Sinne ist natürlich jede Substanz, die sich in irgendeiner Phase des Systems vorfindet. Betrachten wir z. B. ein System, das aus Wasser (H_2O) besteht. Dasselbe kann zunächst fest, flüssig und dampfförmig vorhanden sein, aber auch, namentlich bei hohen Temperaturen, in H_2 und O dissociert vorkommen. Auch hier ist Komponente im weitesten Wortsinne sowohl H als O ; aber das ist nicht der Sinn, in dem der Wort Komponente hier zu benutzen ist. Denn durch die stöchiometrischen Gesetzmäßigkeiten ist ja die Menge von O durch die des H bestimmt (und umgekehrt), und wir haben deshalb im Gibbs'schen Sinne hier nur einen unabhängigen Bestandteil oder eine Komponente, nämlich entweder H oder O , anzuweisen. In dem Augenblicke dagegen, in dem etwa noch H oder O im Überschusse vorhanden wäre, so daß nicht mehr auf jedes Atom O zwei Atome H kämen, wären hier zwei unabhängige Komponenten anzuweisen.

Allgemein kann man also unter den Komponenten diejenigen chemischen Elemente des Systems verstehen, die notwendig und hinreichend sind, um die übrigen Elemente desselben zu bestimmen.

Zur Bestimmung der Komponentenanzahl kann man sich mit Vorteil folgender Regel bedienen: Man bilde zuerst die Summe sämtlicher chemischer Elemente des Systems und subtrahiere davon die Zahl der Reaktionsgleichungen, die bei einer Veranschaulichung des Gleichgewichtes ins Spiel kommen. Nehmen wir als Beispiel für diese Anwendung etwa die Zersetzung von $CaCO_3$, die wir in der Nr. 11 besprochen haben. Hier beträgt die Summe der chemischen Elemente des Systems 8, während als Reaktionsgleichung nur die folgende auftritt:



es hat demnach dieses System $\beta - 1 = 2$ Komponenten im GILKESCHEN Sinne.

Teile von den vorhandenen Elementen man als unabhängige Bestandteile, d. h. als Komponenten im GILKESCHEN Sinne, welche man als von diesen abhängig betrachtet, ist gleichgültig, da es nur auf die Zahl der unabhängigen Bestandteile ankommt.

Sowohl die Phase als auch die Komponenten darüber wir uns nummeriert; die Zahl der ersten sei etwa β , die der letzteren α . Im allgemeinen wird sich eine beliebige Komponente in allen β -Phasen vorfinden. Um auszudeuten, daß eine Größe einer bestimmten Komponente angehört, versehen wir sie mit einem unteren Index. Dessen Zahl sei der Nummer der Komponente gleichbedeutend; ebenso wird die Zugehörigkeit zu einer bestimmten Phase durch einen entsprechenden oberen Index angedeutet, gleichzeitige Zugehörigkeit zu einer bestimmten Phase und einer bestimmten Komponente durch einen oberen und einen unteren Index.

Nennen wir die Massen der α -Komponenten $M_{\alpha}(i) = 1, 2, \dots, \alpha$ so wird wie schon betont, im allgemeinen jede Masse M_{α} sich in allen β -Phasen vorfinden, d. h. sich in β -Teilmassen $M_{\alpha}^{(\beta)}$ ($\beta = 1, 2, \dots, \beta$) trennen, denn jede also gleichmäßig einer der β -Komponenten und der β -ten Phase angehört. Wir haben also folgende Gleichungen:

$$(71) \quad \begin{array}{c|cccccc} & \text{1. Phase} & \text{2. Phase} & \dots & \dots & \beta\text{-Phase} \\ \hline M_{\alpha} = & M_{\alpha}^{(1)} & + M_{\alpha}^{(2)} & + \dots & + & + M_{\alpha}^{(\beta)} \quad (\alpha\text{-Komponente}) \\ M_{\alpha} = & M_{\alpha}^{(1)} & + M_{\alpha}^{(2)} & + \dots & + & + M_{\alpha}^{(\beta)} \quad (\alpha\text{-Komponente}) \\ \dots & \dots & \dots & \dots & \dots & \dots \\ M_{\alpha} = & M_{\alpha}^{(1)} & + M_{\alpha}^{(2)} & + \dots & + & + M_{\alpha}^{(\beta)} \quad (\alpha\text{-Komponente}) \end{array}$$

Die in jeder Vertikalspalte untereinander stehenden Massen gehören, da sie alle denselben oberen Index tragen, alle einer und derselben Phase an, die deshalb am Kopfe vermerkt ist. Bezeichnen wir die Gesamtmasse einer der β -ten Phase durch $M^{(\beta)}$, so ist nach (71):

$$(71a) \quad M^{(\beta)} = M_1^{(\beta)} + M_2^{(\beta)} + \dots + M_{\alpha}^{(\beta)}, \quad (\alpha = 1, 2, \dots, \beta)$$

oder, wenn wir durch $M^{(\beta)}$ dividieren:

$$1 = \frac{M_1^{(\beta)}}{M^{(\beta)}} + \frac{M_2^{(\beta)}}{M^{(\beta)}} + \dots + \frac{M_{\alpha}^{(\beta)}}{M^{(\beta)}} \quad (\alpha = 1, 2, \dots, \beta)$$

Die rechts stehenden Quotienten, gebildet aus der Masse der einzelnen Komponenten in der β -ten Phase, dividiert durch die Gesamtmasse dieser Phase, nennt man die „Massenkonzentrationsen“ der betreffenden Komponenten in der β -ten Phase. Bezeichnen wir dieselben allgemein durch den Buchstaben k mit entsprechenden oberen und unteren Index, so kann die letzte Gleichung geschrieben werden:

$$(71b) \quad 1 = k_1^{(\beta)} + k_2^{(\beta)} + \dots + k_{\alpha}^{(\beta)} \quad (\alpha = 1, 2, \dots, \beta).$$

Die Massen M_k ($k = 1, 2, \dots, n$) der Komponenten denken wir uns von vornherein fest gegeben. Was sich also bei einer Verschiebung des Gleichgewichts ändert, ist die Verteilung dieser Massen auf die einzelnen Phasen.

Wir wollen nun unser System bei gegebenem Druck und gegebenem Temperatur betrachten, die, wie aus der vorhergehenden Nummer klar ist, im ganzen System denselben Wert haben; sie sollen sich auch bei einer zu betrachtenden virtuellen Verschiebung des Gleichgewichts nicht ändern. Bei solchen isotherm-isobaren Prozessen ist die bevorzugte Form der Gleichgewichtsbedingung diejenige, die sich auf das isotherm-isobare Potential Φ stützt. Das Potential Φ des ganzen Systems setzt sich additiv zusammen aus den Potentialen der einzelnen Phasen des selben, so daß wir zunächst schreiben können:

$$(72) \quad \Phi = \Phi' + \Phi'' + \dots + \Phi^{(p)} = \sum_p \Phi^{(p)}.$$

Die Größe $\Phi^{(p)}$, das Potential der p -ten Phase, ist nun vollkommen bestimmt durch die Variablen T , p und die n Massen $M_k^{(p)}$ der in ihr enthaltenen Komponenten. Über die Art der Abhängigkeit von dem letzten Miß steht folgende allgemeine Aussage machen: Verdoppeln, verdreifachen, ... n -fachen wir diese Massen, so verdoppelt, verdreifacht, ... n -fachst sich auch $\Phi^{(p)}$. Bei dieser Veränderung aller Massen im nämlichen Verhältnis wird nur etwas äußerliches, nämlich die Gesamtmenge, verliert: die „innere“ Struktur der Phase, wird nicht geändert, da die Massenverhältnisse ungeändert bleiben. $\Phi^{(p)}$ ist also eine homogene Funktion ersten Grades dieser Massen $M_k^{(p)}$, (die nicht notwendig linear zu sein braucht); dieser Sachverhalt wird nach dem Eulerschen Theorem über homogene Funktionen durch die Gleichung ausgedrückt:

$$(73) \quad \Phi^{(p)} = \sum_{k=1}^n \frac{\partial \Phi^{(p)}}{\partial M_k^{(p)}} M_k^{(p)}.$$

Die hier auftretenden Größen

$$(74) \quad \frac{\partial \Phi^{(p)}}{\partial M_k^{(p)}} = \varphi_k^{(p)}$$

können wir passend die „spezifischen Potentiale“ der k -ten Komponente in der p -ten Phase nennen; mit der in (74) eingebrachten Bezeichnung haben wir dann für das Potential $\Phi^{(p)}$ die Darstellung:

$$(75) \quad \Phi^{(p)} = \sum_{k=1}^n \varphi_k^{(p)} M_k^{(p)}.$$

Man erkennt aus der Definitionsgleichung (74), daß die spezifischen Potentiale $\varphi_k^{(p)}$ gänzlich unabhängig von den Absolutwerten der $M_k^{(p)}$ sind. Wenn also Vergrößerung sämtlicher Massen der Phase im näm-

haben Verhältnisse nicht auf Edder und Neuner des Ausdrucks $\frac{\partial \Phi}{\partial M_i^{(a)}}$ in derselben Weise ein: der Vergrößerungsfaktor stellt sich also einfach heraus. Demnach können die spezifischen Potentiale $q_i^{(a)}$ nur abhängen von den Massenverhältnissen sowie von Druck und Temperatur, kurz, wie wir sagen wollen, von der „inneren“ Beschaffenheit der Substanz; die Gesamtsummen $M_i^{(a)}$ der Phasen bestimmen im Gegenseite dann die „äußere“ Beschaffenheit. Da in jeder Phase α Massen unabhängiger Bestandteile, also $(\alpha - 1)$ Massenverhältnisse derselben auftreten, so haben wir im ganzen $(\alpha - 1) \beta$ Massenverhältnisse, die den „inneren“ Zustand bestimmen. Man setzt daher, zusammen mit Temperatur T und Druck p , diese Massenverhältnisse die „inneren Variablen“ des Systems, deren es also $(\alpha - 1) \beta + 2$ gibt. Als „äußere Variablen“ treten dann die β Gesamtsummen der einzelnen Phasen, so daß im ganzen $(\alpha \beta + 2)$ Variablen vorhanden sind. Statt der hier betrachteten Massenverhältnisse ist es bequemer, die Massenkonzentrationen $N_i^{(a)}$ einzuführen. Dessen gibt es $\alpha \beta$, aber es sind durch die β Beziehungen (71b) eingeschränkt auf $(\alpha - 1) \beta$ unabhängige Massenkonzentrationen, so daß wir unter Hinzunahme von Druck und Temperatur wieder $(\alpha - 1) \beta + 2$ „innere Variablen“ erhalten, wie vorher.

Nach den obigen Ausführungen können wir nach (71) und (74) schreiben:

$$(76) \quad \Phi = \sum_{\alpha=1}^n \sum_{\beta=1}^n M_i^{(a)} q_i^{(a)} p_i^{(a)}, M_i^{(a)} \dots M_i^{(a)}, T, p.$$

Betrachten wir nun eine unendlich kleine isotherm-isobar Veränderung, die wir durch das Symbol $d_{T,p}$ bezeichnen wollen. Dann ist

$$(77) \quad d_{T,p} \Phi^{(a)} = \sum q_i^{(a)} d M_i^{(a)},$$

da das zweite Glied, das bei formaler Differentiation von $q_i^{(a)} M_i^{(a)}$ auftreten muß, nämlich

$$\sum M_i^{(a)} d q_i^{(a)} = \sum M_i^{(a)} d \left(\frac{\partial \Phi^{(a)}}{\partial M_i^{(a)}} \right)$$

für sich verschwindet. Vertauscht man nämlich in diesem Gliede die Reihenfolge der Differentialoperationen d und $\frac{\partial}{\partial M_i^{(a)}}$, so kann man dieses Glied schreiben:

$$\sum M_i^{(a)} d q_i^{(a)} = \sum \frac{\partial (\Phi^{(a)})}{\partial M_i^{(a)}} d M_i^{(a)}.$$

Dabei ist nun zu beachten, daß die Größe $d\Phi^{(a)}$ eine homogene Funktion nullten Grades der Massen $M_i^{(a)}$ ist (weil $\Phi^{(a)}$ selbst eine solche ersten Grades ist). Die entsprechende Anwendung des Eulerschen Theorems liefert also für den letzten Ausdruck in der Tat den Wert Null.

Jede Horizontalreihe hat denselben unteren Index und besteht sich daher auf die nämliche Komponente, die durch stoffliche Phasen hindurch verläuft wird, da die oberen Indizes in jeder Horizontalreihe von 1 bis β wachsen. Jede Horizontalreihe sagt dann aus, daß im Gleichgewichte das isotherm-isobare spezifische Potential jeder Komponente in allen Phasen den nämlichen Wert hat, eine direkte Verallgemeinerung der uns bereits aus den vorhergehenden Sätzen her eine Komponente bekannten Gleichgewichtsbedingung.

Jede der α Horizontalreihen liefert $(\beta - 1)$ Gleichungen, also im ganzen wie oben, $\alpha(\beta - 1)$ Gleichgewichtsbedingungen.

Daraus ergibt sich nun sofort ein oberes wichtiger Schluß über die Anzahl der beim Gleichgewicht möglichen Phasen in folgender Weise: Die $\alpha(\beta - 1)$ Gleichgewichtsbedingungen (58) enthalten nur die inneren Variablen, nämlich die $(\alpha - 1)\beta$ unabhängigen Konzentrationen $x_i^{\alpha\beta}$, sowie T und p , im ganzen also $(\alpha - 1)\beta + 2$ Variablen. Damit dies nicht überbestimmt sind, was ja bedeuten würde, daß ein Gleichgewicht unmöglich wäre, darf die Zahl der Gleichgewichtsbedingungen (58) nicht größer sein als die obige Zahl der Variablen. Also muß sein:

$$\alpha(\beta - 1) \leq (\alpha - 1)\beta + 2,$$

oder:

$$(59) \quad \beta \leq \alpha + 2.$$

d. h. im Gleichgewichte kann die Zahl β der Phasen höchstens um 2 größer sein als die Zahl α der Komponenten.

Dieser Satz heißt die „Gibbs'sche Phasenregel“; von ihm werden wir im folgenden die mannigfaltigsten Anwendungen machen.

59. Klassifikation der Systeme nach der Anzahl der Freiheitsgrade und der Komponenten; Beispiele zur Phasenregel.

Beachtet können wir die Phasenregel noch etwas anschaulicher fassen. Nehmen wir zunächst den Fall, daß $\beta = \alpha + 2$ ist, es stimmt die Anzahl der Gleichgewichtsbedingungen (58) gerade mit der der inneren Variablen überein; in diesem Falle sind also die letzteren vollständig bestimmt, d. h. das System kann nur bei ganz bestimmten Temperaturen und Drucken mit der Maximalzahl $(\alpha + 2)$ seiner Phasen im Gleichgewichte sein. Um den Zustand dieses von

$$(\alpha - 1)\beta + 2 = (\alpha - 1)(\alpha + 2) + 2$$

Koordinaten, nämlich von den $(\alpha - 1)(\alpha + 2)$ Konzentrationen sowie T und p , abhängigen Systems darzustellen, kann man sich einen $[(\alpha - 1)(\alpha + 2) + 2]$ -fachen Raum denken, dessen Koordinaten die Konzentrationen sowie T und p sind. Diesen Raum, in dem wir das System abbilden, wollen wir kurz den „Zustandsraum“ nennen. In ihm wird dann der Zustand des Systems in dem gerade betrachteten Falle

durch einen oder mehrere diskrete Punkte dargestellt. Wir sagen in diesem Falle, das System habe keinen Freiheitsgrad oder sei „invariant“.

Ist die Anzahl der Phasen um eine geringer, also $\alpha + 1$, so übertrifft die Zahl der inneren Variablen die der Gleichgewichtsbedingungen (84) um eins; man kann also z. B. die Temperatur T willkürlich vorschreiben, d. h. bei jeder Temperatur (oder auch bei jedem Druck) kann das System mit $(\alpha + 1)$ Phasen im Gleichgewichte sein. Lassen wir T kontinuierlich variieren, so beschreibt der das System im Zustandsraum darstellende Punkt eine Kurve, längs welcher der hier charakterisierte Gleichgewichtszustand möglich ist. Alle Konzentrationen sind abh. von der Druck bzw. Funktionen der Temperatur allein. In diesem Falle nennen wir das System „monovariant“, weil es einen Freiheitsgrad besitzt.

Ist weiter die Zahl der Phasen gleich α , d. h. gleich der Zahl der Komponenten, so können eine Druck und Temperatur willkürlich, d. h. auch bei beliebig vorgezeichnetem Druck und Temperatur in ein Gleichgewichtszustand zwischen den α -Phasen möglich. In diesem Falle bedeutet die Gesamtheit der die möglichen Gleichgewichte darstellenden Punkte im Zustandsraum ein zweidimensionales Flächenstück; das System hat zwei Freiheitsgrade, da es durch p und T bestimmt wird: es ist nämlich „bivariant“.

Ist die Zahl der Freiheitsgrade noch größer, die Zahl der Phasen noch geringer, so nennt man diese Systeme schließlich „multivariante“; sie erfüllen dann drei- und mehrdimensionale Gebiete im Zustandsraum.

Man erkennt, daß die Zahl der Phasen, vermehrt um die der Freiheitsgrade, gerade gleich $(\alpha + 2)$ ist, d. h. der um zwei vermehrten Anzahl der Komponenten. Führen wir jetzt eine etwas anschaulichere Bezeichnung ein, indem wir die Zahl der Phasen durch P , die der Freiheitsgrade durch F , die der Komponenten durch K bezeichnen, so können wir die Phasenregel (84) offenbar auch so schreiben:

$$(85) \quad P + F = K + 2.$$

In dieser Fassung sind alle in den Nummern 50 bis 55 entwickelten Gesetzmäßigkeiten als spezielle Fälle enthalten.

Nehmen wir z. B. den Fall des Wassers: $K = 1$, da wir nur einen wesentlichen Bestandteil haben; also beträgt die Summe der Phasen und Freiheitsgrade stets 3. Es sind also maximal 3 Phasen nebeneinander möglich, wenn nämlich das System keinen Freiheitsgrad besitzt¹⁾; das ist der Fall beim Tripelpunkte des Wassers. Hat das System dagegen einen Freiheitsgrad, so sind längs gewisser Kurven alle Kombinationen je zweier Phasen nebeneinander im Gleichgewichte möglich,

¹⁾ Man vergl. hierzu die Schlußbemerkungen zu Nr. 45.

niedlich liegt der Schmelzkurve p_{12} der feste und flüssige, liegt der Verdampfungskurve p_{22} der flüssige und gasförmige, liegt der Sublimationskurve p_{11} der feste und gasförmige Aggregatzustand. Hat endlich das System zwei Peritektgrade, so kann nur eine Phase (fest, flüssig oder gasförmig) existieren, und jeder von diesen Zuständen fällt gewisse Flächenstücke der Zustandskurven (die hier in die pT -Ebene degeneriert), also gewisse Teile dieser Ebene aus.

Dann analog ist es beim Schwefel, bei dem wir gleichfalls eine Komponente ($K = 1$) haben. Auch hier ist die Summe der Phasen und Peritektgrade stets gleich 8, also können wieder maximal 8 Phasen nebeneinander im Gleichgewichte in gewissen Tripelpunkten existieren, denen wir hier, in Anbetracht der vier möglichen Kombinationen von je drei Phasen, vier gibt. Je zwei Phasen können maximal achtmal aufeinander längs gerader Linien, die in Nummer 64 ausführlich diskutiert sind. Eine Phase allein endlich kann viermal auftreten, und diese letzteren Gleichgewichtszustände sind endlich auf gewissen Flächenstücken der Zustandskurven, die hier wieder in die pT -Ebene degeneriert ist. Die in Nummer 64 bei Betrachtung des Schwefel-Phasendiagramms aufgeworfene Frage, ob nicht vier Phasen nebeneinander im Gleichgewichte existieren könnten, ist durch die Phasenged, wie man sieht, negativ beantwortet.

Die bisher betrachteten Systeme hatten alle nur eine Komponente, worwegen sie kurz als „Einstoffsysteme“ bezeichnet werden. Ein Beispiel eines „Zweistoffsystems“ ($K = 2$) ist etwa das oben mehrfach erwähnte $\text{CaO}-\text{CO}_2$. Ohne genauer auf sein Verhalten einzugehen, sei doch betont, daß hier, wenn ein Peritektgrad vorhanden ist, wie bei der Zersetzung in CaO und CO_2 , der Phasenged genau drei Phasen (CaCO_3 fest, CaO fest, CO_2 gasförmig) nebeneinander längs einer Kurve, der in Nummer 35 mitgeteilten Zersetzungscurve, im Gleichgewichte sind, während dies bei einem Einstoffsysteme nur in einzelnen isolierten Tripelpunkten der Fall sein kann.

Ein gut durchsichtiges Zweistoffsystem ist das aus CaCl_2 und H_2O bestehende. Bei ihm sind experimentell folgende Phasen beobachtet:

1. Die Gasphase, die praktisch aus Wasserdampf besteht, da CaCl_2 nicht flüchtig ist;

2. die flüssige Phase, die aus einer wässrigen Lösung eines oder mehrerer der unter 4 bis 9 aufgeführten Salze besteht;

3. festes H_2O (Eis);

4. festes CaCl_2 ;

5. festes $\text{CaCl}_2 \cdot \text{H}_2\text{O}$;

6. festes $\text{CaCl}_2 \cdot 2\text{H}_2\text{O}$;

7. festes $\text{CaCl}_2 \cdot 4\text{H}_2\text{O}$, α -Modifikation;

8. festes $\text{CaCl}_2 \cdot 4\text{H}_2\text{O}$, β -Modifikation;

9. festes $\text{CaCl}_2 \cdot 6\text{H}_2\text{O}$.

Die fünf letztgenannten Phasen sind feste Kristallpunkte, d. h. Kristalle, die pro Molekül CaCl_2 eine ganz bestimmte Molekülzahl H_2O , sogenanntes Kristallwasser, gebunden enthalten.

Von diesen neun Phasen können nebeneinander im Gleichgewichte existieren maximal vier, nämlich, wenn das System invariant ist. In der Tat sind folgende „Quadrupelpunkte“ beobachtet worden:

Koexistierende Phasen.	Temperatur	Druck
H_2O , $\text{CaCl}_2\text{-H}_2\text{O}$; gesättigte Lösung; Dampf . .	$- 55.3^\circ \text{C}$	nur Min.
$\text{CaCl}_2\text{-H}_2\text{O}$; $\text{CaCl}_2\text{-H}_2\text{O}$; ges. Lösung; Dampf	$+ 39.8^\circ$	5.90 mm Hg
$\text{CaCl}_2\text{-H}_2\text{O}$; $\text{CaCl}_2\text{-H}_2\text{O}$ II	55.3°	5.87 mm Hg
$\text{CaCl}_2\text{-H}_2\text{O}$ I; $\text{CaCl}_2\text{-H}_2\text{O}$ II	55.3°	7.94 mm Hg
$\text{CaCl}_2\text{-H}_2\text{O}$ II; $\text{CaCl}_2\text{-H}_2\text{O}$ II	45.3°	11.77 mm Hg
$\text{CaCl}_2\text{-H}_2\text{O}$ II; $\text{CaCl}_2\text{-H}_2\text{O}$ II	715.3°	548 Atmosph.
$\text{CaCl}_2\text{-H}_2\text{O}$; CaCl_2 ; gesättigte Lösung; Dampf . .	300.3°	mehrfach Atmosph.

Der jedesmal auftretende Ausdruck „gesättigte Lösung“ soll in jedem Falle bedeuten, daß die Lösung mit den beiden an erster und zweiter Stelle genannten festen Kristallen gesättigt ist.

Es ist daher nicht die hier genannten Phasen lange gestrichelte Kurven im Gleichgewicht: das System ist dann monovariant.

Wir gehen nicht näher auf diese Einzelheiten ein, verweisen des Leser vielmehr auf das ausführliche Werk von Bakhuis-Roozboom²⁾, das der Untersuchung und Darstellung der Phasenregel gewidmet ist.

48. Abhängigkeit des Gleichgewichtes von Druck und Temperatur.

Um festzustellen, wie das thermodynamische Gleichgewicht von Druck und Temperatur abhängt — eine Frage, die wir in den speziellen Fällen des Verdampfens, Schmelzens, Sublimierens usw. bereits erörtert haben — können wir ebenfalls von dem Ausdruck (76) für das thermodynamische Potential Φ ausgehen und eine der ursprünglichen Gleichgewichtslage des Systems unendlich benachbarte betrachten, indem wir T in $T + dT$, p in $p + dp$, endlich $M_i^{(1)}$ in $M_i^{(1)} + dM_i^{(1)}$ übergehen lassen. Die Veränderung, die Φ dadurch erfährt, wollen wir durch $d\Phi$ bezeichnen, und es ist offenbar, unter Berücksichtigung von (76):

$$d\Phi = \frac{\partial \Phi}{\partial T} dT + \frac{\partial \Phi}{\partial p} dp + \sum_i \sum_\alpha \frac{\partial \Phi}{\partial n_i^{(\alpha)}} dM_i^{(\alpha)} + \sum_i \sum_\alpha M_i^{(\alpha)} d\epsilon_{i,\alpha} \epsilon_i^{(\alpha)}.$$

In dem letzten Glied haben wir genauer $d\epsilon_{i,\alpha}$ geschrieben, um besonders hervorzuheben, daß diese Differentiationen bei konstantem T und p geschehen müssen. Aber nach Gl. (75) ist gerade dieser letzte Term gleich Null, und es ist schließlich:

²⁾ Bakhuis-Roozboom, Die heterogenen Gleichgewichte vom Standpunkte der Phasenlehre; Braunschweig 1924.

$$(96) \quad d\Phi = \frac{\partial \Phi}{\partial T} dT + \frac{\partial \Phi}{\partial p} dp + \sum_i \sum_j q_i^{(j)} dM_i^{(j)}.$$

Der Wert des nachhermachbaren Potentials in der neuen Lage ist also:

$$(97) \quad \bar{\Phi} = \Phi + d\Phi = \Phi + \frac{\partial \Phi}{\partial T} dT + \frac{\partial \Phi}{\partial p} dp + \sum_i \sum_j q_i^{(j)} dM_i^{(j)}.$$

Die Ableitung nach T ist natürlich bei konstanten p und $M_i^{(j)}$, die nach p bei konstanten Werten von T und $M_i^{(j)}$ zu verstehen. Man ist also, gemäß der Gl. (72) des dritten Kapitels auf pag. 179 ganz allgemein:

$$\left(\frac{\partial \Phi}{\partial T} \right)_p = \frac{E + pV}{T}, \quad \left(\frac{\partial \Phi}{\partial p} \right)_T = -\frac{V}{T};$$

also kann wir (97) schreiben:

$$(98) \quad \bar{\Phi} = \Phi + \frac{E + pV}{T} dT - \frac{V}{T} dp + \sum_i \sum_j q_i^{(j)} dM_i^{(j)}.$$

Nun stellt man sich eine Lage des Gleichgewichtszustandes vor, in der $\bar{\Phi}$ und gemäß

$$(99) \quad \delta_{r,p} \bar{\Phi} = 0$$

sein, wo $\delta_{r,p}$ eine virtuelle Verschiebung bei konstanten T und p bedeutet, genau so, wie wir sie in Kap. 36 betrachtet haben. Die virtuelle Verschiebung $\delta_{r,p}$ hat lediglich, um dies zu betonen, die Bedingungsgleichungen (81) zu erfüllen, wie dies in der Definition einer virtuellen Verschiebung liegt, ist aber sonst ganz willkürlich. Es braucht daher beispielsweise, wenn Φ eine Gleichgewichtslage des Systems charakterisiert, $\Phi + \delta_{r,p} \Phi$ keine Gleichgewichtslage zu sein. Das steht keineswegs im Widerspruch damit, daß $\delta_{r,p} \bar{\Phi} = 0$ die Bedingung dafür ist, daß $\bar{\Phi}$ eine Gleichgewichtslage charakterisiert. Denn das Gleichgewicht ist dadurch bestimmt, daß für jede virtuelle Verschiebung $\delta_{r,p} \bar{\Phi} = 0$ sein muß. Für die „variante“ Lage $\Phi + \delta_{r,p} \Phi$ wurden daher im allgemeinen die Gleichgewichtsbedingungen (88) nicht an gelten brauchen; das kann nur in den besonderen Fällen der Fall sein, in denen die gerade betrachtete virtuelle Verschiebung $\delta_{r,p}$ wieder zu einem neuen Gleichgewichtszustande einführt.

Mit Hilfe von (98) folgt nun als Bedingung dafür, daß auch $\bar{\Phi} = \Phi + d\Phi$ eine Gleichgewichtslage darstellt:

$$(100) \quad \delta_{r,p} \bar{\Phi} = \delta_{r,p} \Phi + \frac{\partial \Phi}{\partial T} \delta T + \frac{\partial \Phi}{\partial p} \delta p + \sum_i \sum_j \delta_{r,p} q_i^{(j)} dM_i^{(j)} \\ + \sum_i \sum_j q_i^{(j)} \delta dM_i^{(j)} = 0.$$

Deshalb haben wir schon ohne weiteres die Glieder mit δdT und δdp fortgelassen, weil ja dT und dp hier als konstant zu behandeln sind. Ferner

ist das erste Glied $\delta_{T,p} \Phi$ gleich Null, weil die ursprüngliche Lage Φ eine Gleichgewichtslage war. Auch das letzte Glied der obigen Gleichung kann vereinfacht werden. Denn gemäß Gl. (38) ist ja:

$$\varphi_1^{(2)} = \varphi_1^{(3)} = \varphi_1^{(4)} = \dots = \varphi_1^{(n)} \equiv \varphi_1,$$

d. h. unabhängig von dem oberen Index μ , so daß wir dieses Glied schreiben können:

$$\sum_1 \sum_\mu \varphi_1^{(\mu)} \delta dM_1^{(\mu)} = \sum_1 \varphi_1 \sum_\mu \delta dM_1^{(\mu)} = \sum_1 \varphi_1 \delta \sum_\mu dM_1^{(\mu)}.$$

Nach (31) ist aber für jeden Wert von l die Summe $\sum_\mu dM_1^{(\mu)}$ gleich Null, so daß das letzte Glied einfach in Fortfall gelangt. Mithin wird (38) zu:

$$(39) \quad \frac{\delta U + p \delta V}{T} - \delta T - \frac{\delta T}{T} \delta p + \sum_1 \sum_\mu \delta_{T,p} \varphi_1^{(\mu)} \delta M_1^{(\mu)} = 0.$$

Daß wir hier für die $\varphi_1^{(\mu)}$ die Gültigkeit der Gleichgewichtsbedingungen (32) angenommen haben, ist nicht im Widerspruch mit dem oben über die Bedeutung von $\delta_{T,p}$ Gesagten; denn die $\varphi_1^{(\mu)}$ beziehen sich ja auf die unveränderte Lage Φ , die nach Voraussetzung eine Gleichgewichtslage ist. Dagegen wurden im allgemeinen die Größen $[\varphi_1^{(\mu)} + \delta_{T,p} \varphi_1^{(\mu)}]$ der Gleichgewichtsbedingung (38) nicht genügen.

Nach der allgemeinen Definition der Entropie S ist nun also

$$\delta U + p \delta V = T \delta S,$$

das ist weiter, nach Multiplikation mit T^2 , gemäß (36):

$$(40) \quad T \delta S \delta T = T^2 \delta T \delta p + T^2 \sum_1 \sum_\mu \delta_{T,p} \varphi_1^{(\mu)} \delta dM_1^{(\mu)} = 0.$$

Dieses ist aber $T \delta S = FQ$ die (eventuell) während des δ -Prozesses, d. h. während der gedachten virtuellen Verschiebung des Gleichgewichtes zugeführte Wärmemenge. Also können wir schreiben:

$$(41) \quad \delta Q \delta T = T \delta T \delta p = - T^2 \sum_1 \sum_\mu \delta_{T,p} \varphi_1^{(\mu)} \delta M_1^{(\mu)}.$$

Dieser Gleichung liefert das gewünschte Resultat; man erkennt aus ihr, wie das Gleichgewicht von einer Änderung der Temperatur T , des Druckes p und schließlich von einer Änderung der Massen $M_1^{(\mu)}$ beeinflußt wird. Es ist aus der Struktur der Formel auch sofort klar, daß der Temperatureinfluß verschwindet, wenn FQ , die Urmwandlungswärme bei der gedachten virtuellen Verschiebung, verschwindet; ebenso ist kein Druckeinfluß vorhanden, wenn $\delta V = 0$, d. h. wenn der ganze virtuelle Prozeß ohne Volumänderung vor sich geht. Endlich tritt Unabhängigkeit von den Massen $M_1^{(\mu)}$ ein, wenn die Größen $\delta \varphi_1^{(\mu)}$ verschwinden.

Bringt man sich Gl. (41) durch δT dividiert:

$$(42a) \quad FQ = T \delta T \frac{\delta Q}{\delta T} = - T^2 \sum_1 \sum_\mu \delta_{T,p} \varphi_1^{(\mu)} \frac{\delta M_1^{(\mu)}}{\delta T}.$$

so erhält man eine Formel, die — wiegestens die linke Seite — stark an die Clausius-Clapeyronsche Gl. (21) erinnert. In der Tat werden wir sehen, daß (22) bzw. (24a) eine vollständige Verallgemeinerung derselben darstellt und sie als speziellen Fall enthält.

In der Form (21) liefert die Gleichung übrigens ein Mittel, um die Änderung der Entropie S bei dem vorgeschriebenen isothermen Prozeß zu berechnen, was in einem Spezialfall nützlich sein kann.

Wenden wir nunmehr die Gl. (22) auf den Fall $\beta = \alpha - 1$ an, in dem die Zahl der Phasen um eins größer ist als die der Komponenten. Dieser Fall wird vielfach als der des „vollständigen heterogenen Gleichgewichts“ bezeichnet. Dahin gehören die Prozesse des Verdampfens, Schmelzens, Schmelzens, Schmelzens, der allotropen Umwandlung des Schwefels, der thermischen Dissoziation des Kaliumdichromats, die wir früher besprochen haben. In diesem Falle hängt auch der Phasenzustand von Druck p und stoffliche Konzentrationen $k_i^{(r)}$, lediglich von der Temperatur T ab und eine virtuelle Verschiebung δp , die also die Temperatur T unverändert läßt, führt wieder — was im allgemeinen nicht der Fall ist, wie wir oben ausdrücklich besprochen haben — zu einem neuen Gleichgewichtszustand. Dann vereinfacht sich Gl. (22) erheblich, in dem $\delta n_i \varphi_i^{(r)} = 0$ wird, da ja die Konzentrationen $k_i^{(r)}$, von denen $\varphi_i^{(r)}$ allein abhängt, wegen der Konstanz von T gar nicht geändert werden. Die rechte Seite von (22) lautet also in Form (24), und wir erhalten:

$$(24) \quad \delta Q = T \delta T \frac{dS}{dT}.$$

Diese Gleichung stimmt für den Fall $\alpha = 1$, d. h. einer Komponente, mit der Clausius-Clapeyronschen überein; denn in diesem Falle ist $\beta = 0$, also liegt der Fall eines einatomigen Stoffes in zwei Phasen vor (z. B. Verdampfung usw.). Es treten also in unserer Betrachtungsweise zwei Massen $M_1^{(r)}$ und $M_2^{(r)}$ auf, von denen die erste sich etwa auf die flüssige, die zweite eine auf die gasförmige Phase bezieht. Ihre Gesamtsumme ist konstant, also haben wir als Bedingungsgleichung:

$$\delta M_1^{(r)} = - \delta M_2^{(r)}.$$

Wir können mithin setzen:

$$\delta Q = \lambda_2 \delta M_1^{(r)},$$

$$\delta T = (v'' - v') \delta M_1^{(r)},$$

wo λ_2 etwa die Verdampfungswärme, allgemein die Umwandlungswärme bei dem δ -Prozeß bedeutet, und v'' bzw. v' die spezifischen Volumina nach und vor der Umwandlung sind. Damit geht (24) völlig in die Clausius-Clapeyronsche Gleichung, für die Massenverhältnisse geschrieben, über:

$$\lambda_2 = T (v'' - v') \frac{dS}{dT}.$$

Ganz ebenso verhält es sich mit der Dissociation des CaCO_3 , was hier auszuführen wohl nicht notwendig ist. In dieser Weise läßt sich jeder spezielle Gleichgewichtszustand vollkommen untersuchen.

Hier mag nur noch vermerkt werden, daß die aus (II) berechnete Entropieänderung genau denselben Wert hat, den wir früher, in No. 58, für diesen Fall gefunden hatten. Wir können für $\alpha = 1$, $\beta = 2$ wie oben setzen:

$$\Delta S = (v'' - v') \Delta M_1'',$$

$$\Delta T = (v'' - v') \Delta M_1'',$$

also ist nach Gl. (II):

$$v'' - v' = (v'' - v') \frac{\Delta S}{\Delta T},$$

und die rechte Seite ist, nach der Clausius-Clapeyron'schen Gleichung, gleich $\frac{1}{T}$, so daß für die Änderung der spezifischen Entropie folgt:

$$v'' - v' = \frac{1}{T}.$$

was, abgesehen von der etwas veränderten Bezeichnungswiese, genau mit Gl. (38) übereinstimmt.

61. Dampfdruck, Siedepunkterhöhung, Gefrierpunktniedrigung einer Lösung.

Wegen seiner großen Bedeutung für Physik und Chemie wollen wir auch den Fall $\alpha = 1$, $\beta = 1$ wenigstens nach einer bestimmten Richtung hin verfolgen. Betrachten wir nämlich die Lösung eines Salzes in einem flüssigen Lösungsmittel und untersuchen das Gleichgewicht zwischen der Lösung und ihrem gesättigten Dampf, so haben wir es mit zwei Phasen ($\beta = 1$) zu tun, einer flüssigen, oben der Lösung, und der Dampfphase. Da bei dem betrachteten Vorgange weder der gelöste noch der gelöste Stoff einer chemischen Zusammensetzung unterliegt, so können wir offenbar jeden von ihnen als Komponente im Obigen hinein einbauen, unbeschadet ihrer beliebig komplizierten Zusammensetzung aus chemischen Elementen. Es ist also $\alpha = 2$.

Behandelt man diesen Fall allgemein, so hat man vier Massen M_1' , M_1'' , M_2' , M_2'' zu unterscheiden, da im allgemeinen jede Komponente in jeder Phase auftreten wird. In sehr vielen Fällen jedoch tritt das in der Flüssigkeit gelöste Salz nicht in der Dampfphase auf; theoretisch ist das zwar, streng genommen, nicht möglich, aber praktisch doch in sehr vielen Fällen mit außerordentlich guter Annäherung erfüllt. Dann nennt man das gelöste Salz ein „nichtflüchtiger“. Betrachten wir die Dampfphase durch zwei, die flüssige Phase durch einen oberen Strich, das Lösungsmittel (erste Komponente) mit dem Index 1, das Salz (zweite Komponente) mit dem Index 2, so ist nach den oben gemachten Voraussetzungen $M_2'' = 0$ und bleibt es darauf, welche Veränderungen auch vor sich

geben mögen. Da wir ferner als äußere Bedingungen die Konstanz der Massen der beiden Komponenten haben, so folgt:

$$(24) \quad \begin{cases} M_1' + M_1'' = M_1, \\ M_2' = M_2, \end{cases}$$

wo M_1 und M_2 feste, durch die Veranschaulichungen gegebene, natürlich positive, Konstanten sind. Für jede Verdrängung δ oder δ' folgt daraus weiter:

$$(25) \quad \begin{cases} \delta M_1' = -\delta M_1'' & \text{bzw. } \delta M_1' = -\delta M_1'', \\ \delta M_2' = \delta M_2'' = 0 & \text{bzw. } \delta M_2' = \delta M_2'' = 0. \end{cases}$$

Entsprechend den zwei Komponenten in zwei Phasen haben wir im allgemeinen auch vier spezifische Potentiale $\varphi_i^{(a)}$ zu unterscheiden:

$$\varphi_1', \varphi_1'', \varphi_2', \varphi_2'',$$

so daß die das Gleichgewicht beherrschende Gl. (23), allgemein geschrieben, lautet:

$$(26) \quad \begin{cases} \delta Q dT - T \delta F dP \\ = - T^2 [\delta \varphi_1' \delta M_1' + \delta \varphi_1'' \delta M_1'' + \delta \varphi_2' \delta M_2' + \delta \varphi_2'' \delta M_2''] \end{cases}$$

Infolge des speziellen von uns gewählten Falls der Lösung eines nichtfalschen Satzes, d. h. Infolge der Bedingungen (25), geht diese Gleichung über in:

$$(27) \quad \delta Q dT - T \delta F dP = - T^2 (-\delta \varphi_1' + \delta \varphi_1'') \delta M_1'',$$

wo bei dem Zeichen δ , wie vorher, eine unendlich kleine Veränderung bei konstantem p und p bedeutet, also genauer $\delta_{T,p}$, zu schreiben wäre. Durch den $\delta_{T,p}$ -Prozeß werden also nur die Konzentrationen $K_1^{(a)}$ geändert, d. h. die Massen $M_1^{(a)}$. Deshalb kann man zunächst allgemein weiter schreiben:

$$\begin{aligned} \delta \varphi_1' &= \frac{\partial \varphi_1'}{\partial M_1'} \delta M_1' + \frac{\partial \varphi_1'}{\partial M_2'} \delta M_2', \\ \delta \varphi_1'' &= \frac{\partial \varphi_1''}{\partial M_1'} \delta M_1'' + \frac{\partial \varphi_1''}{\partial M_2'} \delta M_2'', \end{aligned}$$

was sich, wiederum infolge der Bedingungen (25), vereinfacht auf:

$$(28) \quad \begin{cases} \delta \varphi_1' = \frac{\partial \varphi_1'}{\partial M_1'} \delta M_1' = -\frac{\partial \varphi_1'}{\partial M_1''} \delta M_1'', \\ \delta \varphi_1'' = \frac{\partial \varphi_1''}{\partial M_1'} \delta M_1'', \end{cases}$$

Dann wird die Gleichgewichtsbedingung (27) zu:

$$(29) \quad \delta Q dT - T \delta F dP = - T^2 \left[\frac{\partial \varphi_1'}{\partial M_1'} + \frac{\partial \varphi_1''}{\partial M_1''} \right] \delta M_1' \delta M_1''.$$

Auch diese läßt sich noch erheblich weiter vereinfachen. Das Gesamtpotential Φ' der Dampfphase setzt sich nach der Definition (18)

folgendermaßen von den Massen M_1'' und M_2'' sowie den spezifischen Potentials φ_1'' und φ_2'' zusammensetzt:

$$\Phi'' = M_1'' \varphi_1'' + M_2'' \varphi_2'',$$

die sich Rücksicht auf (94) wird:

$$(100) \quad \Phi'' = M_1'' \varphi_1''.$$

Weiter ist nach der Defektgleichung (74) hier:

$$(101) \quad \frac{\partial \Phi''}{\partial M_1''} = \varphi_1'',$$

Differenziert man Gl. (100) partiell nach M_1'' , so folgt:

$$\frac{\partial \Phi''}{\partial M_1''} = \varphi_1'' + M_2'' \frac{\partial \varphi_2''}{\partial M_1''},$$

und unter Berücksichtigung von (101):

$$(112) \quad 0 = \frac{\partial \varphi_2''}{\partial M_1''}.$$

Durch wird die Gleichgewichtsbedingung (58) schließlich:

$$(113) \quad dQ dT = T dT d\beta = - T^2 \frac{\partial \varphi_2''}{\partial M_1''} dM_1'' dM_2''.$$

Darin hängt die rechts auftretende Größe $\left\{ \frac{\partial \varphi_2''}{\partial M_1''} \right\}$ nur von der inneren Beschaffenheit der übrigen Phase, d. h. vom Druck p , der Temperatur T und den Konzentrationen k_1' und k_2' ab, von denen aber nur eine unabhängig ist. Da nun diese Größe im folgenden immer wieder begegnet wird und mit einem wichtigen Begriffe aus der Theorie der Lösungen, dem „osmotischen Druck“, in enger Beziehung steht, wollen wir sie besonders einfachem daher einführen. Wir schreiben:

$$(114) \quad \frac{\partial \varphi_2''}{\partial M_1''} = - \frac{\pi}{M_1'} \nu.$$

Diese Form ist nämlich aus Gründen der Bequemlichkeit gewählt, die gleich näher hervorzuheben werden. Also wird schließlich:

$$(115) \quad dQ dT = T dT d\beta = T^2 \frac{M_2'}{M_1'} \nu dM_1'' dM_2''.$$

Dies hat nun der Ausdruck $\frac{M_2'}{M_1'} dM_2''$ eine einfache physikalische Bedeutung. Bei Lösungen pflegt man nämlich — namentlich in der physikalischen Chemie, aber abweichend von unserer bisherigen Definition — den Quotienten $\frac{M_2'}{M_1'}$, d. h. das Verhältnis:
Mass des gelösten Stoffes
Mass des Lösungsmittels — als „Konzentration der Lösung“ zu bezeichnen. Natürlich steht die so definierte Konzentration, für die wir den Buchstaben k ohne jeden Index und Strich benutzen wollen, in einer einfachen Beziehung zu den bisher benutzten Konzentrationsgrößen

k_1' und k_2' . Nehmen wir die neue Definition der Konzentration für Lösungen an, so ist also

$$(156) \quad k = \frac{M_2}{M_1}$$

und folglich:

$$dk = \frac{M_2}{M_1^2} dM_1 - \frac{M_2}{M_1^2} dM_2,$$

und da $dM_2 = 0$ ist, einfacher:

$$(157) \quad dk = -\frac{M_2}{M_1^2} dM_1 = +\frac{M_2}{M_1^2} M_1''.$$

Damit wird die Gleichgewichtshedingung (150):

$$(158) \quad RQ dT - T dV dp = + T^2 q dk dM_1''.$$

Darin ist RQ die von außen zuzuführende Wärmemenge, wenn die Masse dM_1'' aus der ersten Phase in die zweite übertritt, also ist

$$l_1 = \frac{RQ}{dM_1''},$$

die zur Verdampfung von einem Gramm Lösungsmittel nötige Wärmemenge oder die sogenannte „Verdampfungswärme der Lösung“; der Index 1 soll auf die Lösung mit der Konzentration k hindeuten. Ebenso ist

$$v_1 = \frac{dV}{dM_1''}$$

die Volumenveränderung, die beim Verdampfen von einem Gramm Lösungsmittel (natürlich bei konstantem T und p) auftritt. Führen wir diese Ausdrücke in Gl. (158) ein und dividieren durch T^2 , so erhalten wir schließlich folgende Beziehung:

$$(159) \quad \frac{l_1}{T^2} dT - \frac{v_1}{T^2} dp - q dk = 0.$$

Wenn demnach irgendeine Veränderung des Gleichgewichts vor sich geht, durch die T in $T + dT$, p in $p + dp$, k in $k + dk$ übergeführt wird, so sind die Differentiale der Temperatur, des Druckes und der Konzentration durch die obige Relation miteinander geknüpft, in ganz ähnlicher Weise, wie durch die Zustandsgleichung eines homogenen Stoffes dT , dp und dk miteinander verbunden sind. Man kann daher (159) direkt als die differentielle Form der Zustandsgleichung der Lösung in Verbindung mit ihrem gesättigten Dampfe bezeichnen.

Mit Ausnahme der Größe q , deren Meßbarkeit und physikalische Bedeutung wir in der nächsten Nummer erläutern werden, sind bereits jetzt alle in (159) vorkommenden Größen leicht der Messung zugänglich, worin die Bedeutung dieser Gleichung besteht.

Wir wollen nun den durch (159) geknüpften Wert von dp bilden:

$$(160) \quad dp = \left(\frac{\partial p}{\partial T} \right)_k dT + \left(\frac{\partial p}{\partial k} \right)_T dk = \frac{l_1}{T^2 v_1} dT - \frac{T^2 q}{v_1} dk.$$

Wegen der Unabhängigkeit von dT und dh zerfällt sie sofort in die beiden folgenden Formeln:

$$(111) \quad \left(\frac{\partial p}{\partial T}\right)_h = \frac{1}{T v_1},$$

$$(112) \quad \left(\frac{\partial p}{\partial h}\right)_T = -\frac{r_1}{v_1},$$

die wir der Reihe nach besprechen wollen.

Die erste, Gl. (111), entspricht der Form nach der Clausius-Clapeyron'schen Gleichung (81). Sie geht in diese direkt über, wenn $h = 0$ ist, was dem Grenzfall reines Lösungsmittel entspricht. Während aber bei der Verdampfung eines Lösungsmittels ($h = 0$) der Druck p lediglich eine Funktion der Temperatur ist, ist bei einer Lösung ($h \neq 0$) der Druck (wie natürlich in beiden Fällen derselbe ist) auch noch von der Konzentration h abhängig, wie man z. B. aus Gl. (110) sieht. Deshalb ist bei dem Differentialquotienten $\left(\frac{\partial p}{\partial T}\right)_h$ der Index h beizubehalten, durch den derselbe mit einer bestimmten Bedeutung supplied. Man kann auch die Gültigkeit der Clausius-Clapeyron'schen Gleichung für das Verdampfen einer Lösung noch direkt durch die Überlegung klar machen, daß bei Konstanthaltung der Konzentration das System (Lösung/Dampf) monovariant ist, sich also dann bei der Verdampfung (oder allgemein: Aggregatzustandsänderung) genau so verhalten muß, wie z. B. das System (Wasser/Dampf). v_1 kann man mit hinreichender Genauigkeit gleich dem spezifischen Volumen des Dampfes setzen, da das der Lösung dagegen verschwindet. Nimmt man für den Dampf auch noch die Gültigkeit der idealen Gasgesetze an, $\left(v_1 = \frac{RT}{p}\right)$, so folgt aus (111):

$$\left(\frac{\partial \log p}{\partial T}\right)_h = \frac{1}{T} \frac{m}{RT},$$

oder:

$$(113) \quad l_1 = \frac{RT^2}{m} \left(\frac{\partial \log p}{\partial T}\right)_h.$$

Diese Gleichung erlaubt prinzipiell durch Messung von l_1 , der auf ein Gramm bezogenen Verdampfungsstärke der Lösung, die Abhängigkeit des Dampfdruckes der Lösung von der Temperatur zu bestimmen. Es ist nur darauf zu achten, daß durch das Verdampfen die Konzentration h nicht geändert wird, was natürlich am besten zu erreichen ist, nämlich dadurch, daß man die Menge der Lösung so groß wählt, daß das Verdampfen von einem Gramm Lösungsmittel praktisch nichts ausmacht.

Bezeichnen wir für das reine Lösungsmittel die entsprechenden Größen (β, p) durch den Index 0, so gilt für diese die Clausius-Clapeyron'sche Gleichung:

$$(114) \quad l_0 = \frac{RT^2}{m} \left(\frac{\partial \log p_0}{\partial T}\right)_0.$$

Der Index k ist hier beliebig wählbar, weil selbstverständlich, da $k = 0$ ist; wir haben ihn der Übersichtlichkeit halber hinzugefügt. Die Subtraktion der beiden letzten Gleichungen ergibt nun:

$$(112) \quad i_k - i_0 = \frac{RT}{m} \left(\frac{p}{p_0} \log \frac{p}{p_0} \right)_k.$$

Die Differenz ist im allgemeinen kleiner als Null, sondern hat eine bestimmte physikalische Bedeutung, die zuerst Kirchhoff in einer historischen Abhandlung dargestellt hat. Er stellt zu diesem Zwecke folgende Überlegung an: Wenn ein Gramm Lösungsmittel bei konstanter Konzentration, d. h. aus einer sehr großen Menge Lösung, verdunstet, so muß dazu die Wärmemenge i_k und die Arbeit $-p v_k$ zugeführt werden; letztere dient dazu, das Flüssigkeitsvolumen auf das entsprechende Gasvolumen zu bringen. Umgekehrt: bringt man durch isotherme Kompression bei der Temperatur T unter dem konstanten Dampfdruck p der Lösung ein Gramm Dampf zur Kondensation, so ist die Wärme der von außen zugeführten Wärme und Arbeit, d. h. die Zunahme der spezifischen inneren Energie v gleich:

$$u_k - u_1 = -i_k + p v_k = -i_k + \frac{RT}{m}.$$

Das nämliche Endresultat kann aber auch folgendermaßen erzielt werden: Man kondensiert zuerst ein Gramm Dampf unter dem konstanten Dampfdruck p_0 des reinen Lösungsmittels, was die äußere Zufuhr von $-i_0 + p_0 v_0 = -i_0 + \frac{RT}{m}$ an Arbeitsäquivalenten erfordert; dann muß man dieses ein Gramm flüssiges Lösungsmittel noch zu der Lösung (die wegen der Konstanz zu halbeschen Konzentrationen als sehr groß zu betrachten ist) hinzufügen. Dabei ist zu bemerken noch das Wärmemenge λ , die von Kirchhoff so genannte „Verdampfungswärme“ bezeichnet. Da hier derselbe Endzustand von demselben Anfangszustand aus erreicht ist, so ist die Energieänderung $u_k - u_1$ die nämliche und hier ausdrückbar durch:

$$u_k - u_1 = -i_0 + \frac{RT}{m} + \lambda.$$

also ergibt der Vergleich:

$$(113) \quad i_k - i_0 = -\lambda.$$

Durch ist die physikalische Bedeutung der fraglichen Differenz klargestellt, und (113) wird zu der Kirchhoffschen Gleichung:

$$(114) \quad -\lambda = \frac{RT^2}{m} \left(\frac{p}{p_0} \log \frac{p}{p_0} \right)_k.$$

Experimentell wird die Verdampfungswärme gemessen, indem man zu einer sehr großen Menge Lösung ein Gramm Lösungsmittel hinzugebt, die dabei auftretende Wärmestörung ergibt, negativ gemessen, d. Bemerkt sei hier noch, daß in der Chemie λ , wie alle Wärmestörungen, mit

den ungesättigten Verdampfungen wie hier genommen wird; dies ist bei der Formulierung der folgenden Sätze zu beachten.

Die allgemeine Folgerung aus (117), daß $\frac{p}{p_0}$ mit der Temperatur zunimmt, wenn l negativ, dagegen abnimmt, wenn l positiv ist, hat sich bestätigt; eine genau quantitative Prüfung der Formel steht noch aus, da die Messungen sehr schwierig sind.

Es ist klar, daß bei immer weiter fortschreitender Verdünnung einer Stammlösung, d. h. bei immer mehr abnehmender Konzentration h , schließlich l sich der Null nähern muß, da man sich auf diese Weise schließlich dem Grenzfalle reiner Lösungsmittel nähert. Mit anderen Worten: für sehr verdünnte Lösungen ist die Verdampfungswärme $l = 0$. Für diesen Grenzfalle gilt nach (117):

$$\frac{p}{p_0} = \text{Const.},$$

oder nach:

$$(118) \quad \frac{p - p_0}{p} = \text{Const.}$$

Den Ausdruck $\frac{p - p_0}{p}$ nennt man die „relative Dampfspannungsänderung“, und so läßt sich die letzte Gleichung dahin aussprechen: „Für sehr verdünnte Lösungen ist die relative Dampfspannungsänderung für alle Temperaturen die nämliche“. Dieser Gesetz ist tatsächlich von v. Babo experimentell gefunden worden, und zwar bevor die Theorie gegeben wurde. v. Babo hatte zwar mit sehr verdünnten Lösungen experimentiert, hielt aber sein Ergebnis irrtümlich auch bei konzentrierten Lösungen für richtig, was mit (117) aber im Widerspruch steht. Erst die thermodynamische Theorie hat den Charakter der v. Baboschen Regel als den einer „Grenzgesetze“ festgestellt.

Gehen wir nun zur Betrachtung von (112) über; auch diese Gleichung ist von großer Wichtigkeit. Die schon vorher konstatierte Verschiedenheit der Drücke p und p_0 , d. h. die Abhängigkeit des Dampfdruckes einer Lösung von der Konzentration, schließt hier eine quantitative Formulierung. Und zwar läßt sich leicht zeigen, daß $p < p_0$ ist, d. h., daß wir es stets mit einer Druckerniedrigung zu tun haben. Denn da p_0 der Druck des über einem Lösungsmittel gesättigten Dampfes, schon der maximale Druck derselben ist, so muß in der Tat p kleiner als p_0 sein, da sonst sofort Kondensation eintreten würde, d. h. jede Gleichgewichte bestehen könnte. Nach (112) folgt daraus, daß die Größe φ stets positiv ist, was für das folgende wichtig werden wird.

Gl. (112) gestattet für sehr verdünnte Lösungen eine angenäherte Integration in folgender Weise. Es ist erst:

$$\varphi - p_0 = - \int_0^h \frac{p}{p_0} dh,$$

oder, wenn gemäß der bisher gemachten Annahme $v_1 = \frac{RT}{p}$ gesetzt wird:

$$T - T_0 = - \frac{RT}{p} \int_0^k p \, dk.$$

Wegen der Kleinheit des Integrationsintervalls (d. h. weil k sehr klein ist) können p und v als unabhängig von k betrachtet und vor das Integrationszeichen gezogen werden, womit sich ergibt:

$$(117) \quad T - T_0 = - \frac{RT}{p} k.$$

d. h. „Für sehr verdünnte Lösungen ist die relative Dampfspannungserniedrigung proportional der Konzentration“. Auch dieser Grenzgesetz ist experimentell (von Wallace) gefunden worden.

Die beiden Gleichungen (111) und (112) entsprechen den Grenzfällen konstanter Temperatur und konstanter Konzentration. Wir wollen nunmehr (109) noch für $dp = 0$ spezialisieren, d. h. für den Fall konstanter Drucks. Dann erhält man aus (109) eine Gleichung für $\left(\frac{dT}{dx}\right)_p$, d. h. für die Änderung des Siedepunktes mit der Konzentration der Lösung. Und zwar folgt:

$$(118) \quad \left(\frac{dT}{dx}\right)_p = \frac{T_0}{T_0} x.$$

Da $x > 0$ ist, so bedeutet das, daß bei dem gleichen Drucke der Siedepunkt einer Lösung höher liegt als der des reinen Lösungsmittels. Für sehr kleine Konzentrationen können wir, ähnlich wie vorher, eine angenäherte Integration vornehmen (T_0 sei der Siedepunkt des Lösungsmittels):

$$(119) \quad T - T_0 = \int_0^x \frac{T_0}{T_0} dx = \frac{T_0}{T_0} x,$$

d. h.: Für sehr verdünnte Lösungen ist die Siedepunktserhöhung proportional der Konzentration.

Wir haben bisher angenommen, die mit der Lösung koexistierende Phase sei die dampfförmige, in der das Lösungsmittel allein vorhanden ist. Aber die Formeln gelten offenbar ganz ebenso, wenn z. B. die Lösung mit der festen Phase des reinen Lösungsmittels im Gleichgewicht steht. Nur mit der festen Phase des reinen Lösungsmittels ist, wenigstens ohne weiteres, kein Gleichgewichtsverstand möglich, da in beiden Phasen der Druck verschieden ist; auf diesen Fall gehen wir in der nächsten Nummer ein. Jedenfalls aber gelten die Gleichungen (111), (112) und (118) bzw. die daraus abgeleiteten auch für den Fall des Gefrierens des reinen Lösungsmittels, wie wir sagen können. Dabei bedeutet dann T die Gefrier- (oder Schmelz-) Temperatur; T_0 ist, wenigstens abgesehen von dem, die Schmelzwärme der Lösung bei kon-

starker Konzentration, wie. Und insbesondere hier besonders, weil experimentell sehr wichtig, die Gl. (120) bzw. (121), die aus einer Aussage über die Abhängigkeit des Gefrierpunktes von der Konzentration folgt. Und zwar ist zu beachten, daß beim Gefrieren von einem homogenen Lösungsmittel (— l_1) die Schmelzwärme ist, da dann positive Wärme nach außen abgegeben wird (abgelehrt, wie beim Verdampfen). Es folgt also aus (120), da jetzt $l_1 < 0$ ist:

„Der Gefrierpunkt einer Lösung liegt tiefer, als der des Lösungsmittels“, und speziell aus (121):

„Die Gefrierpunktniedrigung sehr verdünnter Lösungen ist proportional der Konzentration“.

Letzteres bereits ist experimentell von Raoult gefunden worden.

Als hier abgeleiteten Gesetzmäßigkeiten werden im nächsten Kapitel von einem etwas veränderten Standpunkte aus vertieft und vervollständigt werden.

Hier sei nur noch darauf hingewiesen, daß vermittle der Gleichungen (92) oder (94a) natürlich auch der allgemeine Fall $\alpha = 2$, $\beta = 2$ vollkommen erledigt werden kann, in dem also beide Komponenten wirklich in beiden Phasen auftreten (sogenannte binäre Gemische). Es sei daher eine auf die Thermodynamik von Planck verwiesen.

III. Der osmotische Druck von Lösungen.

Bereits in der vorigen Nummer ist darauf hingewiesen worden, daß eine Lösung sowohl mit ihrem gesättigten Dampf als auch mit der festen Phase des Lösungsmittels im Gleichgewicht sein kann, weil in beiden Fällen Druck- und Temperaturgleichgewicht sich herstellen läßt. Dagegen ist dies nicht möglich zwischen den flüssigen Phasen der Lösung einerseits und des Lösungsmittels andererseits. In diesem Falle tritt sofortige Verdunstung ein; ein Gleichgewicht ist unmöglich.

Es würde kaum falsch — das ist der Gedanke von van't Hoff — zu sagen sein, wenn man die beiden Phasen durch eine semipermeable Wand trennt, die nur für das Lösungsmittel, nicht für den gelösten Stoff durchlässig ist.

Wir können dabei den natürlichen Weg einschlagen, den wir in den Nummern 28 und 29 benutzt haben. Nennen wir das Potential der Lösung Φ , das des Lösungsmittels Φ' , so ist zunächst:

$$(122) \quad \begin{cases} \Phi = M_1' p_1' + M_2' p_2', \\ \Phi' = M_1'' p_1'', \end{cases}$$

und das Gesamtpotential Φ ist gleich:

$$(123) \quad \Phi = \Phi' + \Phi'',$$

Ferner sind, wie bisher, die Massen M_1' , M_1'' , M_2 so die Bezeichnungen geblieben:

$$(134) \quad \begin{cases} M_1' + M_1'' = M_1, \\ M_2' = M_2, \end{cases}$$

wo M_1 und M_2 gegebene positive Konstanten sind.

Für das Gleichgewicht gilt wieder:

$$\delta_{1,2} \Phi = \delta_{1,2} \Phi' + \delta_{1,2} \Phi'' = 0.$$

Diese Gleichung gilt ausgeführt:

$$(M_1' \delta q_1' + M_2' \delta q_2' + M_2'' \delta q_2'') + q_1' \delta M_1' + q_2' \delta M_2' + q_1'' \delta M_1'' = 0.$$

Gemäß Gl. (78) verschwindet darin die Summe der drei ersten Terme, und es bleibt, wie früher, übrig:

$$(135) \quad q_1' \delta M_1' + q_2' \delta M_2' + q_1'' \delta M_1'' = 0.$$

Die beiden Bestimmungsgleichungen (131) gehen die veränderte Form:

$$(136) \quad \begin{cases} \delta M_1' + \delta M_2'' = 0, \\ \delta M_2' = 0. \end{cases}$$

Multipliziert man mit zwei Lagrange'schen Multiplikatoren α_1 und α_2 und addiert zu (135), so folgt:

$$(q_1' + \alpha_1 \delta M_1' + (q_2' + \alpha_2) \delta M_2' + q_1'' = \alpha_2 \delta M_2'' = 0,$$

und das liefert nach dem bekannten Schlussweise des Kalküls:

$$q_1' + \alpha_1 = 0,$$

$$q_2'' + \alpha_2 = 0,$$

$$q_2' + \alpha_2 = 0;$$

d. h.

$$(137) \quad \begin{cases} q_1' = q_1'', \\ q_2' = \text{unbestimmt.} \end{cases}$$

Das spezifische Potential der ersten Komponente hat also, wie früher in beiden Phasen den nämlichen Wert. Daß das Potential q_2' des zweiten Stoffes unbestimmt bleibt, legt an die speziellen Voraussetzung, daß der gelöste Stoff nur in einer Phase auftritt: diese Unbestimmtheit bedeutet offenbar, daß Gleichgewicht bei beliebiger Konzentration möglich ist.

Um weiter den Einfluß des Drucks und der Temperatur auf das Gleichgewicht zu untersuchen, verfahren wir genau so, wie in Nr. 66, indem wir von einer Gleichgewichtslage ausgehend, in der das Potential den Wert Φ habe, zu einer benachbarten Lage $\Phi + d\Phi$ übergehen und nach der Bedingung fragen, unter der auch diese eine Gleichgewichtslage ist. Für das Potential $\bar{\Phi}$ der Nachbarlage finden wir:

$$\bar{\Phi} = \Phi + d\Phi = \Phi + \frac{\partial \Phi}{\partial T} dT + \frac{\partial \Phi}{\partial p} dp + \sum_i \sum_j \theta_i^{(j)} dM_i^{(j)}.$$

also spezifiziert auf die zwei hier vorhandenen Phasen, in denen wir aber bei gleicher Temperatur die Densität als verschieden annehmen müssen (ρ' und ρ''):

$$\bar{\Theta} = \bar{\Theta} + \frac{\partial \bar{\Theta}}{\partial T} dT + \frac{\partial \bar{\Theta}}{\partial T'} dT' + \frac{\partial \bar{\Theta}}{\partial p'} dp' + \frac{\partial \bar{\Theta}}{\partial p''} dp'' + \sum_i \sum_j v_i^{(j)} dM_i^{(j)},$$

oder, indem wir die allgemeine thermodynamische Bedingung (7) des dritten Kapitels benutzen:

$$(129) \quad \bar{\Theta} = \bar{\Theta} + \frac{U + p'V}{\rho} dT + \frac{U' + p''V'}{\rho'} dT' - \frac{V}{\rho} dp' - \frac{V'}{\rho'} dp'' + \sum_i \sum_j v_i^{(j)} dM_i^{(j)}.$$

Darin bedeuten U' und U'' die inneren Energien der beiden Phasen, V' und V'' ihre Volumina. Damit die durch $\bar{\Theta} = \bar{\Theta} + d\bar{\Theta}$ charakterisierte Lage eine Gleichgewichtslage sei, muß $\partial_{T,p} \bar{\Theta} = 0$ sein, und das gilt, da auch $\partial_{T,p'} \bar{\Theta} = 0$ ist, weil die ursprüngliche Lage ja auch eine Gleichgewichtslage war:

$$(130) \quad \left| \partial_{T,p} \bar{\Theta} = \frac{U + p'V}{\rho} dT + \frac{U' + p''V'}{\rho'} dT' - \frac{V}{\rho} dp' - \frac{V'}{\rho'} dp'' + \sum_i \sum_j \partial_{T,p} v_i^{(j)} dM_i^{(j)} = 0. \right.$$

Darin bedeuten auch dem ersten Hauptsatz die beiden ersten Glieder zusammen, abgesehen von dem Faktor $\frac{1}{\rho}$, die Wärmemenge δQ , die bei dem δ -Prozess von außen zugeführt werden muß, also ist weiter:

$$(131) \quad \delta Q dT = T dV' dp' = T dV'' dp'' = - T^2 \sum_i \sum_j \partial_{T,p} v_i^{(j)} dM_i^{(j)}.$$

Unter den besonderen Festsetzungen des vorliegenden Problems wird die rechtselbe, wie in der vorigen Nummer, gleich $\left(- T^2 \frac{\partial v_i}{\partial T'} dT' + dM_i \right)$; also wird Gl. (131):

$$(132) \quad \frac{\delta Q}{\partial M_i} dT = T \frac{\partial V'}{\partial M_i} dp' = T \frac{\partial V''}{\partial M_i} dp'' = - T^2 \frac{\partial v_i}{\partial T'} dM_i.$$

Wir setzen:

$$\frac{\delta Q}{\partial M_i} = l, \quad \frac{\partial V'}{\partial M_i} = v_i', \quad \frac{\partial V''}{\partial M_i} = v_i''.$$

Dabei ist l die sogenannte „Ausbreitungswärme“, die von außen zugeführt werden muß, damit ein Gramm Lösungsmittel aus der Lösung durch die unvermeidliche Verdünnung übertritt, v_i' ist die diesem Vorgang begleitende Volumenzunahme der Lösung, v_i'' entsprechend die des Lösungsmittels; v_i' ist negativ, v_i'' positiv.

Führen wir schließlich auch die Konzentration k und die Größe φ nach Gl. (104) ein, so wird schließlich:

$$T dT = T v_1 dp' = T v_1' dp'' = T^2 \varphi dk,$$

oder:

$$(132) \quad \frac{1}{T^2} dT = \frac{v_1}{T^2} dp' = \frac{v_1'}{T^2} dp'' = \varphi dk = 0.$$

Diese Gleichung ist die direkte Verallgemeinerung der Gl. (119) der vorigen Nummer, eine Art differentielles Zustandsgleichung, die die Differentiale dT , dp' , dp'' und dk miteinander verknüpft.

Es mag hier die Sache meist so, daß p'' , oder, wie wir heute schreiben und jetzt wieder schreiben wollen, p_0 , der Druck des reinen Lösungsmittels, gegeben und konstant ist. Dann ist also $dp'' = dp_0 = 0$, und es folgen aus (132) die beiden Gleichungen:

$$(133) \quad \begin{cases} \left(\frac{\partial p'}{\partial k} \right)_T = - \frac{T^2}{v_1}, \\ \left(\frac{\partial p'}{\partial T} \right)_k = \frac{1}{T^2 v_1}. \end{cases}$$

Da nach dem Vorhergehenden $v_1 < 0$ und $\varphi > 0$ ist, so folgt aus der ersten dieser beiden Formeln, daß p' , d. h. der Gleichgewichtsdruck in der Lösung, mit steigender Konzentration k zunimmt. Nehmen wir nun die Druckdifferenz zwischen Lösung und Lösungsmittel, die bestehen muß, damit Gleichgewicht zwischen beiden Phasen besteht:

$$p' - p'' = p' - p_0 = P$$

den „osmotischen Druck“ der Lösung, so können wir, da $p_0 = \text{const.}$, schreiben:

$$\left(\frac{\partial p'}{\partial k} \right)_T = \left(\frac{\partial P}{\partial k} \right)_T,$$

also folgt aus der ersten Gleichung (133):

$$(134) \quad \left(\frac{\partial P}{\partial k} \right)_T = - \frac{T^2}{v_1},$$

d. h. der osmotische Druck nimmt mit der Konzentration zu. D. h. je stärker die Lösung konzentriert ist, um so ein stärkerer Druckunterschied bildet sich zwischen den beiden Phasen im Gleichgewichtszustande aus. Da ferner für $k = 0$ auch $P = 0$ wird, so ist P stets positiv, d. h. im Gleichgewichtszustande herrscht in der Lösung stets ein stärkerer Druck als im Lösungsmittel. Bringen wir also Lösung und Lösungsmittel von gleichem Drucke auf die beiden Seiten der semipermeablen Membran, so muß Lösungsmittel so lange zur Lösung durch die Membran hindurchströmen, bis in der Lösung der Druck auf einen bestimmten Betrag, der mit der Konzentration steigt und natürlich von der Natur der Lösung abhängt, höher geworden ist.

Das ist in der Tat experimentell zu beobachten, wenn man sich eine folgende Vorrichtung bedienen kann.

In der Fig. 32 bedeutet A, A, A, A ein Gefäß, das mit reinem Lösungsmittel von Atmosphärendruck gefüllt sei. In denselben taucht ein Trichter, der mit einer geeigneten tierischen Membran, die erfahrungsgemäß nahezu undurchlässig ist, verbunden ist; oberhalb der Membran befindet sich Lösung, gleichfalls von Atmosphärendruck. Dann besteht kein Gleichgewicht, sondern es tritt das Lösungsmittel durch die Membran zur Lösung



Fig. 32.

hindurch, so daß die Lösung im Trichterbüchse, an dem ein Stöpsel angebracht ist, ansteigt, wobei ein Überdruck entsteht. Der beschriebene Vorgang dauert so lange an, bis der Überdruck gleich dem osmotischen Druck der Lösung geworden ist.

Auf ähnliche Weise hat Pfeffer im Jahre 1877 in Bohrenbockungen die ersten quantitativen Messungen des osmotischen Druckes angestellt, auf die gestützt dann später van't Hoff die Gesetze derselben ableitete, von denen wir einen Teil bereits besprochen haben. Öfterer gehen wir im nächsten Kapitel darauf ein.

Für kleine Konzentrationen k folgt aus (184) durch eine angenäherte Integration:

$$P = \frac{RT}{v_0} k,$$

und darin kann man noch angesetzt $v_0 = v_1$ gleich dem v_1 -fachen Volumen v_1 der Lösung setzen:

$$(185) \quad P = \frac{RT}{v_1} k,$$

d. h. der osmotische Druck stark verdünnter Lösungen ist proportional der Konzentration.

Es bedarf in dieser Gleichung, in der ebenso wie in denen der vorigen Nummer die Größe γ fehlt, nur noch der empirischen Angabe, wie γ von der chemischen Natur der Lösung abhängt, von Gefrierpunktniedrigung, Siedepunktniedrigung, Dampfdruckerniedrigung und osmotischen Druck vollkommen bestimmt zu erhalten. Diese Aufgabe wird im nächsten Kapitel angegriffen werden.

Dies sei nur noch folgendes erwähnt: Reimholf¹⁾ hat eine andere geschmacklichere Ableitung des unendlichen Druckes und der damit zusammenhängenden Phänomene gegeben. Der Leser sei nachdrücklich auf diese Darstellung verwiesen. Wie sich im Ubrigen der Darstellung von Planck gefügt, die den Vortrag bestatigt, alles aus einem vollkommen einheitlichen Gesichtspunkt zu behandeln, wenn auch vielleicht die Anschaulichkeit darunter leiden mag.

53. Erzeugnisse mit einer strukturell heterogenen Substanz.

Wir wollen dieses Kapitel mit einigen Anwendungen beschließen, die ein gewisses technisches Interesse besitzen. Wir führen zunächst einen Carnotschen Kreisprozeß mit einer physikalisch heterogenen Substanz, etwa einem Gemisch von Wasser und gesättigtem Wasserdampf aus, womit wir den tatsächlichen Verlauf eines in der Dampfmaschine schon etwas näher kommen, als indem wir ideale Gase betrachten, wie es bisher geschah. Natürlich können wir nicht wesentlich Neues daraus lernen, sondern die Betrachtungen haben nur die Bedeutung einer Veranschaulichung bereits allgemein bekannten Satze. Die Darstellung schließt sich an diejenige der Nummer 49 an.



Fig. 53.

Wir wollen also etwa annehmen, wir hatten 1 g Flüssigkeit von der absoluten Temperatur T_1 , dem Druck p_1 und dem spezifischen Volumen v_1 ; der Zustand werde durch Punkt 1 in Fig. 53 dargestellt. In der wir ein p - v -Diagramm der Zustandsänderung geben.

Nehmen wir nun eine Wärmezugabe q_1 isotherm und reversibel an, so verdunstet ein Teil der Flüssigkeit und es bildet sich Dampf von gleichem Druck und gleicher Temperatur; wir wollen diesen Prozeß etwa bis zum Punkte 2 gehen lassen, wo noch $(1 - \xi_1)$ Gramm Flüssigkeit vorhanden sind, also ξ_1 Gramm Dampf sich gebildet haben müssen. Das spezifische Volumen dieser Mischung sei v_2 . Da der Dampf hierbei stets gesättigt

¹⁾ Reimholf, Verh. über die Theorie der Wärme, Sammlung von F. Richarz, p. 598B.

bleibt, und der Dampfdruck lediglich nur von der Temperatur abhängt, so sind die Isothermen hier identisch mit den Isobaren, wie immer im Sättigungsbereich; dieser Umstand entsprechend verläuft die Isobare 1—2 im Zustandsdiagramm horizontal.

Kann man denken wir das Flüssigkeits-Dampf-Gemisch adiabatisch aus, wobei die Temperatur von T_1 auf T_2 sinkt; wir distillieren so weit, bis alle Flüssigkeit verdunstet ist, d. h. bis $\xi = 1$ geworden ist; das spezifische Volumen des Dampfes sei v_2 , der Dampfdruck p_2 ; im Diagramm wird der Vorgang durch die Kurve 1—2, der Endzustand (p_2, T_2, v_2) durch Punkt 2 dargestellt.

Darum schließt sich wieder ein isothermer Prozeß, indem wir nun den Dampf isotherm komprimieren; dabei tritt partielle Verflüssigung ein, indem sich wieder $(1 - \xi_3)$ Flüssigkeit bilden und noch ξ_3 Gramm Dampf übrig bleiben; dabei wird (negativer) Wärme von einem Reservoir aufgenommen. Wir führen diesen isothermen Prozeß bis zu einem spezifischen Volumen des Gemisches v_3 ; dieser, d. h. der Wert ξ_3 , wird so gewählt, daß wir von dem erhaltenen Punkte 3 (p_3, T_3, v_3) durch eine adiabatische Kompression wieder zum Anfangszustande zurückgelangen.

Wir wollen nun den Wirkungsgrad η dieses Carnotschen Prozesses berechnen.

Die Wärmemenge q_1 , die von 1 bis 2 zugeführt wird, ist offenbar:

$$(186) \quad q_1 = l\xi_1,$$

wo l die Verdampfungswärme bedeutet; da im ganzen ξ_1 Gramm Dampf entstehen, ergibt sich der obige Wert. Entsprechend erhalten wir für die Wärmemenge q_2 , die bei der Temperatur T_3 aufgenommen wird:

$$(187) \quad q_2 = -l(1 - \xi_3);$$

denn es werden von 3 bis 4 insgesamt $(1 - \xi_3)$ Gramm Dampf kondensiert.

Wir haben nun weiter die adiabatische Bedingung aufzustellen, d. h. die Gleichung der Zustandskurven 2—3 und 1—4. Der Wert der spezifischen Entropie s für ein heterogenes System ist durch Gl. (31) — unter höchster Veränderung der Bezeichnung — gegeben zu:

$$s(T, \xi) = \int_{T_0}^T \frac{c_p}{T} dT + \frac{1}{T} l + s_0.$$

Wenden wir diese Formel, in der wie s_0 die spezifische Wärme der Flüssigkeit, unbedenklich als konstant betrachten dürfen, auf die vier Zustände 1, 2, 3, 4 an, so folgt

$$(188) \quad \left\{ \begin{array}{l} \text{Für den Zustand 1: } s(T_1, \xi_1) = c_p \log \frac{T_1}{T_0} + \frac{1}{T_1} l + s_0, \\ \text{Für den Zustand 2: } s(T_2, \xi_2) = c_p \log \frac{T_2}{T_0} + \frac{1}{T_2} l + s_0, \\ \text{Für den Zustand 3: } s(T_3, 1) = c_p \log \frac{T_3}{T_0} + \frac{1}{T_3} l + s_0, \\ \text{Für den Zustand 4: } s(T_4, \xi_4) = c_p \log \frac{T_4}{T_0} + \frac{1}{T_4} l + s_0. \end{array} \right.$$

Da die Zustände 1 und 4 sowie 2 und 3 auf denselben Adiabaten liegen, also denselben Wert der Entropie besitzen, müssen die Gleichungen gelten:

$$(139) \quad \left\{ \begin{array}{l} c_p \log T_1 = c_p \log T_2 + \frac{1}{T_1} \dot{L}_1, \\ c_p \log T_1 + \frac{1}{T_1} \dot{L}_1 = c_p \log T_3 + \frac{1}{T_3} \dot{L}_2. \end{array} \right.$$

oder:

$$(140) \quad \left\{ \begin{array}{l} c_p \log \left\{ \frac{T_2}{T_1} \right\} = \frac{1}{T_1} \dot{L}_1 \\ c_p \log \left\{ \frac{T_3}{T_1} \right\} = \frac{1}{T_1} \dot{L}_1 + \frac{1}{T_3} \dot{L}_2. \end{array} \right.$$

Daraus ergibt sich folgende Beziehung zwischen \dot{L}_1 , \dot{L}_2 und den Temperaturen T_1 und T_2 :

$$(141) \quad \dot{L}_2 = 1 - \frac{T_2}{T_1} \dot{L}_1.$$

Diese Gleichung gestattet, aus dem Wirkungsgrad $\eta = \frac{T_1 - T_2}{T_1}$ abzuvielesen. Denn durch Kombination der Gleichungen (139), (137), (140), ergibt sich:

$$(142) \quad \eta = \frac{\dot{L}_1 + \dot{L}_2}{\dot{L}_1} = \frac{\dot{L}_1 + \dot{L}_2 - 1}{\dot{L}_1} = 1 - \frac{T_2}{T_1}.$$

also in der Tat gleich dem bekannten Wirkungsgrad des Carnotschen Kreisprozesses, ganz in Übereinstimmung mit unserem allgemeinen Ergebnis.

Nunmehr wollen wir einen anderen, vom Carnotschen abweichenden Kreisprozeß mit einem Flüssigkeits-Dampf-Gemisch untersuchen; wie Diagramm ist in Fig. 34 zur Darstellung gebracht.



Fig. 34.

Wir gehen wieder vom Punkte 1 aus, der den Zustand von 1 Gramm Flüssigkeit bei dem Druck p_1 und der Temperatur T_1 darstellt; diesem Gramm Flüssigkeit führen wir isotherm-isch reversibel eine Wärmezunahme q_1 zu. Diese bewirkt partielle Verdampfung; im Zustande 2 haben

nicht 1 Gramm Dampf gebildet haben; das spezifische Volumen der dann vorhandenen Mischung sei v_2 ; Temperatur und Druck sind ungestört. Dann schließt sich wieder eine adiabatische Ausdehnung, bis gerade alle Flüssigkeit verdampft ist; Temperatur und Druck stehen auf T_1 bzw. p_2 ; das spezifische Dampfvolumen auf v_2 . Bis hierher ist alles ganz genau so wie beim vorhergehenden Prozeß, nun aber wirken wir durch isobare Kompression und gleichzeitige Zuführung der (negativen) Wärmemenge q_2 den Dampf vollständig unter dem Druck p_2 kondensieren; das führt uns zum Punkt 4, der also den Zustand von 1 Gramm Flüssigkeit bei der Temperatur T_1 und dem Druck p_2 darstellt.

Wenn wir nunmehr noch eine geeignete positive Wärmemenge q_3 zuzuführen ansetzen und dabei stets den Druck gleich dem Sättigungsdruck halten, so daß keine Flüssigkeit verdampfen kann, kommen wir wieder zu Punkt 1 zurück.

In den Figg. 83 und 84 ist gezeichnet noch die sogenannte „Grenzkurve“ eingetragen, die wir in Nummer 56 kennen gelernt haben und die auch in Fig. 17 eingetragen ist; sie besteht aus zwei Zweigen, die sich oben im kritischen Punkte vereinigen; der untere entspricht der Flüssigkeit, der obere dem mit der Flüssigkeit koexistierenden gestüttigten Dampf. Die Grenzkurve ist eingetragen worden, um unsere Prozesse bezüglich ihrer Lage im Diagramm noch etwas genauer zu charakterisieren. Nehmen wir zunächst den Carnot-Prozeß von Fig. 83. Darin liegt oberer Punkt 1 (Flüssigkeit ohne Dampf unter dem der Temperatur T_1 entsprechenden Sättigungsdruck p_2) auf dem Flüssigkeitszweig der Grenzkurve; innerer Punkt 2 (gestüttigter Dampf ohne Flüssigkeit bei der Temperatur T_1 und dem Sättigungsdruck p_2) auf dem Dampfzweig der Grenzkurve. Die übrigen Punkte des Diagramms entsprechen gleichzeitigen Verbänden aus von Flüssigkeit und Dampf, liegen also innerhalb des von der Grenzkurve umschlossenen Gebietes, im sogenannten Sättigungsgebiet.

Ähnlich bei dem in Fig. 84 dargestellten Prozeß. Der Teilprozeß 1—2 liegt ganz auf dem Flüssigkeitszweig der Grenzkurve; der Punkt 3, der vollkommene Verdampfung und oben nach gestüttigtem Dampf entspricht, liegt auf dem anderen Teile der Grenzkurve; alle übrigen Teile wieder im Sättigungsgebiet.

Auch für diesen zweiten Kreisprozeß können wir nach denselben Prinzipien den Wirkungsgrad η berechnen. Wir haben zunächst für die drei Wärmemengen die folgenden Werte:

$$(143) \quad \begin{cases} q_1 = + i l, \\ q_2 = - i, \\ q_3 = c_p (T_1 - T_2). \end{cases}$$

Nach dem ersten Hauptsatz hat daher die geleistete Arbeit den Ausdruck:

$$(144) \quad |A| = q_1 + q_2 + q_3 = i(l - 1) + c_p(T_1 - T_2).$$

Andererseits ist die positiv angeordnete Wärmemenge

$$(146) \quad q_1 + q_2 = i\delta + c_p(T_1 - T_2),$$

so daß sich für den Wirkungsgrad η der Wert ergibt:

$$(147) \quad \eta = \frac{i\delta + 1 - c_p(T_1 - T_2)}{i\delta + c_p(T_1 - T_2)}.$$

Hier haben wir nur noch $i\delta$ zu bestimmen, was wieder dadurch geschieht, daß wir zum Ausdruck bringen, daß die Punkte 1 und 2 auf derselben Adiabate liegen, d. h. denselben Entropiewert besitzen. Durch zweifache Anwendung des Gl. (61) erhalten wir wiederum die Beziehung:

$$c_p \log T_1 + \frac{1}{\gamma_1} \delta = c_p \log T_2 + \frac{1}{\gamma_2} \delta,$$

woraus sich der $i\delta$ der Wert ergibt:

$$(147') \quad i\delta = i\frac{T_2}{T_1} - c_p T_1 \log \left(\frac{T_2}{T_1} \right).$$

Durch Einsetzen in (146) erhält man für den Wirkungsgrad:

$$\eta = 1 - \frac{i\frac{T_2}{T_1} - c_p T_1 \log \left(\frac{T_2}{T_1} \right) + c_p(T_1 - T_2)}{i\frac{T_2}{T_1} - c_p T_1 \log \left(\frac{T_2}{T_1} \right) + c_p(T_1 - T_2)}.$$

Diese Gleichung können wir auch schreiben:

$$(148) \quad \eta = 1 - \frac{\frac{T_2}{T_1}}{i\frac{T_2}{T_1} - c_p T_1 \log \left(\frac{T_2}{T_1} \right) + c_p(T_1 - T_2)}.$$

Nun ist $i = \frac{T_2}{T_1}$ der Wirkungsgrad des Carnotprozesses, und man erinnert, daß es jetzt auf die Größe des Faktors

$$\frac{i\frac{T_2}{T_1}}{i\frac{T_2}{T_1} - c_p T_1 \log \left(\frac{T_2}{T_1} \right) + c_p(T_1 - T_2)}$$

ankommt. Nach den allgemeinen thermodynamischen Sätzen muß der Wirkungsgrad eines vom Carnotischen abweichenden Prozesses stets kleiner als $\left(1 - \frac{T_2}{T_1}\right)$ ausfallen, was hier bedeutet würde, daß der genannte Faktor größer als 1 sein muß. Das liefert daher die Beziehung:

$$\log \frac{T_2}{T_1} > 1 - \frac{T_2}{T_1},$$

und diese ist in der Tat für $T_2 > T_1$, was hier ja vorausgesetzt ist, stets erfüllt.

Es ist nun wichtig, sich klar zu machen, daß die beiden oben besprochenen Prozesse mit Wasser und Wasserdampf gar nicht ausgeführt werden könnten. Denn der Teil 2—3 jedes der beiden Prozesse bestand aus einer adiabatischen Dilatation, die das Flüssigkeits-Dampf-Gemisch gerade vollständig in gesättigten Dampf überführte.

sollte. Nach unseren Befundungen in Nr. 80 aber ist die sogenannte „spezifische Wärme des gesättigten Dampfes“ für Wasserdampf bei dem hier in Betracht kommenden Temperaturintervall negativ, d. h. bei adiabatischer Expansion tritt keine Verdampfung, sondern im Gegenteil Kondensation ein. Mit Wasserdampf würden wir also in beiden Prozessen, wenn wir von dem Punkte 2 der Diagramme in Figg. 88 und 89 ausgehen, nicht durch eine adiabatische Expansion zu dem auf dem Dampfzweig der Grenzkurve liegenden Punkte 3 gelangen können.

Aus diesem Grunde wollen wir jetzt noch einen Kreisprozeß betrachten, der mit Wasserdampf bei den normalen Temperaturen auch wirklich ausführbar ist (Fig. 86).



Fig. 86.

Die punktierte Linie in der Figur bedeutet wieder die Grenzkurve; Punkt 1 stellt den Zustand von 1 Gramm Wasser bei der Temperatur T_1 unter dem Sättigungsdruck p_1 dar. Wir fñhren nun isotherm-reversibel eine solche positive Wärmemenge q_1 zu, daß alles Wasser bei dem konstant bleibenden Druck p_1 verdampft; der Punkt 2, der also 1 Gramm Wasserdampf unter demselben Druck und derselben Temperatur vom spezifischen Volumen v_1 darstellt, liegt also auf dem Dampfzweig der Grenzkurve. Eine adiabatische Expansion verfrñhrt nunmehr einen Teil des Dampfes, so daß in Punkt 3 die Dampfmenge noch den Wert ξ hat; die Wassermenge ist also $(1 - \xi)$ Gramm. Punkt 3 stellt also — insoweit die von der Grenzkurve umschlossene Fläche bezieht — den Zustand des so bestimmten Wasser-Wasserdampf-Gemisches bei der Temperatur T_1 und dem Druck p_1 dar. Durch isotherm-ische Kompression wird nun unter Zufñhrung einer negativen Wärmemenge q_2 vollständige Verflñssigung erzielt, so daß Punkt 4 (ξ Gramm flñssiges Wasser der Temperatur T_1 und des Druckes p_2) auf dem Flüssigkeitszweig der Grenzkurve erreicht wird. Zufñhrung einer positiven Wärmemenge q_3 bewirkt nun, da es unter dem atmosphärischen Sättigungsdrucke, also Temperaturerhöhung bis auf den Wert T_1 , wenn gleichzeitig auch wieder der Druck p_1 erreicht ist. Damit sind wir wieder am Ausgangspunkte 1 unseres Kreisprozesses angelangt.

Auch von diesem Prozess wollen wir den Wirkungsgrad feststellen. Die zugeführten Wärmemengen haben offensichtlich folgende Werte:

$$(143) \quad q_1 = l; \quad q_2 = -l; \quad q_3 = c_p(T_1 - T_2).$$

Für den absoluten Betrag der zugeführten Arbeit l findet man also:

$$(144) \quad |a| = q_1 + q_2 + q_3 = l(1 - \eta) + c_p(T_1 - T_2),$$

und folglich für den Wirkungsgrad:

$$(145) \quad \eta = \frac{l\eta}{l + c_p(T_1 - T_2)} = \frac{l + c_p(T_1 - T_2) - l}{l + c_p(T_1 - T_2)} = 1 - \frac{l}{l + c_p(T_1 - T_2)}.$$

Da die Punkte 1 und 2 auf derselben Adiabaten liegen, muß gelten:

$$c_p \log T_1 + \frac{l}{T_1} = c_p \log T_2 + \frac{l}{T_2},$$

oder:

$$c_p \log \frac{T_2}{T_1} = \frac{l}{T_1} - \frac{l}{T_2},$$

woraus sich für l der Wert ergibt:

$$(146) \quad l = c_p T_2 \log \frac{T_1}{T_2} + \frac{l T_2}{T_1}.$$

Damit wird der Wirkungsgrad:

$$\eta = 1 - \frac{T_2}{T_1} \frac{l + c_p T_2 \log \frac{T_1}{T_2}}{l + c_p(T_1 - T_2)}.$$

Es ist nun aber sofort klar, daß:

$$T_1 \log \frac{T_1}{T_2} > (T_1 - T_2) \text{ ist,}$$

wenn, wie hier, $T_1 > T_2$ ist. Und damit ist wieder gezeigt, daß der Wirkungsgrad kleiner als der eines Carnotschen Prozesses ist.

Man scheint, wie bequemer man mit den allgemeinen Formeln rechnen kann, und wie die allgemeinen Ergebnisse der Thermodynamik in den hier besprochenen Einzelfällen ihre Bestätigung finden.

44. Numerische Berechnung von Entropie, Enthalpie und Wärmehalt für ein Wasser-Wasserdampf-Gemisch.

Wir haben im Vorhergehenden mehrfach von Gl. (34) Gebrauch gemacht, um die Entropie einer heterogenen Substanz relativ zu einem Normalzustande zu berechnen. Für die Praxis von besonderer Wichtigkeit ist natürlich die Entropie des Systems Wasser-Wasserdampf, weil dieses das in den Dampfkraftmaschinen und Dampferkühlern benutzte System ist. Man hat infolgedessen für dasselbe direkt Entropietabellen ausgerechnet, indem man als Normalzustand die Temperatur von 16°C ($T_0 = 289^\circ$) und flüssigen Zustand ($\eta = 0$) zugrunde gelegt hat. In Gl. (32) ist also für $T_0 = 289^\circ$ und $\eta = 0$ der Wert der Entropie s_0 gleich Null zu setzen. Man erhält dann zur Berechnung der Entropie von Wasser-Wasserdampf die folgende Formel (in der c_p unbedeutend konstant und nahezu gleich 1 gesetzt werden darf):

$$(128) \quad s(T, \delta) = c_p \log \frac{T}{T_0} + \frac{1}{\delta} \frac{1}{T^2}.$$

Nehmen wir darin für einen Moment $\delta = 0$, so daß:

$$(129) \quad s(T, 0) = s'' = c_p \log \frac{T}{T_0}$$

wird (die zwei oberen Akzente bedeuten wieder den flüssigen Zustand in Gleichgewichtung mit seinem alten Siedezustand), so besteht sich dieser Entropiewert auf den Fall, daß gar kein Dampf vorhanden ist, daß also der Zustandspunkt des Systems im p - T -Diagramm sich auf dem Flüssigkeitszweig des Grenzkurves befindet.

Setzen wir andererseits $\delta = 1$, so haben wir gar keine Flüssigkeit; der Zustandspunkt bewegt sich dann auf dem Dampfzweig der Grenzkurve. Für diesen Grenzfall erhält man die Entropiewerte aus (128) nach der Formel (die zwei oberen Akzente bedeuten wieder Dampfzustand):

$$(130) \quad s(T, 1) = s''' = c_p \log \frac{T}{T_0} + \frac{1}{T}.$$

woraus sich zur Vergleich mit (129) noch die Beziehung ergibt:

$$(131) \quad s''' = s'' + \frac{1}{T},$$

die auch unmittelbar einleuchtend ist. Man hat nun Tabellen berechnet, in denen zu jedem Punkt von T sowohl die Werte s'' als auch s''' angegeben sind. Außerdem wird noch der Dampfdruck und die Verdampfungswärme zu jeder Temperatur angegeben. Wir geben als Beispiel einen Teil einer für Wasser berechneten Tabelle.¹⁾

T	p in mm Hg	$\frac{1}{\delta}$ in gramm	$s'' = c_p \log \frac{T}{T_0}$ in $\frac{\text{cal}}{gr \cdot Grad}$	$\frac{1}{T}$ $= s''' - s''$	$s''' = s'' + \frac{1}{T}$ in $\frac{\text{cal}}{gr \cdot Grad}$
715	4,6	296,8	0	2,778	2,778
815	25,6	271,6	0,1285	1,8222	1,9507
915	65,5	256,8	0,1891	1,7082	1,8973
1015	146,4	247,8	0,1996	1,5898	1,7894
1115	303,7	239,1	0,2102	1,4652	1,6754
1215	541,1	231,1	0,2208	1,3357	1,5565
1315	868,8	224,8	0,2314	1,2011	1,4325
1415	1290	220,7	0,2419	1,0616	1,3035
1515	1824,6	218,1	0,2525	0,9169	1,1694
1615	2489,2	216,2	0,2630	0,7673	1,0303
1715	3308,8	216,8	0,2736	0,6128	0,8864
1815	4332,7	218,8	0,2842	0,4532	0,7374
1915	5611	222,8	0,2948	0,2887	0,5865
2015	7286	229,6	0,3053	0,1191	0,4374
2115	9448	240,1	0,3158	0,0445	0,2929
2215	12161	255,1	0,3263	0,0000	0,0000

¹⁾ Berechnungen (aus wissenschaftl.) von H. Mecke, Einführung i. d. Theorie d. Wärme, Berlin 1921.

Aus diesen Entropiewerten für Wasser (s'') und Wasserdampf (s''') kann man die Entropie für jedes Wasser-Wasserdampf-Gemisch finden. Denn es besteht nach den Gl. (133) bis (135) die Beziehung:

$$(147) \quad s(T, \xi) = s'' + (s''' - s'')\xi,$$

wobei ξ , wie früher, den Dampfgehalt in Bruchteilen eines Gemisches bezeichnet.

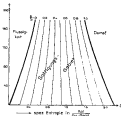


Fig. 36.

In Fig. 36 sind sowohl die s'' -Werte als auch die s''' -Werte als Funktionen der Temperatur aufgetragen, und zwar die s'' -Werte als Abszissen, die Celsius-Temperaturen als Ordinaten. Und zwar handelt es sich zunächst um die beiden stark ausgeprägten Kurven der Fig. 36, von denen die linke sich auf flüssiges Wasser (oder auf den Flüssigkeitszweig der Grenzkurve), die rechte auf Wasserdampf (den Dampfzweig der Grenzkurve) bezieht. Beide Kurven gehen beim kritischen Punkte der Substanz ineinander über, wie es sich sieht.

Nun kann man von diesem T -Diagramm aber noch mehr entnehmen. Denn der horizontale Abstand dieser beiden Kurven gibt ja den Wert $(s''' - s'') = \frac{r}{T}$; teilt man also den Horizontalabstand an jeder Stelle im Verhältnis $\xi : (1 - \xi)$ und legt nach durch diese Teilpunkte Kurven, so stellt der horizontale Abstand zwischen der linken s'' -Kurve und jeder dieser Zwischenkurven den Wert $(s''' - s'')\xi$ dar. Also liefert die Abstände für jede Zwischenkurve den Wert $s'' + (s''' - s'')\xi$, also nach (147)

gerade den Wert $u(T_0, \xi)$, d. h. den Enthalpienwert für ein Wasser-Wasserdampf-Gemisch, in dem der Bruchteil ξ als Dampf vorhanden ist. In Fig. 58 sind die Siedepunkte

$$\xi = 0, 1, 0, 2, \dots, 0, 9$$

eingezeichnet; durch diese sind die schwach ausgezogenen Kurven gezogen, aus denen man die Enthalpie für die genannten ξ -Werte sofort ablesen kann; die dazwischen liegenden Werte sind leicht zu interpolieren.

Eine analoge Berechnungen kann man nun, an Gl. (54) oder, was wir vorziehen, an die dieselbe beugende Gl. (55) anknüpfend, auch für die innere spezifische Energie u anstellen. Ähnlich, wie wir es bei der Berechnung der Entropie gewisse Vereinfachungen annehmen durften (u. B. r_0 als konstant betrachtet), werden wir auch hier an Gl. (54) Vereinfachungen anbringen können.

Wenn wir auch hier r_0 als konstant betrachten, so wird zunächst für ein Flüssigkeits-Dampf-Gemisch vom Dampfgehalt ξ und von der Temperatur T :

$$(129) \quad u(T, \xi) = r_0(T - T_0) - \int_{T_0}^T p \frac{dr'}{r'^2} dT + \lambda \xi + u_0,$$

wo λ die „innere“ Verdampfungswärme bedeutet. In dieser Gleichung wollen wir u_0 auf $T_0 = 100^\circ$ und $\xi = 0$ beziehen, um von diesem Punkte an die Energie zu rechnen; wir setzen also $u_0 = 0$. Im zweiten Gliede rechts ist $\frac{dr'}{r'^2}$ die Zunahme des spezifischen Volumens des Wassers pro Grad; $\frac{dr'}{r'^2}$ hängt also mit dem Ausdehnungskoeffizienten α folgendermaßen zusammen:

$$\alpha = \frac{1}{r_0} \frac{dr'}{dT}, \quad \frac{dr'}{r'^2} = \alpha r_0''.$$

Wo r_0'' das spezifische Volumen flüssigen Wassers bei 10°C ist. Aus den numerischen Werten abzuwägen man sich leicht, daß das Glied $\int_{T_0}^T p \frac{dr'}{r'^2} dT$ nicht unbedeutend klein gegen das erste $r_0(T - T_0)$ ist; wir wollen uns also erlauben, dieses zweite Glied der rechten Seite von (129) zu streichen. Damit erhält man dann:

$$(130) \quad u(T, \xi) = r_0(T - T_0) + \lambda \xi.$$

Diese Gleichung wollen wir unserer Diskussion zu Grunde legen. Wir können dabei genau so vorgehen, wie bei der Berechnung der Entropie, indem wir zunächst die Grenzwerte u' (für $\xi = 0$) und u'' (für $\xi = 1$) angeben; nach (130) ist:

$$(131) \quad u' = u(T, 0) = r_0(T - T_0),$$

$$(132) \quad u'' = u(T, 1) = r_0(T - T_0) + \lambda,$$

woraus sich sofort die folgende Beziehung zwischen v'' und v''' ergibt:

$$(166) \quad v'' = v''' + l.$$

Der Wert $v'' = c_p (T - T_0)$ ist nun für Wasser sofort angegeben, wenn man $c_p = 1$ setzt; er stimmt dann numerisch mit der Zahl der Celsiusgrade überein. Tatsächlich variiert c_p etwas, so daß man schwach abweichende Werte erhält, die nach Messungen der spezifischen Wärme des Wassers aber leicht angibt sind. Die gesamte Verdampfungswärme

$$l = l + p(v'' - v''')$$

hatten wir schon in der vorhergehenden Tabelle auf pag. 372 für die in Betracht kommenden Temperaturen von 375 ab, bis 405 ab, angegeben, ebenso die Sättigungsdichte p . Die Werte des spezifischen Volumens v'' für gesättigten Wasserdampf kann man Untersuchungen von Holborn, Henning und Scheerly entnehmen, so daß auch das Obere $p(v'' - v''')$ leicht numerisch angibt ist; übrigens ist dabei v'' wegen seiner Kleinheit ohne merklichen Fehler gegen v''' vernachlässigbar. Man erhält schließlich folgende Tabelle, die wohl ohne weitere Erläuterung verständlich ist.

T	p in mm Hg	v'' in $\frac{\text{cm}}{g}$	$p(v'' - v''')$ in $\frac{\text{cal}}{g}$	$l =$ $p(v'' - v''')$ in $\frac{\text{cal}}{g}$	v'' in $\frac{\text{cal}}{g}$	v''' in $\frac{\text{cal}}{g}$
375	4,0	30000	30,0	300,4	0	300,4
378	50,3	18440	34,6	335,6	34,6	299,0
379	62,5	17800	35,5	333,1	49,9	288,2
380	748,4	1666	36,3	329,4	69,8	269,6
384	117,7	1000	37,5	318,8	68,8	249,0
393	233,1	3430	38,8	312,3	79,9	232,4
395	323,8	2361	39,8	305,4	90,8	214,6
398	760	1071	40,7	299,0	100	199,0
400	1571,8	1205	41,5	290,8	110,1	180,7
405	1466,1	890,7	42,5	283,1	120,3	162,8
410	1094,8	697,8	43,8	275,1	130,4	144,7
415	7710,7	397,7	44,7	267,3	140,7	126,6
420	5071	300,1	45,5	259,3	150,9	108,4
425	2938	205,8	46,1	251,3	161,3	95,2
430	2042	149,5	46,7	243,7	171,6	82,1
435	1371	105,1	47,3	236,0	182,0	69,0

Man erkennt aus der Tabelle, daß (verstehts Spalte) $v'' = c_p (T - T_0)$ tatsächlich fast genau (innerhalb 1°/100) mit dem numerischen Wert $(T - T_0)$

¹⁾ Holborn und Henning, Ann. d. Phys. 36, 1908; Henning, Zindem B., 1909; 20, 1908. Ferner Holborn, Scheerl und Henning, Wärmeschaffen, Braunschweig 1910.

symmetrischen. In der letzten Spalte sind die Energiewerte für gesättigten Dampf enthalten. Aus beiden Extremwerten u' und u'' erhält man die Energie $u(T, \xi)$ für ein Gemisch mit ξ Gramm Dampf nach der sich aus (155) ableitenden Formel:

$$(156) \quad u(T, \xi) = u' + (u'' - u') \xi,$$

die der (4), (157) für die Entropie $s(T, \xi)$ vollkommen analog ist.

Auch hier lassen die Werte u' und u'' in einem Diagramm (Fig. 27) veranschaulicht werden, in dem die Celsius-Temperaturen wieder als Ordinate, die Werte von u als Abszissen aufgetragen sind. Genau wie in Fig. 26

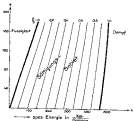


Fig. 27.

sind wieder den beiden stark ausgeprägten Kurven, die u' und u'' darstellen, die den Werten $\xi = 0, 1; 0, 2, \dots, 0, 9$ entsprechenden $u(T, \xi)$ -Kurven eingetragen. Auch hier lassen natürlich ähnliche Kurven im kritischen Punkt zusammenlaufen.

Obwohl wir von diesem Diagramm weiter keinen Gebrauch machen werden, haben wir es doch der Vollständigkeit halber mit angesetzt, damit man erkennt, auf welche Weise gegebenenfalls aus den allgemeinen Formeln die Energie für jeden Flüssigkeits-Dampf-Gemisch bestimmt werden kann.

Dagegen wollen wir uns jetzt einer anderen Darstellung zuwenden, die sich ebenfalls an Gleichung (14) anschließt, die wir mit Bezug auf das Prozess

der Verdampfung unter Fortlassung des beidseitigen Glieds $\int p \frac{dv}{dT} dT$ nochmals aufschreiben:

$$u(T, l) = c_p(T - T_0) + l = p(v'' - v')$$

In dieser Gleichung wollen wir den Ausdruck in geschweiften Klammern nicht durch die latente Verdampfungswärme ersetzen, sondern in der ursprünglichen Form beibehalten. Dann erhält man in der bisherigen Bezeichnung:

$$(144) \quad u' = u(T, l) = c_p(T - T_0),$$

$$(145) \quad u'' = u(T, l) = c_p(T - T_0) + l = p(v'' - v'),$$

und durch Subtraktion dieser Gleichungen:

$$u'' - u' = l = p(v'' - v'),$$

oder, was bei der entstehenden Variante gegen die thermodynamische Betrachtung:

$$(146) \quad (u'' + p v'') - (u' + p v') = l.$$

Die Klammerausdrücke auf der linken Seite bedeuten nun nichts anderes, als die Gleichgewichtszustandsfunktion oder den Wärmeinhalt i für den gasförmigen und den flüssigen Zustand. Wir können also noch schreiben:

$$(147) \quad i'' - i' = l.$$

Führen wir in (144) und (145) statt u ebenfalls die Gleichgewichtsfunktion i ein, so kann man diese Gleichungen in der Form schreiben:

$$(148) \quad i(T, l) = i' = c_p(T - T_0) + p v',$$

$$(149) \quad i(T, l) = i'' = c_p(T - T_0) + l + p v'',$$

Die Gl. (148) erhält man einfach, indem man in (144) auf beiden Seiten $p v'$ addiert; Gl. (149) geht aus (145) durch Transposition des Glieds $p v''$ auf die linke Seite hervor. Da ferner definitionsgemäß

$$(150) \quad i(T, l) = u(T, l) + p v' + p v'' = h$$

ist, so folgt durch Kombination der Gleichungen (147) bis (150) für $i(T, l)$ die Darstellung:

$$(151) \quad i(T, l) = i' + i'' - i'' v' / v''.$$

Wie wir noch zeigen wollen, spielt gerade der Wärmeinhalt in der Praxis eine große Rolle; deshalb wollen wir für die Temperaturen von 228° abs. bis 428° abs. auch noch die Werte i' und i'' tabellarisch zusammenstellen, was keine Schwierigkeiten macht, da alle notwendigen Größen bereits in den vorangehenden Tabellen enthalten sind; das Glied $p v'$ in (148) und (149) kann, wie schon vorher erwähnt, vernachlässigt werden, was in der folgenden Tabelle geschrieben ist.

Die Werte von r und r' sind nach (172) und (173) durch die folgenden Formeln gegeben:

T	r in $\frac{\text{cal}}{g^\circ}$	r' in $\frac{\text{cal}}{g^\circ}$	r'' in $\frac{\text{cal}}{g^\circ}$	r''' in $\frac{\text{cal}}{g^\circ}$
100	0	0	104,8	1,7560
110	58,9	0,1319	103,8	1,8700
120	68,9	0,1645	102,8	1,9777
130	78,9	0,1999	101,8	2,0800
140	88,9	0,2382	100,8	2,1819
150	98,9	0,2799	99,8	2,2779
160	108,9	0,3250	98,8	2,3690
170	118,9	0,3735	97,8	2,4564
180	128,9	0,4250	96,8	2,5399
190	138,9	0,4799	95,8	2,6199
200	148,9	0,5382	94,8	2,6964
210	158,9	0,5999	93,8	2,7699
220	168,9	0,6650	92,8	2,8400
230	178,9	0,7335	91,8	2,9069
240	188,9	0,8050	90,8	2,9709
250	198,9	0,8799	89,8	3,0319
260	208,9	0,9582	88,8	3,0899
270	218,9	1,0399	87,8	3,1449
280	228,9	1,1250	86,8	3,1969
290	238,9	1,2135	85,8	3,2459
300	248,9	1,3050	84,8	3,2919

In dieser Tabelle sind neben die Werte r und r' die spezifischen Entropien r'' und r''' gestellt, weil wir r'' und r''' nach dem Vorgange von Mollier als Funktionen von r und r' in einem i - s -Diagramm eintragen wollen, mit dem wir uns noch in der nächsten Vorlesung genauer beschäftigen werden. Man erhält dann das Bild der Fig. 88, und man sieht es wieder die beiden stark ausgeprägten Kurvenstücke, die r'' und r''' als Funktionen der Entropie darstellen; auch sie laufen im kritischen Punkte natürlich zusammen. In diesem Diagramm sind noch mehrere Geraden eingetragen, die die Punkte gleicher Temperatur T in beiden Kurvenstücken verbinden; diese Geraden stellen im i - s -Diagramm innerhalb des Sättigungsgebietes die Isothermen (und natürlich auch die Isobaren) dar. Denn man kann ja in der Tat die Gleichung des ersten Hauptsatzes unter Einführung von i an Stelle von u schreiben:

$$(172) \quad di = Fg + v dp,$$

und erhält folglich nach Division mit T das zweite Hauptsatz in der Form:

$$\frac{di}{T} = ds = \frac{di - v di}{T} ,$$

oder:

$$(173) \quad di = T ds + v dp .$$

Im Sättigungsgebiete fallen nun Isothermen und Isobaren zusammen; für $T = \text{const.}$ ist also auch $dp = 0$, und schließt gewinnt man aus (173) als Bedingung konstanter Temperatur die Gleichung:

$$di = T ds$$

oder:

$$(174) \quad i = T s + \text{const.} ,$$

d. h. in unseren t - s -Diagrammen sind, wie behauptet, im Sättigungsbereich die Isothermen gerade Linien. Teilt man diese Geraden, die in Fig. 80

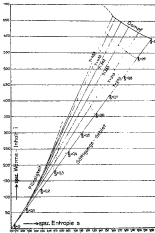


Fig. 80.

nicht den nachträglichen Temperaturwerten angepasst sind, in gleiche Teile, etwa 10 Teile, und verbindet die so erhaltenen Punkte durch (in

der Figur punktierte) Kurven, so erhält man die zu den Werten $t = 0, 1; 1, 2; \dots$ gehörigen i -Werte nach Formel (VII). Alles dies ist im Prinzip genau so wie vorher bei Kugel- und Klotzproben.

Warum ist nun die Größe i von solcher Bedeutung für die Praxis? Einfach deshalb, weil $i(T, T)$ die Anzahl Kalorien angibt, die erforderlich sind, um 1 Gramm Wasser von 0°C bis in die Wärme-Waasserbüchse-tisch mit t Gramm Dampf von der Temperatur T zu verwandeln. Daher ergibt sich auch der — etwas an die alte Stofftheorie der Wärme erinnernde und deshalb vielleicht nicht ganz glückliche — Name „Wärmeinhalt“ für diese Größe.

In der Praxis werden übrigens in das i -Diagramm noch andere Kurven, z. B. Isobaren, eingetragen; auch werden die Kurven, um die Verhältnisse auch jenseits des Sättigungsbereiches für überhitzten Dampf darzustellen, über den Dampfzweig hinaus verlängert, so da natürlich ganz andere Vorzeichen. Wir haben hier von diesem Komplikationen abgesehen, da es uns nur auf das Prinzipielle ankommt.

65. Verwendung des Entropie-Temperatur- und des Mollier-Diagramms.

Wir wollen nun die in Nr. 63 besprochenen drei Kreisprozesse, die dort im p -Diagramm in den Figg. 21, 22 und 23 dargestellt wurden, im sT -Diagramm auftragen, wobei sich die Vorteile dieser Darlegung von selbst ergeben werden. Beachtet sei übrigens, daß zuerst Gilbert¹⁾ auf die Vorteile des sT -Diagramms aufmerksam gemacht hat.



Fig. 24.

Denn wir auf die in Nr. 63 erwähnten Prozesse eingehen, so müssen eine allgemeine Bemerkung gemacht über die Darstellung beliebiger Carnot'scher Prozesse im sT -Diagramm. Da im Carnot-Prozess zwei Isobaren und zwei Adiabaten (Isentropen) vorkommen, so besteht im sT -Diagramm jeder Carnot-Prozess aus zwei horizontalen und zwei vertikalen Geraden (Fig. 24), die den Werten $T = T_1$, $T = T_2$, $s = s_1$, $s = s_2$ entsprechen.

Man erkennt sofort, daß wegen der Gleichung $q = Tds$ die positiv gerichtete Wärmemenge q_1 durch die Rechteckfläche $ABEF$, die negativ gerichtete q_2 durch die Fläche $CDEF$ dargestellt wird. Folglich ist

Man erkennt sofort, daß wegen der Gleichung $q = Tds$ die positiv

¹⁾ W. Gilbert, Transactions of the Connecticut Academy, II, pag. 22, 1875; Scientific Papers, I, pag. 12.

der Betrag der geleisteten Arbeit $|w| = q_1 + q_2$ gleich dem Inhalt des Rechtecks $A B C D$. Und daher ist der Wirkungsgrad:

$$\eta = \frac{w}{q_1} = \frac{A B C D}{A B E F},$$

also in einfacher Weise aus dem Diagramm zu entnehmen. Da ferner $A B E F = T_1 (q_1 - q_2)$, $A B C D = (T_1 - T_2) (q_1 - q_2)$ ist, so folgt sofort:

$$\eta = \frac{T_2 - T_1}{T_1} = 1 - \frac{T_2}{T_1},$$

wie es für jeden Carnot-Prozess sein muß.

Durch ein solches System von zwei horizontalen und zwei vertikalen Geraden ist nun also auch unser Carnot-Prozess von Fig. 23 dargestellt. Versuchen wir nun, ihn in unserem Diagramm zu zeichnen, so das wir gemäß Fig. 23 nach dem flüssigen und dampfartigen Zustand entsprechenden Entropiewerte für Wasser eingetragen haben. (Fig. 24).

Nun wissen wir, daß Punkt 1 unserem Prozess, der aus flüssigen Zustand ausgeht, auf der linken Entropiekurve liegen muß, nämlich in ihrem Schnittpunkt mit der horizontalen Geraden $T = T_1$. Punkt 2 dagegen muß im Sättigungsbereich liegen und dem Dampfdruck p_0 entsprechen. Bis dahin ist alles in Ordnung. Jetzt aber - alles wir durch adiabatische Ausdehnung, d. h. auf einer vertikalen Geraden von Punkt 2 abwärts die Dampf-Entropiekurve erreichen, da wir ja die Flüssigkeit durch die adiabatische Ausdehnung in Dampf verwandeln wollen. Man erkennt aber aus Fig. 24, daß eine von Punkt 2 vertikal nach abwärts gezogene Gerade die rechte Entropiekurve niemals trifft, sondern sich von ihr entfernt. D. h. aber, daß der betrachtete Prozess für Wasser so nicht möglich ist, weil, was wir schon früher betont hatten, adiabatische Ausdehnung bei einem Gemisch von Wasser-Wasserdampf nicht weitere Verdampfung, sondern im Gegenteil Verflüssigung bewirkt. Die spezifische Wärme des gesättigten Dampfes ist ja für Wasserdampf bei den in Betracht kommenden Temperaturen negativ! Diese Tatsache drückt sich in unserem Diagramm dadurch aus, daß die rechte Entropiekurve von rechts unten nach links oben verläuft, d. h. daß die Entropie des gesättigten Wasserdampfes mit steigender Temperatur abnimmt.

Wollen wir also unseren Prozess gemäß Fig. 23 wirklich durchführen, so kann es nur mit einer Substanz geschehen, für die die spezifische Wärme



des gesättigten Dampfes positiv ist. Für eine solche wurden die beiden Entropiekurven etwa der Fig. 41 entsprechend verfahren.

Hier ist unser Carnot-Prozess also weiteres möglich, wie die Zeichnung zeigt, und diese weitere Bedingung ergibt sich der bekannte Wert des Wirkungsgrades aus Fig. 42, wie wir es vorher dargestellt haben.



Fig. 41.



Fig. 42.

Klassenmäßig wurde der von Carnotischen abweichende Kreisprozeß der Fig. 34 mit Wasser und Wasserdampf durchführbar sein, aus genau denselben Gründen. Betrachten wir aber wieder eine Substanz mit positiver spezifischer Wärme des gesättigten Dampfes, so erhalten wir das wohl etwas weitere vermittelnde Bild der Fig. 43.

Hier sind die Wärmeströme dargestellt, durch folgende Flächeninhalte:

$$\begin{array}{l} (Q_{12}) \quad \left\{ \begin{array}{l} q_1 (> 0) \text{ durch } ABEP, \\ q_2 (< 0) \quad \quad CBEP, \\ q_3 (> 0) \quad \quad CADE. \end{array} \right. \end{array}$$

Der Arbeitsbetrag der Arbeit α ist also gleich dem Flächeninhalt:

$$(W_{12}) \quad |\alpha| = ABPD + CDA.$$

Der Wirkungsgrad ergibt sich also zu:

$$\eta = \frac{ABPD + CDA}{ABEP + CBEP}.$$

Er kann durch Flächenmessung leicht festgestellt werden und ergibt sich natürlich kleiner als der des entsprechenden Carnot-Prozesses.

Betrachten wir nun schließlich den mit Wasser und Wasserdampf ausführbaren Prozeß der Fig. 35; hier erhalten wir im σT -Diagramm das Bild der Fig. 44. Auch hier erfordert die Bestimmung des Wirkungsgrades lediglich die Flächenmessung von drei Flächeninhalten. Da alles genau so ist, wie im vorhergehenden Beispiele, braucht nicht näher darauf eingegangen zu werden.

Man erkennt aus diesem Beispiele, welche die Bedeutung des σT -Diagrammes besteht: Es gestattet, auf recht einfache Weise den jeder-

ausigen Wirkungsgrad von Kreisprozessen zu bestimmen, weil diese, wenn in denselben Isothermen, oder was im Sättigungsgebiet dasselbe ist, Isothermen vorhanden sind. Gerade isobare Prozesse spielen aber in der Praxis bei Dampfmaschinen und Dampfheizern eine besonders wichtige Rolle.

Noch wichtiger hat man die Bestimmung von Wärmemengen, Arbeitssätzen und Wirkungsgraden in dem Mollier-Diagramm. Wir wollen zunächst einen beliebigen Carnot'schen Kreisprozeß im Mollier-Diagramm betrachten, (Fig. 44), der der Einfachheit halber ganz im



Fig. 43.



Fig. 44.

Sättigungsgebiet verlaufen soll. In Fig. 44 haben wir außer den beiden s -Kurven auch schon die beiden Isothermen T_1 und T_2 eingetragen. Ein Carnot-Prozeß zwischen diesen Temperaturen ist man durch ein Viereck von der Art charakterisiert, wie es 1, 2, 3, 4 in der Figur darstellt: denn es besteht aus zwei Isothermen und zwei Adiabaten. Wozu sind eingeführt auf den beiden Strecken 1, 2 und 3, 4: auf der ersten positiv, auf der letzteren negativ. Zieht man nun durch 1 und 3 Parallelen zur Abszissenachse, die die Ordinatenwerte h_1 bzw. die h_3 liefert, und den die Wärmeinhalte i eingetragen sind) in den Punkten A und B treffen lassen, so ist die mit einem Maßstabe oder einem Zirkel abzunehmende Strecke AB gleich $(h_3 - h_1)$, und das ist die positiv angelegte Wärmemenge q_1 . Denn im Sättigungsgebiete ist ja wegen $dp = 0$ nach Gl. (27a):

$$di = T ds,$$

oder, da $T = \text{const.}$

$$i_3 - i_1 = T_1 (s_3 - s_1) = q_1.$$

Die Strecke AB ist also tatsächlich gleich der Wärmemenge, die längs der Isotherme T_1 zugeführt wird. Ebenso ist der auf gleiche Weise gewonnene Wert CD gleich $(h_2 - h_4) = q_2$, d. h. gleich der (negativen) Wärme-

menge, die bei der Temperatur T_1 aufgenommen wird. Zieht man durch Punkt 1 die Parabel $1, F$ in 4, 3, so stellt auch die Strecke \overline{AC} die Wärmemenge q_2 dar. Also ist die Strecke \overline{BD} ihrem numerischen Werte nach gleich der geleisteten Arbeit $|s|$, und folglich erhält man für den Wirkungsgrad:

$$\eta = \frac{|s|}{q_1} = \frac{\overline{BD}}{\overline{AB}} ,$$

d. h. gleich dem Verhältnis einer mit Maßstab oder Zähler abgelesene Strecken.

Darauf liegt nun der Vorteil dieser von Möllier empfohlenen Darstellung gegenüber der vorhergehenden, bei der Wärmeströmen, Schmelzen und Wirkungsgrade Flächen, nicht Strecken waren.

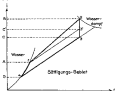


Fig. 45.

Wie können wir uns leicht überzeugen, in Fig. 45 den Prozeß des Fig. 33 im Mollier-Diagramm ohne weitere Erläuterung nachzusehen. Man erkennt, daß der isotherme Prozeß durch die Punkte 1, 2, 3, 4 dargestellt wird. Die Wärmeströme sind:

$$q_1 (> \overline{Q_1}) = \overline{AB} ,$$

$$q_2 (< \overline{Q_2}) = \overline{AC} ,$$

$$q_3 (> \overline{Q_3}) = \overline{AD} .$$

Der Wirkungsgrad ergibt sich also zu:

$$\eta = \frac{\overline{BD} + \overline{AD}}{\overline{AB}} ,$$

was keiner weiteren Erläuterung bedarf.

Die obigen Darlegungen zeigen genügend, die vielseitige Anwendbarkeit und Fruchtbarkeit der beiden hier verwendeten Diagramme zu zeigen.

Sechstes Kapitel.

Spezielle Systeme (Gase und verdünnte Lösungen).

66. Energie, Entropie und thermodynamisches Potential eines Gemisches reiner Gase.

Die im vorstehenden Kapitel enthaltenen Untersuchungen über das Gleichgewicht, insbesondere die sich an die Gleichgewichts-Lösungung

$$(1) \quad \delta_{T,p} \Phi = 0$$

anschließenden, konnten nur dadurch gewonnen werden, daß man den Begriff der „unabhängigen Komponenten“ einführt und so Lösung und System in das vielgestaltige Problem brachte. Nur so war es möglich, die Gibbs'sche Phasenregel und ihre Konsequenzen in voller Allgemeinheit zu gewinnen. Die Schönheit der erzielten Resultate darf jedoch nicht darüber stehen, daß dieses Verfahren zu verunsichern ist, um mehr als allgemeine Ergebnisse zu liefern. Ihm volle Kraft werden nämlich die erzielten Resultate erst erlangen, wenn es gelingt, in jedem Falle etwa das thermodynamische Potential Φ nicht nur in seiner Abhängigkeit von T und p , sondern auch als Funktion der Konzentrationen sämtlicher an dem System beteiligten Stoffe darzustellen. Diese neue Problemstellung ist also wesentlich tiefer als die bisherige, ist deshalb entsprechend schwieriger, aber auch fruchtbarer. Geht es die hier formulierte Aufgabe bis heute nur für ideale Gase und verdünnte Lösungen, die daher in diesem Kapitel einer besonderen Untersuchung unterzogen werden sollen. Natürlich sind die in der Natur vorkommenden Gase nicht ideal, aber unter normalen Bedingungen nähern sie sich diesem Zustande doch so sehr, daß diese vereinfachende Annahme vollständig ist.

Wir wollen daher das thermodynamische Potential Φ für ein Gemisch reiner Gase berechnen. Nach seiner Definition ist das Potential Φ mit der Entropie S , der Energie E und dem Gesamtinhalt V durch die folgende Gleichung verknüpft:

$$(2) \quad \Phi = E - \frac{T}{p} S,$$

so daß die obige Aufgabe auf die Berechnung der Entropie S , der Energie E und des Volumens V als Funktionen von T und p , sowie der Konzentrationen $N_i^{(1)}$ der Einzelgase des Gemisches hinauskommt. Es möge

wiederum betont werden, daß die Einzelgase keine Komponenten im Gittersystem sind, so wie Ionen und im allgemeinen nicht sind, obwohl gelegentlich eine Kollision beider Begriffe eintreten kann; im allgemeinen aber sind die hier in den Vordergrund tretenden Einzelgase begrifflich streng von den Gittersystem Komponenten zu trennen.

Für die spezifische Energie u_1 eines beliebigen (des i -ten) Einzelgases des Gemisches haben wir bekanntlich:

$$(1) \quad u_1 = c_{v1} T + a_1',$$

wenn c_{v1} die spezifische Wärme bei konstantem Volumen dieses Gases und a_1' eine Konstante bedeutet. Trifft dieses Gas in dem Gemisch auf der Masse M_1 auf (der oben Flächeneinheit fällt hier natürlich fort, da wir nur eine Phase haben), so ist ihre Energie U_1 :

$$(2) \quad U_1 = M_1 (c_{v1} T + a_1') = \frac{M_1}{m_1} (m_1 c_{v1} T + m_1 a_1'),$$

wenn m_1 das Molekulargewicht bedeutet. $\frac{M_1}{m_1}$ ist gleich der Anzahl n_1 der Gasmoleküle dieses Gases, die im Gemische vorhanden sind; ferner ist $m_1 c_{v1}$ offenbar die sogenannte „Molekularwärme“ bei konstantem Volumen, wobei wir U_1 schreiben wollen. Für die Konstante $m_1 a_1'$ setzen wir einfach a_1 , so daß wir schließlich erhalten:

$$(3) \quad U_1 = n_1 (C_{v1} T + a_1);$$

das gilt durch Summation über alle Einzelgase des Gemisches für die Gesamtenergie desselben:

$$(4) \quad U = \sum_i U_i = \sum_i n_i (C_{vi} T + a_i).$$

In ganz analoger Weise berechnen wir die Entropie des Gasmischens. Die spezifische Entropie s_1 des i -ten Einzelgases ist gleich:

$$s_1 = c_{v1} \log T + \frac{R}{m_1} \log v_1 + b_1',$$

Führen wir statt v_1 mittels der Gleichung $v_1 = \frac{RT}{m_1 p_1}$ die Temperatur T und den Partialdruck p_1 ein, den dieses Gas im Gemisch besitzt, so folgt:

$$s_1 = c_{v1} \log T + \frac{R}{m_1} \log \frac{R}{m_1} + \frac{R}{m_1} \log T - \frac{R}{m_1} \log p_1 + b_1',$$

oder, da $\frac{R}{m_1} = c_{p1} - c_{v1}$ ist:

$$s_1 = c_{p1} \log T - \frac{R}{m_1} \log p_1 + \left(\frac{R}{m_1} \log \frac{R}{m_1} + b_1' \right),$$

oder endlich, indem die geschweifte Klammer, die nur Konstanten enthält, in einer einzigen a_1'' zusammengefaßt wird:

$$(5) \quad s_1 = c_{p1} \log T - \frac{R}{m_1} \log p_1 + a_1''.$$

Diese Konstante α wollen wir die „Entropiekonstante“ nennen; ihre physikalische Bedeutung ist offenbar die, daß sie den Wert der Entropie für $p = 1$ und $T = 1$ angibt. Sie kann thermodynamisch, d. h. mit Hilfe der beiden Hauptsätze, nicht bestimmt werden: gleichwohl werden wir sehen, daß α einen ganz bestimmten Wert haben muß. Das gleiche gilt übrigens auch für die „Ausgleichskonstante“ α_1 der Gleichung (8).

Die Entropie S_1 des i ten Einzelgases folgt nun durch Multiplikation mit der Masse M_i einfachem zu:

$$\begin{aligned} S_1 &= M_i \left(c_{p_i} \log T - \frac{R}{m_i} \log p_i + \alpha \right) \\ &= \frac{R}{\alpha_1} \left(m_i c_{p_i} \log T - R \log p_i + m_i \alpha \right), \end{aligned}$$

oder, wenn wir wieder die Zahl n_i der Gasmoleküle und die Molekularenergie C_{p_i} bei konstantem Druck, und $m_i \alpha = \alpha_1$, die auf ein Mol bezogene Entropiekonstante, einführen:

$$(9) \quad S_1 = n_i (C_{p_i} \log T - R \log p_i + S_{T_i}).$$

Mit Hilfe des Dalton'schen Gesetzes, daß der Gesamtdruck p gleich der Summe der Partialdrücke p_i ist, können wir hier p selbst einführen. Dann wir haben:

$$p = \sum_i p_i = RT \sum_i \frac{1}{\alpha_1 V_i}.$$

Ferner ist α_1 , das spezifische Volumen des gerade betrachteten Gases, gleich dem Gesamtvolumen V , dividiert durch die Masse M , d. h.:

$$\alpha_1 = \frac{V}{M}.$$

Setzt man diesen Wert in die obige Gleichung für p ein, so folgt sofort:

$$(10) \quad p = \frac{RT}{V} \sum_i \frac{M_i}{\alpha_1} = \frac{RT}{V} \sum_i n_i.$$

Da man gleichzeitig für p_i geschrieben werden kann:

$$p_i = \frac{RT}{V} n_i,$$

so folgt die Relation zwischen p und p_i :

$$(11) \quad p_i = p \frac{n_i}{\sum_i n_i}.$$

Das Technische

$$\frac{n_i}{\sum_i n_i} = \frac{\text{Anzahl der Gasmoleküle des } i\text{ten Einzelgases}}{\text{Anzahl der Gasmoleküle der Mischung}}.$$

Ist man aber mit den Molekülen ganz analog verfahren, wie wir in Nr. 66 — man vergleiche insbesondere die Gleichungen (71a) und (71b) des Kapitels

Kapitel und pag. 241 — die „Mischkonzentration“ k_1 mit den Massen gemittelt kann. Wir bezeichnen demgemäß $\frac{\sum v_i}{\sum n_i} = k_1$ als die „Mischkonzentration“; ein oberes Index fällt hier fort, weil nur eine Phase vorhanden ist. Im folgenden haben wir es nur mit Mischkonzentrationen zu tun, deshalb wir einfach von „Konzentrationen“ sprechen werden.

Es wird also schließlich:

$$(11) \quad p_1 = p k_1,$$

setzen wir dies in unseren Ausdruck (9) für N_1 ein, so folgt:

$$(12) \quad N_1 = n_1 N_{10} \log T - R \log p - R \log k_1 + S_1^0,$$

und daraus weiter durch Summation über alle Einzelgase die Gesamtentropie S des Gemisches:

$$(13) \quad S = \sum_i N_i = \sum_i n_i N_{i0} \log T - R \log p - R \log k_1 + S_1^0,$$

Bilden wir nun gemäß der Formel (1) das Potential Φ des Gemisches mit Hilfe von (12) und (13), so finden wir:

$$\Phi = \sum_i n_i \left[C_{i0} \log T - R \log p - R \log k_1 + S_1^0 - C_{i1} - \frac{p_1}{p} - R \right];$$

das letzte Glied versteht man $\frac{p_1}{p}$ mit Benutzung von Gl. (9). Gruppieren wir jetzt diesen Ausdruck etwas anders:

$$\Phi = \sum_i n_i \left[C_{i0} \log T - R \log p + S_1^0 - C_{i1} - R - \frac{p_1}{p} \right] - R \sum_i n_i \log k_1,$$

bezeichnen die in der geschweiften Klammer stehende Konstante einfach durch k_1 , so können wir schreiben:

$$(14) \quad \Phi = \sum_i n_i \left[C_{i0} \log T - R \log p + k_1 - \frac{p_1}{p} \right] - R \sum_i n_i \log k_1,$$

oder schließlich, wenn die eckige Klammer, die nur von T und p abhängt, durch $\gamma_1(T, p)$ abgekürzt wird:

$$(15) \quad \Phi = \sum_i n_i \gamma_1(T, p) - R \log k_1,$$

womit die gestellte Aufgabe gelöst ist. Die Gl. (15) stellt das thermodynamische Potential Φ als Funktion von T und p , sowie in seiner Abhängigkeit von den Konzentrationen k_1 der Einzelgase dar.

II. Thermodynamisches Gleichgewicht einer Mischung; das Mischverhältnis.

Die Bedingung dafür, daß in der betrachteten Mischung die einzelnen Bestandteile nebeneinander im Gleichgewichte, auch gegenüber einer chemischen Umwandlung, sind, lautet, wie im vorigen Kapitel:

$$(16) \quad d_T \Phi = d_p \Phi,$$

we $\lambda_{i,p}$ eine bei konstantem Druck p und konstanter Temperatur T vor sich gehende virtuelle, d. h. mit den äußeren Bedingungen verträgliche, unendlich kleine Änderung bedeutet. Wenden wir diese Gleichung auf (56) an, so folgt:

$$(57) \quad \lambda_{i,p} d\mu = \sum_j \nu_j h_j(T, p) - R \log \lambda_i + \sum_j \nu_j d\mu_j(T, p) - R \log \lambda_j = 0.$$

Denn ist man im zweiten Glied $\lambda_{i,p} \nu_i(T, p) = 0$, weil ν_i nur von T und p abhängt; weiter ist:

$$R \log \lambda_i = \frac{1}{\lambda_i} d\lambda_i.$$

Betrachtet man nun, daß

$$\lambda_i = \frac{\lambda_i}{\sum_j \lambda_j} = \frac{\lambda_i}{1},$$

wenn wir hier oben ausdrücklich die Gesamtzahl der Gasmoleküle mit 1 bezeichnen, so nimmt das zweite Glied die Gestalt an:

$$- R \sum_j \frac{\lambda_j}{1} d\lambda_i = - R \sum_j d\lambda_i.$$

Da aber $\sum_j \lambda_j = 1$ nach der Definition der Konzentrationen — siehe Gl. (71b) des letzten Kapitels auf pag. 241 —, so ist $\sum_j d\lambda_j = 0$, und das ganze zweite Glied der rechten Seite von (57) verschwindet. Als Gleichgewichtsbedingung bleibt also einfach:

$$(58) \quad \sum_j \nu_j h_j(T, p) - R \log \lambda_i = 0.$$

In dieser Gleichung bedeutet λ_i die Veränderung der Anzahl der Gasmoleküle des i ten Elementars; man erkennt, daß es, weil die linke Seite gleich Null ist, gar nicht auf die Absolutwerte der ν_j ankommt, sondern nur auf ihre Verhältnisse. Denken wir uns daher die ganze Gl. (58) mit einem solchen Faktor λ multipliziert, daß die Größen $\lambda \nu_j = \nu_j$ solche ganze (positive oder negative) Zahlen werden, die direkt die Anzahlen der sich umsetzenden Gasmoleküle angeben, so können wir die Gleichgewichtsbedingung (58) schreiben:

$$(59) \quad \sum_j \nu_j h_j(T, p) - R \log \lambda_i \nu_i = 0,$$

oder:

$$(60) \quad \sum_j \nu_j h_j(T, p) \nu_j = R \sum_j \nu_j \log \lambda_i = R \sum_j \log \lambda_i^{\nu_j}.$$

Positiv fallen nun die Zahlen ν_j für diejenigen Indizes j aus, die Stoffe charakterisieren, die sich bei der virtuellen Umwandlung des Gleichgewichts vermehren (die „entstehen“, wie wir sagen wollen), negativ dagegen für solche Stoffe, die „verschwinden“, d. h. deren Molekül abnimmt. Wir wollen, um dies hervorzuheben zu lassen, eine etwas andere Bezeichnung einführen, indem wir die Absolutwerte der ν -Zahlen der entstehenden Stoffe mit einem kleinen Strich, die der verschwinden-

den mit zwei kleinen Strichen versehen, so daß wir die rechte Seite von (25) folgendermaßen schreiben können:

$$R \sum_i \log (K_i^{\prime\prime}) = R \sum_i \log \left(\frac{K_i^{\prime\prime}}{K_i^{\prime\prime 0}} \right),$$

oder, wenn wir (25) zunächst vertikal schreiben, mit Rücksicht auf (24) und (13):

$$(26) \quad \sum_i \left\{ \frac{\nu_i C_i}{2} \log T - \nu_i \log p + \frac{\nu_i D_i}{2} - \frac{\nu_i D_i}{2T} \right\} = \sum_i \log \left(\frac{K_i^{\prime\prime}}{K_i^{\prime\prime 0}} \right).$$

Führt man hier folgende Abkürzungen ein:

$$(27) \quad \left\{ \begin{array}{l} \sum \frac{\nu_i C_i}{2} = C, \\ \sum \nu_i = r, \\ \sum \frac{\nu_i D_i}{2} = \log B, \\ \sum \frac{\nu_i D_i}{2T} = A, \end{array} \right.$$

so kann man (26) schreiben:

$$(28) \quad C \log T - r \log p + \log B - \frac{A}{T} = \sum_i \log \left(\frac{K_i^{\prime\prime}}{K_i^{\prime\prime 0}} \right),$$

und wenn man von den Logarithmen zu den Nummern übergeht und durch $K_i^{\prime\prime 0}$ die Produktbildung über i andeutet:

$$(29) \quad \prod_i (K_i^{\prime\prime}) \left(\frac{K_i^{\prime\prime 0}}{K_i^{\prime\prime 0 0}} \right) = B A^{-\frac{A}{T}} T^C p^{-r} = K_1(T, p),$$

oder ausführlich geschrieben:

$$(29a) \quad \frac{K_1^{\prime\prime 0} \cdot K_2^{\prime\prime 0} \cdot K_3^{\prime\prime 0} \cdot \dots}{K_1^{\prime\prime 0 0} \cdot K_2^{\prime\prime 0 0} \cdot K_3^{\prime\prime 0 0} \cdot \dots} = K_1(T, p).$$

Der Index „1“ an $K(T, p)$ soll besagen, daß auf der linken Seite ein aus „Konzentrationen“ gebildeter Ausdruck steht, im Gegensatz zu einem vorher unter „Aktivitäten“ der analog aus den „Partialdrucken“ gebildet ist. Die Gleichungen (26), (28) oder (29a) stellen die explizite Form der Beziehung dar, die das thermisch-chemische Gleichgewicht in Gasgemischen betrachtet. Bei konstantem Druck p und konstanter Temperatur T ist die rechte Seite eine Konstante, die sogenannte „Gleichgewichtskonstante“, und wir haben speziell:

$$(29b) \quad \frac{K_1^{\prime\prime 0} \cdot K_2^{\prime\prime 0} \cdot \dots}{K_1^{\prime\prime 0 0} \cdot K_2^{\prime\prime 0 0} \cdot \dots} = \text{Const.}$$

Man kann diese Gleichung folgendermaßen formulieren: Eine ganz bestimmte Funktion der Konzentrationen der an der Reaktion beteiligten

Stoffe hat im Gleichgewichte bei gegebener Temperatur und gegebenem Drucke einen konstanten Wert. Nimmt man also aus einem im Gleichgewichte befindlichen Gemisch einen Stoff heraus, etwa den durch k_1 bezeichneten, so wird das Gleichgewicht gestört, die Reaktion verschiebt sich und ist erst dann beendet, wenn wieder Gl. (15) erfüllt ist; d. h. der Stoff k_1 bildet sich in bestimmter Maße neu.

Gl. (15) bzw. (15a) heißt das „Massenwirkungsgesetz“; es wurde zuerst von Goldberg und Waage im Jahre 1893 experimentell erkannt und formuliert.

In eine etwas andere Form kann man das Massenwirkungsgesetz bringen, indem man nach (15) statt der Konzentrationen k_i die Partialdrücke p_i einführt. Dann findet man die Gleichung:

$$(15c) \quad \frac{k_1^{c_1} k_2^{c_2} \dots k_n^{c_n}}{k_1^{c_1} k_2^{c_2} \dots k_n^{c_n}} = R e^{-\frac{A}{RT}} \quad K' = K_p(T),$$

wobei der Index p hier auf die Partialdrücke hinweist u. s. w. In dieser Form ist es für manche Folgerungen bequemer zu handeln.

Da die Konzentrationen bzw. Partialdrücke der verschiedenen Stoffe im Zähler, die der verschwindenden im Nenner stehen, so ist das Gleichgewicht um so mehr nach der Seite der entstehenden Produkte verschoben, je größer K bzw. K' ist. Auf diesem Punkte können wir in der nächsten Nummer noch ausführlich verweilen.

Beachten ist hier zu erkennen, daß wir wie früher behauptet haben, die Entropiekonstante ϵ und die Energiekonstante ϵ_0 völlig bekannte Werte haben müssen. Denn die letztere steht nach der letzten Gl. (14) in der Konstanten A , die erstens nach der dritten Gl. (21) in der Konstanten B . Beide aber müssen natürlich völlig bekannte Werte haben, da sonst das Gleichgewicht ja nicht bestimmt wäre. Aber dieser Wert wird durch die beiden Hauptätze ebenso wenig geliefert, wie der Wert der Gleichgewichtskonstanten K_1 bzw. K_p , die vielmehr durch Messung bestimmt werden müssen. Auf diese Frage gehen wir im nächsten Kapitel, bei Besprechung des Van't Hoff'schen Wärmeresultates, nochmals ein.

Bevor wir das Massenwirkungsgesetz mit der Erfahrung vergleichen, wollen wir die physikalische Bedeutung der in Gl. (20) definierten Konstanten A und C herstellen. Führen wir zu diesem Zwecke die oben eingeführte Bezeichnung, die die entstehenden Stoffe durch einen, die verschwindenden durch zwei oder diese Brüche charakterisiert, auch hier durch, so ist nach Gl. (20) für C zu schreiben:

$$C = \frac{1}{R} \left\{ \sum \epsilon_i C_{i1} - \sum \epsilon_i C_{i2} \right\}.$$

Darin bedeutet $\epsilon_i C_{i1}$ die Wärmekapazität der von dem i -ten Einzelgasmolekül gebildeten Mole, also ist $\sum \epsilon_i C_{i1}$ die gesamte Wärmekapazität der durch die Reaktion entstandenen Stoffe, ebenso $\sum \epsilon_i C_{i2}$ diejenige der durch die Reaktion verschwindenden. Die Größe C , die die Differenz

beider Ausdrücke übereinst, ist erfahrungsgemäß immer sehr klein und kann in vielen Fällen ohne erheblichen Fehler gleich Null gesetzt werden.

Die Konstante A steht (siehe C) in einem einfachen Zusammenhang mit der auf 1 Mol bezogenen Umwandlungswärme, die bei dem dv_p -Prozesse zugeführt werden muß. Denn nach dem ersten Hauptsatz ist dies ja gegeben durch:

$$(26) \quad \delta_{dv_p} Q = \delta_{dv_p} U + p \delta_{dv_p} V;$$

für δU und δV findet man aus (5) und (8):

$$(27) \quad \begin{cases} \delta_{dv_p} U = \sum_i (C_{v_i} T + a_i) dv_i, \\ \delta_{dv_p} V = \frac{dv_p}{p} \sum_i dv_i, \end{cases}$$

also folgt:

$$(28) \quad \delta_{dv_p} Q = \sum_i (C_{v_i} T + a_i + RT) dv_i.$$

Durch Multiplikation mit dem Faktor h führen wir rechts wieder die Größen $v_i = H v_i$ ein; dann ist $L = h \delta_{dv_p} Q$ die auf die Größen v_i bezogene Umwandlungswärme, und wir finden statt (28):

$$L = \sum_i (C_{v_i} T + a_i + RT) v_i.$$

oder, da $C_{v_i} = R + C_{v_i}$ ist:

$$L = \sum_i (C_{v_i} v_i T + a_i v_i);$$

oder endlich mit Rücksicht auf die Gl. (23), die die Definition von A und C enthält:

$$(29) \quad L = H(A + C T),$$

die sich in dem speziellen Falle, daß $C = 0$ ist, auf

$$L = H A$$

reduziert. In diesen Gleichungen ist L natürlich in Mg ausgedrückt, und zur Reduktion auf Kalorien ist mit $4,19 \cdot 10^7$ zu dividieren.

Im allgemeinen Falle ist $\frac{dL}{dT} = H C$, d. h. also, daß die Wärmewegung $-L$ des Prozesses von der Temperatur unabhängig ist, wenn $C = 0$ ist. Das ist in vollster Einklang mit der im zweiten Kapitel aus dem ersten Hauptsatz gefolgerten Relation (186) auf pag. 141; lediglich die Bezeichnungswerte ist ein wenig geändert. Die Bedeutung von A ist durch (29) völlig festgelegt. Fügen wir (29) in die ursprüngliche Form (24) des Mischwirkungssatzes ein, so erhalten wir, da $\frac{d}{dT} = \frac{L}{HT} + C$ ist:

$$(30) \quad C \log T = c \log p + \log B - \frac{h}{HT} + C = \sum_i \log \left(\frac{f_i^{\nu_i}}{g_i^{\nu_i}} \right) = \log E_i(T, p).$$

Differenziert man diese Gleichung bei konstantem p nach T , so erhält man eine zuerst von van't Hoff abgeleitete Beziehung, die die Abhängigkeit von $\log K$ von der Temperatur begründen zu übersetzen gestattet:

$$\frac{C}{T} + \frac{L}{RT^2} - \frac{1}{RT} \frac{dL}{dT} = \left(\frac{d \log K}{dT} \right)_p,$$

oder, da nach (20) $\frac{dL}{dT} = H_0$ ist, stattdes:

$$(31) \quad \left(\frac{d \log K_0}{dT} \right)_p = \frac{L}{RT^2}.$$

Die Abhängigkeit vom Druck ergibt sich ebenfalls sehr einfach zu:

$$(32) \quad \left(\frac{d \log K_0}{dp} \right)_T = - \frac{v}{p}.$$

Die Gl. (31), die nach dem Vorschlage von Kernaui als „Reaktions-enthalpie“ bezeichnet wird — im Gegensatz zu dem „Reaktions-enthalpiewert“ genannten Massenwirkungsgesetz — sagt in völliger Übereinstimmung mit dem allgemeinen Satze (22) des fünften Kapitels auf pag. 250 aus, daß der Temperatureinfluß auf das Gleichgewicht verschwindet, wenn $L = 0$ ist, d. h. keine Wärmezunahme bei dem betreffenden Prozesse auftritt; ebenso steht die aus (32) folgende Aussage, daß im Falle $v = 0$, d. h. wenn keine Verdrängung der Gase stattfindet, das Gleichgewicht unabhängig vom Druck ist, in vollkommener Einklänge mit der dort gezogenen Folgerung. Übrigens kann man beide Behauptungen auch aus Gl. (24) leicht ableiten.

Gl. (32) kann noch in eine etwas andere Gestalt gebracht werden, indem Gl. (2) herangezogen wird. Das Gesamtvolumen V ist danach:

$$V = \frac{RT}{p} \sum n_i,$$

also die Änderung von V bei konstantem T und p gleichmäßig mit $\sum n_i$ vergrößert, d. h. auf die Größen ν_i bezogen:

$$d_{T,p} V = \frac{RT}{p} \sum \nu_i = \frac{RT}{p} v.$$

Dementsprechend kann (32) auch geschrieben werden:

$$(33a) \quad \left(\frac{d \log K_0}{dp} \right)_T = - \frac{d_{T,p} V}{RT}.$$

Es ist also — wieder im Einklänge mit (25) des vorigen Kapitels — kein Druckeffekt vorhanden, wenn $d_{T,p} V$ gleich Null ist.

Wir haben oben die Aussagen der Gleichungen (31) und (32) in negativer Weise formuliert. Mehr positiv können wir sagen, daß $\log K_0$, und damit K_0 selbst, mit der Temperatur wächst, wenn L positiv, d. h. die Wärmezunahme $L' = -L$ negativ, d. h. wenn die Reaktion endotherm ist. Umgekehrt nimmt K_0 mit der Temperatur ab bei exothermen Vorgängen. Daraus folgt, da die beteiligten Stoffe im Hälter des Massenwirkungsgesetzes stehen, der Satz, daß die Bildung der unter Wärmezunahme

absorption entstehenden Stoffs durch Temperaturerhöhung begünstigt wird. Ein ganz analoges Bild folgt aus (82) bzw. (82a) für den Druckeffekt: Druckserhöhung begünstigt das Entstehen der unter Volumenverkleinerung entstehenden Stoffe.

65. Experimentelle Prüfung des Massenwirkungsgesetzes.

Von experimentellen Prüfungen des Massenwirkungsgesetzes wollen wir zunächst die technisch für die Schwefelsäurefabrikation wichtige, von Bodenstein und Pohl⁴⁾ untersuchte Bildung von SO_2 aus SO_3 und O_2 besprechen. Sie geschieht nach der Formel:



Wenn wir unsere alten Bezeichnungen wieder aufschreiben, so haben wir drei Arten von Molekülen zu unterscheiden, nämlich:

$$(83) \quad \begin{cases} v_1 \text{ Mol } \text{SO}_3, \\ v_2 \text{ Mol } \text{O}_2, \\ v_3 \text{ Mol } \text{SO}_2. \end{cases}$$

Der Umsatz geschieht nach der obigen Formel dergestalt, daß 2 Mole SO_3 und 1 Mol O_2 verschwinden (oder entstehen) und 2 Mole SO_2 entstehen (oder verschwinden), je nach der Richtung, in der der Prozeß vor sich geht. 2SO_2 bildet sich entweder aus 2 SO_3 und 1 O_2 , oder es zerfällt in diese beiden Stoffe; im Gleichgewichtszustande sind alle drei Molekülarten nebeneinander vorhanden. Wir können uns also etwas denken, so sei zunächst nur SO_3 vorhanden, und es tritt Schritt für Schritt so etwas so vor:

$$(84) \quad \begin{cases} v_1 = +2 \text{ (Bildung von 2 Molen } \text{SO}_3\text{)}, \\ v_2 = +1 \text{ „ „ 1 Mol } \text{O}_2\text{)}, \\ v_3 = -2 \text{ (Verschwinden von 2 Molen } \text{SO}_2\text{)}. \end{cases}$$

also ist:

$$(85a) \quad v = v_1 + v_2 + v_3 = +1.$$

Geht der Prozeß in umgekehrter Richtung vor sich, so drehen sich sämtliche Vorzeichen der v um.

Die Konzentrationen sind:

$$(86) \quad \begin{cases} k_1 = \frac{n_1}{n_1 + n_2 + n_3} (\text{SO}_3), \\ k_2 = \frac{n_2}{n_1 + n_2 + n_3} (\text{O}_2), \\ k_3 = \frac{n_3}{n_1 + n_2 + n_3} (\text{SO}_2). \end{cases}$$

Wie die Reaktion auch vor sich geht, stets bleibt dabei natürlich die Gesamtsumme der Molekülmoleme und die der Schwefelmoleme die-

⁴⁾ Bodenstein und Pohl, Zeits. f. Elektrochemie II, pag. 175, 1910.

weisen; sie verhalten sich nur verschieden auf die drei Gase. Die Anzahl der Kohlenstoffatome ist nach (33) offenbar gleich $(n_1 + n_2)$, die der Wasserstoffatome gleich $(2n_1 + 5n_2 + 3n_3)$; also lauten die Bedingungsgleichungen, denen die Reaktion dauernd unterworfen bleibt:

$$(34) \quad \begin{cases} n_1 + n_2 = \alpha, \\ 2n_1 + 5n_2 + 3n_3 = \beta, \end{cases}$$

wo α und β durch den willkürlichen Anfangszustand gegebene, positive Konstanten sind. Die Gleichungen (34) erlauben also, z. B. n_1 und n_2 durch n_3 , d. h. die Anzahl der Mole SO_2 , sowie α und β , auszudrücken.

Das Massenwirkungsgesetz (32) liefert uns nun folgend- Gleichgewichtsbedingung:

$$(35) \quad \frac{n_1 n_2}{n_3^2} = D T^{-\frac{4}{T}} p^{-1} = K_1(T, p).$$

Statt dieser können wir nach unser Benützung von (34) schreiben:

$$(36) \quad \frac{n_1 n_2}{\alpha(\alpha - n_1) + n_3} = K_1(T, p),$$

und hierin können, wie oben erwähnt, n_1 und n_2 durch n_3 , sowie α und β ausgedrückt werden. Man findet aus (34):

$$(37) \quad \begin{cases} n_1 = \alpha - n_3, \\ n_2 = \frac{1}{2}(\beta - \alpha) - n_3, \\ n_1 + n_2 + n_3 = \frac{1}{2}(\beta - \alpha). \end{cases}$$

Damit kann schließlich (36) geschrieben werden:

$$(38) \quad \frac{\alpha - n_3}{2} \frac{\beta - \alpha - 2n_3}{\beta - \alpha + n_3} = K_1(T, p).$$

Ist also K_1 bei bestimmten Werten von T und p experimentell bekannt, so liefert diese Gleichung — sie ist in Bezug auf n_3 vom dritten Grade — die Zahl der im Gleichgewichte vorhandenen Mole SO_2 , ausgedrückt durch die Anfangswerte α und β ; bestimmt man nun experimentell n_3 , so ist durch Vergleich mit (38) eine Prüfung des Massenwirkungsgesetzes möglich.

Bevor wir auf die Versuche von Bodenstein und Fohl eingehen, wollen wir noch folgende allgemeine Bemerkung einschalten. Wenn man zu den genannten Gasen SO_2 , SO_3 , O_2 noch ein viertes hinzufügt, das chemisch gegen diese indifferent ist, d. h. sich an der Reaktion nicht beteiligt, z. B. Stickstoff (N_2), so entsteht die Frage, was diese Hinzufügung für einen Einfluß besitzt. Vorausgesetzt ist dabei, daß T und p dauernd konstant bleiben; es ändert sich also dann jedenfalls das Gesamtverhältnis P der Gas Mischung. Nennen wir die Anzahl der zugefügten Mole Stickstoff etwa n_4 , so ändern sich die Konzentrationen n_i , die übergehen in $\frac{n_i}{n_1 + n_2 + n_3 + n_4}$, d. h. durch Hinzufügen eines neuen Gases verkleinern sich die Konzentrationen. Unverändert bleibt aber

dabei die Gleichgewichtskonstante K_2 , die ja nur von T und p abhängt. Legen wir der weiteren Diskussion diejenige Form des Massenwirkungsgesetzes zugrunde, die durch (38) gegeben ist, so haben wir vor der Zerlegung des indifferenten Gases:

$$\frac{d(n_2)}{dn_2} = K_2 (n_1 + n_2 + n_3) ,$$

nach deriviert:

$$\frac{p}{p_0} \frac{dp}{p} = K_2 (p_1 + p_2 + p_3 + p_4) ,$$

d. h. aber, da $K_2 (p_2 + p_3 + p_4 + p_4) > K_2 (p_1 + p_2 + p_3)$ ist, daß die Molzahl n_2 von SO_2 gegenüber n_1 und n_3 vergrößert wird, wobei aber, wie schon oben betont, die Gleichgewichtskonstante K_2 unverändert bleibt. In einem Falle übrigens ist die Hinzerlegung von indifferentem Gasen gänzlich ohne Rückfall, nämlich wenn $\alpha = 0$, wie man leicht erkennt.

Wir geben im folgenden zuerst eine Versuchsserie von Bodenstein und Fahl, die sich auf eine Temperatur von 1000° abs. und einen Druck gleich 1 Atm bezieht. Die Reihe besteht aus 14 Einzelversuchen, die unter verschiedenen Anfangsbedingungen, d. h. bei verschiedenen α und β , sowie mit und ohne Hinzerlegung von N_2 vorgenommen wurden.

Nr.	T	P in mm Hg.	$100 \alpha_1 + \alpha_2 + N_2$	Anfangs- verhältnis $\frac{\text{SO}_2}{\text{SO}_2 + \text{O}_2}$ molekul.	$n_1 \cdot 10^2$	$n_2 \cdot 10^2$	$n_3 \cdot 10^2$	$K_2 (T, p) \cdot 10^2$
1	1000	770	0,20:1:0	20,0	21,5	181	67,0	2,66
2	1000	764	0,26:1:0	26,0	189	248	220	2,660
3	1000	760	0,32:1:0	32,0	16,5	18,2	71,3	2,660
4	1000	761	1,14:1:0	44,6	219	30,3	174	2,636
5	1000	760	1,29:1:0	49,0	309	130	207	2,569
6	1000	760	1,23:1:0	42,8	260	89,7	123	2,61
7	1000	758	1,86:1:0	67,5	349	69,8	210	2,626
8	1000	758	1,86:1:0	67,1	363	44,3	146	2,616
9	1000	760	0,67:1:0	50,0	319	70,3	99,3	2,598
10	998	760	1,29:1:3,78	36,3	51,5	89,3	99,3	2,774
11	987	762	1,29:1:3,78	35,8	70,1	86,3	99,3	2,696
12	1000	770	1,21:1:3,78	24,2	889	109	115	2,608
13	1200	760	1,20:1:3,78	30,3	337	69,4	141	2,948
14	1000	760	0,22:1:0	22,4	178	94	818	2,598

Mittel: $K_2 = 2,66 \cdot 10^{-2}$

Die Bedeutung der drei ersten Spalten ist klar; bereits das vierte ist folgendes zu bemerken: Nach der Reaktionsgleichung



sind die äquivalenten Mengen SO_2 und O_2 solche zu benennen, die in denselben Gewichtverhältnissen zueinander stehen, wie 2 Mol SO_2 zu 1 Mol O_2 , d. h. im Gewichtverhältnis 158 : 32; die äquivalente Menge von

N_2 ist die Menge von 1 Mol, d. h. 28 gramm. In der vorhergehenden Tabelle soll

$$2SO_2 : O_2 : N_2 = 1 : 1 : 1$$

dargestellt werden, daß die zufänglich vorhandenen Mengen von SO_2 , O_2 und N_2 sich verhalten wie 28 : 8 : 28. Die vierte Spalte zeigt dann, daß bei den Versuchen kein nennenswerter äquivalenter Mangel gemessen wurde; vielmehr wurden die Verhältnisse stark variiert. Zur Erläuterung der fünften Spalte dieses folgenden: Als „Ausbeute“ oder „chemischen Koeffizienten“ bezeichnet man den Quotienten $\frac{SO_2 \text{ abgibt}}{SO_2 \text{ zugeht}}$, d. h. das Verhältnis von gebildeten SO_2 zu der zufänglich vorhandenen Menge SO_2 ; in der fünften Spalte ist die „Ausbeute“ in Prozenten angegeben. Die folgenden Spalten sind ohne weitere Erläuterung verständlich.

Man sieht nun zunächst folgendes: In der Tat erscheint sich die Gleichgewichtskonstante K_p innerhalb der Versuchsdiskrepanz als völlig konstant. Insbesondere ist K_p auch unabhängig von der Hinzufügung von N_2 . Dagegen sieht man leicht, daß die „Ausbeute“ durch Zusatz von N_2 zurückgeht. Sie beträgt z. B. im Versuch 6 nur 45%, in den Versuchen 10 und 11, die von gleichen Mengen SO_2 und O_2 ausgingen, aber mit N_2 nur etwa 53%.

Ferner erkennt man, durch Vergleich der Versuche ohne N_2 , daß die „Ausbeute“ um so größer ist, je kleiner das Verhältnis $SO_2 : O_2$, d. h. je größer die zufängliche Sauerstoffkonzentration gegenüber der von SO_2 ist. Das ist in der Tat leicht aus Gl. (37) zu entnehmen. Denn danach ist je das Verhältnis der SO_2 -Konzentration zur O_2 -Konzentration

$$\frac{b}{x} = \sqrt{\frac{K_p}{x_0 - K_p}}$$

d. h. um so größer, je größer x_0 , die Sauerstoffkonzentration ist. Es ist also keineswegs ein gunstiges, von äquivalenten Mengen 2 SO_2 und 1 O_2 ausgehen, wie man früher glaubte, und die Tatsache hat zwar aus dem Massenwirkungsgesetz folgendes Ergebnis, daß die Sauerstoffkonzentration möglichst groß zu wählen ist, erst nach vielen und mühevollen Versuchen und Überlegen erkannt.

In der folgenden Tabelle stellen wir die Ergebnisse zusammen, die Rudenstein und Pohl durch Messung bei verschiedenen Temperaturen beim Druck von 1 Atmosphäre erhielten.

T	K_p
600° abn.	$1,76 \cdot 10^{-4}$
550	$6,54 \cdot 10^{-5}$
500	$2,46 \cdot 10^{-5}$
450	$8,50 \cdot 10^{-6}$
350	$2,55 \cdot 10^{-7}$
300	1,06
1100	2,58
1150	6,18

Man sieht, daß die Gleichgewichtskonstante K_2 mit der Temperatur außerordentlich ansteigt, d. h. nach unserem allgemeinen Auseinanderrennen in der vorhergehenden Nummer, daß die Konzentration von SO_2 mit steigender Temperatur immer kleiner wird, wie es auch durch die Erfahrung entspricht.

Da wir K_2 numerisch bei verschiedenen Temperaturen kennen, so lassen wir in der Gleichung

$$K_2(T, p) = B e^{-\frac{A}{T}} T^C p^{-1}$$

die Größen A , B , C bestimmen. Da p bei allen Versuchen konstant war, ist p^{-1} ebenfalls, und wir können zusammenfassend $B p^{-1} = e^B$ setzen, wodurch wir die nun Bedingung bequemere Form erhalten:

$$\log K_2(T, p) = B' - \frac{A}{T} + C \log T.$$

Die Bedingung ergibt aus den angegebenen Daten:

$$(41) \quad \begin{cases} B' = 11.177, \\ C = 0.76, \\ A = 21187. \end{cases}$$

wobei K_2 sich darstellt (als natürlich beim Druck von 1 Atmosphäre) als:

$$(42) \quad K_2 = e^{11.177} T^{0.76} e^{-\frac{21187}{T}} T^{0.76}.$$

Nach (39) ergibt sich für die von außen zuzuführende Umwandlungsenergie, bezogen auf 2 Mol SO_2 , der Wert:

$$L = R(A + C T) = 8.31 \cdot 10^3 (21187 + 0.76 T) \text{ Erg.}$$

oder in Kalorien, nach Division mit $4.19 \cdot 10^3$:

$$(43) \quad L = 1965 (21187 + 0.76 T) \text{ cal.}$$

Für $T = 800^\circ \text{ abs.}$ (Zimmertemperatur) ergibt sich daraus:

$$L = 42413 \text{ cal.}$$

während experimentell von Thomsen gefunden wurde:

$$L = 41643 \text{ cal.}$$

und von Berthelot:

$$L = 45208 \text{ cal.}$$

Im Mittel also 42400 cal; das stimmt hinreichend genau mit dem theoretisch verlangten Wert.²⁾ Aus (43) ergibt man ferner, daß

$$\frac{dL}{dT} = 0.76 \cdot 1965 = 1.48 \text{ cal.}$$

²⁾ Die hier angegebenen Zahlen, sind neben den bei Berthelot und Fehé, wo teils auf nicht ganz genauer Rechnung bei diesen beruht, teils auch darauf, daß wir hier eine andere Definition der Wärmekonzentration benutzten als diese Autoren, was den Reizwert von R' beeinflußt.

ist, d. h. daß die Umwandlungswärme pro 100° um 140 Kalorien zunimmt, also nur schwach variabel ist. Gleichzeitig sieht man bestätigt, daß C hier, wie im allgemeinen, klein ist.

Man versucht Hydrostein noch eine andere genaue Bestätigung des Massenwirkungsgesetzes durch die Untersuchung der Zusammensetzung der Zersetzungsstufen, die nach der Reaktionsgleichung



vor sich geht. Hier haben wir ebenfalls drei Arten von Molekülen zu unterscheiden:

$$(44) \quad \begin{cases} n_1 \text{ Mole } \text{I}_2, \\ n_2 \text{ Mole } \text{H}_2, \\ n_3 \text{ Mole } 2\text{HI}. \end{cases}$$

Es seien sind die sich unterscheidenden Moleküle:

$$(45) \quad \begin{cases} r_1 = -1, \\ r_2 = -1, \\ r_3 = -2. \end{cases}$$

also:

$$(46) \quad r = r_1 - r_2 - r_3 = 0.$$

Das Massenwirkungsgesetz lautet also hier die einfache Form an:

$$(47) \quad \frac{d_1 d_2}{d_3^2} = A e^{-\frac{Q}{RT}} = K_1 \cdot (T).$$

Das Gleichgewicht ist hier von Drucke — und von der Zersetzung indifferenten Gase, was ja theoretisch auf dasselbe hinauskommt — gänzlich unabhängig, was von Bodenstein in diesem Falle besonders konstatiert wurde. Führt man statt der Konzentrationen die Größen n_1, n_2, n_3 ein, so kann Gl. (47) geschrieben werden:

$$(47a) \quad \frac{n_1 n_2}{n_3^2} = K_1.$$

Die äußeren Reaktionsgleichungen (konstante Zahl von I-Atomen und von H-Atomen) sind hier:

$$(48) \quad \begin{cases} 2n_1 + n_3 = \alpha \text{ (Zahl der I-Atome)}, \\ 2n_2 + n_3 = \beta \text{ (Zahl der H-Atome)}. \end{cases}$$

Daraus folgt:

$$\begin{cases} n_1 = \frac{\alpha - n_3}{2}, \\ n_2 = \frac{\beta - n_3}{2}, \end{cases}$$

also aus (47a):

$$\frac{(\alpha - n_3)(\beta - n_3)}{4n_3^2} = K_1$$

oder zur Bestimmung von α_2 aus beliebigen Werten α und β die quadratische Gleichung:

$$\alpha_2^2 - \frac{\alpha - \beta}{1 - 4K_2} \alpha_2 + \frac{\alpha\beta}{1 - 4K_2} = 0,$$

woraus:

$$\alpha_2 = \alpha_1 = \frac{\alpha - \beta}{2(1 - 4K_2)} \pm \frac{1}{2(1 - 4K_2)} \sqrt{(\alpha + \beta)^2 - 4\alpha\beta(1 - 4K_2)}$$

folgt. Das positive Vorzeichen der Wurzel genügt einer der Gleichung, ist aber physikalisch unzulässig, da es Werte von $\alpha_2 > \alpha$ liefert, was nach (16) unmöglich ist.

Bedenken sind z. B. bei Erhitzung von JH in Quecksilberdampf folgende Werte¹⁾:

α	β	$\frac{2\alpha_1}{\text{mol.}}$	$\frac{2\alpha_2}{\text{mol. u. JH}}$	Differenz
5,28	6,58	6,65	6,68	+ 0,04
5,51	6,44	6,80	6,83	+ 0,03
5,66	6,40	11,68	11,68	= 0,00
56,35	6,45	10,51	15,46	- 6,95
25,65	6,38	11,88	15,17	- 6,18
25,58	6,28	12,66	12,71	- 6,05

Das bedeutet wieder eine vollkommene Bestätigung der Aussagen der Massenwirkungstheorie.

Eine technisch hervorragende wichtige Anwendung des Massenwirkungsgesetzes sei hier noch erwähnt. Das Verfahren von Haber, Ammoniak darzustellen, geht aus von der Reaktionsgleichung:



Das Massenwirkungsgesetz liefert daher die Aussage:

$$\frac{1}{V_1} \frac{1}{V_2} = K_1 = 2^2 \alpha^{-2} \beta^3 \gamma^{-2} \rho^{-2},$$

da $\nu = \nu_1 + \nu_2 + \nu_3 = +2$ ist. Steigt daher der Druck auf das ν -fache, so sinkt K auf den α^ν -ten Teil, und in demselben Verhältnisse ($\alpha^2:1$) hat sich das Gleichgewichtsverhältnis der Ammoniakkonzentration k_3 verschoben. Darauf beruht es, daß man in prakt. diese Umstellung bei Drucken von mehreren Hundert Atmosphären vor sich gehen läßt.

Das Massenwirkungsgesetz findet auch Anwendung auf die chemische Dissoziation von Gasen, z. B. auf die von J_2 in $\text{J} + \text{J}$, oder von Wasserdampf $2\text{H}_2\text{O}$ in $2\text{H}_2 + \text{O}_2$. Auch hier hat sich dasselbe stets bestätigt. Für die Einzelheiten sei der Leser auf die Lehrbücher der theoretischen Chemie, z. B. auf das Werk von Nernst, verwiesen.

¹⁾ Stann nach Nernst, Theor. Chemie, 2. Aufl., pag. 451.

46. Anwendung des Massenwirkungsgesetzes auf das Gleichgewicht heterogener Stoffgemische.

Es ist, wie kurz gezeigt werden soll, möglich, das Massenwirkungsgesetz auch auf das Gleichgewicht in geordneten heterogenen Systemen anzuwenden. Betrachten wir z. B. die thermische Dissoziation des CaCO_3 , so haben wir Gleichgewicht zwischen den Stoffen:



Dabei haben wir bisher — was streng genommen nicht zutrifft — die Gasphase als nur aus CO_2 -Dampf bestehend angenommen. In Wirklichkeit wird jedoch auch CaCO_3 -Dampf und CaO -Dampf vorhanden sein, jeder mit dem im allgemeinen sehr kleinen Partialdruck, wie er dem Sättigungsdruck der betreffenden Temperatur entspricht. Damit also wirklich thermisch-chemisches Gleichgewicht vorhanden sei, muß auch das Dampfgleichgewicht aus CaCO_3 , CaO und CO_2 -Dampf bei sich im Gleichgewicht sein. Dabei aber gilt das Massenwirkungsgesetz, wenn in der Form (25a), in der die Partialdrücke eingeführt sind, und wir haben:

$$\frac{p_{\text{CaO}} \cdot p_{\text{CO}_2}}{p_{\text{CaCO}_3}} = K_p(T).$$

Nach der Phasenregel sind nun sowohl p_{CaO} als auch p_{CaCO_3} lediglich Funktionen der Temperatur, also folgt aus der letzten Gleichung, daß p_{CO_2} , der Druck der Kohlendioxid im Gleichgewicht mit CaCO_3 und CaO , lediglich von der Temperatur abhängt, bei gegebener Temperatur also eine Konstante ist. Das ist aber unser altes Resultat. Erinnern Sie sich hier das Massenwirkungsgesetz also nicht an, aber es versteht sich aus dem Ergebnis. Man kann so allgemein, wenn es sich um das Gleichgewicht in einem heterogenen System handelt, das eine Gasphase enthält, das Massenwirkungsgesetz ansetzen, wobei die Partialdrücke der festen oder flüssigen Stoffe als Temperaturfunktionen bzw. bei konstanter Temperatur als Konstante behandelt werden. Es bleibt dann eine Aussage über die Partialdrücke bzw. die Konzentrationen derjenigen Stoffe übrig, die nur in der Gasphase enthalten sind, im obigen Falle also nur eine solche über den Partialdruck der Kohlendioxid.

Als einfachstes Beispiel einer Reaktion zwischen flüssigen und gasförmigen Stoffen können wir z. B. die Verdampfung von Wasser nehmen. Hier ist im Gleichgewicht auf Grund der obigen Erweiterung des Massenwirkungsgesetzes der Partialdruck $p_{\text{H}_2\text{O}}$ nach (25a) gleich $K_p(T)$ zu setzen; also folgt, wenn man für K_p seinen Wert einsetzt:

$$(26) \quad p_{\text{H}_2\text{O}} = B e^{-\frac{H}{RT}}.$$

Auch diese Gleichung kann nichts Neues bieten; sie muß den Dampfdruck des Wassers darstellen, wenn für denselben die Gesetze der idealen Gase als gültig angenommen werden. In der Tat hatten wir nach der

Clausius-Clapeyron'schen Gleichung, wenn wir jetzt alles auf Mol beziehen:

$$L = T \frac{dP}{dT} v'',$$

wo v'' das Volumen von einem Mol Wasserdampf bedeutet, und v' , das Volumen von einem Mol flüssigen Wassers, vernachlässigt worden ist. Für v'' gilt aber nach den idealen Gasgesetzen: $v'' = \frac{RT}{P}$, also folgt weiter:

$$L = RT^2 \frac{d}{dT} \log P.$$

Setzen wir schließlich noch nach Gl. (38) $L = R(A + CT)$, so ergibt sich für $\frac{d \log P}{dT}$:

$$\frac{d}{dT} \log P = \frac{A}{T^2} + \frac{C}{T},$$

was integriert die Gl. (38) liefert.

Neue Ergebnisse kann bei Reaktionen im heterogenen System das Massenwirkungsgesetz nur liefern, wenn die Gasphase aus mehreren miteinander reagierenden Gasen besteht; theoretisch ist dies freilich immer der Fall, aber in den bisher betrachteten Fällen war doch praktisch eben nur ein einziges Gas darin vorhanden. Ein Fall indessen, wo tatsächlich drei Gase in der Gasphase auftreten, die miteinander Reaktionen eingehen, liegt bei der Reaktion zwischen Wasserdampf und festem Kohlenstoff vor, die nach der Gleichung vor sich geht:



Machen wir hier das Massenwirkungsgesetz in der Form (38c) an, so folgt zunächst:

$$\frac{p_{CO} p_{H_2}}{p_C p_{H_2O}} = K_p(T),$$

oder, wenn nach dem Teilprinzipien p_C , der Sublimationsdruck des Kohlenstoffes, als reine Temperaturfunktion $q(T)$ ausgedr. wird:

$$(44) \quad \frac{p_{CO} p_{H_2}}{p_{H_2O}} = q(T) \cdot K_p(T) = K_p'(T).$$

Für jede feste Temperatur liefert diese Gleichung eine ganz bestimmte Aussage des Massenwirkungsgesetzes, indem der links stehende, aus den Partialdrücken der gasförmigen Bestandteile gebildete Ausdruck eine Konstante sein muß. Man kann ferner leicht zeigen, daß $K_p'(T)$ genau dieselbe Temperaturfunktion ist, wie das ursprüngliche $K_p(T)$, nur mit andern Konstanten. Denn wenn wir die Sublimationswärme des Kohlenstoffes pro Mol mit L_s bezeichnen, so ist nach der Clausius-Clapeyron'schen Gleichung, wenn das Volumen v_s des festen Kohlenstoffes neben dem v' des gasförmigen vernachlässigt wird:

$$L_s = T \frac{dP_s}{dT} v_s''$$

und bei Annahme der Gültigkeit der Gasequation:

$$L_1 = T^2 R \frac{d}{dT} \log p_1.$$

Setzt man ferner gemäß (23c)

$$L_1 = (A_1 + C_1 T) R,$$

so ist $A_1 R$ die Sublimationswärme pro Mol Kohlenstoff beim absoluten Nullpunkt und $C_1 R$ deren Temperaturkoeffizienten bezeichnend, so haben wir, ganz genau so, wie vorher beim H₂O-Gesetz:

$$(24) \quad p_1 = \varphi(T) = A_1 e^{\frac{A_1}{RT}} T^{C_1}.$$

Entwickeln wir nun aus (24) die allgemeine Form für $K_p(T)$, so liefert (21) mit (23):

$$\frac{p_1^2 p_{H_2O}}{p_{H_2}} = A_1 e^{-\frac{A_1}{T}} T^{C_1} R_1 e^{-\frac{A_2}{T}} T^{C_2}$$

oder:

$$\frac{p_1^2 p_{H_2O}}{p_{H_2}} = (A_1 R_1) e^{-\frac{A_1 + A_2}{T}} T^{C_1 + C_2},$$

und schließlich in leicht verständlicher Bezeichnung:

$$(25) \quad \frac{p_1^2 p_{H_2O}}{p_{H_2}} = B e^{-\frac{Q}{T}} T^i,$$

was wieder die alte Form von $K_p(T)$ ist, nur mit anderen Konstanten.

$B(e + CT) = Q$ stellt offenbar die Summe aus der Sublimationswärme L_1 des Kohlenstoffs und der Reaktionswärme L dar: $-L$ ist also die tatsächlich beobachtete Wärmetönung, wenn man H₂O-Gas auf festes C einwirken läßt.

Tatsächlich gelten die obigen Gleichungen nur insofern, als die ideale Gasgleichung den Zustand darstellt.

70. Beispiel, Entropie, isotherm-isobares Potential für verdünnte Lösungen.

Außer für ideale Gase ist die explizite Aufstellung des isotherm-isobaren Potentials nur noch für eine besondere Klasse von Systemen gelungen, für die verdünnte Lösungen. Dementsprechend nennt man Lösungen, bei denen die Molekül n_1 eines in der verdünnten Stoffe als Lösungsmittel, letztere die gelösten Stoffe; zwischen ihnen besteht aber nur ein quantitativer, kein qualitativer Unterschied. Die Gesamtzahl n der Mole ist demnach:

$$(26) \quad n = n_1 + n_2 + n_3 + \dots = \sum_i n_i = n_1.$$

Der Aggregatzustand der Lösung ist klar, wie besonders betont zu werden verdient, ganz irrelevant; er kann gasförmig, flüssig oder auch fest sein.

Sind mehrere Lösungen nebeneinander im Gleichgewichte vorhanden, oder ist eine in Berührung mit einer Gasphase, so entstehen wir den obigen Gesetzen nach einem oberen Phasenindex μ ; dann muß also für jede Phase gelten:

$$(42) \quad v^{\mu} = \sum_{\beta} v_{\beta}^{\mu} = v_{\beta}^{\mu}, \quad (\mu = 1, 2, \dots, \beta),$$

wo v^{μ} die gesamte Molzahl der μ -ten Phase bedeutet und β die Anzahl der Phasen ist.

Die besondere Einfachheit der Folgerungen, die sich für verdünnte Lösungen ergeben werden, beruht nun darauf, daß man Energie U^{μ} und Volumen V^{μ} jeder verdünnten Lösung nach Planck als eine lineare Funktion der Ionen x_i^{μ} betrachten kann.

In der Tat: die Energie $\frac{U^{\mu}}{v^{\mu}}$ pro Mol des Lösungsmittels hängt — außer von Druck und Temperatur — offenbar nur ab von den Verhältnissen $x_1^{\mu}, x_2^{\mu}, x_3^{\mu}, \dots$, d. h. lediglich von der inneren Beschaffenheit der Lösung; ebenso das Volumen pro Mol des Lösungsmittels, so daß wir allgemein für jede Lösung μ eine Entwicklung nach Taylor von der folgenden Form ansetzen können:

$$(43) \quad \frac{U^{\mu}}{v^{\mu}} = \sum_{\beta} U_{\beta}^{\mu} \cdot \left(\frac{x_{\beta}^{\mu}}{x_1^{\mu}} \right) + \sum_{\beta} \sum_{\gamma} U_{\beta\gamma}^{\mu} \cdot \left(\frac{x_{\beta}^{\mu} x_{\gamma}^{\mu}}{x_1^{\mu} x_1^{\mu}} \right) + \dots$$

$$(44) \quad \frac{V^{\mu}}{v^{\mu}} = \sum_{\beta} V_{\beta}^{\mu} \cdot \left(\frac{x_{\beta}^{\mu}}{x_1^{\mu}} \right) + \sum_{\beta} \sum_{\gamma} V_{\beta\gamma}^{\mu} \cdot \left(\frac{x_{\beta}^{\mu} x_{\gamma}^{\mu}}{x_1^{\mu} x_1^{\mu}} \right) + \dots$$

Denn hängen die Glieder U_{β}^{μ} , $U_{\beta\gamma}^{\mu}$, $U_{\beta\gamma\delta}^{\mu}$, V_{β}^{μ} , $V_{\beta\gamma}^{\mu}$, $V_{\beta\gamma\delta}^{\mu}$, ... natürlich nicht mehr von den x_i^{μ} ab, sondern sind lediglich Funktionen von Druck und Temperatur, die natürlich durch die Natur der betreffenden Stoffe bedingt sind. Z. B. ist U_{β}^{μ} lediglich abhängig außer von T und p von der Natur des Lösungsmittels, U_{β}^{μ} von der des Lösungsmittels und der des gelösten Stoffes mit Index β usw., $U_{\beta\gamma}^{\mu}$ hängt ebenso ab von der gegenseitigen Einwirkung der Moleküle des gelösten Stoffes β aufeinander, usw.

Wegen der Kleinheit der Größen $\frac{x_2^{\mu} x_3^{\mu}}{x_1^{\mu}}, \dots$ dürfen wir uns bei verdünnten Lösungen auf die ersten Glieder beschränken²⁾ und er-

²⁾ Für nicht hinreichend verdünnte Lösungen müssen natürlich die höheren Glieder berücksichtigt werden. Einen Versuch in dieser Richtung hat Debye (Zurichs Z. phys. Chemie, 85, pag. 488, 1935; Annen 41, pag. 137, 1935) gemacht. Man vergleiche ebenfalls zu dieser Frage die Ausführungen von Nernst, Zur Theorie der Lösungen, 1888, 89, pag. 417, 1905.

halten so: für die Entropie $C^{(s)}$ und das Volumen $V^{(s)}$ der s -ten Phase die Darstellung:

$$(37) \quad C^{(s)} = \sum_{i=1}^k a_i^{(s)} V_i^{(s)},$$

$$(38) \quad V^{(s)} = \sum_{i=1}^k a_i^{(s)} V_i^{(s)}.$$

Damit ist nun auch sofort die entsprechende Darstellung der Entropie $S^{(s)}$ dieser Phase gegeben; denn nach der allgemeinen Definition derselben

$$dS = \frac{dC}{T} = p \frac{dC}{pT}$$

haben wir hier:

$$(39) \quad dS^{(s)} = \frac{dC^{(s)}}{T} = p \frac{dC^{(s)}}{pT} = \sum_{i=1}^k a_i^{(s)} \frac{dC^{(s)} = p dV^{(s)}}{T}.$$

Darin können wir die Größen

$$(40) \quad \frac{dC^{(s)} = p dV^{(s)}}{T} = d\gamma_i^{(s)}$$

offenbar als Definitionen für die „spezifischen Entropien“¹⁾ per Molekulen, die ganz den Begriffen $C^{(s)}$ und $V^{(s)}$ analog gelte, fest. Nach (37) und (38) haben wir weiter:

$$dS^{(s)} = \sum_{i=1}^k a_i^{(s)} d\gamma_i^{(s)},$$

oder integriert:

$$(41) \quad S^{(s)} = \sum_{i=1}^k a_i^{(s)} \cdot \gamma_i^{(s)} = C^{(s)} \cdot \gamma^{(s)},$$

worin die Größe $C^{(s)}$ zwar konstant in Bezug auf T und p ist, aber noch von den Molekulen $a_i^{(s)}$ abhängen wird. Die Bestimmung dieser Abhängigkeit ist die jetzt zu lösende Aufgabe.

Planck hat dieses Problem mittels einer einfachen, doch keinen Gedankens benötigt. Er denkt sich das System auf so hohe Temperatur und so geringen Druck gebracht, daß alle Stoffe in den idealen Gaszustand übergehen, wobei die Größen $a_i^{(s)}$ unverändert bleiben sollen. Dann muß $S^{(s)}$ identisch werden mit dem Ausdruck (18) für die Entropie eines Gemisches idealer Gase und durch Vergleich von (41) und (18) läßt sich dann $C^{(s)}$ bestimmen.

Bevor wir diese Bestimmung ausführen, wollen wir den geschilderten Prozeß etwas genauer analysieren. Vor allen Dingen ist zu beachten, daß die unabhängigen Variablen²⁾ unseres Systems p , T und die Größen $a_i^{(s)}$ sind. Es besteht also, da diese dem Begriff der unabhängigen Variablen

gewiß willkürlich gewählt werden können, vom mathematischen Standpunkte jedoch kein Bedenken gegen den obigen Prozeß, bei dem die α_i^0 , d. h. die Teil der Variablen, konstant gehalten werden und nur T und p sich verändern sollen.

An dieser muß man aber betrachten, daß die Ausführung dieses Prozesses durch labile Zustände hindurchläuft. Denn im allgemeinen werden die stabilen Zustände mit Änderung von α_i^0 verbunden sein. Es ist also jedenfalls nur ein Gedankenexperiment, das wir hier im Anschluß an Planck vorstellen wollen. Daraus aber kann noch kein Einwand hergeleitet werden, denn solche Gedankenexperimente (u. B. die quasistatischen Prozesse) sind ja durch ihre Erfolge in der Thermodynamik längst legitimiert. Einen ähnlichen Prozeß, der nach u. T. durch labile Zustände hindurchläuft, haben wir am Ende des Nummer 30 betrachtet (vgl. Fig. 21), um die sogenannte Maxwell'sche Regel zur Bestimmung des Koexistenzdruckes zu gewinnen. Der hier betrachtete Prozeß ist nur eine Ausdehnung und Verallgemeinerung desselben Gedankens im Uebermaß, wie Planck mit Recht hervorgehoben hat. Es kann also kein grundsätzlicher Einwand gegen die Zulässigkeit solcher Prozesse gemacht werden: der Erfolg allein entscheidet, wie überall in der Naturwissenschaft.

Oben wir nun zur Berechnung von $C^{(p)}$ über. Nach (18) finden wir für die Entropie eines kleinen Gasquantums, wenn wir den hier notwendigen Phasenindex hinzusetzen:

$$(19) \quad S^{(p)} = \sum_i n_i^0 \left[k_1^0 \log T - R \log p + k_1^0 \right] - R \sum_i n_i^0 \log k_i^0,$$

wobei die k_i^0 die Konzentrationen der einzelnen Molekülsorten in der p -ten Phase und die k_1^0 absolute Konstanten (die Entropiekonstanten) sind. Der Vergleich zwischen (18) und (19) ergibt demnach das Resultat:

$$(20) \quad C^{(p)} = - R \sum_i n_i^0 \log k_i^0.$$

Dementselbe erhält man nach (22) für die Entropie $S^{(p)}$ der p -ten Phase:

$$(21) \quad S^{(p)} = \sum_i n_i^0 \left[k_i^0 - R \log k_i^0 \right].$$

Da nunmehr $C^{(p)}$ und $S^{(p)}$ bekannt sind, können wir das thermodynamische Potential $\Phi^{(p)}$ dieser Phase bilden:

$$(22) \quad \Phi^{(p)} = S^{(p)} - \frac{U^{(p)} + pV^{(p)}}{T} = \sum_i n_i^0 \left[k_i^0 - R \log k_i^0 - \frac{U_i^0 + pV_i^0}{T} \right].$$

Bsteht das System aus β Phasen, u. B. mehreren Lösungen nebeneinander im Gleichgewicht, so erhält man das Gesamt-potential Φ durch Summation über die einzelnen $\Phi^{(p)}$:

$$(23) \quad \Phi = \sum_p \Phi^{(p)} = \sum_p \sum_i n_i^0 \left[k_i^0 - \frac{U_i^0 + pV_i^0}{T} - R \log k_i^0 \right].$$

Darin können wir auch

$$\pi_i^* = \frac{F_i^* - RT \ln \pi_i^*}{T} = \Phi_i^*$$

setzen, wo Φ_i^* das Potential pro Mol der i -ten Teilchenart in der festen Phase darstellt. Also wird schließlich das Gesamtpotential:

$$(10) \quad \Phi = \sum_i \sum_j v_i^* [\Phi_i^* - R \ln \pi_i^*],$$

Dieser Ausdruck gestattet unmittelbar, die Bedingungen für das thermodynamische Gleichgewicht aufzustellen.

71. Das thermodynamische Gleichgewicht in Lösungen; das Massenwirkungsgesetz.

Die Bedingung des Gleichgewichtes in einem System variabler Lösungen ist, wie bekannt:

$$\delta_{T,p} \Phi = 0.$$

Angewandt auf ein System aus variablen Lösungen ergibt sich nach (10):

$$(11) \quad \delta_{T,p} \Phi = \sum_i \sum_j v_i^* [\delta \Phi_i^* - R \ln \pi_i^*] \delta v_i^* = 0,$$

da die Variation des geschweiften Klammers, wie in No. 67, verschwindet. Man sieht auch hier, wie in Gl. (10), daß es nicht auf die absoluten Werte des $\ln \pi$ ankommt, da die rechte Seite gleich Null ist. Man kann also wieder mit einem solchen Faktor k multiplizieren, daß die $\ln \pi$ durch $k \ln \pi = \ln \pi^*$ die sich auswertenden Werte bedeuten, k kann positive oder negative Zahlen werden. Dann läßt Φ sich schreiben:

$$(12) \quad \sum_i \sum_j v_i^* \log [\pi^*] = \frac{1}{R} \sum_i \sum_j v_i^* \Phi_i^* = \log K_1(T, p),$$

wobei $\log K_1(T, p)$ eine passende Abkürzung für die rechte Seite ist, die nur von diesen beiden Variablen abhängt. Geht man von den Logarithmen zu den Numeris über und bezeichnet durch $R_{1,p}$ eine Produktbildung über 1 und p , so folgt:

$$(13) \quad R_{1,p}(\pi^*) = K_1(T, p),$$

als direktes Analogon zur Gl. (10) und ihre Verallgemeinerung für beliebig viele Phasen. Wie dort, nennt man auch hier diese Gleichung das Massenwirkungsgesetz; ist die Anzahl der Phasen gleich 1, d. h. haben wir es nur mit einer und einer geordneten Lösung zu tun, so geht sie direkt in (10) über.

Auch Temperatur- und Druckabhängigkeit von $\log K_1$ gehorchen ganz analogen Gleichungen, wie wir sie bereits in den Gleichungen (14)

und (82) bzw. (83a) gelöst werden können. Wenn differenziert man in (70) $\log K_0$ nach T bei konstantem p , so folgt zunächst:

$$\left(\frac{\partial \log K_0}{\partial T}\right)_p = \frac{1}{R} \sum_i \sum_j v_i^0 v_j^0 \left(\frac{\partial \log v_i^0}{\partial T}\right)_p,$$

und wenn man die allgemeingültige thermodynamische Beziehung [OL (73) des dritten Kapitels auf pag. 179]

$$\left(\frac{\partial \log v_i^0}{\partial T}\right)_p = \frac{U_i^0 + p V_i^0}{RT^2}$$

benutzt, so

$$(71) \quad \left(\frac{\partial \log K_0}{\partial T}\right)_p = \frac{1}{RT^2} \sum_i \sum_j v_i^0 v_j^0 (U_i^0 + p V_i^0).$$

Nun ist aber nach (88) und (89) die Gesamtenergie U und das Gesamtvolumen V gegeben durch:

$$U = \sum_i U^0 = \sum_i \sum_j v_i^0 v_j^0 U_i^0,$$

$$V = \sum_i V^0 = \sum_i \sum_j v_i^0 v_j^0 V_i^0,$$

woraus sich bei $\partial_{T,p} U$ und $\partial_{T,p} V$ ergibt, wenn man gleichzeitig mit dem Faktor $\frac{1}{RT^2}$ multipliziert, d. h. also auf die sich ersetzenden Multipliken v_i^0 bezieht:

$$(72) \quad \begin{cases} \partial_{T,p} U = \sum_i \sum_j v_i^0 v_j^0 U_i^0, \\ \partial_{T,p} V = \sum_i \sum_j v_i^0 v_j^0 V_i^0. \end{cases}$$

Setzt man dies in (71) ein, so folgt:

$$\left(\frac{\partial \log K_0}{\partial T}\right)_p = \frac{1}{RT^2} (\partial_{T,p} U + p \partial_{T,p} V),$$

und damit bedeutet die geschweifte Klammer auf der rechten Seite nach dem ersten Hauptsatz die von außen zuzuführende, auf die Zahlen v_i^0 bezogene Umwandlungswärme Q . Also ist endlich:

$$(74) \quad \left(\frac{\partial \log K_0}{\partial T}\right)_p = \frac{Q}{RT^2},$$

d. h. die „van't Hoff'sche Reaktionsformel“.

Dann ebenso folgt für die Abhängigkeit vom Druck:

$$(75) \quad \left(\frac{\partial \log K_0}{\partial p}\right)_T = -\frac{pV}{RT},$$

wenn pV die gesamte, auf die Zahlen v_i^0 bezogene Volumenänderung bei der betrachteten Umwandlung ist.

Auf dem allgemeinen Sinn dieser Gesetze beruhen wir hier nicht mehr einzugehen, da alles Notwendige schon bei den gasförmigen Systemen

genügt worden ist. Nur eine Folgerung soll hier besonders hervorheben, weil sie von prinzipieller Bedeutung ist. Nehmen wir den speziellen Fall einer unabhängigen Komponente im Hildebrand'schen Sinne in einer Phase an, z. B. flüssiges reines Wasser. Dann hängt nach der Massenregel offenbar das zwei Variablen T und p ab. Die Moleküle des Wassers können dabei, wie schon im vorigen Kapitel betont, sowohl assoziiert, als auch dissoziiert sein, wenn man auf jedes Molekül \bar{H}_2O und \bar{H} bzw. $\bar{H}O$ kommt. Da nun die Konstante K_1 des Massenwirkungsgegesetzes für die vollenen Temperaturen einen ganz bestimmten vollenen Wert hat, so müssen auch die Konzentrationen der assoziierten oder dissoziierten Moleküle, wenn gemessen nicht von Null verschieden sind, wenn auch dieser Wert nur klein sein kann. Thermodynamisch ist also Wasser, in dem nur \bar{H}_2O -Moleküle vorhanden, grundsätzlich gemessen, zur nicht möglich: es werden vielmehr einwärts (\bar{H}_2O)-Moleküle sich bilden. Association, anders als die Moleküle in ihnen verfallen, z. B. die \bar{H}_2O -Moleküle in \bar{H} - und $\bar{H}O$ -Ionen, nach der Reaktionsgleichung:



Für jede solche mögliche Reaktion muß das Massenwirkungsgegesetz gelten. Im Beispiele der eben genannten Dissoziation haben wir etwa folgende Daten:

$$\begin{aligned} n_1' &= \text{Mole } \bar{H}_2O, \\ n_1' &= \bar{H} \text{ Ionen}, \\ n_2' &= \bar{H}O \dots \end{aligned}$$

wobei $n_1' = n_2'$ ist. Die Konzentrationen der genannten Molekülatome werden demgemäß:

$$\begin{aligned} \bar{H}_2O\text{-Konzentration } k_1' &= \frac{n_1'}{n_1 + n_2 + n_3}, \\ \bar{H} \dots \dots \dots k_1' &= \frac{n_1'}{n_1 + n_2 + n_3}, \\ \bar{H}O \dots \dots \dots k_2' &= \frac{n_2'}{n_1 + n_2 + n_3}. \end{aligned}$$

Ferner ist nach der obigen Reaktionsgleichung:

$$\begin{aligned} x_1' &= -1 && (1 \text{ Mol } \bar{H}_2O \text{ dissoziiert}), \\ x_1' &= x_2' = +1 && (\text{Bildung von je 1 Mol } \bar{H} \text{ und } \bar{H}O). \end{aligned}$$

Demgemäß liefert das Massenwirkungsgegesetz (1) die Aussage:

$$\frac{k_1'}{k_2'} = K_1(T, p),$$

oder, da $n_1' = n_2'$ bzw. $k_1' = k_2'$ ist, einfacher:

$$(16) \quad \frac{k_1'}{k_2'} = K_1(T, p).$$

Da man den Dissoziationsgrad, d. h. das Verhältnis der Zahl der dissoziierten Mole zur Gesamtzahl, durch elektrische Messungen (Leit-

schöpfen) bestimmen kann, so läßt sich über die obige Forderung der Thermodynamik, daß eine ein (wenn auch kleiner Teil) der Moleküle absorbiert ist, durch Messung der Leitfähigkeit seinen Wärmes proben, was z. B. von Kohlrausch und Heydweiller geschehen ist. In der Tat hat sich herausgestellt, daß auch allerhöchster Wasser eine wenn auch sehr kleine Leitfähigkeit besitzt. Auch quantitativ hat sich die thermodynamische Forderung bestätigt, indem die Temperaturabhängigkeit des Koeffizienten $K_1(T, p)$ in Gl. (70) vollkommen der Forderung der Theorie entspricht.

Historisch sei noch bemerkt, daß das erste rechte Beispiel für das Massenwirkungsgesetz in flüssigen Systemen von Berthelot und Pian de St. Gilles bei der Esterbildung nach der Formel



geleitet wurde.¹⁾

Die Gl. (71) des Massenwirkungsgesetzes versteht sich auch dem Fall der Aggregatzustandsänderung einer einseitigen Substanz (Schmelzen, Verdampfen, Sublimieren usw.), wie wir — von einem anderen Standpunkte aus, aber im wesentlichen identisch — schon in No. 98 ausgeführt haben. In diesem Falle haben wir eine Gleichgewichts-Komponente ($\alpha = 1$) in zwei Phasen: $\beta = 1$, so daß gemäß der Phasenregel alles von T allein abhängt, die Konzentrationen k_1 eines der flüssigen Wässer und k_2 des dampfförmigen sind beide gleich 1; wir haben es eben mit dem Grenzelfall unvollständiger Verdampfung zu tun, da nur Lösungsmittelmoleküle vorhanden sind. Ferner ist $r_1' = -1$ und $r_2' = +1$ (1 Mol flüssiges H_2O verdampfend, 1 Mol Dampf bildet sich). Demgemäß wird die linke Seite der Gl. (71), der logarithmischen Form des Massenwirkungsgesetzes, zu Null, und wir haben als Gleichgewichtsbedingung:

$$(72) \quad 0 = -\Phi_1' + \Phi_2' = \log K_1(T, p),$$

d. h. einen Spezialfall unserer alten Regel, daß die spezifischen Potentiale jeder Komponente in allen Phasen gleich sein müssen. Da $(\Phi_2' - \Phi_1')$ nach der klassischen Theorie nur von T und p abhängt, so stellt (72) eine Relation zwischen dem Dampfdruck p und der Verdampfungstemperatur T dar, d. h. die Verdampfungskurve in der Tp -Ebene. Auch quantitativ stimmt sie unserer alten Resultate wieder, nämlich die Clausius-Clapeyronsche Gleichung. Denn bilden wir das vollständige Differential von $\log K_1(T, p)$, so verschwindet dies nach (71):

$$\left\{ \frac{\partial \log K}{\partial T} \right\}_p dT + \left\{ \frac{\partial \log K}{\partial p} \right\}_T dp = 0.$$

Bemerkte man dazu die Gleichungen (74) und (75), so folgt sofort:

$$\frac{h}{RT^2} dT - \frac{RT}{p} dp = 0,$$

¹⁾ Vgl. dazu etwa: W. Hesse, *Leitfähigkeiten der Chem.*, pag. 192 ff., 1912.

gibt:

$$L = T \frac{dQ}{dT} dT,$$

d. h. die Clausius-Clapeyronsche Gleichung, die hier auf Mischungen ist. Natürlich ist (29) bzw. (31) viel allgemeiner; wir können u. a. auch den Fall behandeln, daß der betrachtete Stoff in der einen Phase ein molekularer Stoff ist in der andern aber dissociiert, als in der andern.

Im dem Falle, daß neben den flüssigen Phase der Lösung auch feste Phase (z. B. Reinkörper) vorhanden ist, treten die Bedingungen der Nr. 69 wieder in Kraft. Auch in diesem heterogenen System ist das Massenwirkungsgesetz, wenn man die Konzentrationen der festen Körper als konstant bei gegebenem T und p betrachtet werden. Wenn der Einfluß der auf die Löslichkeit der Thermofunktion verstanden werden.

72. Siedepunktsenkung, Gefrierpunktsenkung, Dampfspannung und osmotischer Druck verdünnter Lösungen.

Wir wollen jetzt dazu übergehen, die im vorigen Kapitel gewonnenen Resultate über Siede- und Gefrierpunktsenkung, Dampfspannung und osmotischen Druck von Lösungen im Lichte unserer neuen verfeinerten Fockbauung — also daher Nr. 69 — zu erklären.

Wir betrachten also wieder den Fall der Lösung eines nichtflüchtigen Salzes, die mit einer Phase fest oder dampfartig des reinen Lösungsmittels im Gleichgewichte steht. Der innere Index 1 bezieht sich, wie immer, auf das Lösungsmittel, der äußere Index 2 auf den gelösten Stoff. Ein solcher Mischungs bedeutet die folgende Lösung, zwei Mischungs-der fest, flüssigen, gasförmigen Phase des reinen Lösungsmittels.

Wir haben dann im allgemeinen vier Massen zu unterscheiden: M_1' , M_1'' , M_2' , M_2'' , von denen nach der obigen Voraussetzung $M_2'' = 0$ ist. Ferner sind:

$$(78) \quad \begin{cases} M_1 = M_1' + M_1'' \\ M_2 = M_2' \end{cases}$$

konstant, da natürlich die Massen des Lösungsmittels (M_1) und des gelösten Stoffes (M_2) sich nicht ändern können. Also:

$$(79) \quad \begin{cases} \delta M_1' + \delta M_1'' = 0, \\ \delta M_2' = \delta M_2 = 0. \end{cases}$$

Den Massen M_i' entsprechen folgende Molzahlen n_i' :

$$(80) \quad \begin{cases} M_1' = n_1 v_1', \\ M_1'' = n_1 v_1'', \\ M_2' = n_2 v_2', \\ M_2'' = 0 = n_2 v_2'', \end{cases}$$

von m_1 und m_2 die Mol-Konzentrationen von Lösungsmittel und gelöstem Stoff bedeuten:

Nach (79) ist daher:

$$(80) \quad \begin{cases} \delta m_1' + \delta m_1'' = 0, \\ \delta m_2' = \delta m_2'' = 0, \end{cases}$$

oder wenn man durch Multiplikation mit dem Faktor v zu den Molzahlen n_i übergeht:

$$(81) \quad \begin{cases} n_1' + n_1'' = 0, \\ n_2' = n_2'' = 0. \end{cases}$$

Weiter haben wir folgende Konzentrationen:

$$(82) \quad \begin{cases} K_1' = \frac{n_1'}{n_1' + n_2'} = \text{Konz. des Lösungsmittels in der Lösung,} \\ K_2' = \frac{n_2'}{n_1' + n_2'} = \quad \quad \quad \text{„ gelösten Stoffes in der Lösung,} \\ K_1'' = \frac{n_1''}{n_1'' + n_2''} = \quad \quad \quad \text{„ „ Lösungsmittels in der 2. Phase,} \\ K_2'' = 0 \quad \quad \quad \text{„ „ gelösten Stoffes in der 2. Phase.} \end{cases}$$

Kurzlich haben wir vier entsprechende pro Mol gerechnete Potentiale: $\Phi_1', \Phi_2', \Phi_1'', \Phi_2''$. Setzen wir nun für unseren Fall ($\alpha = 2, \beta = 2$) die Gleichgewichts-Beziehung (79), so es folgt zunächst noch allgemein:

$$\log (K_1'^{v_1'} K_1''^{v_1''} K_2'^{v_2'} K_2''^{v_2''}) = \frac{1}{R} (v_1' \Phi_1' + v_1'' \Phi_1'' + v_2' \Phi_2' + v_2'' \Phi_2'') \\ = \log K_4(T, p),$$

und dies wird mit Rücksicht auf die speziellen Voraussetzungen nach (82) und (80):

$$\log \Phi_1^{(v)} = \frac{1}{R} (v_1' \Phi_1' + v_1'' \Phi_1'') = \log K_4(T, p).$$

Teilt man ein Mol Lösungsmittel aus der Lösung in die zweite Phase über, so ist $v_1' = -1, v_1'' = +1$, und wir finden als endgültige Bedingung:

$$(83) \quad \log \left\{ \frac{\Phi_1''}{\Phi_1'} \right\} = -\frac{1}{R} (-\Phi_1' + \Phi_1'') = \log K_4(T, p).$$

Setzt man endlich noch den Wert von K_1' nach (82) ein, so ergibt sich:

$$(84) \quad \log \left(1 + \frac{\Phi_2'}{\Phi_1'} \right) = \frac{1}{R} (\Phi_1'' - \Phi_1') = \log K_4(T, p).$$

Dies ist nun $\left\{ \frac{\Phi_2'}{\Phi_1'} \right\}$ nach Voraussetzung der verdünnten Lösungen eine sehr kleine Zahl, und folglich ist approximiert:

$$(85) \quad \frac{\Phi_2'}{\Phi_1'} = \frac{1}{R} (\Phi_1'' - \Phi_1') = \log K_4(T, p).$$

*) Hier sind die Mol-Konzentrationen in beiden Phasen der Einfachheit halber als identisch angenommen. Die Beziehung läßt sich aber ebenso unter der allgemeinen Voraussetzung durchföhren, daß folgende von Association oder Dissoziation der Mol-Konzentration in beiden Phasen verschieden seien.

Für das reine Lösungsmittel (d. h. $x_2' = 0$) wurde natürlich wieder die Beziehung (77) gelten:

$$(80) \quad 0 = \log K_2(T_0, p).$$

Darin haben wir jetzt nur geringere Unterscheidung T_0 schreiben müssen, weil im reinen Lösungsmittel ($x_2' = 0$) zu dem niedrigsten Druck p das reine Umwandlungstemperatur T_0 gehört als in der Lösung ($x_2' = n_2$). Letztere Temperatur werde, wie bisher, T genannt.

Durch Substitution der Gl. (80) von (80) erhält man:

$$\log K_2(T, p) - \log K_2(T_0, p) = \frac{1}{n_2}.$$

oder, nach Taylor entwickelt:

$$\left\{ \frac{\partial \log K_2}{\partial T} \right\}_{T=T_0, p} (T - T_0) = \frac{1}{n_2}.$$

Setzen wir darin nach (74) den Wert für $\left\{ \frac{\partial \log K_2}{\partial T} \right\}_{T=T_0}$ ein, so folgt:

$$\frac{R}{T_0^2} (T - T_0) = \frac{1}{n_2},$$

oder

$$(81) \quad T - T_0 = \left\{ \frac{n_2}{n_1} \right\} \frac{RT_0^2}{L}.$$

Erinnern wir uns nun, daß wir in Gl. (108) des V. Kapitels auf pag. 325 eine etwas andere Definition der Konzentration der Lösung benutzt haben, nämlich:

$$b = \frac{M_2'}{M_1'} = \frac{\text{Menge des gelösten Stoffes}}{\text{Menge des Lösungsmittels}}.$$

Hier ist nun nach (81) für diese Konzentration L zu setzen:

$$(82) \quad b = \frac{n_2 M_1'}{n_1 M_2'}.$$

und (81) kann geschrieben werden:

$$(83) \quad T - T_0 = \frac{n_2}{n_1} \cdot \frac{RT_0^2}{L} b.$$

Berücksichtigt man hier, daß L die Verdampfungswärme pro Mol ist, also mit L derjenigen pro Gramm, durch die Gleichung zusammenhängt:

$$L = n_1 l,$$

so können wir (83) auch in die Form bringen:

$$(84) \quad T - T_0 = \frac{RT_0^2}{n_1 l} b.$$

Diese lautet von van't Hoff abgeleitete Gleichung enthält die experimentell von Raoult gefundenen Gesetze der Siedepunkterhöhung bzw. Gefrierpunktniedrigung:

„Die Temperaturänderung bei der Konzentration proportional, und bei demselben Lösungsmittel dem Molekulargewicht des gelösten Stoffes umgekehrt proportional.“

Insofern werden die bekannten, von Beckmann angegebenen Methoden zur Bestimmung des Molekulargewichts durch Bestimmung der Veränderung des Siede- bzw. Gefrierpunktes.

Wir wollen für Wasser die nämliche Berechnung durchführen. Seien nun die k den Wert aus (80) ein, so folgt statt (81):

$$T - T_0 = \frac{RT_0^2}{\lambda_1} \frac{m_2 M_1'}{m_1 A_1} = \frac{RT_0^2}{(m_1 A_1')} A_1'.$$

$(m_1 A_1')$ ist offenbar die Menge M_1' des Lösungsmittels, die wir, dem allgemeinen Schema folgend, zu 1000 Gramm annehmen wollen. Die Verdampfungswärme λ des Wassers ist 589 cal bei $T = 373$ Grad abs., die Schmelzwärme gleich 80 cal bei $T = 273$ Grad abs. Also finden wir, wenn wir auch R in $\left(\frac{\text{cal}}{\text{grad}}\right)$ ausdrücken:

$$(81) \quad \text{Siedepunkt-erhöhung:} \quad T - T_0 = \frac{R \cdot 373^2}{1000 \cdot 589} A_1' = + 0,53^{\circ} A_1',$$

$$(82) \quad \text{Gefrierpunkt-erniedrigung:} \quad T - T_0 = - \frac{R \cdot 273^2}{1000 \cdot 80} A_1' = - 1,86^{\circ} A_1',$$

und andere Stoffe setzt $\gamma_2', \gamma_3', \dots, \gamma_n$ an Stelle von γ_2 und (81),

$$(81a) \quad T - T_0 = + 0,53^{\circ} (A_1' + A_2' + \dots),$$

$$(82a) \quad T - T_0 = - 1,86^{\circ} (A_1' + A_2' + \dots).$$

Kehren wir jetzt zur allgemeinen Formel (80) zurück. Daß die Temperaturänderung proportional der Konzentration k ist, hatten wir schon früher in Nr. 61 des V. Kapitels, in Gl. (121), auf pag. 359 abgeleitet; doch war damals der Proportionalitätsfaktor unbekannt geblieben. Wir finden denselben:

$$(83) \quad T - T_0 = \frac{T_0^2}{T} \varphi k,$$

wobei die nämliche GröÙe φ auch bei der Dampfspannungsänderung sowie bei dem osmotischen Drucke auftritt. Der Vergleich von (83) mit der alten Formel (84) erlaubt man, diese GröÙe φ zu bestimmen, und liefert damit auch für die Dampfspannung einer Lösung und ihren osmotischen Druck völlig bestimmte Werte. Wir finden:

$$(83) \quad \varphi = \frac{R}{m_2},$$

und folglich die die relative Dampfspannungsänderung nach Gl. (119) des V. Kapitels auf pag. 359:

$$(84) \quad \frac{p - p_0}{p} = - \frac{m_2}{M} \cdot \frac{R}{m_1} k = - \frac{N_2}{N_1},$$

werde für den osmotischen Druck nach Gl. (164) des V. Kapitels auf pag. 264:

$$(165) \quad P = \frac{RT}{v_2} \cdot \frac{v_2}{v_1} = \frac{RT}{v_1(v_1' + v_2')} \cdot v_2' = \frac{RT}{V} \cdot v_2',$$

da (v_1, v_1', v_2') sich entsprechend gleich dem Volumen V der Lösung ver-
halten.

In beiden Gl. (164) und (165) ist vorausgesetzt, daß nur ein Stoff gelöst ist. Soll es mehrere, so treten an die Stelle der letzten genannten Gleichungen die folgenden:

$$(166) \quad P = P_1 = - \frac{RT}{v_1} \ln \frac{v_1'}{v_1} = \dots = - \frac{RT}{v_1} \sum_1^n \ln \frac{v_1'}{v_1},$$

$$(167) \quad P = \frac{RT}{v_1} (v_2' + v_3' + \dots) = \frac{RT}{V} \sum_1^n v_2'.$$

Beide Formeln sind zuerst von van't Hoff auf andere Weise abgeleitet worden. Besonders letztere Ausgangspunkt der Gl. 167, die „Zustandsgleichung“ des osmotischen Druckes. Man erkennt, z. B. durch Vergleich mit Gl. 159 dieses Kapitels, daß 167 genau dieselbe Form hat, wie die ideale Gasgleichung. Dies ist ein Resultat von fundamentaler Bedeutung. Denn es zeigt, daß man sich die Vorstellung bilden kann, daß die Moleküle einer verdünnten Lösung sich genau so verhalten wie diejenigen eines idealen Gases, wobei das Volumen V der Lösung die Stelle des Gasvolumens vertritt. Man erkennt auch leicht, daß die letztere Theorie von der Addition der Partialdrücke gilt. Denn wir können 166 schreiben:

$$P = p_1 + p_2 + \dots = \sum_1^n p_i,$$

wo p_i definiert ist durch:

$$p_i = \frac{RT}{v_1} v_i, \quad (i = 2, 3, \dots, n).$$

Der osmotische Druck einer Lösung ist also gleich der Summe der osmotischen Partialdrücke der einzelnen gelösten Stoffe.

Die obigen Resultate pflegen meistens durch Benutzung kinetischer Betrachtungen abgeleitet zu werden. Es ist deshalb besonders bemerkenswert, daß die hier benutzte Plancksche Methode dasselbe Ergebnis liefert, ohne im geringsten auf solche speziellen Vorstellungen zurückzugreifen.

76. Der Verteilungskoeffizient von Fernald.

Von den mannigfachen Anwendungen der Gleichungen (50) und (51) wollen wir nur noch einen Fall behandeln, der für die chemische Laboratoriumspraxis von Bedeutung ist, nämlich die Verteilung eines gelösten Stoffes zwischen zwei angrenzenden, sich nicht mischenden Lösungsmitteln. Es ist klar, daß nur bei ganz bestimmter Konzentration beider Lösungen

Dannes folgen in Verbindung mit (106) folgende Werte für die Verteilungskoeffizienten δu_i^* der Molfraktionen:

$$\begin{aligned}\delta u_1^* &= \delta u_1^{**} = \delta u_1^* = \delta u_1^{**} = 0, \\ m_2^* \delta u_2^* + m_2^{**} \delta u_2^{**} &= 0,\end{aligned}$$

oder, ähnliche Gleichungen mit dem Faktor δ statt δ (wegen δ zu den Zahlen v_i^* multipliziert):

$$(107) \quad \left\{ \begin{array}{l} v_1^* = v_1^{**} = v_1^* = v_1^{**} = 0, \\ m_2^* v_2^* + m_2^{**} v_2^{**} = 0. \end{array} \right.$$

Unter diesen Bedingungen erhalten wir aus (51) die Gleichgewichtsbedingung für unsere beiden Lösungen:

$$(108) \quad R_1^* v_1^* + R_2^* v_2^* = R_1^{**} v_1^{**} + R_2^{**} v_2^{**}.$$

Laufen wir nun 1 Mol gelöster Substanz aus dem ersten Lösungsmittel in das zweite über, so ist $v_1^* = -1$ und folglich nach (107) $v_2^* = \frac{m_2^*}{m_1^*}$, so daß die Bedingung (108) sich folgendermaßen vereinfacht:

$$(109) \quad \frac{R_2^*}{R_1^*} = K_2(T, p).$$

Diese Gleichung enthält die Lösung des gestellten Problems ganz allgemein: Eine bestimmte Funktion der Konzentrationen der gelösten Stoffe hat bei konstanter Temperatur T und konstantem Druck p einen bestimmten konstanten Wert; (109) stellt, wie ja auch aus der Ableitung hervorgeht, in gewisser Hinsicht eine Verteilungsgleichung dar, nämlich die Verteilungskoeffizienten für die Phase der.

Besonders einfach wird die Gleichung (109), die als „Verteilungskoeffizient“ bezeichnet und von Soret thermodynamisch begründet worden ist, wenn die Molfraktionen m_1^* und m_1^{**} in beiden Lösungen gleich sind. Dann ist einfach:

$$(110) \quad \frac{R_2^*}{R_1^*} = K_2(T, p),$$

d. h. das Verhältnis der Konzentrationen des gelösten Stoffes in beiden Lösungen hat einen konstanten Wert bei festem T und p , der als „Verteilungskoeffizient“ bezeichnet wird.

Es braucht hier nicht, daß es sich keineswegs immer um flüssige Lösungsmittel zu handeln braucht; der Verteilungskoeffizient gibt ebenfalls zwischen zwei gasförmigen und zwei festen Lösungen, ja auch zwischen zwei Lösungen desselben gelösten Stoffes in verschiedenen Aggregatzuständen.

In der chemischen Literatur werden bei Untersuchungen über den Verteilungskoeffizienten die Konzentrationen selten definiert, nämlich als das Verhältnis der Masse des gelösten Stoffes zum Volumen der Lösung, d. h. als die Masse des gelösten Stoffes in der Volumeneinheit der Lösung. Diese

angewandte „Volumenkonzentrationen“, die mit unseren Konzentrationen \bar{V} in gleicher Richtung stehen, wollen wir durch horizontale Striche von ihnen unterscheiden, also allgemein \bar{V}_h schreiben. Natürlich gilt auch für diese Volumenkonzentrationen der Satz, daß ihr Verhältnis zu Gleichgewichtskonstant ist; selbstverständlich ist die Konstante K eine andere als bisher. Wir können jedenfalls statt (387) schreiben:

$$(388a) \quad \frac{\bar{V}_h}{\bar{V}} = K_1(X, \beta).$$

Als Beispiel möge die Verteilung von H_2O_2 (Wasserstoffperoxyd) zwischen Äthylalkohol (l. Lösungsmittel) und Wasser (r. Lösungsmittel) dienen. Culvernt fand folgende Zahlen, wobei die Volumenkonzentrationen in Millimol pro Liter angegeben sind.

\bar{V}_r	\bar{V}_l	\bar{K}_1
34,0	38,6	5,04
100,5	29,0	8,54
200,5	41,0	5,06
400,0	65,0	5,06
600,0	84,0	5,09
811,0	120,0	5,04

Man sieht die vollkommenste Konstanz des Verteilungskoeffizienten.

Es möge nun noch kurz die Bedeutung des Verteilungskoeffizienten für die Praxis des Labormannes skizziert werden¹⁾: In 1 Liter wässrige Lösung seien $X = 100$ Gramm einer Substanz gelöst, die möglichst vollständig in 1 Liter Äther übergeführt werden sollen. Der Verteilungskoeffizient Äther:Wasser sei gleich 5. Bringt man das ganze Liter Äther mit der wässrigen Lösung zusammen und „schüttelt“ vor rascher Erweichung des Gleichgewichtes, so tritt eine ganz bestimmte Menge von Gramm der gelösten Stoffe in den Äther ein, die wir mit x bezeichnen wollen. Dann bleiben $(X - x)$ in der wässrigen Lösung zurück und die Volumenkonzentrationen werden beziehungsweise:

$$\bar{V}_l = \frac{X - x}{1000}, \quad \bar{V}_r = \frac{x}{1000},$$

so daß nach dem Verteilungssatz wird:

$$\frac{\bar{V}_r}{\bar{V}_l} = \frac{1}{5},$$

oder:

$$X - x = \frac{x}{5}, \quad \text{d. h.} \quad x = \frac{5}{6} X.$$

Es gehen demnach 83,33 . . . Gramm durch das „Schütteln“ in den Äther über. Man kann aber, gemäß dem Verteilungssatz, weit größere Aus-

¹⁾ Vgl. die Monographie von W. Berr, Der Verteilungskoeffizient, I. d. Handb. chem. u. pharm.-techn. Vorlesg., 14, Stuttgart 1930, bei F. Schöbe.

besten erhalten, wenn man die einwirkende Lösung nach und nach mit kleinen Mengen Äther vermischt; z. B. erstmal mit je 200 ccm. Dann stellt sich die Sache folgendermaßen: Beim ersten Versuche geht wieder etwas über, so daß die Konzentrationen steigen:

$$K_1 = \frac{N_1 \cdot l}{1000}, \quad K_2 = \frac{l}{1000},$$

also ist nach dem Verteilungssatz:

$$\frac{X_1 \cdot l}{200} = \frac{1}{2} l, \quad \text{also} \quad x = \frac{K_1}{2}.$$

d. h. beim ersten Schütteln gehen 25 Prozent des gelösten Stoffes in den Äther über, es bleiben 75 Gramm im Wasser zurück. Versetzt man diese nun zweiten Mal mit 200 ccm reiner Äther, so geht wieder die Hälfte, also 37,5 Gramm, in diesen über, so daß insgesamt in Äther übergeführt sind 75 Gramm, gegen 62,5 Gramm beim vorigen Versuch. Aber Versetzen läßt sich natürlich weiter verfahren; schenkt man Pfund mit je 100 ccm Äther, so beträgt die Ausbeute 98,75 Gramm. 16 Procent dieser Angaben durchaus bestätigt; man schüttelt eine Lösung immer mehrere Male mit kleineren Mengen des reinen Lösungsmittels aus, bis dieselbe so gewahrt wird, daß der Verteilungskoeffizient gegen das verdünnteste groß ist.

Wie ermittelt, treten komplizierte Verhältnisse nach (108) auf, wenn das Molekulargewicht des gelösten Stoffes in beiden Lösungsmitteln nicht dasselbe ist. Auch hier hat sich der Verteilungssatz vollkommen bewährt.

Wegen detaillierter Angaben sei der Leser auf die dritte Monographie von W. Herz verwiesen, in der sich auch ein recht vollständiger Überblick von experimentell bestimmten Verteilungskoeffizienten befindet.

Siebentes Kapitel.

Die chemische Affinität und das Wärmetheorem von Nernst.

74. Das Problem der chemischen Affinität.

In den beiden Haupttheilen der Thermodynamik ist in den letzten zwei Jahrzehnten ein weiterer Satz geboten, den man Nernst verdankt. Seine Erkenntnis hängt eng zusammen mit einer lange Zeit viel umstrittenen Frage, nämlich der nach einem Maße der chemischen Affinität. Da diese Frage, auch abgesehen vom Nernstschen Wärmetheorem ein erhebliches thermodynamisches Interesse besitzt, wollen wir etwas näher darauf eingehen und dann die Formulierung des Nernstschen Theorems daran anschließen. So ist auch die historische Entwicklung der Erkenntnis dieses neuen Wärmetheorems gegeben.

Man qualitat. bedeutet „chemische Affinität“ die mehr oder minder große „Verwandtschaft“, d. h. die mehr oder minder große Neigung von zwei Stoffen, eine Verbindung einzugehen. Mit diesem vagen Begriffe jedoch ist der exakte Wissenschaft wenig gedient; man muß vielmehr versuchen, ein quantitatives Maß für die Affinität zu finden. Man könnte z. B. daran denken, den chemischen Keitlen zweier Stoffe, die eine Verbindung unter dem Einfluß eben dieser Affinitätskräfte eingehen wollen, durch eine passende äußere Kraft das Gleichgewicht zu halten. Diese äußere Kraft, die dann das Fortschreiten der Verbindung gerade verhindert würde, könnte man als Maß der Affinität nehmen. Indessen ist dieser einfache Weg im allgemeinen nicht gangbar, und die Wissenschaft hat zuerst einen erheblichen Umweg eingeschlagen, bevor eine befriedigende Lösung des Problems van't Hoff's im Jahre 1886 gelang.

Läßt man eine Reaktion in der Bertholletschen Bombe, d. h. ohne äußere Arbeitsleistung vor sich gehen, so ist nach dem ersten Hauptsatz die Abnahme der inneren Energie $U_1 - U_2 = -Q = +Q'$, d. h. gleich der Wärmetönung des Prozesses. Von dem Gesetze ausgehend, daß, je größer die chemischen Kräfte, desto größer auch ihre Arbeitsleistung sein würde, haben J. Thomsen und M. Berthelot in den Jahren 1864 und 1868 das Prinzip ausgesprochen, daß die Wärmetönung eines (ohne Volumenveränderung) verlaufenden Prozesses ein Maß für die Affinität der dabei sich umsetzenden Stoffe sei.

¹⁾ *Recher. de Dynamique chimique* 1862, S. 777d.

da physikalisch diese Definition zunächst klingt, als sie ungenügend gerecht zu sein bei näherer Prüfung.

Denn man sollte doch annehmen, daß, wenn eine Reaktion wirklich abläuft, dann eben die chemischen Kräfte Arbeit leisten, d. h. eine positive Wärmerzeugung ($Q' > Q$) schafft, d. h. man sollte erwarten, daß jede von selbst eintretende chemische Reaktion ein exothermer Prozeß wäre.

Das ist nun in der Tat sehr häufig und namentlich bei tiefen Temperaturen der Fall, aber keineswegs ausschließlich, es gibt vielmehr auch Reaktionen, die endotherm, d. h. mit negativer Wärmerzeugung verlaufen. Als Beispiel dafür kann jede Reaktion dienen, die zu einem Gleichgewichtsstande führt, wie wir solche im vorhergehenden Kapitel beim Konzentrationsgleichgewicht besprochen haben; gibt eine solche in dem einen Sinne mit positiver Wärmerzeugung vor sich, so ist sie beim umgekehrten Verlaufe endotherm.

Wollte man nun die Thomson-Berthelotsche Definition schlicht erhalten — was an sich durchaus möglich wäre —, so müßte man entweder annehmen, daß bei endothermen Reaktionen die Arbeit gegen die chemischen Kräfte geleistet wird, was nicht gut in der Vorstellung paßt, daß bei einer von selbst eintretenden Verabreichung „Verwandtschaftskräfte“ sich betätigen, oder man müßte in jedem Falle annehmen, es lies stattdessen. Beides führt zu unbedingenden, willkürlichen Konstruktionen.

Daher hat van't Hoff folgenden Vorschlag gemacht: Man führe die Reaktion isotherm auf einem (beliebigen) reversiblen Wege durch. Dann ist die Abnahme der freien Energie F gerade gleich der maximalen Arbeit A_{max} , die durch den Prozeß gewonnen werden kann. Sie hängt immer nur von Anfangs- und Endzustand ab, ist also charakteristisch für die Reaktion. Diese bei einer Reaktion maximal zu gewinnende Arbeit ist nun pro Mol, pro Masseneinheit, pro Konzentrations einheit oder dergl. berechnbar, abhängig der von den äußeren Kräften bei stetiger Volumänderung geleisteten Arbeit, soll als Maß für die Affinität genommen werden.

Das kommt offenbar darauf hinaus, die Affinität nicht durch die Abnahme der inneren Energie U , sondern durch die der freien Energie F zu messen.

Wenn diese Definition angenommen wird, so ist der Zusammenhang zwischen letzterer und der Wärmerzeugung Q' sofort gegeben. Bezeichnen wir die Affinität (gleich maximaler Arbeit) im Zustande einfach durch A' (bzw. wenn auf die Masseneinheit bezogen, durch a'), so haben wir die bereits in Gl. (38) des dritten Kapitels auf pag. 176 formulierte Gleichung:

$$(1) \quad A' = (U_1 - U_2) + T \left(\frac{\partial A'}{\partial T} \right)_r$$

oder, wenn man für $U_1 = U_2$ die Wärmezufuhr (bei konstantem Volumen) Q' schreibt, so erhalten wir die in der chemischen Literatur übliche Schreibweise der sogenannten Helmholtzschen Gleichung:

$$(5) \quad A' = Q' + T \left(\frac{\partial A'}{\partial T} \right)_v.$$

Es geht aus der Formel hervor, daß Q' und A' im allgemeinen voneinander verschieden sind, da im allgemeinen $\left(\frac{\partial A'}{\partial T} \right)_v \neq 0$ sein wird, und zwar kann $A' > Q'$ und $A' < Q'$ sein. Gleichwohl von A' und Q' kann, abgesehen von singulären Fällen, nur einleiten, wenn A' von der Temperatur unabhängig ist. Beim absoluten Nullpunkte wird keine ebenfalls $A' = Q'$ sein, wenn nicht $\left(\frac{\partial A'}{\partial T} \right)_v$ von erster oder höherer Ordnung unendlich wird. Man kann insbesondere aus der Gl. (5) die Möglichkeit daher ableiten, daß bei negativen Q' (endothermen Prozeß) $A' > 0$ ausfällt, was es unserer Vorstellung entspricht, daß die chemischen Kräfte, auch bei endothermen Reaktionen, Arbeit leisten.

Gl. (5) bildet eine Differentialgleichung für die Affinität A' , deren Integration bis zu einem gewissen Grade die Bestimmung von A' gestattet; allerdings tritt dabei stets eine unbekannte Integrationskonstante auf. Wir wenden auf diese Frage noch eingehend zurückzukommen.

Besteht wollen wir uns an einigen Beispielen die von 't Hoff'sche Definition klar machen.

Fragen wir z. B. nach der Affinität, mit der ein Mol chemischen Schwefels sich bei der Temperatur T in monoklinen Schwefel umwandelt. Zu diesem Zwecke müssen wir auf einem reversiblen Wege chemischen in monoklinen Schwefel umwandeln. Dies kann folgendermaßen geschehen: Bei der Temperatur T hat S_8 den Sättigungsdampfdruck p_{S_8} . Lassen wir nun einreißel Glasgefäß stehen, verkleinern wir den chemischen Schwefel, d. h. lassen ihn in Schmelzlauge vom Drucke p_{S_8} über. Dabei wird die Arbeit $p_{S_8} V' = A_1'$ gewonnen, wo V' das Volumen von ein Mol Schmelzlauge von der Temperatur T und dem Druck p_{S_8} ist. Nach der Gaseinheit ist also $A_1' = RT$. Nunmehr lassen wir den Schmelzlauge luftleer und einreißel aus, bis der Druck den Wert p_{mon} , d. h. den Sättigungsdampfdruck monoklinen Schwefels erreicht hat. Dabei wird die Arbeit gewonnen:

$$A_2' = \int_{p_{S_8}}^{p_{\text{mon}}} dV = -RT \int_{p_{S_8}}^{p_{\text{mon}}} \frac{dp}{p} = + RT \log \frac{p_{\text{mon}}}{p_{S_8}},$$

wobei natürlich wieder die Gaseinheit der Gaseinheit angenommen ist. Endlich kondensieren wir unter dem konstanten Sättigungsdrucke p_{mon} den Schmelzlauge zu monoklinen Schwefel, wobei, da jetzt Kompression erfolgt, die Arbeit $A_3' = -p_{\text{mon}} V' = -RT$ gewonnen wird. Jetzt haben wir den verlangten Endzustand erreicht; das Mol chemischen Schwefels

ist bei der vorgeschriebenen Temperatur in monoklinen Schwefel verwandelt werden. Dabei ist allerdings eine kleine Volumänderung zurückgeblieben, da rhombischer Schwefel eine andere Dichte hat als monokliner. Doch ist diese Differenz so geringfügig, daß wir die Arbeitsleistung, die zur Realisation dieser Volumänderung aufzuwenden wäre, vernachlässigen dürfen. Insgesamt ist also die Arbeit gewonnen worden:

$$A' = A_1' + A_2' + A_3' = RT + RT \log \frac{p_{\text{mon}}}{p_{\text{rhomb}}} - RT = RT \log \frac{p_{\text{mon}}}{p_{\text{rhomb}}}.$$

Man ist die Affinität pro Mol Schwefel für die Umwandlung rhombisch \rightarrow monoklin:

$$(8) \quad A' = RT \log \frac{p_{\text{mon}}}{p_{\text{rhomb}}}$$

für die Masseinheit berechnet sich, wenn m das Molekulargewicht des Schwefels ist:

$$(9) \quad a' = \frac{RT}{m} \log \frac{p_{\text{mon}}}{p_{\text{rhomb}}}.$$

Die hier geschilderte Methode war beim Schwefel nicht anwendbar, da bei den in Betracht kommenden Temperaturen die Influence der Sublimationsdrücke zu klein ist, um gemessen zu werden. In solchen Fällen kann man sich aber der vorerwähnten Methode bedienen, die betreffenden Stoffe (hier die beiden Schwefelmodifikationen) vermischt in einem Lösungsmittel zu lösen und den osmotischen Druck zur Berechnung der maximalen Arbeit in der üblichen Weise zu verwenden, wie wir hier den Sublimationsdruck benutzt haben. Die Rechnung verläuft genau so wie oben und mag dem Leser überlassen bleiben. Man sieht, wenn man die Sättigungskonzentrationen der beiden Schwefelmodifikationen mit k_{rhomb} und k_{mon} ⁷⁾ bezeichnet, den Gleichungen (3) bzw. (12) ganz analoge Formeln:

$$(10) \quad \left\{ \begin{array}{l} A' = RT \log \left(\frac{k_{\text{mon}}}{k_{\text{rhomb}}} \right), \\ \text{bzw. für die Masseinheit:} \\ a' = \frac{RT}{m} \log \left(\frac{k_{\text{mon}}}{k_{\text{rhomb}}} \right). \end{array} \right.$$

Auf diese Weise hat Brewster¹⁰⁾ die Umwandlungseffizität direkt bestimmen können. Aus (10) sieht man zunächst, daß eine unmittelbare Folge unserer Überlegung die ist, daß das Verhältnis der Sättigungskonzentrationen $\frac{k_{\text{mon}}}{k_{\text{rhomb}}}$ in allen Lösungsmitteln dasselbe sein muß, da die

⁷⁾ Unter Konzentration ist hier im Anschluß an den Gebrauch in der chemischen Literatur die Molzahl des gelösten Stoffes in der Volumeneinheit des Lösungsmittels, u. S. in einem Liter, verstanden, also die sogenannte „Volumkonzentration“, wie wir sie in Nr. 13 am Schluß eingeführt haben.

¹⁰⁾ Brewster, *Zeitschr. f. phys. Chem.* 25, S. 375, 1898.

Affinität der Umwandlung selbstverständlich nicht von dem Lösungsmittel abhängen kann. In der Tat fand Kramstedt z. B. bei 50° C:

$$\left. \begin{array}{ll} \text{in Benzol:} & \frac{f_m}{f_{\infty}} = 1,37 \\ \text{in Äther:} & \quad = 1,26 \\ \text{in Äthylbromid:} & \quad = 1,28 \\ \text{in Alkohol:} & \quad = 1,30 \end{array} \right\} \text{ im Mittel also: } 1,28.$$

Damach ist die Umwandlungsaflinität A' des rheinischen Schwefels bei 50° C (nach der masselosen Modifikation bekanntlich bereits) in Kalorien gegeben, d. h. $A' = 1,28$ aufgrad gesetzt, gleich:

$$A' = -1,28 (573 + 50) \log 1,28 = -146 \frac{\text{cal}}{\text{mol}}.$$

Umgekehrt ist natürlich die Affinität des masselosen Schwefels zur Umwandlung in rheinischen gleich demselben Werte, nur mit dem Hinzeichen, also gleich $+146 \frac{\text{cal}}{\text{mol}}$. Da der Schwefel unter den genannten Bedingungen Sauerstoff ist, ist sein Molekulargewicht gleich dem atomischen Atomgewicht gleich $32,16 \cdot 8 = 257,28$ anzunehmen. Daher ergibt sich für die Affinität pro Gramm der Wert:

$$a' = -0,569 \frac{\text{cal}}{\text{gramm}}$$

bzw. mit dem umgekehrten Vorzeichen für die umgekehrte Reaktion. — Die Affinität ist, wie man aus der Formel (E) entnehmen kann, hier der Masse der sich umsetzenden Substanz proportional; setzt man eben der Bruchteil $d\xi$ eines Kilo bzw. so würde die dabei zu gewinnende maximale Arbeit nach (B) den Wert

$$A' d\xi = RT d\xi \log \frac{f_m}{f_{\infty}} = RT d\xi \log \frac{d\xi}{f_{\infty}}$$

bedeuten. Dies ist wichtig, weil wir daran folgende Bemerkung knüpfen können: Der hier angegebene Arbeitsausdruck ist von der Form $Qd\xi$, den wir aus der Mechanik her kennen; q ist dabei irgendeine Koordinate des Systems im allgemeinen Sinne von Lagrange, Q demgemäß die zugehörige allgemeine Kraftkomponente. Man erkennt daraus, daß die Affinität A' eine Kraft im Sinne des allgemeinen Lagrangeischen Begriffes ist, wenn wir die Menge ξ der umgesetzten Substanz als Koordinate nehmen, wie wir es z. B. beim Studium der Verdampfung in No. 40 getan haben. Es ist daher ungenau, A' schlechthin als „Arbeit“ zu bezeichnen; es ist das Arbeit pro Mol oder Molekulargewicht oder pro Konzentrations-einheit usw., was aber keineswegs im Gegensatz zur Auffassung derselben als allgemeine Kraftkomponente steht. Diese nämliche Bemerkung, die wir hier an ein spezielles Beispiel geknüpft haben, gilt, wie man leicht sieht, für alle Fälle.

Aus den gewonnenen Ausdrücken (5) bzw. (5a) für die Affinität des Schwefels bezüglich der Umwandlung der rhomboedrischen in die monokline Phase können wir noch weitere Schlüsse ziehen, die sich ebenso, wie die letzte Bemerkung, für alle übrigen Fälle passend verallgemeinern.

Nach unseren Darlegungen ist rhomboedrischer Schwefel bei der absoluten Temperatur $778 + 85,5^\circ = 863,5^\circ$ also im Gleichgewicht mit monoklinem bei dieser Temperatur ist $p_{\text{rh}} = p_{\text{mon}}$ (und $k_{\text{rh}} = k_{\text{mon}}$), also nach (5) oder (5b) die Affinität A' gleich Null. Das ist genau das, was wir erwarten müssen: es besteht bei dieser Temperatur eben keine Tendenz zur Umwandlung. Unterhalb dieser Temperatur ist die rhomboedrische Modifikation stabil, d. h. monokliner Schwefel wird sich unter dem Einfluß der chemischen Affinitätskräfte von selbst in rhomboedrischen verwandeln, aber nicht umgekehrt; die Affinität der Umwandlung rhomboedrisch \rightarrow monoklin muß also negativ sein. Das entspricht dem Umstande, den man aus dem Schmelzdiagramm der Fig. 33 ablesen kann, daß p_{rh} hier kleiner ist als p_{mon} . D. h. die stabile Modifikation hat den kleineren Dampfdruck und, nach (5b), die kleinere „Löslichkeit“, wenn diese durch die Sättigungskonzentrationen gemessen wird. Umgekehrt ist es bei Temperaturen, die höher sind als der Umwandlungspunkt; dort ist $p_{\text{rh}} > p_{\text{mon}}$ und $k_{\text{rh}} > k_{\text{mon}}$, also die Affinität größer als Null, d. h. bei Temperaturen oberhalb $85,5^\circ\text{C}$ wandelt sich rhomboedrischer Schwefel von selbst in monoklinen um.

Wie schon oben bemerkt, muß für jede Umwandlungstemperatur die Affinität gleich Null sein; oberhalb und unterhalb hat sie entsprechende Vorzeichen.

Ein weiteres Beispiel für die Berechnung der Affinität wollen wir an die Untersuchungen des Xrx. 60 und 67 des vorigen Kapitels anknüpfen, in dem wir Reaktionen ähnlicher Gase untersucht haben. Es seien also in einem gegebenen Volumen verschiedene Gase von den gleichfalls willkürlich gegebenen Anfangskonzentrationen k_i vorhanden, diese Gase gehen dann Reaktionen miteinander ein, und in dem nach dem Massenwirkungsgesetz eintretenden Gleichgewichte seien die Konzentrationen k_i geworden, so daß wir wieder auf unsere alten Beziehungen zurückkommen. Hier können wir nun die Gemischentropie und die Gesamtentropie

(1) Eigentlich ist an einem Umwandlungspunkte nicht die Affinität, d. h. die Differenz des freien Enthalpie der beiden Phasen gleich Null, sondern nach den allgemeinen Darlegungen des V. Kapitels (vgl. insbes. Nr. 26, 27, 28) die Differenz der molaren molaren Potentiale μ . Nach Definition des letzteren haben wir $\mu = \mu^\circ - \frac{RT}{p} \ln \frac{p}{p^\circ} = - \frac{RT}{p} \ln \frac{p}{p^\circ}$, also für Gleichgewicht in einem Umwandlungspunkte:

$$\mu_1 = \mu_2 = - \frac{RT_1}{p_1} \ln \frac{p_1}{p_1^\circ} = - \frac{RT_2}{p_2} \ln \frac{p_2}{p_2^\circ} = - \frac{RT}{p} \ln \frac{p_1}{p_2} = 0. \text{ Es ist also } A' \text{ nur dann gleich Null, wenn das Arbeitsglied } p(V_1 - V_2) \text{ vernachlässigt werden kann, was bei hohen und niedrigen Drücken praktisch immer der Fall ist.}$$

(2) Hier ist unter Konzentrationen k_i wieder das Verhältnis der Molezahl n_i zur Gesamtzahl $\sum n_i = n$ verstanden, wie in Nr. 68 und folgenden.

berücksichtigt, also auch die freie Energie $F = U - TS$. Die Abnahme derselben bei einer Reaktion gibt also sofort die Affinität. In den alten Bezeichnungen haben wir nach Gl. (8) des vorhergehenden Kapitels auf pag. 288 für die Gesamtentropie:

$$(4) \quad T = \sum v_i (C_{v_i} T + a_i),$$

nach der Gl. (18) desselben Kapitels (pag. 288) für die Gesamtentropie:

$$(5) \quad S = \sum v_i C_{v_i} \log T - R \sum v_i \log p - R \sum v_i \log k_i + \sum v_i s_i T.$$

Also folgt für die freie Energie der Gemischung vor der Reaktion:

$$(6) \quad F = \sum v_i (C_{v_i} T + a_i - C_{v_i} T \log T + RT \log p + RT \log k_i - T s_i T).$$

Bei einer isothermen-isobaren Veränderung $\delta_{T,p}$ finden wir für $\delta_{T,p} F$:

$$\begin{aligned} \delta_{T,p} F &= T \sum \delta v_i C_{v_i} - T \log T \sum C_{v_i} \delta v_i + RT \log p \sum \delta v_i \\ &\quad + RT \sum \delta v_i \log k_i + \sum \delta v_i a_i - T \sum \delta v_i s_i T. \end{aligned}$$

Wir wollen hier wieder, wie im vorigen Kapitel, durch Multiplikation der ganzen Gleichung mit einem geeigneten Faktor h von den Größen δv_i zu den Größen $v_i = h \delta v_i$ übergehen, wo die v_i die sich auswirkenden Moleküle sind. Die linke Seite gibt dann die mollele Differenz $F_2 - F_1$ der freien Energie, wenn die genannten Moleküle sich umgesetzt haben. So finden wir:

$$\begin{aligned} F_2 - F_1 &= RT \log p \sum v_i + RT \sum \log (k_i^2) + T \sum C_{v_i} v_i - T \log T \sum C_{v_i} v_i \\ &\quad + \sum a_i - T s_i v_i. \end{aligned}$$

Mit den Abkürzungen (28) des vorigen Kapitels

$$\begin{aligned} \sum v_i &= v \\ \sum v_i C_{v_i} &= RC \\ \sum v_i k_i &= \sum v_i (M - C_{v_i} - R) = R \log B \\ \sum v_i a_i &= RA \end{aligned}$$

ergibt sich daraus:

$$\begin{aligned} F_2 - F_1 &= - RTv - RT \left(-v \log p + \log B - \frac{d}{T} + C \log T \right) \\ &\quad + RT \sum \log (k_i^2). \end{aligned}$$

Darin ist nun nach (26) des vorigen Kapitels, d. h. nach dem Massenwirkungsgesetz, auf pag. 280:

$$\log B = \frac{d}{T} + C \log T - v \log p = \log K_s(T, p),$$

wo $K_s(T, p)$ die Gleichgewichtskonstante der betrachteten Reaktion ist. Also ist schließlich:

$$(7) \quad F_2 - F_1 = - RTv - RT \log K_s(T, p) + RT \sum \log (k_i^2).$$

Um Mißverständnisse zu vermeiden, sei nochmals betont, daß $\log K_1$ keineswegs gleich $\sum \log (K_1^{(i)})$ ist, denn die K_1 sind nicht die Gleichgewichtskonstanten, für die diese Gleichung allerdings gelten würde, sondern der Ausgangskonzentrationen, deren Affinität bezüglich der betrachteten Reaktion festgestellt werden soll. Um nun (7) nun die Affinität zu berechnen, ist zu beachten, daß $RT \cdot \log$ die bei der Reaktion geleistete äußere Arbeit infolge Volumvermehrung darstellt, die gemäß Definition der Affinität nicht in Rechnung zu setzen ist. Demgemäß ergibt sich A' gleich der noch übrig bleibenden Abnahme der freien Energie, d. h. wenn das alte Volumen wieder hergestellt wird:

$$(8) \quad A' = RT \log K_1 - RT \sum \log (K_1^{(i)}) .$$

Es ist nun verständlich und richtig, ebenso wie wir früher auf Mole oder auf Gramme bezogen, hier die Affinitäten entsprechend auf den Fall zu beziehen, daß die Ausgangskonzentrationen K_1 sämtlich den Wert 1 haben, wodurch das zweite Glied in Parthall kommt.⁹ Dann wird es lauten:

$$(9) \quad A' = RT \log K_1 .$$

In den Gleichungen (8) und (9) kann man, was bereits bemerkt ist, statt der Konzentrationen K_1 bzw. $K_1^{(i)}$ die zugehörigen Partialdrücke p_1 bzw. $p_1^{(i)}$ einführen. Diese Partialdrücke hängen, wenn mit p der Gesamtdruck bezeichnet wird, folgendermaßen mit den Konzentrationen zusammen (siehe z. B. die Gleichungen (II) des VI. Kapitels auf pag. 286):

$$p_1 = p \cdot K_1 \\ p_1^{(i)} = p \cdot K_1^{(i)} .$$

Führt man dies in (8) bzw. (9) ein, so erhält man die entsprechenden Gleichungen, wo K_1 dieselbe Bedeutung wie in Gl. (48r) des VI. Kapitels (pag. 284) hat:

$$(9a) \quad A' = RT \log K_p - RT \sum \log (K_p^{(i)}) ,$$

bzw., wenn sämtliche Ausgangspartialdrücke gleich 1 sind:

$$(9a) \quad A' = RT \log K_p .$$

Als Affinität schließlich bezeichnen wir immer die auf die Einheits der Konzentrationen bzw. der Partialdrücke bezogenen Werte nach (8) oder (9a).

Durch diese Gleichungen hat gleichzeitig die Gleichgewichtskonstante eine anschauliche physikalische Deutung erhalten. Nach beiden Gleichungen (9) ist es, wenn die Gleichgewichtskonstante bekannt ist, sofort möglich, die Affinität anzugeben, und zwar etwa in Erg oder in Kalorien.

⁹ Allerdings ist es in der Chemie üblich, auf die Einheit der Volumkonzentrationen zu beziehen (Reinold im Liter), was natürlich im Prinzip gleichgültig ist.

Es braucht kaum erwähnt zu werden, daß dieselben Formeln sich ergeben, wenn es sich um Reaktionen in verdünnten Lösungen handelt, dergleichen bei Reaktionen im heterogenen System mit Gasphasen¹⁾ oder mit Flüssigphasen, wo ja auch das Massenwirkungsgesetz gilt.

18. Die Beziehung der elektrochemischen Kraft zur Affinität.

Eine außerordentlich wichtige Methode, Affinitäten zu bestimmen, besteht darin, daß man die chemischen Reaktionen elektrische Arbeit leisten läßt, wie dies in den galvanischen Elementen der Fall ist.

Taucht man z. B. metallisches Zink in eine Lösung von CuSO_4 , so geht Zn in Lösung und Cu scheidet sich auf dem Zink ab, d. h. geht aus der Lösung heraus. Zn geht also unter dem Einflusse der Affinitätskräfte folgende Reaktion von selbst vor sich:



Dieser Vorgang ist durchaus reversibel, denn die ihm entweichende Arbeitsfähigkeit wird nicht genutzt, wenn man ihn so, wie beschreiben, vor sich gehen läßt. Aber wir können, indem wir uns in diesem Falle ein sogenanntes Daniell'sches Element (und allgemein galvanische Elemente, in denen die betrachteten Reaktionen vor sich gehen) zusammensetzen, diese Arbeit gewinnen, indem wir die stromende Elektricität Arbeit leisten lassen.

Heßen wir zunächst bei dem oben gewählten Beispiele!

Das Schema eines Daniell-Elementes ist das folgende: Zn taucht in ZnSO_4 -Lösung, Cu in CuSO_4 -Lösung. Werden nun die herausragenden Enden der Metalle durch einen Metalldraht miteinander verbunden, so fließt in demselben ein elektrischer Strom vom Cu zum Zn, und gleichzeitig geht Zn in Lösung, während eine chemisch äquivalente Menge Cu aus der Lösung sich an der Cu-Elektrode niederschlägt. D. h. es geht wirklich die Reaktion (11) vor sich:



Wir wollen uns nun die Aufgabe stellen, die Affinität von Zn und CuSO_4 bezüglich dieser Reaktion (11) zu bestimmen. Schon nach dem bis jetzt Gesagten ist klar, daß dies gelingen muß, wenn wir das Element vorwärtig arbeiten lassen und die dabei geleistete Arbeit, die dann die maximal durch die Reaktion zu gewinnende ist, bestimmen können. Denn diese ist ja gleich der Affinität.

Welche Arbeit leistet nun ein Element, und unter welchen Bedingungen kann es reversibel gewonnen werden?

Wird das Element durch einen Schließungsdraht kurz geschlossen, so tritt in dem Stromkreise pro Sekunde die Wärmemenge $J^2 R$, also in der Zeit t die Menge

$$(12) \quad Q' = J^2 R t$$

¹⁾ Vgl. Nr. 66.

auf, wo J die Stromstärke und

$$(13) \quad W = W_1 + W_2$$

die Summe des inneren Widerstandes W_1 und des äußeren W_2 ist. Im äußeren Schließungsstrom tritt daher die Viersenenge

$$(14) \quad Q_2' = J^2 W_2$$

auf. Kennen wir die Potentialdifferenz an den Enden des geschlossenen Elementes E_1 (die Zahlen „ g “ soll auf „geschlossen“ deuten), so ist nach dem Ohmschen Gesetz

$$(15) \quad J W_2 = E_1,$$

so daß (14) geschrieben werden kann:

$$(16) \quad Q_2' = J E_1.$$

Darin ist nun J die gesamte Elektrizitätsmenge, die während der Zeit t durch irgendeinen Querschnitt hindurchgetreten ist; nennen wir die M , so ist

$$(17) \quad Q_2' = E_1 M$$

die elektrische Arbeit, die geleistet wird, wenn die Elektrizitätsmenge M vom positiven Pol zum negativen Pol des Elementes hindurch, d. h. durch eine Leitung fließt, an deren Enden die Potentialdifferenz E_1 liegt.

Wann ist nun diese Arbeit die minimale, d. h. wann arbeitet das Element reversibel?

Darauf ist offenbar erforderlich, daß der gesamte Vorgang im Element rückgängig gemacht werden kann. Wir müssen also zunächst die Elektrizitätsmenge M , die bisher vom Unpol zum Unpol geflossen ist, umgekehrt vom negativen Pol zum positiven zurückschaffen. Das kann einfach dadurch geschehen, daß wir zunächst von einer äußeren Stromquelle Strom in umgekehrter Richtung durch das Element senden, bis die gewünschte Quantität Elektrizität M transportiert ist.

Aber dies ist nicht genug. Sondern es müssen dabei gleichzeitig die chemischen Änderungen rückgängig gemacht werden, d. h. etwa 1 Mol Cu in Lösung gehen und 1 Mol Zn aus der Lösung sich an der Kathode abscheiden, wobei sich gleichzeitig das Vorzeichen der Viersennung umkehren muß. Beim Daniellischen Element findet diese umgekehrte Abscheidung bei Stromumkehr tatsächlich statt, bekanntermaßen aber bei allen galvanischen Elementen. Elemente mit der genannten Eigenschaft des Daniell-Elementes nennt man daher auch „reversible“ Elemente. Ferner müssen wir, da die Erzeugung Joulescher Wärme ein irreversibler Vorgang ist, diese möglichst unterdrücken. Das kann nur dadurch geschehen, daß man sehr schwache, im Grenzfall unendlich schwache Ströme aus dem Element entnimmt, so daß die Stromstärke, die ja dem Quadrat des Stromstärke proportional ist, von höherer Ordnung verschwindet. Der Durchfluß einer bestimmten molleken Elektrizitätsmenge M , sowie die Abscheidung von 1 Mol Cu von einem dann endlich unendlich langen,

aber diese Zigarettenähnlichkeit teilt unser Prozess bekanntlich mit allen gasdilatativen Vorgängen, und das bildet für die thermodynamischen Betrachtungen kein Hindernis.

Um unendlich schwache Ströme zu erzielen, müssen wir den äußeren Widerstand unendlich groß machen. Dabei steigt die Potentialdifferenz des geschlossenen Elements E_0 nach dem Übersetzen Gastes und nähert sich asymptotisch dem Werte E , d. h. der Potentialdifferenz, die die Pole des Elements im streckenlosen Zustande aufweisen und die man die „elektromotorische Kraft“ des Elements nennt. In diesem Falle hat also die totale Arbeit den Maximalwert \mathcal{A} , der sich nach (16) ergibt aus:

$$(17) \quad \mathcal{A} = E_0 M.$$

Jetzt kommt es nur noch darauf an, die Elektrizitätsmenge M zu bestimmen, die erfordert wird, um eine bestimmte Quantität der Reaktion umzusetzen, in unserem Beispiele also eine bestimmte Menge Zn in Lösung zu bringen und die entsprechende O₂ aus der Lösung abzuscheiden.

Die Antwort darauf gibt uns das zweite Faradaysche Gesetz der Elektrolyse. Nach denselben werden in der gleichen Zeit durch den gleichen Strom chemisch äquivalente Mengen abgetrennt. Chemisch äquivalente Mengen erhält man, wenn man bei chemischen Elementen das Grammmol., bei chemischen Radikalen (z. B. SO₂, CO₂) das Gesamtmol durch die Wertigkeit des betreffenden Stoffes (seine Valenz) dividiert. Die so erhaltene Menge von Grammen nennt man ein „Grammäquivalent“. Dementsprechend wird zur Abscheidung eines Grammäquivalentes eines beliebigen Stoffes stets derselbe Strom durch eine bestimmte Zeit fließen müssen, d. h. die nämliche Elektrizitätsmenge M , erforderlich sein; diese so bestimmte Menge M nennt man die „Äquivalenzladung“.

Der Durchfluß einer Äquivalenzladung durch ein Element setzt z. B. von der Reaktion



1 Grammäquivalent Wasserstoff = 1 Gramm Wasserstoff und 1 Grammäquivalent Sauerstoff = $\frac{1}{2} \cdot 8$ Gramm Sauerstoff um, und das sind in der Tat chemisch äquivalente Mengen.

Man sieht aus der obigen Darlegung, daß es in diesem Falle zweckmäßig ist, die Affinität bzw. maximale Arbeit nicht auf ein Mol, sondern auf ein umzusetzendes Grammäquivalent zu beziehen. Man kann ja jederzeit von diesen Zahlen zu Molen übergehen, wenn dies einmal erforderlich sein sollte. Nach (17) beträgt die maximale Stromarbeit pro Grammäquivalent:

$$(18) \quad \mathcal{A} = E_0 M_0.$$

M_0 kann experimentell einfach bestimmt werden, indem man z. B. die Stromstärke I und die Stromdauer t mißt, bis ein Grammäquivalent H,

z. B. 1 Gramm Wasserstoff, abgeschieden ist. Das Produkt FE , d. h. die Äquivalentladung, hat sich ergeben zu

$$(17) \quad M_0 = 95540 \text{ Coulomb.}$$

Nennen wir die elektromotorische Kraft in Volt, so ist nach (16) und (17) die Affinität pro Grammäquivalent gemessen in „Coulomb-Volt“, ein Produkt, das natürlich von der Dimension einer Arbeit bzw. Wärmemenge ist. Und zwar ist nach der Definition eines Coulomb und eines Volt:

$$\begin{aligned} 1 \text{ Coulomb} &= 0,1 [\text{gr}^{\frac{1}{2}} \text{cm}^{\frac{1}{2}}] \\ 1 \text{ Volt} &= 10^9 [\text{gr}^{\frac{1}{2}} \text{cm}^{\frac{1}{2}} \text{sec}^{-1}] . \end{aligned}$$

also 1 Coulomb-Volt = $10^7 [\text{gr cm sec}^{-1}] = 10^7 \text{ Erg} = \frac{1}{418} \text{ cal.}$, also

$$(18) \quad 95540 \text{ Coulomb-Volt} = 23050 \text{ cal.}$$

Die obige Darlegung führt zu der Erkenntnis, daß die elektromotorische Kraft eines zersetzenden Elementes ein Maß für die Affinität ist, die den im Element verlaufenden chemischen Vorgang hervorbringt. Daher muß die Größe $E_0 M_0$ der Helmholtzschen Gleichung (2) genügen:

$$(19) \quad M_0 E_0 = Q' + T M_0 \left(\frac{\partial E_0}{\partial T} \right)_P ,$$

wobei Q' die Wärmeerzeugung der im Element sich abspielenden Reaktion, nunmehr natürlich auch auf Grammäquivalente bezogen, bedeutet. Denken wir uns $M_0 E_0$ nach Gl. (18) von „Coulomb-Volt“ auf Kalorien reduziert, so erhalten wir die in Kalorien gemessene elektromotorische Kraft, die wir mit E_0' bezeichnen wollen. Dafür ist dann einleucht., da $95540 M_0 \text{ Coulomb-Volt} = (23050 M_0) \text{ cal} = E_0' \text{ cal}$ sind:

$$(20) \quad E_0' = Q' + T \left(\frac{\partial E_0'}{\partial T} \right)_P .$$

Nach den letzten Gleichungen kann man also die elektromotorische Kraft E_0 eines Elementes bestimmen, wenn die Wärmeerzeugung Q' der Reaktion und der Temperaturkoeffizient $\left(\frac{\partial E_0}{\partial T} \right)_P$ der elektromotorischen Kraft bekannt sind. Nur in dem singulären Falle, daß $\left(\frac{\partial E_0}{\partial T} \right)_P = 0$, kann die elektromotorische Kraft aus Q' allein berechnet werden. Das würde dem Thomson-Berthelotschen Prinzip entsprechen, das oben auch hier im allgemeinen nicht richtig ist.

Die obigen Formeln, die von Helmholtz und Gibbs herrühren, sind durch Messungen von Jahn⁴⁾ und andern bestätigt worden. Z. B. ergibt sich für das Daniell-Element bei $T = 273^\circ$ also:

$$E_0' = 25000 \text{ cal}$$

$$Q' = 23050 \text{ cal}$$

⁴⁾ Literatur siehe z. B. bei Seckler, Chemische Affinität und das Messung, Braunschweig 1908.

Dampfwert ist die Affinität pro Grammäquivalent von Zn und CuSO_4 für die Reaktion (36) gleich 25 000 cal; auf Mole bezogen wäre dieser Wert mit der Vielfachheit, hier also mit 2, zu multiplizieren.

Daraus ergibt sich nach (35) für den Temperaturkoeffizienten $\left(\frac{\partial E_0}{\partial T}\right)_P$ der Wert:

$$\left(\frac{\partial E_0}{\partial T}\right)_{T=293} = \frac{25000 - 10000}{293} = \frac{150}{293} \frac{\text{cal}}{\text{grad}},$$

oder in Volt umgerechnet:

$$\left(\frac{\partial E_0}{\partial T}\right)_{T=293} = \frac{150}{293 \cdot 41868} \frac{\text{Volt}}{\text{grad}} = 0,000884 \frac{\text{Volt}}{\text{grad}},$$

während experimentell¹⁾ gefunden wurde $0,000884 \frac{\text{Volt}}{\text{grad}}$, was einer Differenz zwischen E_0' und $Q' = 213$ cal entsprechen würde, während 808 cal gefunden war. Die Übereinstimmung ist so gut, als man in Anbetracht der schwierigen Messung erwarten kann. Für die elektromotorische Kraft des Daniell-Elementes liefern die obigen Zahlen in Volt den Wert:

$$E_0 = 1,099 \text{ Volt},$$

was ebenfalls mit der Erfahrung (1,06 bis 1,10 Volt) gut übereinstimmt.

Man erkennt übrigens, daß gerade beim Daniell-Element das Glied $T \frac{\partial E_0}{\partial T}$, das die Konstante des Thomson-Berthelot'schen Prinzips darstellt, sehr klein ist, nämlich bei 293° also nur 0,009 Volt beträgt, so daß in diesem Falle die elektromotorische Kraft bzw. die Affinität praktisch gleich der Wärmetönung ist. Aber, wie schon mehrfach betont, ist dies ein durchaus singulärer Fall.

Die in dieser Nummer gezeigte Methode zur Messung von Affinitäten ist eine der genauesten, die man besitzt, aber auf vorbedingend geringe Reaktionen beschränkt. Es bleibt also noch wie vor das Problem bestehen, eine allgemeine Methode zu finden, um Affinitäten zu messen bzw. zu berechnen.

VI. Das Kernische Wärmetheorem die Affinität kondensierter Systeme.

In diese Lücke greift nun das Kernische Wärmetheorem ein. Und zwar geht Kernst aus von der Kolbichowschen Gleichung (2) für die Affinität:

$$(3) \quad A = Q + T \left(\frac{\partial A}{\partial T} \right)_P.$$

Diese Gleichung gestattet zwar, durch Integration A' zu bestimmen, doch tritt dabei eine unbestimmte Integrationskonstante auf. Um dies zu vermeiden, verfahren wir folgendermaßen:

¹⁾ Abertings viel experimentell statt $\left(\frac{\partial E_0}{\partial T}\right)_P$, d. h. der Temperaturkoeffizient bei konstantem Druck gemessen, doch ist bei festen und flüssigen Systemen der Unterschied vernachlässigbar.

Wenn wir Gl. (2) zunächst für die absolute Temperatur $T=0$ bilden, so fällt das letzte Glied $T \left(\frac{\partial A'}{\partial T} \right)_v$ fort, falls nur $\left(\frac{\partial A'}{\partial T} \right)_v$ nicht unendlich als vom ersten Gliede zu wird; bleibt $\left(\frac{\partial A'}{\partial T} \right)_v$ endlich, gilt das Gemachte fortiori. Machen wir über $\frac{\partial A'}{\partial T}$ eine dieser beiden Voraussetzungen, so haben wir aus (2) für $T=0$:

$$(3a) \quad A_0' = Q_0'.$$

Subtraktion von (3) ergibt:

$$(A' - A_0') = Q' - Q_0' + T \left(\frac{\partial(A' - A_0')}{\partial T} \right)_v,$$

oder, wenn man für $(A' - A_0')$ kurz A , für $(Q' - Q_0')$ kurz Q schreibt:

$$(3b) \quad A = Q + T \left(\frac{\partial A}{\partial T} \right)_v.$$

Diese Gleichung kann nun offenbar in folgender Weise geschrieben werden:

$$(3ba) \quad T^2 \frac{\partial}{\partial T} \left(\frac{A}{T} \right) = -Q,$$

und nun die Integration dieser Gleichung handelt es sich. (3b) bzw. (3ba) ist eine lineare inhomogene Gleichung für A ; die zugehörige homogene Gleichung lautet mit $Q=0$ einfach:

$$(3b) \quad \frac{\partial}{\partial T} \left(\frac{A}{T} \right) = 0,$$

deren allgemeiner Lösung offenbar

$$(3c) \quad A = AT$$

ist. Nun brauchen wir noch den allgemeinen Ausdruck einer linearen Differentialgleichung; nur noch ein partikuläres Integral der inhomogenen Gl. (3b) bzw. (3ba), um durch Addition zu (3c) das allgemeine Integral von (3b) zu bekommen. Ein partikuläres Integral von (3ba) läßt sich offenbar so schreiben:

$$(3d) \quad \frac{A}{T} = - \int_0^T \frac{Q}{T^2} dT.$$

Damit das Integral auf der rechten Seite überhaupt einen Sinn hat, muß Q in gewisser Weise bei $T=0$ verschwinden, so daß $\frac{Q}{T^2}$ endlich bleibt; wir gehen später genauer darauf ein, und setzen vorläufig Konvergenz des Integrals voraus. Setzt man nun wieder für A und Q die Werte ein, so erhält man:

$$(3e) \quad A' - A_0' = T \int_0^T \frac{Q' - Q_0'}{T^2} dT.$$

Es dieses partiellen Integral tritt hinzu das in (38) gegebene allgemeine Integral der homogenen Gleichung; daher haben wir insgesamt:

$$(39) \quad A = Q_0' - T \int \frac{Q_0' - Q_1'}{T^2} dT + \beta T.$$

Die hier auftretende Integrationskonstante β , die von Hahler mit Recht in sehr charakteristischer Weise als die „thermodynamisch unbestimmte Konstante“ bezeichnet wird, kann natürlich vom Volumen V abhängen. Gerade diese Unbestimmtheit des Konstanten versteht es nun, daß wir durch rein thermische Messungen (Theoretisch gesprochen durch eine Integration der Gl. (38), die Affinität bestimmen können. Die klassische Thermodynamik, d. h. die Integration der aus den beiden Hauptaxiomen folgenden Folgerungen, liefert eben nicht die Affinität selbst, sondern nur eine Differentialgleichung für dieselbe.

Sehen wir zunächst einmal von der Unbestimmtheit der Konstanten β ab, so läßt sich im übrigen A in der Tat durch rein thermische Messungen bestimmen.

Denn das Integral $\int \frac{Q_0'}{T^2} dT$ kann relativ leicht durch solche Messungen

bestimmt werden, wie aus der folgenden Darlegung hervorgeht, die insbesondere festlegen soll, was zu diesem Zwecke experimentell bekannt sein muß.

Wir können unter gewissen Voraussetzungen, die nachher näher erörtert werden sollen, Q' als Funktion von T in die folgende Potenzreihe entwickeln (Mac Laurinsche Reihe):

$$(40) \quad Q' = Q_0' + \alpha T + \beta T^2 + \gamma T^3 + \dots,$$

wel es genügt lediglich darauf an, die Koeffizienten $\alpha, \beta, \gamma, \dots$ experimentell zu bestimmen. Der Koeffizient α muß aber $= 0$ sein, da sonst das Integral auf der rechten Seite von (36) oder (37) nicht konvergent wäre. Die physikalische Bedeutung von β, γ, \dots erhält man am einfachsten durch Differentiation von Q' nach T :

$$(41) \quad \frac{dQ'}{dT} = 2\beta T + 3\gamma T^2 + \dots,$$

wann wir gleichzeitig beachten, daß nach dem in Gl. (125) des zweiten Kapitels auf pag. 142 formulierten Kirchhoffschen Satze $\frac{dQ'}{dT}$, d. h. der Temperaturkoeffizient der Wärmerzeugung, die Differenz der Wärmekapazitäten der reagierenden Stoffe vor und nach der Reaktion bedeutet (die getriebenen Größen beziehen sich auf die nach der Reaktion vorhandenen Stoffe):

$$(42) \quad \frac{dQ'}{dT} = \sum m_i c_i - \sum n_k c_k.$$

Kennt man also die spezifischen Wärmen (bei konstantem Volumen, weil sich ja die Gl. (2) auf konstantes Volumen bezieht) sämtlicher Reaktionsbeteiligten als Funktionen der Temperatur T , so kennt man auch die Koeffizienten β, γ, \dots im Ausdruck (20) für die Wärmesetzung Q' ; wie schon vorher betont, ist Q' , die Wärmesetzung beim absoluten Nullpunkt.

Wir wollen nun (20) in unsere Ausdruck (28) für A' einsetzen und gleiches integrieren. Das liefert:

$$A' = Q'_0 - T \left[\int_0^T \beta dT + \int_0^T \gamma T dT + \dots \right] - J T$$

oder ausgedr.:

$$(32) \quad A' = Q'_0 - \beta T^2 - \frac{\gamma}{2} T^3 + \dots + J T.$$

Kernel wurde nun durch die Erfahrung gelehrt, daß bei sehr tiefen Temperaturen, die aber immerhin noch beträchtlich vom absoluten Nullpunkte abstehen (z. B. beim Siedepunkte des Wasserstoffes, d. h. bei etwa 20° abs.) die Thomson-Barthelemitesche Regel von der Konstanz von A' und Q' immer häufiger stimmt, so daß offenbar ein richtiger Kern in denselben stehen muß. Gerade die Tatsache ist wichtig, daß demgemäß $A' = Q'$ wird schon bei Temperaturen, die immerhin erheblich vom dem absoluten Nullpunkte abstehen. Daß beim absoluten Nullpunkte Gleichheit von A' und Q' stattfindet, folgt ja schon aus der Helmholtzschen Gleichung (2), läßt nicht $\left(\frac{\partial A'}{\partial T}\right)_p$ von höherer als der ersten Ordnung unendlich wird, geht aus Ueberblick auch aus einem Vergleich von (20) und (32) hervor; das ist also nur für unser Gesichtspunkt wenig beachtenswerte Tatsache. Aber wenn bei nur erheblichem Temperaturintervall, vom absoluten Nullpunkte angetreten, die Gleichheit bereits besteht, so müssen auch die Ableitungen von A' und Q' nach T (sich natürlich bei konstantem P genommen, was wir in Zukunft nicht mehr besonders hervorheben werden) gleich sein.

Die experimentellen Tatsachen führen also zu der Vermutung, daß

$$\left(\frac{\partial A'}{\partial T} = \frac{\partial Q'}{\partial T}\right)_{\text{im } T=0}$$

ist. Aus unserem Ansatz (30) und der daraus sich ergebenden Gl. (32) folgt damit:

$$[2\beta T + 3\gamma T^2 + \dots - 2\beta T - \frac{1}{2}\gamma T^2 + J]_{\text{im } T=0} = 0$$

was dadurch erreicht werden kann, daß man

$$(33) \quad J = 0$$

annimmt.

Stellt man aber diese Bedingung als erfüllt an, so folgt aus (30) und (32) weiter:

$$(34) \quad \left\{ \begin{array}{l} \lim_{T \rightarrow 0} \frac{dQ'}{dT} = 0, \\ \lim_{T \rightarrow 0} \frac{dA'}{dT} = 0, \end{array} \right.$$

womit die Gleichheit von $\frac{dQ'}{dT}$ und $\frac{dA'}{dT}$ für tiefe Temperaturen von selbst erfüllt ist.

Die Gleichungen (34) bilden die ursprüngliche Form des Nernstschen Wärmethesoms.

Man erkennt aus (35) sofort, daß durch diese neue Forderung, die an den beiden Hauptstellen hinzutritt, die thermodynamisch unbestimmte Konstante J bestimmt wird; sie ist direkt gleich Null.

Daher ist nunmehr mit Rücksicht auf (28) die Affinität A' durch (32) vollkommen bestimmt. Ist nämlich Q' als Funktion der Temperatur gegeben durch (wegen $\alpha = Q'$):

$$(35) \quad Q' = Q_0' + \beta T^2 + \gamma T^3 + \dots,$$

so ist die Affinität A' durch die Gleichung bestimmt:

$$(35a) \quad A' = Q_0' - \beta T^2 - \frac{\gamma}{2} T^3 \dots$$

Die Affinität ist also nunmehr durch sehr thermische Messungen, nämlich durch Bestimmung der spezifischen Wärmen als Funktionen der Temperatur, vollkommen bestimmbar, wenn die ursprüngliche Voraussetzung, daß Q' in Form der Reihe (35) darstellbar ist, zutrifft. Das ist aber bei den sogenannten kondensierten, d. h. aus festen festen und flüssigen (weil unterkühlten) Substanzen bestehenden Systemen, wohl sicher der Fall, weil diese stetig, d. h. ohne Aggregatzustandsänderungen oder allotrope Umwandlungen, bis zu beliebig tiefen Temperaturen abgekühlt werden können. Gase und Lösungen dagegen sind zunächst auszuweisen, weil man keine Vorstellung davon hat, was aus diesen bei sehr tiefen Temperaturen und endlichen Drücken wird. Dagegen werden wir bald sehen, daß auch die Affinität gasförmiger Systeme und Lösungen auf indirektem Wege aus dem Nernstschen Theorem bestimmt werden kann.

Die Gleichungen (34), die das Nernstsche Theorem formulieren, gestatten eine einfache geometrische Deutung, wenn wir die Kurven $Q'(T)$ und $A'(T)$ als Ordinaten und die Temperatur T als Abszisse wählen (Fig. 66).

Denn diese Gleichungen besagen, daß die Q' -Kurve die A' -Kurve in der Nähe des absoluten Nullpunktes tangiert, sowie daß diese Tangente horizontal ist. Daraus, daß die beiden Kurven sich tangieren, ist auszusprechen, daß die A' -Kurve (bis zu einem gewissen Grade) durch die Q' -Kurve bestimmt ist (die thermodynamisch unbestimmte Konstante J ist gleich Null), darin, daß die Kurven eine horizontale Tangente haben,

ist die Gültigkeit des Theorems-Berthelot'schen Prinzips für sehr tiefe Temperaturen ausgesprochen.

Eine allgemeine Forderung des Nernst'schen Theorems möge gleich hier noch besprochen werden, da sie uns in allgemeiner Form in eine



Fig. 4b.

der nächsten Nummer bestätigten wird. Der verschwindende Koeffizient α hat (nach Gl. (82)) offenbar die physikalische Bedeutung $\left(\frac{\partial Q}{\partial T}\right)_{T=0}$, d. h. den Temperaturgradienten der Wärmerzeugung beim absoluten Nullpunkt. In Verbindung mit dem Kirchhoff'schen Satze (31) folgt aber

$$\alpha = \left(\sum n_i c_i - \sum n_i c_i'\right)_{T=0} = 0,$$

d. h. beim absoluten Nullpunkte sind die Wärmekapazitäten streng additiv, wie es die Dulong-Neumann'sche Regel verlangt.

Wegen des folgenden sei noch darauf hingewiesen, daß auch andere Entwicklungen von Q , als diejenige, die wir in (35) zugrunde gelegt haben, zu dem Nernst'schen Theorem führen bzw. mit ihm verträglich sind.¹⁾ Überhaupt muß betont werden, daß das Versichende ja keineswegs einen Beweis dieses Satzes aus thermodynamischen Prinzipien darstellen soll. Ein solcher wäre auch unmöglich.

Denn die Gleichungen (34) stellen ebenso wie z. B. allgemein der Theorem-Plancksche Satz von der Unmöglichkeit eines Perpetuum mobile zweiter Art) eine neue unabhängige Tatsache dar, die nur aus den beiden bisher bekannten Hauptätzen nicht deduziert werden kann. Man hat daher ebenfalls das Nernst'sche Theorem auch als den „dritten Hauptsatz“ der Wärmetheorie bezeichnet.

¹⁾ Insbesondere bedeutet es z. B. keine große Potenzen von T zu sein, man könnte auch der Entwicklung (35), die ja wegen $\alpha = 0$ mit der 1ten Potenz von T beginnt, die Entwicklung mit einem Gliede T^2 anfügen lassen, wo nur $n > 1$ sein müßte. Entwicklungen ganz anderer Art, die aber gleichfalls mit dem Nernst'schen Wärmetheorem verträglich sind, werden wir später im Kap. XI kennen lernen.

Hier wollen wir noch ein einfaches Beispiel, gleichzeitig dazu die ersten, an dem das neue Theorem sich bewähren konnte, etwas genauer besprechen. In der vorigen Nummer haben wir aus den Messungen von Bessant die Affinität des chemischen Schmelzes bezüglich seiner Umwandlung in amorphes bestimmt. Andererseits können wir sie jetzt nach (84a) berechnen, wenn wir die Wärmestörung q' dieser Umwandlung in der Form (85) kennen. Dies ist in der Tat der Fall. Denn Broustet und Tammann haben die auf 1 g bezogene Umwandlungswärme (die wir gemäß unserer allgemeinen Bezeichnungsweise durch q' bezeichnen) des amorphen in den kristallinen Schmelz gemessen und gefunden:

$$q'_{100} = 2,43 \text{ cal/gr.}$$

$$q'_{200} = 3,13 \text{ cal/gr.}$$

Daraus lassen sich q'_0 , die Wärmestörung beim absoluten Nullpunkte, und der Koeffizient β berechnen, wenn wir, was jedenfalls für ein kleines Temperaturintervall möglich ist, in (85) hinter dem quadratischen Gliede ableiten. Man findet dann folgende Werte:

$$q'_0 = 1,57 \text{ cal/gr.}$$

$$\beta = 1,13 \cdot 10^{-5} \frac{\text{cal}}{\text{gramm}^2},$$

so daß wir für die Wärmestörung gemäß (85) die Darstellung finden:

$$(87) \quad q' = 1,57 + 1,13 \cdot 10^{-5} T^2 \text{ cal/gr.}$$

Nach (84a) erhalten wir somit für die Affinität a' der Umwandlung amorphes \rightarrow kristallin die Darstellung:

$$(88a) \quad a' = 1,57 - 1,13 \cdot 10^{-5} T^2 \text{ cal/gr.}$$

In der folgenden Tabelle sind die von Bessant durch direkte Löslichkeitsbestimmung gewonnenen Werte von a' zusammengestellt mit den nach der letzten Formel berechneten.

T	a' ber.	a' beob.
100	0,75	0,710
150,0	0,82	0,800
170,4	0,85	0,800
190,0	0,75	0,800

Die Übereinstimmung ist vortrefflich.

Während nach (87) die Wärmestörung mit steigender Temperatur ansteigt, sinkt nach (87a) die Affinität. (Was natürlich! Denn wir nähern uns ja dabei dem Umwandlungspunkte, an dem die Affinität gleich Null werden muß. Seien wir zur Bestimmung der Umwandlungstemperatur T_0 in (87a) $a' = 0$, so folgt für diesen der Wert:

$$(87b) \quad T_0 = \sqrt{\frac{1,57 \cdot 10^5}{1,13}} = 369,5^\circ \text{ abs.} = 95,5^\circ \text{ C.}$$

vor mit dem experimentellen Befunde $T_0 = 25,5^\circ \text{C}$ ebenfalls gut übereinstimmt.

Eine weitere Folgerung können wir für die spezifische Wärme des rhombischen und monoklinen Schwefels ziehen. Denn nach dem Kirchhoffschen Satze ist hier:

$$(87) \quad \frac{dC_p}{dT} = c_{\text{max}} - c_{\text{rh}} = 2,56 \cdot 10^{-5} T,$$

und für eine Temperatur $T = 250^\circ$ also findet man daraus:

$$c_{\text{max}} - c_{\text{rh}} = 0,0064 \text{ cal gr.}^{-1}$$

während experimentell von Tligand und Kersel der Wert 0,0033 gefunden wurde. Die Übereinstimmung geht aber noch weiter. Denn nach der obigen Formel muß ja $\frac{dC_p}{dT}$ mit steigender Temperatur abnehmen, was schließlic von absoluten Nullpunkte selbst gleich Null zu werden; ein Spezialfall der Additivität der spezifischen Wärmen gemäß dem Nernstschen Theorem. Auch diese Folgerung ist mit dem Experiment in guter Übereinstimmung, wie die folgende Tabelle zeigt, die einer Abhandlung von Nernst⁷⁾ entnommen ist.

Wenn auch die gemessenen Werte zu einfacher infolge von Beobachtungsfehlern = kleine Schwankungen zeigen, so ist doch der Abfall von $\frac{dC_p}{dT} = c_{\text{max}} - c_{\text{rh}}$ mit T ganz unverkennbar. Auch der Größenordnung nach stimmen die beobachteten mit den berechneten Werten überein, so daß wir das Beispiel der Schwefelumwandlung als eine vollkommenste Bestätigung des Nernstschen Theorems ansprechen dürfen.

T	$\frac{dC_p}{dT}$	$1,20 \cdot 10^{-5} T$	Beobachter
25° abs.	0,0011	0,0018	Nernst
50	0,0020	0,0035	Nernst
100	0,0034	0,0070	Kersel
150	0,0050	0,0105	Nernst
210	0,0070	0,0146	Kersel
250	0,0084	0,0164	Tligand
270	0,0090	0,0176	Kersel
290	0,0098	0,0187	Tligand
310	0,0100	0,0194	Reynolds

Es ist allerdings nicht zu verkennen, daß die Differenz der spezifischen Wärmen nach der obigen Tabelle etwas schneller mit steigender Temperatur abnimmt, als es der Formel (87) entspricht. Das liegt aber einfach daran, daß diese ja eine nur angenäherte empirische Formel ist. Die kinetische Theorie der Materie hat in der Tat, wie wir später (Kap. XI) eingehen werden, den Beweis geliefert, daß der Abfall der spezifischen

⁷⁾ Nernst, *Strömungen*, 4. Aufl. Abt. d. Wiss. pag. 584, 1910; dort finden sich auch noch mehrere andere Beispiele für die Bestätigung des 2. Axioms.

Wärmen bei niedrigen Temperaturen proportional der dritten Potenz der absoluten Temperatur vor sich geht, also in der Tat erheblich rascher ab, gemäß der Gl. (38). Hier müssen wir uns mit dieser Andeutung begnügen.

77. Die Affinität gasförmiger Reaktionen nach dem Nernstschen Theorem; die chemische Konstante und die Reaktionskonstante.

Wie schon in der vorigen Nummer bemerkt, bezieht sich das Nernstsche Wärmethorem nicht ohne weiteres auf Gase und Lösungen, weil über deren Verhalten in der Nähe des absoluten Nullpunktes bei endlichen Drucken nichts ausgesagt werden kann. Die thermodynamisch unbestimmte Konstante J der Gl. (38), die für kondensierte Systeme nach dem Nernstschen Theorem gleich Null ist, braucht dies für Gase nicht zu sein; sie kann es sogar nicht sein, wenn die Gültigkeit der Gasequation bis zum absoluten Nullpunkte herab angenommen wird.

Denn die Affinität einer homogenen Gaseinwirkung ist — wenn, für alle Temperaturen die Gültigkeit der Gasequation angenommen wird — nach Gl. (34) gegeben durch:

$$(38) \quad A' = RT \log K_p,$$

wo $\log K_p$ nach Gl. (25c) des vorigen Kapitels (pag. 531) und in den dortigen Bezeichnungen die folgende Funktion von T ist:

$$(40) \quad \log K_p = \log B - \frac{A}{T} + C \log T.$$

A , B , C sind Konstanten, deren Bedeutung im vorigen Kapitel erklärt worden ist; hier kommt es zunächst darauf nicht an. Ausdrücklich geschrieben wird also die Affinität nach (38):

$$(41) \quad A' = RT \log B - RA + RCT \log T,$$

und für $\left(\frac{\partial A'}{\partial T}\right)_p$ ergibt sich daraus:

$$(42) \quad \left(\frac{\partial A'}{\partial T}\right)_p = R \log B + RC \log T + RC.$$

Dieser Ausdruck wird aber keineswegs gleich Null, wenn $T=0$ wird, sondern er wird negativ unendlich, womit unsere obige Behauptung bewiesen ist. Man hat also folgende Alternative vor sich: Entweder gelten die Gasequation, wenn Gase bei konstantem Volumen abgekühlt werden, bis zum absoluten Nullpunkt herab, dann kann das Nernstsche Wärmethorem in der Form (38) nicht gelten; oder aber: Wenn das Nernstsche Theorem unverändert für Gase Geltung besitzen soll, so können die Gasequation auch für ideale Gase nicht bis zu den tiefsten Temperaturen herab gelten.

Wir wollen zunächst auf die Frage nach dem Verhalten der Gase bei endlichen Dichten bei außerordentlich tiefen Temperaturen nicht eingehen und daher auch die weitere nach der Gültigkeit des Kernistischen Theorems für Gase in der Form (26) offen lassen. Wir behalten uns vor, auf dieses hier angeleitete Problem in einem späteren Kapitel (XII) zurückzukommen. Trotz dieser vorläufigen Vermächtigung auf eine vollständige Klärung dieser Fragen können wir doch die Affinität gasförmiger Körper mit Hilfe des Kernistischen Wärmetheorems auf einem indirekten Wege behandeln, wobei letzteres tatsächlich nur auf kondensierte Systeme angewandt wird. Es wird sich als Ergebnis herausstellen, daß es zwar auf diesem Wege nicht möglich ist, die Affinität gasförmiger Systeme allein aus thermischen Messungen zu bestimmen, sondern daß für jeden an der Reaktion teilnehmenden Stoff eine Messung etwa des Dampfdruckes bei einer Temperatur vorliegen muß.

In jedem Falle bedeutet auch schon diese indirekte Anwendung des Kernistischen Wärmetheorems aus Gaseinheiten einen erheblichen Fortschritt über den bisherigen Stand der Theorie hinaus.

Der einfachste Gedankengang, der die eben erwähnte indirekte Anwendung des Kernistischen Wärmetheorems auf Gaseinheiten ermöglicht, ist der folgende:

Wir lassen die Reaktion einmal im gasförmigen System vor sich gehen, wie z. B. in Nr. 74. Haben die Gase die Anfangskonzentrationen \bar{c}_i bzw. die zugehörigen Partialdrücke \bar{p}_i , und sind die Gleichgewichtskonzentrationen \bar{c}_i bzw. Gleichgewichtsdrücke \bar{p}_i , so ist die Änderung der freien Energie, wenn sich die Molzahlen ν_i gemäß (7) umsetzen, nach (4. (7)):

$$F_1 - F_2 = RT \log K_1(T, p) - RT \sum_i \log(\bar{c}_i^{\nu_i}) + r RT,$$

$r = \sum \nu_i$ ist, wie oben, die gesamte Vermehrung der Molzahl, die durch die Reaktion eintritt. Unter Berücksichtigung der Partialdrücke \bar{p}_i bzw. \bar{p}_i geht diese Gleichung über in:

$$F_1 - F_2 = RT \log K_1(T) - RT \sum_i \log(\bar{p}_i^{\nu_i}) + r RT,$$

nach unserer Definition der Affinität in (4. (26)) ist nun $RT \log K_1$ die Affinität A_{ges} unserer Reaktion (wie üblich, auf die Ausgangspartialdrücke gleich 1 bezogen). Also kann man die Gleichung schreiben:

$$(48) \quad F_1 - F_2 = A_{\text{ges}} - RT \sum_i \log(\bar{p}_i^{\nu_i}) + r RT.$$

Kann man lassen wir die Reaktion auf einem andern Wege vor sich gehen. Wir komprimieren die Gase von ihren Anfangsdrücken \bar{p}_i (eventuell bis zu einer Verdampfungs- bzw. Sublimationsdrucke, die wir allgemein α_i nennen wollen. Dann werden weiter unter dem konstanten Drucke α_i die Gase (eventuell) vollständig kondensiert. Darauf lassen

wie die Reaktionen im kondensierten System vor sich gehen, wo die Anwendung des Nervenschen Wärmetheorems ohne weiteres möglich ist; nach der Reaktion verdampfen bzw. sublimieren wir die Stoffe zunächst vollständig unter dem konstanten Druckem α_1 und diluieren dann so lange weiter, bis die Gleichgewichtsdampfe p_1 erreicht sind, zu denen auch die gasförmigen Reaktionen gebildet haben werden. Dann ist der Endzustand auf diesem Wege genau derselbe, wie vorher, und folglich muß die Abnahme der freien Energie (gleich maximaler Arbeit) gleichfalls dieselbe sein. Die maximale Arbeit setzt sich wie folgt zusammen:

1. Aus der bei Kompression von dem Druckem p_1 auf den Druck α_1 (vor der Reaktion) und der bei Dilatation von α_1 auf p_1 (nach der Reaktion) gewonnenen Arbeit; diese hat, wie man leicht sieht, den Wert:

$$A_1' = RT \sum_i \log \left(\frac{p_1^{\nu_i}}{\alpha_1^{\nu_i}} \right).$$

2. Aus der bei Kondensation der Gase (vor der Reaktion) und der Verdampfung bzw. Sublimation (nach der Reaktion) unter dem konstanten Druckem α_1 gewonnenen Arbeit; diese ist offenbar:

$$A_2' = rRT,$$

wenn r die Molvermehrung durch die Reaktion ist.

3. Aus der bei der Reaktion im kondensierten System gewonnenen Arbeit A_3' , die affinitätsgemäß gleich der Affinität im kondensierten System ist, also gleich A_{cond} . Mühsam ist die auf diesem zweiten Wege eingetretene Abnahme der freien Energie gleich:

$$(44) \quad P_1 - P_2 = A_1' + A_2' + A_3' = RT \sum_i \log (p_1^{\nu_i}) - RT \sum_i \log (\alpha_1^{\nu_i}) \\ + rRT + A_{\text{cond}}.$$

Der Vergleich mit (43) liefert uns dann sofort eine Beziehung zwischen der Affinität A_{cond} und der nach dem Nervenschen Wärmetheorem berechenbaren Affinität A_{cond}' :

$$(45) \quad A_{\text{cond}} = A_{\text{cond}}' + RT \sum_i \log (a_i^{\nu_i}) = A_{\text{cond}}' + RT \sum_i \nu_i \log a_i.$$

A_{cond} ist nach den Ausführungen der vorigen Nummer gemäß dem Nervenschen Theorem auf rein thermische Messungen zurückföhrbar, und es bleibt nurmehr noch zu untersuchen, wie weit die Dampfdrucke α_i als Funktionen der Temperatur durch thermische Messungen bestimmbar sind, bzw. welche anderen Messungen ergänzend hinzutreten müssen.

Zur Bestimmung der Dampfdrucke bedienen wir die Clausius-Clapeyronsche Gleichung, die auf Mole bezogen lautet, wenn L' die nach unten abgegebene Umwandlungswärme ist:

$$-L'_1 = T \frac{dP_1}{dT} (P_1 - P_{\text{cond}});$$

T_0 ist dabei das Meldeleben des Dampfes, T_{max} das des festen oder flüssigen Kondensates, das wir gegen T_0 vernachlässigen dürfen. Nehmen wir ferner die Gültigkeit der Gasequation an, so ist $T_0 = \frac{p_0 V_0}{R}$; also folgt die bekannte Beziehung:

$$(46) \quad -\frac{d_1}{dT} = \frac{d}{dT} (\log p_0),$$

die integriert liefert:

$$(47) \quad \log p_0 = - \int \frac{d_1}{RT^2} dT + i_1,$$

i_1 bedeutet dabei wieder eine thermodynamisch bestimmte Konstante, die von Zernst als die „chemische Konstante“ des betreffenden Stoffes bezeichnet wird. Auf dem tiefsten Grad dieser Bezeichnung können wir noch stehen. Sie kann jedenfalls nicht thermodynamisch bestimmt werden, sondern dann muß man besonders, z. B. molekular-kinetische, Vorstellungen benutzen, auf die wir später (Kap. XI) eingehen werden.

Bilden wir jetzt aus in Gl. (46) auftretendes Term $RT \sum v_i \log p_i$, so ergibt sich nach (44):

$$(48) \quad RT \sum v_i \log p_i = - RT \sum v_i \int \frac{d_1}{T^2} dT + RT \sum v_i i_1.$$

Da ferner nach dem Zernstischen Wärmetheorem [Gl. (36)]:

$$(49) \quad A_{\text{max}} = Q_{\text{max}} - T \int \frac{Q_{\text{max}} - Q_0}{T^2} dT = - RT \int \frac{V_{\text{max}}}{T^2} dT$$

ist, so erhält man schließlich für A_{max} aus (44) unter Berücksichtigung von (48) und (49) das Resultat:

$$A_{\text{max}} = -T \left[\int \frac{V_{\text{max}}}{T^2} dT + \sum v_i \int \frac{d_1}{T^2} dT + R \sum v_i i_1 \right],$$

oder zusammengefaßt:

$$(50) \quad A_{\text{max}} = -T \int \frac{Q_{\text{max}} + R \sum v_i d_1}{T^2} dT + RT \sum v_i i_1.$$

Außerdem finden wir durch direkte Anwendung der Helmholtzschen Gleichung nach (35):

$$(51) \quad A_{\text{max}} = -T \int \frac{Q_{\text{max}}}{T^2} dT + RT,$$

wenn Q_{max} die bei der Reaktion im geschlossenen System verbrauchte Reaktionserleisende Wärmerzeugung ist. Nach dem ersten Hauptsatz ist nun offenbar:

$$(52) \quad Q_{\text{max}} = Q_{\text{max}} + \sum v_i Li;$$

also folgt schließlich unter Berücksichtigung dieser Gleichung durch Vergleich von (50) und (51) das merkwürdige Ergebnis:

$$(53) \quad R = R \sum v_i i_1,$$

h. k. die thermodynamisch unbestimmte Konstante J einer Gasreaktion läßt sich aus den chemischen Konstanten der Reaktions- und Edukten berechnen. Auf diesem Satze, deren Bedeutung meist Kinetik erkannt hat, beruht die große theoretische Wichtigkeit der chemischen Konstanten i_1 .

Es handelt sich nun um die Frage, welche Aussagen zur Bestimmung der durch (47) gegebenen Dampfdruckkurve erforderlich sind.

Für brauchen zunächst die Wärmetönung L_1 als Funktion der Temperatur bis zum absoluten Nullpunkte bewußt; denn es läßt sich aus der Struktur des Integrals in (47) sofort entnehmen, daß das Integrand gerade bei hohen Temperaturen zum Integrationswert erhebliche Beiträge liefert. Grundsätzlich läßt sich aus L_1 folgendermaßen bestimmen: Der erste Hauptsatz liefert für den Temperaturkoeffizienten $\frac{dL_1}{dT}$ nach Kirchhoff — vgl. Kap. II, Gl. (22), pag. 141 —

$$(54) \quad \frac{dL_1}{dT} = C_{\text{gas}} - C_{\text{flüss}},$$

wo $C_{\text{flüss}}$ die Wärmekapazität des Kondensates, C_{gas} die des Dampfes, und zwar bei konstantem Druck ist, die wir wie früher C_p nennen wollen. Die Integration von (54) liefert dann:

$$(55) \quad L_1 = L_1^0 + \int_0^T C_{\text{flüss}} dT - \int_0^T C_p dT.$$

Die Konstante L_1^0 bedeutet dabei offensichtlich die Wärmetönung beim absoluten Nullpunkte. Setzt man diesen Wert für L_1 in (47) ein, so erhält man für die Dampfdruckkurve, wenn man zur Vermeidung von Mißverständnissen in den Integralen von (55) die Integrationsvariable jetzt mit T bezeichnet, die folgende Gleichung:

$$\log x_1 = - \int \frac{L_1^0}{RT^2} dT - \int \frac{\int_0^T C_{\text{flüss}} dT}{RT^2} dT + \int \frac{\int_0^T C_p dT}{RT^2} dT + i_1,$$

oder:

$$(56) \quad \log x_1 = \frac{L_1^0}{RT} + \frac{1}{R} \int \frac{\int_0^T C_p dT}{T^2} dT - \frac{1}{R} \int \frac{\int_0^T C_{\text{flüss}} dT}{T^2} dT + i_1.$$

Für einatomige Gase ist näherungsweise bis zu den tiefsten Temperaturen bewußt C_p als konstant, und zwar gleich $\frac{5}{2} R$, anzunehmen, so daß sich in diesem Falle (56) vereinfacht zu:

$$(56a) \quad \log x_1 = \frac{L_1^0}{RT} + \log(T^{5/2}) - \frac{1}{R} \int \frac{\int_0^T C_{\text{flüss}} dT}{T^2} dT + i_1.$$

Zur Bestimmung von α_1 brauchen wir also $C_{p,1}$ ebenso $C_{p,m}$ für alle Temperaturen; beides wird durch rein thermische Messungen gelöst. L_1^* , die abgegebene Verdampfungswärme pro Mol aus absoluten Schmelzpunkten, gewinnt man aus [81], wenn ein Wert L_1 für irgendeine beliebige Temperatur bekannt ist. Schließlich erhält man die chemische Konstante k_1 aus [89], wenn der Dampfdruck α_1 für irgendeine beliebige Temperatur gegeben ist.

Zusammenfassend folgt aus dem eben Gesagten und Gl. (43), daß die Affinität gasförmiger Reaktionen aus im übrigen rein thermischen Messungen bestimmt werden kann, wenn außerdem für jeden Reaktionsteilnehmer eine Dampfdruckbestimmung für eine Temperatur vorliegt.

Eine solche Dampfdruckbestimmung für eine Temperatur dürfte in den meisten Fällen bekannt sein, so daß man vom rein praktischen Gesichtspunkte sich mit dem obigen Ergebnis zufrieden stellen könnte. Aber es bleibt unbedeutend, daß bei der hier geschilderten Auffassung, wobei die Gültigkeit der Gasequation für alle Temperaturen angenommen wird, das Nernstsche Wärmetheorem nicht direkt anwendbar ist, weil es für Gase in diesem Falle nicht zutrifft. Dies legt, wie wir schon erwähnt, die Vermutung nahe, daß ideale Gase bei sehr tiefen Temperaturen andere Gesetze befolgen, aus denen sich die gewöhnlichen Gasequation als Grenzfälle für hohe Temperaturen ergeben. Auf diese Frage der sogenannten „Entartung“ der kleinen Gase kommen wir später noch eingehender zurück.

Genaue denselben Erwägungen gelten auch für die Affinität verdünnter Lösungen; nur tritt dabei an Stelle des Dampfdrucks der osmotische Druck, der ja auch den Gaszustand gebietet. Auch hier gilt, wenn diese als unbedingt gültig angesehen werden, das Nernstsche Wärmetheorem bei direkter Anwendung nicht und legt also auch hier die Vermutung nahe, daß die Gasequation für sehr tiefe Temperaturen einer Korrektur bedürfte.

Wir wollen hier noch zeigen, daß die Konstante k_1 ihren Namen „chemische Konstante“ besser mit Recht führt, als sie nur von der chemischen Natur des Kondensats, aber nicht vom Aggregatzustand oder der chemischen Modifikation desselben abhängt. Dies läßt sich leicht folgendermaßen beweisen:

Betrachten wir z. B. die Affinität für die Umwandlung von 1 Mol rhombischen Schwefel in monoklinen, die nach Gl. (8) den Wert hat:

$$(87) \quad A' = RT \log \frac{p_{\text{rh.}}}{p_{\text{mon.}}}.$$

Ersetzen wir hier für $\log p_{\text{rh.}}$ und $\log p_{\text{mon.}}$ die Formel (87), wobei $L_{\text{rh.}}$ und $L_{\text{mon.}}$ die nach unten abgegebene Sublimationswärmen der beiden Modifikationen bedeuten sollen, so ist:

$$(37) \quad \begin{cases} \log p_h = - \int \frac{K_h}{RT^2} dT + i_h, \\ \log p_{\text{max}} = - \int \frac{K_{\text{max}}}{RT^2} dT + i_{\text{max}}. \end{cases}$$

i_h und i_{max} seien die chemischen Konstanten, die beiden Modifikationen entsprechen. Durch Einsetzen in (37) ergibt sich:

$$A_h + \text{max} = - RT \left[\int \frac{K_h}{RT^2} dT - i_h - \int \frac{K_{\text{max}}}{RT^2} dT + i_{\text{max}} \right],$$

oder:

$$A_h + \text{max} = - T \int \frac{K_h - K_{\text{max}}}{T^2} dT + RT (i_h - i_{\text{max}}).$$

Nach dem ersten Hauptsatzes ist aber, wie sofort ersichtlich:

$$(38) \quad i_h - i_{\text{max}} = E',$$

wo E' die Wärmerichtung bei der Umwandlung rheumbach \rightarrow maxbach bedeutet; also weiter:

$$(39) \quad A_h + \text{max} = - T \int \frac{K}{T^2} dT + RT (i_h - i_{\text{max}}).$$

Nach dem Verstandes Verwechseln (30) muß aber die thermodynamisch unbestimmte Konstante dieser im kondensierten Zustande vor sich gehenden Reaktion gleich Null sein, also folgt das mehrerwähnte Resultat:

$$(40) \quad i_h = i_{\text{max}},$$

d. h. die chemische Konstante ist für beide Schwefelmodifikationen dieselbe, d. h. unabhängig von der speziellen Art des Zustands, also nur abhängig von der chemischen Natur des Stoffes. Dieser Resultat, das offenbar allgemein gilt, verdankt man Kerner; es zeigt, welche Bedeutung dieser chemischen Konstanten zukommt.

Eine wichtige Beziehung verknüpft ferner die chemische Konstante i , mit der auf 1 Mol bezogenen Entropiekonstanten S_i , die wir in den Gleichungen (7) bzw. (8) des vorletzten Kapitels auf pag. 235 eingeführt haben. Die Affinität einer gasförmigen Reaktion ist nach (36) bestimmt durch:

$$A_{\text{gas}} = RT \log K_p,$$

und, wenn wir für K_p , die Gleichgewichtskonstante des Massenwirkungsgesetzes, nach Gl. (28c) des vorletzten Kapitels auf pag. 231 ihren Wert einsetzen:

$$(41) \quad A_{\text{gas}} = RT \left[\log B - \frac{A}{T} + C \log T \right],$$

wo B , A , C durch die Gl. (28) desselben Kapitels definierte Abhänger sind. Und zwar ist in den Bezeichnungen dieses Kapitels:

$$(82) \quad \left\{ \begin{array}{l} A = \sum r_i a_i = R \sum r_i \bar{a}_i, \\ \log B = \sum r_i \bar{b}_i = \frac{1}{R} \sum r_i (H - C_{v_i} - R), \\ C = \frac{1}{R} \sum r_i C_{v_i}. \end{array} \right.$$

Ferner ist nach (29) des sechsten Kapitels auf pag. 592 die physikalische Bedeutung von A und C gegeben durch die Gleichung:

$$(83) \quad -Q_{\text{ent}} = R(A - CT),$$

wenn Q_{ent} die pro Mol abgegebene Wärmemenge, bei der gesteuerten Reaktion ist. Führen wir (83) in (82) ein, so können wir letztere Gleichung schreiben:

$$(84) \quad -Q_{\text{ent}} = -T \int \frac{Q}{T^2} dT + RT \log B;$$

andernfalls ist nach der Boltzmannschen Gl. (2) derselbe Affinität gegeben durch:

$$(85) \quad -Q_{\text{ent}} = -T \int \frac{Q}{T^2} dT + J T,$$

ein Ausdruck, den wir schon in (31) benutzt haben; J ist die thermodynamisch unbestimmte Konstante, die nach Gl. (58) durch $R \sum r_i \bar{a}_i$ ersetzt werden kann. Wir haben also durch Vergleich von (84) mit (85) unter Berücksichtigung von (31):

$$R \log B = J = R \sum r_i \bar{a}_i,$$

also weiter, unter Heranziehung von (82):

$$\sum r_i (H - C_{v_i} - R) = R \sum r_i \bar{a}_i,$$

oder:

$$(86) \quad \bar{a}_i = \frac{H - C_{v_i} - R}{R}.$$

Diese Gleichung offenbart den Zusammenhang zwischen der chemischen Konstante \bar{a}_i und der Entropiekonstante S_i^0 derselben Stoffes im gesteuerten Zustande. Die Entropiekonstante war dabei definiert als die Entropie pro Mol des betreffenden Gases für die Temperatur $T = 1$ und den Druck $p = 1$, indem man dabei von der bekannten Gleichung für die Entropie S_i ausgeht:

$$S_i = C_{v_i} \log T - R \log p_i + S_i^0.$$

Man kann jedoch auch statt p_i das Volumen V_i eines Mols einführen, da ja $p_i V_i = RT$ ist. Dann erhält man für S_i die äquivalente Gleichung:

$$(87) \quad \begin{aligned} S_i &= C_{v_i} \log T + R \log V_i + (S_i^0 - R \log R) \\ &= C_{v_i} \log T + R \log V_i + S_i^{\text{rel}}. \end{aligned}$$

$R[\ln 2] = R \log 2$ bedeutet dabei die Entropie pro Mol für die Temperatur $T = 1$ und das Volumen $V_1 = 1$ und wird ebenfalls auch als Entropiekonstante bezeichnet. Zwischen dieser Entropiekonstante $R[\ln 2]$ und der chemischen Konstante i_1 besteht dann die Beziehung:

$$(187) \quad i_1 = \frac{R[\ln 2] - c_{p,1} + R \log k}{R},$$

die gleichfalls viel benutzt wird.

Man erkennt daraus, daß, wie wir schon mehrfach betont haben, die Entropiekonstante $R[\ln 2]$ bzw. $R[\ln 2]$ einen ganz bestimmten Wert haben muß, der angegeben werden kann, sowie die chemische Konstante i_1 bekannt ist. Unter unten werden wir eine Tabelle der i_1 geben.

Wie die chemischen Konstanten bestimmt werden können, haben wir im Anschluß an Gl. (86) oben erwähnt. Es ist uns von prinzipiellen Interesse, daß es noch einen anderen Weg dazu gibt. Wie wir nämlich in Nr. 81 dargelegt haben, ist es bei Kenntnis der Zustandsgleichung möglich, den Dampfdruck p_1 als Funktion von T zu bestimmen. Dadurch ist dann auch sofort i_1 gegeben. Leider ist dieser Weg zur Zeit praktisch nicht gangbar, weil gerade bei tiefen Temperaturen alle bekannten Zustandsgleichungen versagen bzw. im Widerspruch mit dem Nernstschen Theorem stehen, wovon wir in der nächsten Nummer noch etwas zurückkommen werden.

Dagegen ist es gelungen, die chemische Konstante der Gase durch Heranziehen kinetischer Vorstellungen zu berechnen, wovon wir im nächsten Buche eingehen werden. Hier möge es genügen, eine Tabelle solcher Werte für i_1 anzugeben, die experimentell bestimmt sind. Dabei ist zu beachten, daß der Wert von i_1 von dem Einheiten abhängt, in denen R gemessen wird; im folgenden ist alles in C.G.S.-Einheiten gemessen.

Stoff	i_1	Stoff	i_1	Stoff	i_1
H_2	11,18	S_8	13,26	CO	12,77
A	15,84	O_2	12,06	NaCl	12,11
H_2O	10,96	Cl_2	17,30	H_2S	12,00
N	16,48	Br_2	16,58	CO_2	12,31
H_2	16,00	I_2	21,74	H_2O	2,78
Pb	14,84	NO	16,00		

78. Erweiterte Formulierung des Nernstschen Theorems durch Planck.

Das Nernstsche Theorem kann in einer von (84) abweichenden Form ausgesprochen werden, indem man das Begriff der Entropie benutzt. Nach (84) soll sein:

$$\lim_{T \rightarrow 0} \left(\frac{\partial S}{\partial T} \right)_P = 0.$$

oder, da $A' = F_1 - F_2$, d. h. gleich der durch die Reaktion eingetretene Änderung der freien Energie ist:

$$(70) \quad \lim_{T \rightarrow 0} \left[\left(\frac{\partial F}{\partial T} \right)_P - \left(\frac{\partial F}{\partial T} \right)_P \right] = 0.$$

Nach der Definition der freien Energie F ist aber — vgl. Gl. (46) des Kap. III auf pag. 173 —:

$$\left(\frac{\partial F}{\partial T} \right)_P = -S,$$

also kann man das Nernstsche Theorem nach (70) in der Form schreiben:

$$(71) \quad \lim_{T \rightarrow 0} (S_1 - S_2) = 0,$$

d. h. in der Umgebung des absoluten Nullpunktes verlaufen Reaktionen in kondensierten Systemen ohne Entropieänderung.

Es ist zu beachten, daß hier keine Aussage über die Größe der Entropie selbst gemacht wird, sondern nur über ihre Differenz vor und nach eingetretener Reaktion. Deshalb können z. B. S_1 und S_2 vor und nach der Reaktion noch beliebig große Werte haben, z. B. unendlich sein; nur ihre Differenz wird nach dem ursprünglichen Nernstschen Theorem gleich Null.

Planck hat nun veranschaulicht diese Aussage des Nernstschen Theorems dahin verallgemeinert, daß nicht nur die Entropiedifferenz in kondensierten Systemen beim absoluten Nullpunkte verschwindet, sondern daß die Entropie jedes chemisch homogenen festen oder flüssigen Stoffes beim absoluten Nullpunkte selbst gleich Null ist. In einer Gleichung ausgedrückt:

$$(72) \quad \lim_{T \rightarrow 0} S = 0.$$

An dieser Formulierung sieht man besonders deutlich, daß sie weit über den Inhalt der klassischen Thermodynamik (erster und zweiter Hauptsatz) hinausgeht. Denn diese definiert die Entropie durch eine Differentialgleichung, also nur bis auf eine unbestimmte Konstante; hier dagegen erscheint die Entropie als eine vollkommen bestimmte Größe. Nach den Ausführungen der letzten Nummer ist dies nicht überraschend: wurden wir doch schon wiederholt zu der Folgerung geführt, daß dies der Fall sein müsse.

Wie wollen in Zukunft das Nernstsche Theorem in der erweiterten Planckschen Fassung verwenden, die sich bewährt zu haben scheint²⁾, und wollen hier einige der bemerkenswertesten Folgerungen dieser erweiterten Formulierung nach Planck ableiten.

²⁾ Auf die Frage der allgemeinen Gültigkeit des Nernstschen Theorems kommen wir im nächsten Buche noch zurück.

Nach den Gleichungen (20) und (22) des IV. Kapitels auf pag. 194 bzw. pag. 197 gelten für die spezifische Entropie s einer beliebigen homogenen Substanz die Beziehungen:

$$(73) \quad \left\{ \begin{array}{l} \text{a)} \quad \left(\frac{\partial s}{\partial p} \right)_v = -\frac{1}{T}, \\ \text{b)} \quad \left(\frac{\partial s}{\partial T} \right)_p = \frac{1}{T}. \end{array} \right.$$

Im ersten Falle sind T und p , im zweiten Falle T und v als unabhängige Variable angenommen.

Integriert man beide Gleichungen, die erste bei konstantem Druck, die zweite bei konstantem Volumen, so folgen die beiden Werte für s :

$$(74) \quad \left\{ \begin{array}{l} \text{a)} \quad s = \int_{T_0}^T \frac{1}{T} dT + s_0(p, T_0), \\ \text{b)} \quad s = \int_{T_0}^T \frac{1}{T} dT + s_0(v, T_0), \end{array} \right.$$

wobei T_0 eine von 0 verschiedene Temperatur ist. Die Konstanten $s_0(p, T_0)$ und $s_0(v, T_0)$ können, wie in den Gleichungen durch Hinzufügen der Argumente angedeutet ist, bzw. vom Druck p und dem spezifischen Volumen v abhängen, während natürlich beide von der Wahl von T_0 , d. h. der unteren Grenze der Integrale.

Nach der Planckschen Formulierung des Nernstschen Theorems in Gl. (71) muß nun gelten:

$$(75) \quad \left\{ \begin{array}{l} \text{a)} \quad s_{T=0} = \int_{T_0}^T \frac{1}{T} dT + s_0(p, T_0) = 0, \\ \text{b)} \quad s_{T=0} = \int_{T_0}^T \frac{1}{T} dT + s_0(v, T_0) = 0, \end{array} \right.$$

oder auch:

$$(76) \quad \left\{ \begin{array}{l} \text{a)} \quad s_0(p, T_0) = - \int_{T_0}^T \frac{1}{T} dT, \\ \text{b)} \quad s_0(v, T_0) = - \int_{T_0}^T \frac{1}{T} dT. \end{array} \right.$$

Mithin können wir die beiden Gleichungen (74) schreiben:

$$(77) \quad s = \int_{T_0}^T \frac{1}{T} dT = \int_{T_0}^T \frac{1}{T} dT.$$

D. h. formal kommt die Wirkung der Planckschen Fassung des Nernstschen Theorems darauf hinaus, in den beiden Ausdrücken für die spez-

Beide Entropie s die Konstanten gleich Null zu setzen und gleichzeitig die untere Grenze der Integrale gleich Null vorzuschreiben.

Dies hat nun sofort die fundamentalste Konsequenz, daß sowohl c_p als auch c_v beim absoluten Nullpunkte verschwinden müssen, will sonst die Integrale (27) Divergenz zeigen. D. h. es muß sein:

$$(28) \quad \lim_{T \rightarrow 0} c_p = \lim_{T \rightarrow 0} c_v = 0.$$

Diese auf den ersten Blick höchst überraschende Behauptung hat sich durch die Forschungen der letzten 20 Jahre durchaus bestätigt. Früher hielt man die spezifische Wärme z. B. der Elemente für wesentlich konstant und kannte als Ausnahmen von dieser Regel eigentlich nur für Kohlenstoff und Bismut, die eine erhebliche Veränderlichkeit mit der Temperatur zeigten. Durch die Versuche von Dehm und namentlich durch die im Nernstschen Laboratorium ausgeführten Messungen ist aber festgestellt worden, daß diese früher als Ausnahmen betrachtete Verhalten die Regel ist, und daß, soweit die Messungen heute reichen, mit Sicherheit behauptet werden kann, daß in Übereinstimmung mit (28) die spezifischen Wärmen bis zu Null abnehmen, wenn die Temperatur dem absoluten Nullpunkte hinreichend nahekommt.

In der folgenden Tabelle sind als Beispiel die Messungen der Molarwärme C_p des Diamanten wiedergegeben, zu welchen sich eine Arbeit von Nernst¹⁾:

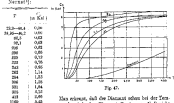


Fig. 47.

Man erkennt, daß die Diamant schon bei der Temperatur des siedenden Wasserstoffs eine von Null nicht mehr unterscheidbare spezifische Wärme besitzt. Ganz analoge Resultate ergeben sich auch für sämtliche anderen untersuchten Stoffe, nur beginnt beim Diamant der schnelle Abfall früher. In der Fig. 47 sind die

¹⁾ Nernst, Der Energieinhalt unter Null, Ann. d. Phys. 88, pag. 398; 1901.

Metallen, der Metalle Pb, Ag, Cu, Al neben der des Diamanten als Funktionen der Temperatur aufgetragen, woraus sich ergibt, daß alle spezifischen Wärmen mit sinkender Temperatur gegen Null konvergieren, wie es Gl. (76) entspricht.

Bereits früher waren wir durch die ungenutzte Fassung des Nernst'schen Theorems zu einer Aussage über spezifische Wärmen geführt worden, nämlich der Gl. (85), die besagte, daß beim absoluten Nullpunkte der spezifischen Wärmen streng additiv seien (Joule-Kopp'sches Gesetz). Unser neues Ergebnis geht weiter als die frühere Behauptung und enthält dieselbe. Denn es zeigt, daß diese Additivität dadurch entsteht kommt, daß alle spezifischen Wärmen verschwinden.

Eine grundsätzliche Bemerkung mag hier noch Platz finden.

Da durch das Nernst'sche Theorem in der Planckschen Fassung erweiterte Thermodynamik vermag zwei, wie oben gezeigt, zu beweisen, daß die spezifischen Wärmen beim absoluten Nullpunkte verschwinden. Dagegen liefert es keine Formel für die Temperaturabhängigkeit der spezifischen Wärme eines gegebenen Stoffes von der Temperatur, und die Blick auf die Fig. 47 zeigt in der Tat, daß dies nicht zu erwarten ist, da offenbar individuelle Stoffkonstanten hier entsprechen. Der Sachverhalt ist genau derselbe wie bei der Zustandsgleichung: auch diese wird durch die Thermodynamik nicht geliefert. Hier wie dort müssen entweder empirische Ergebnisse einströmen, oder aber es müssen detaillierte Vorstellungen über die Struktur der Materie, etwa molekulartheoretische, zu Hilfe genommen werden. Darauf werden wir in dem nächsten Kapitel eingehen. —

Eine weitere interessante Folgerung der Planckschen Fassung des Nernst'schen Theorems betrifft das Verhalten des kubischen Ausdehnungskoeffizienten fester und flüssiger Stoffe. Nach Gl. (25) des IV. Kap. auf pag. 187 ist nämlich:

$$(37) \quad \left(\frac{\partial \alpha}{\partial T}\right)_p = - \left(\frac{\partial \nu}{\partial T}\right)_p.$$

Da nun der Ausdehnungskoeffizient α definiert ist durch

$$\alpha = \frac{1}{v} \left(\frac{\partial v}{\partial T}\right)_p,$$

kann Gl. (37) geschrieben werden:

$$(38) \quad \left(\frac{\partial \alpha}{\partial T}\right)_p = - \alpha \alpha.$$

Berechnen wir die linke Seite durch Differentiation der Gl. (37), so folgt:

$$(39) \quad \left(\frac{\partial \alpha}{\partial T}\right)_p = \int \frac{1}{T^2} \left(\frac{\partial \nu}{\partial T}\right)_p dT.$$

und andererseits ist nach Gl. (37) des IV. Kapitels auf pag. 188:

$$(38) \quad \left(\frac{\partial \mu}{\partial p}\right)_T = -T \left(\frac{\partial v}{\partial T}\right)_p = -T \alpha \left(\frac{\partial \mu}{\partial T}\right)_p.$$

Dementselbst hat man durch Kombination von (35) bis (38):

$$\left(\frac{\partial \mu}{\partial p}\right)_p = -\alpha \mu = - \int_0^T \alpha_p \left(\frac{\partial \mu}{\partial T}\right)_p dT$$

oder

$$\mu = \int_0^T \left(\frac{\partial \mu}{\partial T}\right)_p dT = \mu - \alpha_p,$$

d. h. $\alpha_p = 0$.

In Worten: Der Ausdehnungskoeffizient eines jeden chemisch homogenen festen oder flüssigen Stoffes ist beim absoluten Nullpunkte gleich Null. In Formel:

$$(39) \quad \lim_{T \rightarrow 0} \left(\frac{\partial \mu}{\partial T}\right)_p = 0.$$

Auch dieses Ergebnis ist in Übereinstimmung mit den experimentellen Ergebnissen, indem sich gezeigt hat, daß alle Ausdehnungskoeffizienten mit abnehmender Temperatur abnehmen.¹⁾ Doch ist hier eine weitere Bestätigung bei noch tieferen Temperaturen erforderlich, was experimentell aber große Schwierigkeiten bietet. Dagegen ist dieses Ergebnis der durch das Helmholtzsche Theorem erweiterten Thermodynamik im Widerspruch mit den seitlichen bisher bekannten Zustandsgleichungen, z. B. der v. d. Waalschen; ein neues Anzeichen daher, daß deren Anwendung bei tiefen Temperaturen nur eine beschränkte Bedeutung zukommt.

Genaue dieselbe Aussage wie für den Ausdehnungskoeffizienten folgt auch für den Spannungskoeffizienten. Denn nach der differentiellen Zustandsgleichung ist:

$$d\mu = \left(\frac{\partial \mu}{\partial T}\right)_p dT + \left(\frac{\partial \mu}{\partial p}\right)_T dp,$$

also folgt für $dp = 0$:

$$\left(\frac{\partial \mu}{\partial T}\right)_p + \left(\frac{\partial \mu}{\partial p}\right)_p \left(\frac{\partial p}{\partial T}\right)_p = 0$$

oder, indem der Ausdehnungskoeffizient α eingesetzt wird:

$$\left(\frac{\partial \mu}{\partial T}\right)_p + \alpha \left(\frac{\partial \mu}{\partial T}\right)_p \alpha = 0.$$

¹⁾ E. Grüneisen, Die thermische Ausdehnung der Metalle. Ann. d. Phys. 88, pag. 55; 1913. Man vergleiche hierzu auch die neueste Zusammenstellung von Grüneisen im Handbuch der Physik, Bd. X, p. 385. (1930).

Es läßt für $T = 0$ auch $\alpha = 0$ wird, während $\left(\frac{\partial p}{\partial v}\right)_T$, das dem Kompressibilitätskoeffizienten proportional ist, endlich bleiben, es folgt in der Tat:

$$(154) \quad \lim_{T \rightarrow 0} \left(\frac{\partial p}{\partial T}\right)_v = 0.$$

Der Spannungskoeffizient eines jeden chemisch homogenen festen oder flüssigen Stoffes ist beim absoluten Nullpunkt gleich Null. —

Für Gase und verdünnte Lösungen gilt hier wieder dasselbe, was in der vorigen Nummer gesagt wurde. Nimmt man die Gültigkeit der Gasequation für alle Temperaturen an, so kann ihre Entropie bei $T = 0$ nicht verschieden. Verlangt man umgekehrt dies, um dem Nernstschen Theorem in der Planckschen Fassung Allgemeingültigkeit zu verleihen, so wird man zu der Folgerung gedrängt, daß bei hohen Temperaturen „Entartungserscheinungen“ bei den idealen Gasen und verdünnten Lösungen auftreten müssen, d. h. daß sie dann von den Gasequation abweichen.

Molekular-kinetische Theorie der Materie.

79. Allgemeine Charakterisierung der Aufgabe und der Methode der Molekularen Theorie.

Die Leistung der eigentlichen Thermodynamik, wie wir sie in dem vorhergehenden ebenen Kapitel dieses Bandes geschildert haben, kann man dahin charakterisieren, daß sie aus sehr allgemeinen Erfahrungswerten, dem Energieprinzip, dem Entropiesatz und dem Verneischen Theorem, eine Fülle von Beziehungen ableitet, die zwischen den Größen bestehen, die das thermische Verhalten aller Stoffe bestimmen.

Sie liefert z. B. das Gesetz, daß die spezifischen Wärmen aller festen und flüssigen Körper mit abnehmender Temperatur bis zum Werte Null abnehmen; sie liefert ferner Beziehungen zwischen den spezifischen Wärmen c_p und c_v , zeigt, daß $c_p > c_v$ ist. Aber sie ist anderwärts nicht mächtig, die funktionale Abhängigkeit der spezifischen Wärmen von der Temperatur zu bestimmen: sie kann ferner z. B. die Zustandsgleichungen nicht liefern, sie läßt die sogenannte Entropiekonstante und die chemische Konstante unbestimmt, u. s. w.

Will man sich daher auf die theoretische Methode der Thermodynamik beschränken, so muß all' dieses Material empirisch beschafft werden.

Natürlich kann dieser Standpunkt leicht entgegenzuerufen sein. Es ist wohl denkbar — und so ist in der That auch die historische Entscheidung gewesen —, daß man sich eine gewisse Zeit lang auf den thermodynamischen Standpunkt beschränkt, um mit voller Sicherheit diejenigen Resultate herauszuarbeiten, die ausschließlich in der reinen Thermodynamik verankert sind. Das hat den Vorteil, daß diese Ergebnisse in der allgemeinen heute denkbaren Weise begründet und nicht mit dem Wandel spezieller Vorstellungen, z. B. von Atomtheorien, verknüpft sind. Eine dauernde Beschränkung aber auf diesen Standpunkt wäre ein freiwilliger Verzicht darauf, alle speziellen Resultate, nämlich diejenigen, die von der Natur der Stoffe abhängen, theoretisch zu erklären. Mag es dabei nicht immer ohne zweifelhafte Hypothesen abgehen, mag dieser aber das Fundament der Thermodynamik hinausgehende wissenschaftliche Gebilde deshalb auch stärkeren Erschütterungen und Umwälzungen im

laufe der Zeit ausgedehnt sein, der Verzicht einer derartigen Theorie wird jedoch wohl gemerkt werden. Auch hierher gilt das Wort: „Wer nichts wagt, der nichts gewinnt!“

Die hier in großen Umrissen skizzierte Aufgabe fällt der sogenannten „molekular-kinetischen Theorie der Materie“ zu. Sie legt einerseits die Vorstellung zugrunde, daß die Materie aus Molekülen, diese wieder aus Atomen usw. aufgebaut seien; sie macht mit andern Worten Hypothesen über die Struktur der Materie, die der eigentlichen Thermodynamik fremd sind. Andererseits macht die kinetische Theorie nach bestimmter Annahme über die Natur der Wärmeenergie, die sie auch engere mit der kinetischen Energie der Molekularbewegung verknüpft. Auch hierin geht sie über die Grundlagen der Thermodynamik weit hinaus.

Die am weitesten ausgebildete und älteste Disziplin der molekular-kinetischen Theorie der Materie ist die sogenannte „kinetische Theorie der Gase“, die sich auf die vorher geschilderten Grundlagen aufbaut. Sie hat sich zuerst entwickeln können, weil die Gase nach Aussage der einfachen Gesetzmäßigkeiten, die sie zeigen, offenbar weniger am einkristallinen strukturiert sind und daher die zu lösenden Probleme sich als die relativ leichtesten darboten. Jedoch hat in neuerer Zeit auch die kinetische Theorie der festen Körper erhebliche Fortschritte gemacht.

In mathematischer Hinsicht ist zu betonen, daß die kinetische Theorie die Gesetze der Mechanik zugrunde legt. Sie versucht also demgemäß auch die Fundamentalmetze der Thermodynamik, z. B. den zweiten Hauptsatz, mechanisch zu begründen. Dabei tritt ein eigenständiger Umstand auf. Die Formeln der Kinematik, wie sie bei experimentellen Untersuchungen benutzt werden, enthalten eine überaus große Zahl von Willkürkonstanten. In mechanischer Hinsicht ist also ein solches System Materie zu charakterisieren als ein mechanisches System von außerordentlich vielen Freiheitsgraden. Das Verhalten eines mechanischen Systems ist aber nur dann bestimmt, wenn sämtliche Koordinaten als Funktionen der Zeit bekannt sind, wenn die Konstanten des sogenannten Anfangszustandes gehört. Hat also das System einen $2N$ Freiheitsgrade, so gehören zur völligen mechanischen Bestimmung $2N$ Anfangswerte der Koordinaten und $2N$ Anfangswerte der Geschwindigkeiten, im ganzen also $4N$ Bestimmungsstücke, d. h. die exakte Kenntnis der Lage und Geschwindigkeit jedes einzelnen Moleküls zu einer bestimmten Zeit.

Es ist unsere Methode indessen unmöglich, sich eine derartige detaillierte Kenntnis zu verschaffen, und die Erfahrung zeigt, daß wir für unsere Bedürfnisse auch mit viel weniger Angaben auskommen. Zum Beispiel ist das thermodynamische Verhalten eines Gases bestimmbar, wenn wir seine Temperatur und seine Dichte kennen. Kollisionsweise beschreiben wir also die Lage und Geschwindigkeit aller Moleküle zu kennen; es wird sich vielmehr zeigen, daß gewisse Aussagen über das „mittlere“ Verhalten genügen. Mit andern Worten: Wir besitzen nicht die volle

mechanische Elemente des Systems, sondern nur eine partielle Kenntnis (nämlich die der mechanischen Gesetze) und eine partielle Unkenntnis (nämlich der Anfangswerte). Die partielle Unkenntnis muß und kann wettgemacht werden durch gewisse Annahmen, die auf Wahrscheinlichkeitsüberlegungen beruhen. Neben den Gesetzen der Mechanik treten also die Gesetze der Wahrscheinlichkeitsrechnung in der molekularkinetischen Theorie der Materie auf.

Es muß noch ein Wort über die Anwendung der Gesetze der Mechanik auf die Moleküle, d. h. auf außerordentlich kleine Massen und sehr große Kraftfelder, gesagt werden. Sie unterliegt von vornherein dem Bedenken, daß wir Gesetze, die an verhältnismäßig großen Massen und kleinen Kraftfeldern gewonnen sind, da anzuwenden, wo sie möglicherweise nicht mehr gelten. Dieses Bedenken kann a priori nicht widerlegt werden. Wir haben eben keine andere Möglichkeit, weiter zu kommen. Andererseits müssen wir eben deshalb darauf gefaßt sein, auf Erscheinungen zu stoßen, die uns in der Annahme zwingen, daß bei den Bewegungen der Moleküle andere Gesetze gelten, als die uns bekannten der klassischen Mechanik. In der Tat haben sich solche Tatsachen gezeigt, und wir werden im letzten Kapitel genauer darauf eingehen.

In dem nächsten Kapitel behandeln wir zunächst die kinetische Theorie der Gase auf der hier angegebenen Grundlage.

Elementare kinetische Theorie der Gase.

§1. Die Zustandsgleichung der idealen Gase.

Nach Aussage der Erfahrung besitzen die sogenannten idealen Gase die einfachste Zustandsgleichung von allen bekannten Stoffen. Es ist daher natürlich, wenn wir mit der Behandlung dieser Stoffe beginnen.

Dazu müssen wir uns zunächst eine Vorstellung darüber bilden, welches die Natur der idealen Gase ist. Zunächst nehmen wir im Rahmen der allgemeinen Vorstellungen der molekularkinetischen Theorie an, daß in jedem endlichen Gasvolumen eine sehr große Zahl von Molekülen vorhanden ist. Im allgemeinen werden sie Kräfte aufeinander ausüben; von den Molekülen der idealen Gase jedoch wollen wir annehmen, daß keinerlei Kräfte zwischen ihnen wirksam sind; jedes Molekül ist also ein Individuum für sich. Die Bewegung eines jeden Moleküls muß daher bei Abwesenheit anderer Kräfte gleichförmig und geradlinig sein, solange es nicht mit einem andern oder mit der Wand zusammenstößt. Seine Bahn setzt sich daher aus lauter geradlinigen Strecken zusammen, die unter endlichen Winkeln aneinanderstoßen. Über die Zusammensetzung des Moleküls aus Atomen und eventuell noch kleineren Bestandteilen wollen wir an dieser Stelle noch keine weiteren Annahmen machen, obwohl sich solche allerdings später als notwendig erweisen werden. Einfachster Fall ist die Einfachheit halber vorläufig anzunehmen, daß jedes Molekül einer verhältnismäßig kleinen Masse entspricht, so daß wir es hinsichtlich der Raumteilung als Massenpunkt ansehen können. Bei den Zusammenstößen zweier Moleküle untereinander und mit der Wand gelten die bekannten elementaren Stoßgesetze; ihnen zufolge hängt der Vorgang von den elastischen Eigenschaften der stoßenden Körper ab. Es wird sich zeigen, daß unsere ungleich so entwickelte Theorie mit der Erfahrung in Übereinstimmung ist, wenn wir den Stoß als vollkommen elastisch auffassen. Wir wollen daher die Moleküle etwa als vollkommen elastische Kugeln betrachten, deren wir überdies, wie es beim elementaren Stoße zu geschehen pflegt, die Eigenschaft vollständiger Glätte zuschreiben. Auch die Wände seien vollkommen elastisch und glatt. Selbstverständlich sind wir uns klar darüber, daß die Verhältnisse in der Natur viel komplizierter liegen; die Moleküle sind in Wirklichkeit

sicher keine elastischen glatten Kugeln, und vollkommen glatte elastische Wände gibt es auch nicht. Beide Annahmen werden nur gemacht, um den Rechenplan ein möglichst vereinfachtes Modell des idealen Gases zugrunde zu legen.

Im Grunde genommen sind unsere Resultate noch allgemeiner, als es nach diesen speziellen Annahmen scheint. Denn die Gesetze des elastischen Stoßes sind die, daß weder die Bewegungsgröße noch die Energie durch den Stoß geändert wird (Erhaltung des Impulses und der Energie). Mehr wird auch im folgenden nicht benutzt. Alle Annahmen über die Natur der Moleküle, die mit diesen beiden Erhaltungsgrößen im Einklang sind, werden also in wesentlich denselben Resultaten führen wie die im Text benutzten Annahmen. Z. B. können wir die Moleküle als Kraftzentren betrachten, von denen Kräfte ausgehen, die einer Funktion der Entfernung proportional sind: Maxwell hat eine Gastheorie entwickelt, in der diese Kräfte umgekehrt proportional der fünften Potenz der Entfernung sind.

Auf der Grundlage dieser Voraussetzungen steht man zunächst vor, daß ein Gas auf die Wände des einschließenden Gefäßes einen Druck ausüben muß. Denn die Gasmoleküle stoßen auf die Wand und geben von denselben zurück, wobei die Bewegungsgröße oder Impuls an denselbe abgeben. Durch diese Stöße kann den mitgeteilten Impuls wurde die Wand in Bewegung gesetzt, wenn sie nicht von außen durch eine konstante Kraft festgehalten wurde, die also den Stößen das Gleichgewicht hält. Diese Kraft, bezogen auf die Flächeneinheit, nennen wir den Druck des Gases. Die obige Annahme ist nicht ganz genau. Denn der Stoß auf die Wand bedingt denselben Impuls an die kontinuierlicher Weise aus, so daß die Bewegung der Wandung unter diesem Einfluß ein wirklich leicht komplizierter Vorgang sein würde. Wir können diesen Stoßen in strengste natürlich auch gar nicht das Gleichgewicht halten durch eine konstante Kraft bzw. einen konstanten Druck: denn hält das Gleichgewicht vielmehr den zeitlichen Mittelwert der Stoßimpulse, so also selbst genau genommen ein zeitlicher Mittelwert.

Es wird unsere erste Aufgabe sein, den Druck zu berechnen.

Gleich hier steht man, daß es ohne Wahrscheinlichkeitsannahmen in der Gastheorie nicht abgeht. Denn wir nämlich den Anfangszustand aller Moleküle kennen würden, so würden wir instantly sein, mit absoluter Genauigkeit anzugeben, wie viele Moleküle, unter welchen Richtungen, mit welchen Geschwindigkeiten usw. auf eine bestimmte Stelle der Wand in einem gegebenen Augenblicke eintreffen. Infolge unserer Unkenntnis des Anfangszustandes müssen wir Hypothesen an deren Stelle setzen, die die Form von Wahrscheinlichkeitsgesetzen haben.

Zunächst wollen wir annehmen, daß im Gleichgewicht — in Abwesenheit äußerer Kräfte — die Moleküle jederorts des ihnen zur Verfügung stehende Volumen V gleichmäßig erteilen, d. h. daß in jedem Volumenteil dV die Anzahl der darin enthaltenen Moleküle dN

sich zur Gesamtzahl N verhält wie ΔV zu V ; es soll mit andern Worten die Gleichung bestehen:

$$(1) \quad \frac{\Delta V}{V} = \frac{\Delta N}{N} \cdot \eta.$$

Kennen wir also η die Anzahl der Moleküle in der Volumeneinheit, so ist demgemäß zu setzen:

$$(1a) \quad \eta = \frac{N}{V}.$$

Auf die Frage, inwieweit die durch die Gl. (1) bestimmte gleichmäßige Verteilung der Moleküle als exakt betrachtet werden kann, kommen wir später zurück.

In der Gl. (1) ist eine grundsätzliche Bemerkung zu machen, die auch im folgenden immer wieder Geltung hat. Die Größe ΔV nämlich kann nicht beliebig klein genommen werden, man kann insbesondere mit ihr nicht nur Genuß 0 thespieren, da dann die Gl. (1) offenbar total ungenügend würde. Denn da die Zahl der Moleküle N eine, wenn auch sehr große, so doch endliche ist, so lassen sich zweifellos zu kleinen Volumina ΔV abgrenzen, daß in ihnen gar kein Molekül liegt, also die Gl. (1) nicht gilt. Die Gültigkeit von (1) ist darum eingegränzt, daß ΔV immerhin noch so groß ist, daß viele Moleküle darin liegen. Andererseits wird es später vielfach notwendig werden, ΔV (und entsprechend andere Größen) so klein zu wählen, daß man z. B. Summen ohne merklichen Fehler in Integrale verwandeln kann. Es ist also ein Kompromiß in der Wahl der Größe solcher „Makrodifferentialiale“ zu treffen. Wir werden solche im folgenden immer durch das Zeichen „ Δ “, nie durch das Zeichen „ δ “ bezeichnen, um den Unterschied gegen rechte Differentialiale zu bezeichnen.

Was ferner die Geschwindigkeiten der Moleküle anlangt, so sind wieder Voraussetzungen notwendig, über ihre Richtungen und ihre Beträge. Was die Geschwindigkeitsrichtungen anlangt, so wollen wir annehmen, daß im Gleichgewichte jede räumliche Richtung mit jeder andern gleichberechtigt ist, daß



Fig. 48.

¹⁾ Besser würde man hier (und im folgenden) eher zu sagen: Es wird die Hypothese gemacht, daß die Verteilung der Moleküle auf die ihnen zur Verfügung stehende Volumen mit größter Wahrscheinlichkeit von der gleichförmigen Verteilung nur abzuweichen vermag.

als — wieder in Abwesenheit äußerer Kräfte natürlich — keinerlei Vorragerichtung im Raume für die Geschwindigkeiten existiert. Wir können aus dem Stam dieser Hypothese geometrisch unmittelbar nachsehen (Fig. 45). Denken wir uns nämlich die verschiedenen im Gase vorhandenen Geschwindigkeitsrichtungen, deren es so viele gibt als Moleküle, also N , von einem Punkte O aus aufgetragen und schlagen um den Punkt O eine Kugel mit dem Radius 1, verlängern die Geschwindigkeitsrichtungen eventuell bis zum Durchstoß mit der Kugelfläche, so verteilen sich die Durchstoßpunkte der Geschwindigkeitsrichtungen, die wir kurz „Geschwindigkeitspunkte“ nennen wollen, in gleicher Weise über die Oberfläche der Einheitskugel. Und zwar müssen²⁾ nach unserer Hypothese die Geschwindigkeitspunkte gleichmäßig über die Kugelfläche verteilt sein, d. h. auf ein Element dS der Einheitskugel entfällt ein solcher Bruchteil $\frac{dN}{N}$ „Geschwindigkeitspunkte“, als dem Verhältnis dS zur Oberfläche der Einheitskugel 4π entspricht; also

$$(1) \quad \frac{dN}{N} = \frac{dS}{4\pi}.$$

Auf die Einheit der Kugelfläche verteilen demgemäß $\frac{N}{4\pi}$ „Geschwindigkeitspunkte“.

Setzen wir für dS einen bekannten Ausdruck in rechtlichen Polarkoordinaten ϑ, φ , nämlich $dS = \sin \vartheta \cdot d\vartheta \cdot d\varphi$ ein, so folgt für die Zahl der Geschwindigkeitsrichtungen, die, wie wir kurz sagen wollen, in das Intervall zwischen ϑ und $\vartheta + d\vartheta$ sowie φ und $\varphi + d\varphi$ fallen³⁾, nach (1) der Wert:

$$(2a) \quad d_1 N = \frac{N}{4\pi} \sin \vartheta \cdot d\vartheta \cdot d\varphi.$$

Aus diesem Ausdruck können wir nun noch sofort die Zahl $d_2 N$ derjenigen Geschwindigkeitsrichtungen berechnen, „die mit einer festen gegebenen Richtung im Raume Winkel zwischen ϑ und $\vartheta + d\vartheta$ bilden“. Das sind (Fig. 45), wenn wir als die feste Richtung in der Figur die Richtung OX nehmen, geometrisch gesprochen, diejenigen Geschwindigkeitspunkte, die auf der Kugelfläche von der Breite $d\vartheta$ liegen, die aus dem Flächenelemente $dS = \sin \vartheta \cdot d\vartheta \cdot d\varphi$ durch Integration über φ von ϑ bis 2π erhalten wird. Demgemäß ist:

$$(3) \quad d_2 N = \frac{N}{4\pi} \sin \vartheta \cdot d\vartheta \int_0^{2\pi} d\varphi = \frac{N}{2} \sin \vartheta \cdot d\vartheta$$



Fig. 45.

²⁾ Vgl. die Ann. 1 auf pag. 305.

die gesuchte Anzahl. Auf der Kollisionskugel befinden dann:

$$(6) \quad dN = dN_1^{\text{rel}} = \frac{v}{\bar{v}} \sin \theta \, d\theta.$$

Man erkennt aus diesen Betrachtungen folgendes:

Die (wahrscheinliche) Zahl der Geschwindigkeitseinheiten, die exakt eine feste räumliche Richtung (θ, φ) haben, oder mit einer festen räumlichen Richtung exakt den Winkel θ bilden, ist nach (5a) bzw. (5) gleich Null. Denn wir erhalten beide Werte, wenn wir in (5a) sowohl $d\theta$ als auch $d\varphi$ gleich 0 setzen, bzw. in (5) $d\theta$ gleich 0 setzen. Dieses auf den ersten Blick dem Anfänger vielleicht überraschende Ergebnis ist im Wesen unserer Wahrscheinlichkeitsannahmen begründet: es ist äußerst „unwahrscheinlich“, daß eine Geschwindigkeit exakt eine bestimmte Richtung haben sollte oder mit einer gegebenen räumlichen Richtung exakt einen bestimmten Winkel bildet. Es ist aber natürlich möglich, daß dies trotzdem der Fall ist, und wir werden diese Frage mit Sicherheit beantworten können, wenn wir die Anfangsbedingungen genau kennen. Da das nicht der Fall ist, müssen wir uns mit der einzigen Wahrscheinlichkeitsaussage begnügen, und diese erfordert also, um jetzt allgemein zu sprechen, daß wir immer eine gewisse „Intervallbreite“ für den kleinen Bogen des $d\theta$ und $d\varphi$, bzw. $d\Omega$ verlassen, damit wir auf der Einheitskugel nicht einen Punkt oder eine Kurve, sondern jedesmal ein flächenhaftes Gebiet erhalten. Denn durch einen bestimmten Punkt bzw. durch eine bestimmte Kurve gehen „im allgemeinen“ keine Geschwindigkeitselemente hindurch, in einem Flächenelement dagegen liegt eine bestimmte Anzahl davon, die dem Flächeninhalte proportional ist. Diese Erwägung wird uns im folgenden immer wieder begegnen.

Endlich haben wir auch noch Aussagen über den Betrag der Geschwindigkeit zu machen. Es ist jedenfalls klar, daß im Gleichgewichtszustande — und mit dem haben wir es hier allein zu tun — nicht alle Geschwindigkeiten gleich groß sein können, wie dies einer der ersten Regenden der Gastheorie, Kromig, der Einhalt zu haben angenommen hatte. Denn selbst wenn der Fall, es seien in einem bestimmten Angewinde die Geschwindigkeiten aller Moleküle gleich groß, so würde doch durch die Zusammenstöße der Moleküle untereinander sehr bald wieder eine Verschiedenheit der Geschwindigkeiten auftreten. Es werden also im allgemeinen — so werden wir sagen müssen — sehr verschiedene Geschwindigkeitselemente, vom Werte Null angehenden bis zum Werte ∞ , vorhanden sein: eine gewisse Anzahl von Molekülen N_1 wird etwa die Geschwindigkeit v_1 , eine gewisse Zahl N_2 entsprechend die Geschwindigkeit v_2 haben; allgemein sei die Zahl der Moleküle mit der Geschwindigkeit v_i durch den Buchstaben N_i bezeichnet. Es verteilen sich also in einem gegebenen Angewinde die möglichen Geschwindigkeitselemente von 0 bis ∞ in bestimmter Weise auf die vorhandenen Moleküle, und im Gleichgewichtszustande, mit dem wir es zunächst allein zu tun haben,

wird diese Verteilung sich nicht ändern, d. h. stationär sein. Das soll nicht heißen, daß jedes Molekül dann seine Geschwindigkeit dauernd beibehält — das ist ja infolge der Zusammenstöße im allgemeinen nicht möglich —, sondern es heißt, daß die Zahlen N_1, \dots, N_2 sich nicht ändern trotz der Zusammenstöße. Welches das spezielle Verteilungsgesetz ist, können wir jetzt noch unentschieden lassen, indem wir vorläufig nur diejenige Sorte von Molekülen (von der Zahl N_1) in unserem Gefaße betrachten, die gerade die Geschwindigkeit v_1 haben.

Wie wir oben im Gleichgewichtszustande von der Gesamtzahl der Moleküle gleichmäßige Raumverteilung vorausgesetzt haben, wollen wir dies jetzt noch weitergehend für die Zahl N_1 , der hier betrachteten Moleküle fordern, so daß auf jeden Kubikzentimeter die gleiche Anzahl, nämlich $n_1 = \frac{N_1}{V}$ trifft. Jeder „Molekül“ — so wollen wir die hier vorausgesetzte Sorte mit der Geschwindigkeit v_1 nennen — besitzes man auch alle möglichen Geschwindigkeitsrichtungen im Raume, und auch hier wollen wir, ohne unsere frühere Annahme hinsichtlich anzunehmen, daß die Geschwindigkeitspunkte der „Moleküle“ allein für sich genommen sehr gleichmäßig über die Einheitskugel verteilt seien.

Nunmehr können wir dazu übergehen, zu berechnen, welche Bewegungsgröße pro Sekunde von diesen „Molekülen“ auf die Wand übertragen wird, das ist ja nach dem Grundgesetz der Mechanik die von denselben auf die Wand ausgeübte Kraft. Die Bewegungsgröße, die von einem „Molekül“ auf die Wand übertragen wird, hängt nun offenbar von der Richtung ab, in der es auf die Wand trifft; wir wollen also zunächst diejenigen „Moleküle“ betrachten, die mit der Normale der Wand den Winkel θ bilden, oder, wie wir nach dem Obigen genauer sagen können, durch die ein „Intervall“ bekommen, die mit der Normale der Wand Winkel zwischen θ und $\theta + d\theta$ bilden. Wir haben also festzustellen, welche Bewegungsgröße ein derartiges spezielles „Molekül“ beim Stoß überträgt (Fig. 46). Der Kugel halber werden wir die hier bewegungslosenen „Moleküle“ als „ (θ) -Moleküle“ bezeichnen.



Fig. 46.

Es bedeute in der Figur \vec{AB} der Größe und Richtung nach die Geschwindigkeit v_1 eines „ (θ) -Moleküls; dieses wird in eine Komponente senkrecht zur Wand gleich $v_1 \cos \theta$ und eine parallel zur Wand gleich $v_1 \sin \theta$ zerlegt; die letztere wird durch den Stoß nicht geändert und spielt daher für die Impulsübertragung keine Rolle. Nach dem Stoßgesetze wird das Molekül so von der Wand zurückgeworfen, daß der Reflexions-

winkel $\angle B A' A'$ gleich dem Einfallswinkel $\angle B A A = \theta$ ist), wobei die Geschwindigkeit c_1 ihren Betrag nach unverändert bleibt; sie hat also jetzt

die Richtung $B A'$, wobei $\overline{B A'}$ gleich c_1 ist, mit der Normalenkomponente $-c_1 \cos \theta$. Daraus resultiert also wieder der Vorstoß.

Die Gesamtänderung der Normalenkomponente beträgt also $-2c_1 \cos \theta$, und wenn wir die Masse des Moleküls mit μ bezeichnen, ist die Änderung des Impulses des (1θ) -Moleküls gleich $-2\mu c_1 \cos \theta$; demgemäß erhält die Wand den Impuls $+2\mu c_1 \cos \theta$ durch den Stoß eines (1θ) -Moleküls. Jetzt müssen wir also noch berechnen, wie viele (1θ) -Moleküle in der Sekunde mit der Wand zum Stoß kommen; diese Zahl, mit dem Impuls $2\mu c_1 \cos \theta$ multipliziert, gibt dann die Impulsänderung der Wand pro Sekunde, d. h. die auf sie von den Molekülen ausgeübte Kraft an.

Wie viele (1θ) -Moleküle treffen also in einer Sekunde auf die Wand, d. h. wie viele 1-Moleküle tun dies unter Winkeln zwischen θ und $\theta + d\theta$? Im Kalkülensystem sind n_1 1-Moleküle vorhanden. Von diesen bilden mit einer festen Richtung, also hier mit der Normalen der Wand, Winkel zwischen θ und $\theta + d\theta$, d. h. sind (1θ) -Moleküle nach Gl. (4):

$$(5) \quad \frac{N}{V} \sin \theta \, d\theta = \frac{N_1}{V} \sin \theta \, d\theta.$$

Ersetzen wir nun (Fig. 31) über der Flächeneinheit der Wand einen schiefen Zylinder mit der Höhenlänge c_1 , so kommen offenbar alle die (1θ) -Moleküle und nur die (1θ) -Moleküle in einer Sekunde zum Stoß mit der Wand, die in Begleit der Höhe dieses Zylinders liegen; derselbe hat

das Volumen $c_1 \cos \theta$. Da nun nach (5) im Kalkülensystem $\frac{N}{V} \sin \theta \, d\theta$ (1θ) -Moleküle vorhanden sind, so sind in unserem Zylinder im ganzen vorhanden

$$(6) \quad \frac{N}{V} c_1 \sin \theta \cos \theta \, d\theta \quad (1\theta)\text{-Moleküle,}$$

und diese Zahl (1θ) -Moleküle kommt in der Sekunde zum Stoß mit der Flächeneinheit der Wand. Da jedes dieser Moleküle den

¹⁾ Indem wir hier $c_1 = \frac{N_1}{N}$ setzen, machen wir von der Voraussetzung Gebrauch,

dass auch die 1-Moleküle die sich allein des Raums gleichmäßig erfüllen, und indem wir Gl. (4) auf die 1-Moleküle allein anwenden, haben wir die gleichmäßige Verteilung des Geschwindigkeitspunktes allein auf der Kugeloberfläche gelöst. Man sieht also, dass diese Voraussetzungen unbedingt notwendig waren.



Fig. 31.

Impuls $\Sigma p_i \cos \theta$ auf die Wand überträgt, ist die sekundliche Impulsänderung der Flächeneinheit der Wand durch die $(\frac{1}{2}N)$ -Moleküle:

$$(7) \quad \mu v_1^2 \frac{1}{2} N \sin^2 \theta \cos^2 \theta d\theta = v_1^2 \frac{1}{2} \mu N \sin^2 \theta \cos^2 \theta d\theta.$$

Lassen wir nun θ der Reihe nach alle möglichen Richtungen annehmen — das sind nach *Ausweis* der Figur alle Werte zwischen $\frac{\pi}{2}$ (normaler Stoß) und $\frac{\pi}{2}$ (tangentialer Stoß) —, d. h. integriert man Gl. (7) über θ zwischen den genannten Grenzen, so bekommen wir für die von sämtlichen $\frac{1}{2}N$ -Molekülen auf die Flächeneinheit der Wand ausgeübte Kraft den Wert:

$$(8) \quad \mu \frac{1}{2} N v_1^2 \int_0^{\frac{\pi}{2}} \sin^2 \theta \cos^2 \theta d\theta = \frac{1}{2} \mu N v_1^2 \cdot \frac{1}{3} = \frac{1}{3} \mu v_1^2 N.$$

Bilden wir jetzt die analogen Ausdrücke für die Moleküle mit allen übrigen Geschwindigkeiten und addieren alle zusammen, so finden wir endlich für den Druck p des Gases auf die Wand den Ausdruck:

$$(9) \quad p = \frac{1}{3} \frac{M}{V} \sum_1^N v_i^2 = \frac{1}{3} \sum_1^N v_i^2.$$

Versteht wir unter \bar{v}^2 den Mittelwert des Geschwindigkeitsquadrats im Gas, das sogenannte „mittlere Geschwindigkeitsquadrat“, so kann diese Gleichung (9) geschrieben werden:

$$p = \frac{1}{3} \mu \bar{v}^2 \sum_1^N \frac{1}{V} = \frac{1}{3} \mu \bar{v}^2 \sum_1^N v_i.$$

oder, da $\sum_1^N \frac{1}{V} = \frac{N}{V}$, d. h. gleich der Gesamtzahl der Moleküle, $\sum_1^N v_i = r$ die Anzahl im Kubikzentimeter ist:

$$(11) \quad p = \frac{1}{3} \mu \frac{N}{V} \bar{v}^2 = \frac{1}{3} \mu r \bar{v}^2.$$

μN bedeutet darin offenbar die Gesamtmasse M des Gases, und $\frac{M}{V} = \frac{M}{V} = \mu r$ die Masse pro Volumeneinheit, d. h. die Dichte ρ , und diese ist gleich dem mittleren Werte des spezifischen Volumens v ; also hat man schließlich auch die folgenden Formen der Gleichung (11):

$$(12) \quad \begin{cases} p = \frac{1}{3} \rho \bar{v}^2, \text{ oder} \\ p v = \frac{1}{3} \bar{v}^2. \end{cases}$$

Es ist hierbei zu beachten, daß \bar{v}^2 keineswegs mit der Größe $(\bar{v})^2$, d. h. mit dem Quadrat der mittleren Geschwindigkeit verwechselt werden darf. Ferner ist klar, daß der Wert von \bar{v}^2 , sowie auch der von $(\bar{v})^2$, wie natürlich überhaupt alle auf die Geschwindigkeit bezüglichen Mittelwerte mit dann wirklich angegeben werden können, wenn das hier noch unbekannt gebliebene Verteilungsgesetz der Geschwindigkeiten bestimmt

wurden ist. Nachdem diese Lücke ausgefüllt sein wird, werden wir die gesamten Mittelwerte direkt ausrechnen.

Setzen wir nun einen Vergleich mit (12) das experimentell für die meisten Gase geltende Zustandsgleichung herin, die nach Kap. II Gl. (36) auf pag. 93 so geschrieben werden kann:

$$(11) \quad p v = R' T,$$

wo T die absolute Temperatur und R' eine Konstante bedeutet, die nach von Gas zu Gas sich ändert, nämlich umgekehrt proportional dem Molekulargewicht ist.¹⁾ Damit (11) und (13) übereinstimmen, haben wir offenbar \bar{E} der absoluten Temperatur proportional zu setzen, also zu schreiben:

$$(12) \quad \bar{E} = \frac{1}{2} R' T.$$

Dies kann man noch etwas anders formulieren. Unter den von uns gemachten Annahmen ist die Gesamtenergie, oder wie wir früher sagten, die „innere Energie“ U des Gases gleich der Summe der kinetischen Energien der fortschreitenden Bewegung der einzelnen Moleküle, abgesehen von einer Konstanten, die den Betrag ständiger intramolekularer Energie angibt, die von der Temperatur unabhängig ist und die wir U_0 nennen wollen. Wir können also schreiben:

$$(13) \quad U = \frac{1}{2} \sum N_i \bar{c}_i^2 + U_0 = \frac{1}{2} R' T + U_0,$$

woraus in Verbindung mit (12) folgt:

$$(14) \quad U = \frac{1}{2} \mu R' T + U_0,$$

d. h. die absolute Temperatur T ist proportional der kinetischen Energie der fortschreitenden Bewegung. Dies nehmen wir von jetzt ab als Definition der absoluten Temperatur an, die damit ihre mechanische Bedeutung gefunden hat. Diese Voraussetzung ist eine Grundannahme der kinetischen Theorie überhaupt.

Damit geht nun in der Tat (11) in (14) über, und unsere Aufgabe kann hierin als erledigt angesehen werden, ab wir hin auf die gesamte Bestimmung der Konstanten R' die Zustandsgleichung der meisten Gase gewonnen haben. Im wesentlichen geht die obige Untersuchung auf Clausius zurück, wenn auch schon vorher Kronig dasselbe Resultat erhalten hatte, aber unter Zugrundelegung unzulässiger Annahmen über die Geschwindigkeiten der einzelnen Moleküle und über die Verteilung der Geschwindigkeitsrichtungen im Raume.

In der obigen Untersuchung ist übrigens stillschweigend angenommen, daß das Gas einheitlich sei, d. h. aus lauter gleichartigen Molekülen

¹⁾ D. h. $R' = \frac{R}{m}$, wo R eine absolute Konstante und m das Molekulargewicht

ist, wie aus dem Vergleich mit Gl. (36) des II. Kapitels auf pag. 93 hervorgeht. Doch wollen wir diese sehrgehende Hypothese hier nicht benutzen, sondern später (S. 57) aus der kinetischen Theorie ableiten.

berücks. Ist dies nicht der Fall, sondern sind mehrere Molekultypen vorhanden, die wir durch einen Index voneinander unterscheiden wollen, d. h. haben wir es mit einem Gasgemisch zu tun, so tritt an Stelle der (8. (11) die folgende, wie man durch ganz entsprechende Überlegungen findet:

$$(14) \quad p = \frac{1}{3} (m_1 v_1 \vec{c}_1^2 + m_2 v_2 \vec{c}_2^2 + \dots) = \frac{1}{3} \sum_i m_i v_i \vec{c}_i^2,$$

und entsprechend verallgemeinert sich auch die Gleichung (10) in die folgende:

$$(15) \quad \Pi = \frac{1}{3} T \sum_i \mu_i R_i R_i' + P_0.$$

Auf beide Gleichungen werden wir in No. 88 noch eingehend zurückkommen, wo uns ein neuer Satz gestattet wird, beide Formen zu vereinfachen und weitere Schlüsse zu ziehen.

82. Die Virialgleichung von Clausius.

Clausius hat auch noch ganz ausformulierte Überlegungen angegeben, um ebenfalls die Zustandsgleichung der idealen Gase zu erhalten, die von großen Werte sind, da hierbei gar keine speziellen Voraussetzungen über die Konstitution der Moleküle gemacht werden. Sie können wohl noch beliebige Gestalt und Zusammensetzung haben.

Für den Schwerpunkt jedes Moleküls von der Masse μ gelten die Gleichungen der Dynamik:

$$(17) \quad \begin{cases} \mu \ddot{x} = X, \\ \mu \ddot{y} = Y, \\ \mu \ddot{z} = Z, \end{cases}$$

wo die Punkte Ableitungen nach der Zeit und X, Y, Z die Komponenten der auf das Molekül wirkenden äußeren Kräfte sind. Erweitern wir die Gleichungen mit bzw. x, y , und z , so folgt:

$$(18) \quad \begin{cases} \mu x \ddot{x} = X x, \\ \mu y \ddot{y} = Y y, \\ \mu z \ddot{z} = Z z. \end{cases}$$

Nun ist aber:

$$\mu x \ddot{x} = \frac{d^2}{dt^2} \left(\frac{\mu}{2} x^2 \right) - \frac{\mu}{2} \dot{x}^2, \text{ und entsprechend für } \mu y \ddot{y} \text{ und } \mu z \ddot{z},$$

weicht die Gleichungen (18) übergehen in:

$$(19) \quad \begin{cases} \frac{d^2}{dt^2} \left(\frac{\mu}{2} x^2 \right) - \frac{\mu}{2} \dot{x}^2 = \frac{1}{2} X x, \\ \frac{d^2}{dt^2} \left(\frac{\mu}{2} y^2 \right) - \frac{\mu}{2} \dot{y}^2 = \frac{1}{2} Y y, \\ \frac{d^2}{dt^2} \left(\frac{\mu}{2} z^2 \right) - \frac{\mu}{2} \dot{z}^2 = \frac{1}{2} Z z, \end{cases}$$

durch deren Addition schließlich folgt:

$$(30) \quad \frac{h}{4} \sum \frac{d^2}{dt^2} (x^2 + y^2 + z^2) - \frac{h}{2} (x^2 + y^2 + z^2) = \frac{1}{2} (Xx + Yy + Zz).$$

Diesen Ausdruck summieren wir nun über alle Moleküle des Gases, und erhalten:

$$\frac{h}{4} \sum \frac{d^2}{dt^2} (x^2 + y^2 + z^2) - \frac{1}{2} \sum x^2 = \frac{1}{2} \sum (Xx + Yy + Zz).$$

Multiplizieren wir endlich mit dem Zeitintervall dt und integrieren über das lange Zeit τ , so wird die letzte Gleichung:

$$\frac{h}{4} \sum \int \frac{d^2}{dt^2} (x^2 + y^2 + z^2) dt - \sum \int \frac{1}{2} x^2 dt = \frac{1}{2} \sum \int (Xx + Yy + Zz) dt,$$

oder, wenn wir durch die sehr große Zahl τ dividieren:

$$\frac{h}{4\tau} \sum \left[\frac{d}{dt} (x^2 + y^2 + z^2) \right]_{\tau} - \frac{1}{\tau} \sum \int x^2 dt = \frac{1}{2} \cdot \frac{1}{\tau} \sum \int (Xx + Yy + Zz) dt.$$

Seien wir nun voraus, daß alle Koordinaten und Geschwindigkeiten unendlich einer endlichen Grenze bleiben, so wird schließlich bei sehr große τ das erste Glied beliebig klein, während die andern beiden endlich bleiben. Das zweite Glied stellt den zeitlichen Mittelwert der gesamten kinetischen Energie der fortschreitenden Bewegung dar, den wir

durch $\sum \frac{h}{2} \overline{v^2}$ bezeichnen, das Glied auf der rechten Seite ist entsprechend der zeitliche Mittelwert der Summe $\frac{1}{2} \sum (Xx + Yy + Zz)$, den wir ebenso durch $\frac{1}{2} \sum \overline{(Xx + Yy + Zz)}$ andeuten. Dem horizontalen Striche, der durchgehend eine Mittelwertbildung anzeigt, haben wir hier noch den Buchstaben „ τ “ angefügt, um zu betonen, daß es sich hier, im Gegensatz zu den Mittelwerten der vorigen Summen (die man als „Raummittel“ bezeichnet, weil sie über die ganze Fläche der Gasmasse gebildet sind), um „Zeitmittel“ handelt. Nun ist offenbar

$$\sum \frac{h}{2} \overline{v^2} = \sum \frac{h}{2} v^2,$$

weil die Summation über die unendlichen Moleküle und die zeitliche Integration (d. h. die zeitliche Mittelbildung) miteinander vertauscht werden können, und so nimmt die letzte Gleichung die Gestalt an:

$$(31) \quad \sum \frac{h}{2} v^2 + \frac{1}{\tau} \sum \overline{(Xx + Yy + Zz)} = 0.$$

Der Ausdruck

$$-\frac{1}{\tau} \sum \overline{(Xx + Yy + Zz)}$$

nennt Clausius das „Virial“ des mechanischen Systems, und Gl. (31) läßt sich dahin aussprechen, daß das Zeitmittel der kinetischen Energie eines Systems gleich dem Virial desselben ist.

Wie wollen nun dieses Resultat auf ein ideales Gas anwenden, das etwa in einem parallelpipelrinen GefaÙe mit den Kantenlängen a, b, c eingeschlossen sei, also das Volumen $V = a \cdot b \cdot c$ besitzt. Die Kanten a, b, c seien parallel den Koordinatenachsen orientiert. (Fig. 82.)

Was wirken nach unserer in der vorigen Nummer gegebenen Definition eines idealen Gases im Innern desselben, d. h. zwischen den Molekülen, keinerlei Kräfte, diese werden vielmehr nur von der Wand bei den Stößen auf die Moleküle ausgeübt; der zeitliche Mittelwert dieser Kraft pro Flächeneinheit sei gleich p . Rechnen wir nun das Virial für unser Gas aus, so haben wir nur die Wächflächen in Betracht zu ziehen. Nehmen wir zunächst die beiden einander gegenüberliegenden, in der Figur schraffierten, von denen die eine in der yz -Ebene liegt, für die also $x = 0$ ist, die andere dagegen in der Ebene $x = a$ sich be-

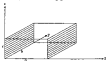


Fig. 82.

findet. Für die letztere ist p in der Richtung der positiven x -Achse, für die letztere in Richtung der negativen x -Achse gerichtet; für die erstere ist also $\sum (\overline{Xx})'_{x=0} = +p \cdot b \cdot c = 0$, für die zweite dagegen ist $\sum (\overline{Xx})'_{x=a} = -p \cdot b \cdot c = -pV$. Genauso denselben Wert erhält man noch für die beiden andern Seitenpaare, so daß schließlich für das Virial folgt:

$$(II) \quad -\frac{1}{2} \sum (\overline{Xx} + \overline{Yy} + \overline{Zz})' = \frac{1}{2} pV,$$

also durch Einsetzen in (20):

$$(22) \quad pV = \frac{1}{2} \sum p \overline{r^2}.$$

Anschaulich findet man aus (21):

$$(23) \quad pV = \frac{1}{2} p N \overline{r^2},$$

wo wir jetzt der größtmöglichen Deutlichkeit halber der Größe $\overline{r^2}$ des chemischen Indizes $\overline{r^2}$ beigefügt haben, um hervorzuheben, daß es sich dabei um ein „Schwermetall“ handelt. Gleichung (21) kann man auch schreiben:

$$pV = \frac{1}{2} \sum p \overline{r^2},$$

und der Vergleich mit (22) ergibt:

$$\overline{r^2} = \overline{r^2}.$$

d. h. eine Beziehung zwischen Zeitmittel und Schwanmittel des Unendlichgl. beizubehalten eines Maßes, eine Relation, die uns in allgemeinerer Form im X. Kapitel noch weiter beschäftigen wird.

Man erkennt aus dieser Darlegung besonders gut, daß der Druck p als ein statistischer Mittelwert aufgefaßt werden kann, da er aus dem Mittel resultiert.

Wir haben diese Methode hier nur wirklich aus dem Druck angeführt, weil man nicht erkennt, wie man mittels derselben auch zu einer Zustandsgleichung nichtidealer Gase gelangen kann, nachdem deren Moleküle also Kräfte wirken. Diese sind dann in den Ausdruck des Mittels mit aufzunehmen.

32. Verhältnis von der Wahrscheinlichkeitsrechnung.¹⁾

Obwohl wir im Vorhergehenden mehrfach Wahrscheinlichkeitsmaße gemacht haben, haben wir dennoch den Begriff der „mathematischen Wahrscheinlichkeit“ nicht explizit benutzt. Da wir aber im folgenden die wichtigsten Teile der mathematischen Theorie der Wahrscheinlichkeit benutzen werden, wollen wir jetzt die Grundlagen dieser Theorie kurz darlegen.

Von „Wahrscheinlichkeit“ im Gegensatz zu „Unmöglichkeit“ oder „Gewißheit“ kann überhaupt nur geredet werden bei Ereignissen, bei denen nicht alle Bedingungen ihres Eintreffens bekannt sind, d. h. bei partieller Unkenntnis der Verhältnisse, wie wir das oben hervorgehoben haben. Dies ist z. B. der Fall, wenn wir mit einem gewöhnlichen Würfel „würfeln“. Dabei sind die mechanischen Bedingungen so kompliziert, daß sie nicht überblickt werden können; daher können wir nicht mit Sicherheit angeben, welche Augenzahl bei dem Würfeln ausfallen wird, sondern wir können dies nur eine „mathematische“ Aussage machen.

Am Beispiel des Würfels wollen wir die für das folgende notwendigen Begriffe erklären.

Mit einem homogenen, möglichst genau gearbeiteten Würfel werde eine große Anzahl von Malen, etwa N -mal, gewürfelt. Dabei werde S_1 -mal eine Eins, N_2 -mal eine Zwei, ... N_6 -mal eine Sechse gewürfelt, so daß $N_1 + N_2 + N_3 + N_4 + N_5 + N_6 = N$ ist. Man bezeichnet N_1 als „absolutes“, $\frac{N_1}{N}$ als „relative Häufigkeit“ für das Auftreten des „Reignisses“ oder „Ereignisses“ Eins.

¹⁾ Vgl. etwa Borel, *Wahrscheinlichkeitsrechnung*, deutsch von G. Lichnerow, Leipzig und Berlin 1938, S. G. Fubini, E. Cesari, *Wahrscheinlichkeitsrechnung und ihre Anwendung*, Leipzig und Berlin, S. G. Fubini, E. Cesari, *Wahrscheinlichkeitsrechnung und Kombinatorik*, Leipzig 1934, v. Mises, *Grundlagen der Wahrscheinlichkeitsrechnung*, Math. Zeitschrift, Bd. 5, 1918.

Quasi analog sind natürlich die Berechnungen für $N_2, \dots, N_6, \frac{N_2}{N}, \dots, \frac{N_6}{N}$. Die Erfahrung hat nun gezeigt, daß die relative Häufigkeit $\frac{N_i}{N}$ ($i = 1, \dots, 6$) annähernd konstant bleibt, wenn man die Anzahl N der Würfe immer größer werden läßt. Man findet z. B. im obigen Falle etwa

$$\frac{N_1}{N} = \frac{1}{6}; \quad \frac{N_2}{N} = \frac{1}{6}; \quad \dots \quad \frac{N_6}{N} = \frac{1}{6}.$$

Würfelt man also 600mal ($N = 600$), so wird man $N_1 = 100$ finden; Würfelt man 6000mal ($N = 6000$), so wird $N_1 = 1000$ werden, und so fort. Denselben Zahlen erhält man bei N_2 bis N_6 .

Entsprechend dieser Erfahrungsmessung macht man nun das Postulat: Die relative Häufigkeit eines Ereignisses (oder Merkmal) hat für $N = \infty$ einen Grenzwert. (Im unserem Falle würde also für alle sechs Merkmale „Eins“ bis „Sechs“ dieser Grenzwert ein Sechstel sein.) Daraus schließt sich nun unmittelbar in die sogenannte statistische Definition der mathematischen „Wahrscheinlichkeit“: Der Grenzwert der relativen Häufigkeit $\lim_{N \rightarrow \infty} \frac{N_i}{N}$ heißt die Wahrscheinlichkeit w_i für das Eintreten des Merkmal i . In unserem speziellen Falle ist also $w_1 = w_2 = \dots = w_6 = \frac{1}{6}$, und gleichzeitig ist $w_1 + w_2 + \dots + w_6 = 1$. Aus der obigen Definition der Wahrscheinlichkeit folgt sofort, daß es ein echter Bruch mit Ausschluß der Grenzen 0 und 1 sein muß. In unserem Falle ist z. B. die Wahrscheinlichkeit, eine beliebige der Zahlen Eins bis Sechs zu werfen, gleich

$$\lim_{N \rightarrow \infty} \frac{N_1 + N_2 + N_3 + N_4 + N_5 + N_6}{N} = \lim_{N \rightarrow \infty} \frac{N}{N} = 1.$$

d. h. gleich der Gewißheit, da bei jedem Wurf natürlich eine der Zahlen 1 bis 6 herauskommen muß.

Andererseits ist die Wahrscheinlichkeit, keine der Zahlen Eins bis Sechs zu werfen, gleich $\lim_{N \rightarrow \infty} \frac{0}{N} = 0$, da es unmöglich ist, keine der Zahlen zu erhalten. Das gilt allgemein: Ist ein Ereignis gewiß, so ist seine Wahrscheinlichkeit $w = 1$, ist es unmöglich, so ist $w = 0$.

Diese einfachen Verhältnisse komplizieren sich, wenn der benutzte Würfel inhomogen oder in einer Form von einem geometrischen Würfel abweichend ist. Dennoch bleiben, wie die Erfahrung zeigt, die relativen Häufigkeiten $\frac{N_i}{N}$ bei wachsendem N konstant. Sie sind aber natürlich voneinander verschieden. Ist z. B. die Fläche mit der Augenzahl „Eins“ die größte, die mit der Zahl „Zwei“ die kleinste Fläche unseres „unperfekten“ Würfels, so wird $\frac{N_1}{N}$ um einen Wert abweichen, der größer als $\frac{1}{6}$ ist, und $\frac{N_2}{N}$ ebenso um einen Wert, der

kleiner als $\frac{1}{2}$ ist. Es ist etwa $\frac{X_1}{2} \approx \frac{1}{2}$, $\frac{X_2}{2} \approx \frac{1}{2}$. Auch hier kann man also

$$w_1 = \lim_{N \rightarrow \infty} \frac{X_1}{N}, \quad w_2 = \lim_{N \rightarrow \infty} \frac{X_2}{N}, \quad \text{u. s. w.}$$

setzen; der Unterschied gegen früher besteht nur darin, daß die so definierten Wahrscheinlichkeiten nicht mehr alle unbedingt gleich sind; dagegen bleibt natürlich die Gleichung

$$w_1 + w_2 + \dots + w_k = 1$$

bestehen. Man macht sich leicht klar, daß es so in allen Fällen ist und daß unsere Wahrscheinlichkeitsdefinition allgemein genug ist, um überall verwandt zu sein.

Über das bisher besprochene hinaus zeigt aber die Erfahrung noch folgendes: Laßt man nicht sämtliche Würfe gelten, sondern etwa nur den ersten, dritten, fünften . . . , und bestimmt man wieder die relativen Häufigkeiten, so findet man ungefähr dieselben Werte wie vorher. Man ist daher berechtigt anzunehmen, daß auch die Grenzwerte der relativen Häufigkeiten, d. h. die Wahrscheinlichkeiten, bei der obigen „Auswahl“ der Würfe ungestört bleiben. Dasselbe zeigt sich, wenn man etwa nur den zweiten, vierten, sechsten . . . Wurf gelten laßt, oder etwa nur die Würfe, die Primzahlen entsprechen, usw. usw., wenn man die Würfe nach irgend einem mathematischen Ordnungsprinzip willkürlich auswählt: In allen diesen Fällen bleiben die Wahrscheinlichkeiten des einzelnen Ereignisses ungestört. In dieser Tatsache der Unveränderlichkeit der Wahrscheinlichkeitswerte bei einer gewissen Auswahl dokumentiert sich das, was man die „Zufälligkeit“ des Ereignisses nennt.

Wären nämlich die Ereignisse nicht „zufällig“, sondern in gewissenmäßiger Weise von dem Index der Würfe (d. h. von dem Auswahlprinzip) abhängig, so daß z. B. jeder erste, vierte, zehnte . . . Wurf eine „Eins“, jeder zweite, achte, vierzehnte . . . eine „Zwei“ lieferte, so würden sich die Wahrscheinlichkeiten offenbar total ändern. Und zwar ergäbe im ersten Falle $w_1 = 1$, $w_2 = \dots = w_k = 0$ würden, dagegen im zweiten Falle sich $w_1 = 1$, $w_2 = w_3 = \dots = w_k = 0$ ergeben.

Durch die obigen Überlegungen dürfte der Begriff der Wahrscheinlichkeit und des Zufalls hinreichend klargestellt sein, und wir wollen nun das Grundproblem der Wahrscheinlichkeitstheorie weiterverarbeiten. Es kann folgendermaßen formuliert werden: Das Grundproblem der Wahrscheinlichkeitstheorie ist es, aus gegebenen bekannten Wahrscheinlichkeiten — sagen wir „Ausgangswahrscheinlichkeiten“ — auch mathematisches Gesetzmäßiges anderer Wahrscheinlichkeiten abzuleiten⁷⁾. Die Festlegung der Ausgangswahrscheinlich-

⁷⁾ Ähnlich ist es ja z. B. auch in der Mechanik. Dort wird aus der Anfangslage und der Anfangsgeschwindigkeit nach dem mechanischen Gesetze Lage und Geschwindigkeit zu jeder beliebigen Zeit t berechnet.

belien bei dagegen nicht Aufgabe der Wahrscheinlichkeitsrechnung, sondern der Physik; sie geschieht auf Grund der Erfahrung, eventuell einer Hypothese, wenn nicht genügende Erfahrung vorliegt. (Diese Hypothese muß dann natürlich ihre Berechtigung an der Erfahrung annehmen.) In der Theorie der Gasatome (z. B. beim Wurfeln) werden die Ausgangswahrscheinlichkeiten etwa durch Symmetrietrachtungen bestimmt (beim idealen Wurfel läßt sich kein Grund für Bevorzugung einer bestimmten Fläche derselben angeben); in der Statistik der Lebensversicherungen geschieht die Festsetzung durch direktes Abzählen (indem man gemäß der Wahrscheinlichkeitsdefinition die relative Häufigkeit an dem empirischen Material bestimmt und dementsprechend die Diververte wählt).

Gehen wir nun wieder auf das Wurfeln mit einem geometrischen Wurfel etwas näher ein! Die Ausgangswahrscheinlichkeiten w_1, w_2, \dots, w_6 werden in diesem Falle, wie oben erwähnt, aus Symmetriegründen alle gleich, und zwar gleich $\frac{1}{6}$ angenommen. Nach dieser Festlegung kann man nun z. B. das folgende wahrscheinlichkeitstheoretische Problem stellen: „Wie groß ist die Wahrscheinlichkeit, mit einem Wurfel entweder eine „Eins“ oder eine „Zwei“ zu werfen? Aus der Definition der Wahrscheinlichkeit ergibt sich folgende Antwort auf diese Frage: Unter N Würfen kommt $(N_1 + N_2)$ -mal eine „Eins“ oder eine „Zwei“ als Ergebnis heraus. Demnach ist die gesuchte Wahrscheinlichkeit (als Grenzwert der relativen Häufigkeit):

$$w_{12} = \lim_{N \rightarrow \infty} \frac{N_1 + N_2}{N} = \lim_{N \rightarrow \infty} \frac{N_1}{N} + \lim_{N \rightarrow \infty} \frac{N_2}{N},$$

also:

$$(21a) \quad w_{12} = w_1 + w_2.$$

Das führt zu dem „Gesetz von der totalen Wahrscheinlichkeit“ oder dem „Additionssatz“ der Wahrscheinlichkeitsrechnung: Ist w_1 die Wahrscheinlichkeit für das Eintreten des Ereignisses E_1 , w_2 diejenige für E_2 , so ist

$$w_{12} = w_1 + w_2$$

die Wahrscheinlichkeit dafür, daß entweder E_1 oder E_2 eintritt. Dabei ist noch vorausgesetzt, daß die beiden Ereignisse einander ausschließen, d. h. daß nicht gleichzeitig E_1 und E_2 eintreten können, eine Voraussetzung, die in unserem Falle erfüllt ist, da mit einem Wurfel selbstverständlich nicht die Zahlen Eins und Zwei geworfen werden können. Nennt man solche Ereignisse kurz „unvereinbar“, so kann man den Additionssatz unter gleichzeitiger Voraussetzung auf mehr als zwei Ereignisse folgendermaßen aussprechen:

„Die Wahrscheinlichkeit, daß von mehreren unvereinbaren Ereignissen eins eintritt, eines Angabe, welches es sein soll, ist gleich der Summe der Einzelwahrscheinlichkeiten.“¹⁾

¹⁾ Wenn die Ereignisse nicht unvereinbar, so würde die Gesamtwahrscheinlichkeit nicht gleich, sondern kleiner als die Summe der Einzelwahrscheinlichkeiten sein, was hier das Beweiz angibt; wir brauchen auf diese Fälle nicht näher einzugehen.

Es stimmt mit bedeutungsvollem Satze der Wahrscheinlichkeitsrechnung gelangen wir in einfacher Weise mit Benützung des folgenden Beispiels: In einer Urne liegen 32 Kugeln, und es werde mit einem Geiß jedesmal eine Kugel gezogen. Da sich kein Grund angeben läßt, weswegen eine der Kugeln vor einer anderen bevorzugt sein sollte, wollen wir das Ziehen irgend einer der Kugeln als gleichwahrscheinlich mit dem Ziehen irgend einer anderen Kugel betrachten (ganz analog dem Falle des zufälligen Würfels). Die Ausgangswahrscheinlichkeiten w_1 bis w_{32} irgend einer der Kugeln zu ziehen, sind also gleich, und zwar $= \frac{1}{32}$. Mit seien 15 Kugeln mit den Nummern 1 bis 15 weiß, 16 Kugeln mit den Nummern 16 bis 32 schwarz. Gefragt wird nach der Wahrscheinlichkeit w , eine weiße Kugel zu ziehen, oder wie auf dieselbe hinauskommt, entweder die Kugel „Eins“ oder „Zwei“ oder „Drei“ ... oder „Fünfzehn“ zu ziehen. Nach dem Additionssatze hat man offenbar:

$$w = w_1 + w_2 + \dots + w_{15} = \frac{15}{32}.$$

Nun ist aber 32 die Anzahl aller überhaupt möglichen Fälle, da jede der Kugeln 1 bis 32 gezogen werden kann. Ferner ist 15 die Anzahl der dem Ereignisse — Ziehen einer weißen Kugel — „gunstigen“ Fälle, da es gerade 15 weiße Kugeln gibt. Dementsprechend haben wir für unsere Wahrscheinlichkeit:

$$\text{Wahrscheinlichkeit} = \frac{\text{Zahl der gunstigen Fälle}}{\text{Zahl der möglichen Fälle}}$$

d. h. in leicht verständlicher Bezeichnungswiese:

$$w = \frac{g}{m}.$$

Dabei ist die Voraussetzung wesentlich, daß die Ausgangswahrscheinlichkeiten alle gleich sind, daß wir also von „gleichmöglichen“ Fällen ausgehen. Da dies bei folgenden stets zutreffen wird, weil den physikalischen Anwendungen der Wahrscheinlichkeitsrechnung unsere Aussagen über die gleichmöglichen Fälle zugrunde liegen, können wir uns auf diesen Fall beschränken.

Mit der obigen Formel haben wir als Lehrsatz diejenige Definition der Wahrscheinlichkeit gewonnen, die Laplace an die Spitze seines Systems gestellt hat.

Nunmehr können wir zu einem weiteren fundamentalen Satze der Wahrscheinlichkeitsrechnung übergehen, nämlich dem sogenannten „Multiplikationssatze“, wobei wir jetzt die Laplace'sche Wahrscheinlichkeitsdefinition benutzen wollen. Wir wollen denselben jedoch nicht in seiner allgemeinsten Fassung aussprechen, sondern nur für sogenannte „unabhängige“ Ereignisse. Ereignisse heißen unabhängig voneinander, wenn die Wahrscheinlichkeit für jedes einseins von ihnen nicht vom Eintreffen oder Nichteintreffen der übrigen abhängt.

Wenn also mehrere unabhängige und unveränderbare Ereignisse A , B , C , ... möglich sind, deren jedes die Wahrscheinlichkeit w_A, w_B, w_C, \dots hat, so wird nach der Wahrscheinlichkeit gefragt, daß zwei (oder mehrere) dieser Ereignisse gleichzeitig eintreffen, z. B. die Ereignisse A und B .

In unsern alten Beziehungen ist

$$w_A = \frac{p_A}{N}, \quad w_B = \frac{p_B}{N},$$

d. h. p_A die Zahl der dem Ereignis A günstigen, p_B die Zahl der dem Ereignis B günstigen Fälle. Nehmen wir $p_A = N \cdot w_A$ für einen Moment gleich N' , so ist unter N' dem Ereignis A günstigen Fällen die Zahl $\frac{p_B N'}{N}$ gleichzeitig dem Ereignis B günstig. Denn auf N' insgesamt mögliche Fälle enthalten p_B für B günstige, also auf N' mögliche Fälle entsprechend $\frac{p_B N'}{N}$ für B günstige Fälle. Diese Zahl kann aber auch geschrieben werden:

$$\frac{p_B N'}{N} = p_B \cdot w_A$$

da stellt das dem Eintreffen von A und B günstigen Fälle dar. Dividieren wir durch die Zahl N der möglichen Fälle, so erhalten wir definitionsgemäß die Wahrscheinlichkeit für das gleichzeitige Eintreffen beider Ereignisse:

$$(241) \quad w_{A+B} = \frac{p_B N'}{N^2} = w_A \cdot w_B,$$

d. h. gleich dem Produkte der Einzelwahrscheinlichkeiten. Ebenso offenbar in allgemeineren Fällen:

Die Wahrscheinlichkeit gleichzeitigen Eintreffens mehrerer unabhängiger unveränderbarer Ereignisse ist gleich dem Produkte ihrer Einzelwahrscheinlichkeiten (Multiplikationssatz).

Die obigen Begriffe und Sätze wollen wir nun noch an bereits besprochenen Fällen aus der Gastheorie erläutern.

Beginnen wir mit der Annahme gleichmäßiger Raumverteilung durch die Moleküle eines Gases. Das will besagen, daß, wenn wir den dem Gas zur Verfügung stehenden Raum V in gleich große Zellen unterteilt denken, jedem Molekül mit gleicher Wahrscheinlichkeit in jeder beliebigen Zelle liegen kann. Jede Zelle habe das Volumen ΔV , und das ganze Volumen V sei in r solcher Zellen eingeteilt. Wir können dann die Wahrscheinlichkeit bestimmen, daß ein Molekül in einer bestimmten Zelle liegt. Denn es ist die Zahl der gleichmöglichen Fälle offenbar r , die Zahl der günstigen offenbar 1, also die gesuchte Wahrscheinlichkeit, daß ein Molekül in einer bestimmten Zelle ΔV liegt,

$$\frac{1}{r} = \frac{\Delta V}{r \Delta V} = \frac{\Delta V}{V}.$$

Nach (I) gibt also auch die Zahl $\frac{dN}{N}$ die Wahrscheinlichkeit dafür an, daß 1 Molekül in dV liegt, und mit N , der Gesamtzahl der Moleküle multipliziert, liefert sie die wahrscheinlichste Zahl der in dV liegenden Moleküle — wovon wir damals auch ausgegangen waren. Ebenso ist — vgl. Gl. (3) — $\frac{dS}{N}$ die Wahrscheinlichkeit dafür, daß 1 „Geschwindigkeitselement“ in das Oberflächenelement dS der Einheitskugel fällt, und $N \frac{dS}{4\pi}$ ist demgemäß die (wahrscheinliche) Zahl der in dS liegenden Geschwindigkeitselemente.

Man sieht aus diesem Beispiele bereits, daß wir tatsächlich schon den Wahrscheinlichkeitsbegriff benutzt haben, ohne dies ausdrücklich einzuführen. Auch den Multiplikationsansatz und den Additionsansatz haben wir tatsächlich schon benutzt. Gl. (2a) bestimmt die Wahrscheinlichkeit dafür, daß 1 Geschwindigkeitselement in das Element der Einheitskugel $dS = \sin\theta d\theta d\varphi$ fällt, oder daß die entsprechende Geschwindigkeit eine Richtung im Raume besitzt, die durch die Angaben θ und $\theta + d\theta$, φ und $\varphi + d\varphi$ bestimmt ist. Diese Wahrscheinlichkeit ist nach (2a) gleich:

$$\frac{dS}{N} = \frac{\sin\theta d\theta d\varphi}{4\pi},$$

und dies kann als folgendes Produkt geschrieben werden:

$$\frac{dS}{N} = \frac{\sin\theta d\theta}{2} \cdot \frac{d\varphi}{2\pi},$$

wobei der erste Faktor die Wahrscheinlichkeit dafür angibt, daß die Geschwindigkeit Winkel zwischen θ und $\theta + d\theta$ mit einer bestimmten Richtung bildet; (das sagte in der Tat unsere Gleichung (3) aus); der zweite Faktor ist, wie man leicht erkennt, die Wahrscheinlichkeit dafür, daß die Geschwindigkeit ein Azimut zwischen φ und $\varphi + d\varphi$ besitzt. Hier ist also der Multiplikationsansatz benutzt worden.

Indem wir ferner die Wahrscheinlichkeit $\frac{\sin\theta d\theta}{2}$ dafür, daß (bei beliebigem φ) die Geschwindigkeit Winkel zwischen θ und $\theta + d\theta$ mit einer festen Richtung bildet, durch Integration, d. h. Summation, aus der Wahrscheinlichkeit $\frac{\sin\theta d\theta d\varphi}{4\pi}$ über φ gewonnen, haben wir tatsächlich schon den Additionsansatz benutzt.

Diese Beispiele mögen genügen, um die richtige Anwendungs-möglichkeit unserer Wahrscheinlichkeitsterminologie zu skizzieren.

53. Das Maxwell'sche Verteilungsgesetz der Geschwindigkeiten.

Das Problem der Geschwindigkeitsverteilung wurde zuerst von Clausius formuliert und von Maxwell im Jahre 1860 beantwortet. Zwar können wir schon ersten Beweis nicht als stark anerkennen, aber das Resultat hat sich als richtig erwiesen. Wir wollen hier mit Absicht den

unzureichenden ersten Beweis Maxwells reproduzieren, um nach dem Resultat zu gelangen. Im nächsten Kapitel werden wir den strengen Beweis bei anderer Gelegenheit nachholen.

Es handelt sich um die Frage, wie die verschiedenen Geschwindigkeiten zwischen den Werten 0 und ∞ sich auf die N Moleküle verteilen, d. h. wie viele Moleküle eine bestimmte Geschwindigkeit v oder vielmehr eine Geschwindigkeit zwischen v und $v + \Delta v$ haben.

Wir wollen zunächst eine etwas andere, damit zusammenhängende Frage beantworten. Wir denken uns alle Geschwindigkeiten v in ihre rechtwinkligen Komponenten u , v , w zerlegt, deren jede alle Werte zwischen $-\infty$ und $+\infty$ annehmen kann, und fragen zuerst nach der Zahl derjenigen Moleküle, die eine x -Komponente der Geschwindigkeit zwischen u und $u + \Delta u$ besitzen.

Die (zu bestimmende) Wahrscheinlichkeit dieses Ereignisses wird, wie bekannt, der „Integralbreite“ Δu proportional sein, und der Proportionalitätsfaktor f wird selbst von u abhängen, also eine Funktion von u sein; wir können daher die betreffende Wahrscheinlichkeit in der Form $f(u) \Delta u$ aussetzen. An sich könnte $f(u)$ noch eine Funktion des Ortes, also von x , y , z sein; durch die in Nr. 50 formulierte Voraussetzung indessen, daß die Moleküle aller Geschwindigkeiten — jede Sorte für sich — den Raum gleichmäßig erfüllen, wird es offenbar ersichtl., daß $f(u)$ gar nicht von x , y , z abhängt. Die Zahl der Moleküle mit einer x -Komponente der Geschwindigkeit zwischen u und $u + \Delta u$ ist also gleich dem Produkte dieser Wahrscheinlichkeit mit der Gesamtzahl N der Moleküle, nämlich gleich $N f(u) \Delta u$. Ganz ebenso sieht Maxwell die Wahrscheinlichkeiten dafür, daß ein Molekül eine y - bzw. z -Komponente zwischen v und $v + \Delta v$ bzw. w und $w + \Delta w$ besitzt, auch gleich $f(v) \Delta v$ bzw. $f(w) \Delta w$; die Aussagen der Moleküle mit der einen bzw. der andern dieser Eigenschaften sind also $N f(v) \Delta v$ bzw. $N f(w) \Delta w$. Daß hier für alle drei Fälle die gleiche Funktion f auftritt, rechtfertigt sich durch die Erwägung, daß alle Komponentenrichtungen als gleichberechtigt zu betrachten sind.

Indem nun Maxwell das Auftreten von Komponenten zwischen u und $u + \Delta u$, v und $v + \Delta v$, w und $w + \Delta w$ als voneinander unabhängige Ereignisse betrachtet, findet er nach dem Multiplikationssatze die Wahrscheinlichkeit dafür, daß ein Molekül gleichzeitig eine x -Komponente zwischen u und $u + \Delta u$, eine y -Komponente zwischen v und $v + \Delta v$, eine z -Komponente zwischen w und $w + \Delta w$ besitzt, gleich:

$$(12) \quad f(u) f(v) f(w) \Delta u \Delta v \Delta w,$$

und durch Multiplikation mit N die Anzahl der Moleküle mit dieser Eigenschaft:

$$(13) \quad N f(u) f(v) f(w) \Delta u \Delta v \Delta w.$$

Dieser letzte Schritt ist so nun, der zwar die Rechnung stark vereinfacht, aber nicht gerechtfertigt werden kann. Denn zwischen den

Komponenten u, v, w gelten doch gewisse Relationen (nämlich die Erhaltung des Impulses und der Energie), die aus dem Maßgesetz folgen. Das Auftreten der drei Komponenten u, v, w kann also nicht als gemeinschaftliches Eintreten unabhängiger Ereignisse angesehen werden, wenigstens nicht a priori, während es sich ganz wohl denken läßt, daß sich die wenigstens a posteriori nachträgliches laßt, obwohl die erwähnten Relationen zwischen u, v, w bestehen. Wirklich trifft dieser Fall hier zu, und deshalb eben führt Maxwells unbegrenzte Annahme hier zum richtigen Resultat. Wir beachten jedoch (22) ruhig weiter.

Wir können die durch (22) festgelegte Wahrscheinlichkeit sehr anschaulich geometrisch erklären. Denn wenn wir die Größen u, v, w als rechtwinklige Koordinaten eines Raumes denken — den so bezeichnen



Fig. 22.

Raum trennen wir den „Geschwindigkeitsraum“ von uns stellt (22) die Wahrscheinlichkeit dafür dar, daß der Endpunkt der vom Koordinatenursprungspunkt nach Größe und Richtung aufgetragenen Geschwindigkeit c mit den Komponenten u, v, w gerade in das Volumenelement $du dv dw$ hineinfällt (Fig. 22).

Da nun die Koordinatenrichtungen ganz willkürlich gewählt werden können (z. B. kann das Koordinatensystem um 90° gedreht werden), so kann diese Größe, d. h. $f(u)f(v)f(w)$ nicht von u, v, w einzeln abhängen, sondern nur vom Abstände des Endpunktes der Geschwindigkeit $c = \sqrt{u^2 + v^2 + w^2}$ vom Koordinatenursprungspunkte. Es muß also eine Relation von der Form existieren:

$$(23) \quad f(u)f(v)f(w) = \varphi(u^2 + v^2 + w^2),$$

wenn φ irgendeine Funktion des Argumentes $u^2 + v^2 + w^2 = c^2$ bedeutet. Diese Funktionsgleichung reicht hin, um den Funktionscharakter von f und damit von φ zu bestimmen.

Tun wir nämlich $u^2 + v^2 + w^2 = c^2$ konstant, d. h. lassen wir den Endpunkt der Geschwindigkeit c sich nur auf einer Kugelfläche mit

dem Enden r um den Anfangspunkt O bewegen, so erhält man durch logarithmische Differentiation:

$$(28) \quad \frac{f'(r)}{f(r)} dr + \frac{f'(c)}{f(c)} dc + \frac{f'(u)}{f(u)} du = 0,$$

eine Gleichung, die gilt, wenn $u^2 + c^2 + r^2 = \beta^2 = \text{const.}$ ist, d. h. zusammen mit der Gleichung:

$$(29) \quad u du + r dr + c dc = 0.$$

Multipliziert man letztere Gleichung mit einem unbekannten Lagrange-
schen Faktor λ und addiert sie zu (28), so folgt:

$$(30) \quad \left[\frac{f'(r)}{f(r)} + \lambda \lambda r \right] dr + \left[\frac{f'(c)}{f(c)} + \lambda \lambda c \right] dc + \left[\frac{f'(u)}{f(u)} + \lambda \lambda u \right] du = 0,$$

und diese zerfällt in bekannter Weise in die drei unabhängigen Gleichungen:

$$(31) \quad \begin{cases} \frac{f'(r)}{f(r)} + \lambda \lambda r = 0, \\ \frac{f'(c)}{f(c)} + \lambda \lambda c = 0, \\ \frac{f'(u)}{f(u)} + \lambda \lambda u = 0. \end{cases}$$

Daraus folgt bei λ die dreifache Darstellung:

$$\lambda = -\frac{1}{r} \cdot \frac{f'(r)}{f(r)} = -\frac{1}{c} \cdot \frac{f'(c)}{f(c)} = -\frac{1}{u} \cdot \frac{f'(u)}{f(u)}.$$

Da aber zwei Funktionen von r und c nur dann für alle Werte des Arguments gleich sein können, wenn die Konstanten sind, so folgt zunächst, daß λ selbst eine Konstante ist.

Die Integration von (31) liefert dann sofort:

$$(32) \quad f(x) = x e^{-\lambda x^2},$$

und zwei entsprechende Gleichungen, wo x das Integrationskonstante bedeutet. Wenn nun λ negativ, so würde für unendlich große Werte von x die Größe $f(x)$ selbst unendlich werden, was wegen der Definition der Wahrscheinlichkeit nicht möglich ist. Also ist λ positiv; wir setzen es gleich β^2 .

Die Gleichung (32) entspricht genau dem Gauss'schen Fehlergesetz, d. h. dem Gesetz, das angibt, wie die Fehler eines Resultates sich um den Mittelwert gruppieren.

Die physikalische Bedeutung von α und β wird sich später leicht feststellen lassen. Zunächst haben wir für die Wahrscheinlichkeit, daß der Endpunkt der Geschwindigkeit \mathbf{v} in dem Volumenelement $d\mathbf{v}$ oder liegt (Fig. 38), nach (32) und (33):

$$(33) \quad f(v) f(\vartheta) f(\varphi) dv d\vartheta d\varphi = \alpha^3 e^{-\beta^2(v^2 + v_\vartheta^2 + v_\varphi^2)} dv d\vartheta d\varphi.$$

Wir wollen aber nicht diese Wahrscheinlichkeit kennen, d. h. nicht die Wahrscheinlichkeit dafür, daß ein Molekül Komponenten zwischen x und $x + dx$, y und $y + dy$, z und $z + dz$ hat, wo $x^2 + y^2 + z^2 = c^2$ ist, sondern ganz allgemein die Wahrscheinlichkeit dafür, daß ein Molekül eine Geschwindigkeit zwischen c und $c + dc$ besitzt, gleichgültig, welche Werte die Komponenten haben. Oder geometrisch gesprochen: Wir wollen nicht die Wahrscheinlichkeit dafür, daß der Endpunkt der Geschwindigkeit c im Volumenelement $dx dy dz$ liegt, sondern dafür, daß er innerhalb einer Kugelschale mit dem Radius c und $c + dc$ liegt.

Führen wir statt x, y, z Polarkoordinaten c, θ, φ ein, so daß:

$$x^2 + y^2 + z^2 = c^2,$$

$$x = c \sin \theta \cos \varphi,$$

$$y = c \sin \theta \sin \varphi,$$

$$z = c \cos \theta$$

wird, und

$$dx dy dz = c^2 dc \sin \theta d\theta d\varphi$$

ist, so erhalten wir statt (38):

$$(38) \quad n^3 e^{-P^2} c^2 dc \sin \theta d\theta d\varphi$$

als Wahrscheinlichkeit dafür, daß der „Geschwindigkeitselement“ in dem Volumenelement $dx dy dz = c^2 dc \sin \theta d\theta d\varphi$ liegt, und nach dem Additionssatze der Wahrscheinlichkeitsrechnung folgt die Wahrscheinlichkeit dafür, daß derselbe innerhalb der gesamten Kugelschale liegt — gleichgültig, welche Werte von θ und φ dabei annehmen — durch Integration über θ von 0 bis π , über φ von 0 bis 2π . Es ergibt sich somit:

$$n^3 e^{-P^2} c^2 dc \int_0^\pi \int_0^{2\pi} \sin \theta d\theta d\varphi,$$

was ausgerechnet den Wert liefert:

$$(39) \quad 4\pi n^3 e^{-P^2} c^2 dc.$$

Das ist also schließlich die ungetriggert gesuchte Wahrscheinlichkeit dafür, daß ein Molekül eine Geschwindigkeit zwischen c und $c + dc$ hat, und die Anzahl dN , dieser Moleküle ergibt sich durch Multiplikation mit der Gesamtzahl N derselben, so:

$$(39) \quad dN = 4\pi N n^3 e^{-P^2} c^2 dc.$$

¹⁾ Im Falle eines zweidimensionalen Gases, bei dem nur die Komponenten x und y auftreten, würde an die Stelle der Gl. (38) die folgende treten:

(38a) $n^2 e^{-P^2} c dc,$

Wir haben dies hervor, weil wir später zum Apparat zurückkehren werden, der gerade diese Verteilungsfunktion experimentell herzustellen gestattet.

Diese Gleichung spricht das Geschwindigkeitsverteilungsgesetz von Maxwell aus: es gibt ja an, welche Zahlen dR , der Moleküle eine bestimmte Geschwindigkeit v besitzen.

Jetzt gehen wir zur Bestimmung der Konstanten α und β über. Bilden wir $\sum \frac{dR}{N}$ über alle Werte der Geschwindigkeiten von 0 bis ∞ , so ist dies nach dem Additionssatz der Wahrscheinlichkeitsrechnung die Wahrscheinlichkeit dafür, daß ein Molekül irgendeine Geschwindigkeit zwischen 0 und ∞ besitzt. Da dies alle überhaupt möglichen Fälle sind, so ist diese Wahrscheinlichkeit gleich 1, d. h. gleich der Gesamtheit, da jedes Molekül irgendeine Geschwindigkeit besitzen muß. Also ist

$$\sum \frac{dR}{N} = 1,$$

also nach (86), wenn wir die Summe in ein Integral verwandeln und gleichzeitig mit R multiplizieren:

$$(87) \quad R = 4\pi v^2 N \int_0^\infty v^{-\beta} e^{-\alpha v^2} v^4 dv.$$

Diese Gleichung liefert eine Beziehung zwischen den Konstanten α und β . Das Integral selbst läßt sich durch partielle Integration leicht auflösen. Zuerst hat man:

$$\int_0^\infty v^{-\beta} e^{-\alpha v^2} v^4 dv = \frac{1}{2} \int_0^\infty v^{-\beta} e^{-\alpha v^2} d(v^2) = \frac{1}{2\alpha^{\frac{\beta}{2}}} \int_0^\infty v^{-\beta} e^{-v^2} d(v^2) v^{\frac{\beta}{2}}.$$

oder, wenn β als neue Variable z eingeführt wird:

$$\int_0^\infty v^{-\beta} e^{-\alpha v^2} v^4 dv = \frac{1}{2\alpha^{\frac{\beta}{2}}} \int_0^\infty v^{-z} e^{-v^2} d(v^2) = -\frac{1}{2\alpha^{\frac{\beta}{2}}} \int_0^\infty z d(v^{-z}).$$

Durch partielle Integration folgt jetzt:

$$-\int_0^\infty z d(v^{-z}) = -[z v^{-z}]_0^\infty + \int_0^\infty v^{-z} dz = \int_0^\infty v^{-z} dz,$$

da der erste Term verschwindet. Also haben wir:

$$\int_0^\infty v^{-\beta} e^{-\alpha v^2} v^4 dv = \frac{1}{2\alpha^{\frac{\beta}{2}}} \int_0^\infty v^{-z} dz.$$

Dieses Integral haben wir bereits bei einer früheren Gelegenheit an $\frac{1}{2}\sqrt{\pi}$ bestimmt (vgl. pag. 443). Also folgt schließlich nach (87):

$$\frac{\alpha^{\frac{\beta}{2}}}{\beta^{\frac{\beta}{2}}} = 1,$$

$$(88) \quad \alpha = \frac{\beta}{\gamma^{\frac{\beta}{2}}}.$$

Dann wird (80) zu:

$$(81) \quad \Delta R_1 = \frac{4\beta^3}{\sqrt{\pi}} \int_0^\infty c^2 e^{-\beta^2 c^2} dc.$$

Die Form der sogenannten „Verteilungsfunktion“

$$(82) \quad \varphi(c) = 4\pi c^2 f(c) f(c) f(c) = \frac{4\beta^3}{\sqrt{\pi}} c^2 e^{-\beta^2 c^2}$$

wird durch die folgende Kurve I (Fig. 54) dargestellt, in der c die Geschwindigkeit, c die Distanz aufgetragen ist. Zudem wird noch

$$(83a) \quad f(c) f(c) f(c) = \frac{\beta^3}{\sqrt{\pi}} e^{-\beta^2 c^2}$$

als Maxwell'sche Verteilungsfunktion bezeichnet; diese hat natürlich wegen des hier fehlenden Faktors c^2 einen ganz anderen Verlauf als $\varphi(c)$; diese Kurve ist in Fig. 54 als II eingetragen.

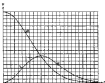


Fig. 54.

Zur Bestimmung der physikalischen Bedeutung von β bestimmen wir denjenigen Wert c_0 der Geschwindigkeit, bei dem das Maximum dieser Kurve (82) eintritt. Dies ist der sog. „wahrscheinlichste“ Wert der Geschwindigkeit, d. h. derjenige, auf den die größte Zahl von Molekülen entfällt. Wir finden durch Differentiation von $c^2 e^{-\beta^2 c^2}$ nach c und Nullsetzen des Differentialquotienten:

$$\frac{d}{dc} [c^2 e^{-\beta^2 c^2}] = e^{-\beta^2 c^2} (2 - \beta^2 c^2) = 0,$$

d. h.

$$(81) \quad c_0 = \frac{1}{\beta}.$$

Der mittlere Wert von β ist also gleich der wahrscheinlichsten Geschwindigkeit c_m , wenn die physikalische Bedeutung von β bestimmt ist.²⁾

Die folgenden Zahlen zeigen dann denen, die durch (30) gegebene Geschwindigkeitsverteilung zu erläutern. Die Anzahl der Moleküle mit einer Geschwindigkeit zwischen γc_m und $\gamma c_m + \Delta c$, wo $\gamma > 0$ ist, ist nach (30), da $\frac{1}{\beta} = c_m$ ist:

$$\Delta N_{\gamma} = \frac{4\beta^3}{\pi} N c_m^3 e^{-\gamma^2} d\gamma,$$

wobei für $\gamma = 1$ sich ergibt:

$$\Delta N_{c_m} = \frac{4\beta^3}{\pi} N c_m^3 e^{-1} d\gamma,$$

dessen Quotient aus die Zahl der Moleküle mit der Geschwindigkeit γc_m in Verhältnis der Zahl der Moleküle mit der wahrscheinlichsten Geschwindigkeit c_m aufßt:

$$\frac{\Delta N_{\gamma}}{\Delta N_{c_m}} = \gamma^2 e^{1-\gamma^2}.$$

Die folgende Tabelle enthält die Werte dieser relativen Anzahlen für $\gamma = \frac{1}{2}, 1, 2, 3$, wenn man sieht, wie sich der Abfall der Verteilungskurve beiwerts der wahrscheinlichsten Geschwindigkeit c_m verhält.

γ	$\frac{1}{2}$	1	2	3
$\frac{\Delta N_{\gamma}}{\Delta N_{c_m}}$	0,615	1	0,217	0,049

Man hat Apparate konstruiert, um die Verteilungsfunktion (32)

$$(32) \quad f(u) = a e^{-\beta^2 u^2},$$

d. h. das Gaußsche Fehlergesetz experimentell zu verifizieren. Um sich die Konstruktion eines derartigen Apparates klar zu machen, muß man sich die Bedeutung der Gleichung (32) als Fehlerkurve vergegenwärtigen. Die Funktion $f(u)$ hat ein Maximum für $u = 0$ und fällt nach beiden Seiten hin, d. h. für positive und negative u symmetrisch ab. Das bringt zum Ausdruck: Erstens, daß positive und negative Fehler (Abweichungen von Null) gleich wahrscheinlich sind, und zweitens, daß die Fehler um so unwahrscheinlicher werden je größer sie sind. Diese beiden Grundgesetze, die gleiche Wahrscheinlichkeit für positive und

²⁾ Daß der obige neue Beweis Maxwell's unzulänglich ist, gibt uns bestenfalls nur eine Bemerkung Ritzmanns her. Derselbe wird die Geschwindigkeitsverteilung im stationären Zustande hervorgerufen durch die Zusammenstöße. Außerdem ist im obigen Beweise nirgends von der Tatsache der Zusammenstöße, d. h. von den Stoßgesetzen, Gebrauch gemacht. Der Beweis würde also, wenn er richtig wäre, noch zeigen, daß sich die Maxwell'sche Geschwindigkeitsverteilung herstellen würde, wenn gar keine Zusammenstöße stattfänden —, was offenbar unmöglich ist. Ein solcher Beweis kann nur mit Hilfe der Stoßgesetze geführt werden.

negative Fehler derselben Abschüttelungs und die Abnahme der Wahrscheinlichkeit mit wachsendem Abschüttelungs der Fäden, bedingen die Konstruktion des sogenannten Gallonischen Brettes (Fig. 22a).

ΔBCD ist ein vertikal stehendes Brett, in dessen oberer Hälfte (in der Figur durch Punkte markiert) in gleichem Abstande Nägel eingestülpt sind; die untereinander befindlichen Nägelköpfe stehen „auf Leisten“, wie es die Figur zeigt; die untere Hälfte des Brettes ist durch vertikale Leisten in eine Reihe nebeneinander rechteckiger Fächer eingeteilt. Von vorne ist das Ganze mit einer Glasscheibe bedeckt. In der Mitte der oberen

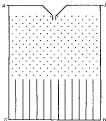


Fig. 22a.

Kante AB ist ein Trichter angebracht, durch den man Kugeln beschicken lassen kann, deren Durchmesser kleiner ist als der Abstand der Nägel, so daß bei oberst genauer Festrierung eine Kugel senkrecht aus der Öffnung des Trichters herausfallen würde, um in der zweiten Nagelreihe einen der Nägel genau central zu treffen. Sie würde dann theoretisch auf diesem Nagel in ihrem Gleichgewichte ruhen bleiben. Wegen der unvernünftigen Ungenauigkeit der Festrierung und der Unmöglichkeit, minimale seitliche Geschwindigkeiten zu vernachlässigen, wird aber im allgemeinen jede Kugel bei treffendem Nagel etwas seitlich treffen, von der Vertikalen abgelenkt werden und nach Zusammenstoß mit vielen anderen Nägeln in einem anderen Fache ruhen bekommen. Aber es wird sich, wenn man den Versuch mit vielen Kugeln nacheinander anstellt, doch folgendes Resultat ergeben: Nach links und rechts werden sich die Kugeln gleich-

mäßig verteilen, da Ablenkungen nach rechts und links gleich wahrscheinlich sind. Ferner werden die Kugeln seltener in die ganz rechts oder ganz links liegenden Fächer gelangen, da große Ablenkungen seltener sind als kleine. Die meisten Kugeln werden sich trotz der Nägel und trotz aller Unvollkommenheiten doch in dem mittleren Fache sammeln, weil dies der kleinsten Ablenkung entspricht. Die Zahl der Kugeln in den verschiedenen Fächern wird also der Form des Gaußschen Fehlgesetzes (32) entsprechen.

Man macht den Versuch, indem man den Trichter oben mit Schotterkugeln oder Hirschkorern füllt. Das Ergebnis desselben sieht man in Fig. 58*, die keine Erklärung mehr bedarf.⁵⁾



Fig. 58*.

Eine sehr geistreiche Abänderung des Galtonischen Fortes hat kürzlich F. A. Schulze gegeben⁶⁾, indem er die Anordnung so eingerichtet hat, daß das Ergebnis des Versuches dem zweidimensionalen Maxwell'schen Verteilungsgesetz (38a) entspricht. Es muß aber hier gesagt, darauf hinzuweisen, da die Anordnung so kompliziert ist, um hier genauer beschreiben zu werden.

54. Mittelwerte von Funktionen der Geschwindigkeit.

Wir sind nun imstande, als auf die Geschwindigkeit bezüglichen Mittelwerte mit Hilfe unserer Verteilungsfunktion (40) bzw. (32) zu bestimmen.

Berechnen wir zunächst die mittlere Geschwindigkeit \bar{c} . Dazu haben wir sämtliche Geschwindigkeiten zu addieren und durch die Gesamtzahl (32) zu dividieren.

Die Zahl der Geschwindigkeiten zwischen c und $c + \Delta c$ ist durch (32) gegeben; multiplizieren wir diesen Ausdruck mit c , so erhalten wir die Summe der Geschwindigkeiten zwischen c und $c + \Delta c$, und eine Integration über c von 0 bis ∞ liefert dann die Gesamtsumme aller

⁵⁾ Natürlich erhält man keine stetige Kurve, sondern eine „Treppenkurve“, weil die Fächer eine endliche Breite haben.

⁶⁾ F. A. Schulze, Phys. Zeitsch. 60, 1919.

Geschwindigkeiten. Dies ist noch zu dividieren durch N ; also haben wir schließlich für die mittlere Geschwindigkeit:

$$(42) \quad \bar{v} = \frac{\frac{4\pi}{N} \int_0^\infty v^3 e^{-\frac{1}{2}mv^2} dv}{\int_0^\infty v^2 e^{-\frac{1}{2}mv^2} dv},$$

oder, da nach (37) und (38) N gleich $\frac{4\pi}{Vn} \int_0^\infty v^2 e^{-\frac{1}{2}mv^2} dv$ gesetzt werden kann, in allgemeiner Form, wenn wir die Verteilungsfunktion mit $\varphi(v)$ bezeichnen:

$$(43) \quad \bar{v} = \frac{\int_0^\infty v\varphi(v) dv}{\int_0^\infty \varphi(v) dv}.$$

Die Auswertung des Integrals kann mittels partieller Integration bewerkstelligt werden und liefert dann durch Kombination mit (41) das Ergebnis:

$$(44) \quad \bar{v} = \frac{2}{Vn} \cdot \frac{1}{2} = \frac{2}{Vn} a_m,$$

d. h. die mittlere Geschwindigkeit \bar{v} ist $\frac{2}{Vn}$ -mal größer als die wahrscheinlichste Geschwindigkeit a_m .

Ganz analog findet man für das mittlere Geschwindigkeitsquadrat \bar{v}^2 die Gleichung:

$$(45) \quad \bar{v}^2 = \frac{\int_0^\infty v^4 \varphi(v) dv}{\int_0^\infty v^2 \varphi(v) dv} = \frac{4\pi}{Vn} \int_0^\infty v^4 e^{-\frac{1}{2}mv^2} dv,$$

welches das Integral auf dieselbe Weise behandelt werden kann; man findet:

$$(46) \quad \bar{v}^2 = \frac{3}{2} \cdot \frac{1}{Vn} = \frac{3}{2} a_m^2.$$

Es bestehen also zwischen $\sqrt{\bar{v}^2}$, \bar{v} , a_m die Ungleichungen:

$$(47) \quad \sqrt{\bar{v}^2} > \bar{v} > a_m.$$

In der nämlichen Weise können beliebige Mittelwerte ausgerechnet werden; z. B. ist v^3 zu definieren durch die Gleichung:

$$(48) \quad \bar{v}^3 = \frac{\int_0^\infty v^3 \varphi(v) dv}{\int_0^\infty \varphi(v) dv} = \frac{4\pi}{Vn} \int_0^\infty v^{3+1} e^{-\frac{1}{2}mv^2} dv.$$

Man kann zeigen, dass leicht durch Nachrechnung, daß

$$(58) \quad \bar{v}^2 = \overline{v_x^2} = \overline{v_y^2} = \overline{v_z^2}$$

ist. Natürlich ist es hierbei zweckmäßiger, auf die Form (58) der Verteilungsfunktion in kartesischen Koordinaten zurückzugehen, woraus wir erhalten:

$$\int \int \int_{-\infty}^{+\infty} v^2 e^{-\frac{1}{2} \beta m (v_x^2 + v_y^2 + v_z^2)} dv_x dv_y dv_z$$

Diese Beispiele werden genügen, um die Berechnung von Mittelwerten zu erläutern.

Hier möge deshalb nur noch eine Tabelle Platz finden, die für einige Gase die Werte $\sqrt{c^2}$, \bar{c} für eine Temperatur von 273° absoluter Zählung angibt. Zur Berechnung dieser Werte geht man von c^2 aus, das sich aus der Zustandsgleichung (12) ergibt, wenn für die gesuchte Temperatur p und v bekannt sind. Gl. (40) liefert dann c_x , und (44) endlich \bar{c} .

Gas	$\sqrt{c^2}$	\bar{c}	c_x
H_2	1428 m/sec	1004 m/sec	1097 m/sec
N_2	483 "	433 "	369 "
O_2	461 "	419 "	377 "
CO_2	397 "	346 "	345 "
A_2	364 "	321 "	319 "

Diese mittleren Geschwindigkeitsmittelwerte sind von gleicher Größenordnung wie die Schallgeschwindigkeit in dem betreffenden Gas; es sind also sehr erhebliche Geschwindigkeiten, die die Moleküle besitzen. Auf einen Einwand gegen die kinetische Theorie, den man auf diese Zahlen stellen zu können geglaubt hat, und seine Widerlegung durch Clausius kommen wir in Nr. 89 eingehend zurück.

Hier wollen wir aber noch eine Methode besprechen, durch die es im Jahr 1880 (J. Stern²⁾ zum ersten Male gelungen ist, die Molekulargeschwindigkeit direkt zu messen.

Die Methode beruht auf der experimentellen Feststellung Dumas's, daß ein Gas zum Siedepunkt erhitzter Metalldraht (z. B. Silberdraht oder, was technisch bequemer ist, verfilterter Pt-Draht) im Vakuum verdunstet, d. h. Atome gleichmäßig nach allen Seiten ausströmt. Da Silber atonisch ist, so sind hier Atome und Molekül identisch. Man kann also auf diese Weise Atom- bzw. Molekulargeschwindigkeiten erzeugen. Statt man in der Strahlung eine kalte Metallplatte, zu welcher die sie treffenden Atome oder Moleküle dann laufen, wie Knudsen festgesetzt hat: Der Dampf „kondensiert“ sich an der kalten Metallplatte. Auf diese beiden Methoden stützt sich nun die Sternsche Methode. In der Fig. 38 bedeutet F ein hoch evakuiertes Gefäß, das um eine vertikale Achse A mit großer Winkelgeschwindigkeit drehbar ist; in der Achse A befindet sich ein verfilterter Pt-Draht, der elektrisch zum Glühen gebracht werden kann, wobei er nach dem Obigen nach allen Seiten Ag -Moleküle ausströmt. Die Geschwindigkeit eines Moleküls sei c , die natürlich von der Temperatur des Drahtes abhängt. In unmittelbarer Nähe befindet sich in der Ebene S ein kleines Loch L , das also einen feinen Molekularstrahl ausströmt, in der Entfernung l davon die Auffangplatte P . Steht nun das Gefäß F still, so wird der Molekularstrahl sich an einer Stelle M der

²⁾ Zeits. f. Phys., 24. 8, pag. 49, 1909; 26. 8, pag. 471, 1910.

Platte kondensieren, die auf der Verlängerung von AM liegt. Es bildet sich dort ein „Süßpunkt“. Da die Geschwindigkeit der Silbermoleküle u ist (die wir zunächst als einheitlich betrachten wollen), so braucht der Strahl vom Verlassen des Loches A bis zur Kondensation in M die Zeit $\tau = \frac{r}{u}$.

Wird nun aber V eben im Sinne des Übersieges mit der Winkelgeschwindigkeit ω gedreht, so verschiebt sich während dieser Zeit τ die Platte P um das Stück $d = \omega \tau r = \frac{\omega r^2}{u}$; der Molekülstrahl trifft daher nicht mehr die Stelle M , sondern eine um d dagegen verschobene Stelle M' . Macht man einmal den Versuch mit rotierendem, ein rotierendes Kal mit rotierendem Gefäß V , so erhält man zwei Kondensationspunkte

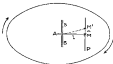


Fig. 33.

M und M' , deren Abstand d gemessen werden kann; bei geeigneter Anordnung ist dieser Abstand von der Größenordnung eines Millimeters. Aus l , ω , d läßt sich dann sofort u , die Molekulargeschwindigkeit, berechnen.

Dieser einfache Gedankengang erfährt eine Komplikation einerseits dadurch, daß nicht alle Moleküle dieselbe Geschwindigkeit haben, sondern daß die Geschwindigkeiten, wie wir zunächst annehmen wollen, nach dem Maxwell'schen Gesetze (40) verteilt sind. Es kondensiert sich daher bei rotierendem Gefäß das Silber nicht in einem Punkt M' , sondern diese wird zu einer kleinen Strecke ausgedehnt. Jeden Punkte dieses Silberstriches entspricht eine andere Molekulargeschwindigkeit, und die Stärke des Niederschlags an jeder Stelle des Striches ist proportional der jeweiligen Zahl der Moleküle, die eine bestimmte Geschwindigkeit besitzen; die Stelle der stärksten Kondensation entspricht der wahrscheinlichsten Geschwindigkeit u_0 ; beschreiben wir also jetzt den Abstand dieser Stelle stärkster Kondensation von M mit d_0 , so ist u_0 aus der Gleichung zu berechnen:

$$u_0 = \frac{\omega d_0}{r}.$$

Aus c_0 erhält man nach (40) das mittlere Geschwindigkeitsquadrat

$$\bar{c}^2 = \frac{2}{3} c_0^2 = \frac{2R}{m} T,$$

— wenn eben die Annahme berechtigt ist, daß die Maxwell'sche Verteilung unter den die Elemente L verlassenden Molekülen herrscht. Dies ist allerdings nicht der Fall, wie eine genauere Betrachtung zeigt, auf die wir hier, da es sich für uns nur um das Prinzipielle handelt, nicht näher eingehen. Man muß in Wirklichkeit eine wahrscheinlichste Geschwindigkeit c_0 , die mit \bar{c}^2 und der Temperatur nach der etwas veränderten Gleichung zusammenhängt:

$$\bar{c}^2 = \frac{4}{3} c_0^2 = \frac{4R}{m} T.$$

Für eine Temperatur von rund 1500° bei Silber hat man theoretisch eine Geschwindigkeit von 671 m/sec zu erwarten. Stern fand experimentell Werte, die zwischen 87% und 64% näher liegen. In Anbetracht der außerordentlichen Schwierigkeit der Messung darf die Überschreitung, die gut beschieden werden; die Größenordnung stimmt mit der theoretisch gefolgerten (schonfalls vollkommen) überein.

55. Das Äquipartitionsagrad und seine Konsequenzen.

Das mittlere Geschwindigkeitsquadrat \bar{c}^2 ist nach (40) gleich $\frac{2}{3} \frac{1}{\mu}$, und anderseits nach Gl. (14) gleich $\frac{2}{3} R T$. Daraus ergibt sich für die kinetische Energie der fortschreitenden Bewegung des Gases der Wert:

$$(55) \quad R \frac{c_0^2}{2} \bar{c}^2 = \frac{R^2 c_0^2}{2} \cdot \frac{2}{3} \frac{1}{\mu} = R N \frac{2}{3} R T.$$

Die Gleichung ist einer besonderen Interpretation fähig. Betrachten wir die Moleküle zunächst als punktförmig, so besitzen sie nur eine fortschreitende Energie und $\frac{2}{3} R$ ist die Anzahl aller Freiheitsgrade des Gases; wir können daher Gl. (55) durch $\frac{2}{3} R$ dividieren und erhalten für die mittlere kinetische Energie pro Freiheitsgrad ϵ den Wert:

$$(56) \quad \epsilon = \frac{2}{3} R T.$$

Dies ist natürlich kein neuer Satz, sondern lediglich eine weitere Formulierung der Gl. (55). Es ist im Grunde eine Selbstverständlichkeit, da ja \bar{c}^2 ein „Mittelwert“ ist.

Betrachten wir die Moleküle aber nicht mehr als punktförmig, sondern als irgendwie gestaltete starre Körper, so kommt jedem Molekül die Zahl von 6 Freiheitsgraden zu, indem dann durch die Zusammenstöße auch Rotationen hervorgerufen werden. Und zwar läßt die genaue Untersuchung die Moleküle der Stoffe — und das ist nun ein wirklich neuer Satz mit keineswegs trivalem Inhalte — daß auch auf jeden Freiheitsgrad der Rotation im Mittel die nämliche Ener-

gie entspricht, wie auf jeden Freiheitsgrad der fortbewegenden Energie. Ist das Molekül nicht starr, so kann die Zahl der Freiheitsgrade desselben noch erheblich größer als 6 sein; auch dann erfüllt, wie wir später beweisen werden, auf jeden Freiheitsgrad immer noch der Betrag (33).

Man nennt diesen Satz das „Äquipartitionsgesetz“. Trotz der bereits ihm als jetzt gegebenen großen Allgemeinheit ist es noch einer erheblichen Erweiterung fähig. Denn was wir bisher sagten, bezug sich immer auf ein chemisch homogenes Gas, dessen Moleküle alle vollkommen gleich beschaffen sind. Betrachten wir nun noch ein zweites homogenes Gas, das wir durch den Index 2 charakterisieren wollen, so würde die mittlere Energie pro Freiheitsgrad bei der nämlichen Temperatur T

$$(33a) \quad \epsilon_2 = \frac{f_2}{2} R, T$$

sein, und es ist a priori nicht angebar, ob diese beiden Werte (33) und (33a) einander gleich sind oder nicht.

Dies läßt sich jedoch beweisen, wenn wir ein Gasgemisch von der Temperatur T betrachten, das aus Molekülen der Gase 1 und 2 (und eventuell noch mehrerer Gase) besteht. Es ergibt dann die Forderung für den Zustand des thermischen Gleichgewichts in der Tat:

$$\mu_1 \epsilon_1 = \mu_2 \epsilon_2 = \mu_3 \epsilon_3 = \dots = \text{universelle Konstante } A,$$

d. h., daß die mittlere kinetische Energie pro Freiheitsgrad in verschiedenen Gasen bei derselben Temperatur dieselbe ist. Man kann diesen Satz, den zuerst Boltzmann bewiesen hat, offenbar auch so ausprechen: „Die mittleren kinetischen Energien zweier im thermischen Gleichgewichte befindlichen Gase verhalten sich wie die Anzahlen der Freiheitsgrade derselben.“

Dies ist das Äquipartitionsgesetz in seiner allgemeinsten Fassung. Seine Konsequenzen sind von größerer experimenteller Tragweite für die kinetische Theorie, wie wir unmittelbar in den nächsten Nummern sehen werden.

Wir können also der letzten Gleichung gemäß setzen:

$$(34) \quad \epsilon = \frac{A}{\mu}.$$

Dieser Gleichung können wir noch eine andere Form geben, indem wir statt des Molekulargewichts μ das chemische Molekulargewicht m einführen: zwischen beiden Zahlen findet Proportionalität statt, und zwar ist der Proportionalitätsfaktor universell. Wir können also setzen:

$$(35) \quad m = \alpha \mu$$

und damit wird (34):

$$(36) \quad \epsilon = \frac{A \alpha}{m} = \frac{R}{m}.$$

wo $H = k$ eine neue universelle Konstante bedeutet. Tragen wir N an Stelle von N' in die Zustandsgleichung (18) ein, so folgt:

$$(27) \quad p = \frac{R}{v} T.$$

Abgesehen, wie wir schon in der Thermodynamik auseinandergesetzt haben, die absolute Gaskonstante und hat den Zahlenwert $8,31 \cdot 10^7$ erg/grad, und damit haben wir die endgültige Form der Zustandsgleichung gewonnen, wie wir es im Kap. II, pag. 96, schon empirisch gefunden hatten.

Der Koeffizient α in (25) hat eine einfache physikalische Bedeutung; da er gleich dem Quotienten aus dem Molekulargewicht, (d. h. gewogen der Masse eines Mols) und der Masse eines Molekels ist, so ist offenbar

$$(28) \quad \alpha = \frac{n}{\rho} = N$$

die Zahl der Molekels in einem Mole. Diese universelle Konstante wird als „Avogadro'sche Zahl“ bezeichnet.

Durch kennen wir dem Werte ϵ der mittleren kinetischen Energie pro Freiheitsgrad noch eine andere Gemah geben. Denn nach (24) und (26) haben wir daher:

$$(29) \quad \epsilon = \frac{1}{2} \mu H T = \frac{1}{2} \frac{\rho}{\alpha} H T = \frac{1}{2} \frac{R}{N} T.$$

Für den Quotienten aus der absoluten Gaskonstante R und der Avogadro'schen Zahl N hat man sich gewöhnlich die Abkürzung

$$(30) \quad \frac{R}{N} = k$$

eingeführt; damit wird einfach die mittlere kinetische Energie pro Freiheitsgrad:

$$(31) \quad \epsilon = \frac{1}{2} k T.$$

Wir können nun eine Reihe wichtiger Folgerungen aus dem Äquipartitionsatz ableiten.

Erweitern wir die Gl. (26) im Zähler und Nenner mit v , der Zahl der Molekels pro Volumeneinheit, so folgt, da ρ gleich der Dichte σ ist:

$$(32) \quad N = \frac{\sigma v}{\rho_0 v_0} = \frac{\sigma}{\rho_0} \frac{v}{v_0},$$

wo wir überall wieder den Index i ausgelassen haben, um anzuzeigen, daß sich alles auf ein beliebiges Gas (i) bezieht. Es ist daher:

$$(33) \quad \sigma_i = N \frac{\rho_i}{v_i}.$$

Andererseits ist nach der Zustandsgleichung:

$$\frac{\rho_i}{v_i} = \frac{p_i}{RT_i}.$$

also, wenn wir jetzt Gase miteinander vergleichen, die den nämlichen Druck p und die nämliche Temperatur T besitzen:

$$\frac{p}{n_1} = \frac{p}{n_2} = \text{universelle Konstante.}$$

Also ist in Gases der nämlichen Temperatur und des nämlichen Druckes nach (88) auch n , eine universelle Konstante, d. h.

$$(89) \quad n_1 = n_2 = n_3 = \dots = \text{Const.}$$

In Worten: „Gleiche Volumina von Gasen gleicher Temperatur und gleichem Druckes enthalten gleiche Molekulanahlen.“ Dies ist die bekannte Hypothese Avogadro's, die wir zuerst aus der kinetischen Theorie, insbesondere dem Äquipartitionsatz abgeleitet haben.

Nach eine weitere Folgerung kann man ziehen.

Nach Gl. (11a) ist die Zustandsgleichung für ein Gasgemisch:

$$p = k \sum n_i \mu_i c_i^2;$$

da nun nach dem Äquipartitionsatz für jedes Einzelgas

$$\mu_i c_i^2 = \mu_1 c_1^2 = \dots = \mu_2 c_2^2 = 2\alpha$$

ist, wenn α , wie vorher, die auf einen Freiheitsgrad entfallende Energie bedeutet, so kann man die Ausgangsgleichung offenbar schreiben:

$$(90) \quad p = \frac{1}{2} \alpha \sum n_i.$$

Wenn man das i^{te} Glied dieser Summe, nämlich $\frac{1}{2} \alpha n_i$, mit p_i bezeichnet, so hat man die Beziehung:

$$(91) \quad p = p_1 + p_2 + \dots = \sum p_i.$$

p_i ist offenbar der Druck, den die Moleküle des i^{ten} Gases ausüben würden, wenn sie allein das Volumen ausfüllen, d. h. der sogenannte Partialdruck dieses Gases. Also liefert (91) das „Dalton'sche Gesetz“, daß in Gasgemischen der Gesamtdruck gleich der Summe der Partialdrücke ist.

Weiter kann noch die innere Energie eines Gases, die wir in (14a) gefunden hatten, etwas einfacher und zugleich allgemeiner geschrieben werden. Wir haben danach:

$$U = \frac{1}{2} T \sum n_i R_i K_i + U_0.$$

Setzt man hier nach (88) $R_i = \frac{R}{m_i}$, wo m_i das Molekulargewicht des i^{ten} Gases ist, beachtet, daß $\frac{n_i}{m_i}$ gleich der universellen Avogadro'schen Zahl N ist und bezeichnet man endlich die Summe aller R_i wieder durch R , so folgt aus der vorigen Gleichung:

$$(92) \quad U = \frac{1}{2} \frac{R}{\mu} T \sum R_i + U_0 = \frac{1}{2} R k T + U_0.$$

die oben voraus, daß auf jeden der $3R$ Freiheitsgrade des Gases im Mittel der Wert $\frac{1}{2} k T$ entfällt, wobei allerdings vorausgesetzt ist, daß die Moleküle als materielle Punkte, jeder zu drei Freiheitsgraden, betrachtet werden können. Haben aber die Moleküle komplizierteren Bau, etwa pro Molekül f Freiheitsgrade, so folgt nach dem Äquipartitionssatz der allgemeine Ausdruck:

$$(95) \quad U = \frac{f}{2} R k T + U_0.$$

Schlüssend können wir mit Hilfe des Äquipartitionssatzes noch das Maxwellische Verteilungsgesetz (88) in eine andere Form bringen, indem wir für β , das nach (46) gleich $\frac{1}{k} \frac{1}{T}$ ist, diesen Wert einsetzen und berücksichtigen, daß $\frac{\partial}{\partial x} \beta = -\frac{1}{k} \frac{1}{T^2}$ ist. So finden wir für die Anzahl der Moleküle mit Geschwindigkeiten zwischen v und $v + dv$ den Ausdruck:

$$(96) \quad dN_v = 4\pi v^2 \left(\frac{m}{2\pi k T} \right)^{\frac{3}{2}} N e^{-\frac{mv^2}{2kT}} dv.$$

Diese Gleichung liefert die gesuchte Zahl als Funktion der absoluten Temperatur und wird uns im folgenden oft begegnen.

94. Die kinetische Theorie der spezifischen Wärmen idealer Gase; Erste Annäherung.

Die Gleichung (95) enthält nun auch die Theorie der spezifischen Wärmen der idealen Gase. Wir wollen, weil die Resultate dann um ein faches werden, nicht ein Mol jedes Gases betrachten, d. h. die Gesamtzahl R der Moleküle gleich der Avogadroscchen Zahl N nehmen. Dann wird nach (95) allgemein die Energie eines Molens Gases pro Mol:

$$(97a) \quad U = \frac{f}{2} N k T + U_0.$$

2 cal/grad. Damit wird die Molwärme bei konstantem Volumen der idealen Gase allgemein:

$$(73) \quad C_v = \frac{1}{2} f 1,687 \frac{\text{cal}}{\text{grad}} = f \frac{\text{cal}}{\text{grad}},$$

d. h. pro Freiheitsgrad rund eine Kalorie.

Trennen den Molwärmes bei konstantem Drucke C_p und konstantem Volumen C_v , besteht aus für die idealen Gase die thermodynamische Beziehung [vgl. Kap. II, Gl. (69), pag. 104]

$$(74) \quad C_p - C_v = R,$$

d. h. C_p ist um rund zwei Kalorien größer als C_v , also gleich

$$(75) \quad C_p = \left(\frac{f}{2} + 1 \right) 1,687 \frac{\text{cal}}{\text{grad}} = (f + 2) \frac{\text{cal}}{\text{grad}}.$$

Für das Verhältnis $\frac{C_p}{C_v} = \alpha$ ergibt sich somit:

$$(76) \quad \alpha = \frac{f+2}{f}.$$

Damach hängen C_p , C_v , α nur von der Zahl der Freiheitsgrade im Molekül, nicht von dessen spezieller Beschaffenheit ab.

Wie stellt sich zu diesen Aussagen der Theorie das Experiment? Berechnen wir vorläufig unsere Betrachtung auf das Verhältnis $\frac{C_p}{C_v} = \alpha$, so finden wir zunächst eine Klasse von Gasen, für die dasselbe bei Zimmertemperatur rund den Wert $1,687 = \frac{1}{2}$ besitzt. Es sind dies die in der folgenden Tabelle aufgeführten Gase oder Dämpfe.

Gas	α
Hg	1,678
K	1,680
Na	1,680
Cl	1,680
A	1,687
Br	1,686
Se	1,648
Te	1,688

Der Mittelwert von α für diese Stoffe beträgt 1,687, also rund genau $\frac{1}{2}$. Berechnen wir darum mit Hilfe von (76) die Zahl der Freiheitsgrade der Moleküle dieser Stoffe, so finden wir:

$$f = 5.$$

Die hier genannten Substanzen sind zu charakterisieren als die Dämpfe von Metallen und als die Edelgase; bei diesen Substanzen haben wir also wohl tatsächlich dasselbe Verhalten zu erwarten. In chemischer Hinsicht sind sie dadurch gekennzeichnet, daß sie einatomig sind; bei ihnen ist also das Molekül mit dem Atom identisch, jenes also in derselben einfacher Weise aus Atomen aufgebaut.

Gehen wir jetzt zu den dreiatomigen Gasen über, so finden wir bei dieser bei Zimmertemperatur für α den Wert von rund 1,40, worüber die folgende Tabelle Aufschluß gibt.

H_2	1,408
O_2	1,398
Luft	1,400
CO	1,401
N_2	1,400
H_2O	1,388
HCl	1,400
M.	1,397

Hier ist das Mittel 1,404, also fast genau $\frac{1}{2}$, was bei dreiatomigen Gasen für die Zahl der Freiheitsgrade

$$f = 5$$

bedeutet.

Weiter findet man für eine Anzahl von drei- und vieratomigen Gasen sehr nahe den Wert 1,333, wie die folgende Tabelle belegen mag.

CO_2	1,308
N_2O	1,311
HCl	1,317
H_2S	1,340
H_2O	1,330
Mittel	1,338
SO_2	1,338

Das Mittel ist hier 1,310, also ziemlich genau $\frac{1}{3}$, was für diese Stoffe den Wert

$$f = 6$$

bedeutet.

Kürzlich ermittelt noch eine große Zahl von hochkomplizierten Verbindungen, also hochatomen Moleküle, bei denen α noch kleiner wird und entsprechend die Zahl der Freiheitsgrade noch größer ist. B. B. ist für Chloroformdampf $\alpha = 1,14$ ($f = 18$), für Äthylalkohol $\alpha = 1,18$ ($f = 19$), für Benzol $\alpha = 1,13$ ($f = 18$), für Äthyläther $\alpha = 1,36$ ($f = 20$). Die obigen Angaben der großen Freiheitsgrade beanspruchen natürlich keine große Genauigkeit, weil die Berechnung von f aus Gl. (75) sich um so ungenauer gestaltet, je näher α an die Einheit herankommt; kleine Verschiebungen fallen dann offenbar schwer ins Gewicht. Aber der allgemeine Charakter der obigen Zahlen ist ja deutlich klar: je kleiner α , desto größer muß die Zahl der Freiheitsgrade angenommen werden.

Betrachten wir diese Zahlen zunächst rein qualitativ im Lichte der Theorie, so stimmen Kopelants und Theories jedenfalls insofern überein, als das Verhältnis α im allgemeinen um so kleiner ausfällt, je komplizierter das Molekül gebaut ist.

Dagegen ist es nicht ohne Schwierigkeiten und logische Härten möglich, die theoretischen Zahlenwerte für die Freiheitsgrade der Moleküle mit unseren sonstigen Vorstellungen in Einklang zu bringen.

Der Wert $\alpha = 1,667$ für die einatomigen Gase wurde dadurch, daß diese Moleküle nur 3 Freiheitsgrade besitzen, d. h. wurde fordern, daß wir es mit starr punktförmigen Körpern zu tun haben. Dies kann zwar zur Vereinfachung in manchen Fällen angewendet werden, ist aber in Strengs naturlich nicht richtig.

Holtzmann hat deshalb folgenden Ansatz versucht: Er betrachtet die einatomigen Moleküle als starrer Kugeln. Eine solche besitzt zwar 6 Freiheitsgrade, 3 der Translation, 3 der Rotation; aber wenn wir diese Kugel als absolut glatt voraussetzen, so werden die etwa in einem Augenblicke vorhandenen Rotationsgeschwindigkeiten durch die Stöße offenbar nicht geändert werden. Die Rotationsgeschwindigkeiten nehmen also am Austausch der Energien nicht teil. Eine solche Kugel würde mittels ihrer tatsächlich vorhandenen 3 Freiheitsgrade nur mit 3 Freiheitsgraden sich an der Äquipartition beteiligen, also $\alpha = 1,50$ betragen müssen. Mit dieser Auffassung stimmen auch überein die für Argon und Helium gemessenen Werte der Molwärme bei konstantem Drucke, die theoretisch nach Gl. (76) gleich rund 3 cal/grad, genau gleich 4,958 cal/grad sein sollten. Gemessen wurden 4,817 bzw. 4,953 cal/grad; also recht genau der theoretische Wert.

Die Zahl $f = 6$ für zweiatomige Gase läßt sich nach Holtzmann ebenfalls abgemessen verstehen, wenn man die Moleküle entweder als starren Rotationskörper (mit Ausschluß der Kugel natürlich) aufstellt, oder die zwei Atome des Moleküls als Massenpunkte (Kugelmassen) betrachtet, die starr miteinander verbunden sind. Ein starrer Rotationskörper besitzt, wie jeder starrer Körper, tatsächlich 6 Freiheitsgrade; jedoch würde 1 Freiheitsgrad der Rotation (nämlich der Rotation um die Symmetrieachse) aus demselben Grunde, wie bei der Kugel als drei vorhandenen Freiheitsgrade, nicht am Austausch der Energie teilnehmen, weil durch die Zusammenstoße die etwa vorhandene Rotationsgeschwindigkeit um diese Achse nicht geändert werden kann. Zu dem nämlichen Ergebnisse führt die zweite Auffassung (das sogenannte „Hantelmodell“): zwei starr miteinander verbundene Massenpunkte besitzen in der Tat nur 5 Freiheitsgrade. Damit stimmt wieder überein, daß für zweiatomige Gase (N_2 , O_2 , HCl , CO , H_2 usw. bei Raumtemperatur für C_v Werte bestimmt wurden sind, die der Zahl 5 der Freiheitsgrade entsprechen. Nach (71) sollte $C_v = 5 \cdot 1,985 = 9,925$ cal/grad sein; gefunden wurden Werte, die um 4,80 herum liegen.

Dagegen wird man für alle komplizierteren Moleküle, solange man sie als starr betrachtet, den Wert $f = 6$, also $\alpha = 1,50$ folgern, wie es für eine Reihe drei- und mehratomigen Körper in der Tat beobachtet wird.

Die noch größeren Felder der f können durch starr gefüllte überlagert nicht erfüllt werden: Hier müssen wir annehmen, daß die Bindung der Atome eben nicht starr ist, d. h. daß das Molekül noch „intramolekulare Energie“ besitzt.

Rein formal betrachtet, mag diese Lösung als befriedigend erscheinen; in der Tat ist sie es nicht.

Für allen Dingen sei auf folgende Schwierigkeiten hingewiesen: Wird die Moleküle, z. B. das einatomige Hg-Molekül, von komplizierten Spektren ausstrahlen, können wir dieselben weder als punktförmig, noch als starrer Körper im strengen Sinne des Wortes betrachten. Man hat sich endlich dadurch zu helfen gesucht, daß man sagte „Ein Hg-Molekül verhält sich beim Stöße wie eine starrs Kugel von...“; aber das ist nur eine Umschreibung des Tatsachen, keine Erklärung desselben.

Ferner: Wir sind gewohnt, die absolute Starrheit als Grenzfall der Elastizität zu betrachten (vgl. Bd. I, pag. 575), nämlich als den Grenzfall, dem ein elastischer Körper sich um so mehr nähert, je größer die durch eine Deformation gewirkten elastischen Kräfte sind; und je unendlich groß, so ist der Körper starr. Wenn wir aber in einem zweiatomigen Molekül die Verbindung der beiden Atome zwar als beliebig stark elastisch, aber nicht als absolut starr betrachten, so hat es 6 Freiheitsgrade und keine 5, wie es nach dem Werte von $\alpha = 1,40$ sein sollte. Beim Übergange von großer Elastizität zu vollkommener Starrheit, den wir uns doch als kontinuierlich vorstellen, fällt die Zahl der Freiheitsgrade plötzlich von 6 auf 5, und es sollte, nach der Theorie der spezifische Wert von α plötzlich von 1,38 auf 1,40 springen. Gegen diese Unstetigkeit bei dem völlig kontinuierlichen Übergange vom elastischen zum starren Körper lehnt sich einerseits unser Gefühl an, andererseits entspricht sie auch nicht den Tatsachen. Es zeigt sich nämlich, daß für zweiatomige Gase (z. B. H_2 , N_2 , O_2 , CO) der Wert von C_v , der bei Zimmertemperatur 5 Freiheitsgraden entspricht, mit der Temperatur stetig anwächst, worüber folgende Tabelle Aufschluß gibt.

Gas	0° C	100° C	200° C	300° C	400° C	500° C
H_2 , O_2 , CO , CO_2	4,96	4,98	5,17	5,35	5,76	6,00
N_2	4,75	4,78	5,00	5,30	5,69	6,00

Die Werte von etwa 5- $\frac{1}{2}$ grad bei 300° C bedeuten, daß die gesamten zweiatomigen Gase bei dieser Temperatur nicht mehr als starr betrachtet werden können, so daß ihnen jetzt 6 Freiheitsgrade entsprechen. Es ist ja auch durchaus plausibel, anzunehmen, daß durch die Temperatursteigerung die Verbindung zwischen den beiden Atomen allmählich gelockert wird. Aber gerade da liegt die Schwierigkeit: Denn nach der Theorie sollte, sobald nur die geringste Abweichung von der Starrheit auftritt, der Wert von C_v von etwa 5 Kalorien un stetig

Dagegen ist es nicht ohne Schwierigkeiten und logische Härten möglich, die theoretischen Zahlenwerte für die Freiheitsgrade der Moleküle mit unseren sonstigen Vorstellungen in Einklang zu bringen.

Der Wert $\alpha = 1,667$ für die einatomigen Gase wurde deduziert, daß diese Moleküle nur 3 Freiheitsgrade besitzen, d. h. wurde fordern, daß wir es mit streng punktförmigen Schülern zu tun haben. Dies kann zwar zur Vereinfachung in manchen Fällen angewendet werden, ist aber in Strengs natürlich nicht zulässig.

Holtzmann hat deshalb folgenden Ansatz versucht: Er betrachtet die einatomigen Moleküle als starrer Kugeln. Eine solche besitzt zwar 6 Freiheitsgrade, 3 der Translation, 3 der Rotation; aber wenn wir diese Kugel als absolut glatt voraussetzen, so werden die etwa in einem Augenblicke vorhandenen Rotationsgeschwindigkeiten durch die Stöße offenbar nicht geändert werden. Die Rotationsgeschwindigkeiten nehmen also am Austausch der Energien nicht teil. Eine solche Kugel würde mittels trotz ihrer tatsächlich vorhandenen 6 Freiheitsgrade nur mit 3 Freiheitsgraden sich an der Äquipartition beteiligen, also $\alpha = 1,50$ liefern müssen. Mit dieser Auffassung stimmen auch überein die für Argon und Helium gemessenen Werte der Molwärme bei konstantem Drucke, die theoretisch nach Gl. (76) gleich rund 3 cal/grad, genau gleich 4,968 cal/grad sein sollten. Gemessen wurden 4,817 bzw. 4,933 cal/grad; also recht genau der theoretische Wert.

Die Zahl $f = 5$ für zweiatomige Gase läßt sich nach Holtzmann ebenfalls abgemessen verstehen, wenn man die Moleküle entweder als starren Rotationskörper (mit Ausschluß der Kugel natürlich) auffaßt, oder die zwei Atome des Moleküls als Massenpunkte (Kugelmassen) betrachtet, die starr miteinander verbunden sind. Ein starrer Rotationskörper besitzt, wie jeder starre Körper, tatsächlich 6 Freiheitsgrade; jedoch würde 1 Freiheitsgrad der Rotation (nämlich der Rotation um die Symmetrieachse) aus demselben Grunde, wie bei der Kugel als drei vorhandenen Freiheitsgrade, nicht am Austausch der Energie teilnehmen, weil durch die Zusammenstoße die etwa vorhandene Rotationsgeschwindigkeit um diese Achse nicht geändert werden kann. Zu dem nämlichen Ergebnisse führt die zweite Auffassung (das sogenannte „Hantelmodell“): zwei starr miteinander verbundene Massenpunkte besitzen in der Tat nur 5 Freiheitsgrade. Damit stimmt wieder überein, daß für zweiatomige Gase (N_2 , O_2 , HCl , CO , H_2 usw. bei Zimmertemperatur für C_p Werte bestimmt wurden sind, die der Zahl 5 der Freiheitsgrade entsprechen. Nach (71) sollte $C_p = 5 \cdot 1,985 = 9,925$ cal/grad sein; gefunden wurden Werte, die um 4,80 herum liegen.

Dagegen wird man für alle komplizierteren Moleküle, solange man sie als starr betrachtet, den Wert $f = 6$, also $\alpha = 1,50$ folgern, wie es für eine Reihe drei- und mehratomigen Körper in der Tat beobachtet wird.

Wir finden also hier die erste Andeutung dafür — worauf wir in der Einleitung zu diesem Buche auf pag. 587 schon vorbereitet — daß die Gleichungen der Dynamik in Bezug auf Molekularprozesse nicht anwendbar sind. Wir kommen im letzten Kapitel noch eingehend auf diese Frage zurück.

Insoweit läßt sich doch nicht verkennen, daß ein guter Kern von Wahrheit auch in der hier vorgelegten, sogenannten klassischen Theorie steckt: daß die Werte von α u. β als zwischen den Werten 1 und 1/6 eingeschlossen sind, darf als eine Bestätigung der allgemeinen kinetischen Annahmen gebacht werden.

III. Die kinetische Theorie der spezifischen Wärme fester Körper; das Dulong-Petit'sche Gesetz; Kritik der klassischen Theorie.

Wir haben das Aggregationsgesetz bisher nur für Gase ausgesprochen. Man kann sich aber leicht klar machen — den Beweis werden wir später führen —, daß es auch für flüssige und feste Körper gelten muß — immer die Gültigkeit der dynamischen Omeier vorausgesetzt. Denn denken wir uns einen festen oder flüssigen Körper in Berührung mit einem Gase von derselben Temperatur, so werden die Moleküle auch auf die Moleküle des festen oder flüssigen Körpers aufzurollen und so in Energieaustausch mit denselben treten, dessen Endresultat ist, daß auch auf jeden Probestadium des festen oder flüssigen Körpers der nämliche Betrag der mittleren kinetischen Energie entfällt wie beim Gase, nämlich $\frac{1}{2}kT$. Das muß natürlich auch gelten, wenn die Körper nicht mit einem gleich-temperierten Gase in Berührung sind, da ihre innere Beschaffenheit nicht davon abhängen kann, ob sie mit einem Gase in Kontakt sind oder nicht.

Quasi analoge Schwierigkeiten wie in der Theorie der spezifischen Wärme der Gase sind nur mit der Gültigkeit des Aggregationsgesetzes auch in der Theorie der spezifischen Wärme fester Körper verknüpft. Wir wollen sie deshalb hier anschließen, obwohl der Gegenstand natürlich aus der Theorie der Gase hervorgeht.

Wir bilden uns zunächst — im wesentlichen im Anschluß an E. Richarz — ein möglichst einfaches Modell des festen Körpers auf

Ihre Lösung lautet bekanntlich:

$$(77) \quad \begin{cases} x_i = A_i \sin(2\pi\nu t + \delta_i'), \\ y_i = B_i \sin(2\pi\nu t + \delta_i''), \\ z_i = C_i \sin(2\pi\nu t + \delta_i'''), \end{cases} \quad (i = 1, 2, \dots, N),$$

wo A_i , B_i , C_i , δ_i' , δ_i'' , δ_i''' Integrationskonstanten und $\frac{h}{2\pi\nu} = 2\pi\nu$ gesetzt ist; ν ist die Eigenoscillationszahl in der Sekunde.

Die kinetische Energie L_i des i -ten Atoms ist offenbar:

$$(78) \quad L_i = \frac{m}{2} (\dot{x}_i^2 + \dot{y}_i^2 + \dot{z}_i^2),$$

die potentielle Φ_i ebenso:

$$(79) \quad \Phi_i = \frac{m}{2} (x_i^2 + y_i^2 + z_i^2) = \frac{m}{2} (2\pi\nu)^2 (x_i^2 + y_i^2 + z_i^2).$$

Es ist leicht zu sehen, daß die zeitlichen Mittelwerte von L_i und Φ_i einander gleich sind; also ist auch für den ganzen festen Körper die mittlere kinetische Energie gleich der mittleren potentiellen Energie. In der Tat: nach (77) ist

$$x_i = A_i \sin\nu t \sin(2\pi\nu t + \delta_i')$$

oder: also wird L_i :

$$L_i = \frac{m}{2} (2\pi\nu)^2 [A_i^2 \sin^2(2\pi\nu t + \delta_i') + B_i^2 \sin^2(2\pi\nu t + \delta_i'') + C_i^2 \sin^2(2\pi\nu t + \delta_i''')],$$

und der zeitliche Mittelwert davon ist gleich:

$$(80) \quad \bar{L}_i = \frac{m}{4} (2\pi\nu)^2 [A_i^2 + B_i^2 + C_i^2];$$

für die potentielle Energie finden wir nach (77) und (79):

$$\Phi_i = \frac{m}{2} (2\pi\nu)^2 [A_i^2 \sin^2(2\pi\nu t + \delta_i') + B_i^2 \sin^2(2\pi\nu t + \delta_i'') + C_i^2 \sin^2(2\pi\nu t + \delta_i''')],$$

und der zeitliche Mittelwert ist wieder:

$$(81) \quad \bar{\Phi}_i = \frac{m}{4} (2\pi\nu)^2 [A_i^2 + B_i^2 + C_i^2];$$

also ist in der Tat:

$$(82) \quad \bar{L}_i = \bar{\Phi}_i.$$

Die einzigen Größen \bar{L}_i und $\bar{\Phi}_i$ stellen die mittlere kinetische und potentielle Energie eines Atoms, also dieser Freiheitsgrade vor; und jeden Freiheitsgrad enthält aber nach dem Equipartitionsagrum die kinetische Energie $\frac{1}{2} kT$, also ist:

$$(83a) \quad \bar{L}_i = \frac{1}{2} kT,$$

und nach (82) auch:

$$(83b) \quad \bar{\Phi}_i = \frac{1}{2} kT.$$

Die gesamte Energie U des festen Körpers setzt sich schlicht aus den kinetischen und potentiellen Energien der einzelnen Atome zusammen; bedeutet U_0 das ständige „Strukturglied“, von der Temperatur unabhängige Energie, so kann man schreiben:

$$(94) \quad U = \sum_i \bar{E}_i + \sum_i \Phi_i + U_0 = 3NkT + U_0.$$

Der charakteristische Unterschied dieser Gleichung gegen die entsprechende für ideale einatomige Gase besteht darin, daß hier $3NkT$, dort $\frac{1}{2}NkT$ steht. Dies rührt von dem Auftreten des potentiellen Energie bei, die im Mittel eben gleich der kinetischen ist.

Wir wollen nun die Energie speziell für ein Mol des festen Körpers berechnen. Dazu müssen wir wissen, wieviel Atome ein Molekül bildet; es seien etwa α , so daß ein Mol α Grammatome enthält. Setzen wir also N , die Gesamtzahl der Atome, gleich $N\alpha$, d. h. gleich dem Produkt aus der Avogadro'schen Zahl und der Atomzahl im Molekül, so erhalten wir für die Energie eines Mols:

$$U_{\text{Mol}} = 3N\alpha kT + U_0,$$

und für diejenige eines Grammatoms:

$$(95) \quad U_{\text{Gramm}} = 3NkT + U'_0.$$

Berücksichtigt man, daß $k = \frac{R}{N}$ ist, so kann letztere Gleichung so geschrieben werden:

$$(96) \quad U_{\text{Gramm}} = 3RT + U'_0.$$

Die Atomwärme bei konstantem Volumen C_v ist nun gleich $\left(\frac{\partial U_{\text{Gramm}}}{\partial T}\right)_v$, also nach (96):

$$(97) \quad C_v = 3N \frac{dR}{dT} = 3,60 \frac{\text{cal}}{\text{grad}} = 6 \frac{\text{cal}}{\text{grad}}.$$

In Worten: Die Atomwärme, d. h. das Produkt aus spezifischer Wärme bei konstantem Volumen und Atomgewicht, ist konstant, und zwar für alle einatomigen Stoffe gleich ungefähr 6 Kalorien.

Das ist aber das Gesetz, das von Dulong und Petit schon vor langer Zeit aufgestellt worden ist, das wir also hiermit als Folge der kinetischen Anschauungen, insbesondere des Äquipartitionsatzes, gefunden haben.

Bevor wir auf die Kritik dieses schlichten so realen erscheinenden Ergebnisses eingehen, wollen wir zuerst unsere Ableitung noch verbessern, wobei das schon in der vorigen Nummer hervorgehobene „schematische“ Vorgehen des Äquipartitionsatzes besonders deutlich wird. Die Annahme, daß jedes Atom gemäß der Gl. (94) schwingt, bedeutet offenbar, daß jedes unabhängig von allen übrigen Atomen schwingt. Das ist aber natürlich nicht der Fall, vielmehr können wir die N Atome festen Körpers als ein „gekoppeltes System“ von Massenpunkten ansehen. Für ein solches System, wie wir im Bd. I, Kap. V, pag. 347 ff. auseinander-

gezeigt haben, die Substitutionsgleichungen komplexer sind. Nehmen wir die Komponenten der Verrückungen aus der Fabelung der Reihe nach $\xi_2, \xi_1, \dots, \xi_m$, so hat unser gekoppeltes System den Gleichungen an. schreiben:

$$\text{III)} \quad \begin{cases} a_{11}x_1 + a_{12}x_2 + \dots + a_{1n}x_n + b_1 = 0 \\ \vdots \\ a_{m-1,1}x_1 + a_{m-1,2}x_2 + \dots + a_{m-1,n}x_n + b_{m-1} = 0 \\ a_{m,1}x_1 + a_{m,2}x_2 + \dots + a_{m,n}x_n + b_m = 0 \end{cases}$$

Wie können wir also statt des 2- β Oxydes β eine solche Oxide α einbauen, die keine Aggregate der β sind, man kann dies α wählen — und dann nennt man sie „Normalkoordinaten“ —, das ist das System 250 in der α in folgender Weise veranfaßt:

$$\begin{aligned} \mathbf{v}_1 + (2\mathbf{v}_1\mathbf{v}_1)^T \mathbf{v}_2 &= \mathbf{0}, \\ \mathbf{v}_2 + (2\mathbf{v}_1\mathbf{v}_2)^T \mathbf{v}_1 &= \mathbf{0}, \\ \mathbf{v}_2 + (2\mathbf{v}_2\mathbf{v}_2)^T \mathbf{v}_2 &= \mathbf{0}. \end{aligned}$$

Jede dieser Gleichungen hat wieder die einfache Gestalt der Gl. (76), nur mit dem wichtigen Unterschiede, daß die Eigenwertbedingungen $\epsilon_1, \dots, \epsilon_n$ hier im allgemeinen voneinander verschieden sind. Insofern sind also hier die verschiedenen Eigenwertpaare unabhängig voneinander, da sie verschiedenen Eigenwertbedingungen entsprechen. Man kann noch sagen, da die Eigenwertpaare von den vorkommenden charakteristischen Kraft abhängen: sie sind unabhängig, weil die verschiedenen charakteristischen Kräfte abhängen.

Auch jetzt aber führt der Ägypthionismus zu genau dem nämlichen Resultate wie vorher: denn einmal ist bei jeder Normalisierung die mittlere kinetische Energie gleich der mittleren potentiellen: die Gleichungen (56) haben ja dieselbe Form wie die Gleichungen (76). Zweitens aber entsteht auf jeden Freiheitsgrad wiederum die Energie $\frac{1}{2} kT$, so daß wir zum nämlichen Ausdruck für U gelangen wie vorher, also auch zum Dulong-Beziehungen Gesetz.

Bei dieser veränderten Abfindung tritt besonders deutlich hervor, daß durch das Äquipartitionstheorem die Freiheitsgrade nur „gerührt“, nicht „geraugt“ werden: Trotz ihrer Ungleichverteilung ist wenig auf Klarheit bzw. Eigenfragen wird ihnen der gleiche Energiebetrag zufließen. Diese gleichmäßige Energieverteilung ist also die wahre Wurde des Dalong-Peritomen Gesetzes. Es folgt sich hier die nämliche letzte Worte wie bei der unendlichen Wärme der Wärme.

We started on 2002 with 2003

Bei Kinnertropenpflanzungen überwiegen in der Tat die meisten chemischen Elemente den Salzung-Potentialen Gestein. Teil der zersetzten Gesteine ist zu beachten. Auf einerseits ist immer nur die spezifische

1997, 1998, 1999, 2000, 2001, 2002, 2003, 2004, 2005, 2006, 2007, 2008, 2009, 2010, 2011, 2012, 2013, 2014, 2015, 2016, 2017, 2018, 2019, 2020, 2021, 2022, 2023, 2024, 2025, 2026, 2027, 2028, 2029, 2030, 2031, 2032, 2033, 2034, 2035, 2036, 2037, 2038, 2039, 2040, 2041, 2042, 2043, 2044, 2045, 2046, 2047, 2048, 2049, 2050, 2051, 2052, 2053, 2054, 2055, 2056, 2057, 2058, 2059, 2060, 2061, 2062, 2063, 2064, 2065, 2066, 2067, 2068, 2069, 2070, 2071, 2072, 2073, 2074, 2075, 2076, 2077, 2078, 2079, 2080, 2081, 2082, 2083, 2084, 2085, 2086, 2087, 2088, 2089, 2090, 2091, 2092, 2093, 2094, 2095, 2096, 2097, 2098, 2099, 2100, 2101, 2102, 2103, 2104, 2105, 2106, 2107, 2108, 2109, 2110, 2111, 2112, 2113, 2114, 2115, 2116, 2117, 2118, 2119, 2120, 2121, 2122, 2123, 2124, 2125, 2126, 2127, 2128, 2129, 2130, 2131, 2132, 2133, 2134, 2135, 2136, 2137, 2138, 2139, 2140, 2141, 2142, 2143, 2144, 2145, 2146, 2147, 2148, 2149, 2150, 2151, 2152, 2153, 2154, 2155, 2156, 2157, 2158, 2159, 2160, 2161, 2162, 2163, 2164, 2165, 2166, 2167, 2168, 2169, 2170, 2171, 2172, 2173, 2174, 2175, 2176, 2177, 2178, 2179, 2180, 2181, 2182, 2183, 2184, 2185, 2186, 2187, 2188, 2189, 2190, 2191, 2192, 2193, 2194, 2195, 2196, 2197, 2198, 2199, 2200, 2201, 2202, 2203, 2204, 2205, 2206, 2207, 2208, 2209, 2210, 2211, 2212, 2213, 2214, 2215, 2216, 2217, 2218, 2219, 2220, 2221, 2222, 2223, 2224, 2225, 2226, 2227, 2228, 2229, 2230, 2231, 2232, 2233, 2234, 2235, 2236, 2237, 2238, 2239, 2240, 2241, 2242, 2243, 2244, 2245, 2246, 2247, 2248, 2249, 2250, 2251, 2252, 2253, 2254, 2255, 2256, 2257, 2258, 2259, 2260, 2261, 2262, 2263, 2264, 2265, 2266, 2267, 2268, 2269, 2270, 2271, 2272, 2273, 2274, 2275, 2276, 2277, 2278, 2279, 2280, 2281, 2282, 2283, 2284, 2285, 2286, 2287, 2288, 2289, 2290, 2291, 2292, 2293, 2294, 2295, 2296, 2297, 2298, 2299, 2300, 2301, 2302, 2303, 2304, 2305, 2306, 2307, 2308, 2309, 2310, 2311, 2312, 2313, 2314, 2315, 2316, 2317, 2318, 2319, 2320, 2321, 2322, 2323, 2324, 2325, 2326, 2327, 2328, 2329, 2330, 2331, 2332, 2333, 2334, 2335, 2336, 2337, 2338, 2339, 2340, 2341, 2342, 2343, 2344, 2345, 2346, 2347, 2348, 2349, 2350, 2351, 2352, 2353, 2354, 2355, 2356, 2357, 2358, 2359, 2360, 2361, 2362, 2363, 2364, 2365, 2366, 2367, 2368, 2369, 2370, 2371, 2372, 2373, 2374, 2375, 2376, 2377, 2378, 2379, 2380, 2381, 2382, 2383, 2384, 2385, 2386, 2387, 2388, 2389, 2390, 2391, 2392, 2393, 2394, 2395, 2396, 2397, 2398, 2399, 2400, 2401, 2402, 2403, 2404, 2405, 2406, 2407, 2408, 2409, 2410, 2411, 2412, 2413, 2414, 2415, 2416, 2417, 2418, 2419, 2420, 2421, 2422, 2423, 2424, 2425, 2426, 2427, 2428, 2429, 2430, 2431, 2432, 2433, 2434, 2435, 2436, 2437, 2438, 2439, 2440, 2441, 2442, 2443, 2444, 2445, 2446, 2447, 2448, 2449, 2450, 2451, 2452, 2453, 2454, 2455, 2456, 2457, 2458, 2459, 2460, 2461, 2462, 2463, 2464, 2465, 2466, 2467, 2468, 2469, 2470, 2471, 2472, 2473, 2474, 2475, 2476, 2477, 2478, 2479, 2480, 2481, 2482, 2483, 2484, 2485, 2486, 2487, 2488, 2489, 2490, 2491, 2492, 2493, 2494, 2495, 2496, 2497, 2498, 2499, 2500, 2501, 2502, 2503, 2504, 2505, 2506, 2507, 2508, 2509, 2510, 2511, 2512, 2513, 2514, 2515, 2516, 2517, 2518, 2519, 2520, 2521, 2522, 2523, 2524, 2525, 2526, 2527, 2528, 2529, 2530, 2531, 2532, 2533, 2534, 2535, 2536, 2537, 2538, 2539, 2540, 2541, 2542, 2543, 2544, 2545, 2546, 2547, 2548, 2549, 2550, 2551, 2552, 2553, 2554, 2555, 2556, 2557, 2558, 2559, 2560, 2561, 2562, 2563, 2564, 2565, 2566, 2567, 2568, 2569, 2570, 2571, 2572, 2573, 2574, 2575, 2576, 2577, 2578, 2579, 2580, 2581, 2582, 2583, 2584, 2585, 2586, 2587, 2588, 2589, 2590, 2591, 2592, 2593, 2594, 2595, 2596, 2597, 2598, 2599, 2600, 2601, 2602, 2603, 2604, 2605, 2606, 2607, 2608, 2609, 2610, 2611, 2612, 2613, 2614, 2615, 2616, 2617, 2618, 2619, 2620, 2621, 2622, 2623, 2624, 2625, 2626, 2627, 2628, 2629, 2630, 2631, 2632, 2633, 2634, 2635, 2636, 2637, 2638, 2639, 2640, 2641, 2642, 2643, 2644, 2645, 2646, 2647, 2648, 2649, 2650, 2651, 2652, 2653, 2654, 2655, 2656, 2657, 2658, 2659, 2660, 2661, 2662, 2663, 2664, 2665, 2666, 2667, 2668, 2669, 2670, 2671, 2672, 2673, 2674, 2675, 2676, 2677, 2678, 26

Wärmen bei konstantem Druck c_p gemessen werden konnten, aus denen c_v thermodynamisch [vgl. Kap. IV, §1 (30), pag. 186] berechnet werden muß. Erst die Multiplikation von c_v mit dem Atomgewicht liefert C_v . Diese Umrechnung von c_p auf c_v hat G. N. Lewis¹⁾ durchgeführt; in der folgenden Tabelle sind seine Angaben wiedergegeben.

Stoff	Atomgewichte	C_v
Na	23	0,4
Mg	24,4	0,6
Al	27,1	0,6
K	39,1	0,5
Fe	55,8	0,6
Zn	65,7	0,6
Cu	63,6	0,6
Sn	72,6	0,7
Pb	103	0,6
Ag	107,6	0,6
Cl	112,6	0,6
Se	118	0,7
Os	129	0,9
S	161	0,6
P	186	0,6
As	187	0,6
W	204	0,7
Ir	207	0,6
Bi	209	0,6

Das Mittel der Atomwärmen bei konstantem Volumen ist demnach gleich:

$$C_v = 0,6 \pm 0,15.$$

Man sieht in der Tat, daß für die gemessenen Stoffe dieses Mittel recht genau mit dem theoretischen Werte übereinstimmt.

Dieses Resultat scheint sehr befriedigend zu sein. Aber besteht bei es weit hinaus bekannt, daß einzelne Stoffe, Bor, Silizium, Kohlenstoff (Diamant) bei Raumtemperatur sehr stark vom Dulong-Petitischen Werte abweichen. Diese Stoffe zeigen nun, wie gleichfalls schon lang bekannt ist, eine starke Temperaturabhängigkeit der spezifischen Wärmen und nähern sich bei hohen Temperaturen dem Dulong-Petitischen Werte an. Damit gab man sich eingewöhnen zu müssen und konnte dies auch mit einem gewissen Rechte, solange man das Verhalten dieser Stoffe, namentlich die starke Temperaturabhängigkeit, als Ausnahme ansehen konnte.

Aber die Forschungen der letzten 30 Jahre gestatten dies eben nicht mehr. Denn das Neumannsche Wärmethorem in der Planckschen Formulierung verlangt allgemein, daß die Atomwärmen aller festen Stoffe mit steigender Temperatur abnehmen und beim Werte $T = 0$ selbst zu

¹⁾ G. N. Lewis, *Zeitschr. f. anorg. Chem.* 66, S. 2015, 1907.

Noll werden, und die experimentellen Forschungen von Kerner und seinen Schülern haben dies glänzend bestätigt (Kap. VII, Nr. 78, pag. 381). Dennoch ist das Verhalten der Stoffe Bor, Silizium, Kohlenstoff keine Ausnahme, sondern die Regel, d. h. bei hinreichend tiefen Temperaturen sind die Atomgewichte aller Stoffe viel kleiner als 8, welchen Wert sie erst bei höheren Temperaturen erreichen. Bei welcher Temperatur, das hängt von der Natur des Körpers ab. Bor, Silizium, Kohlenstoff haben nur die Besonderheit, daß sie bei Raumtemperatur diesen Wert noch nicht erreicht haben; das ist also lediglich ein quantitativer Unterschied.

Nach unserer Theorie sollte gemäß (37) der Atomwärmewert aber vollkommen unabhängig von der Temperatur sein.

Man konnte eine Temperaturabhängigkeit, wenn man an der Fähigkeit des Äquiperforationsgesetzes, d. h. der Gleichungen des Dynamik, festhält, nur durch die Abnahme der Zahl der Freiheitsgrade mit steigender Temperatur erklären. Etwas damit, daß bei immer weiteren sinken der Temperatur immer mehr Moleküle sich zusammenballen („agglomerieren“) und vollkommen starr werden, bis beim absoluten Nullpunkte nur noch ein starrer starrer Körper vorhanden wäre. Solche „Agglomerations-hypothesen“ sind mehrfach, teilweise mit großem Scharfsinn, erdacht worden: sie scheitern an der Tatsache, daß die Kompressibilität der meisten Stoffe nicht in dem Maße mit der Temperatur abnimmt, wie diese Hypothese es verlangt, insbesondere, daß sie beim absoluten Nullpunkte noch endlich ist. Der Widerspruch bleibt also bestehen, und wir müssen zugeben, daß die klassische Theorie des spannungslosen Warmen fester Körper stimmt mit den Tatsachen nur bei hinreichend hohen Temperaturen überein; bei tiefen versagt sie vollkommen.

Dies ist wiederum ein Hinweis darauf, daß die Gleichungen der Dynamik bei Molekularprozessen nicht mehr strenge Gültigkeit besitzen können. Wir kommen im letzten Kapitel darauf zurück.

32. Maxwell: sein Wagnis.

Wie bereits in Nr. 34 bemerkt, haben die großen Werte für die mittlere Geschwindigkeit der Gasmoleküle, die schon bei normalen Temperaturen nach Hunderten von Metern in der Sekunde zählbar, zu einem Einwande gegen die kinetische Theorie Veranlassung gegeben. Hays-Balliet hat 1888 diesen Einwand etwa folgendermaßen formuliert: Nach der Annahme der kinetischen Theorie liegen die Moleküle in der Sekunde Wege von Hunderten von Metern zurück; die Folge davon müßte die sein, daß zwei verschiedene Gase außerordentlich schnell ineinander diffundieren, während die Erfahrung zeigt, daß die Diffusion im Gegenteil verhältnismäßig langsam vor sich geht. Daher müsse die Grundlage der kinetischen Theorie, die diese Geschwindigkeiten geliefert habe, berichtigt werden.

Clausius hat den Fallfall, der in dieser Überlegung liegt, ausgedacht. Sie besteht nämlich nicht, daß die Moleküle während einer Sekunde sehr häufige Zusammenstöße miteinander erleiden, die die Geschwindigkeitsrichtungen ändern. Wenn man die geradlinigen Stücke, aus denen die Bahn eines Moleküls zwischen zwei Stößen besteht, für eine Sekunde zu einer geradlinigen Strecke zusammenfügte, so würde diese Strecke allerdings Hunderte von Metern betragen. In Wirklichkeit jedoch ist die Fortbewegung eines Moleküls sehr langsam, eben wegen der großen Zahl von Richtungsänderungen, die die Geschwindigkeit in der Sekunde erleidet. Die Bahn eines Moleküls hat also etwa die Gestalt der Fig. 17.

Die Strecke, die ein Molekül zwischen zwei Zusammenstößen zurücklegt, nennt man nach Clausius eine „freie Weglänge“; wir können



Fig. 17.

nämlich nur ihren Mittelwert, die sogenannte „mittlere Weglänge“, darstellen. Es ist klar, daß sie um so kleiner sein wird, je größer die Zahl der Stöße in der Sekunde, die sogenannte „Stoßzahl“ ist, d. h. in je mehr Teile die Strecke von der Länge der mittleren Geschwindigkeit \bar{v} durch die Zusammenstöße aufgespalten wird.

Wir werden also zunächst die Stoßzahl berechnen.

Wir stellen uns allen Molekülen, die wir im folgenden wieder als reine elastische Kugeln betrachten, zunächst diejenigen hervor, deren Geschwindigkeitskomponenten zwischen u und $u + du$, v und $v + dv$, w und $w + dw$ liegen. Geometrisch gesprochen heißt das, daß wir nur solche Moleküle betrachten, deren „Geschwindigkeitsvektor“ im Geschwindigkeitsraum im Volumenelement $du dv dw$ liegt. Nach dem Maxwellianischen Verteilungsgesetze ist deren Zahl, wenn die Gesamtzahl N ist:

$$N f(u, v, w) du dv dw,$$

we für $f(u, v, w)$ die Maxwell'sche Funktion nach Gl. (16a) einsetzen ist. Diese Moleküle mögen im folgenden der Kürze halber als „Moleküle vom Typus A“ oder als „A-Moleküle“ bezeichnet werden. In der Volumeneinheit liegen also

$$(9) \quad v f(u, v, w) \, du \, dv \, dw$$

A-Moleküle.

Als Moleküle vom Typus B oder kurz als „B-Moleküle“ wollen wir solche bezeichnen, deren Geschwindigkeitsepsen im Volumenelement $du' \, dv' \, dw'$ des Geschwindigkeitsraumes liegt, die also Geschwindigkeitskomponenten zwischen v' und $v' + dv'$, w' und $w' + dw'$, u' und $u' + du'$ besitzen. Dessen entsprechend ist die Anzahl der B-Moleküle in der Volumeneinheit

$$(10) \quad v' f(u', v', w') \, du' \, dv' \, dw'.$$

Wir wollen nun zuerst Zusammenstöße nur zwischen den A- und den B-Molekülen betrachten, und auch diese nur unter einer beschränkten Beschränkung, nämlich der, daß im Moment des Zusammenstoßes die Zentrallinie (die Verbindungslinie der Kugelmittelpunkte), vom Molekül A nach B geschaut, eine bestimmte Richtung im Raume habe, letztere natürlich wieder mit einer bestimmten Intervallbreite aus dem aus Grunde früher erörterten Grunde.

Die Zentrallinie möge also Richtungskomponenten zwischen l und $l + dl$, m und $m + dm$, n und $n + dn$ besitzen. Tragen wir die Richtungen der Zentrallinien von einem Punkte O des Raumes aus auf, so sollen also die hier herausgegriffenen Zentrallinien also durch ein bestimmtes Oberflächenelement dK der von O gestützten Einheitskugel hindurchgehen (Fig. 28).

Die hier herausgegriffenen Stöße, die also drei Bedingungen genügen, wollen wir Stöße von der Klasse α („ α -Stöße“) nennen.

Der Umstand, daß wir die Moleküle als Kugeln betrachten, ermöglicht eine einfache geometrische Definition der Stöße. Denn wenn die Kugeln den Durchmesser δ haben, so findet ein Zusammenstoß jedenfalls dann statt, wenn die Länge der Zentrallinie den Wert δ annimmt. In Fig. 29 sei A der Mittelpunkt eines A-Moleküls; schlagen wir um A eine Kugel mit dem Moleküldurchmesser δ als Radius, so findet also ein Zusammenstoß mit einem B-Molekül statt, wenn der Mittelpunkt B einer solchen diese Kugelfläche berührt, und insbesondere ein Stoß von der Klasse α , wenn die Richtung \vec{AB} die Richtungskomponenten l, m, n hat

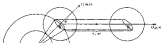


Fig. 28.

(wie wir kurz sagen wollen, um nicht immer das Adjektiv *mittelschweres* zu wiederh.) Der in Fig. 59 rechts gezeichnete Kreis mit dem Mittelpunkt B' sei das zur Zeit t stoßende Molekül B zur Zeit $t - \Delta t$ von dem Exzentrischstoß herge.

Die bei Stoßen von der Klasse α empfangenen Kontributionen schwächen aus der Kugel um A mit dem Radius l offenbar ein Oberflächenelement von der Größe dA heraus, da sie aus der Einheitskugel ein solches von der Größe dK ausschneiden sollten. Das durch diese Kontributionen erfüllte Kugel mit der Spitze in A ist in der Figur gezeichnet.

Wir wollen nun berechnen, wieviele B -Moleküle mit unserer von A -Molekül in der Zeit Δt zusammenstoßen. Diese Rechnung basiert auf



ist. Das Minuszeichen zeigt daher, daß $(\frac{1}{2} + u_x u_x + u_y u_y)$ gleich dem Kosinus des Supplementwinkels von Θ ist; der Kosinus des stumpfen Supplementwinkels ist aber negativ, und da das Volumen stets positiv sein muß, muß in der obigen Gleichung das Minuszeichen beseitigt werden.

Da nun nach (91) im Kubikzentimeter $v f(u'v'u') du' dv' du'$ B-Moleküle liegen, so entsprechend in unserem Zylinder die Anzahl

$$(92) \quad v f(u'v'u') d^3 u' \cos \Theta dK du dv du' dv' du'$$

Alle diese B-Moleküle sind mit dem A-Molekül so zusammen, daß ein Zusammenstoß von der Klasse α vorliegt.

Nun haben wir aber nicht ein A-Molekül, sondern deren im Kubikzentimeter die Anzahl (92); also haben wir genauermassen die Fig. 89 im Kubikzentimeter in $v f(u'v'u') du dv du'$ Exemplaren nebeneinander als vorhanden zu denken. Es kommt also im ganzen in der Zeit dt und im Kubikzentimeter die folgende Zahl $v_\alpha dt$ Zusammenstöße von der Klasse α vor:

$$(93) \quad v_\alpha dt = v^2 f(u'v'u') d^3 u' d^3 v' d^3 u' d^3 v' d^3 u' d^3 v' d^3 u' dt.$$

In Gours' Ausdrucke haben wir $f(u'v'u')$ und f' die Maxwell'sche Funktion (du) einzutragen. Indem wir der Kürze halber

$$\frac{u^2 + v^2 + u'^2}{u^2 + v^2 + u'^2} = \frac{u^2}{u^2 + v^2 + u'^2},$$

setzen, schreiben wir, wenn wir auf beiden Seiten durch dt dividieren:

$$(94) \quad v_\alpha = v^2 \frac{d^3 u' d^3 v' d^3 u' d^3 v' d^3 u' d^3 v' d^3 u'}{d^3 u' d^3 v' d^3 u' d^3 v' d^3 u' d^3 v' d^3 u'} v_\alpha \cos \Theta dK du dv du' dv' du';$$

v_α bedeutet dabei offenbar die Zahl der Zusammenstöße von der Klasse α pro Sekunde und Kubikzentimeter.

Nun wollen wir aber gar nicht die Zahl der „ α -Zusammenstöße“ pro Sekunde und Kubikzentimeter kennen, sondern alle überhaupt vorkommenden Zusammenstöße pro Sekunde und Kubikzentimeter. Wir müssen nun also der Reihe nach von den drei Voraussetzungen, die in der Definition der „ α -Zusammenstöße“ liegen, absehen.

Erstens wollen wir die Bedingung fallen lassen, daß die Zentralklinie — kann gesagt — durch das Element dK der Einheitskugel mit den Richtungsbestimmen l, m, n hindurchgeht; jetzt sollen die Zentralklinien vielmehr alle Richtungen annehmen können, bei denen ein Zusammenstoß möglich ist. Wir können durch Einführung von Polarkoordinaten Θ, Φ auf der Einheitskugel setzen:

$$dK = \sin \Theta d\Theta d\Phi,$$

wobei insbesondere Θ der in Fig. 89 definierte Winkel ist; Φ ist der Azimut, um die Richtung l, m, n der Fig. 89 herumgezählt. Zusammenstöße können stattfinden offenbar bei jedem Azimut zwischen l und 2π ; de-

gegeben darf Θ nur zwischen 0 und $\frac{\pi}{2}$ (nicht zwischen 0 und π) variieren. Man stellt dies am leichtesten so ein: Das in unsern vorliegenden Betrachtungen vorkommende Zylindervolumen

$$dV = dK \, d\varphi \, d\vartheta \sin \Theta = d^3 \sin \Theta \cos \Theta \, d\varphi \, d\Theta \, d\vartheta,$$

muß natürlich positiv sein, damit die ganze Betrachtung ihrem Sinn beibehält; d. h. Θ darf nicht stumpf werden, womit obige Behauptung bewiesen ist.

Um also — bei beliebigen Richtungen der Zwicklinie — alle Zusammenstöße pro Sekunde und Kubikzentimeter zwischen A- und B-Molekülen zu erhalten, müssen wir in (94) nach Einführung des obigen Wertes für dV über Θ von 0 bis $\frac{\pi}{2}$, über φ von 0 bis 2π , über ϑ von 0 bis $\frac{\pi}{2}$ integrieren. Nennen wir in leicht verständlicher Bezeichnung die gesuchte Anzahl pro Sekunde und Kubikzentimeter v_{AB} , so haben wir also die Gleichung:

$$(95) \quad v_{AB} = \frac{n^2 p}{2} e^{-p(u^2+v^2+w^2)} p \, du \, dv \, dw \, du' \, dv' \, dw' \int_0^{\frac{\pi}{2}} \int_0^{2\pi} \int_0^{\frac{\pi}{2}} d\Theta \sin \Theta \cos \Theta \, d\varphi \, d\vartheta,$$

oder:

$$(96) \quad v_{AB} = \frac{n^2 p}{2} e^{-p(u^2+v^2+w^2)} p \, du \, dv \, dw \, du' \, dv' \, dw'.$$

Diesen Ausdruck müssen wir nun noch integrieren über alle Werte von u, v, w , d. h. über alle A-Moleküle, sowie über alle Werte u', v', w' , d. h. über alle B-Moleküle. Wenn wir dies tun, so haben wir aber jedes Molekül zweimal gezählt, indem jedes einmal als A-Molekül, einmal als B-Molekül fungiert. Die erhaltene Zahl müssen wir also noch zum Schluss durch 2 dividieren.

Um die Integration bequem auszuführen, führen wir neue Variablen ein durch die Definitionen:

$$(97) \quad \begin{cases} \frac{1}{2}(u+v) = U_1, & u-v = U_2, \\ \frac{1}{2}(v+w) = V_1, & v-w = V_2, \\ \frac{1}{2}(w+u) = W_1, & w-u = W_2. \end{cases}$$

Die Größen mit dem Index 1 sind dabei offenbar die Komponenten der Geschwindigkeit des gemeinsamen Schwerpunktes der zwei Moleküle, die mit dem Index 2 die Komponenten der relativen Geschwindigkeit v_r , die wir oben eingeführt haben.

Wir haben jetzt den Ausdruck

$$(du \, dv \, dw)(du' \, dv' \, dw') (du \, dv \, dw')$$

in die neuen Variablen zu transformieren; das kann hier in drei Schritten geschehen, die durch die drei Klammern angedeutet sind, da u und u' nur Funktionen von U_1 und U_2 sind, weil nach (97) ist z. B.:

$$du \, U_1 = \frac{1}{2} du + \frac{1}{2} du',$$

$$du \, U_2 = -\frac{1}{2} du + \frac{1}{2} du',$$

also:

$$dV_1 dV_2 = \frac{1}{2} \left(1 + \frac{1}{2} \right) dv dv' = dv dv',$$

da die Substitutionsdeterminante den Wert $+1$ hat. Ebenso bei den anderen Paaren von Differenzialen. Also ist einfach:

$$(98) \quad dv_1 dv_2 dv_3 dv_4 dv_5 dv_6 = dV_1 dV_2 dW_1 dV_3 dV_4 dW_2.$$

erner ist:

$$(99) \quad \begin{cases} v^2 + v'^2 = v^2 + u^2 + v^2 + v'^2 + u'^2 + u'^2 \\ = 2(V_1^2 + V_2^2 + W_1^2) + 2(V_3^2 + V_4^2 + W_2^2) \end{cases}$$

Endlich ist nach Definition der relativen Geschwindigkeit:

$$(100) \quad v_1 = V_1^2 + V_3^2 + W_1^2.$$

Damit wird Gl. (98):

$$(101) \quad \begin{cases} v_{122} = \frac{m^2 P}{2\pi} e^{-m^2(v_1^2 + v_2^2 + v_3^2 + v_4^2 + v_5^2 + v_6^2)} \\ \quad \cdot 2^6 V_1^2 V_2^2 + V_3^2 + V_4^2 + W_1^2 dV_1 dV_2 dW_1 dV_3 dV_4 dW_2. \end{cases}$$

Nunmehr ist es offenbar ersichtlich, sowohl der $V_1 V_2 W_1$, als auch für $V_3 V_4 W_2$ Polarkoordinaten einzuführen:

$$(102) \quad \begin{cases} V_1 = C \sin \theta \sin \varphi, & V_2 = c_1 \sin \theta' \sin \varphi', \\ V_3 = C \sin \theta \cos \varphi, & V_4 = c_1 \sin \theta' \cos \varphi', \\ W_1 = C \cos \theta, & W_2 = c_1 \cos \theta'. \end{cases}$$

womit gleichzeitig wird:

$$(103) \quad \begin{cases} dV_1 dV_2 dW_1 dV_3 dV_4 dW_2 \\ = C^4 dC \sin \theta d\theta d\varphi d c_1 d c_1' d\theta' d\varphi'. \end{cases}$$

Mit diesen letzten Umformungen wird endlich (101):

$$(104) \quad v_{122} = \frac{m^2 P}{2\pi} e^{-m^2(v_1^2 + v_2^2 + v_3^2 + v_4^2 + v_5^2 + v_6^2)} C^4 dC \sin \theta d\theta d\varphi d c_1 d c_1' d\theta' d\varphi'.$$

Dieser Ausdruck ist nun zu integrieren über C und c_1 von 0 bis ∞ , über θ und θ' von 0 bis π , über φ und φ' von 0 bis 2π , und schließlich ist das Ergebnis nach der obigen Bemerkung noch durch 2 zu dividieren, damit wir die Endzahl Z aller Moleküle pro Sekunde und Kubikzentimeter erhalten. Es ist also:

$$(105) \quad Z = \frac{m^2 P^2}{2\pi} \int_0^\pi \int_0^\pi \int_0^{2\pi} \int_0^{2\pi} \int_0^\infty \int_0^\infty e^{-m^2(v_1^2 + v_2^2 + v_3^2 + v_4^2 + v_5^2 + v_6^2)} C^4 dC \sin \theta d\theta d\varphi d c_1 d c_1' d\theta' d\varphi'.$$

Die beiden Integrationen über φ und φ' liefern den Faktor $4\pi^2$, die beiden über θ und θ' den Faktor 4, so daß wir endlich haben:

$$(106) \quad Z = 8 m^2 P^2 \int_0^\pi \int_0^\pi e^{-m^2(v_1^2 + v_2^2 + v_3^2 + v_4^2 + v_5^2 + v_6^2)} C^4 dC \int_0^\pi \sin \theta d\theta.$$

Beide nun noch übrigen Integrale lassen sich durch partielle Integration genau nach dem Muster der in Nr. 53 und 54 vorgenommenen ausführen, und man erhält schließlich für die Zahl der Zusammenstöße pro Sekunde und Kubikzentimeter:

$$(107) \quad Z = \frac{v^2 P}{2} \sqrt{\frac{2}{\pi}} = \frac{1}{2} \sqrt{2} n v^2 d^2 l,$$

wenn wir noch den Wert für die mittlere Geschwindigkeit \bar{v} nach Gl. (46) einführen.

Jeder Zusammenstoß benötigt zwei freie Weglängen — von jedem der beiden zusammenstoßenden Moleküle eins —; da also n Moleküle pro Kubikzentimeter vorhanden sind, beschreiben diese in der Sekunde zusammen

$$\sqrt{2} n v^2 d^2 l$$

freie Weglängen. Um die „mittlere freie Weglänge“ λ zu finden, können wir nun einfach so schließen: Der obige Anzahl von freien Weglängen gleichmäßig untereinandergeteilt, liefert eine Länge von $\frac{1}{2} \sqrt{2} n v^2 d^2 l$; andererseits ist dieser Ausdruck gleich $v \lambda$, da jedes der n Moleküle die mittlere Geschwindigkeit \bar{v} hat. Durch Vergleich folgt:

$$(108) \quad \lambda = \frac{l}{\frac{1}{2} \sqrt{2} n v^2} = \frac{0,001}{n v^2}.$$

Das ist die von Clausius definierte mittlere freie Weglänge; der obige Ausdruck für dieselbe wurde zuerst von Maxwell angegeben. Clausius, der die Verteilungsgesetze damals noch nicht kannte, fand statt dessen den näherliegenden Wert $\frac{0,125}{n v^2}$, indem er allen Molekülen eine und dieselbe Geschwindigkeit beilegte. Man erkennt übrigens an (108), daß das Produkt λv , oder was dasselbe ist, da v proportional dem Druck p ist, daß das Produkt $p \lambda$ konstant sein muß; diese Bemerkung werden wir später benutzen.

Aus (108) läßt sich wieder eine andere Größe Z_1 bilden, die ebenfalls auch als Maßzahl bezeichnet wird, nämlich die Zahl der Zusammenstöße eines Moleküls pro Sekunde. Diese erhält man offenbar aus (108) durch folgende einfache Erwägung: Weicht man sich die Z_1 Weglängen λ eines Moleküls pro Sekunde zusammengelegt, so muß man eine Strecke von der Länge \bar{v} erhalten, also ist:

$$(108a) \quad Z_1 = \frac{\bar{v}}{\lambda} = \sqrt{2} n v^2 d^2 l.$$

Durch die obigen Darlegungen ist nun in der Tat das im Eingang dieser Nummer erwähnte Resultat wiedergelegt. Denn die Beobachtungen liefern dann — wie wir später genauer auslegen werden —, den Quotient \bar{v} bei 0 Grad und Atmosphärendruck mittlerer freier Weglängen von etwa 10^{-6} cm Länge zuzuschreiben, was Milliarden von Zusammenstößen für

jedes Molekül pro Sekunde bedeutet.¹⁾ Es ist demnach erklärt, weshalb die der großen Geschwindigkeiten ein Molekül nur relativ langsam seinen Ort verläßt.

Man kann sich auch auf einem andern Wege zu dem Begriffe der freien Weglänge kommen, der von Clausius herrührt, und den wir vorzuziehen anstreben wollen.

Nehmen wir eine gewisse Zahl N_0 von Molekülen betrachten, die eine bestimmte Größe und Richtung der Geschwindigkeit (c) haben, und diese auf ihrem Wege verfolgen, so werden nach Durchlaufung einer Strecke l nur noch $N_l < N_0$ Moleküle mit derselben Größe und Richtung der Geschwindigkeit vorhanden sein, da ein Teil auf dem Wege l durch Zusammenstoße abgelenkt worden ist. Durch solche Wahrscheinlichkeitsbetrachtungen läßt sich zeigen, daß zwischen N_l und N_0 die Relation besteht:

$$(106) \quad N_l = N_0 e^{-l/\lambda},$$

wo l eine solche Strecke ist, daß nach ihrer Durchlaufung die Zahl N_l auf den e -ten Teil herabgesunken ist. λ ist genau das, was wir beim Weg-
länge genannt haben. Denn in der Clausius'schen Wahrscheinlichkeits-
theorie ist $\frac{N_l}{N_0}$ die Wahrscheinlichkeit dafür, daß ein Molekül den
Weg l ohne Zusammenstoß zurücklegt.

Mit (1) (98) im wesentlichen identisch ist die Differentialgleichung:

$$(106a) \quad \frac{dN_l}{dl} = -\frac{N_l}{\lambda},$$

oder auf die Volumeneinheit bezogen:

$$(106b) \quad \frac{dc}{c} = -\frac{dl}{\lambda}.$$

Von der durch diese Gleichungen definierten Größe λ muß man sich den Mittelwert über alle Geschwindigkeiten der Moleküle gebildet werden, der sich mit Hilfe des Maxwell'schen Verteilungsgesetzes auch auf diesem Wege genau berechnen läßt, wie wir das in (106) gefunden haben.

Auf einen Punkt sei noch besonders aufmerksam gemacht.

Bei der Berechnung der Zahl der Zusammenstöße haben wir von der Voraussetzung Gebrauch gemacht, die in Nr. 73 formuliert wurde, daß die Moleküle aller Geschwindigkeiten (hier die A- und B-Moleküle) — jede Sorte für sich genommen — den Raum gleichmäßig erfüllen sollten. Jede Molekülsorte (A oder B) soll sich demnach unabhängig von der andern auf den Raum verteilen.

Diese Annahme ist keineswegs selbstverständlich, wie man früher geglaubt hat, sondern ist eine besondere Hypothese²⁾, die von

¹⁾ Die genannten Zahlenangaben sind in der Tabelle auf pag. 424.

²⁾ Dieser Sachverhalt hat zuerst Burbury klar erkannt; vgl. seine „Kinetic Theory of Gases“, Cambridge 1886, § 35.

Baltmann und andere verstehen die „Hypothese der molekularen Unordnung“ bezeichnet wird. Es ist für das Folgende wichtig, festzustellen, daß demnach der klassische „Stoßkoeffizient“ eine Wahrscheinlichkeitsaussage in sich birgt: die Stoßzahl (189) ist keineswegs die „wirkliche“, sondern nur die „wahrscheinliche“.

Wir beschließen diese Nummer mit der Beschreibung einer Versuchsanordnung von Born und Bornstein¹⁾, mit der es ihnen 1930 zum ersten Mal gelang, auf direktem Wege die mittlere freie Weglänge λ zu messen. Die Methode beruht, ganz ebenso wie die Sternsche Methode zur Bestimmung der Molekulargeschwindigkeit, die wir in Nr. 54 besprochen haben, auf der Streuung eines Molekularstrahls an hoch schmelztem Metall im Vakuum.

In Fig. 60 ist S ein Silberkugelschild, das durch einen (nicht mitgezeichneten) elektrischen Ofen auf die Schmelztemperatur erhitzt werden

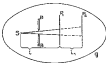


Fig. 60.

kann. Es sendet dann Silbermoleküle nach allen Seiten aus, von denen durch das Loch der Mende SS ein geometrisch schaud begrenzter Strahl ausgeht. Im Abstände l von der Strahlungsquelle S befindet sich eine Auffangplatte P_1 aus Glas, an der sich die Silbermoleküle kondensieren; in einem zweiten Versuch kann P_1 beiseite und in der größeren Entfernung $(l + l')$ durch eine andere Auffangplatte P_2 ersetzt werden. Die ganze Anordnung ist in ein evakuiertes Gefäß G eingeschlossen. Ist das Vakuum vollkommen, so finden keine Zusammenstöße von Silbermolekülen mit Luftmolekülen statt: alle Silbermoleküle kondensieren sich entweder auf P_1 oder auf P_2 , je nach dem, welche Platte im Strahlengange sich befindet. Haben wir dagegen einen von Null verschiedenen Luftdruck, so kommen nicht alle von S ausgehenden Moleküle auf P_1 an und noch weniger auf P_2 , da auf dem Wege l bzw. $(l + l')$ Zusammenstöße stattfinden, die die Zahl der ankommenden Moleküle nach dem Gesetze der Gleichung (108) vermindern. Die Dicken D_1 und D_2 der auf P_1 und P_2 niedergeschlagenen Schicht Silber sind natürlich proportional

¹⁾ H. Born und E. Bornstein, Phys. Zeitschr. Bd. 31, pag. 534, 1930.

der Fall der unkorrigierten Effernschleife, und wir haben in leicht verständlicher Bezeichnung durch sinnvolle Anwendung von (108) die beiden Gleichungen:

$$N_1 = N_0 e^{-\frac{1}{\bar{L}}},$$

$$N_2 = N_0 e^{-\frac{1+I}{\bar{L}}},$$

Durch Logarithmieren und Subtraktion folgt daraus:

$$\log \frac{N_1}{N_2} = \frac{1}{\bar{L}} = \log \frac{N_0}{N_2},$$

womit sich für \bar{L} der Wert ergibt:

$$\bar{L} = -\frac{N_0}{\log \frac{N_1}{N_2}}.$$

Tatsächlich gestaltet sich die Ausführung der Versuche etwas komplizierter, da man kein vollständiges Vakuum herstellen kann; man muß zwei Parallelversuche bei zwei verschiedenen Drucken anstellen; doch ist dies grundsätzlich ohne Bedeutung.

Bei dem Versuchen fanden Born und Bornemann z. B. folgenden Befund:

$$\begin{aligned} \text{Druck } p_0 &= 5,5 \cdot 10^{-4} \text{ cm Hg;} \\ \bar{L}_0 &= 1,7 \text{ cm.} \end{aligned}$$

Wenn man berücksichtigt, daß die mittlere freie Weglänge \bar{L} umgekehrt proportional dem Druck ist, so erhält man für die freie Weglänge \bar{L}_0 bei dem Druck $p_0 = 76$ cm Hg die Gleichung:

$$\frac{\bar{L}_0}{\bar{L}} = \frac{5,5 \cdot 10^{-4}}{76}; \quad \bar{L}_0 = 1,7 \frac{5,5 \cdot 10^{-4}}{76} = 1,2 \cdot 10^{-4} \text{ cm.}$$

Diese Größe stimmt, wie wir später (vgl. die Tabelle auf pag. 484) sehen werden, in der Tat der Größenordnung nach vollkommen mit den nach indirekten Methoden erhaltenen Werten überein.

58. Transport einer bestimmten Größe (Masse oder Energie).

Mit dem Begriff der freien Weglänge und der Stoßzahl sind die Ercheinungen der inneren Reibung und der Wärmeleitung der Gase aufs innigste verknüpft, wie die folgende Erklärung zeigen soll.

Betrachten wir ein Gas, das zwischen parallelen Wänden eingeschlossen ist; die eine habe die Temperatur T_1 , die andere die Temperatur T_2 , wo $T_2 > T_1$ sei. Es haben also die Moleküle in unmittelbarer Nähe der ersten Wand eine größere mittlere kinetische Energie, als die in unmittelbarer Nähe der zweiten Wand, da ja die Temperatur proportional der mittleren kinetischen Energie ist, und die Gasmoleküle durch Stoß auf die Wände kinetische Energie pro Freiheitsgrad annehmen, wie diese selbst. Werden die begrenzenden Wände auf konstanter Tem-

gesteuert gehalten, so bildet sich ein stationärer Zustand aus, und es wird durch die Stöße der Moleküle untereinander pro Zeiteinheit durch jede der Wänden parallele Flächeneinheit eine bestimmte Quantität Wärme „transportiert“; das ist die zuerst von Maxwell gegebene kinetische Deutung des Vorgangs der Wärmeleitung.

Dann ähnlich bei der inneren Reibung.

Von den beiden das Gas begrenzenden Ebenen habe die eine in ihrer Ebene eine bestimmte Geschwindigkeit, die andere dagegen ruhe. Die in unmittelbarer Nähe der bewegten Platte befindlichen Moleküle erhalten demgemäß bei ihrem Zusammenstoßen mit der Wand eine größere Bewegungsgröße (Impuls), als die Moleküle an der ruhenden Wand, und dieses Differenz des Impulses machen die Moleküle unter sich durch Stöße auszugleichen; das ist der Vorgang der inneren Reibung nach der kinetischen

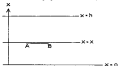


Fig. 61.

Auffassung; es wird pro Sekunde durch jeden Quadratzentimeter parallel der begrenzenden Wänden eine bestimmte Impulsmenge „transportiert“.

Nennen wir allgemein die Quantität einer bestimmten physikalischen, jedem Molekül zukommenden Größe G (z. B. Impuls, Energie, Masse, elektrische Ladung), die pro Sekunde durch den Quadratzentimeter transportiert wird, den „Transport“ Φ dieser Größe, so tritt durch ein Flächenelement dA in der Zeit dt die Quantität

$$\Phi \, dA \, dt$$

hindurch. Für diese Größe haben wir eine allgemeine, für den stationären Zustand geltende Gleichung aufzustellen, deren Spezialisierung uns für $G = \text{Impuls}$ die Gesetze der inneren Reibung, für $G = \text{Energie}$ die der Wärmeleitung liefern wird.

Wir schließen uns an eine Darstellung an, die Ludwig Boltzmann²⁾ gegeben hat.

Es seien in der Fig. 61 zwei Ebenen $x = 0$ und $x = h$ senkrecht zu der vertical verlaufenden x -Achse; ferner sei $x = x$ die Gleichung einer Ebene zwischen diesen; AB sei ein Stück von der Größe der Flächenein-

²⁾ L. Boltzmann, Vorlesungen über kinetische Gastheorie, Bd. I, pag. 745.

heit in dieser Ebene. Wir wollen annehmen, daß die Quantität Q , die jedem Molekül zukommt, nur von x abhängig sei; ihre Werte in den drei Ebenen sind dann $Q(x)$, $Q(x)$ und $Q(x)$; wir wollen etwa annehmen, $Q(x)$ sei größer als $Q(x)$. Es ist nun zu berechnen, welcher Betrag Φ von Q pro Sekunde und Flächeneinheit durch \overline{AB} hindurchtransportiert wird. Wir wollen zunächst nur bestimmte Moleküle, die \overline{AB} erreichen, ins Auge fassen, nämlich nur solche, die die Geschwindigkeit c besitzen; davon seien im Kubikzentimeter n vorhanden. Auch von diesen speziell ausgewählten Molekülen betrachten wir nur diejenigen mit einer bestimmten Geschwindigkeitsrichtung, nämlich diejenigen, die \overline{AB} von oben nach unten durchsetzen und deren Richtung mit der negativen x -Achse Winkel zwischen θ und $(\theta + d\theta)$ bildet.

Davon gibt es nach Gleichung (6) im Kubikzentimeter:

$$\frac{n}{2} \sin \theta d\theta.$$

Wieviele solcher Moleküle treffen nun von oben die Fläche an? Offensichtlich alle diejenigen, die innerhalb des schiefen Zylinders mit der Grundfläche $\overline{AB} = 1$ und der Seitenlänge c (oder der Höhe $c \cos \theta$) liegen. Folglich, da im Kubikzentimeter

$\left(\frac{n}{2} \sin \theta d\theta\right)$ Moleküle dieser Art vorhanden sind, treffen pro Sekunde

$$(10) \quad dN = \frac{n}{2} \sin \theta d\theta c \cos \theta$$

Moleküle der gewählten Art¹⁾ die Flächeneinheit \overline{AB} . Eines dieser Moleküle, das \overline{AB} erreicht, habe nun seinen letzten Zusammenstoß mit einem andern Molekül in der (parallel c dependent) Entfernung l' gehabt, wie es in der Fig. 62 angedeutet ist; dieser Zusammenstoß fand also statt in der Ebene

$$x + l' \cos \theta = \text{const.},$$

in der die Quantität Q den Wert

$$(11) \quad Q(x + l' \cos \theta) = Q(x) + l' \cos \theta \frac{dQ(x)}{dx}$$

beseit; die Entwicklung nach Taylor ist nach dem ersten Gliede abgebrochen, da vorausgesetzt wird, daß die relative Änderung von $Q(x)$ auf der Strecke $l' \cos \theta$ sehr klein ist. Die durch (10) bestimmte Zahl



Fig. 62.

¹⁾ Da hier ausgewählte Moleküle sind, abgesehen von der etwa vorhandenen Beeinträchtigung, offenbar identisch mit den ausgewählten (θ, ϕ) -Molekülen des Hs. 39.

dN_c von Molekülen transportiert also pro Sekunde die folgende Quantität von G durch die Flächeneinheit \overline{AB} :

$$(112) \quad \sum_c^{v_x > 0} \left[G(x) + l \cos \vartheta \frac{\partial G(x)}{\partial x} \right].$$

Darin sind von $G(x)$, von ϑ und $-\frac{\partial G(x)}{\partial x}$ bezüglich der Summation über alle Moleküle derselben, l dagegen schwach von einem Mittelwert, den wir benutzen wollen (genauer wäre die Bezeichnung \bar{l} , da dieser Mittelwert von x abhängt). Daher kann man (112) schreiben:

$$dN_c \left[G(x) + l \cos \vartheta \frac{\partial G(x)}{\partial x} \right],$$

oder unter Einführung des Wertes (103) für dN_c :

$$(113) \quad \frac{1}{2} v \sin \vartheta \cos \vartheta d\vartheta \left[G(x) + l \cos \vartheta \frac{\partial G(x)}{\partial x} \right].$$

Will man nun diejenige Quantität von G haben, die von allen Molekülen der Geschwindigkeit v in der Sekunde durch \overline{AB} transportiert wird, so hat man den Ausdruck (113) über ϑ von 0 bis $\frac{\pi}{2}$ zu integrieren; $\vartheta = 0$ entspricht senkrecht, $\vartheta = \frac{\pi}{2}$ streifender Incidenz der Moleküle auf \overline{AB} ; die so gewonnene Größe wollen wir \mathcal{G}_c^+ setzen, um anzudeuten, daß sie der Transport von oben ist. So erhalten wir:

$$(114) \quad \mathcal{G}_c^+ = \frac{1}{2} v_c \int_0^{\frac{\pi}{2}} \left[G(x) + l \cos \vartheta \frac{\partial G(x)}{\partial x} \right] \sin \vartheta \cos \vartheta d\vartheta,$$

und die elementare Ausrechnung gibt das Resultat:

$$(115) \quad \mathcal{G}_c^+ = \frac{1}{4} v_c G(x) + \frac{1}{4} v_c l \frac{\partial G(x)}{\partial x}.$$

Oben ebenso erhält man den Transport \mathcal{G}_c^- von unten durch die Flächeneinheit \overline{AB} :

$$(116) \quad \mathcal{G}_c^- = \frac{1}{4} v_c G(x) - \frac{1}{4} v_c l \frac{\partial G(x)}{\partial x}.$$

Also liefert die Differenz $(\mathcal{G}_c^+ - \mathcal{G}_c^-) = \mathcal{G}_c$ den Gesamttransport pro Sekunde durch die Flächeneinheit, der durch die Moleküle mit der Geschwindigkeit v bewirkt wird:

$$(117) \quad \mathcal{G}_c = \frac{1}{2} v_c \left[G(x) + l \frac{\partial G(x)}{\partial x} \right].$$

Betrachten wir nunmehr alle Moleküle, nicht nur diejenigen der Geschwindigkeit v , so haben wir (117) über alle Werte von v zu summieren; das können wir in der Weise machen, daß wir $\sum_c v_c$ den Mittelwert \bar{v}

einsetzen und statt n , die Zahl ν beweglicher Moleküle im Kubikzentimeter nehmen. Also folgt schließlich für den gesamten Transport $Q = \sum Q_i$ der Wert:

$$(118) \quad Q = \frac{1}{3} \nu \overline{c} \frac{dC}{dx}.$$

Diese Gleichung ist nur insofern spezialisiert, als unser Flächenelement \overline{dF} senkrecht zur x -Achse angenommen war; legen wir das Koordinatensystem beliebig, so hat man, wie leicht zu sehen, die allgemeinere Gleichung:

$$(119) \quad Q = \frac{1}{3} \nu \overline{c} \cos \vartheta \frac{dC}{dx}.$$

20. Teilung und Wärmeführung.

Wir wenden die letzte Formel auf folgenden Fall an (Fig. 68):

Zwischen zwei Platten parallel zur yz -Ebene befindet sich ein Gas; die eine Platte, die etwa in der yz -Ebene selbst liegen mag, sei fest, die andere bewege sich mit der Geschwindigkeit C_x . Dann bildet sich

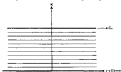


Fig. 68.

im Gas ein Geschwindigkeitsgefälle parallel der x -Achse heraus: es lagern sich im Gas unendlich dünne Schichten übereinander, die mit etwas verschiedener Geschwindigkeit aneinander vorbeigleiten; in der Ebene $x=0$ bestehe etwa die Geschwindigkeit C . Der Geschwindigkeitsunterschied zweier Schichten im Abstände $2x$ sei δC ; dann übt die langsamere der beiden Schichten pro Flächeneinheit auf die Flächeneinheit der schnelleren eine verzögemde Kraft aus, die näherungsweise gleich $-\eta \frac{dC}{dx}$ ist, wo η der sogenannte Reibungskoeffizient ist. Eine dieser Kräfte entgegengerichtet gleiche übt die schnellere Schicht auf die langsamere aus; sie hat also den Betrag $+\eta \frac{dC}{dx}$. Eine Kraft ist aber nach den Gleichungen der Dynamik gleich der Änderung der Bewegungs-

größe pro Sekunde, d. h. gleich der von der bewegten Schicht pro Flächeneinheit und Sekunde gemessenen Bewegungsgröße. Also ist in unserem Falle zu setzen:

$$(120) \quad G = \mu C; \quad G = + \eta \frac{dG}{dx} \cdot \eta$$

μ ist dabei die Masse eines Molekels. Wenden wir darauf (118) an, so folgt:

$$\eta \frac{dG}{dx} = \frac{1}{2} \sqrt{2} \mu \frac{dG}{dx},$$

woraus sich für den Reibungskoeffizienten η ergibt:

$$(121) \quad \eta = \frac{1}{2} \sqrt{2} \mu = \frac{1}{2} \sqrt{2} \rho,$$

letzteres, wenn wir die Dichte $\rho = \nu \mu$ einführen.

Erscheint wie man nun — was allerdings in Strenge nicht richtig ist — statt $\sqrt{2}$ an, setzen $\sqrt{2}$ und finden wir für η den Wert (122) ab, so folgt weiter:

$$(122) \quad \eta = \frac{1}{2} \sqrt{2} \frac{1}{\sqrt{2} \pi \cdot p} = \frac{1}{2} \frac{1}{\sqrt{2} \pi p} \cdot \eta$$

Diese Formel hat zuerst Maxwell 1866 gefunden. Sie führt zu einer höchst interessanten Folgerung: Der Reibungskoeffizient sollte ihr zufolge von der Dichte des Gases, oder, was bei konstanter Temperatur auf dasselbe hinauskommt, vom Breiten des Gases unabhängig sein.

Maxwell selbst war ursprünglich geneigt, diese Folgerung für richtig zu halten; indessen haben Experimente von O. E. Meyer und Dem selbst später die Unstimmigkeit bis zu sehr kleinen Drucken bereits bestätigt. Man kann dies in der Weise prüfen, daß man die Abnahme von Pendelschwingungen oder von Torsionsschwingungen, d. h. das logarithmische Dekrement dieser Schwingungen, bei verschiedenen Drucken mißt. Maxwell konstatierte dabei, daß bei Variation des Drucks von 1 Atmosphäre bis herab zu $\frac{1}{2}$ Atmosphären das Dekrement nicht geändert wurde. Genauss Messungen haben Kundt und Warburg 1896 angestellt. Eine Reihe Versuchsergebnisse will hier wiedergegeben.

¹⁾ G ist natürlich nicht die Bewegungsgröße eines Molekels, sondern ein gemittelter gebildeter Mittelwert, bei dem die individuellen Vorschubstößen die herausgehoben haben und nur die „echte“ Geschwindigkeit C , d. h. die dem Gase als Ganzem in der Stelle x zukommende, übrig geblieben ist.

²⁾ Der Mittelwert \bar{v} darf streng — streng genommen — auch nicht unter Zugrundelegung des Maxwell'schen Vorschubgesetzes gebildet werden; denn dieses gilt nur für den Gleichgewichtszustand, während wir hier einen vom Gleichgewichte abweichenden stationären Zustand betrachten. Die Gleichung (122) kann also in Strenge nicht gelten; analoge Bemerkungen gelten für die Formel (121).

$10^3 \text{ } ^\circ\text{C.}$	Druck in mm Hg	log. Dato.
	750	0,8750
	300	0,5204
	20,5	0,3103
	2,4	0,3800
	1,33	0,5046
	0,40	0,5913

Also bei Variation des Druckes um das Tausendfache keine merkliche Änderung des Reibungskoeffizienten. Bei sehr niedrigen Drucken allerdings nimmt der Reibungskoeffizient — wenigstens scheinbar — stark ab; dies liegt jedoch daran, daß dann so die Wirkung anderer Verhältnisse eintrifft. Während bei höheren Drucken das Gas an der Wand adsorbiert, tritt dann „Gleitung“, d. h. eine Unvollständigkeit der Geschwindigkeit ein, und dieses Phänomen verursacht eine scheinbare Abnahme des Reibungskoeffizienten. Auf diese Erscheinung gehen wir später ein. Wir können also eine geradezu glänzende Bestätigung der kinetischen Formel konstatieren.

Nach (128) ist η auch von der Temperatur abhängig; da τ proportional der Wurzel aus der absoluten Temperatur ist, so müßte η auch der Wurzel aus T proportional sein. Zein qualitativ betrachtet würde dies also eine Zunahme der Reibung mit steigender Temperatur bedeuten. Das ist wiederum insofern ein überraschendes Resultat, als die Reibung tropfbarer Flüssigkeiten bekanntlich umgekehrt mit steigender Temperatur abnimmt. Dennoch hat auch hier die kinetische Theorie den richtigen Sinn der Änderung von η angedeutet. Allerdings steigt η nicht proportional \sqrt{T} , sondern schneller. Das ist wohl ohne Zweifel darauf zurückzuführen, daß die mittlere freie Weglänge λ selbst noch Funktion der Temperatur T ist. In der Tat hat Sutherland 1893 aus derartigen kinetischen Anschauungen eine andere, sich gut bewährende Formel für die Temperaturabhängigkeit hergeleitet.

Im ganzen muß man also dieses Ergebnis als eine äußerst wertvolle Bestätigung der kinetischen Anschauungen betrachten.

Ganz ähnlich ist es mit der Wärmeleitung.

Nehmen wir dasselbe Anordnen wie bei der Reibung (Fig. 80), nur soll die obere Platte jetzt fest sein und eine höhere Temperatur haben, als die untere. Es stellt sich ein Wärmestrom von oben nach unten ein, es wird also Energie übertragen, und zwar ist, wenn f die Zahl der Prozeltegrade eines Moleküls ist, offenbar:

$$(129) \quad G = \frac{1}{2} f k T, \quad \alpha = l \frac{dT}{dx},$$

da der Wärmestrom dem Temperaturgradienten proportional ist; l heißt der Koeffizient der Wärmeleitung. Durch Einsetzen in (118) folgt:

$$l \frac{dT}{dx} = \frac{1}{3} + \sqrt{\frac{2}{3}} \frac{f}{2} k \frac{dT}{dx},$$

was für \bar{c} gilt:

$$(184) \quad \bar{c} = \frac{1}{\eta} + \bar{c} \bar{c} f R,$$

oder, wenn wir wieder für $\bar{c} \bar{c}$ den Ausdruck (183) setzen und für \bar{c} den Wert (184) nehmen:

$$(185) \quad \bar{c} = \frac{f R^2}{4 p \bar{c} \eta R}.$$

Gl. (185) lehrt, daß auch \bar{c} unabhängig von der Dichte, d. h. bei konstanter Temperatur unabhängig vom Druck des Gases ist, und daß \bar{c} gleichfalls der Wurzel aus der absoluten Temperatur proportional sein soll.

Ferner aber ergibt ein Vergleich des Reibungskoeffizienten η nach (184) und des Wärmeleitkoeffizienten λ nach (183) folgenden Zusammenhang zwischen beiden Größen:

$$\frac{\lambda}{\eta} = \frac{1}{2} f \frac{R}{p}.$$

oder, da $h = \frac{R}{p}$ ist:

$$\frac{\lambda}{\eta} = \frac{1}{2} f \frac{R}{p} = \frac{1}{2} f h.$$

wo h das absolute Molergewicht ist. Da aber nach (71)

$$\frac{1}{2} f h = C_1,$$

so ist

$$\frac{\lambda}{\eta} = \frac{C_1}{2} = c_1,$$

d. h. gleich der spezifischen Wärme bei konstantem Volumen. Also ist:

$$(186) \quad \frac{\lambda}{\eta} = c_1.$$

eine auf den ersten Blick scheinlich höchst überraschende Beziehung.

Die Erfahrung hat diese Proportionalität durchaus bestätigt, und demt nach die Unabhängigkeit der Wärmeleitfähigkeit vom Druck, in denselben Grenzen, wie beim Reibungskoeffizienten, sowie ein Wachstum von λ mit der Temperatur.

Bei sehr tiefen Drucken findet wieder eine starke Abnahme des Wärmeleitvermögens statt, was wiederum auf einen besonderen Vorgang an der Wandung zurückzuführen ist. Hier tritt nämlich ein Temperatur-sprung ein, der dem „Gleiten“, d. h. dem Sprung der Geschwindigkeit bei der Reibung, durchaus analog ist. Man sieht also, daß die Proportionalität in geradem überraschender Weise von der Erfahrung bestätigt wird.

Trotzdem hat die Quotient $\frac{\lambda}{\eta}$ allerdings nicht den von unserer elementaren und angestrebten Theorie geforderten Wert c_1 , sondern den Wert

K_{kin} , wo K ein von der Natur des Gases abhängender Faktor ist. In einatomigen Gasen ist derselbe nach Annahme der Erfahrung gleich 2,50, für zweiatomige rund 1,80, für drei- und mehratomige etwa zwischen 1,5 und 1,75. Die folgende Tabelle, die wir (gekürzt) einer Arbeit von Eucken¹⁾ entnommen, mag dies belegen.

Gas	$\bar{v} \cdot 10^3$	$\bar{v} \cdot 10^3$	α	K
He	1360	1578	0,745	2,49
A	890	9138	0,9743	2,49
H ₂	1870	880	0,85	1,688
N ₂	590	1670	0,777	1,893
O ₂	570	1683	0,768	1,913
CO	643,5	1671	0,777	1,933
NO	650	1704	0,7693	1,970
CH ₄	114,5	3000	0,406	1,716
SO ₂	195,5	1755	0,518	1,854
CO ₂	197,5	1860	0,5095	1,898
N ₂ O	244,5	2065	0,5751	1,940

Man erkennt also, daß unsere angesehene Theorie zwar die wesentlichen Züge richtig wiedergibt, aber in der zahlenmäßigen Wiedergabe versagt. Das liegt besonders — außer an den schon bei Ableitung der Gl. (115) gemachten unzulässigen Annahmen — an folgendem Umstande: Wir haben oben (siehe Anm. 3 auf pag. 450) bereits betont, daß bei unseren stationären, vom Gleichgewichtsstande verschiedenen Vorgängen die Verteilungsfunktion jedenfalls nicht in Strengs mit der Maxwellischen identisch ist. Wir müssen hier noch hinzufügen, daß auch kein Grund an der Annahme besteht, daß bei der Reibung dieselbe Verteilungsfunktion entsteht, wie bei der Wärmeleitung.

Von der Art der Verteilungsfunktion hängen nun aber die Mittelwerte \bar{v} ab, die in den Gl. (125) für η und (115) für λ vorkommen, und die wir ohne weiteres als einander gleich angenommen haben. Das ist eben in Strengs nicht richtig.

Es ist aber nun wichtig, daß bei genauerer Betrachtung, vor allem bei geeigneter Modifikation der Maxwellischen Verteilungsfunktion, für einatomige Gase wirklich der Wert $K = 2,50$ erhalten wird, den auch das Experiment gibt. Eine solche strenge Herleitung ist zuerst von Maxwell gegeben worden unter der Annahme, daß die Moleküle Kugeln sind, die proportional r^2 wirken. Chapman²⁾ hat dieses Resultat auch unter der allgemeineren Voraussetzung erhalten, daß die Moleküle sphärische Symmetrie besitzen.

Wir müssen uns hier mit einem Hinweis auf dieses Resultat begnügen. Bemerkenswert ist nur noch, daß Eucken in der genannten Arbeit

¹⁾ A. Eucken, *Fortsch. Physik* 14, pag. 254, 1913.

²⁾ Chapman, *Philos. Transactions* 211, pag. 693, 1917.

sich einschickende Berechnungen über den Wert von K angestellt hat; für starr elastische Körper findet er als notwendiges Ergebnis der kinetischen Theorie den Wert $3/2$; für starr verformbare den Wert $1/2$, was eigenmächtig durch die Erfahrung bestätigt wird; für starr elastische ist nach ihm der Wert $K = 1.75$ zu erwarten, der für nicht starr noch weiter heruntergehen kann. Wenn diese Überlegungen zutreffen — und es hat allen Anschein —, so würden diese Werte von K ebenso charakteristisch für die kinetische Theorie sein, wie die verschiedenen Werte des Verhältnisses von $\frac{p}{\rho}$, aber auch die ähnlichen Schwelligkeiten bloßen, was die Zahl der Freiheitsgrade angeht. —

Der wollen wir uns mit der Feststellung begnügen, daß die Tabellen der allgemeinen kinetischen Auffassung der Reibung und Wärmeleitung also durchaus günstig sind, wenn auch die Schwierigkeit der Probleme sowohl eine numerische Uebereinstimmung zur Zeit nicht erzielbar ist.

Hier sei nur noch darauf hingewiesen, daß die Bestimmung des Reibungskoeffizienten nach (121) nur gestattet, einen Wert für die mittlere freie Weglänge $\bar{\lambda}$ und folglich für die Stößeahl Z , eines Moleküls in der Sekunde gemäß Gl. (108a) zu erhalten. Es haben sich folgende Werte für 0°C und Atmosphärendruck ergeben¹⁾:

Gas	$\bar{\lambda}$	Z
H_2	$1.76 \cdot 10^{-7} \text{ cm}$	$9950 \cdot 10^9 \text{ sec}^{-1}$
N_2	$0.85 \cdot 10^{-7} \text{ „}$	$4980 \cdot 10^9 \text{ „}$
O_2	$1.05 \cdot 10^{-7} \text{ „}$	$4980 \cdot 10^9 \text{ „}$
H_2O	$0.71 \cdot 10^{-7} \text{ „}$	$7960 \cdot 10^9 \text{ „}$
CO_2	$0.44 \cdot 10^{-7} \text{ „}$	$1330 \cdot 10^9 \text{ „}$
SO_2	$0.47 \cdot 10^{-7} \text{ „}$	$1290 \cdot 10^9 \text{ „}$

XI. Theorie der aus der Waulschen Gleichung (Hückel'sches Gas).

Wir wollen nun auch zeigen, wie die kinetischen Annahmen auch gestattet, von den Abweichungen der realen Gase von dem idealen Gasgesetz Rechenschaft zu geben. Rein empirisch wissen wir bereits aus Kap. II, Nr. 26, pag. 114ff., daß an Stelle der idealen Gasgleichung andere Zustandsgleichungen treten, deren bekannteste die v. d. Waulsche Gleichung ist:

$$\left(p + \frac{a}{v^2}\right)(v - b) = \frac{R}{M} T$$

(v = spez. Volumen, a und b Konstanten).

Diese wollen wir deshalb aus den kinetischen Annahmen herleiten. Auf diesem Wege ist auch v. d. Wauls selbst darauf geführt worden, und es zeigt sich auch an diesem Beispiele die große heuristische Kraft unserer Molekulartheorie.

¹⁾ O. E. Meyer, Kinetische Theorie der Gase, pag. 381ff.

Wir gehen nun von dem Clausius'schen Virialsatz aus, den wir in Gleichung (31) formuliert hatten:

$$\sum \xi \overline{r^2} = -\frac{1}{2} \sum (\overline{Xx} + \overline{Yy} + \overline{Zz}).$$

Wir haben bereits in Nr. 3) gezeigt, daß diese Gleichung zu den idealen Gasgesetzen führt, wenn man als einzige auf die Moleküle wirkende Kraft den von den Wänden ausgehenden Druck p in Rechnung zieht. In der Tat fanden wir damals für die rechte Seite, das sogenannte Virial, die Gl. (32):

$$= -\frac{1}{2} \sum (\overline{Xx} + \overline{Yy} + \overline{Zz}) = \frac{3}{2} pV,$$

wo V das Gesamtvolumen des Gases war, wovon durch Kombination mit der vorstehenden Gleichung folgt:

$$(33) \quad pV = \frac{2}{3} \sum \xi \overline{r^2},$$

was unmittelbar zur idealen Gasgleichung führt.

Wirken jedoch auch noch innere Kräfte zwischen den Molekülen, so sind diese bei Berechnung des Virials nicht in Rechnung zu setzen.

Wir wollen also jetzt annehmen, daß zwischen den Molekülen, die wir uns wieder als harte elastische Kugeln denken, anziehende Kräfte wirken, die lediglich Funktionen der Entfernung seien; der absolute Betrag dieser Kräfte soll sehr rasch mit W'el hennähern, wenn die Entfernung der Moleküle eine gewisse Größe überschreitet. Nennen wir die Kraft zwischen zwei Molekülen $\Phi(r)$, wo $r^2 = (x - x')^2 + (y - y')^2 + (z - z')^2$ ist, also (x, y, z) die Lage des Mittelpunktes des einen, (x', y', z') entsprechend des zweiten Moleküls bedeuten, so sind die Kraftkomponenten XYZ bzw. $X'Y'Z'$, die auf die beiden Moleküle wirken, folgende:

$$(34) \quad \begin{cases} X = \Phi(r) \frac{x - x'}{r}, & X' = \Phi(r) \frac{x' - x}{r}, \\ Y = \Phi(r) \frac{y - y'}{r}, & Y' = \Phi(r) \frac{y' - y}{r}, \\ Z = \Phi(r) \frac{z - z'}{r}, & Z' = \Phi(r) \frac{z' - z}{r}, \end{cases}$$

und das (noch nicht gemittelte) Virial $= \frac{1}{2} \sum (\overline{Xx} + \overline{Yy} + \overline{Zz})$ dieser beiden Moleküle wird daher:

$$= \frac{1}{2} \left[\left(\Phi(r) \frac{x - x'}{r} x - \Phi(r) \frac{x' - x}{r} x' \right) + \dots \right],$$

oder:

$$= \frac{1}{2} \frac{\Phi(r)}{r} [(x - x')^2 + (y - y')^2 + (z - z')^2] = -\frac{1}{2} r \Phi(r).$$

Daher wird das gesamte (noch nicht gemittelte) Virial, das von diesen Kräften herrührt, offenbar:

$$(35) \quad = -\frac{1}{2} \sum \sum r \Phi(r),$$

wo diese Doppelsomme über alle Paare von Molekülen zu erstrecken ist. Dann kommt, wie vorher, der Teil des Virials, der von dem äußeren Drucke p herrührt, und wir erhalten insgesamt statt des Gl. (27):

$$(28) \quad pV = \frac{1}{2} N \mu \bar{v}^2 - \frac{1}{2} \sum \sum r \Phi(r).$$

Der Ausdruck $\sum \sum r \Phi(r)$ ist nicht zu berechnen. Bestimmen wir ihn zunächst für die Wechselwirkung zwischen einem Molekül a mit dem



Fig. 14.

in einem Volumenelement dr liegenden Molekülen (Fig. 14). In diesem Volumenelement liegen im Mittel $dN = \frac{N}{V} dr$ Moleküle, so daß die Wechselwirkung zwischen diesem Volumenelement und dem Molekül a gleich ist:

$$\frac{N}{V} \Phi(r) r dr = \frac{N}{V} \Phi(r) r^2 dr \sin \theta d\theta d\varphi,$$

wenn Polarkoordinaten eingeführt werden. Betrachten wir nun weiter statt des Moleküls a ebenfalls ein Volumenelement dr' ,

so liegen in diesem $\frac{N}{V} dr'$ Moleküle, so daß wir nun für die gesuchte Wechselwirkung zwischen den Volumenelementen dr und dr' erhalten:

$$dr' \frac{N^2}{V^2} \Phi(r) r^2 dr \sin \theta d\theta d\varphi.$$

Um die gesamte Wirkung zu erhalten, ist dieser Ausdruck sowohl über dr als über dr' zu integrieren; dabei muß aber noch durch 2 dividiert werden, da bei dieser Integration jedes Volumenelement zweimal, einmal als dr , einmal als dr' auftritt. Also ist der gesuchte Ausdruck:

$$\begin{aligned} \sum \sum r \Phi(r) &= \frac{1}{2} \frac{N^2}{V^2} \int dr' \int \Phi(r) r^2 dr \sin \theta d\theta d\varphi \\ &= \frac{N^2}{V^2} \int dr' \int \Phi(r) r^2 dr. \end{aligned}$$

Da die Kräfte $\Phi(r)$ sehr schnell mit wachsendem r abnehmen sollten, so ist es statthaft, in dem letzten Integrale die obere Grenze unendlich zu nehmen, statt die Integration nur über das Volumen V auszu dehnen. Das Integral ist eine Funktion der Zeit, da r von t abhängt; der mittlere Mittelwert derselben, auf den es nun ankommt, ist aber natürlich eine Konstante. Die Integration über dr' liefert einfach V , so daß folgt:

$$\frac{1}{2} \sum \sum r \Phi(r) = \frac{N^2}{V} \int_0^\infty \Phi(r) r^2 dr.$$

oder, wenn wir

$$n \mathfrak{M}^2 \int_0^{\infty} \Phi(r) r^2 dr = n_0$$

setzen:

$$\frac{1}{2} \sum \sum \overline{r \Phi(r)} = \frac{n_0}{\mathfrak{M}^2} V.$$

Dann wird Gl. (184):

$$(181) \quad \left(p + \frac{n_0}{\mathfrak{M}^2}\right) V = \frac{1}{2} n_0 \bar{v}^2.$$

Diese Gleichung ist aber noch noch nicht vollständig. Denn bei den Zusammenstößen der als elastische Kugeln gedachten Moleküle treten ja auch noch abstoßende Kräfte auf, die zum Virial einen Beitrag leisten. Diese letztere Richtung hat zuerst H. A. Lorentz¹⁾ durchgeföhrt, und weil sie für das folgende von Belang ist, wollen wir sie hier reproduzieren, obwohl die v. d. Waals'sche Gleichung ja an sich nur eine angenäherte ist. Diesen Teil des Virials nennt Lorentz das „repulsive“ Virial; wir bezeichnen es durch R .

Es mögen also im Moment des Zusammenstoßes zwei Moleküle, d. h. wenn die Distanz ihrer Mittelpunkte (in unserem alten Beschreibungen) den Wert δ hat, das erste auf das zweite die Kraft \mathfrak{S}_1 und das zweite auf das erste die Kraft $\mathfrak{S}_2 = -\mathfrak{S}_1$ ausüben. Das repulsive Virial für diese beiden Moleküle hat also den Wert:

$$= \frac{1}{2} \mathfrak{S} \delta,$$

und das gesamte repulsive Virial erhalten wir durch Summation über alle Molekülpaaire und schließlich durch Mittelung über eine hinreichend lange Zeit τ zu:

$$(182) \quad R = -\frac{1}{2\tau} \int \sum (\mathfrak{S} \delta) dt = -\frac{1}{2\tau} \int \sum \mathfrak{K} dt.$$

Wir können nun die Reihenfolge der Summation und Integration vertauschen und finden also:

$$(183) \quad R = -\frac{1}{2\tau} \sum \int \mathfrak{K} dt.$$

Da die Kraft \mathfrak{K} nur während der Stoßdauer vorhanden ist, können wir rechts unter τ einfach diese Stoßdauer verstehen; dann bedeutet der Ausdruck $\int \mathfrak{K} dt$ die sogenannte „Stoßkraft“, die wir in Bd. I (Kap. II, pag. 115) durch $[X]$ bezeichnet hatten. Nun können wir bei dem Stoß eines der Moleküle als ruhend, das andere mit der relativen Ge-

¹⁾ H. A. Lorentz, Ges. Abhandl. 1, pag. 118.

scheinunglich α Japagen bewegt denken; ansetzen wir α in seine Komposition parallel der im Moment des Stoßes gemeinsamen Tangentialebene ($\alpha_{\perp,1}$) und senkrecht dazu ($\alpha_{\perp,2}$), so wird durch den Stoß bekanntlich nur die letztere verändert, nämlich auf Null gebracht. Nach den Gleichungen der Dynamik ist nun die Stoßkraft $[\theta]$ einfach gleich $\rho \alpha_{\perp,2}$, d. h. die Änderung der Bewegungsgröße in der Zeit τ . Also können wir für das relative Virial schreiben:

$$(134) \quad \bar{K} = - \frac{\partial}{\partial \tau} \alpha_{\perp,2},$$

wo die Summe über alle Molekelpaare zu verstehen ist, die in der Zeit τ zusammenstoßen.

Um diese Summe zu berechnen, müssen wir für alle möglichen Zusammenstöße in der Zeit τ die Größen $\alpha_{\perp,2}$ summieren. Das können wir so machen wie in Nr. 88, daß wir zunächst nur die Zahl der Stöße der Klasse α bestimmen; diese ist in den oben Beschränkungen nach Fig. 89 nach Gl. (94) pro Kubikcentimeter und pro Sekunde:

$$z_{\alpha} = \pi^2 \frac{\partial}{\partial \tau} e^{-\rho(\alpha^2 + \alpha'^2)} \beta^2 \alpha_{\perp,2} \cos \theta \cdot dK \cdot d\alpha \cdot d\alpha' \cdot d\omega \cdot d\omega' \cdot d\omega',$$

oder, da $\tau = \frac{V}{V}$ ist, und wenn zugleich mit τ multipliziert wird:

$$z_{\alpha} \tau = \frac{\pi^2 \partial}{\partial \tau} e^{-\rho(\alpha^2 + \alpha'^2)} \beta^2 \alpha_{\perp,2} \cos \theta \cdot dK \cdot d\alpha \cdot d\alpha' \cdot d\omega \cdot d\omega' \cdot d\omega'.$$

Multipliziert man diese Gleichung mit V , dem Gesamtvolumen, so entsteht links $z_{\alpha} \cdot V = \bar{Z}_{\alpha} \tau$, d. h. die Zahl der α -Stöße in der Zeit τ mal im Gesamtvolumen V , also:

$$(135) \quad \bar{Z}_{\alpha} \tau = \frac{\pi^2 \partial}{\partial \tau} e^{-\rho(\alpha^2 + \alpha'^2)} \beta^2 \alpha_{\perp,2} \cos \theta \cdot dK \cdot d\alpha \cdot d\alpha' \cdot d\omega \cdot d\omega' \cdot d\omega'.$$

Die hier auftretende Größe $\alpha_{\perp,2} \cos \theta$ ist offenbar gerade unser $\alpha_{\perp,2}$. Um die Summe der z_{α} für diese Gruppe von Molekülen zu finden, haben wir (135) nur mit $\alpha_{\perp,2} = \alpha \cos \theta$ zu multiplizieren:

$$(136) \quad \sum z_{\alpha} = \frac{\pi^2 \partial}{\partial \tau} e^{-\rho(\alpha^2 + \alpha'^2)} \beta^2 \alpha_{\perp,2}^2 \cos^2 \theta \cdot dK \cdot d\alpha \cdot d\alpha' \cdot d\omega \cdot d\omega' \cdot d\omega',$$

wo der Index α am Summenzeichen bedeuten soll, daß es sich hier immer nur um α -Stöße handelt. Um daraus die gesamte Summe $\sum z_{\alpha}$ zu bekommen, haben wir über dK , über $d\alpha \cdot d\alpha'$, über $d\omega \cdot d\omega' \cdot d\omega'$ in denselben Weisen und zwischen denselben Grenzen zu integrieren, wie in Nr. 88. Setzen wir zunächst $dK = \sin \theta \cdot d\theta \cdot d\phi$, so lautet die Integration über ϕ den Faktor 2π , die über θ den Faktor $\frac{1}{2}$, so daß wir für die Summe der z_{α} für alle Zusammenstöße zwischen einem A - und einem B -Molekül in der Zeit τ im ganzen Volumen V erhalten:

$$(137) \quad \sum z_{\alpha} = \frac{2\pi}{V} \frac{\partial}{\partial \tau} e^{-\rho(\alpha^2 + \alpha'^2)} \cdot d\alpha \cdot d\alpha' \cdot d\omega \cdot d\omega' \cdot d\omega'.$$

Für Integrationen über du , dv , $d\varphi$, du' , dv' , $d\varphi'$ führen wir dieselben Koordinaten ein wie in den Gleichungen (97) bzw. (102), so daß wir schließlich für die gesuchte Summe $\sum c_{u,v}$ schreiben können:

$$(137) \quad \sum c_{u,v} = \frac{3n}{4} \cdot \frac{W^2 \bar{u}^2 \cdot \bar{v}^2}{T^2 \bar{u}^2 \bar{v}^2} \int_0^{\frac{\pi}{2}} \int_0^{\frac{\pi}{2}} \int_0^{\frac{\pi}{2}} \int_0^{\frac{\pi}{2}} \int_0^{\frac{\pi}{2}} \int_0^{\frac{\pi}{2}} e^{-\frac{1}{2}(\bar{u}^2 + \bar{v}^2)} C^4 d\alpha d\beta d\gamma d\delta d\epsilon d\zeta \cdot \\ \cdot dC d\alpha' d\beta' d\gamma' d\delta' d\epsilon' d\zeta'.$$

Die Integrationen über α und α' liefern $4\pi^2$, die über β und β' den Faktor 4, so daß wir einfacher schreiben können:

$$(138) \quad \sum c_{u,v} = \frac{18n^2 W^2 \bar{u}^2 \cdot \bar{v}^2}{\bar{u}^2 \bar{v}^2 T^2} \int_0^{\frac{\pi}{2}} e^{-\frac{1}{2}(\bar{u}^2 + \bar{v}^2)} C^4 dC \int_0^{\frac{\pi}{2}} e^{-\frac{\bar{v}^2}{2}} d\alpha.$$

Darin kann jede der beiden noch übrigen Integrationen nach dem Muster der in No. 58 und 61 verfahrenen partiellen Integrationen ausgeführt werden; man erhält nach einfachen Rechnungen schließlich:

$$(139a) \quad \sum c_{u,v} = \frac{W^2 n \bar{u}^2 \bar{v}^2}{T^2 \bar{u}^2 \bar{v}^2} = \frac{3}{2} \cdot \frac{W^2 \bar{u}^2 \bar{v}^2}{T^2}.$$

Nach (136) folgt daraus für den Wert R des reziproken Trinks:

$$(140) \quad R = - \int_0^{\frac{\pi}{2}} \frac{\alpha \bar{u}^2 \bar{v}^2 \bar{u}^2}{T^2}.$$

wenn wir \bar{v}^2 in Übereinstimmung mit dem Früheren gleich $3 \frac{R}{m} T$ setzen. Wollen wir alles auf die Masseinheit beziehen, wie wir es in der Thermodynamik meistens getan haben, so ist $V = v$, d. h. gleich dem spezifischen Volumen, und $R\mu = 1$; also wird nach (142) b_1 zu

$$\frac{3}{4} \pi \bar{v}^2 \frac{1}{\mu} = b_1,$$

während a_1 zu

$$\frac{3\pi}{4} \cdot \frac{1}{\mu} \int_0^{\infty} \Phi(r) r^2 dr = a_1$$

übergeht, so daß wir erhalten:

$$(144) \quad \left(p + \frac{a}{v^2}\right) (v - b) = \frac{R}{m} T,$$

d. h. unsere alte Form der v. d. Waalschen Gleichung.

So haben wir also durch Anwendung der kinetischen Anschauungen auch die Korrekturen berechnet, die an den Gasgesetzen anzubringen sind und die wir früher nur empirisch einführen konnten.

Wir haben diese Rechnung besonders auch deshalb so ausführlich wiedergegeben, um die physikalische Bedeutung der Größe b , als die des vierfachen Korrelationskoeffizienten. Diese schraubensinnlich ist, obgleich für die Molekulartheorie wichtige Zahlenwerte herausstellen.

Beziehen wir b_1 auf die Menge eines Mols, d. h. setzen wir $N = N_0$ der Avogadroscchen Zahl, so ist nach (142):

$$(145) \quad b_1 = \frac{3}{4} \pi N_0 \bar{v}^2,$$

und diese Gleichung wollen wir mit der Clausius-Maxwellischen (106) für die mittlere freie Weglänge kombinieren, in der wir ebenfalls $N = N_0$ einführen, wo V das Molvolumen ist:

$$(146) \quad \bar{l} = \frac{V}{\frac{1}{2} \pi N_0 \bar{v}^2}.$$

Das Produkt beider Gleichungen liefert:

$$b_1 \bar{l} = \frac{3}{4} \pi b \cdot V;$$

wir erhalten also für den Molekulardurchmesser b :

$$(147) \quad b = \frac{4}{3} \frac{b_1 \bar{l}}{V}.$$

Man hat nach dieser und ähnlichen Methoden etwa folgende Werte gefunden:

Gas	$b \cdot 10^8$ cm
H_2	2,4—30,8
N_2	1,7—27,8
O_2	1,8—26,7
CO_2	8,8—36,8
Cl_2	1,8—31,7

Oftweil diese Zahlen sehr starklich schwanken, so ist doch als sicher zu betrachten, daß die Größenordnung von 10^{-6} cm richtig gegeben ist. Denn alle Methoden stimmen darin überein.

Setzt man den Wert von d in (145) oder (148) ein, so erhält man

bracht worden sind. In diesem Nummer wollen wir zunächst den ersten Extremfall behandeln.

Die Kapillare habe den Radius ϱ ; der variable Abstand von der Achse werde entsprechend mit r bezeichnet; die Länge der Kapillare sei l , an dem einen Ende desselben wirke der Druck p_1 , am anderen habe er den Wert p_2 . Diese Druckdifferenz erzeugt eine Strömung des Gases durch die Kapillare, die unter dem Einfluß der im Gas und an der Wandung vorhandenen Reibungskräfte stationär wird. In diesem Zustande müssen sich also die Druckkräfte und die Reibungskräfte des Gleichgewichts halten.

In Fig. 68 betrachten wir einen im Innern der Kapillare liegenden Hohlzylinder mit dem inneren Radius ϱ und dem äußeren $(\varrho + \delta\varrho)$. Die

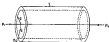


Fig. 68.

Grundfläche dieses Hohlzylinders ist offenbar $2\varrho\pi\delta\varrho$, also ist die Größe der Druckkraft K auf das in ihm enthaltene Gas:

$$(65) \quad K = (p_1 - p_2) 2\varrho\pi\delta\varrho.$$

Auf diese Gasmenge wirken nun Reibungskräfte von den Gaspartien, die bereits im Innern des Hohlzylinders, anderwärts im Äußeren strömen; die innere Gasmenge strömt rascher, die äußere langsamer. Die im Auge gefaßte Gasmenge im Hohlzylinder wird also durch die Reibungskräfte auf der Innenseite (an der Stelle ϱ) beschleunigt, durch die an der Außenseite (an der Stelle $\varrho + \delta\varrho$) wirkenden dagegen verzögert. Nennen wir die erstere R_1 , die letztere R_2 , so sind sie nach den allgemeinen Gleichungen der Reibung (vgl. Bd. I, pag. 377) von folgender Form:

$$(66) \quad \begin{cases} R_1 = -\eta F_1 \cdot \left(\frac{dw}{dr} \right)_{r=\varrho}, \\ R_2 = +\eta F_2 + \delta\varrho \cdot \left(\frac{dw}{dr} \right)_{r=\varrho+\delta\varrho}, \end{cases}$$

wenn η die (mittlere) Geschwindigkeit der im Hohlzylinder strömenden Gasmasse parallel der Achse, F_1 die innere, $F_2 + \delta\varrho$ die äußere Mantelfläche unseres Hohlzylinders bedeutet, die Vorzeichen sind entsprechend der Tatsache gewählt, daß R_1 beschleunigend, R_2 verzögernd wirkt, d. h. so, daß $R_1 > 0$, $R_2 < 0$ ist, da $\frac{dw}{dr}$ selbst negativ ist. Indem man

und beachtet, daß $P = 2\pi r l$, $P_{r+dr} = 2\pi(\frac{1}{2} + dr)r l$ ist, erhält man aus (181) und (182) die Gleichgewichtsbedingung:

$$(p_1 - p_2) 2\pi r dr - \eta 2\pi r l \left(\frac{dw}{dz} \right)_{r+\frac{1}{2}dr} + \eta 2\pi r (\frac{1}{2} + dr) l \left(\frac{dw}{dz} + \frac{dw}{dz} dr \right) = 0.$$

Im letzten Gliede ist dabei $\left(\frac{dw}{dz} \right)_{r+\frac{1}{2}dr}$ nach Taylor in der üblichen Weise bis zum ersten Gliede entwickelt. Man erhält dann durch elementare Auswertung die folgende Differentialgleichung für die Stromungsgeschwindigkeit w :

$$(183) \quad -\frac{P_2 - P_1}{\eta l} = \frac{dw}{dz} + \frac{1}{r} \frac{dw}{dz} r.$$

Die linke Seite ist für eine bestimmt gewählte Versuchsanordnung eine Konstante; zwecks Integration kann die Gleichung geschrieben werden:

$$(183a) \quad \frac{d}{dz} \left(r \frac{dw}{dz} \right) = -\frac{P_2 - P_1}{\eta l} r.$$

In dieser Form ist sie sofort durch Quadraturen integrierbar und liefert dann w als Funktion von z :

$$(184) \quad w = -\frac{P_2 - P_1}{4\eta l} z^2 + A \log z + B,$$

wo A und B willkürliche Integrationskonstanten sind. Da für $z = 0$, d. h. in der Rohrmitte, w jedenfalls endlich sein muß, muß $A = 0$ sein; die Konstante B hängt von der Bedingung ab, die an der Rohrwandung, d. h. für $r = r_0$, vorzuschreiben ist. Welche Geschwindigkeit sich an der Wand ausgebildet, hängt von der Art der Zusammenstoße der Gas-moleküle mit der Wand ab, und man muß versuchen, dies kinetisch zu versuchen. Dies wollen wir in den nächsten Nummern tun, hier dagegen wollen wir uns auf die experimentelle Tatsache stützen, daß für Gasdrücke bis zu etwa 50 mm Hg beobachtet wurde, daß das Gas an der Wand haftet, wie man es für die tropfbaren Flüssigkeiten gewohnt ist (siehe Bd. I, pag. 955); für geringere Drücke findet ein „Gleiten“ an der Wand statt, das wir erst in den nächsten Nummern genauer diskutieren wollen.

Setzen wir also hier $w_0 = 0$ voraus, so erhält man aus (184):

$$0 = -\frac{P_2 - P_1}{4\eta l} r_0^2 + B,$$

also:

$$(185) \quad w = -\frac{P_2 - P_1}{4\eta l} \left(z^2 - r_0^2 \right),$$

was sich in der Tat in vollkommener Übereinstimmung mit Gleichung (93) auf pag. 315 des ersten Bandes befindet. Für das Durchflußvermögen V pro Sekunde erhält man aus (185) durch Integration über den Querschnitt der Kapillare:

$$(186) \quad V = \frac{\pi(P_2 - P_1)rl}{4\eta l}.$$

eine Gleichung, die natürlich auch mit der entsprechenden Gleichung (37) auf pag. 345 des ersten Bandes übereinstimmt. Multipliziert man beide Seiten mit der Dichte ρ (d. h. der mittleren Dichte ρ , die dem mittleren Drucke $p = \frac{R}{V} \frac{dM}{dV}$ entspricht), so findet man, wenn $\rho V = M$ gesetzt wird:

$$M = \frac{\rho(R_1 - R_2)V}{R_1},$$

oder, wenn man schließlich $\frac{M}{R_1 - R_2}$, d. h. die zureichende Menge pro Sekunde und Einheit des Druckunterschiedes, durch M bezeichnet:

$$(137) \quad M = \frac{\rho R_1}{R_1} \rho.$$

Setzt man endlich nach der Zustandsgleichung idealer Gase (s. B. Gleichung (37) Kap. VIII, pag. 393)

$$\rho = \frac{m}{R} \frac{p}{T},$$

wo m das Molekulargewicht, R die absolute Gaskonstante, T die absolute Temperatur des Gases ist, so erhält man schließlich die folgende Gleichung:

$$(138) \quad M = \frac{R_1 R_2}{R_1 T} \cdot \frac{m}{RT} \cdot p.$$

d. h. man erhält bei konstanter Temperatur T strenge Proportionalität zwischen M und p , wenn das Polarisierende Gas ein gilt, d. h. wenn kein Gleiten am Rande des Rohres stattfindet.

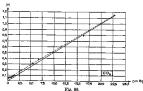


Fig. 33.

Wie schon erwähnt, ist dies nach Anwesen der Kohlung für nicht zu hohe und nicht zu kleine Drücke der Fall; für hohe Drücke versagt die Gleichung, weil dann die Gase nicht mehr als ideal betrachtet werden können. Nachdem schon Warburg 1905 die Gültigkeit von (138) für Gase geprüft hatte, hat 1909 Knudsen noch einmal genaue Beobach-

In der ersten Gleichung (150) ist $u_{01} = u_0$ die relative Geschwindigkeit, mit welchem Gas und Wandung; das Mikroskopien führt dabei, daß u_0 positiv ist, im Gegensatz zu $\frac{dw}{dz}$, das in der analogen zweiten Gleichung (151) auftritt; der Proportionalitätsfaktor η_0 heißt der „Koeffizient der äußeren Reibung“. In (150) ist auch

$$P_{01} = 2 p_0 \pi l \quad \text{und} \quad P_{01+12} = 2 \pi l (p_1 - p_0) l$$

zu setzen; entwickelt man ferner $\left(\frac{dw}{dz}\right)_{z=0}$ nach Taylor, so erhält man die Gleichgewichtsbedingung:

$$2 \pi p_1 d_p (p_1 - p_0) - \eta l 2 \pi (p_0 - p_1) \left[\left(\frac{dw}{dz}\right)_{z=0} - \left(\frac{dw}{dz}\right)_{z=0} d_p \right] - \eta_0 2 \pi l u_{01} = 0.$$

Die Glieder, die mit d_p und d_p^2 befaßt sind, sind unendlich klein gegen die beiden Glieder

$$\eta l p_1 \left(\frac{dw}{dz}\right)_{z=0} + \eta_0 2 \pi l u_{01},$$

die sich also für sich allein analysieren lassen. Also folgt für die Geschwindigkeit $u_{01} = u_0$ am Rande des Rohres:

$$(151) \quad u_0 = u_{01} = - \frac{\eta}{\eta_0} \left(\frac{dw}{dz}\right)_{z=0}.$$

Diese Gleichung ist nun mit (154), wenn d gleich Null zu setzen ist, zu kombinieren, um B zu bestimmen. Man erhält in leichter Bedienung:

$$(152) \quad w = - \frac{B_1 - B_2}{4 \eta l} p_0 \left\{ r^2 - r_1^2 - \frac{2 r_1 B_1}{\eta_0} \right\}.$$

Die Größe

$$(153) \quad \frac{\eta}{\eta_0} = \zeta$$

heißt der „Gleitungskoeffizient“; damit wird dann (152):

$$(154) \quad w = - \frac{B_1 - B_2}{4 \eta l} p_0 \left\{ r^2 - r_1^2 - 2 \zeta r_1 \right\}.$$

Geht man nun durch Integration über den Rohrquerschnitt zu dem am Mikroskopieeffekt der Flüssigkeit, so erhält man, wenn man (154)

oder, wieder unter Benutzung der Zustandsgleichung für die ideale Gase:

$$(187) \quad M = \frac{pV}{v_0} = \frac{p}{RT} \left(1 + \frac{2i}{\epsilon} \right).$$

Diese Gleichung unterscheidet sich nur durch den Klammerausdruck von der bisher benutzten Gleichung (183).

Die bisherigen Betrachtungen haben nur insofern etwas mit der kinetischen Theorie zu tun, als wir für den Reibungskoeffizienten η seinen Wert nach Gleichung (187) einsetzen können. Im übrigen war die Ableitung wesentlich hydrodynamisch, d. h. phänomenologisch. Es kommt nun darauf an, die phänomenologisch eingeführte Größe $\zeta = \frac{\eta}{\rho_0}$ kinetisch zu verstehen, also etwa mit der Dichte, dem Druck, der mittleren Geschwindigkeit der Moleküle, der freien Weglänge usw. in Verbindung zu bringen.

Es diesem Zwecke muß man genauer auf den Vorgang eingehen, der sich abspielt, wenn ein Molekül des strömenden Gases auf die Wand trifft: Es muß dort ein Prozeß vor sich gehen, der jedem mit der Wand zusammenstoßenden Molekül Bewegungsgröße oder Impuls erteilt.

Wäre die Wand absolut glatt, so würde regelmäßige Reflexionen der Moleküle an derselben stattfinden, d. h. die Bewegungsgröße parallel der Rohrwand eines reflektierten Moleküls würde genau so groß sein wie die eines ankommenden. So kann der Vorgang sich also nicht abspielen. Und das ist auch durchaus plausibel: Denn mit molekularen Kollisionen gemessen ist natürlich jede Wand ein selbst reibend und unregelmäßiges Gefüge. Nimmt man die Masse eines Gasmoleküls μ , seine (mittlere) Stromungsgeschwindigkeit parallel der Wand u , so ist sein Impuls parallel der Wand μu . Damit das Perronellische Gesetz gilt, mußte das Molekül nach dem Zusammenstoß mit der Wand den Impuls $-\mu u$ parallel der Wand haben; denn da im stationären Zustande eine ebenso große Anzahl von Molekülen auf die Wand trifft, wie derselbe verläßt, muß der Gesamtimpuls parallel der Wand der ankommenden und zurückkehrenden Moleküle gleich Null sein, damit also keine Gleitung an derselben stattfindet. Die Impulsänderung im Falle der Gültigkeit des Perronellischen Gesetzes ist also für jedes anprallende Molekül $2\mu u$. Im Falle einer absolut glatten Wand wäre die Impulsänderung gleich Null. Zwischen diesen beiden Extremen liegt die Wirklichkeit, so daß man die Impulsänderung im allgemeinen gleich $\gamma\mu u$ setzen kann, wo $0 \leq \gamma \leq 2$ sein muß; wie groß γ ist, hängt von den jeweiligen Umständen, der Natur der Wand und des Gases ab.¹⁾ Man hat jetzt nur noch

¹⁾ Die obige Darstellung schließt sich an die elementare Theorie von J. E. Mayer, *Kinetische Theorie der Gase*, 2. Aufl., pag. 203 ff. an; die Herleitung des Terms $\gamma\mu u$ von dem von Mayer ab, da die prinzipielle Fehler der Mayerischen Darstellung beseitigt wurde.

die Zahl der Moleküle zu bestimmen, die die Flächeneinheit der Wand treffen. Dann liefert ihre gesamte Impulsänderung parallel der Wandung die Berührungskraft, die das Gas auf die Flächeneinheit der Wand ausübt; derselbe Wert, negativ genommen, liefert also die vorhin mit P_x/P bezeichnete Kraft der äußeren Berührung, die die Flächeneinheit der Wand auf das Gas ausübt.

Betrachten wir also zunächst die Moleküle von der Geschwindigkeit c_1 , deren Geschwindigkeitsrichtungen mit der Wandnormale Winkel zwischen θ und $\theta + d\theta$ bilden; solche Moleküle hatten wir in No. 80 als $(1/\theta)$ -Moleküle bezeichnet, und in Gleichung (8) auf pag. 84 war auch die Anzahl derselben berechnet, die pro Sekunde mit der Flächeneinheit der Wand vom Stoß kommt; nennen wir n_1 die Anzahl der $(1/\theta)$ -Moleküle im Kubikcentimeter, so sind es

$$(18) \quad \frac{1}{4} n_1 c_1 \sin \theta \sin \theta d\theta \quad \text{Moleküle.}$$

Laufen wir nun θ alle möglichen Richtungen annehmen, d. h. zwischen 0 und $\pi/2$ variieren, so haben wir die Zahl aller Moleküle mit der Geschwindigkeit c_1 (die wir in No. 80 als 1-Moleküle bezeichnet hatten), die pro Sekunde die Flächeneinheit der Wand erreichen, durch eine Integration über θ zwischen diesen Grenzen; das liefert

$$(19) \quad \frac{1}{4} n_1 c_1 \quad \text{Moleküle.}$$

Da jedes von ihnen den Impulsverlust $\gamma \mu u$ erleidet, so ist die Kraft, die von diesen 1-Molekülen auf die Flächeneinheit der Wand ausgeht, wird:

$$\frac{\gamma}{4} \mu u = n_1 \alpha_1;$$

also die von Molekülen aller Geschwindigkeiten ausgehende Kraft:

$$\frac{\gamma}{4} \mu u = \sum n_1 \alpha_1,$$

wobei die Summe über alle Geschwindigkeiten zu erstrecken ist. Daher ist E_x , wenn v die Gesamtzahl der Moleküle im Kubikcentimeter, \bar{c} ihre mittlere Geschwindigkeit bedeutet:

$$E_x = - \frac{\gamma}{4} \mu v \bar{c} = P_x;$$

mit P_x ist, wie in Gleichung (15), die Gesamtkraft der Wand bezeichnet.

Nun müssen wir noch w , d. h. die Geschwindigkeitskomponente des einströmenden Gases parallel der Wand in Zusammenhang bringen mit w_n , d. h. der resultierenden Strömungsgeschwindigkeit des Gases an der Wand. Diese letztere ist das arithmetische Mittel der Strömungsgeschwindigkeit der auf die Wand auftreffenden und der die Wand verlassenden Moleküle; die Geschwindigkeit der letzteren ist nun $w' = w(1-f)$, wie aus der Bedeutung des Koeffizienten f hervorgeht. Mittels ist:

$$w_n = \frac{w + w'}{2} = \frac{w(2-f)}{2},$$

oder:

$$w = \frac{2}{2-\gamma} w_0.$$

Damit wird unsere Gleichung für P_0 :

$$(170) \quad \frac{P_0}{\rho_0} = -\frac{\gamma}{2} \mu r^2 \cdot \frac{2}{2-\gamma} w_0,$$

und der Vergleich von (168) und (170) liefert für den Koeffizienten der äußeren Störung:

$$(171) \quad w_0 = \frac{\gamma}{2} \cdot \frac{\mu r^2}{2-\gamma} = \frac{1}{2} \cdot \frac{\gamma}{2-\gamma} r^2,$$

da μ r gleich der Dichte ρ des Gases ist.

Für den Gleitkoeffizienten ζ findet man also nach (168):

$$(172) \quad \zeta = \frac{3R - r}{\gamma + 1} \cdot \eta.$$

Diese Gleichung wollen wir noch ein wenig umformen, um später einen Vergleich mit einer ganz strengen Theorie durchführen zu können. Zunächst kann man in der Zustandsgleichung der idealen Gase

$$p = \frac{1}{3} \rho v^2,$$

die Größe v^2 unter Berücksichtigung von (64) und (65) ersetzen durch $\frac{2\pi}{3} \langle r^2 \rangle$, d. h. man kann der Zustandsgleichung die Form geben:

$$p = \frac{\pi}{3} \rho \langle r^2 \rangle,$$

woraus für ζ die Darstellung folgt:

$$(173) \quad \zeta = \sqrt{\frac{r^2}{3}} \cdot \sqrt{\frac{p}{\rho}}.$$

Die wir in (172) einsetzen können. Ferner kann man für $\sqrt{\frac{p}{\rho}}$ den Wert $\sqrt{\frac{RT}{m}}$ einsetzen, wo m das Molekulargewicht des Gases ist, und ebenso ersetzen wir $\frac{1}{\rho}$ durch den Wert $\frac{1}{\rho} = \frac{RT}{p}$. Nach Durchführung dieser elementaren Operationen findet man die folgende Gleichung für ζ :

$$(174) \quad \zeta = \sqrt{\frac{r^2}{3}} \cdot \frac{3-r}{\gamma} \cdot \sqrt{\frac{RT}{m}} \cdot \frac{1}{\rho} \cdot \eta.$$

Um die Größe des Gleitkoeffizienten zu bestimmen und ihn in Zusammenhang mit der freien Weglänge zu bringen, müssen wir in (174) η durch seinen Wert gemäß (131) ersetzen. Das ergibt die einfache — natürlich mit (174) identische — Formel:

$$(175) \quad \zeta = \frac{2}{3} \cdot \frac{3-r}{\gamma} \lambda.$$

Man erkennt zunächst daraus, daß der Gleitkoeffizient eine im allgemeinen sehr kleine Größe von der Ordnung der freien Weglänge λ

ist, beträchtlich und wahrscheinlich kann die Gleitung daher nur dann werden, wenn \bar{I} von derselben Größenordnung wird wie der Halbradius (denn in Gleichung (167) tritt das Verhältnis $\frac{\bar{I}}{R}$ auf), d. h. bei geringen Dichten, da \bar{I} , wie wir schon früher sahen, dem Drucke p umgekehrt proportional ist. Gleichung (170) erfüllt also — wie (176) — die Behauptung, daß nach der kinetischen Theorie der Gleitungskoeffizient ζ dem Drucke umgekehrt proportional sei. Dies letztere haben aber in der Tat schon 1875 Knudsen und Warburg aus ihren Messungen abgeleitet.

Setzt man den Wert (165) des Gleitungskoeffizienten ζ in (167) ein, so findet man:

$$(176) \quad M = \frac{\pi p \bar{I}}{R \bar{I}} \cdot \frac{\pi p}{R \bar{I}} \left(1 + \frac{R}{\bar{I}} \cdot \frac{\bar{I} - r}{r} \cdot \frac{\bar{I}}{R} \right).$$

Darin wollen wir, um die Abhängigkeit des Klammerausdrucks vom Druck p zum Ausdruck zu bringen, rein formal

$$\frac{R}{\bar{I}} \cdot \frac{\bar{I} - r}{r} \cdot \frac{\bar{I}}{R} = \frac{r}{\bar{I}}$$

setzen und gewinnen so die Darstellung:

$$(176a) \quad M = \frac{\pi p \bar{I}}{R \bar{I}} \cdot \frac{\pi}{R \bar{I}} r + \frac{\pi \bar{I}}{R \bar{I}} \frac{\pi r}{R \bar{I}}.$$

Gibt man also zu geringen Dichten über, so muß sich nämlich der Glied πp neben \bar{I} bemerkbar machen, und dann muß die Gerade, die M als Funktion von p darstellt, von der in Fig. 16 ausgehenden Gerade durch den Anfangspunkt noticeably abweichen, und zwar in dem Sinne, daß die Werte M oberhalb dieser Geraden liegen, also zu groß ausfallen. Damit ist die schon in der vorhergehenden Nummer hervorgehobene Abweichung der Beobachtungspunkte von der Poissonischen Gerade erklärt. Die Rechnung ist gleichbedeutend mit einer schätzbaren Veränderung des Reibungskoeffizienten η bei abnehmendem Druck und genau das, was Knudsen und Warburg 1875 konstatierten. —

Der Mangel dieser Theorie der Gleitung ist vom kinetischen Standpunkte vor allem⁷⁾ der, daß der in (174) bzw. (178) auftretende Zahlenfaktor γ rein phänomenologisch eingeführt worden ist und keine kinetische Deutung erfahren hat. Ein zahlenmäßiger Vergleich der Formel (174) mit der Erfahrung ist daher gar nicht möglich, da die Größe von γ eben nicht von der Theorie geliefert worden ist. Wollte man diese Größe γ kinetisch bestimmen, so müßte man, wie schon mehrfach erwähnt, ganz bestimmte Voraussetzungen über die Natur der Wandung und damit der Zusammenstoße zwischen Gas- und Wandmolekülen machen. Die störrische Theorie, die dies in exakter Weise durchgeführt

⁷⁾ Außerdem gelten auch die meisten kinetischen Rechnungen, die schon in Nr. 36 hervorgehoben wurden.

hat, rührt von Bausch²⁾ her, der die Wand als ein reguläres Baumgitter vorstellt, dessen Gitterpunkte ihrer Temperatur entsprechend hin und her schwingen. Bausch gelangt auf diese Weise zu einer realen Formel für γ , die zusammenzutreffen mit (174) bzw. (175) vollkommen identisch ist, nur daß der Faktor $\frac{2-\alpha}{\gamma}$ bei Bausch eine ganz bestimmte kinetische Deutung erfährt und einen ganz bestimmten numerischen Wert hat. Hier muß es genügen, auf diese exakte Theorie hinzuweisen; uns kann es hier nur auf die Deutung des Grundgedankens an, und es ist wohl beruhigend, daß die hier entwickelte elementare Theorie so gut mit der strengen Theorie übereinstimmt. Man sieht jedenfalls, daß die kinetische Auffassung auch die Ableitung der Gleitung richtig zu deuten und zu erklären vermag.

Bausch in Nr. 96 haben wir darauf hingewiesen, daß auch bei der Wärmeleitung eine der Gleitung ganz analoge Erscheinung auftritt, wenn die mittlere freie Weglänge λ vergleichbar mit den linearen Dimensionen des Gefäßes wird: Der Gleitung, d. h. der Unstetigkeit der Geschwindigkeit an der Wand, entspricht bei der Wärmeleitung eine Unstetigkeit der Temperatur derselben, die „Temperatur sprung“. Ohne hier näher darauf einzugehen, sei noch bemerkt, daß Bausch in der genannten Arbeit auch bei dieser Vorgang die exakte Theorie entwickelt hat. Die drei gefundenen Beziehungen zwischen dem hier eingeführten Koeffizienten γ des Geschwindigkeitssprungs und dem analog in der Theorie der Wärmeleitung auftretenden Koeffizienten des Temperatursprungs haben sich experimentell durchaus bestätigt.

54. Leitung von Gasen durch Kapillaren: Knudsen-Molekularkinetik.

Geht man zum extremsten Vakuum über, so wird die freie Weglänge schließlich sogar groß gegen die linearen Dimensionen des Gefäßes. Die Folge davon ist die, daß die Zusammenstöße der Gasmoleküle untereinander an Bedeutung vollkommen zurücktreten hinter den Zusammenstoß der Moleküle mit den Wandmolekülen. Wenn die Zahl N der

Beide in quantitativ erschäufbarer Weise getan hat. Der erste, der dies in einfacher Weise durchgeführt hat, ist Maxwell gewesen. Man kann eine Wand „absolut reakt“ nennen, wenn ein auftreffendes Gasmolekül in dem Gewebe der Wandmoleküle, zwischen denen es zunächst hin und her gewandert wird, seine ursprüngliche Geschwindigkeit vollkommen verliert: Maxwell nennt ein solches Gasmolekül dann von der Wand „absorbiert“. Es wird dann von der Wand infolge ihrer Fortbewegung schließlich wieder abgetrennt mit einer Geschwindigkeit, die der Wandtemperatur entspricht, aber in unbestimmter Richtung; diesem Vorgang nennt Maxwell passend die „Wiederverdampfung“ eines „absorbierten“ Moleküls. Die Geschwindigkeit eines solchen wieder verdampften Moleküls hat demnach mit gleicher Wahrscheinlichkeit jede Richtung, ganz gleichgültig, welche Geschwindigkeitsrichtung ihm vor dem Zusammenstoß mit der Wand nahm. Unter diesen Umständen ist für ein die Wand wieder verlassendes Gasmolekül selbst zur Wand im Mittel die Geschwindigkeitskomponente parallel der Wand Null¹⁾, d. h. in unserer früheren Bezeichnungswise ist der Koeffizient $\gamma = 1$. Wir wollen im folgenden mit Knudsen der Einfachheit halber annehmen, daß die betrachteten Wände „absolut reakt“ seien, was natürlich eine Idealisierung der wirklichen Vorgänge ist.²⁾

Denn wir nun auf unser eigentliches Problem, nämlich auf das Strömen sehr verdünnter Gase durch Kapillaren eingehen, wollen wir zunächst an einem ganz einfachen Beispiel zeigen, wie sich die Verhältnisse jetzt total gegen die in Nr. 30 behandelten verändert haben. Wir laufen wieder zu die Anordnung der Fig. 33 an: Eine ruhende Platte, die mit der y -Ebene zusammenfällt, sowie eine parallel dazu im Abstande l mit der Geschwindigkeit U bewegte Platte; der Zwischenraum sei mit hochverdünntem Gas gefüllt. Wir können auch etwas allgemeiner annehmen, daß die erste Platte die Geschwindigkeit U_1 habe, so daß die relative Geschwindigkeit der zweiten Platte gegen die erste ($U_2 - U_1$) als beide Platten ruhen als absolut reakt vorausgesetzt.

Im stationären Zustande gehen dann von der Flächeneinheit der ersten Platte pro Sekunde nach (169) $\frac{1}{4}n_1 \bar{c}$ Moleküle aus, d. h. solche, die die Geschwindigkeit c_1 in irgendeiner Richtung besitzen, also $\sum \frac{1}{4}n_1 c_1$ Moleküle aller vorwärtsgewandten Geschwindigkeiten. Dabei kann man offenbar $\frac{1}{4}n_1$ setzen, wenn \bar{c} die mittlere Geschwindigkeit der Moleküle ist; nach dem vorher Gesagten ist die mittlere relative Geschwindigkeitskomponente parallel der Wand für diese Moleküle gleich Null, dagegen

¹⁾ Derselbe besitzt die Konstruktion der Molekülschlepppumpe von Oueda (Ann. d. Phys. 41, pag. 555E., 1912).

²⁾ Im allgemeinen wird nur ein Teil der Moleküle so vollständig reaktiv sein, als ob die Wand absolut reakt wäre, der andere Teil wird z. B. regelmäßig reflektiert werden usw.

bedinge da relativ zur zweiten Platte eine Geschwindigkeitskomponente $-(C_1 - C_2)$. Da keine Zusammenstöße der Moleküle untereinander stattfinden, erreichen diese ausfliehenden Moleküle die zweite Platte, werden dort „absorbiert“, d. h. nehmen relativ zu dieser Platte die mittlere Geschwindigkeit Null parallel der Wand an, jedes Molekül gerät mit anderem Werten relativ zur ersten Platte die Geschwindigkeitskomponente $(C_1 - C_2)$; insgesamt erfahren also sämtliche Moleküle pro Sekunde die Impulsvermehrung:

$$(177) \quad \frac{1}{4} \rho (C_1 - C_2) = \frac{1}{4} \rho (C_1^2 - C_2^2).$$

Denselben schwindlichen Impulsverlust erfährt die Wand, d. h. auf sie wirkt eine Reibungskraft pro Flächeneinheit, deren absoluter Betrag

$$(178) \quad \left| \frac{\delta}{\mathcal{F}} \right| = \frac{\rho}{4} (C_1^2 - C_2^2)$$

ist. Daraus können wir sehen, indem wir die ideale Gasgleichung und die Gleichung (176) für ρ einsetzen:

$$\tau = \frac{\rho}{2\eta} \quad ; \quad \tau = \sqrt{\frac{2}{\pi}} \sqrt{\frac{\rho}{\eta}}.$$

Dann folgt für den Abschiebetrag der Reibungskraft pro Flächeneinheit:

$$(179) \quad \left| \frac{\delta}{\mathcal{F}} \right| = \frac{1}{\sqrt{2\pi}} \tau \sqrt{\frac{\rho}{\eta}} (C_1^2 - C_2^2).$$

Man erkennt den fundamentalen Unterschied gegen die bisherige Formeln der Kr. 80: Früher war die Reibungskraft proportional dem Geschwindigkeitsgefälle (dem Gradienten der Geschwindigkeit), hier dagegen der Differenz der Geschwindigkeiten, da der Abstand l der beiden Platten in die Formel (178) gar nicht eingeht. Ferner ist nach (179) die Reibungskraft dem Druck p proportional, während sie sich früher als vom Druck p unabhängig erwies. Auch die Temperaturabhängigkeit ist nach (178) vollkommen andere wie früher.

Genau analoge Formeln ergeben sich auch für die Wärmeleitung durch hochverdünnte Gase, wozu wir hier nur kurz verweisen wollen.

Nachdem wir im vorhergehenden Beispiel gesehen haben, wozu der kolossale Unterschied zwischen dem Verhalten der Gase bei normalem Druck und bei hohem Vakuum beruht, nämlich auf dem Fortfall der Molekülzusammenstöße im letzteren Falle, können wir jetzt das Problem der Stromung eines hochverdünnten Gases durch ein Kapillarrohr nach erledigen. Man hat nur zu bedenken, daß in unserer allgemeinen Formel (179) das erste (Präzessions-) Glied nicht nur vollkommen gegen das zweite verschwindet, sondern sogar vollkommen weggelassen werden muß. Denn die Gültigkeit dieses Präzessions-Gliedes war ja an das Vorhandensein der Zusammenstöße zwischen Gasmolekülen gebunden, da wir bei der Ableitung mit der damals bestehenden Reibungskonstanten η operiert haben. Der Ableitung dieses Gliedes ist daher der Boden jetzt

entstehen. Indem wir also das Polyzellulose-Glied streichen und nach dem Vorhergehenden $p = 1$ setzen, erhalten wir aus (176) für die sogenannte „Molekularstromung“, die von Knudsen zuerst beobachtet wurde:

$$M = \frac{\pi r^2}{8\eta} \cdot \frac{\pi p}{2\sqrt{\pi}} \bar{c},$$

oder, wenn $\eta = \frac{1}{2} r \bar{c} \bar{l}$ gesetzt wird¹⁾:

$$(180) \quad M = \frac{\pi r^2}{2\sqrt{\pi}} \cdot \frac{\pi p}{2\sqrt{\pi}} = \sqrt{\frac{r}{\pi}} \cdot \frac{\pi p}{2} \cdot \sqrt{\frac{r}{\pi}}.$$

Die Größe $\sqrt{\frac{r}{\pi}}$ ist unabhängig vom Druck; nennt man im Anschlusse an Knudsen a_1 die Dicke, die dem Werte $p = 1$ entspricht, so ist $\sqrt{\frac{r}{\pi}} = \sqrt{a_1}$, und (180) geht über in:

$$(181) \quad M = \frac{\pi \bar{c}}{\left(\frac{1}{a_1}\right)} \sqrt{\frac{r}{\pi}},$$

oder, wenn die Größe

$$(182) \quad W = \sqrt{\frac{r}{\pi}} \cdot \frac{1}{a_1}$$

mit Knudsen als „Widerstand des Kapillarrohrs“ bezeichnet wird:

$$(183) \quad M = \pi \bar{c} W.$$

Die Größe W hängt nach (182) nur von den Dimensionen des Rohres ab, und aus (183) ergibt sich die Folgerung, daß die Größe M , der pro Sekunde und pro Einheit der Druckdifferenz durchströmende Menge Gas, unabhängig vom Druck ist, während die Polyzellulose-Streuung dem Druck p in Streng proportional ist. Nicht daher der Druck so tief, daß an Stelle der Polyzellulösen Streuung die hier behandelte Molekularstreuung nach (183) tritt, so fließt durch eine Kapillare unter gleichen Umständen viel mehr Gas hindurch, als nach Polyzellulose der Fall wäre. In einem bestimmten Falle hat Knudsen gezeigt, daß die 8000-fache Menge Gas durch ein gegebenes Rohr hindurchströmt.

Knudsen hat zuerst (1808) also der Gleichung (180) analog, aber mit der nicht ganz ideale Formel ausgestattet und ihre Hauptfolgerung, nämlich Unabhängigkeit der Durchflußmenge vom Druck, vollkommen bestätigt; seine Messungen an O_2 bei tiefen Drucken sind in Fig. 67 wiedergegeben; um die Beobachtungen überhaupt graphisch darstellen zu können, ist der Abszissenmaßstab logarithmisch aufgetragen. Man erkennt in der

¹⁾ Die Bedeutung dieser Gleichung ist natürlich streng genommen aus denselben Gründen unklar; durch eine etwas andere Föhrung der Rechnung läßt sich das Problem beseitigen.

ist die völlige Druckunabhängigkeit der Größe M . Dieses Ergebnis ist später 1918 von Gouda bestätigt worden; seine Messungen an N_2 und Ar sind gleichfalls in der Fig. 65 eingetragen.

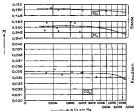


Fig. 65.

Abstände, aber ebenfalls nicht ganz mit Knudsen identische Formeln sind von Smoluchowski und Jäger aufgestellt worden. Keine der bisher gegebenen Ableitungen ist aber als streng oder befriedigend zu betrachten, wenn auch die wesentlichen Züge der von Knudsen beobachteten Erscheinungen richtig wiedergegeben werden. Darauf können wir uns hier begnügen und schließen unseren kurzen Überblick über die Hauptgesetze der kinastischen Theorie der Gase damit ab. Im folgenden Kapitel werden wir uns vor allem Dingen mit einer mechanischen Deutung des Entropiebegriffs und des zweiten Hauptsatzes befassen.

Sechstes Kapitel.

Entropie und Wahrscheinlichkeit.

§6. Stoß elastischer Kugeln.

Wir haben bereits mehrmals von dem Gesetze des elastischen Stoßes Gebrauch gemacht, ohne indessen die expliziten Formeln zu benutzen; was wir bisher verwendet haben, waren die Erhaltungssätze für Impuls und Energie, aus denen sich die expliziten Stoßgesetze natürlich sofort ergeben. Bei den folgenden Auseinandersetzungen werden wir auch diese letzteren brauchen, besonders die diejenigen, welche die Komponenten der Geschwindigkeit kollon nach dem Stoße ausdrücken lassen durch die Komponenten der Geschwindigkeiten vor dem Stoße, und umgekehrt. Es ist daher zweckmäßig, sie hier alle zusammenzustellen.

Betrachten wir als stoßende Körper starke Kugeln gleicher Masse, so haben wir zwei Arten von Stoßen zu unterscheiden, sogenannte „gerade“ und „schiefe“ Stöße; bei beiden ist die Stoßrichtung nach dem Kugelmittren hin gerichtet, so daß der Stoß in jedem Falle „zentral“ ist.

Ein „gerader“ Stoß liegt vor, wenn die Zentralklinie im Moment des Stoßes die nämliche Richtung besitzt wie die beiden Geschwindigkeiten vor dem Stoße. „Schief“ wird der Stoß dann genannt, wenn diese Bedingung nicht erfüllt ist.



Wir werden zuerst die sehr einfachen

welche beiden Bedingungen genügen, um \vec{v} und \vec{v}' durch \vec{c} und \vec{c}' auszudrücken. Schreiben wir (1) und (2) in folgender Form:

$$(3) \quad v^2 - v'^2 = c^2 - c'^2,$$

$$(4) \quad v - v' = v' - c,$$

so liefert Division die lineare Relation:

$$(5) \quad v + v' = v' + c,$$

die mit (4) kombiniert liefert:

$$(6) \quad \begin{cases} v = c, \\ v' = c. \end{cases}$$

d. h. nach dem Stoß hat die Kugel A die Geschwindigkeit $v = c$, die vorher B hatte, und umgekehrt; die Kugeln tauschen also beim geraden Stoß einfach ihre Geschwindigkeiten aus.

Betrachten wir jetzt den komplizierteren Fall, daß die Geschwindigkeiten \vec{c} und \vec{c}' , die wir jetzt als Vektoren mit festem demselben Buchstaben schreiben, sowohl untereinander verschiedene Richtung haben, als auch von der der Zentralen AB abweichen (Fig. 88).



Fig. 88.

Dann zerlegen wir \vec{c} und \vec{c}' in zwei Komponenten, je eine parallel zu AB , je eine senkrecht zu dieser Richtung, oder besser ausgedrückt, in je eine Komponente (ξ, ξ') parallel zu der im Momente des Stoßes gemeinsamen Tangentialebene TT' , und je eine (ζ, ζ') normal zu derselben. Da die Stoßrichtung bei Kugeln immer zentral ist, so werden durch den Stoß die tangentialen Komponenten ξ und ξ' gar nicht geändert; die normalen dagegen spielen dieselbe Rolle wie vorher beim geraden Stoß die Geschwindigkeiten \vec{c} und \vec{c}' selbst. Sind also die Geschwindigkeiten nach dem Stoß \vec{v} und \vec{v}' — mit den tangentialen Komponenten ξ und ξ' , sowie mit den normalen ξ_1 und ξ'_1 —, so ist nach obigen Überlegungen offensichtlich:

$$(7) \quad \begin{cases} \xi_1 = \xi, \\ \xi'_1 = \xi'. \end{cases}$$

und

$$(8) \quad \begin{cases} \mathbf{E} = \mathbf{E}_t', \\ \mathbf{E} = \mathbf{E}_n, \end{cases}$$

von denen die ersten die Unveränderlichkeit des tangentialen, die letzteren den Austausch der normalen Komponenten ausdrücken. Da in vektorieller Schreibweise

$$\mathbf{v} = \mathbf{v}_t + \mathbf{v}_n$$

(nem. für alle Geschwindigkeiten) ist, so finden wir aus (7) und (8) folgende Relationen:

$$(9) \quad \begin{cases} \mathbf{v} = \mathbf{v}_t + \mathbf{v}_n = \mathbf{V}_t + \mathbf{V}_n, \\ \mathbf{v}' = \mathbf{v}_t' + \mathbf{v}_n' = \mathbf{V}_t' + \mathbf{v}_n, \end{cases}$$

die noch etwas anders formuliert werden können, wenn wir den Vektor der relativen Geschwindigkeit nach dem Stöße

$$(10) \quad \mathbf{V}_r = \mathbf{V}' - \mathbf{V}$$

introduzieren. Da in Vektorschreibweise:

$$\mathbf{V}_t = \mathbf{v} - \mathbf{V}_n$$

ist, so liefert die erste Gleichung (9):

$$\mathbf{v} = \mathbf{V} - \mathbf{V}_n + \mathbf{V}_n = \mathbf{V} + (\mathbf{V} - \mathbf{V}')_n$$

oder in Rücksicht auf (10):

$$(11) \quad \mathbf{v} = \mathbf{V} + (\mathbf{V}_r)_n,$$

wo $(\mathbf{V}_r)_n$ die Normalkomponente der Relativgeschwindigkeit \mathbf{V}_r , d. h. deren Projektion auf die Geraden AB , ist.

Einsetzen in nach (8) und (10):

$$\mathbf{v}' = \mathbf{V}_t' + \mathbf{V}_n = \mathbf{V}_t' + (\mathbf{V}_n - \mathbf{V}_r)_n + \mathbf{V}_n = \mathbf{v}_t' + \mathbf{V}_n - (\mathbf{V}_r)_n.$$

und nach (13):

$$(14) \quad \begin{cases} u' = u - l \cdot (\hat{r})_{\hat{u}}, \\ v' = v - m \cdot (\hat{r})_{\hat{u}}, \\ w' = w - n \cdot (\hat{r})_{\hat{u}}. \end{cases}$$

Andererseits sind nach Definition der relativen Geschwindigkeit \hat{r} , die Richtungskosinus der Normalkomponente denselben auffällig:

$$l = \frac{u' - u}{(\hat{r})_{\hat{u}}}, \quad m = \frac{v' - v}{(\hat{r})_{\hat{u}}}, \quad n = \frac{w' - w}{(\hat{r})_{\hat{u}}} ;$$

ersetzen wir diese Gleichungen der Reihe nach mit l, m, n und addieren, so folgt, da $l^2 + m^2 + n^2 = 1$ ist:

$$(15) \quad (\hat{r})_{\hat{u}} = (u' - u)l + (v' - v)m + (w' - w)n,$$

welchen Wert wir in (13) und (14) einsetzen. Sie liefern dann:

$$(16) \quad \begin{cases} u = u + [l^2 (u' - u) + lm (v' - v) + ln (w' - w)], \\ v = v + [lm (u' - u) + m^2 (v' - v) + mn (w' - w)], \\ w = w + [ln (u' - u) + mn (v' - v) + n^2 (w' - w)], \end{cases}$$

oder:

$$(17) \quad \begin{cases} u' = u + [l^2 (u - u') + lm (v - v') + ln (w - w')], \\ v' = v + [lm (u - u') + m^2 (v - v') + mn (w - w')], \\ w' = w + [ln (u - u') + mn (v - v') + n^2 (w - w')]. \end{cases}$$

Diese Gleichungen drücken die Komponenten u, v, w bzw. u', v', w' vor dem Stoß durch u, v, w bzw. u', v', w' nach dem Stoß aus, und umgekehrt.

Von diesen Gleichungen nutzen wir im folgenden folgenden Gebrauch.

§6. Beweis des Maxwell'schen Verteilungsgesetzes und des Äquipartitionstheorems.

Wir können zunächst zu einem ersten Beweis des Verteilungsgesetzes von Maxwell übergehen, indem wir eben die Stoßgleichungen anwenden. Der Gedankengang des Beweises ist der, daß durch die Stöße die Zahl der Moleküle, die eine bestimmte Geschwindigkeit besitzen, im Gleichgewichte nicht geändert wird. Betrachten wir also stets die Zahl der A -Moleküle, die wir schon in No. 56 als diejenigen Moleküle definiert hatten, für die die Geschwindigkeitsquadrat im Volumen $\Delta u, \Delta v, \Delta w$ der Geschwindigkeitskomponenten liegt, so wird im allgemeinen diese Zahl durch die Zusammenstöße verändert werden: Moleküle, die vor dem Stoß zur Klasse A gehörten, verlassen durch den Stoß diese Klasse, und gewisse Moleküle, die vor dem Stoß nicht dazu gehörten, treten durch den Stoß in diese Klasse ein. Zwischen diesen beiden Effekten muß im Gleichgewichtszustande des Gases noch Gleichgewicht herrschen, und die Bedingung dafür liefert uns das Verteilungsgesetz der Geschwindigkeiten.

Betrachten wir also zunächst die Stöße, durch die die Zahl der Moleküle der Klasse A vermindert wird; das sind alle Zusammenstöße von A -Molekülen mit irgendwelchen andern Molekülen. Diese Stöße betrachten

wie zunächst nicht in voller Allgemeinheit, sondern zunächst nur die Stoffe zwischen den A-Molekülen und dem schon früher eingeführten B-Molekülen, d. h. solchen, deren Geschwindigkeitselement im Volumenelement $du' dv' dw'$ des Geschwindigkeitselementes liegt. Auch diese speziellen Stoffe betrachten wir, genau wie in Nr. 88, vorläufig noch unter einer Bezeichnung, nämlich daß im Moment des Zusammenstoßes die Partikeln die Richtungskosinus l, m, n haben, oder, geometrisch gesprochen, durch ein bestimmtes Element dK des Richtungskegels hindurchgehen (vgl. Fig. 88). Dies sind die in Nr. 88 definierten α -Stöße; überhaupt stimmen alle Bezeichnungen und Festsetzungen mit denen dieser Nummer überein. Nur in einem Punkte wollen wir eine kleine Änderung vornehmen. Unter f verstanden wir immer die Wahrscheinlichkeit, daß ein Molekül eine bestimmte Geschwindigkeit besitzt; wir müssen daher f erst mit N (oder ν) multiplizieren, um die Anzahl (oder die Anzahl pro cem) der Moleküle dieser Geschwindigkeit zu erhalten. Wir wollen nun im folgenden bei der Anzahl bestimmter Moleküle immer den Buchstaben F benutzen, der also das Produkt aus f und N (bzw. ν) darstellt, je nachdem die Anzahl auf das Geschwindigkeits- oder die Volumenelement bezogen wird.

Nach Gl. (87) des achten Kapitels und pag. 407 ist die Zahl der A-Moleküle pro Volumeneinheit, wenn wir F für νf setzen:

$$(16) \quad F(u, v, w) \, du \, dv \, dw,$$

entsprechend nach (91) (pag. 407) die der B-Moleküle pro Volumeneinheit:

$$(17) \quad F(u', v', w') \, du' \, dv' \, dw',$$

und die Zahl $\nu_a \, dt$ der α -Stöße zwischen A- und B-Molekülen pro cem in der Zeit dt , nach Gl. (88) (pag. 408):

$$(18) \quad \nu_a \, dt = F(u, v, w) F(u', v', w') F \cdot \nu \cdot \cos \theta \, dK \cdot du \, dv \, dw \cdot du' \, dv' \, dw' \cdot dt.$$

Die Bedeutung anschaulicher, hier nicht mehr besonders nachdrücklich gemachter Größen ist aus Fig. 39 zu entnehmen. Bezeichnen wir nun $F(u, v, w)$ einfach durch F , $F(u', v', w')$ durch F' (und entsprechend in Zukunft bei den übrigen Größen), so ist demgemäß die Anzahl der Zahl der Moleküle A pro cem in der Zeit dt durch die α -Stöße gleich

$$(19) \quad F \cdot F' \cdot F \cdot \nu \cdot \cos \theta \, dK \cdot du \, dv \, dw \cdot du' \, dv' \, dw' \cdot dt.$$

Jetzt haben wir entsprechend die Variation der Zahl der A-Moleküle in cem und während der Zeit dt zu bestimmen.

Zu diesem Zwecke betrachten wir folgende spezielle Art von Stößen, die wir „ β -Stöße“ nennen wollen:

1. Nach dem Stöße gehören das eine der beiden Moleküle der Klasse A an, d. h. sein Geschwindigkeitselement fällt durch den Stoß ins Volumenelement $du \, dv \, dw$ des Geschwindigkeitselementes;

2. nach dem Stöße gehört das zweite Molekül der Klasse B an, d. h. sein Geschwindigkeitselement fällt in das Volumenelement $du' \, dv' \, dw'$;

Größen $ds, dv, du, ds', dv', du'$ „entsprechen“, wie wir kann für den obigen Sachverhalt sagen wollen. Die Größen ds, \dots, dv' sind also durch Differentiation der Gl. (22) und (23) zu bestimmen; dann ist die Forderung des „Entsprechens“ erfüllt. Nun ist jedenfalls:

$$ds \, dv \, du \, ds' \, dv' \, du' = |\Delta| \, ds \, dv \, du \, ds' \, dv' \, du',$$

wo Δ die Jacobideterminante ist:

$$(24) \quad \Delta = \begin{vmatrix} \frac{\partial s}{\partial s} & \frac{\partial s}{\partial v} & \frac{\partial s}{\partial u} & \frac{\partial s}{\partial s'} & \frac{\partial s}{\partial v'} & \frac{\partial s}{\partial u'} \\ \frac{\partial v}{\partial s} & \frac{\partial v}{\partial v} & \frac{\partial v}{\partial u} & \frac{\partial v}{\partial s'} & \frac{\partial v}{\partial v'} & \frac{\partial v}{\partial u'} \\ \frac{\partial u}{\partial s} & \frac{\partial u}{\partial v} & \frac{\partial u}{\partial u} & \frac{\partial u}{\partial s'} & \frac{\partial u}{\partial v'} & \frac{\partial u}{\partial u'} \\ \frac{\partial s'}{\partial s} & \frac{\partial s'}{\partial v} & \frac{\partial s'}{\partial u} & \frac{\partial s'}{\partial s'} & \frac{\partial s'}{\partial v'} & \frac{\partial s'}{\partial u'} \\ \frac{\partial v'}{\partial s} & \frac{\partial v'}{\partial v} & \frac{\partial v'}{\partial u} & \frac{\partial v'}{\partial s'} & \frac{\partial v'}{\partial v'} & \frac{\partial v'}{\partial u'} \\ \frac{\partial u'}{\partial s} & \frac{\partial u'}{\partial v} & \frac{\partial u'}{\partial u} & \frac{\partial u'}{\partial s'} & \frac{\partial u'}{\partial v'} & \frac{\partial u'}{\partial u'} \end{vmatrix}.$$

Darin sind die elementaren Koeffizienten nach (22) und (23) zu berechnen. Man findet leicht:

$$\Delta = \begin{vmatrix} 1 - P, & -\lambda u, & -\lambda v, & P, & \lambda u, & \lambda v \\ -\lambda u, & 1 - u^2, & -uv, & \lambda u, & u^2, & uv \\ -\lambda v, & -uv, & 1 - v^2, & \lambda v, & uv, & v^2 \\ P, & \lambda u, & \lambda v, & 1 - P, & -\lambda u, & -\lambda v \\ \lambda u, & u^2, & uv, & -\lambda u, & 1 - u^2, & -uv \\ \lambda v, & uv, & v^2, & -\lambda v, & -uv, & 1 - v^2 \end{vmatrix}$$

und die elementare Ausrechnung zeigt, daß $|\Delta| = +1$ ist; also ist auch:

$$(25) \quad ds \, dv \, du \, ds' \, dv' \, du' = ds \, dv \, du \, ds' \, dv' \, du'.$$

Diese Gleichung ist ein spezieller Fall eines bekannten Theorems von Liouville, das wir im nächsten Kapitel beweisen werden. Hier finden wir jedenfalls, daß, wenn die Geschwindigkeitspunkte zweier Moleküle vor dem Stoß in bestimmten Volumenelementen des Geschwindigkeitsraumes liegen, sie durch den Stoß zwar in andere, aber gleich große Volumenelemente geworfen werden.

Dementsprechend geht (23) über in:

$$(26) \quad PP^* \, d^3c_\alpha \, \cos \theta \, dK \, ds \, dv \, du \, ds' \, dv' \, du' \, dt,$$

und dies ist nun um die Anzahl der β -Stöße im Kubikzentimeter und in der Zeit dt , die die Zahl der λ -Moleküle vermindern, während die durch (21) dargestellten α -Stöße diese Zahl vermindern. Die Gesamtanzahl der Zahl der λ -Moleküle im Kubikzentimeter durch die α - und β -Stöße während dt ist also:

$$(PP^* - FF^*) \, d^3c_\alpha \, \cos \theta \, dK \, ds \, dv \, du \, ds' \, dv' \, du' \, dt.$$

Durch Integration über alle zulässigen Werte von $u' v' w'$, sowie alle Elemente dK der Einheitskugel gewinnen wir die Zunahme der Zahl der A -Moleküle im Kubikzentimeter während der Zeit dt durch alle überhaupt möglichen Stöße, nämlich:

$$(28) \quad du dv dw dt \iiint \iiint (\bar{P} \bar{P}' - P P') \delta^2 c_1 \cos \Theta \cdot dK \cdot du' dv' dw'. \quad \dagger$$

Nun ist anderseits die Zahl der A -Moleküle im Kubikzentimeter zur Zeit t nach Gl. (26) dieses Kapitels:

$$P(u, v, w) du dv dw,$$

eine Zahl, die zur Zeit $t + dt$ übergeht in

$$\left(P + \frac{\partial P}{\partial t} dt\right) du dv dw,$$

so daß die Zunahme der Zahl der A -Moleküle im Kubikzentimeter während dt nach gleich dem Ausdrucke ist:

$$(29) \quad \frac{\partial P}{\partial t} dt \cdot du dv dw,$$

was durch Vergleich mit (28) die Gleichung ergibt:

$$(31) \quad \frac{\partial P}{\partial t} = \iiint \iiint (\bar{P} \bar{P}' - P P') \delta^2 c_1 \cos \Theta \cdot du' dv' dw' \cdot dK.$$

Aus (31) folgt, daß die Annahme der Gleichung

$$\bar{P} \bar{P}' - P P' = 0$$

eine hinreichende Bedingung dafür ist, um $\frac{\partial P}{\partial t}$ zum Verschwinden zu bringen, d. h. eine hinreichende Bedingung für den stationären Zustand. Dagegen läßt sich aus (31) nicht beweisen, daß diese Gleichung auch die notwendige Bedingung darstellt; denn wenn auch $\frac{\partial P}{\partial t} = 0$ ist, so braucht offenbar nur das Integral rechts zu verschwinden, nicht aber der Integrand selbst.

Um nun hier weiter zu kommen, betrachten Boltzmann die sogenannte „H-Funktion“ oder „Logarithmusfunktion“:

$$(32) \quad H = \iiint \iiint P \log P \, du dv dw,$$

wo die Integration sich über alle möglichen Werte von u, v, w , d. h. von $-\infty$ bis $+\infty$ zu erstrecken hat; H ist also eine reine Zahl, gleichfalls unabhängig von u, v, w , nur abhängig von der analytischen Form von P . Da P im Gleichgewichtszustande sich nicht mehr ändern soll, so können wir die Bedingung für den Gleichgewichtszustand auch so ausdrücken:

$$\frac{dH}{dt} = 0.$$

[†] Eigentlich sollte man, da die du, dv, \dots keine echten Differentiale sind, beim Integrieren beachten, wodurch das Summenzeichen \sum der Einheitskugel außerordentlich wie auch hier dasselbe nicht ganz korrekte Schreibweise.

Wir wollen nun $\frac{dN}{dt}$ bilden; daher erhält man aus (22), wenn man unter dem Integralzeichen differenziert:

$$\frac{dN}{dt} = \iiint \frac{dP}{dt} (1 + \log P) \, d\alpha \, d\alpha' \, dK,$$

oder, wenn man $\frac{dP}{dt}$ aus (8) einsetzt:

$$(23) \quad \frac{dN}{dt} = \iiint \iiint \iiint (1 + \log P) (P\bar{P} - P\bar{P}') P^{-1} \cos \Theta \, d\alpha \dots d\alpha' \, dK.$$

Bei der bisherigen Betrachtung haben wir nun die A -Moleküle isoliert in den Vordergrund gestellt, als wir in (11) die Berechnung der Anzahl derselben berechnet haben; ebenso haben wir in (23) die P -Funktion durch eine Integration über α, α', m , d. h. über alle A -Moleküle gewonnen. Dies bedeutet aber natürlich vor den B -Molekülen keinen Vorzug; die ganze Einteilung in A - und B -Moleküle ist ja überhaupt nur ein mathematischer Kunstgriff. Es gelten daher für die B -Moleküle zwei (31) und (32) analoge Formeln, in denen einfach die gestrichelten mit den ungestrichelten Buchstaben vertauscht sind.

$$(34) \quad \frac{dP}{dt} = \iiint \iiint (P\bar{P}' - P\bar{P}) P^{-1} \cos \Theta \, d\alpha \, d\alpha' \, d\alpha'' \, d\alpha''' \, dK$$

und

$$(35) \quad H = \iiint \iiint P \log P \, d\alpha' \, d\alpha'' \, d\alpha'''.$$

Mit diesen beiden Gleichungen gewinnt man für $\frac{dN}{dt}$ aus (23) gleich berechneten Wert:

$$(36) \quad \frac{dN}{dt} = \iiint \iiint \iiint (1 + \log P) (P\bar{P} - P\bar{P}') P^{-1} \cos \Theta \, d\alpha \dots d\alpha' \, dK,$$

und Addition von (35) und (36) liefert einen Wert, in dem die A - und B -Moleküle gleichzeitig berücksichtigt sind:

$$(37) \quad \frac{dN}{dt} = \frac{1}{2} \iiint \iiint \iiint (1 + \log PP') (P\bar{P} - P\bar{P}') P^{-1} \cos \Theta \, d\alpha \dots d\alpha' \, dK.$$

Aber hierin sind nun die nicht überstrichenen Größen vor den überstrichenen bevorzugt, d. h. die α -Stufe, während es ebenso gut möglich ist, die β -Stufe zum Ausgangspunkt zu nehmen. Wir können also statt (31) und (32) zwei Gleichungen anschreiben, die sich lediglich durch Vertauschung der überstrichenen und nicht überstrichenen Größen unterscheiden, und ebenso können wir H in Analogie zu (34) und (35) auch noch durch Verwendung der überstrichenen P bilden. Gibt man in derselben Weise weiter vor, so erhält man eine (37) analoge Gleichung, die nun durch Vertauschung der nichtüberstrichenen und überstrichenen Größen folgt:

$$(38) \quad \frac{dN}{dt} = -\frac{1}{2} \iiint \iiint \iiint (1 + \log P'P) (P\bar{P} - P\bar{P}') P^{-1} \cos \Theta \, d\alpha \dots d\alpha' \, dK,$$

wird in dem Differentialprodukt $d\sigma \, d\sigma' \, d\sigma'' \, d\sigma''' \, d\sigma'''' \, d\sigma'''''$ gemäß (37) die Eindeute durchgelesen worden sind.

Addiert man schließlich (37) und (38), so erhält man eine völlig symmetrische Form:

$$\frac{dH}{dt} = -\frac{1}{2} \int \int \int \int \int \int (\log PP' - \log P'P) (P'P - PP') d^3v_1 \cos \Theta \cdot dv_2 \dots dv_6 \cdot dK.$$

Der Integrand ist nun durchwegs wesentlich negativ, da $(P'P - PP')$ stets das nämliche Vorzeichen hat wie $\log \frac{P'P}{PP'}$, während alle übrigen Größen positiv sind, da auch Θ zwischen 0 und $\frac{\pi}{2}$ bleibt, wie wir in Nr. 55 auseinanderzusetzen¹⁾ haben. Also kann das Integral nur verschwinden, wenn der Integrand verschwindet; da nun $\frac{dH}{dt} = 0$ die Bedingung des Gleichgewichtszustandes ist, so ist diese äquivalent mit:

$$(39) \quad P'P - PP' = 0.$$

Damit ist uns in der Tat gezeigt, daß Gl. (36) auch die notwendige Bedingung des Gleichgewichtszustandes ist.

Die Funktionalgleichung (40) bestimmt also das Verteilungsgesetz der Geschwindigkeiten.

Am einfachsten gelangt man dazu nach Boltzmann so folgender Weise: Da im stationären Zustande für ein im ganzen ruhendes Gas alle Richtungen des Raumes gleichwertig sind, werden die Größen P nur vom Betrage der Geschwindigkeit, nicht von der Richtung derselben

$$\begin{aligned}\varphi'(c^2) &= \varphi'(c^2 + c'^2 - c'^2), \\ \varphi'(c'^2) &= \varphi'(c^2 + c'^2 - c^2), \\ \varphi'(c'^2) &= \varphi'(c^2 + c'^2 - c^2),\end{aligned}$$

d. h.

$$\varphi'(c^2) = \varphi'(c'^2) = \varphi'(c'^2),$$

Diese Gleichung ist natürlich nur möglich, wenn die genannten Ableitungen gleich einer und derselben Konstanten $-\beta^2$ sind, d. h. z. B.

$$\varphi'(c^2) = -\beta^2,$$

woraus sich durch Integration ergibt, wenn $\log a^2$ eine Integrationskonstante ist:

$$\varphi(c^2) = -\beta^2 c^2 + \log a^2,$$

und mit Hilfe von (41):

$$(44) \quad f(u, v, w) = a^2 e^{-\beta^2 u^2} = a^2 e^{-\beta^2 (u^2 + v^2 + w^2)},$$

wobei man in der Tat genau die Form des Maxwell'schen Verteilungsgesetzes wieder gefunden hat, die wir im vorhergehenden Kapitel in Gl. (38) auf pag. 379 bereits schon gehabt hatten. Die Konstantenbestimmung geschieht auf dem nämlichen Wege wie dort und braucht hier nicht noch once angeführt zu werden. Die früher aus dem Maxwell'schen Verteilungsgesetze gezogenen Folgerungen sind hiermit legitimiert. Insbesondere bemerkt man, daß tatsächlich α posteriori das Auftreten der drei Geschwindigkeitskomponenten u, v, w als das dreier voneinander unabhängiger Ereignisse betrachtet werden kann, da die rechte Seite von (44) sich als Produkt der Randwahrscheinlichkeiten für das Auftreten je einer Komponente schreiben läßt. Deshalb eben gelangte man mit dieser α priori unbeweisbaren Annahme, die uns so schnell zum Maxwell'schen Gesetze führte, auch zum richtigen Resultat.

Der im Vorstehenden geschilderte Gedankengang des Beweises des Maxwell'schen Verteilungsgesetzes führt auch zu einem Beweis des Äquilibriumstheorems für die Translationsbewegung in einem Gasegemisch. Versuchen wir alle Größen, die sich auf die erste Komponente des Gemisches beziehen, mit dem Index 1, diejenigen, die dem zweiten Gase zukommen, mit dem Index 2, so können wir unsere Stoffe zwischen den Molekülen des Gases 1 betrachten, zweiten Stoffe zwischen den Molekülen des zweiten Gases unter sich, und drittens endlich Konzentrationen zwischen je einem Molekül des Gases 1 mit je einem Molekül des Gases 2. Statt der Gleichung (40) für den stationären Zustand erhalten wir dann — wenn wir von den Größen F zu den Größen f übergehen — die drei folgenden:

$$(45) \quad \begin{cases} \frac{\partial f_1 \bar{f}_1}{\partial t} - f_1 \bar{f}_1' = 0 & \text{(I. Gas)}, \\ \frac{\partial f_2 \bar{f}_2}{\partial t} - f_2 \bar{f}_2' = 0 & \text{(II. Gas)}, \\ \frac{\partial f_1 \bar{f}_2}{\partial t} - f_2 \bar{f}_1' = 0 & \text{(Wechselwirkung)}. \end{cases}$$

nur für den stationären gilt die Gleichung:

$$(30a) \quad \frac{dS}{dt} = 0.$$

Diese beiden Gleichungen zusammen werden als das „Boltzmannsche H-Theorem“ (in seinem einfachsten Falle) bezeichnet.

Seine Bedeutung besteht in folgendem:

Die Thermodynamik lehrt, daß ein abgeschlossenes System nach einander nur solche Zustände annehmen kann, für die die Entropie immer wächst; kann die Entropie S nicht mehr wachsen, so bleibt das System in dem höchst differenzierten Zustande im Gleichgewichte. Die Entropie, als Funktion der Zeit aufschreibend, geschieht also der Ungleichung:

$$(31) \quad \frac{dS}{dt} \geq 0.$$

Die negative Entropie $-S$ würde also die Ungleichung befriedigen:

$$(32) \quad -\frac{dS}{dt} \leq 0.$$

Es also den Gleichungen (30) und (30a) vollkommen analog ist. Die Größe H zeigt also das nämliche Verhalten wie die negative Entropie, H muß also mit der Größe $-S$ in engem Zusammenhang stehen.

Da H nun offenbar rein mechanisch definiert ist, so hatten wir damit eine mechanische Deutung des Entropiebegriffes und des Satzes vom Wachstume der Entropie gewonnen. Ein gewaltiges Resultat!

Bevor wir auf eine Kritik dieses Ergebnisses eingehen, wollen wir zunächst für ein einatomiges Gas im Gleichgewichtszustande die Funktion H und die Entropie berechnen, und zwar beide Größen stets für ein Volumen von 1 cm.

$$\text{Berechnen wir zunächst } H = \int \int \int P \log P \, dx \, dy \, dz.$$

steht; das zweite ist, nach Eq. 54, gleich $\overline{v^2}$, d. h. gleich dem mittleren Geschwindigkeitsquadrat. Also ist weiter:

$$H = r \log (r a^2) - r \beta^2 \overline{v^2},$$

oder, da $\beta^2 = \frac{2}{\epsilon} \cdot \frac{1}{T}$ ist:

$$(34) \quad H = r \log (r a^2) - \frac{2}{\epsilon} r.$$

Nun ist aber nach Gl. (28) des vorigen Kapitels auf pag. 363

$$r a^2 = \frac{r \beta^2}{n^2 \epsilon},$$

also wegen der Bedeutung von β^2 :

$$(35) \quad r a^2 = \frac{r \left(\frac{2}{\epsilon} \right)^{1/2}}{(n^2 \epsilon)^{1/2} T},$$

oder, da

$$\beta^2 = \frac{2R}{n} T$$

ist:

$$(36) \quad r a^2 = \frac{r T^{-1/2}}{(n^2 \epsilon)^{1/2} R^{1/2} n},$$

oder, wenn wir mit μ , der Masse eines Moleküls, erweitern und beachten, daß $n\mu = \epsilon$, der Dichte, ist:

$$(37) \quad r a^2 = \frac{r T^{-1/2}}{(n^2 \epsilon)^{1/2} R^{1/2} \mu n}.$$

Dergemäß ist H nach (34) gleich:

$$H = r \left[\log (r T^{-1/2}) + \text{Const.} \right],$$

wenn man alle Konstanten zusammenfaßt.

Schlutlich ist also:

oder, da für ein elementarges Gas die Molwärme bei konstantem Druck $C_p = \frac{5}{2} R$ ist:

$$S_{\text{mol}} = \frac{1}{2} R \log T - R \log p + \text{Const.}$$

Die Anzahl der Moleküle eines Moles ist nun gleich N , der Avogadro'schen Zahl; durch Multiplikation der letzten Gleichung mit $\frac{N}{\mathcal{V}}$, dem Verhältnisse der Molekülanzahl eines Kubikcentimeters und eines Moles, erhalten wir den Wert der Entropie für 1 cm:

$$(30) \quad S_{\text{cm}} = \frac{N}{\mathcal{V}} \cdot \left[\frac{1}{2} \log T - \log p + \text{Const.} \right].$$

Dabei ist, von Konstanten abgesehen, wie durch Vergleich von (28) und (30) sich ergibt:

$$(31) \quad S = - \frac{R}{\mathcal{V}} H = - kH.$$

Es ergibt sich also in diesem Spezialfalle Proportionalität zwischen S und $-H$, und der Proportionalitätsfaktor $\frac{R}{\mathcal{V}} = k$ ist dieselbe universelle Konstante, die auch im Energieausdruck pro Freiheitsgrad $\left(\frac{1}{2} T \right)$ nach dem Äquipartitionstheorem auftritt.

54. Thermodynamische Wahrscheinlichkeit; Entropie und Wahrscheinlichkeit.

Welche physikalische Bedeutung besitzt von die Größe H ?

Auch diese Frage ist von Boltzmann beantwortet worden, und zwar hat er gezeigt, daß sie mit der „Wahrscheinlichkeit“ des thermodynamischen Zustandes zusammenhängt.

Um diesen Begriff klar zu machen, müssen wir von jetzt ab streng unterscheiden zwischen zwei verschiedenen Arten von Zuständen. In der Thermodynamik bestimmen wir den „Zustand“ eines Systems etwa durch die sichtbaren Parameter Temperatur T und spezifisches Volumen v . Diese Art, den „Zustand“ zu bestimmen, wollen wir daher die „thermodynamische“ nennen und den auf dies Weise bestimmten Zustand selbst den „thermodynamischen Zustand“.

Etwas ganz anderes ist von dem Standpunkte der kinetischen Theorie die „Zustand“ zu bezeichnen. Denn vom Standpunkte der Dynamik ist das System der Moleküle ja erst dann bestimmt, wenn Lage und Geschwindigkeiten eines jeden Moleküls angegeben werden können. Demso ist bestimmter Zustand — der unsern gesunden Sinnen gar nicht zugänglich ist — wollen wir deshalb den „Mikrozustand“ nennen, und im Gegensatz dazu den „thermodynamischen Zustand“, den einzigen, der unserer makroskopischen Betrachtung zugänglich ist, auch kurz den „Makrozustand“.

Die Frage ist nun die (da wir doch eine mechanische Theorie der Thermodynamik anstreben): Welche verschiedenen Mikrozustände entsprechen einem Makrozustand?

Wählen wir ein ganz einfaches Beispiel, um dies klar zu machen, indem wir uns auf die Frage nach der Geschwindigkeitsverteilung der Moleküle eines Gases beschränken.

Der Mikrozustand ist dann folgendermaßen zu bestimmen: Jedes Molekül sei nummeriert, etwa a, b, c, d, \dots usw. Wir setzen dann die Geschwindigkeit jedes einzelnen Moleküls an, oder, wenn wir, wie immer, aus den bekanntesten Gründen, ein kleines Geschwindigkeitsintervall zwischen u und $u + du$, v und $v + dv$, w und $w + dw$ nehmen, müssen wir angeben, in welches Volumenelement $dx\,dy\,dz$ des Geschwindigkeitsraumes der Geschwindigkeitspunkt jedes Moleküls fällt. Dann ist in unserem speziellen Falle der Mikrozustand bestimmt.

Wir wollen dies jetzt wirklich ausführen. Dazu denken wir uns den ganzen Geschwindigkeitsraum in gleichgroße Volumenelemente $dv_g = dx\,dy\,dz$ (der Index g deutet auf „Geschwindigkeits“raum hin) eingeteilt, die wir gleichfalls nummerieren, etwa $1, 2, 3, \dots$ usw. Können wir dann angeben: Im ersten Volumenelement liegen die Moleküle a, c, f, \dots , im zweiten die Moleküle b, g, \dots usw. für alle Volumenelemente und Moleküle, so haben wir offenbar einen bestimmten Mikrozustand vor uns.

Jeder Mikrozustand entspricht einem bestimmten Makro-

halten sich also wie die Annahmen über die realisierenden Mikrozustände.

Die hier gemachte Annahme über die Gleichwahrscheinlichkeit des eines Mikrozustand realisierenden Mikrozustands ist, wie ausdrücklich hervorgehoben sei, eine Hypothese fundamentalen Charakters; denn von ihr hängt die spezielle Art des folgenden Statistik ab. Diese Hypothese unterliegt, wie jede, der Prüfung durch die Erfahrung. Man hat sich allerdings zunächst zu fragen, ob diese gemachte Hypothese zu modifizieren bzw. durch andere zu ersetzen, um gewisse Erfahrungswiderstände, auf die wir noch ausführlich eingehen müssen, gerecht zu werden. Die oben gemachte Annahme und die daraus folgende Statistik wird als „Boltzmannsche Statistik“ bezeichnet, um sie durch einen kurzen Namen von später zu besprechenden Statistiken zu unterscheiden.

Es sei nun die Gesamtzahl der Moleküle N ; wir möge in Gruppen N_1, N_2, \dots, N_k zerlegen, die sich auf das erste, zweite, ..., k -te Volumenelement des Geschwindigkeitsraumes verteilen.

Berechnen wir nun die Wahrscheinlichkeit eines bestimmten Makrozustandes!

Die Wahrscheinlichkeit dafür, daß ein bestimmtes Molekül in das erste, zweite, ..., k -te Volumenelement fällt, sei w_1, w_2, \dots, w_k . Diese Wahrscheinlichkeiten nennt man zureichende zweckmäßig zum Unterscheid von später auftretenden Wahrscheinlichkeiten „A-priori-Wahrscheinlichkeiten“, eine Bezeichnung, die auch wir verwenden wollen. Demgemäß ist die A-priori-Wahrscheinlichkeit, daß gleichzeitig N_1 bestimmte Moleküle in das erste, N_2 bestimmte in das zweite, N_k bestimmte in das k -te Volumenelement fallen, offenbar gleich:

$$(55) \quad w_1^{N_1} \cdot w_2^{N_2} \cdot \dots \cdot w_k^{N_k} \dots$$

Das aber ist nur die Wahrscheinlichkeit eines bestimmten Mikrozustandes, und da sehr viele Mikrozustände — nämlich alle die, die denselben Zahlen N_1, N_2, \dots, N_k auf die Volumenelemente verteilen — denselben Makrozustand realisieren, erhalten wir die Wahrscheinlichkeit des Makrozustandes, indem wir alle diese „Mikrowahrscheinlichkeiten“ (55) addieren.

Dochon wir nun das bestimmte, hier im Auge gefaßte Mikrozustand in folgender Weise tabelliert:

1. Vol.-El.	2. Vol.-El.	...	k -tes Vol.-El.	...
N_1, f_1, \dots	N_2, f_2, \dots
im ganzen N_1	im ganzen N_2		im ganzen N_k	

Wenn wir jetzt unter den Molekülen irgendwelche „Permutationen“ vornehmen, die nur die Zahlen $N_1, N_2, \dots, N_i, \dots, N_j$ angeordnet lassen, so erhalten wir neue Mikrozustände, die denselben Mikrozustand darstellen. Die Gesamtzahl dieser Permutationen ist nun aber, wie man leicht sieht, gleich

$$N! = 1 \cdot 2 \cdot 3 \cdot \dots \cdot N,$$

so daß wir also die Wahrscheinlichkeit (33) mit $N!$ zu multiplizieren hätten. Indessen ist dieser Wert jetzt zu groß ausgefallen. Denn zu den vorgenannten Permutationen gehören zu N_i auch diejenigen, die lediglich die Moleküle $a, a, f \dots$ in verschiedenen Volumenelementen untereinander vertauschen, ohne die übrigen zu affizieren. Solcher Permutationen gibt es offenbar $N_i!$, und diese (die ja im Grunde auch verschiedene Mikrozustände vorstellen) können wir überhaupt nicht unterscheiden, da alle Moleküle gleich beschaffen sind. Diese $N_i!$ Mikrozustände müssen also als ein einziger Mikrozustand betrachtet werden, und daher ist die oben gewonnene Zahl der Mikrozustände noch durch $N_i!$ zu dividieren. Genau dasselbe gilt aber auch von den Permutationen, die nur die N_j Moleküle in zweiten Volumenelemente unter sich permutieren, usw., so daß wir im ganzen die oben angegebene Zahl durch

$$N_1! N_2! \dots N_i! \dots$$

zu teilen haben. Dadurch wird die Wahrscheinlichkeit des Mikrozustandes möglich:

$$(34) \quad W = w_1^{N_1} \cdot w_2^{N_2} \cdot \dots \cdot w_i^{N_i} \cdot \dots \cdot \frac{W^0}{N_1! N_2! \dots N_i! \dots},$$

oder kurzer, wenn \prod eine Produktbildung über i ausdrückt:

$$(35) \quad W = w_1^{N_1} \cdot w_2^{N_2} \cdot \dots \cdot w_i^{N_i} \cdot \frac{W^0}{\prod (N_i!)}.$$

Da wir es jetzt — das ist die einfachste, von Boltzmann gemachte Annahme — als *a priori* gleichwahrscheinlich betrachten, daß ein Molekül in ein beliebiges der gleich großen Volumenelemente des Geschwindigkeitsraumes fällt, so ist noch:

$$w_1 = w_2 = \dots w_i = \dots = W,$$

so daß schließlich herauskommt:

$$(36) \quad W = \frac{W^0 \cdot W^N}{\prod (N_i!)}.$$

¹⁴ Dazwischen bezeichnet man — etwas abweichend von unserer Benennung — die Gesamtheit der Zahlen N_i als den „Mikrozustand“. Daraus ist zu unterscheiden zwischen diesem und dem „thermodynamischen“ Zustande. Der „Mikrozustand“ wäre dann die kinetische Darstellung des ein gleichmolekularen „thermodynamischen Zustandes“. Etwaslich hat diese Unterscheidung keine wirkliche Bedeutung, logisch ist sie vorhanden.

Diesen Fall (charakterisiert durch die Zahlen N_1 , die auf die verschiedenen Volumenelemente entfallen) wollen wir nun mit einem ein für alle Male willkürlich gewählten „Normalzustand“ vergleichen, nämlich mit dem, daß alle N Moleküle in ein Volumenelement, z. B. das erste, fallen, d. h. daß alle Moleküle genau dieselbe Gerdichtigkeit besitzen. Dabei ist die Wahrscheinlichkeit W_1 offenbar nach (55):

$$(56) \quad W_1 = \frac{N! \cdot 1!}{N!} = N^N,$$

da wir hier $N_1 = N$ haben, während $N_2 = N_3 = \dots = N_N = 0$ sind.

Die relative Wahrscheinlichkeit, d. h. die Zahl, die angibt, um wieviel wahrscheinlicher der Fall (56) als der Fall (55) ist, ist also der Quotient beider Zahlen:

$$\frac{W}{W_1} = \frac{N!}{N! N_1! N_2! \dots N_N!}.$$

Diese relative Wahrscheinlichkeit, die demnach eine große Zahl ist, wollen wir nach Planck — zum Unterschiede von den mathematischen Wahrscheinlichkeiten (55) und (56), die sehr Brüche sind — als „thermodynamische Wahrscheinlichkeit“ bezeichnen:

$$(57) \quad W_{\text{therm}} = \frac{N!}{N! N_1! N_2! \dots N_N!} \cdot N^N$$

wobei wir den Index „therm“ oft weglassen werden, wenn es Mißverständnisse nicht zu befürchten ist.

Nach dem Obigen ist $\frac{N!}{N! N_1! N_2! \dots N_N!}$ die Anzahl der gleichmöglichen Mikrozustände, die den durch im Auge gefaßten Makrozustand realisieren. Bezeichnet man im Anschluß an Boltzmann und Planck die gleichmöglichen Fälle (hier die Mikrozustände), die ein Ereignis (hier den Makrozustand) realisieren, als die „Komplexionen“ desselben, so können wir die in (57) enthaltene Definition der thermodynamischen Wahrscheinlichkeit offenbar so ausdrücken:

„Die thermodynamische Wahrscheinlichkeit eines Makrozustandes ist gleich der Anzahl der ihn realisierenden Komplexionen.“

¹⁾ Wenn man die „Normalzustand“ des folgenden Wahl, bei dem in jedem Volumenelement nur ein Molekül fällt, so werden für den Normalzustand alle $N_1 = 1$, und die genau so oben durchgeführte Rechnung ergibt dann

$$(57a) \quad W_{\text{therm}} = \frac{1}{N! N_1! N_2! \dots N_N!}.$$

Da im folgenden auf Komplexionen kein Wert gelegt ist, können dieselbe Bezeichnung, nämlich (57) stehen. Am gewissen, später zu erörternden Grenzen haben Hilbert und Eddington diese beliebige Wahl des Normalzustandes hervorzuheben; wir können im Kap. XI noch genauer darauf zurück und begreifen uns hier mit dieser vorläufigen Formulierung des Hilbert-Eddingtonschen Vorgehens.

Wir wollen nun — wie immer — annehmen, daß die Teilchenanteile $\delta v_i = \delta n_i \delta v / N$ so gewählt sind, daß die Zahlen N_i alle große Zahlen sind. Dann kann man für die Fakultäten $N_i!$ eine asymptotische Formel benutzen, die von Stirling herrührt, und die sich für unseren Zweck genügender Genauigkeit folgendermaßen erhalten werden kann:

Es ist

$$N! = N \cdot (N-1)!,$$

also durch Logarithmieren:

$$(66) \quad \log(N!) = \log(N-1!) + \log N.$$

Setzen wir für einen Augenblick

$$(67) \quad \log(N!) = f(N),$$

also entsprechend

$$\log(N-1!) = f(N-1),$$

so kann (66) geschrieben werden:

$$(70) \quad f(N) - f(N-1) = \log N,$$

und da N nach Voraussetzung eine sehr große Zahl ist, gegen die also 1 verschwindet, kann man nach Taylor entwickeln und nach dem ersten Gliede abbrechen:

$$f(N) = f(N-1) + f'(N).$$

so daß folgt:

$$f'(N) = \log(N),$$

oder integriert:

$$(71) \quad f(N) = N \log N - N = \log(N^N) - \log(N^N);$$

also, wenn wir nach (66) für $f(N)$ den Wert einsetzen:

$$\log(N!) = \log\left(\frac{N}{e}\right)^N,$$

oder:

$$(72) \quad N! = \left(\frac{N}{e}\right)^N,$$

welche Formel eine für unsere Zwecke genügende Genauigkeit liefert. Durch Weiterentwicklung der Taylorsche kann man auch die genauere asymptotische Stirlingsche Formel erhalten:

$$(73) \quad N! = \sqrt{2\pi N} \left(\frac{N}{e}\right)^N,$$

die aber für uns nicht weiter führt als (72).

Setzen wir diese asymptotische Formel (72) in (57) ein, so erhalten wir für die thermodynamische Wahrscheinlichkeit:

$$(74) \quad W_{\text{max}} = \frac{N^N}{N! e^{N\bar{\epsilon}}}$$

Nunmehr wollen wir den statistischen Logarithmus von W_{max} bilden. Das gibt:

$$\log W_{\text{max}} = R \log R - \sum_i R_i \log R_i,$$

oder, da $R \log R$ eine Konstante ist:

$$(36) \quad -\log W_{\text{max}} = \sum_i R_i \log R_i + \text{Const.}$$

Bei Benutzung der genaueren Striklingschen Formel (32) würden lediglich noch solche Glieder mit in die Konstante eingehen, die unendlich für eine irrelevant sind.

Nun ist aber R_i die Zahl der Moleküle, die im i -ten Volumenelement des Geschwindigkeitsraumes liegen; in der Bezeichnungswiese der vorigen Nummer ist also

$$R_i = F_i \cdot d u_1 d v_1 d w_1,$$

und somit kann (35) geschrieben werden:

$$-\log W_{\text{max}} = \sum_i F_i \cdot d u_1 d v_1 d w_1 [\log F_i + \log d u_1 d v_1 d w_1] + \text{Const.},$$

oder, da $\log d u_1 d v_1 d w_1$ konstant ist, also mit in die schon bestehende Konstante einbezogen werden kann:

$$-\log W_{\text{max}} = \sum_i F_i \log F_i \cdot d u_1 d v_1 d w_1 + \text{Const.}$$

Ochtt man hier von der Summenausdehnung zur Integralausdehnung über, so erhalten wir mit Rücksicht auf die in (32) enthaltene Definition von R , abgesehen von Konstanten, die uns im Augenblick nicht interessieren:

$$(37) \quad -\log W_{\text{max}} = \int \int \int F \log F \, du \, dv \, dw = R.$$

Damit ist die physikalische Bedeutung der Größe R als die des negativen Logarithmus der thermodynamischen Wahrscheinlichkeit erkannt.

Kombiniert man diese Gleichung mit der Gleichung (31), die den Zusammenhang zwischen S und R enthält, so folgt, abgesehen von Konstanten, die bereits „Boltzmannsche Gleichung“:

$$(37) \quad S = k \log W,$$

in Worten: Die Entropie ist proportional dem Logarithmus der thermodynamischen Wahrscheinlichkeit.

In diesem Sinne sagt das H -Theorem ($-\frac{dH}{dt} \geq 0$) also aus, daß ein Gasesystem durch die Stöße der Moleküle von unwahrscheinlicheren zu immer wahrscheinlicheren Zuständen übergeht; das ist also die eigentliche Bedeutung des Satzes vom Wachstum der Entropie.

Diese Gleichung enthält auch den eigentlichen Grund für die sogenannte „Additivität der Entropie“, d. h. dafür, daß die Entropie S_{12} eines aus zwei Systemen zusammengesetzten Gesamtsystems gleich der

zusammen der Entropie S_1 und S_2 ist. Denn wir haben nach (77) für die Einzelentropien:

$$S_1 = k \log W_1,$$

$$S_2 = k \log W_2,$$

sind beide Systeme im Sinne der Wahrscheinlichkeitsrechnung unabhängig voneinander, so ist die Gesamtwahrscheinlichkeit $W_{12} = W_1 \cdot W_2$; also folgt durch Addition:

$$S_1 + S_2 = k \log (W_1 W_2) = k \log W_{12} = S_{12},$$

was zu beweisen war. Man erkennt hier auch die Bedingung, an die die Additivität der Entropie geknüpft ist: es muß $W_{12} = W_1 W_2$ sein, d. h. die beiden Systeme müssen unabhängig voneinander sein. Ist dies nicht der Fall — und man kennt einen derartigen, von M. v. L. aus entdeckten Fall in der Interferenzoptik —, so muß auch die Additivität der Entropie dort ungültig werden.

Der Zusammenhang zwischen Entropie und Wahrscheinlichkeit ist offenbar eine ganz fundamentale Relation, die, wenn sie überhaupt gilt, nicht auf ideale Gase, für die wir den Beweis geliefert haben, beschränkt sein kann. Man kann sie unterseits natürlich nicht allgemein beweisen — wenn auch für einzelne speziellen Fälle — und hat deshalb vielfach (u. B. Planck) zur allgemeinen Gewinnung dieser Beziehung das Postulat aufgestellt, daß irgendein funktioneller Zusammenhang zwischen S und W existiert (sog. Boltzmannsches Prinzip):

$$(78) \quad S = f(W).$$

Nimmt man dann die wahrscheinlich gültende Additivität der Entropie an Hilfe, so ist, da

$$S_1 = f(W_1),$$

$$S_2 = f(W_2)$$

ist, durch Addition:

$$S_{12} = S_1 + S_2 = f(W_1) + f(W_2) = f(W_{12}).$$

Da aber für unabhängige Systeme

$$W_{12} = W_1 \cdot W_2$$

ist, so folgt zur Bestimmung von $f(W)$ die Funktionequation:

$$(79) \quad f(W_1) + f(W_2) = f(W_1 W_2).$$

Differenziert man diese Gleichung partiell nach W_1 und W_2 , so erhält man, wenn Differentiationen nach dem Argument durch Striche bezeichnet werden:

$$f'(W_2) = f'(W_1 W_2) \cdot W_1,$$

$$f'(W_1) = f'(W_1 W_2) \cdot W_2,$$

und durch Division:

$$\frac{f'(W_2)}{f'(W_1)} = \frac{W_1}{W_2}.$$

oder:

$$W_1 f(W_2) = W_2 f(W_1) = \text{Const.},$$

und allgemein:

$$W f(W) = \text{Const.}$$

Daraus folgt durch Integration sofort:

$$f(W) = \text{Const.} \log W,$$

und mithin nach (76):

$$S = \text{Const.} \log W.$$

Die Konstante wird durch Anwendung auf einen speziellen Fall (ideales Gas) bestimmt: man findet sie gleich k . So erhalten wir also genau die Gl. (77) wieder.

Das Postulat eines funktionslosen Zusammenhangs zwischen Entropie und (geeignet zu definierender) Wahrscheinlichkeit des thermodynamischen Zustandes führt also in Verbindung mit dem Satze von der Additivität der Entropie zur Boltzmannschen Relation $S = k \log W$.

Bevor wir von diesem Ergebnisse Gebrauch machen, wollen wir zunächst auf die Kritik gegen dasselbe ein wenig eingehen.

98. Reversibilität oder Irreversibilität? Modell der H -Kurve.

In der Tat: Die durch das H -Theorem und das Boltzmannsche Prinzip gebotene mechanische Deutung des Entropiebegriffs bietet erhebliche Schwierigkeiten. Zunächst sei die folgende hervorgehoben:

Das H -Theorem $\left(\frac{dH}{dt} \leq 0\right)$ beansprucht, eine mechanische Deutung der Irreversibilität des Naturgeschehens zu geben, indem bei allen natürlichen Prozessen eine bestimmte Funktion $-H$ sich stets nur in einem Sinne $-$ nie im umgekehrten $-$ ändert. Das muß die Frage veranlassen, ob denn eine mechanische Deutung der Irreversibilität überhaupt denkbar und nicht vielmehr eine *contradictio in adjecto* sei. Denn die Gleichungen der reinen Mechanik stellen nur reversible Prozesse dar, wie wir schon in der Thermodynamik mehrfach betont haben. Und man behauptet das H -Theorem einerseits ein mechanisches Satz zu sein und doch eine Erklärung für die Irreversibilität liefern zu können! Liegt also nicht, wenn diese beiden Eigenschaften des Theorems zutreffen, hier ein innerer Widerspruch der Mechanik vor?¹⁾

So wäre es in der Tat, wenn das H -Theorem ein rein mechanisches Theorem in dem Sinne wäre, daß es nur die Grundgleichungen der Dynamik zur Voraussetzung hätte. Dies ist jedoch nicht der Fall. Denn

¹⁾ Vollständig ist es natürlich, auf folgenden Nachschauer: Bestände der obigen Erwand in Recht, so wäre damit natürlich auch die kinetische Deutung der Vorgänge der Reibung, Wärmeleitung und Diffusion hinfällig, da diese allen irreversiblen Vorgänge sind.

wenn wir in Nr. 56 auf pag. 458 oben von Gl. (31) zu rückwärts gehen, auf der das H -Theorem sich aufbaut, so erkennen wir, daß wir nur dann dazu gelangen, wenn wir die Zahl der Zusammenstöße zwischen A - und B -Molekülen nach Gl. (24) berechnen. Diese Gleichung, der sogenannte „Classimische Stoßzahlansatz“, beruht aber, wie wir am Schlusse der Nr. 56 (pag. 459) besonders hervorgehoben haben, auf einer Wahrscheinlichkeitshypothese, der sog. Hypothese des molekularen Unordnung: Die nach dem „Classimischen Stoßzahlansatz“ berechnete Zahl der Zusammenstöße ist keineswegs die „wirkliche“, sondern nur die „wahrscheinliche“.

Dennach ist also das H -Theorem kein rein mechanisches Theorem in dem Sinne, daß nur die Gesetze der reinen Dynamik bei seinem Beweise verwendet wurden; es enthält vielmehr außerdem noch Wahrscheinlichkeitsannahmen.

Dennnach sagt das Theorem nicht aus, welcher Zustand sich zwangsläufig aus einem gegebenen entwickelt (wie es ein rein mechanisches Theorem tun würde), sondern nur, welcher Zustand wahrscheinlich sich einstellen wird. Da also die einseitige Abnahme von H ganz wesentlich auf der Annahme einer Wahrscheinlichkeitshypothese beruht, kann jedenfalls von einem inneren Widerspruch der Mechanik nicht gesprochen werden.

Darf somit dieser Einwand gegen den logischen Bau der Mechanik als beseitigt gelten, so ist sich nunmehr eine Kluft zwischen den Aussagen der Thermodynamik und denen des H -Theorems, d. h. denen der kinetischen Theorie, ent. Denn nach der letzteren ist es nur sehr wahrscheinlich, nicht mehr absolut sicher, daß die Entropie bei jedem natürlichen Vorgange zunimmt, oder anders ausgedr.: eine Abnahme der Entropie ist nicht mehr eintreffend, wie es der zweite Hauptsatz der kinetischen Thermodynamik will, sondern nur wenig wahrscheinlich. Das bedeutet aber folgendes: Jedes Ereignis, dessen Wahrscheinlichkeit nicht exakt gleich Null ist, muß, wenn der Vorgang lange genug zeitlich verfolgt wird, schließlich eintreten. Also müssen wir erwarten, bei hinreichend langer Dauer z. B. eines Diffusionsversuches zweier Gase, daß wir eine teilweisere oder völlige Entmischung der beiden diffundierten Gase beobachten werden!

In dem nämlichen Konflikte zwischen kinetischer Theorie und Thermodynamik steht eine schon 1876 von Loschmidt angestellte Überlegung, der sogenannte „Unketkreiswand“. Derselbe hat darauf klara, zu betonen, daß nach den kinetischen Anschauungen zu jeder Zustandsfolge auch die umgekehrte möglich ist, während nach den Anschauungen der Thermodynamik nur einseitige Zustandsfolgen — diejenigen, die mit Zunahme der Entropie verbunden sind — möglich sein sollen.

Trotzdem steht auch die Seite von Polanco-Bernardo-Garattini-Lory, der sogenannte „Wiederkehrbeweis“, auch im wesentlichen zu demselben Dilemma zwischen kinetischer Theorie und Thermodynamik. Nach diesem Satze⁵⁾ kommt ein abgeschlossenes System, z. B. ein Gas, einem einmal insgesamten Zustande nach hinreichend langer Zeit wieder beliebig nahe. Wenn also ein System, von einer bestimmten Lage ausgehend, durch eine Reihe von Zustandsfolgen wieder nahe zu seine Ausgangslage zurückkehrt, so muß die Entropie wieder nahezu ihren Ausgangswert annehmen, d. h., sie muß, wenn sie zuvor angenommen hatte, auch wieder abnehmen.

Bei dieser Dilemma — auf der einen Seite die klassische Thermodynamik mit ihren zahllosen Bestätigungen, auf der andern Seite die kinetische Theorie mit ihren wesentlich tiefer dringenden Fragestellungen und Resultaten — entscheiden wir uns auf Grund der Erfahrung für die Richtigkeit der Anschauungen der kinetischen Theorie. Wir betrachten also das zweite Hauptsatz der Thermodynamik nicht als streng gültigen Satz, ebensowenig wie das Clausius-Plancksche Prinzip von der Unmöglichkeit eines Perpetuum mobile zweiter Art, sondern nur als einen ungeheuer geläufigen Erfahrungssatz, der sich nur durch die Theorie erklären lassen muß. Die „apagogischen“ Forderungen der klassischen Thermodynamik müssen den detaillierten und tiefen der kinetischen Theorie weichen.

Wir haben eben betont, daß wir uns an Hand der Erfahrung für die kinetische Theorie entschieden haben. Welche von der klassischen Thermodynamik abweichenden Beobachtungen haben wir denn auf Grund der kinetischen Theorie zu erwarten?

Wenn jedes System im allgemeinen von unvorhersagbarsten zu wahrscheinlichsten Zuständen übergehen „besteht“ ist, so wird diese Aussage, ganz im Sinne der klassischen Thermodynamik verstanden, Zustandfolge um so sicherer eintreten, je größer der Unterschied in den Wahrscheinlichkeiten zwischen Anfangszustand und Endzustand ist. Zum Beispiel ist der Zustand eines Gases, dessen Moleküle alle in der einen Hälfte des einschließenden Gefäßes konzentriert sind, ein äußerst unwahrscheinlicher im Verhältnis zu dem Zustand desselben Gases, in dem die Moleküle sich gleichmäßig über den ganzen zur Verfügung stehenden Raum verteilen. Wir werden also von dem gedachten Anfangszustande aus eine gewisse erhebende Wahrscheinlichkeit dafür haben, daß das Gas in den gedachten Endzustand übergeht, d. h. wir werden so gut wie in allen Fällen nur diesen Vorgang beobachten, wie er beim Gay-Lussacschen Prozesse tatsächlich vor sich geht, und wir werden niegeheuer sehen, d. h. praktisch niemals, den umgekehrten Vorgang beob-

⁵⁾ Die genaue Formulierung steht etwa bei E. Morin, im *Repertoire des Phys.* von H. Gaze und B. E. Weber, Bd. I, 3, pag. 499.

schien können, wo das Gas von gleichmäßiger Verteilung in ungleichmäßiger übergeht. Mit andern Worten: Einer nicht durch die Theorie geleiteten und unterpostulierten Beobachtung muß dieser Prozeß als durchaus irreversibel erscheinen, ganz wie es die klassische Thermodynamik auch aufstellt hat.

Ganz anders aber liegt die Sache, wenn die Wahrscheinlichkeit von Anfangs- und Endzustand nur sehr wenig differiert. Betrachten wir z. B. ein Gas, dessen Moleküle sich ganz gleichmäßig über das zur Verfügung stehende Volumen ausgedehnt haben. Nach der klassischen Thermodynamik muß dieser Zustand im Stange bestehen bleiben, weil ihm das Maximum der Entropie entspricht. Nach der klassischen Theorie ist das sogar unmöglich; denn die Moleküle der Gase werden kontinuierlich kleinen Schwankungen der Moleküldichte im Kubikzentimeter, d. h. Schwankungen der Dichte, um die normale Dichte hervorbringen müssen, die selbst im allgemeinen durchaus unmerklich sind, aber in besonderen Fällen, wie nennt v. Smoluchowski gesagt hat, beobachtet werden können. Jede derartige Dichteschwankung bedeutet aber thermodynamisch eine Abnahme der Entropie. So wird es in allen Fällen sein: haben zwei Zustände zwei unterschiedlich verschiedene Wahrscheinlichkeiten, so wird in der schwachsten Molekühl der Fälle der Übergang vom weniger wahrscheinlichen zum wahrscheinlicheren, d. h. ständig erfolgen, also ganz genau so, wie es die Thermodynamik vorschreibt, wenn auch nicht mit absoluter Sicherheit, so doch eben mit gewisser überwältigender Wahrscheinlichkeit. Ganz anders aber liegt die Sache, wenn das System beliebig nahe an einer Gleichgewichtslage, d. h. an einem wahrscheinlichsten Zustande sich befindet. Dann kann man durchaus nicht sicher sein — weil die Differenz der Wahrscheinlichkeiten nurmehr noch sehr klein ist —, daß das System immer oder noch nur in der Molekühl der Fälle wirklich zum wahrscheinlichsten Zustande übergeht: vielmehr wird man oft beobachten können, daß das System sogar zu Zuständen übergeht, die in geringem Maße weniger wahrscheinlich sind. Man wird mit andern Worten in der Nähe der Gleichgewichtslage unregelmäßige Schwankungen um dieselbe zu erwarten haben.

Die Deckungsfähigkeit dieser im Gegensatz zur klassischen Thermodynamik erfolgenden Schwankungen ist demnach ein Beweis für die Richtigkeit der klassischen Anschauungen. Im Laufe der letzten zwei Jahrzehnte ist eine Fülle von Material dafür beigetragen worden, wovon wir einige Beispiele (die sog. Brownsche Molekularbewegung, die Konzentrationschwankungen von Lösungen und Gasen usw.) im obierten Kapitel etwas näher besprechen wollen. Die hier vertretene Auffassung hat wesentlich der die Wissenschaft zu sehr einflussreiche M. v. Smoluchowski durch seine Arbeiten begründet.

Hier wollen wir zum Schluß noch ein ganz anderes Modell des „H-Kurve“ betrachten, das von P. u. T. Ehrenfest¹⁾ herkömmt und ge-

¹⁾ P. u. T. Ehrenfest, *Physikalische Zeitschrift*, 6, pag. 82, 1905.

eignet erscheint, die hier auftretenden Schwierigkeiten zu klären. Insbesondere erhält man einen Einblick in die Natur des R -Theorems und die Notwendigkeit des Auftretens von Schwachungen um die Gleichgewichtslage.

Auf zwei Urnen, eine schwarze und eine weiße, sei eine bestimmte gerade Anzahl R nummerierter Zettel verteilt, etwa x in der schwarzen, $R - x$ in der weißen Urne. Die Zahlen 1 bis R sind noch einmal als Nummern in einer Ziehurne vorhanden, und es wird in regelmäßigen Zeitabständen aus dieser eine Nummer gezogen und wieder zurückgelegt. Gleichzeitig wird der Zettel mit der gleichen Nummer aus der Urne, in der er sich befindet, in die andere Urne gelegt.

Es ist klar, daß der wahrscheinlichste Zustand der sein wird, daß in der schwarzen und weißen Urne gleich viele, nämlich $\frac{R}{2}$, Zettel sich befinden. Denn wenn die Anfangsverteilung wie oben durch die Annahme von x Zetteln in der schwarzen, $(R - x)$ in der weißen Urne bestimmt ist, so ist die Wahrscheinlichkeit, von den R Nummern in der Ziehurne eine Nummer zu ziehen, deren zugehöriger Zettel in der schwarzen Urne liegt, offenbar $\frac{x}{R}$, da x die Anzahl der gleichmöglichen günstigen Fälle (Komplexionen), R die Gesamtzahl aller möglichen Fälle ist. Wir wählen eine solche Ziehung der Kugel außer eine „schwarze“ Ziehung nennt. Entsprechend ist die Wahrscheinlichkeit einer „weißen“ Ziehung offenbar gleich $\frac{R-x}{R}$. Ist nun etwa $x > R - x$, so ist die relative Wahrscheinlichkeit $\frac{x}{R-x}$ einer schwarzen zu einer weißen Ziehung größer als 1, also wird wahrscheinlich jetzt eine schwarze Ziehung erfolgen, d. h. ein Zettel wandert aus der schwarzen in die weiße Urne, so daß die Differenz zwischen beiden sich vermindert. Diese Tendenz besteht offenbar solange, bis $x - (R - x) = 0$ geworden ist; da wird allerdings immer schwächer, je näher diese Differenz der Null kommt.

Wenn wir also mit einem sehr unwahrscheinlichen Anfangswert beginnen, etwa $x = R$ nehmen, d. h. wenn alle Zettel in der schwarzen Urne liegen, keiner in der weißen, so muß bei der ersten Ziehung ein Zettel in die weiße Urne übergehen, weil die Wahrscheinlichkeit einer schwarzen Ziehung jetzt $\frac{R}{R} = 1$, d. h. Gewißheit, die einer weißen gleich $\frac{0}{R} = 0$, d. h. Unmöglichkeit, ist. Auch die nächste Ziehung wird höchstwahrscheinlich, wenn $R > 1$ ist, im selben Sinne verlaufen, d. h. im Sinne der Annäherung an den wahrscheinlichsten Zustand. Denn bei diesen ersten Ziehungen ist das Verhältnis der Wahrscheinlichkeiten einer schwarzen zu einer weißen Ziehung, nämlich $\frac{x}{R-x}$, außerordentlich groß gegen 1. Aber unmöglich ist es doch nicht, daß schon der zweite Zug im umgekehrten Sinne vor sich geht, denn die Wahrscheinlichkeit dafür ist zwar sehr klein, aber nicht exactly gleich Null.

Je näher man dem völligen Ausgleich kommt, desto mehr nähern sich die Wahrscheinlichkeiten für eine schwarze und eine weiße Ziehung einander, es besteht kein entscheidendes Übergewicht der einen über die andere mehr, und demgemäß ist der Ausfall der nächsten Ziehung durchaus zweifelhaft. Sie kann im Sinne des Ausgleichs, aber mit fast ebenso großer Wahrscheinlichkeit entgegen dem Sinne desselben erfolgen.

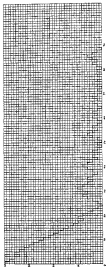
Konstruiert man also eine „Kurve“, indem man den absoluten Wert der Differenz $|x - (R - x)| = |d|$ als Ordinate gegen die Zahl der Ziehungen (also im wesentlichen gegen die Zeit) als Abszisse aufträgt, so werden wir bei der vorausgesetzten sehr unbedeutenden Anfangsverteilung die Kurve fast eine Schenkung nach unten haben, wenn wir in der Nähe von $|d| = 0$ wieder Schwankungen auftreten. Der erste Teil des Prozesses erscheint einem „Wahrscheinlichkeitser“, wie wir es alle der Natur gegenüber sind, als irreversibel; erst in der Nähe der Gleichgewichtslage zeigen uns die Schwankungen, daß es sich in Wirklichkeit um einen reversiblen Prozeß handelt.

Die Wahrscheinlichkeit dafür, daß einmal wieder alle R Zettel in einer Urne liegen, ist zwar sehr klein, aber durchaus nicht Null. Und wenn man das Spiel lange genug fortsetzt, so muß schließlich dieser Fall auch eintreten, ganz in Übereinstimmung mit dem Poincaré-Borel-Caratheodoryschen Satz von der Wiederkehr aller früheren Zustände. Allerdings gibt es vielleicht eine Million oder eine Billion von Tagen dazu, um diesen Resultat zu erhalten.

In der Figur 76 ist ein dergleicher Versuch mit $R = 48$ wiedergegeben. Zu Anfang waren alle Zettel in der schwarzen Urne, d. h. $x = 48$.

Man erkennt, daß die ersten Züge in der Tat starkes fahren, dann tritt ein einseitiger Rückschlag ein, dem eine lange Zeit hindurch nur einseitige Abnahme folgt, d. h. starke Annäherung an den Ausgleich, noch einmal ein Rückschlag, und dann schließlich stetige Abnahme bis zu $|d| = 0$. Dieser Wert ist nach 24 Zügen erreicht worden, ohne die beiden Rückschläge hatte dieses Resultat in 20 Zügen erreicht werden können. Nunmehr beginnen die Schwankungen um die Nulllage, die hier als positiv ansetzen, weil wir den absoluten Betrag von d auftragen; sie sind, wie man sieht, ganz unregelmäßig; das sind die bei jedem Vorgange in der Nähe der Gleichgewichtslage zu erwartenden Schwankungen. Sie können, wie schon oben betont, bei fortwährender Fortsetzung jeden Betrag erreichen, doch ist in der Natur die demzufolge Zeitdauer unendlich groß gegenüber der der menschlichen Beobachtung, weil wir es in der Natur mit so enormen Zahlen R zu tun haben.

* Dagegen, daß wir den absoluten Wert von d auftragen, enthält das Resultat, daß die in Fig. 76 aufgetragenen Schwankungen als einseitig sind. Dies ist mit Rücksicht auf die Beziehung zur Entropie gezeichnet, bei der jede Schwankung eine Abnahme hervorruft. Würden wir dagegen d selbst auftragen, so würden die Schwankungen der Fig. 76 natürlich zu beiden Seiten der Nulllinie auftreten. Der Leser möge diesen Versuch auch nach diesem letzteren Verfahren auftragen.



Die Kurve der Fig. 7b ist also ein getreuer Abbild der M-Kurve als Funktion der Zeit betrachtet; sie entspricht der auch darin, daß beide un- stetige Funktionen der Zeit sind; sowohl die M-Kurve, als die in Fig. 7a dargestellte, sind sogenannte „Treppenkurven“, weil die Zahl der Moleküle, wenn auch sehr groß, doch immer endlich ist. Die Differentialquotienten besitzen also nur die Werte $+\infty$, 0, $-\infty$. Was im Vorhergehenden durch $\frac{dR}{dt}$ bezeichnet wurde, wäre besser als ein echter Differentialquotient, als z. B. Δu ein echtes Differential was. Die mit $\frac{dR}{dt}$ bezeichnete Größe ist vielmehr ein Differenzenquotient, und das Übersehen dieses Umstandes hat zu manchen unberechtigten Einwürfen gegen das M-Theorem geführt.

Der klassische Stoffklement findet sein Analogon in dem Ausdruck für die relative Wahrscheinlichkeit $\frac{R}{R-\alpha}$ einer schwarzen oder weißen Ziehung; finden die Ziehungen immer mehr mit dem

Zusatzes steht, wie sie diesem Verhältnisse entsprechen, so hat man eine dauernd einseitige Abnahme von $|d|$ bis zum vollständigen Ausgleich zu erwarten. Dieses entspricht die Annahme von der asymptotischen Gültigkeit des Streubehaupten im N -Theorem die einseitige Abnahme von H mit der Zeit.

Wegen aller Details sei der Leser auf die sehr interessante Kierkegaardische Arbeit selbst verwiesen.⁷⁾

⁷⁾ Wer weiter nach dem Fragen zu beschäffigen wünscht, sei auf den ausgezeichneten Referat von P. und T. Ehrenfest über die „logischen Grundlagen der statistischen Auffassung in der Physik“ im vierten Bande der *Psychologische der mathematischen Wissenschaften* aufmerksam gemacht. Wir selbst haben in wesentlichem Maße an die Auffassung dieser Referate angeknüpft.

Zehntes Kapitel. Statistische Mechanik.

100. Allgemeines Charakterisierung der Aufgabe und der Methode der statistischen Mechanik.

Die kinetische Theorie der Gase macht bei ihren Untersuchungen vielfachbestehend viele Annahmen über die Natur der Moleküle, über die zwischen ihnen wirkenden Kräfte usw. Z. B. haben wir das Äquipartitionstheorem in Nr. 88 nur unter der Annahme bewiesen — wie schon vorher zahlreiche andere Resultate —, daß die Moleküle starrer Kugeln sind. Es liegt also das Behauptung nach einer Verallgemeinerung insofern vor, als es wahrscheinlich wäre, alle diejenigen Resultate unabhängig von speziellen Voraussetzungen der obigen Art zu gewinnen, die nur auf der allgemeinen mechanischen Natur des Systems beruhen.

In der Tat: Bei dem bisherigen Stande können wir nicht sagen, ob z. B. das Äquipartitionstheorem in die Gültigkeit einer Voraussetzung über die Gestalt der Moleküle gebunden ist oder nicht, und das Gleiche gilt mehr oder weniger von fast allen bisherigen Resultaten. Die hier skizzierte Aufgabe bildet den Inhalt der sogenannten „statistischen Mechanik“; ihre einzige wesentliche Voraussetzung ist die, daß die betrachteten Systeme mechanische sind, also den allgemeinen Gleichungen der Dynamik gehorchen.

Die Methode der statistischen Mechanik werden wir am besten an einem statischen Beispiele erläutern. In Nr. 60 haben wir den Begriff des mittleren Geschwindigkeitsquadrates \bar{v}^2 eingeführt, und wir haben schon früher betont, daß dies ein sogenannter „Scharmittelwert“ ist, d. h. ein Mittelwert, gebildet über statistische Moleküle des Gases, d. h. des Gases. Bei ihm in Nr. 60 besprochenen Gleichgewichtszustandem Verhältnisse jedoch begreifen wir nicht zeitlichen Mittelwerte über \bar{v}^2 , das wir mit \bar{v}^2 bezeichnen, und wir haben schon damals eine Zusammenhänge (am Beispiel der lebendigen Kraft) zwischen beiden Arten von Mittelwerten konstatiert. Denn die gesamte kinetische Energie L eines Gases kann einmal dargestellt werden vermöge des Scharmittels durch:

$$(1) \quad L = \int \bar{v}^2 \rho \, dV,$$

und andererseits vermöge des Zeitmittels durch:

$$(2) \quad L = \frac{1}{\tau} \sum \bar{v}^2 = \frac{1}{\tau} \sum \bar{v}^2,$$

wodurch offenbar die oben angenommene Forderung hergestellt wird. Denn die Gl. (1) kann auch geschrieben werden:

$$(3) \quad L = \frac{1}{2} \sum p^2,$$

wobei jetzt in (3) und (6) die Summation über alle Moleküle des Systems zu verstehen ist. Also folgt durch Differenzbildung, wie schon damals betont:

$$(4) \quad \sum \frac{p}{2} (p^k - p^l) = 0,$$

woraus sich weiter ergibt, daß der Schwanzmittelwert der kinetischen Energie eines Moleküls $\frac{p}{2} \bar{p}^2$ gleich ist dem arithmetischen Mittelwerte desselben $\frac{p}{2} \bar{p}^2$.

Man hat also zwei Methoden vor sich, die Mittelwerte der kinetischen Energie zu bilden: einmal verfolgt man ein Molekül durch eine sehr lange Zeit t hindurch und bildet das Zeitmittel nach der Vorschrift:

$$(5) \quad \frac{p}{2} \bar{p}^2 = \frac{1}{t} \int_0^t \frac{p}{2} p^2 dt.$$

Ein zweites Mal betrachtet man eine sehr große Zahl von Molekülen (das Gas) in einem bestimmten Zeitmomente und bildet — mit Hilfe der aus dem Maxwell'schen Verteilungsgesetze bei bekannten Verteilungsfunktion φ — (siehe Gl. (45) des achten Kapitels auf pag. 396):

$$(6) \quad \frac{p}{2} \bar{p}^2 = \frac{\int \frac{p}{2} p^2 \varphi dv}{\int \varphi dv}.$$

Daß beide sich als gleich ergeben, ist keineswegs selbstverständlich, sondern beruht hier offenbar auf folgendem:

Bei Betrachtung eines Gasmoleküls durch sehr lange Zeit t hindurch nimmt dasselbe infolge der Zusammenstöße alle möglichen Geschwindigkeiten an, über deren Quadrat dann gemittelt wird; natürlich hängt der Mittelwert davon ab, wie häufig die einzelnen Geschwindigkeitswerte sind, die sich innerhalb der Zeit einstellen. Ebenso sind bei einer großen Zahl von Molekülen, die in einem Momente betrachtet werden, alle möglichen Geschwindigkeiten vorhanden, über deren Quadrat dann das Zeitmittel gebildet wird. Und zwar wird dieses Schwanzmittel dann dasselbe sein wie das Zeitmittel, wenn die zeitliche Verteilung der Geschwindigkeiten bei einem Moleküle dieselbe ist wie die räumliche Anordnung der gleichzeitig bei einer ganzen Schaar von Molekülen vorhandenen Geschwindigkeitswerte. Diese Bedingung muß in dem vorhin besprochenen Falle erfüllt sein, und

²⁾ Genau genommen ist das Schwanzmittel der Linear, das sich durch dieses Integral für $v = \infty$ ausrechnet; die Bildung dieses Grenzwertes ist aber nicht notwendig.

man kann auch leicht weitere einfache Beispiele angeben, in denen dies der Fall sein wird. Wenn z. B. festgestellt ist, daß ein Hochtemperat bei 1000 aufeinanderfolgenden Stößen 87mal auf der Skala steht, so wird man als wahrscheinlich annehmen dürfen, daß bei einer Gesamtheit von 1000 Resultaten im Durchschnitt gerade in jedem Augenblicke 87 auf der Skala stehen.⁵⁾

Aber jedenfalls kann man den hier dargelegten Gedanken verallgemeinern — unter welchen Bedingungen, weiß sich im Laufe der Untersuchung selbst zeigen, — und auf ihn — der Veranschaulichung zeitlicher Mittelwerte in einem System mit Schermittelwerten einer geeignet gebildeten Gesamtheit von Systemen — beruht der mathematische Apparat der statistischen Mechanik, die daher auch ihren Namen gewonnen hat; es wird über alle Systeme einer Gesamtheit gewissenmaßen eine „Statistik“ aufgenommen, und diese statistischen Aussagen treten an Stelle der Wahrscheinlichkeitsaussagen bei einem System. In diesem Sinne statistische Betrachtungen wurden zuerst von Boltzmann gelegentlich und von Maxwell systematisch angestellt (von letzterem ruht auch der Name für denartige Untersuchungen her); in einem vollständigen System hat J. W. Gibbs die statistische Mechanik ausgebildet.⁶⁾

Wir wollen im folgenden einen Überblick über die wichtigsten Ergebnisse der statistischen Mechanik geben, ohne natürlich im geringsten Vollständigkeit anstreben zu können. Auch können wir nicht alle Begründungen so streng gestalten, wie dies wünschenswert wäre, sondern wir werden uns vielfach mit einem Handwinkeln begnügen müssen.⁷⁾

In den nächsten Kapiteln wollen wir zunächst einige mathematische Hilfsmittel aus der Mechanik zusammenstellen, die wir benötigen werden.

202. Die Hamiltonschen Gleichungen der Dynamik.⁸⁾

Ein mechanisches System kann im Sinne von Lagrange durch eine allgemeine Koordinateng, und eine allgemeine Geschwindigkeit

$$\dot{q}_i = \frac{dq_i}{dt}$$

⁵⁾ Dieses von F. Berthel herrührende Beispiel ist übrigens aus dem Grunde wohl nicht ganz der Kern der Sache, weil 1000 maliges Auftreten eines Resultates kaum als der mittlere Mittel einer mechanischen Systeme schätzbar werden kann.

⁶⁾ J. W. Gibbs, *Elementare Grundlehren der statistischen Mechanik*, deutsch von E. Kowale, Leipzig 1902.

⁷⁾ Eine zusammenfassende und gleichzeitig kritische Darstellung findet man in dem Artikel von F. Berthel über statistische Mechanik im *Repertorium der Physik* von Fehle und Gans, Bd. 2, zweiter Teil, sowie in dem oben genannten *Encyclopädischen* von P. und E. Kleinert. Die neueste und vollständigste Darstellung erhält von A. Einstein im (*Encyclopädie d. math. Wissenschaften*, 3, Art. 25: *Allgemeine Grundlehren der Quantenmechanik und Quantentheorie*).

⁸⁾ Eine Ableitung der Hamiltonschen Gleichungen befindet sich im 1. Bande dieses Werkes in Nr. VI, pag. 101 ff. Damit der Leser alles Notwendige beisammen habe, haben wir die Wiederholung einer Vorlesung vor.

charakterisiert werden, und es gelten die sogenannten Lagrange'schen Gleichungen zweiter Art (siehe Bd. I, pag. 203H). Bezeichnen L und Φ kinetische und potentielle Energie des Systems, so ist:

$$(7) \quad \frac{\partial \Phi}{\partial \dot{q}_k} = \frac{\partial L}{\partial \dot{q}_k} + \frac{d}{dt} \left(\frac{\partial L}{\partial \ddot{q}_k} \right) = 0 \quad (k = 1, 2, \dots).$$

In diesen Gleichungen ist Φ eine Funktion der q_k allein, L eine Funktion der q_k und \dot{q}_k , und zwar eine homogene quadratische Form in den \dot{q}_k , deren Koeffizienten Funktionen der q_k sind. Insbesondere ist nach dem Eulerschen Theorem über homogene Funktionen:

$$(8) \quad \sum_k \frac{\partial L}{\partial \dot{q}_k} \dot{q}_k = 2L.$$

Da Φ von den \dot{q}_k nicht abhängt, kann statt (7) und (8) auch geschrieben werden:

$$(9) \quad \frac{d}{dt} \left(\frac{\partial L - \Phi}{\partial \dot{q}_k} \right) = \frac{\partial L - \Phi}{\partial \dot{q}_k} = 0$$

und

$$(10) \quad \sum_k \frac{\partial L - \Phi}{\partial \dot{q}_k} \dot{q}_k = 2L.$$

Die Differenz

$$(11) \quad L - \Phi = H^0$$

wird als das „kinetische Potential“ oder als die „Lagrange'sche Funktion“ bezeichnet. Mit ihr gewinnen die Gl. (9) und (10) die Gestalt:

$$(12) \quad \frac{d}{dt} \left(\frac{\partial H^0}{\partial \dot{q}_k} \right) = \frac{\partial H^0}{\partial \dot{q}_k} = 0,$$

$$(13) \quad \sum_k \frac{\partial H^0}{\partial \dot{q}_k} \dot{q}_k = \sum_k \frac{\partial L}{\partial \dot{q}_k} \dot{q}_k = 2L.$$

Da L in den \dot{q}_k homogen und quadratisch ist, sind die Ausdrücke

$$\frac{\partial L}{\partial \dot{q}_k} = \frac{\partial H}{\partial \dot{q}_k}$$

lineare homogene Funktionen der \dot{q}_k , die man als die „allgemeinen Impulse“ p_k bezeichnet:

$$(14) \quad \frac{\partial L}{\partial \dot{q}_k} = \frac{\partial H}{\partial \dot{q}_k} = p_k,$$

weil in kartesischen Koordinaten der Ausdruck $\frac{\partial L}{\partial \dot{q}_k}$ direkt mit dem gewöhnlichen Impuls (Masse \times Geschwindigkeit) identisch ist. Mit Einführung der Impulse kann die Lagrange'sche Gleichung geschrieben werden:

$$(15) \quad \frac{dp_k}{dt} = \frac{\partial H}{\partial q_k}.$$

^{*)} Eine Verwechslung mit der Boltzmann'schen H -Funktion ist wohl nicht zu befürchten.

Wir wollen nun aus diesen Formeln das neue Gesicht der dynamischen Gleichungen herleiten, die von größtem Nutzen für alle Betrachtungen der statistischen Mechanik sich erweisen wird.

Bilden wir zu diesem Zweck die Variation der Lagrangeschen Funktion H , so ergibt sich, da H sowohl von den q_k als auch von den p_k abhängt:

$$\delta H = \sum_k \frac{\partial H}{\partial q_k} \delta q_k + \sum_k \frac{\partial H}{\partial p_k} \delta p_k,$$

oder, unter Berücksichtigung der Gl. (14) und (15):

$$(16) \quad \delta H = \sum_k p_k \delta q_k + \sum_k p_k \delta p_k.$$

Bildet man ferner die Variation des Ausdrucks $\sum_k p_k q_k$, so hat man:

$$\delta \sum_k p_k q_k = \sum_k p_k \delta q_k + \sum_k q_k \delta p_k,$$

was für den in (16) vorkommenden Term $\sum_k p_k \delta q_k$ ergibt:

$$(17) \quad \sum_k p_k \delta q_k = \delta \left[\sum_k p_k q_k \right] - \sum_k q_k \delta p_k.$$

Setzt man dies in (16) ein, so folgt weiter:

$$\delta H = \sum_k p_k \delta q_k + \delta \left[\sum_k p_k q_k \right] - \sum_k q_k \delta p_k,$$

oder, indem gestrichet:

$$(18) \quad \delta \left[H - \sum_k p_k q_k \right] = \sum_k p_k \delta q_k - \sum_k q_k \delta p_k.$$

Der Ausdruck $\left[H - \sum_k p_k q_k \right]$ hat nun eine wichtige physikalische Bedeutung. Denn $\sum_k p_k q_k$ ist nach Gl. (14) gleich $\sum_k \frac{\partial H}{\partial \dot{q}_k} q_k$ und nach Gl. (16) gleich $2L$, so daß wir für $\left[H - \sum_k p_k q_k \right]$ den Wert $[H - 2L]$ erhalten. Da aber H nach Gl. (11) gleich $[L - \Phi]$ ist, so folgt schließlich

$$(19) \quad H - \sum_k p_k q_k = L - \Phi - 2L = -(L + \Phi) = -U,$$

wenn U die Gesamtenergie bezeichnet. Also geht (18) über in:

$$(20) \quad \delta U = - \sum_k p_k \delta q_k + \sum_k q_k \delta p_k.$$

Darüber wie man von U als Funktion der q_k und p_k (statt wie bisher als Funktion der q_k und \dot{q}_k) ausgedrückt, was mittels der Gl. (14) möglich ist, so ist offenbar:

$$\delta U = \sum_k \frac{\partial U}{\partial p_k} \delta p_k + \sum_k \frac{\partial U}{\partial q_k} \delta q_k,$$

also besteht auch (20) die Gleichung:

$$\sum_k \frac{\partial U}{\partial p_k} \delta p_k + \sum_k \frac{\partial U}{\partial q_k} \delta q_k = - \sum_k q_k \delta p_k - \sum_k p_k \delta q_k,$$

die bei der kanonischen Unabhängigkeit der Größen δp_α und δq_α voneinander nur bestehen kann, wenn links und rechts die Koeffizienten jedes δp_α und δq_α einzeln gleich sind. Also muß sein:

$$(31) \quad \begin{cases} \frac{\partial H}{\partial t} = -\frac{\partial \Phi}{\partial q_\alpha} \\ \frac{\partial H}{\partial t} = +\frac{\partial \Phi}{\partial p_\alpha} \end{cases} \quad (\alpha = 1, 2, \dots, f).$$

Diese Form der dynamischen Gleichungen hat H. W. Hamilton zuerst angegeben; sie stellen ein System von besonders Einfachheit und Symmetrie dar, das sich bei allen künftigen Untersuchungen in den Händen von Boltzmann, Maxwell und Gibbs bewährt hat. Die Variablen p_α und q_α heißen „kanonische Variable“, weil die Wahl derselben große Vorteile vor der bisherigen Wahl \dot{q}_α und q_α hat; deshalb heißen auch die Gl. (31) die „kanonischen Gleichungen“ der Dynamik. Wenn die Vorteile der kanonischen Variablen für uns bestehen, wird sich im Laufe der weiteren Untersuchung klar zeigen.

Die physikalische Bedeutung der kanonischen Gleichungen wollen wir an einem ganz einfachen Beispiel klar machen. Es sei in kartesischen Koordinaten:

$$L = \frac{m}{2} \dot{x}^2, \quad \Phi = \Phi(x).$$

Dann ist $p = m\dot{x}$, $q = x$, also weiter offenbar:

$$\frac{\partial L}{\partial \dot{x}} = \frac{\partial L}{\partial p} = \frac{\partial \Phi}{\partial x},$$

also nach der ersten Gl. (31):

$$\frac{d}{dt} (m\dot{x}) = -\frac{\partial \Phi}{\partial x}.$$

Das ist aber die Newtonsche Bewegungsgleichung der Mechanik, da $-\frac{\partial \Phi}{\partial x}$ die wirkende Kraft bedeutet. Ferner ist $\frac{\partial L}{\partial p} = \dot{x}$, was mit der zweiten Gl. (31) übereinstimmt, da \dot{q} auch gleich \dot{x} ist. Die zweite Gl. (31) definiert also die Impulse, während die erste die eigentlichen Bewegungsgleichungen liefert.

18. Phasenraum, Phasenpunkt, Phasenkurve, Liouvillescher Satz.

Wir wollen ein System von N Molekülen betrachten, deren jedes f Freiheitsgrade besitzen möge. Das System besitzt dann im ganzen Nf Freiheitsgrade, und der zeitliche Ablauf der Bewegung ist durch die $2Nf$ Hamiltonschen Gl. (31) bestimmt, wenn noch die Anfangsbedingungen, d. h. die Nf Werte q_i (die Anfangslage) und die Nf Werte p_i (die Anfangsgeschwindigkeiten bzw. Anfangsimpulse) gegeben sind. Die Hamiltonschen Gleichungen bestimmen q_i und p_i als Funktionen der Zeit t . Man nennt den Integrall der Größen $\langle q_i, p_i \rangle$ nach Gibbs die „Phase“ des Systems zur Zeit t . Denken wir uns die Nf Größen q_i

und die $3Rf$ -Größen p_β als kartesische Koordinaten eines $3Rf$ -dimensionalen Raumes, so wird der jeweilige Zustand des ganzen Systems durch einen Punkt mit den Koordinaten p_β, q_β ($\beta = 1, 2, \dots, 3Rf$) dargestellt. Diesen $3Rf$ -dimensionalen Raum nennt man den „Phasenraum“; wir erkennen, daß der gewöhnliche „Lageraum“ und der im vorigen Kapitel mehrfach benutzte „Geschwindigkeitsraum“ spezielle Fälle dieses allgemeinen Phasenraums sind. Den das System durchlaufenden Punkt (p_β, q_β) nennt man den „abbildenden Punkt“, den „Phasenbildpunkt“ oder kurz den „Phasenpunkt“. Im Laufe der Zeit wandert der Phasenpunkt im Phasenraum und beschreibt eine eindimensionale Kurve, die als „Phasenbahn“ bezeichnet wird. Sie stellt die zeitlichen Veränderungen des Systems geometrisch dar und ist in demselben Sinne eine Veranschaulichung des Begriffs der „Bahnkurve“, wie der Phasenraum eine Veranschaulichung des gewöhnlichen Lageraums ist.

Wir können auch den Begriff der „Phasengeschwindigkeit“ einführen. Denn die Phasenbahn wird ja durchlaufen, indem sich die Koordinaten q_β, p_β zeitlich ändern; also können wir offenbar die Größen $\dot{q}_\beta, \dot{p}_\beta$ als die Komponenten der Geschwindigkeit im Phasenraum betrachten, die wir kurz als „Phasengeschwindigkeit“ bezeichnen; sie ist ein $3Rf$ -dimensionaler Vektor mit den bezeichneten $3Rf$ Komponenten.

Da die Energie des Systems konstant ist, so existiert das Energieintegral:

$$(22) \quad L + \Phi = U(p_\beta, q_\beta) = \text{Const.},$$

und das ist eine Relation zwischen den Koordinaten p_β und q_β ; das bedeutet aber, geometrisch gesprochen, eine $(3Rf - 1)$ -dimensionale Fläche im Phasenraum, die wir als Energiefläche, oder genauer als Energiehyperfläche bezeichnen. Auf ihr muß die Phasenbahn ihrer ganzen Ausdehnung nach liegen. Die Phasenbahn hat folgende wichtige Eigenschaft: Da durch die Hamiltonschen Gleichungen der zeitliche Ablauf vollkommen eindeutig bestimmt ist, so kann durch einen Punkt des Phasenraums nur eine Phasenbahn hindurchgehen, und insbesondere kann eine Phasenbahn sich nicht selbst durchschneiden, da dann eine Zweideutigkeit des Fortschreitens vom Schnittpunkt aus entstehen würde.

Wir wollen uns nun nicht nur ein System, sondern eine sehr große Anzahl von identischen Systemen denken, die sich nur durch die Anfangsbedingungen (q_i^0, p_i^0) unterscheiden. Jedem dieser Systeme entspricht dann ein Phasenpunkt; jeder dieser Phasenpunkte beschreibt eine auf der entsprechenden Energiefläche liegende Phasenbahn. Es ist hierbei noch bekanntzugeben, daß alle die betrachteten Systeme die gleiche Energie besitzen, d. h. daß alle Phasenpunkte auf derselben Energiefläche liegen; vielmehr wollen wir zunächst alle möglichen Energiewerte, die ja durch die Anfangsbedingungen (q_i^0, p_i^0) natürlich bestimmt

sind, bedeutet, so daß der ganze Phasenraum (bzw. ein großer Teil desselben) von Phasepunkten sehr dicht besetzt ist. Im besonderen werden wir freilich später solche speziell gewählte Systemansammlungen betrachten, die als die einzige Energie besitzen, deren Phasepunkte also alle ihre Phaseortein auf der ähnlichen Energiefläche beschreiben. Zunächst jedoch wollen wir, wie gesagt, allgemein annehmen, die Systeme seien statisch über den Phasenraum hin bestimmte Teile desselben verteilt, und nicht nur auf eine bestimmte Energiefläche beschränkt.

Dann können wir die Gesamtheit der Phasepunkte — wenn nur ihre Anzahl, d. h. die Anzahl der Systeme groß genug gewählt wird — mit beliebiger Annäherung als eine kontinuierliche Flüssigkeit betrachten, die sich im Phasenraum genau den Hamiltonschen Gl. (21) bewegt.

Teilen wir den Phasenraum in Volumenelemente

$$(22) \quad \Delta\tau = \Delta q_1 \dots \Delta q_r \cdot \Delta p_1 \dots \Delta p_r$$

ein, so wollen wir annehmen, daß auch jedes dieser Volumenelemente noch eine sehr große Zahl von Phasepunkten enthalte, so daß wir die Anzahl der Phasepunkte in einem solchen Volumenelemente proportional der Größe dieses Volumenelementes setzen können:

$$(23) \quad \text{Anzahl der Phasepunkte in } \Delta\tau: \varepsilon(q_1, q_r) \cdot \Delta\tau.$$

Dabei ist der Proportionalitätsfaktor ε natürlich eine Funktion der Koordinaten q_1, q_r , weshalb wir das Argumente beigefügt haben, und gibt die Zahl der Phasepunkte in der „Volumeneinheit“ des Phasenraumes an, weshalb die Bezeichnung „Dichte“ oder „Phasendichte“ angegeben erscheint.

Wir wählen nun ein solches Volumenelement $\Delta\tau$, irgendein zur Zeit t_1 abgegrenzt und dauerhaft vorliegen, während es sich durch den Phasenraum hindurchbewegt. Die Phasepunkte, die zur Zeit t_1 in diesem Volumenelement liegen, bleiben darauf in demselben, während das Element selbst sich natürlich deformiert und an andere Stellen des Phasenraumes rückt. Dieses Volumenelement besteht also stets aus denselben Phasepunkten. Nennen wir die Dichte zur Zeit t_1 entsprechend ε_1 , und bezeichnen wir alle Größen zur Zeit t_1 mit dem Index 1, so haben wir offenbar die Gleichung:

$$(24) \quad \varepsilon_1 \Delta\tau_1 = \varepsilon_2 \Delta\tau_2$$

die eben ausdrückt, daß die Zahl der Phasepunkte in diesem Volumenelement, während es den Phasenraum durchläuft, sich nicht ändert. Dies ist ganz genau so wie in der üblichen Hydrodynamik.

Dieser Sachverhalt können wir aber — ebenfalls genau wie in der dreidimensionalen Hydrodynamik — noch in einer anderen Weise formulieren, indem wir zum Ausdruck bringen, daß die Anzahl der Phasepunkte in einem festgelegten Volumenelemente sich ebenfalls durch zeitliche Änderung der Dichte ε , andererseits durch „Einklemmung“ zeit-

Flusspunkts im Volumenelement durch seine Seitenflächen ändern kann, und daß diese beiden Änderungen einander gleich sind. Die mittlere Änderung des Dichte bei konstanten Koordinaten p_1, q_1 pro Sekunde ist offenbar $\frac{d\rho}{dt}$, also die davon hervorgehende Änderung der Zahl der Flusspunkte im Volumenelement $d\tau$ gleich

$$(26) \quad \frac{d\rho}{dt} d\tau.$$

Anderseits ist, wenn wir je zwei einander gegenüberliegende Seitenflächen des Volumenelementes betrachten, z. B. diejenigen, die zu den Druck $d p_1$ voneinander abstoßen und die je eine des Flächeneinhalt

$$d q_1 \dots d q_n, d p_1 \dots d p_n, = \frac{d\tau}{2^n}$$

besitzen, die Einströmung pro Sekunde durch die erste dieser Seitenflächen, die zu der Ebene $q_1 = q_1$ liegt:

$$(27) \quad + v_1 \frac{d\tau}{2^n},$$

da q_1 diejenige Komponente der Flussgeschwindigkeit ist, die senkrecht zu diesem Flächenelement steht und die Richtung von q_1 ins Innere des Volumenelementes weist. Ebenso ist für das im Abstände $d q_1$ gegenüberliegende Flächenelement von derselben Größe, da hier die Strömungsrichtung nach außen weist, die Einströmung pro Sekunde:

$$- (v_1 d q_1 + v_n) \frac{d\tau}{2^n},$$

oder, wenn man nach Taylor entwickelt und hinter dem letzten Gliede abbricht:

$$(28) \quad - \left[v_1 + \frac{\partial}{\partial q_1} (v_1 d q_1) \right] \frac{d\tau}{2^n},$$

also ist die Einströmung durch diese beiden Seitenflächen nach (27) und (28):

$$(29) \quad - \frac{\partial}{\partial q_1} (v_1 d q_1) d\tau.$$

Diese Betrachtung gilt nun für alle Paare einander gegenüberliegender Flächen des Volumenelementes $d\tau$; wir erhalten also die gesamte Einströmung durch Summation des Ausdrucks (29) über alle Koordinaten p_1 und q_1 mittels:

$$(30) \quad - \left(\sum_i \frac{\partial (v_i d q_i)}{\partial q_i} + \sum_i \frac{\partial (v_i d p_i)}{\partial p_i} \right) d\tau.$$

Setzen wir nun Ausdruck, daß (26) und (30) miteinander identisch sind, so haben wir die Gleichung:

$$(31) \quad \frac{d\rho}{dt} + \sum_i \frac{\partial (v_i d q_i)}{\partial q_i} + \sum_i \frac{\partial (v_i d p_i)}{\partial p_i} = 0.$$

die das genaue Analogon zur hydrodynamischen Kontinuitätsgleichung in der Eulerschen Form¹⁾ darstellt. Diese Gleichung kann anders geschrieben werden, indem man die Differentiation ausführt:

$$(32) \quad \frac{\partial \epsilon}{\partial t} + \epsilon \left[\sum_i \frac{\partial v_i}{\partial x_i} + \sum_i \frac{\partial p_i}{\partial x_i} \right] + \sum_i \left[v_i \frac{\partial \epsilon}{\partial x_i} + p_i \frac{\partial \epsilon}{\partial x_i} \right] = 0.$$

Fügt man das erste und dritte Glied zusammen, so ist

$$\frac{\partial \epsilon}{\partial t} + \frac{\partial \epsilon}{\partial x_i} \frac{\partial x_i}{\partial t} + \dots + \frac{\partial \epsilon}{\partial x_{n_i}} \frac{\partial x_{n_i}}{\partial t} + \frac{\partial \epsilon}{\partial x_i} \frac{\partial p_i}{\partial x_i} + \dots + \frac{\partial \epsilon}{\partial x_{n_i}} \frac{\partial p_{n_i}}{\partial x_i}$$

der sogenannte „totale“ Differentialquotient von ϵ nach t , oder, wie wir uns in der Hydrodynamik ausdrücken, da die Differentiation sich auf denselben substantielle Teilchen bezieht, der „substantielle Differentialquotient“, den wir durch $\frac{D\epsilon}{Dt}$ bezeichnen. Also läßt sich die Kontinuitätsgleichung schreiben:

$$(33) \quad \frac{D\epsilon}{Dt} + \epsilon \left[\sum_i \frac{\partial v_i}{\partial x_i} + \sum_i \frac{\partial p_i}{\partial x_i} \right] = 0.$$

Diese Gleichung deckt sich vollständig mit der Gl. (32) und stellt nur eine andere Forderung dar, keine neue Aussage vor. Bei einer ganz neuen Folgerung gelangen wir indessen, wenn wir jetzt die Hamiltonschen dynamischen Gleichungen, die bisher nicht benutzt wurden, heranziehen. Auf Grund derselben ist nämlich die geschriebene Klammer gleich Null; denn wird die erste der Hamiltonschen Gl. (34) nach p_i , die zweite nach q_i partiell differenziert, so folgt:

$$\frac{\partial H}{\partial p_i} = - \frac{\partial U}{\partial x_i \partial x_i},$$

und

$$\frac{\partial H}{\partial q_i} = + \frac{\partial U}{\partial x_i \partial x_i},$$

also durch Addition:

$$\frac{\partial H}{\partial p_i} + \frac{\partial H}{\partial q_i} = 0,$$

und durch Summation über alle Werte des Index i :

$$(34) \quad \sum_i \left[\frac{\partial H}{\partial p_i} + \frac{\partial H}{\partial q_i} \right] = 0,$$

womit unsere Behauptung bewiesen ist.

Gl. (34) ist das 3E3-dimensionalen Analogon zur sogenannten „Inkompressibilitätsbedingung“ der gewöhnlichen Hydrodynamik (vgl. Bd. I, pag. 794). Wir können also sagen, daß die Gesamtheit der Phasepunkte im Phasenraume sich verhält wie die Strömung einer inkompressiblen Flüssigkeit.

¹⁾ Siehe Bd. I, pag. 794.

Aus (33) und (34) folgt sofort:

$$(35) \quad \frac{Dz}{Dt} = 0,$$

d. h. z selbst ist, wenn man ein Teilchenwert, d. h. denselben Teilchen auf ihrer Pseudobahn verfolgt, konstant. Oder auch, in der Schreibweise der Gl. (32):

$$(36) \quad z_1 = z_2.$$

Es folgt also durch Kombination mit (32) das wichtige Ergebnis:

$$(37) \quad dr_1 = dr_2.$$

Diese Gleichung stellt etwas Neues, über (32) tatsächlich Hinzukommendes dar und bildet den Inhalt des Liouvilleschen Satzes.

In Worten lautet diese Ergebnis folgender: Die Teilchen, welche zur Zeit t_1 in einem bestimmten Volumenelement dr_1 liegen, verteilen auf Grund der dynamischen Gleichungen zu jeder anderen Zeit t_2 ein volumengleiches Element dr_2 des Phasenraumes.

Einen speziellen Fall dieses Satzes haben wir schon in Nr. 96 [Gl. (27)] des vorigen Kapitels auf pag. 407 bewiesen, und zwar dort auf Grund der Bedingung, d. h. eines speziellen Falles der dynamischen Gleichungen.

Um einem möglichen Irrtum zu vermeiden, sei ausdrücklich darauf aufmerksam gemacht, daß durch den Liouvilleschen Satz keineswegs hinsichtlich wird, daß dr_1 und dr_2 keine Gestaltsänderung erleiden: das kann sehr wohl der Fall sein und ist auch im allgemeinen der Fall; aber das Volumen bleibt bei der Streuung des Phasenpunktes erhalten.

Wir wollen hiermit sofort ein einfaches, von Bryan (1886) herührendes Beispiel geben. Betrachten wir das eindimensionale Problem des freien Falles, oder allgemeiner ausgedrückt, eine Bewegung mit konstanter Beschleunigung a . Dabei sind $q = x$ und $p = \dot{x}$ durch die bekannten Gleichungen gegeben:

$$(38) \quad \begin{cases} q = \frac{1}{2} at^2 + \frac{p_0}{\mu} t + q_0, \\ p = p_0 + \mu at + p_0. \end{cases}$$

Die Anfangswerte von Impuls und Lage sind gegeben durch p_0 und q_0 ; μ bedeutet die Masse des beschleunigten Teilchens.

Wir wollen vier derartige „Systeme“ betrachten, mit etwas verschiedenen Anfangsbedingungen:

Und zwar sei die Anfangslage im Phasenraum bestimmt

$$(39) \quad \begin{cases} \text{für das 1. System durch die Werte } p_0, q_0; \\ \text{„ „ „ „ „ „ } p_0 + \delta p_0, q_0; \\ \text{„ „ „ „ „ „ } p_0, q_0 + \delta q_0; \\ \text{„ „ „ „ „ „ } p_0 + \delta p_0, q_0 + \delta q_0. \end{cases}$$

Der Phasenzustand degeneriert, da das Problem eindimensional ist, hier in die zweidimensionale q - p -Ebene, und das oben entsteht eine geometrische Veranschaulichung im gewöhnlichen Raume, während schon ein zweidimensionales Problem auf einen vierdimensionalen Phasenzustand führt. In Fig. 71 sind in der Phasenebene q - p die vier Punkte nach (38) zur Zeit $t = 0$ eingezeichnet.

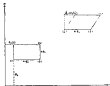


Fig. 71.

Wir bezeichnen die vier Punkte, die zur Zeit $t = 0$ das „Volumenelement“ $\Delta q_0 = \Delta q_1 \Delta q_2$, d. h. das in der Fig. 71 gezeichnete rechtwinklige Parallelogramm (1, 2, 3, 4) bestimmen, zur Zeit t :

Darauf gehen die dynamischen Gleichungen, hier in der speziellen Form (38), in Verbindung mit den Anfangsbedingungen (38) über. Zur Zeit t befindet sich:

$$(38) \quad \left\{ \begin{array}{l} \text{das 1. System an der Stelle:} \quad \left\{ \begin{array}{l} p_1 = p_0 t + p_0, \\ q_1 = \frac{1}{2} \alpha t^2 + \frac{p_0}{\mu} t + q_0; \\ \text{das 2. System an der Stelle:} \quad \left\{ \begin{array}{l} p_2 = p_0 t + (p_0 + \Delta p_0), \\ q_2 = \frac{1}{2} \alpha t^2 + \frac{p_0 + \Delta p_0}{\mu} t + q_0; \\ \text{das 3. System an der Stelle:} \quad \left\{ \begin{array}{l} p_3 = p_0 t + p_0, \\ q_3 = \frac{1}{2} \alpha t^2 + \frac{p_0}{\mu} t + (q_0 + \Delta q_0); \\ \text{das 4. System an der Stelle:} \quad \left\{ \begin{array}{l} p_4 = p_0 t + (p_0 + \Delta p_0), \\ q_4 = \frac{1}{2} \alpha t^2 + \frac{p_0 + \Delta p_0}{\mu} t + (q_0 + \Delta q_0). \end{array} \right. \end{array} \right. \end{array} \right.$$

Das zweite System ist also, verglichen mit seiner Lage für $t = 0$, zu größeren Werten von p und q vergrößert, befindet sich also etwas an

der Stelle (F) in der Fig. 71. Das zweite System befindet sich, verglichen mit dem ersten, an einer Stelle (G) der Phaseebene, die nach (H) um das Stück δp_1 höher liegt und um das Stück $\frac{\delta p_1}{p_1}$ weiter nach rechts gerückt ist. Der Punkt (G) befindet sich auf derselben Höhe wie (F), aber um das Stück δp_2 nach rechts gerückt, und (H) endlich liegt auf derselben Höhe wie (F), aber ebenfalls um δp_2 nach rechts gerückt. Das rechteckige Parallelogramm (J, K, L, G) hat sich also im Phasenraum verschoben und in das schiefwinklige Parallelogramm (J', K', L', H) deformiert. Aber beide sind, wie man an der Figur leicht erkennt, inhaltsgleich.

Man erkennt, daß mit wachsender Zeit das Parallelogramm immer schiefwinkliger wird — die eine Diagonale wird immer größer — aber die Vollständigkeit bleibt stets erhalten, wie es der Liouvillesche Satz verlangt.

Für die statistische Mechanik beruht die Bedeutung des Liouvilleschen Satzes in folgendem: Wir haben bereits früher im gewöhnlichen Lagemaß die Apriori-Wahrscheinlichkeit dafür, daß ein Molekül im Volumenelement ΔV liegt, diesem Volumenelement proportional gesetzt. Ganz analog werden wir später die Apriori-Wahrscheinlichkeit dafür, daß ein System im Phasenraum im Volumenelement $\Delta\epsilon$ liegt, diesem proportional setzen. Das ist insofern möglich, weil die so definierte Wahrscheinlichkeit des Zustandes nach dem Liouvilleschen Satz sich nicht mit der Zeit ändert. Dies ist in der Tat die Voraussetzung für diese Definition. Denn Zustände, die notwendig (d. h. gemäß den dynamischen Gleichungen) auseinander folgen, müssen gleiche Apriori-Wahrscheinlichkeit besitzen. Würde der Liouvillesche Satz nicht gelten, so wäre die obige Wahrscheinlichkeitsdefinition unmöglich.

Bereits an dieser Stelle zeigt sich die Bedeutung der Wahl der kanonischen Variablen p und q an Stelle von \dot{q} und q . Denn der Liouvillesche Satz gilt nur für den durch die q und p gebildeten Phasenraum, im allgemeinen aber nicht für den $\dot{q}q$ -Raum. Nur falls — wie z. B. bei kartesischen Koordinaten, \dot{q} direkt proportional q ist, gilt der Liouvillesche Satz auch im $\dot{q}q$ -Raum, also z. B. im Geschwindigkeitsraum der früheren Kapitel.

Die obigen Betrachtungen betreffen nicht die Ergänzung für den bisher ausgeschlossenen speziellen Fall, daß wir nur Systeme mit derselben Energie betrachten, daß also die Phasepunkte alle auf derselben Energiefläche liegen. Für das Folgende wollen wir noch speziell voraussetzen, daß die Energiefläche ganz im Innern des Phasenraumes liegt; die Werte p, q können also nicht über gewisse Grenzen hinauswachsen. Die hier zu beantwortende Frage ist die: Wie lautet der Liouvillesche Satz für Flächenelemente?

Betrachten wir zur Zeit t_1 ein Flächenelement ΔS_1 ; die „Flächendichte“ in demselben sei σ_1 , also die Zahl der Phasepunkte in ΔS_1

gleich $a_1 dS_1$. In einer späteren Zeit t_2 sei dS_1 in dS_2 , a_1 in a_2 übergegangen. Da dS_2 die nämlichen Phasenpunkte umschließt wie dS_1 , so gilt zunächst die (35) analoge Gleichung:

$$(41') \quad a_2 dS_2 = a_1 dS_1.$$

Man konnte nun bei flüchtiger Prüfung meinen, es müsse hier auch $dS_1 = dS_2$ gelten; dies ist jedoch keineswegs der Fall. Wir erhalten das richtige Ergebnis, indem wir diesen Fall auf den vorher behandelten Spezialfall zurückführen.



Fig. 72.

Es ist in Fig. 72 ein Stück unserer Energielfläche mit dem Werte U_1 gezeichnet, auf der unsere oben besetzten Flächenelemente $AB = dS_1$ und $CD = dS_2$ liegen. Ferner ist in der Figur noch eine benachbarte Energielfläche mit dem Werte $(U_1 + dU_1)$ eingezeichnet. Nehmen wir nun gegenüber $dS_1 = dS_2$ auf der Energielfläche $(U_1 + dU_1)$ ein Element $A'B' = dS_1'$ an, so entsteht durch Verbindung von A mit A' und von B mit B' das Volumenelement $AB A'B'$, und dieser geht nach dem Liouville'schen Satze (37) zur Zeit t_2 in ein gleich großes $CD C'D'$ über, wenn $C'D' = dS_2'$ dasjenige dS_2 gegenüberliegende Flächenelement auf $(U_1 + dU_1)$ ist, das zur Zeit t_2 aus dem Element $A'B' = dS_1'$ hervorgeht. Bezeichnen wir nun den euklidischen Abstand der beiden Energielflächen an der Stelle des Elementes dS_1 mit dn_1 , an der Stelle dS_2 mit dn_2 , so ist der Inhalt beider Volumenelemente bzw. $dS_1 \cdot dn_1$ und $dS_2 \cdot dn_2$, und diese sind nach dem Liouville'schen Satze ebenfalls gleich; also:

$$dS_1 \cdot dn_1 = dS_2 \cdot dn_2$$

oder, wenn man durch dS dividiert:

$$(42) \quad \frac{dn_1}{\left(\frac{\partial U}{\partial n}\right)_1} = \frac{dn_2}{\left(\frac{\partial U}{\partial n}\right)_2},$$

womit das gewünschte Resultat erfolgt ist. Man kann es noch etwas anders schreiben, indem man beachtet, daß $\frac{\partial U}{\partial n}$ gleich dem absoluten Betrage des $2Nf$ -dimensionalen Gradienten der Funktion U ist, d. h. daß

$$(43) \quad \frac{\partial \mathcal{E}}{\partial \mathbf{r}} = + \sqrt{\left(\frac{\partial \mathcal{E}}{\partial \mathbf{q}_1}\right)^2 + \dots + \left(\frac{\partial \mathcal{E}}{\partial \mathbf{q}_N}\right)^2} + \left(\frac{\partial \mathcal{E}}{\partial \mathbf{p}_1}\right)^2 + \dots + \left(\frac{\partial \mathcal{E}}{\partial \mathbf{p}_N}\right)^2 = (\text{grad } \mathcal{E})$$

ist; also kann (43) geschrieben werden:

$$(44) \quad \left[\frac{d\mathbf{r}}{|\text{grad } \mathcal{E}|} \right] = \left[\frac{d\mathbf{q}_i}{|\text{grad } \mathcal{E}|} \right].$$

Da nach (41) $\mathbf{q}_1 d\mathbf{S}_1 = \mathbf{q}_2 d\mathbf{S}_2$ ist, so folgt für die Flächenelemente \mathbf{a} die Gleichung:

$$(45) \quad \mathbf{q}_1 |\text{grad } \mathcal{E}|_1 = \mathbf{q}_2 |\text{grad } \mathcal{E}|_2,$$

während im räumlichen Falle einfach $\mathbf{q}_1 = \mathbf{q}_2$ sich ergibt.

Der Grund für die Komplikation liegt offenbar darin, daß der Abstand der beiden benachbarten Energieflächen im allgemeinen nicht konstant ist, sondern variiert. In dem speziellen Falle, daß J_0 konstant ist (wenn z. B. die Energiefläche eine $(3N/2 - 1)$ -dimensionale Kugelfläche ist), würde aus (44) und (45) der Gradient sich herausheben, also das räumliche einfache Ergebnis folgen, wie im räumlichen Falle.

Für die hier abgeleitete Modifikation (44) des Liouville'schen Satzes wollen wir noch ein einfaches Beispiel geben, das wir durch eine leichte Abänderung des vorhin behandelten hyperbolischen Beispiels gewinnen.

Wir legen wieder die Gleichungen (38) des letzten Falles zugrunde, betrachten aber jetzt nur „Systeme“, die auf der räumlichen Energiefläche liegen. Nach (38) ist die Energiegleichung offenbar:

$$\mathcal{U} = \frac{1}{2\mu} p^2 - \mu a q = \mathcal{U}_0$$

in etwas anderer Schreibweise:

$$(46) \quad \dot{q}^2 = 2\mu^2 a q + 2\mu \mathcal{U}_0.$$

Die „Energiefläche“ fällt hier — wie in jedem eindimensionalen Falle — mit der Phasenbahn zusammen; Gl. (46) stellt offenbar eine



Fig. 12.

Parabel dar, die in Fig. 12 gezeichnet ist. In der Figur ist gleichzeitig noch eine zweite Parabel mit einem etwas größeren \mathcal{U} -Werte (gleich $(\mathcal{U}_0 + d\mathcal{U}_0)$) eingetragen, wemal wir noch zurückkommen. Das „Flächenelement“ dS degeneriert hier in ein Linienelement der Parabel \mathcal{U}_0 , wie wir es in der Figur markieren; der Punkt (1) und der Punkt (2) derselben entsprechen zwei „Systemen“ nach (38), wobei die Anfangs-

bedingungen so gewählt sein müssen, daß die Energiegleichung erfüllt ist. Nennen wir die Anfangswerte der beiden Systeme etwa $(\mathbf{q}_0, \mathbf{p}_0)$

sind $(q_0 + \Delta q_0, p_0 + \Delta p_0)$, so müssen Δq_0 und Δp_0 also entsprechend der folgenden Gleichung gewählt werden:

$$\frac{1}{2\mu} p_0^2 = \mu \pm q_0 = \frac{1}{2\mu} (p_0 + \Delta p_0)^2 = \mu \pm (q_0 + \Delta q_0),$$

woraus folgt, daß

$$(47) \quad \Delta p_0 = \frac{p_0^2}{p_0} \cdot \Delta q_0$$

genommen werden muß, damit beide Systeme auf der Energieparabel U_0 liegen. Der Abstand $(1, 2)$, d. h. die Größe unseres „Flächenelementes“ ΔS_0 ist dann offenbar:

$$(48) \quad \Delta S_0 = + \sqrt{(\Delta q_0^2 + \Delta p_0^2)} = \frac{p_0}{\mu} \sqrt{\Delta q_0^2 + \mu^2 \Delta q_0^2},$$

Wir haben jetzt gemäß (38) und (47) die Größen Δq und Δp und aus diesen ΔS zur Zeit t zu berechnen. Für das erste System ist:

$$p_1 = \mu \omega t + p_0,$$

$$q_1 = \frac{1}{2} \omega t^2 + \frac{p_0}{\mu} t + q_0,$$

Für das zweite System ist:

$$p_2 = \mu \omega t + p_0 + \frac{p_0^2}{p_0} \Delta q_0,$$

$$q_2 = \frac{1}{2} \omega t^2 + \dots + \frac{p_0 + \frac{p_0^2}{p_0} \Delta q_0}{\mu} \cdot t + q_0 + \Delta q_0.$$

Durch Differenzbildung folgt:

$$\Delta p = p_2 - p_1 = \frac{p_0^2}{p_0} \Delta q_0,$$

$$\Delta q = q_2 - q_1 = \left(1 + \frac{p_0^2}{p_0}\right) \Delta q_0,$$

woraus für $\Delta S = + \sqrt{(\Delta q^2 + \Delta p^2)}$ sich ergibt:

$$(49) \quad \Delta S = \frac{p_0}{\mu} \sqrt{\Delta q_0^2 + \mu^2 \Delta q_0^2 + 2\mu \omega p_0 t + \mu^2 \omega^2 t^2}.$$

Der Vergleich von (48) und (49) ergibt also in der Tat ΔS_0 und ΔS als durchaus verschieden voneinander: ΔS wird mit wachsender Zeit immer größer und größer.

Wir wollen nun auch $|\text{grad } U|_1$ und $|\text{grad } U|$ berechnen, um direkt Formel (44) verifizieren zu können. Da

$$U = \frac{p^2}{2\mu} - \mu \omega q$$

ist, so sind die Komponenten des Gradienten von U :

$$\frac{\partial U}{\partial p} = \frac{p}{\mu},$$

$$\frac{\partial U}{\partial q} = -\mu \omega,$$

so daß sich ergibt:

$$(30) \quad \frac{\partial \mathcal{U}}{\partial t} = |\operatorname{grad} U| = \frac{1}{\rho} \sqrt{\rho^2 + \rho^2} \rho^2.$$

Daraus folgt sofort für $t = 0$:

$$(31) \quad |\operatorname{grad} U|_0 = \frac{1}{\rho} \sqrt{\rho_0^2 + \rho_0^2} \rho_0^2,$$

und für $t = t$, unter Benützung der Werte (28) für ρ und q :

$$(32) \quad |\operatorname{grad} U| = \frac{1}{\rho} \sqrt{\rho_0^2 + \rho^2} \rho^2 + 2\dot{\rho} \pm \rho_0^2 t + \rho^2 \rho^2 \rho.$$

Bilden wir nun nach (16) und (31) $\frac{d\mathcal{H}_0}{|\operatorname{grad} U|_0}$, so finden wir:

$$(33) \quad \frac{d\mathcal{H}_0}{|\operatorname{grad} U|_0} = \frac{\rho}{\rho_0} d\mathfrak{h}_0,$$

entsprechend ergibt sich aus (16) und (32) der Wert

$$(34) \quad \frac{d\mathcal{H}}{|\operatorname{grad} U|} = \frac{\rho}{\rho_0} d\mathfrak{h}_0,$$

also gleich dem Werte desselben Ausdrucks für die Zeit $t = 0$, wie es der modifizierte Liouville'sche Satz (34) verlangt.

Man sieht jedenfalls schon hier, daß chemisch veränderte Systemgesamtheiten analytisch einfacher zu behandeln sind als flüchtige angeregte Gesamtheiten.

156. Statistisches Gleichgewicht.

Nehmen wir vorläufig an, der ebenlich angeregten Gesamtheit von Systemen zuzufallen; für diese haben wir in (1, 20) den Satz bewiesen, daß

$$\frac{\partial \rho}{\partial t} = \frac{\partial \rho}{\partial t} + \sum_i \left(\frac{\partial \rho}{\partial q_i} f_i + \frac{\partial \rho}{\partial p_i} f_i \right) = 0 \text{ ist.}$$

Diese Gleichung bedeutet nicht etwa, daß in einem festgehaltenen Volumenelement, d. h. bei konstanten Koordinaten q_1 und q_2 die Dichte ρ sich nicht zeitlich ändert; denn dieser zeitliche Änderung würde ja durch $\frac{\partial \rho}{\partial t}$ gegeben sein. Sie bedeutet vielmehr nur, daß, wenn wir ein Gebiet dV_0 zur Zeit $t = 0$ herausgreifen und denselben Teilchen auf ihrer Bahn verfolgen, diese zu jeder späteren Zeit in einem Volumenelement $dV = dV_0$ die nämliche Dichte $\rho = \rho_0$ besitzen; dabei kann aber ganz wohl $\frac{\partial \rho}{\partial t} \neq 0$ sein.

Die Gleichung (35) $\frac{\partial \rho}{\partial t} = 0$ ist für alle unsere Systeme erfüllt, auf Grund der Hamilton'schen Gleichungen der Dynamik; (35) folgt also direkt aus unserer Voraussetzung, daß die betrachteten Systeme dynamische Systeme sind. Dagegen wäre die Forderung $\frac{\partial \rho}{\partial t} = 0$ eine vollkommen neue, die keineswegs allgemein für dynamische Systeme gilt und daher zu ihrer Gültigkeit besondere Einschränkungen in der Anwendung der Systeme im Phasenraume verlangt.

Und zwar sieht man durch einen Blick auf (30), daß wegen $\frac{\partial \rho}{\partial t} = 0$ die Forderung, für $\frac{\partial \rho}{\partial t} = 0$ sich erfüllen läßt:

$$(30) \quad \sum_i \left(\frac{\partial \rho}{\partial q_i} \dot{q}_i + \frac{\partial \rho}{\partial p_i} \dot{p}_i \right) = 0.$$

Was bedeutet nun physikalisch $\frac{\partial \rho}{\partial t} = 0$? Offenbar doch, daß die Zahl der Systeme in einem festgehaltenen Volumenelement des Phasenraumes zeitlich unveränderlich ist, d. h. daß ebenso viele Systeme durch die Einströmlinien des Elementes einströmen, wie ausströmen. Die Verteilung der Systeme über den Phasenraum ist also in diesem Falle stationär, und man sagt dann, die Gesamtheit befindet sich im stationären Zustande oder im „statistischen Gleichgewicht“, oder noch besser, die Gesamtheit ist eine stationäre. Dies ist natürlich ein besonders einfacher spezieller Fall der bisher betrachteten allgemeineren rechenlichen Gesamtheiten. Gerade sie werden im folgenden eine besondere Bedeutung für uns bekommen.

Wir haben in (30) bereits die Bedingung dafür angeschrieben, daß eine Gesamtheit stationär ist. Wir können sie so umschreiben: Es muß die Dichte ρ eine solche Funktion der q , und p , sein, die sich bei der Bewegung im Laufe der Zeit nicht ändern.

Um den Charakter einer solchen Funktion festzustellen, bedürfen wir einer Untersuchung über die Integrale der Hamiltonschen Gleichungen (31).¹⁾

Denn wir uns etwa die $(2N_f - 1)$ ersten dieser Gleichungen durch die letzte Gleichung, nämlich durch

$$(32) \quad \frac{dq_{N_f}}{dt} = + \frac{\partial U}{\partial p_{N_f}}$$

dividiert, so erhalten wir folgende $(2N_f - 1)$ Differentialgleichungen, die die Zeit t und das Zeitdifferential dt nicht mehr enthalten:

$$(33) \quad \left| \begin{array}{l} \frac{dp_1}{dp_{N_f}} = - \frac{\frac{\partial U}{\partial p_1}}{\frac{\partial U}{\partial p_{N_f}}}, \\ \frac{dp_2}{dp_{N_f}} = - \frac{\frac{\partial U}{\partial p_2}}{\frac{\partial U}{\partial p_{N_f}}}, \\ \dots \dots \dots \\ \frac{dp_{N_f-1}}{dp_{N_f}} = + \frac{\frac{\partial U}{\partial p_{N_f-1}}}{\frac{\partial U}{\partial p_{N_f}}}. \end{array} \right.$$

¹⁾ Vgl. hierzu besonders P. u. T. Ehrenfest, *Math. Enzyklöp.* IV, loc. cit.

In etwas anderer Schreibweise lautet diese letzte Gleichung:

$$\sum_i \frac{\partial}{\partial \alpha_i} \left[\sum_j \left\{ \frac{\partial \alpha_j}{\partial \alpha_i} \alpha_j + \frac{\partial \alpha_j}{\partial \alpha_i} A_j \right\} \right] = 0.$$

Die einzige Klammer verschwindet aber in der Tat identisch. Denn wenn man die Gleichung

$$\alpha_i (A_i, \mathcal{P}) = \alpha_i$$

nach i differenziert, so folgt:

$$\sum_j \left\{ \frac{\partial \alpha_j}{\partial \alpha_i} \alpha_j + \frac{\partial \alpha_j}{\partial \alpha_i} A_j \right\} = \alpha_i.$$

Es ist damit bewiesen, daß (56) durch Einsetzen von (55) identisch befriedigt wird, d. h. daß (55), wie behauptet, eine Lösung der Statistikalbedingung (54) ist.

Ein ganz analoges Resultat erhält man, wenn man die Bedingung der Stationarität für eine über die Energielfläche $U = \alpha_1$ verteilte Gesamtheit aufstellt. Da der Dichte α im räumlichen Falle hier gemäß (42) der Ausdruck $\alpha / |\text{grad } U|$ entspricht, so muß dieser eine Funktion der zeitfreien Integrale (55) sein, wobei wir, da hier $U = \alpha_1$ ist, das Argument α_1 von U fortlassen dürfen. Es ist also hier die Bedingung der Stationarität:

$$(54) \quad \alpha(p, q) = \frac{F(\alpha_1, \alpha_2, \dots, \alpha_{2n-1})}{|\text{grad } U|}.$$

Die beiden „stationären Dichten“ (55) und (51) sind nach einer im vorhergehenden gemachten Bemerkung offenbar konstant für jede einzelne Phasezelle, da diese ja durch die zeitfreien Integrale bestimmt ist; sie werden sich aber im allgemeinen von Bahn zu Bahn ändern.

Eine besonders einfache stationäre Verteilung erhält man offenbar dadurch, daß man $\alpha(p, q)$ und $\alpha(p, q)$ nur von der Energie U , nicht von den übrigen zeitfreien Integralen abhängig läßt. Nach dem vorhergehenden ist dies aber nur eine hinreichende, keineswegs die notwendige Bedingung der Stationarität. Man erhält für diesen besonders einfachen Fall die speziellen Dichteverteilungen:

$$(55) \quad \alpha(p, q) = F(U),$$

$$(56) \quad \alpha(p, q) = \frac{\text{const.}}{|\text{grad } U|},$$

da ja im letzteren Falle U konstant $= \alpha_1$ ist, also wieder von dem Argument weggelassen werden darf. Die Konstante in (56) kann natürlich eine weitere Einschränkung der Allgemeinheit gleich 1 angenommen werden.

Diese speziellen Dichteverteilungen werden wir im folgenden ausschließlich benutzen, weil sie, wie oben bemerkt, für alle Phasezellen mit gleicher Energie denselben Wert besitzen.

104. Beziehung zwischen Schermitel und Zeitmittel; die Ergodenhypothese.

Erinnert wir uns aus dem in Nr. 100 angegebenen positiven Zweck der bisherigen Untersuchung: Es gilt, das Zeitmittel einer beliebigen Phasefunktion α der Phase (p, q) (wie wir es bilden, wenn wir ein System sehr lange Zeit hindurch betrachten) in Beziehung zu setzen zu dem Schermitel, gebildet aber eine Gesamtheit von Flächenhaft oder ähnlich im Phasenraum verteilten Systemen.

Nun ist es klar, daß wir zunächst zur Schermitelbildung nur flächenhaft (auf der Energiefläche) verteilte Systeme betrachten können. Denn es ist, wenn man abgeschlossene Systeme mit zeitlich konstanter Totalenergie betrachtet, naturgemäß, nur Gesamtheiten solcher Systeme zu betrachten, die die nämliche Energie besitzen, wie das das wirklich vorhandene System, das wir zeitlich verfolgen. Ferner betrachten wir aus einem Grunde, der gleich klar werden wird, nur stationäre Gesamtheiten, für die also die Flächendichte α durch (81) bzw. (82) gegeben ist.

Haben wir also eine große Zahl von Systemen, die auf der Energiefläche mit einer bestimmten Dichte α gemäß (81) verteilt sind, so ist das Schermitel $\overline{\alpha(p, q)}$ einer beliebigen Phasefunktion offenbar zu definieren durch

$$(84) \quad \overline{\alpha(p, q)} = \frac{\int \alpha \cdot \sigma \cdot dS}{\int \sigma \cdot dS},$$

wobei die Integrale über die ganze Energiefläche zu verstehen sind. Denn das Integral des Zählers $\alpha \cdot \sigma \cdot dS$ bedeutet die Summe der Funktionswerte α im Flächenelement dS , das Integral im Zähler also die gesamte Summe der Funktionswerte auf der Energiefläche überhaupt; der Nenner dagegen bedeutet die Gesamtzahl aller Systeme auf der Energiefläche, der Quotient also tatsächlich den Mittelwert von α , d. h. den im Durchschnitt auf ein System der Scher entfallenden Wert von α .

Nun haben wir aber die Systemgesamtheit stationär genommen, was sich durch die spezielle Dichtensatz nach (81) dokumentiert, d. h. σ ist zeitlich konstant. Daher ist der zeitliche Mittelwert des Schermittels (84) diesem selbst gleich; in Formeln:

$$(85) \quad \overline{\overline{\alpha(p, q)}} = \overline{\alpha(p, q)}.$$

Man erkennt hier den Grund, weshalb wir das Gesamtheit im statistischen Gleichgewicht betrachtet haben; für eine beliebige, nicht-stationäre Gesamtheit würde das Resultat natürlich nicht gelten.

Ferner können wir die Zeitfolge der Zeitmittelung und Schermitelung in (85) vertauschen, da die beiden Mittelwertbildungen nach t und über die Energiefläche ganz unabhängig voneinander sind, so daß wir haben:

$$(66) \quad \overline{\overline{s(p, q)}} = \overline{\overline{s(p, q)}}.$$

Durch Kombination mit (58) folgt also schließlich die Reihe:

$$(67) \quad \overline{\overline{s(p, q)}} = \overline{\overline{s(p, q)}} = \overline{\overline{s(p, q)}},$$

in Worten: Phasenmitteln aus Genauigkeit besteht die Gleichung:

$$(68) \quad \text{Schwermittel} = \text{Zeitmittel des Schwermittels} = \text{Schwermittel des Zeitmittels}.$$

Neben wir uns noch einmal klar, was der letzte Term dieser Gleichung bedeutet. Das Zeitmittel einer Phasenfunktion $s(p, q)^2$ bezieht sich auf ein System, d. h. auf eine Bahnkurve; die auf dieser wiederholend auftretenden Werte von $s(p, q)$ werden (zeitlich) gemittelt. Von diesem Mittel nun wird das Mittel über sämtliche Phasenbahnen, d. h. das Schwermittel, gebildet.

Im allgemeinen nun wird der zeitliche Mittelwert $\overline{s(p, q)}$ von Phasenbahn zu Phasenbahn variieren, weil ja jede Phasenbahn ihre individuellen Konstanten $(\eta_1, \eta_2, \dots, \eta_{2N-1})$, nämlich die der zeitlichen Integrale (mit Ausnahme der für alle Phasenbahnen konstanten Energie ϵ_0) besitzt. In dem speziellen Falle allerdings, daß alle Phasenbahnen dieselben Konstanten η_1 bis η_{2N-1} besitzen sollten, ist das Zeitmittel für alle Phasenbahnen dasselbe und daher direkt gleich dem Schwermittel des Zeitmittels. Die Gleichung:

$$(69) \quad \overline{\overline{s(p, q)}} = \overline{\overline{s(p, q)}}$$

gilt also im allgemeinen nur unter dieser Voraussetzung, und unter derselben Voraussetzung gilt weiter nach (67) und (68):

$$(70) \quad \overline{\overline{s(p, q)}} = \overline{\overline{s(p, q)}},$$

d. h. Schwermittel gleich Zeitmittel, d. h. die Relation, die wir beweisen wollten bzw. deren Gültigkeitsbereich wir feststellen wollten.

Die Gültigkeit von (70) ist also jedenfalls nur bewiesen unter der Voraussetzung, daß $s(p, q)$ nicht die allgemeine Form (61) hat, d. h. für die einzelnen Phasenbahnen im allgemeinen verschiedenes ist, sondern daß $s(p, q)$ die spezielle Form (58) besitzt. Beachtet man nun, daß definitions-

¹⁾ Diese Relation ist natürlich so zu bilden, daß man zuerst nach (56) und (57) die $2N$ Größen q und p durch i und die Konstanten $\eta_1, \dots, \eta_{2N-1}$ ausdrückt und dann das folgende Integral bildet:

$$\overline{\overline{s(p, q)}} = \frac{\int_0^T s(i, \eta_1, \eta_2, \dots, \eta_{2N-1}) di}{T}.$$

Dabei ist T gegen ∞ wachsend zu denken.

gemäß des Zeitmittel einer Phaseenfunktion $\alpha(p, q)$ während der sehr langen Zeitdauer T gegeben ist durch die Gleichung:

$$\overline{\alpha(p, q)} = \frac{\int \alpha d\Omega}{\mathcal{V}} = \frac{\int \alpha d\Omega}{\int d\Omega},$$

so erhält man durch Vergleich mit dem Scherdmittel (34):

$$\frac{\int \alpha d\Omega}{\int d\Omega} = \frac{\int \alpha dS}{\int dS},$$

und daraus folgt die Gleichheit der beiden Ausdrücke:

$$(71) \quad \frac{d\alpha}{\mathcal{V}} = \frac{\alpha dS}{\int \alpha dS}.$$

Darin bedeutet $\frac{d\alpha}{\mathcal{V}}$ die sogenannte „relative Verweilzeit“ eines Systems in beliebig herausgegriffenem Zustande (p, q) ; entsprechend ist $\frac{\alpha dS}{\int \alpha dS}$ die „relative Häufigkeit“ des Auftretens dieses Zustandes in der

stationären Systemmasse. Die Gleichung (71) ermöglicht es daher, an Stelle des zeitlichen Ablaufes eines Systems die Verteilung dieser Zustände in einer Systemgesamttheit zu betrachten.

Wenden wir ähnlich angegebenen Gegenstände betrachtet haben, so wurden wir ganz analog zu dem Resultat gelangt sein, daß für $\alpha(p, q)$ die spezielle Form (36) zu wählen sei, um die Gleichheit von Zeitmittel und Scherdmittel zu erzielen. Hier gilt die Gleichung (71) analog:

$$(71a) \quad \frac{d\alpha}{\mathcal{V}} = \frac{\alpha d\Omega}{\int \alpha d\Omega},$$

aus der sich die analogen Folgerungen ergeben.

Es steht aus dem Vorhergehenden die große Bedeutung der speziellen Dichtewahlen (36) und (36'), die nicht mehr von den Konstanten c_1 bis c_{4n-1} für die einzelnen Phaseenfunktionen charakteristisch sind, abhängen.

Diese speziellen Dichten nennt man häufig „ergodische“ Dichten. Dieser Name hängt mit der historischen Entwicklung dieses Teiles der statistischen Mechanik zusammen und aus der besseren Verständlichkeit willen wollen wir kurz darauf eingehen.

Wir haben oben bereits erwähnt, daß das Zeitmittel einer Phaseenfunktion $\overline{\alpha(p, q)}$ im allgemeinen nur dann für alle Phaseenfunktionen auf der Energiefläche dasselbe sein wird, wenn die Konstanten c_1 bis c_{4n-1} für alle Systeme dieselben sind. Wenn aber fallen diese analogen Phaseenfunktionen in eine einzige zusammen, weil dann für alle

Systeme der betrachteten Gesamttheit die vollen Integrale (33), d. h. die die Phasebahn durch ihren eindimensionalen Schnitt bildenden Flächen φ_1 bis φ_{2N-2} identisch werden.

Wenn folien nun alle Phasebahnen auf der Energiefläche zusammen? Dies ist sicher dann der Fall, wenn die Phasebahn des wirklich vorliegenden eines Systems (also auch jede beliebige Phasebahn der Gesamttheit) so beschaffen ist, daß sie durch jeden Punkt der Energiefläche hindurchgeht. Denn die Eindeutigkeit des dynamischen Problems, wie sie durch die Hamiltonschen Gleichungen verlangt ist, verlangt ja, daß durch jeden Punkt der Energiefläche nur eine Phasebahn hindurchgeht. Also müssen, damit beide Bedingungen gleichzeitig erfüllt werden, die Bahnen aller Systeme in eine einzige zusammenfallen.

Systeme von der Eigensicht, daß die Phasebahn durch alle Punkte der Energiefläche hindurchgeht, mit anderen Worten, daß der Phasepunkt alle Lagen annimmt, die mit der Energiegleichung $U = \epsilon_1$ verträglich sind, nannte Boltzmann „ergodische“ Systeme; das Wort ist in leichtverständlicher Weise vom gleichförmigen *Agros* und *agōg* abgeleitet.

Boltzmann und Maxwell haben diese Voraussetzung, daß u. B. die Gas ergodische Systeme sind, stets — vielmehr nicht ohne Bedenken — gemacht und unter dieser Voraussetzung ihre Resultate abgeleitet.

Indessen gibt es keine ergodischen Systeme, wie auf Grund der modernen Mengenlehre A. Borel¹⁾ und Poincaré²⁾ gezeigt haben, und wir können daher die spezielle Deutung³⁾ bzw. (34) jedenfalls nicht durch Berufung auf die „Ergodenhypothese“ stützen⁴⁾.

Au die Stelle der Ergodenhypothese haben deshalb P. und L. Ehrenfest die wenigstens weitgehende „Quasiergodenhypothese“ gesetzt, die nur verlangt, daß die Phasekurve jeden Punkte der Energiefläche „beliebig nahe“ kommt. Borel⁵⁾ hat auch gezeigt, daß mittels der Quasiergodenhypothese störende Korrekturen eingebracht werden können. Es ist auch Artin⁶⁾ gelungen, wenigstens ein nicht triviales Beispiel für ein quasiergodisches System aufzufinden (das freilich noch ungenutzte Durchschneiten hat); aber der ganze Standpunkt der Ergoden- oder der Quasiergodenhypothese (wie auch jeder ähnlichen Hypothese) ist unbefriedigend, wie L. v. Mises⁷⁾ gezeigt hat. Wegen der prinzipiellen Wichtigkeit der Frage wollen wir darauf noch kurz eingehen.

¹⁾ A. Borel, Ann. d. Phys., 42, pag. 295, 1929.

²⁾ Poincaré, ibidem, 42, pag. 367, 1929.

³⁾ Nur in dem trivialen Falle, daß das System eindimensional ist, ist die Phasebahn ergodisch, da in diesem Falle bekanntlich Phasebahn und Energiefläche identisch sind (vgl. etwa die eindimensionalen Beispiele aus Liouvilleschem Satz der Flächenmomente am Ende der Nr. 73).

⁴⁾ A. Borel, Ann. d. Phys., 44, pag. 894, 1934.

⁵⁾ Artin, Abhandl. des math. Seminars Hamburg, 24. 3, pag. 1385, 1934.

⁶⁾ L. v. Mises, Phys. Zeitsch. 24. 11, pag. 529, 1933.

Die charakteristische Eigenschaftlichkeit der Ergoden- und Quasiergodenhypothesen ist die, daß auf Grund der Hamiltonschen dynamischen Gleichungen eine bestimmte Aussage über das Verhalten eines mechanischen Systems gemacht werden soll; beide Aussagen werden nur deshalb als „Hypothesen“ bezeichnet, weil der Beweis der gewünschten Eigenschaft aus den Hamiltonschen Gleichungen bisher nicht gelang. (Bei der Ergodenhypothese ist inzwischen, wie oben erwähnt, das Gegenteil bewiesen worden.) Es gehen also beide „Hypothesen“ von der Annahme aus, daß durch die Anfangsbedingungen und die dynamischen Gleichungen das weitere Ablauf völlig determiniert ist, und daß eben deshalb eine bestimmte, exakt schaffende Aussage über das Verhalten von Phasenpunkten gemacht werden kann. Wiewegen dagegen steht auf einem anderen Standpunkte. Indem er das hier betrachtete mechanische System (z. B. ein Gas) mit einer ungeheurer komplizierten Bahn (den schließend zusammenstoßen, Abweichungen usw.) in Parallele stellt zu den in Nr. 83 erwähnten Rechnungen beim Gitternetzen Brutto, kommt er zu der Auffassung, daß eine Bewegung dieser Art nicht als durch die Anfangsbedingungen bestimmt angesehen werden könnte, jedenfalls praktisch nicht, da winzige Ungenauigkeiten zufällige Veränderungen der Bahn hervorrufen können. v. Mises gibt also die bisher stets festgehaltene Annahme von der absoluten Determiniertheit für die hier betrachteten komplizierten Systeme auf, d. h.: Aus den mechanischen Gleichungen kann nach dieser Annahme eine bestimmte Aussage über das Verhalten des Systems — wie es die Ergoden- und ähnliche Hypothesen wägen — nicht mehr gemacht werden. Es müssen daher schon an dieser Stelle Wahrscheinlichkeitsaussagen eingebracht, so daß nur mehr eine Aussage über das wahrscheinliche Verhalten des Systems möglich ist. Eine solche läßt sich aber in der Tat machen und führt zu dem Ergebnis, daß mit erheblicher Wahrscheinlichkeit das Eintreten der Gleichung (11) bzw. (11a) erwartet werden kann. Durch sind dann die daraus resultierenden Folgerungen als legitimiert zu betrachten, insofern auf grundsätzlich andere Weise, als man dies bisher vorausgesetzt hatte.

186. Die mikrokanonische und die kanonische Gesamtheit nach Gibbs.

Wir betrachten zunächst eine Gesamtheit von Systemen gleicher Energie $U = U_0$, deren Phasenbahnen also alle auf der Energiefläche $U(p, q) = U_0$ liegen und nehmen für die Dichte $\sigma(p, q)$ der Systeme die ergodische¹⁾ Verteilung:

$$(86) \quad \sigma(p, q) = \frac{1}{\int \sigma(p, q) dU}$$

¹⁾ Daß wir trotz der Schlußfolgerungen der vorhergehenden Nr. diese Bezeichnung beibehalten, wird zu Mißverständnissen keinen Anlaß geben.

an. Dann ist also der Schmittsche Wert $n(p, q)$ einer beliebigen Phasenfunktion definiert gemäß (54) durch die Gleichung:

$$(75) \quad \overline{n(p, q)} = \frac{\int \frac{n}{|\text{grad } U|} \cdot \delta S}{\int \frac{\delta S}{|\text{grad } U|}},$$

wobei die Integrale über die ganze Energielfläche zu verstehen sind. Den Ausdruck

$$(76) \quad \frac{\delta S}{\int \delta S} = \frac{\frac{\delta S}{|\text{grad } U|}}{\int \frac{\delta S}{|\text{grad } U|}}$$

kann man als die mathematische Wahrscheinlichkeit dafür bezeichnen, daß ein bestimmtes System der Gesamtheit in dem Flächenelement δS der Energielfläche liegt. Denn die Anzahl der hierher gehörigen Fälle ist $n \delta S$, die Anzahl der in δS liegenden Systeme, während $\int \delta S$ die Gesamtzahl der Systeme überhaupt ist. Diese Definition der Wahrscheinlichkeit ist also ganz in Übereinstimmung mit unseren früheren allgemeinen Festsetzungen, insbesondere ist sie nach dem modifizierten Liouville'schen Satze (44) zeitlich konstant, wie es sein muß.

Eine Gesamtheit mit dieser Dichteverteilung, die in Energie auf die Fläche $U = U_0$ beschränkt ist, nennt man nach Gibbs, im Gegensatz zu einer später einzuführenden Gesamtheit, eine „mikrokanonische Gesamtheit“.

Für die Aufzählung der Beziehungen ist indessen diese flächenhafte Gesamtheit nicht so bequem wie eine räumliche Gesamtheit, wie wir schon beim Liouville'schen Satze zu erkennen Gelegenheit hatten. Durch folgenden Gedankengang können wir nun von der mikrokanonischen Gesamtheit — die wir eigentlich benutzen wollen, da wir nur Systeme mit gleicher Energie vergleichen dürfen (weil ein abgeschlossenes Gesamtsystem betrachtet wird) — zu einer räumlich verteilten Gesamtheit übergehen.

Zunächst wird es für das Resultat gleichgültig sein, ob wir den zu betrachtenden Systemen der Gesamtheit exakt die Energie U_0 zuschreiben oder ob wir ihnen ein kleines Energieintervall zwischen U_0 und $U_0 + \delta U_0$ zufließen; das Ergebnis wird dadurch nur um kleine Größen höherer Ordnung geändert. Wir denken uns also in Ausführung dieser Überlegung die Phasenpunkte räumlich verteilt — etwa mit konstanter Dichte ρ_0 — innerhalb der Schale zwischen den benachbarten Energiestufen $U = U_0$ und $U = U_0 + \delta U_0$. Wir wollen uns in Fig. 74 die Energiewerte als Abszissen und als Ordinaten die Anzahlen der innerhalb einer solchen Schale enthaltenen Systeme auftragen, d. h. den Ausdruck

$$\int_{\epsilon_1}^{\epsilon_1 + \delta \epsilon_1} \epsilon_1 d\epsilon = \epsilon_2 \int_{\epsilon_2}^{\epsilon_2 + \delta \epsilon_2} d\epsilon.$$

Wir ersetzen dann die ausgezogene Kurve der Fig. 74.

Es ist dann im ganzen Phasenraum $\epsilon = \epsilon_1$ mit Ausnahme der Schale zwischen U_1 und $U_1 + \delta U_1$, wo ϵ stetig auf ϵ_2 springt. Mit

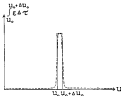


Fig. 74.

dieser Änderung ist jedoch noch nicht viel gewonnen. Statt dieser un stetigen Verteilung der Phasenpunkte können wir aber eine stetige Verteilung über den ganzen Phasenraum dadurch einführen, daß wir die ausgezogene unstetige Kurve in der Weise durch eine stetige Kurve approximieren, wie es die in Fig. 74 punktiert eingezeichnete Kurve andeutet. Nämlich an, daß zwar der ganze Phasenraum mit Phasenpunkten besetzt wird, aber der weitaus überwiegende Teil aller Phasenpunkte dennoch in die Energieschale von der Breite δU_1 fällt.¹⁾

¹⁾ Man kann diesen Sachverhalt auch folgendermaßen ausdrücken. Das Integral

$$\int_{U_1}^{U_1 + \delta U_1} dU$$

bedeutet offenbar das Volumen des gesamten Phasenraumes (des sog. Phasenkollektums), in dem alle betrachteten Systeme mit Energie vorhanden sind, die gleich oder kleiner als U_1 sind. Dagegen findet man für das Phasenkollektum der Schale zwischen U_1 und $(U_1 + \delta U_1)$ offenbar den Ausdruck:

$$F(U_1 + \delta U_1) - F(U_1) = \left(\frac{\partial F}{\partial U} \right)_{\epsilon_1} \cdot \delta U_1.$$

Welches die besondere Form der packtesten Kurve ist, ist also gleichgültig; es kommt nur darauf an, daß sie von ihrem Maximalwert innerhalb der Schale äußerst schnell abfällt, also eine „kleine Dispersion“ von ihrem Maximalwert besitzt. Wenn wir eine solche Funktion gefunden haben, so läßt praktisch die Verteilung der Phasenzustände dieselbe wie in der mikrokanonischen Verteilung; theoretisch aber haben wir den sehr großen Vorteil, daß wir jetzt im Raume operieren können.

Eine derartige Funktion für s hat Gibbs angegeben: Bedeuten \overline{P} und \overline{Q} zwei Konstanten, so setzt Gibbs an:

$$(74) \quad s = N e^{\frac{P - \epsilon}{\overline{Q}}},$$

wo N die Gesamtzahl der Systeme im Phasenraum ist.

Diese Dichte ist, da sie nur von der Energie abhängt, offenbar ein Spezialfall der „ergodischen“ Dichte (83), die schon Boltzmann betrachtet hatte. Wir haben nur noch den Nachweis zu führen — was wir aber erst später tun wollen —, daß in der Tat die durch (74) bestimmte Anordnung der Systeme im Phasenraum eine sehr kleine Dispersion von ihrem Maximalwert besitzt; vollständig setzen wir dies einmal als richtig voraus.

Gibbs nennt eine Gesamtheit mit der Verteilung (74) eine „kanonische Gesamtheit“ und operiert — ebenso wie fast alle späteren Autoren — fast ausschließlich mit derselben; nur P. Hertz hat sich in seinen Arbeiten vorwiegend auf die mikrokanonische Gesamtheit gestützt.

Der Mittelwertwert einer Phasenfunktion $\alpha(q, p)$ in der kanonischen Gesamtheit ist nun offenbar gegeben durch:

$$(75) \quad \bar{\alpha}(N, \overline{Q}) = \frac{\int \alpha \epsilon \, d\tau}{\int \epsilon \, d\tau} = \frac{\int \alpha e^{\frac{P - \epsilon}{\overline{Q}}} d\tau}{\int e^{\frac{P - \epsilon}{\overline{Q}}} d\tau},$$

da $\epsilon \, d\tau$ die Summe der Werte der Phasenfunktion ϵ im Volumenelement $d\tau$, $\int \epsilon \, d\tau$ die Gesamtzahl der Systeme ist, wenn die Integrale über alle zulässigen Phasen ausgerechnet werden. Man kann also den Mittelwert noch anders schreiben. Denn da

$$(76) \quad \int \epsilon \, d\tau = N \int \epsilon e^{\frac{P - \epsilon}{\overline{Q}}} d\tau = N$$

folgt ist die Zahl der Systeme in dieser Schale:

$$\int_{U_1}^{U_2} \epsilon \, d\tau = N \left(\overline{\alpha} \left(\frac{dP}{d\overline{Q}} \right)_{\overline{Q}_2} - \overline{\alpha}(\overline{Q})_{\overline{Q}_1} + \overline{\alpha}(\overline{Q})_{\overline{Q}_2} \right) d\overline{Q}_2.$$

Der Sinn der obigen Beziehung kommt also darauf hinaus, daß die Dichtefunktion α so gewählt werden muß, daß $\overline{\alpha}(\overline{Q})$ an der Stelle $\overline{Q} = U_1$ die rechte statische Mechanik

ist, d. h. gleich der Gesamtzahl der Systeme, so ist durch Normierung von N offenbar

$$(77) \quad \int e^{\frac{p+q}{T}} d\tau = 1.$$

d. h. der Nenner im letzten Gliede von (72) wird gleich der Einheit, so daß wir schreiben haben:

$$(78) \quad \overline{\kappa(p, q)} = \int \kappa(p, q) e^{\frac{p+q}{T}} d\tau.$$

Eine weitere Form des kanonischen Schmittelswertes erhält man, wenn man berücksichtigt, daß gemäß (77) die Konstante N durch die Gleichung bestimmt ist:

$$(79) \quad e^{\frac{p}{T}} = \int e^{\frac{q}{T}} d\tau,$$

die ja nur das andere Schreibweise von (77) ist, indem $e^{\frac{p}{T}}$ als Konstante vor das Integralschloß gezogen werden kann. Indem wir dies auch in (78) einsetzen, folgt:

$$(80) \quad \overline{\kappa(p, q)} = \frac{\int \kappa e^{\frac{q}{T}} d\tau}{\int e^{\frac{q}{T}} d\tau},$$

die Form, die unseren praktischen Vorteile bietet.

Aus (72), (79) und (80) folgt, daß der Ausdruck

$$(81) \quad \frac{e d\tau}{\int e d\tau} = e^{\frac{p+q}{T}} d\tau = \frac{e^{\frac{q}{T}} d\tau}{\int e^{\frac{q}{T}} d\tau}$$

als die mathematische Wahrscheinlichkeit dafür betrachtet werden kann, daß ein bestimmtes System der kanonischen Gesamtheit in das Volumenelement $d\tau$ fällt, d. h. Phasen zwischen q und $q + \Delta q$, bzw. p und $p + \Delta p$, besitzt.

Die Größe θ heißt nach Gibbs der „Modul“ der kanonischen Gesamtheit; und seine physikalische Bedeutung sowie auch die der Größe T werden wir später eingehen.

109. Einführung kanonischer Mittel, Schmittelswert derselben.

An den bisherigen Betrachtungen müssen wir noch eine wichtige Verallgemeinerung anbringen. Denn die hier betrachteten mechanischen Systeme sollen doch eine mechanische Bewegung eines thermodynamischen Systems liefern, und bei solchen haben wir es mit zwei Arten von Änderungen zu tun, nämlich mit Wärmezufuhr und Arbeit.

anzieht. Letzteres ist aber jedenfalls nur denkbar, wenn wir äußere Kräfte haben, d. h. Kräfte, die von Massenpunkten ausgehen, die nicht zum System gehören.

Diese Kräfte können wir formal dadurch in unsere bisherigen Betrachtungen einbeziehen, daß wir die potentielle Energie Φ unseres Systems, mittels auch die Gesamtenergie U , außer von den Koordinaten q_i und p_i noch von gewissen Parametern r_i abhängen lassen. Dies kommt darauf hinaus, in die Energie U auch noch die wechselseitige potentielle Energie mit aufzunehmen, die von der Wechselwirkung zwischen dem System und jenen außerhalb des Systems befindlichen Massenpunkten herrührt. Dann ist offenbar

$$(84) \quad R_i = - \frac{\partial \Phi}{\partial r_i} = - \frac{\partial U}{\partial r_i}$$

die Kraft, mit welcher das System nach außen wirkt, wenn der Parameter r_i sich ändert. Die Größen $(-R_i)$ sind also die Kräfte, die von außen auf das System ausgeübt werden; sie leisten bei einer Veränderung der Parameter r_i in $r_i + \delta r_i$ die äußere Arbeit

$$(85) \quad \delta A = - \sum_i R_i \delta r_i.$$

Für das Folgende wollen wir annehmen, daß die äußeren Parameter festliegen, so daß die Energie U nicht explizit von der Zeit t abhängt.

Alle unsere bisherigen Betrachtungen bleiben dadurch gänzlich unverändert. Zu beachten ist dabei jedoch, daß wegen Gl. (75), da \mathcal{P} bestimmt, \mathcal{P} annähernd gleichfalls von den Parametern r_i abhängt, weil die Gesamtenergie U Funktion derselben ist; nach derselben Gleichung hängt \mathcal{P} auch von Θ ab.

Die Dichte $\rho = N e^{-\frac{H_0 + \mathcal{P}}{\Theta}}$ einer kanonischen Verteilung hängt demgemäß von folgenden Größen ab:

1. Von Θ gemäß der Definitionsgl. (74) statisch explizit und wegen der Abhängigkeit von \mathcal{P} auch implizit;
2. von den Parametern r_i wegen der Abhängigkeit von U und \mathcal{P} implizit.

Was wir mit unserem groben Sinne beobachten, ist natürlich niemals der individuelle Wert R_i , der einem Systeme zukommt, sondern der Scharmittelwert \bar{R}_i , den wir daher jetzt bilden wollen. Nach Definition des Scharmittels in der kanonischen Gesamtheit in Gl. (75) haben wir zunächst:

$$\bar{R}_i = \int R_i e^{-\frac{H_0 + \mathcal{P}}{\Theta}} d\tau,$$

und das ist nach (85):

$$(86) \quad \bar{R}_i = - \int \frac{\partial U}{\partial r_i} e^{-\frac{H_0 + \mathcal{P}}{\Theta}} d\tau.$$

Anschließend folgt, da nach (77)

$$1 = \int e^{\frac{E-K}{T}} d\tau$$

ist, durch Differentiation nach T :

$$0 = \frac{1}{T} \int \frac{\partial E}{\partial x_1} e^{\frac{E-K}{T}} d\tau - \frac{1}{T} \int \frac{\partial E}{\partial T} e^{\frac{E-K}{T}} d\tau,$$

oder, da $\frac{\partial E}{\partial T}$ in Bezug auf die Integration konstant ist:

$$\frac{\partial E}{\partial T} \int e^{\frac{E-K}{T}} d\tau = \int \frac{\partial E}{\partial x_1} e^{\frac{E-K}{T}} d\tau,$$

oder endlich, wieder mit Rücksicht auf (77):

$$(80) \quad \frac{\partial E}{\partial T} = \int \frac{\partial E}{\partial x_1} e^{\frac{E-K}{T}} d\tau.$$

Der Vergleich mit (84) ergibt somit für den Mittelwert der Kraft \bar{R}_1 , die eine Veränderung des Parameters x_1 zu bewirken sucht:

$$(81) \quad \bar{R}_1 = - \frac{\partial E}{\partial x_1}.$$

Von diesem Ergebnis werden wir in der folgenden Nummer selbst Gebrauch machen.

187. Zustandsgleichung idealer einatomiger Gase.

Als Anwendungsbeispiel wollen wir zunächst die Zustandsgleichung idealer einatomiger Gase ableiten versuchen, wobei bereits von Licht und die physikalische Bedeutung der Größen Φ und Ψ klar ist.

Jede Zustandsgleichung ist in unserem Sinne in der Gl. (86) enthalten. Denn wir können das Volumen V eines Gases als einen äußeren Parameter betrachten, der durch äußere Kräfte, hier den Druck p , verändert werden kann. In der Tat ist die äußere Arbeit des Druckes, genau in Übereinstimmung mit Gl. (88), von der Gestalt $-p dV$.

Um nun die Zustandsgleichung wirklich zu bekommen, müssen wir gemäß (86) $\frac{\partial E}{\partial T}$ kennen, also zuvor E nach (79) berechnen. Also müssen wir die Energie $E = L + \Phi$ als Funktion der Zustandsvariablen p_1 und q_1 kennen. Beim idealen Gas ist dies besonders einfach, da gar keine potentielle Energie der Gasmoleküle existiert; müssen wir die kinetischen Koordinaten eines der N Moleküle x_1, y_1, z_1 seine Geschwindigkeiten u_1, v_1, w_1 so haben wir, wenn wir die Gesamtzahl der Gasmoleküle wie immer mit N bezeichnen, für einatomige Gase:

$$(87) \quad E = L = \frac{1}{2} \sum_{i=1}^{N} (u_i^2 + v_i^2 + w_i^2).$$

Denn für ein solches System ist ja nur diese Energie der translationalen Bewegung. Der Phasenraum ist hier $3Nf = 6N$ -dimensional; da die Impulse des i -ten Moleküls bzw. gleich $\mu x_i, \mu y_i, \mu z_i$ sind, wo μ die Molekülmasse ist, so ist:

$dx = dx_1 dx_2 dx_3 \dots dx_N dy_1 dy_2 dy_3 \dots dy_N dz_1 dz_2 dz_3 \dots dz_N$
oder gleich:

$$(58) \quad dx = \mu^{3N} \cdot dx_1 \dots dx_N \cdot dy_1 \dots dy_N \cdot dz_1 \dots dz_N.$$

Gemäß der Gl. (70) ist also \mathcal{V} durch das Integral definiert:

$$(59) \quad e^{\frac{\mathcal{V}}{V}} = \mu^{3N} \int e^{-\frac{\pi^2(\xi^2 + \eta^2 + \zeta^2)}{V^2}} dx_1 \dots dx_N dy_1 \dots dy_N dz_1 \dots dz_N.$$

Dieses ist in unserem Falle leicht auszurechnen, da die Energie nur von den x_i, y_i, z_i , nicht von den v_x, v_y, v_z , abhängt. Daher kann (59) geschrieben werden:

$$(60) \quad e^{-\frac{\mathcal{V}}{V}} = \mu^{3N} \int dx_1 dx_2 dx_3 \dots dx_N dy_1 dy_2 dy_3 \dots dy_N dz_1 \dots dz_N \int e^{-\frac{\pi^2(\xi^2 + \eta^2 + \zeta^2)}{V^2}} dv_1 \dots dv_N,$$

wobei die Integration über alle zulässigen Phasen zu erstrecken ist. Die Lagekoordinaten müssen etwa zwischen den Werten 0 und a variieren, wenn a^3 das Gesamtvolumen V des Gases ist. Also ist:

$$(61) \quad \int dx_1 dx_2 dx_3 \dots dx_N dy_1 dy_2 dy_3 \dots dy_N dz_1 dz_2 dz_3 \dots dz_N = V^N;$$

somit geht die Gl. (60) über in:

$$(62) \quad e^{-\frac{\mathcal{V}}{V}} = \mu^{3N} V^N \int e^{-\frac{\pi^2(\xi^2 + \eta^2 + \zeta^2)}{V^2}} dv_1 \dots dv_N.$$

In dem jetzt noch übrigbleibenden Integrale können die Geschwindigkeitskomponenten v_x, v_y, v_z alle Werte zwischen $-\infty$ und $+\infty$ annehmen. Ferner kann durch Zerlegung der Exponentialfunktion geschrieben werden:

$$e^{-\frac{\mathcal{V}}{V}} = \mu^{3N} V^N \int_{-\infty}^{+\infty} e^{-\frac{\pi^2 \xi^2}{V^2}} dx_1 \dots \int_{-\infty}^{+\infty} e^{-\frac{\pi^2 \eta^2}{V^2}} dy_1 \dots$$

¹⁾ In der Gl. (60) ist die weitere Voraussetzung enthalten, die ja in der Tat für jedes Gas charakteristisch ist, daß die räumliche Ausdehnung jedes Moleküls vernachlässigbar werden darf. Denn wenn würde für das erste Molekül nicht das ganze Volumen V zur Verfügung stehen, sondern $V - v$, wenn v das Volumen des ersten Moleküls ist. Es würde daher das Integral

$$\int dx_1 dx_2 dx_3$$

nicht gleich V , sondern gleich $(V - v)$ sein. Entsprechend würde

$$\int dx_1 dx_2 dx_3$$

wegfallen (gleich $(V - 2v)$ sein usw. Die genaue Berücksichtigung dieser hier nur angedeuteten Korrektur wurde z. B. bei der Ableitung der v, d, W -Ausdrücke obsehtung notwendig werden.

Darin sind aber nun alle die $3N$ einzelnen Integrale einander gleich, da sie sich ja nur in der Bezeichnung des Integrationsvariablen unterscheiden. Also ist weiter:

$$(33) \quad z^{-\frac{N}{V}} = \mu^{3N} / \pi^3 \left[\int_{-\infty}^{+\infty} z^{-\frac{mv^2}{2}} d\mathbf{v} \right]^3.$$

Das ist aber ein Integral von der Form, wie wir es im letzten Kapitel bei Berechnungen mit Hilfe des Maxwell'schen Verteilungsgesetzes oft benutzt haben; es hat den Wert:

$$(34) \quad \int_{-\infty}^{+\infty} z^{-\frac{mv^2}{2}} d\mathbf{v} = \sqrt{\pi m/z},$$

so daß wir im ganzen erhalten:

$$(35) \quad z^{-\frac{N}{V}} = \mu^{3N} / \pi^3 \left(\frac{\pi m}{z} \right)^{\frac{3N}{2}}.$$

Durch Logarithmieren folgt sofort der Wert:

$$(36) \quad F = - N \Theta \log F = - \Theta \log F^N(\Theta),$$

wenn alle Konstanten bzw. alle von F unabhängigen Glieder durch $F^N(\Theta)$ zusammengefaßt werden. Da nun F als äußerer Parameter betrachtet werden sollte, so haben wir, um den Mittelwert der Kraft zu finden, die auf die Veränderung von F hinwirkt, $\left(-\frac{\partial F}{\partial F}\right)$ zu bilden. Das liefert, wenn wir die Kraft durch p , ihren Scharmittelwert durch \bar{p} bezeichnen:

$$(37) \quad \bar{p} = - \frac{\partial F}{\partial V} = + \frac{N \Theta}{V}.$$

\bar{p} bezeichnen wir als den Druck des Gases, der hier charakteristischerweise als Scharmittelwert auftritt, während er z. B. im klassischen Virialsatze (vgl. Nr. 16) als zeitlicher Mittelwert auftritt.

Die formale Übereinstimmung von (37) mit der Zustandsgleichung idealer Gase fällt in die Augen; wir wollen beide Gleichungen jetzt direkt identifizieren, um die physikalische Bedeutung von Θ , das ja offenbar mit der absoluten Temperatur T zusammenhängt, zu erhellern.

Beziehen wir alles auf die Mol, d. h. setzen wir $N = N$, d. h. gleich der Avogadro'schen Zahl, so folgt aus (37):

$$(38) \quad \bar{p} = \frac{N \Theta}{V},$$

während die gewöhnliche Zustandsgleichung lautet:

$$(39) \quad \bar{p} = \frac{R T}{V}.$$

Der Vergleich gibt also die Beziehung:

$$(100) \quad G = \frac{R}{T} T = k T.$$

Wir dürfen also schon auf Grund dieses Beispiels erwarten, was sich auch allgemein zeigen läßt, daß der Mittel der kanonischen Gesamttheit \bar{G} der absoluten Temperatur T proportional ist; der Proportionalitätsfaktor k ist dabei dieselbe Zahl, die auch in dem Äquipartitionstheorem auftritt.

Auch die Bedeutung von \bar{F} selbst läßt sich in diesem Spezialfall leicht feststellen. Denn es ist nach (98) und (99), wenn wir wieder für ein Mol schreiben:

$$-\frac{\bar{F}}{T} = N \left\{ \log T + \frac{R}{T} \log \Theta + \text{Const.} \right\},$$

oder, wenn wir nach (100) die absolute Temperatur T einführen:

$$(101) \quad -\frac{\bar{F}}{T} = \frac{R}{T} N \log T + N \log T + \text{Const.}$$

Dabei ist $\frac{R}{T} N = C_v$, der Molwärme bei konstantem Volumen für ein einatomiges Gas, und daher stellt der Ausdruck rechts die Entropie pro Mol eines solchen dar. Die Größe $\left(-\frac{\bar{F}}{T}\right)$ hängt also mit der Entropie eng zusammen, was sich später noch genauer herausstellen wird.

Aus dem Vorangehenden ist es ohnehin klar, wie man in ganz analoger Weise zu der v. d. Waalschen Gleichung gelangen kann: man hat einmal die potentielle Energie und zweitens das Eigenvolumen der Moleküle zu berücksichtigen. Doch wollen wir hier nicht darauf eingehen, sondern die Aufzählung dem Leser überlassen.

106. Das Äquipartitionstheorem: die Theorie der spezifischen Wärmen.

Nach der Abschweifung der vorigen Nummer, die dazu dienen sollte, die Beschränktheit der entwickelten Anschauungen zu erkennen, kehren wir zu allgemeinere Fragen zurück, und zwar wollen wir hier das Problem der Verteilung der kinetischen Energie auf die verschiedenen Freiheitsgrade ganz allgemein behandeln.

Wir machen hier nur die eine Voraussetzung, daß die kinetische Energie L eine homogene quadratische Funktion der Impulse p_i ist, deren Koeffizienten Funktionen der q_i sind, wie es bei den meisten Problemen der Fall ist. Dann ist nach dem Eulerschen Theorem über homogene Funktionen:

$$(102) \quad \sum_i \frac{\partial L}{\partial p_i} p_i = 2L.$$

Nunmehr bilden wir den kanonischen Mittelwert von L nach der Vorschrift der Gl. (90):

$$(103) \quad L = \frac{\int L e^{-\frac{L^2}{2}} d\tau}{\int e^{-\frac{L^2}{2}} d\tau}.$$

Setzt man

$$(104) \quad d\tau = (dp_1 \dots dp_n) \cdot (dx_1 \dots dx_n) = dx_1 \dots dx_n,$$

wo dx_1 und dx_n beliebige verschiedene Abhängigkeiten bedeuten, und ferner ist $\tau = L + \Phi$, wo Φ nur von den Größen p_i abhängt. Demgemäß kann (103) geschrieben werden:

$$(105) \quad L = \frac{\iint L e^{-\frac{L^2}{2}} dx_1 \dots dx_n}{\iint e^{-\frac{L^2}{2}} dx_1 \dots dx_n},$$

oder, unter Benutzung des Eulerschen Theorems (100):

$$(106) \quad L = \frac{1}{L} \frac{\int \sum \left(\frac{\partial L}{\partial p_i} p_i e^{-\frac{L^2}{2}} \right) dx_1 \dots dx_n}{\int e^{-\frac{L^2}{2}} dx_1 \dots dx_n},$$

oder, indem die Reihenfolge von Summation und Integration vertauscht wird:

$$(107) \quad L = \frac{1}{L} \frac{\int \frac{\partial L}{\partial p_1} p_1 e^{-\frac{L^2}{2}} dx_1 \dots dx_n + \int \frac{\partial L}{\partial p_2} p_2 e^{-\frac{L^2}{2}} dx_1 \dots dx_n + \dots + \int \frac{\partial L}{\partial p_n} p_n e^{-\frac{L^2}{2}} dx_1 \dots dx_n}{\int e^{-\frac{L^2}{2}} dx_1 \dots dx_n}.$$

Die Integrale im Zähler sind alle gleich geartet, weshalb es genügt, eines von ihnen zu betrachten, etwa das erste. Vermöge der Identität

$$(108) \quad \frac{\partial L}{\partial p_1} e^{-\frac{L^2}{2}} = -\theta \frac{\partial}{\partial p_1} \left(e^{-\frac{L^2}{2}} \right)$$

kann das erste Integral geschrieben werden:

$$\begin{aligned} \int \frac{\partial L}{\partial p_1} p_1 e^{-\frac{L^2}{2}} dx_1 \dots dx_n &= -\theta \int \frac{\partial}{\partial p_1} \left(e^{-\frac{L^2}{2}} \right) p_1 dx_1 \dots dx_n \\ &= -\theta \int \frac{\partial}{\partial p_1} \left(e^{-\frac{L^2}{2}} \right) p_1 dp_1 \dots dp_n dx_1 \dots dx_n \end{aligned}$$

oder, etwas anders gruppiert:

$$(109) \quad \int \frac{\partial L}{\partial p_1} e^{-\frac{L^2}{2}} p_1 dx_1 \dots dx_n = -\theta \int dx_1 \dots dx_n dp_1 \dots dp_n \int \frac{\partial}{\partial p_1} \left(e^{-\frac{L^2}{2}} \right) (p_1 dp_1)$$

Das über alle möglichen Werte p_1 , d. h. von $-\infty$ bis $+\infty$ zu erstreckende letzte Integral läßt sich durch partielle Integration in folgender Weise umformen:

$$(110) \quad \int_{-\infty}^{+\infty} \frac{p_1}{p_1} \left(e^{-\frac{1+p_1^2}{2}} \right) p_1 dp_1 = \left[p_1 e^{-\frac{1+p_1^2}{2}} \right]_{-\infty}^{+\infty} - \int_{-\infty}^{+\infty} e^{-\frac{1+p_1^2}{2}} dp_1.$$

Also geht schließlich (108) über in:

$$(111) \quad \left\{ \int \frac{p_1}{p_1} e^{-\frac{1+p_1^2}{2}} p_1 dp_1 dv_1 \right. \\ \left. = -\theta \int dv_1 dp_2 \dots dp_n \left[p_1 e^{-\frac{1+p_1^2}{2}} \right]_{-\infty}^{+\infty} + \theta \int e^{-\frac{1+p_1^2}{2}} dv_1 dp_2 \dots dp_n \right.$$

Der Ausdruck $\left\{ p_1 e^{-\frac{1+p_1^2}{2}} \right\}$ verschwindet an beiden Grenzen, so daß einfacher ist:

$$(112) \quad \int \frac{p_1}{p_1} e^{-\frac{1+p_1^2}{2}} p_1 dp_1 dv_1 = \theta \int e^{-\frac{1+p_1^2}{2}} dv_1 dp_2 \dots dp_n.$$

Genau denselben Wert nimmt jedes der (N_f) Integrale des Zählers von (107) an, so daß wir (107) schreiben können:

$$(113) \quad \bar{E} = \frac{N_f \theta}{Z} \cdot \frac{\int e^{-\frac{1+p_1^2}{2}} dv_1}{\int e^{-\frac{1+p_1^2}{2}} dv_1} = \frac{N_f}{Z} \theta.$$

Das ist aber wieder das Äquipartitionsgesetz, und zwar in allgemeinerer Form. Denn N_f ist die Zahl der Freiheitsgrade des betrachteten Systems, ganz gleichgültig, ob es der fortschreitenden Bewegung, der Rotation oder intramolekularer Bewegung unbekannt; auf jeden Freiheitsgrad enthält im Mittel die kinetische Energie $\frac{1}{2} \theta$. In einem Spezialfalle haben wir aber bereits erkannt, daß $\theta = kT$ ist; setzen wir dies als allgemein gültig bereits hier voraus, so haben wir unser altes — aber damals nicht von uns bewiesen — Resultat vor uns, daß die kinetische Energie pro Freiheitsgrad gleich $\frac{1}{2} kT$ ist.

Damit ist nun auch selbst wieder die alte Theorie der spezifischen Wärmen, sowohl der Gase (Nr. 84), als auch der festen Körper (Nr. 87), gewonnen.

Denn für ein beliebiges Molekül Gas besteht die mittlere Energie \bar{U} nur aus kinetischer Energie, also ist für 1 Mol ($N = N_A$) die Energie:

$$(114) \quad \bar{U} = \frac{N_f}{2} k T,$$

also, da die Molwärme bei konstantem Volumen $C_v = \left(\frac{\partial \bar{U}}{\partial T} \right)_v$ ist:

$$(115) \quad C_v = \frac{N_f}{2} k = \frac{R}{2} f \frac{m}{\mu \text{ Mol}} = f \frac{m}{\mu \text{ Mol}}.$$

weil $k = \frac{R}{N}$ und N ungefähr gleich $5 \frac{\text{mol}}{\text{gram}}$ ist. Das ist genau das Ergebnis, das wir in den Gl. (71) und (75) des letzten Kapitels auf pag. 294ff. erhalten hatten. Anders heißt freies Gas: Dasselbe hat potentielle Energie Φ , und bei dem in Nr. 87 angenommenen Modell eines solchen ist diese im Mittel gleich der kinetischen, d. h. $\bar{L} = \Phi$. Also ist die gesamte Energie pro Mol:

$$U_{\text{Mol}} = \bar{L} + \Phi = 2\bar{L} = N f k T = N f T,$$

wobei f die Anzahl der Freiheitsgrade im Molekül bezeichnet. Haben wir nun ein chemisches Element, das ν teilchenartige Atome im Molekül besitzt, so daß letzteres $f = 3\nu$ Freiheitsgrade besitzt, so ist die Energie eines Grammmols:

$$(136) \quad \bar{U}_{\text{Gramm}} = \frac{1}{\nu} U_{\text{Mol}} = 3 N T,$$

und folglich die Atomwärme bei konstantem Volumen $C_v = \left(\frac{\partial U}{\partial T} \right)_v$:

$$(137) \quad C_v = 3 N \frac{\text{erg}}{\text{grad}} = 6 \frac{\text{cal}}{\text{grad}},$$

d. h. wir haben wieder das Dulong-Neubergsche Gesetz.

Es ist selbstverständlich, daß alle Bedenken gegen diese aus dem Äquipartitionstheorem folgenden Resultate, die wir in den Nummern 88 und 89 ausführlich gewürdigt haben, hier wieder zu erheben sind. Ja, sie haben sich wenigstens noch verstärkt. Denn während man früher vielleicht hätte denken können, die Herleitung der — ja nicht völlig wahren — Gleichungen erzwinge diese Ergebnisse, ist es hier direkt auf die Hamiltonschen Gleichungen der Dynamik fundiert.¹⁾ Es verstärkt sich also der Eindruck, daß diese nicht exakt gültig sein können.

138. Die Dispersion der Energie in der kanonischen Verteilung.

Bei der Einführung der kanonischen Verteilung in Nr. 105 war der maßgebende Gesichtspunkt, an Stelle der mikrokanonischen eine Verteilung zu substituieren, die einerseits unter dem Phasenraum ausgebreitet wäre, der alle möglichen Energiewerte U zuläßt, die aber andererseits doch so beschaffen sein sollte, daß die Dispersion der Energie um ihren Mittelwert (oder um ihren Mittelwert) sehr klein sein sollte. Dem damals würdig gegebenen Beweis, daß die kanonische Verteilung wirklich diese Eigenschaft besitzt, wollen wir jetzt nachgehen.

Betrachten wir die Energie eines beliebigen Systems der kanonischen Gesamtheit mit U , deren Mittelwert mit \bar{U} , so ist:

$$(138) \quad U = \bar{U} + \varepsilon,$$

wo ε die Abweichung der Energie U vom Mittelwerte \bar{U} bedeutet.

¹⁾ Allerdings nicht ausschließlich auf die dynamischen Gleichungen, sondern gleichzeitig auf die Wahl der „ergodischen“ Systeme, so daß es zu sich denken läßt, diesem letzteren Umstande die Schuld zuzuschreiben. Die neuere Entwicklung der Quantentheorie zeigt jedoch deutlich, daß es unmöglich ist, durch Abänderung der Statistik allein zu allseitig befriedigenden Resultaten zu kommen.

$\bar{\epsilon}$ hat natürlich mit gleicher Wahrscheinlichkeit positive und negative Werte, so daß die „mittlere Abweichung“

$$(119) \quad \bar{\epsilon} = 0$$

ist; dagegen ist das „mittlere Abweichungsquadrat“ $\bar{\epsilon}^2$ von Null verschieden. Dieses mittlere Abweichungsquadrat muß nun offenbar im Vergleich zu dem Quadrate der mittleren Energie \bar{U} , also zu $(\bar{U})^2$, eine sehr kleine Größe sein, wenn die Dispersion klein sein soll, d. h. es muß die Gleichung gelten:

$$(120) \quad \frac{\bar{\epsilon}^2}{(\bar{U})^2} \ll 1.$$

Die Richtigkeit dieser Gleichung für die kanonische Gesamtheit wollen wir nachweisen:

Nach (118) ist zunächst:

$$(121) \quad U^2 = (\bar{U})^2 + \bar{\epsilon}^2 + 2\bar{\epsilon} \cdot \bar{U}.$$

Bilden wir den Mittelwert dieser Gleichung, d. h. bilden $\overline{U^2}$, so haben wir rechts von jedem Summanden den Mittelwert zu bilden; dabei ist nach (119):

$$\bar{\epsilon} = 0.$$

Demnach ist:

$$U^2 = (\bar{U})^2 + \bar{\epsilon}^2,$$

oder:

$$(122) \quad \bar{\epsilon}^2 = U^2 - (\bar{U})^2.$$

Setzen wir diesen Wert von $\bar{\epsilon}^2$ in (120) ein, so ist zu zeigen, daß für die kanonische Verteilung gilt:

$$(123) \quad \frac{U^2 - (\bar{U})^2}{(\bar{U})^2} \ll 1.$$

Der Beweis wird so geführt, daß man die in (123) auftretenden Mittelwerte in der kanonischen Gesamtheit wirklich bildet. Also:

$$(124) \quad \bar{U} = \frac{\int U e^{-\frac{U}{kT}} d\tau}{\int e^{-\frac{U}{kT}} d\tau},$$

und

$$(125) \quad \overline{U^2} = \frac{\int U^2 e^{-\frac{U}{kT}} d\tau}{\int e^{-\frac{U}{kT}} d\tau}.$$

Seien wir der Bequemlichkeit halber für einen Angewandten

$$(126) \quad \frac{1}{\bar{v}} = n,$$

und ferner zur Abkürzung:

$$(127) \quad \int v^{-\frac{2}{n}} dv = \int v^{-2+n} dv = J,$$

so ergibt Differentiation von J nach x die folgenden Beziehungen:

$$(128) \quad \frac{dJ}{dx} = - \int U v^{-2+n} dv,$$

$$(129) \quad \frac{d^2 J}{dx^2} = + \int U^2 v^{-2+n} dv,$$

und ein Vergleich mit (124) und (125) unter nochmaliger Benutzung von (127):

$$(130) \quad \bar{U} = - \frac{1}{J} \frac{dJ}{dx},$$

$$(131) \quad \bar{U}^2 = - \frac{1}{J} \frac{d^2 J}{dx^2}.$$

Mit diesen Ausdrücken bilden wir $\bar{U}^2 = (\bar{U})^2 = (\bar{U})^2$, d. h. den Zahlen der linken Seite des Ausdrucks (132):

$$\bar{U}^2 = (\bar{U})^2 = \frac{1}{J} \frac{d^2 J}{dx^2} - \frac{1}{J^2} \left(\frac{dJ}{dx} \right)^2 = J \frac{\frac{d^2 J}{dx^2}}{\frac{dJ}{dx}} - \left(\frac{dJ}{dx} \right)^2$$

und das ist gleich:

$$(133) \quad \bar{U}^2 - (\bar{U})^2 = \frac{d}{dx} \left(\frac{\frac{dJ}{dx}}{J} \right),$$

oder, mit Rücksicht auf (130):

$$(134) \quad \bar{U}^2 - (\bar{U})^2 = - \frac{d\bar{v}}{dx},$$

oder endlich, wenn wir für x wieder $\frac{1}{\bar{v}}$ einführen:

$$(135) \quad \bar{U}^2 - (\bar{U})^2 = + \bar{v}^2 \frac{d\bar{v}}{d\bar{v}}.$$

Die linke Seite von (135) wird damit:

$$(136) \quad \frac{\bar{v}^2 \frac{d\bar{v}}{d\bar{v}}}{(\bar{U})^2},$$

und es ist zu zeigen, daß dieser Quotient < 1 ist.

Nun besteht jedenfalls zwischen dem Mittelwert der kinetischen Energie \bar{U} und der potentiellen Energie \bar{V} ein endliches Verhältnis, so daß

wie mit Einführung eines solchen Proportionalitätsfaktors γ schreiben können:

$$\bar{U} = \gamma \bar{L}^3,$$

d. h. in Rücksicht auf das Äquipartitionstheorem:

$$(136) \quad \bar{U} = \gamma \cdot \frac{3N}{2} \theta,$$

woraus folgt:

$$(137) \quad \frac{d\bar{U}}{d\theta} = \gamma \cdot \frac{3N}{2}.$$

Setzen wir (136) und (137) in (134) ein, so folgt:

$$(138) \quad \frac{d^2 \frac{d\bar{U}}{d\theta}}{[d\theta]^2} = \frac{1}{\gamma N^2}.$$

Es ist mithin:

$$\frac{3^2}{[d\theta]^2} = \frac{1}{\gamma N^2},$$

d. h. die „Dispersion“ der Energie:

$$(139) \quad \sqrt{\frac{\bar{U}^2}{[U]^2}} = \frac{1}{\sqrt{\gamma N}}.$$

Da die Zahl der Moleküle der von uns betrachteten Systeme ganz außerordentlich groß ist (für ein Mol ist $N = N_0 = 62 \cdot 10^{23}$), so ist in der Tat die linke Seite von (139) sehr klein gegen 1, was zu erwarten war.⁴⁾

Damit kann die Wahl der kanonischen Verteilung (54) als gerechtfertigt angesehen werden.

III. Der zweite Hauptsatz; die statistische Bedeutung des Werts \bar{U} .

Wir wollen nun weiter sehen, wie sich auch der zweite Hauptsatz für reversible Vorgänge aus unseren Anschauungen gewinnen läßt, d. h. die Gleichung

$$\frac{d\bar{U}}{\gamma} = dE.$$

Wir gehen dazu aus von der Gleichung (77):

$$(140) \quad 1 = \int e^{\frac{E + \bar{U}}{\theta}} d\tau.$$

Darin hängt \bar{U} von θ und von den äußeren Parametern r_i ab; E ist eine Funktion der p_i, q_i und des Parametern r_i . Wir wollen nun eine Veränderung

⁴⁾ Im Falle idealen Gases ($\bar{U} = 0$) ist z. B. $\gamma = 1$, und bei dem in Nr. 27 erwähnten gasförmigen Modell eines festen Körpers ist $\gamma = 1$ ($\bar{L} = \bar{U}$).

⁵⁾ Dies gilt auch noch, wenn γ eine Funktion von θ ist, was bei einem Problem des Fall sein kann. Man überzeugt sich leicht durch Anrechnung von der Möglichkeit dieser Abhängigkeit.

wie mit Einführung eines solchen Proportionalitätsfaktors γ schreiben können:

$$\bar{U} = \gamma \bar{L}^3,$$

d. h. in Rücksicht auf das Äquipartitionstheorem:

$$(136) \quad \bar{U} = \gamma \cdot \frac{3N}{2} \theta,$$

woraus folgt:

$$(137) \quad \frac{d\bar{U}}{d\theta} = \gamma \cdot \frac{3N}{2}.$$

Setzen wir (136) und (137) in (134) ein, so folgt:

$$(138) \quad \frac{d^2}{d\theta^2} \frac{d\bar{U}}{d\theta} = \frac{1}{\gamma N}.$$

Es ist mithin:

$$\frac{1}{(\gamma N)^2} = \frac{1}{\gamma N^2},$$

d. h. die „Disparation“ der Energie:

$$(139) \quad \sqrt{\frac{\bar{U}^2}{(\bar{U})^2}} = \frac{1}{\sqrt{N}}.$$

Da die Zahl der Moleküle der von uns betrachteten Systeme ganz außerordentlich groß ist (für ein Mol ist $N = N_0 = 62 \cdot 10^{23}$), so ist in der Tat die linke Seite von (139) sehr klein gegen 1, was zu erwarten war.⁴⁾

Damit kann die Wahl der kanonischen Verteilung (54) als gerechtfertigt angesehen werden.

III. Der zweite Hauptsatz; die statistische Bedeutung des Werts \bar{U} .

Wir wollen nun weiter sehen, wie sich auch der zweite Hauptsatz für reversible Vorgänge aus unseren Anschauungen gewinnen läßt, d. h. die Gleichung

$$\frac{d\bar{U}}{\gamma} = dE.$$

Wir gehen dazu aus von der Gleichung (77):

$$(140) \quad 1 = \int e^{\frac{E + \bar{U}}{\theta}} d\tau.$$

Darin hängt \bar{U} von θ und von den äußeren Parametern r_i ab; E ist eine Funktion der p_i, q_i und des Parametern r_i . Wir wollen nun eine Veränderung

⁴⁾ Im Falle idealen Gases ($\bar{U} = 0$) ist z. B. $\gamma = 1$, und bei dem in Nr. 27 erwähnten gasförmigen Modell eines festen Körpers ist $\gamma = 1$ ($\bar{L} = \bar{U}$).

⁵⁾ Dies gilt auch noch, wenn γ eine Funktion von θ ist, was bei einem Problem des Fall sein kann. Man überzeugt sich leicht durch Anrechnung von der Möglichkeit dieser Abhängigkeit.

wie mit Einführung eines solchen Proportionalitätsfaktors γ schreiben können:

$$\bar{U} = \gamma \bar{L}^3,$$

d. h. in Rücksicht auf das Äquipartitionstheorem:

$$(136) \quad \bar{U} = \gamma \cdot \frac{3N}{2} \theta,$$

woraus folgt:

$$(137) \quad \frac{d\bar{U}}{d\theta} = \gamma \cdot \frac{3N}{2}.$$

Setzen wir (136) und (137) in (134) ein, so folgt:

$$(138) \quad \frac{d^2 \frac{d\bar{U}}{d\theta}}{[d\theta]^2} = \frac{1}{\gamma N^2}.$$

Es ist mithin:

$$\frac{3^2}{[d\theta]^2} = \frac{1}{\gamma N^2},$$

d. h. die „Dispersion“ der Energie:

$$(139) \quad \sqrt{\frac{\bar{U}^2}{[U]^2}} = \frac{1}{\sqrt{\gamma N}}.$$

Da die Zahl der Moleküle der von uns betrachteten Systeme ganz außerordentlich groß ist (für ein Mol ist $N = N_0 = 62 \cdot 10^{23}$), so ist in der Tat die linke Seite von (139) sehr klein gegen 1, was zu bemerken war.⁴⁾

Damit kann die Wahl der kanonischen Verteilung (54) als gerechtfertigt angesehen werden.

III. Der zweite Hauptsatz; die statistische Bedeutung des Werts \bar{U} .

Wir wollen nun weiter zeigen, wie sich auch der zweite Hauptsatz für reversible Vorgänge aus unseren Anschauungen gewinnen läßt, d. h. die Gleichung

$$\frac{d\bar{U}}{\gamma} = dE.$$

Wir gehen dazu aus von der Gleichung (77):

$$(140) \quad 1 = \int e^{\frac{E + \bar{U}}{\theta}} d\tau.$$

Darin hängt \bar{U} von θ und von den äußeren Parametern r_i ab; E ist eine Funktion der p_i, q_i und des Parametern r_i . Wir wollen nun eine Veränderung

⁴⁾ Im Falle idealen Gases ($\bar{U} = 0$) ist z. B. $\gamma = 1$, und bei dem in Nr. 27 erwähnten gasförmigen Modell eines festen Körpers ist $\gamma = 1$ ($\bar{L} = \bar{U}$).

⁵⁾ Dies gilt auch noch, wenn γ eine Funktion von θ ist, was bei einem Problem des Fall sein kann. Man überzeugt sich leicht durch Anrechnung von der Richtigkeit dieser Behauptung.

wie mit Einführung eines solchen Proportionalitätsfaktors γ schreiben können:

$$\bar{U} = \gamma \bar{L}^3,$$

d. h. in Rücksicht auf das Äquipartitionstheorem:

$$(136) \quad \bar{U} = \gamma \cdot \frac{3N}{2} \bar{\epsilon},$$

woraus folgt:

$$(137) \quad \frac{d\bar{U}}{d\bar{\epsilon}} = \gamma \cdot \frac{3N}{2}.$$

Setzen wir (136) und (137) in (134) ein, so folgt:

$$(138) \quad \frac{d^2 \frac{d\bar{U}}{d\bar{\epsilon}}}{[d\bar{\epsilon}]^2} = \frac{1}{\gamma \bar{\epsilon}^2}.$$

Es ist mithin:

$$\frac{3^2}{(3)^2} = \frac{1}{\gamma \bar{\epsilon}^2},$$

d. h. die „Disparation“ der Energie:

$$(139) \quad \sqrt{\frac{\bar{\epsilon}^2}{(\bar{\epsilon})^2}} = \frac{1}{\sqrt{\gamma \bar{\epsilon}}}.$$

Da die Zahl der Moleküle der von uns betrachteten Systeme ganz außerordentlich groß ist (für ein Mol ist $N = N_0 = 62 \cdot 10^{23}$), so ist in der Tat die linke Seite von (139) sehr klein gegen 1, was zu bemerken war.⁴⁾

Damit kann die Wahl der kanonischen Verteilung (54) als gerechtfertigt angesehen werden.

III. Der zweite Hauptsatz; die statistische Bedeutung des Werts \bar{W} .

Wir wollen nun weiter zeigen, wie sich auch der zweite Hauptsatz für reversible Vorgänge aus unseren Anschauungen gewinnen läßt, d. h. die Gleichung

$$\frac{d\bar{Q}}{\bar{T}} = d\bar{S}.$$

Wir gehen dazu aus von der Gleichung (77):

$$(140) \quad 1 = \int e^{\frac{\bar{E} + \bar{Q}}{\bar{T}}} d\tau.$$

Darin hängt \bar{W} von \bar{Q} und von den äußeren Parametern r_i ab; \bar{U} ist eine Funktion der r_i , g_i und des Parameters r_i . Wir wollen nun eine Veränderung

⁴⁾ Im Falle idealen Gases ($\bar{Q} = 0$) ist z. B. $\gamma = 1$, und bei dem in Nr. 27 erwähnten gasförmigen Modell eines festen Körpers ist $\gamma = 1$ ($\bar{L} = \bar{Q}$).

⁵⁾ Dies gilt auch noch, wenn γ eine Funktion von \bar{Q} ist, was bei einem Problem des Fall sein kann. Man überzeugt sich leicht durch Anrechnung von der Möglichkeit dieser Abhängigkeit.

wie mit Einführung eines solchen Proportionalitätsfaktors γ schreiben können:

$$\bar{U} = \gamma \bar{L}^3,$$

d. h. in Rücksicht auf das Äquipartitionstheorem:

$$(136) \quad \bar{U} = \gamma \cdot \frac{3N}{2} \theta,$$

woraus folgt:

$$(137) \quad \frac{d\bar{U}}{d\theta} = \gamma \cdot \frac{3N}{2}.$$

Setzen wir (136) und (137) in (134) ein, so folgt:

$$(138) \quad \frac{d^2}{d\theta^2} \frac{d\bar{U}}{d\theta} = -\frac{1}{\gamma N \theta}.$$

Es ist mithin:

$$\frac{d^2}{d\theta^2} = -\frac{1}{\gamma N \theta^2},$$

d. h. die „Dispersion“ der Energie:

$$(139) \quad \sqrt{\frac{\bar{U}^2}{N^2}} = \frac{1}{\sqrt{\gamma N}}.$$

Da die Zahl der Moleküle der von uns betrachteten Systeme ganz außerordentlich groß ist (für ein Mol ist $N = N_0 = 62 \cdot 10^{23}$), so ist in der Tat die linke Seite von (139) sehr klein gegen 1, was zu bemerken war.⁴⁾

Damit kann die Wahl der kanonischen Verteilung (54) als gerechtfertigt angesehen werden.

III. Der zweite Hauptsatz; die statistische Bedeutung der Größe \bar{U} .

Wir wollen nun weiter zeigen, wie sich auch der zweite Hauptsatz für reversible Vorgänge aus unseren Anschauungen gewinnen läßt, d. h. die Gleichung

$$\frac{d\bar{U}}{dT} = dS.$$

Wir gehen dazu aus von der Gleichung (77):

$$(140) \quad 1 = \int e^{\frac{F + \bar{U}}{\theta}} d\tau.$$

Darin hängt \bar{U} von θ und von den äußeren Parametern r_i ab; \bar{U} ist eine Funktion der p_i, q_i und des Parameters r_i . Wir wollen nun eine Veränderung

⁴⁾ Im Falle idealen Gases ($\bar{U} = 0$) ist z. B. $\gamma = 1$, und bei dem in Nr. 27 erwähnten gasförmigen Modell eines festen Körpers ist $\gamma = 1$ ($\bar{L} = \bar{U}$).

⁵⁾ Dies gilt auch noch, wenn γ eine Funktion von θ ist, was bei einem Problem des Fall sein kann. Man überzeugt sich leicht durch Anrechnung von der Richtigkeit dieser Behauptung.

$$(152) \quad W(\epsilon) d\epsilon = 4\pi \left\{ \frac{\rho}{\pi^2 kT} \right\}^3 \epsilon^2 e^{-\frac{\epsilon^2}{kT}} d\epsilon,$$

und diese Gleichung stellt das Maxwell'sche Verteilungsgesetz der Geschwindigkeiten dar; sie stimmt genau überein mit der Gleichung (98) des VIII. Kapitels auf pag. 364.

Berücksichtigt man das mittlere Geschwindigkeitsquadrat \bar{c}^2 mit Hilfe von (152), so gewinnt man natürlich für die mittlere kinetische Energie $\frac{\rho}{2} \bar{c}^2$ den Äquipartitionswert $\frac{3}{2} kT$. Obgleich das Resultat nach dem Vorangehenden selbstverständlich ist, wollen wir die Rechnung der Deutlichkeit halber doch aufschreiben, gewissermaßen also eine Verifikation unseres früheren Resultates verschaffen.

Das mittlere Geschwindigkeitsquadrat \bar{c}^2 ist definiert durch die Gleichung

$$(153) \quad \bar{c}^2 = 4\pi \left\{ \frac{\rho}{\pi^2 kT} \right\}^3 \int_0^\infty \epsilon^2 e^{-\frac{\epsilon^2}{kT}} \epsilon^2 d\epsilon.$$

Unter Einführung der neuen Variablen

$$\sqrt{\frac{\epsilon^2}{kT}} \epsilon = t$$

gesteht sie die Gestalt:

$$\bar{c}^2 = \frac{4}{\sqrt{\pi}} \left(\frac{3kT}{\pi} \right) \int_0^\infty t^2 e^{-t^2} t^2 dt,$$

und das Integral, das ebenfalls schon öfters berechnet wurde, hat den Wert $\frac{1}{2} \sqrt{\pi}$.

Also ergibt sich:

$$(154) \quad \bar{c}^2 = \frac{3kT}{\pi}.$$

woraus für die mittlere kinetische Energie $\frac{\rho}{2} \bar{c}^2$ der Äquipartitionswert folgt:

$$(155) \quad \frac{\rho}{2} \bar{c}^2 = \frac{3}{2} kT,$$

was zu beweisen war.

In genau derselben Weise können wir auch die Verteilung der Rotationsgeschwindigkeiten berechnen. Nennen wir die Hauptträgheitsmomente der (jetzt natürlich nicht mehr als punktförmig zu betrachtenden) Moleküle J_x, J_y, J_z die Rotationsgeschwindigkeiten um diese Hauptträgheitsachsen bzw. $\omega_x, \omega_y, \omega_z$, die resultierende Rotationsgeschwindigkeit $\omega = \sqrt{\omega_x^2 + \omega_y^2 + \omega_z^2}$, so ist die kinetische Energie der Rotationsbewegung eines Moleküls:

$$(156) \quad \mathcal{L} = \frac{J_x \omega_x^2 + J_y \omega_y^2 + J_z \omega_z^2}{2},$$

und die Wahrscheinlichkeit dafür, daß ein Molekül des Gases Rotationskomponenten zwischen

$$\begin{aligned} \omega_1 \text{ und } \omega_1 + d\omega_1 \\ \omega_2 \text{ und } \omega_2 + d\omega_2 \\ \omega_3 \text{ und } \omega_3 + d\omega_3 \end{aligned}$$

besteht, ist ganz analog, wie vorher bei (135):

$$(136) \quad W(\omega_1, \omega_2, \omega_3) d\omega_1 d\omega_2 d\omega_3 = \text{Const.} \cdot e^{-\frac{J_1\omega_1^2 + J_2\omega_2^2 + J_3\omega_3^2}{2I_1 I_2 I_3}} d\omega_1 d\omega_2 d\omega_3.$$

Die Konstante bestimmt sich auf die bekannte Art an:

$$(137) \quad \text{Const.} = \sqrt{\frac{J_1 J_2 J_3}{(2\pi h)^3}},$$

so daß wir erhalten:

$$(138) \quad W(\omega_1, \omega_2, \omega_3) d\omega_1 d\omega_2 d\omega_3 = \sqrt{\frac{J_1 J_2 J_3}{(2\pi h)^3}} e^{-\frac{J_1\omega_1^2 + J_2\omega_2^2 + J_3\omega_3^2}{2I_1 I_2 I_3}} d\omega_1 d\omega_2 d\omega_3.$$

Diese Wahrscheinlichkeit läßt sich — genau wie bei der fortgeschrittenen Bewegung — als Produkt dreier Wahrscheinlichkeiten auffassen:

$$(139) \quad \left[W(\omega_1) d\omega_1 \cdot W(\omega_2) d\omega_2 \cdot W(\omega_3) d\omega_3 = \left\{ \sqrt{\frac{J_1}{2\pi h I_1}} e^{-\frac{J_1\omega_1^2}{2I_1}} d\omega_1 \right\} \cdot \left\{ \sqrt{\frac{J_2}{2\pi h I_2}} e^{-\frac{J_2\omega_2^2}{2I_2}} d\omega_2 \right\} \cdot \left\{ \sqrt{\frac{J_3}{2\pi h I_3}} e^{-\frac{J_3\omega_3^2}{2I_3}} d\omega_3 \right\} \right].$$

Jede der Klammern gibt die Wahrscheinlichkeit dafür an, daß ein Molekül eine bestimmte Geschwindigkeitskomponente, unabhängig von den beiden anderen Komponenten, besitzt. Wir können so z. B. den Mittelwert ω_1^2 bestimmen:

$$(140) \quad \overline{\omega_1^2} = \frac{\int_0^\infty e^{-\frac{J_1\omega_1^2}{2I_1}} \omega_1^2 d\omega_1}{\int_0^\infty e^{-\frac{J_1\omega_1^2}{2I_1}} d\omega_1}.$$

Die Einführung der neuen Variablen

$$\sqrt{\frac{J_1}{2I_1}} \omega_1 = x$$

¹⁾ Das massen-mechanische Gleichungssystem ist eine mechanische Veranschaulichung, da die Größen $\omega_1, \omega_2, \omega_3$ keine Ableitungen von wahren räumlichen Koordinaten sind, sondern sind die wesentlich kleinen Ausdrücke $\omega_1 dt, \omega_2 dt, \omega_3 dt$ sogenannte Differentiale von „quaternionen“ oder „quaternionen“ (vgl. Bd. I, pag. 366ff.). Man muß daher bei der strengen Forderung von der die Lage eines massen Körpers bestimmenden Rotationen, Winkel (Bd. I, pag. 366ff.) und den räumlichen Impulsen ausgehen. Die Berechnung, für die man etwa M. Planck (Ann. d. Phys. 66, pag. 404ff., 1900) vergleichen mag, ergibt jedoch vollständig die Richtigkeit von (140).

transformiert diesen Ausdruck in:

$$(176) \quad \overline{\omega_x^2} = \frac{3kT}{J_x} \cdot \frac{\int_{-\infty}^{+\infty} e^{-\beta J^2} J^2 dJ}{\int_{-\infty}^{+\infty} e^{-\beta J^2} J dJ}.$$

Das Integral im Zähler hat den Wert $\frac{1}{2}\sqrt{\pi}$, das im Nenner den Wert $\sqrt{\pi}$, so daß schließlich folgt:

$$(177) \quad \overline{\omega_x^2} = \frac{3kT}{J_x} = \frac{1}{J}.$$

woraus sich für die mittlere kinetische Energie dieses Freiheitsgrades der Rotation ergibt:

$$(178) \quad \frac{1}{2} \overline{\omega_x^2} = \frac{1}{2} kT,$$

wie es nach dem Äquipartitionstheorem zu erwarten war. Genau ähnliche Ausdrücke erhält man auch für $\overline{\omega_y^2}$ und $\overline{\omega_z^2}$.

Sind die drei Hauptträgheitsmomente identisch, d. h. $J_x = J_y = J_z = J$, so geht (187) über in:

$$(179) \quad W(\omega_x, \omega_y, \omega_z) d\omega_x d\omega_y d\omega_z = \left(\frac{J}{2\pi kT} \right)^{3/2} e^{-\frac{J^2}{4kT}} d\omega_x d\omega_y d\omega_z.$$

Daraus erhalten wir die Wahrscheinlichkeit $W(\vartheta)$ des dafür, daß ein Molekül eine resultierende Rotationsgeschwindigkeit zwischen ω und $\omega + d\omega$ besitzt, durch Einführung von Polarkoordinaten:

$$\omega_x = \omega \sin \vartheta \cos \varphi,$$

$$\omega_y = \omega \sin \vartheta \sin \varphi,$$

$$\omega_z = \omega \cos \vartheta$$

und durch Integration über ϑ von 0 bis π , über φ von 0 bis 2π :

$$(174) \quad W(\omega) d\omega = 4\pi \left(\frac{J}{2\pi kT} \right)^{3/2} e^{-\frac{J^2}{4kT}} \omega^2 d\omega,$$

das Formel, die genau mit dem Maxwell'schen Gesetz für die Translationsgeschwindigkeiten (163) übereinstimmt. Die Rotationsgeschwindigkeiten verhalten sich also nach demselben Gesetz wie die Translationsgeschwindigkeiten.

Wir wollen nunmehr an der ungehinderten Verallgemeinerung des Maxwell'schen Gesetzes übergehen, die Boltzmann gefunden hat.

Die Maxwell'sche Verteilung bezieht sich auf den Fall der Abwesenheit schwerer Kräfte, d. h. den Fall der Abwesenheit potentieller Energie der Moleküle. Daher kommt das Resultat zustande, daß die Lagen der Moleküle einem Gas im zur Verfügung stehenden Raum alle gleichmäßig sind, d. h. daß die Moleküle das angebotene Volumen

gleichmäßig erfüllt. Im Falle äußerer Kräfte, z. B. der Schwerkraft, kann dies nicht mehr der Fall sein. Wenn z. B. ein ideales Gas der Schwerkraft unterworfen ist, die entgegen der positiven z -Richtung wirken möge, so hat jedes Molekül die potentielle Energie $\Phi = \mu g z$. Dann ist die gesamte Energie U des Gases:

$$(175) \quad U = L + \Phi = \frac{N}{2} \sum_{i=1}^{3N} (x_i^2 + y_i^2 + z_i^2) + \mu g \sum_{i=1}^{3N} z_i.$$

Die Wahrscheinlichkeit dafür, daß ein Molekül in dem Partialvolumenelement des Phasenraumes (dx, dy, dz) (dx, dy, dz) μ^3 liegt, d. h. eine bestimmte Lage und eine bestimmte Geschwindigkeit besitzt, ist dann offenbar gemäß der kanonischen Verteilung:

$$W(x, y, z, p_x, p_y, p_z) dx dy dz dx dy dz = \text{Const.} \cdot e^{-\frac{p_x^2 + p_y^2 + p_z^2 + 2\mu g z}{2T}} dx \dots dz,$$

oder, wenn wir wieder x, y, z gleich u, v, w setzen:

$$(176) \quad W(x, y, z, u, v, w) dx \dots dw = \text{Const.} \cdot e^{-\frac{u^2 + v^2 + w^2 + 2\mu g z}{2T}} dx \dots dw.$$

Es tritt also, wie das nach dem Ansatz (74) der kanonischen Verteilung zu erwarten ist, im Exponenten die gesamte Energie, nicht nur wie bisher die kinetische auf.

Aus dieser Gleichung ergeben sich interessante Spezialfälle. Fragen wir nämlich zuerst nach der Wahrscheinlichkeit, daß ein Molekül Geschwindigkeitskomponenten u, v, w (mit dem zugehörigen Intervall) unabhängig von seiner Lage besitzt, so erhalten wir diese durch Integration von (176) über alle Werte u, v, w , d. h. wir erhalten:

$$(177) \quad W(u, v, w) du dv dw = \text{Const.} \cdot e^{-\frac{u^2 + v^2 + w^2}{2T}} du dv dw,$$

und das ist wieder das alte Maxwell'sche Verteilungsgesetz.

Auch in einem schweren Gase herrscht also an jeder Stelle die Maxwell'sche Verteilung. Dementsprechend ist auch an jeder Stelle das mittlere Geschwindigkeitsquadrat \bar{c}^2 das nämliche, und schließlich auch die Temperatur T , die ja proportional \bar{c}^2 ist. Ein schweres Gas besitzt also im Gleichgewichtszustande an allen Stellen die nämliche Temperatur!)

Dann ebenso können wir fragen, wie groß die Wahrscheinlichkeit sei, daß ein Molekül zwischen zwei Körnern x und $x + dx$ enthalten sei, unabhängig von seiner Geschwindigkeit und unabhängig vom Werte seiner y - und z -Koordinaten. Diese Wahrscheinlichkeit erhalten wir ganz analog durch Integration von (176) über alle Werte von u, v, w, y und z , die relevant sind. Das gibt, da die Integrationen einen konstanten Wert liefern:

$$(178) \quad W(x) dx = \text{Const.} \cdot dx,$$

*) Dies ist früher vielfach (z. B. von Loschmidt) behauptet worden.

d. h. jede Lage x (und ebenso y) ist gleichwahrscheinlich. Das Kapazitäts ist wieder auf die alte Art zu bestimmen. Wenn das Gefäß, in dem das Gas eingeschlossen ist, etwa durch die Ebenen $x = 0$ und $x = a$

begrenzt ist, so liefert das Integral $\int_0^a W(x) dx$ den Wert 1, da es die Gesamtsumme der Wahrscheinlichkeiten, d. h. die Wahrscheinlichkeit dafür darstellt, daß das Molekül irgendeine der möglichen Lagen x hat; das ist aber die Gewißheit. Also ist

$$\int_0^a W(x) dx = 1 = \text{Const. } a$$

also: $\text{Const.} = \frac{1}{a}$.

Mithin ist genauer nach (178):

$$(179) \quad W(x) dx = \frac{1}{a} dx.$$

Wird das Gefäß in der y -Richtung durch die Ebenen $y = 0$ und $y = b$ begrenzt, so ist entsprechend:

$$(180) \quad W(y) dy = \frac{1}{b} dy.$$

Die Resultate sind bezüglich der x - und y -Richtung deshalb so einfach, weil x und y nicht im Ausdruck der potentiellen Energie (138) auftreten. Anders bei der z -Achse.

Die Wahrscheinlichkeit dafür, daß ein Molekül sich in einer Höhe zwischen z und $z + dz$ befindet, unabhängig von der Geschwindigkeit und dem Werte der x - und y -Koordinate, ist aus (175) durch Integration über alle möglichen Werte u , v , w , x und y zu erhalten. Es ergibt sich so:

$$(181) \quad W(z) dz = \text{Const. } e^{-\frac{g z}{RT}} dz.$$

Diese Gleichung zeigt, daß keineswegs alle Lagen z gleichwahrscheinlich sind; je größer z , desto unwahrscheinlicher ist es, daß ein Teilchen diese Lage besitzt. Multiplizieren wir Gl. (181) mit N , der Gesamtzahl der Teilchen, so erhalten wir die wahrscheinliche Teilchenzahl $N(z) dz$, die zwischen z und $z + dz$ zu erwarten ist:

$$(182) \quad N(z) dz = \text{Const. } N e^{-\frac{g z}{RT}} dz.$$

In dem hier geschilderten Falle befindet sich z. B. unsere Atmosphäre: Die Teilchenzahl, d. h. die Dichte und der Druck, nehmen mit wachsender Höhe ab. Gl. (182) ist in der Tat nichts anderes, als die barometrische Höhenformel, die wir aus rein hydrodynamischen Überlegungen bereits in §4. I (pag. 396, Gl. (38)) hergeleitet hatten. Man überzeugt sich in der Tat leicht, daß beide Gleichungen identisch sind, wenn man die Konstante in (182) auf die übliche Weise bestimmt.

Diese Gleichung ist deshalb von außerordentlicher Wichtigkeit für uns, weil sie uns erlaubt wird, die Konstante $k = k_B N$, also die Avogadro'sche Konstante N genau zu bestimmen. Denn wenn wir in (132) k konstant, etwa gleich 1 wählen, und die Molekülzahlen in zwei Höhen r_1 und r_2 mit N_1 und N_2 bezeichnen, so ist:

$$(133) \quad \begin{cases} N_1 = \text{Const. } k \cdot e^{-\frac{m g r_1}{T}}, \\ N_2 = \text{Const. } k \cdot e^{-\frac{m g r_2}{T}}, \end{cases}$$

und durch Dividieren und Logarithmieren:

$$\log \left[\frac{N_1}{N_2} \right] = \frac{m g}{k} (r_2 - r_1)$$

oder, indem $r_2 - r_1 = H$ gesetzt wird:

$$(134) \quad k = \frac{m g H}{T (\log N_2 - \log N_1)} = \frac{R}{S}.$$

Auf diese Gleichung bzw. eine leichte Modifikation derselben werden wir im folgenden zurückkommen.

Was wir oben über das Aufsteigen der potentiellen Energie im Exponenten des Verteilungsgesetzes im Falle der Schwerkraft gesagt haben, gilt offenbar ganz ebenso für beliebige, von einem Potential ableitbare Kräfte. Bedeutet Φ die durch äußere Kräfte erzeugte potentielle Energie eines Moleküls, so ist allgemein nach (126) die Wahrscheinlichkeit dafür, daß ein Molekül Geschwindigkeitskomponenten zwischen

$$\begin{aligned} u \text{ und } u + \Delta u \\ v \text{ und } v + \Delta v \\ w \text{ und } w + \Delta w \end{aligned}$$

und Koordinaten zwischen

$$\begin{aligned} x \text{ und } x + \Delta x \\ y \text{ und } y + \Delta y \\ z \text{ und } z + \Delta z \end{aligned}$$

beträgt:

$$(135) \quad W(u, v, w, x, y, z) dx \dots dz = \text{Const. } e^{-\frac{m(u^2+v^2+w^2) + \Phi}{T}} du \dots dz.$$

Diese Gleichung wird als das Maxwell-Boltzmannsche Verteilungsgesetz bezeichnet.

Auf noch einfachere Weise läßt sich dasselbe durch folgende Vorstellung gewinnen: Als System betrachten wir nicht ein Gas, sondern ein einzelnes Gasmolekül; mit Hilfe sehr vieler Gasmoleküle bilden wir das konstante Gesamtheit; hier wird also ein Gas als eine konstante Gesamtheit einzelner Moleküle aufgefaßt. Sind etwa die Moleküle punktförmig und erzeugt eine äußere Kraft die potentielle Energie Φ für

jedes einzelnen Molekül, so ist die Energie \bar{U} eines Systems der kanonischen Gesamtheit, d. h. eines Moleküls:

$$\bar{U} = L + \Phi = \frac{E}{\gamma} (u^2 + v^2 + w^2) + \Phi;$$

Der Phasenraum ist hier nur 6-dimensional¹⁾; sein Volumenelement

$$d\tau = [dx dy dz] \mu^3 [du dv dw].$$

Dementselbst leitet hier die kanonische Verteilung für die Wahrscheinlichkeit, daß ein Molekül in $d\tau$ liegt, direkt den Ausdruck:

$$W [x y z u v w] d\tau = \text{Const.} \cdot e^{-\frac{E(u^2+v^2+w^2)+\Phi}{2kT}} d\tau,$$

d. h. die Gl. (165).

Auf dieselbe Weise hätte man natürlich auch die übrigen Resultate dieser Nummer gewinnen können.

Eine etwas veränderte Form hat Einstein diesem Satz gegeben, die für viele Zwecke außerordt bequem ist.

Es sei nunmehr eine kanonische Gesamtheit von Systemen mit der Energie $\bar{U} = L + \Phi$ gegeben, so daß die Wahrscheinlichkeit, daß ein System der Größe ϵ des Volumenelement $d\epsilon$ des Phasenraumes fällt, durch die Gleichung bestimmt ist:

$$(166) \quad W_\epsilon d\epsilon = \epsilon \frac{E_\epsilon d\epsilon}{\bar{U}^\epsilon} d\epsilon = \text{Const.} \cdot \epsilon^{-\frac{E_\epsilon}{\bar{U}}} d\epsilon = \text{Const.} \cdot \epsilon^{-\frac{L_\epsilon + \Phi_\epsilon}{\bar{U}}} d\epsilon.$$

Nun wagen auf dasselbe System noch Kräfte wirken, die eine Vermehrung der potentiellen Energie von Φ auf $(\Phi + \chi)$ erzeugen. Die Wahrscheinlichkeit, daß nunmehr ein System der kanonischen Gesamtheit im Phasenelement $d\epsilon$, lie:

$$(167) \quad W^\chi d\epsilon = \text{Const.} \cdot \epsilon^{-\frac{L_\epsilon + \Phi_\epsilon + \chi_\epsilon}{\bar{U}}} d\epsilon,$$

und der Vergleich mit (166) liefert das Ergebnis:

$$(168) \quad W^\chi d\epsilon = W_\epsilon e^{-\frac{\chi_\epsilon}{\bar{U}}} d\epsilon.$$

Der neue Zustand des Systems wird dabei gewissermaßen als Normalzustand betrachtet; χ ist die potentielle Energie des Systems relativ zu diesem Normalzustand, oder die Arbeit, die geleistet werden muß, um das System aus dem Normalzustand in den gegebenen neuen überzuführen. Ist im Normalzustand die Wahrscheinlichkeit W_ϵ bekannt, so folgt die Wahrscheinlichkeit im veränderten Zustande aus Gleichung (168).

Dieser Satz, der natürlich dem Maxwell-Boltzmannschen Verteilungsgesetz äquivalent ist, scheint z. B., auf sehr einfache Weise unsere

¹⁾ Dies ist der Phasenraum für ein (punktähniges) Molekül, von Unterschiede von dem allgemeinen Phasenraum, der von Einstein als „ Γ -Raum“ bezeichnet wird, nennt man den „ Ω -Raum“ bzw. den „ μ -Raum“.

obigen Ergebnisse über die Verteilung, eines schweren Gases in verschiedener Höhe wieder zu gewinnen.

Wir denken uns zunächst ein in ein Gefäß eingeschlossenes Gas und mit einer sehr großen Zahl von Beispielen derselben eine kanonische Gesamtheit gebildet; andere Kräfte, insbesondere die Schwerkraft, sollen zunächst nicht vorhanden sein; das ist der Normalzustand, von dem wir ausgehen. In diesem Normalzustande ist nun jede Lage im Innern des Gefäßes und insbesondere jeder Wert von x gleichwahrscheinlich. Durch Integration über alle Koordinaten des Phasenraumes, mit Ausnahme der x -Koordinate eines beliebigen Moleküls, gewinnen wir aus der kanonischen Verteilung für die Wahrscheinlichkeit, daß das betrachtete Molekül zwischen den Ebenen x und $x + dx$ liegt, den Ausdruck

$$(187) \quad W_1(x) dx = \text{Const.} \cdot dx.$$

Lassen wir nun die Schwerkraft wirken, so bekommt jedes Molekül einen Betrag potentieller Energie $\varepsilon = \mu g x$ hinzu. Nun ist die Wahrscheinlichkeit, daß ein Molekül zwischen x und $x + dx$ liegt, nach (186):

$$(188) \quad W^N(x) dx = W_1 e^{-\frac{\varepsilon}{kT}} dx = \text{Const.} \cdot e^{-\frac{\varepsilon}{kT}} dx,$$

was genau mit dem Ausdruck (184) übereinstimmt. Damit ergeben sich auch alle früheren Folgerungen dieser Gleichung.

Von der statistischen Formulierung (188) werden wir im folgenden noch weiteren Gebrauch zu machen haben.

III. Statistische und thermodynamische Wahrscheinlichkeit; allgemeine JT -Funktion.

Die Wahrscheinlichkeiten, von denen in diesem Kapitel bisher die Rede war, sind im Sinne der Darlegungen des Kapitels IX eigentlich Wahrscheinlichkeiten eines Mikrozustandes. Wir können aber ganz analog wie im IX. Kapitel auch die Wahrscheinlichkeit eines Makrozustandes im allgemeinen Phasenraume definieren.

Zu diesem Zwecke teilen wir den Phasenraum in kleine gleiche Volumenelemente $d\Gamma$, die wir uns numeriert denken: $d\Gamma_1, d\Gamma_2, \dots, d\Gamma_s, \dots$. Es ist nun ein bestimmter Mikrozustand gegeben, wenn bekannt ist, wie viele Systeme einer (kanonischen) Gesamtheit von im ganzen N Systemen in jedem dazwischen Elemente des Phasenraumes liegen. Es mögen z. B. N_1 in $d\Gamma_1, \dots, N_2$ in $d\Gamma_2, \dots$ vorhanden sein. Nennen wir dann die Apriori-Wahrscheinlichkeiten, daß je ein bestimmtes System der Gesamtheit in $d\Gamma_1, d\Gamma_2, \dots, d\Gamma_s, \dots$ liegt, bzw. $w_1, w_2, \dots, w_s, \dots$, so ist die Wahrscheinlichkeit des oben definierten Mikrozustandes gegeben durch:

$$(189) \quad W_{\text{stat}} = w_1^{N_1} \cdot w_2^{N_2} \cdot w_3^{N_3} \cdot \dots \cdot w_s^{N_s} \cdot \dots$$

Diesem Mikrozustande entspricht, genau wie früher, ein bestimmter Makrozustand oder thermodynamischer Zustand. Also dieser Makrozustand kann auch noch durch sehr viele andere Mikrozustände realisiert

Wenden wir das Stirlingische Theorem an [Kap. IX, Gl. (78), pag. 408]:

$$(197) \quad R! = \sqrt{2\pi R} \left(\frac{R}{e}\right)^R,$$

was voraussetzt, daß die Zahlen R_i hinreichend groß sind, so folgt weiter:

$$(198) \quad S = k(\text{Const.} - \sum_i R_i \log R_i).$$

Seien wir im Anschluß an unsere früheren Bemerkungen im IX. Kapitel

$$(199) \quad R_i = P_i \, d\tau_i,$$

so gilt (198) über in:

$$S = k(\text{Const.} - \sum_i P_i \, d\tau_i (\log P_i + \log d\tau_i)).$$

was, da $\log d\tau_i$ und $\sum_i P_i \, d\tau_i = N$ konstant sind, unter Zusammenfassung aller Konstanten geschrieben werden kann:

$$S = -k \sum_i P_i \log P_i \, d\tau_i + \text{Const.},$$

oder unter Verwendung der Summe in ein Integral:

$$(200) \quad S = -k \int P_i \log P_i \, d\tau_i + \text{Const.}$$

Denn Gleichung (200) stimmt formal mit (76) und (77) des IX. Kapitels auf pag. 405 überein, ist aber viel allgemeiner, da sie für einen allgemeinen Phasenraum entspricht, als dort, wo sie nur für den Geschwindigkeitsraum (u, v, w) bewiesen wurde.

Die Funktion

$$(201) \quad H = \int P_i \log P_i \, d\tau_i,$$

die in demselben Sinne eine Verallgemeinerung der dort eingeführten H -Funktion ist, wollen wir auch hier als (allgemeine) H -Funktion bezeichnen.

Auch in einer anderen Hinsicht ist die in (200) enthaltene Definition der Entropie allgemeiner als alle früheren Definitionen. Denn es ist ja keineswegs vorausgesetzt, daß der durch die Zahlen P_i charakterisierte Mikrozustand ein Gleichgewichtszustand sei; vielmehr haben wir die in (200) enthaltene Definition der Entropie als auch für Nichtgleichgewichtszustände gültig zu betrachten. Wir können dann umgekehrt aus (200) die Bedingung für das Gleichgewicht unseres einatomigen Gases finden. Das Resultat ist uns natürlich von vornherein bekannt: Die Moleküle müssen sich gleichmäßig über das zur Verfügung stehende Volumen des Gefäßes verteilen, und die Geschwindigkeiten der Moleküle müssen dem Maxwell'schen Verteilungsgesetz gehorchen. Dieses nun längst bekannte Ergebnis wollen wir nun aus (200) nochmals herleiten.

Im Gleichgewichtszustande muß S für ein abgeschlossenes System ein Maximum, d. h. $\delta S = 0$ sein, wo das Zeichen δ eine virtuelle, mit den Bedingungsgleichungen des Systems verträgliche „Veränderung“ bedeutet. Also muß nach (206) sein:

$$-\frac{1}{k} \delta S = \delta \int F_1 \log F_1 \cdot d\mathbf{r}_1 = 0,$$

oder ausgedr.:

$$(207) \quad \int \delta F_1 (1 + \log F_1) d\mathbf{r}_1 = 0.$$

Die Bedingungen des Systems lauten:

$$(208) \quad N = \int F_1 d\mathbf{r}_1 = \text{Const.},$$

d. h. die Gesamtzahl der Moleküle bleibt konstant. Ferner muß die Gesamtenergie des (ja abgeschlossenen) Systems, die U heißen mag, konstant sein. Bedeutet U_1 die Energie eines Moleküls in der 1-ten Kette, so muß also sein:

$$(209) \quad U = \int F_1 \cdot U_1 \cdot d\mathbf{r}_1 = \text{Const.}$$

Die Variation dieser Bedingungen liefert:

$$(210) \quad \int \delta F_1 \cdot d\mathbf{r}_1 = 0,$$

$$(211) \quad \int \delta F_1 \cdot U_1 \cdot d\mathbf{r}_1 = 0.$$

Multiplizieren wir (207) mit einem Lagrangeschen Faktor α , (208) mit einem Faktor β und addieren zu (207), so erhalten wir als allgemeine Bedingung für einen Gleichgewichtszustand:

$$(212) \quad \int \delta F_1 (1 + \log F_1 + \alpha + \beta U_1) d\mathbf{r}_1 = 0,$$

d. h.

$$\log F_1 = - (1 + \alpha) - \beta U_1 = \log A - \beta U_1,$$

wenn $-(1 + \alpha) = \log A$ gesetzt wird, oder:

$$(213) \quad F_1 = A e^{-\beta U_1}.$$

Die Werte der beiden Konstanten A und β können mit Hilfe der Gleichungen (208) und (209) bestimmt werden. Derselbe muß ja nach (208) sein:

$$(214) \quad N = A \int e^{-\beta U_1} d\mathbf{r}_1$$

und

$$(215) \quad U = A \int U_1 e^{-\beta U_1} d\mathbf{r}_1.$$

Für ein einatomiges Gas z. B. ist für jedes Molekül

$$(216) \quad U_1 = \frac{m}{2} (u^2 + v^2 + w^2);$$

also kann man (308) und (313) anschaulich schreiben, unter Berücksichtigung der Größe des Volumenelementes Δv , nach (188) (der Index l wird jetzt als überflüssig fortgelassen):

$$(317) \quad \Sigma = \rho^3 \Delta \int \int \int \int \int \int e^{-\frac{R_0}{T} (u^2 + v^2 + w^2)} \Delta x \Delta y \Delta z \Delta u \Delta v \Delta w,$$

$$(318) \quad U = \rho^3 \Delta \int \int \int \int \int \int \int \frac{1}{2} (u^2 + v^2 + w^2) e^{-\frac{R_0}{T} (u^2 + v^2 + w^2)} \Delta x \Delta y \Delta z \Delta u \Delta v \Delta w$$

Das dreifache Integral über Δx , Δy , Δz ist einfach gleich dem Volumen V des Gefäßes, in dem das Gas eingeschlossen war; also folgt ebenfalls:

$$(319) \quad \frac{\Sigma}{V \rho^3 \Delta} = \int \int \int e^{-\frac{R_0}{T} (u^2 + v^2 + w^2)} \Delta u \Delta v \Delta w,$$

$$(320) \quad \frac{3U}{V \rho^3 \Delta} = \int \int \int (u^2 + v^2 + w^2) e^{-\frac{R_0}{T} (u^2 + v^2 + w^2)} \Delta u \Delta v \Delta w.$$

Nennen wir die resultierende Geschwindigkeit $c = \sqrt{u^2 + v^2 + w^2}$ und fassen wir Polarkoordinaten (c, θ, φ) ein, so können wir weiter schreiben:

$$(321) \quad \frac{\Sigma}{V \rho^3 \Delta} = \int_0^\infty \int_0^\pi \int_0^{2\pi} e^{-\frac{R_0}{T} c^2} c^2 \Delta c \sin \theta \, d\theta \, d\varphi$$

und

$$(322) \quad \frac{3U}{V \rho^3 \Delta} = \int_0^\infty \int_0^\pi \int_0^{2\pi} e^{-\frac{R_0}{T} c^2} c^4 \Delta c \sin \theta \, d\theta \, d\varphi.$$

Damit sind die Integrale auf bereits bekannte zurückgeführt. Denn die Integrationen über θ und φ liefern in beiden Gleichungen den Faktor 4π , was ergibt:

$$(323) \quad \frac{\Sigma}{V \rho^3 \Delta} = 4\pi \int_0^\infty e^{-\frac{R_0}{T} c^2} c^2 \Delta c$$

und

$$(324) \quad \frac{3U}{V \rho^3 \Delta} = 4\pi \int_0^\infty e^{-\frac{R_0}{T} c^2} c^4 \Delta c.$$

Führt man schließlich noch durch die Substitution

$$\sqrt{\frac{R_0}{T}} \cdot c = \xi$$

ξ als Integrationsvariable ein, so folgt:

$$(330) \quad \frac{R}{r^2 \rho^2 A} = 4\pi \left(\frac{1}{2\pi\rho} \right)^3 \int_0^\infty e^{-\rho^2 \xi^2} \xi^2 d\xi$$

und

$$(331) \quad \frac{1U}{r^2 \rho^2 A} = 4\pi \left(\frac{1}{2\pi\rho} \right)^3 \int_0^\infty e^{-\rho^2 \xi^2} \xi^4 d\xi.$$

Das erste der beiden Integrale hat bekanntlich den Wert $\frac{1}{2}\sqrt{\pi}$, das zweite ist gleich $\frac{3}{2}\sqrt{\pi}$. Daraus erhalten wir:

$$\text{also} \quad \frac{R}{r^2 \rho^2 A} = 4\pi \left(\frac{1}{2\pi\rho} \right)^3 \frac{1}{2} \sqrt{\pi}$$

$$\frac{1U}{r^2 \rho^2 A} = 4\pi \left(\frac{1}{2\pi\rho} \right)^3 \frac{3}{2} \sqrt{\pi}.$$

Die erste dieser Gleichungen liefert:

$$A = \frac{R}{r^2} \left(\frac{2\pi\rho}{\sqrt{\pi}} \right)^3,$$

die zweite dagegen, unter Beachtung von (329):

$$(332) \quad \frac{1}{2} \sqrt{\pi} = \frac{R}{r^2} \frac{3}{2} \sqrt{\pi}$$

und das ist nach dem Äquilibriumstheorem gleich $1/T$, so daß schließlich wird:

$$(333) \quad B = \frac{1}{4\sqrt{\pi}}.$$

und durch Einsetzen dieses Wertes in (329) folgt schließlich für A :

$$(334) \quad A = \frac{R}{r^2} \left(\frac{1}{2\pi\rho\sqrt{\pi}} \right)^3.$$

Im Gleichgewichtsstande erhalten wir also für die Anzahl $\mathfrak{N}_1 = F_1 d\tau_1$ der Moleküle, die in einem Volumenelement $d\tau$ des Flüssigraumes liegen, nach (328), (333) und (334) den Wert:

$$(335) \quad \mathfrak{N}_1 = F_1 d\tau_1 = \frac{R}{r^2} \left(\frac{1}{2\pi\rho\sqrt{\pi}} \right)^3 e^{-\frac{1}{2} \frac{u^2 + v^2 + w^2}{kT}} dx dy dz dv dw.$$

Daß in der Faktor ρ^3 des Volumenelementes $d\tau$ nach (135) mit der Konstanten A zusammengefaßt werden.

Daraus ergibt sich nun sofort folgendes:

Die Zahl $v dv dx dy dz$ der Moleküle, die — unabhängig von ihrer Geschwindigkeit — im gewöhnlichen Lagereame im Volumenelement $(dx dy dz)$ liegt, erhält man aus (335) durch Integration über alle Werte von

u, v, w , d. h. von $-\infty$ bis $+\infty$. Die Mehrzahl Ausrechnung liefert das Resultat:

$$V \cdot d n \, d p \, d s = \frac{N}{V} \cdot d n \, d p \, d r,$$

d. h. in der Volumeneinheit befinden sich

$$(206) \quad r = \frac{N}{V}$$

Moleküle; dieselben verteilen sich also im Gleichgewichtszustande gleichmäßig auf das Volumen V , wie behauptet wurde und wie zu erwarten war.

Ebenso findet man durch Integration über alle Werte u, v, w die Zahl N der Moleküle, die Geschwindigkeitskomponenten zwischen u und $u + du, \dots$ und so weiter haben; da $\iiint d x \, d y \, d z = V$ ist, hat man

$$N = N \left(\frac{h}{2\pi i k T} \right)^{\frac{3}{2}} \int e^{-\frac{u^2 + v^2 + w^2}{2kT}} \, d u \, d v \, d w,$$

und daraus in bekannter Weise für die Zahl N_c derjenigen Moleküle, die eine resultierende Geschwindigkeit zwischen c und $c + dc$ (ohne Rücksicht auf die Richtung) besitzen:

$$(207) \quad N_c = 4\pi N \left(\frac{h}{2\pi i k T} \right)^{\frac{3}{2}} e^{-\frac{c^2}{2kT}} c^2 \, dc,$$

was genau die Maxwell'sche Verteilung ist und mit (185) übereinstimmt, wie gleichfalls zu erwarten war.

113. Theorie des Sedimentationsgleichgewichtes in kolloidalen Lösungen.

Nachdem wir im vorhergehenden die allgemeine Theorie so weit wie möglich abschließen gebracht haben, wollen wir nun zur Besprechung wichtiger Einzelfälle übergehen, deren experimentelle Erkennung die wichtigsten Bestätigungen der kinetischen Auffassung erbracht hat.

Ein solcher Fall ist der folgende, dessen Theorie von Einstein herrührt und der von Perrin, Bauseigneur u. a. experimentell studiert worden ist.

In einer Flüssigkeit von dem spezifischen Gewichte ρ_0 seien Teilchen von dem (größeren) spezifischen Gewichte ρ suspendiert. Dies ist z. B. der Fall bei den sogenannten kolloidalen Metallösungen, Suspensionen von Gummi etc. Unter dem Einflusse der (aufwärts der positiven z -Richtung wirkenden) Schwere sollte man nach der gewöhnlichen thermodynamischen Auffassung erwarten, daß diese Teilchen sich am Boden absetzen („sedimentieren“). Nach der statistischen Auffassung jedoch ist keine Höhenlage eines Teilchens unmöglich, nur mehr oder weniger wahrscheinlich, so daß von diesem Standpunkte erwartet werden muß, daß man in allen Höhen Teilchen findet, allerdings in größeren Höhen weniger als in kleineren.

Die wahrscheinlichste Lage ist, wie man ohne Rechnung sofort sieht, die am Boden des Gefäßes, und in der Nähe dieser wahrscheinlichsten Lage finden nun Schwankungen statt, wie wir es am Fehlen des IX. Kapitels ausgemerkelt haben; zwischen der Wirkung dieser Schwankungen und der Schwere stellt sich eine Art Gleichgewicht ein, so daß nun in jeder Höhe im Durchschnitt eine konstante Teilchenzahl findet. Dieses Gleichgewicht nennt man das „Sedimentationsgleichgewicht“. Man erkennt schon hier die Ähnlichkeit dieses Falles mit dem in Nr. III behandelten des schweren Gases. In der Tat wird die genauere Ausföhrung der Theorie die völlige Übereinstimmung zwischen ihnen zeigen.

Wir denken uns nun R Teilchen in der Flüssigkeit ausgespart, zunächst ohne Einwirkung der Schwere. Einen dieser Teilchen betrachten wir als ein „System“, und die R Teilchen als eine kontinuierliche Gesamtheit dieser Systeme. Dann ist die Wahrscheinlichkeit $W_0(x)dx$, daß ein Teilchen (System) sich zwischen den Höhen x und $x+dx$ befindet, offenbar nach dem Volumen gleich:

$$(320) \quad W_0(x) dx = \text{Const.} \cdot dx,$$

da eben jede Lage in der Flüssigkeit gleichwahrscheinlich ist (wegen der Abwesenheit äußerer Kräfte natürlich).

Jetzt läßt die Schwere wirken. Das hat zur Folge, daß jetzt jedes Teilchen eine potentielle Energie

$$U = (x - x_0) g \cdot \varphi \cdot v$$

besitzt, wenn x seine Höhe und φ sein Volumen ist. Dann wird nach dem Maxwell-Boltzmannschen Theorem in der Einsteinschen Formulierung (19) die Wahrscheinlichkeit $W^*(x)dx$ daher, daß ein Teilchen zwischen x und $x+dx$ sich befindet:

$$W^*(x) dx = W_0(x) e^{-\frac{U}{RT}} dx,$$

oder nach (320):

$$(321) \quad W^*(x) dx = \text{Const.} \cdot e^{-\frac{U}{RT}} dx,$$

was die Sache nach offenbar wieder die barometrische Höhenformel (190) oder (192) ist, nur für diesen Spezialfall modifiziert.

Durch Multiplikation der Gl. (321) mit R , der Gesamtzahl der Teilchen, erhalten wir für die Zahl $R(x)$ der Teilchen zwischen x und $x+dx$:

$$(322) \quad R(x) = \text{Const.} \cdot e^{-\frac{U}{RT}} dx.$$

Die Bedeutung der Konstante ist leicht ersichtlich. Setzen wir $x = 0$, so haben wir:

$$(323) \quad R(0) = \text{Const.} \cdot dx,$$

es ist also die Teilchenzahl zwischen 0 und h , d. h. am Boden der Flüssigkeit. Demgemäß kann (327) geschrieben werden:

$$(328) \quad R(h) = R(0) e^{-\frac{h - \frac{1}{2} g h^2}{RT}}.$$

Durch Division mit V , dem Flüssigkeitsvolumen, kann man die entsprechenden Zahlen $r(h) = \frac{R(h)}{V}$ und $r(0) = \frac{R(0)}{V}$ pro Volumeneinheit einführen:

$$(329) \quad r(h) = r(0) e^{-\frac{h - \frac{1}{2} g h^2}{RT}}.$$

Durch Logarithmieren findet man:

$$(330) \quad \log \left[\frac{r(h)}{r(0)} \right] = \frac{h - \frac{1}{2} g h^2}{RT} = \frac{h}{RT} - \frac{g h^2}{2R} - N$$

und diese Gleichung kann offenbar zur Bestimmung von N , der Avogadro'schen Zahl, dienen, denn g , r , h , T können rechtsehr leicht experimentell bestimmt werden.

Dies ist zuerst von Perrin⁵⁾ gegeben (Fig. 78).

Die Grundidee der Versuchsanordnung Perrins und ihrer Nachfolger ist im wesentlichen die folgende:

In einer Kammer K ist die zu untersuchende kolloidale Lösung enthalten; sie wird von oben mittels eines Mikroskops M betrachtet. Da das Mikroskop gleichzeitig nur eine sehr dünne Schicht von einigen Tausendstel Millimetern scharf zu sehen gestattet, so ist dadurch die Konstanz von h ziemlich genau gewährleistet. Die Höhe h wird einfach durch Verschieben des Mikroskoptubes variiert.

Man erkennt zunächst aus (329), daß, wenn die verschiedenen eingestellten r eine arithmetische Reihe bilden, die Teilchenzahlen $r(h)$ eine geometrische Reihe bilden müssen. Dies hat Perrin loc. cit. in der Tat festgestellt, wie die folgende Tabelle belegt.

h in 10^{-4} cm.	Const. $r(h)$ beob.	Const. $r(h)$ berechn.
0	100	100
20	47	48
40	22,5	23
60	12	11,1

⁵⁾ J. Perrin, Die Atome, deutsch von Lottermoser, 1914, pag. 338.

In der zweiten und dritten Spalte sind die beobachteten und berechneten Werte $v(t)$ angegeben, mit einem demselbigen Proportionalitätsfaktor multipliziert, daß in der Höhe $r = 2 \cdot 10^{-8}$ cm der Wert 100 entspricht. Man sieht, daß die Übereinstimmung der Beobachtung mit den Zahlen der letzten Spalte, die eine geometrische Reihe darstellen, ausgezeichnet ist. Eine zweite Beobachtungsreihe ergab die folgende Tabelle,

r in 10^{-8} cm	$v(t)$ beob.	$v(t)$ berechnet
5	1000	1000
8	600	600
10	400	400
18	100	100

die wieder eine gute Übereinstimmung zeigt.

Durch Bestimmung der Größen α , η , φ , T ergab sich bei den Perrin'schen Versuchen nach (284) die Zahl N :

$$N = 68,2 \cdot 10^{23}$$

während Westgren, der die Versuche mit verbesserten Methoden wiederholte, den gewöhnlichen Wert

$$(285) \quad N = 68,51 \cdot 10^{23}$$

erhielt, der auf etwa 1%, genau sein dürfte. Das ist eine glänzende Bestätigung der statistisch-mechanischen Auffassung, die je zu einem ganz andern, aber durch die Erfahrung bestätigten, Resultat führt als die thermodynamische Theorie, wie wir am Anfang dieser Nummer nachdrücklich festgestellt haben.

Im vorhergehenden haben wir kleine Gruppen von Teilchen beobachtet, da wir ja gerade die Anzahl der Teilchen in verschiedenen Höhen feststellen. Würden wir dagegen nur ein Teilchen ins Auge fassen, so würden wir es im Laufe der Zeit auf- und absteigen sehen, und zwar wird es sich in größeren Höhen seltener und kürzer aufhalten als in tieferen: der zeitliche Ablauf seiner Bewegung (die sog. Zeitgenauigkeit einer Teilchenbahn) wäre ein getreues Abbild der Häufigkeitsverteilung einer Schaar von Molekülen, wie es der Anschauung der statistischen Mechanik entspricht.

Man erkennt hier besonders gut, daß die Naturvorgänge in Wirklichkeit reversibel sind. Eben nach der thermodynamischen Theorie muß das Teilchen sinken, wobei seine potentielle Energie durch Reibung in Wärme verwandelt wird (Zunahme der Entropie). Hier aber sehen wir auch den Fall häufig realisiert (ja sogar bei jedem Teilchen, wenn es hinreichend lange beobachtet wird), daß ein Teilchen in die Höhe steigt, entgegen dem klassischen oder Thomson-Planckschen Prinzip, indem es der Umgebung Energie (Wärmeenergie) entzieht (Abnahme der Entropie).

Haben wir denn nicht in diesem Falle ein Perpetuum mobile II. Art vor uns? Richtig genommen gewiß! Aber dennoch ist es auf diese Weise nicht möglich, dauernd Wärmeenergie der Umgebung (z. B. der Luft oder dem Weltmeer) zu entnehmen und in mechanische Arbeit zu verwandeln, wie von Smoluchowski zuerst klar ausgedrückt wurde¹⁾. Wir kommen auf diese Frage noch einmal am Schluß dieses Kapitels zurück.

114. Theorie der Dichteschwankungen in Gasen und Lösungen.

Das in der vorhergehenden Nummer behandelte Problem bildet das erste Beispiel für das von der kinetischen Theorie verlangte Auftreten von Schwankungen um die thermodynamisch gekordnete Gleichgewichtslage. Bereits bei einer früheren Gelegenheit haben wir darauf aufmerksam gemacht, daß solche Schwankungen (infolge der Stöße der Moleküle) auch bezüglich der gleichmäßigen Verteilung der Moleküle eines Gases auf das zur Verfügung stehende Volumen auftreten müssen. Und was für Gase gilt, muß auch für Lösungen, und zwar solche im gewöhnlichen Sinne des Wortes und sogenannte kolloidale Lösungen, gelten: Sowohl in Gasen als in Lösungen müssen daher Dichteschwankungen bzw. Konzentrationsschwankungen um die Gleichgewichtslage auftreten.

Die Theorie derselben ist zuerst von M. v. Smoluchowski²⁾ entwickelt worden, dessen Darstellung wir uns hier aneignen. Die Methode Smoluchowskis beruht auf einer sehr interessanten Anwendung des Maxwell-Boltzmannschen Satzes Gl. (189).



Fig. 76.

In Fig. 76 sei B ein sehr großer mit Gas gefüllter Ballon, der einen zylindrischen Ansatz von 1 cm^2 Querschnitt hat; derselbe ist nach außen verschlossen. In dem Ansatz befindet sich ein frei beweglicher gewichtloser Stempel S , der für Wärme vollkommen durchlässig ist, also das Gas in zwei Teile von stets gleicher Temperatur teilt; links von S in dem

¹⁾ M. v. Smoluchowski, *Zeitschrift für physikalische Chemie*, pag. 501, 1914. Ann. der Phys. 24, pag. 106, 1907. In der ersten Arbeit bezieht sich Smoluchowski zunächst auf Brownsche Molekularbewegungen, in der zweiten auf statistische Fluktuationen, die im Maxwell-Boltzmannschen Satze liegen. Die obige Darstellung stützt sich auf die zweite Arbeit an.

zylindrischen Ansatz sei gerade eine Menge von 1 Gramm des Gases abgetrennt. Wenn das Gas im Ballen B die Temperatur T_1 und den Druck p_1 besitzt, so muß auch das eine Gramm des Gases links vom Stempel die nämliche Temperatur T_1 und denselben Druck p_1 besitzen, da der Stempel der Temperaturgleichheit nicht widersteht und frei beweglich ist. Die Entfernung x des Stempels vom festen Ende muß dann gleich $x_1 = v_1$ dem zu p_1 und T_1 gehörigen spezifischen Volumen des Gases sein $\left[v_1 = \frac{RT_1}{p_1} \right]$.

Aber um diese Gleichgewichtslage werden Schwingungen eintreten, weil die Moleküle des Gases links und rechts auf Δx aufstoßen und dem Stempel Impulse mitteilen. Da diese Stöße sich nur im Mittel aufheben, nicht exakt in jedem Moment sich das Gleichgewicht halten, wird der Stempel kleine Bewegungen um seine Normallage ausführen. Er sei also in einem beliebigen Moment durch die Stelle x veranlaßt, daß links vom Stempel das Gas das spezifische Volumen v angenommen habe, d. h. die Stempelstellung $x = v$ geworden sei; auf der rechten Seite (in B) hat sich dann wegen der Größe von B weder der Druck p_1 noch die Temperatur T_1 merklich geändert; links dagegen wird der Druck von p_1 in einen andern Wert p übergegangen sein, während die Temperatur unverändert T_1 geblieben ist. Es wirkt also eine zurücktreibende Kraft $F = (p - p_1)$ auf den Stempel, und wir können infolgedessen ohne weitere sagen, daß eine Verschiebung des Stempels um so unwahrscheinlicher ist, je größer sie ist; denn um so größer ist dann ja auch die zurücktreibende Kraft $F = (p - p_1)$ auf den Stempel. Folgt nun, bei der Wahrscheinlichkeit einer bestimmten Stempelverschiebung, oder andern ausgedrückt, bei der Wahrscheinlichkeit, daß das spezifische Volumen des Gases links vom Stempel zwischen v und $v + \Delta v$ liegt, einen näherungsweise Ausdruck zu finden.

Zu diesem Zweck lassen wir von unten auf den Stempel eine zurücktreibende Kraft F ausgegossen, gleiche $F = (p_2 - p)$ wirken, die also zusammen mit der zurücktreibenden Kraft F bewirkt, daß der Stempel vollkommen kraftfrei ist, also mit gleicher Wahrscheinlichkeit jede Stellung $x = v$ einnehmen kann. In diesem modifizierten Falle ist also die gesuchte Wahrscheinlichkeit $W_2(v) \Delta v$ offenbar:

$$(86) \quad W_2(v) \Delta v = \text{const. } \Delta v.$$

Wenn wir jetzt die Zustandskraft F durch eine ausgegossen, gleiche $-F = (p - p_2) = F$ wieder aufheben, so haben wir den alten Zustand wieder, der sich dadurch von dem bisher betrachteten modifizierten unterscheidet, daß nunmehr noch die Kraft $-F = F$ wirkt, d. h. eine gewisse potentielle Energie χ des Stempels infolge einer Kraft $-F = F$ vorhanden ist. Diese potentielle Energie hat offenbar den Wert:

$$(87) \quad \chi = - \int_v^x (p - p_2) \Delta v;$$

Denn danach ist $-\frac{\partial \chi}{\partial v} = p - p_2 = F = -F$, wie es sein soll.

Dann aber ist der Maxwell-Boltzmannsche Satz in der Form (185) anwendbar. Nach ihm ist die gesuchte Wahrscheinlichkeit $W^*(\eta) d\tau$ für ein bestimmtes spezifisches Volumen v :

$$W^*(\eta) d\tau = W_0(\eta) e^{-\frac{1}{RT} \int_0^v p dv} d\tau = a e^{-\frac{1}{RT} \int_0^v p dv},$$

wo a eine Konstante bedeutet, oder nach Einführung von ξ aus (187):

$$(335) \quad W^*(\eta) d\tau = a e^{-\frac{1}{RT} \int_0^{\xi} (\eta - p) d\xi} d\tau = a e^{-\frac{p_0}{RT} \int_0^{\xi} (\eta - p) d\xi} d\tau.$$

Diese Gleichung können wir schreiben:

$$(336) \quad W^*(\eta) d\tau = a e^{-\frac{p_0}{RT} \int_0^{\xi} (\eta - p) d\xi} d\tau,$$

und darin ist $\frac{p_0}{RT}$ offenbar die Zahl ν der Moleküle pro Gramm, d. h. die in unserem Falle vorhandene Moleküldichte. Mit Einführung dieser Größe ν läßt sich also schreiben:

$$(337) \quad W^*(\eta) d\tau = a e^{-\frac{\nu}{RT} \int_0^{\xi} (\eta - p) d\xi} d\tau.$$

Wir betrachten nur kleine Abweichungen vom Gleichgewichtszustande, d. h. ν von ν_0 nur als sehr wenig verschieden. Das Integral

$\int_0^{\xi} (\eta - p_0) d\xi = f(\xi)$ ist eine Funktion eines oberen Grenzwertes ξ , und wir wollen es nach Potenzen von $(\xi - \xi_0)$ entwickeln. Das geht offenbar:

$$\begin{aligned} \int_0^{\xi} (\eta - p_0) d\xi = f(\xi) &= f(\xi_0) + f'(\xi_0)(\xi - \xi_0) + \frac{1}{2!} f''(\xi_0)(\xi - \xi_0)^2 \\ &\quad + \frac{1}{3!} f'''(\xi_0)(\xi - \xi_0)^3 + \frac{1}{4!} f^{(4)}(\xi_0)(\xi - \xi_0)^4 + \dots \end{aligned}$$

oder, nach Einsetzen der Werte:

$$(340) \quad \left\{ \begin{aligned} \int_0^{\xi} (\eta - p_0) d\xi &= \left(\frac{\partial f}{\partial \xi} \right)_{\xi_0} \frac{\xi - \xi_0}{1} + \left(\frac{\partial^2 f}{\partial \xi^2} \right)_{\xi_0} \frac{\xi - \xi_0}{1 \cdot 2} \\ &\quad + \left(\frac{\partial^3 f}{\partial \xi^3} \right)_{\xi_0} \frac{\xi - \xi_0}{1 \cdot 2 \cdot 3} + \dots \end{aligned} \right.$$

Im allgemeinen wird man mit dem ersten Gliede auskommen; doch werden wir nachher einen wichtigen Fall kennen lernen, in dem gerade das Glied vierten Grades ausschlaggebend ist.

Bei Beschränkung auf das erste Glied ist also nach (337):

$$(341) \quad W^*(\eta) d\tau = a e^{-\frac{\nu}{RT} \left(\frac{\partial f}{\partial \xi} \right)_{\xi_0} \frac{\xi - \xi_0}{1}} d\tau.$$

Damit ist die gestellte Aufgabe gelöst. Denn Gl. (343) gibt die Wahrscheinlichkeit dafür an, daß r Moleküle einen Raum einnehmen, der einem spezifischen Volumen zwischen v und $v + dv$ entspricht, wobei der Druck gleich p , und das „normale“ spezifische Volumen gleich v_0 ist.

Führt man noch nach Szewalschewski die sogen. „Verdichtung“ δ ein durch die Definition:

$$(343a) \quad \frac{v}{v_0} = 1 + \delta,$$

woraus

$$(343b) \quad dv = v_0 \cdot d\delta$$

folgt, so haben wir statt der Gleichung (343) auch:

$$(344) \quad W^*(\delta) d\delta = n \cdot \frac{v_0^n}{\sqrt{\pi}} \left(\frac{p}{v_0} \right)^n \cdot e^{-\frac{p}{v_0} \delta^2} \cdot d\delta.$$

Der Wert $\left(\frac{p}{v_0} \right)^n$ ist gemäß der Zustandsgleichung des Gases zu bestimmen. Im einfachsten Falle, daß das Gas ein ideales ist, ist also

$$\left(\frac{p}{v_0} \right)^n = - \frac{R p}{v_0^2}, \text{ was mit (344) die einfache Formel ergibt:}$$

$$(345) \quad W^*(\delta) d\delta = n \cdot e^{-\frac{R}{2} \delta^2} \cdot d\delta.$$

Wir wollen zunächst mit dieser Formel, also der Voraussetzung eines idealen Gases, weiterrechnen. Die Konstante n ergibt sich aus der Bedingung, daß die Summe aller Wahrscheinlichkeiten gleich 1 sein muß; also:

$$\int_{-\infty}^{+\infty} W^*(\delta) d\delta = 1 = n \int_{-\infty}^{+\infty} e^{-\frac{R}{2} \delta^2} d\delta.$$

Es ergibt sich daraus (das Integral wurde schon mehrfach berechnet):

$$n = \sqrt{\frac{2}{R\pi}},$$

so daß endlich von (345) wird:

$$(346) \quad W^*(\delta) d\delta = \sqrt{\frac{2}{R\pi}} \cdot e^{-\frac{R}{2} \delta^2} \cdot d\delta.$$

Man sieht von dieser Gleichung zunächst, daß Dichteschwankungen wirklich möglich sind und in welchem Betrage sie möglich sind: je größer δ , desto weniger wahrscheinlich ist es, daß dieser Wert δ eintritt, obwohl er bei hinreichend langer Beobachtungsdauer notwendig eintreten muß, da die Wahrscheinlichkeit dafür zwar klein, aber nicht absolut gleich Null ist. Die mittlere Verdichtung $\bar{\delta}$ ist natürlich gleich Null, da positive und negative Verdichtungen gleichwahrscheinlich sind; das geht auch sofort aus der Definition von $\bar{\delta}$ hervor:

$$\bar{\delta} = \int_{-\infty}^{+\infty} \delta W^*(\delta) d\delta = \sqrt{\frac{2}{R\pi}} \int_{-\infty}^{+\infty} \delta e^{-\frac{R}{2} \delta^2} d\delta,$$

da das Integral gleich Null ist. Dagegen können wir nach dem Mittelwertsatz des absoluten Betrages $|\delta|$, also nach der Größe $|\overline{\delta}|$ fragen. Diese ist offenbar gegeben durch:

$$(347) \quad |\overline{\delta}| = \int_{-\infty}^{+\infty} |\delta| W^2 W d\delta = 2\sqrt{\frac{r}{\pi}} \int_0^{\infty} e^{-\frac{1}{2}r\delta^2} \delta d\delta,$$

und das liefert den Wert:

$$(348) \quad |\overline{\delta}| = \sqrt{\frac{r}{\pi}}.$$

Damit kann man die Größe der mittleren Dichteschwankung berechnen, wenn die Zahl r gegeben ist. Da in 1 Mol eines Gases $N = 60,6 \cdot 10^{23}$ Moleküle vorhanden sind und 1 Mol bei Normalbedingungen ein Volumen von 22,472 cem einnimmt (vgl. Nr. 31), kommt bei $T_0 = 273^\circ$ und $p_0 = 76$ cm Hg auf ein Kubikcentimeter $\frac{60,6 \cdot 10^{23}}{22,472} = 2,7 \cdot 10^{24}$ Moleküle. Für eine solche Zahl $r = 2,7 \cdot 10^{24}$ erhalten wir aus (348):

$$|\overline{\delta}| \approx 1,5 \cdot 10^{-12},$$

d. h. in diesem Falle beträgt die mittlere Dichteschwankung rund $2 \cdot 1,5 \cdot 10^{-12} = 3$ Milliardstel des normalen Dichtes, ist also völlig unmerklich. Aber schon bei mikroskopisch noch wahrnehmbaren Dimensionen wird $|\overline{\delta}|$ merklich. Nehmen wir einen Wert von $0,2 \cdot 10^{-23}$ cem — diese Größe ist eben noch mikroskopisch sichtbar — so ist die Zahl $r = 2,7 \cdot 10^{24} \cdot 2 \cdot 10^{-23} = 5,4 \cdot 10^1$. Dabei wird wieder

$$|\overline{\delta}| = 1,8 \cdot 10^{-4},$$

d. h. hier beträgt die Schwankung schon über 2 Promille, und sie wird um so größer, je kleiner der betrachtete Raum ist. Der Nachweis für Gase ist allerdings sehr schwierig und wie bis vor kurzem auch noch nicht gemacht, bis es Smoluchowski gelang, auf optischem Wege zum Ziele zu gelangen, wozu wir weiter unten eingehen werden. Allein diese Betrachtungen gelten ja ganz ebenso für kolloidale Lösungen — ein Kolloidteilchen ist ja nach der statistischen Auffassung von einem Molekül grundsätzlich gar nicht verschieden — und hier ist es verhältnismäßig leicht möglich, durch Färbung der Teilchen die Schwankung der Konzentration, d. h. der Dichte der kolloidalen Teilchen, festzustellen. Allerdings ist bei diesen Messungen eine sehr kleine Zahl (bisher war es immer eine sehr große Zahl), was gewisse Modifikationen der Smoluchowskischen Formeln bedingt, auf die wir hier aber nicht eingehen wollen, da es uns hier nur um Prinzipielle ankommt.

Svedberg, Westgren u. a. haben nun tatsächlich diese Konzentrationschwankungen beobachtet, und es sei ein Teil einer Svedbergschen Beobachtungsreihe¹⁾ wiedergegeben. Dabei wurden in einem be-

¹⁾ The Svedberg, Die Existenz der Moleküle, Leipzig 1923, Acad. Verlagsgesellsch., pag. 148.

stärkst abgegrenzten Volumen der kollektiven Lösung mittels des Mikroskops nacheinander folgende Teilchenzahlen gezählt (es wurde in der Minute 30mal beobachtet):

1800080918	2418610271	1281123111
9473114285	4034114101	1423102186
0034118009	1112116213	
4211281284	8211102111	

Man erkennt hieraus zunächst die Tatsache der Konzentrationsveränderungen. Aber auch der ganze Verlauf geht genau nach den Smolowskowskischen Gleichungen vor sich, so daß wir eine genaue glänzende Bestätigung der statistischen Theorie vor uns haben. In der folgenden Fig. 77 ist die obige Reihe Beobachtungen graphisch dargestellt, indem als Abszissen die Zeiten, als Ordinaten die Teilchenzahlen aufgetragen sind.

Häufigkeit	Anzahl
0	13
1	36
2	84
3	14
4	8
5	2
6	1
7	0
8	0

Die mittlere Teilchenzahl (die normale Dichte) beträgt hier $\bar{v} = 1,74$; über die Häufigkeit der verschiedenen Teilchenzahlen gibt die vorstehende Tabelle Aufschluß. Man erkennt, daß die (sawtoothartige) Kurve der Fig. 77 von genau derselben Charakter ist, wie das Modell der H-Kurve, das in Fig. 76 auf S. 478 wiedergegeben ist. In der Tat können wir auch ebenso gut die Kurve Fig. 77 als Modell der H-Kurve betrachten. Es fehlt in Fig. 77 nur der steile Abstieg, der einem unwahrscheinlichen Zustande folgt, da wir hier eben von einem verhältnismäßig wahrscheinlichen Zustande ausgehen, während wir in Fig. 76 einen ganz unwahrscheinlichen Anfangszustand gewählt hatten.

Wie bereits oben bemerkt, ist es unter normalen Verhältnissen bei einem Gase sehr schwierig, einen direkten Nachweis der Nichtschwankungen zu führen. Es ist indessen dem Schischine und der Experimentellisten Smolowskowskij gelungen, diesen Nachweis indirekt zu erbringen.

Lichtwellen nämlich, die ein genügend kleines "durchsetzen" werden, infolge der Verdrichtungen und Verdrünnungen eine teilweise Beugung erleiden, die um so stärker ist, je kürzer die Wellenlänge der Strahlung ist; die Theorie zeigt, daß die Intensität des gebeugten Lichts umgekehrt proportional der vierten Potenz der Wellenlänge ist. Wenn also das auffallende Licht voller Tageslicht ist, so ist in dem gebeugten Licht die blaue Farbe stark vorherrschend; dies ist die Erklärung des Himmelsblaus, die ursprünglich von Lord Rayleigh in etwas anderem Sinne gegeben wurde. In seiner letzten Experimentalarbeit ist es Smoluchowski¹⁾ gelungen, in ganz reinen Gasen direkt im Laboratoriumsversuch diesen Beugungseffekt nachzuweisen.²⁾

Diese Beugungsphänomene, die im allgemeinen sehr schwach ist, kommt nun zu starker Entwicklung im kritischen Punkte eines Gases. Der kritische Punkt ist bekanntlich (vgl. Kap. II, S. 38, Gl. (76) pag. 120) dadurch charakterisiert, daß die kritische Isotherme ($T_c = T_c$) in diesem eine horizontale Tangente und einen Wendepunkt besitzt, d. h. daß

$$(248) \quad \left(\frac{\partial p}{\partial v}\right)_c = \left(\frac{\partial^2 p}{\partial v^2}\right)_c = 0$$

Gehen wir also jetzt, da die Voraussetzung kleiner Gase fallen gelassen werden muß, auf die allgemeine Gleichung (247) zurück, so müssen wir in (241) gemäß (248) die Entwicklung bis zu dem Gliede vierten Grades treiben, da alle vorherigen Glieder im kritischen Punkte verschwinden. Es ist also nach (247), (248) und (249):

$$(250) \quad W^*(v) \Delta v = a \frac{v^2}{2T_c^2} \frac{v - v_c}{v + v_c} \left(\frac{\partial^2 p}{\partial v^2}\right)_{c,1} \Delta v.$$

Führen wir wieder die Verdichtung $\delta = \frac{v}{v_c} - 1 = \frac{v}{v_c} - 1$ ein, so folgt:

$$(251) \quad W^*(\delta) \Delta \delta = a c \frac{-v_c \left(\frac{\partial^2 p}{\partial v^2}\right)_c}{2T_c^2 v_c^2} \delta^2 \Delta \delta$$

wobei wir jetzt abgemessen statt v , den Buchstaben v_c setzen.

Legen wir die v. d. Waals'sche Zustandsgleichung zugrunde, so ist im kritischen Punkte [Kap. II, Gl. (76) pag. 120]:

$$\left(\frac{\partial^2 p}{\partial v^2}\right)_c = -\frac{1}{2v_c} \frac{a}{b^2} = -\frac{27}{4} \frac{RT_c}{v_c^2},$$

und damit wird die letzte Gleichung:

$$(252) \quad W^*(\delta) \Delta \delta = a c \frac{27}{32} \frac{a}{v_c^2} \delta^2 \Delta \delta.$$

¹⁾ M. v. Smoluchowski, *Bull. de l'Acad. de Sciences*, 1903, pag. 218.

²⁾ Mit Hilfe dieser Rayleigh'schen Theorie des Himmelsblaus hat in sehr reiner Luft auf dem Fk von Teneriffa Berg bei 1800 den Wert $44 \cdot 10^{10}$ für die Avogadro'sche Zahl erhalten; auf dem Mount Wilson bei 10400 Fowler den noch genaueren Wert $6,3 \cdot 10^{23}$. Vgl. weiter oben auf pag. 539 den Wert von Waingrein.

Diese Gleichung unterscheidet sich sehr wesentlich von der früheren (343), vor allen Dingen dadurch, daß hier β im Exponenten auftritt, in (343) dagegen β^2 . Die Konstante a bestimmt sich wieder durch die Forderung:

$$a \int_{-\infty}^{+\infty} e^{-\frac{1}{2}\beta^2} d\beta = 1.$$

Durch die Substitution

$$\sqrt{\frac{\beta^2}{2}} d\beta = z$$

kann diese Gleichung in die Form überführt werden:

$$(344) \quad a \sqrt{\frac{\beta^2}{2}} \int_{-\infty}^{+\infty} e^{-z^2} dz = \text{so} \sqrt{\frac{\beta^2}{2}} \int_0^{\infty} e^{-z^2} dz = 1,$$

und das letztere Integral kann vermittleh der Γ -Funktion^{*)} ausgedrückt werden. Es ist nämlich in der Legendreschen Darstellung:

$$(345) \quad \int_0^{\infty} e^{-z^2} dz = \Gamma\left(\frac{1}{2}\right).$$

Folglich nach (344):

$$\text{so} \sqrt{\frac{\beta^2}{2}} \Gamma\left(\frac{1}{2}\right) = 1,$$

also:

$$a = \frac{\sqrt{\frac{\beta^2}{2}}}{\Gamma\left(\frac{1}{2}\right)}.$$

Damit wird (343) zu:

$$(346) \quad W^2(\beta) d\beta = \frac{\sqrt{\frac{\beta^2}{2}}}{\Gamma\left(\frac{1}{2}\right)} e^{-\frac{1}{2}\beta^2} d\beta.$$

Für den Mittelwert des Abstandes $|\beta|$ erhalten wir damit:

$$|\bar{\beta}| = \frac{\sqrt{\frac{\beta^2}{2}}}{\Gamma\left(\frac{1}{2}\right)} \int_{-\infty}^{+\infty} |\beta| e^{-\frac{1}{2}\beta^2} d\beta = \frac{\sqrt{\frac{\beta^2}{2}}}{\Gamma\left(\frac{1}{2}\right)} \int_0^{\infty} \beta e^{-\frac{1}{2}\beta^2} d\beta,$$

oder, wenn $\beta^2 = z$ gesetzt wird:

$$|\bar{\beta}| = \frac{1}{2} \frac{\sqrt{\frac{\beta^2}{2}}}{\Gamma\left(\frac{1}{2}\right)} \int_0^{\infty} z e^{-\frac{1}{2}z} dz.$$

*) Vgl. etwa Jahnke-Niida, Funktionsstabell. usw. pag. 88.

oder endlich vermittle die Substitution

$$\sqrt[3]{\frac{3}{4\pi}} \xi = \eta,$$

$$|\bar{\delta}| = \frac{1}{2} \frac{\sqrt[3]{\frac{3}{4\pi}}}{F(\frac{1}{2})} \sqrt[3]{\frac{3}{4\pi}} \int_0^{\frac{\pi}{2}} r^{-r} dr,$$

und das letzte Integral ist, durch eine F -Funktion ausgedrückt, gleich $F(\frac{1}{2}) = \frac{1}{2}\sqrt{\pi}$. Also folgt schließlich:

$$|\bar{\delta}| = \frac{1}{2} \sqrt[3]{\frac{3}{4\pi}} \cdot \frac{F(\frac{1}{2})}{F(\frac{1}{2})}.$$

Nach den Tabellen in Jahrbuch-Brosch. Funktionenstabell., findet man leicht $F(\frac{1}{2}) = 0.9061$, während $F(\frac{1}{2}) = \frac{1}{2}\sqrt{\pi}$ ist. Dann ergibt sich schließlich:

$$(206) \quad |\bar{\delta}| = \frac{1}{2} \sqrt[3]{\frac{3}{4\pi}}.$$

Der charakteristische Unterschied gegen die frühere Gleichung (185) besteht darin, daß hier die vierte Wurzel aus r auftritt, dort die Quadratwurzel. Das besagt schon bei relativ großen Werten von r eine erhebliche Dichtenschwächung, wie folgendes Beispiel Smolouchowskis zeigt:

Im Kubus einer Lichtwellenlänge von $0.5 \cdot 10^{-4}$ cm sind unter Normalbedingungen enthalten $r = 5 \cdot 10^{18}$ Moleküle, und daher wird hier nach der alten Gleichung (185):

$$|\bar{\delta}| = 3.8 \cdot 10^{-4}.$$

Berechnen wir nun die Zahl r im gleichen Volumen bei dem kritischen Punkte etwa für Äthyläther. Da der kritische Druck p_k ungefähr 45 Atmosphären, die kritische Temperatur T_k ungefähr 300° abs. beträgt, findet man hier für $r = 5.5 \cdot 10^{18}$. Für $|\bar{\delta}|$ ist nun die neue Formel (206) anzuwenden, und diese liefert $|\bar{\delta}| = 5.5 \cdot 10^{-4}$. Der mittlere Dichtenschwund folgt jetzt also zu etwa 1.8% .

Diese große Dichtenschwächung macht sich nun beim kritischen Punkte stark bemerkbar, indem beim Durchstrahlen mit Licht eine besonders starke Beugung, sogenannte „Opaleszenz“ auftritt. Diese war schon seit langem bekannt, aber nicht erklärt. Ein Smolouchowskis hat die obige Deutung gegeben. Einstein²⁾ hat dann noch eine Berechnung der Intensität des gelingen Lichtes geliefert, die von Keesom³⁾ auch experimentell vollkommen bestätigt worden ist. —

Am Schluß des vorigen Paragraphen haben wir darauf aufmerksam gemacht, daß die dort besprochene Endgleichung im Gegensatz zu der dog-

²⁾ Einstein, Ann. d. Phys. 89, pag. 756, 1928.

³⁾ Keesom, Ann. d. Phys. 89, pag. 587, 1921.

natürlichen Forderung des zweiten Hauptsatzes steht. Denn dasselbe gilt hier. Denn wie wir in Nr. 112 noch ausdrücklich bewiesen haben, muß im Gleichgewichtszustande eines Gases (Maximum der Entropie) die Dichte in allen Teilen des Volumens dieselbe sein. Jede Dichteschwankung aber bedeutet eine Abnahme der Entropie, d. h. etwas entsprechend der Aufhebung der kinetischen Theorie, aber entgegen der Forderung der kinetischen Thermodynamik. Man sieht bei unserm Beispiel besonders leicht ein, daß es im Prinzip möglich scheint, ein Perpetuum mobile zweiter Art mit Hilfe der Dichteschwankungen zu konstruieren. Denn mit Hilfe geeigneter Ventile und dergleichen könnte man diese Dichteschwankungen geistesgemäß „auslesen“ oder „ordnen“, und ihnen Ausguß zur Arbeitsleistung lassen. Damit hätten wir z. B. der Luft Wärmeentzug entzogen und sie in Arbeit verwandelt, d. h. einen Prozeß realisiert, der nichts weiter bewirkt, als die Abkühlung eines Reservoirs und die äquivalente Hebung einer Last, d. h. etwas nach dem Thomson-Planckschen Prinzip unmöglichen Prozeß. Daß eine vollständige Ausbesserung dieser Konstruktion dennoch prinzipiell unmöglich ist, so daß die Folgerungen der kinetischen Thermodynamik im Großen zu Recht bestehen, hat Smoluchowski zuerst gezeigt. Wir geben am Schluß dieses Kapitels darauf ein.

Eine eingehende Darstellung der Rolle, die die Schwingungseigenheiten überhaupt in der modernen Physik spielen, hat E. Fäth¹⁾ gegeben; der Leser sei noch weitere Information auf diesen Punkt verwiesen.

113. Theorie der Brownischen Molekularbewegung.

Es ist nur ein anderer Ausdruck für die nämliche Tatsache der Konzentrationsschwankungen, wenn wir sagen, daß jedes einzelne suspendierte Teilchen eine unregelmäßige Bewegung ausführt und zwar infolge der Stöße der umgebenden Moleküle. Ohne eine solche Bewegung wäre ja eine Konzentrationsschwankung gar nicht möglich.

Tatsächlich ist diese unregelmäßige, hin und her zitternde Bewegung suspendierter Teilchen schon lange bekannt: sie wurde 1827 von dem Botaniker Brown entdeckt und führt nach ihm den Namen „Brownische Molekularbewegung“.²⁾ Dagegen ist eine Theorie dieser mehrseitigen Erscheinung erst vor verhältnismäßig kurzer Zeit gegeben worden. Früher suchte man nämlich den Grund der fortwährenden Bewegung dieser suspendierten Teilchen entweder in Temperaturinhomogenitäten der um-

¹⁾ E. Fäth, Physik, Sechster, 86. pag. 538 ff., 1926.

²⁾ Als historisch interessant sei bemerkt, daß die Brownische Molekularbewegung schon unmittelbar nach ihrer Entdeckung die Aufmerksamkeit von Gauss erregt hat, die nach wie dem Altmann Antonovs Schramacher die Erklärung und eine Quantität von Gauss gut werden ließ, um sie selbst zu beschreiben. Vgl. das darauf bezüg. Teil des Korrespondenz zwischen Gauss und Schramacher in dem von mir herausgegebenen physikalischen Nachlaß Gaussens. Gauss, Ges. Werke, Bd. XI, I, pag. 58 u. 64; XII, pag. 58.

gehenden Flüssigkeit oder in anderen anderen Flüssigkeiten. Erst die systematischen Versuche von Chr. Wiener und G. G. Meyer lieferten die Erkenntnis an, daß die Brownische Bewegung durch die Stöße der Moleküle der umgebenden Flüssigkeit bzw. des umgebenden Gases verursacht sein müsse. Einstein und Smolochowski haben dann 1906 im wesentlichen dieselbe Formel auf Grund dieser kinetischen Auffassung (jeweils nach ganz verschiedenen Methoden) abgeleitet, und diese Einstein-Smolochowskische Formel ist durch Versuche von Perrin, Svedberg, Seidig u. a. in der vollkommensten Weise bestätigt worden.

Wir wollen diejenige Ableitung der Einsteinschen Formel geben, die später von Langevin gegeben wurde, weil sie am schnellsten zum Ziele führt. Es geht daher nicht den tiefen Einblick in die Details der Beschreibung, wie ihn die Einsteinsche und namentlich die Smolochowskische Theorie vermittelt.

Langevin geht von der Vorstellung aus, daß auf ein suspendiertes Teilchen von der Masse m zwei Sorten von Kräften wirken, von denen man die erste zu einer „Reibungskraft“ proportional seiner Geschwindigkeit zusammenfassen kann, während in der andern Sorte alle übrigen Kräfte der Moleküle der umgebenden Flüssigkeit zusammengefaßt werden. Es läßt sich nicht leugnen, daß diese Trennung etwas künstlich ist. Denn auch die sogenannte Reibungskraft kommt doch schließlich nur durch die Stöße der Flüssigkeitsmoleküle zustande, wie wir im achten Kapitel ja ausführlich besprochen haben. Diese Trennung stellt eigentlich eine Vermischung zweier Gesichtspunkte vor, nämlich des statistisch-statistischen und des Kontinuumsmechanischen der gewöhnlichen Hydrodynamik. Trotzdem hat der Erfolg gezeigt, daß diese Trennung doch wohl begründet werden kann.

Für die Bewegung irgendeines Teilchens in einer bestimmten, aber beliebigen Richtung, die wir als x -Richtung wählen können, gilt also nach Langevin eine Gleichung von der Form:

$$(357) \quad \mu \dot{x} = -f \dot{x} + X,$$

Wobei bezeichnet $(-f \dot{x})$ die x -Komponente der „Reibungskraft“, X diejenige aller übrigen Kräfte zusammen. Wird diese — ganz ähnlich wie beim Vorfallestheorem — mit x multipliziert, so folgt:

$$\mu \dot{x} x = -f \dot{x} x + X x,$$

oder:

$$(358) \quad \mu x \dot{x} = -\frac{1}{2} f \frac{d(x^2)}{dt} + X x.$$

Wenn kann man für $\mu \dot{x} x$ schreiben:

$$\mu x \dot{x} = \frac{\mu}{2} \frac{d}{dt} \left\{ \frac{d(x^2)}{dt} \right\} = \mu \dot{x}^2,$$

so daß (358) übergeht in:

$$(359) \quad \frac{\mu}{2} \frac{d}{dt} \left\{ \frac{d(x^2)}{dt} \right\} = \mu \dot{x}^2 = -\frac{f}{2} \frac{d}{dt} (x^2) + X x.$$

Eine solche Gleichung bilden wir für alle Teilchen, die in der Flüssigkeit suspendiert sind, und nun bilden wir das (arithmetische) Mittel der obigen Ausdrücke für alle Teilchen:

$$\frac{r}{2} \frac{d}{dt} \left\{ \frac{d}{dt} (\overline{x^2}) \right\} - \mu \overline{x^2} = - \frac{r}{2} \frac{d}{dt} (\overline{x^2}) + \overline{Xx}.$$

Es wird nun angenommen (was streng genommen eines besonderen Beweises bedürfte), daß der Mittelwert \overline{Xx} verschwindet, weil die Kraft X eben ganz unregelmäßig sich ändert. Ferner ist nach dem Äquivalenztheorem

$$\mu \overline{x^2} = k T = \frac{R}{N} T,$$

so daß wir schließlich erhalten, da noch $\frac{d(\overline{x^2})}{dt} = \frac{d}{dt} (\overline{x^2})$ ist:

$$(500) \quad \frac{r}{2} \frac{d}{dt} \left\{ \frac{d(\overline{x^2})}{dt} \right\} + \frac{1}{2} r \frac{d}{dt} (\overline{x^2}) = \frac{R}{N} T.$$

Setzt man zur Abkürzung

$$\frac{d(\overline{x^2})}{dt} = \beta,$$

so kann (500) geschrieben werden:

$$(501) \quad \frac{r}{2} \frac{d\beta}{dt} + \frac{1}{2} r \beta = \frac{RT}{N},$$

und das ist eine Differentialgleichung zur Bestimmung von β . Das allgemeine Integral lautet:

$$(502) \quad \beta = \frac{RT}{N} \frac{1}{\beta} + C e^{-\frac{N}{r} \beta},$$

wo C eine Integrationskonstante ist. Nun ist wegen der Kleinheit von μ der Quotient $\frac{1}{\beta}$ eine sehr große Zahl, so daß das zweite Glied nach $e^{-N\beta/r}$ immer sehr schnell abnimmt; es ist also dann vernachlässigbar:

$$(503) \quad \beta = \frac{1}{2} \frac{d}{dt} (\overline{x^2}) = \frac{RT}{N} \frac{1}{\beta},$$

und das ergibt integriert zwischen zwei Zeiten 0 und τ :

$$\overline{x^2} - \overline{x_0^2} = \frac{RT}{N} \frac{1}{f} \tau.$$

Wenn wir nun noch für $t = 0$ nach $x_0 = 0$ anschauen, und statt x^2 wegen einer Kleinheit $\overline{x^2}$ setzen, so folgt die Formel:

$$(504) \quad \overline{x^2} = \frac{RT}{N} \frac{1}{f} \tau.$$

$\overline{x^2}$ hat hier die folgende Bedeutung: Ein Teilchen werde zur Zeit 0 und zur Zeit τ betrachtet. Es hat dann eine Verschiebung Δx erfahren, deren Projektion auf die x -Achse $\overline{x^2}$ ist. Diese Beobachtung wird nun an denselben Teilchen in derselben Weise wieder ausgeführt, indem immer

im Zeitintervalle τ , also zu den Zeiten $3\tau, 6\tau, \dots$ beobachtet wird und jedesmal Δx festgelegt wird. Diese Werte werden quadriert und aus den Quadraten das Mittel genommen, eben unser $\overline{\Delta x^2}$. Die so beobachteten Verschiebungen stellen aus keinemwegs die wirkliche Bahn des Teilchens und abweichend $\frac{\Delta x}{\tau}$ etwa die x -Komponente seiner Geschwindigkeit dar. Teilweise hat das Teilchen, wenn wir etwa für τ eine sec ansetzen, (wie schon viel zu kleine Zahl für die Beobachtung; bei den ersten im besprochenen Perrinschen Versuche war τ gleich 30 sec!) doch schon Millionen von Stößen empfangen, und was wir sehen, ist lediglich die Anfangs- und Endposition, die nur durch eine gerade Linie verbunden, während die wirkliche Bahn ein wirtes Netzwerk von gewackeligen Strichen ist. Was wir beobachten, ist also schon eine ungeheuer vereinfachte „Bahn“; ein Beispiel einer solchen ist nach Beobachtungen von Perrin in Fig. 47 auf pag. 486 gezeichnet und von uns dort als Beispiel für die Brownsche Bewegung wirklicher Moleküle benutzt worden. Dacht man sich jede der gewackeligen Verbindungsstrichen in dieser Figur nochmals in Millionen Zickzacklinien zerlegt, so würde man erst der wirklichen Bahn einigermaßen nahekommen. Diese komplizierte Bewegung in allen Hinsichten zu analysieren, ist unmöglich. Man muß sich daher damit begnügen, in bestimmten Zeitintervallen τ zu beobachten, die entsprechenden Größen Δx zu messen und damit $\overline{\Delta x^2}$ zu bilden. Auf diese Größe $\overline{\Delta x^2}$, die Gemanach mit der wahren Bahn nur noch in sehr losem Zusammenhang steht, bezieht sich die Aussage der Theorie, die in (354) enthalten ist.

Nun wird aus der Hydrodynamik für die Größe f ein Ausdruck angegeben, was natürlich denselben Bedeutung unterliegt, wie die oben erwähnte Belegung der durch die Molekularstöße ausgeübten Kraft in eine Reibungskraft ($-f\dot{x}$) und eine gewöhnlich unregelmäßige Kraft X , wovon eben schon das Notwendige gesagt ist. Gibt man aber einmal diese Belegungsmöglichkeit an, so ist es in der Tat nur konsequent, für die Bestimmung der Größe f die gewöhnliche Hydrodynamik heranzuziehen. Die physikalische Bedeutung von f ist die einer Kraft pro Einheit der Geschwindigkeit. Nun haben wir in Band I, pag. 335 in Gl. (58) einen Wert für f gefunden. Eine Kugel nämlich vom Radius R bewegt unter dem Einflusse einer äußeren Kraft K in einer reibenden Flüssigkeit vom Reibungskoeffizienten η eine konstante Geschwindigkeit u an, die sich aus folgender Gleichung berechnet:

$$(355) \quad -K = 6\pi\eta R \cdot u.$$

Die Größe $-\frac{K}{u}$ ist offenbar gleich unserem f , der Reibungskraft, wenn die Geschwindigkeit 1 ist. Also ist

$$(356) \quad f = 6\pi\eta R.$$

Die Kombination dieser Gleichung mit (354) liefert dann:

$$(357) \quad \overline{v^2 \Delta x^2} = \sqrt{\frac{RT}{N}} \cdot \frac{\sqrt{N}}{\sqrt{6\pi\eta R}}.$$

Dies ist die Formel von Einstein (und mit einer geringen Modifikation in Zahlenkoeffizienten, die Formel Smolouchowskies), zu deren experimenteller Prüfung wir nun übergehen wollen. Wird die Gleichung bestätigt, so ist das ein schlagender Beweis für die Existenz von Molekülen, die ja durch ihre Stöße die Brownsche Bewegung hervorgerufen sollen, also für die Richtigkeit und Notwendigkeit der molekular-kinetischen Theorie der Materie überhaupt.

Man sieht zunächst aus der Formel — ein außerordentliches Ergebnis —, daß $\sqrt{V\Delta x^2}$ gar nicht von der Masse μ der Teilchen abhängt. Demnach ist diese Forderung der Theorie von Perrin mit großer Genauigkeit bestätigt worden. Bei seinen Versuchen verhielten die Massen der zur Beobachtung gelangenden Teilchen im Verhältnis 1:15000, und dennoch ergibt sich aus der obigen Gleichung auf Grund der Beobachtung innerhalb der Fehlergrenzen der damaligen Messungen Perrins derselbe Wert für die Avogadrosche Zahl N .

Die Messungen werden in der Weise gemacht, daß man die jeweilige Stellung des beobachteten Teilchens in Zeitintervallen τ visuell eines quadratischen Netzes, das sich im Mikroskopokular befindet, feststellt und auf Rechenpapier, das gleichfalls ein quadratisches Netz enthält, überträgt. Je zwei aufeinander folgende Stellungen bestimmen einen Wert Δx , oder vielmehr die Horizontalprojektion eines solchen (denn nur diese kann ja im Mikroskop beobachtet werden), von jedem solchen Δx bildet man dann das Quadrat und eine feste Richtung dieses heißt Δx^2 .

Perrin fand aus seinen besten Messungen für N den Wert $60,5 \cdot 10^{23}$, der aber nach neueren Untersuchungen zweifellos zu groß ausgefallen ist. Wertgrenzen gibt statt dessen den Wert

$$N = 59,4 \text{ bis } 60,5 \cdot 10^{23}$$

an, die sich dem wahren Wert bis auf 1 Prozent nähern dürfte.

In einzelnen erhalten die Arbeiten von Perrin, Svedberg und Wertgren noch die Nachweise dafür, daß $\sqrt{V\Delta x^2}$ proportional \sqrt{T} und umgekehrt proportional $\sqrt{\eta}$ ist. Der Temperaturkoeffizient an sich ist sehr gering, nämlich $\sqrt{V\Delta x^2}$ proportional \sqrt{T} ; da aber η mit wachsender Temperatur T sehr stark abnimmt, so überlagert sich dem einen Temperaturkoeffizient der sehr starke Effekt der Abnahme von η . So stellen die Arbeiten von Perrin und Svedberg eine glänzende quantitative Bestätigung der Einsteins-Smolouchowskischen Gleichung und damit der kinetischen Theorie überhaupt dar.

Erweist es sich, daß bereits vorher Fickig²⁾ den Nachweis erbracht hatte, daß die Temperaturabhängigkeit der Größe $\sqrt{V\Delta x^2}$ wirklich nach der Formel (367), also proportional $\sqrt{\frac{T}{\eta}}$ vor sich geht. Dann ver-

²⁾ M. Fickig, Math. Zeit.-Schrift 1923.

quantitative Arbeit hat damit die erste quantitative Stütze für die kinetische Theorie erhalten.

Wir können uns hier mit diesen kurzen Andeutungen begnügen, indem wir den Leser zwecks weiterer Information auf die mehrfach genannten Werke von Perrin und Svedberg verweisen.

Nur eine Bemerkung von grundsätzlicher Bedeutung soll hier noch gemacht werden. Die Diffusion, z. B. einer ungleichmäßig konzentrierten kolloidalen Lösung, ist offenbar nur möglich, weil die einzelnen Teilchen eine Brownsche Bewegung ausführen. Diffusion, Brownsche Bewegung, Konzentrationsschwankungen sind also eine einzige Erscheinung. Diffusion nennen wir die bei makroskopischer Betrachtung, Brownsche Bewegung bei substantieller, Konzentrationschwankung bei lokaler Beobachtung. Unben sind die Ausdrücke „substantiell“ und „lokal“ in dem Sinne zu verstehen, wie in der Hydrodynamik: bei substantieller Betrachtung verfolgen wir ein Teilchen auf seiner Bewegung, bei lokaler haben wir ein bestimmt abgegrenztes Volumen im Raume fest, in das die Teilchen einströmen und aus dem sie auswandern.

114. Unmöglichkeit des Perpetuum mobile II. Art nach der Kinetischen Theorie.

Wir haben bereits mehrfach darauf aufmerksam gemacht, daß die Schwankungen um die thermodynamisch geforderte Gleichgewichtslage einen Widerspruch mit dem zweiten Hauptsatz und damit gegen die ihm zugrunde liegenden Behauptungen von Clausius und Thomson-Planck bilden. In der Tat scheint es prinzipiell möglich, wie wir am Schluß der Nr. 114 auseinanderzusetzen haben, mit Hilfe der Schwankungen ein Perpetuum mobile II. Art herzustellen.

Schreit damit aber nicht die gesamte Thermodynamik zusammen? Dies ist nicht der Fall, und man kann dies leicht mit Hilfe der folgenden von Smoluchowski herrührenden Betrachtung klarlegen. Nehmen wir etwa das Beispiel der Nr. 114, die Dichteschwankungen eines Gases, z. B. der Luft. Durch geeignete Apparate, Ventile usw. scheint es zunächst möglich, eine im Moment existierende Schwankung der Dichte „aufzufangen“ und ihren Ausgleich zur Arbeitsleistung zu benutzen. Aber dies ist dennoch nicht aus praktisch, sondern auch Grundsatz unmöglich. Denn die benutzten Apparate, Ventile usw. bestehen selbst aus Molekülen und führen daher auch Schwankungen um ihre Gleichgewichtslage aus. In der Mechanik und Thermodynamik betrachten wir diese Körper als absolut starr, und wenn sie es wirklich wären, so könnten wir in der Tat, wenigstens theoretisch, ein Perpetuum mobile II. Art realisieren. Aber da die Ventile usw. auch unregelmäßige Schwankungen um ihre Ruhelage ausführen, die gänzlich unabhängig von den Schwankungen z. B. der Gase sind, so können wir mit solchen Apparaten auf die Dauer auch nichts ausrichten. Wir könnten

wird in einem bestimmten Momente einen Erfolg haben, der aber im nächsten Augenblicke durch die doppelten Schwankungen wieder kompensiert werden würde. Smoluchowski hat mehrere dergleichen Annahmen im Detail theoretisch ausgeführt¹⁾ und gezeigt, daß sie alle zu diesem Umstande führen.

Die Sache liegt also so: Der Thomson-Plancksche Satz: „Es gibt keinen Prozeß, dessen Gesamteffekt der Abkühlung eines Warmkörpers und die äquivalente Hebung einer Last wäre“, ist offenbar in dieser Fassung falsch. Wir kennen im Gegenteil viele solcher Prozesse und haben dieses auch besprochen. Aber der Satz wird selbst richtig, wenn wir so formulieren: „Es gibt keinen Prozeß, dessen Gesamteffekt die fortwährende Abkühlung eines Warmkörpers und die äquivalente Hebung einer Last wäre“. Damit aber sind alle Folgerungen der klassischen Thermodynamik für die makroskopische Beobachtung gestützt.

Die Unmöglichkeit des Perpetuum mobile II. Art beruht also nicht auf einer technischen Schwierigkeit, sondern auf der prinzipiellen Unmöglichkeit, Apparate herzustellen, die nicht aus Molekülen bestehen und infolgedessen keine Schwankungen ausführen.

¹⁾ Smoluchowski, Phys. Zeitsch. 18, pag. 1268, 1912.

Elftes Kapitel.

Das Eingreifen der Quantentheorie.

117. Verallgemeinerung der klassischen Verteilung.

Die großen Erfolge und schönen Resultate der statistischen Mechanik können nicht darüber hinwegsehen, daß an einigen Stellen elementare Widersprüche mit der Erfahrung vorhanden sind. Das bezieht sich vor allem things auf die Theorie der spezifischen Wärmen der Gase und festen Körper, für die die statistische Mechanik nur Geringeres liefert, die bei hohen Temperaturen gütig sind, aber bei tieferen vollkommen versagen. Und zwar ist dies eine Folge des Äquipartitionstheorems, das jedem Freiheitsgrade — unabhängig von seiner Qualität — die mittlere kinetische Energie $\frac{1}{2}kT$ verteilt.

Eine Verbesserung der Resultate kann nur erzielt werden, wenn das Äquipartitionstheorem berichtigt wird. Nach dem zu vorgehenden angenommenen Standpunkt kann dies dadurch geschehen, daß man die Hamiltonschen Gleichungen der Dynamik geeignet modifiziert. Trotz der großen, solange legenden Schwierigkeiten dieses Unternehmens ist dies heute bis zu einem gewissen Grade gelungen durch die Untersuchungen von Heisenberg und Schrödingers. Darauf können wir hier nicht eingehen; die gesamte Darstellung muß vielmehr dem dritten Bande vorbehalten bleiben. Hier können wir uns auf die statistische Seite der Frage beschränken, indem wir durch geeignete Zusatzhypothesen zur klassischen Dynamik das Äquipartitionstheorem modifizieren. Freilich werden unsere Ansätze hier mehr oder weniger willkürlich erscheinen müssen, weil eben ihre tiefere Begründung durch die Quantenmechanik von Heisenberg und Schrödingers nicht solange tritt. Doch läßt uns kein anderer Weg übrig.

Wir wollen daher hier zunächst vorschendenweise unsere früheren Betrachtungen in einem Punkte so verallgemeinern, daß wir im folgenden daran anknüpfen können.

Wir betrachten eine Gesamtheit von N Systemen, deren jeder wir durch seinen Phasenzustand im Phasenraum darstellen. Der letztere sei in gleich große Volumenelemente $d\sigma_1, d\sigma_2, \dots, d\sigma_1, \dots$ eingeteilt; dann ist nach dem Früheren die mathematische Wahrscheinlichkeit eines bestimmten Mikrozustandes gegeben durch:

$$(1) \quad W_{\text{makro}} = w_1^{N_1} w_2^{N_2} \dots w_i^{N_i} \dots \frac{N!}{N! (N_i)!}.$$

Dabei ist w_i die mathematische A-priori-Wahrscheinlichkeit dafür, daß ein bestimmtes System der Gesamtheit in das Volumenelement $d\tau_i$ fällt; der Ausdruck

$$w_1^{N_1} w_2^{N_2} \dots w_i^{N_i}$$

ist also die Wahrscheinlichkeit dafür, daß N_1 Systeme in $d\tau_1$, N_2 Systeme in $d\tau_2$, ..., N_i Systeme in $d\tau_i$, ... liegen, bzw. die Wahrscheinlichkeit eines bestimmten Mikrozustandes. $\frac{N!}{N! (N_i)!}$ ist, ebenso wie früher, die Anzahl des „Komplexions“, d. h. der verschiedenen Mikrozustände, die denselben Makrozustand realisieren, nämlich den. Dieser Wahrscheinlichkeit durch (1) gegeben ist.

Betrachten wir nun einen zweiten Makrozustand, der dadurch gekennzeichnet werden soll, daß einzelne Systeme der Gesamtheit in einem Volumenelement, z. B. in $d\tau_1$ liegen. Dann ist

$$N_1 = N, \quad N_2 = N_3 = N_4 = \dots = N_i = \dots = 0,$$

also nach (1) die mathematische Wahrscheinlichkeit W'_{makro} dieses Makrozustandes:

$$(2) \quad W'_{\text{makro}} = w_1^N \cdot w_2^0 \cdot \dots w_i^0 \cdot \dots = w_1^N.$$

Die relative Wahrscheinlichkeit der durch (1) und (2) charakterisierten Makrozustände ist das, was wir früher die „thermodynamische Wahrscheinlichkeit“ des ersten Makrozustandes nannten; sie ergibt sich also aus (1) und (2) zu:

$$W_{\text{therm}} = \left\{ \frac{W'}{W} \right\} = \frac{w_1^N w_2^0 \dots w_i^0 \dots}{w_1^{N_1} w_2^{N_2} \dots w_i^{N_i} \dots} \frac{N!}{N! (N_i)!},$$

oder auch:

$$(3) \quad W_{\text{therm}} = \left(\frac{w_1}{w_1} \right)^{N_1} \left(\frac{w_2}{w_2} \right)^{N_2} \dots \left(\frac{w_i}{w_i} \right)^{N_i} \dots \frac{N!}{N! (N_i)!}.$$

Setzt man

$$(4) \quad \frac{w_i}{w_i} = g_i,$$

also $g_i = \frac{w_i}{w_i} = 1$, so können wir (3) auch schreiben:

$$(5) \quad W_{\text{therm}} = N! \prod_i \left(\frac{g_i^{N_i}}{N_i!} \right).$$

Bei diesem Verfahren ist als „Normalzustand“, wie schon früher erwähnt, der Beiruheszustand gewählt, bei dem alle Systeme in einem Volumenelemente liegen. Nun haben wir aber bereits in Nr. 35 darauf aufmerksam gemacht, daß Hilbert und Enskog aus später zutage tretenden Gründen einen andern Normalzustand wählen. Sie wählen die Selbstteilung des Phasenzustandes so fein, daß in jedem ihrer Volumenelemente $d\tau_i = 0$,

die wir die Hilbert-Erskogischen „Normalzustände“ nennen wollen, beschreiben ein System der Gesamtheit liegt, d. h. daß die Zahlen N_i entweder 0 oder 1 sind. Nennt man die A-priori-Wahrscheinlichkeit, daß ein bestimmtes System der Gesamtheit in einer Normalstate $Ax_i = \alpha$ liegt, w_i , so erhält man für die Wahrscheinlichkeit dieses Hilbert-Erskogischen Normalzustandes, ganz analog wie oben:

$$W_{\text{norm}}^{N, R} = w_1^{N_1} w_2^{N_2} \dots w_i^{N_i} \dots \frac{N!}{\prod_i N_i!},$$

wobei zu beachten ist, daß die N_i gleich 0 oder 1 sind, und daß $\sum_i N_i = \sum_i N_i = N$ ist. Nehmen wir noch die sonstigen A-priori-Wahrscheinlichkeiten w_i gleich, etwa gleich w , so kann man die letzte Gleichung schreiben:

$$(14) \quad W_{\text{norm}}^{N, R} = w^N \frac{N!}{1! \dots 1!} = w^N w_1^{N_1} w_2^{N_2} \dots w_i^{N_i} \dots N!$$

Beziehen wir den Makrozustand (I) auf diesen Hilbert-Erskogischen Normalzustand (14), so erhält man mit $\frac{N!}{\prod_i N_i!} = g$ für die thermodynamische Wahrscheinlichkeit statt der Gleichung (3) die folgende:

$$(14) \quad W_{\text{norm}} = \prod_i \left(\frac{g_i^{N_i}}{N_i!} \right),$$

der wir später sehen (8) diskutieren werden.

Beide Gleichungen, (2) wie (14), gehen in unsere früheren Ausdrücke über [s. B. Kap. IX, Gl. (8) und pag. 464 bzw. 474] auf derselben Seite], wenn wir die Größen $g_i = 1$ setzen, d. h. alle A-priori-Wahrscheinlichkeiten w_i als gleich annehmen. Tun wir dies, so betrachten wir es also als a priori gleichwahrscheinlich, daß ein bestimmtes System in einem beliebigen der gleichen Volumenelemente Δv_i liegt, in der wir den Phasenraum geteilt haben: jedes dieser Volumenelemente des Phasenraumes besitzt also, von einem Ausdruck der Zellbeziehung abgesehen, gleiches „Gewicht“. Oder noch anders ausgedrückt: Die A-priori-Wahrscheinlichkeit, daß ein bestimmtes System in einem Raumbereich beliebiger Größe des Phasenraumes liegt, ist die Größe dieses Raumbereiches proportional.

Früher haben wir immer diese Voraussetzung gemacht: sie führt, wie wir gleich sehen werden, zur kanonischen Verteilung, d. h. zu einer der früher als „ergodisch“ bezeichneten Lichtstrahlen. Wir wollen diese Voraussetzung jetzt jedoch nicht mehr einführen, sondern die unbestimmten Koeffizienten g_i im Ausdruck (5) mitführen.

Nunmehr bilden wir nach dem Boltzmannschen Prinzip die Entropie S :

$$S = k \log W_{\text{norm}},$$

und das gibt hier unter Benutzung von (5):

$$(5) \quad S = k \left(\log N! + \sum_i \log (g_i^{N_i}) - \sum_i N_i \right),$$

Unter Verwendung des Stirling'schen Theorems:

$$(7) \quad S! = \left(\frac{S}{e}\right)^S \sqrt{2\pi S}$$

folgt dann weiter, unter Zusammenfassung aller konstanten Glieder,

$$S = k \sum_i [- (N_i + \frac{1}{2}) \log N_i + N_i \log g_i] + \text{Const.},$$

oder, wenn wir noch $\frac{1}{2}$ gegen N_i , das ja wegen Verwendung des Stirling'schen Theorems als groß vorausgesetzt werden muß, vernachlässigen:

$$(8) \quad S = \text{Const.} - k \sum_i [N_i \log N_i - N_i \log g_i],$$

eine Formel, die sich wieder durch das Glied mit g_i von der früher für S erhaltenen unterscheidet.

Nunmehr wollen wir nach der Bedingung des Gleichgewichtszustandes fragen, wobei als Nebenbedingungen die Gesamtenergie

$$U = \sum_i N_i \varepsilon_i \quad (\varepsilon_i = \text{Energie in der } i\text{-ten Zelle})$$

und die Gesamtzahl

$$S = \sum_i N_i$$

als konstant betrachtet werden. Da für ein abgeschlossenes System $\delta S = 0$ sein muß, so folgt aus (8):

$$(9) \quad \sum_i [\log N_i + 1 - \log g_i] \delta N_i = 0,$$

wenn die beiden, aus der Variation der Nebenbedingungen hervorgehenden Gleichungen treten:

$$(10) \quad \sum_i \delta N_i = 0,$$

$$(11) \quad \sum_i \varepsilon_i \delta N_i = 0.$$

Erweitern wir die beiden letzten Gleichungen in bekannter Weise mit zwei Lagrange'schen Multiplikatoren α' und β und addieren sie zu (9), so findet man als Bedingung des Gleichgewichtes das Resultat:

$$\log N_i + 1 - \log g_i + \alpha' + \beta \varepsilon_i = 0,$$

oder, unter Einführung anderer Konstanten A und B :

$$(12) \quad N_i = A g_i e^{-\beta \varepsilon_i}.$$

Die Konstanten A und B werden durch die beiden Nebenbedingungen $S = \text{Const.}$ und $U = \text{Const.}$ bestimmt. Es ist also auch (12):

$$\sum_i N_i = S = A \sum_i g_i e^{-\beta \varepsilon_i},$$

oder:

$$(13) \quad A = \frac{S}{\sum_i g_i e^{-\beta \varepsilon_i}}.$$

Legen wir die Konstante B vorläufig unbestimmt und setzen (12) in den Ausdruck (8) der Entropie S ein, um ihren Wert im Gleichgewichtszustande zu bestimmen, so erhalten wir:

$$S = \text{Const.} - k \sum [d g_1 e^{-\beta \epsilon_1} (\log d + \log g_1 - B \epsilon_1) - d g_1 \log g_1 e^{-\beta \epsilon_1}],$$

oder:

$$(14) \quad S = \text{Const.} - k \sum [d g_1 e^{-\beta \epsilon_1} \log d - d B g_1 \epsilon_1 e^{-\beta \epsilon_1}].$$

Darin ist nun offenbar:

$$\sum d g_1 e^{-\beta \epsilon_1} = N,$$

und

$$\sum d g_1 \epsilon_1 e^{-\beta \epsilon_1} = U,$$

Wenn $U = \sum N_1 \epsilon_1$, woraus unter Beachtung von (12) die letzte Gleichung folgt. Dementselb kann (14) geschrieben werden:

$$(15) \quad S = \text{Const.} - k N \log d + k B U,$$

eine Gleichung, die uns S als Funktion der Gesamtenergie U liefert. Nun ist nach der thermodynamischen Definition der Entropie S :

$$dS = \frac{dU + P dV}{T},$$

also, wenn wir U und V als unabhängige Variable wählen:

$$\left(\frac{\partial S}{\partial U}\right)_V = \frac{1}{T} \quad \left(\frac{\partial S}{\partial V}\right)_U = \frac{P}{T}.$$

Die erste Gleichung liefert¹⁾ über das Ergoden:

$$\frac{1}{T} = k B,$$

also (wie früher):

$$(16) \quad B = \frac{1}{kT}.$$

Darin geht Gleichung (12) über in:

$$(17) \quad K_1 = d g_1 e^{-\frac{\epsilon_1}{kT}},$$

oder, unter Einführung des Wertes von d nach (13):

$$(18) \quad \frac{K_1}{Z} = \frac{g_1 e^{-\frac{\epsilon_1}{kT}}}{\sum g_1 e^{-\frac{\epsilon_1}{kT}}}.$$

Ändert sich $g_1 e^{-\frac{\epsilon_1}{kT}}$ von Zeile zu Zeile nur sehr wenig, so kann man

¹⁾ Bei der Auswertung ist aber zu beachten, daß d und B Funktionen von U sind!

stellt der Summe in (18) ein Integral schreiben. Man setzt dann geschicklich folgendermaßen an:

$$(19) \quad g_1 = g(p, q) \cdot \frac{d^3 p}{\omega},$$

wobei $g(p, q)$ eine Funktion der Phasevariablen p_1 und q_1 , und ω eine geeignet zu wählende „Normalstelle“⁷⁾ im Phasenraum, d. h. eine Größe gleicher Dimension wie $d^3 p_1$ ist. Durch diesen Ansatz erreicht man den Vorteil, daß die Größen g_1 und $g(p, q)$ von gleicher Dimension sind die Ausdrücke $\frac{d^3 p_1}{\omega}$ dimensionales werden; $\frac{d^3 p_1}{\omega}$ ist offenbar die Anzahl der Normalstellen im Volumenelement $d^3 p_1$. Damit kann man (18) so schreiben:

$$(20) \quad \frac{S_1}{S} = \frac{\int g(p, q) e^{-\frac{H_1}{kT}} \frac{d^3 p_1}{\omega}}{\int g(p, q) e^{-\frac{H}{kT}} \frac{d^3 p}{\omega}}.$$

Diese Gleichungen (20) bzw. (18) bedeuten eine bestimmte Verteilung der Systeme über den Phasenraum, nämlich die, die dem Gleichgewichtsstande entspricht. Setzt man in (20) die Funktion $g(p, q)$ gleich einer Konstanten, so reduziert sich das durch (20) bestimmte Verteilung auf die bekannte kanonische Verteilung, wie es sich auf die Gl. (60) des letzten Kapitels auf pag. 584 bezieht. Wir haben also in (19) und (20) bei beliebigem g_1 bzw. $g(p, q)$ eine durch die Einführung des Gewichts g_1 bzw. der Gewichtsfunktion $g(p, q)$ verallgemeinerte kanonische Verteilung vor uns.

Unser bisherige Annahme, daß die $g_1 = 1$ oder $g(p, q)$ konstant ist, ist also im wesentlichen identisch mit der Ergodenhypothese bzw. Quasiequidistributionshypothese, da diese beide zu der (bisher) ja auch eugodisch genannten kanonischen Verteilung hinführen, wie im letzten Kapitel ausformuliert wurde.

Da die mit Hilfe einer Verteilungsfunktion gebildeten Mittelwerte von dieser Funktion abhängen, so ist es klar, daß durch geeignete Wahl der g_1 bzw. von $g(p, q)$ eine Abweichung von dem bisherigen Equipartitionsgesetz erzielt werden kann.

In diesem Sinne kann man sagen, daß die weiter unten dargelegte „Quantentheorie“ für uns im wesentlichen in einer von der ergodischen abweichenden Bestimmung des Gewichts g_1 bzw. der Gewichtsfunktion $g(p, q)$ besteht, wenn auch damit keineswegs der Inhalt der Quantentheorie ausgedrückt wird.

⁷⁾ Die hier eingeführten „Normalstellen“ sind nicht notwendig mit den Eikbert-Zuständen identisch. Es zeigt, dem wir uns im Folgenden anschließen, Unterschiede jedoch nicht zwischen ihnen; wir bezeichnen daher auch beide durch den Ausdruck „ ω “.

Eine wichtige Bemerkung muß hier noch gemacht werden: Die ganze hier vorgenommene Verallgemeinerung beruht darauf hinaus, die A-priori-Wahrscheinlichkeit dafür, daß ein System der Gesamttheit in das Volumenelement Δv_1 fällt, nicht einfach proportional Δv_1 , sondern proportional $g(q, p) \Delta v_1$ zu setzen. Da nun Zustände, die zeitlich aneinander hervorgehen, dieselbe A-priori-Wahrscheinlichkeit haben müssen, so muß $g(q, p)$ eine solche Funktion der Phasevariablen q und p sein, daß sie sich zeitlich nicht ändert; mit andern Worten: $g(q, p)$ muß eine Funktion der zeitfreien Integrale des Hamiltonschen Gleichungen sein.⁴⁾

Wir wenden uns im folgenden vorangehend mit der Gl. (15) beschäftigt, in der die exakte kanonisch-thermische Beziehung ist. Diese paßt ohne weiteres auch auf den Fall, der uns hauptsächlich bezeugen wird, daß einzelne Größen p_i gleich 0, andere gleich 1 sind. Es bleiben dann in der Summe nur die Glieder mit von Null verschiedenen p_i übrig.

118. Die Planckschwingungszahlen von Planck.

Ganz analoge, aber noch viel schärfere Schärfeigenschaften, wie sie das Äquipartitionstheorem in der kinetischen Theorie der Materie mit sich bringt, treten auch in der Theorie der Wärmestrahlung auf, wovon wir im folgenden etwas Näheres sagen werden. In diesem Falle ist es nun Planck gelungen, sie durch eine abgemessene und gütlich neuartige Hypothese zu überwinden, die wir auch hier anwenden wollen.

Denken wir uns einen materiellen Punkt von der Masse μ , der eine harmonische Schwingung ausführt (sog. „lineare Oszillator“). Seine Bewegungsgleichung lautet dann:

$$\mu \ddot{x} + k^2 x = 0,$$

oder, wenn $\frac{1}{\tau} = \frac{k}{2\pi\mu}$ (für τ^2 gesetzt wird, wo τ die Schwingungsdauer pro Sekunde bedeutet):

$$(11) \quad \mu \ddot{x} + \mu (2\pi\tau)^2 x = 0.$$

Durch Erweiterung mit \dot{x} und Integration erhält man in bekannter Weise das Energieintegral:

$$(12) \quad \frac{\mu}{2} \dot{x}^2 + \frac{\mu}{2} (2\pi\tau)^2 x^2 = \text{Const.}$$

Um die kanonischen Variablen einzuführen, setzen wir:

$$x = q, \quad \mu \dot{x} = p.$$

Dann haben wir die mit (12) gleichwertige Formel:

$$(13) \quad \frac{p^2}{2\mu} + \frac{\mu}{2} (2\pi\tau)^2 q^2 = \text{Const.}$$

⁴⁾ Dassel hat zuerst P. Ehrenfest in einer wichtigen Arbeit dargestellt (Phys. Zeitschrift 16, pag. 967, 1904); man vgl. auch A. Finekel, ebenda, 18, pag. 7, 1913.

und folglich hat die l -te Ellipse den Flächeninhalt F_l :

$$(26) \quad F_l = \pi \cdot h \cdot n = \frac{\pi \sqrt{2\pi} \cdot h \cdot \sqrt{\frac{1}{2} \frac{1}{h^2}} \cdot n}{2\pi \cdot \frac{1}{h}} = \frac{h^2}{2}.$$

Je zwei aufeinanderfolgende Ellipsen schließen einen elliptischen Ring vom Flächeninhalt $[F_l - F_{l-1}]$ ein, also nach (26) vom Flächeninhalt

$$(27) \quad F_l - F_{l-1} = \frac{h^2}{2} - \frac{h^2}{2} = 0.$$

Durch die Plancksche Energiestufenhypothese wird also der Phasenraum (hier die p - q -Ebene) in Zellen von bestimmter Größe eingeteilt, die eben durch die eben angestrichen Bahnen begrenzt werden¹⁾, und es liegt



Fig. 76.

naheliege, dass als die „Elementargebiete der Wahrscheinlichkeit“ dn zu nehmen. Tut man dies, so erkennt man, daß die Quantentheorie darauf hinausläuft, die bisher vollkommen willkürliche Einteilung des Phasenraumes in Elemente dn , bzw. in ganz bestimmter Weise vorzuschreiben.²⁾ Und zwar sind diese Elementargebiete von ganz bestimmter endlicher Größe,

¹⁾ Dies ist die Auffassung der sogenannten I. Planckschen Theorie, wie sie in der ersten Auflage meiner „Theorie der Wärmestrahlung“ enthalten ist. Später (in der zweiten Auflage) hat Planck sie modifiziert (II. Theorie); die Konstante h tritt im wesentlichen dieselbe. Wie sprechen wir heute von der I. Planckschen Theorie, um auf die einfachere Weise zu den Resultaten der Quantentheorie zu gelangen. Eine systematische Darstellung der Gedankengänge, die heute unter diesem Namen zusammengefaßt werden, kann erst nach Behandlung der Elektrodynamik gegeben werden und nach dieser dem Schlußende dieses Werkes vorbehalten bleiben.

²⁾ Wir sind eben der historischen Entwicklung gefolgt, indem wir von der Planckschen Energiestufenhypothese zur Einteilung des Phasenraumes geschritten haben. Bei der weiteren Entwicklung der Quantentheorie hat es sich umgekehrt gezeigt, daß der Gedanke, dem Phasenraum eine bestimmte „Struktur“ zuzuschreiben, vordringender war, während die Plancksche Energiestufenhypothese nur einen speziellen Fall darstellt, der in dieser Weise nicht verallgemeinerungsfähig war.

da ja die Größen a_i sich nicht stetig ändern, sondern nur diskontinuierliche Sprünge ausmachen. Die Größe der Elementargebiete (in unserem Falle $dq \, dp$) ist also nach (27) vollkommen bestimmt, wenn die Größen a_i , d. h. die diskontinuierlichen Energiewerte des Oszillators, bestimmt sind.

Planck nimmt nun, über die bisherige qualitative Annahme der Energiezustände hinausgehend, an, daß stets sei:

$$(28) \quad a_i = i \cdot h \cdot \nu,$$

wo i die Reihe der ganzen positiven Zahlen mit Einschluß der Null durchläuft, ν die Schwingungszahl des Oszillators ist und h eine neue universelle Konstante bedeutet.

Man ergibt aus diesem Ansatz, daß also für verschiedenen ν auch die Energiequanten verschieden sind: Für große ν , d. h. sehr rasche Schwingungen, sind die Quanten groß, für kleine ν (z. B. der eine Schwingungszahl ν , wie sie der Revolution der Erde um die Sonne entspricht) entsprechend klein. Für sehr kleine Werte von ν sind daher die Sprünge ($a_i - a_{i-1} = h \cdot \nu$) sehr klein und $a_i = i \cdot h \cdot \nu$ erscheint daher nahezu als stetig veränderlich; das war die bisherige allgemeine Auffassung. Dagegen in Oszillatoren großer ν , die gerade bei Molekulargewichten zu erwarten sind, sind die Sprünge ($a_i - a_{i-1} = h \cdot \nu$) erheblich und machen sich demgemäß sehr bemerkbar.

Im Gegensatz zu den veränderlichen Energiewerten heißt die Größe „ h “ immer dieselbe. Nach (28) ist h von der Dimension:

$$(29) \quad [h] = [\text{Energie} \cdot \text{Zeit}] = [M L^2 T^{-1}],$$

und diese Größe („Energie · Zeit“) nennt man in der klassischen Mechanik eine „Wirkungsgröße“¹⁾. Deshalb nennt man „ h “ auch das „Wirkungsquantum“. Mit diesem, nicht eigentlich mit den veränderlichen Energiequanten, die abgeleitete Größen sind, haben wir es in der Quantentheorie zu tun.

Die Größe der Zellen $dq \, dp$ unseres sechsdimensionalen Phasenraumes ergibt sich nun nach (26) und (27) zu

$$(30) \quad dq \, dp = F_i - F_{i-1} = \frac{h \nu}{\nu} = h,$$

und man sieht sofort, daß in der Tat auch $dq \, dp$ von der Dimension einer Wirkungsgröße ist.

Wir können den obigen Sachverhalt schließlich noch etwas anders formulieren. Bisher war ja, wie wir in No. 128 noch ausführlich auseinanderzusetzen haben, jedes Volumenelement des Phasenraumes gleichberechtigt, d. h. in der vorher eingeführten Bezeichnung des Gewicht g , konstant (gleich 1). Hier aber sind nur die Ellipsenflächen der Figur 74

¹⁾ Eine Wirkungsgröße ist z. B. das Hamiltonsche Integral $\int (L - H) dt$ (Sd. I, Kap. IV, S. 64); vgl. auch das Fort. Schrie „Die Prinzipien der Dynamik“ (Ver. von. Teubner, 1912), § 12: „Das Prinzip der kleinsten Wirkung.“

„vollständige“ Bahnen; diese Stellen des Phasennetzes haben daher ein Gewicht $g_n \neq 0$, alle übrigen Stellen dagegen das Gewicht $g_n = 0$. Fassen wir alle vollständigen Bahnen der Figur 18 als gleichwahrscheinlich auf, so bezeichnen sie gleiches g_n , das wir etwa gleich 1 nehmen können. Man erkennt hier also auch den Grund, weshalb wir in Nr. 117 schon die verallgemeinerte Formulierung der kanonischen Verteilung vorbereitet haben.

Wir wollen nun gleich die mittlere Energie \bar{u} eines linearen Oszillators einer Gesamtheit von Oszillatoren berechnen, wobei wir jetzt die Quantentheorie, und nach dem oben Gesagten die verallgemeinerte kanonische Verteilung (18) zugrunde legen müssen. Nach Definition des Mittelwertes ist:

$$(30) \quad \bar{u} = \frac{\sum u_n g_n e^{-\frac{u_n}{kT}}}{\sum g_n e^{-\frac{u_n}{kT}}}.$$

Da nun $u_n = 2\pi h \nu$ und $g_n = 1$ ist (Abzähligen Teile, für die $g_n = 0$ ist, fallen ja fort), so ergibt sich aus (31):

$$(32) \quad \bar{u} = \frac{\sum_{n=0}^{\infty} 2\pi h \nu e^{-\frac{2\pi h \nu}{kT}}}{\sum_{n=0}^{\infty} e^{-\frac{2\pi h \nu}{kT}}}.$$

Früher erhielten wir als Mittelwert der Energie (kinetische plus potentielle Energie) eines linearen Oszillators, d. h. eines Freiheitsgrades, den Äquipartitionswert kT ; jetzt erhalten wir stattdessen ein anderes Resultat, und zwar muß (32) die neue Form der Energiewerteilungsgesetzes sein, die an Stelle des zu aufhebenden Energiegesetzes stehenden Äquipartitionstheorems tritt.

Berechnen wir zuerst den Nenner aus. Wir haben:

$$\sum_{n=0}^{\infty} e^{-\frac{2\pi h \nu}{kT}} = 1 + e^{-\frac{2\pi h \nu}{kT}} + e^{-\frac{4\pi h \nu}{kT}} + e^{-\frac{6\pi h \nu}{kT}} + \dots$$

Das ist eine geometrische Reihe mit dem Quotienten $e^{-\frac{2\pi h \nu}{kT}}$. Also ist nach der bekannten Summenformel der geometrischen Reihe:

$$(33) \quad \sum_{n=0}^{\infty} e^{-\frac{2\pi h \nu}{kT}} = \frac{1}{1 - e^{-\frac{2\pi h \nu}{kT}}}.$$

Bei der Ausrechnung des Zählers kann man am bequemsten von folgender Bezeichnung ausgehen: Setzen wir für einen Augenblick $\frac{1}{kT} = \alpha$, so daß der Zähler die Form annimmt:

$$\sum_{n=0}^{\infty} 2\pi h \nu e^{-2\pi h \nu \alpha},$$

so ergibt man unmittelbar, daß der Zähler gleich der negativen Ableitung des Nenners nach x ist; es ist nämlich

$$\sum_{k=1}^{\infty} k h x e^{-k h x} = - \frac{d}{dx} \left(\sum_{k=1}^{\infty} e^{-k h x} \right)$$

oder, nach (35):

$$(34) \quad \sum_{k=1}^{\infty} k h x e^{-k h x} = - \frac{d}{dx} \left(1 - e^{-h x} \right).$$

Dies ergibt den Wert:

$$(35) \quad \sum_{k=1}^{\infty} k h x e^{-\frac{k h}{T}} = \frac{h x e^{-\frac{h}{T}}}{\left(1 - e^{-\frac{h}{T}} \right)^2}.$$

Also liefert die Division von (35) mit (34) aus nach (32) den gesuchten Mittelwert $\bar{\epsilon}$ der Energie pro Freiheitsgrad (pro linearem Oscillator):

$$(36) \quad \bar{\epsilon} = \frac{h x}{e^{\frac{h}{T}} - 1}.$$

Das ist in der Tat die bekannte Formel, zu der Planck gelangt ist und die an Stelle des Äquipartitionstheorems tritt. Für hohe Temperaturen T stimmen nun aber die Folgerungen aus dem Äquipartitionstheorem mit den Tatsachen überein, z. B. gilt ja bei hohen Temperaturen für den festen Körper das Dulong-Petit'sche Gesetz. Also müssen wir verlangen, daß für hohe Werte von T der Mittelwert $\bar{\epsilon}$ nach (36) in $\frac{1}{2} T$ übergeht. In der Tat kann man die Exponentialfunktion $e^{\frac{h}{T}}$ dann nach Taylor entwickeln und mit dem linearen Gliede abheben. Das liefert:

$$(37) \quad \bar{\epsilon} = \left(1 + \frac{h}{T} + \dots \right)^{-1}.$$

d. h.

$$(38) \quad \bar{\epsilon} = \frac{1}{2} T.$$

Da $\bar{\epsilon}$ ja nur Hälfte aus kinetischer und potentieller Energie besteht, so enthält also bei hohen Temperaturen auf dem Freiheitsgrad ein mittlerer Betrag von $\frac{1}{2} k T$ der kinetischen Energie, wie es nach dem Äquipartitionstheorem sein muß.^{*)}

^{*)} Führt man in Gl. (37) die Entwicklung der Exponentialfunktion $e^{\frac{h}{T}}$ noch um ein Glied weiter, so erhält man bei einer genaueren Berechnung nach (36) den Wert:

$$(38a) \quad \bar{\epsilon} = \frac{1}{2} T - \frac{h}{12}.$$

Der von $\frac{h}{12}$ hinter dem Äquipartitionswert $\frac{1}{2} T$ abweichende Term verschwindet

Man erkennt durch Betrachtung von (36) sofort, daß diese neue Energieverteilungsgesetz eine ganz wesentliche Forderung erfüllt, die wir früher aufstellen haben. Wir rügten es damals, daß nach dem Equipartitionstheorem jeder lineare Oszillator — gleichgültig, welcher Wert ν ihm zukommt — genau dieselbe mittlere Energie, eben kT , erhält. Wir forderten ein Energieverteilungsgesetz, das wenigstens schematisch in der Behandlung der verschiedenartigen Freiheitsgrade vorgehen solle, das also einem Oszillator von der Schwingungszahl ν_1 und einem solchen von der Schwingungszahl ν_2 nicht als völlig gleichwertig behandle, ein Energieverteilungsgesetz, das die Freiheitsgrade „reifer“, nicht bloß „unreife“ mache. Diese Forderung ist nun in der Tat durch (36) erfüllt: denn ϵ hängt ganz wesentlich von ν ab, so daß auf Oszillatoren verschiedener Schwingungszahl hinabwärts derselbe Energiebetrag entfällt. Damit ist allerdings noch nicht bewiesen, daß Gl. (36) wirklich die richtige, oder vorzuziehendere gedachte, eine allgemein brauchbare Formel darstellt.

Indessen, wie bereits oben bemerkt, hat die Gl. (36) in der Strahlungstheorie die Probe glänzend bestanden. Wenn irgendein Ergebnis der Quantentheorie als gesichert betrachtet werden darf, dann Gleichung (36) bzw. Gleichung (36a).

Aus den Strahlungsgesetzen ergibt sich nun auch der erste Wert⁴⁾ für das universelle Wirkungsquantum h :

$$h = 6,425 \cdot 10^{-27} \text{ erg} \cdot \text{sec.}$$

Dieser neueste Wert von h — und das ist offenbar die stärkste Stütze der Quantentheorie überhaupt — ergibt sich auf dem ältestverwendeten Oszillator der Physik, die mit Molekularprozessen zu tun haben. Eine kritische Zusammenstellung der nach den verschiedenen Methoden bestimmten Werte von h findet man in einem Artikel von R. Ladenburg.⁵⁾ Als zur Zeit genauesten Wert betrachtet er:

$$(37) \quad h = (6,56 \pm 0,01) \cdot 10^{-27} \text{ erg} \cdot \text{sec.},$$

den auch wir im folgenden zugrunde legen wollen.

Benutzt die moderne Quantentheorie, indem sie sich der Planckschen Gleichung (36) die folgende Substanz:

$$\epsilon_\nu = (1 + 4) kT \nu$$

einsetzt (36) folgt dann

$$(36a) \quad \epsilon = \frac{h\nu}{\frac{1}{e^{h\nu/kT}} - 1} + kT \nu.$$

Für die im folgenden zu besprechenden Fragen der spezifischen Wärmen ist der Unterschied belanglos.

⁴⁾ Planck, *Wärmestrahlung*, III. Aufl., pag. 186.

⁵⁾ R. Ladenburg, *Handbuch der Physik*, 24, pag. 306, 1924.

139. Die Einsteinische Theorie der spezifischen Wärme fester Körper.

Der erste, der die Bedeutung der Planckschen Überlegungen und Hypothesen zur Strahlungstheorie für die Theorie der spezifischen Wärme erkannte, ist Einstein¹⁾ gewesen. Er nahm für einen einteiligen festen Körper das einfache Modell an, das wir in Nr. 87 des achten Kapitels schon angegeben haben: der feste Körper besteht danach aus N Atomen, deren Bewegungen den folgenden Gleichungen gehorchen:

$$(43) \quad \begin{cases} \ddot{x} + (\frac{2\pi}{T})^2 x = 0, \\ \ddot{y} + (\frac{2\pi}{T})^2 y = 0, \\ \ddot{z} + (\frac{2\pi}{T})^2 z = 0. \end{cases}$$

Wenden wir nun auf diesen Körper die Gleichung (36) an, so ist seine Gesamtenergie U offenbar gleich $3 N$ mal der durch (36) gegebenen mittleren Energie $\bar{\epsilon}$ pro Freiheitsgrad, also:

$$(44) \quad U = 3 N \bar{\epsilon} = \frac{3 N \cdot h \nu}{e^{\frac{h \nu}{RT}} - 1}.$$

Betrachten wir speziell ein Mol des Körpers, so ist $N = N_0$, die Avogadro'sche Zahl, und die Energie des Gasmoleküls, das hier mit dem Gasmolekül identisch ist, wird:

$$(45) \quad U_{\text{mol}} = \frac{3 N_0 h \nu}{e^{\frac{h \nu}{RT}} - 1}.$$

Durch Differentiation nach T erhält man daraus sofort einen Ausdruck für die Atomwärme C_v :

$$(46) \quad \frac{dU_{\text{mol}}}{dT} = C_v = \frac{3 N_0 \left(\frac{h \nu}{RT} \right)^2 e^{\frac{h \nu}{RT}}}{\left(e^{\frac{h \nu}{RT}} - 1 \right)^2}.$$

oder, da $N_0 h = R$ ist:

$$(47) \quad C_v = 3 R \cdot \frac{\left(\frac{h \nu}{RT} \right)^2 e^{\frac{h \nu}{RT}}}{\left(e^{\frac{h \nu}{RT}} - 1 \right)^2}.$$

¹⁾ A. Einstein, Die Plancksche Theorie der Strahlung und die Theorie der spezifischen Wärme, Ann. d. Phys. 89, pag. 106, 1907.

²⁾ Die obige Berechnung der Gesamtenergie beruht auf der Voraussetzung, daß die Energie eines einteiligen (dreifreiheitsgradigen) Oscillators einfach durch Multiplikation mit 3 aus der der harmon. Oscillator erhalten werden kann. Diese ist der klassische Theorie unbedingte Voraussetzung, bedarf in der Quantentheorie einer besondern Begründung. Die obige Theorie ergibt aber — abgesehen von einem hier belanglosen Additionen $\frac{h \nu}{2}$ — dasselbe Ergebnis, so daß (47) ebenfalls richtig bleibt.

Der Ausdruck $\frac{h\nu}{T}$ hat die Dimension einer Temperatur. Denn $h\nu$ hat die Dimension „Erg“, $k = \frac{R}{N}$ diejenige „ $\frac{\text{Erg}}{\text{Grad}}$ “. Deshalb können wir abkürzend setzen:

$$(15) \quad \frac{h\nu}{T} = \theta$$

und unter θ das für den betreffenden Körper „charakteristische“ Temperatur verstehen; charakteristisch deshalb, weil θ der Größe ν , der Schwingungszahl der Atome des betreffenden Körpers, proportional ist. Damit endlich kann man schreiben:

$$(16) \quad C_v = 3R \frac{\left(\frac{\theta}{T}\right)^4 e^{-\frac{\theta}{T}}}{\left(e^{\frac{\theta}{T}} - 1\right)^2}.$$

Diese Formel wollen wir nun genauer diskutieren.

Nehmen wir zunächst den Grenzfall hoher Temperaturen T an. Dann kann im Zähler $e^{-\frac{\theta}{T}}$ angenähert gleich 1 gesetzt werden (zweiten Glied der Taylorschen Reihe); der Nenner reduziert sich auf $\left(\frac{\theta}{T}\right)^2$. Es bleibt also übrig:

$$(17) \quad (C_v)_{\text{lim}} = 3R,$$

d. h. für hohe Temperaturen resultiert das Dulong-Petit'sche Gesetz, wie es der Erfahrung entspricht.

Man erkennt ferner aus (16), daß C_v als Produkt aus dem Werte $3R$, dem Dulong-Petit'schen Werte, und einer Funktion von $\frac{\theta}{T}$ dargestellt ist; diese letztere liefert gewissermaßen die Korrektur gegenüber den Folgen des Äquipartitionsgesetzes.

Für sehr tiefe Temperaturen ist $\frac{\theta}{T}$ groß, und es verschwindet im Nenner die 1 gegen $e^{\frac{\theta}{T}}$; es folgt also:

$$(18) \quad \lim_{T \rightarrow 0} (C_v) = \lim_{T \rightarrow 0} 3R \left(\frac{\theta}{T}\right)^2 e^{-\frac{\theta}{T}} = 0,$$

da $e^{-\frac{\theta}{T}}$ stärker zu Null abnimmt, als $\left(\frac{\theta}{T}\right)^2$ anwächst wird.

Es wird also die Atomwärme C_v und mithin die spezifische Wärme α des festen Körper beim absoluten Nullpunkte selbst gleich Null. Das ist aber die Forderung sowohl des Nernst'schen Wärmegesetzes als des Planckschen Formelgesetz (Kap. VII, Nr. 78), als auch des Experimentes, wie wir im Kapitel VIII, Nr. 85 auseinandergesetzt haben. Man sieht also, daß die Gleichung (16), die nach dem Verteilungsgesetz (15) herrscht, jedenfalls einem erheblichen Fortschritt gegenüber der früheren Theorie darstellt, indem sie eine solche Tem-

permanenzabhängigkeit der spezifischen Wärme führt, daß der Index γ des Dulong-Petitschen Gesetzes, für Werte γ der Wert 0 sein muß. Was früher die größte Schwierigkeit war, nämlich die Temperaturabhängigkeit zu erklären, ergibt sich hier von selbst. Es kann also wohl kaum ein Zweifel darüber bestehen, daß wir uns auf dem richtigen Wege befinden.

Wir wollen aber jetzt noch genauer den ganzen Temperaturverlauf der spezifischen Wärme nach (42) untersuchen. Sind mehrere Körper mit den charakteristischen Temperaturen $\theta_1 < \theta_2 < \theta_3 < \dots$ gegeben, so bestimmt man leicht aus (42), da alles nur von dem Verhältnisse $\left(\frac{\theta}{T}\right)$ abhängt, daß ein bestimmter, von Null verschiedener Wert von C_v erst bei um so höherer Temperatur erreicht wird, je größer die charakteristische Temperatur θ der betreffenden Substanz ist. Auch der Wert ΔR des Dulong-Petitschen Gesetzes wird um so später erreicht, je größer θ (und damit ϵ) ist. Wir haben also das Bild der Fig. 76 zu erwarten.

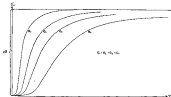


Fig. 76.

Es ist nur ein anderer Ausdruck für diesen Sachverhalt, wenn wir folgendes ansetzen: Trägt man als Abszissen nicht die absoluten Temperaturen T , sondern $\left(\frac{\theta}{T}\right)$ auf (d. h. trägt man die Temperaturen in Verhältnissen der charakteristischen Temperatur), so müssen für alle Stoffe die Kurven C_v zusammenfallen. Denn nach (42) ist C_v eine universelle Funktion von $\left(\frac{\theta}{T}\right)$. Diese Forderung der Theorie wird tatsächlich vom Experiment in vollem Maße bestätigt, worauf wir später (S. 356) eingehen wollen.

Somit wollen wir die Einsteinsche Formel (42) mit den Messungen Nicotte der Atomwärme des Diamants vergleichen, die wir schon in Kap. VII, Nr. 76, pag. 343, angegeben haben.

Für die in der folgenden Tabelle angegebenen höchsten Temperaturen von 1160° ab. wurde aus dem gemessenen C_p mit Hilfe der schon häufig angegebenen Korrektionsgleichung C_p' berechnet, daraus nach der Einstein'schen Gleichung (48) die charakteristische Temperatur Θ bestimmt. Sie ergibt sich zu:

$$(49) \quad \Theta_{\text{gem.}} = 1480^{\circ} \text{ abs.}$$

Die damit berechneten Werte von C_p sind in der vierten Spalte der Tabelle eingetragen; in der dritten Spalte stehen die aus den beobachteten C_p -Werten abgeleiteten C_p' -Werte als „ $C_{p,\text{gem.}}$ “.

Bei höheren Temperaturen stimmt, wie man sieht, Gl. (48) recht befriedigend, bei den tieferen Temperaturen gar nicht mehr der Beobachtung entspricht. Nach Gl. (48) wird nämlich C_p mit abnehmender Temperatur von unendlich hoher Ordnung gleich Null, wie es der Exponentialfaktor $e^{-\frac{\Theta}{T}}$ verlangt, und hier bedarf die Theorie offenbar noch einer wesentlichen Modifikation.

Tabelle 1. Gemessene und berechnete Wärmekapazitäten von Quecksilberdampf.

T	$C_{p,\text{gem.}}$	$C_{p,\text{calc.}}$	C_p ber. nach (48)	C_p ber. nach Nernst-Lindemann (50)
20°	0,00	0,00	0,000	0,000
40°	0,00	0,00	0,000	0,000
60°	0,00	0,00	0,000000	0,000
100°	0,04	0,04	0,000	0,04
120°	0,74	0,74	0,007	0,74
150°	0,90	0,89	0,008	0,87
160°	0,93	0,88	0,009	—
180°	1,14	1,04	0,018	1,08
200°	1,34	1,09	0,030	1,27
300°	1,58	1,28	0,10	1,50
400°	1,84	1,63	0,47	1,80
500°	2,12	2,11	1,00	2,07
600°	2,40	2,44	2,40	2,33
1160°	3,43	3,24	(3,36)	(3,19)

Nernst und Lindemann⁷⁾ haben nun gefunden, daß die Übereinstimmung viel besser wird, wenn man zu Gl. (48) noch ein Glied von derselben Natur, aber mit dem Wert $\frac{\Theta}{T}$ (d. h. $\frac{\Theta}{T}$) einfügt. Sie verwenden also die Gleichung:

$$(50) \quad C_p = \frac{R}{2} \left\{ \frac{\left(\frac{\Theta}{T}\right)^2 e^{\frac{\Theta}{T}}}{\left(e^{\frac{\Theta}{T}} - 1\right)^2} + \frac{\left(\frac{\Theta}{T}\right)^2 e^{\frac{\Theta}{2T}}}{\left(e^{\frac{\Theta}{2T}} - 1\right)^2} \right\}$$

⁷⁾ Nernst und Lindemann, *Sitz-Ber. d. Berl. Akad. d. Wiss.* 1911, pag. 494.

Duß eine derartige Formel besser sich stellt als die einfache Einsteinische, kann man an der Hand der Fig. 79 ohne Rechnung leicht erkennen. Denn das zweite Glied allein hat je kleineres θ , also werden schon bei niedrigeren Temperaturen höhere Werte von C_V erreicht als mit dem ersten Gliede allein; beide zusammen werden also bei geeigneter Bestimmung von θ — diese wird natürlich einen anderen Wert ergeben als bei der Einsteinschen Gleichung — in der Tat etwas ganz guten Anschluß an das Experiment liefern können. In der letzten Spalte der vorhergehenden Tabelle ist C_V nach der Nernst-Lindemannschen Gleichung (38) mit $\theta = 1940^\circ$ abg. berechnet; man sieht wirklich, daß die Übereinstimmung mit der Erfahrung sehr viel besser geworden ist. Indessen ist auch jetzt noch der Abfall bei tiefen Temperaturen zu stark, nämlich immer noch von unendlich hoher Ordnung, wie (38) ergibt, wenn auch der Gebiet der starken Abweichung mehr nach tieferen Temperaturen gedrückt wird. Außerdem ist die Einführung „halber“ Energiequanten ohne tiefere theoretische Bedeutung. Dennoch lehrt uns die Nernst-Lindemannsche Gleichung, in welcher Richtung eine Verbesserung zu suchen ist. Wir gehen darauf in der nächsten Nummer ein.

Hier wollen wir noch nach der Einsteinschen Formel (46) das zu θ_{max} zugehörige ν_{max} bestimmen. Da

$$\lambda = 4,55 \cdot 10^{-12} \log \nu \text{ cm.}$$

$$\lambda = 1,67 \cdot 10^{-10} \frac{h\nu}{g_{\text{max}}}$$

ist, findet man nach (46):

$$(48) \quad \nu_{\text{max}} = \frac{1450 \cdot 1,37 \cdot 10^{-10}}{8,31 \cdot 10^{-10}} \text{ sec}^{-1} = 2,405 \cdot 10^{12} \text{ sec}^{-1}.$$

Diese Schwingungszahl würde im Vakuum eine Wellenlänge von rund $10,1 \cdot 10^{-12}$ cm erzeugen, die also im letzten zugänglichen Teile des ultravioletten Spektrums gelegen ist. Besondere Umstände, auf die wir erst bei der Dispersionstheorie (im Schlußhaupte dieses Buches) näher eingehen können, bewirken hier, daß diese Welle sich weder im Reflexions- noch im Absorptionsspektrum des Diamants, d. h. überhaupt nicht optisch bemerkbar macht.

Am Beispiele des Diamants können wir uns noch klar machen, wie kolossal stark die Abweichung der Gleichung (38) von dem gewöhnlichen Äquipartitionstheorem ist. Denn wir können sie hier, da damit identische Gleichung (38) so schreiben:

$$E = \frac{\sum_{l=1}^{\infty} \frac{1}{2} \nu_l a_l}{\sum_{l=1}^{\infty} \frac{1}{2} \nu_l} = \frac{0 \cdot h\nu e^{-\frac{h\nu}{kT}} + 1 \cdot h\nu e^{-\frac{h\nu}{kT}} + 2 \cdot h\nu e^{-\frac{2h\nu}{kT}} + \dots}{\sum_{l=1}^{\infty} e^{-\frac{hl\nu}{kT}}}$$

oder, unter Rücksicht auf Gl. (38), die den Wert des Nenners angibt

$$(49) \quad E = \sum_{l=1}^{\infty} \frac{1}{2} \nu_l a_l = \left(1 - e^{-\frac{h\nu}{kT}}\right) \left[0 \cdot h\nu e^{-\frac{h\nu}{kT}} + 1 \cdot h\nu e^{-\frac{h\nu}{kT}} + \dots\right].$$

Für die Zahlen $\frac{E_j}{kT}$, d. h. die relativen Atomenergien, die mit dem Energiequantum $0 \cdot h \nu$, $1 \cdot h \nu$, $2 \cdot h \nu$, ... d. h. mit keinem, einem, zwei usw. Quanten schwingen, findet man, wenn wir wieder $\frac{h\nu}{T} = \theta$ setzen:

$$(33) \quad \left\{ \begin{array}{l} \text{mit keinem Quantum: } \frac{N_j}{N} = 1 \left(1 - e^{-\frac{\theta}{T}} \right), \\ \text{mit einem Quantum: } \frac{N_j}{N} = e^{-\frac{\theta}{T}} \left(1 - e^{-\frac{\theta}{T}} \right), \\ \text{mit zwei Quanten: } \frac{N_j}{N} = e^{-\frac{2\theta}{T}} \left(1 - e^{-\frac{\theta}{T}} \right), \\ \dots \dots \dots \end{array} \right.$$

Für das Temperatur T von etwa 300° ab, wird $\frac{\theta}{T}$ rund 5; also ist der Zerstreuungsgrad bei Diamant:

$$(34) \quad \left\{ \begin{array}{l} \frac{N_j}{N} = 1 \quad (1 - e^{-5}) = 0,993, \\ \frac{N_j}{N} = e^{-5} (1 - e^{-5}) = 0,007 \cdot 0,993, \\ \frac{N_j}{N} = e^{-10} (1 - e^{-5}) = 0,000045 \cdot 0,993, \\ \dots \dots \dots \end{array} \right.$$

Von 1000 Atomen Diamant besitzen also bei Raumtemperatur rund 993 gar keine Energie, rund 7 die Energie $h\nu = 10 \cdot 10^{-12}$ erg; höhere Energiebeträge hat kein Atom. Dagegen hätte nach dem Äquipartitionsatz jedes Atom die Energie $3 kT = 3 \cdot 1,37 \cdot 10^{-16} \cdot 300 = 12 \cdot 10^{-16}$ erg besitzen. Man sieht, wie ungleich groß hier die Abweichungen der beiden Theorien voneinander sind; von Äquipartition ist gar keine Rede mehr, da 99,99% aller Atome gar keine Energie besitzen!

Je höher die Temperatur wird, desto besser wird natürlich das Treibnis, und bei sehr hohen Temperaturen wird schließlich der volle Äquipartitionswert $3 kT$ erreicht, d. h. dann gilt das Dulong-Peritische Gesetz.

126. Verfeinerung der Einsteinschen Theorie durch Debye.

Dalß die in der vorhergehenden Nummer dargelegte Einsteinsche Theorie keinen nennenswerten Anschluß ans Experiment liefert, hat seinen Grund darin, daß das angewandte gittertheoretische Modell des festen Körpers zu einfach ist. Wie haben dies schon in Nr. 87 hervorgehoben und noch gesagt, wie man das Modell verbessern kann: Man muß den festen elastischen Körper als ein System von gekoppelten Himmelskörperchen betrachten. Ein solches System hat dann nicht eine, sondern 3 Σ Eigenschwingungen, und für jeden Freiheitsgrad gilt eine Gleichung vom Typus der Gl.

chung (38); die Gesamtenergie U wird also durch folgende Gleichung dargestellt:

$$(39) \quad U = \sum_i \frac{\frac{1}{2} h \nu_i e^{-\frac{h \nu_i}{T}}}{1 - e^{-\frac{h \nu_i}{T}}},$$

wo die Summe über sämtliche Eigenoscillationen ν_i zu verstehen ist.

Man erkennt sofort, daß die Maxw.-Lindemannsche Gleichung (30) sich als ein Spezialfall dieser allgemeinen Formel ergibt, indem sie zwei Eigenoscillationen berücksichtigt, was schon eine erhebliche Vereinfachung der ursprünglichen Gleichung bedingt; daß in der Maxw.-Lindemannschen Gleichung gerade $\frac{3}{2} \left(\text{bzw. } \frac{5}{2} \right)$ neben θ (bzw. ϵ) eingesetzt ist, ist theoretisch wohl verhältnismäßig abschätzbar.

Der Weg zur realen Theorie legt also klar vor uns, es besteht nur die große praktische Schwierigkeit, die Eigenoscillationen ν_i wirklich zu bestimmen. Debye¹⁾ ist es gelungen, durch einen Kunstgriff diese Schwierigkeit zu überwinden.

Denn da es einer Messung verwehrt ist, Schwingungszahlen zu zählen, so viele Moleküle in der uneren Skala so unerschaffenen kleinen Abständen, daß wir den festen Körper angucken, als ein Kontinuum nach den Methoden der Elastizitätstheorie behandeln können. Ein Kontinuum hat allerdings unendlich viele Eigenoscillationen; Debye berücksichtigt daher nur die 3 N ersten Eigenoscillationen des Kontinuums und bricht dann ab. Dieser Gedankengang wollen wir im folgenden entwickeln. Es wird sich gerade bei tiefen Temperaturen ein sehr guter Anschluß an die Erfahrung ergeben.

Wir haben also nach den Methoden der Elastizitätstheorie das Problem der freien Schwingungen eines genügend abgegrenzten Körpers zu behandeln. Da Zwecke ein im thermodynamischen Gleichgewicht befindliches System darstellen soll, so müssen solche Randbedingungen gestellt werden, daß keine Energie von außen zugeführt wird. Die Gewalt des Körpers ist gleichgültig. Debye wählt eine Kugel mit festgehaltenen Oberflächen. In diesem Falle ist das System in der Tat nach außen abgegrenzt. Statt dessen hat E. Gurtz²⁾ das elastische Problem für ein Parallelepiped gelöst. Er wählt als Grenzbedingung das Verschwinden der Normalspannungen und der Tangentialspannungen an der Oberfläche (sog. „geschlachte“ Grenzbedingungen). Auch dadurch wird offenbar Verschwinden der von den äußeren Kräften geleisteten Arbeit, d. h. Abgeschlossenheit des Systems erzielt. Denn die Normalspannungen leisten keine Arbeit, weil die Normalspannungen gleich Null sind, und die

¹⁾ P. Debye, Zur Theorie der spez. Wärme, Ann. d. Phys. 69, pag. 789, 1912.

²⁾ E. Gurtz, Ann. d. Phys. 68, pag. 166, 1912.

Tangentialspannungen sind nicht gleich Null. Dieses Dirichletsche Problem ist sehr viel einfacher zu behandeln als das Dirichletsche, und wir wollen daher das erste angründen legen.

Bezeichnen wir die Verschiebungskomponenten mit ξ, η, ζ , die Dichte mit ρ , durch λ und μ die elastischen Konstanten des als unempfindliches Material, so lauten die Bewegungsgleichungen (Bd. I, Kap. XI, pag. 54); auch die übrigen Beziehungen stimmen mit den dort genannten überein):

$$(54) \quad \begin{cases} \rho \frac{\partial^2 \xi}{\partial t^2} = \rho \cdot d\xi + (\lambda + \mu) \frac{\partial}{\partial x} \left(\frac{\partial \xi}{\partial x} + \frac{\partial \eta}{\partial y} + \frac{\partial \zeta}{\partial z} \right) \\ \rho \frac{\partial^2 \eta}{\partial t^2} = \rho \cdot d\eta + (\lambda + \mu) \frac{\partial}{\partial y} \left(\frac{\partial \xi}{\partial x} + \frac{\partial \eta}{\partial y} + \frac{\partial \zeta}{\partial z} \right) \\ \rho \frac{\partial^2 \zeta}{\partial t^2} = \rho \cdot d\zeta + (\lambda + \mu) \frac{\partial}{\partial z} \left(\frac{\partial \xi}{\partial x} + \frac{\partial \eta}{\partial y} + \frac{\partial \zeta}{\partial z} \right) \end{cases}$$

Das Parallelepiped habe die Kantenlänge α, β, γ ; es seien parallel den Koordinatenachsen orientiert (Fig. 56).



Fig. 56.

Nach der obigen Vorchrift lauten die Grenzbedingungen für die drei benachbarten Ebenenpaare des Parallelepipeds:

$$(57) \quad \begin{cases} \text{für die Ebenen } \begin{cases} x=0 \\ x=\alpha \end{cases} : \begin{cases} Y_x = Z_x = 0 & (\text{Tangentialspannungen}) \\ \xi = 0 & (\text{Normalverschiebung}) \end{cases} \\ \text{für die Ebenen } \begin{cases} y=0 \\ y=\beta \end{cases} : \begin{cases} X_y = Z_y = 0 & (\text{Tangentialspannungen}) \\ \eta = 0 & (\text{Normalverschiebung}) \end{cases} \\ \text{für die Ebenen } \begin{cases} z=0 \\ z=\gamma \end{cases} : \begin{cases} X_z = Y_z = 0 & (\text{Tangentialspannungen}) \\ \zeta = 0 & (\text{Normalverschiebung}) \end{cases} \end{cases}$$

Da das elastische Problem eindeutig ist, d. h. nur eine Lösung existiert, die die Differentialgleichung unter Grenzbedingungen befriedigt,

⁵⁾ Eine Verwechslung mit der Masse μ eines Atoms ist wohl hier nicht zu befürchten.

können wir darauf verzichten, die Lösung der durch (34) und (35) formulierten Aufgabe systematisch zu begründen. Wir können uns vielmehr damit begnügen, die Lösung hinschreiben und zu verifizieren. Dann wissen wir, daß es die einzige Lösung ist.

Beschreiben ν eine der möglichen Eigenwertangaben, l, m, n positive ganze Zahlen mit Ausschuß der Null, die Größen A, B, C Integrationskonstanten, so wird eine partielle Lösung gegeben durch den reellen Teil folgender Ausdrucks:

$$(36) \quad \begin{cases} d_{l,m,n} = A_{l,m,n} e^{i(l\alpha + m\beta + n\gamma)} \sin \frac{l\pi x}{a} \cdot \cos \frac{m\pi y}{b} \cdot \cos \frac{n\pi z}{c}, \\ v_{l,m,n} = B_{l,m,n} e^{i(l\alpha + m\beta + n\gamma)} \sin \frac{l\pi x}{a} \cdot \sin \frac{m\pi y}{b} \cdot \cos \frac{n\pi z}{c}, \\ \dot{u}_{l,m,n} = C_{l,m,n} e^{i(l\alpha + m\beta + n\gamma)} \cos \frac{l\pi x}{a} \cdot \cos \frac{m\pi y}{b} \cdot \sin \frac{n\pi z}{c}. \end{cases}$$

Die allgemeine Lösung findet man durch Summation über alle Werte l, m, n . Wegen des Ausschusses der Einzelfeder verschwindet jedes l für $x = 0$ und $x = a$, jedes n für $z = 0$ und $z = c$, jedes l für $x = 0$ und $x = a$, d. h. es verschwinden, wie verlangt, die Normalsverschiebungen.

Weiter hängen nach der Elastizitätstheorie die Spannungen X_x, Y_y, \dots, X_z mit den Deformationsgrößen u, v, \dots, z folgendermaßen zusammen [Bd. I, Kap. XI, Nr. 160, auf pag. 348]:

$$(37) \quad \begin{cases} -X_x = 2(\mu + \lambda)u_x + 2\mu v_x, \\ -Y_y = 2(\mu + \lambda)v_y + 2\mu u_y, \\ -X_z = 2(\mu + \lambda)u_z + 2\mu v_z, \\ \quad \quad -Y_z = \mu v_z, \\ \quad \quad -X_y = \mu u_y, \\ \quad \quad -Y_x = \mu u_x, \\ \quad \quad -X_z = \mu v_z. \end{cases}$$

Dabei sind die Deformationsgrößen $u, v, \dots, z, u_x, v_x, \dots, z_x$ folgende Abkürzungen [Bd. I, Kap. IX, Nr. 105, auf pag. 305]:

$$(38) \quad \begin{cases} u_x = \frac{\partial u}{\partial x}, & v_x = \frac{\partial v}{\partial x}, & z_x = \frac{\partial z}{\partial x}, \\ u_y = \frac{\partial u}{\partial y} + \frac{\partial v}{\partial x}, & v_y = \frac{\partial v}{\partial y} + \frac{\partial u}{\partial x}, & z_y = \frac{\partial z}{\partial y} + \frac{\partial v}{\partial x}. \end{cases}$$

Es ist also nach (36) und (37) z. B.:

$$-X_y = \mu \left\{ \frac{\partial u}{\partial y} + \frac{\partial v}{\partial x} \right\} = \mu e^{i(l\alpha + m\beta + n\gamma)} \sin \frac{l\pi x}{a} \cdot \sin \frac{m\pi y}{b} \cdot \cos \frac{n\pi z}{c} \left\{ -A_{l,m,n} \frac{m\pi}{b} - B_{l,m,n} \frac{l\pi}{a} \right\},$$

und dieser Ausdruck verschwindet für $x = 0$ und $x = a$, also verschwindet tatsächlich an diesen Stellen X_y ganz genau in vollem Maße entsprechend auch die übrigen Tangentialspannungen.

Die Randbedingungen des Problems werden also durch den Ansatz (36) befristigt; damit auch die Differentialgleichungen (34) befristigt werden,

minnen gewisse Beziehungen zwischen den Zahlen l , m , n und der Schwingungszahl ν bestehen, die wir nun bestimmen müssen.

Setzen wir zu diesem Zweck die partielle Lösung (55) in die Differentialgleichungen (54) ein, so gewinnen wir u. B. aus der ersten Gl. (54) die folgende Relation:

$$A_{l,m,n} \left[(l + \mu) \frac{\partial^2 \rho^2}{\partial r^2} + \rho \left(\frac{\partial^2 \rho^2}{\partial r^2} + \frac{\partial^2 \rho^2}{\partial r^2} + \frac{\partial^2 \rho^2}{\partial r^2} \right) - \epsilon \sin^2 \epsilon r^2 \right] + B_{l,m,n} (l + \mu) \frac{\partial \rho}{\partial r} \frac{\partial \rho}{\partial r} + C_{l,m,n} (l + \mu) \frac{\partial \rho}{\partial r} \frac{\partial \rho}{\partial r} = 0,$$

und zwei entsprechende Formeln aus den beiden anderen Gleichungen (54). Setzt man zur Abkürzung den Ausdruck

$$(56) \quad \rho \left(\frac{\partial^2 \rho^2}{\partial r^2} + \frac{\partial^2 \rho^2}{\partial r^2} + \frac{\partial^2 \rho^2}{\partial r^2} \right) - \epsilon \sin^2 \epsilon r^2 = d(r),$$

so kann man die drei genannten Beziehungen schreiben:

$$\begin{cases} A_{l,m,n} \left[(l + \mu) \frac{\partial \rho^2}{\partial r^2} + d(r) \right] + B_{l,m,n} (l + \mu) \frac{\partial \rho}{\partial r} \frac{\partial \rho}{\partial r} + C_{l,m,n} (l + \mu) \frac{\partial \rho}{\partial r} \frac{\partial \rho}{\partial r} = 0 \\ A_{l,m,n} (l + \mu) \frac{\partial \rho}{\partial r} \frac{\partial \rho}{\partial r} + B_{l,m,n} \left[(l + \mu) \frac{\partial^2 \rho^2}{\partial r^2} + d(r) \right] + C_{l,m,n} (l + \mu) \frac{\partial \rho}{\partial r} \frac{\partial \rho}{\partial r} = 0 \\ A_{l,m,n} (l + \mu) \frac{\partial \rho}{\partial r} \frac{\partial \rho}{\partial r} + B_{l,m,n} (l + \mu) \frac{\partial \rho}{\partial r} \frac{\partial \rho}{\partial r} + C_{l,m,n} \left[(l + \mu) \frac{\partial^2 \rho^2}{\partial r^2} + d(r) \right] = 0 \end{cases}$$

Dies sind drei lineare homogene Gleichungen für die Konstanten $A_{l,m,n}$, $B_{l,m,n}$, $C_{l,m,n}$, die also nur dann eine von Null verschiedene Lösung haben, wenn die Determinante verschwindet. Das kann bewerkstelligt werden, da ja in der Determinante die unbekannte Schwingungszahl ν vorkommt. Setzen wir also die Determinante gleich Null, so folgt in bekannter Weise eine Gleichung zur Bestimmung von ν :

$$(57) \quad \begin{vmatrix} (l + \mu) \frac{\partial^2 \rho^2}{\partial r^2} + d(r), & (l + \mu) \frac{\partial \rho}{\partial r} \frac{\partial \rho}{\partial r}, & (l + \mu) \frac{\partial \rho}{\partial r} \frac{\partial \rho}{\partial r} \\ (l + \mu) \frac{\partial \rho}{\partial r} \frac{\partial \rho}{\partial r}, & (l + \mu) \frac{\partial^2 \rho^2}{\partial r^2} + d(r), & (l + \mu) \frac{\partial \rho}{\partial r} \frac{\partial \rho}{\partial r} \\ (l + \mu) \frac{\partial \rho}{\partial r} \frac{\partial \rho}{\partial r}, & (l + \mu) \frac{\partial \rho}{\partial r} \frac{\partial \rho}{\partial r}, & (l + \mu) \frac{\partial^2 \rho^2}{\partial r^2} + d(r) \end{vmatrix} = 0.$$

Bei der vollständigen Behandlung des elastischen Problems hätten wir aus dieser Gleichung die verschiedenen Werte $\nu = \nu_{l,m,n}$ zu bestimmen, diese in Gl. (55) einzusetzen, die dann zu jedem Werte von $\nu_{l,m,n}$ die Verhältnisse $\frac{A_{l,m,n}}{\rho_{l,m,n}}$ und $\frac{B_{l,m,n}}{\rho_{l,m,n}}$ liefern würden. Diese letzteren interessieren uns hier aber nicht, da es uns nur auf die Schwingungszahlen ν ankommt (das elastische Problem ist uns hier vorwiegend nur Mittel zum Zweck), und wir wollen daher nur (57) weiter behandeln. Man kann diese Gleichung nach einfacher Reduktion in die Form bringen:

$$(58) \quad (l + \mu) \left(\frac{\partial^2 \rho^2}{\partial r^2} + \frac{\partial^2 \rho^2}{\partial r^2} + \frac{\partial^2 \rho^2}{\partial r^2} \right) \rho^2(r) + d^2(r) = 0,$$

und diese hat offenbar als Gleichung für $\delta(\cdot)$ betrachtet die Transversal-

$$(55) \quad \delta(\dot{x}) = 0, \quad \delta(\dot{y}) = 0,$$

$$(56) \quad (1 + \kappa) \left\{ \frac{v^2 \kappa^2}{\sigma^2} + \frac{\kappa^2 \kappa^2}{\rho^2} + \frac{\kappa^2 \kappa^2}{\gamma^2} \right\} + \delta(\dot{z}) = 0,$$

von denen die letztere offenbar eine Doppelwurzel ist, was bald seine physikalische Erklärung finden wird. Führen wir nun für $\delta(\cdot)$ seinen Wert aus (51) ein, so kann man diese Gleichungen schreiben:

$$(57) \quad \frac{\partial}{\partial t} \left\{ \frac{v^2 \kappa^2}{\sigma^2} + \frac{\kappa^2 \kappa^2}{\rho^2} + \frac{\kappa^2 \kappa^2}{\gamma^2} \right\} = 4 \kappa^2 \kappa^2 \text{ (Doppelwurzel),}$$

$$(58) \quad \frac{1 + 2\kappa}{\gamma} \left\{ \frac{v^2 \kappa^2}{\sigma^2} + \frac{\kappa^2 \kappa^2}{\rho^2} + \frac{\kappa^2 \kappa^2}{\gamma^2} \right\} = 4 \kappa^2 \kappa^2.$$

Dies sind die Beziehungen, die zwischen den Größen l , m , n und den Schwingungszahlen κ bestehen müssen, damit der Ansatz (51) eine Lösung der klassischen Gleichungen ist.

Die Größen $\frac{\partial}{\partial t}$ bzw. $\frac{1 + 2\kappa}{\gamma}$ haben eine einfache physikalische Bedeutung. Nach pag. 568 ff., Gl. (36) und (37) des I. Bandes ist die erstere das Quadrat der Fortpflanzungsgeschwindigkeit einer Transversalwelle, die letztere aber das Quadrat der Fortpflanzungsgeschwindigkeit der Longitudinalwelle; also ist in leicht verständlicher Bezeichnung:

$$(59) \quad \frac{\partial}{\partial t} = c_l^2, \quad \frac{1 + 2\kappa}{\gamma} = c_t^2.$$

Und nun erkennt man auch, weshalb die auf die Transversalwelle bezügliche Gleichung (57) bzw. (58) instead auftritt. Jede Transversalwelle nämlich kann in zwei zueinander senkrechte, linear polarisierte Komponenten aufgespalten werden, während natürlich bei den Longitudinalwellen der Begriff der Polarisation nicht anwendbar ist. Jede Schwingungszahl einer Transversalwelle ist daher doppelt zu zählen.

Schreiben wir nun die Gleichungen (57) und (58) in einer Form, die eine geometrische Deutung ermöglicht:

$$(60) \quad \frac{\frac{v^2}{\left(\frac{4\kappa^2 \kappa^2}{\sigma^2}\right)}}{\left(\frac{4\kappa^2 \kappa^2}{\sigma^2}\right)} + \frac{\frac{\kappa^2}{\left(\frac{4\kappa^2 \kappa^2}{\rho^2}\right)}}{\left(\frac{4\kappa^2 \kappa^2}{\rho^2}\right)} + \frac{\frac{\kappa^2}{\left(\frac{4\kappa^2 \kappa^2}{\gamma^2}\right)}}{\left(\frac{4\kappa^2 \kappa^2}{\gamma^2}\right)} = 1.$$

$$(61) \quad \frac{\frac{\rho}{\left(\frac{4\kappa^2 \kappa^2}{\sigma^2}\right)}}{\left(\frac{4\kappa^2 \kappa^2}{\sigma^2}\right)} + \frac{\frac{\kappa^2}{\left(\frac{4\kappa^2 \kappa^2}{\rho^2}\right)}}{\left(\frac{4\kappa^2 \kappa^2}{\rho^2}\right)} + \frac{\frac{\kappa^2}{\left(\frac{4\kappa^2 \kappa^2}{\gamma^2}\right)}}{\left(\frac{4\kappa^2 \kappa^2}{\gamma^2}\right)} = 1.$$

Dies sind, wenn l , m , n als kartesische Koordinaten aufgefäßt werden, die Gleichungen einer dreiecksigen Ellipsoide, und damit können wir folgende Frage geometrisch beantworten: Gegeben sei ein fester Wert κ einer Eigenschwingungszahl; wieviele mögliche Eigenschwingungen befinden sich unterhalb dieses Wertes κ ?

Jedes Tripel (l, m, n) stellt nun einen ganz bestimmten Punkt im Raume dar; die Gesamtheit der Punkte (l, m, n) bildet ein unendlich ausgedehntes kubisches „Gittergitter“, dessen „Zellen“ offenbar von der Größe 1 sind. Da nun zu jedem Wertetripel (l, m, n) nach (70) bzw. (71) eine Eigenschwingung gehört und nur positive Werte l, m, n zulässig sind, so haben wir unterhalb eines gegebenen Wertes v so viele Eigenschwingungen, als Gitterpunkte im Oktanten eines der Ellipsoide (76) bzw. (71) liegen, wenn in diesen Gleichungen v gleich dem vorgegebenen Werte gesetzt wird. Da der Inhalt eines Ellipsoids von den Halbachsen a, b, c gleich $\frac{4}{3}\pi abc$ ist, so hat der Oktant den Inhalt $\frac{1}{6}\pi abc$, und das gilt für das Ellipsoid (70), d. h. für die Transversalschwingungen:

$$\frac{1}{6} \pi \cdot \frac{4\pi}{v_1} \cdot \frac{4\pi v^2}{v_1} \cdot \frac{4\pi v}{v_1} n,$$

oder:

$$\frac{4\pi}{3} (v_1^2) \frac{v^3}{v_1^3} n,$$

oder, da (v_1^2) gleich dem Volumen V unseres (parallelepipedalen) Körpers ist:

$$\frac{4\pi}{3} V \frac{v^3}{v_1^3} n;$$

diese Zahl von Transversalschwingungen ist nun noch nach der obigen Bemerkung doppelt zu zählen; also ist die Zahl der Transversalschwingungen unterhalb v :

$$(74) \quad 2 \cdot \frac{4\pi}{3} V \frac{v^3}{v_1^3} n.$$

Ganz ebenso folgt für die Zahl der Longitudinalschwingungen unterhalb v :

$$(75) \quad \frac{4\pi}{3} V \frac{v^3}{v_1^3} n,$$

also für die Gesamtzahl Z aller Eigenschwingungen unterhalb v :

$$(76) \quad Z = \frac{4\pi}{3} V \left[\frac{2}{v_1^3} + \frac{1}{v_1^3} \right] v^3. *)$$

Nun haben wir oben bemerkt, daß ein Körper mit N punktförmigen Atomen überhaupt nur $3N$ Eigenschwingungen besitzt, und daß wir die unendliche Reihe der Eigenschwingungen des Kontinuums bei dieser Zahl

*) Diese Gleichung gilt natürlich nur asymptotisch, d. h. wenn sehr viele Eigenschwingungen unterhalb v liegen. Man erkennt dies leicht aus der obigen geometrischen Darstellung. Sehr viele Eigenschwingungen unterhalb v bedeutet ja: sehr viele Zellen innerhalb des Oktanten. Und was sagt so der Satz, daß das die Voraussetzung der obigen Rechnung ist, da die Abstände des Ellipsoids ja durch Zellen hindurchschneiden muß, das macht nur dann keinen methodischen Fehler aus, wenn sehr viele Zellen vorhanden sind. — H. Weyl hat ferner bewiesen, daß diese Ergebnisse (74) unabhängig von der Gestalt des zugrunde gelegten Körpers ist, in Übereinstimmung mit der Erfahrung, daß die spezifische Wärme unabhängig von der Gestalt der untersuchten Substanz ist.

δE ableiten können, wenn diesen Konstanten eine angenäherte Darstellung für einen wirklichen Körper sein soll. Nennen wir also die größte noch zulässige Schwingungszahl ν_m , so muß nach (74) sein:

$$\delta E = \frac{h\nu}{8} \nu \left[\frac{2}{\nu^2} + \frac{1}{\nu^2} \right] \nu_m^2,$$

oder:

$$(75) \quad \nu_m = \frac{8E}{h\nu} \frac{1}{2 + \frac{1}{\nu}}.$$

Ferner können wir aus (74) entnehmen, welche Zahl δE von Eigenschwingungen in dem Intervalle zwischen ν und $(\nu + d\nu)$ enthalten ist; wir brauchen zu diesem Zwecke (74) nur zu differenzieren:

$$\delta E = 4\pi \nu \left[\frac{2}{\nu^2} + \frac{1}{\nu^2} \right] \nu^2 d\nu,$$

oder, in Rücksicht auf (75):

$$(76) \quad \delta E = \frac{8E\nu^2 d\nu}{\nu_m^2}.$$

Damit aber sind wir schon in der Lage, die Gesamtenergie U unseres festen Körpers zu berechnen, d. h. die spezifische Wärme anzugeben.

Denn auf jede Eigenschwingung ν entfällt der mittlere Energiebetrag \bar{E} :

$$\bar{E} = \frac{h\nu}{e^{\frac{h\nu}{kT}} - 1},$$

also auf die Eigenschwingungen in dem Intervalle zwischen ν und $(\nu + d\nu)$ nach (76) der Energiebetrag:

$$\delta E \cdot \bar{E} = \frac{8E\nu^2 d\nu}{\nu_m^2} \cdot \frac{h\nu}{e^{\frac{h\nu}{kT}} - 1} = \frac{8E}{\nu_m^2} \frac{h\nu^3 d\nu}{e^{\frac{h\nu}{kT}} - 1},$$

also schließlich auf alle Eigenschwingungen innerhalb ν_m , d. h. alle Freiheitsgrade des festen Körpers:

$$(77) \quad U = \frac{8E}{\nu_m^2} \int_0^{\nu_m} \frac{\nu^3 h\nu d\nu}{e^{\frac{h\nu}{kT}} - 1}.$$

Die Auswertung dieses Integrals muß uns dann auch durch Differentiation nach T die spezifische Wärme unseres Festkörpers liefern.

Sei nun zunächst

$$\frac{h\nu}{kT} = \theta,$$

also

$$\nu = \frac{kT\theta}{h}, \quad d\nu = \frac{k}{h} d\theta,$$

so kann U geschrieben werden:

$$(76) \quad U = \frac{3 N k}{4} \int_0^{\frac{1}{2}} \left(\frac{kT}{x} \right)^3 \frac{x^2 dx}{x^2 - 1},$$

(wobei sinngemäß $\frac{1}{2} = \frac{h^2}{4\pi^2}$ gesetzt ist) oder etwas anders angedeutet:

$$U = 3 N k T \left(\frac{kT}{\lambda_{\text{max}}^2} \right)^3 \int_0^{\frac{1}{2}} \frac{x^2 dx}{x^2 - 1},$$

oder, wenn man schließlich noch eine „charakteristische“ Temperatur Θ durch die Beziehung

$$(77) \quad \frac{1}{\lambda_{\text{max}}^2} = \lambda_{\text{max}} = \frac{\Theta}{T}$$

einleitet:

$$(78) \quad U = 3 N k T \cdot \Theta \left(\frac{T}{\Theta} \right)^3 \int_0^{\frac{1}{2}} \frac{x^2 dx}{x^2 - 1}.$$

Setzt man endlich noch zur Abkürzung

$$\frac{\Theta}{T} = x,$$

so folgt die relativ einfache Form:

$$(79) \quad U = 3 N k T \cdot \frac{\Theta}{x} \int_0^{\frac{1}{2}} \frac{x^2 dx}{x^2 - 1}.$$

Nehmen wir jetzt ein Mal (für die Dimensionen) unseres rechteckigen Körpers, d. h. setzen wir $N = N$, der Avogadro'schen Zahl, so wird U entsprechend gleich dem Volumen eines Mols bzw. inneren, und wir erhalten aus (79) durch Differentiation nach T die inneren C_v unseres Festkörpers. Man findet, da $\frac{\partial U}{\partial T} = \frac{\partial U}{\partial x} \cdot \frac{\partial x}{\partial T}$ ist:

$$C_v = 3 N k \left[\frac{13}{x^2} \int_0^{\frac{1}{2}} \frac{x^2 dx}{x^2 - 1} - \frac{1}{x^2 - 1} \right],$$

oder, da $\lambda = \frac{\Theta}{T}$ ist:

$$(80) \quad C_v = 3 N k \left[\frac{13}{\lambda^2} \int_0^{\frac{1}{2}} \frac{x^2 dx}{x^2 - 1} - \frac{1}{\lambda^2 - 1} \right].$$

$3 N k$ ist nun der nach dem Äquipartitionstheorem (dem Dulong-Petit'schen Gesetz) folgende Wert für C_v , der bei sehr hohen Temperaturen erreicht wird; wir können also (80) auch schreiben:

$$(81) \quad \frac{C_v}{C_{vm}} = \frac{13}{x^2} \int_0^{\frac{1}{2}} \frac{x^2 dx}{x^2 - 1} - \frac{1}{x^2 - 1}.$$

Wenn diese Formel richtig ist, so bedeutet sie, daß die Atomwärmen aller einatomigen Gase in ihrer Abhängigkeit von der Temperatur durch eine universelle Funktion von $x = \frac{\theta}{T}$ dargestellt werden, eine Folgerung, die auch der statischen Einsteinschen Theorie eigenständig war. Inwieweit diese Forderung der Theorie durch die Erfahrung unterstützt wird, wird nachher diskutiert werden.

Zunächst wollen wir den Ausdruck (58) für sehr hohe Temperaturen ($\theta = 0$) und sehr niedrige Temperaturen ($\theta = \infty$) diskutieren. Für ersteren Fall muß natürlich, wenn die ganze Theorie brauchbar sein soll, der Äquipartitionswert $C_v = 3 R$ sich ergeben, d. h. der Ausdruck auf der rechten Seite von (58) muß gleich 1 werden. Nehmen wir nun x sehr klein an, so können wir in den beiden Exponentialfunktionen im Nenner eine Taylorsche Entwicklung vornehmen, die mit dem ersten Glied abbricht. Das gibt zunächst:

$$\lim_{x \rightarrow 0} \left(\frac{C_v}{C_{vm}} \right) = \frac{12}{\pi^2} \int_0^{\infty} \frac{t^3 dt}{1 - t^2} = \frac{12}{\pi^2} = \frac{12}{\pi^2} \int_0^{\infty} t^3 dt = 3,$$

und das ist in der Tat gleich 1, wovon wirklich aus der Debyeschen Theorie für hohe Temperaturen sich ergibt:

$$(C_v)_{T \rightarrow \infty} = 3 R.$$

Damit ergibt sich natürlich auch für U bei hohen Temperaturen der Äquipartitionswert:

$$(U_{vm})_{T \rightarrow \infty} = 3 R T.$$

Nehmen wir nun auch den Grenzfall sehr kleiner Temperaturen ($\theta = \infty$). Dann können wir in dem Integral in (58) die obere Grenze gleich ∞ nehmen, wovon das Integral ein reines Schließglied wird; der Ausdruck

$$\frac{12}{\pi^2} \frac{x}{e^x - 1}$$

wird ungenau, da 1 sehr e^x zu vernachlässigen ist, gleich $12 \pi^{-2} x e^{-x}$, und das ist für unendlich x gleich Null. Wir finden also für sehr tiefe Temperaturen, wenn wir noch für x den Wert $\frac{\theta}{T}$ einsetzen:

$$(34) \quad \lim_{T \rightarrow 0} \left(\frac{C_v}{C_{vm}} \right) = 12 \frac{T^3}{\theta^3} \int_0^{\infty} \frac{t^3 dt}{e^t - 1},$$

d. h. wenn wir zur Abkürzung

$$\int_0^{\infty} \frac{t^3 dt}{e^t - 1} = 9$$

setzen:

$$(80) \quad \langle C \rangle_{T \rightarrow 0} = C_0 \cdot \frac{15V}{4\pi^2} \cdot T^3,$$

d. h. die spezifische Wärme einatomiger fester Körper ist bei tiefer Temperatur proportional der dritten Potenz der absoluten Temperatur, sie nimmt also von dritter Ordnung mit sinkender Temperatur zu Null ab. Das ist nun der fundamentale Unterschied gegen die ursprüngliche Einsteinsche (und auch Nernst-Lindemannsche) Formel, daß hier C nicht mehr exponentiell, d. h. von unendlich hoher Ordnung, Null wird, und darauf beruht auch die sich gleich ergebende Übereinkunft der Debye'schen Theorie im Verhältnis zur Erfahrung.²⁾

Wir wollen nun noch den Zahlenwert von V bestimmen. Wir können schreiben:

$$V = \int_0^{\infty} \frac{E^2 e^{-E} dE}{1 - e^{-E}} = \int_0^{\infty} dE \cdot E^2 e^{-E} [1 + e^{-E} + e^{-2E} + e^{-3E} + \dots],$$

oder einfacher:

$$(81) \quad V = \sum_{i=1}^{\infty} \int_0^{\infty} dE \cdot E^2 e^{-iE}.$$

Jedes dieser Integrale läßt sich durch partielle Integration berechnen. Wir haben der Reihe nach, wenn wir $p/q = i$ als neue Variable einführen:

$$\begin{aligned} \int_0^{\infty} E^2 e^{-iE} dE &= \frac{1}{i^3} \int_0^{\infty} q^3 e^{-q} dq = -\frac{1}{i^2} \int_0^{\infty} q^2 d(e^{-q}) \\ &= -\frac{1}{i^2} \left(q^2 e^{-q} \right) + \frac{2}{i^2} \int_0^{\infty} e^{-q} q^1 dq. \end{aligned}$$

²⁾ Es ist bekannt zu beachten, worauf Schaefer besonders hingewiesen hat (Zit. nach Z. Physik 7, pag. 227, 1931), daß die T^3 -Gesetz streng genommen nur gilt für $N \rightarrow \infty$. Da wir es hier nur mit einer soliden, wenn auch sehr großen Zahl von Freiheitsgraden zu tun haben, und für extrem tiefe Temperaturen ein Gebot der Erfahrung, in dem $\langle C \rangle$ exponentiell verschwindet, wie nach Einstein und Nernst-Lindemann. Wenn auch diese Temperaturgebiet in unserem Falle exponentiell nie erreicht werden kann, so hat diese Behauptung doch grundsätzliche Bedeutung, indem sich zeigen läßt, daß bei diesen extrem tiefen Temperaturen nicht nur der Verlauf der spezifischen Wärme, sondern alle thermodynamischen Begriffe ihre Bedeutung verlieren; bei so extrem tiefen Temperaturen hat ein solches mechanisches System eben so wenig Freiheitsgrade, als daß thermodynamische Begriffe auch verwendet werden dürfen. Alle thermodynamischen Betrachtungen u. B. die mit dem absoluten Nullpunkt der Temperatur operieren, sind daher grundsätzlich verwerflich. Man vgl. hierzu auch H. Planck, Theorie der Wärmestrahlung, 4. Auflage (1906), pag. 499 ff.

In derselben Weise fortgehend, erhält man schließlich:

$$(87) \quad \int_0^T T^2 e^{-T} dT = -\frac{1}{T^2} \left[T^2 e^{-T} \right] - \frac{2}{T^2} \left[T^2 e^{-T} \right] - \frac{6}{T^2} \left[T e^{-T} \right] - \frac{6}{T^2} \left[e^{-T} \right],$$

und damit liefert nur die untere Grenze des letzten Integrals einen von Null verschiedenen Beitrag, so daß schließlich folgt:

$$(88) \quad \int_0^T T^2 e^{-T} dT = \frac{6}{T^2}.$$

Mithin wird nach (86) der gesuchte Zahlenkoeffizient \mathcal{V} :

$$\mathcal{V} = \sum_{r=1}^{\infty} T^2 e^{-rT} dT = 6 \sum_{r=1}^{\infty} \frac{1}{r^2},$$

d. h.:

$$(89) \quad \mathcal{V} = 6 \left[\frac{1}{1^2} + \frac{1}{2^2} + \frac{1}{3^2} + \frac{1}{4^2} + \dots \right].$$

Diese Reihe hat aber den Wert $\frac{\pi^2}{6}$, so daß schließlich folgt:

$$(90) \quad \mathcal{V} = \frac{6}{60} \cdot \pi^2 = \frac{\pi^2}{10}.$$

Mithin wird nach (86) für alle Temperaturen:

$$(91) \quad (U)_{0,0} = 3 R \cdot \frac{15 \pi^2}{1024} T^3 = 71,596 \cdot 3 R \left(\frac{T}{a} \right)^3.$$

Für alle Temperaturen wird dementsprechend U proportional der dritten Potenz der absoluten Temperatur:

$$(92) \quad \lim_{T \rightarrow 0} (U)_{0,0} = \frac{71,596 \cdot 3 R}{1024} \cdot T^3.$$

Wir haben schließlich noch für mittlere Temperaturen C_v gemäß (88) zu bestimmen. Wir können schreiben, ganz ähnlich wie vorher, (nur daß die Integralgrenze jetzt x , nicht a ist):

$$\frac{C_v}{2R} = \frac{12}{T^2} \int_0^T T^2 e^{-T} dT [1 + e^{-T} + e^{-2T} + \dots] = \frac{2x}{x-1},$$

oder:

$$\frac{C_v}{2R} = \frac{12}{T^2} \sum_{r=1}^{\infty} \int_0^T T^2 e^{-rT} dT = \frac{2x}{x-1},$$

und wenn wir beachten, daß allgemein:

$$\int_0^T = \int_0^{\infty} - \int_T^{\infty}$$

ist:

$$(33) \quad \frac{C_1}{\varepsilon_{\text{un}}} = \frac{12}{\pi^2} \sum_p^{\infty} \int_0^{\frac{\pi}{2}} t^2 e^{-pt} dt = \frac{12}{\pi^2} \sum_p^{\infty} \int_0^{\frac{\pi}{2}} t^2 e^{-pt} dt = \frac{3\pi}{\pi^2 - 1}.$$

Die Summe der Integrale im ersten Gliede ist nach (32) gleich π und hat also den Wert $\frac{\pi^2}{12}$.

Das zweite Integral kann ähnlich wie (32) geschrieben werden, wo nur die untere Grenze ebenfalls durch π zu ersetzen ist und wo hier φ wieder $\varphi/2$ geschrieben werden mag:

$$\int_0^{\frac{\pi}{2}} t^2 e^{-pt} dt = -\frac{1}{p^2} \left[(pt)^2 e^{-pt} + 2(pt) e^{-pt} + 2 e^{-pt} \right]_0^{\frac{\pi}{2}}.$$

Die obere Grenze liefert überall Null, so daß stattdessen folgt:

$$\int_0^{\frac{\pi}{2}} t^2 e^{-pt} dt = \frac{e^{-\frac{p\pi}{2}}}{p^2} (p^2 \pi^2 + 2p\pi + 2).$$

oder endlich:

$$(34) \quad \int_0^{\frac{\pi}{2}} t^2 e^{-pt} dt = e^{-\frac{p\pi}{2}} \left(\frac{1}{p^2} + \frac{2}{p^2 \pi} + \frac{2}{p^2 \pi^2} + \frac{2}{p^2 \pi^3} \right).$$

Insgeheim ergibt sich also nach (33) und (34) folgende Darstellung der mittleren Temperatur:

$$(35) \quad \frac{C_1}{\varepsilon_{\text{un}}} = \frac{4\pi^2}{\pi^2 - 1} \cdot \frac{1}{\pi^2} = \frac{2\pi}{\pi^2 - 1} = 12\pi \sum_p^{\infty} e^{-\frac{p\pi}{2}} \left(\frac{1}{p^2} + \frac{2}{p^2 \pi} + \frac{2}{p^2 \pi^2} + \frac{2}{p^2 \pi^3} \right).$$

Faktisch brauchen von der hier auftretenden Summe stets nur wenige Glieder berechnet zu werden. Will man nur eine Genauigkeit von 1% haben, so genügt im Intervalle von $T = 0$ bis $T = \frac{\pi}{12}$ bereits das erste Glied von (35) allein; bei derselben Genauigkeit genügen von $T = \frac{\pi}{12}$ bis $T = \frac{\pi}{4}$ die drei ersten Summenglieder; die Berechnung von 4 Gliedern bringt die Genauigkeit im ganzen Intervalle von $T = 0$ bis $T = \frac{\pi}{4}$ auf über $\frac{1}{1000}\%$. Um ein Beispiel zu geben, sei erwähnt, daß die charakteristische Temperatur des Diamants nach der Debye'schen Formel gleich 1640° abs. ist. Für das Intervall $T = 0$ bis $T = \frac{\pi}{12} = 150^\circ$ abs. genügt also das erste Glied von (35), bis $T = \frac{\pi}{4} = 350^\circ$ abs. müssen die drei bzw. vier ersten Summenglieder hinzugezogen werden.

Wie bestätigt sich nun die Debye'sche Formel (35) an der Erfahrung? Zunächst: wie steht es mit der qualitativen Forderung, daß C_v nach (35) eine universelle Funktion von π , d. h. von $\frac{\theta}{T}$ ist? Wenn diese Forderung

strich, so müssen für stoffliche einatomigen Stoffe die Kurven der Atomwärmen zusammenfallen, wenn statt T die Größe $\left(\frac{T}{\sigma}\right)$ die Abszisse aufgetragen wird. Diese Forderung ist tatsächlich in vollster Übereinstimmung, wenigstens für tiefe Temperaturen, erfüllt, wie ein Blick auf die Fig. II ergibt, in der die Atomwärmen von Al, Ag, Cu dargestellt sind: Die gemessenen Punkte liegen sämtlich auf einer glatten Kurve.

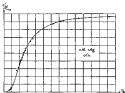


Fig. II.

Das Verhalten ist jedoch nicht auf die genannten Stoffe beschränkt, sondern es lassen sich in dieser Figur mit demselben Erfolge noch eintragen die Stoffe Pb, Zn, C, Cu, Ti, Ag, J, Cl, Na; ja sogar die mehratomigen Verbindungen NH₃, HCl, CaF₂, FeS₂.⁴⁾ Wir tragen diese Stoffe nur deshalb nicht ein, weil die Zahl der Punkte viel zu groß ist, um in einer Kurve Platz zu finden.

Die isothermische Kurve ist die nach der Debye'schen Formel berechnet. Es stimmt also auch quantitativ, wenigstens in Gebieten tiefer Temperaturen, wo früher die größten Abweichungen waren, die neue Theorie mit der Erfahrung überein. Besonders bestätigt sich das 2^{te} Gesetz für tiefe Temperaturen, das insbesondere durch sehr sorgfältige Messungen von Eucken, Schwes und Nernst für eine Anzahl von Stoffen geprüft worden ist. Dagegen sind bei hohen Temperaturen für die Mehrzahl der Stoffe rechtliche Abweichungen von der Debye'schen Theorie vorhanden, die die Versuchfehler übersteigen: hier fallen die Kurven nicht

⁴⁾ Vgl. hierzu den zusammenfassenden Bericht von E. Schrodinger, „Der Energieinhalt der Kristalle“, Phys. Zeits. 19, pag. 418ff., 1918. Dort sind sämtliche oben aufgeführten Stoffe in Kurven vereinigt.

nicht streng monotonen, sondern es zeigen sich individuelle Eigenartlichkeiten.⁷⁾ Wir kommen später noch auf diese Frage zurück.

Die θ -Werte sind bei den obigen Angaben natürlich so bestimmt, daß der Anschluß ein möglichst günstiger wird.

Um das gesamte die Überbestimmung der Debye'schen Gleichung mit der Erfahrung zu zeigen, wollen wir wieder unsere alte Tabelle für Diamant nehmen, in der jetzt die letzte Spalte die nach Debye berechneten Werte von C_V enthält; θ ist gleich 1843° abs. gemessen.

T	C_V bereh.	C_V exp. nach (28)
30°	0,00	0,00
40°	0,00	0,00
50°	0,00	0,006
100°	0,04	0,058
200°	0,16	0,177
300°	0,30	0,30
400°	0,40	0,406
500°	0,44	0,43
600°	0,46	0,44
700°	0,47	0,45
800°	0,48	0,46
900°	0,48	0,46
1000°	0,48	0,46
1100°	0,48	0,46
1200°	0,48	0,46
1300°	0,48	0,46
1400°	0,48	0,46
1500°	0,48	0,46
1600°	0,48	0,46
1700°	0,48	0,46
1800°	0,48	0,46
1900°	0,48	0,46
2000°	0,48	0,46

Man erkennt, daß hier der volle Abfall, der für die Elastizitätstheorie bei tiefen Temperaturen charakteristisch war, nicht mehr stattfindet, so daß wir berechtigt sind, für einatomige Körper bei tiefen atomaren Temperaturen in der Debye'schen Formel die Lösung des Problems der spezifischen Wärme zu sehen. Wie es bekannt, daß diese Formel auch den obigen Angaben auch für kristallisierte und mehratomige Stoffe gilt (bei tiefen Temperaturen), wird später erklärt werden. Vorher wollen wir noch eine dritte Prüfung der Debye'schen Theorie vornehmen. Die charakteristische Temperatur θ , oder, was nach (7) aus demselben bekannt, die maximale Schwingungszahl ν_m , die sogenannte „Grenzfrequenz“, haben wir bisher so bestimmt, daß die Anpassung der theoretischen Werte an die gemessenen eine möglichst gute wird. Wir können aber ν_m , d. h. θ , auch nach (7) und (8) aus dem elastischen Konstanten λ und μ des Materials berechnen. Mit dem Elastizitätsmodul E , dem Querkontraktionskoeffizienten ν und dem Kompressionsmodul K

⁷⁾ Für ganz hohe Temperaturen fallen die Kurven natürlich wieder zusammen; dort gilt ja das Dulong-Petit'sche Gesetz. Das oben Gesagte bezieht sich also auf ein mittleres Temperaturniveau, oberhalb der Gültigkeit des T^3 -Gesetzes und unterhalb der Gültigkeit des Dulong-Petit'schen Gesetzes.

hingen λ und μ folgendermaßen zusammen [Bd. I, pag. 545, Gl. (24a) sowie pag. 547, Gl. (46)]:

$$\frac{\lambda(\lambda+2\mu)}{\lambda+\mu} = E,$$

$$\frac{\lambda}{3(\lambda+\mu)} = \nu,$$

$$\frac{2\lambda+3\mu}{3} = K.$$

Kombiniert man diese Gleichungen mit (33) und (35), so erhält man für Θ die folgende Gleichung, in der M das Atomgewicht, M' die Avogadro'sche Zahl ist:

$$(36) \quad \Theta = \frac{h}{\tau} \left(\frac{EK}{4\pi} \right)^{\frac{1}{2}} \frac{K^{\frac{1}{2}}}{M^{\frac{1}{2}} E} \cdot \frac{1}{f^{\frac{1}{2}}(\nu)}.$$

Dabei ist

$$f(\nu) = 2 \left(\frac{2}{\pi} \frac{1+\nu}{1-\nu} \right)^{\frac{1}{2}} + \left(\frac{1+\nu}{2\nu} - \pi \right)^2.$$

Setzt man die Zahlenwerte für h , k und N ein, so wird:

$$(37) \quad \Theta = \frac{15,44 \cdot 10^{-4} E^{\frac{1}{2}}}{M^{\frac{1}{2}} \tau^{\frac{1}{2}} f^{\frac{1}{2}}(\nu)}.$$

Für die Metalle sind die genannten Größen durch zahlreiche Messungen bekannt (Bd. I, pag. 575); für diese Stoffe kann man also nach ν , bzw. Θ berechnen. Die Übereinstimmung dieser auf elastischem Wege bestimmten Werte mit den auf „thermischen“ Wege (durch den Verlauf der spezifischen Wärmen) ermittelten liefert eine neue Probe auf die Richtigkeit der Debye'schen Theorie. Die folgende Tabelle¹⁾ gibt Aufschluß darüber; in der zweiten und dritten Spalte derselben sind die Θ -Werte aus thermischen und elastischen Messungen nebeneinander eingetragen.

Metall	Θ thermisch	Θ elastisch	Θ optisch
Pb	86	95	—
Cd	166	174	—
KBr	177	—	177
Ag	210	220	—
KCl	230	217	230
NaCl	244	256	244
Cu	245	241	—
Al	269	413	—
Fe	423	494	—
CaF ₂	474	555	442
FeS ₂	645	691	—
Θ_{Debye}	1849	—	—

¹⁾ Die Tabelle ist (ähnlich) der gesamten Zusammenstellung von Schrödinger entnommen.

Die Übereinstimmung ist im allgemeinen so gut, als man es bei der relativ großen Unsicherheit der elastischen Größen erwarten kann: die Größenordnung ist jedenfalls vorzüglich getroffen, und man kann an dem nahen Zusammenhang zwischen Θ bzw. v_m und den elastischen Konstanten in festen Stoffen nicht zweifeln. Das heißt aber nichts anderes, als daß die Wärmebewegung in festen Stoffen identisch mit den elastischen Eigenschwingungen derselben ist. Nach der obigen Tabelle besitzt der Diamant das größte Θ ; dies ist auch (37) zu erwarten, da seine Härte (d. h. sein Kompressionsmodul) sehr groß und sein Atomgewicht gering ist.

In der obigen Tabelle ist noch eine vierte Spalte „ R_{max} “ eingefügt. Damit hat es folgende Bedeutung:

Die elastischen Schwingungszahlen des festen Körpers, die in der Debye'schen Theorie auftreten und deren größte die Grenzfrequenz v_m ist, sind die einzig möglichen, die unser Körper aufweisen kann. Man kann sie — zwar nicht bei den einatomigen, aber bei den mehratomigen Substanzen — durch optische Untersuchungen, u. B. durch Messung des Reflexionsvermögens, gitterne Eigenschwingungen, die der betreffenden Substanz zugehören. Dies müssen unter der Debye'schen Eigenschwingungen mitzählen sein, und es liegt nahe, einen Zusammenhang zwischen der Grenzfrequenz v_m und diesen optischen Schwingungszahlen (den sogenannten von Rubens entdeckten „Reststrahlen“) zu vermuten. Bezieht man aus diesen optisch bestimmten v die zugehörige absolutenwärtige Temperatur Θ aus, so bekommt man die in der letzten Spalte der Tabelle angegebenen Werte, die in der Tat so gut mit den andern Werten Θ übereinstimmen, daß man an einen Zusammenhang nicht zweifeln kann. Damit treten die optischen Eigenschwingungen in Beziehung zum elastischen Verhalten des Materials. Der erste, der diesen Gedanken eines Zusammenhangs zwischen optischen und elastischen Schwingungen ausgesprochen und eine angenäherte Theorie entwickelt hat, war Madelung.⁵⁾ In der Debye'schen Gleichung (37) hat man in gewissem Sinne die exakte Formulierung dieses Madelung'schen Gedankens zu erblicken; nur kommt in der Debye'schen Theorie nicht zum Ausdruck, daß die v_m eben auch optisch bestimmt werden können. Das hängt offenbar eng zusammen mit der Bestimmung der absolutenwärtigen Gehörten Körpers durch die Konstanten, die der Debye'schen Theorie eigenständig ist. Denn wie die Dispersionstheorie ausweisen wird, lassen sich die optischen Eigenschaften nur auf atomistischer Grundlage verstehen. Es besteht daher, trotz der bedeutenden Erfolge der Debye'schen Theorie, das Bedürfnis nach einer atomistischen Theorie, die u. a. den obigen Gedankengang viel klar beantworten kann (vgl. hierzu weiter unten).

⁵⁾ Madelung, *Physikalische Zeitschrift*, 1903, pag. 109; 1905, pag. 63.

⁶⁾ Madelung, *Physikalische Zeitschrift*, 1903, pag. 109; 1905, pag. 63.

Es bleibt noch die oben aufgeworfene Frage zu beantworten, wiew far tiefe Temperaturen die Debye'sche Theorie (das T^3 -Gesetz) auch bei kristallisierten und mehratomigen Stoffen gelten kann.

In dem Besuche wollen wir die $3N$ Eigenfrequenzen eines Gasmolekels eines Körpers, oder kurz gesagt, sein charakteristisches „Spektrum“ etwas näher betrachten. Die meiste Schwingung läßt die Grenzfrequenz ν_m aus, und diese besitzt im Körper eine gewisse Wellenlänge, da sie sich durch denselben mit „Schallgeschwindigkeit“ fortpflanzt. Allerdings ist die Wellenlänge verschieden, je nachdem es sich um eine longitudinale oder transversale Welle handelt, da diese beiden Arten je verschiedene Fortpflanzungsgeschwindigkeiten besitzen. Doch kommt es uns hier nur auf die Größenordnung an. Definieren wir also eine eigentümliche Art mittleren Fortpflanzungsgeschwindigkeit c_m — diese Mittelung wird durch die Gl. (95) nahegelegt: —

$$(95) \quad \frac{3}{c_m^2} = \frac{2}{c_l^2} + \frac{1}{c_t^2},$$

so läßt sich (95) schreiben:

$$(96) \quad c_m = \frac{3c_l c_t}{\sqrt{2c_l^2 + c_t^2}},$$

oder der Größenordnung nach:

$$(97) \quad \frac{c_m}{c_l} \approx \sqrt[3]{\frac{K}{Y}}.$$

$\frac{c_m}{c_l}$ ist aber die (der mittleren Geschwindigkeit c_m entsprechende) mittlere Wellenlänge λ_m der Schwingung ν_m im Körper; also haben wir die Beziehung:

$$(101) \quad \lambda_m = \sqrt[3]{\frac{Y}{K}}.$$

$\sqrt[3]{\frac{Y}{K}}$ ist aber der mittlere Atomabstand der Atome des Körpers¹⁾, so daß wir das Resultat schreiben: Die der Grenzfrequenz ν_m entsprechende mittlere Wellenlänge λ_m ist von der Größenordnung des mittleren Atomabstandes.

Viel länger sind natürlich die den weiteren Schwingungszuständen entsprechenden Wellenlängen: auch ohne genauere Rechnung sieht man, daß auf eine dieser Wellenlängen unendlichviele Atomabstände kommen. Diese untern Schwingungszustände sind je direkt überlappend mit den „akustischen“, d. h. mit dem (im wahrnehmbaren Schwingungen, die unser Körper ausführen kann und deren Wellenlänge mit den Längendimensionen unseres Körpers vergleichbar ist. Diese akustischen Schwin-

¹⁾ Denn $\frac{Y}{K}$ ist das einem Atom zurechenbare Volumen; wird dasselbe als Kubus gefaßt, so ist $\sqrt[3]{\frac{Y}{K}}$ dessen Seitenlänge, d. h. der mittlere Atomabstand.

genügen haben aber auch dem Quantensatz bei tiefen Temperaturen den Hauptteil der Energie, während die höheren Schwingungsmoden ganz fast bedeutungslos sind. Und das ist nun der entscheidende Punkt, daß es bei diesen Temperaturen nur sei die „akustischen“, d. h. tiefen Schwingungen zuzuschreiben. Da nämlich die ihnen entsprechenden Wellenlängen nach dem obigen groß sind gegen die Abstände und Größe der Atome, so kann jeder beliebige Körper bei tiefen Temperaturen als Kontinuum betrachtet werden, weil die individuellen Feinheiten der atomistischen Struktur gegen die Wellenlänge verschwinden. D. h. aber: Für alle Körper müssen wir erwarten — und das stimmt, wie wir wissen, mit der Erfahrung überein —, daß bei tiefen Temperaturen das T^3 -Gesetz eintritt!

Zeigt diese Betrachtung einerseits, daß bei tiefen Temperaturen die Debye'sche Theorie einen weiten Gültigkeitsbereich besitzt, so zeigt sie andererseits, daß für höhere Temperaturen, bei denen die höheren Wellen wesentlich ins Gewicht fallen, eine Übereinstimmung mit der Theorie überhaupt nicht mehr zu erwarten ist: Für Wellenlängen, die mit dem Atomabstand vergleichbar sind, kann kein Körper mehr als Kontinuum betrachtet werden, bzw. nicht durch ein Kontinuum approximiert werden. Dementsprechend beobachtet man auch, wie schon hervorgehoben, bei höheren Temperaturen individuelle Abweichungen: hier gibt es keine universelle Funktion mehr, sondern hier spielen Kristallkonstanten eine wesentliche Rolle.

Bei sehr hohen Temperaturen, wo das Dulong-Petit'sche Gesetz gilt, stimmt die Debye'sche Theorie wieder mit der Erfahrung überein. Das könnte zunächst als ein Widerspruch gegen die obige Überlegung erscheinen; denn hier müssen ja erst recht die kürzesten Wellenlängen ins Gewicht fallen. Aber hier tritt der neue Umstand auf, daß die auf einen Freiheitsgrad entfallende mittlere Energie (86), von ν praktisch unabhängig wird und einfach in kT übergeht. Für höchste Temperaturen multipliziert sich dieser Wert einfach mit der Gesamtzahl $3N$ der möglichen Schwingungsmoden: hier kommt es nicht mehr auf die „Verteilung“ der Schwingungsmoden, sondern nur auf die Gesamtzahl an.

Die oben erwähnten Abweichungen von der Debye'schen Theorie kann man nach Kerner (u. B. bei kleinen Verbindungen) dadurch zum Verschwinden bringen, daß man zur Debye'schen Formel (77) für die Gesamtenergie eines Mole noch ein (oder mehrere) Glieder hinzufügt, die entsprechend der Einstein'schen Formel (43) mit gewissen Werten ν_i gebildet sind, d. h. wenn man annimmt:

$$(102) \quad U = \frac{3N}{\pi^2} \int_0^{\infty} \frac{x^3 dx}{e^x - 1} + 3N \sum_i \frac{h\nu_i}{e^{\frac{h\nu_i}{kT}} - 1}.$$

Man kann sich diese Kombination nach Born¹⁾ folgendermaßen erklären: Nach der neueren Untersuchungen von M. v. Lüne, Bragg u. a. über die Struktur der wirklichen Festkörper, d. h. der Kristalle, kann man es als richtiggestellt betrachten, daß dieselben im allgemeinen aus mehreren Nahegruppen aufgebaut sind, in denen Molekülen sich nicht die Moleküle, sondern die Ionen bzw. Ionengruppen befinden. K. B. lassen sich die (optisch einachsigten) Karbonate aufbauen aus zwei (rhombischtrigonalen) Bauelementen, deren eines die Ca-Ionen, deren anderes die CO_3 -Ionen trägt.²⁾ Betrachten wir nun die CO_3 -Gruppe — solange gilt allgemein — zunächst als starres Gebilde, so werden wir den Körper als aus Ca-Ionen und starren CO_3 -Ionen bestehend aufbauen, und dies bilden ein gekoppeltes System, auf das die Debye'schen Betrachtungen — evtl. verallgemeinert für anisotrope Kristalle — angewendet werden können. Aber in Wirklichkeit sind die CO_3 -Gruppen usw. nicht starr, sondern können selbst „innere“ Schwingungen ausführen. (E. B. können die drei O-Atome gegen das im gemeinsamen Schwerpunkt befindliche C-Atom schwingen usw.) Diese „inneren“ Schwingungen sind weitgehend unabhängig von den Kräften, die die ganze Gruppe mit den übrigen Ionen der Kristalle verbinden. Dann werden diese inneren Schwingungen jede nach der Quantenformel ein Einstein-Übeld haben müssen. Damit wäre die Gelfähig bzw. Bräunlichkeit der beschriebenen Formel (108) plausibel gemacht.

Diese inneren Schwingungen der starren Ionen-Gruppen sind im allgemeinen optisch konstatierbar. Die Substanz besitzt für die Wellenlängen, die ihnen entsprechen, ein besonders großes Reflexionsvermögen, wie wir später auf Grund der Dispersionstheorie zeigen werden. Andererseits: Das Reflexionsspektrum besitzt ausgeprägte Maxima. Die Fig. 88 zeigt z. B. die den inneren Schwingungen der CO_3 -Gruppe entsprechenden Reflexionsmaxima, die die Karbonate nach Messungen von Schaefer und Schuler³⁾ aufweisen; als Abszissen sind die Wellenlängen in 10^{-4}cm , als Ordinaten die Reflexionsvermögen in Prozenten aufgetragen. Man erkennt, daß die Lage dieser Maxima, d. h. die Frequenzen dieser inneren Schwingungen, fast ganz unabhängig von dem Metall-Ion sind, mit dem die CO_3 -Gruppe verbunden ist. Ganz analoge Resultate haben Schaefer und Schuler auch für andere Gruppen, z. B. für die Salze Nitrate, Jodate, Bromate, Chlorate, Sulfate, Chromate usw. gefunden. Es bestätigt sich also durchaus die Born'sche Auffassung von der Unabhängigkeit dieser Schwingungen, was seinen Ausdruck im Auftreten von Einzeinsingularen findet.

¹⁾ W. Born, Grundlagen der neuen Mechanik, Halle 1916, pag. 33; dort weitere Literatur.

²⁾ Natürlich läßt sich diese CO_3 -Gitter weiter in ein C- und drei O-Gitter aufbauen.

³⁾ Schaefer und Schuler, Ann. d. Phys. 80, pag. 293, 1926.

Es ist natürlich klar, daß die obigen Überlegungen keinen Anspruch darauf machen können, eine wahre Theorie zu sein. Eine solche muß die Hauptfestsicherungen direkt auf atomistischer Grundlage, nicht auf dem beschriebenen Umwege von Debye mit Hilfe des Kontinuums berechnen. Das ist von Born und v. Kármán⁷⁾ und besonders von Born⁸⁾ geschehen, und zwar schon fast gleichzeitig mit der Theorie Debyes. Die ungelohene Schwierigkeit dieser Aufgabe leuchtet ein. Da

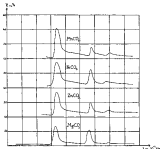


Fig. 52.

ist daher nicht zufällig, daß die Resultate, soweit sie für die Theorie der spezifischen Wärme in Betracht kommen, nicht wesentlich über die Theorie Debyes hinausgehen. Man erhält auch auf diesem Wege, der ja methodisch zweifellos den Vorzug verdient, für diese Temperaturen das T^3 -Gesetz. Außerdem läßt sich als allgemeine Formel tatsächlich eine solche vom Typus der Gl. (102), d. h. eine aus Debyegliedern und Einsteinagliedern zusammengesetzte. Die

⁷⁾ M. Born und Th. v. Kármán, Phys. Zeits. 13, pag. 895, 1912; 14, pag. 15 und 86, 1913.

⁸⁾ M. Born, Dynamik der Kristallgitter. Leipzig und Berlin 1912, bei E. S. Teubner.

Frequenzen der Elastischkeiten stehen — was gleichfalls die Bornsche Theorie im Gegensatz zur Debye'schen vollkommen aufklärt —, in einem hohen Zusammenhang mit den optisch wahrnehmbaren Frequenzen, namentlich den kugelförmigen Röntgenstrahlen.

Wir können uns hier damit begnügen, auf dem Arbeiten hinzuweisen, auf ihre Bedeutung für die Optik, namentlich der Kristalle, hinzuweisen, werden wir später Gelegenheit haben.

III. Die spezifische Wärme des Gases.

Die klassische Theorie der spezifischen Wärme des Gases lehrt, wie wir in Nr. 58 auseinandergesetzt haben, ein erhebliches Scheitern. Man wird von der Quantentheorie keine Besserung verlangen müssen, wenn anders diese auf dem Fusz einer erst zu schwebenden wissenschaftlichen Hypothese Anspruch machen soll.

Diese Schwierigkeiten der klassischen Theorie beruhen ganz genau darauf, daß den einatomigen Gasen die drei rotationsfreien, den zweiatomigen ein rotationsfreier Freiheitsgrad fehlt. Ferner fehlen ihnen beiden bei normalen Temperaturen diejenigen Freiheitsgrade, die sich auf die innere Energie (d. h. die kinetische und potentielle Energie der Atome im Molekül) beziehen, weshalb die Moleküle in der üblichen Theorie als absolut starr betrachtet werden müssen. Bei höheren Temperaturen ändern sich diese inneren Freiheitsgrade in dem Maße mehr und mehr umkehrbar — vgl. die Tabelle der Nr. 58 auf pag. 369 —, als die Auflockerung der Bindung der Atome im Molekül wächst. Wir beobachten demgemäß z. B. bei den zweiatomigen Gasen bei sehr hohen Temperaturen ein Anwachsen der Atomwärme U , über den klassischen Wert 5-mal/grad hinaus, wie die angegebene Tabelle deutlich zeigt. Aber hier findet die klassische Theorie gerade ihre größte Schwierigkeit, indem sie wohl ein sprunghaftes Anwachsen der spezifischen Wärme, niemals aber (gemäß dem Äquipartitionstheorem) ein allmähliches Anwachsen derselben erklären kann. Kernst¹⁾ ist der erste gewesen, der in der Quantentheorie eine Möglichkeit zur Auflösung dieser Schwierigkeiten erkannte.

Betrachten wir zunächst die inneren Schwingungen des Moleküls bzw. bei einatomigen Gasen des Atoms. Die ihnen zugehörigen Schwingungszahlen werden — namentlich bei einatomigen Gasen, d. h. bei Atomen —, außerordentlich groß sein (von der Größenordnung 10^{10} sec⁻¹), weil die Bindungskräfte außerordentlich groß sind; es wird daher nach der Quantentheorie jede dieser inneren Schwingungen einen mittleren Energiebetrag nach (56):

$$\bar{\epsilon} = \frac{h\nu}{e^{\frac{h\nu}{kT}} - 1}$$

¹⁾ W. Kernst, Zur Theorie der spezifischen Wärme von Gasen. I. Elektrochemie, 1914, pag. 381.

erhalten, wenn ν , die betreffende Schwingungszahl ist. Diese Energie erreicht erst bei den so hohen Temperaturen den Äquipartitionswert kT , je größer ν ist. Es ist also ohne weiteres plausibel, daß wir bei normalen Temperaturen und sogar bis 3000 Grad ab. bei elastischen Gasen nichts davon merken: sie verhalten sich wie absolut starre Körper. Allerdings muß erwartet werden, daß bei noch höheren Temperaturen diese inneren Freiheitsgrade sich bemerkbar machen.

Ganz analog, nur mit etwas niedrigeren Schwingungszahlen, wird die Sache bei den realistischen Gasen liegen. Bei Raumtemperatur beobachten wir nichts von diesen Freiheitsgraden; aber er liegt schon bei ca. 80 Grad an, sich bei einigen Gasen (vgl. Tabelle auf pag. 286) bemerkbar zu machen, was bei höheren Temperaturen immer stärker hervortritt. Hier liegt jetzt nicht mehr die geringste Schwierigkeit für das Verständnis vor; der Sachverhalt liegt eben genau so wie bei festen Körpern.

Etwas komplizierter liegen die Verhältnisse bei der Rotation. Rotiert ein Gasmolekül um eine Achse mit der Winkelgeschwindigkeit ω und ist das zugehörige Trägheitsmoment J , so ist die kinetische Energie:

$$\frac{J}{2} \omega^2 = \frac{J}{2} (2\pi \nu)^2.$$

Die Größe

$$\frac{h^2}{8\pi^2 J} = \epsilon$$

kann hier — das war der fruchtbarste Gedanke von Nernst — sinngemäß als die „Schwingungszahl“ aufgefaßt werden. Nehmen wir nun mit Nernst an — ganz im Sinne der Quantentheorie —, daß ein „Rotor“, analog wie ein Oszillator, die kinetische Energie nur in bestimmten Quanten $\epsilon_0, \epsilon_1, \epsilon_2, \dots$ besitzen konnte, so müssen wir setzen

$$(106) \quad \epsilon_n = \frac{J}{2} \omega^2 = \frac{J}{2} (2\pi \nu_n)^2 = \frac{h^2}{8\pi^2 J} \cdot n^2, \quad (n = 0, 1, 2, \dots)$$

Es ist dazu notwendig zu bemerken: $\nu_n = \frac{\omega}{2\pi}$ ist diejenige „Schwingungszahl“ des Rotators, die er annimmt, wenn er gerade n Energiequanten besitzt.

Ferner setzt hier Nernst $\epsilon \cdot \left(\frac{h^2}{8\pi^2 J}\right)$ statt $\epsilon \cdot (h\nu)$, mit der Begründung, daß der Rotor ja nur kinetische Energie besitzt, während der Oszillator auch noch (im Mittel gleich viel) potentielle Energie habe. Es ist jedoch unverkennbar, daß hier die Plancksche Energiestufenhypothese schon Schwächen aufweist, da hier eben das selbe Energiequantum angenommen werden mußte, wenn beim Oszillator doch nicht die Rede war. Es zeigt sich eben hier bereits, was wir schon in Nr. 118 andeuteten, daß sich die Energiestufenhypothese nicht als auf alle Fälle anwendbar erweist. Teilt man dagegen den Phasenraum des Rotators in genügend Zellen ein, so wird man hier zu der Folgerung geführt, daß nicht die Energie so quantisiert ist, sondern der Drehimpuls $J\omega$, der gleich $\frac{h^2}{8\pi^2 J} n^2$ sein muß,

wie wir hier ohne Beweis ansetzen. An Stelle von (108) tritt dann die Gleichung:

$$(109a) \quad J_{\Omega_0} = 2A \cdot v_n \cdot J = \frac{h^2}{8\pi^2} \cdot \quad (n = 0, 1, 2, \dots)$$

Im weiteren Verlaufe führt dieser Ansatz zu denselben Resultaten, wie der ursprüngliche Kernstellige Quantelungsansatz.

Es sind also jedenfalls nicht alle Rotationsgeschwindigkeiten zwischen 0 und ∞ möglich, sondern nur bestimmte diskrete Werte derselben. Das hat natürlich zur Folge, daß das Maxwell'sche Verteilungsgesetz für die Rotationsgeschwindigkeiten, das in den Gl. (102) bis (104) des vorhergehenden Kapitels ausgesprochen ist, im Strengsten nicht mehr gelten kann: die das Verteilungsgesetz darstellende „Kurve“ kann nur noch aus diskreten Punkten bestehen.

Wir wollen nun die Größe der Schwingungszahlen ν_n abschätzen. Aus (102) bzw. (104a) ergibt sich:

$$(104) \quad \nu_n = n \sqrt{\frac{h}{8\pi^2 I}}$$

und für die Klasse von Null verschiedene Schwingungszahl ν_1 folgt so:

$$(105) \quad \nu_1 = \sqrt{\frac{h}{8\pi^2 I}}.$$

Dies wollen wir — als den für die Rechnung ungenügenden Fall — der weiteren Betrachtung zugrunde legen.

Wir müssen nun die Größe des molekularen Trägheitsmoments I kennen. Nach einer Methode, die wir in der nächsten Nummer besprechen wollen, hat man für zweiatomige Gase für eine Rotation senkrecht zur



Fig. 58.

Verbindungslinie der beiden Atome (Fig. 58) für J , (denn wir hier den Index 1. beifügen wollen, um die Lage der Rotationsachse zu charakterisieren) etwa den Wert gefunden:

$$(106) \quad J_1 = 10^{-40} \text{ gr cm}^2.$$

Fast kleiner natürlich ist das Trägheitsmoment J_2 bei der Rotation um die Verbindungslinie der beiden Atome als Achse, und von derselben Größenordnung wie J_1 wird das Trägheitsmoment für ein einzelnes Atom sein, wie es für die einatomigen Gase in Betracht kommt. Einen Anhaltspunkt für die Größe von J_2 liefern nun die modernen Atommodelle, die

gleichfalls mit Hilfe der Quantentheorie gewonnen sind; wir können genauer darauf erst im Schlußsatze eingehen und begnügen uns hier mit einer (ganz rüben) Angabe der daraus folgenden Werte. Man kann etwa annehmen, daß J_1 rund 1000 bis 10000mal kleiner ist als J_2 . Also ist ein mittlerer Wert von J_1

$$(107) \quad J_1 = \frac{1}{2000} J_2 = 3 \cdot 10^{-48} \text{ gm}^2.$$

Dementsprechend ist auch die Schwingungszahl ν_1 gemäß (106) etwa 2000mal kleiner als ν_2 . Die Rotation um die Verbindungsachse kann sich also erst bei ganz außerordentlich hohen Temperaturen bemerklich machen, weil eben ν , wie die etwas weiter unten in (110) folgende Berechnung zeigt, enorm groß ist. Bei Raumtemperatur schreitet also der Freiheitsgrad aus, der der Rotation um die Verbindungsachse der beiden Atome entspricht, sowohl der experimentelle Befund aufklärt als. Von derselben Größenordnung ist die Rotationsgeschwindigkeit für alle drei Rotationsachsen bei einatomigen Gasen; hier fehlen also — in Übereinstimmung mit dem Experiment — bei normalen Temperaturen sämtliche rotatorische Freiheitsgrade.

Aus (106) gewinnt man mit den Zahlenwerten (106) und (107) folgende Werte:

$$(108) \quad \begin{cases} \nu_2 = 1,8 \cdot 10^{13} \text{ sec}^{-1}, \\ \nu_1 = 3 \cdot 10^9 \text{ sec}^{-1}. \end{cases}$$

Nach (31) ist der Durchmesser, der von den beiden Kernen des großen r trennt: $r_{\text{max}} = 8 \cdot 10^{-12} \text{ cm}$, also r_{max} rund zehnmal größer als das hier berechnete r_1 . Es ist also ganz klar, daß die beiden rotatorischen Freiheitsgrade, die der Rotation um eine zur Verbindungsachse der Atome senkrechte Achse entsprechen, jedenfalls bei normalen Temperaturen vorhanden sind, genau aus demselben Grunde, weshalb bei hohen Temperaturen bei normalen Temperaturen das Dulong-Petit'sche Gesetz gilt.

Es bräuhet ferner folgendes ein: Für sehr hohe Temperaturen muß es ersichtbar sein, daß auch diese beiden rotatorischen Freiheitsgrade verschwinden, wieder ganz genau so, wie bei festen Körpern die Atomvibration unter dem Dulong-Petit'schen Wert sinkt. Und zwar kann man quantitativ folgendes bemerken: Der Wasserstoff (H_2) besitzt im Vergleich zu den übrigen zweiatomigen Gasen offenbar das kleinste Trägheitsmoment J_2 , also das größte ν_1 . Es muß also bei Wasserstoff schon bei nicht allzu niedrigen, bequeme zugänglichen Temperaturen die Atomvibration C vom 5 mJ/gad allmählich auf 3 mJ/gad, dem Wert der einatomigen Gase, herabsinken.

Das ist der wichtige Schluß, den Nernst in der gesamten Arbeit zuerst gezogen und den dann Eucken vollkommen bestätigt gefunden hat: die Zahlen Euckens sind von uns bereits in Nr. 58 auf pag. 289 gebracht worden.

Dieses auf den ersten Blick höchst überraschende Ergebnis muß jeden davon überzeugen, daß in der Quantentheorie ein ganz fundamentaler Gesichtspunkt in die Physik eingeführt worden ist.

Die quantitative Darstellung der Eckschen Beobachtungen über die Abnahme der Rotationsmomente des Wasserstoffs hat allerdings noch mehr als die Jahrzehnte lang außerordentliche Schwierigkeiten gemacht, bis auch diese Frage ganz endlich mittels der modernen Quantenmechanik von Bornsen⁴⁾ gelöst worden ist. Nach dessen Untersuchungen besteht der gewöhnliche Wasserstoff bei Raumtemperatur aus einem Gemisch im Verhältnis 1:8 zweier verschiedener Modifikationen, die als „Para-“ und „Ortho-Wasserstoff“ bezeichnet werden. Der Verlust der Rotationsmomente des Wasserstoffs ist also durch die Überlagerung zweier verschiedener Kerne zu erklären. Tatsächlich ist es auch A. H. E. Allen⁵⁾ und Bornsen⁶⁾ und Hartree⁷⁾ gelungen, die Eckschen dieser zwei Modifikationen nach verschiedenen Methoden experimentell nachzuweisen, so daß uns hier von einem glänzenden Triumph nicht nur der modernen Quantentheorie, sondern auch der Experimentellkenntnis sprechen darf.

122. Die Größe der molekularen Trägheitsmomente.

In den vorigen Nummer haben wir gesehen, was über das Trägheitsmoment I von zweiatomigen Molekülen bekannt ist, die bei einer Rotation um eine der Verbindungslinie senkrechte Achse schwingen. Wir wollen hier wenigstens eine Methode anzuzeigen, die deren Bestimmung gestattet und die gleichzeitig eine starke Stütze der Auffassung der Quantentheorie ist.

Die inneren Schwingungen zweiatomiger Gase, die nicht chemische Elemente sind, z. B. von HF, HCl, HBr usw., sondern sich aus zwei nicht so sehr verbundenen Gründen optisch bemerkbar, indem die genannten Gase an den ihnen Schwingungszahlen entsprechenden Stellen des Spektrums Absorption (bzw. bei Erregung Emission) zeigen. Solche Stellen sind z. B. für die genannten Gase:

$$(100) \quad \left\{ \begin{array}{ll} \text{bei HF etwa bei der Wellenlänge} & 2,2 \cdot 10^{-4} \text{ cm,} \\ \text{bei HBr etwa bei der Wellenlänge} & 2,9 \cdot 10^{-4} \text{ cm,} \\ \text{bei HCl etwa bei der Wellenlänge} & \left\{ \begin{array}{l} 1,78 \cdot 10^{-4} \text{ cm,} \\ 1,48 \cdot 10^{-4} \text{ cm.} \end{array} \right. \end{array} \right.$$

Der Umstand, daß gleichzeitig die Moleküle rotieren, bedingt, worauf Sjögren⁸⁾ in einer wichtigen Arbeit zuerst aufmerksam gemacht hat,

⁴⁾ Bornsen, *Proceedings of the Royal Society* 124, pag. 405; 1928.

⁵⁾ A. E. Allen, *Naturwissenschaften* 17, pag. 163, 1929.

⁶⁾ Bornsen und Hartree, *Proc. Roy. Soc. Lond. A*, phys. Sciences, 124, pag. 123; *Nature* 124, pag. 123; weitere Mitteilungen von Ecken und Hartree in *Zeits. f. phys. Chem.*, Abt. B, 4, pag. 142 ff., 1929; dem auch ein Vergleichswert der Energie der verschiedenen Eigenzustände der beiden Wasserstoffmodifikationen von E. Senftleben (pag. 166).

⁷⁾ H. Eyring, *Naturwissenschaften*, pag. 93, 1923.

eine Besonderheit in der Struktur dieser Absorptionsbanden, die wir jetzt untersuchen wollen (Fig. 64).

In dieser Figur sei AA' ein zirkuläres Molekül, das in einem bestimmten Augenblicke mit der zur Beobachtungsrichtung senkrechten Ebene EE' den Winkel θ bildet, der, da das Molekül rotiert, zeitlich veränderlich ist. Sehen wir zunächst davon noch ab, und nehmen wir gleichzeitig den Winkel θ etwas gleich Null an, so läßt sich die innere Schwingung der beiden Atome gegeneinander darstellen durch die Gleichung:

$$(110) \quad R \cos 2\pi \nu_0 t,$$

wenn ν_0 die Schwingungszahl dieser „inneren“ Schwingung bedeutet. Die beobachtbare Intensität derselben ist natürlich eine Funktion

der Amplitude R , auf deren genaue Form es hier nicht ankommt. Hat der Winkel θ nunmehr eine von Null verschiedene Größe, so kommt für die Beobachtung nur die Komponente der Amplitude parallel zur Ebene EE' in Betracht, d. h. die Größe $R \cos \theta$. Daher ist die zur Beobachtung gelangende Komponente der Schwingung dargestellt durch:

$$R \cos \theta \cos 2\pi \nu_0 t.$$

Nun ist aber θ zeitlich veränderlich; wegen der gleichmäßigen Rotation ist also etwa:

$$(111) \quad \theta = \omega t = 2\pi \nu_1 t,$$

wenn ω die Winkelgeschwindigkeit der Rotation, ν_1 die Rotationsfrequenz in dem bisher benutzten Sinne ist. Die Kombination von (110) mit (111) ergibt:

$$(112) \quad R \cos 2\pi \nu_1 t \cos 2\pi \nu_0 t,$$

und dies ist der Schwingungszustand, wie er dem Beobachter erscheinen wird. Nach dem Additionstheorem der trigonometrischen Funktionen ist dies gleich:

$$(113) \quad \frac{R}{2} \cos 2\pi \nu_+ t + \frac{R}{2} \cos 2\pi \nu_- t,$$

Es treten also, wie Lord Rayleigh (bei anderer GröÙenheit) zuerst bemerkt hat, für den Beobachter infolge der Rotation zwei Schwingungen von den Schwingungszahlen

$$(114) \quad \begin{cases} \nu' = \nu_0 + \nu_1 \\ \nu'' = \nu_0 - \nu_1 \end{cases}$$

auf, die symmetrisch (in der Skala der Schwingungszahlen gemessen) zur ursprünglichen Schwingungszahl ν_0 liegen: der Beobachter sieht also zwei Spektrallinien statt einer in der Mitte derselben.



Fig. 64.

Bisher hatten wir nun stückweitigst angenommen, es sei nur eine Rotationsfrequenz $\frac{h\nu}{2\pi} = \epsilon$ vorhanden, was aber den Tatsachen natürlich nicht entspricht. Und zwar werden nach der klassischen, nicht quantenmechanischen Auffassung alle Winkelgeschwindigkeiten zwischen 0 und ∞ auftreten in bestimmter, durch das Maxwell'sche Verteilungsgesetz gegebener Verteilung. Nach der Quantenhypothese dagegen sind nur diskrete Werte der Rotationsfrequenzen vorhanden, nämlich gerade diejenigen, die wir in Gl. (114) berechnet haben.

Stellen wir uns jetzt einmal bei der alten Auffassung, daß alle Rotationsfrequenzen von 0 bis ∞ vorkämen. Dann ist der Effekt, da zu jeder möglichen Rotationsfrequenz eine (114) entsprechende Wirkung gilt, daß die ursprüngliche scharfe Spektrallinie von der Rotationsanzahl ν , nicht, wie wir bisher annahmen, in zwei scharfe Spektrallinien nach (114) auseinandergezogen wird, sondern in zwei breite Bänder, die symmetrisch zur Mittellinie ν , sind. Der gesamte Verlauf der Absorption in diesen Bändern wird natürlich durch das Maxwell'sche Verteilungsgesetz bestimmt. (Fig. 45.)

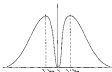


Fig. 45.

Die Maxima dieser Kurve müssen der Rotationsfrequenz entsprechen, die nach dem Maxwell'schen Gesetze in maximaler Zahl vorhanden ist. Diese können wir aber berechnen. Dabei ist zu berücksichtigen, daß das Problem hier zweidimensional ist, insofern nur Rotationen um zwei zueinander senkrechte Achsen in Frage kommen, die beide senkrecht zur Verbindungsgeraden der beiden Atome sind, ganz wie in der vorigen Nummer.

Nach Gl. (105) des vorherigen Kapitels auf pag. 221 ist die Wahrscheinlichkeit dafür, daß ein Molekül eine bestimmte Winkelgeschwindigkeitskomponente zwischen ω_z und $\omega_z + d\omega_z$ besitzt, gleich:

$$W(\omega_z) d\omega_z = \sqrt{\frac{2\pi}{\pi k T}} e^{-\frac{I \omega_z^2}{2 k T}} d\omega_z;$$

also die Wahrscheinlichkeit dafür, daß ein Molekül gleichzeitig Komponenten zwischen

$$\begin{aligned} \omega_1 \text{ und } \omega_1 + d\omega_1, \\ \omega_2 \text{ und } \omega_2 + d\omega_2 \end{aligned}$$

beträgt:

$$(115) \quad W(\omega_1, \omega_2) d\omega_1 d\omega_2 = \frac{J_+ J_-}{\pi^2 kT} e^{-\frac{J_+ \omega_1^2 + J_- \omega_2^2}{kT}} d\omega_1 d\omega_2.$$

Unter Einführung von Polarkoordinaten

$$\begin{aligned} \omega_1 &= \omega \cos \varphi, \\ \omega_2 &= \omega \sin \varphi, \\ \omega &= +\sqrt{\omega_1^2 + \omega_2^2} \end{aligned}$$

folgt daraus in bekannter Weise

$$(116) \quad W(\omega_1, \omega_2) \omega d\omega d\varphi = \frac{J_+ J_- \omega^2}{\pi^2 kT} e^{-\frac{J_+ \omega^2}{kT}} \omega d\omega d\varphi,$$

für dieselbe Wahrscheinlichkeit, und durch Integration nach φ zwischen 0 und 2π für die Wahrscheinlichkeit dafür, daß ein Molekül eine resultierende Rotationsgeschwindigkeit zwischen ω und $\omega + d\omega$ hat:

$$(117) \quad W(\omega) d\omega = \frac{J_+ J_-}{2\pi^2} e^{-\frac{J_+ \omega^2}{kT}} \omega d\omega,$$

oder auch, dem Begriffe der Wahrscheinlichkeit entsprechend, die Anzahl dN_ω dieser Moleküle, wenn N die Gesamtzahl ist:

$$(118) \quad dN_\omega = \frac{J_+ J_- N}{2\pi^2} e^{-\frac{J_+ \omega^2}{kT}} \omega d\omega.$$

Dieser Ausdruck ist die Intensität der Absorption proportional. Es ergibt sich daraus zunächst, daß Moleküle mit der Rotationsgeschwindigkeit $\omega = 0$ nicht vorhanden; daher tritt die unveränderte Frequenz ν , nicht mehr auf, in Übereinstimmung mit dem experimentellen Befunde. Dieser Befunde haben wir in der Darstellung der Fig. 88 bereits Beachtung geschenkt, indem die Ordinate an der Stelle der ursprünglichen Frequenz ν , den Wert Null hat. Es ist klar, daß die Maxima der Kurve in Fig. 88 für diejenige Rotationsfrequenz sich ergeben müssen, die nach (118) maximal vorhanden. Differentiation des Ausdrucks

$$\frac{J_+ J_- N}{2\pi^2} e^{-\frac{J_+ \omega^2}{kT}} \omega$$

nach ω und Nullsetzen des Differentialquotienten liefert das Ergebnis:

$$(119) \quad \omega_{\max} = \sqrt{\frac{kT}{J_+}}.$$

Da $\frac{2\pi}{\nu} = r$ ist, so folgt für die maximale Schwingungszahl der Rotation:

$$(122) \quad r_{\max} = \frac{1}{2\pi} \sqrt{\frac{EF}{J_{\perp}}}.$$

Für die Lage der beiden Maxima erhalten wir somit nach (114):

$$(123) \quad \begin{cases} r_{\max} = r_1 + r_{\max} = r_1 + \frac{1}{2\pi} \sqrt{\frac{EF}{J_{\perp}}}, \\ r_{\min} = r_1 - r_{\max} = r_1 - \frac{1}{2\pi} \sqrt{\frac{EF}{J_{\perp}}}. \end{cases}$$

Die Differenz $(r_1 - r_2)$ der Schwingungszahlen der Maxima liefert:

$$(124) \quad r_{\max} - r_{\min} = \frac{1}{\pi} \sqrt{\frac{EF}{J_{\perp}}}.$$

Berechnen wir in Wellenlängen λ um, so folgt für den Abstand der Maxima in der Wellenrichtung (ν ist die Lichtgeschwindigkeit):

$$(125) \quad \lambda' - \lambda = \frac{c\nu}{\pi} \sqrt{\frac{EF}{J_{\perp}}}.$$

In dieser Gleichung haben wir ein Mittel, um J_{\perp} zu bestimmen, und zwar ohne den Boden der klassischen Theorie verlassen zu haben.

Was ergibt nun die Beobachtung? Zunächst stimmt die Übereinstimmung mit der Theorie überein, da die gemessenen ultravioletten Absorptionsspektren (109) tatsächlich Doppelbanden sind, die symmetrisch zu ihrer Mitte verlaufen. Ferner haben sorgfältige Messungen von Paschen¹⁾ und K. v. Bakr²⁾ ergeben, daß auch die durch (125) verlangte Temperaturabhängigkeit der Differenz $(\lambda' - \lambda)$ tatsächlich besteht. Man kann also diese Gleichung mit Vertrauen benutzen, um J_{\perp} zu berechnen. Es ergab sich so — die erste genaue Bestimmung hat Ejerrum angegeben — die folgende Tabelle für J_{\perp} :

Gas	Maxima der Doppelbande in 10^{14} cm	J_{\perp} in 10^{17} g cm ²
HCl	3,61; 3,68	2,0
HBr	3,84; 4,01	3,6
CO	4,62; 4,74	14,7

Man kann nun aber, wenn man die Quantentheorie beibringt, noch weiter gehen und noch sicherere Resultate erhalten.

Nach der Quantentheorie dürfen wir natürlich nicht mehr annehmen, daß alle Rotationsfrequenzen gemäß dem Maxwell'schen Verteilungs-

¹⁾ F. Paschen, *Wied. Ann.* 39, pag. 894, 1904.

²⁾ K. v. Bakr, *Vorläufe d. d. phys. Ges.* 26, pag. 790, 1915.

gewisse vorhanden sind, sondern nur die durch Gl. (104) bestimmten ausgerechneten Werte:

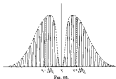
$$(104) \quad \nu_n = n \cdot \frac{h}{4\pi^2 I_L}.$$

Jede dieser Rotationsfrequenzen kombiniert sich nach (114) mit der inneren Schwingung ν_i zu einem Dublett, den sog. „Rotations-schwingungsfrequenzen“:

$$\nu_+^* = \nu_i + \nu_n = \nu_i + n \cdot \frac{h}{4\pi^2 I_L},$$

$$\nu_-^* = \nu_i - \nu_n = \nu_i - n \cdot \frac{h}{4\pi^2 I_L} \quad (n^2).$$

Wir erhalten also bei genauerer Untersuchung nicht das Bildschema der Fig. 85, sondern das der Fig. 86. D. h., die in Fig. 85 gezeichneten



Absorptionsbanden bestehen aus einer großen Anzahl feiner Linien, also symmetrisch zur Mitte in Fig. 86 ist auf beiden Seiten die 1te Linie hervorgehoben.

Teilweise wird diese Zerlegung der Absorptionsbanden in feine Linien beobachtet. Zuerst hat dies auf etwas indirektem Wege — lange vor der Quantentheorie der Absorptionsspektren — Schuster⁵⁾ im Jahre 1908 festgestellt. Dann haben in den letzten 10 Jahren amerikanische Forscher, vor allem E. J. Ives⁶⁾, Colby, Meyer und Brock⁷⁾ mit stark aufwendigen Apparaten den direkten Nachweis dieser Feinstruktur erbringen können. Von den Ergebnissen von Ives sei hier dasjenige an der Hand bei $1,76 \cdot 10^{-4}$ cm von HCl wiedergegeben.

⁵⁾ Auch hier hält, wie vorher, die unverschiebte Linie ν_i .

⁶⁾ Gl. Schuster, *Zeitschrift für Naturforschung* 1908, Abt. 4, Phys. 34, pag. 55, 1908.

⁷⁾ E. J. Ives, *Astrophysical Journal* 86, pag. 332, 1935.

⁸⁾ Colby, Meyer und Brock, *ibid.* 91, pag. 7, 1935.

n	$\frac{\nu_n}{\nu_{100}}$	$\frac{\nu_n}{\nu_{100}}$	$\nu_n = \frac{\nu_n + \nu_n'}{2}$	$10^3 \cdot f_n = \frac{2\pi \nu_n}{c} \cdot 10^3$
8	5756-08	5859-85	5807-95	2,73
7	5776-15	5879-32	5827-74	2,73
6	5796-27	5898-88	5847-57	2,73
5	5817-28	5919-34	5868-31	2,74
4	5838-13	5939-34	5879-23	2,73
3	5859-36	5959-84	5889-59	2,71
2	5880-38	5979-50	5894-59	2,69
1	5900-40	5999-27	5927-38	2,68

(MikA⁷): 5859,85; 5879,32; 5898,88; 5919,34; 5939,34; 5959,84; 5979,50; 5999,27; $10^3 \cdot \nu_{100} = 2,73$

Als Gesamtserienformel seiner Messungen gibt Lenz folgende Zahlen an:

Gas	$\lambda \cdot 10^3 \text{ in } \mu$
H ₂	1,31
HCl	2,64
HBr	3,25

womit unsere Zahlen in der vorigen Spalte befreit sind. Darüber hinaus sieht man, wie sich der Ansatz (134) der Quantentheorie auch hier bewährt hat.

In der folgenden Fig. 94a geben wir — zum Vergleich mit dem schematischen Bild 88 — eine der Originalkurven von Lenz wieder, die sich auf die Absorptionsspektren bei $2,4 \cdot 10^{-3}$ cm von H₂ bezieht.⁷⁾

Die Bestimmung der Drehmomenten und die geschätzte Größe mit Hilfe des sogenannten „Rotationschwingungsspektrums“ ist fasters indirekt, als die Rotationsfrequenzen (135) nicht selbst benutzt werden, sondern in Kombination mit der inneren Schwingung ν_1 . Das hat den Vorteil, daß die Linien des Rotationschwingungsspektrums in ein exponentiell begrenztes ungestörtes ultraviolettes Spektralgebiet hineinfallen. An sich können die molekularen Drehmomenten natürlich

⁷⁾ In den Tabellen für ν_1 und f_n zeigt sich ein deutlicher Gang, der außerhalb der Messgenauigkeit liegt. Auf diese kleine Regelmäßigkeit der Lenzschen Messungen gehen wir hier nicht ein, sondern führen einfach das Mittel, da wir auf eine Bewertung der Größe dieses Ganges hier nicht eingehen können.

Überhaupt sei zu dem beiden letzten Nummern folgendes bemerkt: Die hier gemessenen Quantenzahlen entsprechen nicht mehr den heutigen Hauptquantenzahlen. Wir haben sie dennoch beibehalten, weil sie das Wesentliche erklären. Das kommt zu Vor 14 nicht auf eine systematische Darstellung der Quantenzahlen an, — dies muß dem Schlußkapitel vorbehalten bleiben — sondern nur darauf, zu zeigen, wie der Grundgedanke der Quantentheorie bereits in Schwingigkeiten zu liegen und neue Ergebnisse zu liefern.

⁸⁾ Diese Kurve erscheint gegenüber unserer schematischen Darstellung Fig. 88 unsymmetrisch verzerrt; es ist aber zu beachten, daß bei uns die Abtasten die Schwingungszahlen ν_1 bei Lenz dagegen Wellenlängen λ aufgetragen sind.

auch direkt aus den Rotationsfrequenzen ν_n gemäß (134) bestimmbar sein; jeder Rotationsfrequenz ν_n entspricht eine Rotationswelle λ_n :

$$(134a) \quad \lambda_n = \frac{c}{\nu_n} = \frac{2\pi^2 I_A \epsilon}{n h}.$$

Man kann nach dieser Formel leicht ablesen, daß die ultravioletten Rotationswellenlängen in molekularen Spektralgebieten (jenseits 20μ) liegen, die nicht so gut zugänglich sind, wie das Spektralgebiet unterhalb 20μ .

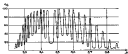


Fig. 10a.

den die Schwingungsfrequenzen (und folglich das Rotationschwingungssystemen) angehören. Nur für kleine Drehmomenten I_A und für nicht zu kleine Quantenzahlen n konnte man hoffen, dies direkt nachzuweisen. Dies ist in der Tat M. Gersony⁴⁾ in verteilten Arbeiten gelungen bei den Halogenwasserstoffen; er beobachtete Absorptionsbanden, die bei HCl den den Werten $n = 4$ bis $n = 11$, bei HBr den Werten $n = 2$ bis $n = 14$, bei HI den Werten $n = 6$ bis $n = 9$, bei HF den Werten $n = 2$ bis $n = 8$ entsprechen. Seine Ergebnisse für die Drehmomenten der genannten Stoffe sind in der folgenden Tabelle wiedergegeben.

Stoff	I_A
HF	$1,360 \cdot 10^{-40}$
HCl	$2,604 \cdot 10^{-40}$
HBr	$3,614 \cdot 10^{-40}$
HI	$4,386 \cdot 10^{-40}$

Man erkennt, daß seine Zahlen mit denen von Innes gut zusammen stimmen.

Nach noch anderen Methoden⁵⁾, deren Herleitung uns hier zu weit führen würde, hat man molekulare Drehmomente bestimmt, die sämtlich in die Größenordnung fallen, die wir hier angegeben haben. Diese,

⁴⁾ M. Gersony, *Zeits. f. Phys.* 34, pag. 125, 1933; ebenda 44, pag. 335, 1937.

⁵⁾ Für die Methoden vergleiche man z. B. eine zusammenfassende Darstellung von A. Ruckens: Bericht über die Anwendung der Quantentheorie auf die Rotationsbewegung der Gasmoleküle, *Jahrbuch der Radioaktivität und Elektronik* 10, pag. 381, 1911. Die dort angegebenen numerischen Werte sind u. U. unrichtig überliefert.

auf die es nur hier allein ankommen kann, teilweise als völlig richtiggestellt betrachtet werden.

109. Die chemische Konstante und die Entropiekonstante.

Wir wollen schließlich die Quantentheorie auf zwei früher ungelöst gebliebene Fragen anwenden, zu deren Lösung der thermodynamische Methode nicht ausreicht, und zwar auf die Bestimmung der „chemischen Konstante“ und auf die sogenannte „Entartung“ der absoluten Null.

Die chemische Konstante i hatten wir in Gl. (96) des VII. Kapitels auf pag. 544 definiert durch die Gleichung:

$$(112) \quad \ln p = \frac{L_v}{RT} - \frac{1}{R} \int \frac{C_{\text{gas}} dT}{T^2} + \frac{1}{R} \int \frac{C_p dT}{T^2} - AT + i.$$

p ist dabei der Dampf- bzw. Sättigungsdruck, L_v die Wärmewirkung pro Mol (gleich der negativen Verdampfung- bzw. Sättigungswärme), die am absoluten Nullpunkte bei der Verdampfung von 1 Mol Substanz auftritt; C_p und C_{gas} sind bzw. die Molwärmen des Dampfes bei konstantem Druck und des Kondensats (flüssig oder fest). Die Gl. (112) ist einfach entstanden durch Integration der Clausius-Clapeyronschen Gleichung; diese ist eine Differentialgleichung für den Dampfdruck p , und es bleibt also eine Integrationskonstante i , eben die chemische Konstante, unbekannt. Das liegt im Wesen der thermodynamischen Methode, weshalb man noch ganz allgemein i die „thermodynamisch unbestimmte“ Konstante genannt hat. Die molekular-kinetische Methode dagegen kann die Dampfdruckformel selbst liefern, nicht nur eine Differentialgleichung, und es ist daher möglich, die chemische Konstante auf kinetischem Wege zu bestimmen.

Da die kinetisch gewonnene Dampfdruckformel mit der thermodynamischen zu vergleichen, muß man die Ausdrücke

$$\int_0^T C_p dT \quad \text{und} \quad \int_0^T C_{\text{gas}} dT$$

bzw. die Ausdrücke

$$\int \frac{C_p dT}{T^2} \quad \text{und} \quad \int \frac{C_{\text{gas}} dT}{T^2}$$

für alle Temperaturen kennen, d. h. man muß C_p und C_{gas} für alle Temperaturen kennen. C_p ist für einatomige Gase, soweit wir wissen, in dem ganzen bekannten Temperaturgebiet konstant = $\frac{5}{2} R = 1 \frac{30}{2} \frac{\text{cal}}{\text{grad}}$; für zweiatomige Gase ist C_p nur für H_2 als bekannt anzunehmen, da ja für H_2 nach

¹⁾ Wenn natürlich von Gasentartung abgesehen wird.

Nr. 123 der Abfall der spezifischen Wärme nach den Boltzmannschen Messungen bekannt ist. Der Einfachheit halber beschränken wir uns daher auf den einfachsten Fall, nämlich auf einatomige Gase. Insofern wir andererseits annehmen dürfen, daß alle Gase sich bei hinreichend tiefen Temperaturen hinsichtlich der spezifischen Wärme wie die einatomigen verhalten, gelten daher die zu entwickelnden Gleichungen für alle Gase bei hinreichend tiefen Temperaturen. Nehmen wir ferner das Kondensat als fest an, d. h. betrachten wir den Vorgang der Sublimation, so kann man für C_{gas} die in den Knn. 114 und 115 gewonnenen Formeln von Einstein bzw. Debye anwenden. An dieser Stelle — und zwar nur an dieser Stelle — greift somit die Quantentheorie in die Berechnung der elementaren Konstanten ein. Diese Theorie wird daher hier nur auf das feste Körper angewendet, nicht auf das Gas selbst, was früher meistens ein erheblicher Vorteil war, als die Anwendung der Quantentheorie auf feste Körper seiner Zeit weit besser begründet werden konnte, als die auf Gase. Die im folgenden geschilderte Methode lehrt von O. Stern¹⁾ her; aus den selben dargelegten Gründen war es seiner Zeit von großer Bedeutung.

Wir wollen uns also zunächst auf kinetischem Wege eine Dampfdruckformel verschaffen, und zwar wollen wir uns, wegen der oben auseinandergesetzten Gründe, auf einatomige Stoffe beschränken. Es wird uns genügen, die Form der Dampfdruckgleichung nur für hohe Temperaturen zu kennen. Dies bietet nämlich den Vorteil, daß dort, wie wir schon wissen, die Folgen des Äquipartitionstheorems mit der Erhöhung des Hüllings stetig, so daß wir die Quantentheorie zur Ableitung der kinetischen Modelle der Dampfdruckformel gar nicht brauchen. Dies wird sich im folgenden darin äußern, daß wir eine kanonische Gesamtheit (statt einer quantenstatistisch veranlagerten Gesamtheit gemäß Gl. (18)) benutzen.

Zur Ableitung der Dampfdruckgleichung betrachten wir ein Mol eines einatomigen Stoffes, d. h. von N Molekülen. Die Bedingungen seien so gestellt, daß ein Teil (N_1) im festen, ein Teil (N_2) im dampfförmigen Zustande sich befindet; letzteren betrachten wir als ideal. Das ganze System besitzt das Volumen V , von dem auf den dampfförmigen Teil das Volumen V_2 , auf den festen dagegen V_1 entfällt. (Fig. 87.)

In dem festen Zustande seien die Moleküle (unabhängig voneinander) an feste Bahnlagen gebunden. Wir legen also hier der Einfachheit halber das stark vereinfachte Modell des Festkörpers zugrunde, das wir schon in den Nummern 90 und 116 benutzt haben. Dieses Modell führt auf die Einsteinische Formel für die spezifische Wärme. Es ist allerdings richtig, daß dieses Modell in diesem ist, wie wir mehrfach gesehen haben; doch läßt sich die folgende Rechnung mit demselben Ergebnis auch auf Grund der Annahmen durchführen, die der Debye'schen Theorie zugrunde liegen.

¹⁾ O. Stern, *Zetschr. f. Elektrochemie*, pag. 89, 1913. Dort auch frühere Literatur.

Der Einfachheit halber verstehen wir hier darunter, diese komplizierte Theorie auseinanderzusetzen. Das geschlossene, im thermodynamischen Gleichgewichte befindliche System von N Molekülen betrachten wir als eine kanonische Gesamtheit seiner Moleküle und wollen die mathematische Wahrscheinlichkeit dafür bestimmen, daß ein Molekül, d. h. ein System der GröÙenart, sich entweder im Dampfvolumen V_1 , oder im Volumen V_2 des festen Teiles befindet.

Zu diesem Zwecke benutzen wir das Maxwell-Boltzmannsche Verteilungsgesetz in der Einteilchenform, die wir in III. (188) des letzten Kapitels formuliert haben.

Denken wir uns zunächst einen Normalzustand, in dem die Moleküle alle kraftfrei sind, so ist offenbar jedes Volumenelement des Gasraumes V gleichberechtigt mit jedem anderen; also ist die mathematische Apriori-Wahrscheinlichkeit ΔW_0 , daß ein bestimmtes Molekül in dem Volumenelement Δv liegt, gleich:

$$\Delta W_0 = \text{Const. } \Delta v.$$

Haben die Moleküle nun in Wirklichkeit infolge wirklicher Kräfte die potentielle Energie φ , so ist nach dem Maxwell-Boltzmannschen Satze jetzt die Wahrscheinlichkeit ΔW dafür, daß ein Molekül in Δv liegt, gegeben durch:

$$(186) \quad \Delta W = \text{Const. } e^{-\frac{\varphi}{RT}} \Delta v,$$

wobei die Konstante auf die übliche Weise zu bestimmen ist.

Nehmen wir also an, daß man ein beliebiges Molekül aus seiner Gleichgewichtslage im festen Zustande in den dampfförmigen zu bringen, die konstante molare Arbeit φ_0 verrichten sei, d. h. daß jedes Molekül im Dampfzustande die potentielle Energie φ_0 besitzt, so ist die Wahrscheinlichkeit ΔW_1 dafür, daß ein bestimmtes Molekül sich in dem Volumenelement Δv_1 des Gasvolumens V_1 befindet, nach (186) gleich:

$$(187) \quad \Delta W_1 = C_1 e^{-\frac{\varphi_0}{RT}} \cdot \Delta v_1,$$

und durch Integrieren über Δv_1 , d. h. über das ganze Volumen V_1 folgt daraus die Wahrscheinlichkeit W_1 dafür, daß ein bestimmtes Molekül sich irgendwo im Dampfraum V_1 befindet:

$$(188) \quad W_1 = C_1 e^{-\frac{\varphi_0}{RT}} \int \Delta v_1 = C_1 V_1 e^{-\frac{\varphi_0}{RT}} = C_1 V_1 e^{-\frac{\varphi_0}{RT}}.$$

Jetzt wollen wir ebenso die Wahrscheinlichkeit W_2 dafür bestimmen, daß ein bestimmtes Molekül sich im festen Zustande, d. h. irgendwo im Volumen V_2 befindet. Zu diesem Zwecke denken wir uns V_2 in Zellen zerlegt, daß in jeder Zelle ein Molekül liegt (Fig. 87). Es handelt sich nun zunächst darum, die potentielle Energie φ eines Moleküls für jeden Punkt in einer Zelle festzustellen, damit wir die Wahrscheinlichkeit $W(\xi)$ dafür bilden können, daß das Molekül innerhalb einer Zelle sich

befindet. Jedes Molekül ist an eine feste Bahnlage gebunden; wird es aus demselben durch eine äußere Kraft um das Stück r entfernt, so wirkt eine zurücktreibende Kraft auf dasselbe ein, die in erster Näherung proportional r ist und unter dessen Einfluß das Molekül Schwingungen um der Schwingungszahl ν gem. Einheits um die Bahnlage ausführt kann. Die potentielle Energie hat daher im Abstände r von der Bahnlage den Betrag, wenn μ die Masse des Moleküls ist, den Betrag:

$$(115) \quad \chi = \frac{\mu}{2} (2\pi \nu)^2 r^2.$$

Damit wird die Wahrscheinlichkeit dW_r , daß ein bestimmtes Molekül im Innern der Zelle im Volumenelement dr , liegt, gleich:

$$dW_r = C_1 e^{-\frac{\mu(2\pi\nu)^2 r^2}{2kT}} dr,$$

oder, wenn wir Polarkoordinaten (r, θ, φ) um die Bahnlage als Zentrum einführen:

$$(116) \quad dW_r = C_1 e^{-\frac{\mu(2\pi\nu)^2 r^2}{2kT}} r^2 dr \sin \theta d\theta d\varphi.$$

Würden wir die Werte der Konstanten C_1 und C_2 in den Gleichungen (117) und (118) identisch nehmen, so würde dies besagen, daß die Approximativwahrscheinlichkeiten für den Aufenthalt eines Moleküls im Gasraum und im Festraum identisch waren. Da man dies nicht mit Sicherheit voraussetzen darf, so wollen wir unter Beachtung unserer Gewichtszahlen g_1 und g_2 setzen:

$$(117) \quad C_1 = \text{Const. } g_1, \quad C_2 = \text{Const. } g_2,$$

weil jetzt Const. in beiden Fällen identisch ist. Diese Erweiterung hat zuerst W. Schottky¹⁾ an der Sternchen Darstellung gemacht; wir werden später sehen, von welchen Gründen.

Durch Integration der Gl. (116) über θ von 0 bis π , über φ von 0 bis 2π gewinnt man dann die Wahrscheinlichkeit dW_r dafür, daß ein bestimmtes Molekül innerhalb der Kugelschale mit dem Radius r bzw. $r + dr$ um die Bahnlage sich befindet. (Vgl. Fig. 87, wo in einer Zelle die beiden Kugelflächen angedeutet sind.) Also:

$$dW_r = \text{Const. } g_1 4\pi r^2 e^{-\frac{\mu(2\pi\nu)^2 r^2}{2kT}} r dr.$$



¹⁾ W. Schottky, Phys. Ztsch. 11, pag. 111, 1911; wir werden später (S. 128) sehen, daß das Sternchen-Schematema in der Planckschen Formung $g_1 = 1$ besteht.

Durch Integration über r von 0 bis zu einem beliebigen Werte r_0 ergibt sich die Wahrscheinlichkeit $W(r_0)$ dafür, daß ein Molekül innerhalb der um die Fuchslage mit dem Radius r_0 beschriebenen Kugel liegt:

$$(112) \quad W(r_0) = 4\pi \text{ Const. } g_1 \int_0^{r_0} r^{-\frac{3}{2}} e^{-\frac{4\pi g_2 r^2}{3V}} r^2 dr.$$

Nun wollen wir aber nicht $W(r_0)$ sondern $W(Z)$ kennen lernen, d. h. die Wahrscheinlichkeit dafür, daß das Molekül sich irgendwo in der eine Fuchslage umgebenen Zelle Z befindet. Da nun der Quotient $\frac{4\pi g_2 r^2}{3V}$ selbst für sehr kleine Werte von r sehr groß ist, so ist der Wert der Exponentialfunktion für alle eingezeichneten erheblichen Werte von r außerordentlich klein, so daß die obere Integrationsgrenze unbedenklich bis ins unendliche werden kann. So erhalten wir für $W(Z)$ den Wert:

$$(113) \quad W(Z) = 4\pi \text{ Const. } g_1 \int_0^\infty r^{-\frac{3}{2}} e^{-\frac{4\pi g_2 r^2}{3V}} r^2 dr,$$

und, wenn im ganzen \mathcal{R}_1 Moleküle im festen Zustand sich befinden, d. h. wenn \mathcal{R}_1 Zellen vorhanden sind, so ist die Wahrscheinlichkeit, daß ein Molekül sich im Volumen V_1 des festen Zustandsgebietes befindet, gleich:

$$(114) \quad W_1 = \mathcal{R}_1 W(Z) = 4\pi \mathcal{R}_1 \text{ Const. } g_1 \int_0^\infty r^{-\frac{3}{2}} e^{-\frac{4\pi g_2 r^2}{3V}} r^2 dr.$$

Die Ausführung der Integration bietet keine Schwierigkeiten. Durch partielle Integration nach dem Muster der schon oft vorgenommenen findet man leicht:

$$(115) \quad W_1 = \text{Const. } g_1 \mathcal{R}_1 \left\{ \frac{4\pi}{3\pi g_2} \right\}^{\frac{3}{2}} \frac{1}{V}.$$

Erweitern wir nun die Gleichungen (112) und (113) mit N , der Gesamtzahl der Moleküle im Mol, so erhalten wir unter Rücksicht auf (101) die Annahmen \mathcal{R}_1 und \mathcal{R}_2 der Moleküle im gasförmigen und festen Zustande:

$$(116) \quad \mathcal{R}_1 = \text{Const. } g_1 N V g_2 e^{-\frac{4\pi g_2}{3V}},$$

$$(117) \quad \mathcal{R}_2 = \text{Const. } g_2 N \mathcal{R}_1 \left\{ \frac{4\pi}{3\pi g_2} \right\}^{\frac{3}{2}} \frac{1}{V}.$$

Division beider Gleichungen liefert:

$$\frac{\mathcal{R}_1}{\mathcal{R}_2} = \frac{V g_1}{V g_2} e^{\frac{4\pi g_2}{3V}} \left\{ \frac{3\pi g_2}{4\pi} \right\}^{\frac{3}{2}} e^{-\frac{4\pi g_2}{3V}},$$

oder auch:

$$(118) \quad \frac{\mathcal{R}_1}{N V g_1} = \frac{1}{V} \frac{g_1}{g_2} \left\{ \frac{3\pi g_2}{4\pi} \right\}^{\frac{3}{2}} e^{-\frac{4\pi g_2}{3V}}.$$

Nun aber ist der Quotient:

$$(138) \quad \frac{n_2}{N} = n_2$$

gleich der Anzahl Mole im gasförmigen Zustande; also ist nach der Zustandsgleichung idealer Gase der Druck p zu berechnen nach der Gleichung

$$(139) \quad p = \frac{RT}{V_2} n_2.$$

Nach (135) und (139) erhalten wir also für den Sublimationsdruck p :

$$p = kT \frac{dn}{dr} \left(\frac{e^{\frac{1}{2} \pi n_2 r^2}}{V_2} \right)^{\frac{1}{2}} e^{-\frac{1}{2} \frac{U_2}{kT}},$$

oder:

$$(141) \quad p = \frac{dn}{dr} \frac{\beta \pi n_2^{\frac{1}{2}} r^{\frac{3}{2}}}{(\pi r^2)^{\frac{1}{2}}} e^{-\frac{1}{2} \frac{U_2}{kT}}.$$

Führen wir statt der Molekulenmasse μ das sogenannte chemische Molekulargewicht $m = N \mu$ ein, so folgt weiter:

$$p = \frac{dn}{dr} \frac{\beta \pi m^{\frac{1}{2}} r^{\frac{3}{2}}}{N \sqrt{2\pi}} e^{-\frac{1}{2} \frac{U_2}{kT}},$$

oder, wenn wir jetzt zu den Logarithmen übergehen:

$$(142) \quad \ln p = -\frac{E_2}{kT} - \frac{1}{2} \ln T + \ln \left[\frac{\beta \pi m^{\frac{1}{2}} r^{\frac{3}{2}}}{N \sqrt{2\pi}} \right] + \ln \left(\frac{dn}{dr} \right).$$

Dies ist nun (bis auf das Glied $\ln \left(\frac{dn}{dr} \right)$) eine völlig bekannte Zustandsgleichung elastischer Stoffe, die für hohe Temperaturen gilt und die mit (136) übereinstimmen muß, wenn letztere für hohe T spezialisiert wird. Der Vergleich beider muß dann eintreten.

Rechnen wir nun die einzelnen Glieder von (142) aus. Für einatomige Gase ist $C_v = \frac{1}{2} R$; also wird das zweite Integral auf der rechten Seite von (135):

$$(143) \quad \frac{1}{R} \int_0^T \frac{\int_0^T C_v dT}{2 - T} dT = \frac{C_v}{R} \ln T = \frac{1}{2} \ln T.$$

Ferner haben wir, da wir das einfache Modell des Festkörpers zugrunde gelegt haben, für das Integral

$$\int_0^T C_{\text{kin}} dT$$

den diesem Modell entsprechenden Einteilchen Ausdruck (41) zu verwenden:

$$\int_0^T C_{\text{kin}} dT = \frac{3Rk\pi}{kT - 1}.$$

näherhin wird das erste Integral in (138):

$$\frac{1}{N} \int_0^T \int_0^T \frac{C_{\text{kin}} dT'}{T^2} dT = \frac{1}{N} \int_0^T \frac{\frac{h\nu}{T^2} dT}{\frac{h\nu}{T^2} - 1},$$

oder, wenn man $\frac{h\nu}{T^2} = \beta$ als neue Variable einführt:

$$(144) \quad \frac{1}{N} \int_0^T \int_0^T \frac{C_{\text{kin}} dT'}{T^2} dT = -8 \int_0^{\beta} \frac{d\beta}{\beta^2 - 1} = -8 \ln(1 - e^{-\beta}).$$

Nun brauchen wir (144) aber nur für hohe Temperaturen, d. h. für kleine Werte von β zu berechnen. Für diese ist $(1 - e^{-\beta})$ einfach gleich β , und (144) geht über in:

$$(144a) \quad \frac{1}{N} \int_0^T \int_0^T \frac{C_{\text{kin}} dT'}{T^2} dT = -8 \ln \beta = -8 \ln \left(\frac{h\nu}{T^2} \right). \quad (\text{für große } T)$$

Dementsprechend wird die Dampfformel (138) für hohe Temperaturen gemäß (144) und (144a):

$$\ln p = \frac{E}{RT} + 8 \ln \left(\frac{h\nu}{T^2} \right) + \frac{3}{2} \ln T + c,$$

oder:

$$(145) \quad \ln p = \frac{E}{RT} + 8 \ln \left(\frac{h^2 \nu^2}{T^2} \right) - \frac{3}{2} \ln T + c.$$

Diese Gleichung muß mit der gleichfalls nur für hohe Temperaturen geltenden (145) identisch sein; die Vergleichung liefert die beiden Beziehungen:

$$(146) \quad \begin{cases} E_0 = -N \mu_0, \\ 1 + 8 \ln \left(\frac{h^2 \nu^2}{T^2} \right) = \ln \left[\frac{1}{N} \left(\frac{m}{V} \right) \frac{1}{R} \right] + \ln \left[\frac{R}{h\nu} \right]. \end{cases}$$

¹⁾ Eventuell man β^2 bis zu dem quadratischen Gliede entwickeln, so erhält man statt (144a) genau:

$$(144b) \quad \frac{1}{N} \int_0^T \int_0^T \frac{C_{\text{kin}} dT'}{T^2} dT = -8 \ln \beta + \frac{3}{8} \beta = -8 \ln \left(\frac{h\nu}{T^2} \right) + \frac{3}{8} \left(\frac{h\nu}{T^2} \right).$$

In der Dampfformel (145) stellt dann statt E_0 die Differenz $(E_0' - \frac{1}{2} N h \nu)$ eine Addition der Nullte ($-\frac{1}{2} N h \nu$) hat denselben Ursache wie die Addition von $(-\frac{1}{2} h \nu)$ in Gl. (134a) auf pag. 506; man vergleiche auch die dortige Anmerkung 1) bezüglich der Bezeichnung dieses „Schwefelschwefel“ in der neuen Quantenmechanik.

Die erste spricht aus, daß die Größe N_{20} , das ist also nach Definition von p_0 die Arbeit, die zur Verdampfung eines Mols des Substanz notwendig ist, gleich der negativen gesättigten Sättigungsdampfdruck ist, die dabei auftritt, — ein im Grunde fast selbstverständliches Ergebnis. Die zweite Gleichung (146) liefert eine Formel für die chemische Konstante:

$$(147) \quad i = \ln \left[\frac{p_0 a_0^3 k^3}{p^3} \right] + \frac{3}{2} \ln m + \ln \left[\frac{R_0}{R} \right] = \ln \left[\frac{p_0 a_0^3 k^3}{p^3} \right] + \ln \left[\frac{R_0}{R} \right].$$

Setzt man die Werte für k , a_0 und N ein, die wir angegeben haben, so erhält man, wenn alle Größen im absoluten Maßsystem gemessen werden:

$$(148) \quad i = 10.17 + 1.5 \ln m + \ln \left[\frac{R_0}{R} \right]$$

Führt man statt der natürlichen Logarithmen die Briggschen ein und rechnet man den Druck in Atmosphären, so erhält man statt dessen den Normalen Wert i' der chemischen Konstante:

$$(149) \quad \begin{cases} i' = -1.687 + 1.5 \log \text{ulg. } m + \log \text{ulg. } \left[\frac{R_0}{R} \right] \\ \quad = i_0' + 1.5 \log \text{ulg. } m + \log \text{ulg. } \left[\frac{R_0}{R} \right], \end{cases}$$

wo i_0' eine universelle Größe ist.

In analoger Weise hat Stern⁷⁾ auch die chemische Konstante von zweiatomigen Gasen berechnet; für mehratomige Gase haben Ehrenfest und Teller⁸⁾ die chemische Konstante angegeben; wir geben hier nur ihre Resultate an. Für zweiatomige Gase ergibt sich:

$$(150) \quad i = \ln \left\{ \frac{p_0 a_0^3 k^3}{p^3} \right\} + \ln \left\{ \frac{8 \pi^2 h}{p^2} J_1 \right\} + \ln \left[\frac{R_0}{R} \right] + \ln \left(\frac{1}{\sigma} \right),$$

wobei J_1 das in den vorigen Nummern besprochene Trägheitsmoment eines zweiatomigen Gases um eine Achse senkrecht zur Moleküalachse bedeutet; auf den Sinn des Gliedes $\ln \left(\frac{1}{\sigma} \right)$ bzw. der Größe σ selber gehen wir weiter unten ein.

Für mehratomige Körper gilt eine ähnliche Formel mit etwas andern Zahlenkoeffizienten und einem mittleren Trägheitsmoment $J = \frac{1}{3}(J_1 + J_2 + J_3)$, wo die J_1, J_2, J_3 die Hauptträgheitsmomente um den Schwerpunkt sind; die Formel für die chemische Konstante lautet hier:

$$(151) \quad i = \ln \left\{ \frac{p_0 a_0^3 k^3}{p^3} \right\} + 1.5 \ln \left\{ \frac{8 \pi^2 h J}{p^2} \right\} + \ln \left[\frac{R_0}{R} \right] + \ln \left(\frac{1}{\sigma} \right).$$

Das Auftreten des Gliedes $\ln \left\{ \frac{8 \pi^2 h J}{p^2} \right\}$ in (151) bzw. $1.5 \ln \left\{ \frac{8 \pi^2 h J}{p^2} \right\}$ in (152) entspricht der Tatsache, daß bei zwei- und mehratomigen Gasen

⁷⁾ O. Stern, Ann. d. Phys. 46, pag. 683, 1914.

⁸⁾ P. Ehrenfest und Y. Teller, Ann. d. Phys. 46, pag. 608, 1915.

auch eine Rotationsenergie zur Translationsenergie beiträgt. Über letzteren Bemerkung bedarf aber noch das Urteil in $\left(\frac{1}{2}\right)$, dessen Moleculargkeit von Ehrenfest und Trkal¹⁾ erkannt wurde. Bei zweiatomigen Gasen mit gleichen Atomen (H_2 , O_2 , N_2) gibt es offenbar noch um 180° verschiedene räumliche Lagen des Moleküls, die nicht verschwinden unterwinkeln werden können; das gleiche gilt von den dreiatomigen Molekülen, die zwei gleiche Atome enthalten (H_2O , CO_2 usw.). Für diese hat man u. die sogenannte „Symmetriezahl“, gleich 2 zu setzen; die genauere Erklärung durch Ehrenfest und Trkal sagt, daß in der absoluten Konstanz die Symmetrie solcher Moleküle durch die Hinzwirkung des Glühens in $\left(\frac{1}{2}\right) = \ln\left(\frac{1}{2}\right)$ zu berücksichtigen ist. Ganz analog ist es mit den Symmetrieverhältnissen komplizierterer Moleküle; u. B. bei CH_4 , wo die 4 H-Atome an den Ecken eines Tetraeders sitzen, offenbar eine viel höhere Symmetrie. Hier gilt es 12 voneinander unabhängig vorkommende räumliche Lagen des Moleküls, d. h. die Symmetriezahl s ist hier gleich 12 zu setzen. Bei der weiter unten folgenden Diskussion der Gaskonstanten werden wir in der Tat sehen, daß die Hinzwirkung von $\ln\left(\frac{1}{2}\right)$ notwendig erscheint.

Geht man wieder zu den Briggischen Logarithmen und zur Atmosphäre als Druckeinheit über, so gehen die Formeln (139) und (141) über in die folgenden:

$$(139a) \quad \begin{cases} C = 20,513 + 1,5 \log \text{valg. } m + \log \text{valg. } J \\ \quad + \log \text{valg. } \left(\frac{R_0}{\rho}\right) - \log \text{valg. } s, \end{cases}$$

und

$$(141a) \quad \begin{cases} C = 20,524 + 1,5 [\log \text{valg. } m + \log \text{valg. } J] \\ \quad + \log \text{valg. } \left(\frac{R_0}{\rho}\right) - \log \text{valg. } s. \end{cases}$$

Wie steht es nun mit den experimentellen Ergebnissen?

Von einatomigen Gasen geben wir im folgenden eine Tabelle der Größen C wieder, die in der zweiten Spalte die experimentell gefundenen, in der dritten die nach Formel (140) berechneten theoretischen Werte, in der vierten die Abweichungen der beiden Angaben voneinander und in der fünften Spalte das Verhältnis $\left(\frac{R_0}{\rho}\right)$ enthält. Man sieht aus dieser Tabelle, daß für Argon, Quecksilber, Natrium die experimentell gefundenen Werte mit der theoretischen Formel (140) übereinstimmen, wenn $\frac{R_0}{\rho} = 1$ gesetzt wird. Dagegen sind die für Natrium und Kalium angegebenen Werte nur dann mit der theoretischen Formel zu vereinbaren, wenn $\frac{R_0}{\rho} = 2$ genommen wird. Es ist aber immerhin möglich, daß hier experimentell das letzte Wort noch nicht gesprochen ist; bei einer Nachprüfung des

¹⁾ Vgl. Ann. 2 pag. 611.

Stoff	\bar{f} experimentell	\bar{f} Berechn. nach (14a)	$\bar{f} =$ $\bar{f}_{\text{exp.}} - \bar{f}_{\text{Berechn.}}$	$\frac{\bar{f}_0}{\bar{f}}$
Ar	$+0,70 \pm 0,04$	$+0,68$	$-0,02$	1
Hg	$+1,36 \pm 0,08$	$+1,37$	$+0,01$	1
NaCl	$+0,004$	$+0,01$	$+0,006$	1
NaF	$+0,85$	$+0,88$	$+0,03$	1
KCl	$+1,10$	$+0,99$	$+0,11$	1
Pb	$0,99 \pm 0,05$	$+1,04$	$+0,05$	1
H ₂ Cl	$-1,21 \pm 0,03$	$-1,187$	$+0,027$	1

Kalkulationswerte durch Seidler ergibt sich statt der Differenz $+0,20$ der obigen Tabelle eine solche von $0,08$, die also grundsätzlich den Wert $\frac{\bar{f}_0}{\bar{f}} = 2$ zu bevorzugen scheint. Der Wert von Pb ist Messungen von Hartack⁴⁾ entnommen. Bei zahlreichen anderen Substanzen⁵⁾ sind die Fehlergrenzen zur Zeit noch zu groß, als daß eine sichere Entscheidung möglich wäre, ob experimenteller und theoretischer Wert zusammenstimmen.

Noch größer ist die Unsicherheit bei den zwei- und mehratomigen Substanzen. Wir beschränken uns daher darauf, die Verhältnisse beim Jod-Dampf zu besprechen. O'Brien und Hettler⁶⁾ haben die Jod-Dissociation

$$J_2 = J + J,$$

die von Hartack und Bodenstein⁷⁾ sehr genau untersucht ist, theoretisch berechnet. Nun lautet das Massenwirkungsgesetz, auf die Partialdrücke bezogen, nach Gleichung (22c), Kap. VI, pag. 581 in unserem Falle:

$$\frac{p_J^2}{p_{J_2}} = K_p(T) = R e^{-\frac{J}{T}} 10^6,$$

oder logarithmiert:

$$\log K_p(T) = -\frac{J}{T} + \log R + 6 \log T.$$

⁴⁾ Nach freundlicher mündlicher Mitteilung von Ems. Dietrich, der ersten Zeile des Textes ist.

⁵⁾ R. Ladenburg und R. Winkowski, *Zeitschr. f. Phys.* 8, pag. 137, 1922.

⁶⁾ H₂ verhält sich bei hohen Temperaturen nach dem Befunde Hartacks (vgl. S. 121) wie ein einatomiges Gas, ist aber hier mit eingebezieht worden; bei höherer Temperatur kommt der Dissoziationszustand hinzu.

⁷⁾ Hartack, *Zeitschr. f. phys. Chem.* 144, pag. 1, 1926.

⁸⁾ Hartack, *Zeitschr. f. phys. Chem.* 124, pag. 1, 1925; dort sind Ag, Au, Cu, Pb, Ge und Sn genannt und die Fehlergrenzen in einer sehr interessanten Zeichnung angegeben; der Verfasser kommt zu dem Ergebnis, daß die Annahme $\frac{\bar{f}_0}{\bar{f}} = 2$ in den „meisten Fällen“ mit der Erklärung „vernünftig“ sei.

⁹⁾ O'Brien und Hettler, *Zeitschr. f. Phys.* 49, pag. 465, 1928.

¹⁰⁾ Hartack und Bodenstein, *Zeitschr. f. Elektrochem.* 29, pag. 102, 1925.

Nach Nummer 77 ist aber B in $B = J$ die thermodynamisch unabhängige Konstante der Reaktion, für die nach dem Normalzustats Theorem gemäß (58) des VII. Kapitels auf pag. 545 gilt:

$$B \ln B = J = R \sum v_i \dot{c}_i,$$

wo die v_i die sich umsetzenden Molekühlmole, die \dot{c}_i die chemischen Konstanten der Reaktionsfaktoren sind. Ist nun ist also $v_1 = \dot{c}_1$, $v_2 = -1$; also ist:

$$\ln B = 2 \dot{c}_1 - \dot{c}_2 = 2/c_1 - \ln a_1.$$

Hier will man nun aus optischen Daten, daß für das Isotop $g_{\text{Is}} = 4$, dagegen für die Isotomel $g_{\text{Is}} = 1$ ist, während die auf das Atom und Molekül bezogenen Gewichte des Isotop Isot $g_{\text{Is}} = 1$ angenommen werden⁵; ferner ist nach dem Obigen die Symmetrienzahl $\sigma = 2$ für das Isotomel zu nehmen. Nachst man mit diesen Werten die chemischen Konstanten \dot{c}_1 und \dot{c}_2 aus, so gewinnt man die Größe $\ln B$; nachfolte ist B gleich der bei der Reaktion auftretenden Umwandlungswärme U pro Mol. Man hat also damit alles, um die Größe $K_p(T)$ als Funktion der Temperatur zu berechnen und mit dem Experiment zu vergleichen. Das Resultat ist eine völlige quantitative Übereinstimmung mit der Messung von Stark und Bodenstein, so daß man also schreiben muß, daß die Größe

$$\ln B = \sum v_i \dot{c}_i = 2 \dot{c}_1 - \ln a_1$$

wel die oben angegebene Weise richtig berechnet. Das beweist zwar in Stütze noch nicht, daß die Werte der chemischen Konstanten für das Isotop und das Isotomel zueinander richtig sind, aber es ist das doch wohl sehr wahrscheinlich.

In dem nächsten obigen Fall unatomarer Gase ist nur der Fall eines solchen Reaktions nicht möglich; hier muß neue experimentelle Material abgewartet werden.

Mit der chemischen Konstante ist nun auch die sogenannte Entropiekonstante R^θ bestimmt; diese von der unatomare Gas definiert (Gleichung (8) des VI. Kapitels auf pag. 537) durch die folgende Gleichung für die Recepte R eines Mole:

$$R = R_g \ln T - R \ln p + R^\theta,$$

und nach Gleichung (57) des VII. Kapitels auf pag. 547 soll diese Konstante mit der chemischen Konstante \dot{c} in der Beziehung stehen:

$$(158) \quad \dot{c} = \frac{R^\theta - \dot{C}_p - R}{R} = \frac{R^\theta - \dot{C}_p}{R}.$$

⁵ Eine gewisse mit Vollrecht auf das Normalzustats Theorem; die Plancksche Formung (Gleichung (10) des VI. Kapitels auf pag. 537) ist, während der entsprechenden Normalzustats Formung nicht möglich wäre, wenn man $\sum v_i \ln g_{\text{Is}} = 0$ ist, ist nun also $2 \ln g_{\text{Is}} - \ln g_{\text{Is}} = 1$ wird. Man vgl. hierzu die Ausführungen in Nr. 184 auf pag. 512.

Es ist aber zu beachten, daß dieser Ausdruck nur abgeleitet war unter der damals stillschweigend gemachten Voraussetzung, daß die Gewichte g_i und g , gleich 1 seien. Da wir in dieser Nummer die allgemeine Voraussetzung zugrunde gelegt haben, so dürfen wir Gleichung (133) nicht mehr als allgemein gültig betrachten. An ihre Stelle tritt, wie wir hier schon beweis, das wir in der nächsten Nummer nachholen, mitteln, die folgende Gleichung:

$$(135) \quad i = \frac{S^0}{R} = \frac{G_i}{R} - \frac{R \log R}{R}.$$

Für ein einatomiges Gas ist $G_i = \frac{5}{2} R$, und damit ergibt sich der folgende Ausdruck für S^0 :

$$(136) \quad S^0 = R \left[\log \left\{ \frac{(2\pi m)^{3/2} k^3}{h^3} \frac{1}{p} \right\} + \frac{5}{2} \right].$$

Betrachtet man, daß $\log i = 1$ ist, so kann man etwas bequemer schreiben:

$$(137) \quad S^0 = R \log \left[\frac{(2\pi m)^{3/2} p k^3}{h^3} \frac{1}{p} \right].$$

Dieser Ausdruck — über den hier auch Schottky noch Managelante Gewichte g_i — ist zuerst von Tetens⁴⁾ angegeben und später nach anderer Methode von Planck⁵⁾ bestätigt worden, während Barker⁶⁾, der das Versehen hat, zum erstenmal darauf hingewiesen zu haben, daß und wie S^0 aus der Quantentheorie zu berechnen ist, einen unendlich etwas verschiedenen Wert angibt.

134. Direkte Bestimmung der Entropiekonstanten eines einatomigen Gases.

Um nun zu einer Bestimmung der Entropiekonstanten höher einatomiger Gase zu gelangen, gehen wir von der Boltzmannschen Gleichung

$$S = k \ln W_{\text{max}}$$

aus, indem wir entweder den Ausdruck (8)

$$(138) \quad W_{\text{max}} = N! N^{\frac{1}{2}} \left(\frac{S^0}{N} \right)^{\frac{1}{2}}$$

oder den Ausdruck (54)

$$(139) \quad W_{\text{max}} = N! \left(\frac{S^0}{N} \right)^{\frac{1}{2}}$$

zugrunde legen. Der letztere Ausdruck (139) entspricht der Herleitung von Boltzmann, der zweite (138) derjenigen von Hilbert-Einstieg. Es wird sich im Folgenden deutlich zeigen, daß nur der letztere für Gase

⁴⁾ H. Tetens, Ann. d. Phys. 88, pag. 484, 1928.

⁵⁾ M. Planck, *Strahlung d. physik. Atom d. Wärmeh.* Berlin 1914, pag. 611ff.

⁶⁾ G. Barker, Ann. d. Phys. 88, pag. 884, Phil. Magaz. 36, pag. 87, 1923.

bemerkbar⁷⁾ ist; in unseren früheren Rechnungen konnte sich dies nicht bemerkbar machen, da uns dort die Konstanten nicht intervenierten; hier aber kommt es gerade darauf an. Im Gleichgewichtsstande sind die Größen N_i gegeben durch die Gleichung (16):

$$(16) \quad N_i = \frac{N h_i e^{-\frac{\epsilon_i}{kT}}}{\sum_j h_j e^{-\frac{\epsilon_j}{kT}}}.$$

Wir wollen die folgende Rechnung vorläufig an dem Boltzmann-Planckschen Ausdruck (16) führen, dabei aber die Glieder, die von dem unterstehenden Faktor $N!$ im Vergleich zu (17) herkommen, in geschweiften Klammern setzen, so daß man durch Wegstreichen dieser geschweiften Klammern das Rechnungsverfahren erhält, so dem der Hilbert-Einstiegische Ausdruck (17) folgt. Für die Fakultäten $N_i!$ benutzen wir wie früher die asymptotische Stirlingssche Darstellung:

$$(18) \quad N_i! = \left(\frac{N_i}{e}\right)^{N_i}.$$

Damit ergibt sich nun für $\ln W_{\text{max}}$:

$$\ln W_{\text{max}} = (\ln N!) + \sum_i N_i \ln g_i - \sum_i \ln N_i!$$

oder, nach Einbringung der Stirlingsschen Formel (18):

$$(19) \quad \ln W_{\text{max}} = (N \ln N - N) + \sum_i N_i \ln g_i - \sum_i N_i \ln N_i + \sum_i N_i.$$

Darin ist für $\ln N_i$ der Wert nach (16) einzusetzen:

$$\ln N_i = \ln N + \ln g_i - \frac{N_i}{N} - \ln g_i.$$

wenn wir den Nenner in (16) der Eins halber durch g bezeichnen:

$$(20) \quad g = \sum_j h_j e^{-\frac{\epsilon_j}{kT}}.$$

Damit wird aus (19):

$$\ln W_{\text{max}} = (N \ln N - N) + (N - N \ln N) + N \ln g + \sum_i \frac{N_i}{N} N.$$

oder, da $\sum_i N_i/N = 1$, der Gausstheorie des Gases ist:

$$(21) \quad \ln W_{\text{max}} = (N \ln N - N) - (N \ln N - N) + N \ln g + \frac{N}{T}.$$

Mit diesem Werte erhält man für die Entropie S :

$$(22) \quad S = k \ln W_{\text{max}} = k [N \ln N - N] - k [N \ln N - N] + k N \ln g + \frac{N}{T}.$$

⁷⁾ Durch soll wirklich nicht gesagt sein, daß die Hilbert-Einstiegische Normierung begründet ist; nur die Realität dieser Normierung ist unstrittig. Man vergleiche hierzu die letzten Bemerkungen weiter unten auf pag. 698.

Man erkennt an diesem Ausdruck, daß im Falle der Boltzmann-Planckschen Normierung die geschweifte Klammer gerade konstant wird durch das in eckige Klammern gesetzte zweite Glied; in diesem Falle erhält man also:

$$(144) \quad S_{B.P.} = k N \ln \beta + \frac{U}{T},$$

während man bei der Hilbert-Einstiegsschen Normierung findet:

$$(145) \quad S_{H.E.} = k(N - N \ln N) + k N \ln \beta + \frac{U}{T}.$$

Wir wollen zunächst nur mit der letzteren Gleichung weiter rechnen, wobei sich dann im Folgenden die Bedeutung und die Notwendigkeit des in eckigen Klammern stehenden ersten Gliedes herausstellen wird.

Die Größe

$$\beta = \sum_i \lambda_i e^{-\frac{\epsilon_i}{T}}$$

die wir eben noch als „Zustandssumme“ bezeichnet wird, wollen wir nun in das Integral gemäß der Anweisung der Gleichung (39) überführen, indem wir

$$(146) \quad g_i = g(\mathbf{p}, \mathbf{q}) \frac{d\mathbf{p}}{h^3}$$

setzen, wo ω die „Normalzelle“ des Phasennetzes bedeutet, deren Größe wir vorläufig noch als unbestimmt auführen. Wir haben es nun im Folgenden nur mit solchen Temperaturen zu tun, daß wir $g(\mathbf{p}, \mathbf{q})$ gleich dem konstanten Werte g_0 setzen können (da die Schwingenzahlen der inneren Freiheitsgrade sehr groß sind), den wir in der vorigen Nummer eingeführt haben; wir erhalten also für die Zustandssumme das „Zustandsintegral“:

$$(147) \quad \beta = \frac{g_0}{h^3} \int e^{-\frac{\epsilon}{T}} d\mathbf{p}, \quad \text{wobei} \quad \epsilon = \frac{p^2}{2m},$$

wobei wir den Index i jetzt überall fortlassen können. Dabei ist $d\mathbf{p}$ ein Volumenelement des Phasennetzes, und zwar, da wir hier das Gas als die Gesamtheit aller seiner Moleküle auffassen, das sogenannten μ -Raumes. Da nun nur stationäre Moleküle (d. h. solche ohne Rotationen) betrachtet werden, so ist die Energie ϵ offenbar gleich:

$$\epsilon = \frac{m}{2} (v^2 + \dot{\varphi}^2 + \dot{\chi}^2);$$

also ist das Volumenelement des hier sechsdimensionalen μ -Raumes:

$$(148) \quad d\mathbf{p} = dx dy dz (p dx) (p dy) (p dz) = p^3 dx dy dz d\dot{\varphi} d\dot{\chi} d\dot{\psi}.$$

Wir erhalten also für das „Zustandsintegral“ aus (147) und (148):

$$\beta = \frac{g_0}{h^3} \int \int \int dx dy dz \int \int \int e^{-\frac{m}{2T} (v^2 + \dot{\varphi}^2 + \dot{\chi}^2)} d\dot{\varphi} d\dot{\chi} d\dot{\psi}.$$

Die drei Integrationen über x, y, z sind über das Ortsvolumen V des Gases zu verstehen, das ja (jedem einzelnen Molekül) zur Verfügung steht; sie ergeben also einfach V . Die Integrationen über x, y, z dagegen sind über alle möglichen Geschwindigkeitskomponenten, d. h. von $-\infty$ bis $+\infty$ zu erstrecken. Man kann daher die letzte Gleichung so schreiben:

$$(168) \quad \beta = \rho^3 \frac{\partial}{\partial \rho} V \int_{-\infty}^{+\infty} e^{-\frac{1}{2}mv^2} dx \int_{-\infty}^{+\infty} e^{-\frac{1}{2}mv^2} dy \int_{-\infty}^{+\infty} e^{-\frac{1}{2}mv^2} dz.$$

Man sieht daraus, daß abgesehen von der Bezeichnung, die irrelevant ist, die drei jetzt noch verbleibenden Integrale alle identisch sind; setzen wir ihrem Wert provisorisch $= J$, so haben wir:

$$(170) \quad \beta = \frac{\partial}{\partial \rho} V \cdot J^3.$$

Es bleibt nur noch das Integral J auszurechnen. Setzt man etwa zur Abkürzung

$$\sqrt{\frac{m}{2}T} t = t,$$

so hat man

$$J = \sqrt{\frac{2\pi T}{m}} \int_{-\infty}^{+\infty} e^{-t^2} dt,$$

und hier hat das bestimmte Integral, das wir schon mehrfach ausgerechnet haben (s. B. auf pag. 48 II.), den Wert $\sqrt{\pi}$. Es ist also:

$$(171) \quad J^3 = \left(\frac{2\pi T}{m} \right)^{3/2},$$

und damit wird die Zustandsgleichung aus Gleichung (170):

$$(172) \quad \beta = (2\pi m k T)^3 \frac{\partial}{\partial \rho} V.$$

Dieser Wert ist in Gleichung (156) für die Entropie einzusetzen; das ergibt:

$$S = kN \left\{ \ln \left[\frac{V T^{3/2}}{g} \right] + \ln \left[\frac{(2\pi m k T)^3}{n} \rho_0 \right] + \frac{5}{2} \right\},$$

wenn man noch für U seinen Wert $\frac{3}{2} N k T$ einsetzt. Da man $\frac{5}{2} = \ln(n)$ setzen kann, so kann man etwas eleganter schreiben:

$$(173) \quad S = kN \left\{ \ln \left[\frac{T}{g} T^{3/2} \right] + \ln \left[\frac{(2\pi m k T)^3}{n} \frac{V}{n} \right] \right\}.$$

In dieser Gleichung, die der Hilbert-Erskog'schen Normierung entspricht, wollen wir zunächst zeigen, daß das in ihr auftretende Glied $-(N \ln N)$ notwendig ist, wenn man die natürliche Forderung aufstellt, daß bei Verdünnung des Volumens V und der Molekuldahl N auch die

Entropie nach Doppelpfeil steigen soll. In (176) ist dies offenbar der Fall, denn die geschweifte Klammer bleibt dabei vollkommen ungeändert. Würden aber in (176) wir das Glied $k(N - N \log N)$ streichen, was der Boltzmann-Planckschen Normierung entsprechen würde, so würde in ihr der Summand in 3 auftreten, also das obige Resultat verloren gehen. Vom theoretischen Standpunkte ist es aber nicht ohne richtigen Eingeblick in der Hilbert-Einstakegische Normierung bedenklich, daß es nur a posteriori ausbleiben werden kann; von einer vollendeten Theorie mußte man verlangen, daß sie von vornherein bestimmte Gründe für die Wahl des Normalzustandes abgibt. So, wie die Sache jetzt liegt, muß man sagen, daß a priori kein Grund angegeben werden kann, die Hilbert-Einstakegische Normierung zu bevorzugen, die ja nur eine von unendlich vielen Möglichkeiten ist. Dieser Sachverhalt deutet auf eine fundamentale Unvollkommenheit der hier vorgetragenen Theorie; wir kommen in den nächsten Kapiteln noch mehrfach darauf zurück.

Nehmen wir nach dieser Abschweifung wieder zur Gleichung (176) für die Entropie S zurück! Wir eliminieren aus derselben T mit Hilfe der Zustandsgleichung, indem wir einsetzen:

$$\ln T = \ln R + \ln p - \ln p$$

und erhalten dann N als Funktion von T und p , wie wir es brauchen, um die Entropiekonstante S^0 (siehe die Darstellung von Boltzmann der Nummer 158 auf pag. 418) zu bestimmen. Man erhält so mit Erfolg, wenn man noch beachtet, daß $k = \frac{R}{N}$ und $C_p = \frac{5}{2} R$ ist:

$$(174) \quad S = C_p \ln T - R \ln p + R \ln \left[\frac{(2\pi\alpha)^{\frac{1}{2}} (2\pi h)^{\frac{3}{2}}}{\alpha} p_s \right],$$

so daß wir für die Entropiekonstante S^0 den Wert erhalten:

$$(175) \quad S^0 = R \ln \left[\frac{(2\pi\alpha)^{\frac{1}{2}} (2\pi h)^{\frac{3}{2}}}{\alpha} p_s \right].$$

S^0 erweist sich also abhängig von der Größe α der „Normalzelle“ oder „Einheitszelle“ des Phasenzumens. Nun haben wir bereits in Nr. 118 betont, daß die Quantentheorie dem Phasenzum eine bestimmte Richtung vorschreibt, d. h. ihn in Zellen bestimmter Größe einzuteilen. In dem in Nr. 118 behandelten eindimensionalen Falle nahmen wir das Elementargebiet gleich h , der Planckschen Konstante, an; in unserem dreidimensionalen Falle ist es das zehnfache,

$$(176) \quad \alpha = h^3$$

zu setzen. Nun wir dies, so folgt für die Entropiekonstante:

$$(177) \quad S^0 = R \ln \left[\frac{(2\pi\alpha)^{\frac{1}{2}} (2\pi h)^{\frac{3}{2}}}{h^3} p_s \right].$$

Das ist derselbe Wert, den wir previously schon in der Gleichung (149) der vorhergehenden Nummer angegeben haben, denselbe Wert auch,

den — abgesehen vom Faktor μ_0 — schon die ältere Quantentheorie in den Händen von Sachar, Teitelbo, Planck gelöst hat.

Vergleicht man diesen Wert S^0 mit demjenigen der klassischen Konstante i (für statische Gase) nach Gleichung (347), so erkennt man leicht rechts die Richtigkeit der von uns ohne Beweis angegebenen Gleichung (348), die den Zusammenhang zwischen beiden Konstanten angibt.

Dies wollen wir nun noch direkt zeigen. Da in der Gleichung (188) das Gesicht ρ , das letzten Zustandes entspricht, so wurden wir diese Gleichung aufstellen, in der der Atmosphärendruck des letzten Körpers vorhanden. Eine solche gewinnt man durch die Forderung, daß der Wert der Entropie S_0 eines Mol Dampf gleich ist der Entropie S_1 eines Mol des Festkörpers, vermehrt um L/T , wo L die Sublimationswärme ist. Dieser Ansatz

$$(178) \quad S_0 = S_1 + \frac{L}{T}$$

bedarf nach den Erörterungen der Nummern 46 und 48 keiner weiteren Erläuterungen mehr. Andererseits ist nach Gleichung (30) des VII. Kapitels pag. 144 die Sublimationswärme

$$(179) \quad L = L_0 + \int_0^T C_p dT - \int_0^T C_{\text{moll}} dT,$$

dabei ist $C_p = \frac{5}{2}R$, d. h. gleich der Molwärme bei konstantem Druck des statischen Gases zu setzen. Also haben wir:

$$(180) \quad L = L_0 + \frac{5}{2}RT - \int_0^T C_{\text{moll}} dT.$$

Setzt man diesen Wert für L und den Wert für S_0 nach Gleichung (174) in (178) ein, so erhält man die Beziehung:

$$\frac{L_0}{T} + \frac{5}{2}R - \frac{1}{T} \int_0^T C_{\text{moll}} dT = \frac{5}{2}R \ln T - R \ln p + S_0 - S_1,$$

woraus sich für $\ln p$ die Formel ergibt:

$$(181) \quad \ln p = -\frac{L_0}{RT} + \frac{5}{2} \ln T - \frac{S_0}{R} + \frac{1}{RT} \int_0^T C_{\text{moll}} dT + \frac{S_1}{R} - \frac{5}{2}.$$

Nun ist die Entropie des Festkörpers pro Mol offenbar:

$$S_1 = S_1^0 + \int_0^T \frac{C_{\text{moll}} dT}{T},$$

⁵⁾ Der Unterschied in einigen Vorzeichen gegen Gleichung (38) des VII. Kapitels rührt daher, daß dort von der Formierung $S' = -S$ die Rede war.

wenn die Elemente derselben bei der Temperatur 0° durch S_0^* , die Integrationsvariable durch T (statt T) bezeichnet wird. (Nach der Planckschen Formulierung des Nernstschen Theorems wäre $S_0^* = 0$ zu nehmen; der Allgemeinheit halber setzen wir S_0^* jedoch vorläufig willkürlich.) Damit geht unsere Dampfdruckformel (181) über in:

$$\ln p = -\frac{L_0}{RT} + \frac{s}{T} \ln T - \frac{1}{R} \left[\int_0^T \frac{C_{\text{Dampf}} dT}{T^2} - \frac{1}{T} \int_0^T C_{\text{Dampf}} dT \right] + \left[\frac{H^* - H_0^*}{R} - \frac{s}{T} \right].$$

Wie man sich durch partielle Integration leicht überzeugt, besteht die Identität:

$$(182) \quad \int_0^T \frac{dT}{T^2} \int_0^T C_{\text{Dampf}} dT = -\frac{1}{T} \int_0^T C_{\text{Dampf}} dT + \int_0^T \frac{1}{T^2} C_{\text{Dampf}} dT,$$

und mithin wird die Dampfdruckformel zu:

$$(183) \quad \ln p = -\frac{L_0}{RT} + \frac{s}{T} \ln T - \frac{1}{R} \int_0^T \frac{dT}{T^2} \int_0^T C_{\text{Dampf}} dT + \left[\frac{H^* - H_0^*}{R} - \frac{s}{T} \right].$$

Der Vergleich mit der entsprechenden thermodynamisch abgeleiteten Formel (184a) des VII. Kapitels auf pag. 244 liefert dann — wenn die etwas veränderte Bezeichnung berücksichtigt wird — für die chemische Konstante den Wert:

$$(184) \quad C = \frac{H^* - H_0^*}{R} - \frac{s}{T} = \frac{H^* - H_0^* - G_0}{R}.$$

Man erkennt sofort hier die Abweichung bzw. Verräglichmachung gegenüber der Gleichung (182), die unter der Voraussetzung der Gültigkeit des Nernstschen Theorems abgeleitet wurde; setzt man $S_0^* = 0$, so geht (184) in unsere alte Gleichung über.

Wir haben nun noch S_0^* in Beziehung zu setzen zu dem Quantengewicht g_0 . Das kann nur so geschehen, daß wir zunächst statisch — analog wie für ein Gas — auch die Entropie für Festkörper berechnen, wobei wir uns von vornherein auf hohe Temperaturen beschränken dürfen, da wir ja eigentlich nur S_0^* haben wollen. Wir gehen aus von der Formel (184), die ja noch keine Spezialisierung für ein Gas enthält, also auch für den festen Körper verwendbar ist:

$$(185) \quad S = kN \ln \bar{g} + \frac{U}{T}$$

und wollen diese zur Berechnung der Entropie S_0 des festen Körpers bei tiefer Temperatur verwenden. Die Zustandssumme \bar{g} reduziert sich dann ausnahmslos auf ihr erstes Glied, so daß wir nach (181) schreiben können:

$$(186) \quad \lim_{T \rightarrow 0} \bar{g}_0 = g_0 e^{-\frac{h\nu}{kT}}.$$

wenn wir das Quantengewicht jetzt wieder wie früher mit g_i bezeichnen, lässt sich in (185) leicht für die Entropie des Festkörpers bei tiefer Temperatur:

$$\lim_{T \rightarrow 0} S_i = S_i^0 = k N \ln g_i - \frac{N \epsilon_i}{T} + \frac{d}{T},$$

oder, da die beiden letzten Glieder sich heben und $k N = k$ ist:

$$(187) \quad S_i^0 = k \ln g_i.$$

Hier erkennt man zunächst, worauf wir schon früher hingewiesen, daß die Plancksche Formulierung des Nernstischen Theorems (d. h. die Forderung $S_i^0 = 0$) verlangt, daß $g_i = 1$ ist. Dagegen ist ein von 1 verschiedener Wert von g_i noch mit der allgemeinen Nernstischen Forderung vereinbar, auch der bei einer Reaktion zu kondensierten Systemen mit der Entropieänderung (für $T = 0$) gleich Null sein soll. Berücksichtigen wir die bei einer solchen Reaktion sich voneinander trennenden Moleküle des Zien Reaktionsgleichungswie früher durch v_i , so lautet auch der allgemeinen Formulierung nur die Summe

$$(188) \quad \sum_i v_i S_i^0 = 0$$

zu sein, während daraus, weil einzelne Glieder positives, einzelne negatives Vorzeichen haben, nicht auf das Verschwinden der Einzelwerte S_i^0 geschlossen werden kann.

Man erinnert sich diesen Überlegungen, daß der Wert der chemischen Konstante wegen des in ihr auftretenden Quantengewichtes g_i eng mit der Frage nach der Gültigkeit des Nernstischen Theorems zusammenhängt; eine endgültige Entscheidung steht aber, wie gesagt, noch aus.

Nach dieser Bemerkung kehren wir zur Gleichung (187) zurück. Kombiniert man sie mit (184), so erhält man für den gesuchten Zusammenhang zwischen der chemischen Konstante i und der Entropiekonstante S_i^0 die Beziehung:

$$i = \frac{S_i^0 - S_i - R \ln g_i}{R},$$

d. h. die früher ohne Beweis mitgeteilte Gleichung (183), wenn nur R feststeht ist.

Wir weisen aber nun noch auf eine Schwachheit hinweisen, die wir bisher stillschweigend übergangen haben: Wir haben nämlich bei Berechnung der Entropie des Festkörpers die Gleichung (184) mit der Boltzmann-Planckschen Normierung eingangs gelöst, nicht die Gleichung (183) mit der bisher benutzten Hilbert-Boltzmannschen Normierung. In der Tat wurde diese letztere nur nicht zu dem Resultat geführt haben, daß $S_i^0 = R \ln g_i$ ist, sondern es würden noch andere Glieder in dieser Gleichung aufgetreten sein.

Man sieht auch hier wieder, daß die vorgestrichene Theorie vollkommen ist, da bei der Berechnung der thermodynamischen Wahrscheinlichkeit nämlich eine Art von Normierung beibehalten werden

schien. Wir wußten ja auch schon vorher, daß die Bevestigung der Hilbert-Born-Kogutowschen Normierung, die den Faktor $N!$ beahängt, nur durch den Erfolg bei einem Gase gerechtfertigt werden kann. Man muß also sagen, daß die Hilbert-Born-Kogutowsche Normierung ein mathematischer Kunstgriff ist, der die Schärferigkeit beim Gase verschleiert, aber nicht beeinträchtigt. Man muß grundsätzlich eine Normierung für alle Fälle angründe legen, die a priori begründet werden muß.¹⁾ Deshalb behält Planck vollkommen konsequent immer die Boltzmannsche Normierung bei und versucht stattdessen zu beweisen, daß der Faktor $N!$ bei Gasen, wo er stark in Fortfall kommen, bei Festkörpern dagegen erhalten bleiben müsse. Ähnlich andere Normen, vor allem W. Schottky. Diesen Planckschen Standpunkte müssen wir grundsätzlich den Vorrang geben, wenn auch gegen alle Versuche, den absonderlichen Faktor $N!$ bei Gasen zu beseitigen, Einsprüche erhoben worden sind, so daß es scheint, als ob sich in der älteren Quantentheorie eine verfluchte Bevestigung der erwähnten Schwierigkeiten nicht finden lässe.²⁾ Wie es damit in der neueren Theorie steht, davon wollen wir in den folgenden beiden Nummern eine Anschauung zu geben versuchen.

118. Die Bose-Einsteinsche Statistik, Quantierung.

Um das Folgende in seiner Bedeutung besser hervorstrichen zu lassen, betrachten wir zunächst noch einmal die Boltzmannsche Art der Statistik für ein kleines einatomiges Gas in einer etwas anderen Form als früher. Die Änderung ist übrigens lediglich formaler Natur, und wir führen nur aus, was wir früher angedeutet hatten.

Unter den Elementen $d\tau$ des Phasenraumes verstanden wir in Nr. 116 solche Gebiete von bestimmter Größe, in denen die Systeme der Gesamtzahl N liegen, deren die Energie ϵ , (genauer eine Energie zwischen ϵ_1 und $\epsilon_1 + d\epsilon_1$) zukommt. Die Größe dieser Elementargebiete als Funktion der Energie ϵ_1 und der Intervallbreite $d\epsilon_1$ wollen wir nun für den Fall des einatomigen idealen Gases ausrechnen. Definitionsgemäß ist das Phasenvolumen Φ_1 des hier sechsdimensionalen μ -Raumes in allgemeinen Koordinaten und Impulsen:

$$(117) \quad \Phi_1 = \int \int \int \int \int \int d\mathfrak{q}_1 d\mathfrak{q}_2 d\mathfrak{q}_3 d\mathfrak{p}_1 d\mathfrak{p}_2 d\mathfrak{p}_3,$$

wobei das Integral über alle Phasen zu erstrecken ist, für die die Energie gleich oder kleiner als ϵ_1 ist. Das dreifache Integral über $\mathfrak{q}_1, \mathfrak{q}_2, \mathfrak{q}_3$ liefert stattdes das gesamte Volumen V , das jedem Atom zur Verfügung steht; also ist:

$$(118) \quad \Phi = V \int \int \int d\mathfrak{p}_1 d\mathfrak{p}_2 d\mathfrak{p}_3,$$

¹⁾ Man vergleiche z. B. die Diskussion Ehrenfest und Tjallingii über die und Planck ansetzt; Ann. d. Phys. 64, pag. 308, 1919; 66, pag. 358, 1920; sowie die Ausführungen von Schrödinger, Abh. Ber. d. phys. Akad. d. Wiss. Berlin 1924, pag. 488 ff.; ferner W. Schottky, Ann. d. Phys. 66, pag. 471, 1920.

Die Energie des Quantens selbst ist in unserer jetzigen Fassung:

$$(181) \quad u_i = \frac{1}{2\mu} (p_1^2 + p_2^2 + p_3^2),$$

wo u. B. $p_1 = \mu \dot{x}$ usw. ist. Nach dem oben Gesagten also muß das Integral $\iiint d p_1 d p_2 d p_3$ über das Volumen einer Kugel erstreckt werden, deren Radius

$$(182) \quad \sqrt{p_1^2 + p_2^2 + p_3^2} = \sqrt{2\mu} u_i \quad \text{ist.}$$

Daher erhält man:

$$(183) \quad \iiint d p_1 d p_2 d p_3 = \frac{4\pi}{3} (\sqrt{2\mu} u_i)^3,$$

also für den gesamten Phasenraum nach (180):

$$(184) \quad \Phi_i = \frac{4\pi}{3} V (\sqrt{2\mu} u_i)^3.$$

Laufen wir nun u_i um Δu_i verliessen, so nimmt das Phasenvolumen Φ_i um $\Delta \Phi_i$ zu; diese Zunahme ergibt sich nach (184) zu:

$$(185) \quad \Delta \Phi_i = 4\pi V [\sqrt{2\mu} u_i^2] \Delta u_i.$$

Damit ist das zunächst gesuchte Ziel erreicht: Die Elementargebiete des Phasenraumes sind als Funktion von u_i und Δu_i ausgedrückt.

Seien wir — dem Gedanken der Quantentheorie entsprechend — die Größe u der Normalkurve wieder gleich h^2 , so erhalten wir für die Zahl N_i der Zellen, die einer Energie zwischen u_i und $(u_i + \Delta u_i)$ entsprechen:

$$(186) \quad N_i = \frac{2\pi V \sqrt{2\mu} u_i^2}{h^3} \Delta u_i.$$

Wenn nun das Gas N Atome hat, so mögen N_1 bestimmte Atome in das Gebiet $\Delta \Phi_1$, N_2 in $\Delta \Phi_2$, ..., N_i in $\Delta \Phi_i$, ... fallen. Nennen wir die Wahrscheinlichkeit, daß ein Atom in $\Delta \Phi_1$ liegt, w_1 , so ist die Wahrscheinlichkeit, daß N_1 bestimmte Atome in $\Delta \Phi_1$ liegen:

$$w_1^{N_1},$$

und so fort für alle N_i und $\Delta \Phi_i$. Dabei ist natürlich Voraussetzung dieser Anwendung des Multiplikationssatzes der Wahrscheinlichkeitsrechnung, daß die Wahrscheinlichkeit des Eintretens von Atomen in eine Zelle nicht davon abhängt, ob schon andere Atome in dieser Zelle vorhanden sind, d. h. daß es sich um unabhängige Ereignisse handelt. Dann ist die Wahrscheinlichkeit, daß gleichzeitig bestimmte N_1 Atome in $\Delta \Phi_1$, N_2 in $\Delta \Phi_2$, ..., N_i in $\Delta \Phi_i$, ... liegen:

$$(187) \quad = w_1^{N_1} w_2^{N_2} \dots w_i^{N_i} \dots = \prod_i w_i^{N_i}.$$

Die Gesamtheit der Größen $N_1, N_2, \dots, N_i, \dots$ bezeichnet den Makrozustand des Gases, der durch sehr viele — wie viele, haben wir postuliert — Mikrozustände realisiert werden kann; Gleichung (187)

ist, wie wir früher gezeigt haben, die Wahrscheinlichkeit eines Mikrozustandes. Wir können nun, genau wie früher, die N Atome „permutieren“, wobei zu beachten ist, daß Permutation innerhalb einer einzelnen Energiezone $d\Phi_i$ des Phasenraumes nichts neues liefert, so daß man schließlich für die Wahrscheinlichkeit W des Makrozustandes findet:

$$(192) \quad W = \frac{N! \Omega(\omega_i^N)}{N! (N_i!)^{N_i}}.$$

Das ist in der Tat genau dieselbe Gleichung, die wir auch schon auf pag. 408 des IX. Kapitels aufgestellt hatten [dortige Gleichung (94)].

Diese Wahrscheinlichkeit wollen wir auf den in Gleichung (18) charakterisierten Eilbert-Ruckzustand beziehen, die wir hier noch einmal anschreiben:

$$W_0^{N, N_i} = \omega_1^{N_1} \omega_2^{N_2} \dots \omega_i^{N_i} \dots N! = N! \Omega(\omega_i^N),$$

und für die relative oder thermodynamische Wahrscheinlichkeit erhält man

$$(193) \quad W_{\text{therm}} = N! \frac{\left(\frac{\omega_i}{\omega_1}\right)^{N_i}}{\left(\frac{\omega_i}{\omega_1}\right)^{N_i}}.$$

Nach der Definition der Apéry-Wahrscheinlichkeit entsprechend dem Liouville sehen Satze können wir nun ω_i proportional $d\Phi_i$ setzen¹⁾; wir lassen also, wenn η einen Proportionalitätsfaktor bedeutet:

$$\omega_i = \eta d\Phi_i,$$

und ebenso ist

$$\omega_1 = \eta d\Phi_1,$$

wenn N^1 die Größe einer Normalschale bedeutet; es ist also $\frac{\omega_i}{\omega_1} = \frac{d\Phi_i}{d\Phi_1} = Z_i$, der Anteil der in $d\Phi_i$ enthaltenen Normalschalen. Damit wird die thermodynamische Wahrscheinlichkeit (193):

$$(194) \quad W_{\text{therm}} = N! \left| \frac{d\Phi_i}{d\Phi_1} \right|^{N_i}.$$

Indem man nun ansetzt:

$$Z = k \ln W_{\text{therm}},$$

spielt sich alles genau so ab wie früher; insbesondere liefert (194) auch der Boltzmann-Tetroldisches Formel für die Entropiekonstante²⁾, wie es in der vorhergehenden Nummer ausführlich dargestellt ist.

¹⁾ Natürlich konnte man allgemein ω_i proportional $\rho_i d\Phi_i$ setzen, wo ρ_i das „Gewicht“ dieses Zustandes war; der Einfachheit halber vermeiden wir dieses.

²⁾ Natürlich, da wir die Gewichte hier der Einfachheit halber gleich 1 gesetzt haben, ohne das Gewicht g_i .

Im Anschluß wollen wir unsere Aufmerksamkeit dem Faktor

$$(204) \quad Z_1^N$$

wenden. Man kann ihn interpretieren, auch ohne den Begriff der Apriori-Wahrscheinlichkeit ausdrücklich heranzuziehen, indem man fragt, auf wie viele Weisen N_1 Atome in Z_1 Zellen untergebracht werden können. Daraus gibt die Antwort gerade diesen Faktor Z_1^N . Denn: 1 Atom kann in Z_1 Zellen, offenbar auf Z_1 -fache Weisen untergebracht werden, nämlich je einmal in der ersten, zweiten, ... Z_1 -ten Zelle; nehmen wir nun ein zweites Atom dazu, so kann dieses an sich wieder N_1 -mal untergebracht werden, wo auch immer sich das erste Atom befindet. Jeder der Z_1 Möglichkeiten des ersten Atoms entsprechen Z_1 Möglichkeiten für das zweite, so daß man insgesamt Z_1^2 Möglichkeiten hat, und so fort.

In diesem Ausdruck (204), der je mit dem Faktor ω_1^N in (186) im wesentlichen identisch ist, drückt sich die Unabhängigkeit der einzelnen Atome aus, was besonders klar in der Wahrscheinlichkeitsvermutung wird: Es wird für die Größe der Wahrscheinlichkeit, daß ein Atom in einer bestimmten Zelle des Phasenraumes liegt, als gleichgültig betrachtet, ob schon andere Atome dort sind oder nicht.

Wir wollen nun diesen Faktor Z_1^N auch durch ein einfaches Beispiel ($Z_1 = 4$, $N_1 = 2$) erläutern. Es gibt dann $4^2 = 16$ verschiedene Möglichkeiten, die zwei Atome in vier Zellen unterzubringen. Nennen wir die Atome a und b , die Zellen 1, 2, 3, 4, so haben wir das folgende Schema, bei dem in der Tat die 16 Fälle herauskommen:

	1	2	3	4
I	a, b	—	—	—
II	—	a, b	—	—
III	—	—	a, b	—
IV	—	—	—	a, b
V	a	b	—	—
VI	a	—	b	—
VII	a	—	—	b
VIII	b	a	—	—
IX	—	a	b	—
X	—	a	—	b
XI	b	—	a	—
XII	—	b	a	—
XIII	—	—	a	b
XIV	b	—	—	a
XV	—	b	—	a
XVI	—	—	b	a

Diese 16 Fälle werden bei der Boltzmannschen Zählung alle mitgerechnet; sie bilden die verschiedenen „Mikrozustände“, die dem „Mikrozustand“ $N_1 = 2$, $Z_1 = 4$ realisiern. Für Boltzmann sind diese Fälle gleich wahrscheinlich, wie wir es früher auch immer gerechnet haben.

Eine andere Definition und infolgedessen eine andere Zählung der Mikrozustände hat nun der indische Physiker D. Bose¹⁾ vorgeschlagen und Einstein²⁾ hat ihre Konsequenzen für die Gas geprüft.

Man betrachte in dem obigen Schema etwa die Nummern V und VIII: bei V liegt in der Zelle 1 das Atom α , in Zelle 2 Atom β , und umgekehrt bei VIII. Ebenso ist es mit VI und XI, mit VII und XIV, mit IX und XII, mit X und XV, mit XIII und XVI.

Diese paarweise hier zusammengeordneten Verteilungsmöglichkeiten betrachtet man Bose als identisch, während sie bei Boltzmann als zwei verschiedene Zustände gezählt werden. Nach Bose hätten wir dann hier nicht 16 Mikrozustände, sondern nur 10 einzuzählen.

Das kombinatorische Problem, das bei Bose vorliegt ist also: N_1 Atome auf Z_1 Zellen zu verteilen, wobei die N_1 Atome nicht unterschieden werden. Das ist aber die bekannteste Aufgabe, nämlich die Zahl der „Kombinationen von Z_1 Elementen zur N_1 -ten Klasse“ zu finden. Man hat dafür den Ausdruck³⁾

$$(302) \quad \frac{(N_1 + Z_1 - 1)!}{N_1! (Z_1 - 1)!}.$$

Man verifiziert in der Tat leicht, daß für $N_1 = 2, Z_1 = 4$ der Wert von (302) gleich 10 ist, wie es sein muß.

Wie haben wir nun nach Bose zu verfahren, um N Atome auf die Elementarzellen des μ -Raumes zu verteilen?

Wenn N_1 Atome im Elementargebiet $\Delta\Phi_1$, N_2 in $\Delta\Phi_2$, ..., N_i in $\Delta\Phi_i$, ... liegen, so hat man zunächst für die Zahl der vorhandenen Anordnungenmöglichkeiten das Produkt aller Zahlen nach Art der Gleichung (302):

$$N \prod_i \frac{(N_i + Z_i - 1)!}{N_i! (Z_i - 1)!}.$$

Permutationen der N Atome untereinander sind aber jetzt nicht mehr zu machen, da dies nach Bosescher Zählung keine neuen Fälle liefert. Die in dieser letzten Gleichung angegebene Zahl der Mikrozustände legt nun Bose allein weiteren zugrunde, indem er diese so definierten Mikrozustände als a priori gleich wahrscheinlich betrachtet. Es liegt also der jetzt folgenden Statistik eine andere Aussage über die Ausgangswahrscheinlichkeiten zugrunde. Um einen kurzen Namen zu haben, pflegt man die auf dem letzten Ausdruck aufgebauete Statistik als die Bose-Einsteinsche „Statistik“ zu bezeichnen; wir wollen diesem Namen auch beistimmen, obwohl ja das statistische Verfahren in beiden Fällen dasselbe ist; lediglich das kombinatorische Problem ist ein anderes, d. h. die Festsetzung der a priori-Wahrscheinlichkeiten ist eine andere.

¹⁾ D. Bose, *Zentralbl. f. Phys.* 28, pag. 178, 1924.

²⁾ A. Einstein, *Vorlesungen über physik. Atom- u. Molekultheorie*, Berlin 1924, pag. 241 ff. 1926, pag. 82, pag. 102.

³⁾ Vgl. z. B. Bodeffing, *Die math. Ethik der Physik*, 2. Auflage, pag. 11.

Nach den obigen Auseinandersetzungen ist die thermodynamische Wahrscheinlichkeit:

$$(203) \quad W_{\text{max}} = N! \frac{(N_1 + Z_1 - 1)!}{N_1! (Z_1 - 1)!}.$$

Mit diesem Ausdruck wollen wir nun das analoge Problem durchrechnen, das wir in der vorhergehenden Nummer behandelt haben.

Vorher jedoch sei auf Folgendes aufmerksam gemacht: Wenn man (203) in der Wahrscheinlichkeitsformel analoge ausdrücken würde, so müßte man setzen, daß hier jedenfalls nicht mehr gilt, daß die Wahrscheinlichkeit, daß N_1 Atome in $\Delta\Phi_1$ liegen, gleich w_1^N ist, wie dies vorher der Fall war. Das bedeutet also, daß es für die Wahrscheinlichkeit des Hinzutretens eines Teilchens in eine Zelle nach Bore nicht gleichgültig ist, ob diese leer oder schon mit einem oder mehreren Teilchen besetzt ist. D. h. die besondere Art der Befüllung gilt die Unabhängigkeit der einzelnen Atome auf.¹⁾

Wir bilden nun den Ausdruck

$$S = k \ln W_{\text{max}}$$

unter Hinzunahme der Stirlingschen Formel. Das liefert dann für die Entropie S den Wert (N_1 und Z_1 sind groß gegen 1):

$$(204) \quad S = k \sum_1 (N_1 + Z_1) \ln (N_1 + Z_1) - k \sum_1 N_1 \ln N_1 - k \sum_1 Z_1 \ln Z_1.$$

Wenn wir jetzt den Wert der Entropie für den statistischen Zustand bestimmen wollen, in dem $\Delta S = 0$ ist, so haben wir dabei, genau wie früher, die beiden Nebenbedingungen zu berücksichtigen:

$$(205) \quad \sum_1 N_1 = N,$$

$$(206) \quad \sum_1 N_1 u_1 = U,$$

wobei N die Gesamtzahl der Atome und U die Gesamtenergie des Gases sind. Für die Variation von S hat man:

$$(207) \quad \delta S = k \sum_1 [\ln (N_1 + Z_1) - \ln N_1] \delta N_1,$$

und aus (205) und (206) ergeben sich die Nebenbedingungen in verallgemeinerter Form:

$$(208) \quad \sum_1 \delta N_1 = 0, \quad \vdots = k \alpha$$

$$(209) \quad \sum_1 u_1 \delta N_1 = 0, \quad \vdots = k \beta$$

¹⁾ Auf diese merkwürdige Abhängigkeit fällt ein gewisses Licht durch die Vorstellung von De Broglie und Schrodinger, daß jedem materiellen Gebilde ein Wellenverzug zugeordnet ist; in diesem Sinne würde die Abhängigkeit der Atome eines „Gesamtes“ der ungetrübten Wellenverzüge bedeuten können. Inwiefern nicht daher zu erwarten, daß diese „Interferenzen“ im p -Raum (dem Koexistenzraum), nicht im xy -Raum (dem Phasenraum) stattfinden.

Erweitert man (206) und (209) mit zwei Lagrange'schen Faktoren, die wir der Bequemlichkeit halber mit $-k\alpha$ und $-k\beta$ bezeichnen, so haben wir durch Addition von (207), (208) und (209):

$$\delta S = 0 = k \sum_i [\ln(N_i + Z_i) - \ln N_i - \alpha - \beta u_i] \delta N_i = 0,$$

woraus sich durch die übliche Schlussweise ergibt:

$$(210) \quad \ln \frac{N_i + Z_i}{N_i} = \alpha + \beta u_i.$$

Daraus folgt für die den Makrozustand bestimmenden Größen N_i im stationären Zustande der Wert:

$$(211) \quad N_i = \frac{Z_i}{e^{\alpha + \beta u_i} - 1}.$$

Setzt man diese Größen N_i in den Ausdruck (204) der Entropie ein, so erhält man deren Wert für den stationären Zustand:

$$(212) \quad S = k \left\{ N\alpha + \beta U - \sum_i Z_i \ln (1 - e^{-\alpha - \beta u_i}) \right\}.$$

Wir benutzen diese Gleichung zunächst dazu, um die Bedeutung des Faktors β festzustellen. Bilden wir den Ausdruck $\left(\frac{\partial S}{\partial U}\right)_\alpha$, der nach der Definition der Entropie $\delta S = \frac{\delta U + p \delta V}{T}$ gleich $\frac{1}{T}$ ist, so finden wir:

$$\frac{1}{T} = \left(\frac{\partial S}{\partial U}\right)_\alpha = \left(\frac{\partial S}{\partial U}\right)_\alpha + \frac{\partial S}{\partial \beta} \left(\frac{\partial \beta}{\partial U}\right)_\alpha + \frac{\partial S}{\partial \alpha} \left(\frac{\partial \alpha}{\partial U}\right)_\alpha.$$

Die Ausrechnung zeigt, daß die beiden letzten Glieder sich gegenseitig fortkheben, so daß einfach folgt:

$$(213) \quad \beta = \frac{1}{kT}.$$

Durch ersetzen wir statt (211) und (213):

$$(214) \quad N_i = \frac{Z_i}{e^{\alpha + \frac{u_i}{kT}} - 1},$$

$$(215) \quad S = k \left\{ N\alpha + \frac{U}{kT} - \sum_i Z_i \ln \left(1 - e^{-\alpha - \frac{u_i}{kT}} \right) \right\}.$$

In beiden Ausdrücken hat man nun den Wert von Z_i nach (193) einzuführen und gewinnt dann:

$$(216a) \quad N_i = \frac{\frac{2\pi V}{h^3} \pi m^{\frac{3}{2}} u_i^{\frac{1}{2}} \cdot d u_i}{e^{\alpha + \frac{u_i}{kT}} - 1}.$$

und, da $N = \sum_i N_i$ ist

$$(216) \quad N = \frac{2\pi F(2\pi)^3}{h^3} \int_0^\infty \frac{\eta^3}{e^{\eta + \frac{\eta^2}{2T}} - 1} d\eta,$$

so wie für die Entropie S :

$$(217) \quad S = k \left\{ N \kappa + \frac{U}{T} - \frac{2\pi F(2\pi)^3}{h^3} \int_0^\infty \eta^3 \ln \left(1 - e^{-\eta - \frac{\eta^2}{2T}} \right) d\eta \right\}.$$

Die Summation ist hier durch das Integration ersetzt, die über alle Energiewerte zu verstehen ist, d. h. von 0 bis ∞ geht. Da die Gesamtenergie $U = \sum_i N_i \epsilon_i$ ist, so kann man auch für diese den definitive Ausdruck finden:

$$(218) \quad U = \frac{2\pi F(2\pi)^3}{h^3} \int_0^\infty \frac{\eta^5}{e^{\eta + \frac{\eta^2}{2T}} - 1} d\eta.$$

Die Gleichungen (216) bis (218) stellen das Verhalten des einatomigen Gases nach der Bose-Einsteinischen Statistik dar. Es sind natürlich ganz solche Formeln, wie wir sie nach der Boltzmann-Planckschen Statistik bisher erhalten, wie ein Blick auf die Gleichungen (189) und (190) ergibt. Das ist ja auch natürlich angesichts des betrachteten Ausgangspunktes selbstverständlich.

Wir können aber zugleich zeigen, daß die bisherige Boltzmannsche Theorie als Grenzfall in der hier vorgetragenen enthalten ist, und zwar dann, wenn

$$(219) \quad e^{\eta} \gg 1$$

ist. Dann kann neben der Exponentialfunktion $e^{-\eta - \frac{\eta^2}{2T}}$ die Zahl 1 vernachlässigt werden. Wenn diese Annahme gestattet ist, wollen wir später sehen und zunächst einmal die Erfüllung der Ungleichung (219) voraussetzen. Dann geht Gleichung (204a) für die Verteilungszahlen N_i über in die folgende Gleichung:

$$(220a) \quad N_i = \frac{2\pi F(2\pi)^3}{h^3} \eta^3 \left(e^{-\eta - \frac{\eta^2}{2T}} \right) d\eta,$$

und da die Gesamtzahl $N = \sum_i N_i$ ist, folgt für N , d. h. zur Bestimmung der Größe α , die Gleichung:

$$(220) \quad N = \frac{2\pi F}{h^3} (2\pi)^3 e^{-\alpha} \int_0^\infty \eta^3 e^{-\eta - \frac{\eta^2}{2T}} d\eta.$$

Das rechts stehende Integral ist nach bekannten Methoden leicht auszurechnen; sein Wert ist: $\frac{\sqrt{\pi}}{2} \cdot (kT)^{\frac{1}{2}}$. Daraus erhält man:

$$(221) \quad N = \frac{V}{\pi^2} (2\pi\mu kT)^{\frac{3}{2}} \cdot e^{-\alpha},$$

was für e^{α} bzw. α die Gleichungen ergibt:

$$(222) \quad \begin{cases} e^{\alpha} = \frac{V}{\pi^2} (2\pi\mu kT)^{\frac{3}{2}}, \\ \alpha = \ln \left\{ \frac{V}{\pi^2} (2\pi\mu kT)^{\frac{3}{2}} \right\}. \end{cases}$$

Man erkennt, daß α keine Konstante, sondern Funktion von T ist.

Für die Gesamtenergie U erhält man nach (220):

$$U = \frac{3\pi V}{\pi^2} (2\pi\mu)^{\frac{1}{2}} e^{-\alpha} \cdot \int_0^{\infty} \omega_1^2 e^{-\frac{\omega_1^2}{kT}} d\omega_1.$$

Das Integral kann ebenso ausgerechnet werden, wie das ähnliche in (220); es hat den Wert: $\frac{1}{2} \sqrt{\pi} (kT)^{\frac{3}{2}}$. Folglich wird die Gesamtenergie:

$$U = \frac{3\pi V}{\pi^2} (2\pi\mu)^{\frac{1}{2}} e^{-\alpha} \cdot \frac{3}{4} \sqrt{\pi} (kT)^{\frac{3}{2}},$$

oder nach Einsetzung von e^{α} aus (222):

$$(223) \quad U = \frac{3}{4} N k T.$$

Das ist aber der Äquipartitionswert, bei dem auf jeden Freiheitsgrad die Energie $\frac{1}{2} kT$ entfällt.

Setzt man den Wert von $e^{-\alpha}$ in den Ausdruck (216) für die Verteilungszahlen N_i ein, so erhält man auch hier den klassischen Wert, nämlich das Maxwell'sche Verteilungsgesetz.

Wir gehen jetzt zur Berechnung der Entropie über. In der Gleichung (217) für dieselbe ist vorwiegend der Ungleichung (215):

$$1 \gg e^{-x} = e^{-\frac{\omega_1^2}{kT}},$$

also kann man statt $\ln \left(1 - e^{-x} = e^{-\frac{\omega_1^2}{kT}} \right)$ in der letzten Näherung schreiben $-e^{-x} = e^{-\frac{\omega_1^2}{kT}}$, da für $x < 1$ annähernd gilt:

$$\ln(1-x) = -x,$$

und damit geht (217) über in

$$S = kN \alpha + \frac{N}{2} + \frac{3\pi V}{\pi^2} (2\pi\mu)^{\frac{1}{2}} e^{-\alpha} \int_0^{\infty} \omega_1^2 e^{-\frac{\omega_1^2}{kT}} d\omega_1.$$

Es das zweite statische Integral — dasselbe, das in Gleichung (218) auftritt — den Wert $\frac{K^2}{2} (kT)^2$ besitzt, so findet man für S :

$$S = kNn + \frac{U}{T} + kV \frac{(\frac{2\pi m kT}{h^2})^{\frac{3}{2}}}{2} e^{-\alpha},$$

oder endlich, da nach Einsetzen von $e^{-\alpha}$ nach (222) das letzte Glied einfach gleich kN wird:

$$(224) \quad S = kN (n + 1) + \frac{U}{T}.$$

Diese Gleichung stellt die Entropie von 1 Mol des einatomigen Gases dar, wenn wir N mit der Avogadroscchen Zahl identifizieren. Haben wir n Mole Gas, so multipliziert sich der Wert natürlich mit n und man erhält daher nach Einsetzung des Energiewertes (223):

$$S = nR(n + 1).$$

Hier kann man nach dem Wert für n aus der zweiten Gleichung (222) auflösen und erhält:

$$(225) \quad S = nR \ln \left\{ \frac{V}{g} \left(\frac{2\pi m kT}{h^2} \right)^{\frac{3}{2}} \right\}.$$

Aus diesem Ausdruck für S können wir den Druck durch Differentiation nach V bei konstantem T , d. h. bei konstantem T , gewinnen, denn nach der Definition der Entropie ist $\left(\frac{\partial S}{\partial V} \right)_T = \frac{p}{T}$.

Die Ausführung der Differentiation ergibt:

$$\left(\frac{\partial S}{\partial V} \right)_T = \frac{nR}{V} = \frac{p}{T}.$$

d. h.

$$(226) \quad pV = nRT.$$

Dies ist aber die ideale Gasgleichung. Drückt man mit ED's denselben V durch T und p aus und führt dies in (225) ein, so erhält man S pro Mol (d. h. $n = 1$) als Funktion von T und p und damit den Wert für die Entropiekonstante S^0 :

$$(227) \quad \begin{cases} S = R \ln T - R \ln p + S^0, \\ S^0 = R \ln \frac{(2\pi m kT)^{\frac{3}{2}}}{h^3}. \end{cases}$$

Dies ist sowohl die bekannte Entropieformel, als auch der Sackur-Tetrode'sche Wert für die Entropiekonstante, den wir in Gleichung (178) bereits abgeleitet hatten; in (227) steht nur das Dampfgewicht μ , das wir hier der Einfachheit halber nicht eingebracht haben.⁷⁾

Mit den Gleichungen (226), (225) und (227) ist tatsächlich gezeigt, daß im Grenzfalle der Ungleichung (219) die Bose-Einstein'sche Statistik die Resultate der Boltzmann-Planckschen, d. h. der klassischen

⁷⁾ Vgl. die Anmerkungen I) und II) auf pag. 325.

Statistik liefert. Insbesondere ist hervorzuheben, was man aus bekannten, an Gleichung (22) sieht, daß gleichzeitige Verdopplung von T und N die geschweifte Klammer ganz unverändert läßt; im Ausdruck der Entropie verdoppelt sich nur n , die Anzahl der Mole, wie es zu erwarten ist. Es ist bemerkenswert, daß wir hierbei gar keine Normierungseinschränkungen angetroffen haben, die bei der klassischen Statistik eine empfindliche Störung bedeuten.

Nach der Gleichung (22) für σ kann man beurteilen, wenn die Vernachlässigung von 1 neben der Exponentialfunktion $e^{n+\frac{3}{2}}$ gerechtfertigt ist. Allgemein sieht man, daß je höher die Temperatur T , je höher das Atomgewicht und je kleiner die Dichte des Gases ist, um so größer σ wird; um so eher kann 1 dagegen vernachlässigt werden. Hohe Temperatur und geringe Dichte sind ja also gerade die Verhältnisse, unter denen ein Gas sich dem idealen Zustande am meisten nähert. Für Wasserstoff von Atmosphärendruck und $T = 300^\circ$ abs. ergibt sich z. B. $\sigma = 5 \cdot 10^6$, also in der Tat viel größer als 1; für andere Gase unter denselben Bedingungen ist die für Wasserstoff erhaltene Zahl mit dem Faktor $\frac{(\text{Atom-Gew.})^3}{\text{Dichte}}$ zu multiplizieren, also noch günstiger.

Man erkennt schon aus der bisherigen Darstellung, und es wird sich im folgenden noch weiter bestätigen, daß dem numerischen Werte von σ eine entscheidende Bedeutung zukommt: Neben ihm haben wir festgestellt, daß für $\sigma \gg 1$ die Bose-Einsteinsche Statistik in die Boltzmann-Plancksche übergeht.

Wir wollen die Rechnung noch um eine Größenordnung genauer führen.

Es wird sich also darum handeln, die Größen N , U , S genauer zu berechnen als bisher. Die exakte Formel (21b) für N lautet:

$$N = \frac{2\pi F G \mu^3}{h^3} \int_0^\infty \frac{u^2}{e^{n+\frac{3}{2}} - 1} du.$$

Wir können sie in folgender Weise umschreiben:

$$(23) \quad N = \frac{2\pi F G \mu^3}{h^3} \int_0^\infty u^2 du \frac{e^{-n-\frac{3}{2}} e^{-\frac{3}{2}u}}{1 - e^{-n-\frac{3}{2}} e^{-\frac{3}{2}u}}$$

und wollen hierzu noch annehmen, daß

$$\sigma \gg 1$$

ist; jedoch wollen wir im Nenner die Größe $e^{-\frac{1}{2}x} \cdot e^{-\frac{1}{2}x} = 1$ schreiben. Der unter dem Integralzeichen stehende Bruch hat die Gestalt $\frac{x}{1-x}$, und das kann für $0 \leq x < 1$ in folgender Weise entwickelt werden:

$$\frac{x}{1-x} = \sum_{i=1}^{\infty} x^i.$$

Seien wir noch der Abkürzung halber

$$(118) \quad e^{-x} = a,$$

so können wir schreiben:

$$(119) \quad \frac{e^{-x} \cdot e^{-\frac{1}{2}x}}{1 - e^{-x} \cdot e^{-\frac{1}{2}x}} = \sum_{i=1}^{\infty} a^i x^{-\frac{1}{2}i},$$

und dies wollen wir in (116) einsetzen. Durch gezielte Anordnung bzw. Vertauschung von Integralen und Summation erhält man:

$$(120) \quad Y = \frac{2\pi r_0^3 \rho c^3}{g} \cdot \sum_{i=1}^{\infty} a^i \int_0^{\infty} a_i^i x^{-\frac{1}{2}i} dx.$$

Das Integral hat dieselbe Form wie dasjenige in Gleichung (113), es hat den Wert $\frac{2\pi}{i} \cdot i^{-1} (kT)^{\frac{1}{2}}$. Damit gewinnt man die genauere Darstellung für Y :

$$(121) \quad Y = \frac{2\pi r_0^3 \rho c^3}{g} \cdot \sum_{i=1}^{\infty} a^i \cdot i^{-1}.$$

Berücksichtigt man nur das erste Glied der Summe, so geht diese Gleichung über in (52), wie es sein muß.

In genau derselben Weise verfahren wir bei der Berechnung der Gesamtenergie U , für die die exakte Formel (118), etwas umgeformt, lautet:

$$(122) \quad U = \frac{2\pi r_0^3 \rho c^3}{g} \int_0^{\infty} a_i^i \frac{x e^{-\frac{1}{2}x}}{1 - e^{-x} \cdot e^{-\frac{1}{2}x}} dx.$$

Wenn wir hier für den unter dem Integralzeichen stehenden Quotienten die vorher bewiesene Entwicklung einsetzen, so geht diese Gleichung über in die folgende:

$$(123) \quad U = \frac{2\pi r_0^3 \rho c^3}{g} \cdot \sum_{i=1}^{\infty} a^i \int_0^{\infty} a_i^i x^{-\frac{1}{2}i} dx.$$

Auch das hier auftretende Integral können wir berechnen; es hat den Wert $\frac{1}{2} \sqrt{\pi} e^{-1/2} (kT)^{3/2}$. Damit gewinnen wir die folgende Darstellung für U :

$$(334) \quad U = \frac{3}{2} \cdot \frac{V}{N} (2\pi m kT)^{3/2} \cdot kT \cdot \sum_i e^{-\frac{\epsilon_i}{kT}}.$$

Schließlich folgt durch Dividieren von (334) und (333) für die mittlere Energie $\bar{\epsilon} = \frac{U}{N}$ eines Quantenzustandes:

$$(335) \quad \bar{\epsilon} = \frac{\bar{\epsilon}}{N} = \frac{3}{2} kT \cdot \frac{\sum_i \epsilon_i e^{-\frac{\epsilon_i}{kT}}}{\sum_i e^{-\frac{\epsilon_i}{kT}}},$$

oder für die Gesamtenergie:

$$(336) \quad U = \frac{3}{2} N kT \cdot \frac{\sum_i \epsilon_i e^{-\frac{\epsilon_i}{kT}}}{\sum_i e^{-\frac{\epsilon_i}{kT}}}.$$

Man sieht, daß dieser Wert sich um den Faktor $\frac{\sum_i \epsilon_i e^{-\frac{\epsilon_i}{kT}}}{\sum_i e^{-\frac{\epsilon_i}{kT}}}$ von dem bisher erhaltenen Äquipartitionswert unterscheidet.

Für die in (333) und (334) auftretenden Summen wollen wir eine kurze Bezeichnung einführen:

$$(337) \quad \begin{cases} \sum_i e^{-\frac{\epsilon_i}{kT}} = z(x), \\ \sum_i \epsilon_i e^{-\frac{\epsilon_i}{kT}} = y(x). \end{cases}$$

Damit haben wir schließlich:

$$(338a) \quad N = \frac{U^{3/2} \pi^{1/2} V}{\sigma^3} \cdot z(x),$$

$$(338b) \quad U = \frac{3}{2} \cdot \frac{V (2\pi m kT)^{3/2}}{\sigma^3} \cdot kT \cdot y(x),$$

$$(338c) \quad U = \frac{3}{2} N kT \cdot \frac{y(x)}{z(x)}.$$

In genau derselben Weise berechnen wir nunmehr die Entropie S , für die die exakte Gleichung (317) lautet:

$$(337) \quad S = kN \pi + \frac{S}{\sigma} - \frac{k\pi T}{\sigma^3} \frac{d^3 z}{dx^3} \int_0^\infty \eta \left\{ \ln \left(1 - e e^{-\frac{\eta^2}{2kT}} \right) \right\} d\eta,$$

Hier läßt sich der Logarithmus unter dem Integralzeichen in folgender Weise entwickeln:

$$\ln \left(1 - e e^{-\frac{\eta^2}{2kT}} \right) = - \sum_i \frac{e e^{-\frac{\eta^2}{2kT}}}{1 - e e^{-\frac{\eta^2}{2kT}}}.$$

Setzt man diese Entwicklung in (317) ein, so findet man:

$$S = k N \alpha + \frac{U}{T} + \frac{k T}{2 p} (3 \pi \mu k T)^{\frac{1}{2}} \cdot \varepsilon(\alpha).$$

Durch Benutzung der Werte von N und U in (334a) und (336a) läßt sich dies so umformen:

$$S = k M \alpha + \frac{3}{2} \cdot N k \frac{\varepsilon(\alpha)}{\varepsilon(\alpha)} + N k \frac{\varepsilon(\alpha)}{\varepsilon(\alpha)},$$

oder endlich:

$$(336) \quad S = k N \left[\alpha + \frac{3}{2} \cdot \frac{\varepsilon(\alpha)}{\varepsilon(\alpha)} \right].$$

Wird $\frac{\varepsilon(\alpha)}{\varepsilon(\alpha)} = 1$ gesetzt — das war unsere bisherige Näherung — so geht dieser Wert in den alten nach Gleichung (334) bzw. (335) über, wie es sein muß.

Wir könnten nun zur Aufstellung der Zustandsgleichung so vorgehen wie früher, indem wir $\left(\frac{\partial S}{\partial T}\right)_p = \frac{U}{T^2}$ bilden. Indessen sind die dabei notwendigen Umrechnungen etwas mühsam; wir ziehen es daher vor, zunächst aus S und U die freie Energie $F = U - TS$ zu bilden und dann die bekannte thermodynamische Gleichung

$$(337) \quad - \left(\frac{\partial F}{\partial T}\right)_p = p$$

zu benutzen, die wir auf pag. 177 [Gleichung (46)] abgeleitet hatten. Man erhält für die freie Energie den Ausdruck:

$$(342) \quad F = U - TS = - N k T \left[\frac{\varepsilon(\alpha)}{\varepsilon(\alpha)} + \alpha \right] = - N k T \left[\frac{\varepsilon(\alpha)}{\varepsilon(\alpha)} - \ln \varepsilon \right],$$

und nach (337) erhält man für den Druck p :

$$p = k N T \left[\frac{\partial \varepsilon - \varepsilon \varepsilon'}{\varepsilon^2} - \frac{1}{\varepsilon} \right] \frac{\partial \varepsilon}{\partial \alpha} \left(\frac{\partial \alpha}{\partial T} \right)_p,$$

oder unter Beachtung der Definition von ε :

$$p = - N k T \left[\frac{\partial \varepsilon - \varepsilon \varepsilon'}{\varepsilon^2} - \frac{1}{\varepsilon} \right] \varepsilon \left(\frac{\partial \alpha}{\partial T} \right)_p.$$

In dieser Gleichung bedeuten die Striche Ableitungen der Größen ε und p nach ihrem Argument α ; für ε selbst dürfen wir eine Näherungsgleichung benutzen¹⁾, aus der sich ergibt, daß $\left(\frac{\partial \alpha}{\partial T}\right)_p = \frac{1}{T} \left(1 - \frac{\varepsilon}{\varepsilon T \varepsilon'}\right)$ ist. Mithin folgt:

$$(343) \quad p = - \frac{N k T}{\varepsilon} \left[\frac{\partial \varepsilon - \varepsilon \varepsilon'}{\varepsilon^2} - \frac{1}{\varepsilon} \right] \varepsilon \left(1 - \frac{\varepsilon}{\varepsilon T \varepsilon'}\right).$$

¹⁾ Die Näherungsgleichung (315) und so dieser Beweis beruhen nicht von einer Grenzwertung getrennt durchgeführt werden, wodurch eben der Faktor $\left(1 - \frac{\varepsilon}{\varepsilon T \varepsilon'}\right)$ entsteht.

Berechnet man die Klammerngröße bis zu Gliedern der Größenordnung ε aus, so erhält man:

$$(341a) \quad pF = NkT \left[1 - \frac{\varepsilon}{4\gamma^2} \right] = NkT [1 - 0,176\varepsilon],$$

und wenn man hier noch den Wert (332) für ε einsetzt, folgt schließlich die Zustandsgleichung:

$$(342) \quad pF = NkT \left[1 - 0,176 \frac{N^2}{V(\sum_{\alpha, \beta} kT \gamma_{\alpha\beta})} \right].$$

D. h. eine Abweichung von dem idealen Gasgesetz — eine Korrektur, wie wir es früher genannt haben.

Bevor wir genauer darauf eingehen, wollen wir noch auf die interessante Eigenschaft aufmerksam machen. In dem Ausdruck (342a) für die Gesamtenergie kommt der Faktor $\frac{1(d)}{2(d)}$ vor. Dieser Faktor ist infolge des eigentümlichen Bildungsgesetzes der Summen (327) exactly gleich dem in (341) oder (342) auftretenden Klammerngröße. Man hat daher, wenn man sich durch Ausrechnung leicht überzeugen kann:

$$(343a) \quad U = \frac{3}{2} NkT \left[1 - 0,176 \frac{N^2}{V(\sum_{\alpha, \beta} kT \gamma_{\alpha\beta})} \right],$$

und folglich durch Vergleich mit (342):

$$(343) \quad pF = \frac{2}{3} U.$$

Diese Resultat ist nicht das Folge unserer Näherungsrechnung, sondern gilt, wie Einstein gezeigt hat, auch für die exakten Formeln.¹⁾ In dieser Form wird die Zustandsgleichung, wie man sich erinnert, vom klassischen Virialtheorem geliefert, das wir Fr. II besprochen haben.

Schließlich ist es noch interessant, sich klar zu machen, wie die Abweichungen vom Maxwellischen Verteilungsgesetz hier aussehen. Dazu haben wir nur in der ersten Gleichung (335a) für N_1 die hier benutzte Näherung einzuführen. Man erhält in Näher-Näherung, wenn $\alpha_1 = \frac{d}{2} \alpha_1^2$ gesetzt wird:

$$(344) \quad N_1 = \frac{4\pi N e^{-\frac{v^2}{2kT}} \int_0^{\frac{v}{2}} \xi^2 d\xi}{(\sum_{\alpha, \beta} kT \gamma_{\alpha\beta})^2} \sum_{\alpha} e^{-\frac{v^2}{2kT}}.$$

Diese Gleichung unterscheidet sich durch den Korrekturfaktor vom Maxwellischen Gesetz; dieser Korrekturfaktor wird mit wachsender Geschwindigkeit kleiner, mit anderen Worten: In dem modifizierten Verteilungsgesetz (344) sind die kleineren Geschwindigkeiten stärker vertreten, als dem Maxwellischen Gesetz entsprechen würde.

¹⁾ In (343) sich dies leicht zeigen durch partielle Integration des in der Gleichung (342) für F auftretenden Summen-Integrals.

Die Gasentartung, die in den Gleichungen (341a) und (342) enthalten ist, hängt quantitativ ab von der Größe $\sigma = \sigma^{-2}$. Deshalb kann man diese als den „Entartungsfaktor“ bezeichnen. Bei unserer Entwicklung war $\sigma < 1$ vorausgesetzt; hier liegt eine „schwache“ Entartung vor, d. h. die Abweichungen vom idealen Gaszustand sind relativ klein. Sie betragen z. B. für Helium von 10 Atm. Druck und $T = 2^\circ$ also, etwa 16 %. Allerdings ist Helium in diesem Zustande keineswegs mehr ein ideales Gas, wie denn überhaupt die ganze Theorie, die Gasentartung experimentell zu prüfen darin beruht, daß man die Gasentartung experimentell zu prüfen darin beruht, daß man die Gasentartung von den von der Waalschen Abweichungen trennen muß.

Es liegt nun die Frage nahe, in welchen Grenzen σ überhaupt variieren kann. Darauf gibt Antwort die Betrachtung eines der ersten Formel (21a)

für N_1 . Der dort auftretende Nenner $\left\{ e^{x + \frac{2\pi}{15}} - 1 \right\}$ darf natürlich nicht Null werden. Da der kleinste Wert von x_1 gleich Null ist, so muß also zunächst jedenfalls $\sigma < 1$ sein; Werte von $\sigma > 1$ sind dadurch ausgeschlossen, daß N_1 eine positive Größe ist, was mit $\sigma > 1$ unvereinbar wäre. Das bedeutet also, daß $\alpha = -\ln \sigma$ zwischen 0 und ∞ liegen muß, also nur positive Werte annehmen darf. Eine Schwierigkeit bildet noch die untere Grenze $\alpha = 0$. Denn der in Betracht kommende Integrand in (20a)

hat dann die Form $-\frac{x^{\frac{1}{2}}}{1 - e^{-\frac{x}{\sigma}}}$, der allerdings an der unteren Grenze $x_1 = 0$ unendlich wird, nämlich wie $\frac{1}{x^{\frac{1}{2}}}$; aber das Integral von 0 bis ∞ bleibt dennoch endlich. Es ist daher der Grenzwert $\sigma = 1$ oder $\alpha = 0$ selbst auch noch zulässig. Auch die Reihen (337) für $y(x)$ und $z(x)$ bleiben noch für $\sigma = 1$ gültig. Bei dieser Herleitung haben wir allerdings eine Entwicklung von der Form benutzt

$$\frac{x}{1-x} = \sum_{n=1}^{\infty} x^n,$$

die nur für $x < 1$ konvergent ist. Aber durch einen geeigneten Grenzübergang läßt es sich dennoch zeigen, daß die Formel (217) auch noch für $\sigma = 1$ in Gültigkeit bleibt. Das hat man, wennat Einstein hingewiesen hat, eine besondere Bedeutung für die Größe N . Denn nach Gleichung (333a) kann N nicht über den Wert

$$N_{\max} = \frac{F G \pi g k T^{\frac{3}{2}}}{g^{\frac{3}{2}}} \cdot \gamma(1)$$

steigen. Nehmen wir nun an, durch geeignete Wahl von F und T sei gerade dieser Maximalwert von N erreicht. Wenn man dann das Gas isotherm komprimieren, so wird F kleiner, also muß N abnehmen. Aber die Zahl der Atome N soll doch konstant sein! Dieser Widerspruch löst

sich nach Einstein so, daß die über den jeweils zulässigen Wert N_{\max} vorhandenen Atome aus dem Gas durch eine Art „Kondensation“ verschwinden. Der Überschuß der an sich natürlich vorhandenen Atome tritt als „Boschkörper“ auf; jeder der so aus dem Gas durch „Kondensation“ verschwundenen Atome hat dann die Energie $\epsilon_1 = 0$. Von diesem Moment ab verhält sich das Gas total anders, wie man es von einem kalten Gas gewohnt ist: Es verhält sich aber wie ein gesättigter Dampf; deshalb spricht Einstein in diesem Falle vom „gesättigt idealen Gas“.⁴⁾

Wir begnügen uns mit der Angabe dieses Resultates, aus dem wir nur noch eine Folgerung angeben wollen: Für $T = 0$ wird nach der letzten Gleichung auch die Zahl $N_{\max} = 0$, d. h. alle Atome des Gases sind „kondensiert“ und besitzen die kleinste mögliche Energie $\epsilon_1 = 0$. Sie sitzen also alle in einer Normalschale des Phasennetzes, es gibt also nur eine einzige Anordnungsmöglichkeit, nämlich sämtliche N Atome in einer Kette. Folglich ist die thermodynamische Wahrscheinlichkeit dieses Zustandes gleich 1, seine Entropie gleich Null. Das ist in Übereinstimmung mit der Planckschen Fassung des Nernstschen Theorems.

Grundsätzlich ist zur Frage der Gasentartung folgendes zu sagen: Von rein experimentellen Standpunkt liegt eigentlich noch kein Grund vor, an der unbeschränkten Gültigkeit der Gasgesetze zu zweifeln.⁵⁾ Das Problem wurde erst aufgeworfen durch die in Kapitel VII mehrfach betonte Tatsache, daß bei Gültigkeit der Gasgesetze das Nernstsche Theorem für Gase jedenfalls nicht gelten kann. Faßt man nun das Nernstsche Theorem mit einem Schöpfer als ein universelles erstes Naturgesetz auf, so wäre es allerdings auffallend, daß die Gase davon ausgenommen sein sollten. Diese Erwägung war es, die Planck als Kerton dazu veranlaßte, an der ersten Gültigkeit der Gasgesetze zu zweifeln. Er hat auch eine (provisorische) Theorie der Gasentartung entwickelt, die mit den Tatsachen jedenfalls insofern nicht im Widerspruch stand, als die — experimentell ja nicht beobachteten — Abweichungen von den idealen Gasgesetzen nach seiner Theorie erst bei extrem niedrigen Temperaturen auftreten. Diese, wie alle älteren Theorien der Gasentartung, haben heute nur noch historische Bedeutung.

⁴⁾ Es versteht sich hervorzuheben zu werden, daß Schrodinger diese Folgerung Einsteins, die auf der Annahme $\epsilon = 1$, oder $\epsilon = 0$ beruht, nicht entziffert. Schrodinger hat ein System, die mit einer „Wellenmechanik“ zusammenhängen, die die Möglichkeit $\epsilon = 0$ für unmöglich.

⁵⁾ Allerdings hat W. Meissner kürzlich (Phys. Zeits. 38, pag. 695, 1935) Beobachtungen über die Atomwärme von Helium bei 1,9° abs. und bei einem Druck von $\frac{1}{2}$ Atm. mitgeteilt. Nach diesen Messungen, deren Genauigkeit auf einige Prozent veranschlagt wird, unterscheidet die Atomwärme des Heliums bei diesen Bedingungen den Äquipartitionswert von rund 1-Cal/Mol um etwa 10%, sie beträgt 1,34 Cal/Mol. Dieser Befund ist allerdings vom Teil der Gasentartung zurückzuführen; doch scheint die Messung zur Prüfung einer Theorie der Gasentartung nicht aus.

Au der Bose-Einsteinischen Statistik führen Erwägungen, die mit der modernen Quantentheorie von Schrödinger zusammenhängen,⁴ in diesem Sinne ist es daher bemerkenswert, daß man auch von einer anderen Seite her zur Forderung einer Quantisierung geführt wird. Ein wichtiges Beispiel ist aber zur Zeit nicht geführt, obgleich die Methode der Theorien wohl dazu zwingt, die Existenz der Quantisierung anzunehmen. Würde eine solche nachgewiesen, so würde dies jedenfalls einen starken Stempel für die Annahme von der universellen Gültigkeit des Fermiischen Theorems setz.

126. Die Fermische Statistik; Quantisierung; das Mikroschema.

Die moderne Quantentheorie hat noch eine andere Art von Statistik in den Vordergrund des Interesses gestellt, die mit der Bose-Einsteinischen — gegenüber der Boltzmann-Planckschen — das Gegenüber hat, daß die Unabhängigkeit der einzelnen Atome auch bei ihr aufgegeben wird. Diese von Fermi⁵ angegebene Statistik beschreibt die Anzahl der Mikrozustände auch weiter, als es die Boseische tut.

Der Gedankengang Fermis ist der folgende: In der Theorie der Linienspektren hat sich ein bewährtes Prinzip von W. Pauli⁶ bewährt, welches aussagt, daß in einem Atom nicht zwei Elektronen denselben Quantenzustand haben können, also geometrisch gesprochen, daß in einer Zelle des zugehörigen Phasenraumes nicht zwei (oder mehr) Elektronen vorhanden sein können. Jede Zelle kann daher nur mit einem oder mit keinem Elektron besetzt sein. Dieses in der Systematik der Linienspektren bewährte Prinzip wendet man Fermi verstanden auf das Gas an, indem er postuliert, daß in einer Zelle des „Phasenraumes“ höchstens ein Atom liegen kann; er läßt also nur die Besetzungszahlen 0 und 1 zu. Wenn wir zu unserem Schema von pag. 535 zurückkehren, in dem wir $Z_1 = 4$, $N_1 = 2$ gewählt hatten, so sind also nach Fermi die Fälle I bis IV, bei denen eine Doppelbesetzung von Zellen auftritt, als nicht vorkommend zu streichen. Die in dem Schema übrigen Fälle V bis XVI werden — wie bei Bose und Einstein — nun als sechs unabhängige Mikrozustände betrachtet, da die Atome nicht indistinguishiert werden.

Das kombinatorische Problem ist hier folgendes: N_1 Atome sollen auf Z_1 Zellen so verteilt werden, daß höchstens ein Atom in jeder Zelle liegt. Dem ersten Atom stehen Z_1 Möglichkeiten offen, dem zweiten nur noch $(Z_1 - 1)$, dem dritten nur $(Z_1 - 2)$, ... Dem N_1 -ten Atom also nur noch $(Z_1 - N_1 + 1)$ Möglichkeiten, so daß wir insgesamt für die Anzahl der Anordnungsmöglichkeiten den Ausdruck erhalten:

$$Z_1 (Z_1 - 1) (Z_1 - 2) \dots (Z_1 - N_1 + 1),$$

⁴ Vgl. die Anmerkung auf pag. 529.

⁵ Fermi, *Schweiz. Z. Phys.* 9, pag. 302, 1926.

⁶ W. Pauli, *Zürich*, 84, pag. 703, 1925.

Dieser ist aber identisch — in Fakultäten geschrieben — mit dem folgenden:

$$\frac{E_1!}{N_1!}.$$

Bei diesem Ausdruck sind aber die Atome noch individualisiert; er ist daher noch durch die Zahl der Permutationen zu dividieren, die nach Rote und Fermi nicht unterschieden werden; das sind $(E_1 - N_1)!$ Vertauschungsmöglichkeiten, die nicht gesondert zählen. Also bekommen wir insgesamt

$$\frac{E_1!}{N_1!(E_1 - N_1)!}$$

als voneinander verschieden zu zählende Fälle von Anordnungen der N_1 Atome auf E_1 Stellen. Für unser aus N Atomen bestehendes Gas erhalten wir alle Verteilungsmöglichkeiten durch eine Produktbildung über alle Werte von 1. Dieser Ausdruck ist die Zahl der als gleich wahrscheinlich betrachteten Mikrozustände, die den Makrozustand $(N_1, N_2, \dots, N_g, \dots)$ realisieren. Wären Permutationen, — die bei der Boltzmannschen Statistik, bei der die Atome individualisiert sind, noch eine Reduktion dieser Zahl ergeben würden — letzten hier nichts Neues, da eben nicht individualisiert wird. Also ist die thermodynamische Wahrscheinlichkeit eines Makrozustandes

$$(244) \quad W_{\text{max}} = \prod_i \frac{E_i!}{N_i!(E_i - N_i)!},$$

und nach dem Boltzmannschen Prinzip seine Entropie:

$$S = k \ln W_{\text{max}}.$$

Wenn man das Theorem von Stirling anwendet, so findet man leicht:

$$(245) \quad S = k \sum_i [E_i \ln E_i - N_i \ln N_i - (E_i - N_i) \ln (E_i - N_i)].$$

Das Maximum der Entropie für den stationären Zustand unter Berücksichtigung der Nebenbedingungen

$$\begin{aligned} N &= \sum_i N_i, \\ U &= \sum_i N_i \varepsilon_i \end{aligned}$$

liefert die Gleichung:

$$\delta S = 0 = k \sum_i [(-\ln N_i + \ln (E_i - N_i)) - \alpha - \beta \varepsilon_i] \delta N_i,$$

wo $(-k\alpha)$ und $(-k\beta)$ als Lagrange'sche Multiplikatoren verwendet wurden; man erhält durch die bekannte Schlußweise daraus:

$$\ln \frac{E_i - N_i}{N_i} = \alpha + \beta \varepsilon_i,$$

woraus sich für die Zahlen N_i im Gleichgewichtszustande ergibt:

$$(246) \quad N_i = \frac{E_i}{e^{\alpha + \beta \varepsilon_i} + 1}.$$

Auf dieselbe Weise wie früher zeigt man auch hier, daß $\beta = \frac{1}{kT}$ ist. Vergleicht man diesen Ausdruck mit dem analogen (211) der Bose-Einstein'schen Statistik, so sieht man, daß der Unterschied formal darin besteht, daß bei uns im Nenner neben der Exponentialfunktion die Einheit mit dem Pluszeichen, dort mit dem Minuszeichen auftritt.

Man nimmt nun eine weitere Bedingung, daß wir für $e^{\beta} \gg 1$, wenn also die 1 neben der Exponentialfunktion vernachlässigt werden kann, wieder auf die Boltzmannsche Statistik zurückzuführen, d. h. die alten Ausdrücke für Entropie und Entropiekonstante wiederzufinden. Bei diesem Grenzfall stimmen also alle drei Statistiken miteinander überein. Wir brauchen hier infolgedessen nicht mehr darauf eingehen, sondern wollen, wie in der vorhergehenden Nummer, die nächste Näherung betrachten.

Zu diesem Zwecke schreiben wir die exakten Werte von N , U und S hin, die wir einfach aus den früheren Gleichungen (216), (217) und (218) erhalten, indem wir das Vorzeichen der Einheit neben der Exponentialfunktion wechseln. Man erhält so:

$$(245) \quad N = \frac{2\pi^2 V}{h^3} (2\pi\mu)^{\frac{3}{2}} \int_0^{\infty} u^{\frac{1}{2}} \frac{e^{-\beta u} e^{-\frac{3}{2}\beta\mu}}{1 + e^{-\beta u} e^{-\frac{3}{2}\beta\mu}} du.$$

$$(246) \quad U = \frac{2\pi^2 V}{h^3} (2\pi\mu)^{\frac{3}{2}} \int_0^{\infty} u^{\frac{3}{2}} \frac{e^{-\beta u} e^{-\frac{3}{2}\beta\mu}}{1 + e^{-\beta u} e^{-\frac{3}{2}\beta\mu}} du,$$

$$(247) \quad S = k \left\{ N \ln \frac{U}{N\mu} + \frac{2\pi^2 V (2\pi\mu)^{\frac{3}{2}}}{h^3} \int_0^{\infty} u^{\frac{1}{2}} \ln \left(1 + e^{-\beta u} e^{-\frac{3}{2}\beta\mu} \right) du \right\}.$$

Da immer noch $e^{\beta} \gg 1$ ist, so kann man den in den beiden ersten Integralen

auftretenden Ausdruck $\frac{e^{-\beta u} e^{-\frac{3}{2}\beta\mu}}{1 + e^{-\beta u} e^{-\frac{3}{2}\beta\mu}}$ in folgender Weise entwickeln:

$$(248) \quad \frac{e^{-\beta u} e^{-\frac{3}{2}\beta\mu}}{1 + e^{-\beta u} e^{-\frac{3}{2}\beta\mu}} = \sum_{n=1}^{\infty} (-1)^{n-1} e^{-\beta u} e^{-\frac{3}{2}\beta\mu n}.$$

Setzt man diese Entwicklung in (245) und (246) ein, so erhält man durch die gleiche Rechnung wie in der vorhergehenden Nummer:

$$(353) \quad N = \frac{V}{2\pi} (2\pi\mu kT)^{\frac{1}{2}} \beta(x),$$

$$(353') \quad U = \frac{3}{2} \cdot \frac{V}{2\pi} (2\pi\mu kT)^{\frac{1}{2}} \cdot kT \cdot \beta(x),$$

$$(354) \quad \frac{U}{N} = u = \frac{3}{2} kT \frac{\beta(x)}{\beta'(x)}.$$

Dabei sind die Größen β und β' Ableitungen der die Summe:

$$(355) \quad \left\{ \begin{array}{l} \beta(x) = \sum_{r=1}^{\infty} (-1)^{r-1} \cdot x^r \cdot r^{-\frac{1}{2}}, \\ \beta'(x) = \sum_{r=1}^{\infty} (-1)^{r-1} \cdot x^{r-1} \cdot r^{-\frac{1}{2}}. \end{array} \right.$$

Diese Ausdrücke unterscheiden sich von den in der vorigen Nummer in Gleichung (347) eingeführten Größen $x(x)$ und $y(x)$ lediglich durch das absteigende Vorzeichen. Ist nun man nun für x den offensichtlich auch hier geltenden Näherungswert nach Gleichung (352) einsetzt, erhält man, bis auf Größen zweiter Ordnung in x genau:

$$(356) \quad U = \frac{3}{2} N kT \left[1 + 0,1768 \frac{N\mu}{V(2\pi\mu kT)^{\frac{1}{2}}} \right],$$

und wenn man wieder über die freie Energie den Druck ausrechnet:

$$(357) \quad pV = N kT \left[1 + 0,1768 \frac{N\mu}{V(2\pi\mu kT)^{\frac{1}{2}}} \right],$$

so wie die der Virialgleichung entsprechende, exakt geltende Beziehung:

$$pV = \frac{2}{3} U.$$

Die Gleichungen (353) und (357) unterscheiden sich nur durch das Vorzeichen des zweiten Gliedes von den entsprechenden Gleichungen (353') und (352') der Bose-Einsteinischen Statistik. Sie stellen eine „schwache“ Quantenartung dar, die im umgekehrten Sinne liegt, wie die in der vorigen Nummer besprochene. Die dort gemachten quantitativen Angaben über die Größe der Abweichung gelten auch hier.

Wir können also hier unter Umständen eine „starke“ Entartung haben. Denn wegen des Falschseins der Einheit neben der Exponentialfunktion in den Gleichungen (357) bis (355) sind hier die Variablenangaben von x anders, als im Bose-Einsteinischen Falle. Man erkennt leicht, daß hier

$$0 \leq x \leq \infty$$

wurden, d. h. das entspricht einer Veränderung von α zwischen $-\infty$ und $+\infty$, d. h. α kann hier auch beliebig große negative Werte annehmen. Sehr große positive Werte von α haben wir oben behandelt; sie liefern die besprochene „schwache“ Entartung, die in den Formeln (352) bis (357) enthalten ist.

Nunmehr wollen wir im Gegenteil annehmen, daß α sehr große negative Werte annehmen soll, daß also die Ungleichung erfüllt sei

$$(348) \quad e^{-\alpha} > 1.$$

Dann sind natürlich die bisherigen Entwicklungen nicht mehr brauchbar, sondern wir müssen auf die exakten Formeln (346) und (347) zurückgehen. Unter Einführung der Variablen $\xi = \frac{\epsilon}{T}$ lassen sich diese schreiben:

$$N = \frac{2\pi F G \alpha^2}{h^3} (kT)^3 \int_0^\infty \frac{\xi^2 + e^{-\xi} \xi d\xi}{1 + e^{-\xi}},$$

$$U = \frac{2\pi F G \alpha^2}{h^3} (kT)^3 \int_0^\infty \frac{\xi^3 + e^{-\xi} \xi d\xi}{1 + e^{-\xi}}.$$

Setzt man nun mit Formel zur Abkürzung:

$$(349) \quad \left\{ \begin{aligned} \int_0^\infty \frac{\xi^2 + e^{-\xi} \xi d\xi}{1 + e^{-\xi}} &= \frac{\gamma_2^2}{2} F(\alpha), \\ \int_0^\infty \frac{\xi^3 + e^{-\xi} \xi d\xi}{1 + e^{-\xi}} &= \frac{3}{2} \frac{\gamma_2}{2} G(\alpha), \end{aligned} \right.$$

so kann man N und U schreiben:

$$(350) \quad N = \frac{\pi}{12} (2\pi \mu kT)^3 \cdot F(\alpha),$$

$$(351) \quad U = \frac{3\pi}{12} (2\pi \mu kT)^3 \cdot kT \cdot G(\alpha),$$

und durch Division folgt:

$$(352) \quad U = \frac{3}{2} N kT \frac{G(\alpha)}{F(\alpha)}.$$

Die Größe $\frac{G(\alpha)}{F(\alpha)}$ heißt also die Abweichung vom Äquipartitionssatz.

Die beiden Integrale (349) müssen für große Werte des Parameters α bekannt sein, d. h. wir müssen eine asymptotische Darstellung von $F(\alpha)$ und $G(\alpha)$ haben. Eine solche hat Fermi¹⁾ angegeben, dessen Resultat wir hier ohne Beweis abschreiben:

$$(353) \quad \left\{ \begin{aligned} F(\alpha) &= \frac{4}{3\pi^2} [\ln \alpha]^3 \left[1 + \frac{\alpha^2}{8 [\ln \alpha]^2} + \dots \right], \\ G(\alpha) &= \frac{8}{3\pi^2} [\ln \alpha]^2 \left[1 + \frac{3\alpha^2}{8 [\ln \alpha]^2} + \dots \right]. \end{aligned} \right.$$

¹⁾ Ein ähnlicher Beweis findet sich bei Sommerfeld, *Zeitschr. f. Phys.* 47, pag. 48, 1926.

Für sehr große Werte von n reduzieren sich die Klammern auf das erste Glied; setzt man die so erhaltenen Werte von $F(n)$ und $G(n)$ in die Gleichungen (353) bis (355) ein, so erhält man aus der ersten den Wert für die positive Größe $(-a)$:

$$(354) \quad -a = \frac{h^2}{8\pi^2} \left(\frac{N}{V}\right)^{\frac{1}{3}} \frac{h}{\mu} \cdot \frac{1}{T^{\frac{1}{3}}}.$$

Damit folgt aus (355) für die Gesamtenergie:

$$(355) \quad U = N \left[\frac{3}{8\pi} \left(\frac{h}{\pi}\right)^{\frac{1}{3}} \left(\frac{N}{V}\right)^{\frac{1}{3}} \frac{h}{\mu} + \frac{h^2 \pi^{\frac{1}{3}}}{8} \left(\frac{N}{V}\right)^{\frac{1}{3}} \frac{h}{8\pi} h^{\frac{1}{3}} T^{\frac{1}{3}} \right],$$

und für die Zustandgleichung nach dem Virialtheorem:

$$(356) \quad pV = \frac{2}{3} N \left[\frac{3}{8\pi} \left(\frac{h}{\pi}\right)^{\frac{1}{3}} \left(\frac{N}{V}\right)^{\frac{1}{3}} \frac{h}{\mu} + \frac{h^2 \pi^{\frac{1}{3}}}{8} \left(\frac{N}{V}\right)^{\frac{1}{3}} \frac{h}{8\pi} h^{\frac{1}{3}} T^{\frac{1}{3}} \right].$$

Wir geben noch den Wert für die Entropie an, der sich ohne weiteres aus (355) ergibt, wenn man darin eine partielle Integration ausführt und die asymptotischen Ausdrücke (355) benutzt:

$$(357) \quad S = kN \left[x + \frac{5}{2} \frac{G(x)}{F(x)} \right] = - \frac{kN\pi^{\frac{1}{3}}}{2} \cdot \frac{1}{\mu} = kN \left(\frac{\pi}{h}\right)^{\frac{1}{3}} \left(\frac{4\pi h N}{3V}\right)^{\frac{1}{3}} \mu kT.$$

Wir wollen nunmehr diese Gleichungen, die eine „starke“ Beziehung des Gases darstellen, etwas genauer betrachten. Aus dem Werte für die Entropie resultiert nun, daß sie für $T = 0$ linear mit T verschwindet: Das Fermische Theorem in der veranschauligten Planckschen Fassung ist also auch für ein „Fermi-Gas“ erfüllt. Dagegen verschwindet die Gesamtenergie nicht beim absoluten Nullpunkte, wie es beim nichtentarteten idealen Gas der Fall wäre, sondern hat den folgenden endlichen Wert:

$$(358) \quad U_0 = \frac{3N}{8\pi} \left(\frac{h}{\pi}\right)^{\frac{1}{3}} \left(\frac{N}{V}\right)^{\frac{1}{3}} \frac{h}{\mu}.$$

Es mißt also hier die sogenannte „Nullpunktsenergie“. Schon in der älteren Quantentheorie war man auf eine solche gestoßen; z. B. deutet das in der Anhangstafel auf pag. 541 hervorgehobene Zurückbleiben der mittleren Energie \bar{E} eines harmonischen Oszillators hinter dem Äquipartitionswert um $\frac{h\nu}{2}$, wie es die alte Theorie liefert, darauf hin, daß die Energie nicht vom Niveau Null, sondern von dem einer Nullpunktsenergie entsprechenden Niveau $+\frac{h\nu}{2}$ an zu zählen ist. Das Gleiche begreift man bei der Sternschen Ableitung der chemischen Konstanten, was wir dort auf pag. 490 hervorgehoben haben. Der dort vorhandene „Schwefelsäurefaktor“ der älteren Theorie ist in der modernen Quantentheorie beseitigt.

Folgt der Gleichung (267) zeigt der Druck ein ähnliches Verhalten wie die Energie; bei $T=0$ hat er den endlichen Wert:

$$(268) \quad p_0 = \frac{1}{3N} \frac{P}{V} \left(\frac{E}{N} \right) \left(\frac{P}{V} \right) \frac{M}{\mu},$$

den man den „Nullpunktdruck“ nennt. Man sieht, daß das Verhalten eines idealen „Fermi-Gases“ bei starker Entartung radikal von der klassischen „Idealität“ abweicht.

Wir wollen dies nun Schlußes nach dadurch illustrieren, daß wir die Abweichung vom Maxwellischen Verteilungsgesetz abschätzen. Dazu haben wir in Gleichung (267), die die Zahl N_1 der Moleküle angibt, deren eine Energie ϵ_1 übersteigt, den Wert von N_1 einzusetzen. Das liefert:

$$N_1 = \text{Const.} \cdot \frac{\int_1^\infty \epsilon \, d\epsilon}{1 + e^{\epsilon^2 \frac{1}{2kT}}},$$

wenn wir alle Konstanten zusammenfassen. Ist $e^{\epsilon^2 \frac{1}{2kT}} \gg 1$, so haben wir „schwache“ Entartung; durch Vernachlässigung der Eins in Nenner erhält man dann:

$$N_1 = \text{Const.} \cdot \int_1^\infty \epsilon^{-\frac{1}{2}} e^{-\frac{\epsilon^2}{2kT}} d\epsilon,$$

d. h. das Maxwellische Verteilungsgesetz mit der Maxwellischen „Verteilungsfunktion“ φ_M :

$$(270) \quad \varphi_M = e^{-\frac{\epsilon^2}{2kT}}.$$

Ist dagegen $e = e^{-\epsilon^2 \frac{1}{2kT}} \gg 1$, so können wir die Zahl N_1 schreiben:

$$N_1 = \frac{\text{Const.} \int_1^\infty \epsilon}{e + e^{\frac{\epsilon^2}{2kT}}} d\epsilon,$$

mit einer Fermischen Verteilungsfunktion φ_F :

$$(271) \quad \varphi_F = \frac{e}{e + e^{\frac{\epsilon^2}{2kT}}}.$$

Es ist am zweckmäßigsten, die Maxwellische Verteilungsfunktion φ_M und die Fermische φ_F miteinander zu vergleichen. Der Verlauf der ersten ist bekannt: Wir geben ihn in der Kurve II der Fig. 54 auf pag. 592 wieder; die Kurve hat die bekannte Form einer halben Glocke. Dagegen hat die Kurve der Fermischen Verteilungsfunktion (271) bei großem e eine ganz andere Gestalt, die neben der punktierten Maxwellischen in Fig. 58 für zwei verschiedenen große Werte $e_1 > e_2$ als Funktion der Geschwindigkeiten aufgetragen ist.

Man erkennt aus der Fig. 88, daß für kleine Geschwindigkeiten die

Funktion φ , nahezu konstant ist, so lange, bis $e^{\frac{mv^2}{2kT}} = e^{\frac{e^2 v^2}{2kT}}$ in der Größe mit v vergleichbar wird; dann fällt sie ab, um so steiler und bei um so größeren Geschwindigkeiten, je größer der Entartungsparameter $\sigma = e^{-\alpha}$ ist.

Es ist nun zweckmäßig, sich klar zu machen, wovon die Größe des „Entartungsparameters“ σ abhängt. Die Antwort darauf gibt uns die Gleichung (84), demzufolge die Entartung um so größer ist, je größer die Dichte, je kleiner das Atomgewicht und um so tiefer die Temperatur des Gases ist. Wir werden davon gleich eine Anwendung machen.



Fig. 88.

Kann aber werden wir die Frage auf, ob und für welche Gase die Fermische Entartung gilt. Die Fermi-Statistik hat sich entwickelt aus dem sogenannten Paulischen Prinzip, das sich auf das Verhalten der Elektronen eines Atoms bzw. Moleküls bezieht, wo es sich glänzend bewährt hat. Ob es dagegen für die Gesamtheit eines gewöhnlichen Gases gilt, ist zweifelhaft, zum mindesten nicht bewiesen. Es ist daher wohl möglich, daß die Fermische Statistik für kein gewöhnliches Gas Gültigkeit besitzt.

Was hat dann aber die ganze Betrachtung hier für einen Sinn?

Die übliche Vorstellung von der metallischen Elektrizitätsleitung ist die, daß in dem festen Gittergerüst der positiven Metallionen die negativen Elektronen mehr oder minder frei herumlagern. Die Elektronen treten daher durch Zusammenstoße mit den festen Ionen mit ihnen in Wärmeaustausch, sie betreiben auch die Wärmeleitung, und nach dem klassischen Äquipartitionstheorem wurde auf jedes Elektron der normale Energiestrom $\frac{1}{2}kT$ entfallen. Dieser Vorstellung, die besonders Brücke ausgebildet hat, verleiht man manchmal schonen Fortschritt. Dennoch steht sie in einem Punkte mit der Erfahrung in krassem Widerspruch. Wenn nämlich die Elektronen den Äquipartitionswert der Energie besitzen, so müßten sie sich in der spezifischen Wärme der Metalle sehr erheblich bemerkbar machen; in Wirklichkeit macht man aber nichts davon. Es kann also das „Elektronengas“ in Metallen sich nicht gemäß der klassischen Theorie verhalten. Wo aber dieser Widerspruch zu beenden wäre, daran hat sich die physikalische Forschung über ein Vierteljahrhundert vergeblich gemüht. Erst durch die Fermi-Statistik eröffnet sich

hier eine Möglichkeit zur Lösung der Widersprüche. Wie Sommerfeld¹⁾ kürzlich gezeigt hat, verschwinden nämlich die vorher unüberwindlichen Schwierigkeiten, wenn man annimmt, daß das Elektronengas der Fermischen Statistik unterworfen ist. Da das Atomgewicht des Natriums rund 230mal kleiner ist als das des leichtesten Gases, des Wasserstoffs, so kann man leicht die Größe von $\alpha = \pi^2$ für ein Elektronengas berechnen und findet, daß es bei normaler Temperatur stets sehr stark entartet ist. Es gilt daher nicht die Maxwell'sche Verteilungsgesetz, das von Äquipartitionstheorem führt, sondern das Fermische Verteilungsgesetz, das in Fig. 18 wiedergegeben ist, und die Folge davon ist, daß der Beitrag der Elektronen zur spezifischen Wärme tatsächlich nur rund $\frac{1}{100}$ derjenigen wird, den die klassische Theorie erwarten läßt, d. h. die Schwärzigkeit ist beseitigt. Sommerfeld hat mit einem Schicksal systematisch die Eigenschaften der Metalle vom Standpunkt der Fermi-Statistik diskutiert und überraschende Erfolge dargebracht. —

Wir geben hier nicht näher darauf ein; unsere Absicht war es nur, dem Leser in diesen beiden letzten Nummern zu zeigen, ein wie nützliches Instrument die Quantentheorie in unserer Zeit geworden ist. Diese unsere Absicht mag es entschuldigen, wenn wir hier Dinge besprochen haben, von denen man zweifeln kann, ob sie schon abgeklärt genug sind, um in einem Lehrbuch dargestellt zu werden. Aber es erschien uns wichtig, möglichst eindringend zu dokumentieren, daß auch auf diesem Gebiete die theoretische Physik kein abgeschlossenes Gefälle, sondern ständig fortschreitendes Leben ist.

¹⁾ A. Sommerfeld, *Beitr. z. Phys.* 47, pag. 1, 1926.

- Deutung 400, 401, 402.
 Deutung, thermisches Gesetz 400f., 410, 461.
 Densität 389.
- Ehrenfest, P. und T. 470, 475, 478, 480,
 488, 491, 521, 522.
 Eigenfortschritt 35.
 —, Entwicklung nach 304f.
 —, „normale“ 31.
 Eigenwerte 35.
 Eigenwertgleichungen, optische 367.
 —, Zahl derselben 374.
 Eigenwärmeg. Gase, spezifische Wärme der-
 selben 362.
 Endbedeutung der Lösungen 35.
 —, der Wärmeübergangsprobleme 359f.
 Endzustände 319.
 Einstein, A. 309, 312, 324, 343, 367, 380,
 381f., 507f., 509.
 Entropiescher Satz 356, 359, 366.
 Entropiesysteme 347.
 Kapitel 4.
 Klassisches Spektrum 338.
 Klassisches Modell 159.
 Klassische Strahlung 35.
 Klassisch-photonen Körper, Methode v.
 F. Kohnen 38.
 Kinetik 310.
 Kinetiktheoreme nach 310f.
 Kinetische 340f., 347.
 Kinetische Temperatur I, 2.
 Kinetischer Vorgang 363.
 Kinetik 344.
 Kinney, Beschreibung derselben für ein
 Wasser-Flüssigkeitssystem 371f.
 —, aus Gas 36, 100f.
 —, —, Flüssigkeiten 350f.
 —, —, starke Gase 333, 359.
 —, feste Körper 373.
 —, freie 370f.
 —, —, Abweichung derselben 374.
 —, —, ideale Gase 374.
 —, —, unter dem 360f.
 —, —, Bewegung derselben 374.
 —, gebundene 371f., 375.
 —, kinetische Systeme 350f.
 —, innere 31, 38, 50f.
 —, intermolekulare 370.
 —, intermolekulare 369.
 —, kinetische, für fortgeschrittenen Be-
 wegung 360.
 —, potentielle, andere 35.
 —, —, innere 35.
 —, spezifische 33, 101.
 —, veränderliche Lösungen 350f.
 Kinetiksysteme in der kinetischen Vor-
 stellung 371f.
 Kinetische 400.
 Kinetiktheorie der idealen Gase 361,
 363, 365.
 —, der festen Gase 100f.
- Kinetiktheorie, kinetische Sub-
 stanz 195.
 —, kinetische Körper 309.
 Kinetiktheorie 400.
 Kinetiktheorie 360, 361.
 Kinetiktheorie 360.
 Kinetiktheorie 35.
 —, in der Mechanik 370f.
 Kinetiktheorie, unvollständige 72.
 Kinetiktheorie, Substanz 350.
 Kinetiktheoriehypothese von Planck 350f.,
 361.
 Kinetiktheorie für Wasser 315.
 Kinetiktheorie für gasförmigen Dampf 319.
 Kinetik 364, 369, 374, 380, 383, 410, 420,
 421, 422, 423, 424, 425, 426, 427.
 Kinetiktheorie der idealen Gase 345, 350, 356.
 Kinetiktheorie 359, 367.
 Kinetiktheorie der idealen Gase 360.
 Kinetik 360, 370, 374.
 —, Addition der 360, 361.
 —, Bewegung der 360f.
 —, Bewegung der 360f. für ein Wasser-
 Wasser-Flüssigkeitssystem 371f.
 —, Definition der 360.
 —, einer kinetischen Substanz 370.
 —, eines Gasgemisches 354, 355f.
 —, kinetische Systeme 350f.
 —, unter dem 360.
 —, unter dem 360f.
 —, kinetische Bewegung 360.
 —, spezifische 360, 361.
 —, veränderliche Lösungen 360f.
 —, Zusammenhang der kinetischen Sub-
 stanz 360f., 361f., 367f.
 Kinetiktheorie 360.
 Kinetiktheorie 360.
 Kinetiktheorie 367, 371, 372f., 373f.,
 374, 375.
 —, kinetische Bewegung derselben 373f.
 —, kinetische Temperatur 360f.
 Kinetiktheorie, kinetische Bewegung der-
 selben 360.
 Kinetiktheorie für Wasser 371.
 Kinetiktheorie-Temperatur-Diagramm 360f.
 Kinetiktheorie 360, 371f.
 —, durch Definition 360.
 —, kinetische Bewegung 360.
 Kinetik, kinetische 360.
 —, kinetische 374.
 —, kinetische 375.
 Kinetiktheorie einer Wassermasse 35.
 Kinetiktheorie 360f., 369, 370.
 Kinetiktheorie 360, 361.
 —, Systeme 360.
 —, Verhältnisse 360.
 Kinetiktheorie 360.
 Kinetik, A. 309, 421, 424, 425, 426,
 427.
 Kinetiktheorie 345, 470, 500.
 Kinetische Wärme 345.
 Kinetiktheorie 360, 361, 362.

- [illegible]

- [illegible]

„Wiederbelebung“ eines Bildes 445.

Wasser, Ch. 347.

Wagrad 355.

Wasserspeid 371.

Wasserspeide 363.

Wasserspeiden 353.

Waffeln, A. 353.

Wasserspeid 355.

Wasserspeid 355, 356, 357, 358, 359, 360, 361, 362, 363.

—, Bildung von Wasserspeid 355.

— der Wasserspeid 355.

Wasser, J. 355.

Wasser 355, 356, 357.

Wasserspeiden 351.

Waffeln 353.

Wasser, Waffeln 353, 354.

Wasserspeiden, Waffeln 351.

Wasserspeiden, Waffeln 351.

Wasserspeiden 351, 352, 353.

— der Waffeln 351, 352, 353.

— Wasser 353, 354, 355, 356.

— Waffeln 351, 352, 353.

— Waffeln 351.

—, V. d. Waffeln 351, 352, 353.

Wasserspeid 357.

Waffeln 351.

Wasserspeiden 351.

Wasserspeiden, Waffeln 351, 352, 353.

Waffeln 351.

Waffeln 351, 352, 353.

Waffeln 351.

- Theoretische Physik.** Von Dr. GUSTAV JÄGER, Prof. an der Universität Wien.
I. Mechanik und Akustik. Mit 24 Figuren.
II. Licht und Wärme. Mit 47 Figuren.
III. Elektrizität und Magnetismus. Mit 23 Figuren.
IV. Elektromagnetische Lichttheorie und Meteorologie. Mit 17 Figuren.
[Sammlung Göschen Bd. 76—78, 374.] Jeder Band geb. 1.80
Eine Anleitung für kleine Männer Lehranstalten, Studenten, Besucher von Vorträgen u. s.
- Methoden der physikalischen Analyse.** Von Dr. FR. A. WILLIAMS, o. Professor an der Polytechnische Schule (Zürich). Mit 134 Figuren. Hochschüler. 304 Seiten. 1898. 20.—, geb. 11.50
- Faktoranalyse in ihren Grundlagen und wichtigsten physikalischen Anwendungen.** Von Dr. phil. ARTHUR HAAS, o. o. Professor an der Universität Wien. Mit 77 Abbildungen im Text. Groß-Oktav. VI, 148 Seiten. 1922.
4.—, geb. 3.—
In wissenschaftlicher Darstellung sowie als Grundlage der Physik. Bei Physik analysiert.
- Faktoranalyse.** Von Dr. EUGEN FRIED VALENTINER, Professor für Physik an der Polytechnische Universität. Mit 18 Figuren. [Sammlung Göschen Bd. 364.] Geb. 1.80
Bei der Größe und Breite wichtiger Faktoranalyse zur Lösung physikalischer Aufgaben.
- Atomtheorie.** Von Dr. phil. ARTHUR HAAS, Professor für Physik an der Universität in Wien. Mit 64 Figuren. Im Text und auf 4 Tafeln. Zweite Aufl. völlig umgearbeitet und wesentlich vermehrte Aufl. v. r. Hochschüler. VIII, 284 Seiten. 1923. 21.—, geb. 11.50
„Eine elementare Darstellung der Atomphysik, die sich sowohl auf experimentelle als auch auf theoretische Physik anwenden lässt.“
- Die Welt der Atome.** Eine geschichtswissenschaftliche Vorlesung. Von ARTHUR HAAS, Dr. phil., o. o. Professor für Physik an der Universität Wien. Mit 27 Figuren im Text und auf 2 Tafeln. Oktav. XII, 190 Seiten. 1920. 4.50, geb. 3.—
„Eine sehr klare Darstellung der Welt der Atome, die die Vorlesung durch sehr lebendige physikalische Experimente und durch geschickte Veranschaulichung der ... der Welt der Atome ...“
- Klassische Vorlesung über Elemente (Einführung in die Physik).** Von Dr. HANS FRIEDRICHSON in Göttingen (Zürich). Aus dem Schweizerischen Oberbau von Elisabeth Kirch. Mit 59 Figuren im Text. Groß-Oktav. VIII, 241 Seiten. 1920. 4.—, geb. 2.—
Eine wissenschaftliche Darstellung der letzten Erfindungen auf dem Gebiet der Atomphysik, die die Vorlesung der Atome und der Atome ...
- Die Grundlagen der Physik.** Systematische Prinzipien der mathematischen Naturwissenschaften. Von Dr. HUGO DINGLER, o. o. Professor an der Universität München. Zweite Auflage. Oktav. XIV, 556 Seiten. 1920. 4.—, geb. 2.—
„Die Welt ist eine unendliche Welt ...“
- Physik und Hypothese.** Versuch einer kritischen Wissenschaftstheorie auf der Basis der kritischen Analyse der Fundamente der Naturwissenschaften. Von Dr. HUGO DINGLER, o. o. Professor an der Universität München. Oktav. XI, 200 Seiten. 1921. 3.—, geb. 4.—
- Das Studium der neuen Physik.** Von Dr. phil. ARTHUR HAAS, o. o. Professor an der Universität Wien. Zweite Auflage. Mit 9 Figuren im Text. Oktav. V, 148 Seiten. 1924. 4.—, geb. 3.—
„Die Welt der Atome ...“
- Wissenschaft der Physik.** Von Dr. FELIX AUERSBACH, o. o. Professor an der Universität Wien. Mit 283 Figuren. Oktav. I, 495 Seiten. 1920. Geb. 4.50
„Die wissenschaftliche Darstellung der Physik, Chemie, Biologie, Medizin.“

Experimentalkörperk. Von Professor ROBERT LAZAR, Rektor des Realgymnasiums in Stuttgart.

I. Mechanik der festen, flüssigen und gasförmigen Körper. Mit 116 Figuren im Text.

II. Wellenlehre und Akustik. Mit 66 Figuren im Text.

III. Wärmelehre. Mit 18 Figuren im Text.

IV. Optik. Mit vielen Figuren im Text.

(Sammlung Göschen Bd. 531-534.)

Jeder Band geb. 1.80

Als Leitfaden für Schüler höherer Lehranstalten, besonders Fachschulen, Realgymnasien und Lehrer.

Physikalische Formelsammlung. Von G. MÄHLER 1. Professor der Mathematik und Physik am Gymnasium in Ulm, und Professor K. MÄHLER, Student an der Oberrealschule Jahn in Württemberg. Mit 71 Figuren. (Sammlung Göschen Bd. 535.) Geb. 1.80

Das Buch gibt kurze Formeln und enthält eine kurze Übersicht über die einzelnen Theorien der Physik.

Physikalische Aufgabensammlung. Von G. MÄHLER 1. Professor der Mathematik und Physik am Gymnasium in Ulm, und Professor K. MÄHLER, Student an der Oberrealschule Jahn. Mit drei Theilen. (Sammlung Göschen Bd. 536.) Geb. 1.80

Drei Theile: 1. für den Anfänger und zum Gebrauch in der Hausaufgabe; 2. für die Fortgeschrittenen; 3. für die Lösung von Aufgaben.

Physikalische Tabellen. Von Dr. A. LAZAR. Nacharbeit von Professor Dr. W. LIEBK in Berlin-Lichterfelde. (Sammlung Göschen Bd. 537.) Geb. 1.80

Als wertvolle Orientierungsmittel für Lehrer und Studierende.

Physikalische Messungsmethoden. Von Professor Dr. WILHELM BAHRDT in Berlin-Lichterfelde. Mit 24 Figuren. (Sammlung Göschen Bd. 538.) Geb. 1.80

Das Buch enthält die wichtigsten Methoden, die zur Messung der physikalischen Größen dienen.

Physikalische Formeln. Von Dr. F. LUDWIG, Professor an der Bergakademie in Freiberg in Sachsen. Mit 27 Abbild. (Sammlung Göschen Bd. 539.) Geb. 1.80

Das Buch enthält die wichtigsten Formeln der Physik und Mathematik, die für die physikalischen Wissenschaften von Bedeutung sind.

Physikalische Formeln. Von Dr. KARL KÄHLER, wissenschaftlicher Hilfslehrer am Realgymnasium, Meteorologisch-physikalisches Observatorium in Potsdam. Mit 19 Abbildungen. (Sammlung Göschen Bd. 540.) Geb. 1.80

Das Buch enthält die wichtigsten Formeln der Physik und Mathematik.

Physikalische Formeln. (Physik, Chemie und Astronomie.) Von Dr. phil. nat. RICHARD HERR in Frankfurt a. M. Mit 26 Figuren im Text und 26 Abbildungen auf 15 Tafeln. (Sammlung Göschen Bd. 541.) Geb. 1.80

Als wertvolle Orientierungsmittel für Lehrer und Studierende.

Physikalische Formeln und Tabellen. Von Dr. ARTHUR SCHULZE und Dr. ERICH SCHMIDT. Zwei Bände, 1894-1895.

Erster Band. Mit 128 Figuren und 24 Tabellen im Text. VIII, 395 Seiten. 1894, geb. 50.—

Zweiter Band. Mit 128 Figuren und 24 Tabellen im Text. IV, 395 Seiten. 1895, geb. 50.—

Das Buch enthält die wichtigsten Formeln und Tabellen der Physik und Mathematik, die für die physikalischen Wissenschaften von Bedeutung sind. Es ist ein wertvolles Orientierungsmittel für Lehrer und Studierende.

Physikalische Geographie. Von Dr. GEORG GRAM, o. Professor an der Technischen Hochschule in München. (Sammlung Göschen Bd. 542.) Geb. 1.80

Das Buch enthält die wichtigsten Grundlagen der physikalischen Geographie, die für die physikalischen Wissenschaften von Bedeutung sind.

Elektrizität, Erdstrom und Polarlicht. Von Prof. Dr. A. HOFFMANN.
Nach dem Privat-Meteorolog. Institut (Magnetisches Observatorium in Potsdam). Mit 7 Tafeln und 14 Figuren. (Sammlung Göschen 24, 715.)
Geb. 1,80

Die Natur und Theorie der Elektrizität in der Anleitung der Elektrotechnik.

Die Physik der Verbrennungsgeschwindigkeiten. Von Dr. HEINRICH MACH, o. L. Professor an der Technischen Hochschule in Wien. Mit 24 Abbildungen im Text und 2 Tafeln. Groß-Oktav. V, 113 Seiten. 1901. 2.—, geb. 2,80
Die Phys. der Verb. der Verbrennungsgeschw. ist ein hervorragendes Werk, welches insbesondere die Verbrennungsgeschwindigkeit behandelt.

Einführung in die Theorie der Wärme. Von Dr. HEINRICH MACH, o. L. Professor an der Technischen Hochschule in Wien. Mit 24 Figuren. Groß-Oktav. VIII, 128 Seiten. 1901. 2.—, geb. 2.—
Die Theorie der Wärme ist ein hervorragendes Werk, welches insbesondere die Wärmelehre behandelt.

Vorlesungen über Thermodynamik. Von Dr. MAX PLANCK, o. Professor an der Universität Berlin. Achte Auflage. Mit 4 Figuren im Text. Groß-Oktav. XII, 277 Seiten. 1901. Geb. 11,50
Die Vorlesungen über Thermodynamik sind ein hervorragendes Werk, welches insbesondere die Thermodynamik behandelt.

Die Grundgleichungen der Mechanik, dargestellt auf Grund der physikalischen Entwicklung. Vorlesungen zur Einführung in die theoretische Physik, gehalten im Sommersemester 1904 an der Universität Leipzig. Von Dr. phil. ADOLF KRAE, o. L. Professor an der Universität Wien. Mit 24 Abbildungen im Text. Groß-Oktav. VI, 318 Seiten. 1904. 1,50
Die Grundgleichungen der Mechanik sind ein hervorragendes Werk, welches insbesondere die Mechanik behandelt.

Die Prinzipien der Dynamik. Von Dr. CLEMENS SCHLAFER, o. Prof. an der Univ. Breslau. Mit 4 Figuren im Text. Groß-Oktav. IV, 76 Seiten. 1910. 2,80
Die Prinzipien der Dynamik sind ein hervorragendes Werk, welches insbesondere die Dynamik behandelt.

Grundzüge der Physik. Von A. KIESER, Professor an Gymnasium in Karlsruhe. 2.

I. Die Physik bis Newton. Mit 15 Figuren.

II. Die Physik von Newton bis zur Gegenwart. Mit 3 Figuren.

(Sammlung Göschen 24, 715, 716.)

Jeder Band geb. 1,50

Kristallographie. Von Prof. Dr. W. BRÜNNER. Nacharbeit von Prof. Dr. F. KÄMPFER. Mit 124 Figuren. (Sammlung Göschen 24, 715.) Geb. 1,50
Die Kristallographie ist ein hervorragendes Werk, welches insbesondere die Kristallographie behandelt.

Einführung in die Kristallographie. Von Dr. EDUARD WERNER, Privat-Dozent an der Universität Breslau. Mit 124 Abbildungen. (Sammlung Göschen 24, 715.)
Geb. 1,50

Die Einführung in die Kristallographie ist ein hervorragendes Werk, welches insbesondere die Kristallographie behandelt.

Einführung in die geometrische Optik. Von Dr. W. NERNST, emeritierter Professor an der Universität Göttingen. C. F. Giese & Co., Berlin. Zweite, verbesserte Auflage. Mit 15 Figuren. 1904. (Sammlung Göschen 24, 715.)
Geb. 1,50

Zur Einführung in die naturwissenschaftlichen Fächer empfehlen wir die

Sammlung Göschen. Diese sind über 1000 Bände erschienen aus folgenden Gebieten: Astronomie / Berg- und Hüttenwesen / Chemie / Elektrotechnik / Geographie / Geschichte / Handel / Landwirtschaft / Maschinenbau / Mathematik / Medizin / Naturwissenschaften / Philosophie / Physik / Rechtswissenschaft / Religionswissenschaft und Theologie / Sprachwissenschaft / Zoologie / Technologie / Unterrichtswesen / Volkswirtschaft.
Jeder Band gebunden 1,50.

Die Sammlung Göschen ist ein hervorragendes Werk, welches insbesondere die Naturwissenschaften behandelt.

Die Sammlung Göschen ist ein hervorragendes Werk, welches insbesondere die Naturwissenschaften behandelt.

WILHELM BRUNNEN & CO., BERLIN W. 10, KÖNIGLICHE STRASSE 10